



ΕΛΛΗΝΙΚΗ ΔΗΜΟΚΡΑΤΙΑ



**ΓΕΝΙΚΗ ΓΡΑΜΜΑΤΕΙΑ ΦΥΣΙΚΟΥ ΠΕΡΙΒΑΛΛΟΝΤΟΣ
ΚΑΙ ΥΔΑΤΩΝ
ΓΕΝΙΚΗ ΔΙΕΥΘΥΝΣΗ ΥΔΑΤΩΝ**



**1^η ΑΝΑΘΕΩΡΗΣΗ
ΣΧΕΔΙΟΥ ΔΙΑΧΕΙΡΙΣΗΣ ΚΙΝΔΥΝΩΝ ΠΛΗΜΜΥΡΑΣ
των Λεκάνών Απορροής Ποταμών του
Υδατικού Διαμερίσματος Δυτικής Στερεάς Ελλάδας (EL04)**

Στάδιο 1 – Παραδοτέο 4

ΠΛΗΜΜΥΡΙΚΑ ΥΔΡΟΓΡΑΦΗΜΑΤΑ

**Παράρτημα Π4.1:
Υδρολογική Ανάλυση λεκάνης ποταμού Μόρνου**



Ευρωπαϊκή Ένωση
Ταμείο Συνοχής



Με τη συγχρηματοδότηση της Ελλάδας και της Ευρωπαϊκής Ένωσης

Περιεχόμενα

1 ΜΟΝΤΕΛΟ ΥΔΡΟΛΟΓΙΚΗΣ ΠΡΟΣΟΜΟΙΩΣΗΣ ΛΕΚΑΝΗΣ ΑΠΟΡΡΩΗΣ	4
2 ΔΕΔΟΜΕΝΑ ΕΙΣΟΔΟΥ ΚΑΙ ΑΠΟΤΕΛΕΣΜΑΤΑ ΥΔΡΟΛΟΓΙΚΟΥ ΣΕΝΑΡΙΟΥ T=50	9
2.1 ΑΠΟΤΕΛΕΣΜΑΤΑ, ΥΕΤΟΓΡΑΦΗΜΑΤΑ ΚΑΙ ΥΔΡΟΓΡΑΦΗΜΑΤΑ ΣΧΕΔΙΑΣΜΟΥ ΥΠΟΛΕΚΑΝΩΝ	9
2.2 ΔΕΔΟΜΕΝΑ ΚΑΙ ΥΔΡΟΓΡΑΦΗΜΑΤΑ ΣΧΕΔΙΑΣΜΟΥ ΚΛΑΔΩΝ ΥΔΡΟΓΡΑΦΙΚΟΥ ΔΙΚΤΥΟΥ	51
2.3 ΔΕΔΟΜΕΝΑ ΚΑΙ ΥΔΡΟΓΡΑΦΗΜΑΤΑ ΣΧΕΔΙΑΣΜΟΥ ΚΟΜΒΩΝ ΥΔΡΟΓΡΑΦΙΚΟΥ ΔΙΚΤΥΟΥ	73
3 ΔΕΔΟΜΕΝΑ ΕΙΣΟΔΟΥ ΚΑΙ ΑΠΟΤΕΛΕΣΜΑΤΑ ΥΔΡΟΛΟΓΙΚΟΥ ΣΕΝΑΡΙΟΥ T=50L	96
3.1 ΑΠΟΤΕΛΕΣΜΑΤΑ, ΥΕΤΟΓΡΑΦΗΜΑΤΑ ΚΑΙ ΥΔΡΟΓΡΑΦΗΜΑΤΑ ΣΧΕΔΙΑΣΜΟΥ ΥΠΟΛΕΚΑΝΩΝ	96
3.2 ΔΕΔΟΜΕΝΑ ΚΑΙ ΥΔΡΟΓΡΑΦΗΜΑΤΑ ΣΧΕΔΙΑΣΜΟΥ ΚΛΑΔΩΝ ΥΔΡΟΓΡΑΦΙΚΟΥ ΔΙΚΤΥΟΥ	138
3.3 ΔΕΔΟΜΕΝΑ ΚΑΙ ΥΔΡΟΓΡΑΦΗΜΑΤΑ ΣΧΕΔΙΑΣΜΟΥ ΚΟΜΒΩΝ ΥΔΡΟΓΡΑΦΙΚΟΥ ΔΙΚΤΥΟΥ	160
4 ΔΕΔΟΜΕΝΑ ΕΙΣΟΔΟΥ ΚΑΙ ΑΠΟΤΕΛΕΣΜΑΤΑ ΥΔΡΟΛΟΓΙΚΟΥ ΣΕΝΑΡΙΟΥ T=50U	183
4.1 ΑΠΟΤΕΛΕΣΜΑΤΑ, ΥΕΤΟΓΡΑΦΗΜΑΤΑ ΚΑΙ ΥΔΡΟΓΡΑΦΗΜΑΤΑ ΣΧΕΔΙΑΣΜΟΥ ΥΠΟΛΕΚΑΝΩΝ	183
4.2 ΔΕΔΟΜΕΝΑ ΚΑΙ ΥΔΡΟΓΡΑΦΗΜΑΤΑ ΣΧΕΔΙΑΣΜΟΥ ΚΛΑΔΩΝ ΥΔΡΟΓΡΑΦΙΚΟΥ ΔΙΚΤΥΟΥ	225
4.3 ΔΕΔΟΜΕΝΑ ΚΑΙ ΥΔΡΟΓΡΑΦΗΜΑΤΑ ΣΧΕΔΙΑΣΜΟΥ ΚΟΜΒΩΝ ΥΔΡΟΓΡΑΦΙΚΟΥ ΔΙΚΤΥΟΥ	247
5 ΔΕΔΟΜΕΝΑ ΕΙΣΟΔΟΥ ΚΑΙ ΑΠΟΤΕΛΕΣΜΑΤΑ ΥΔΡΟΛΟΓΙΚΟΥ ΣΕΝΑΡΙΟΥ T=100	270
5.1 ΑΠΟΤΕΛΕΣΜΑΤΑ, ΥΕΤΟΓΡΑΦΗΜΑΤΑ ΚΑΙ ΥΔΡΟΓΡΑΦΗΜΑΤΑ ΣΧΕΔΙΑΣΜΟΥ ΥΠΟΛΕΚΑΝΩΝ	270
5.2 ΔΕΔΟΜΕΝΑ ΚΑΙ ΥΔΡΟΓΡΑΦΗΜΑΤΑ ΣΧΕΔΙΑΣΜΟΥ ΚΛΑΔΩΝ ΥΔΡΟΓΡΑΦΙΚΟΥ ΔΙΚΤΥΟΥ	312
5.3 ΔΕΔΟΜΕΝΑ ΚΑΙ ΥΔΡΟΓΡΑΦΗΜΑΤΑ ΣΧΕΔΙΑΣΜΟΥ ΚΟΜΒΩΝ ΥΔΡΟΓΡΑΦΙΚΟΥ ΔΙΚΤΥΟΥ	334
6 ΔΕΔΟΜΕΝΑ ΕΙΣΟΔΟΥ ΚΑΙ ΑΠΟΤΕΛΕΣΜΑΤΑ ΥΔΡΟΛΟΓΙΚΟΥ ΣΕΝΑΡΙΟΥ T=100L	357
6.1 ΑΠΟΤΕΛΕΣΜΑΤΑ, ΥΕΤΟΓΡΑΦΗΜΑΤΑ ΚΑΙ ΥΔΡΟΓΡΑΦΗΜΑΤΑ ΣΧΕΔΙΑΣΜΟΥ ΥΠΟΛΕΚΑΝΩΝ	357
6.2 ΔΕΔΟΜΕΝΑ ΚΑΙ ΥΔΡΟΓΡΑΦΗΜΑΤΑ ΣΧΕΔΙΑΣΜΟΥ ΚΛΑΔΩΝ ΥΔΡΟΓΡΑΦΙΚΟΥ ΔΙΚΤΥΟΥ	399
6.3 ΔΕΔΟΜΕΝΑ ΚΑΙ ΥΔΡΟΓΡΑΦΗΜΑΤΑ ΣΧΕΔΙΑΣΜΟΥ ΚΟΜΒΩΝ ΥΔΡΟΓΡΑΦΙΚΟΥ ΔΙΚΤΥΟΥ	421
7 ΔΕΔΟΜΕΝΑ ΕΙΣΟΔΟΥ ΚΑΙ ΑΠΟΤΕΛΕΣΜΑΤΑ ΥΔΡΟΛΟΓΙΚΟΥ ΣΕΝΑΡΙΟΥ T=100U	444
7.1 ΑΠΟΤΕΛΕΣΜΑΤΑ, ΥΕΤΟΓΡΑΦΗΜΑΤΑ ΚΑΙ ΥΔΡΟΓΡΑΦΗΜΑΤΑ ΣΧΕΔΙΑΣΜΟΥ ΥΠΟΛΕΚΑΝΩΝ	444
7.2 ΔΕΔΟΜΕΝΑ ΚΑΙ ΥΔΡΟΓΡΑΦΗΜΑΤΑ ΣΧΕΔΙΑΣΜΟΥ ΚΛΑΔΩΝ ΥΔΡΟΓΡΑΦΙΚΟΥ ΔΙΚΤΥΟΥ	486
7.3 ΔΕΔΟΜΕΝΑ ΚΑΙ ΥΔΡΟΓΡΑΦΗΜΑΤΑ ΣΧΕΔΙΑΣΜΟΥ ΚΟΜΒΩΝ ΥΔΡΟΓΡΑΦΙΚΟΥ ΔΙΚΤΥΟΥ	508

8 ΔΕΔΟΜΕΝΑ ΕΙΣΟΔΟΥ ΚΑΙ ΑΠΟΤΕΛΕΣΜΑΤΑ ΥΔΡΟΛΟΓΙΚΟΥ ΣΕΝΑΡΙΟΥ T=1000??

531

8.1 ΑΠΟΤΕΛΕΣΜΑΤΑ, ΥΕΤΟΓΡΑΦΗΜΑΤΑ ΚΑΙ ΥΔΡΟΓΡΑΦΗΜΑΤΑ ΣΧΕΔΙΑΣΜΟΥ ΥΠΟΛΕΚΑΝΩΝ	531
8.2 ΔΕΔΟΜΕΝΑ ΚΑΙ ΥΔΡΟΓΡΑΦΗΜΑΤΑ ΣΧΕΔΙΑΣΜΟΥ ΚΛΑΔΩΝ ΥΔΡΟΓΡΑΦΙΚΟΥ ΔΙΚΤΥΟΥ	573
8.3 ΔΕΔΟΜΕΝΑ ΚΑΙ ΥΔΡΟΓΡΑΦΗΜΑΤΑ ΣΧΕΔΙΑΣΜΟΥ ΚΟΜΒΩΝ ΥΔΡΟΓΡΑΦΙΚΟΥ ΔΙΚΤΥΟΥ	595

9 ΔΕΔΟΜΕΝΑ ΕΙΣΟΔΟΥ ΚΑΙ ΑΠΟΤΕΛΕΣΜΑΤΑ ΥΔΡΟΛΟΓΙΚΟΥ ΣΕΝΑΡΙΟΥ T=1000L

618

9.1 ΑΠΟΤΕΛΕΣΜΑΤΑ, ΥΕΤΟΓΡΑΦΗΜΑΤΑ ΚΑΙ ΥΔΡΟΓΡΑΦΗΜΑΤΑ ΣΧΕΔΙΑΣΜΟΥ ΥΠΟΛΕΚΑΝΩΝ	618
9.2 ΔΕΔΟΜΕΝΑ ΚΑΙ ΥΔΡΟΓΡΑΦΗΜΑΤΑ ΣΧΕΔΙΑΣΜΟΥ ΚΛΑΔΩΝ ΥΔΡΟΓΡΑΦΙΚΟΥ ΔΙΚΤΥΟΥ	660
9.3 ΔΕΔΟΜΕΝΑ ΚΑΙ ΥΔΡΟΓΡΑΦΗΜΑΤΑ ΣΧΕΔΙΑΣΜΟΥ ΚΟΜΒΩΝ ΥΔΡΟΓΡΑΦΙΚΟΥ ΔΙΚΤΥΟΥ	682

10 ΔΕΔΟΜΕΝΑ ΕΙΣΟΔΟΥ ΚΑΙ ΑΠΟΤΕΛΕΣΜΑΤΑ ΥΔΡΟΛΟΓΙΚΟΥ ΣΕΝΑΡΙΟΥ T=1000U

705

10.1 ΑΠΟΤΕΛΕΣΜΑΤΑ, ΥΕΤΟΓΡΑΦΗΜΑΤΑ ΚΑΙ ΥΔΡΟΓΡΑΦΗΜΑΤΑ ΣΧΕΔΙΑΣΜΟΥ ΥΠΟΛΕΚΑΝΩΝ	705
10.2 ΔΕΔΟΜΕΝΑ ΚΑΙ ΥΔΡΟΓΡΑΦΗΜΑΤΑ ΣΧΕΔΙΑΣΜΟΥ ΚΛΑΔΩΝ ΥΔΡΟΓΡΑΦΙΚΟΥ ΔΙΚΤΥΟΥ	747
10.3 ΔΕΔΟΜΕΝΑ ΚΑΙ ΥΔΡΟΓΡΑΦΗΜΑΤΑ ΣΧΕΔΙΑΣΜΟΥ ΚΟΜΒΩΝ ΥΔΡΟΓΡΑΦΙΚΟΥ ΔΙΚΤΥΟΥ	769

1 Μοντέλο Υδρολογικής Προσομοίωσης Λεκάνης Απορροής

Το μοντέλο υδρολογικής προσομοίωσης της λεκάνης απορροής του ποταμού Μόρνου περιλαμβάνει 41 υπολεκάνες, 23 κόμβους και 22 κλάδους του υδρογραφικού δικτύου. Στον κόμβο J10 βρίσκεται το φράγμα του Μόρνου, που αποτελεί ένα από τα βασικότερα έργα του υδροδοτικού συστήματος της ΕΥΔΑΠ. Ανάντη του φράγματος αναπτύσσεται ο ομώνυμος ταμιευτήρας, μέγιστης έκτασης (στην ανώτατη στάθμη λειτουργίας) 19.9 km². Η λεκάνη απορροής ανάντη του φράγματος έχει έκταση 588.1 km². Στο μοντέλο προσομοιώνεται ο κύριος κλάδος του Μόρνου, καθώς και οι σημαντικότεροι παραπόταμοί του, που είναι ο Κόκκινος (κλάδος R1918), η Μπελεφίτσα (κλάδος R2120), το ρέμα Λιμνιτσιάνο (κλάδος R227) και ο χείμαρρος Μάνδηλο (κλάδος R232). Ο ταμιευτήρας σχηματίζεται στη συμβολή του κύριου κλάδου με τα ρέματα Κόκκινο και Μπελεφίτσα. Οι κλάδοι R1312, R2012, R1211, R1811 και R1110 επικαλύπτονται από τον ταμιευτήρα. Κατάντη του φράγματος, ο ποταμός ρέει κατά μήκος της διαδρομής J10-J9-J8-J7-J6-J5-J4-J3-J2-J1, ενώ εκβάλλει στον Κορινθιακό Κόλπο, ανατολικά της Ναυπάκτου. Η ΖΔΥΚΠ καλύπτει μικρό μόνο τμήμα της λεκάνης, κατάντη του κόμβου J3.

Για την προσομοίωση της διόδευσης των υδρογραφημάτων από τον υπερχειλιστή του ταμιευτήρα Μόρνου, γίνεται η παραδοχή ότι κατά την έναρξη όλων των επεισοδίων βροχής, ο ταμιευτήρας είναι σε πλήρη πλήρωση (στάθμη υπερχειλίσης, +435.0 m), ενώ καθ' όλη τη διάρκεια της προσομοίωσης δεν πραγματοποιείται άλλη εκροή νερού (στην προκειμένη περίπτωση, δυνατότητα εκροής υπάρχει μόνο προς το κανάλι του Μόρνου, η παροχευευστικότητα του οποίου είναι πολύ μικρή, συγκριτικά με τα μεγέθη των πλημμυρικών παροχών). Η διόδευση γίνεται από ελεύθερο υπερχειλιστή, για τον οποίο λαμβάνεται ενεργό πλάτος $b = 39.0$ m και συντελεστής απωλειών $c = 2.1$. Η τιμή αυτή εκτιμήθηκε με βάση την παροχή σχεδιασμού του υπερχειλιστή (1300 m³/s), που αντιστοιχεί σε ανώτατη στάθμη πλημμύρας +443.5 m (υδραυλικό φορτίο 8.5 m). Τέλος, εφαρμόζεται η σχέση στάθμης-αποθέματος του ταμιευτήρα, το γράφημα της οποίας δίνεται στην Εικόνα Error! No text of specified style in document.-1. Η σχέση στάθμης-αποθέματος καταρτίστηκε με βάση δεδομένα της ΕΥΔΑΠ, θεωρώντας λογαριθμική παρεμβολή μεταξύ γνωστών ζευγών στάθμης και επιφάνειας (Ευστρατιάδης και Μαμάσης, 2004).

Η σχηματοποίηση του υδρολογικού συστήματος απεικονίζεται στον χάρτη της Εικόνας 5-3.

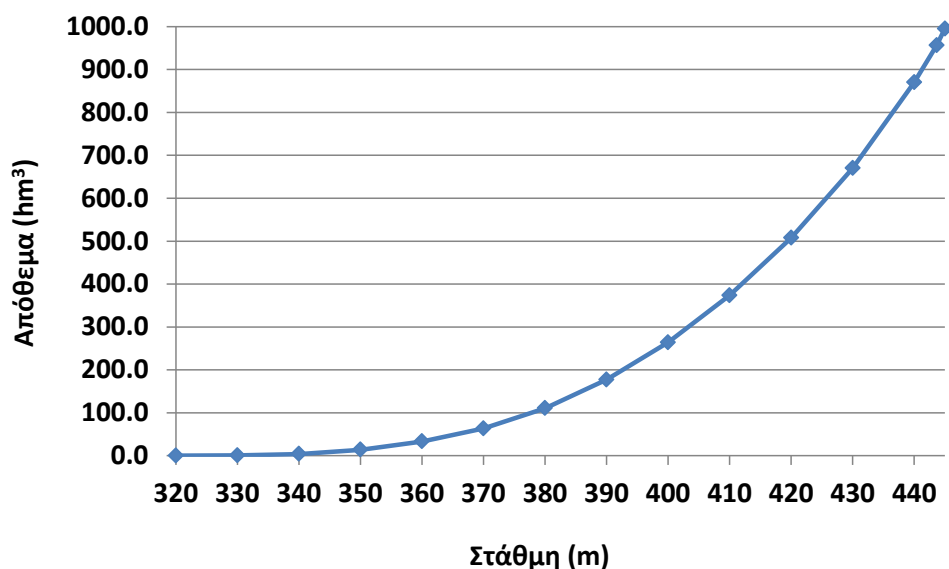
Τα χαρακτηριστικά μεγέθη της λεκάνης είναι:

- Έκταση $A = 944.4$ km²
- Μέσο υψόμετρο $z_m = 906$ m
- Υψόμετρο κόμβου εξόδου $z_k = 0.0$ m
- Μέγιστο μήκος ροής $L_{max} = 83.9$ km
- Χρόνος συγκέντρωσης $t_c = 10.5$ h

Για την υδρολογική προσομοίωση επιλέγεται διάρκεια βροχής $D = 48$ h και χρονικό βήμα $\Delta t = 15$ min.

Για την παραπάνω έκταση και διάρκεια προκύπτει συντελεστής επιφανειακής αναγωγής $\varphi = 0.908$.

Τα χαρακτηριστικά γεωμετρικά μεγέθη των κλάδων και υπολεκανών του υδρογραφικού δικτύου δίνονται στους Πίνακες 5-2 και 5-3, αντίστοιχα, ενώ τα συγκεντρωτικά αποτελέσματα της συνολικής λεκάνης απορροής δίνονται στον Πίνακα Error! No text of specified style in document.-3. Στο Παράρτημα Π1 δίνονται τα πλήρη δεδομένα εισόδου και εξόδου του μοντέλου προσομοίωσης για όλες τις συνιστώσες του δικτύου (υπολεκάνες, κόμβοι, κλάδοι), και τα αντίστοιχα γραφήματα.



Εικόνα Error! No text of specified style in document.-1 Σχέση στάθμης-αποθέματος ταμιευτήρα Μόρνου (στέψη υπερχειλιστή +435.0 m)

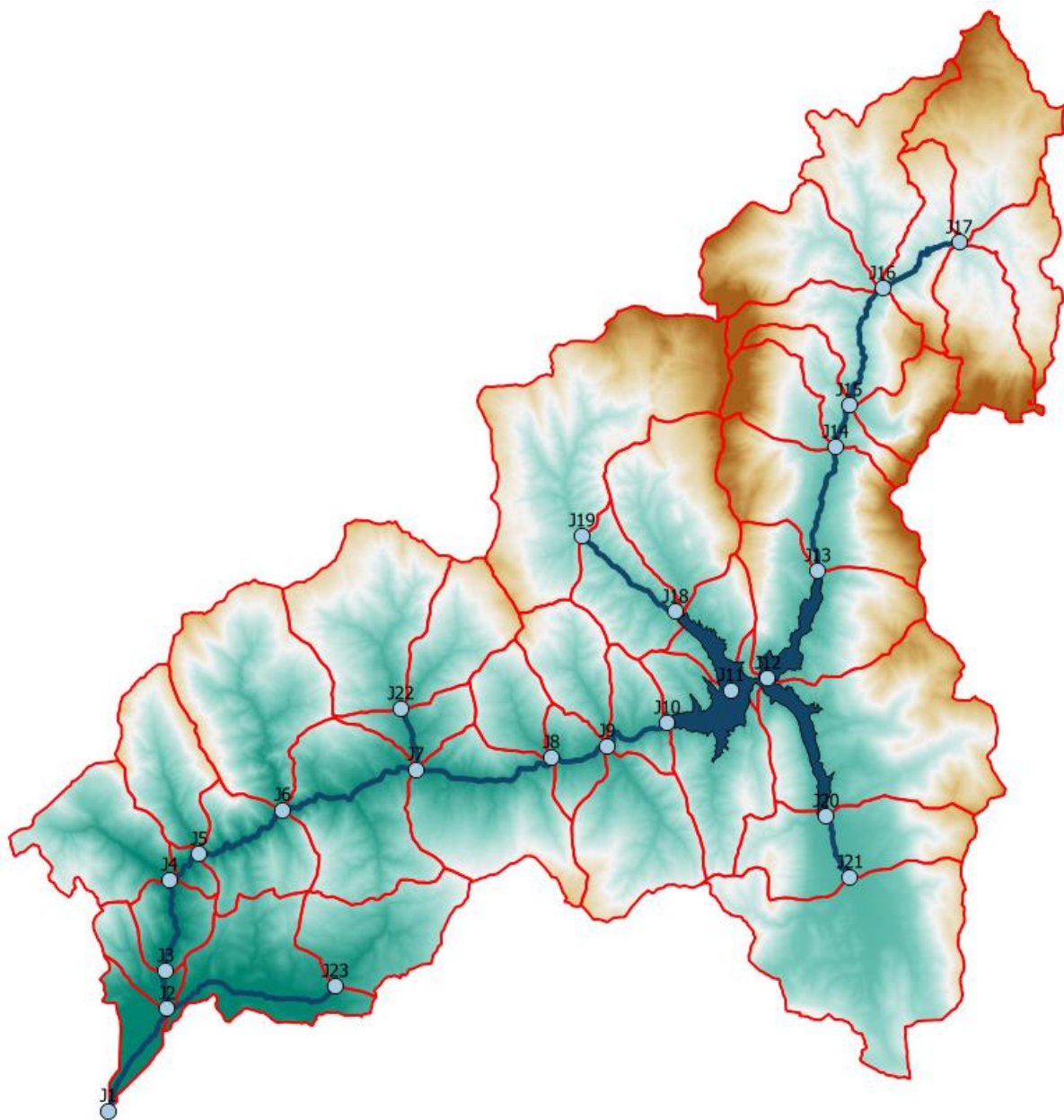
Πίνακας Error! No text of specified style in document.-1 Χαρακτηριστικά μεγέθη κλάδων υδρογραφικού δικτύου (υδατορεύματα)

Κωδικός	Ονομασία	Ανάντη	Κατάντη	Μήκος (km)	Μέση κλίση
R21	ΜΟΡΝΟΣ 1	J2	J1	5.568	0.0037
R32	ΜΟΡΝΟΣ 1	J3	J2	1.865	0.0052
R43	ΜΟΡΝΟΣ 1	J4	J3	4.663	0.0068
R54	ΜΟΡΝΟΣ 1	J5	J4	2.081	0.0086
R65	ΜΟΡΝΟΣ 1	J6	J5	5.463	0.0075
R76	ΜΟΡΝΟΣ 1	J7	J6	7.382	0.0094
R87	ΜΟΡΝΟΣ 2	J8	J7	7.073	0.0110
R98	ΜΟΡΝΟΣ 2	J9	J8	3.258	0.0078
R109	ΜΟΡΝΟΣ 2	J10	J9	3.453	0.0307
R1110		J11	J10	3.297	0.0018
R1211		J12	J11	1.686	0.0001
R1312	ΜΟΡΝΟΣ 3	J13	J12	5.116	0.0032
R1413	ΜΟΡΝΟΣ 3	J14	J13	6.320	0.0131
R1514	ΜΟΡΝΟΣ 3	J15	J14	2.184	0.0131
R1615	ΜΟΡΝΟΣ 3	J16	J15	6.469	0.0190
R1716	ΜΟΡΝΟΣ 3	J17	J16	5.126	0.0353
R1811		J18	J11	4.133	0.0040
R1918	ΚΟΚΚΙΝΟΣ	J19	J18	6.120	0.0192
R2012		J20	J12	6.548	0.0024
R2120	ΜΠΕΛΕΦΙΤΣΑ	J21	J20	3.215	0.0046
R227	ΛΙΜΝΙΤΣΙΑΝΟ	J22	J7	2.971	0.0260
R232	ΜΑΝΔΗΛΟ	J23	J2	8.254	0.0162

Πίνακας Error! No text of specified style in document.-2 Χαρακτηριστικά μεγέθη υπολεκανών

Κωδικός	Λεκάνη απορροής	Κλάδος	Κόμβος εξόδου	Έκταση (km ²)	Μέσο υψόμετρο (m)	Υψόμετρο εξόδου (m)	Μέγιστο μήκος ροής (km)
---------	-----------------	--------	---------------	---------------------------	-------------------	---------------------	-------------------------

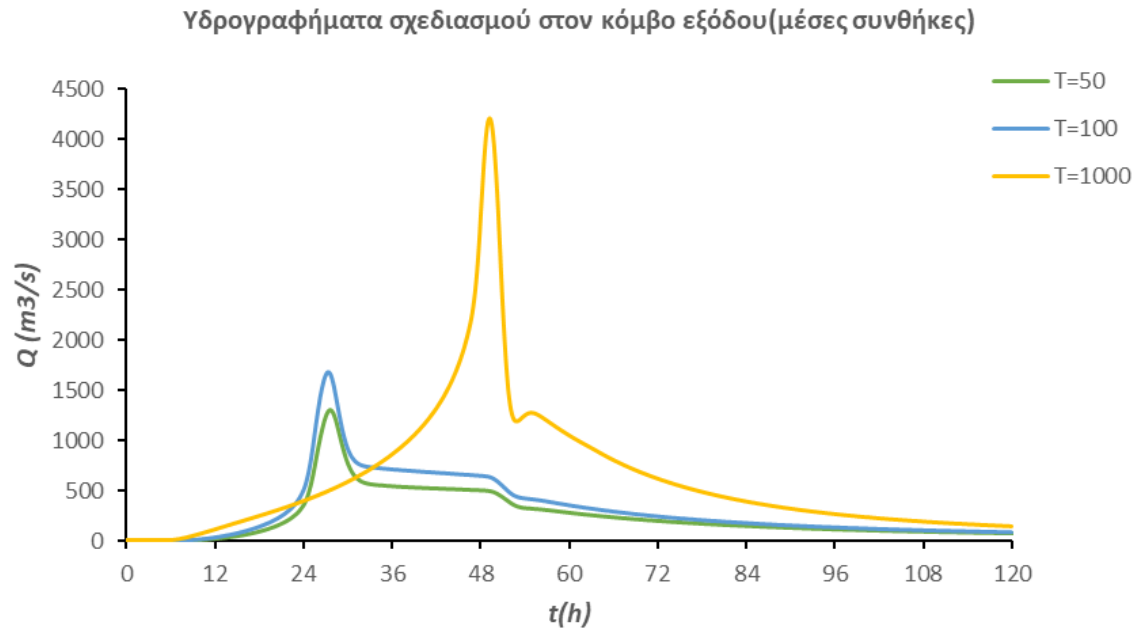
Κωδικός	Λεκάνη απορροής	Κλάδος	Κόμβος εξόδου	Έκταση (km ²)	Μέσο υψόμετρο (m)	Υψόμετρο εξόδου (m)	Μέγιστο μήκος ροής (km)
EL0421FR001001	EL0421FR00001	R21	J1	7.911	93.7	0.00	7.009
EL0421FR001002	EL0421FR00001	R32	J2	7.129	425.6	21.32	6.775
EL0421FR001003	EL0421FR00001	R43	J3	10.090	295.6	29.64	6.285
EL0421FR001004	EL0421FR00001	R54	J4	2.730	301.1	64.10	3.515
EL0421FR001005	EL0421FR00001	R65	J5	18.094	534.7	80.56	9.127
EL0421FR001006	EL0421FR00001	R76	J6	33.488	534.3	120.13	11.238
EL0421FR001007	EL0421FR00001	R87	J7	33.813	672.8	185.95	13.555
EL0421FR001008	EL0421FR00001	R98	J8	8.144	512.5	268.22	4.787
EL0421FR001009	EL0421FR00001	R109	J9	9.958	608.4	295.51	6.779
EL0421FR001010	EL0421FR00001	R1110	J10	28.767	663.2	424.34	9.380
EL0421FR001011	EL0421FR00001	R1211	J11	2.417	482.7	426.50	2.152
EL0421FR001012	EL0421FR00001	R1312	J12	33.856	901.3	426.32	6.322
EL0421FR001013	EL0421FR00001	R1413	J13	34.089	1202.9	426.89	12.889
EL0421FR001014	EL0421FR00001	R1514	J14	11.339	1084.3	506.20	8.665
EL0421FR001015	EL0421FR00001	R1615	J15	20.476	1145.5	535.96	12.593
EL0421FR001016	EL0421FR00001	R1716	J16	15.218	1127.7	649.01	9.891
EL0421FR001017	EL0421FR00001		J17	31.996	1462.5	810.74	12.929
EL0421FR001018	EL0421FR00001		J17	15.194	1219.9	808.97	10.062
EL0421FR001019	EL0421FR00001		J17	21.206	1435.9	801.86	10.446
EL0421FR001020	EL0421FR00001		J15	12.172	1426.7	546.41	7.328
EL0421FR001021	EL0421FR00001		J16	25.705	1191.3	652.68	14.505
EL0421FR001022	EL0421FR00001		J16	24.357	1321.6	649.76	11.793
EL0421FR001023	EL0421FR00001		J14	13.311	1379.3	506.60	7.566
EL0421FR001024	EL0421FR00001		J18	30.280	1087.2	426.91	12.637
EL0421FR001025	EL0421FR00001		J19	69.371	1237.0	539.35	16.158
EL0421FR001026	EL0421FR00001		J9	14.945	850.6	295.09	8.272
EL0421FR001027	EL0421FR00001		J22	17.743	938.5	267.16	9.104
EL0421FR001028	EL0421FR00001		J22	35.533	944.7	267.75	11.586
EL0421FR001029	EL0421FR00001		J6	42.481	864.1	121.14	13.746
EL0421FR001030	EL0421FR00001		J5	20.528	877.9	83.24	10.152
EL0421FR001031	EL0421FR00001		J4	24.205	673.2	63.75	9.683
EL0421FR001032	EL0421FR00001	R2012	J12	56.613	974.8	426.44	13.260
EL0421FR001033	EL0421FR00001	R2120	J21	28.555	798.6	422.90	9.894
EL0421FR001034	EL0421FR00001		J21	57.329	760.0	437.71	10.960
EL0421FR001035	EL0421FR00001		J9	27.474	812.0	295.04	10.815
EL0421FR001036	EL0421FR00001		J23	22.526	552.4	153.47	9.613
EL0421FR001037	EL0421FR00001	R232	J2	26.526	267.1	16.65	10.788
EL0421FR001038	EL0421FR00001	R1918	J18	16.839	712.7	426.70	8.200
EL0421FR001039	EL0421FR00001		J8	11.675	722.0	269.48	6.810
EL0421FR001040	EL0421FR00001	R227	J7	8.830	536.5	187.11	6.277
EL0421FR001041	EL0421FR00001	R1811	J11	11.464	661.9	426.12	4.725



Εικόνα Error! No text of specified style in document.-2 Χάρτης περιοχής μελέτης, στον οποίο απεικονίζεται η σχηματοποίηση των κόμβων και κλάδων του υδρογραφικού δικτύου και των υπολεκανών

Πίνακας Error! No text of specified style in document.-3 Συγκεντρωτικά αποτελέσματα υδρολογικής προσομοίωσης περιοχής μελέτης

Χαρακτηριστικά μεγέθη λεκάνης απορροής Μόρνου			
Έκταση (km ²)	944.37	Υψόμετρο εξόδου (m)	0.0
Αδιαπέρατη επιφάνεια (%)	1.38	Χρόνος συγκέντρωσης (h)	10.46
Μέγιστο μήκος ροής (km)	83.93	Διάρκεια βροχόπτωσης σχεδιασμού (h)	48.00
Μέσο υψόμετρο (m)	906.4	Χρονικό βήμα (h)	0.25
Συγκεντρωτικά αποτελέσματα υδρολογικής προσομοίωσης λεκάνης			
	Ευμενείς συνθήκες	Μέσες συνθήκες	Δυσμενείς συνθήκες
	Ολικό ύψος επιφανειακής βροχής (mm)		
T = 50	214.0	214.0	214.0
T = 100	250.7	250.7	250.7
T = 1000	411.4	411.4	411.4
	Ολικό ύψος πλημμυρικής απορροής (mm)		
T = 50	67.4	124.1	153.0
T = 100	91.3	156.2	201.2
T = 1000	212.9	304.2	349.8
	Συντελεστής απορροής		
T = 50	0.315	0.580	0.715
T = 100	0.364	0.623	0.802
T = 1000	0.518	0.739	0.850
	Πλημμυρική παροχή αιχμής (m³/s)		
T = 50	672.3	1282.5	1410.1
T = 100	949	1652.2	2080.9
T = 1000	3281.2	4180.3	4466.6
	Πλημμυρικός όγκος (hm³)		
T = 50	63.606	117.202	144.484
T = 100	86.228	147.507	189.983
T = 1000	201.082	287.262	330.347
	Συνολική παροχή αιχμής (m³/s)		
T = 50	694	1304.2	1431.8
T = 100	972.6	1675.8	2104.6
T = 1000	3310.5	4209.6	4495.9
	Συνολικός όγκος υδρογραφήματος (hm³)		
T = 50	85.446	138.962	166.218
T = 100	110.164	171.390	213.856
T = 1000	231.364	317.549	360.647



2 Δεδομένα εισόδου και αποτελέσματα υδρολογικού σεναρίου $T=50$

2.1 Αποτελέσματα, νετογραφήματα και υδρογραφήματα σχεδιασμού υπολεκάνων

Υπολεκάνη: EL0421FR001001

Έκταση (KM2) : 7.91

Κατάντη : J1

Μέθοδος Απωλειών: SCS

Ποσοστό αδιαπέρατης επιφάνειας	0
Αριθμός Καμπύλης Απορροής-CN	72.33
Αρχικές Απώλειες	19.44

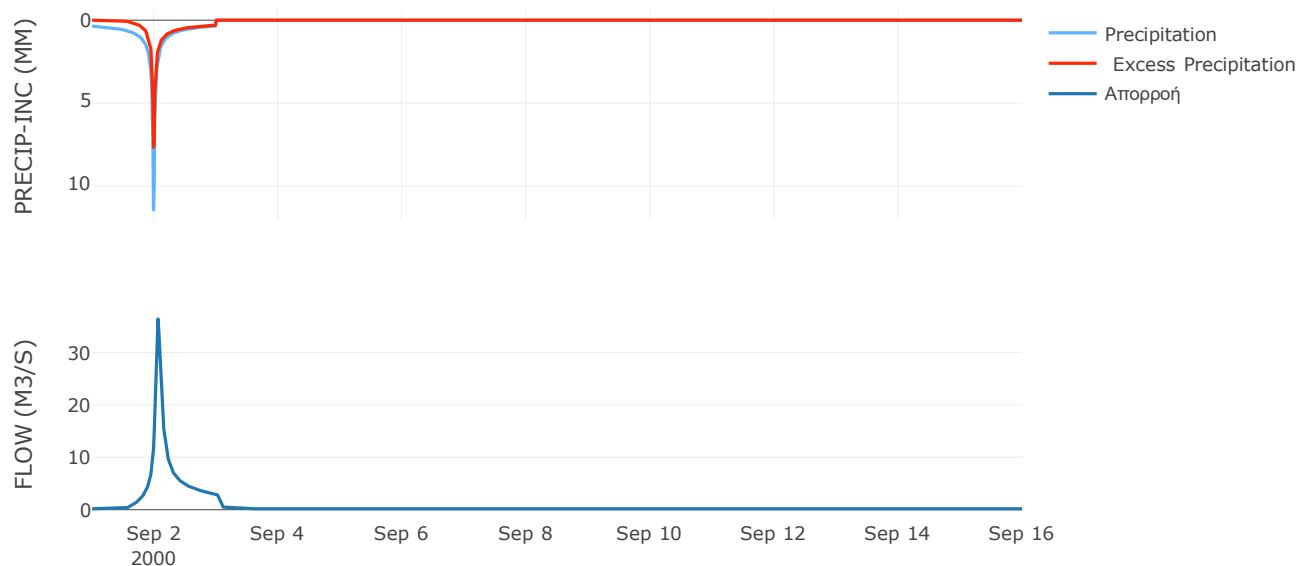
Μέθοδος Μετασχηματισμού: SCS

Χρόνος Υστέρησης	75.93
------------------	-------

Αποτελέσματα:
EL0421FR001001

Παροχή αιχμής (M3/S)	36.39
Χρονική στιγμή αιχμής	02Sep2000, 01:30
Όγκος (MM)	137.97
Όγκος βροχόπτωσης (M3)	1.5E6
Όγκος απωλειών (M3)	6.43E5
Ενεργός Όγκος (M3)	8.56E5
Όγκος άμεσης απορροής (M3)	8.56E5
Όγκος βασικής απορροής (M3)	2.36E5

Βροχόπτωση και Απορροή



Υπολεκάνη: EL0421FR001002

Έκταση (KM2) : 7.13

Κατάντη : J2

Μέθοδος Απωλειών: SCS

Ποσοστό αδιαπέρατης επιφάνειας	0
Αριθμός Καμπύλης Απορροής-CN	56.46
Αρχικές Απώλειες	39.18

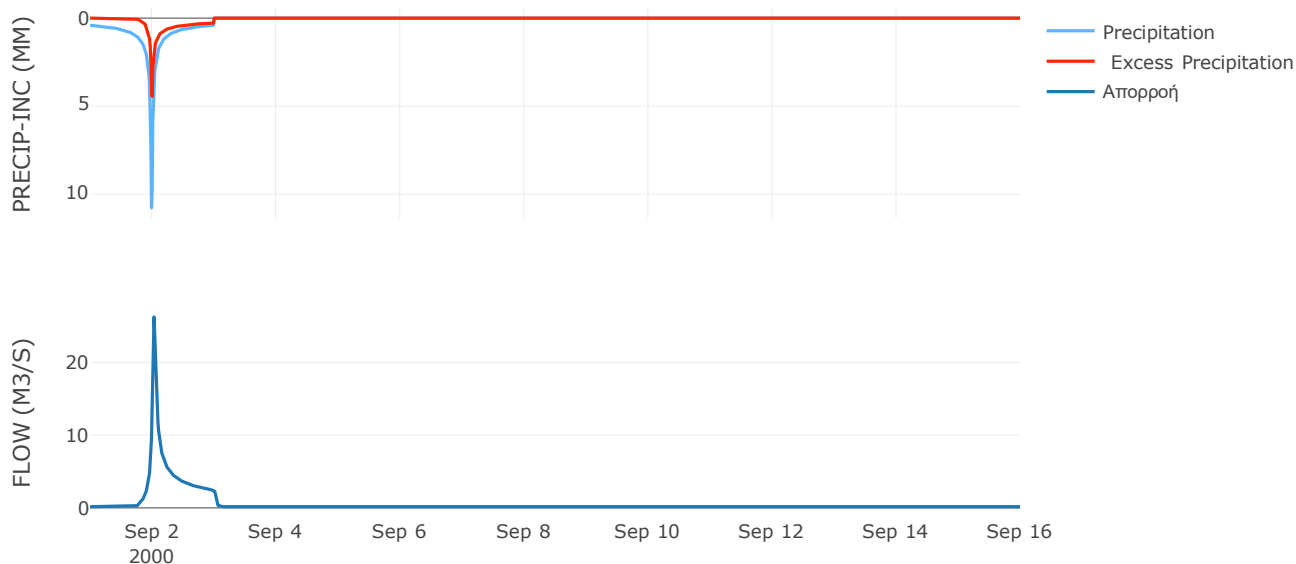
Μέθοδος Μετασχηματισμού: SCS

Χρόνος Υστέρησης	35
------------------	----

Αποτελέσματα:
EL0421FR001002

Παροχή αιχμής (M3/S)	26.26
Χρονική στιγμή αιχμής	02Sep2000, 00:45
Όγκος (MM)	103.29
Όγκος βροχόπτωσης (M3)	1.44E6
Όγκος απωλειών (M3)	9.12E5
Ενεργός Όγκος (M3)	5.24E5
Όγκος άμεσης απορροής (M3)	5.24E5
Όγκος βασικής απορροής (M3)	2.12E5

Βροχόπτωση και Απορροή



Υπολεκάνη: EL0421FR001003

Έκταση (KM2) : 10.09

Κατάντη : J3

Μέθοδος Απωλειών: SCS

Ποσοστό αδιαπέρατης επιφάνειας	0
Αριθμός Καμπύλης Απορροής-CN	63.24
Αρχικές Απώλειες	29.53

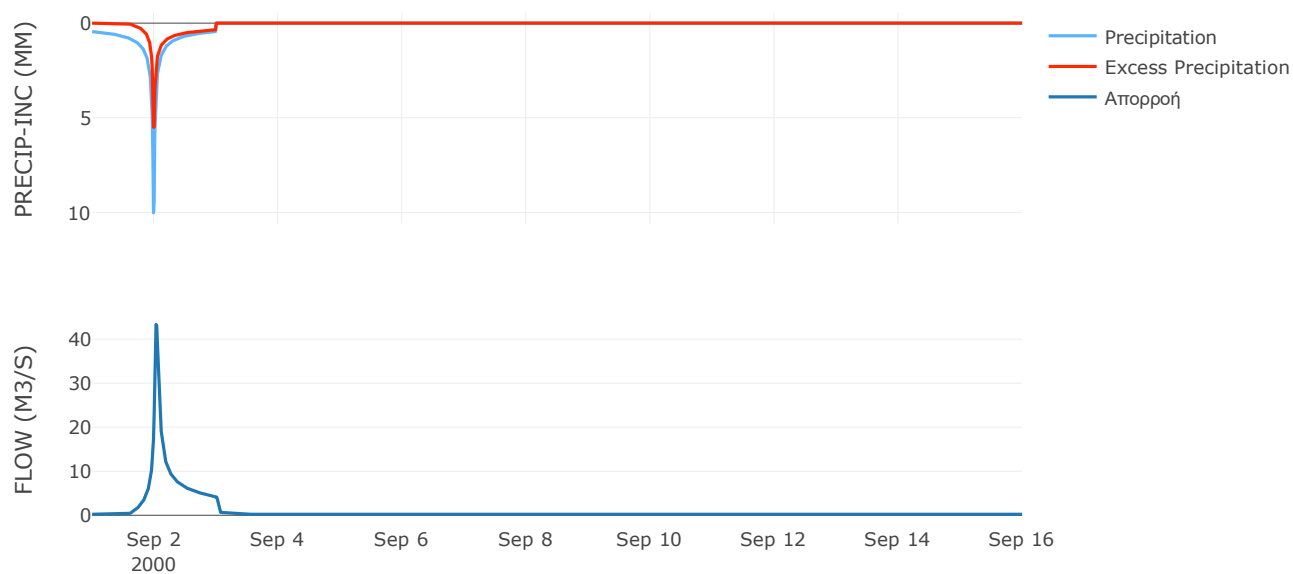
Μέθοδος Μετασχηματισμού: SCS

Χρόνος Υστέρησης	45.82
------------------	-------

Αποτελέσματα:
EL0421FR001003

Παροχή αιχμής (M3/S)	43.33
Χρονική στιγμή αιχμής	02Sep2000, 00:45
Όγκος (MM)	128.53
Όγκος βροχόπτωσης (M3)	2.11E6
Όγκος απωλειών (M3)	1.12E6
Ενεργός Όγκος (M3)	9.96E5
Όγκος άμεσης απορροής (M3)	9.96E5
Όγκος βασικής απορροής (M3)	3.01E5

Βροχόπτωση και Απορροή



Υπολεκάνη: EL0421FR001004

Έκταση (KM2) : 2.73

Κατάντη : J4

Μέθοδος Απωλειών: SCS

Ποσοστό αδιαπέρατης επιφάνειας	0
Αριθμός Καμπύλης Απορροής-CN	70.81
Αρχικές Απώλειες	20.94

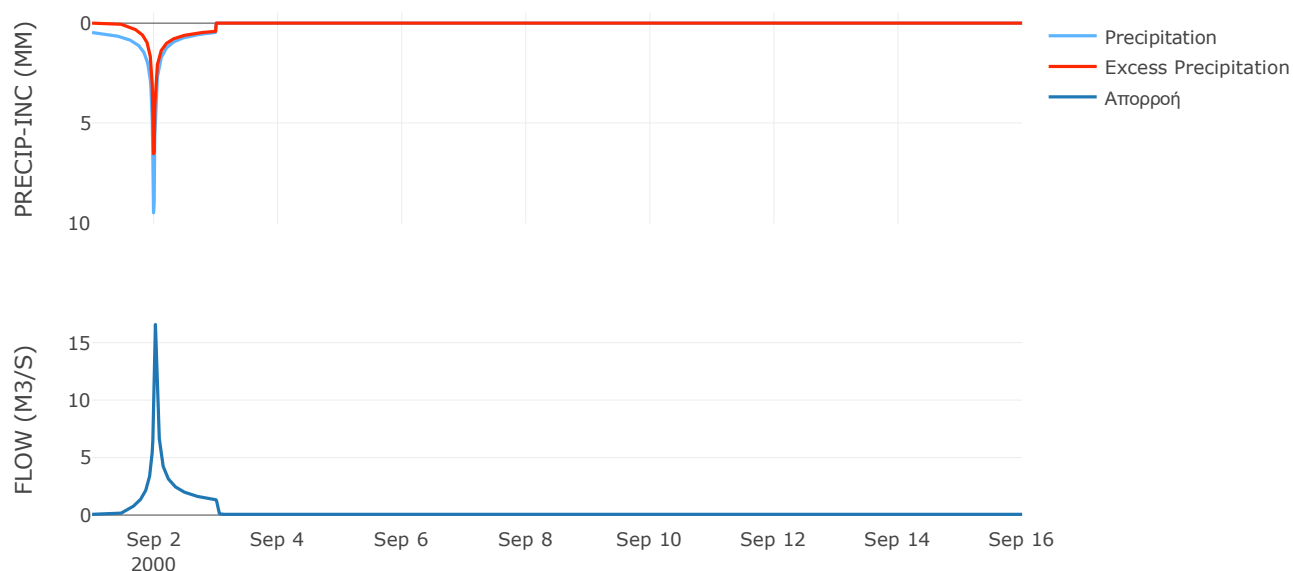
Μέθοδος Μετασχηματισμού: SCS

Χρόνος Υστέρησης	26.06
------------------	-------

Αποτελέσματα:
EL0421FR001004

Παροχή αιχμής (M3/S)	16.57
Χρονική στιγμή αιχμής	02Sep2000, 00:30
Όγκος (MM)	154.29
Όγκος βροχόπτωσης (M3)	5.82E5
Όγκος απωλειών (M3)	2.42E5
Ενεργός Όγκος (M3)	3.4E5
Όγκος άμεσης απορροής (M3)	3.4E5
Όγκος βασικής απορροής (M3)	81369.36

Βροχόπτωση και Απορροή



Υπολεκάνη: EL0421FR001005

Έκταση (KM2) : 18.09

Κατάντη : J5

Μέθοδος Απωλειών: SCS

Ποσοστό αδιαπέρατης επιφάνειας	0
Αριθμός Καμπύλης Απορροής-CN	60.08
Αρχικές Απώλειες	33.75

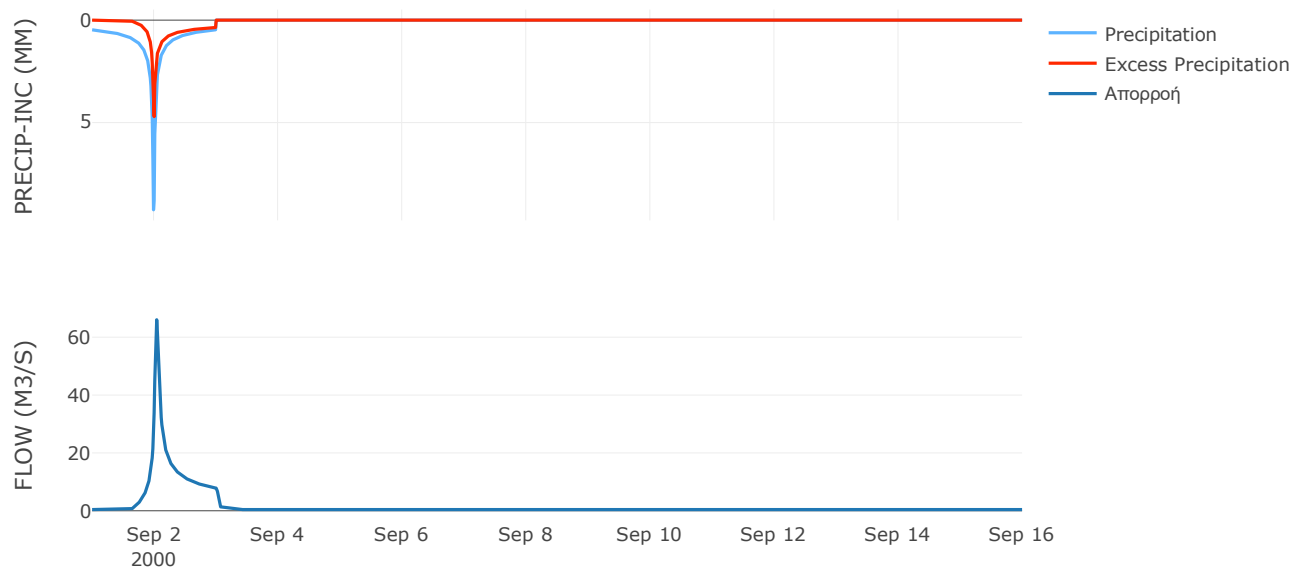
Μέθοδος Μετασχηματισμού: SCS

Χρόνος Υστέρησης	48.66
------------------	-------

Αποτελέσματα:
EL0421FR001005

Παροχή αιχμής (M3/S)	66.04
Χρονική στιγμή αιχμής	02Sep2000, 01:00
Όγκος (MM)	121.53
Όγκος βροχόπτωσης (M3)	3.84E6
Όγκος απωλειών (M3)	2.18E6
Ενεργός Όγκος (M3)	1.66E6
Όγκος άμεσης απορροής (M3)	1.66E6
Όγκος βασικής απορροής (M3)	5.39E5

Βροχόπτωση και Απορροή



Υπολεκάνη: EL0421FR001006

Έκταση (KM2) : 33.49

Κατάντη : J6

Μέθοδος Απωλειών: SCS

Ποσοστό αδιαπέρατης επιφάνειας	0
Αριθμός Καμπύλης Απορροής-CN	71.54
Αρχικές Απώλειες	20.21

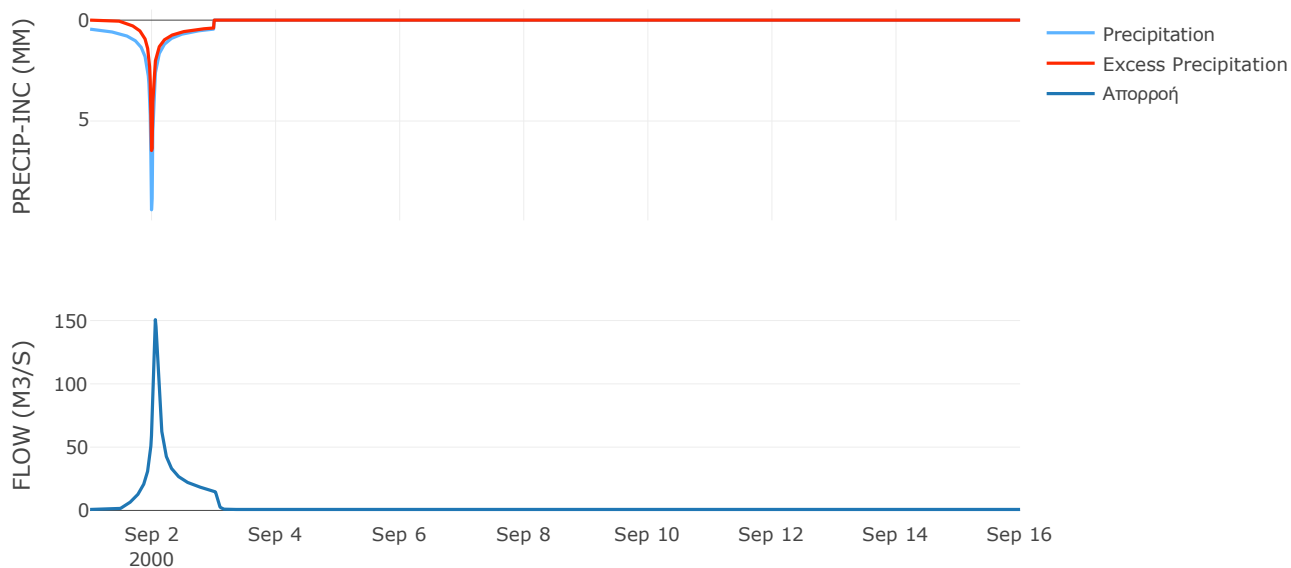
Μέθοδος Μετασχηματισμού: SCS

Χρόνος Υστέρησης	66.33
------------------	-------

Αποτελέσματα:
EL0421FR001006

Παροχή αιχμής (M3/S)	150.69
Χρονική στιγμή αιχμής	02Sep2000, 01:15
Όγκος (MM)	149.53
Όγκος βροχόπτωσης (M3)	6.87E6
Όγκος απωλειών (M3)	2.87E6
Ενεργός Όγκος (M3)	4.01E6
Όγκος άμεσης απορροής (M3)	4.01E6
Όγκος βασικής απορροής (M3)	9.98E5

Βροχόπτωση και Απορροή



Υπολεκάνη: EL0421FR001007

Έκταση (KM2) : 33.81

Κατάντη : J7

Μέθοδος Απωλειών: SCS

Ποσοστό αδιαπέρατης επιφάνειας	0
Αριθμός Καμπύλης Απορροής-CN	81.8
Αρχικές Απώλειες	11.3

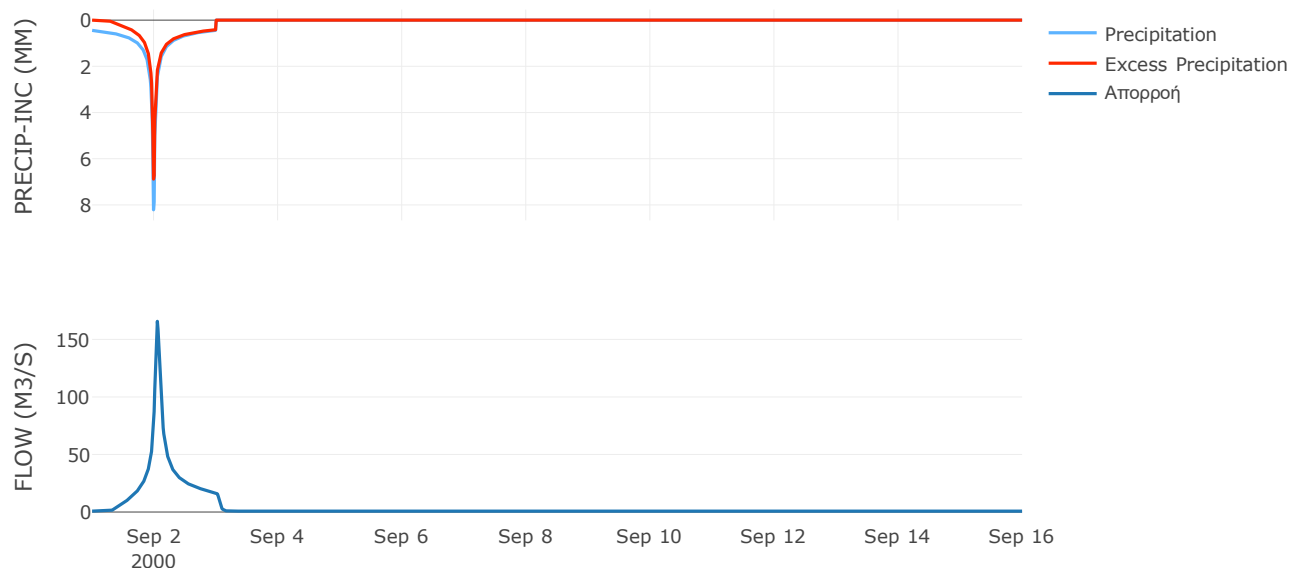
Μέθοδος Μετασχηματισμού: SCS

Χρόνος Υστέρησης	66.68
------------------	-------

Αποτελέσματα:
EL0421FR001007

Παροχή αιχμής (M3/S)	165.73
Χρονική στιγμή αιχμής	02Sep2000, 01:15
Όγκος (MM)	170.62
Όγκος βροχόπτωσης (M3)	6.61E6
Όγκος απωλειών (M3)	1.84E6
Ενεργός Όγκος (M3)	4.76E6
Όγκος άμεσης απορροής (M3)	4.76E6
Όγκος βασικής απορροής (M3)	1.01E6

Βροχόπτωση και Απορροή



Υπολεκάνη: EL0421FR001008

Έκταση (KM2) : 8.14

Κατάντη : J8

Μέθοδος Απωλειών: SCS

Ποσοστό αδιαπέρατης επιφάνειας	0
Αριθμός Καμπύλης Απορροής-CN	76.81
Αρχικές Απώλειες	15.34

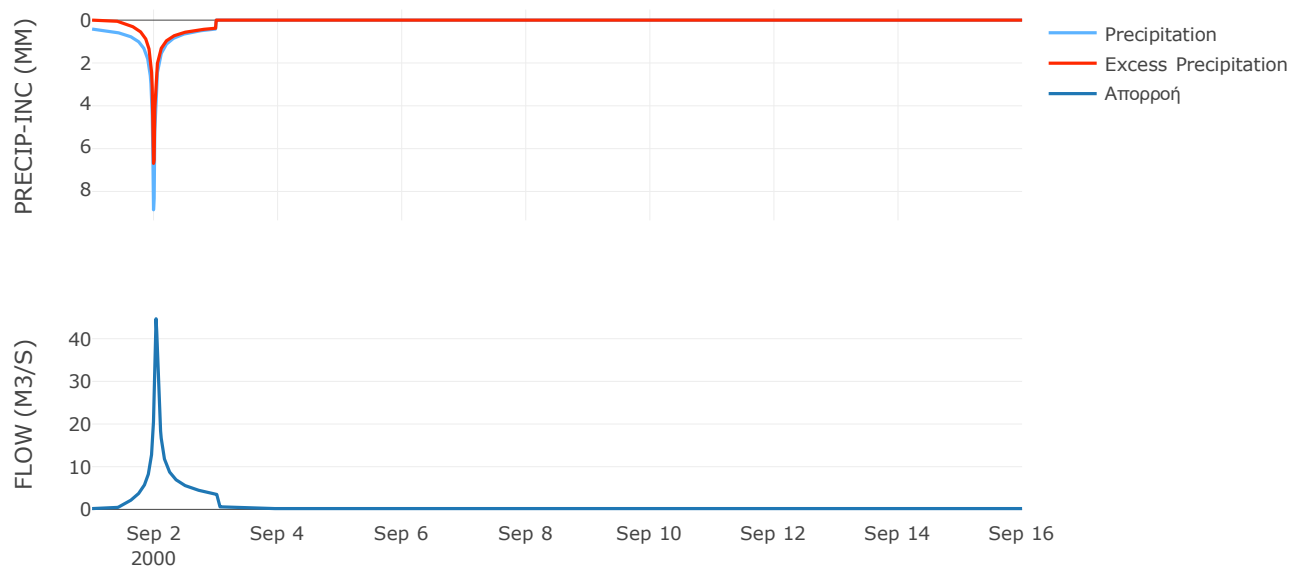
Μέθοδος Μετασχηματισμού: SCS

Χρόνος Υστέρησης	40.19
------------------	-------

Αποτελέσματα:
EL0421FR001008

Παροχή αιχμής (M3/S)	44.68
Χρονική στιγμή αιχμής	02Sep2000, 00:45
Όγκος (MM)	153.5
Όγκος βροχόπτωσης (M3)	1.57E6
Όγκος απωλειών (M3)	5.61E5
Ενεργός Όγκος (M3)	1.01E6
Όγκος άμεσης απορροής (M3)	1.01E6
Όγκος βασικής απορροής (M3)	2.43E5

Βροχόπτωση και Απορροή



Υπολεκάνη: EL0421FR001009

Έκταση (KM2) : 9.96

Κατάντη : J9

Μέθοδος Απωλειών: SCS

Ποσοστό αδιαπέρατης επιφάνειας	0
Αριθμός Καμπύλης Απορροής-CN	80.24
Αρχικές Απώλειες	12.51

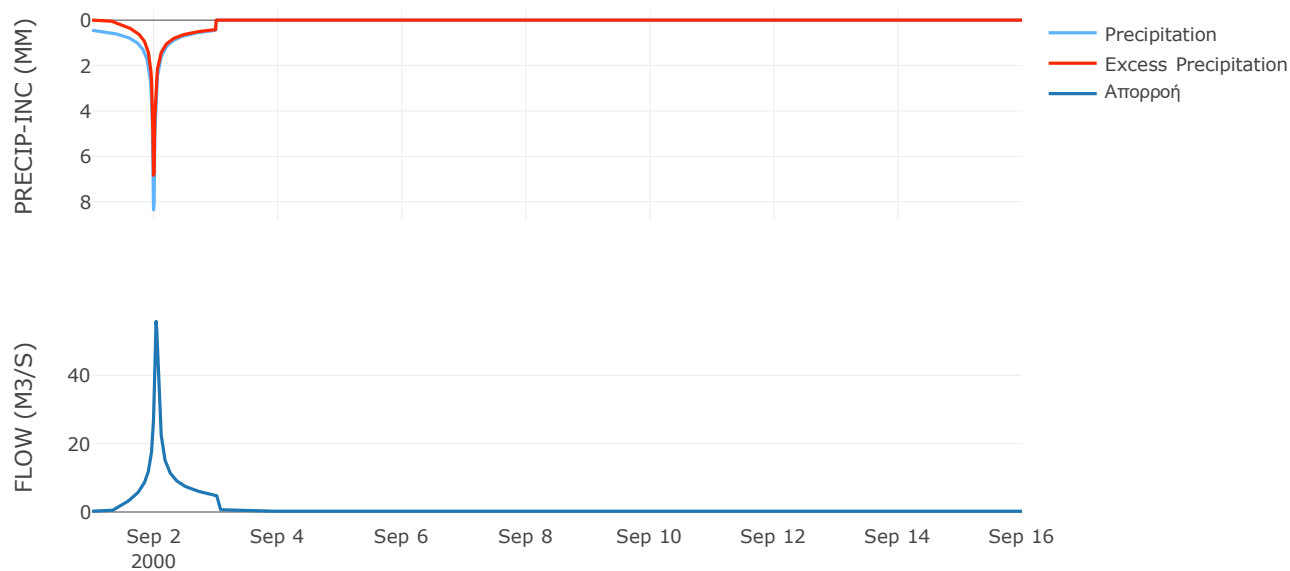
Μέθοδος Μετασχηματισμού: SCS

Χρόνος Υστέρησης	43.52
------------------	-------

Αποτελέσματα:
EL0421FR001009

Παροχή αιχμής (M3/S)	55.8
Χρονική στιγμή αιχμής	02Sep2000, 00:45
Όγκος (MM)	168.84
Όγκος βροχόπτωσης (M3)	1.98E6
Όγκος απωλειών (M3)	5.91E5
Ενεργός Όγκος (M3)	1.38E6
Όγκος άμεσης απορροής (M3)	1.38E6
Όγκος βασικής απορροής (M3)	2.97E5

Βροχόπτωση και Απορροή



Υπολεκάνη: EL0421FR001010

Έκταση (KM2) : 28.77

Κατάντη : J10 Res1

Μέθοδος Απωλειών: SCS

Ποσοστό αδιαπέρατης επιφάνειας	0.14
Αριθμός Καμπύλης Απορροής-CN	80.01
Αρχικές Απώλειες	12.69

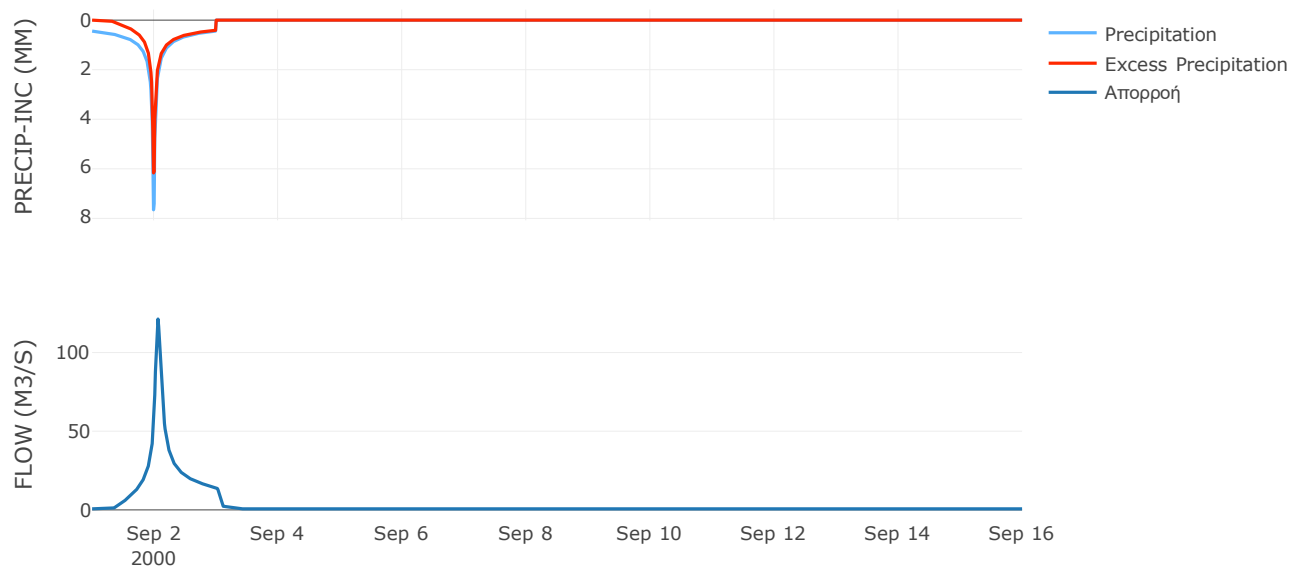
Μέθοδος Μετασχηματισμού: SCS

Χρόνος Υστέρησης	77.62
------------------	-------

Αποτελέσματα:
EL0421FR001010

Παροχή αιχμής (M3/S)	121.27
Χρονική στιγμή αιχμής	02Sep2000, 01:30
Όγκος (MM)	161.08
Όγκος βροχόπτωσης (M3)	5.48E6
Όγκος απωλειών (M3)	1.71E6
Ενεργός Όγκος (M3)	3.78E6
Όγκος άμεσης απορροής (M3)	3.78E6
Όγκος βασικής απορροής (M3)	8.57E5

Βροχόπτωση και Απορροή



Υπολεκάνη: EL0421FR001011

Έκταση (KM2) : 2.42

Κατάντη : J11

Μέθοδος Απωλειών: SCS

Ποσοστό αδιαπέρατης επιφάνειας	0.38
Αριθμός Καμπύλης Απορροής-CN	79.08
Αρχικές Απώλειες	13.44

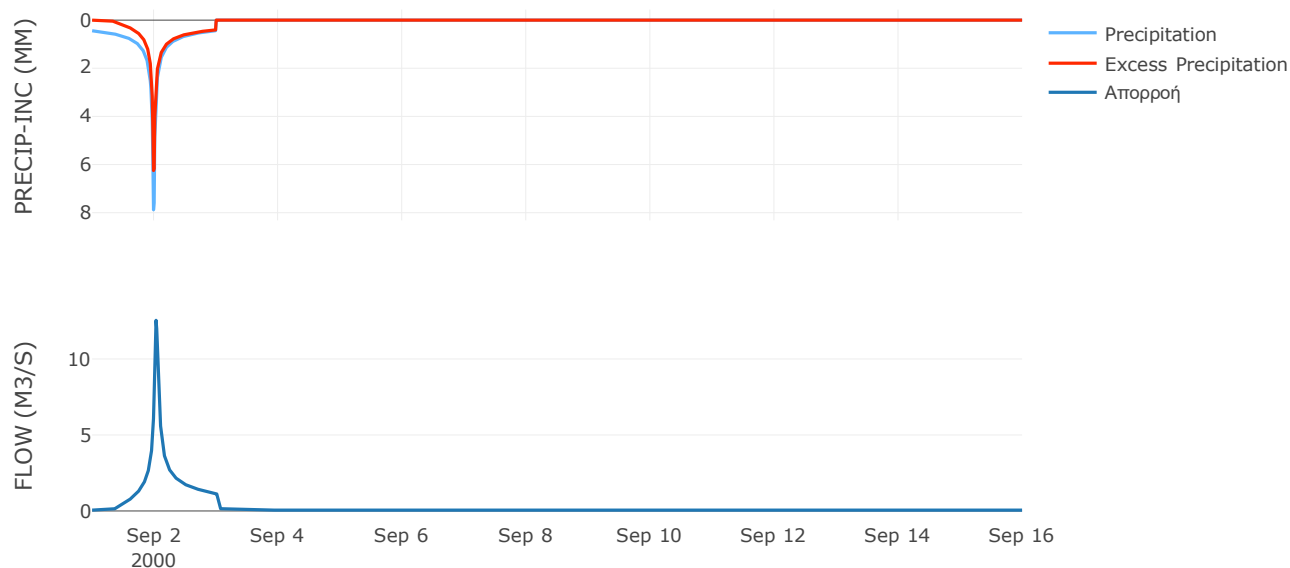
Μέθοδος Μετασχηματισμού: SCS

Χρόνος Υστέρησης	42.55
------------------	-------

Αποτελέσματα:
EL0421FR001011

Παροχή αιχμής (M3/S)	12.54
Χρονική στιγμή αιχμής	02Sep2000, 00:45
Όγκος (MM)	159.74
Όγκος βροχόπτωσης (M3)	4.64E5
Όγκος απωλειών (M3)	1.5E5
Ενεργός Όγκος (M3)	3.14E5
Όγκος άμεσης απορροής (M3)	3.14E5
Όγκος βασικής απορροής (M3)	72052.42

Βροχόπτωση και Απορροή



Υπολεκάνη: EL0421FR001012

Έκταση (KM2) : 33.86

Κατάντη : J12

Μέθοδος Απωλειών: SCS

Ποσοστό αδιαπέρατης επιφάνειας	0.09
Αριθμός Καμπύλης Απορροής-CN	62.82
Αρχικές Απώλειες	30.06

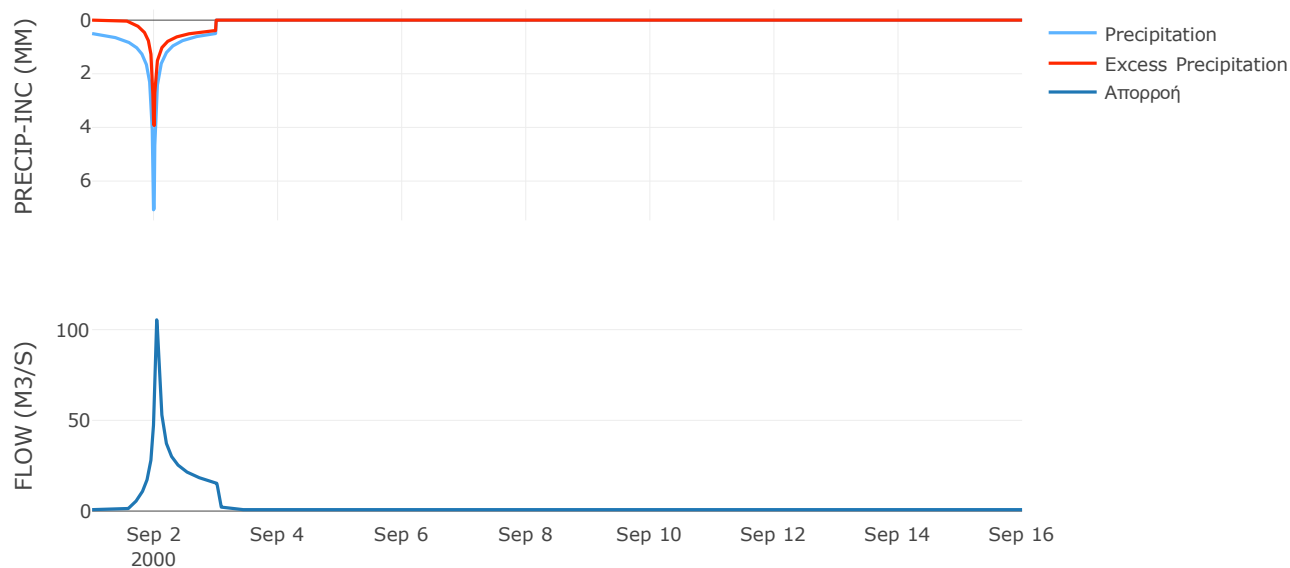
Μέθοδος Μετασχηματισμού: SCS

Χρόνος Υστέρησης	50.75
------------------	-------

Αποτελέσματα:
EL0421FR001012

Παροχή αιχμής (M3/S)	105.41
Χρονική στιγμή αιχμής	02Sep2000, 01:00
Όγκος (MM)	121.91
Όγκος βροχόπτωσης (M3)	6.85E6
Όγκος απωλειών (M3)	3.73E6
Ενεργός Όγκος (M3)	3.12E6
Όγκος άμεσης απορροής (M3)	3.12E6
Όγκος βασικής απορροής (M3)	1.01E6

Βροχόπτωση και Απορροή



Υπολεκάνη: EL0421FR001013

Έκταση (KM2) : 34.09

Κατάντη : J13

Μέθοδος Απωλειών: SCS

Ποσοστό αδιαπέρατης επιφάνειας	0
Αριθμός Καμπύλης Απορροής-CN	63.6
Αρχικές Απώλειες	29.07

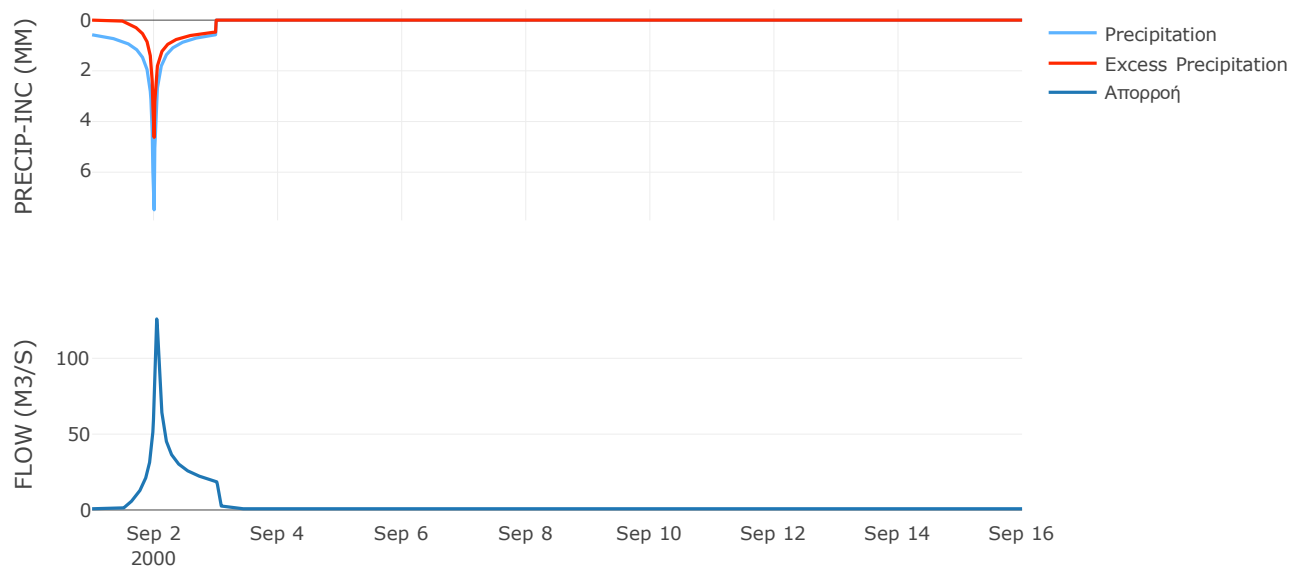
Μέθοδος Μετασχηματισμού: SCS

Χρόνος Υστέρησης	51.72
------------------	-------

Αποτελέσματα:
EL0421FR001013

Παροχή αιχμής (M3/S)	125.92
Χρονική στιγμή αιχμής	02Sep2000, 01:00
Όγκος (MM)	144.2
Όγκος βροχόπτωσης (M3)	7.75E6
Όγκος απωλειών (M3)	3.85E6
Ενεργός Όγκος (M3)	3.9E6
Όγκος άμεσης απορροής (M3)	3.9E6
Όγκος βασικής απορροής (M3)	1.02E6

Βροχόπτωση και Απορροή



Υπολεκάνη: EL0421FR001014

Έκταση (KM2) : 11.34

Κατάντη : J14

Μέθοδος Απωλειών: SCS

Ποσοστό αδιαπέρατης επιφάνειας	0
Αριθμός Καμπύλης Απορροής-CN	73.38
Αρχικές Απώλειες	18.43

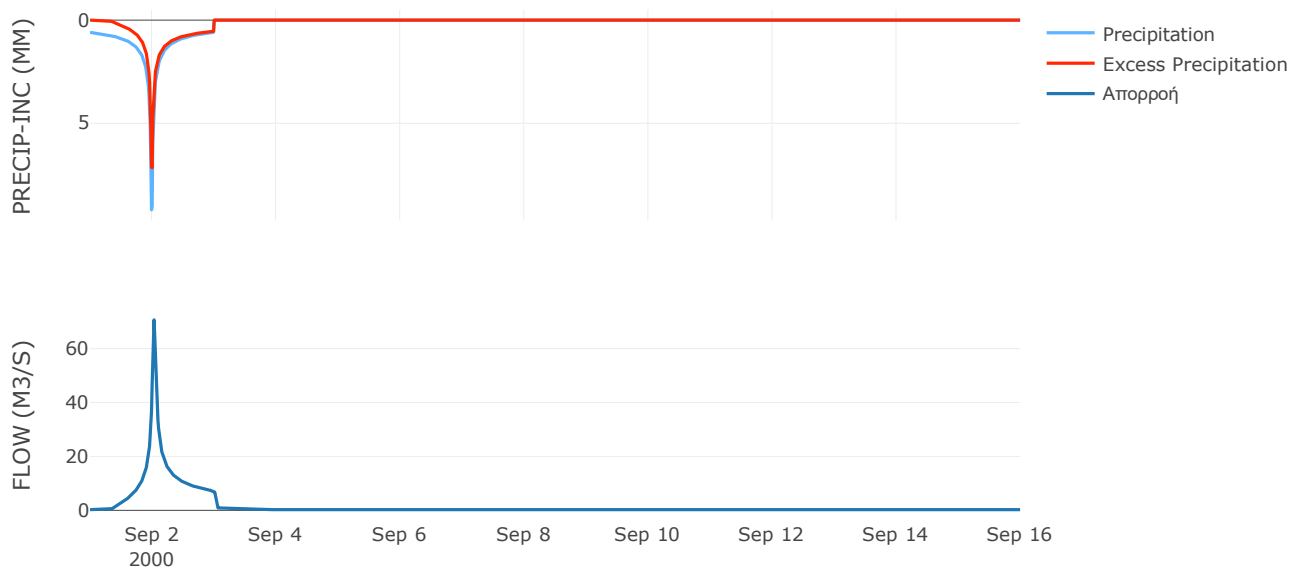
Μέθοδος Μετασχηματισμού: SCS

Χρόνος Υστέρησης	37.14
------------------	-------

Αποτελέσματα:
EL0421FR001014

Παροχή αιχμής (M3/S)	70.67
Χρονική στιγμή αιχμής	02Sep2000, 00:45
Όγκος (MM)	191.83
Όγκος βροχόπτωσης (M3)	2.79E6
Όγκος απωλειών (M3)	9.53E5
Ενεργός Όγκος (M3)	1.84E6
Όγκος άμεσης απορροής (M3)	1.84E6
Όγκος βασικής απορροής (M3)	3.38E5

Βροχόπτωση και Απορροή



Υπολεκάνη: EL0421FR001015

Έκταση (KM2) : 20.48

Κατάντη : J15

Μέθοδος Απωλειών: SCS

Ποσοστό αδιαπέρατης επιφάνειας	0
Αριθμός Καμπύλης Απορροής-CN	71.2
Αρχικές Απώλειες	20.55

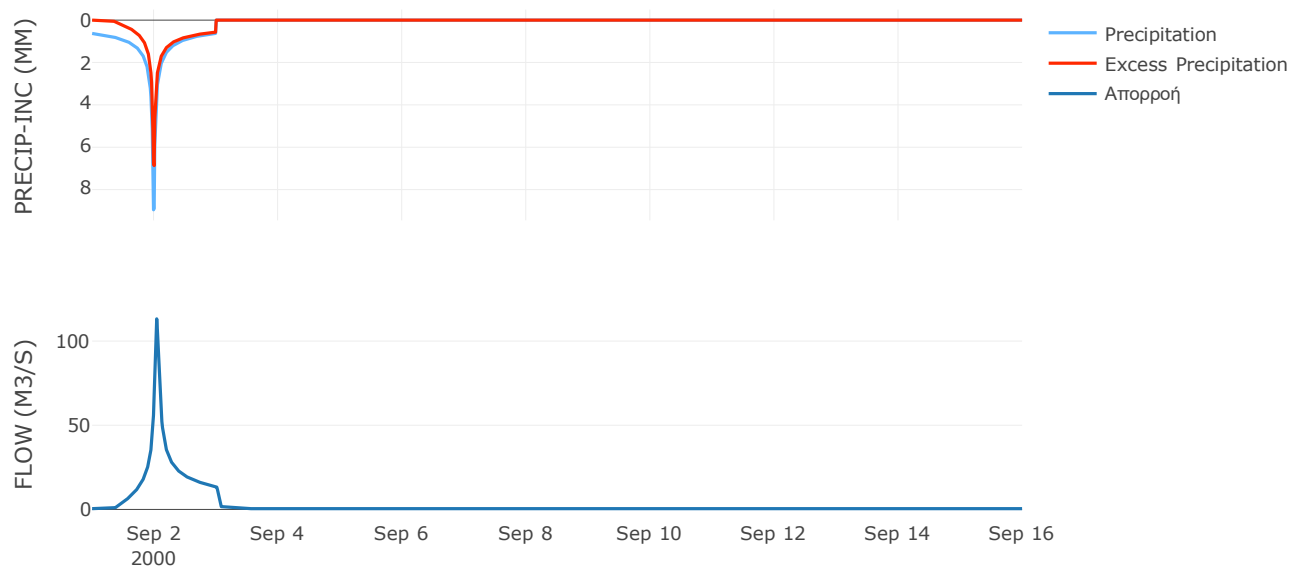
Μέθοδος Μετασχηματισμού: SCS

Χρόνος Υστέρησης	50.53
------------------	-------

Αποτελέσματα:
EL0421FR001015

Παροχή αιχμής (M3/S)	113.18
Χρονική στιγμή αιχμής	02Sep2000, 01:00
Όγκος (MM)	192.41
Όγκος βροχόπτωσης (M3)	5.21E6
Όγκος απωλειών (M3)	1.88E6
Ενεργός Όγκος (M3)	3.33E6
Όγκος άμεσης απορροής (M3)	3.33E6
Όγκος βασικής απορροής (M3)	6.1E5

Βροχόπτωση και Απορροή



Υπολεκάνη: EL0421FR001016

Έκταση (KM2) : 15.22

Κατάντη : J16

Μέθοδος Απωλειών: SCS

Ποσοστό αδιαπέρατης επιφάνειας	0
Αριθμός Καμπύλης Απορροής-CN	70.19
Αρχικές Απώλειες	21.58

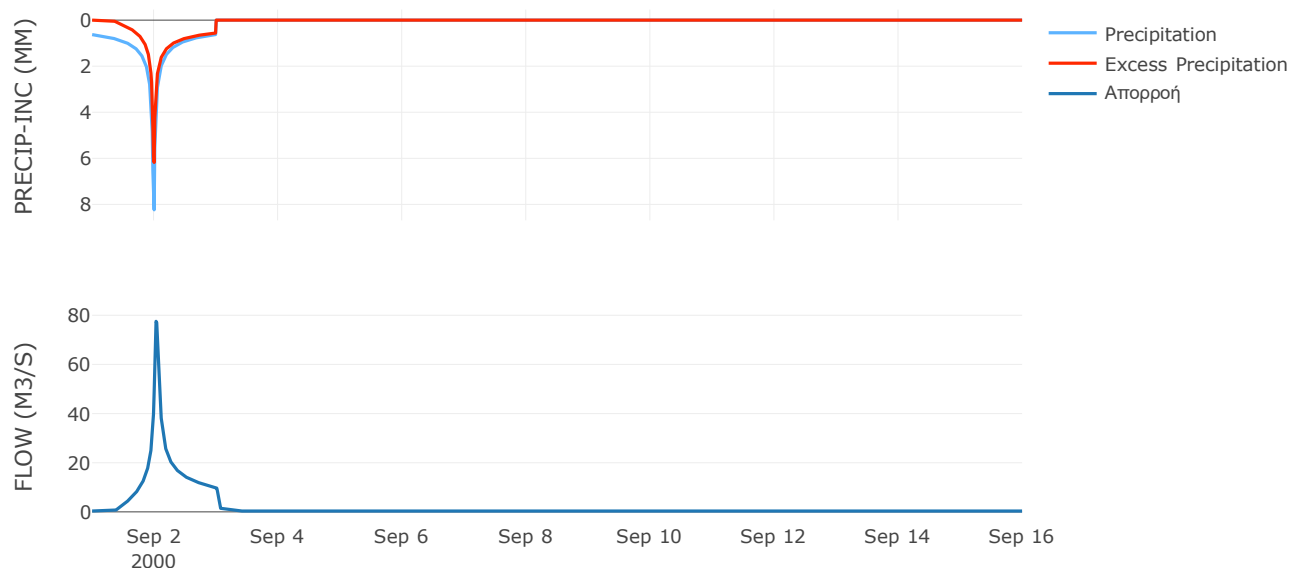
Μέθοδος Μετασχηματισμού: SCS

Χρόνος Υστέρησης	46.87
------------------	-------

Αποτελέσματα:
EL0421FR001016

Παροχή αιχμής (M3/S)	77.53
Χρονική στιγμή αιχμής	02Sep2000, 00:45
Όγκος (MM)	183.03
Όγκος βροχόπτωσης (M3)	3.77E6
Όγκος απωλειών (M3)	1.44E6
Ενεργός Όγκος (M3)	2.33E6
Όγκος άμεσης απορροής (M3)	2.33E6
Όγκος βασικής απορροής (M3)	4.54E5

Βροχόπτωση και Απορροή



Υπολεκάνη: EL0421FR001017

Έκταση (KM2) : 32

Κατάντη : J17

Μέθοδος Απωλειών: SCS

Ποσοστό αδιαπέρατης επιφάνειας	0
Αριθμός Καμπύλης Απορροής-CN	77
Αρχικές Απώλειες	15.17

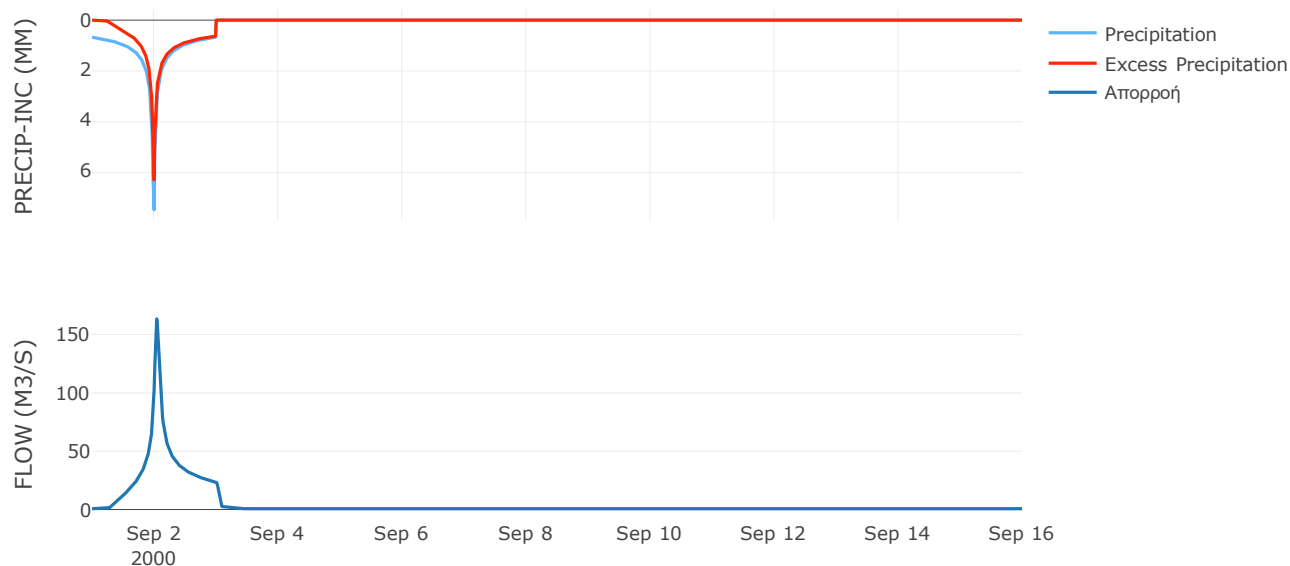
Μέθοδος Μετασχηματισμού: SCS

Χρόνος Υστέρησης	55.37
------------------	-------

Αποτελέσματα:
EL0421FR001017

Παροχή αιχμής (M3/S)	163.37
Χρονική στιγμή αιχμής	02Sep2000, 01:00
Όγκος (MM)	207.89
Όγκος βροχόπτωσης (M3)	8.02E6
Όγκος απωλειών (M3)	2.32E6
Ενεργός Όγκος (M3)	5.7E6
Όγκος άμεσης απορροής (M3)	5.7E6
Όγκος βασικής απορροής (M3)	9.54E5

Βροχόπτωση και Απορροή



Υπολεκάνη: EL0421FR001018

Έκταση (KM2) : 15.19

Κατάντη : J17

Μέθοδος Απωλειών: SCS

Ποσοστό αδιαπέρατης επιφάνειας	0
Αριθμός Καμπύλης Απορροής-CN	66.09
Αρχικές Απώλειες	26.06

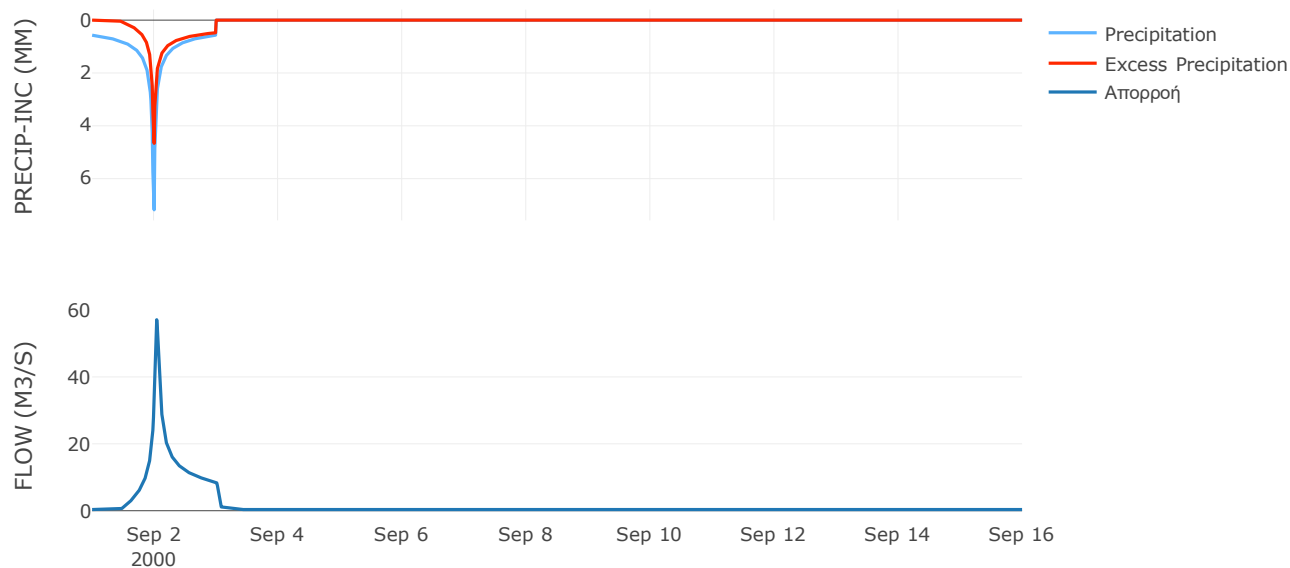
Μέθοδος Μετασχηματισμού: SCS

Χρόνος Υστέρησης	50.99
------------------	-------

Αποτελέσματα:
EL0421FR001018

Παροχή αιχμής (M3/S)	57.1
Χρονική στιγμή αιχμής	02Sep2000, 01:00
Όγκος (MM)	147.37
Όγκος βροχόπτωσης (M3)	3.37E6
Όγκος απωλειών (M3)	1.58E6
Ενεργός Όγκος (M3)	1.79E6
Όγκος άμεσης απορροής (M3)	1.79E6
Όγκος βασικής απορροής (M3)	4.53E5

Βροχόπτωση και Απορροή



Υπολεκάνη: EL0421FR001019

Έκταση (KM2) : 21.21

Κατάντη : J17

Μέθοδος Απωλειών: SCS

Ποσοστό αδιαπέρατης επιφάνειας	0
Αριθμός Καμπύλης Απορροής-CN	64.14
Αρχικές Απώλειες	28.4

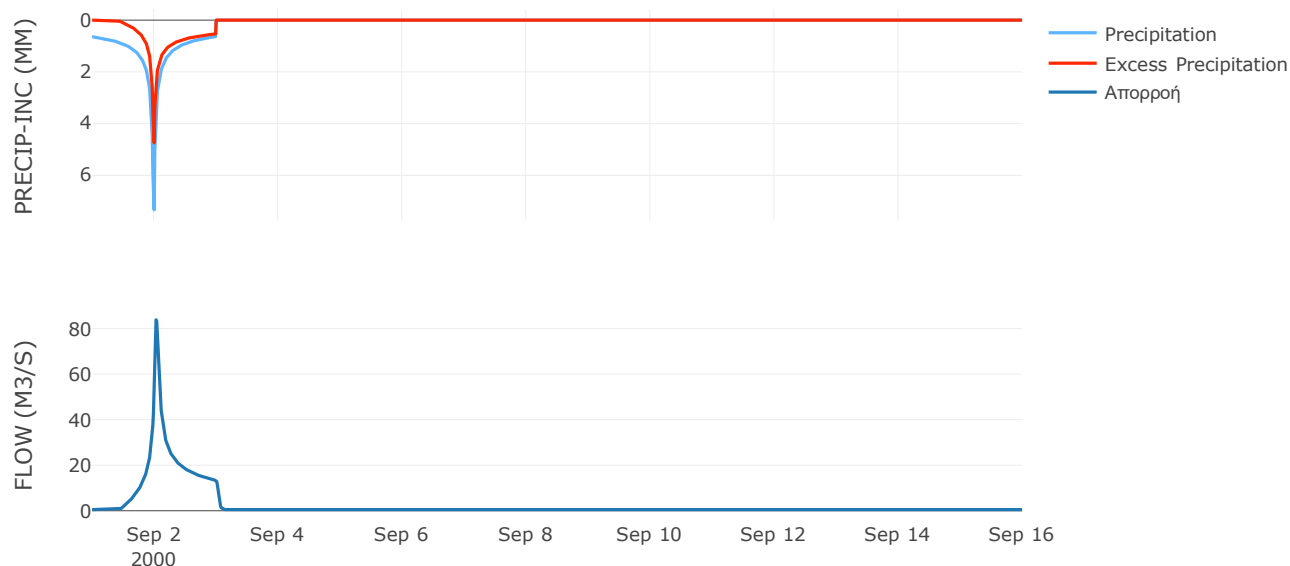
Μέθοδος Μετασχηματισμού: SCS

Χρόνος Υστέρησης	45.6
------------------	------

Αποτελέσματα:
EL0421FR001019

Παροχή αιχμής (M3/S)	83.81
Χρονική στιγμή αιχμής	02Sep2000, 00:45
Όγκος (MM)	157.03
Όγκος βροχόπτωσης (M3)	5.1E6
Όγκος απωλειών (M3)	2.41E6
Ενεργός Όγκος (M3)	2.7E6
Όγκος άμεσης απορροής (M3)	2.7E6
Όγκος βασικής απορροής (M3)	6.32E5

Βροχόπτωση και Απορροή



Υπολεκάνη: EL0421FR001020

Έκταση (KM2) : 12.17

Κατάντη : J15

Μέθοδος Απωλειών: SCS

Ποσοστό αδιαπέρατης επιφάνειας	0
Αριθμός Καμπύλης Απορροής-CN	58.23
Αρχικές Απώλειες	36.45

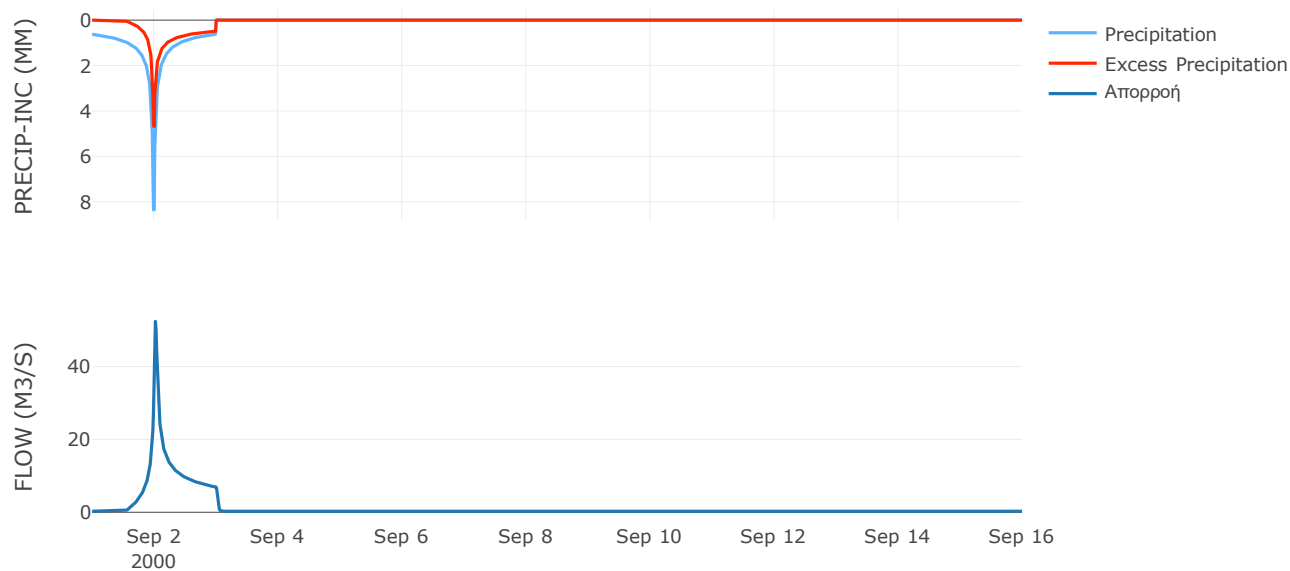
Μέθοδος Μετασχηματισμού: SCS

Χρόνος Υστέρησης	28.36
------------------	-------

Αποτελέσματα:
EL0421FR001020

Παροχή αιχμής (M3/S)	52.37
Χρονική στιγμή αιχμής	02Sep2000, 00:30
Όγκος (MM)	142.82
Όγκος βροχόπτωσης (M3)	3.01E6
Όγκος απωλειών (M3)	1.63E6
Ενεργός Όγκος (M3)	1.38E6
Όγκος άμεσης απορροής (M3)	1.38E6
Όγκος βασικής απορροής (M3)	3.63E5

Βροχόπτωση και Απορροή



Υπολεκάνη: EL0421FR001021

Έκταση (KM2) : 25.71

Κατάντη : J16

Μέθοδος Απωλειών: SCS

Ποσοστό αδιαπέρατης επιφάνειας	0
Αριθμός Καμπύλης Απορροής-CN	79.09
Αρχικές Απώλειες	13.43

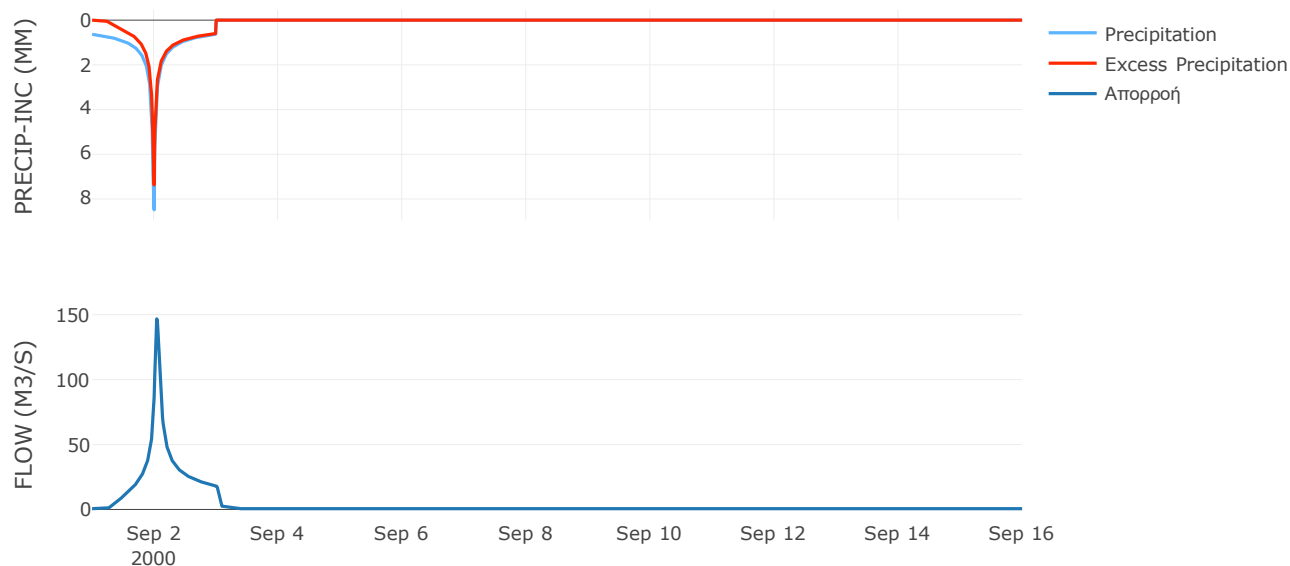
Μέθοδος Μετασχηματισμού: SCS

Χρόνος Υστέρησης	60.98
------------------	-------

Αποτελέσματα:
EL0421FR001021

Παροχή αιχμής (M3/S)	146.76
Χρονική στιγμή αιχμής	02Sep2000, 01:00
Όγκος (MM)	215.86
Όγκος βροχόπτωσης (M3)	6.47E6
Όγκος απωλειών (M3)	1.69E6
Ενεργός Όγκος (M3)	4.78E6
Όγκος άμεσης απορροής (M3)	4.78E6
Όγκος βασικής απορροής (M3)	7.66E5

Βροχόπτωση και Απορροή



Υπολεκάνη: EL0421FR001022

Έκταση (KM2) : 24.36

Κατάντη : J16

Μέθοδος Απωλειών: SCS

Ποσοστό αδιαπέρατης επιφάνειας	0
Αριθμός Καμπύλης Απορροής-CN	78.15
Αρχικές Απώλειες	14.2

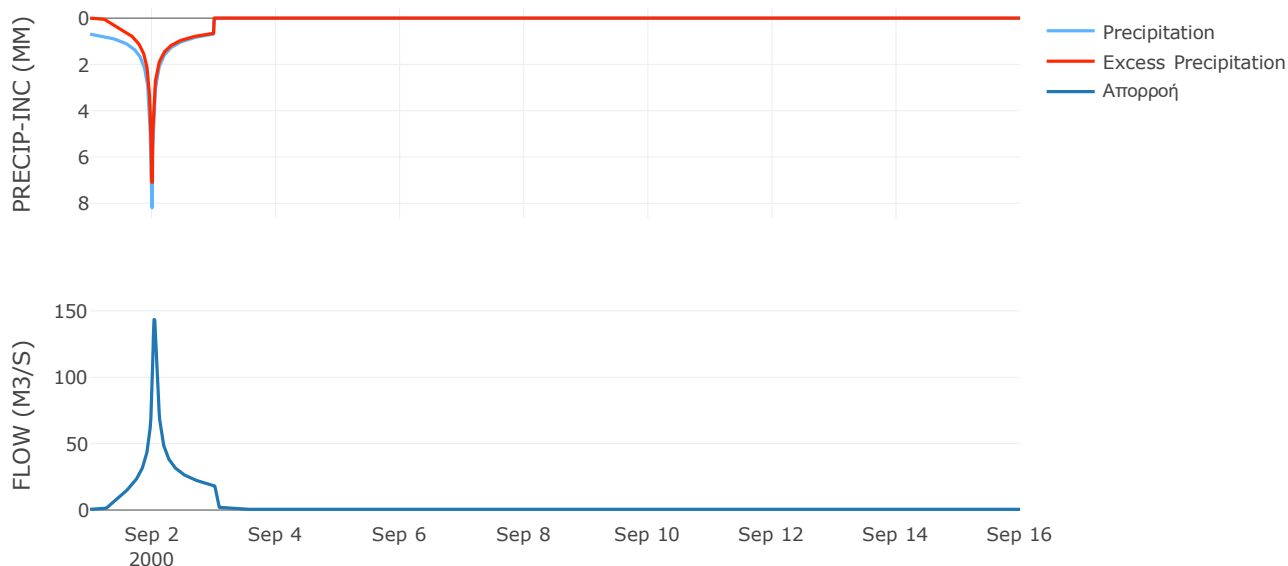
Μέθοδος Μετασχηματισμού: SCS

Χρόνος Υστέρησης	48.68
------------------	-------

Αποτελέσματα:
EL0421FR001022

Παροχή αιχμής (M3/S)	143.5
Χρονική στιγμή αιχμής	02Sep2000, 00:45
Όγκος (MM)	224.08
Όγκος βροχόπτωσης (M3)	6.42E6
Όγκος απωλειών (M3)	1.69E6
Ενεργός Όγκος (M3)	4.73E6
Όγκος άμεσης απορροής (M3)	4.73E6
Όγκος βασικής απορροής (M3)	7.26E5

Βροχόπτωση και Απορροή



Υπολεκάνη: EL0421FR001023

Έκταση (KM2) : 13.31

Κατάντη : J14

Μέθοδος Απωλειών: SCS

Ποσοστό αδιαπέρατης επιφάνειας	0
Αριθμός Καμπύλης Απορροής-CN	74.77
Αρχικές Απώλειες	17.15

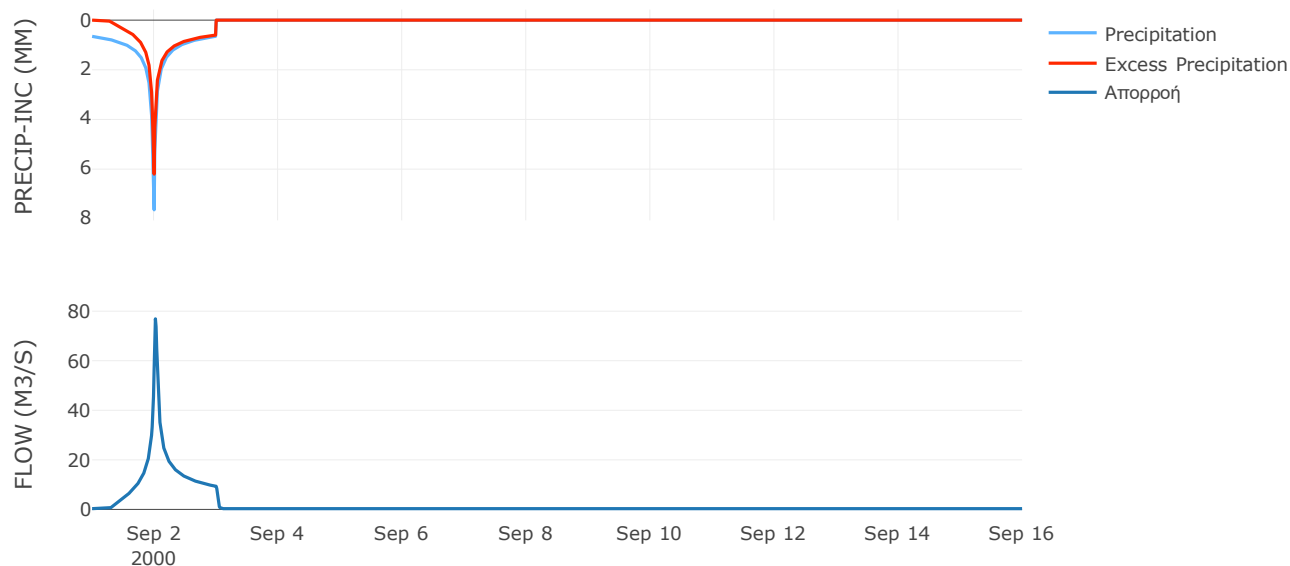
Μέθοδος Μετασχηματισμού: SCS

Χρόνος Υστέρησης	29.64
------------------	-------

Αποτελέσματα:
EL0421FR001023

Παροχή αιχμής (M3/S)	76.9
Χρονική στιγμή αιχμής	02Sep2000, 00:30
Όγκος (MM)	197.84
Όγκος βροχόπτωσης (M3)	3.3E6
Όγκος απωλειών (M3)	1.06E6
Ενεργός Όγκος (M3)	2.24E6
Όγκος άμεσης απορροής (M3)	2.24E6
Όγκος βασικής απορροής (M3)	3.97E5

Βροχόπτωση και Απορροή



Υπολεκάνη: EL0421FR001024

Έκταση (KM2) : 30.28

Κατάντη : J18

Μέθοδος Απωλειών: SCS

Ποσοστό αδιαπέρατης επιφάνειας	0
Αριθμός Καμπύλης Απορροής-CN	78.62
Αρχικές Απώλειες	13.81

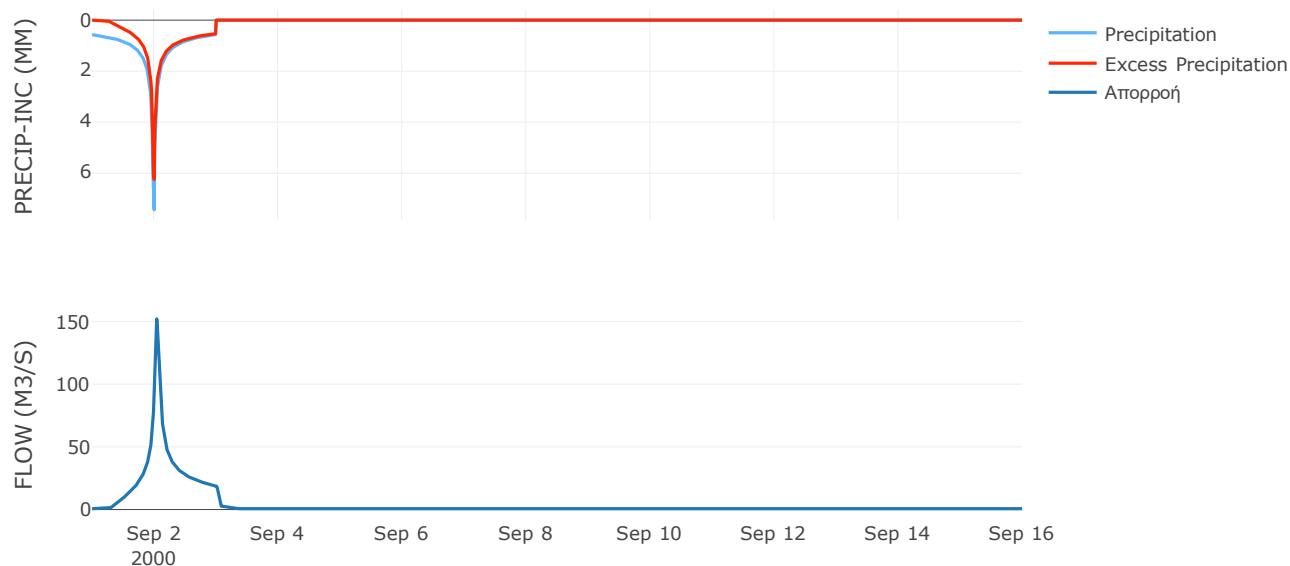
Μέθοδος Μετασχηματισμού: SCS

Χρόνος Υστέρησης	53.81
------------------	-------

Αποτελέσματα:
EL0421FR001024

Παροχή αιχμής (M3/S)	152.01
Χρονική στιγμή αιχμής	02Sep2000, 01:00
Όγκος (MM)	187.88
Όγκος βροχόπτωσης (M3)	6.78E6
Όγκος απωλειών (M3)	1.99E6
Ενεργός Όγκος (M3)	4.79E6
Όγκος άμεσης απορροής (M3)	4.79E6
Όγκος βασικής απορροής (M3)	9.03E5

Βροχόπτωση και Απορροή



Υπολεκάνη: EL0421FR001025

Έκταση (KM2) : 69.37

Κατάντη : J19

Μέθοδος Απωλειών: SCS

Ποσοστό αδιαπέρατης επιφάνειας	0
Αριθμός Καμπύλης Απορροής-CN	72.46
Αρχικές Απώλειες	19.31

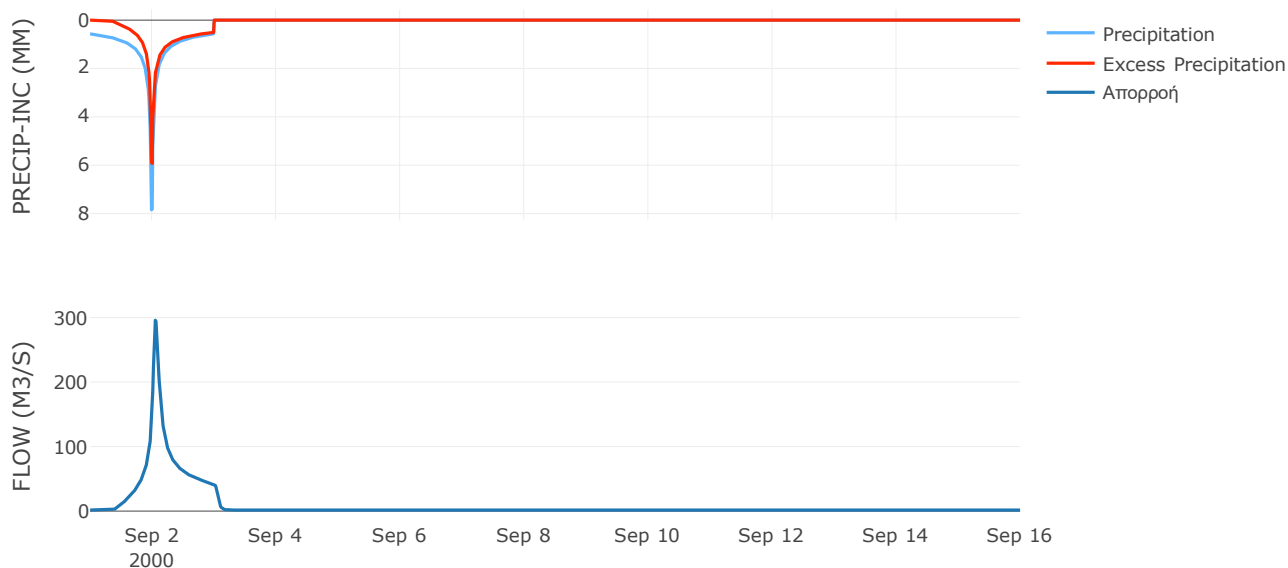
Μέθοδος Μετασχηματισμού: SCS

Χρόνος Υστέρησης	73.55
------------------	-------

Αποτελέσματα:
EL0421FR001025

Παροχή αιχμής (M3/S)	295.78
Χρονική στιγμή αιχμής	02Sep2000, 01:15
Όγκος (MM)	172.3
Όγκος βροχόπτωσης (M3)	1.58E7
Όγκος απωλειών (M3)	5.92E6
Ενεργός Όγκος (M3)	9.88E6
Όγκος άμεσης απορροής (M3)	9.88E6
Όγκος βασικής απορροής (M3)	2.07E6

Βροχόπτωση και Απορροή



Υπολεκάνη: EL0421FR001026

Έκταση (KM2) : 14.94

Κατάντη : J9

Μέθοδος Απωλειών: SCS

Ποσοστό αδιαπέρατης επιφάνειας	0
Αριθμός Καμπύλης Απορροής-CN	75.17
Αρχικές Απώλειες	16.78

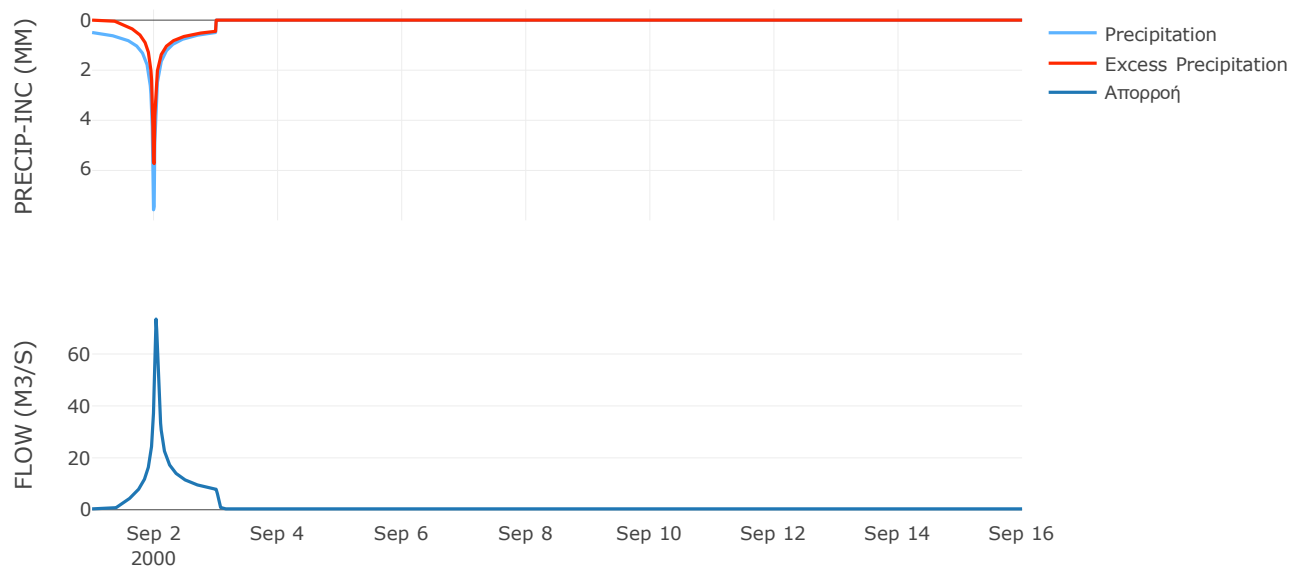
Μέθοδος Μετασχηματισμού: SCS

Χρόνος Υστέρησης	39.93
------------------	-------

Αποτελέσματα:
EL0421FR001026

Παροχή αιχμής (M3/S)	73.46
Χρονική στιγμή αιχμής	02Sep2000, 00:45
Όγκος (MM)	159.95
Όγκος βροχόπτωσης (M3)	3.06E6
Όγκος απωλειών (M3)	1.12E6
Ενεργός Όγκος (M3)	1.94E6
Όγκος άμεσης απορροής (M3)	1.94E6
Όγκος βασικής απορροής (M3)	4.45E5

Βροχόπτωση και Απορροή



Υπολεκάνη: EL0421FR001027

Έκταση (KM2) : 17.74

Κατάντη : J22

Μέθοδος Απωλειών: SCS

Ποσοστό αδιαπέρατης επιφάνειας	0
Αριθμός Καμπύλης Απορροής-CN	81.27
Αρχικές Απώλειες	11.71

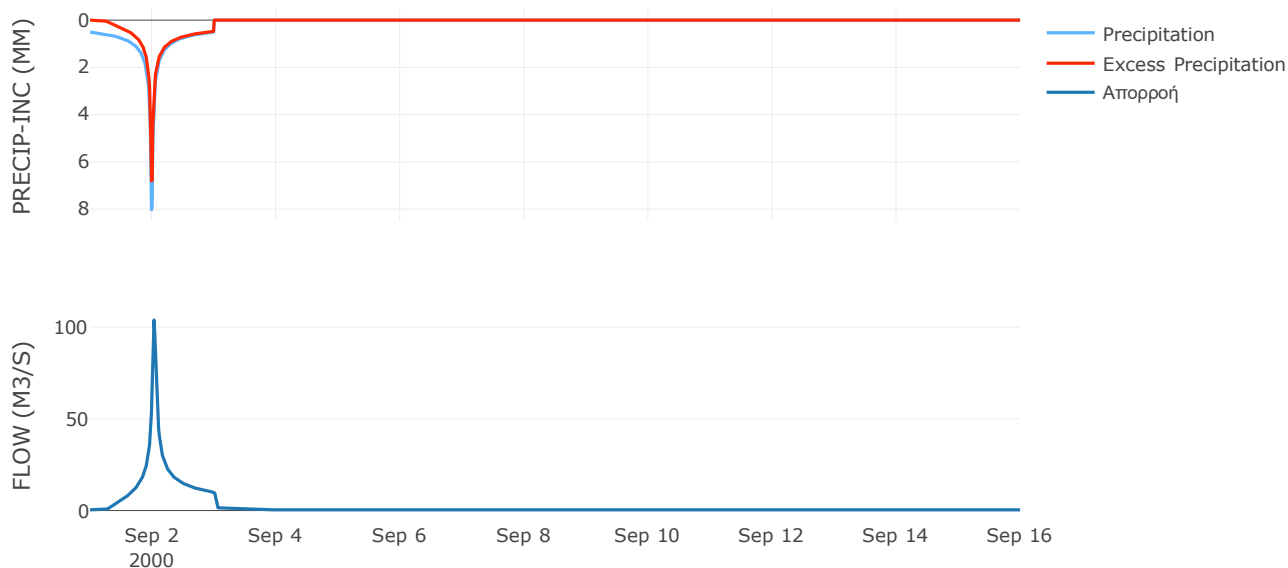
Μέθοδος Μετασχηματισμού: SCS

Χρόνος Υστέρησης	39.75
------------------	-------

Αποτελέσματα:
EL0421FR001027

Παροχή αιχμής (M3/S)	103.83
Χρονική στιγμή αιχμής	02Sep2000, 00:45
Όγκος (MM)	184.25
Όγκος βροχόπτωσης (M3)	3.75E6
Όγκος απωλειών (M3)	1.01E6
Ενεργός Όγκος (M3)	2.74E6
Όγκος άμεσης απορροής (M3)	2.74E6
Όγκος βασικής απορροής (M3)	5.29E5

Βροχόπτωση και Απορροή



Υπολεκάνη: EL0421FR001028

Έκταση (KM2) : 35.53

Κατάντη : J22

Μέθοδος Απωλειών: SCS

Ποσοστό αδιαπέρατης επιφάνειας	0
Αριθμός Καμπύλης Απορροής-CN	80.57
Αρχικές Απώλειες	12.25

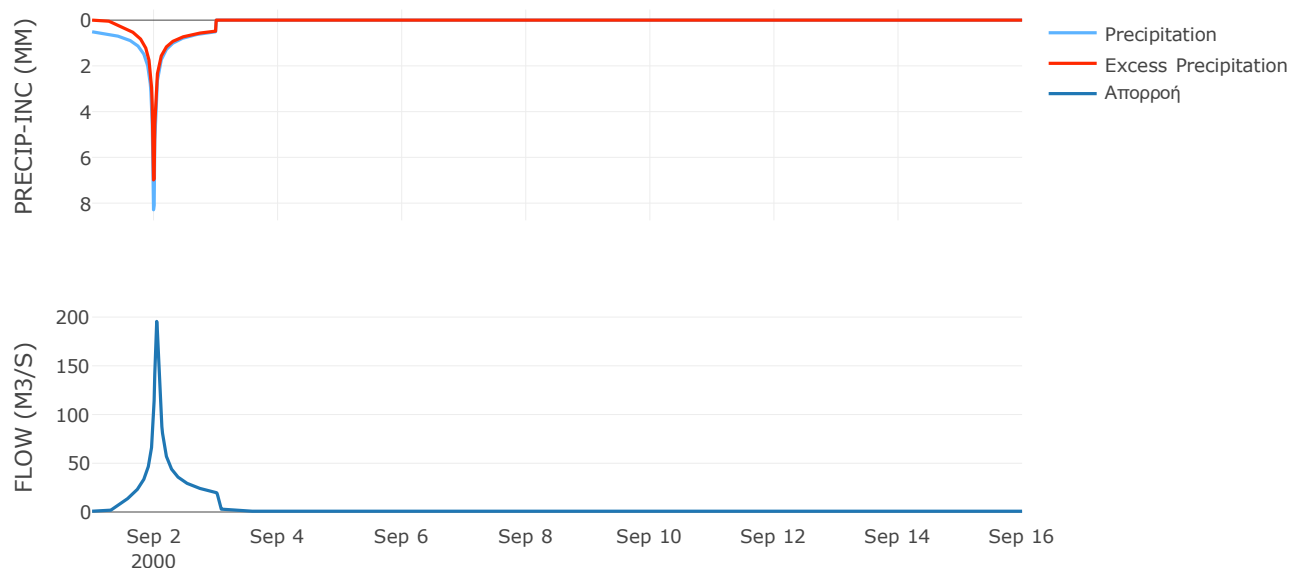
Μέθοδος Μετασχηματισμού: SCS

Χρόνος Υστέρησης	53.46
------------------	-------

Αποτελέσματα:
EL0421FR001028

Παροχή αιχμής (M3/S)	195.54
Χρονική στιγμή αιχμής	02Sep2000, 01:00
Όγκος (MM)	186.11
Όγκος βροχόπτωσης (M3)	7.66E6
Όγκος απωλειών (M3)	2.11E6
Ενεργός Όγκος (M3)	5.55E6
Όγκος άμεσης απορροής (M3)	5.55E6
Όγκος βασικής απορροής (M3)	1.06E6

Βροχόπτωση και Απορροή



Υπολεκάνη: EL0421FR001029

Έκταση (KM2) : 42.48

Κατάντη : J6

Μέθοδος Απωλειών: SCS

Ποσοστό αδιαπέρατης επιφάνειας	0
Αριθμός Καμπύλης Απορροής-CN	64.82
Αρχικές Απώλειες	27.58

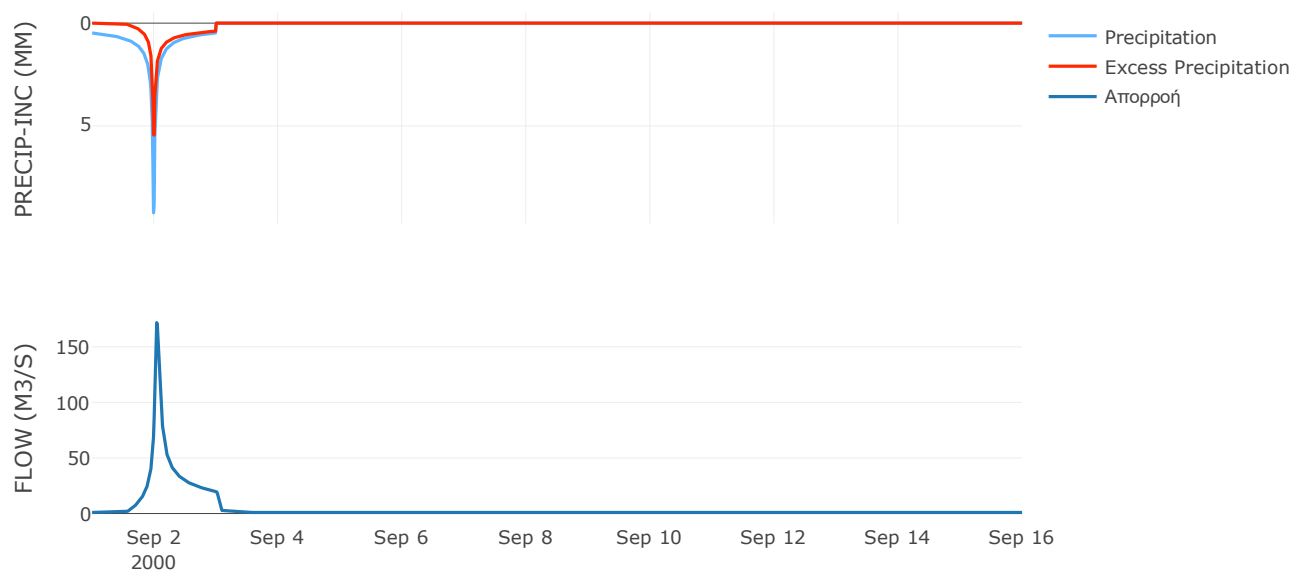
Μέθοδος Μετασχηματισμού: SCS

Χρόνος Υστέρησης	57.81
------------------	-------

Αποτελέσματα:
EL0421FR001029

Παροχή αιχμής (M3/S)	171.81
Χρονική στιγμή αιχμής	02Sep2000, 01:00
Όγκος (MM)	136.95
Όγκος βροχόπτωσης (M3)	9.09E6
Όγκος απωλειών (M3)	4.54E6
Ενεργός Όγκος (M3)	4.55E6
Όγκος άμεσης απορροής (M3)	4.55E6
Όγκος βασικής απορροής (M3)	1.27E6

Βροχόπτωση και Απορροή



Υπολεκάνη: EL0421FR001030

Έκταση (KM2) : 20.53

Κατάντη : J5

Μέθοδος Απωλειών: SCS

Ποσοστό αδιαπέρατης επιφάνειας	0
Αριθμός Καμπύλης Απορροής-CN	57.57
Αρχικές Απώλειες	37.44

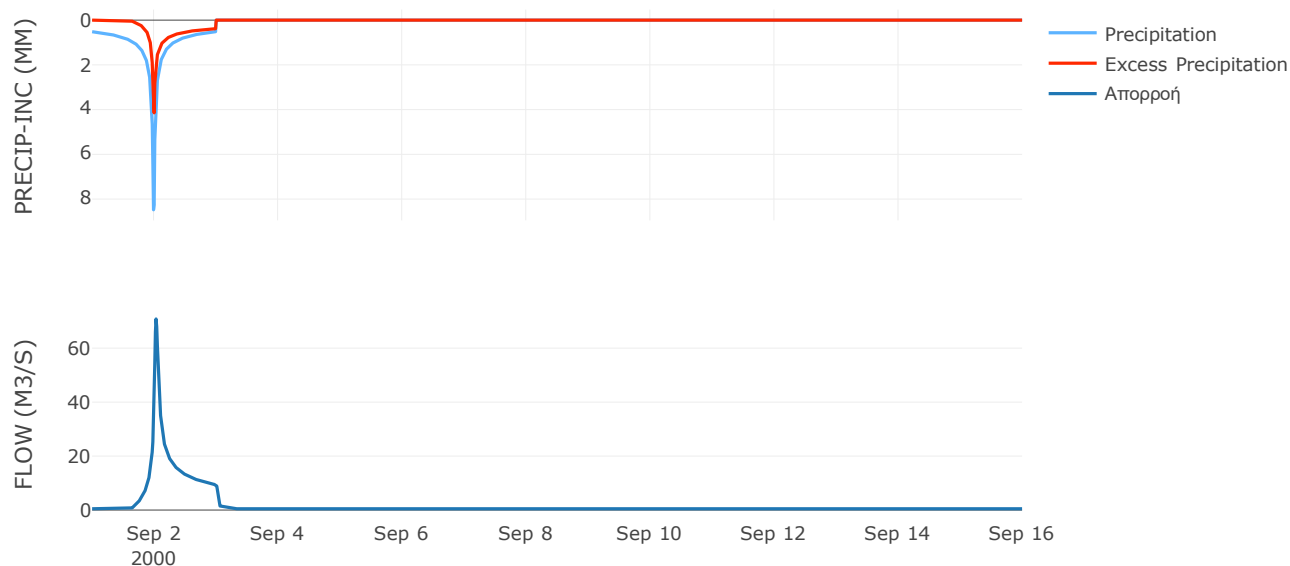
Μέθοδος Μετασχηματισμού: SCS

Χρόνος Υστέρησης	39.95
------------------	-------

Αποτελέσματα:
EL0421FR001030

Παροχή αιχμής (M3/S)	70.82
Χρονική στιγμή αιχμής	02Sep2000, 00:45
Όγκος (MM)	119.43
Όγκος βροχόπτωσης (M3)	4.5E6
Όγκος απωλειών (M3)	2.66E6
Ενεργός Όγκος (M3)	1.84E6
Όγκος άμεσης απορροής (M3)	1.84E6
Όγκος βασικής απορροής (M3)	6.12E5

Βροχόπτωση και Απορροή



Υπολεκάνη: EL0421FR001031

Έκταση (KM2) : 24.21

Κατάντη : J4

Μέθοδος Απωλειών: SCS

Ποσοστό αδιαπέρατης επιφάνειας	0
Αριθμός Καμπύλης Απορροής-CN	53.6
Αρχικές Απώλειες	43.97

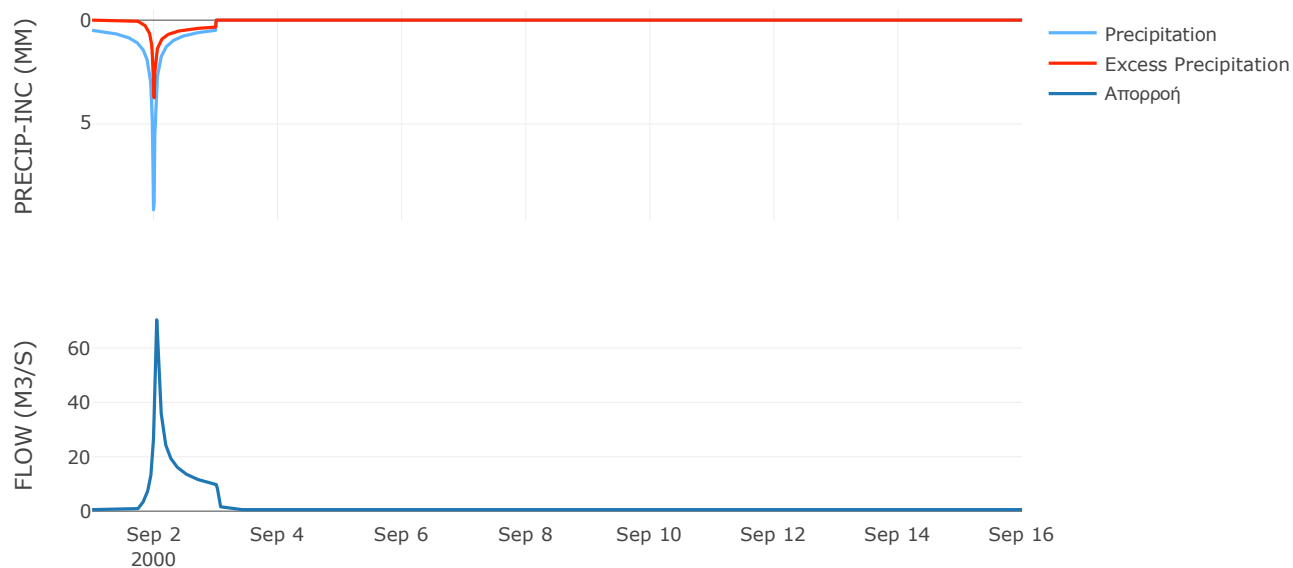
Μέθοδος Μετασχηματισμού: SCS

Χρόνος Υστέρησης	46.79
------------------	-------

Αποτελέσματα:
EL0421FR001031

Παροχή αιχμής (M3/S)	70.36
Χρονική στιγμή αιχμής	02Sep2000, 01:00
Όγκος (MM)	105.98
Όγκος βροχόπτωσης (M3)	5.25E6
Όγκος απωλειών (M3)	3.41E6
Ενεργός Όγκος (M3)	1.84E6
Όγκος άμεσης απορροής (M3)	1.84E6
Όγκος βασικής απορροής (M3)	7.22E5

Βροχόπτωση και Απορροή



Υπολεκάνη: EL0421FR001032

Έκταση (KM2) : 56.61

Κατάντη : J12

Μέθοδος Απωλειών: SCS

Ποσοστό αδιαπέρατης επιφάνειας	0.06
Αριθμός Καμπύλης Απορροής-CN	58
Αρχικές Απώλειες	36.78

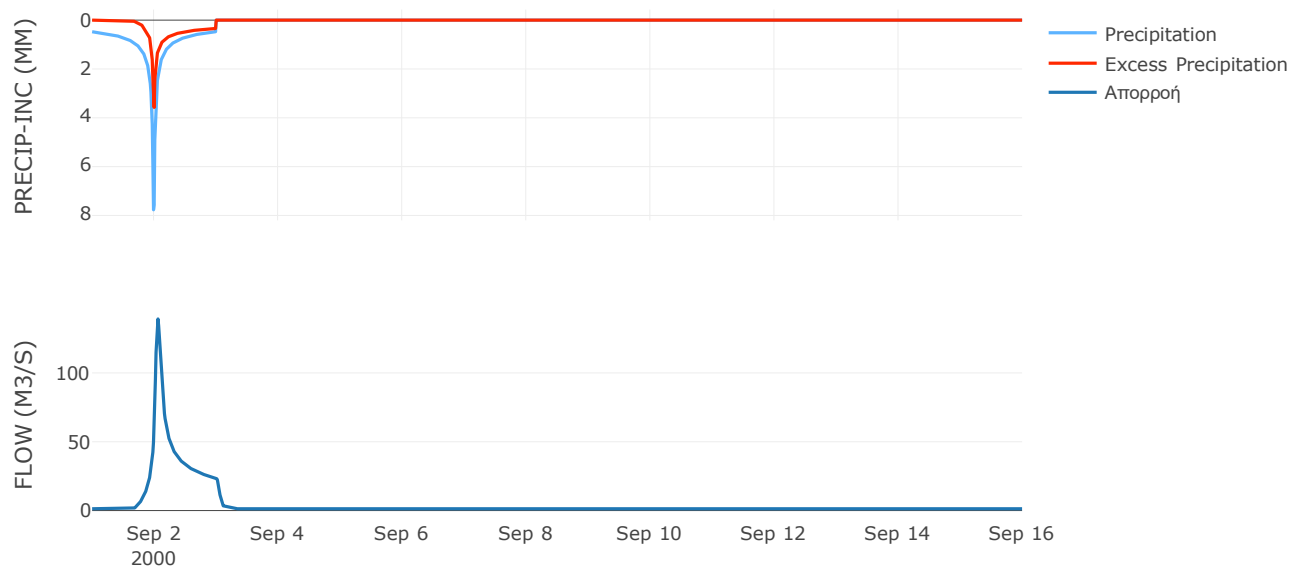
Μέθοδος Μετασχηματισμού: SCS

Χρόνος Υστέρησης	72.09
------------------	-------

Αποτελέσματα:
EL0421FR001032

Παροχή αιχμής (M3/S)	139.2
Χρονική στιγμή αιχμής	02Sep2000, 01:30
Όγκος (MM)	107.52
Όγκος βροχόπτωσης (M3)	1.14E7
Όγκος απωλειών (M3)	6.99E6
Ενεργός Όγκος (M3)	4.4E6
Όγκος άμεσης απορροής (M3)	4.4E6
Όγκος βασικής απορροής (M3)	1.69E6

Βροχόπτωση και Απορροή



Υπολεκάνη: EL0421FR001033

Έκταση (KM2) : 28.55

Κατάντη : J21

Μέθοδος Απωλειών: SCS

Ποσοστό αδιαπέρατης επιφάνειας	0
Αριθμός Καμπύλης Απορροής-CN	67.52
Αρχικές Απώλειες	24.44

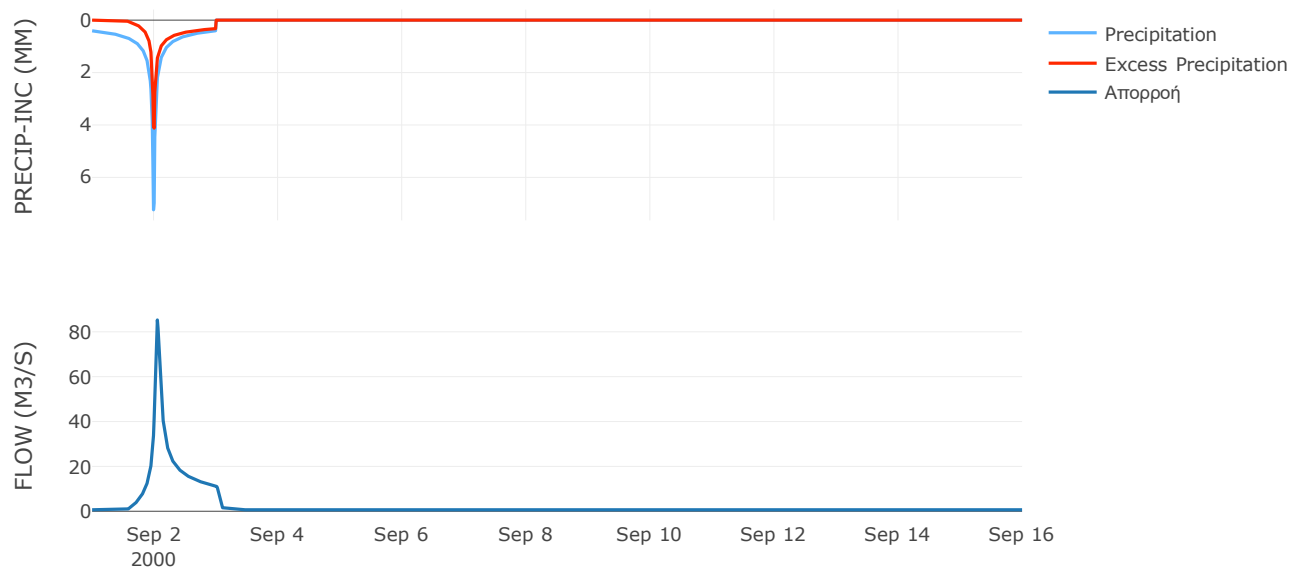
Μέθοδος Μετασχηματισμού: SCS

Χρόνος Υστέρησης	63.08
------------------	-------

Αποτελέσματα:
EL0421FR001033

Παροχή αιχμής (M3/S)	85.28
Χρονική στιγμή αιχμής	02Sep2000, 01:15
Όγκος (MM)	114.4
Όγκος βροχόπτωσης (M3)	5.05E6
Όγκος απωλειών (M3)	2.63E6
Ενεργός Όγκος (M3)	2.42E6
Όγκος άμεσης απορροής (M3)	2.42E6
Όγκος βασικής απορροής (M3)	8.51E5

Βροχόπτωση και Απορροή



Υπολεκάνη: EL0421FR001034

Έκταση (KM2) : 57.33

Κατάντη : J21

Μέθοδος Απωλειών: SCS

Ποσοστό αδιαπέρατης επιφάνειας	0
Αριθμός Καμπύλης Απορροής-CN	63.67
Αρχικές Απώλειες	28.99

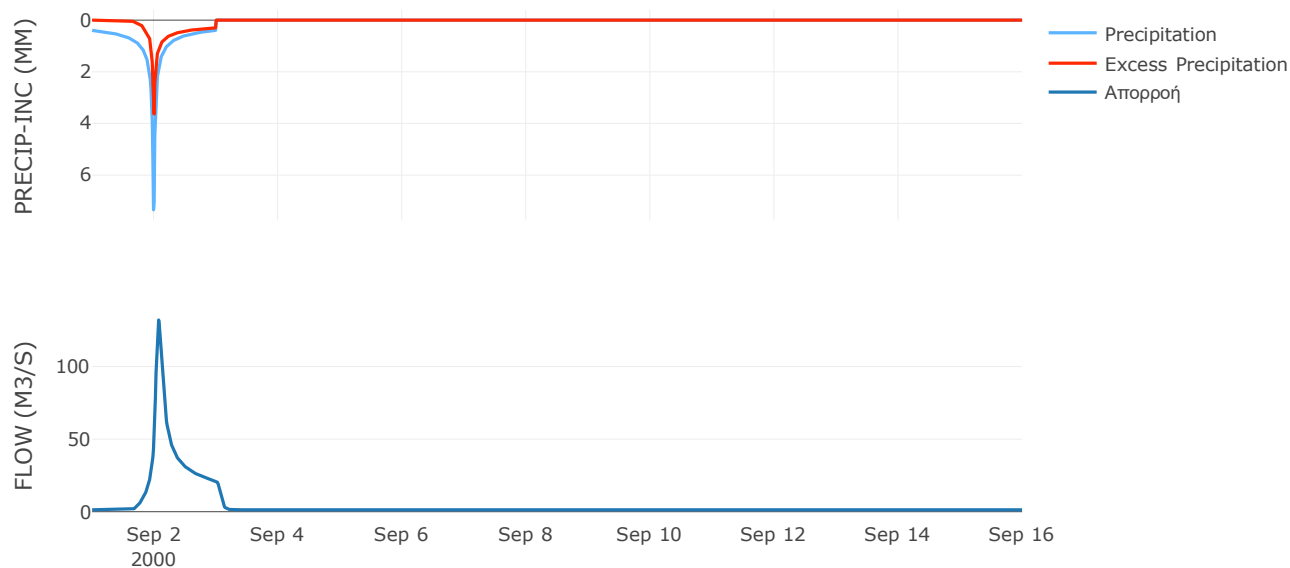
Μέθοδος Μετασχηματισμού: SCS

Χρόνος Υστέρησης	87.83
------------------	-------

Αποτελέσματα:
EL0421FR001034

Παροχή αιχμής (M3/S)	132.03
Χρονική στιγμή αιχμής	02Sep2000, 01:45
Όγκος (MM)	103.18
Όγκος βροχόπτωσης (M3)	1E7
Όγκος απωλειών (M3)	5.83E6
Ενεργός Όγκος (M3)	4.21E6
Όγκος άμεσης απορροής (M3)	4.21E6
Όγκος βασικής απορροής (M3)	1.71E6

Βροχόπτωση και Απορροή



Υπολεκάνη: EL0421FR001035

Έκταση (KM2) : 27.47

Κατάντη : J9

Μέθοδος Απωλειών: SCS

Ποσοστό αδιαπέρατης επιφάνειας	0
Αριθμός Καμπύλης Απορροής-CN	80.51
Αρχικές Απώλειες	12.3

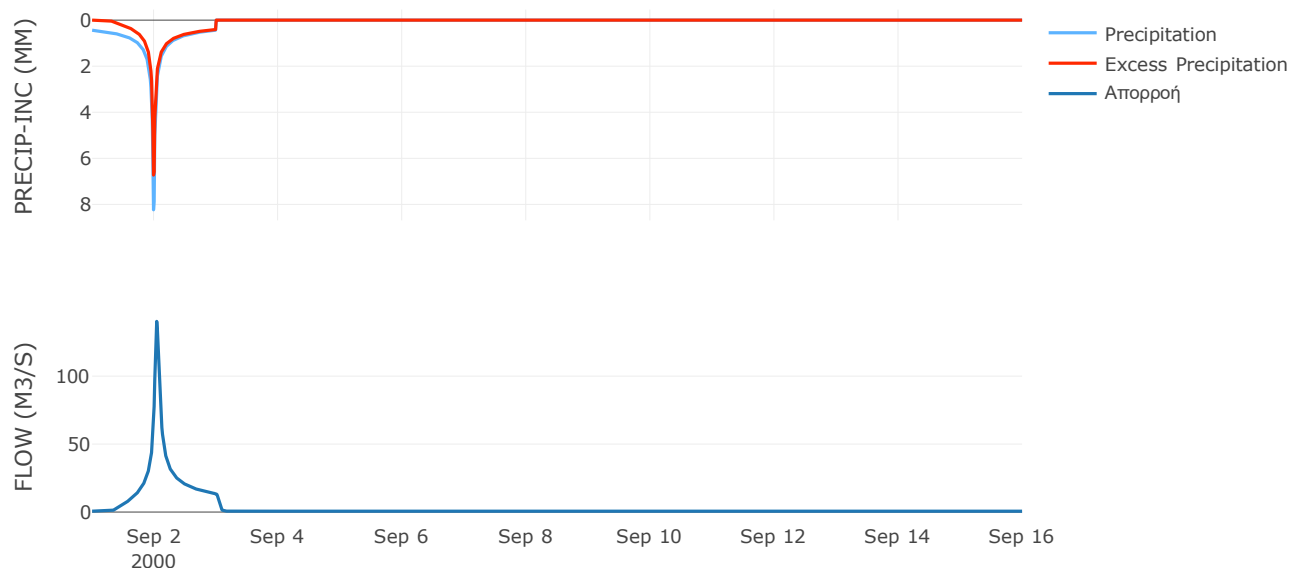
Μέθοδος Μετασχηματισμού: SCS

Χρόνος Υστέρησης	55.23
------------------	-------

Αποτελέσματα:
EL0421FR001035

Παροχή αιχμής (M3/S)	140.28
Χρονική στιγμή αιχμής	02Sep2000, 01:00
Όγκος (MM)	165.44
Όγκος βροχόπτωσης (M3)	5.33E6
Όγκος απωλειών (M3)	1.6E6
Ενεργός Όγκος (M3)	3.73E6
Όγκος άμεσης απορροής (M3)	3.73E6
Όγκος βασικής απορροής (M3)	8.19E5

Βροχόπτωση και Απορροή



Υπολεκάνη: EL0421FR001036

Έκταση (KM2) : 22.53

Κατάντη : J23

Μέθοδος Απωλειών: SCS

Ποσοστό αδιαπέρατης επιφάνειας	0
Αριθμός Καμπύλης Απορροής-CN	69.26
Αρχικές Απώλειες	22.54

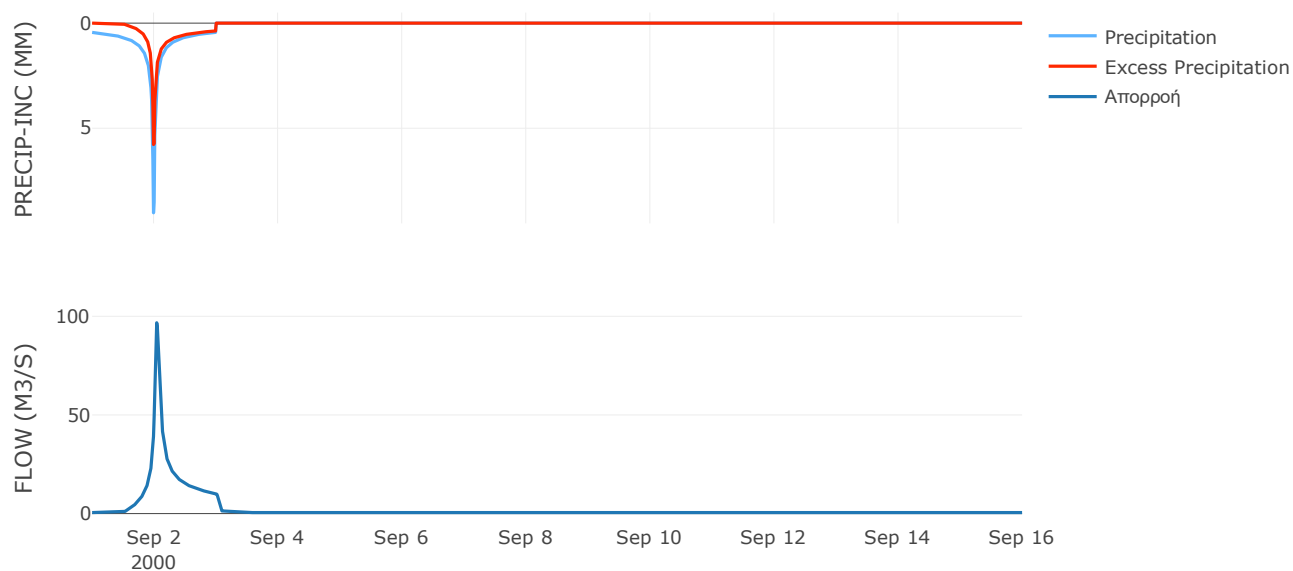
Μέθοδος Μετασχηματισμού: SCS

Χρόνος Υστέρησης	56.44
------------------	-------

Αποτελέσματα:
EL0421FR001036

Παροχή αιχμής (M3/S)	96.73
Χρονική στιγμή αιχμής	02Sep2000, 01:00
Όγκος (MM)	138.87
Όγκος βροχόπτωσης (M3)	4.52E6
Όγκος απωλειών (M3)	2.06E6
Ενεργός Όγκος (M3)	2.46E6
Όγκος άμεσης απορροής (M3)	2.46E6
Όγκος βασικής απορροής (M3)	6.71E5

Βροχόπτωση και Απορροή



Υπολεκάνη: EL0421FR001037

Έκταση (KM2) : 26.53

Κατάντη : J2

Μέθοδος Απωλειών: SCS

Ποσοστό αδιαπέρατης επιφάνειας	0
Αριθμός Καμπύλης Απορροής-CN	62.09
Αρχικές Απώλειες	31.02

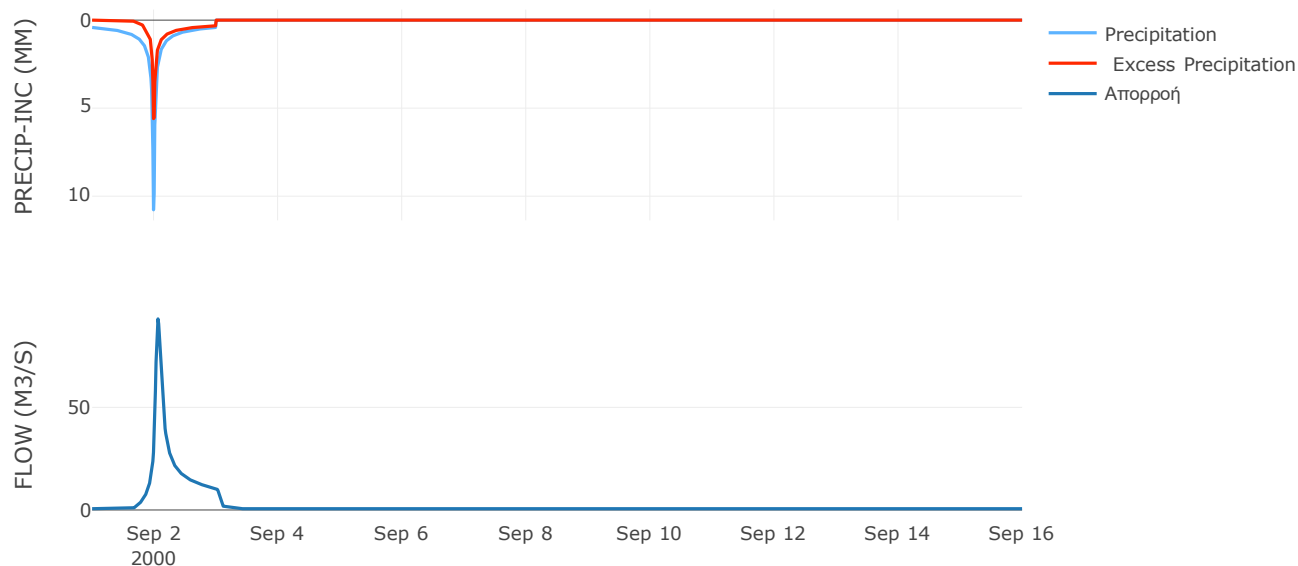
Μέθοδος Μετασχηματισμού: SCS

Χρόνος Υστέρησης	78.49
------------------	-------

Αποτελέσματα:
EL0421FR001037

Παροχή αιχμής (M3/S)	93.11
Χρονική στιγμή αιχμής	02Sep2000, 01:30
Όγκος (MM)	122.06
Όγκος βροχόπτωσης (M3)	5.45E6
Όγκος απωλειών (M3)	3E6
Ενεργός Όγκος (M3)	2.45E6
Όγκος άμεσης απορροής (M3)	2.45E6
Όγκος βασικής απορροής (M3)	7.91E5

Βροχόπτωση και Απορροή



Υπολεκάνη: EL0421FR001038

Έκταση (KM2) : 16.84

Κατάντη : J18

Μέθοδος Απωλειών: SCS

Ποσοστό αδιαπέρατης επιφάνειας	0
Αριθμός Καμπύλης Απορροής-CN	80.05
Αρχικές Απώλειες	12.66

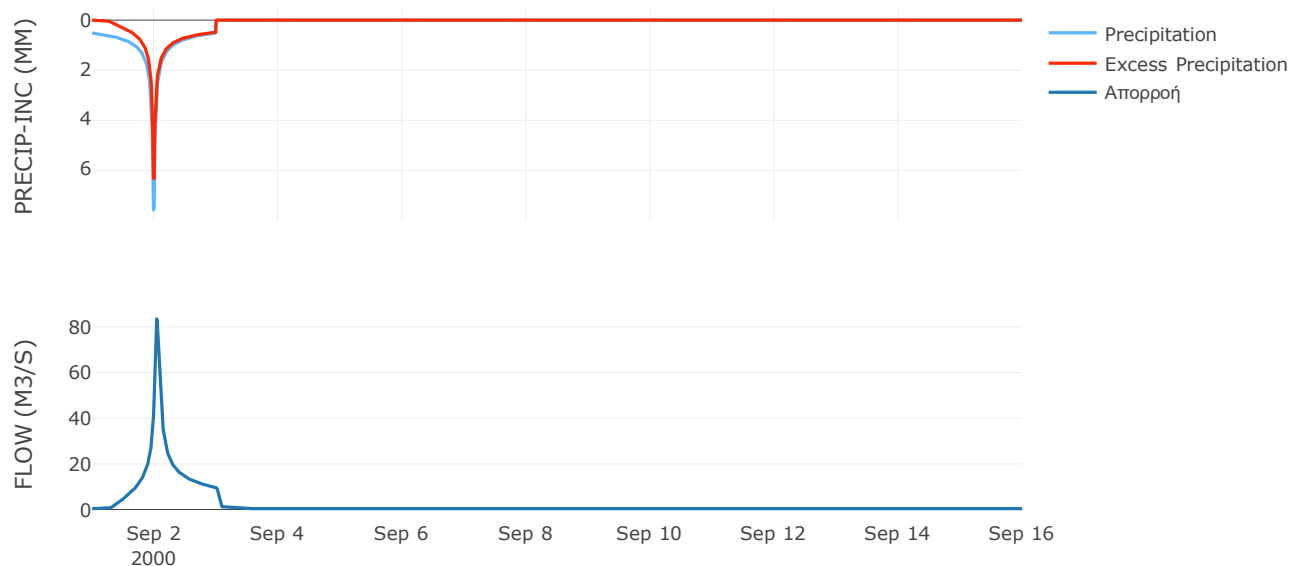
Μέθοδος Μετασχηματισμού: SCS

Χρόνος Υστέρησης	57.32
------------------	-------

Αποτελέσματα:
EL0421FR001038

Παροχή αιχμής (M3/S)	83.5
Χρονική στιγμή αιχμής	02Sep2000, 01:00
Όγκος (MM)	179.97
Όγκος βροχόπτωσης (M3)	3.55E6
Όγκος απωλειών (M3)	1.02E6
Ενεργός Όγκος (M3)	2.53E6
Όγκος άμεσης απορροής (M3)	2.53E6
Όγκος βασικής απορροής (M3)	5.02E5

Βροχόπτωση και Απορροή



Υπολεκάνη: EL0421FR001039

Έκταση (KM2) : 11.68

Κατάντη : J8

Μέθοδος Απωλειών: SCS

Ποσοστό αδιαπέρατης επιφάνειας	0
Αριθμός Καμπύλης Απορροής-CN	79.95
Αρχικές Απώλειες	12.74

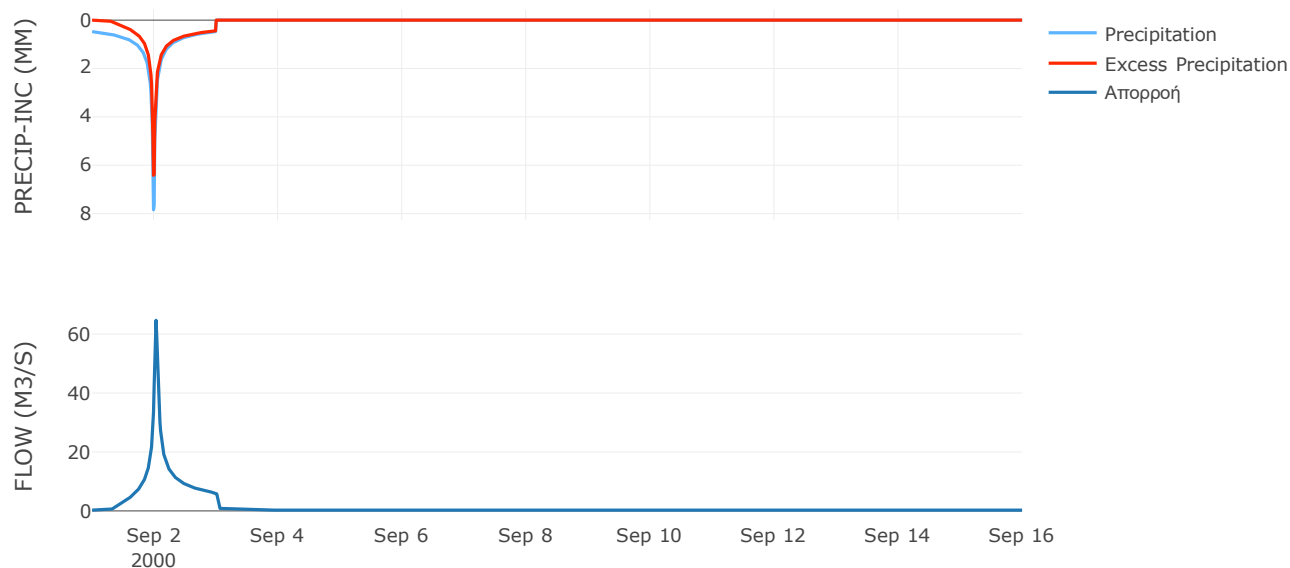
Μέθοδος Μετασχηματισμού: SCS

Χρόνος Υστέρησης	37.9
------------------	------

Αποτελέσματα:
EL0421FR001039

Παροχή αιχμής (M3/S)	64.68
Χρονική στιγμή αιχμής	02Sep2000, 00:45
Όγκος (MM)	171.01
Όγκος βροχόπτωσης (M3)	2.35E6
Όγκος απωλειών (M3)	7.05E5
Ενεργός Όγκος (M3)	1.65E6
Όγκος άμεσης απορροής (M3)	1.65E6
Όγκος βασικής απορροής (M3)	3.48E5

Βροχόπτωση και Απορροή



Υπολεκάνη: EL0421FR001040

Έκταση (KM2) : 8.83

Κατάντη : J7

Μέθοδος Απωλειών: SCS

Ποσοστό αδιαπέρατης επιφάνειας	0
Αριθμός Καμπύλης Απορροής-CN	80.98
Αρχικές Απώλειες	11.93

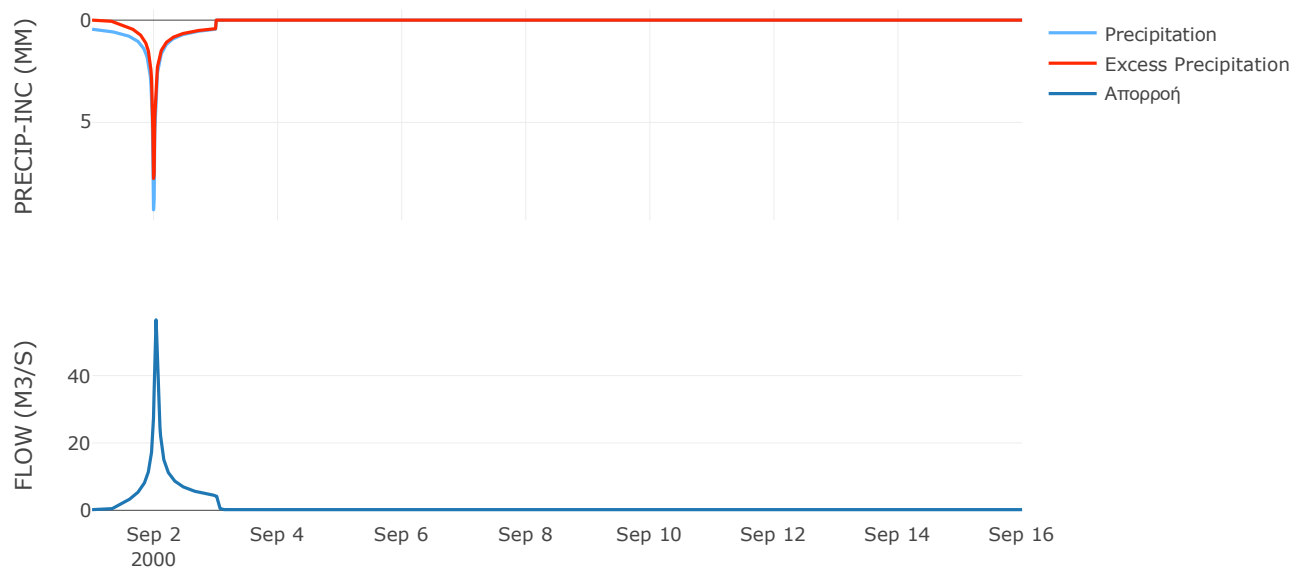
Μέθοδος Μετασχηματισμού: SCS

Χρόνος Υστέρησης	38.46
------------------	-------

Αποτελέσματα:
EL0421FR001040

Παροχή αιχμής (M3/S)	56.55
Χρονική στιγμή αιχμής	02Sep2000, 00:45
Όγκος (MM)	176.1
Όγκος βροχόπτωσης (M3)	1.8E6
Όγκος απωλειών (M3)	5.07E5
Ενεργός Όγκος (M3)	1.29E6
Όγκος άμεσης απορροής (M3)	1.29E6
Όγκος βασικής απορροής (M3)	2.63E5

Βροχόπτωση και Απορροή



Υπολεκάνη: EL0421FR001041

Έκταση (KM2) : 11.46

Κατάντη : J11

Μέθοδος Απωλειών: SCS

Ποσοστό αδιαπέρατης επιφάνειας	0.2
Αριθμός Καμπύλης Απορροής-CN	80.13
Αρχικές Απώλειες	12.6

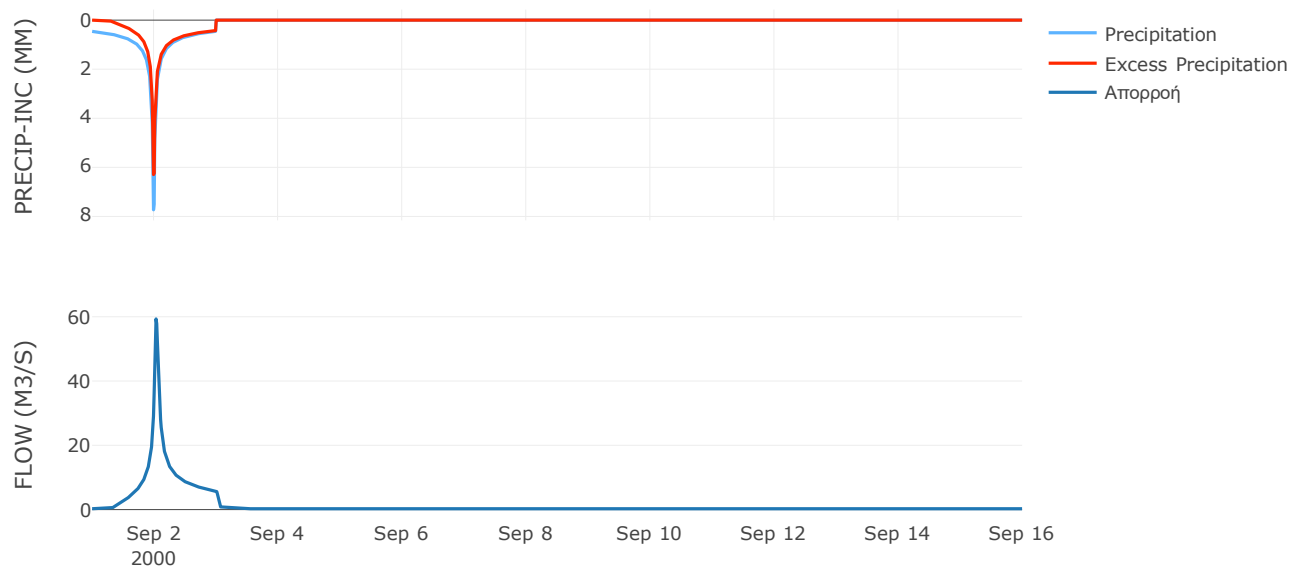
Μέθοδος Μετασχηματισμού: SCS

Χρόνος Υστέρησης	45.38
------------------	-------

Αποτελέσματα:
EL0421FR001041

Παροχή αιχμής (M3/S)	59.32
Χρονική στιγμή αιχμής	02Sep2000, 00:45
Όγκος (MM)	166.26
Όγκος βροχόπτωσης (M3)	2.24E6
Όγκος απωλειών (M3)	6.8E5
Ενεργός Όγκος (M3)	1.56E6
Όγκος άμεσης απορροής (M3)	1.56E6
Όγκος βασικής απορροής (M3)	3.42E5

Βροχόπτωση και Απορροή



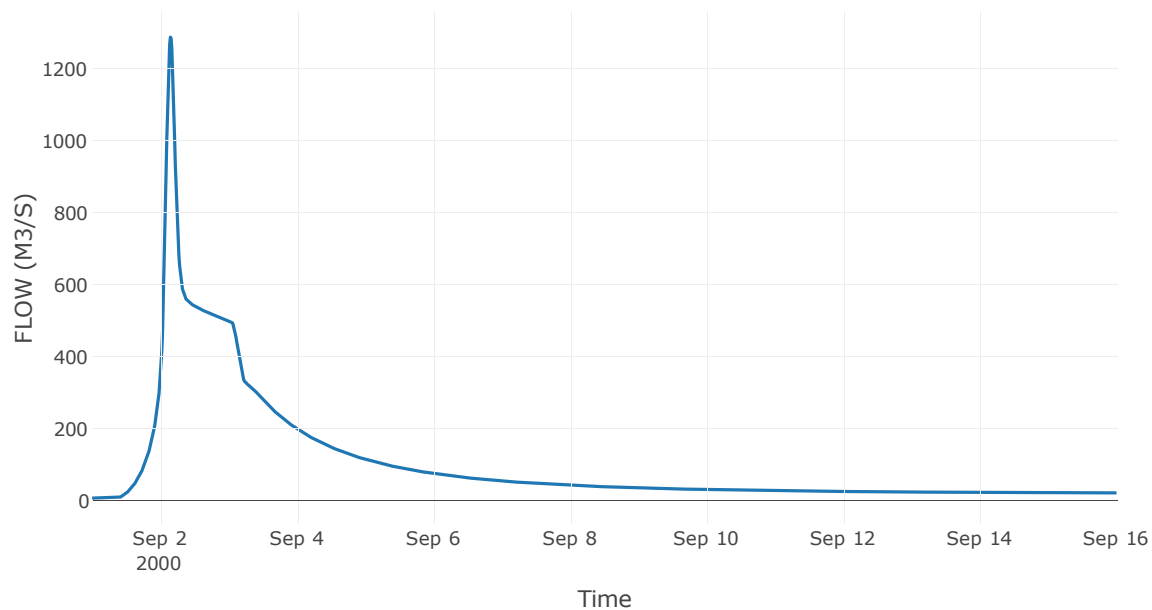
2.2 Δεδομένα και Υδρογραφήματα Σχεδιασμού Κλάδων Υδρογραφικού Δικτύου

Κλάδος: R21

Αποτελέσματ
α: R21

Παροχή αιχμής (M3/S)	1287.35
Χρονική στιγμή αιχμής	02Sep2000, 03:30
Όγκος (MM)	147.22
Παροχή Αιχμής Εισόδου (M3/S)	1308.13
Όγκος Εισροής (M3)	1.38E8

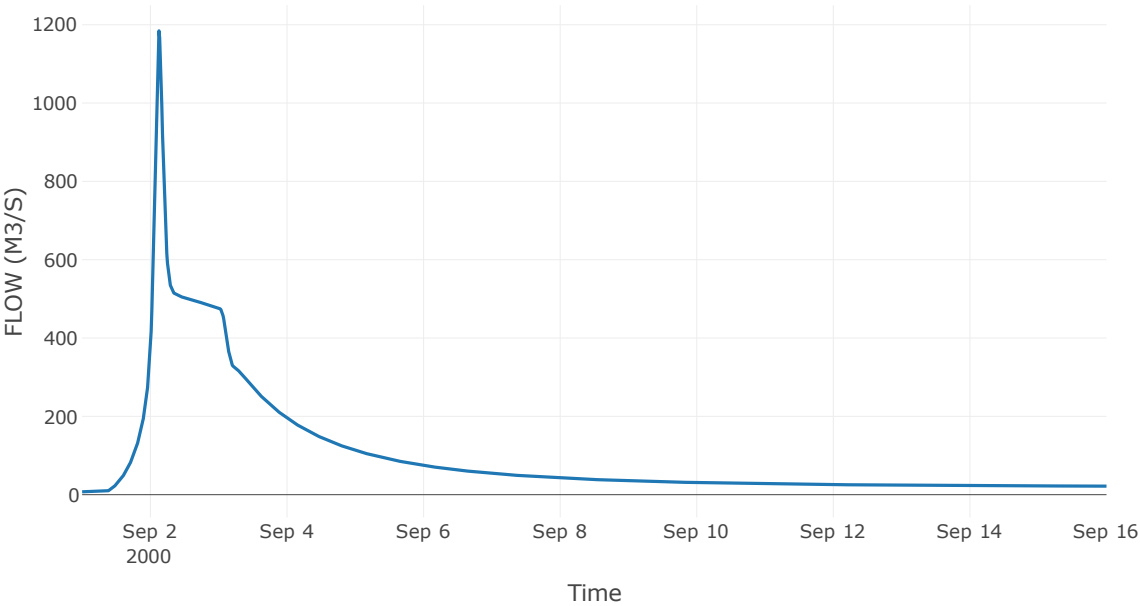
Απορροή



Αποτελέσμα
α: R32

Παροχή αιχμής (M3/S)	1184.37
Χρονική στιγμή αιχμής	02Sep2000, 03:00
Όγκος (MM)	148.6
Παροχή Αιχμής Εισόδου (M3/S)	1190.7
Όγκος Εισροής (M3)	1.31E8

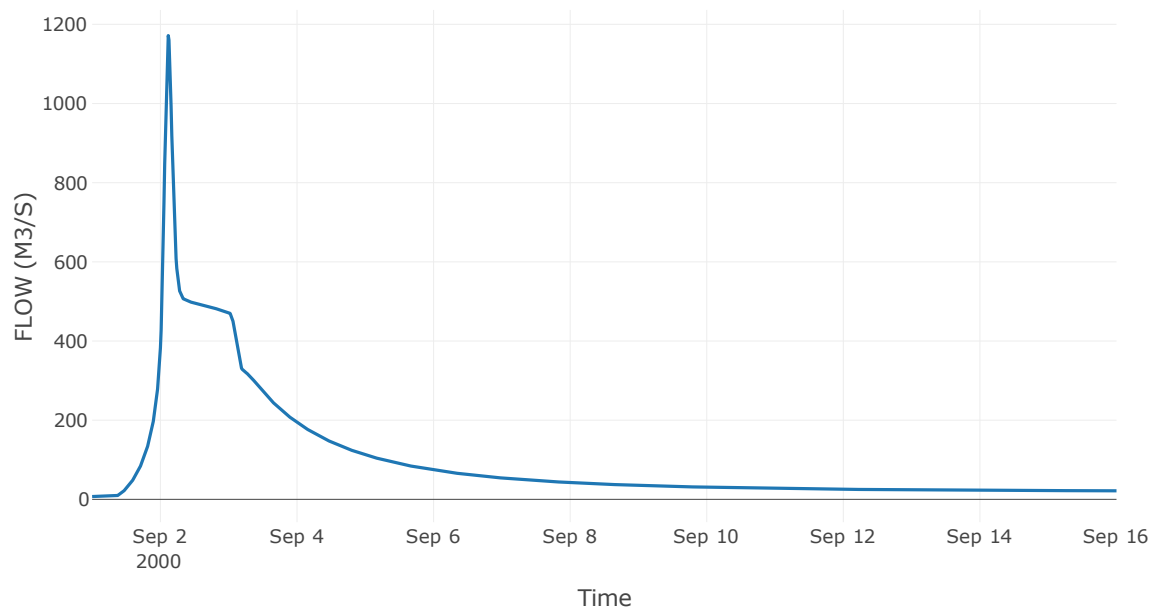
Απορροή



Αποτελέσματ
α: R43

Παροχή αιχμής (M3/S)	1171.63
Χρονική στιγμή αιχμής	02Sep2000, 02:45
Όγκος (MM)	148.84
Παροχή Αιχμής Εισόδου (M3/S)	1186.47
Όγκος Εισροής (M3)	1.3E8

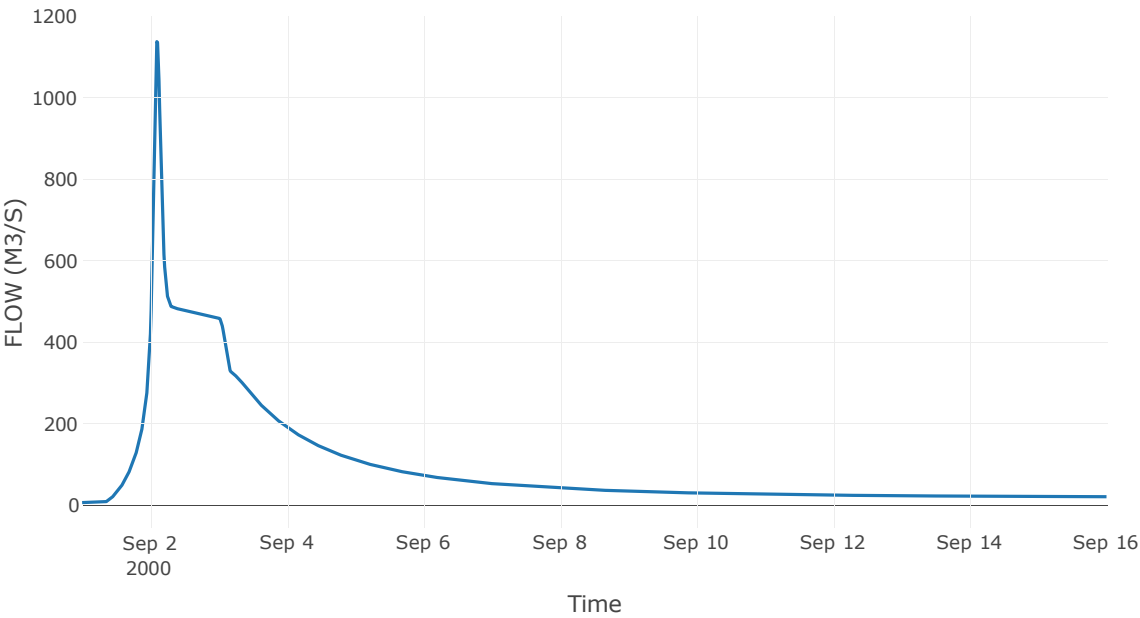
Απορροή



Αποτελέσματα: R54

Παροχή Αιχμής (M3/S)	1137.67
Χρονική στιγμή αιχμής	02Sep2000, 02:15
Όγκος (MM)	150.08
Παροχή Αιχμής Εισόδου (M3/S)	1144.67
Όγκος Εισόδου(M3)	1.27E8

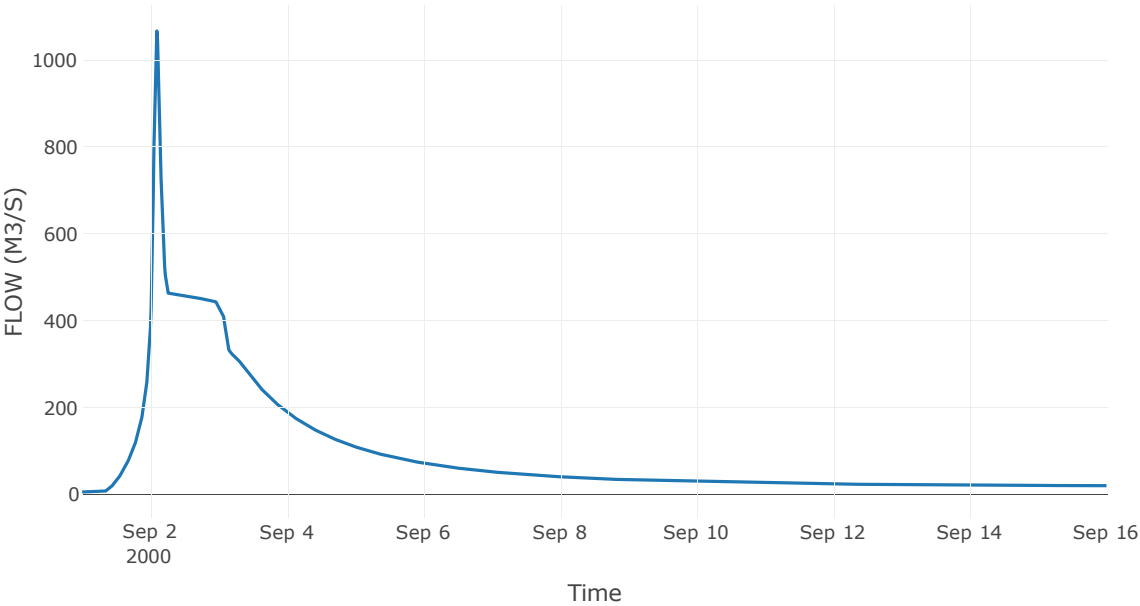
Απορροή



Αποτελέσματα
: R65

Παροχή αιχμής (M3/S)	1067.2
Χρονική στιγμή αιχμής	02Sep2000, 02:15
Όγκος (MM)	151.52
Παροχή Αιχμής Εισόδου (M3/S)	1090.76
Όγκος Εισροής (M3)	1.22E8

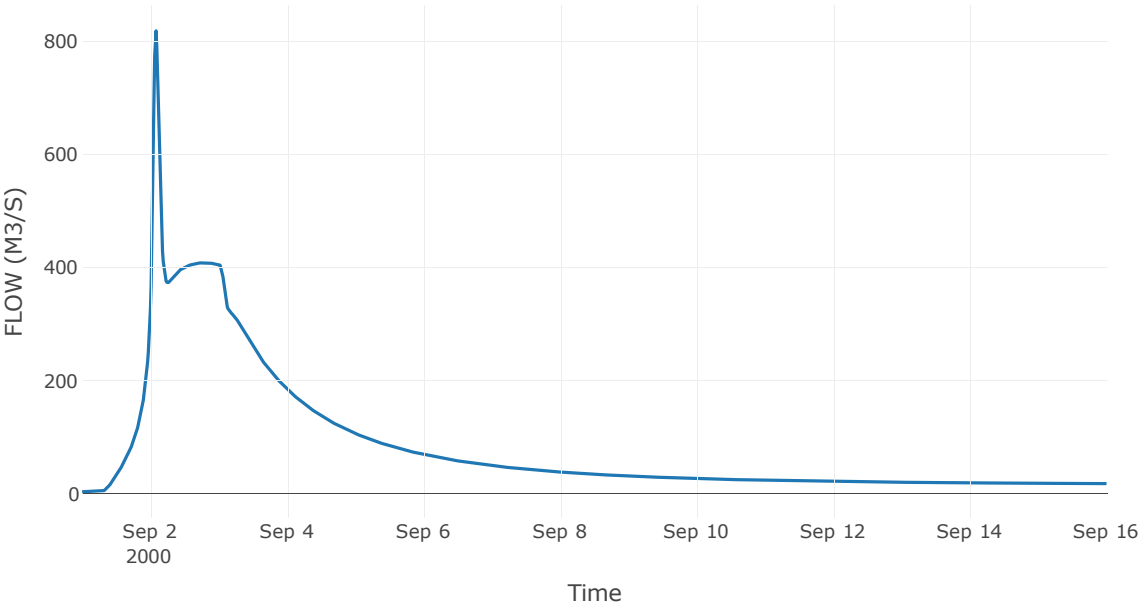
Απορροή



Αποτελέσμα
α: R76

Παροχή αιχμής (M3/S)	817.75
Χρονική στιγμή αιχμής	02Sep2000, 02:00
Όγκος (MM)	152.49
Παροχή Αιχμής Εισόδου (M3/S)	857.06
Όγκος Εισροής (M3)	1.11E8

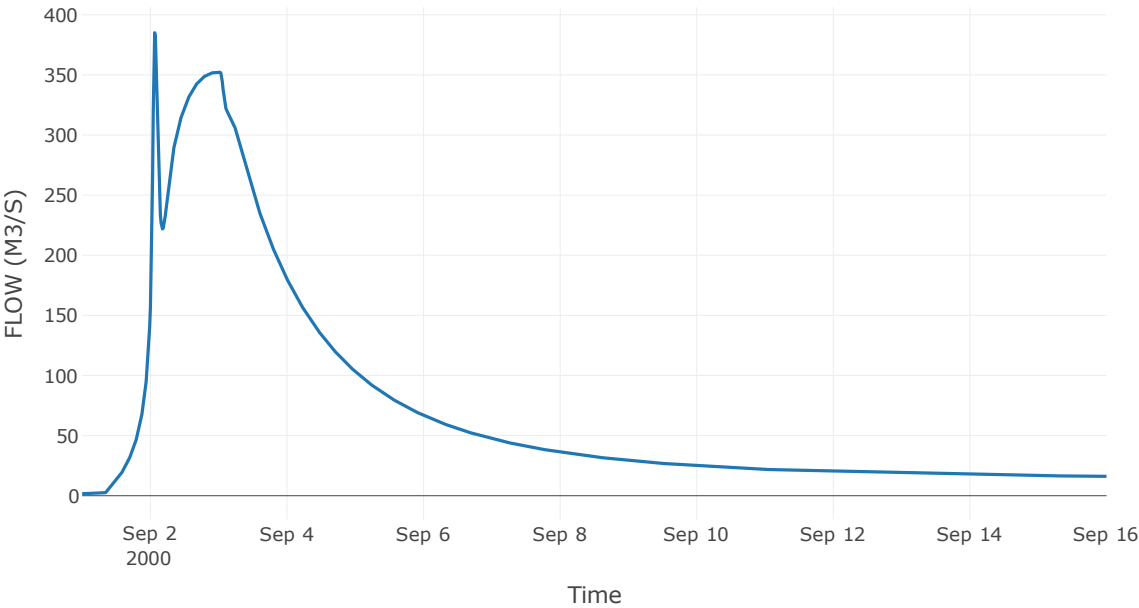
Απορροή



Αποτελέσμα
α: R87

Παροχή αιχμής (M3/S)	385.07
Χρονική στιγμή αιχμής	02Sep2000, 01:30
Όγκος (MM)	148.47
Παροχή Αιχμής Εισόδου (M3/S)	387.39
Όγκος Εισροής (M3)	9.4E7

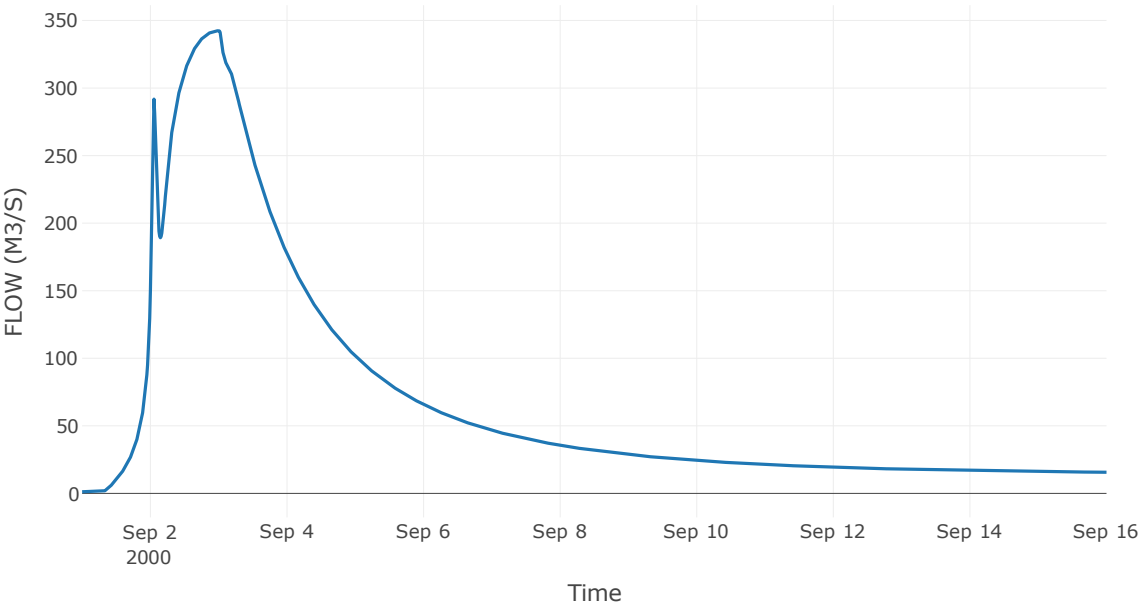
Απορροή



Αποτελέσμα
α: R98

Παροχή αιχμής (M3/S)	342.38
Χρονική στιγμή αιχμής	02Sep2000, 24:00
Όγκος (MM)	148.02
Παροχή Αιχμής Εισόδου (M3/S)	342.39
Όγκος Εισροής (M3)	9.07E7

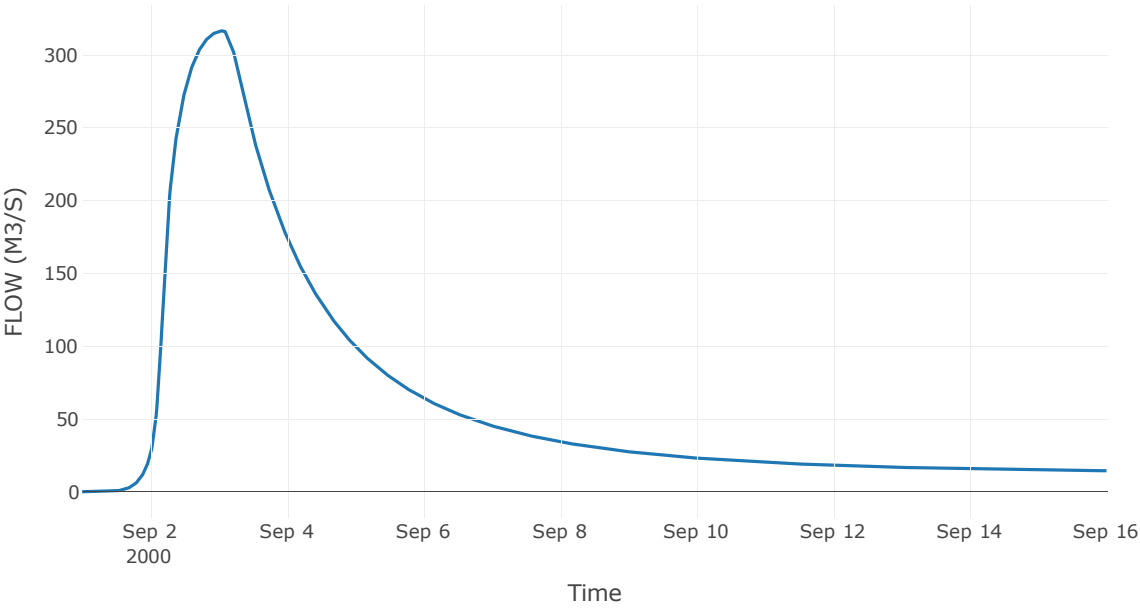
Απορροή



Αποτελέσματα:
R109

Παροχή αιχμής (M3/S)	316.46
Χρονική στιγμή αιχμής	03Sep2000, 01:15
Όγκος (MM)	146.5
Παροχή Αιχμής Εισόδου (M3/S)	316.46
Όγκος Εισροής (M3)	8.21E7

Απορροή

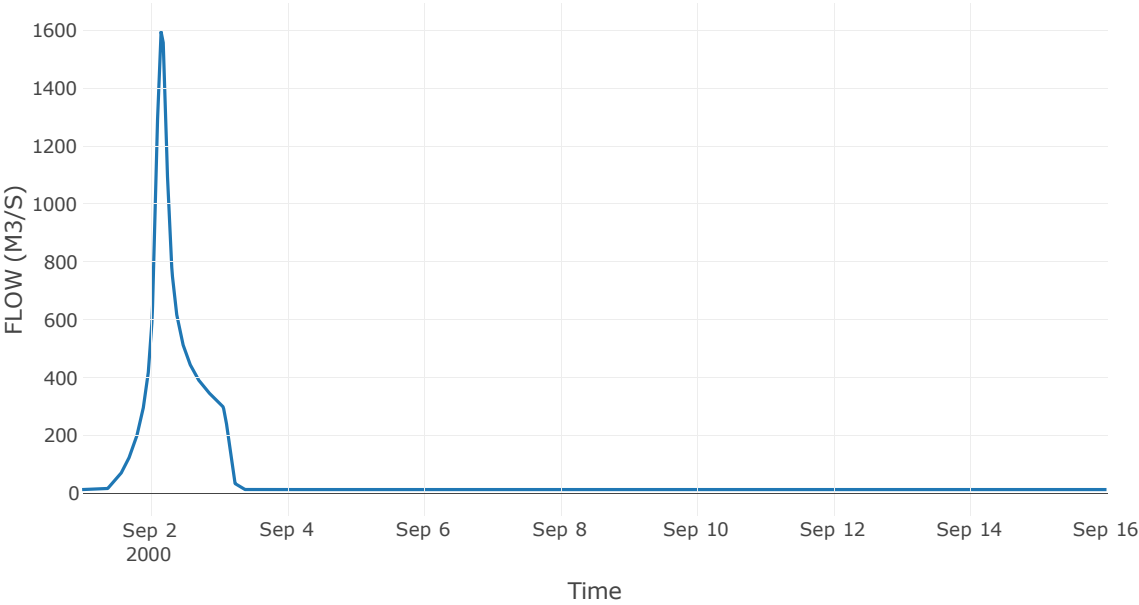


Κλάδος: R1110

Αποτελέσματα:
R1110

Παροχή αιχμής (M3/S)	1604.89
Χρονική στιγμή αιχμής	02Sep2000, 04:00
Όγκος (MM)	157.54
Παροχή Αιχμής Εισόδου (M3/S)	1617.39
Όγκος Εισροής (M3)	8.38E7

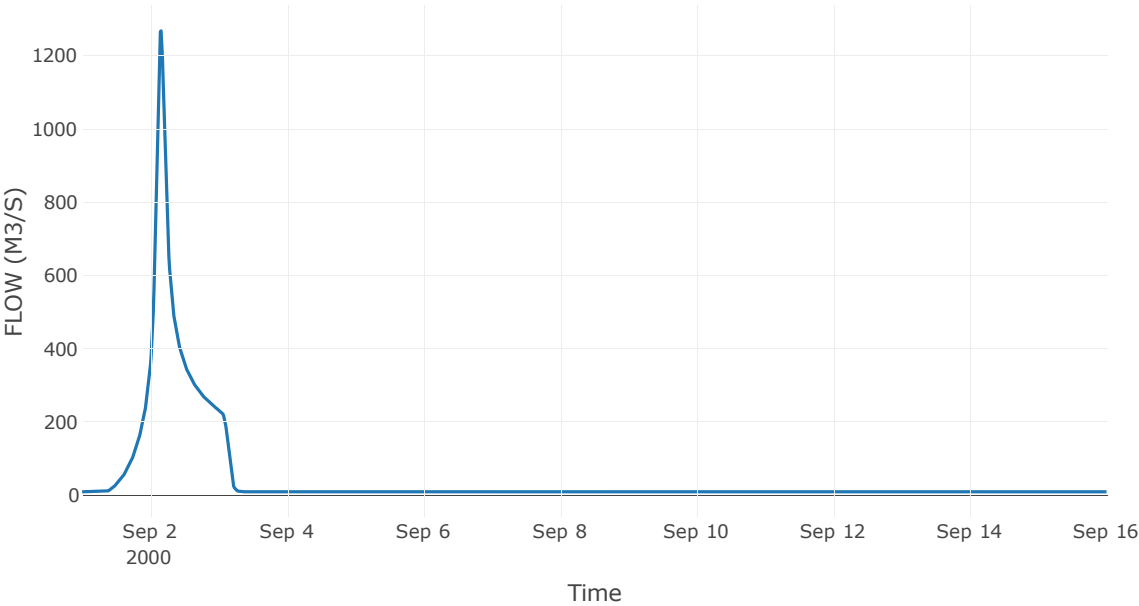
Απορροή



Αποτελέσματα:
R1211

Παροχή αιχμής (M3/S)	1267.64
Χρονική στιγμή αιχμής	02Sep2000, 03:45
Όγκος (MM)	151.49
Παροχή Αιχμής Εισόδου (M3/S)	1312.13
Όγκος Εισροής (M3)	6.08E7

Απορροή

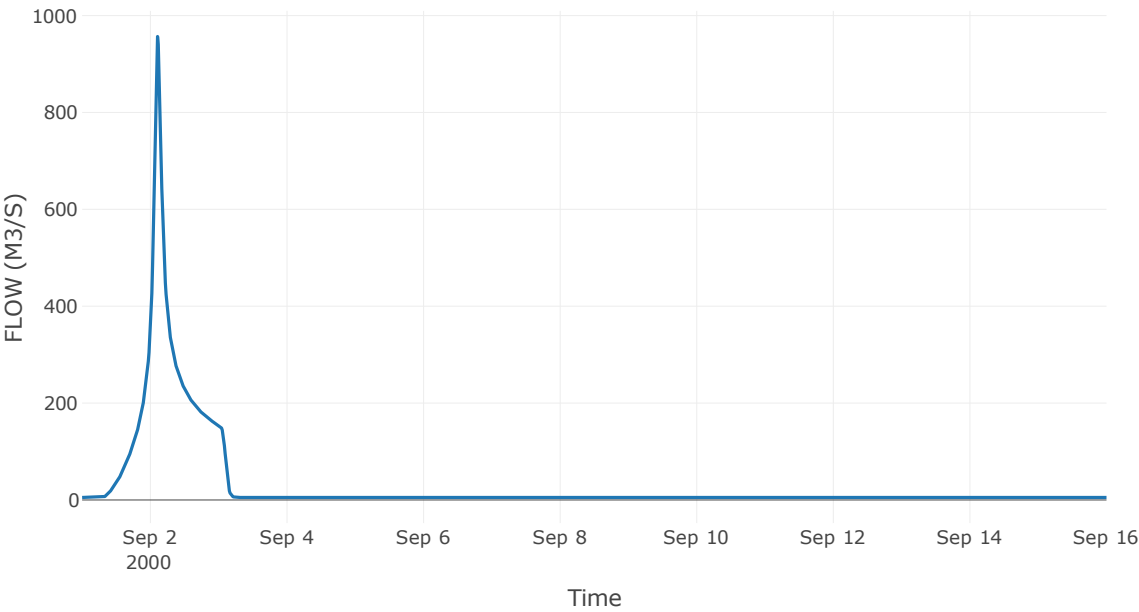


Κλάδος: R1312

Αποτελέσματα: R1312

Παροχή Αιχμής(M3/S)	956.81
Χρονική στιγμή αιχμής	02Sep2000, 02:30
Όγκος (MM)	184.02
Παροχή Αιχμής Εισόδου (M3/S)	985.85
Όγκος Εισόδου(M3)	4.14E7

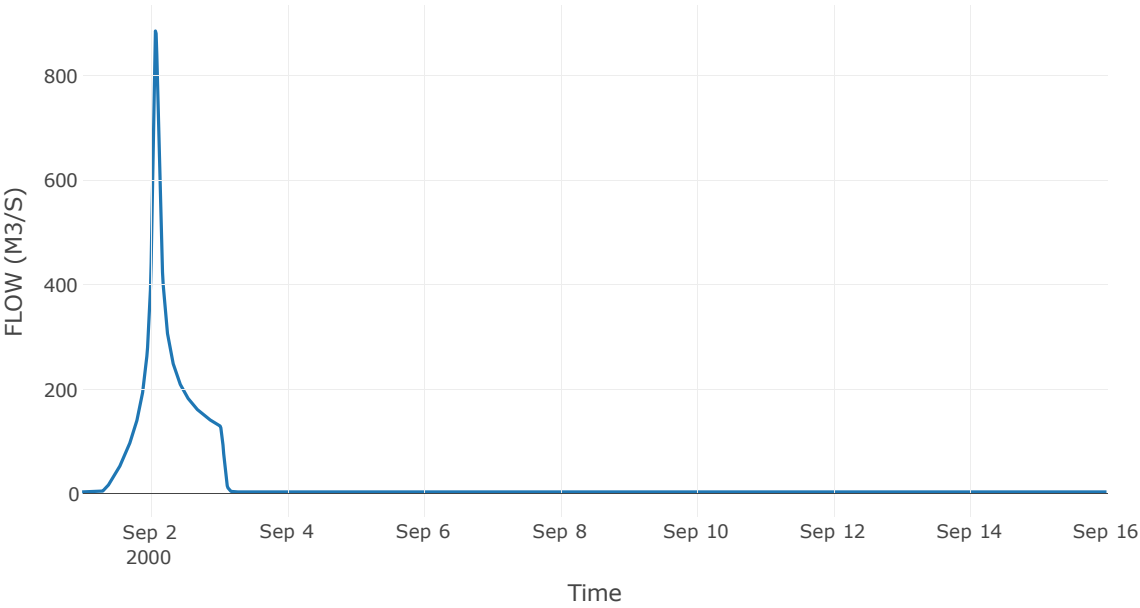
Απορροή



Αποτελέσματα:
R1413

Παροχή αιχμής (M3/S)	885.48
Χρονική στιγμή αιχμής	02Sep2000, 01:45
Όγκος (MM)	191.12
Παροχή Αιχμής Εισόδου (M3/S)	889.56
Όγκος Εισροής (M3)	3.65E7

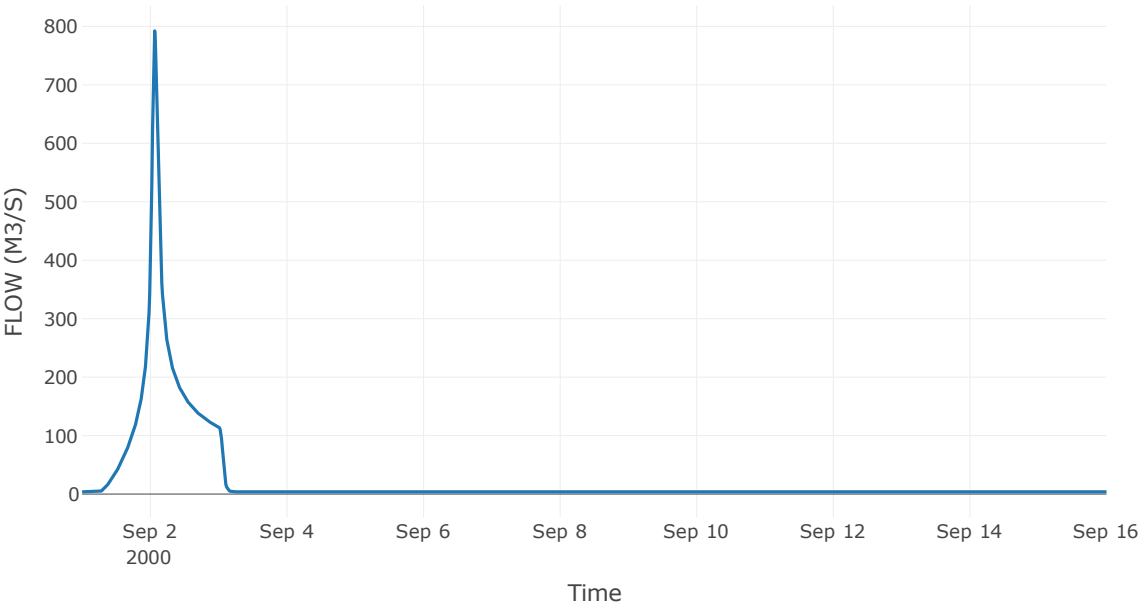
Απορροή



Αποτελέσματα:
R1514

Παροχή αιχμής (M3/S)	792.41
Χρονική στιγμή αιχμής	02Sep2000, 01:30
Όγκος (MM)	190.54
Παροχή Αιχμής Εισόδου (M3/S)	795.25
Όγκος Εισροής (M3)	3.17E7

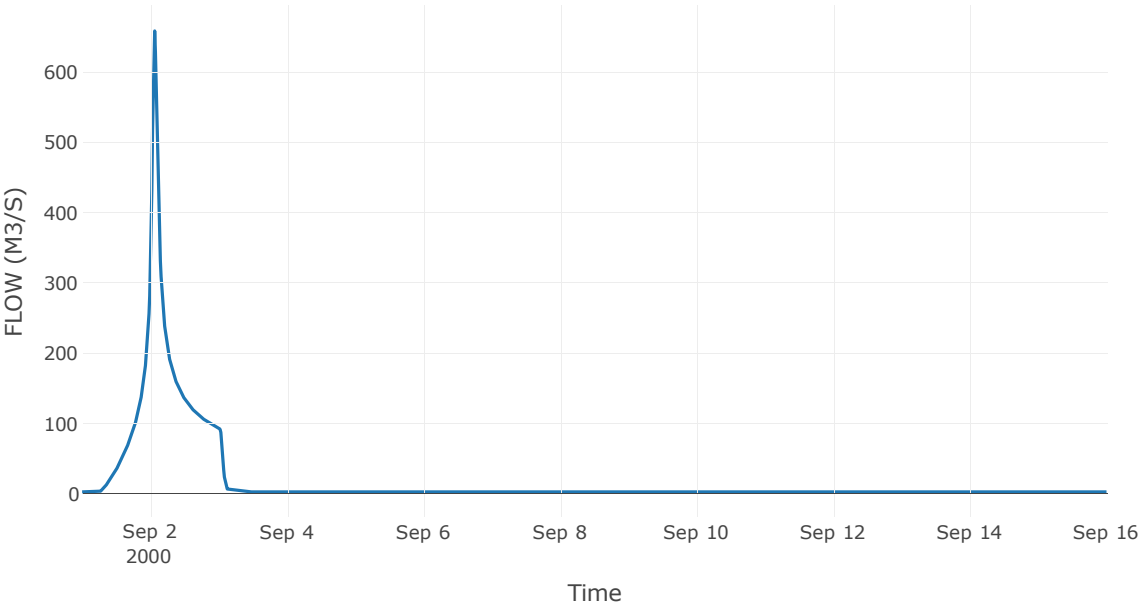
Απορροή



Αποτελέσματα:
R1615

Παροχή αιχμής (M3/S)	658.66
Χρονική στιγμή αιχμής	02Sep2000, 01:30
Όγκος (MM)	194.59
Παροχή Αιχμής Εισόδου (M3/S)	665.61
Όγκος Εισροής (M3)	2.6E7

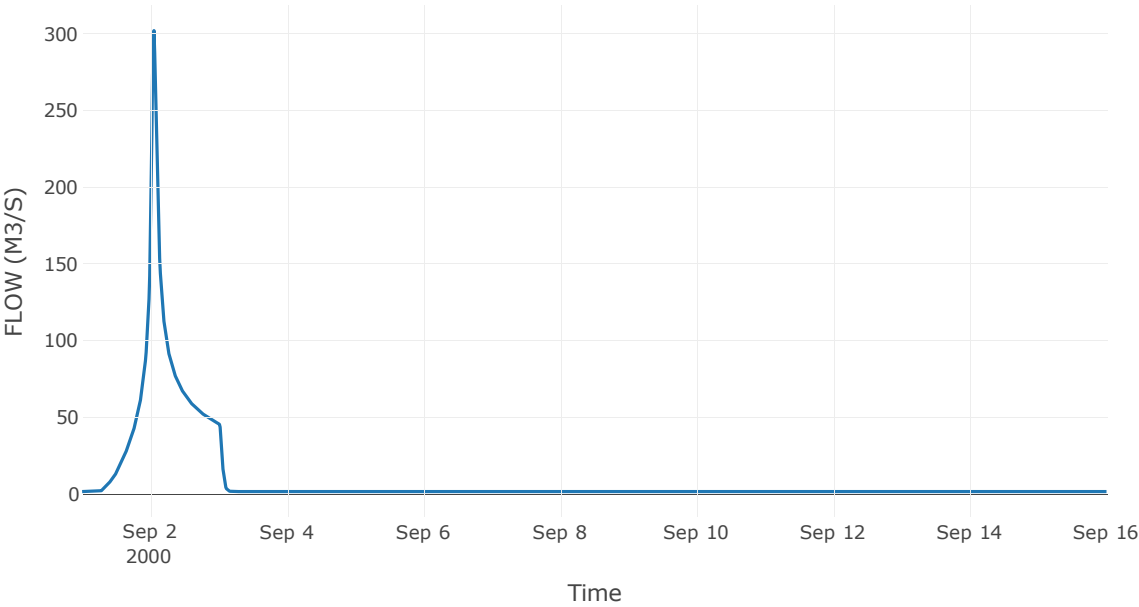
Απορροή



Αποτελέσματα:
R1716

Παροχή αιχμής (M3/S)	302
Χρονική στιγμή αιχμής	02Sep2000, 01:15
Όγκος (MM)	178.68
Παροχή Αιχμής Εισόδου (M3/S)	303.74
Όγκος Εισροής (M3)	1.22E7

Απορροή

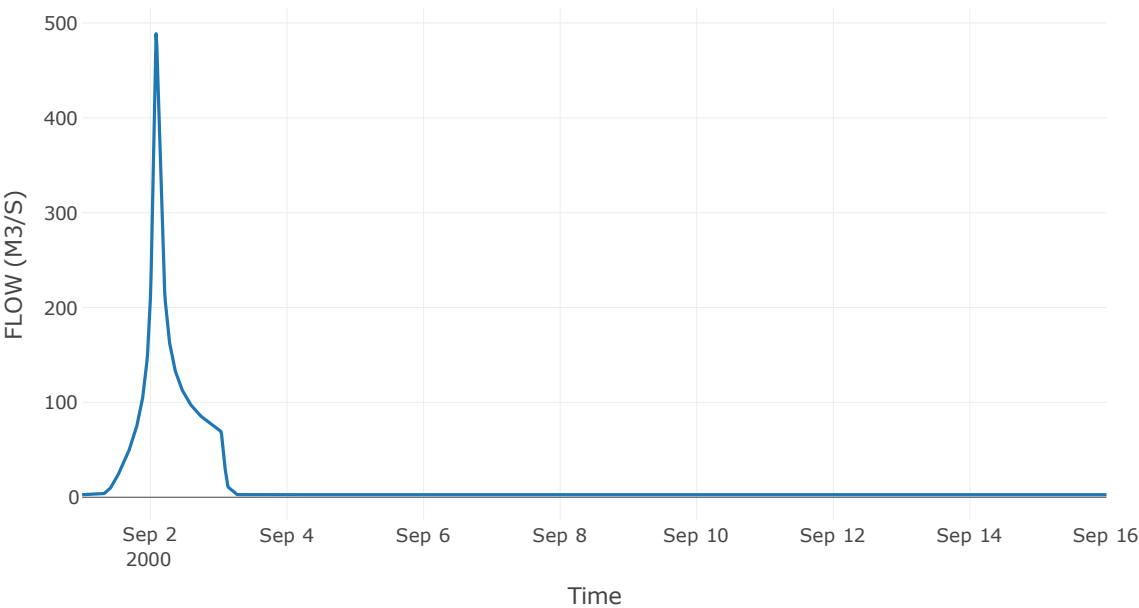


Κλάδος: R1811

Αποτελέσματα:
R1811

Παροχή αιχμής (M3/S)	488.64
Χρονική στιγμή αιχμής	02Sep2000, 02:00
Όγκος (MM)	177.46
Παροχή Αιχμής Εισόδου (M3/S)	500.15
Όγκος Εισροής (M3)	2.07E7

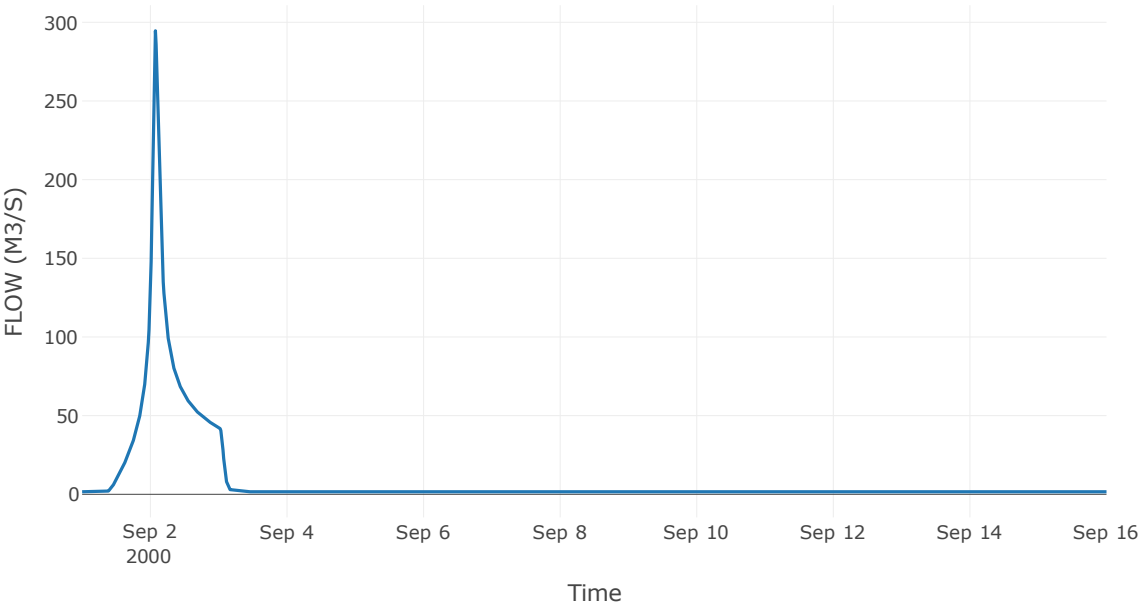
Απορροή



Αποτελέσματα:
R1918

Παροχή αιχμής (M3/S)	294.6
Χρονική στιγμή αιχμής	02Sep2000, 01:45
Όγκος (MM)	172.3
Παροχή Αιχμής Εισόδου (M3/S)	295.78
Όγκος Εισροής (M3)	1.2E7

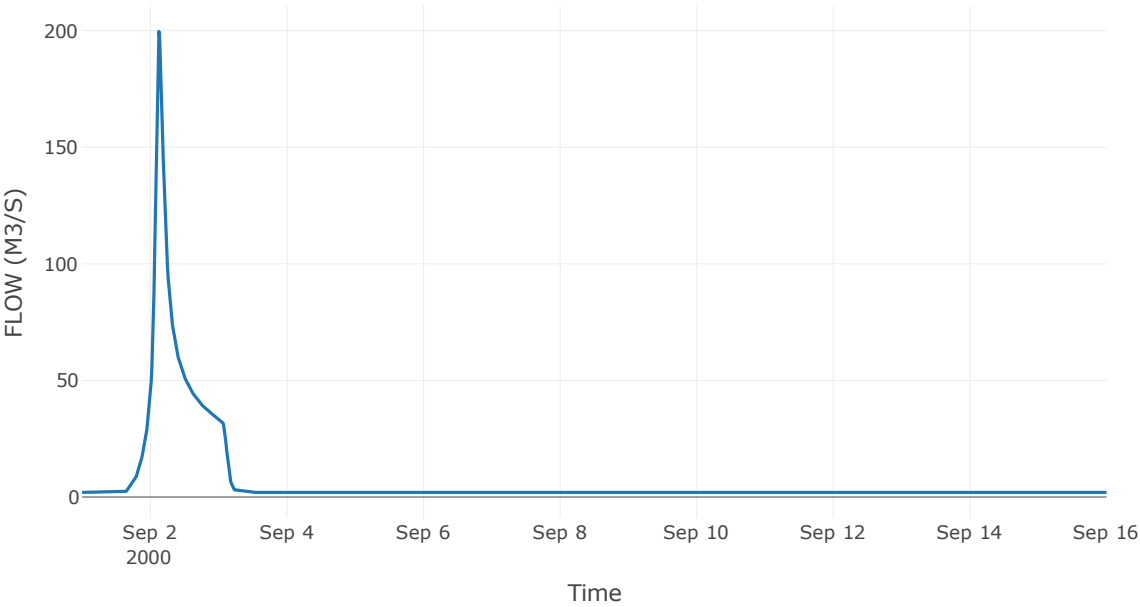
Απορροή



Αποτελέσματα: R2012

Παροχή Αιχμής(M3/S)	199.63
Χρονική στιγμή αιχμής	02Sep2000, 03:00
Όγκος (MM)	106.91
Παροχή Αιχμής Εισόδου (M3/S)	208.87
Όγκος Εισόδου(M3)	9.18E6

Απορροή

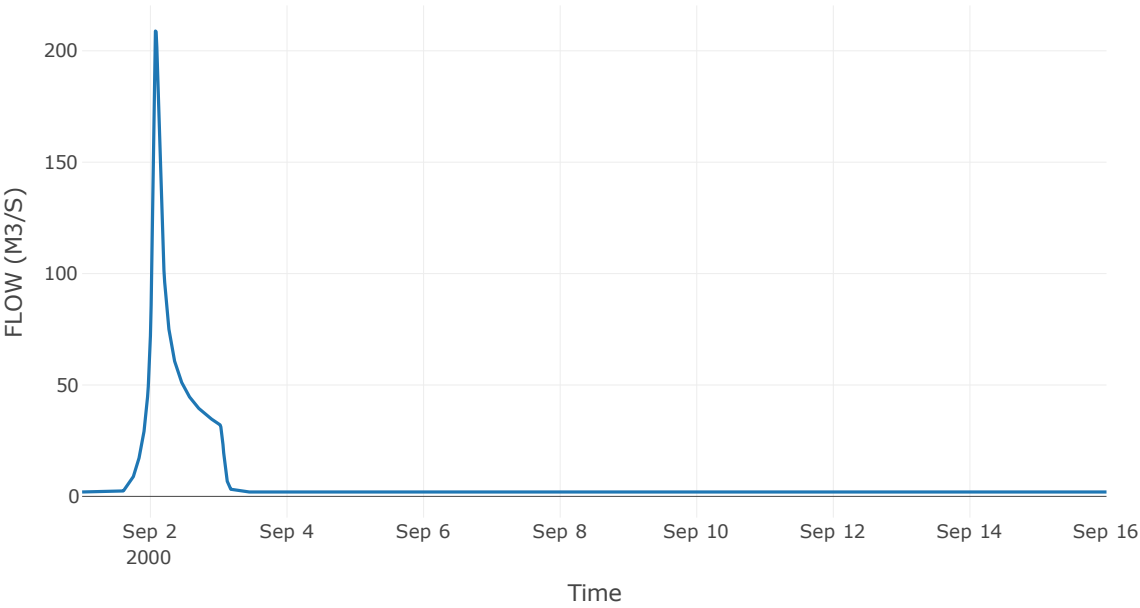


Κλάδος: R2120

Αποτελέσματα:
R2120

Παροχή αιχμής (M3/S)	208.87
Χρονική στιγμή αιχμής	02Sep2000, 01:45
Όγκος (MM)	106.91
Παροχή Αιχμής Εισόδου (M3/S)	212.58
Όγκος Εισροής (M3)	9.18E6

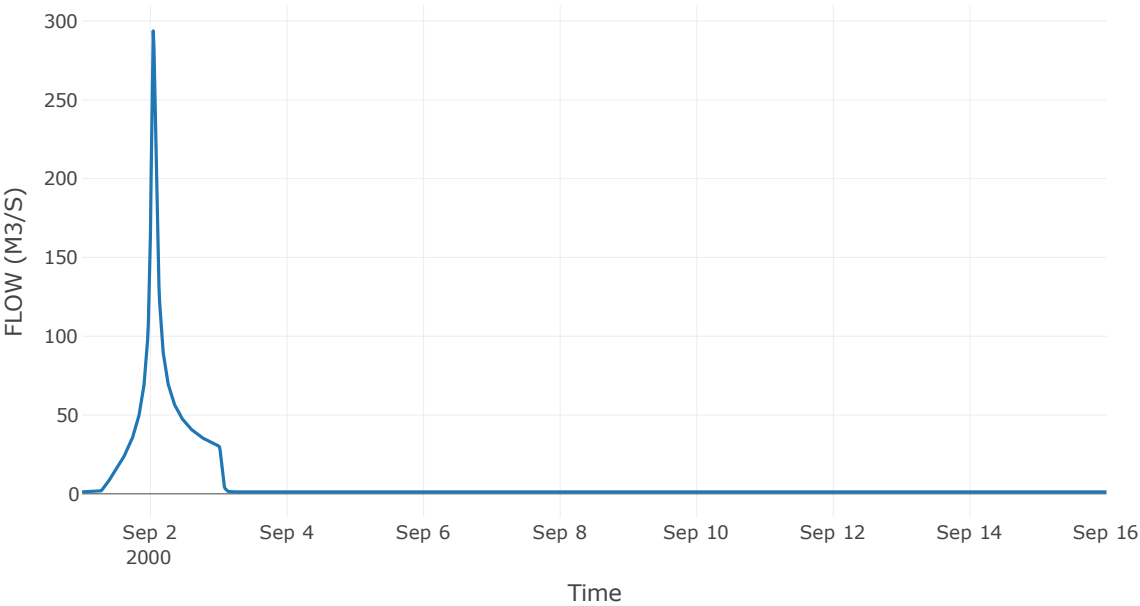
Απορροή



Αποτελέσματα:
R227

Παροχή αιχμής (M3/S)	293.73
Χρονική στιγμή αιχμής	02Sep2000, 01:00
Όγκος (MM)	185.49
Παροχή Αιχμής Εισόδου (M3/S)	294.79
Όγκος Εισροής (M3)	9.88E6

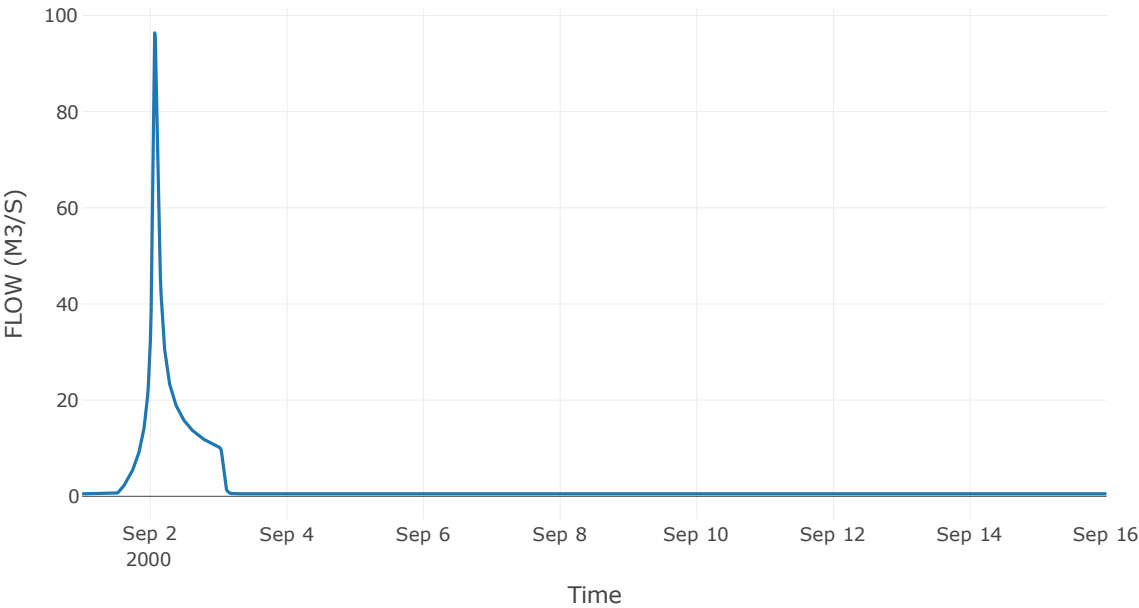
Απορροή



Αποτελέσματα:
R232

Παροχή αιχμής (M3/S)	96.39
Χρονική στιγμή αιχμής	02Sep2000, 01:30
Όγκος (MM)	138.87
Παροχή Αιχμής Εισόδου (M3/S)	96.73
Όγκος Εισροής (M3)	3.13E6

Απορροή



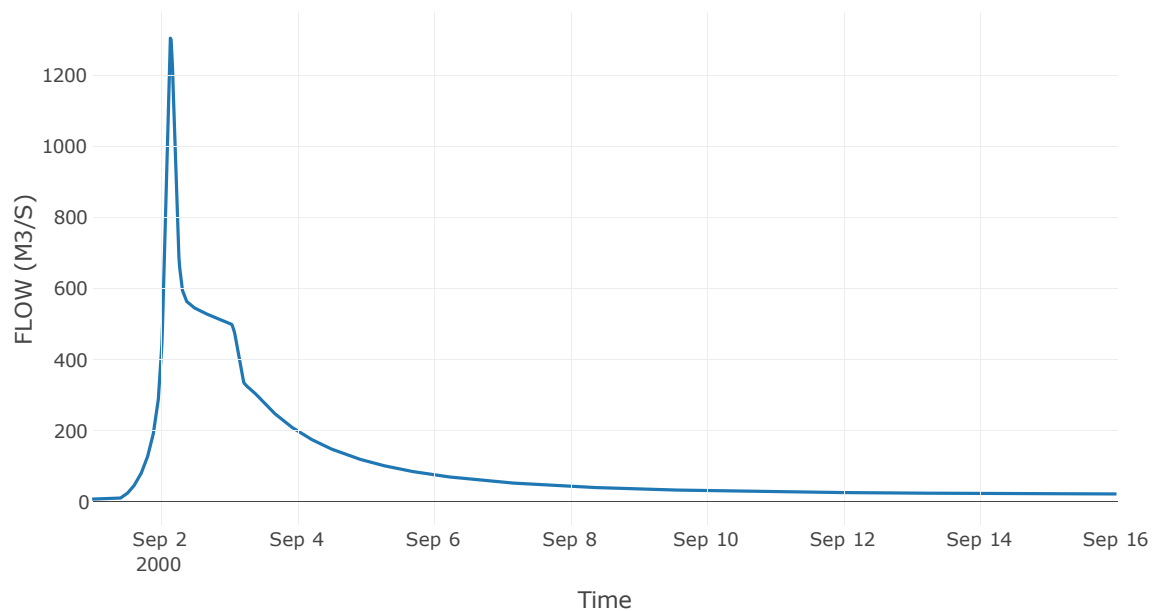
2.3 Δεδομένα και Υδρογραφήματα Σχεδιασμού Κόμβων Υδρογραφικού Δικτύου

Κόμβος εξόδου: J1

Αποτέλεσμα
τα: J1

Παροχή αιχμής (M3/S)	1304.16
Χρονική στιγμή αιχμής	02Sep2000, 03:30
Όγκος (MM)	147.15

Απορροή



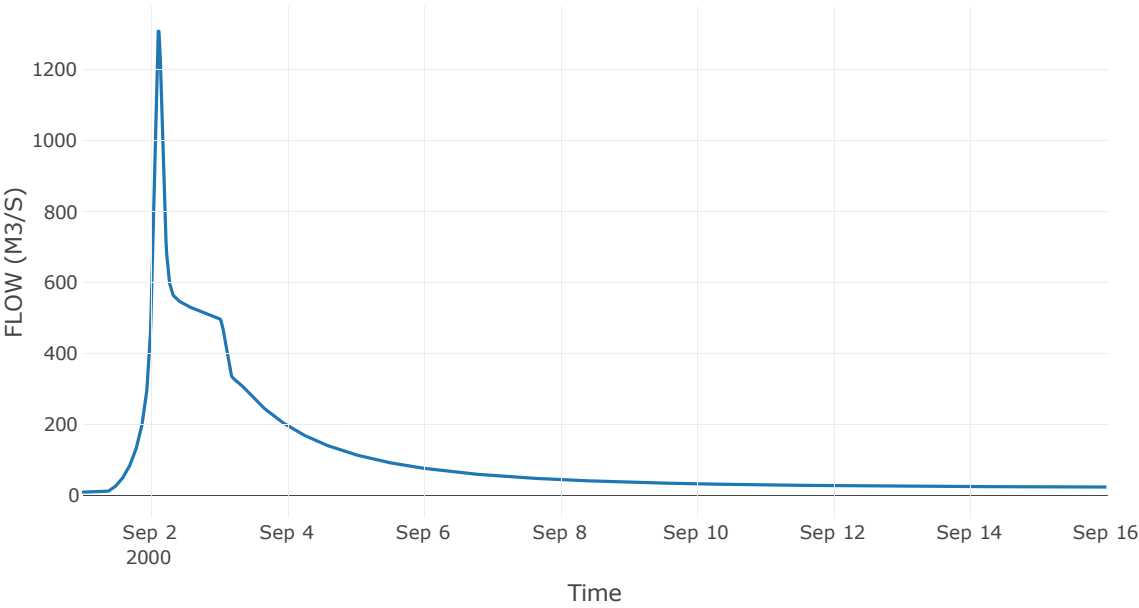
Κόμβος: J2

Κατάντη : R21

Αποτελέσματα: J2

Παροχή Αιχμής(M3/S)	1308.13
Χρονική στιγμή αιχμής	02Sep2000, 02:45
Όγκος (MM)	147.26

Απορροή



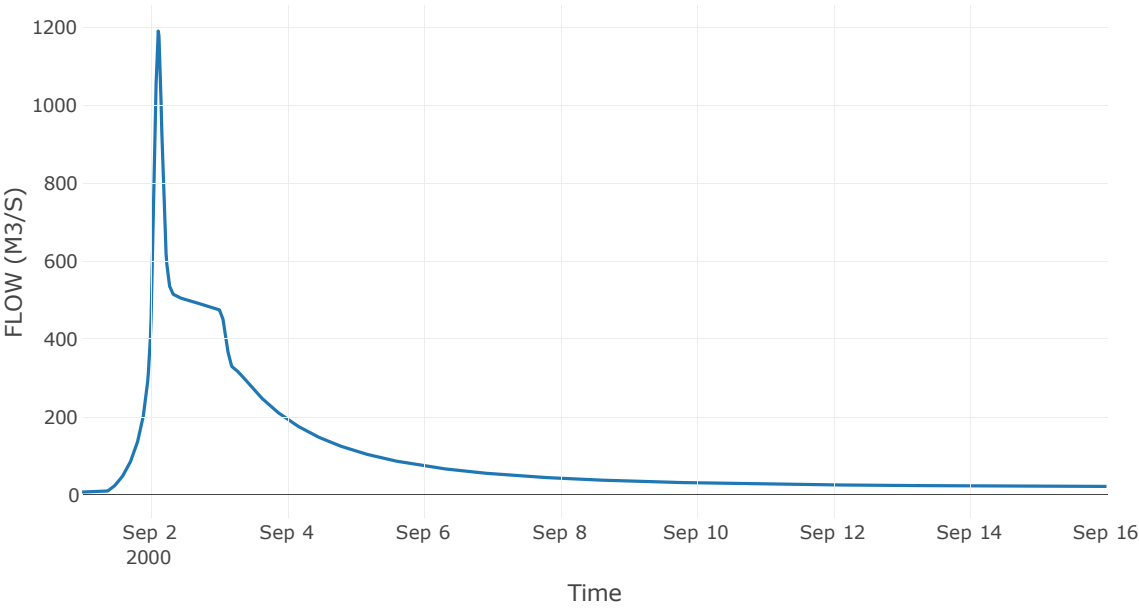
Κόμβος: J3

Κατάντη : R32

Αποτελέσματα: J3

Παροχή Αιχμής(M3/S)	1190.7
Χρονική στιγμή αιχμής	02Sep2000, 02:45
Όγκος (MM)	148.61

Απορροή



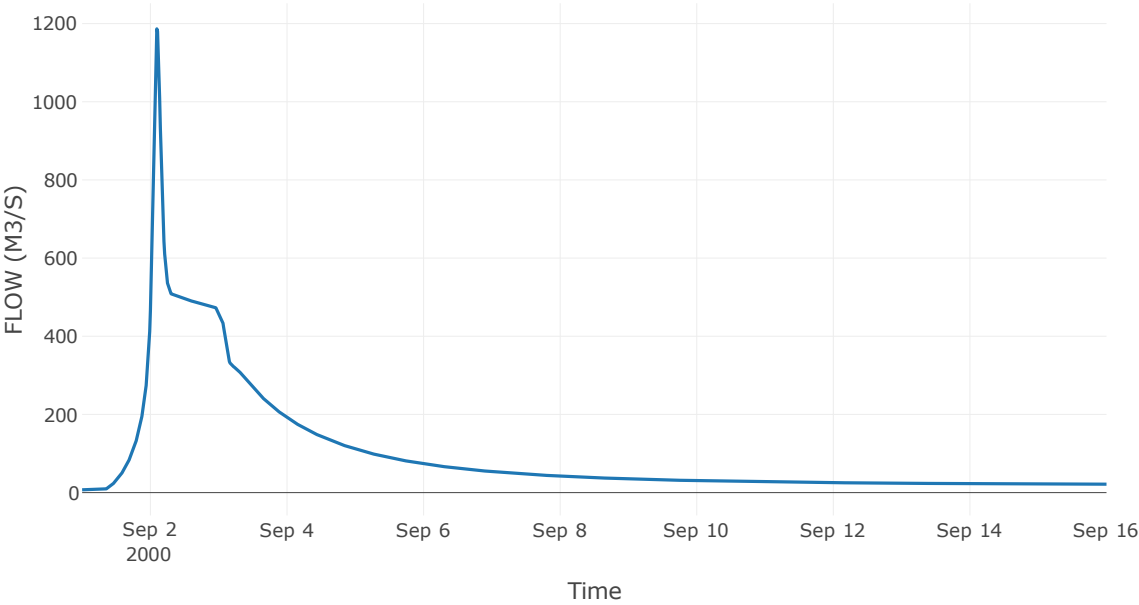
Κόμβος: J4

Κατάντη : R43

Αποτελέσματα: J4

Παροχή Αιχμής(M3/S)	1186.47
Χρονική στιγμή αιχμής	02Sep2000, 02:15
Όγκος (MM)	148.87

Απορροή



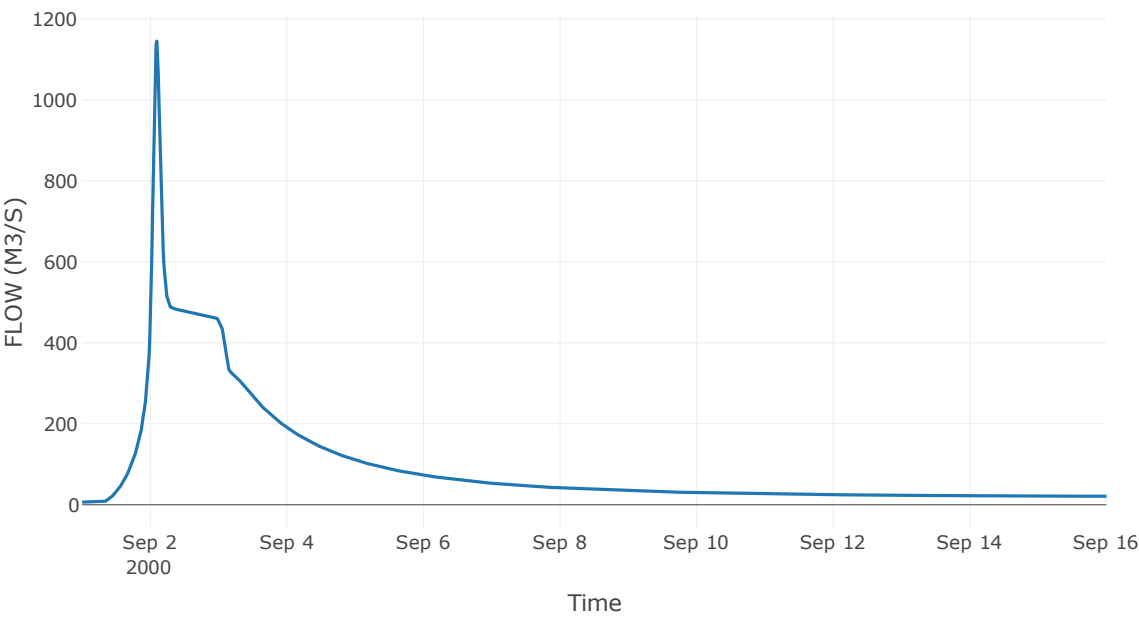
Κόμβος: J5

Κατάντη : R54

Αποτελέσματα: J5

Παροχή Αιχμής(M3/S)	1144.67
Χρονική στιγμή αιχμής	02Sep2000, 02:15
Όγκος (MM)	150.09

Απορροή



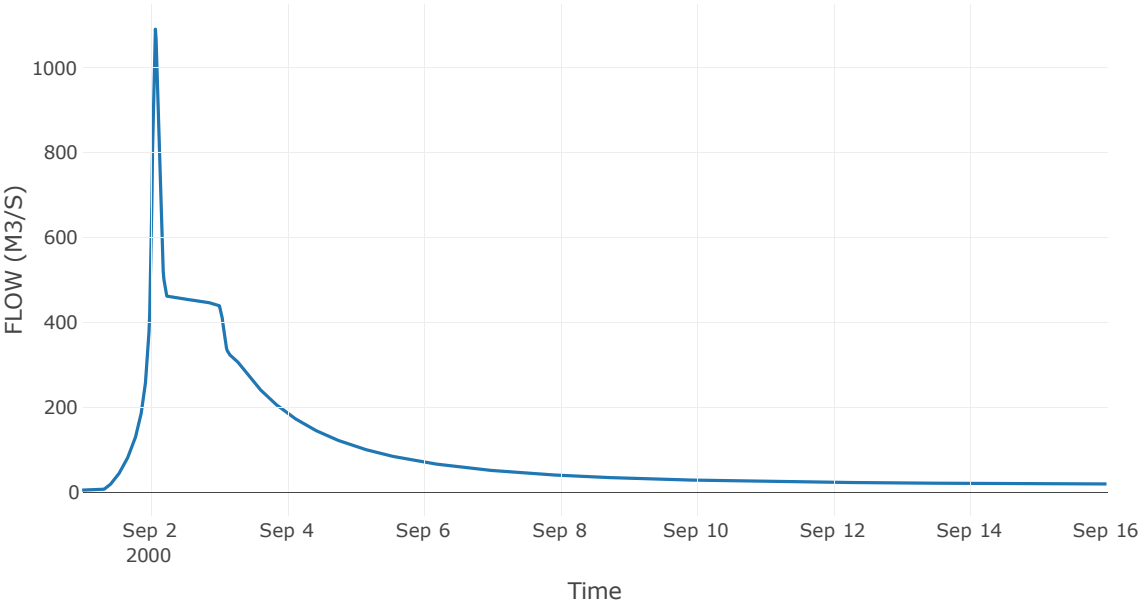
Κόμβος: J6

Κατάντη : R65

Αποτελέσματα: J6

Παροχή Αιχμής(M3/S)	1090.76
Χρονική στιγμή αιχμής	02Sep2000, 01:45
Όγκος (MM)	151.55

Απορροή



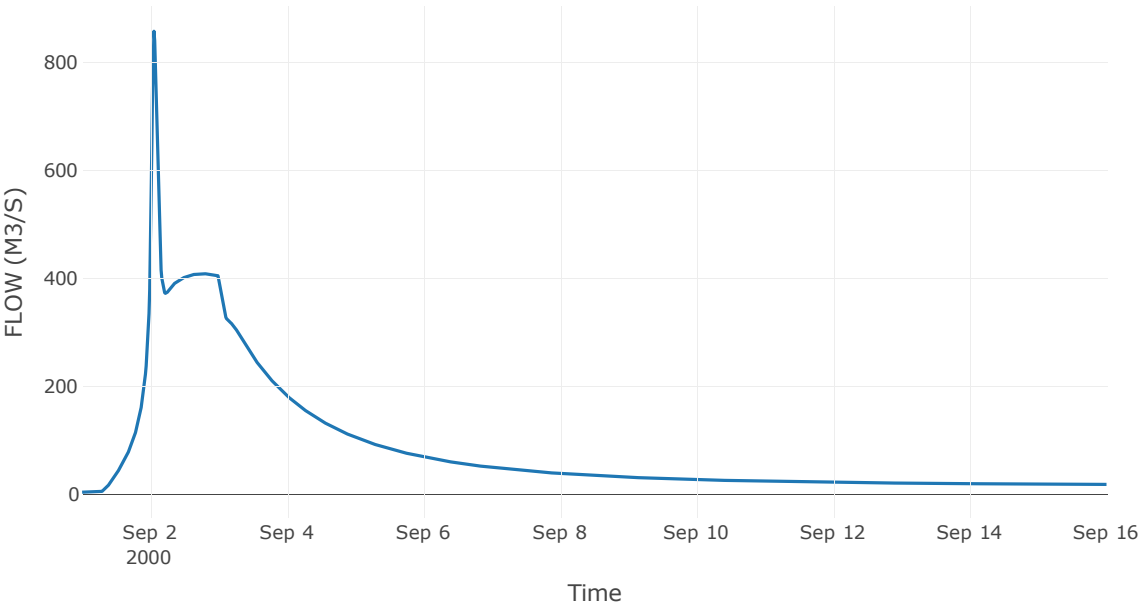
Κόμβος: J7

Κατάντη : R76

Αποτελέσματα: J7

Παροχή Αιχμής(M3/S)	857.06
Χρονική στιγμή αιχμής	02Sep2000, 01:15
Όγκος (MM)	152.54

Απορροή



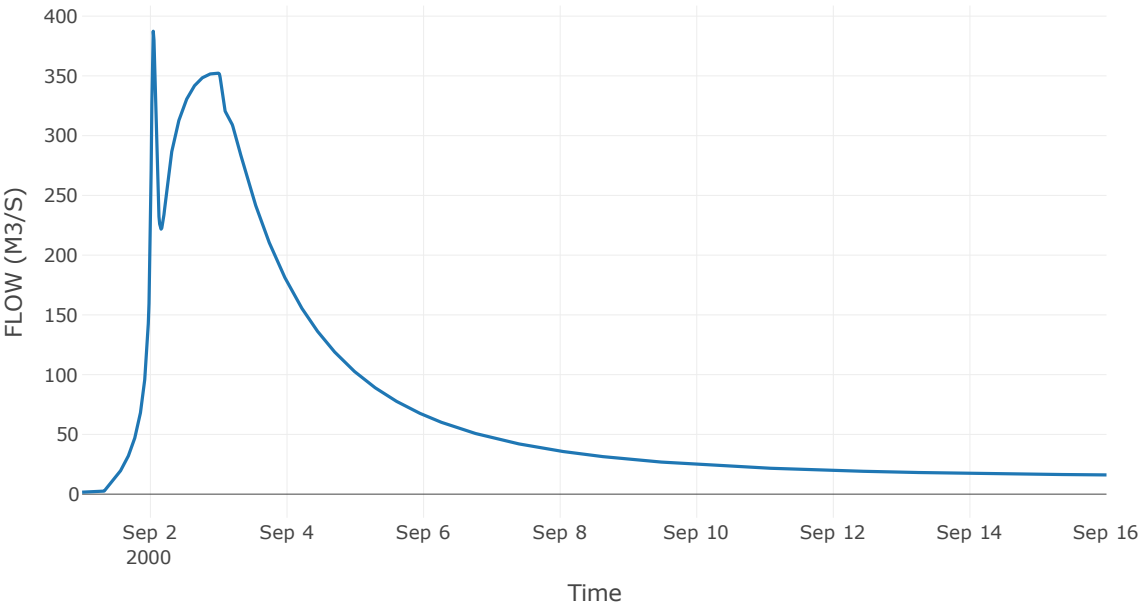
Κόμβος: J8

Κατάντη : R87

Αποτελέσματα: J8

Παροχή Αιχμής(M3/S)	387.39
Χρονική στιγμή αιχμής	02Sep2000, 01:00
Όγκος (MM)	148.51

Απορροή



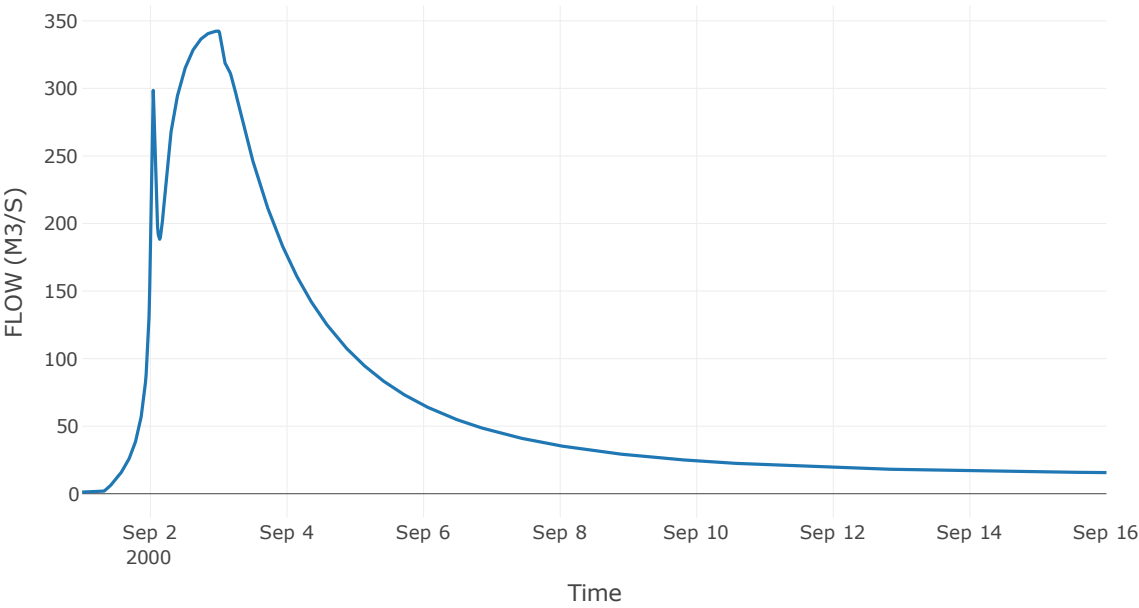
Κόμβος: J9

Κατάντη : R98

Αποτελέσματα: J9

Παροχή Αιχμής(M3/S)	342.39
Χρονική στιγμή αιχμής	02Sep2000, 23:45
Όγκος (MM)	148.04

Απορροή



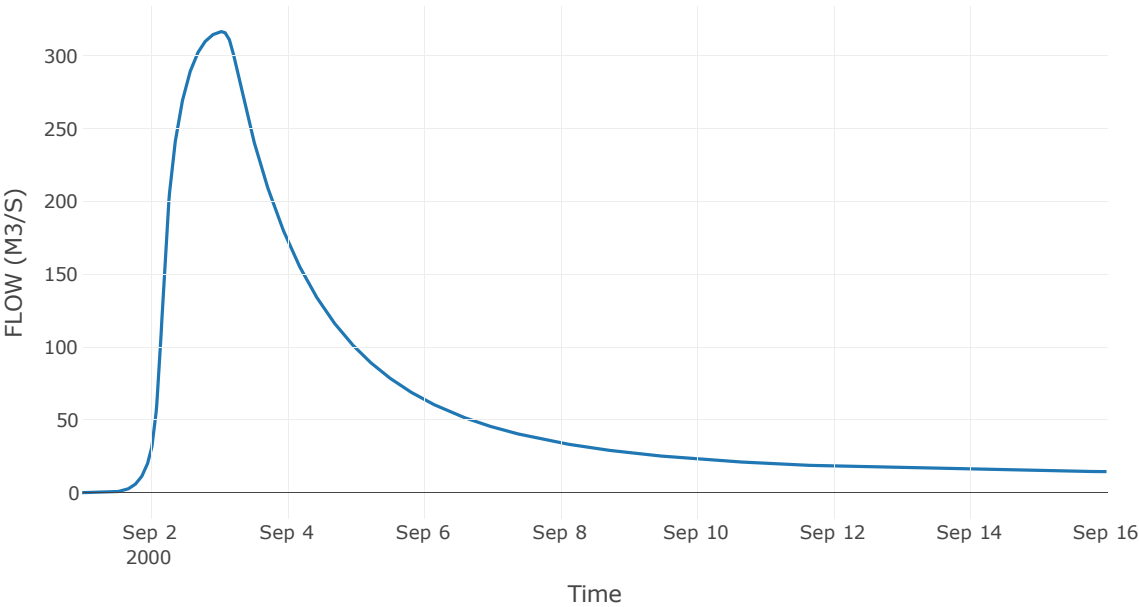
Reservoir: J10_RES1

Κατάντη : R109

Αποτελέσματα: J10_RES1

Παροχή Αιχμής(M3/S)	316.46
Χρονική στιγμή αιχμής	03Sep2000, 01:00
Όγκος (MM)	146.51
Παροχή Αιχμής Εισόδου (M3/S)	1659.78
Time of Peak Inflow	02Sep2000, 04:00
Όγκος Εισροής (M3)	8.84E7
Maximum Storage (M3)	8.19E8
Peak Elevation (M)	437.46
Discharge Όγκος (M3)	8.21E7

Απορροή



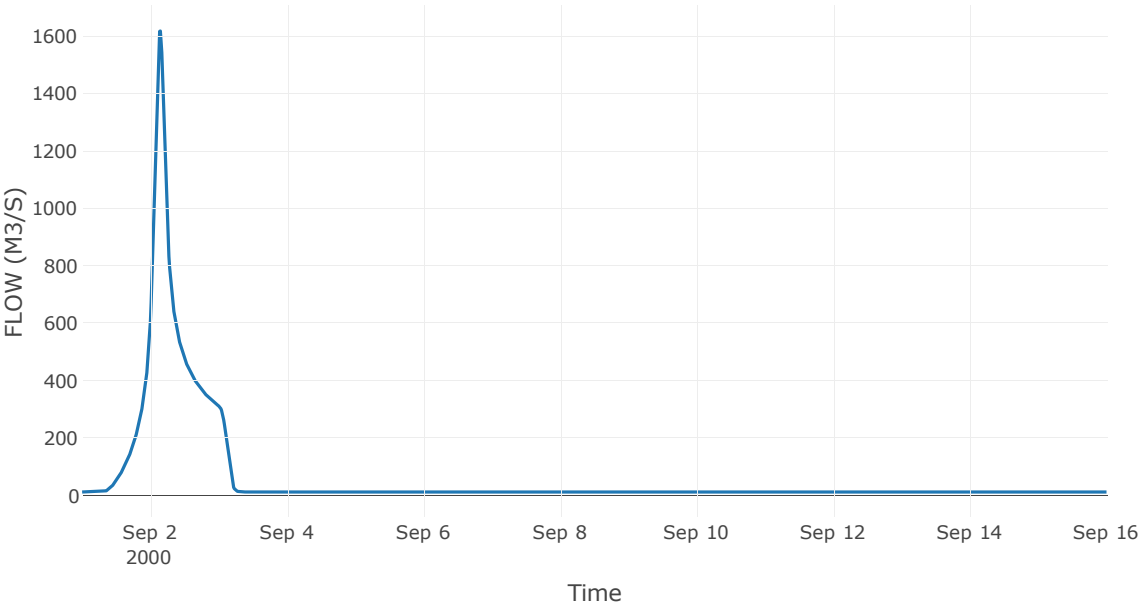
Κόμβος: J11

Κατάντη : R1110

Αποτελέσματα: J11

Παροχή Αιχμής(M3/S)	1617.39
Χρονική στιγμή αιχμής	02Sep2000, 03:30
Όγκος (MM)	157.54

Απορροή



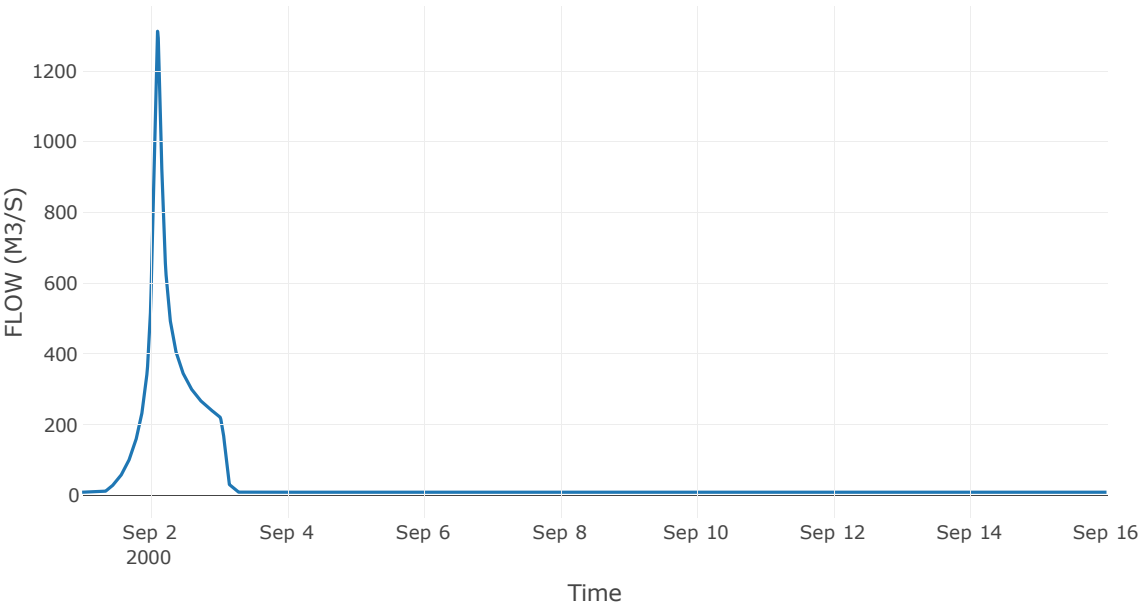
Κόμβος: J12

Κατάντη : R1211

Αποτελέσματα: J12

Παροχή Αιχμής(M3/S)	1312.13
Χρονική στιγμή αιχμής	02Sep2000, 02:30
Όγκος (MM)	151.49

Απορροή



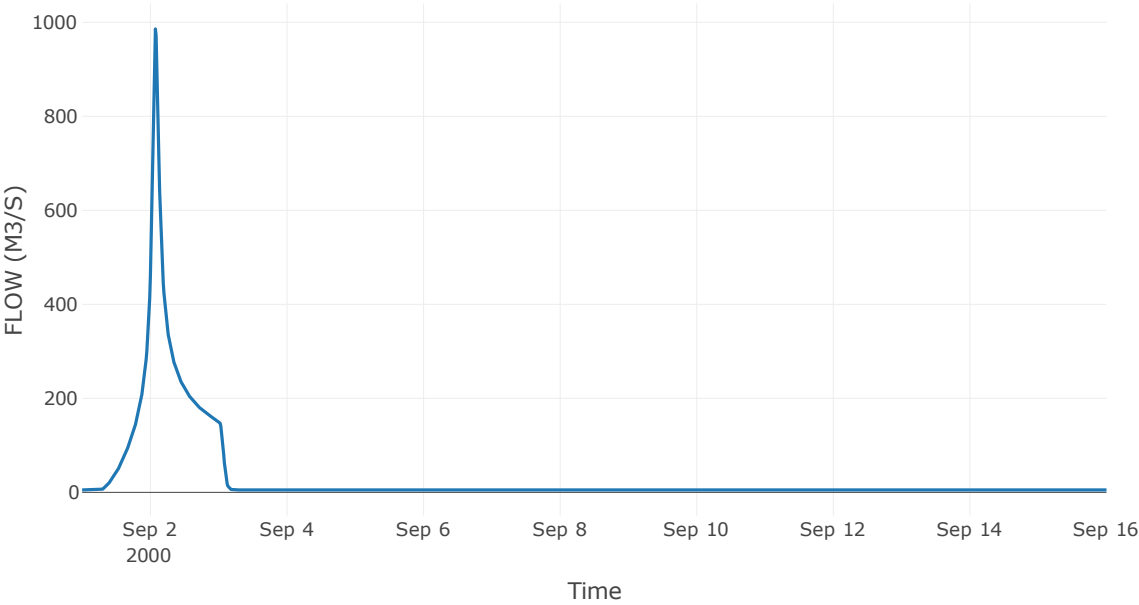
Κόμβος: J13

Κατάντη : R1312

Αποτελέσματα: J13

Παροχή Αιχμής(M3/S)	985.85
Χρονική στιγμή αιχμής	02Sep2000, 01:45
Όγκος (MM)	184.02

Απορροή



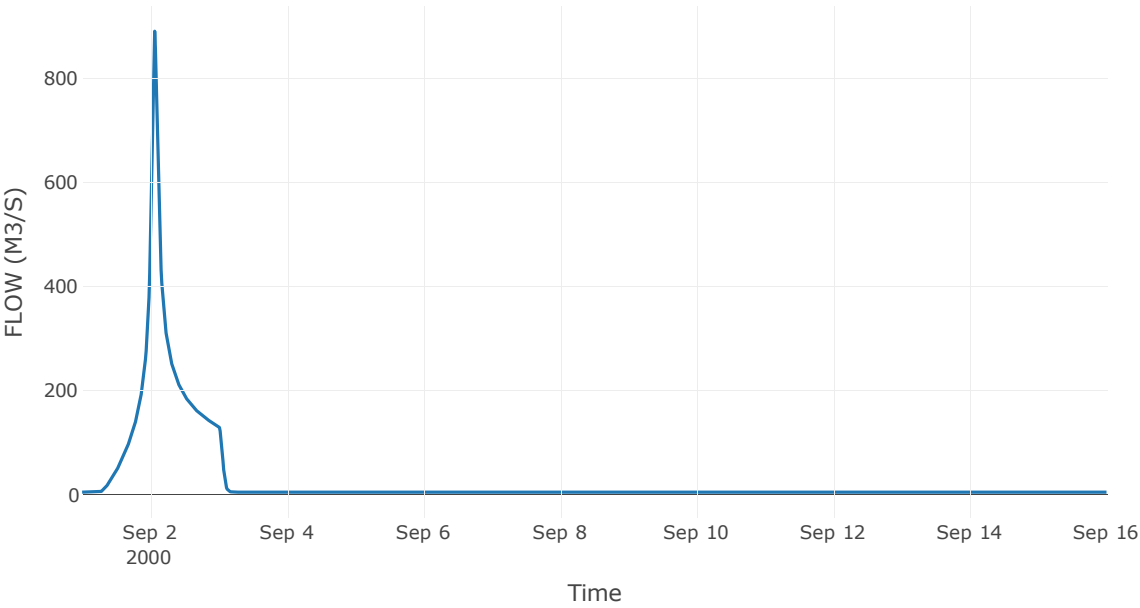
Κόμβος: J14

Κατάντη : R1413

Αποτελέσματα: J14

Παροχή Αιχμής(M3/S)	889.56
Χρονική στιγμή αιχμής	02Sep2000, 01:30
Όγκος (MM)	191.12

Απορροή



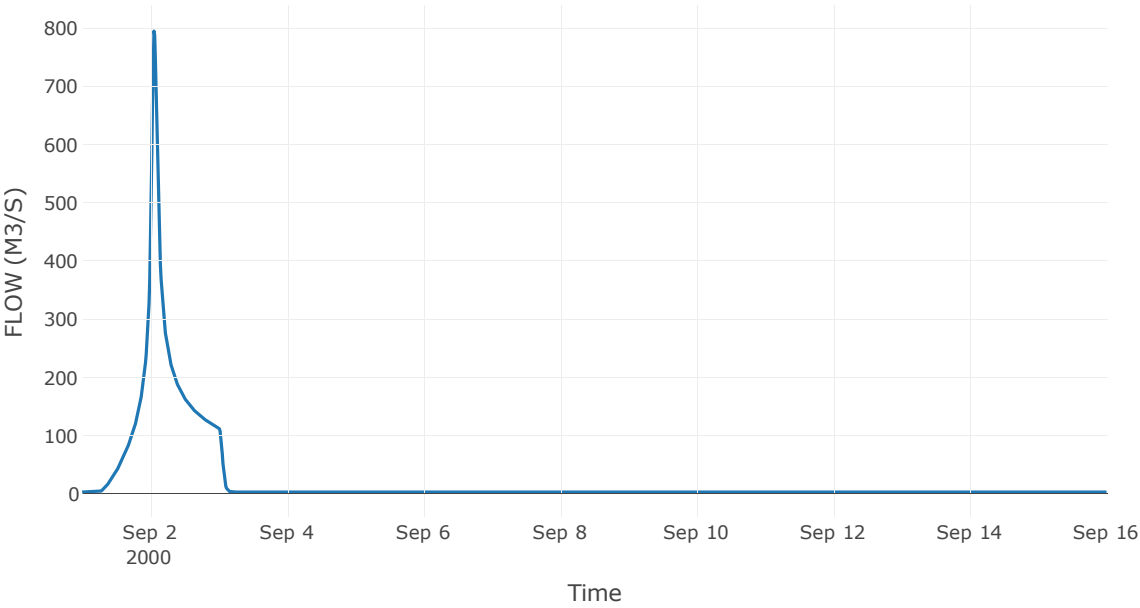
Κόμβος: J15

Κατάντη : R1514

Αποτελέσματα: J15

Παροχή Αιχμής(M3/S)	795.25
Χρονική στιγμή αιχμής	02Sep2000, 01:15
Όγκος (MM)	190.54

Απορροή



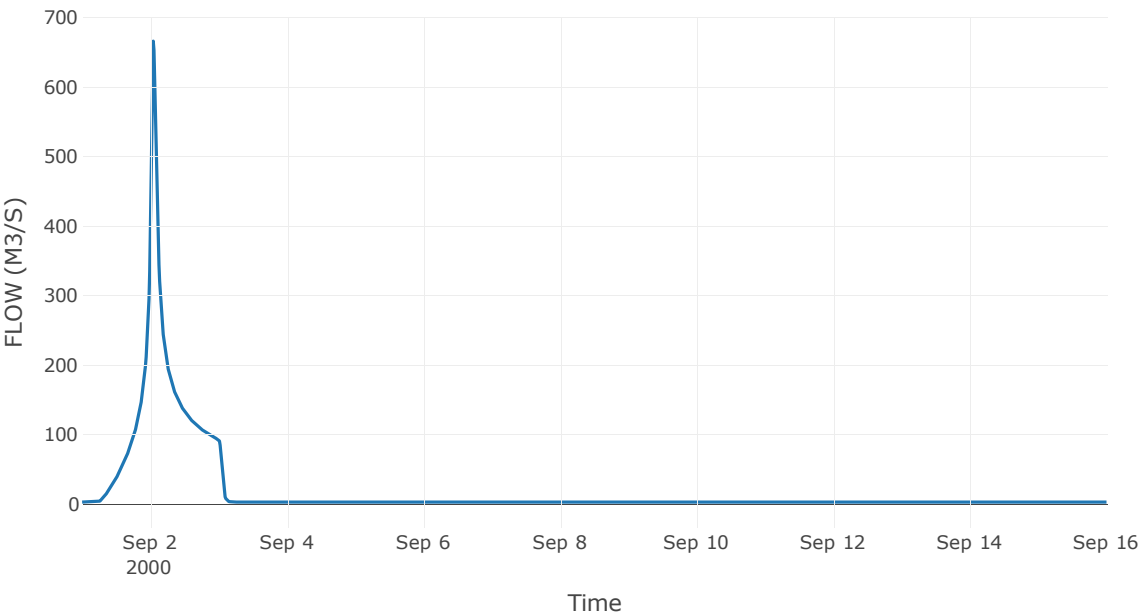
Κόμβος: J16

Κατάντη : R1615

Αποτελέσματα: J16

Παροχή Αιχμής(M3/S)	665.61
Χρονική στιγμή αιχμής	02Sep2000, 01:00
Όγκος (MM)	194.59

Απορροή



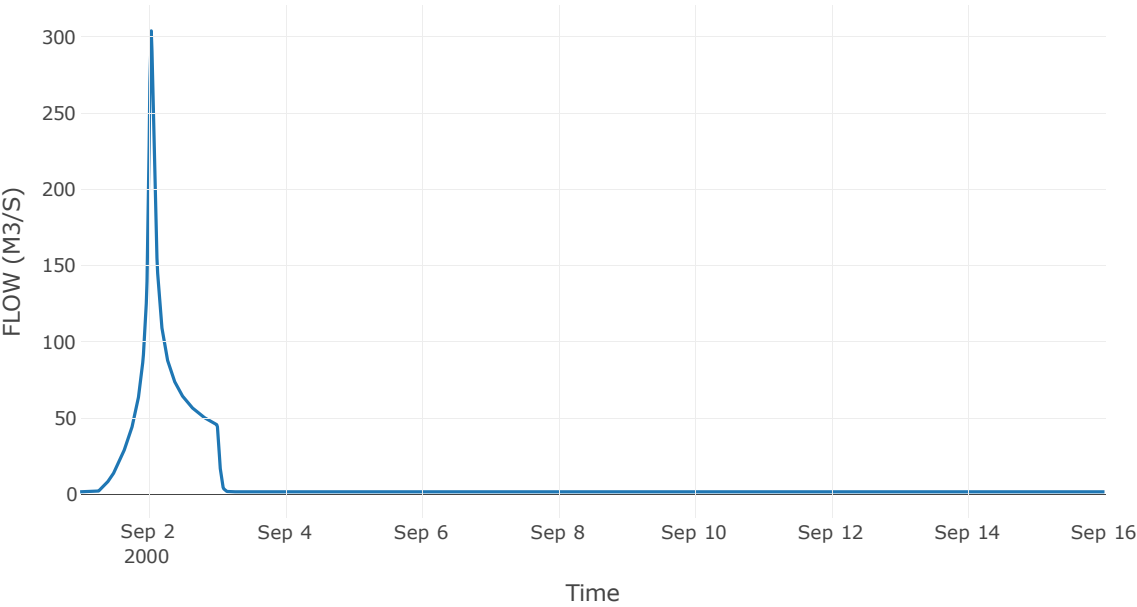
Κόμβος: J17

Κατάντη : R1716

Αποτελέσματα: J17

Παροχή Αιχμής(M3/S)	303.74
Χρονική στιγμή αιχμής	02Sep2000, 01:00
Όγκος (MM)	178.68

Απορροή



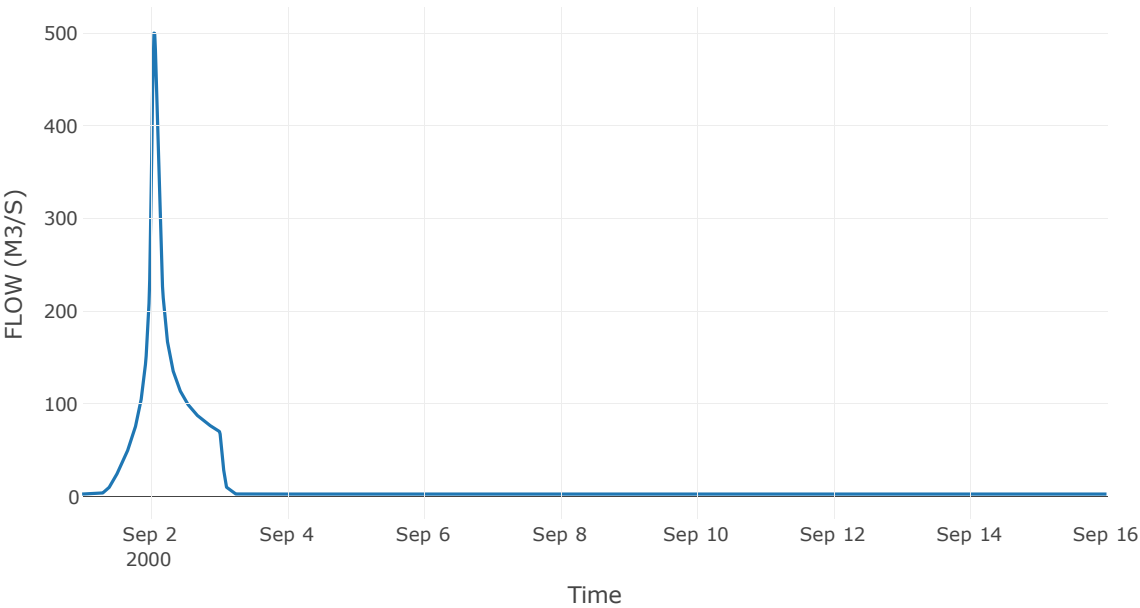
Κόμβος: J18

Κατάντη : R1811

Αποτελέσματα: J18

Παροχή Αιχμής(M3/S)	500.15
Χρονική στιγμή αιχμής	02Sep2000, 01:15
Όγκος (MM)	177.46

Απορροή



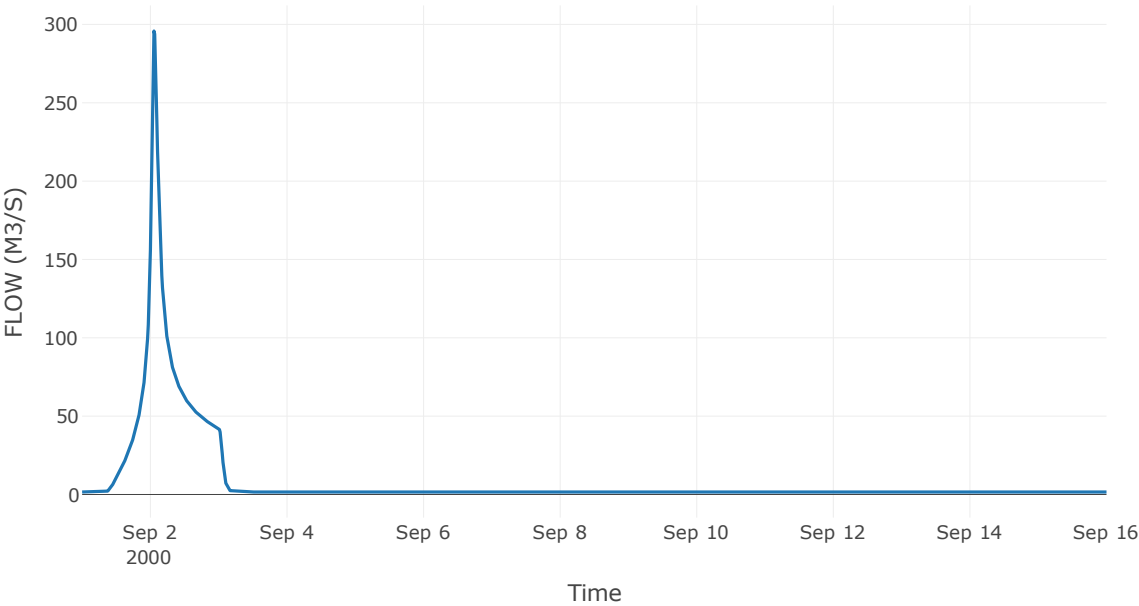
Κόμβος: J19

Κατάντη : R1918

Αποτελέσματα: J19

Παροχή Αιχμής(M3/S)	295.78
Χρονική στιγμή αιχμής	02Sep2000, 01:15
Όγκος (MM)	172.3

Απορροή



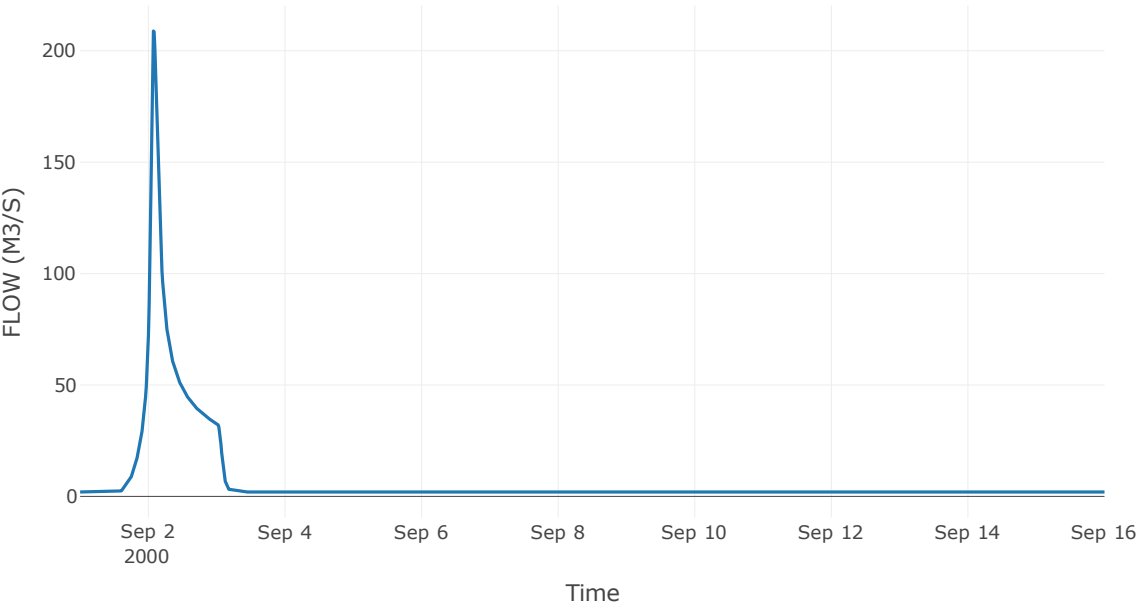
Κόμβος: J20

Κατάντη : R2012

Αποτελέσματα: J20

Παροχή Αιχμής(M3/S)	208.87
Χρονική στιγμή αιχμής	02Sep2000, 01:45
Όγκος (MM)	106.91

Απορροή



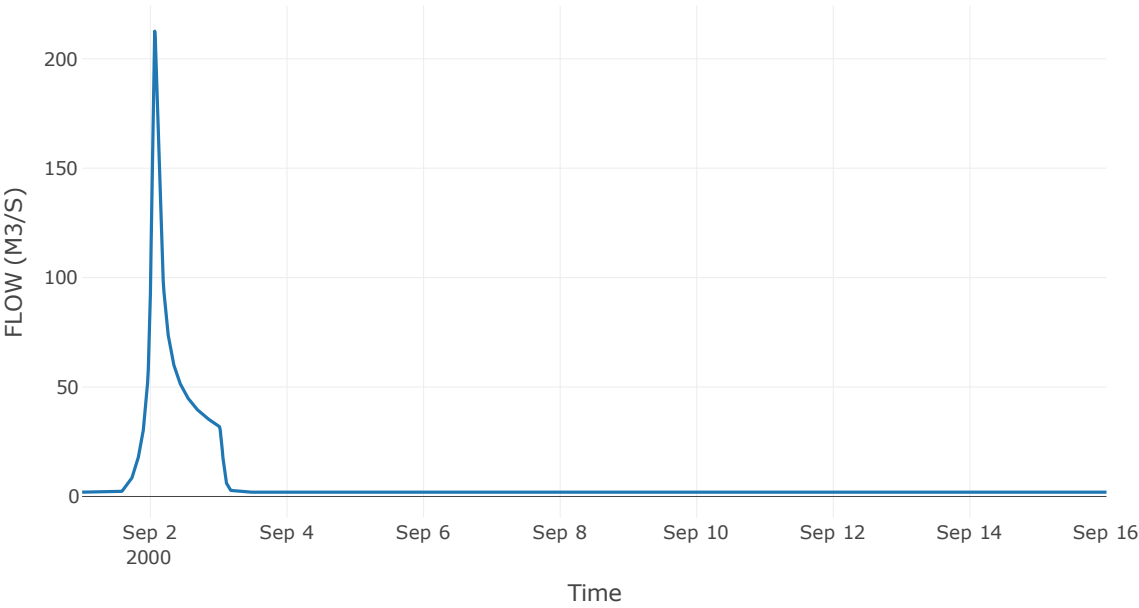
Κόμβος: J21

Κατάντη : R2120

Αποτελέσματα: J21

Παροχή Αιχμής(M3/S)	212.58
Χρονική στιγμή αιχμής	02Sep2000, 01:30
Όγκος (MM)	106.91

Απορροή



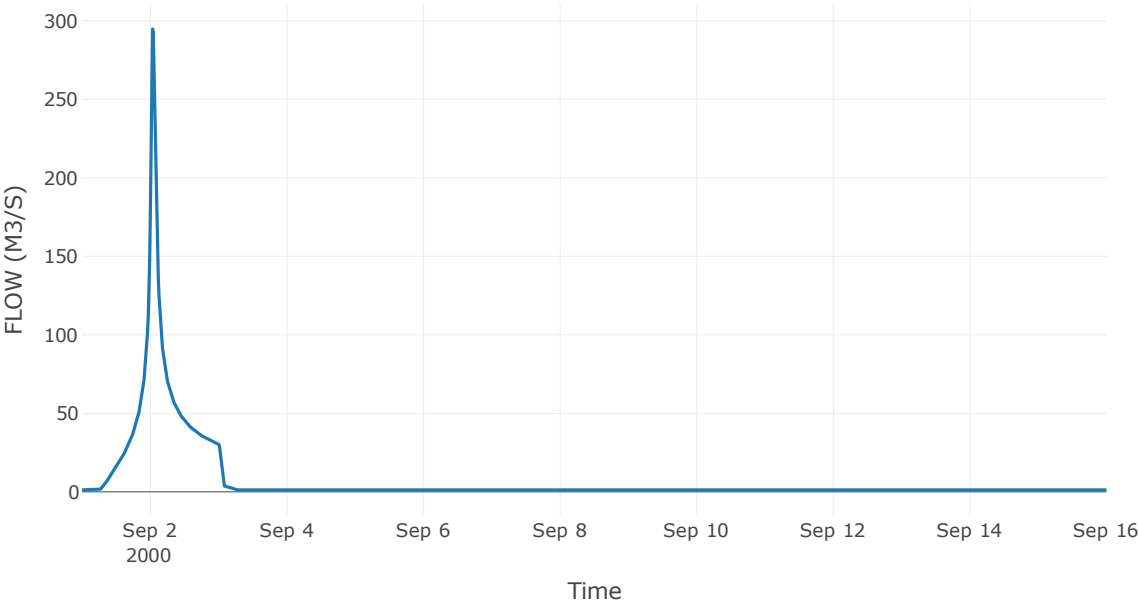
Κόμβος: J22

Κατάντη : R227

Αποτελέσματα: J22

Παροχή Αιχμής(M3/S)	294.79
Χρονική στιγμή αιχμής	02Sep2000, 00:45
Όγκος (MM)	185.49

Απορροή



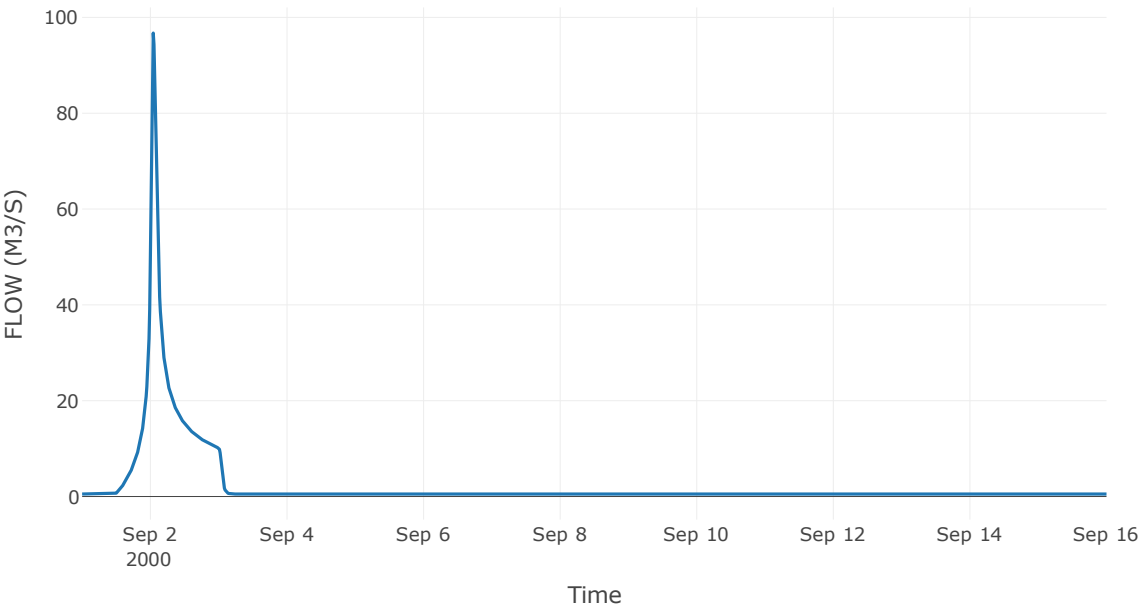
Κόμβος: J23

Κατάντη : R232

Αποτελέσματα: J23

Παροχή Αιχμής(M3/S)	96.73
Χρονική στιγμή αιχμής	02Sep2000, 01:00
Όγκος (MM)	138.87

Απορροή



3 Δεδομένα εισόδου και αποτελέσματα υδρολογικού σεναρίου T=50L

3.1 Αποτελέσματα, υετογραφήματα και υδρογραφήματα σχεδιασμού υπολεκανών

Υπολεκάνη: EL0421FR001001

Έκταση (KM2) : 7.91

Κατάντη : J1

Μέθοδος Απωλειών: SCS

Ποσοστό αδιαπέρατης επιφάνειας	0
Αριθμός Καμπύλης Απορροής-CN	52.33
Αρχικές Απώλειες	46.28

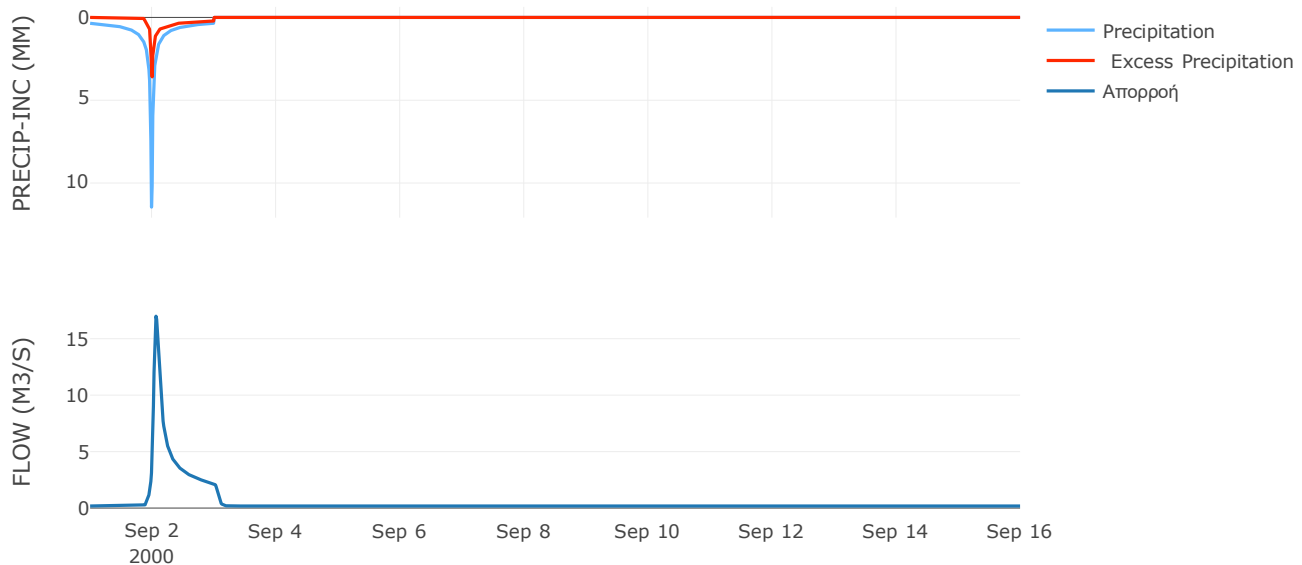
Μέθοδος
Μετασχηματισμού: SCS

Χρόνος Υστέρησης	75.93
------------------	-------

Αποτελέσματα:
EL0421FR001001

Παροχή αιχμής (M3/S)	16.99
Χρονική στιγμή αιχμής	02Sep2000, 01:30
Όγκος (MM)	84.52
Όγκος βροχόπτωσης (M3)	1.5E6
Όγκος απωλειών (M3)	1.07E6
Ενεργός Όγκος (M3)	4.33E5
Όγκος άμεσης απορροής (M3)	4.33E5
Όγκος βασικής απορροής (M3)	2.36E5

Βροχόπτωση και Απορροή



Υπολεκάνη: EL0421FR001002

Έκταση (KM2) : 7.13

Κατάντη : J2

Μέθοδος Απωλειών: SCS

Ποσοστό αδιαπέρατης επιφάνειας	0
Αριθμός Καμπύλης Απορροής-CN	35.26
Αρχικές Απώλειες	93.29

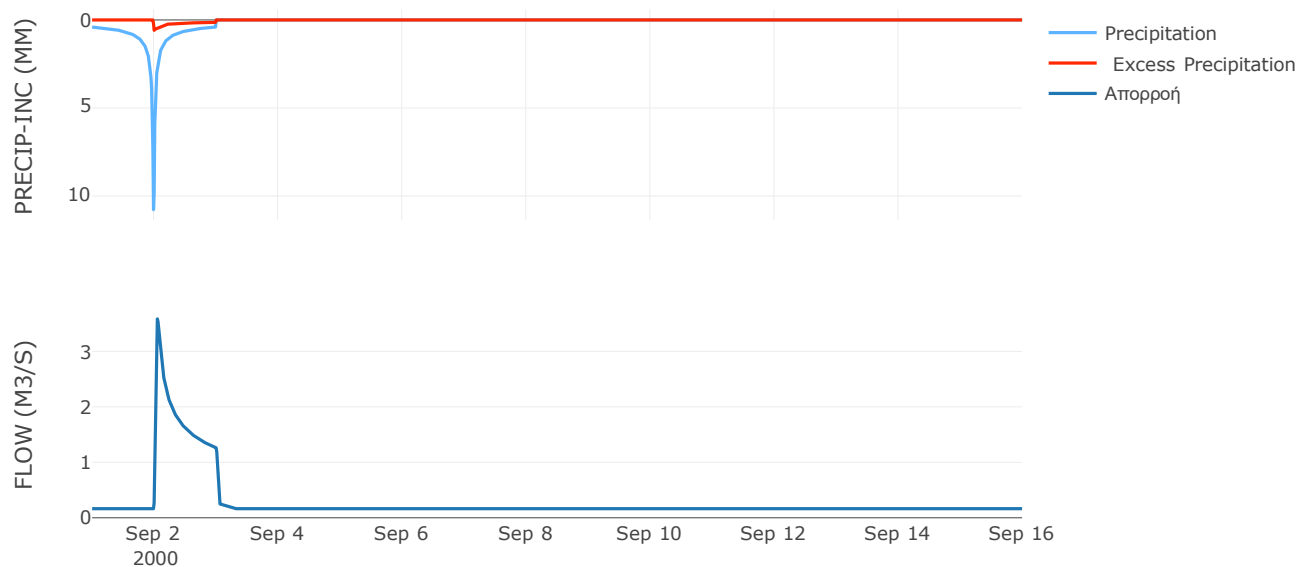
Μέθοδος
Μετασχηματισμού: SCS

Χρόνος Υστέρησης	35
------------------	----

Αποτελέσματα:
EL0421FR001002

Παροχή αιχμής (M3/S)	3.59
Χρονική στιγμή αιχμής	02Sep2000, 01:15
Όγκος (MM)	50.15
Όγκος βροχόπτωσης (M3)	1.44E6
Όγκος απωλειών (M3)	1.29E6
Ενεργός Όγκος (M3)	1.45E5
Όγκος άμεσης απορροής (M3)	1.45E5
Όγκος βασικής απορροής (M3)	2.12E5

Βροχόπτωση και Απορροή



Υπολεκάνη: EL0421FR001003

Έκταση (KM2) : 10.09

Κατάντη : J3

Μέθοδος Απωλειών: SCS

Ποσοστό αδιαπέρατης επιφάνειας	0
Αριθμός Καμπύλης Απορροής-CN	41.95
Αρχικές Απώλειες	70.3

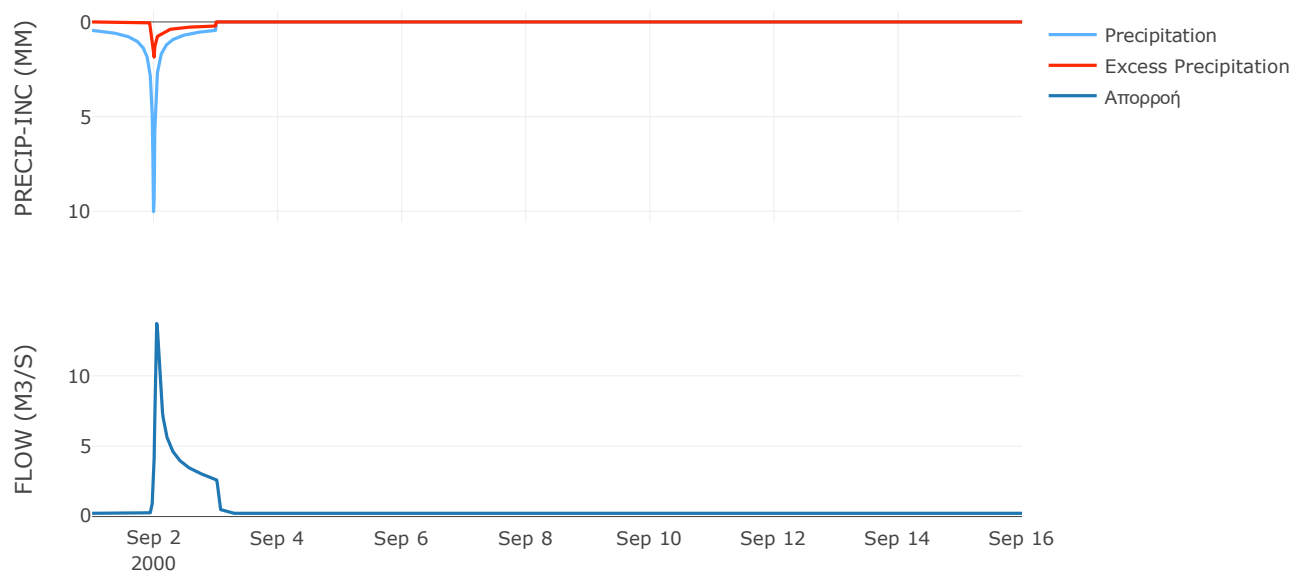
Μέθοδος
Μετασχηματισμού: SCS

Χρόνος Υστέρησης	45.82
------------------	-------

Αποτελέσματα:
EL0421FR001003

Παροχή αιχμής (M3/S)	13.71
Χρονική στιγμή αιχμής	02Sep2000, 01:00
Όγκος (MM)	69.21
Όγκος βροχόπτωσης (M3)	2.11E6
Όγκος απωλειών (M3)	1.71E6
Ενεργός Όγκος (M3)	3.98E5
Όγκος άμεσης απορροής (M3)	3.98E5
Όγκος βασικής απορροής (M3)	3.01E5

Βροχόπτωση και Απορροή



Υπολεκάνη: EL0421FR001004

Έκταση (KM2) : 2.73

Κατάντη : J4

Μέθοδος Απωλειών: SCS

Ποσοστό αδιαπέρατης επιφάνειας	0
Αριθμός Καμπύλης Απορροής-CN	50.47
Αρχικές Απώλειες	49.86

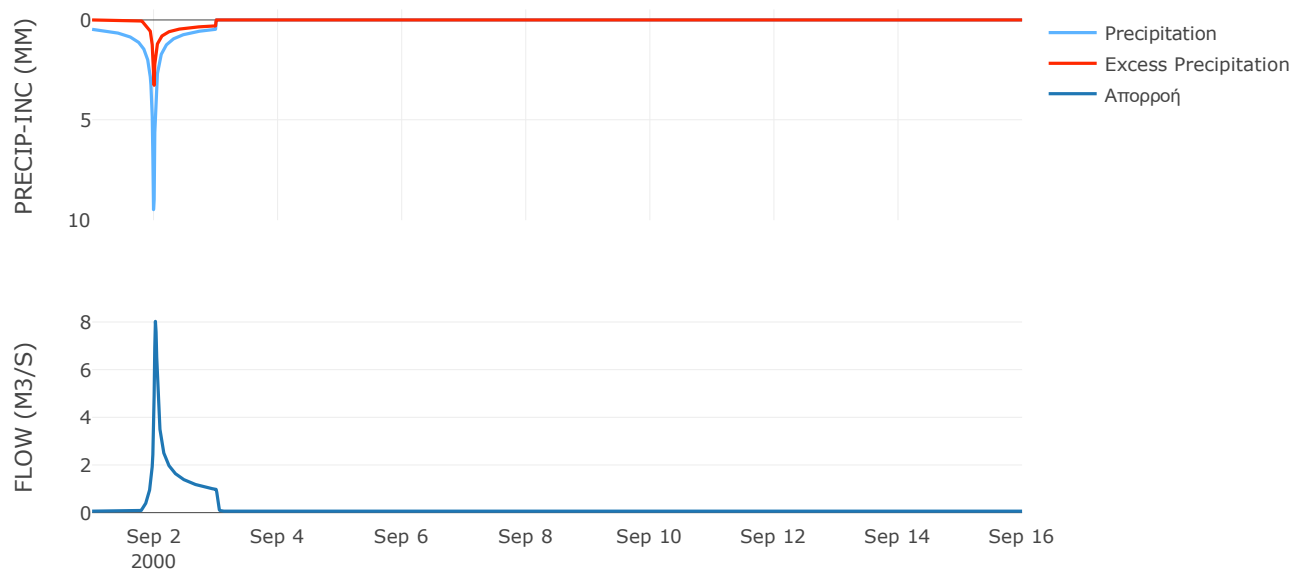
Μέθοδος
Μετασχηματισμού: SCS

Χρόνος Υστέρησης	26.06
------------------	-------

Αποτελέσματα:
EL0421FR001004

Παροχή αιχμής (M3/S)	8.03
Χρονική στιγμή αιχμής	02Sep2000, 00:30
Όγκος (MM)	94.47
Όγκος βροχόπτωσης (M3)	5.82E5
Όγκος απωλειών (M3)	4.06E5
Ενεργός Όγκος (M3)	1.77E5
Όγκος άμεσης απορροής (M3)	1.77E5
Όγκος βασικής απορροής (M3)	81369.36

Βροχόπτωση και Απορροή



Υπολεκάνη: EL0421FR001005

Έκταση (KM2) : 18.09

Κατάντη : J5

Μέθοδος Απωλειών: SCS

Ποσοστό αδιαπέρατης επιφάνειας	0
Αριθμός Καμπύλης Απορροής-CN	38.73
Αρχικές Απώλειες	80.36

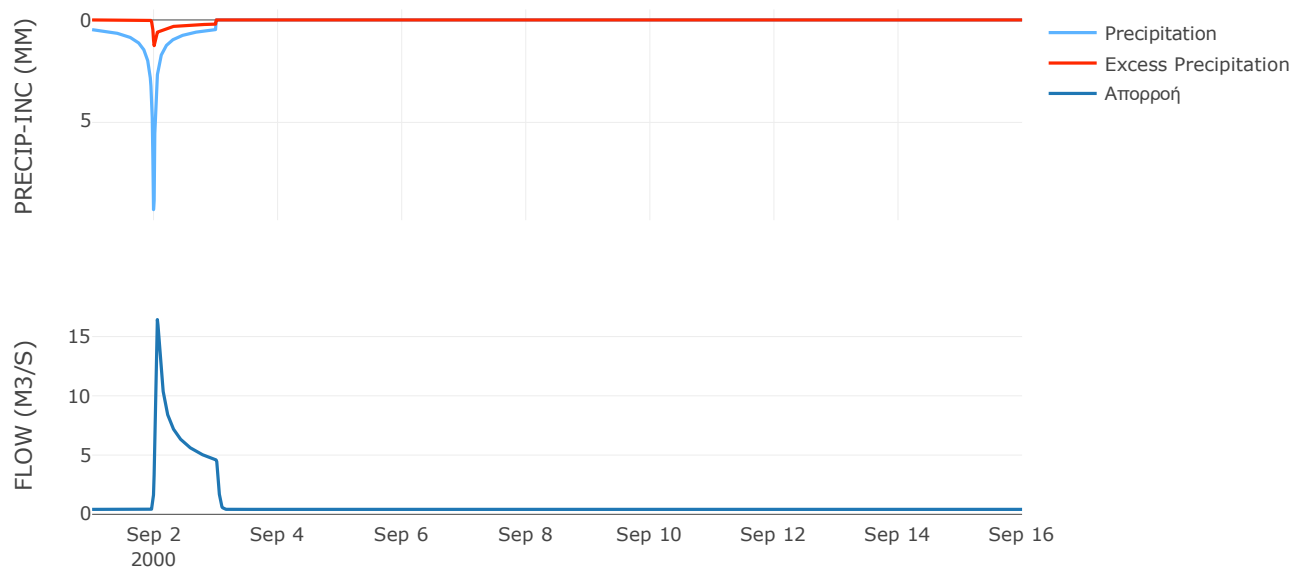
Μέθοδος
Μετασχηματισμού: SCS

Χρόνος Υστέρησης	48.66
------------------	-------

Αποτελέσματα:
EL0421FR001005

Παροχή αιχμής (M3/S)	16.43
Χρονική στιγμή αιχμής	02Sep2000, 01:15
Όγκος (MM)	62.39
Όγκος βροχόπτωσης (M3)	3.84E6
Όγκος απωλειών (M3)	3.25E6
Ενεργός Όγκος (M3)	5.89E5
Όγκος άμεσης απορροής (M3)	5.89E5
Όγκος βασικής απορροής (M3)	5.39E5

Βροχόπτωση και Απορροή



Υπολεκάνη: EL0421FR001006

Έκταση (KM2) : 33.49

Κατάντη : J6

Μέθοδος Απωλειών: SCS

Ποσοστό αδιαπέρατης επιφάνειας	0
Αριθμός Καμπύλης Απορροής-CN	51.36
Αρχικές Απώλειες	48.11

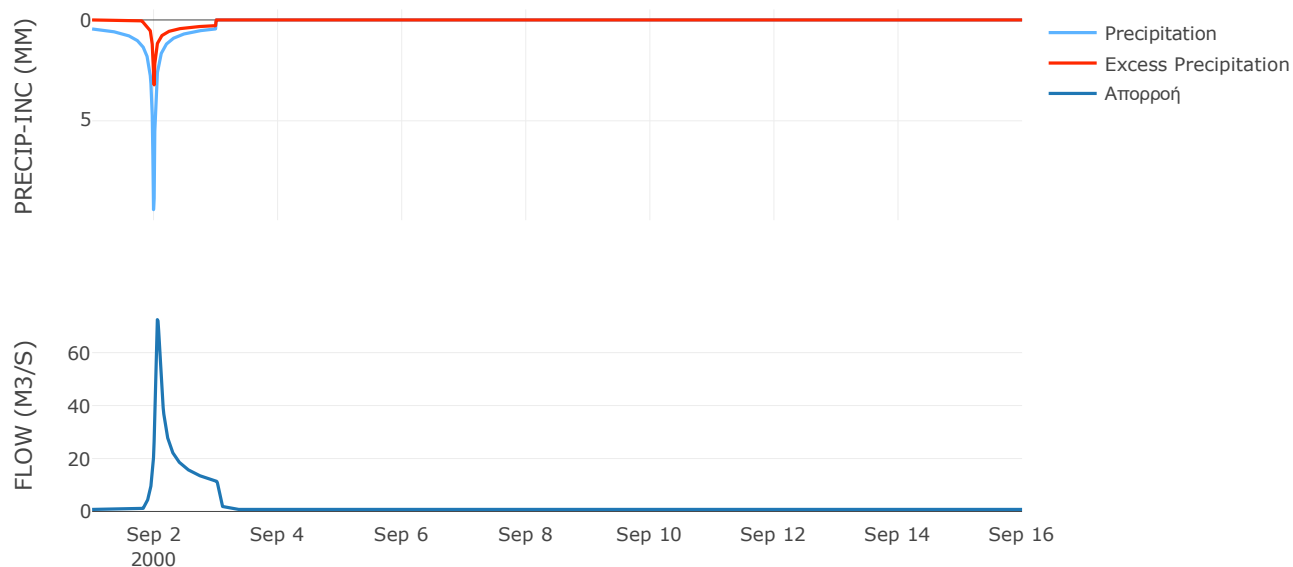
Μέθοδος
Μετασχηματισμού: SCS

Χρόνος Υστέρησης	66.33
------------------	-------

Αποτελέσματα:
EL0421FR001006

Παροχή αιχμής (M3/S)	72.46
Χρονική στιγμή αιχμής	02Sep2000, 01:15
Όγκος (MM)	91.92
Όγκος βροχόπτωσης (M3)	6.87E6
Όγκος απωλειών (M3)	4.79E6
Ενεργός Όγκος (M3)	2.08E6
Όγκος άμεσης απορροής (M3)	2.08E6
Όγκος βασικής απορροής (M3)	9.98E5

Βροχόπτωση και Απορροή



Υπολεκάνη: EL0421FR001007

Έκταση (KM2) : 33.81

Κατάντη : J7

Μέθοδος Απωλειών: SCS

Ποσοστό αδιαπέρατης επιφάνειας	0
Αριθμός Καμπύλης Απορροής-CN	65.37
Αρχικές Απώλειες	26.91

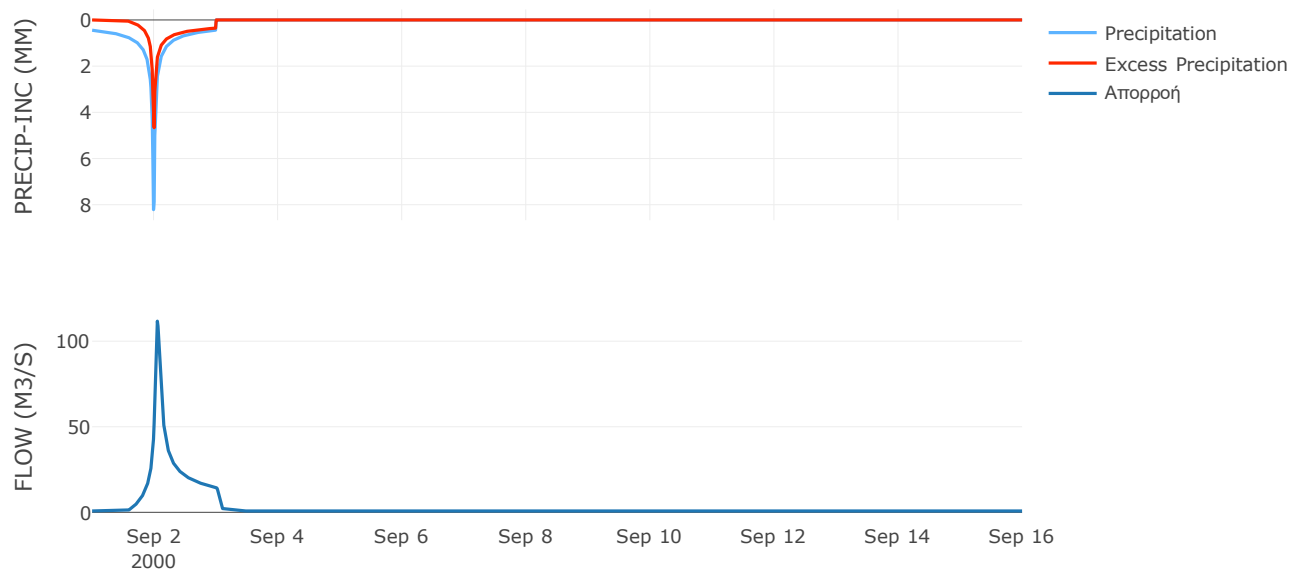
Μέθοδος
Μετασχηματισμού: SCS

Χρόνος Υστέρησης	66.68
------------------	-------

Αποτελέσματα:
EL0421FR001007

Παροχή αιχμής (M3/S)	111.72
Χρονική στιγμή αιχμής	02Sep2000, 01:15
Όγκος (MM)	123.44
Όγκος βροχόπτωσης (M3)	6.61E6
Όγκος απωλειών (M3)	3.44E6
Ενεργός Όγκος (M3)	3.17E6
Όγκος άμεσης απορροής (M3)	3.17E6
Όγκος βασικής απορροής (M3)	1.01E6

Βροχόπτωση και Απορροή



Υπολεκάνη: EL0421FR001008

Έκταση (KM2) : 8.14

Κατάντη : J8

Μέθοδος Απωλειών: SCS

Ποσοστό αδιαπέρατης επιφάνειας	0
Αριθμός Καμπύλης Απορροής-CN	58.18
Αρχικές Απώλειες	36.52

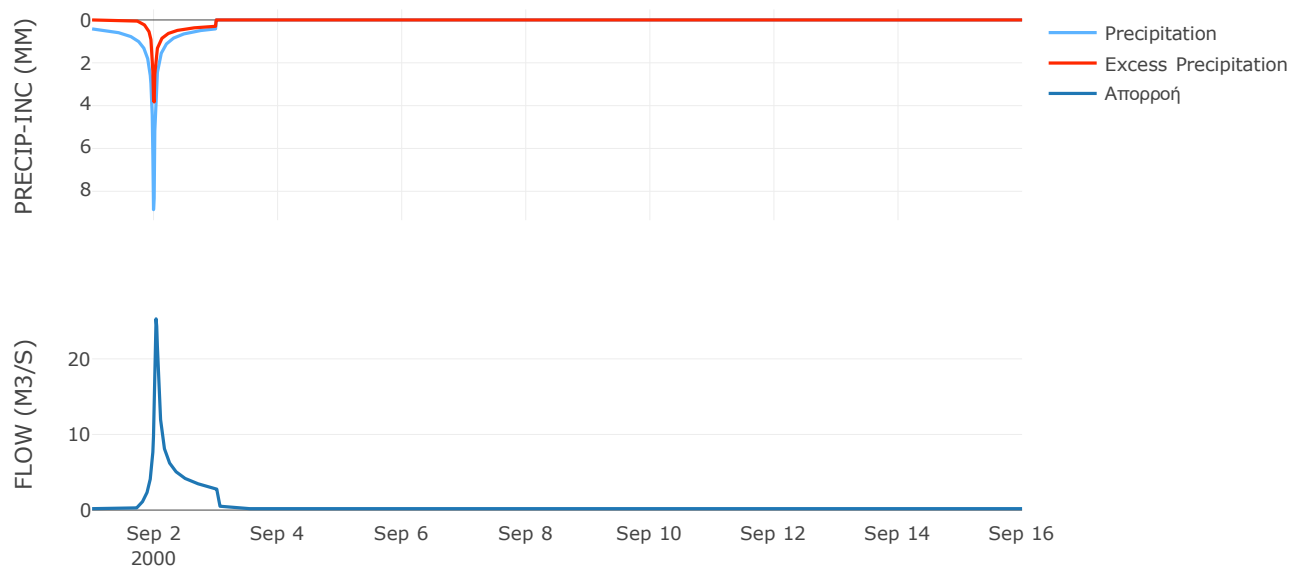
Μέθοδος
Μετασχηματισμού: SCS

Χρόνος Υστέρησης	40.19
------------------	-------

Αποτελέσματα:
EL0421FR001008

Παροχή αιχμής (M3/S)	25.29
Χρονική στιγμή αιχμής	02Sep2000, 00:45
Όγκος (MM)	101.71
Όγκος βροχόπτωσης (M3)	1.57E6
Όγκος απωλειών (M3)	9.83E5
Ενεργός Όγκος (M3)	5.86E5
Όγκος άμεσης απορροής (M3)	5.86E5
Όγκος βασικής απορροής (M3)	2.43E5

Βροχόπτωση και Απορροή



Υπολεκάνη: EL0421FR001009

Έκταση (KM2) : 9.96

Κατάντη : J9

Μέθοδος Απωλειών: SCS

Ποσοστό αδιαπέρατης επιφάνειας	0
Αριθμός Καμπύλης Απορροής-CN	63.03
Αρχικές Απώλειες	29.79

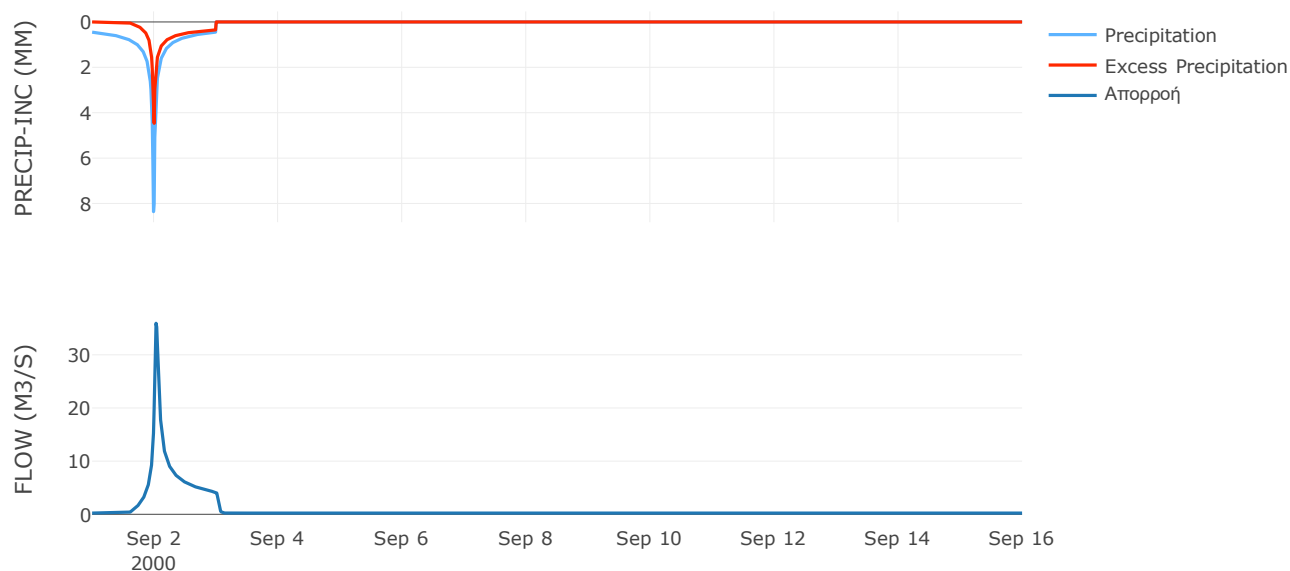
Μέθοδος
Μετασχηματισμού: SCS

Χρόνος Υστέρησης	43.52
------------------	-------

Αποτελέσματα:
EL0421FR001009

Παροχή αιχμής (M3/S)	35.93
Χρονική στιγμή αιχμής	02Sep2000, 00:45
Όγκος (MM)	119.29
Όγκος βροχόπτωσης (M3)	1.98E6
Όγκος απωλειών (M3)	1.08E6
Ενεργός Όγκος (M3)	8.91E5
Όγκος άμεσης απορροής (M3)	8.91E5
Όγκος βασικής απορροής (M3)	2.97E5

Βροχόπτωση και Απορροή



Υπολεκάνη: EL0421FR001010

Έκταση (KM2) : 28.77

Κατάνη : J10 Res1

Μέθοδος Απωλειών: SCS

Ποσοστό αδιαπέρατης επιφάνειας	0.14
Αριθμός Καμπύλης Απορροής-CN	62.71
Αρχικές Απώλειες	30.21

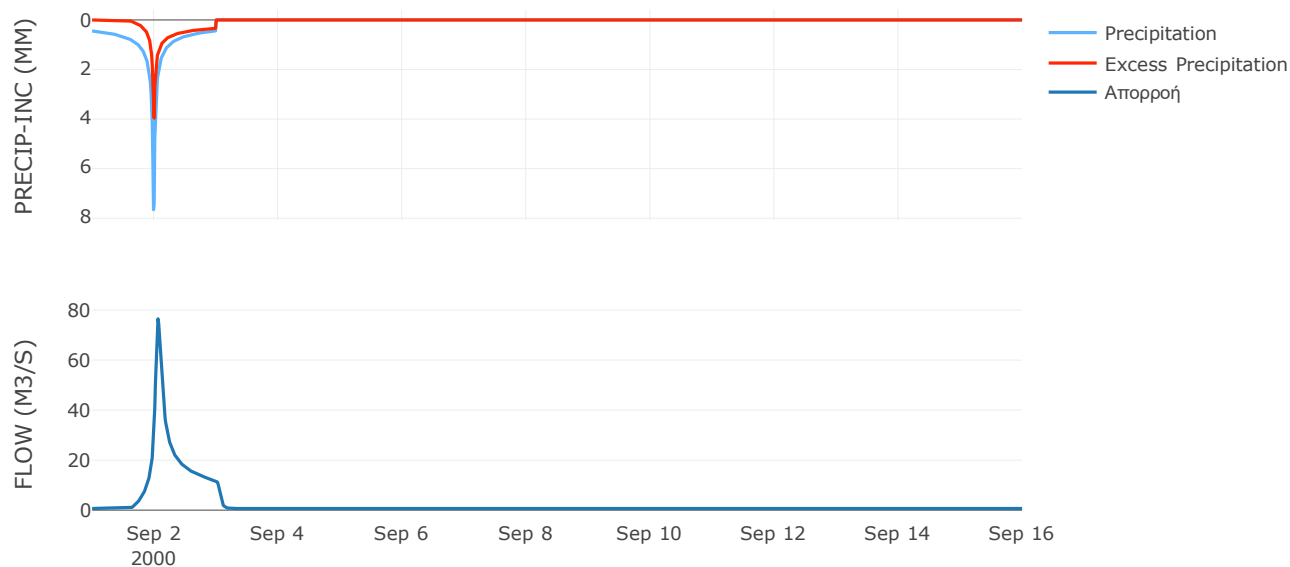
Μέθοδος
Μετασχηματισμού: SCS

Χρόνος Υστέρησης	77.62
------------------	-------

Αποτελέσματα:
EL0421FR001010

Παροχή αιχμής (M3/S)	76.51
Χρονική στιγμή αιχμής	02Sep2000, 01:30
Όγκος (MM)	112.59
Όγκος βροχόπτωσης (M3)	5.48E6
Όγκος απωλειών (M3)	3.1E6
Ενεργός Όγκος (M3)	2.38E6
Όγκος άμεσης απορροής (M3)	2.38E6
Όγκος βασικής απορροής (M3)	8.57E5

Βροχόπτωση και Απορροή



Υπολεκάνη: EL0421FR001011

Έκταση (KM2) : 2.42

Κατάνη : J11

Μέθοδος Απωλειών: SCS

Ποσοστό αδιαπέρατης επιφάνειας	0.38
Αριθμός Καμπύλης Απορροής-CN	61.35
Αρχικές Απώλειες	32.01

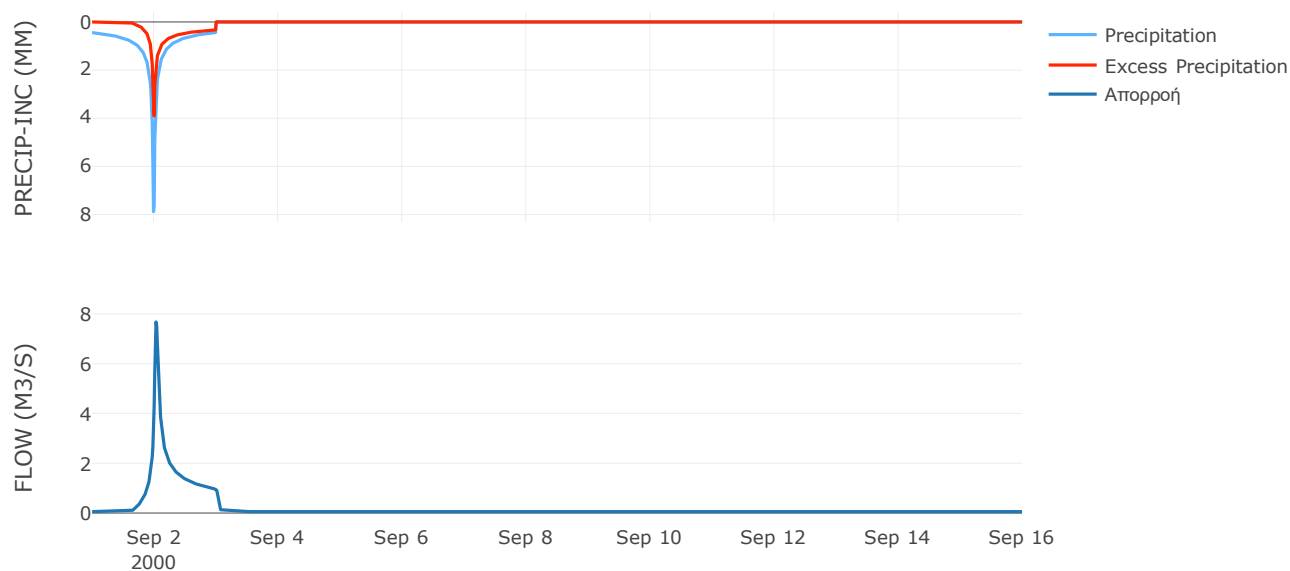
Μέθοδος
Μετασχηματισμού: SCS

Χρόνος Υστέρησης	42.55
------------------	-------

Αποτελέσματα:
EL0421FR001011

Παροχή αιχμής (M3/S)	7.67
Χρονική στιγμή αιχμής	02Sep2000, 00:45
Όγκος (MM)	110.2
Όγκος βροχόπτωσης (M3)	4.64E5
Όγκος απωλειών (M3)	2.7E5
Ενεργός Όγκος (M3)	1.94E5
Όγκος άμεσης απορροής (M3)	1.94E5
Όγκος βασικής απορροής (M3)	72052.42

Βροχόπτωση και Απορροή



Υπολεκάνη: EL0421FR001012

Έκταση (KM2) : 33.86

Κατάντη : J12

Μέθοδος Απωλειών: SCS

Ποσοστό αδιαπέρατης επιφάνειας	0.09
Αριθμός Καμπύλης Απορροής-CN	41.51
Αρχικές Απώλειες	71.58

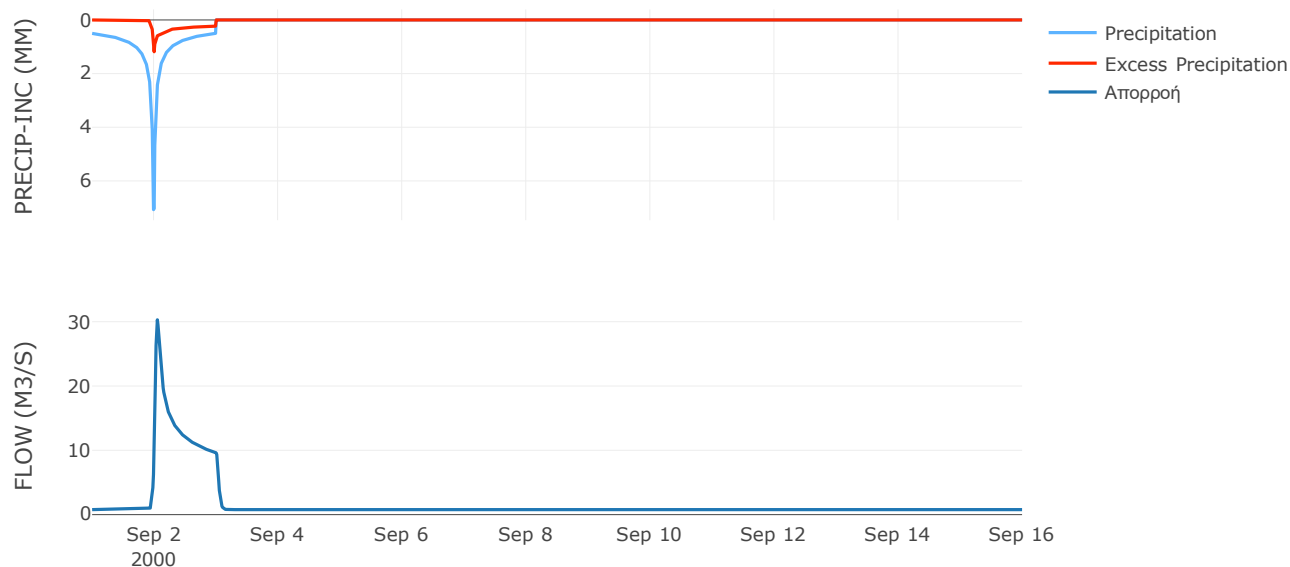
Μέθοδος
Μετασχηματισμού: SCS

Χρόνος Υστέρησης	50.75
------------------	-------

Αποτελέσματα:
EL0421FR001012

Παροχή αιχμής (M3/S)	30.29
Χρονική στιγμή αιχμής	02Sep2000, 01:15
Όγκος (MM)	64.95
Όγκος βροχόπτωσης (M3)	6.85E6
Όγκος απωλειών (M3)	5.66E6
Ενεργός Όγκος (M3)	1.19E6
Όγκος άμεσης απορροής (M3)	1.19E6
Όγκος βασικής απορροής (M3)	1.01E6

Βροχόπτωση και Απορροή



Υπολεκάνη: EL0421FR001013

Έκταση (KM2) : 34.09

Κατάντη : J13

Μέθοδος Απωλειών: SCS

Ποσοστό αδιαπέρατης επιφάνειας	0
Αριθμός Καμπύλης Απορροής-CN	42.33
Αρχικές Απώλειες	69.21

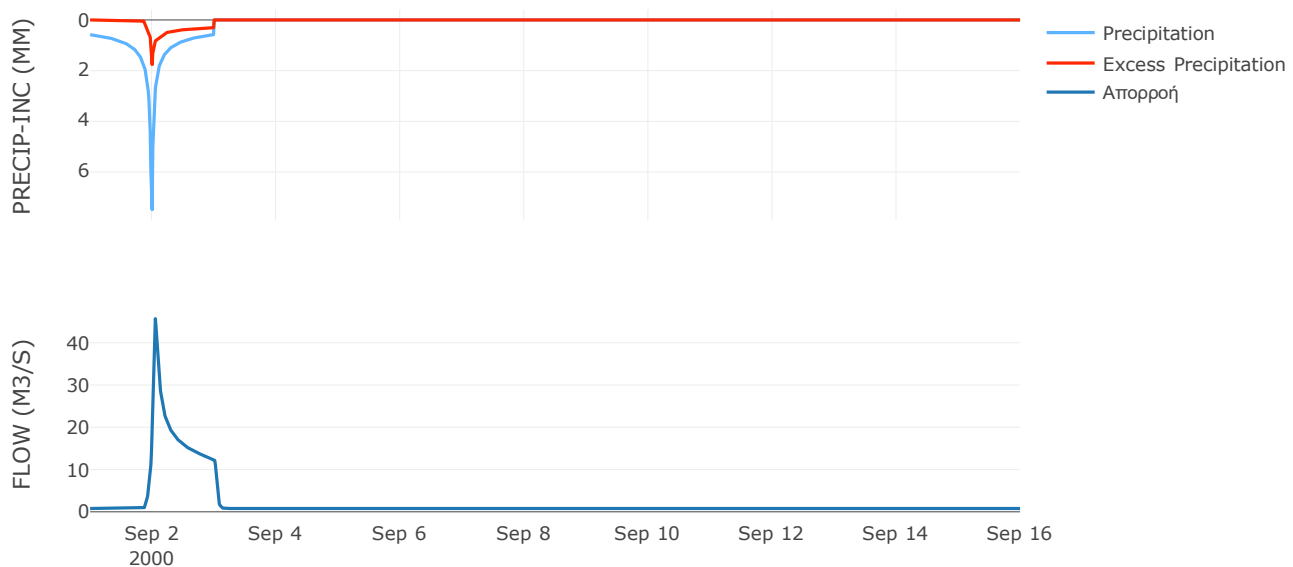
Μέθοδος
Μετασχηματισμού: SCS

Χρόνος Υστέρησης	51.72
------------------	-------

Αποτελέσματα:
EL0421FR001013

Παροχή αιχμής (M3/S)	45.69
Χρονική στιγμή αιχμής	02Sep2000, 01:15
Όγκος (MM)	79.4
Όγκος βροχόπτωσης (M3)	7.75E6
Όγκος απωλειών (M3)	6.06E6
Ενεργός Όγκος (M3)	1.69E6
Όγκος άμεσης απορροής (M3)	1.69E6
Όγκος βασικής απορροής (M3)	1.02E6

Βροχόπτωση και Απορροή



Υπολεκάνη: EL0421FR001014

Έκταση (KM2) : 11.34

Κατάντη : J14

Μέθοδος Απωλειών: SCS

Ποσοστό αδιαπέρατης επιφάνειας	0
Αριθμός Καμπύλης Απορροής-CN	53.66
Αρχικές Απώλειες	43.88

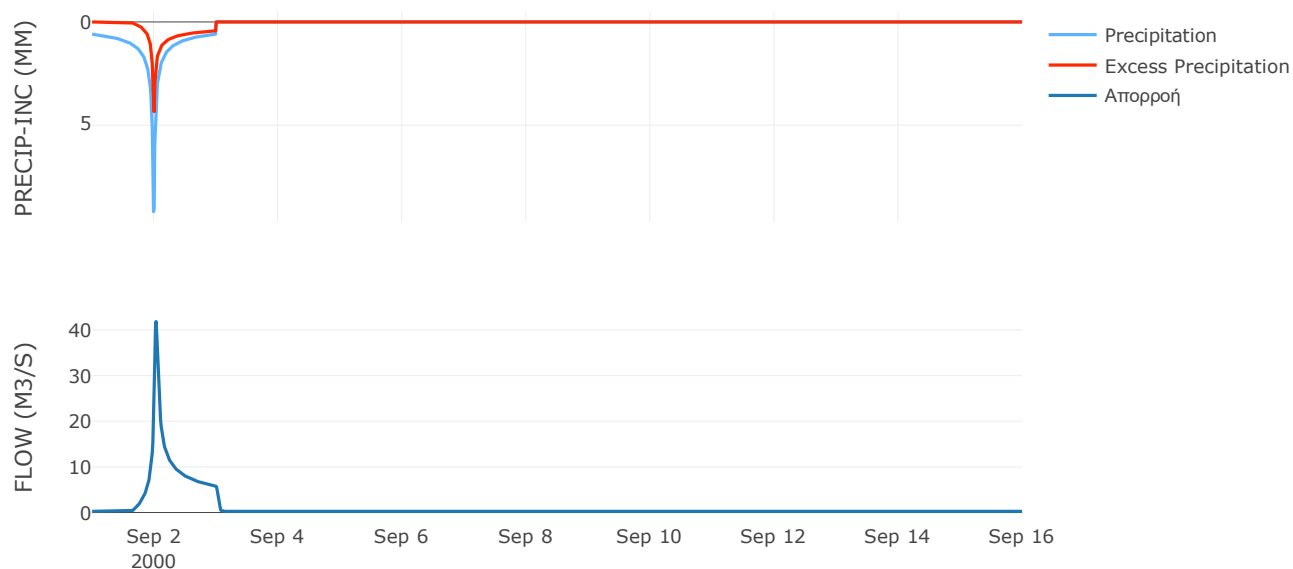
Μέθοδος
Μετασχηματισμού: SCS

Χρόνος Υστέρησης	37.14
------------------	-------

Αποτελέσματα:
EL0421FR001014

Παροχή αιχμής (M3/S)	41.85
Χρονική στιγμή αιχμής	02Sep2000, 00:45
Όγκος (MM)	126.76
Όγκος βροχόπτωσης (M3)	2.79E6
Όγκος απωλειών (M3)	1.69E6
Ενεργός Όγκος (M3)	1.1E6
Όγκος άμεσης απορροής (M3)	1.1E6
Όγκος βασικής απορροής (M3)	3.38E5

Βροχόπτωση και Απορροή



Υπολεκάνη: EL0421FR001015

Έκταση (KM2) : 20.48

Κατάνη : J15

Μέθοδος Απωλειών: SCS

Ποσοστό αδιαπέρατης επιφάνειας	0
Αριθμός Καμπύλης Απορροής-CN	50.94
Αρχικές Απώλειες	48.92

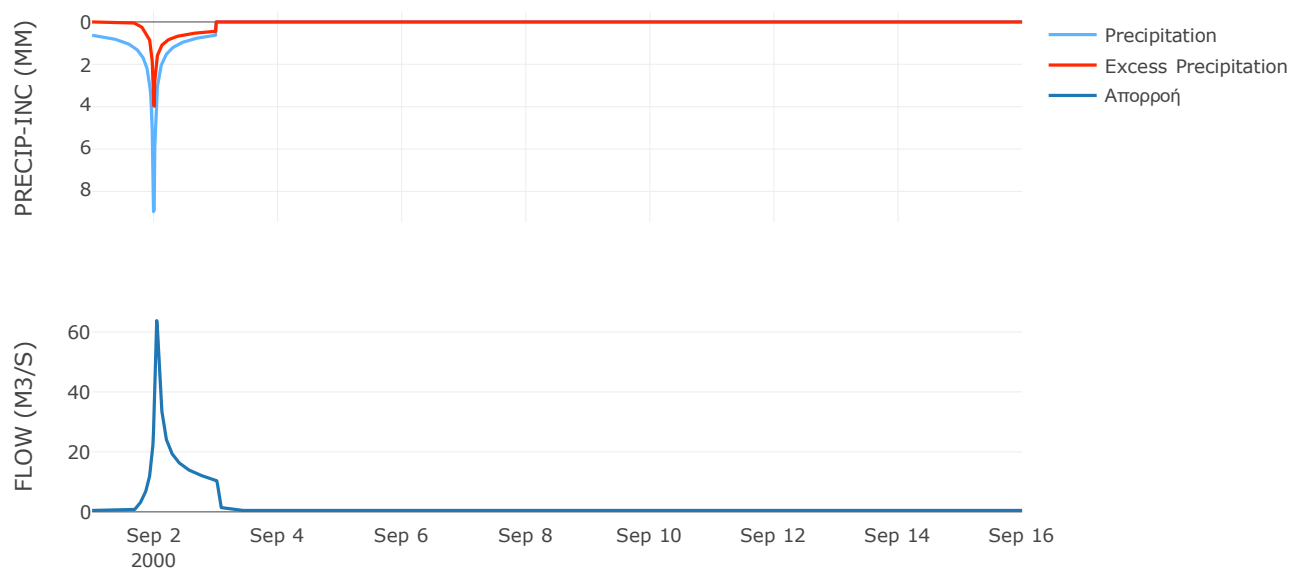
Μέθοδος
Μετασχηματισμού: SCS

Χρόνος Υστέρησης	50.53
------------------	-------

Αποτελέσματα:
EL0421FR001015

Παροχή αιχμής (M3/S)	63.75
Χρονική στιγμή αιχμής	02Sep2000, 01:00
Όγκος (MM)	123.71
Όγκος βροχόπτωσης (M3)	5.21E6
Όγκος απωλειών (M3)	3.29E6
Ενεργός Όγκος (M3)	1.92E6
Όγκος άμεσης απορροής (M3)	1.92E6
Όγκος βασικής απορροής (M3)	6.1E5

Βροχόπτωση και Απορροή



Υπολεκάνη: EL0421FR001016

Έκταση (KM2) : 15.22

Κατάντη : J16

Μέθοδος Απωλειών: SCS

Ποσοστό αδιαπέρατης επιφάνειας	0
Αριθμός Καμπύλης Απορροής-CN	49.72
Αρχικές Απώλειες	51.38

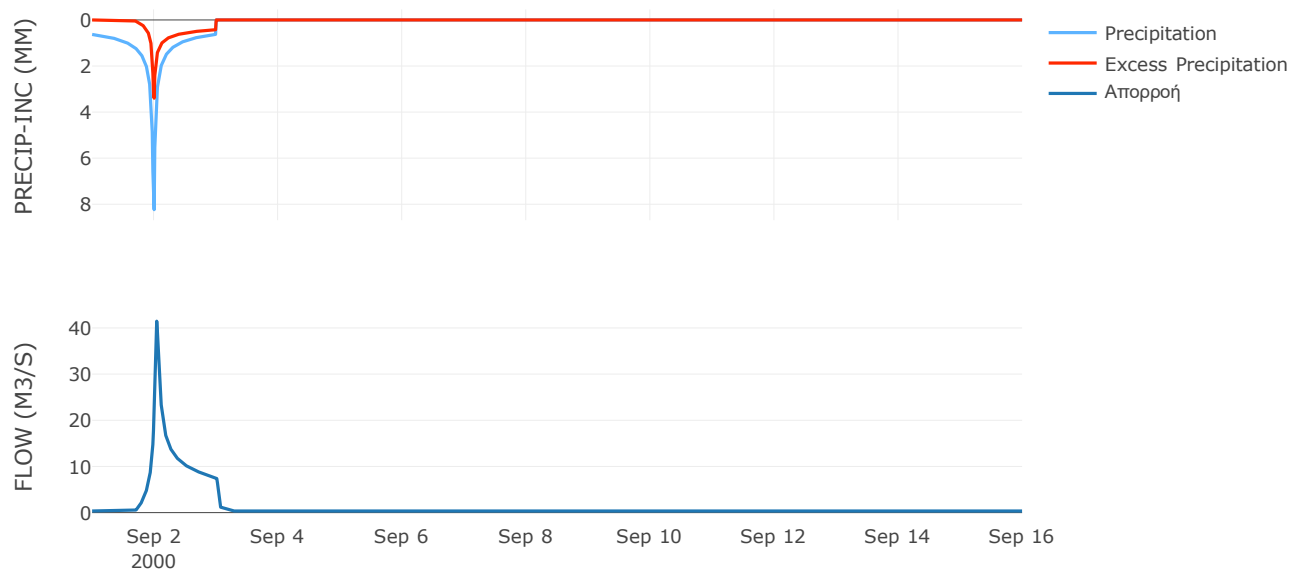
Μέθοδος
Μετασχηματισμού: SCS

Χρόνος Υστέρησης	46.87
------------------	-------

Αποτελέσματα:
EL0421FR001016

Παροχή αιχμής (M3/S)	41.46
Χρονική στιγμή αιχμής	02Sep2000, 01:00
Όγκος (MM)	114.96
Όγκος βροχόπτωσης (M3)	3.77E6
Όγκος απωλειών (M3)	2.48E6
Ενεργός Όγκος (M3)	1.3E6
Όγκος άμεσης απορροής (M3)	1.3E6
Όγκος βασικής απορροής (M3)	4.54E5

Βροχόπτωση και Απορροή



Υπολεκάνη: EL0421FR001017

Έκταση (KM2) : 32

Κατάντη : J17

Μέθοδος Απωλειών: SCS

Ποσοστό αδιαπέρατης επιφάνειας	0
Αριθμός Καμπύλης Απορροής-CN	58.44
Αρχικές Απώλειες	36.12

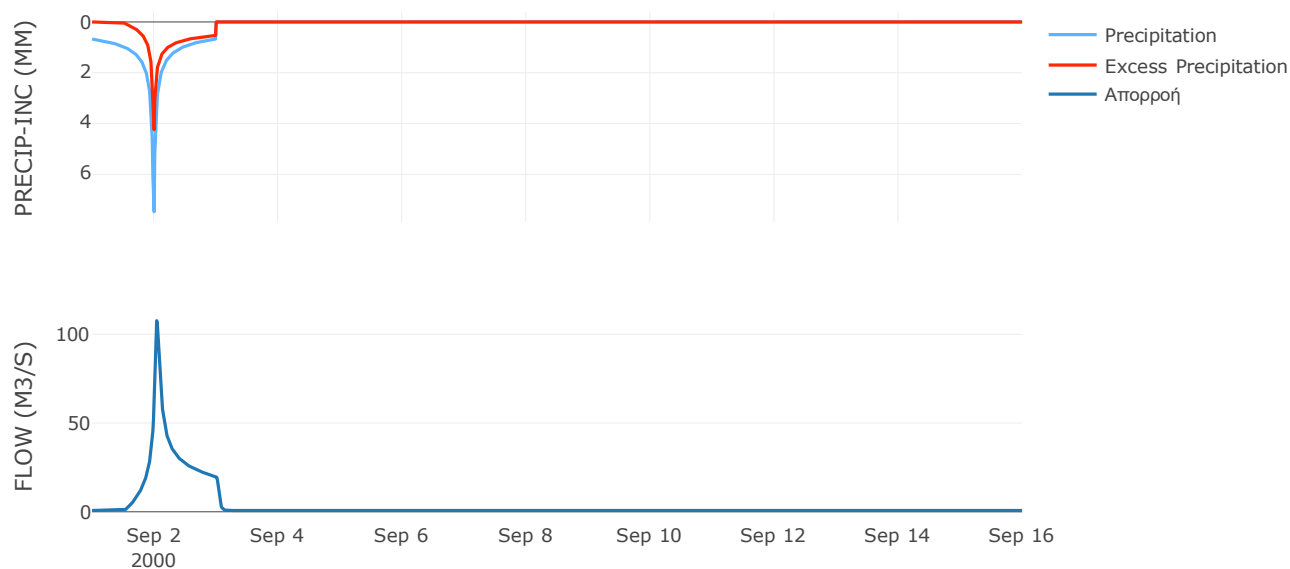
Μέθοδος
Μετασχηματισμού: SCS

Χρόνος Υστέρησης	55.37
------------------	-------

Αποτελέσματα:
EL0421FR001017

Παροχή αιχμής (M3/S)	107.65
Χρονική στιγμή αιχμής	02Sep2000, 01:00
Όγκος (MM)	146.26
Όγκος βροχόπτωσης (M3)	8.02E6
Όγκος απωλειών (M3)	4.29E6
Ενεργός Όγκος (M3)	3.73E6
Όγκος άμεσης απορροής (M3)	3.73E6
Όγκος βασικής απορροής (M3)	9.54E5

Βροχόπτωση και Απορροή



Υπολεκάνη: EL0421FR001018

Έκταση (KM2) : 15.19

Κατάντη : J17

Μέθοδος Απωλειών: SCS

Ποσοστό αδιαπέρατης επιφάνειας	0
Αριθμός Καμπύλης Απορροής-CN	45.02
Αρχικές Απώλειες	62.05

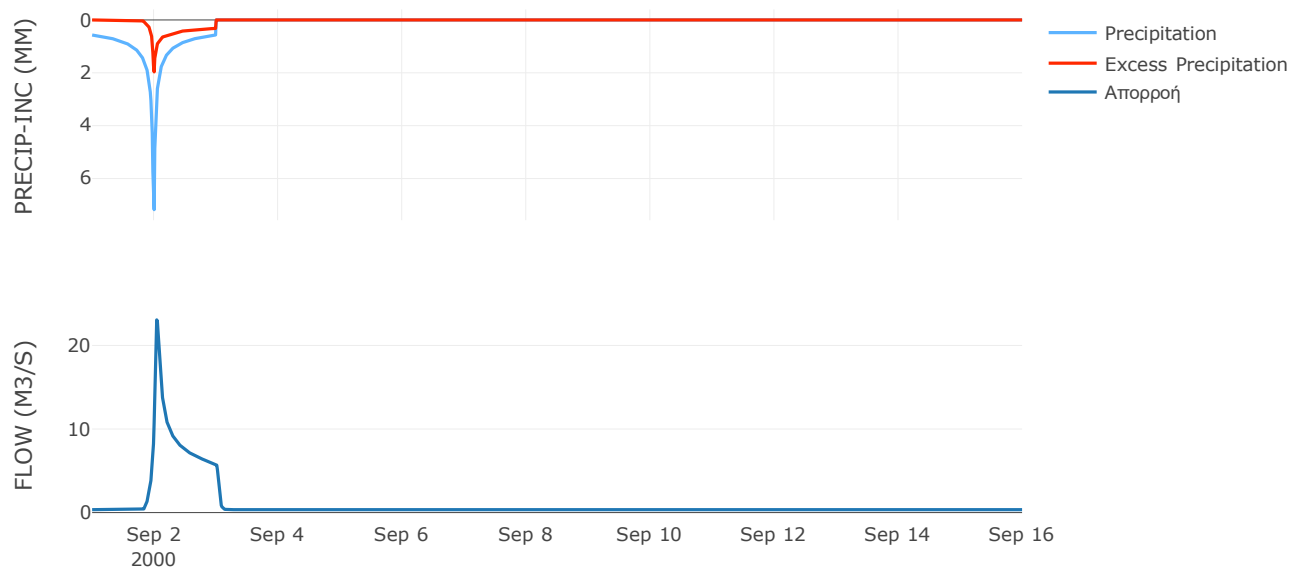
Μέθοδος
Μετασχηματισμού: SCS

Χρόνος Υστέρησης	50.99
------------------	-------

Αποτελέσματα:
EL0421FR001018

Παροχή αιχμής (M3/S)	23.07
Χρονική στιγμή αιχμής	02Sep2000, 01:00
Όγκος (MM)	84.14
Όγκος βροχόπτωσης (M3)	3.37E6
Όγκος απωλειών (M3)	2.55E6
Ενεργός Όγκος (M3)	8.26E5
Όγκος άμεσης απορροής (M3)	8.26E5
Όγκος βασικής απορροής (M3)	4.53E5

Βροχόπτωση και Απορροή



Υπολεκάνη: EL0421FR001019

Έκταση (KM2) : 21.21

Κατάντη : J17

Μέθοδος Απωλειών: SCS

Ποσοστό αδιαπέρατης επιφάνειας	0
Αριθμός Καμπύλης Απορροής-CN	42.9
Αρχικές Απώλειες	67.62

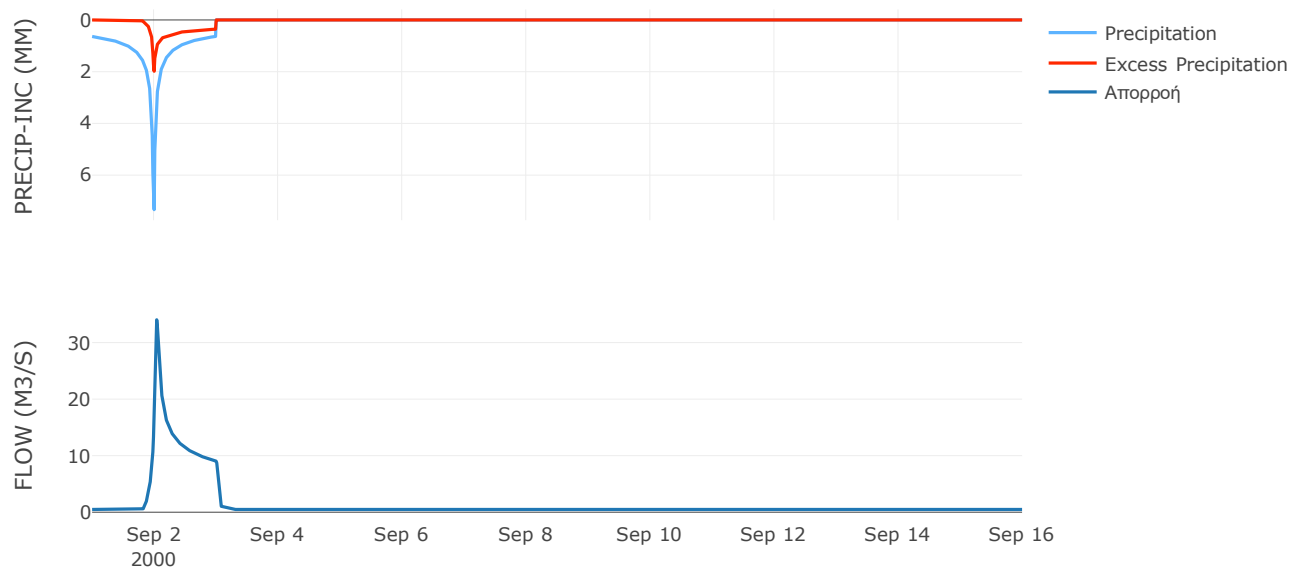
Μέθοδος
Μετασχηματισμού: SCS

Χρόνος Υστέρησης	45.6
------------------	------

Αποτελέσματα:
EL0421FR001019

Παροχή αιχμής (M3/S)	34.03
Χρονική στιγμή αιχμής	02Sep2000, 01:00
Όγκος (MM)	88.42
Όγκος βροχόπτωσης (M3)	5.1E6
Όγκος απωλειών (M3)	3.86E6
Ενεργός Όγκος (M3)	1.24E6
Όγκος άμεσης απορροής (M3)	1.24E6
Όγκος βασικής απορροής (M3)	6.32E5

Βροχόπτωση και Απορροή



Υπολεκάνη: EL0421FR001020

Έκταση (KM2) : 12.17

Κατάντη : J15

Μέθοδος Απωλειών: SCS

Ποσοστό αδιαπέρατης επιφάνειας	0
Αριθμός Καμπύλης Απορροής-CN	36.92
Αρχικές Απώλειες	86.78

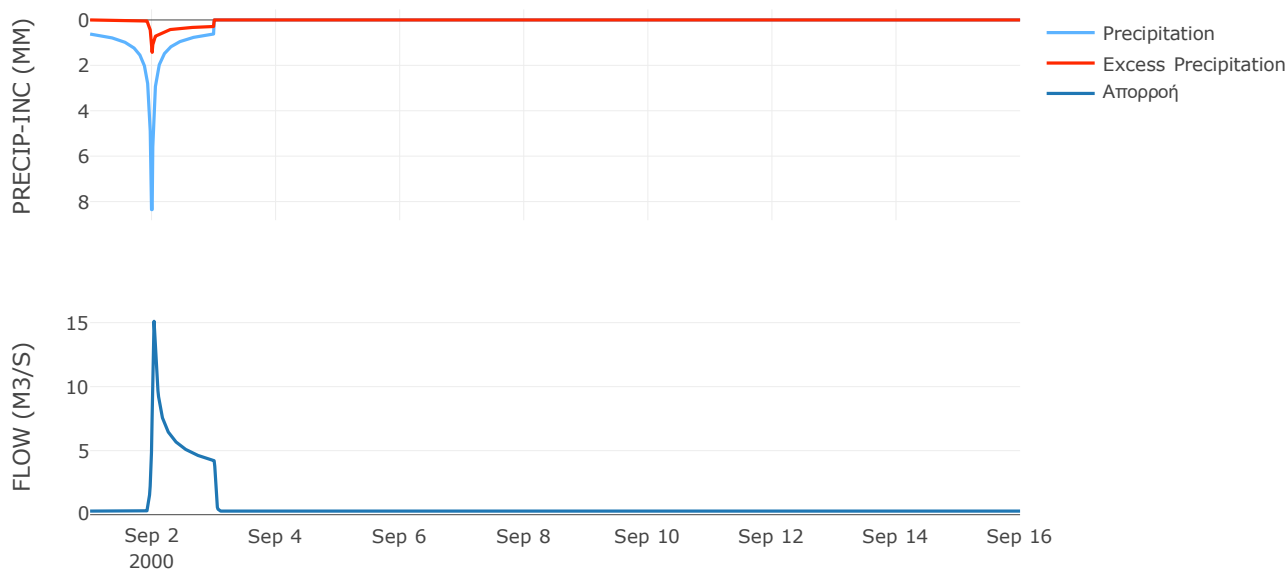
Μέθοδος
Μετασχηματισμού: SCS

Χρόνος Υστέρησης	28.36
------------------	-------

Αποτελέσματα:
EL0421FR001020

Παροχή αιχμής (M3/S)	15.1
Χρονική στιγμή αιχμής	02Sep2000, 00:45
Όγκος (MM)	73.1
Όγκος βροχόπτωσης (M3)	3.01E6
Όγκος απωλειών (M3)	2.48E6
Ενεργός Όγκος (M3)	5.27E5
Όγκος άμεσης απορροής (M3)	5.27E5
Όγκος βασικής απορροής (M3)	3.63E5

Βροχόπτωση και Απορροή



Υπολεκάνη: EL0421FR001021

Έκταση (KM2) : 25.71

Κατάντη : J16

Μέθοδος Απωλειών: SCS

Ποσοστό αδιαπέρατης επιφάνειας	0
Αριθμός Καμπύλης Απορροής-CN	61.37
Αρχικές Απώλειες	31.98

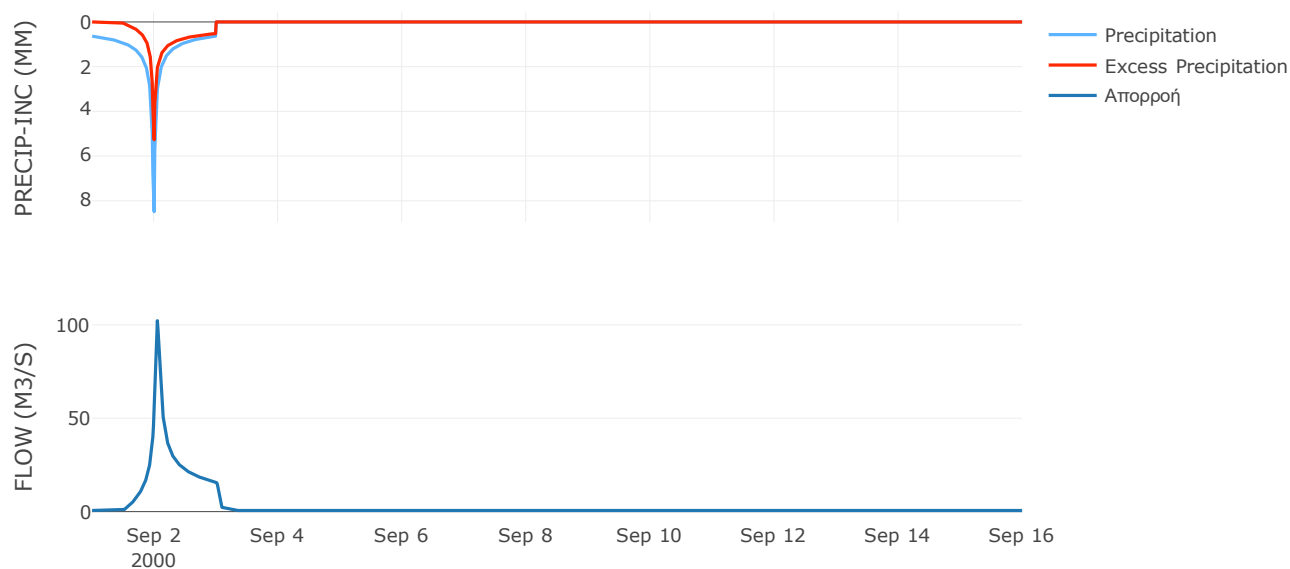
Μέθοδος
Μετασχηματισμού: SCS

Χρόνος Υστέρησης	60.98
------------------	-------

Αποτελέσματα:
EL0421FR001021

Παροχή αιχμής (M3/S)	102.18
Χρονική στιγμή αιχμής	02Sep2000, 01:15
Όγκος (MM)	157.13
Όγκος βροχόπτωσης (M3)	6.47E6
Όγκος απωλειών (M3)	3.2E6
Ενεργός Όγκος (M3)	3.27E6
Όγκος άμεσης απορροής (M3)	3.27E6
Όγκος βασικής απορροής (M3)	7.66E5

Βροχόπτωση και Απορροή



Υπολεκάνη: EL0421FR001022

Έκταση (KM2) : 24.36

Κατάληξη : J16

Μέθοδος Απωλειών: SCS

Ποσοστό αδιαπέρατης επιφάνειας	0
Αριθμός Καμπύλης Απορροής-CN	60.03
Αρχικές Απώλειες	33.82

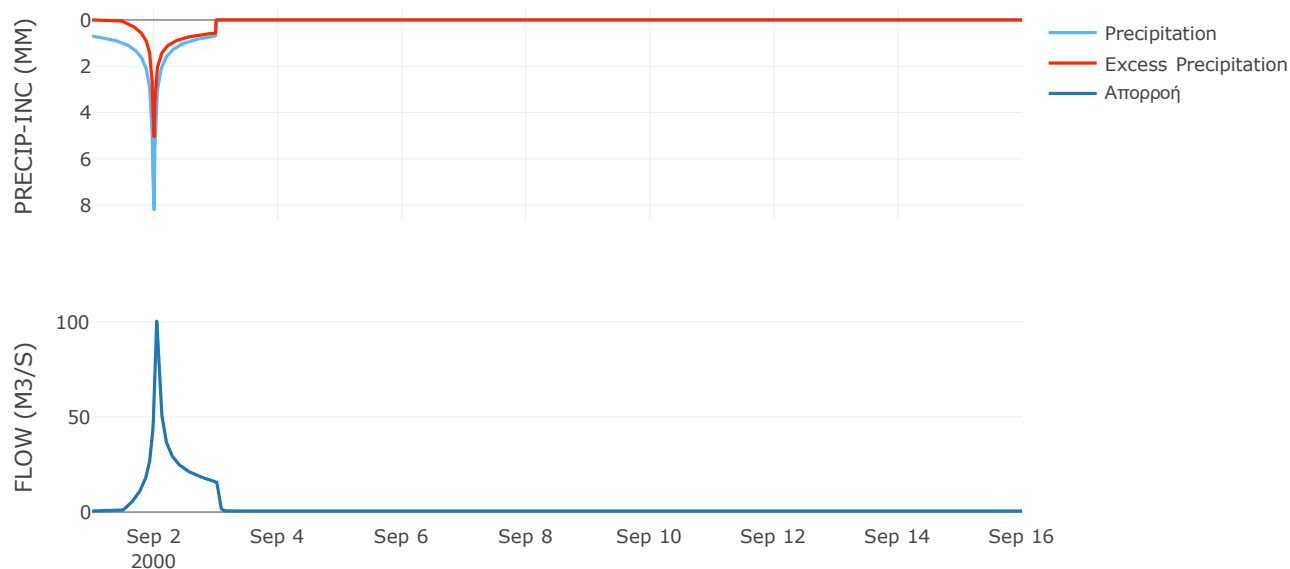
Μέθοδος
Μετασχηματισμού: SCS

Χρόνος Υστέρησης	48.68
------------------	-------

Αποτελέσματα:
EL0421FR001022

Παροχή αιχμής (M3/S)	100.32
Χρονική στιγμή αιχμής	02Sep2000, 01:00
Όγκος (MM)	162.31
Όγκος βροχόπτωσης (M3)	6.42E6
Όγκος απωλειών (M3)	3.2E6
Ενεργός Όγκος (M3)	3.23E6
Όγκος άμεσης απορροής (M3)	3.23E6
Όγκος βασικής απορροής (M3)	7.26E5

Βροχόπτωση και Απορροή



Υπολεκάνη: EL0421FR001023

Έκταση (KM2) : 13.31

Κατάντη : J14

Μέθοδος Απωλειών: SCS

Ποσοστό αδιαπέρατης επιφάνειας	0
Αριθμός Καμπύλης Απορροής-CN	55.44
Αρχικές Απώλειες	40.82

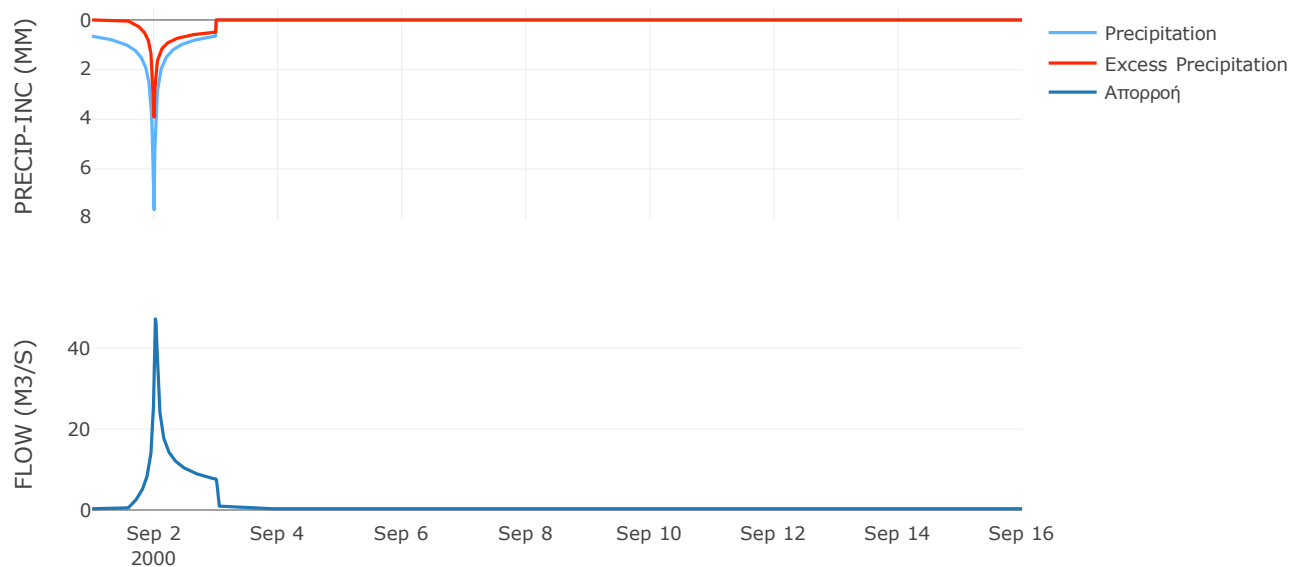
Μέθοδος
Μετασχηματισμού: SCS

Χρόνος Υστέρησης	29.64
------------------	-------

Αποτελέσματα:
EL0421FR001023

Παροχή αιχμής (M3/S)	47.22
Χρονική στιγμή αιχμής	02Sep2000, 00:30
Όγκος (MM)	133.91
Όγκος βροχόπτωσης (M3)	3.3E6
Όγκος απωλειών (M3)	1.91E6
Ενεργός Όγκος (M3)	1.39E6
Όγκος άμεσης απορροής (M3)	1.39E6
Όγκος βασικής απορροής (M3)	3.97E5

Βροχόπτωση και Απορροή



Υπολεκάνη: EL0421FR001024

Έκταση (KM2) : 30.28

Κατάντη : J18

Μέθοδος Απωλειών: SCS

Ποσοστό αδιαπέρατης επιφάνειας	0
Αριθμός Καμπύλης Απορροής-CN	60.7
Αρχικές Απώλειες	32.89

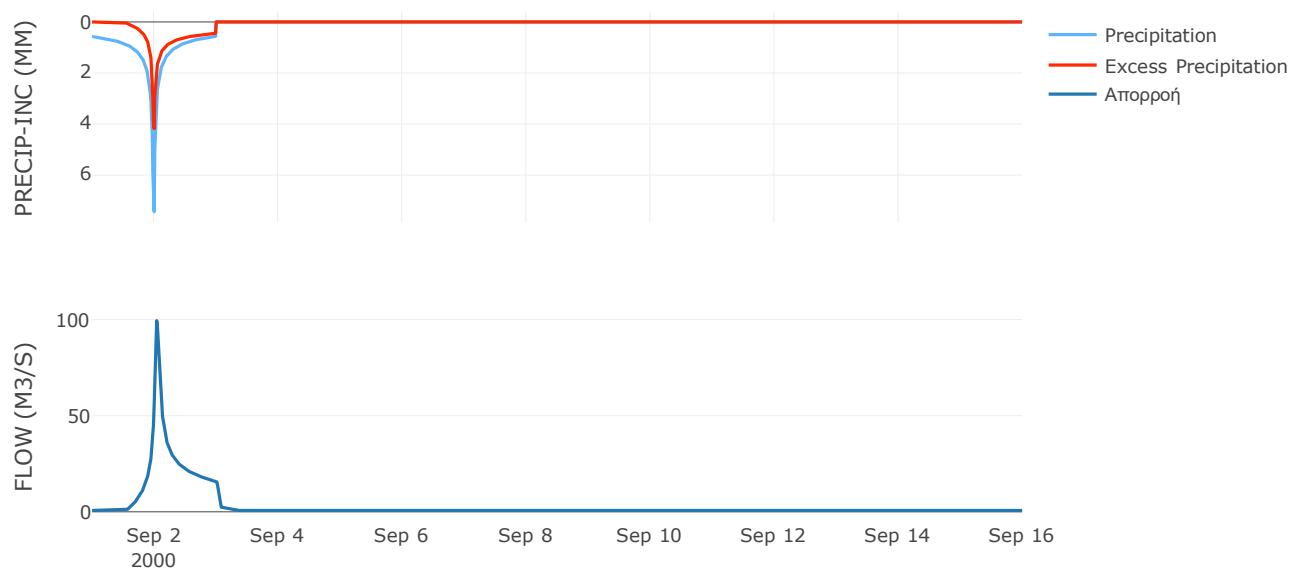
Μέθοδος
Μετασχηματισμού: SCS

Χρόνος Υστέρησης	53.81
------------------	-------

Αποτελέσματα:
EL0421FR001024

Παροχή αιχμής (M3/S)	99.42
Χρονική στιγμή αιχμής	02Sep2000, 01:00
Όγκος (MM)	132.42
Όγκος βροχόπτωσης (M3)	6.78E6
Όγκος απωλειών (M3)	3.67E6
Ενεργός Όγκος (M3)	3.11E6
Όγκος άμεσης απορροής (M3)	3.11E6
Όγκος βασικής απορροής (M3)	9.03E5

Βροχόπτωση και Απορροή



Υπολεκάνη: EL0421FR001025

Έκταση (KM2) : 69.37

Κατάντη : J19

Μέθοδος Απωλειών: SCS

Ποσοστό αδιαπέρατης επιφάνειας	0
Αριθμός Καμπύλης Απορροής-CN	52.49
Αρχικές Απώλειες	45.98

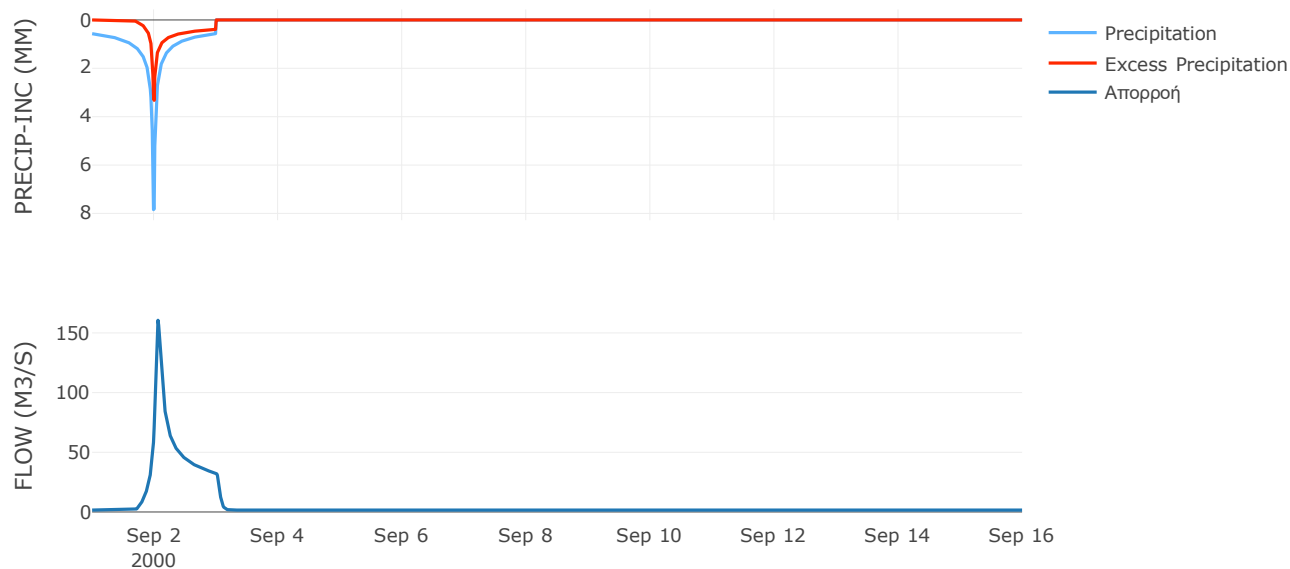
Μέθοδος
Μετασχηματισμού: SCS

Χρόνος Υστέρησης	73.55
------------------	-------

Αποτελέσματα:
EL0421FR001025

Παροχή αιχμής (M3/S)	160.6
Χρονική στιγμή αιχμής	02Sep2000, 01:30
Όγκος (MM)	110.1
Όγκος βροχόπτωσης (M3)	1.58E7
Όγκος απωλειών (M3)	1.02E7
Ενεργός Όγκος (M3)	5.57E6
Όγκος άμεσης απορροής (M3)	5.57E6
Όγκος βασικής απορροής (M3)	2.07E6

Βροχόπτωση και Απορροή



Υπολεκάνη: EL0421FR001026

Έκταση (KM2) : 14.94

Κατάντη : J9

Μέθοδος Απωλειών: SCS

Ποσοστό αδιαπέρατης επιφάνειας	0
Αριθμός Καμπύλης Απορροής-CN	55.98
Αρχικές Απώλειες	39.95

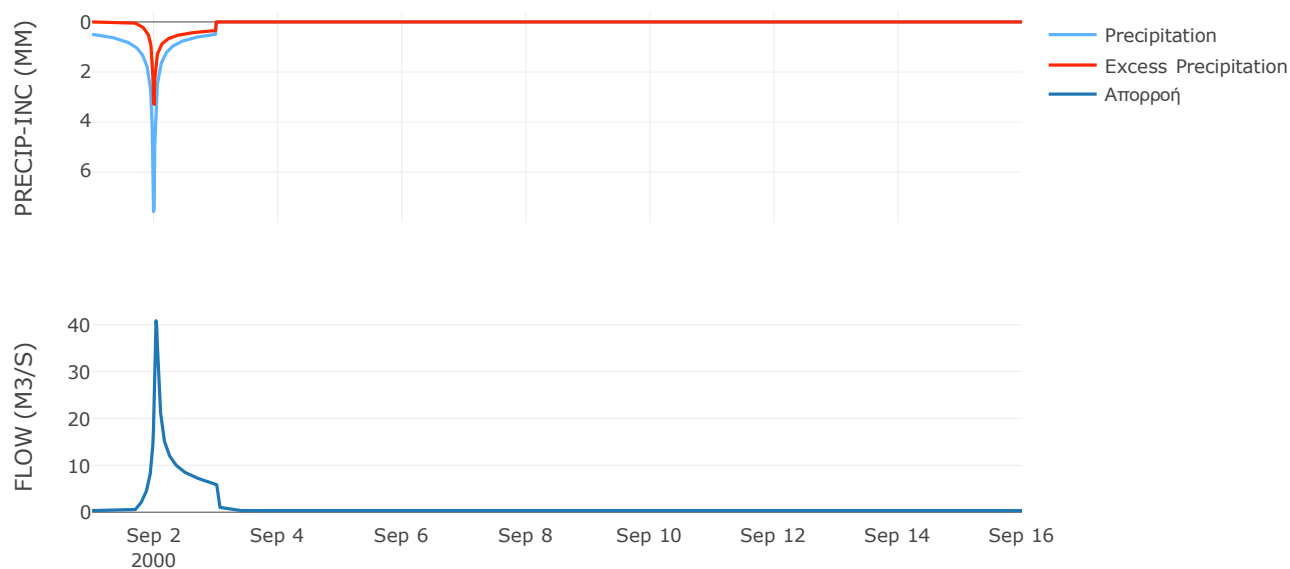
Μέθοδος
Μετασχηματισμού: SCS

Χρόνος Υστέρησης	39.93
------------------	-------

Αποτελέσματα:
EL0421FR001026

Παροχή αιχμής (M3/S)	40.86
Χρονική στιγμή αιχμής	02Sep2000, 00:45
Όγκος (MM)	104.45
Όγκος βροχόπτωσης (M3)	3.06E6
Όγκος απωλειών (M3)	1.95E6
Ενεργός Όγκος (M3)	1.12E6
Όγκος άμεσης απορροής (M3)	1.12E6
Όγκος βασικής απορροής (M3)	4.45E5

Βροχόπτωση και Απορροή



Υπολεκάνη: EL0421FR001027

Έκταση (KM2) : 17.74

Κατάντη : J22

Μέθοδος Απωλειών: SCS

Ποσοστό αδιαπέρατης επιφάνειας	0
Αριθμός Καμπύλης Απορροής-CN	64.57
Αρχικές Απώλειες	27.88

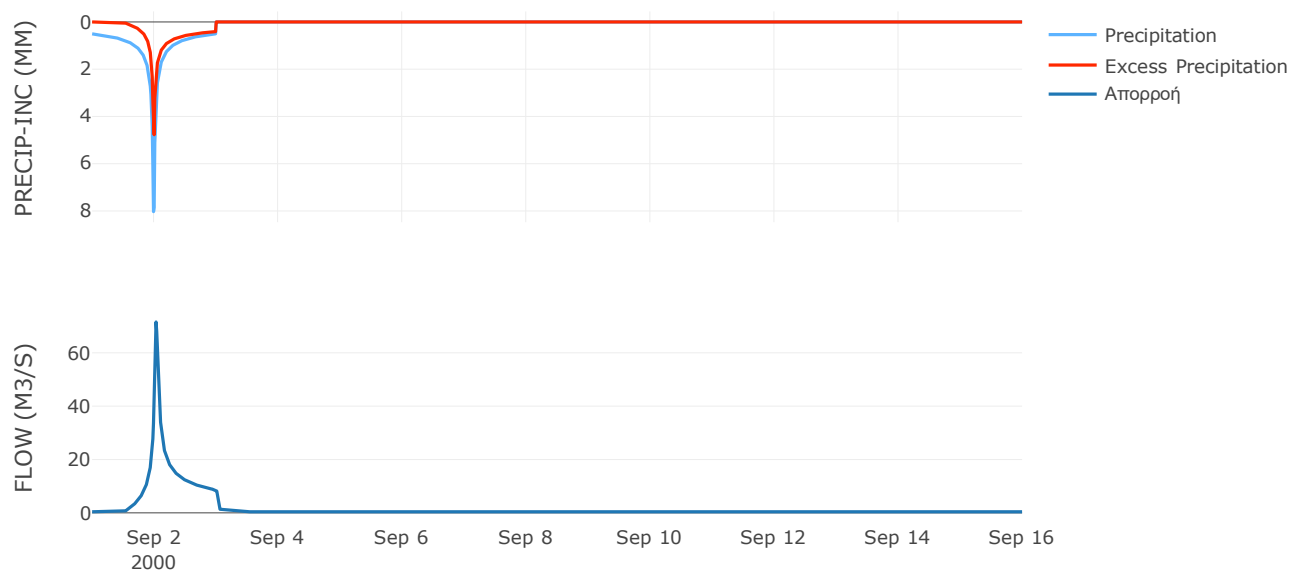
Μέθοδος
Μετασχηματισμού: SCS

Χρόνος Υστέρησης	39.75
------------------	-------

Αποτελέσματα:
EL0421FR001027

Παροχή αιχμής (M3/S)	71.57
Χρονική στιγμή αιχμής	02Sep2000, 00:45
Όγκος (MM)	134.13
Όγκος βροχόπτωσης (M3)	3.75E6
Όγκος απωλειών (M3)	1.9E6
Ενεργός Όγκος (M3)	1.85E6
Όγκος άμεσης απορροής (M3)	1.85E6
Όγκος βασικής απορροής (M3)	5.29E5

Βροχόπτωση και Απορροή



Υπολεκάνη: EL0421FR001028

Έκταση (KM2) : 35.53

Κατάντη : J22

Μέθοδος Απωλειών: SCS

Ποσοστό αδιαπέρατης επιφάνειας	0
Αριθμός Καμπύλης Απορροής-CN	63.53
Αρχικές Απώλειες	29.17

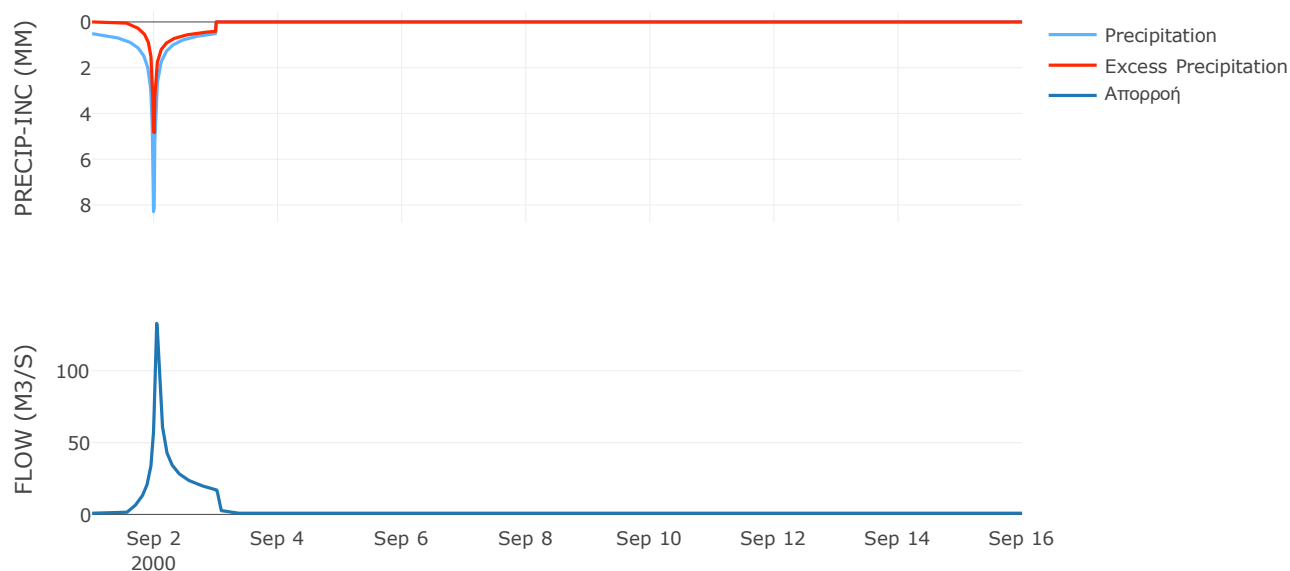
Μέθοδος
Μετασχηματισμού: SCS

Χρόνος Υστέρησης	53.46
------------------	-------

Αποτελέσματα:
EL0421FR001028

Παροχή αιχμής (M3/S)	133.02
Χρονική στιγμή αιχμής	02Sep2000, 01:00
Όγκος (MM)	134.44
Όγκος βροχόπτωσης (M3)	7.66E6
Όγκος απωλειών (M3)	3.94E6
Ενεργός Όγκος (M3)	3.72E6
Όγκος άμεσης απορροής (M3)	3.72E6
Όγκος βασικής απορροής (M3)	1.06E6

Βροχόπτωση και Απορροή



Υπολεκάνη: EL0421FR001029

Έκταση (KM2) : 42.48

Κατάντη : J6

Μέθοδος Απωλειών: SCS

Ποσοστό αδιαπέρατης επιφάνειας	0
Αριθμός Καμπύλης Απορροής-CN	43.62
Αρχικές Απώλειες	65.66

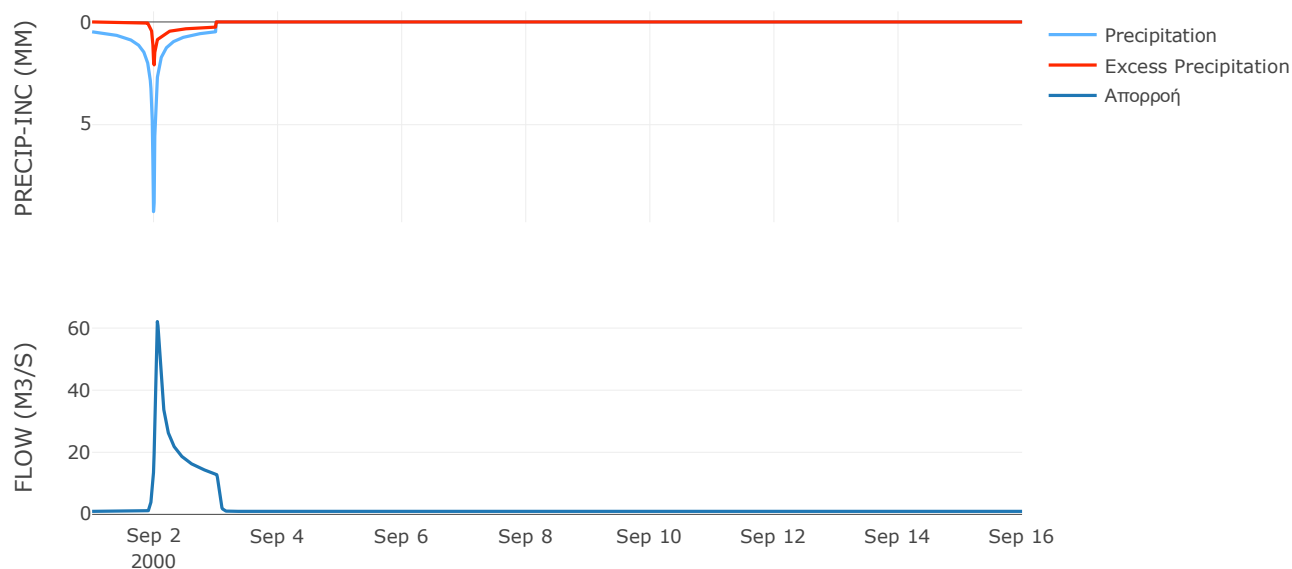
Μέθοδος
Μετασχηματισμού: SCS

Χρόνος Υστέρησης	57.81
------------------	-------

Αποτελέσματα:
EL0421FR001029

Παροχή αιχμής (M3/S)	62.11
Χρονική στιγμή αιχμής	02Sep2000, 01:15
Όγκος (MM)	75.96
Όγκος βροχόπτωσης (M3)	9.09E6
Όγκος απωλειών (M3)	7.13E6
Ενεργός Όγκος (M3)	1.96E6
Όγκος άμεσης απορροής (M3)	1.96E6
Όγκος βασικής απορροής (M3)	1.27E6

Βροχόπτωση και Απορροή



Υπολεκάνη: EL0421FR001030

Έκταση (KM2) : 20.53

Κατάντη : J5

Μέθοδος Απωλειών: SCS

Ποσοστό αδιαπέρατης επιφάνειας	0
Αριθμός Καμπύλης Απορροής-CN	36.3
Αρχικές Απώλειες	89.14

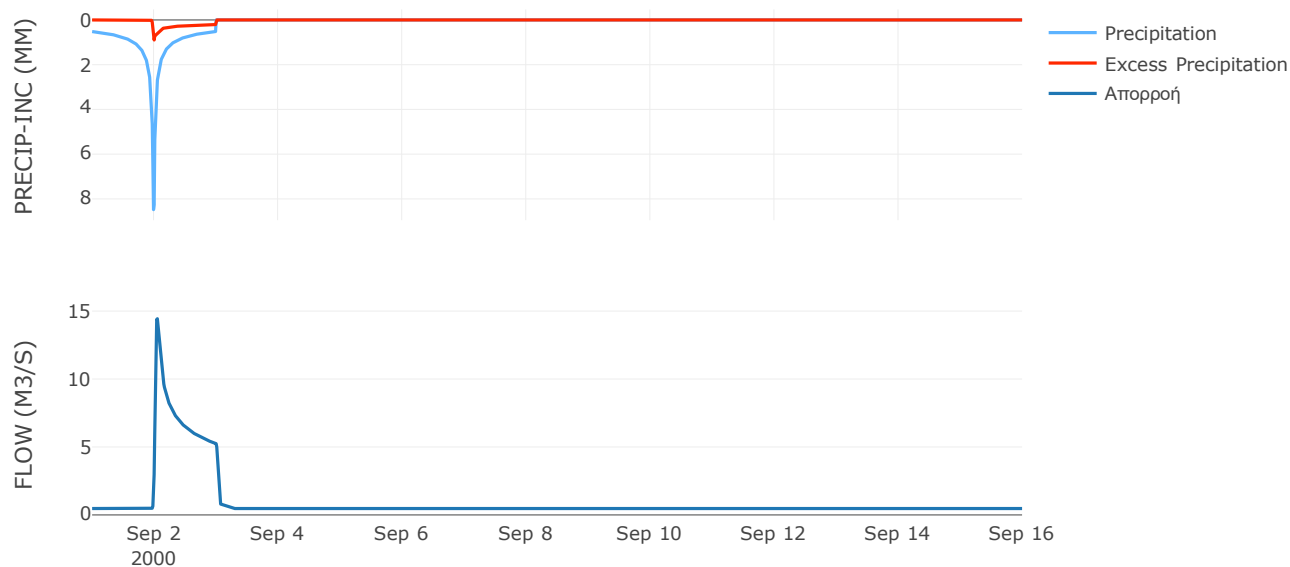
Μέθοδος
Μετασχηματισμού: SCS

Χρόνος Υστέρησης	39.95
------------------	-------

Αποτελέσματα:
EL0421FR001030

Παροχή αιχμής (M3/S)	14.44
Χρονική στιγμή αιχμής	02Sep2000, 01:15
Όγκος (MM)	59.23
Όγκος βροχόπτωσης (M3)	4.5E6
Όγκος απωλειών (M3)	3.9E6
Ενεργός Όγκος (M3)	6.04E5
Όγκος άμεσης απορροής (M3)	6.04E5
Όγκος βασικής απορροής (M3)	6.12E5

Βροχόπτωση και Απορροή



Υπολεκάνη: EL0421FR001031

Έκταση (KM2) : 24.21

Κατάντη : J4

Μέθοδος Απωλειών: SCS

Ποσοστό αδιαπέρατης επιφάνειας	0
Αριθμός Καμπύλης Απορροής-CN	32.67
Αρχικές Απώλειες	104.69

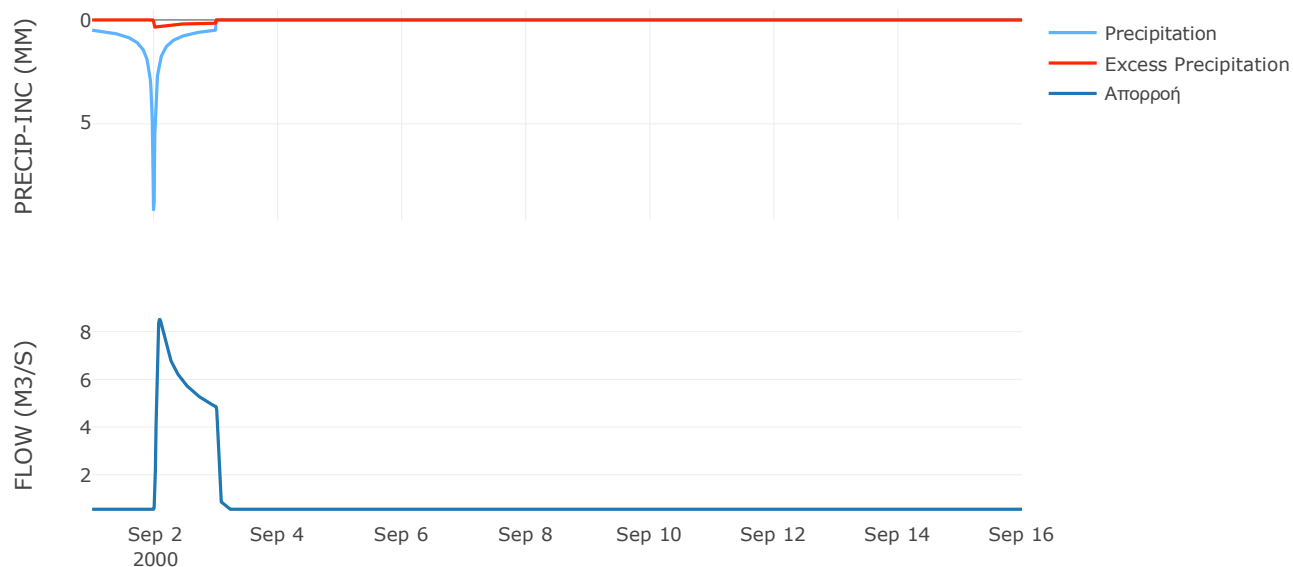
Μέθοδος
Μετασχηματισμού: SCS

Χρόνος Υστέρησης	46.79
------------------	-------

Αποτελέσματα:
EL0421FR001031

Παροχή αιχμής (M3/S)	8.51
Χρονική στιγμή αιχμής	02Sep2000, 02:15
Όγκος (MM)	49.63
Όγκος βροχόπτωσης (M3)	5.25E6
Όγκος απωλειών (M3)	4.77E6
Ενεργός Όγκος (M3)	4.8E5
Όγκος άμεσης απορροής (M3)	4.8E5
Όγκος βασικής απορροής (M3)	7.22E5

Βροχόπτωση και Απορροή



Υπολεκάνη: EL0421FR001032

Έκταση (KM2) : 56.61

Κατάντη : J12

Μέθοδος Απωλειών: SCS

Ποσοστό αδιαπέρατης επιφάνειας	0.06
Αριθμός Καμπύλης Απορροής-CN	36.71
Αρχικές Απώλειες	87.57

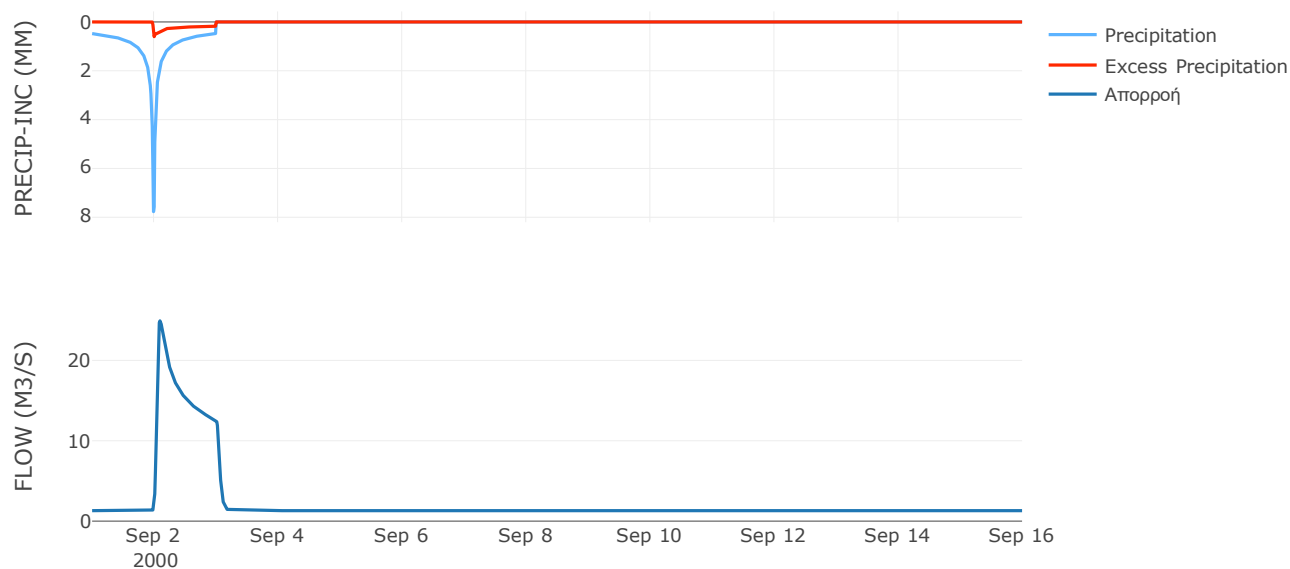
Μέθοδος
Μετασχηματισμού: SCS

Χρόνος Υστέρησης	72.09
------------------	-------

Αποτελέσματα:
EL0421FR001032

Παροχή αιχμής (M3/S)	24.92
Χρονική στιγμή αιχμής	02Sep2000, 02:15
Όγκος (MM)	53.34
Όγκος βροχόπτωσης (M3)	1.14E7
Όγκος απωλειών (M3)	1.01E7
Ενεργός Όγκος (M3)	1.33E6
Όγκος άμεσης απορροής (M3)	1.33E6
Όγκος βασικής απορροής (M3)	1.69E6

Βροχόπτωση και Απορροή



Υπολεκάνη: EL0421FR001033

Έκταση (KM2) : 28.55

Κατάντη : J21

Μέθοδος Απωλειών: SCS

Ποσοστό αδιαπέρατης επιφάνειας	0
Αριθμός Καμπύλης Απορροής-CN	46.61
Αρχικές Απώλειες	58.19

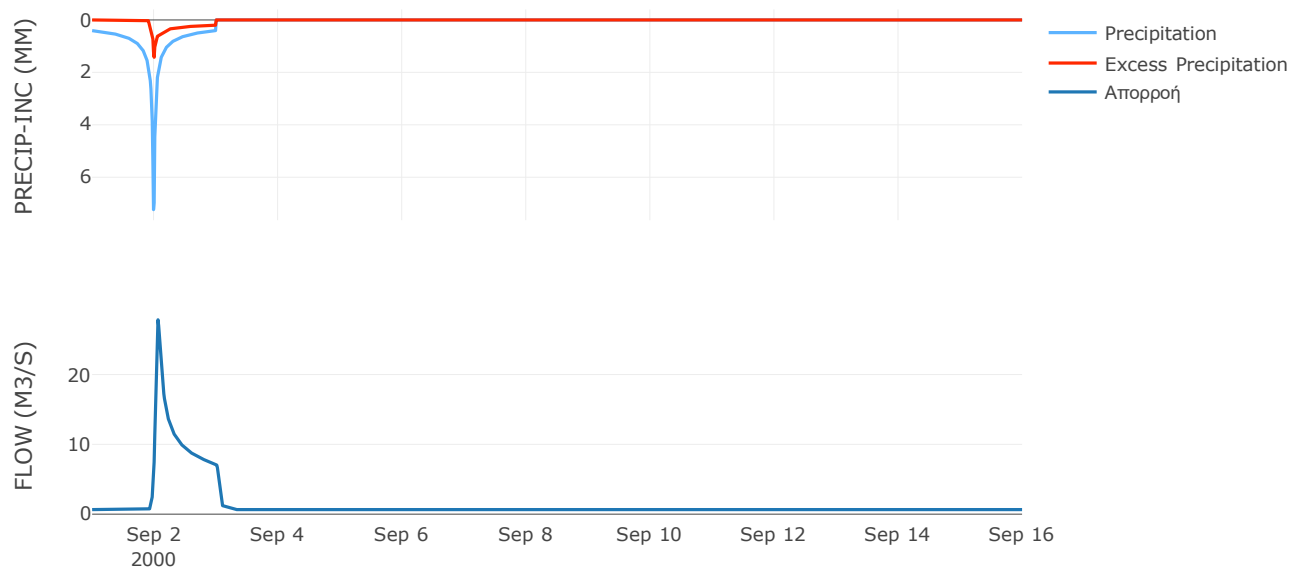
Μέθοδος
Μετασχηματισμού: SCS

Χρόνος Υστέρησης	63.08
------------------	-------

Αποτελέσματα:
EL0421FR001033

Παροχή αιχμής (M3/S)	27.84
Χρονική στιγμή αιχμής	02Sep2000, 01:30
Όγκος (MM)	64.18
Όγκος βροχόπτωσης (M3)	5.05E6
Όγκος απωλειών (M3)	4.07E6
Ενεργός Όγκος (M3)	9.82E5
Όγκος άμεσης απορροής (M3)	9.82E5
Όγκος βασικής απορροής (M3)	8.51E5

Βροχόπτωση και Απορροή



Υπολεκάνη: EL0421FR001034

Έκταση (KM2) : 57.33

Κατάντη : J21

Μέθοδος Απωλειών: SCS

Ποσοστό αδιαπέρατης επιφάνειας	0
Αριθμός Καμπύλης Απορροής-CN	42.39
Αρχικές Απώλειες	69.03

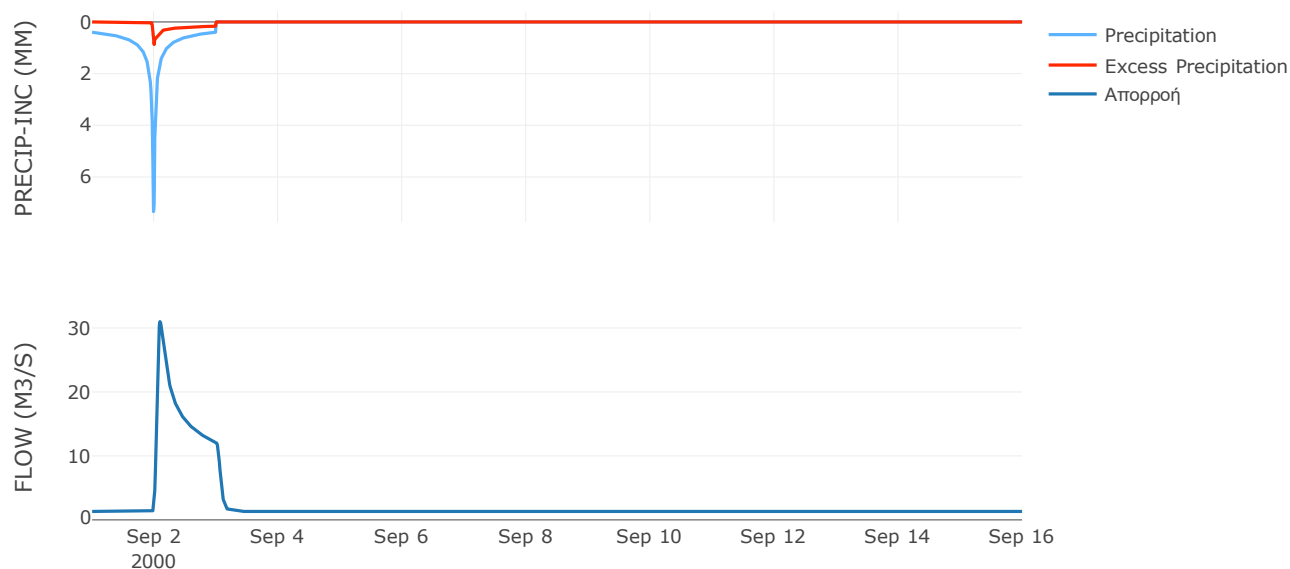
Μέθοδος
Μετασχηματισμού: SCS

Χρόνος Υστέρησης	87.83
------------------	-------

Αποτελέσματα:
EL0421FR001034

Παροχή αιχμής (M3/S)	30.99
Χρονική στιγμή αιχμής	02Sep2000, 02:15
Όγκος (MM)	54.76
Όγκος βροχόπτωσης (M3)	1E7
Όγκος απωλειών (M3)	8.61E6
Ενεργός Όγκος (M3)	1.43E6
Όγκος άμεσης απορροής (M3)	1.43E6
Όγκος βασικής απορροής (M3)	1.71E6

Βροχόπτωση και Απορροή



Υπολεκάνη: EL0421FR001035

Έκταση (KM2) : 27.47

Κατάντη : J9

Μέθοδος Απωλειών: SCS

Ποσοστό αδιαπέρατης επιφάνειας	0
Αριθμός Καμπύλης Απορροής-CN	63.43
Αρχικές Απώλειες	29.29

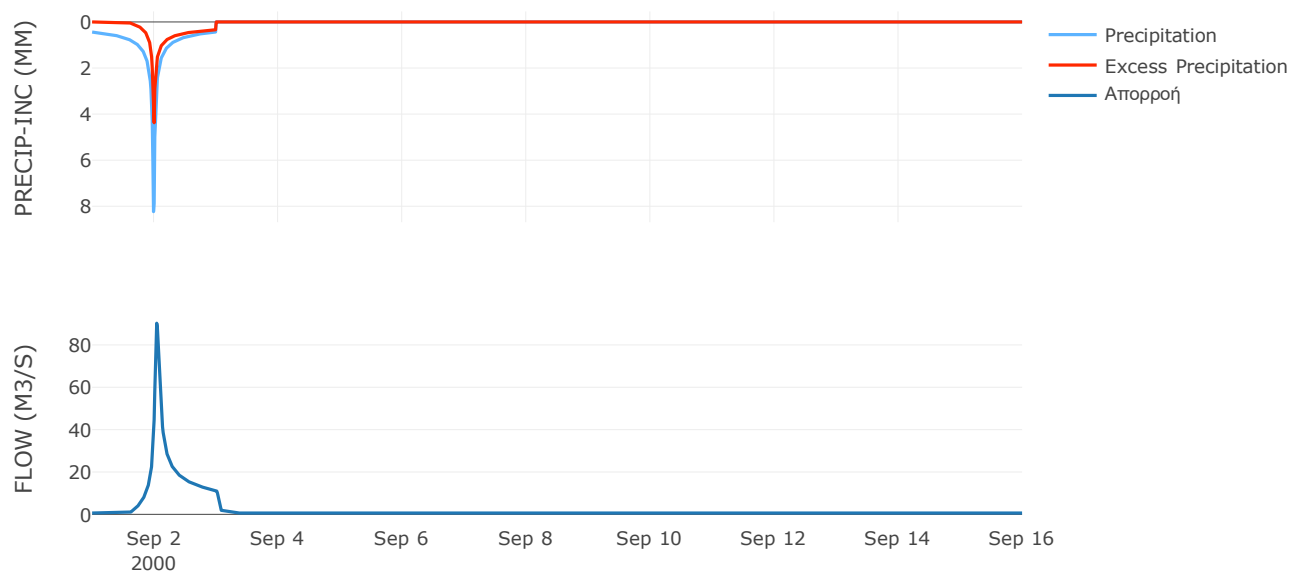
Μέθοδος
Μετασχηματισμού: SCS

Χρόνος Υστέρησης	55.23
------------------	-------

Αποτελέσματα:
EL0421FR001035

Παροχή αιχμής (M3/S)	90.25
Χρονική στιγμή αιχμής	02Sep2000, 01:00
Όγκος (MM)	116.91
Όγκος βροχόπτωσης (M3)	5.33E6
Όγκος απωλειών (M3)	2.93E6
Ενεργός Όγκος (M3)	2.39E6
Όγκος άμεσης απορροής (M3)	2.39E6
Όγκος βασικής απορροής (M3)	8.19E5

Βροχόπτωση και Απορροή



Υπολεκάνη: EL0421FR001036

Έκταση (KM2) : 22.53

Κατάντη : J23

Μέθοδος Απωλειών: SCS

Ποσοστό αδιαπέρατης επιφάνειας	0
Αριθμός Καμπύλης Απορροής-CN	48.63
Αρχικές Απώλειες	53.67

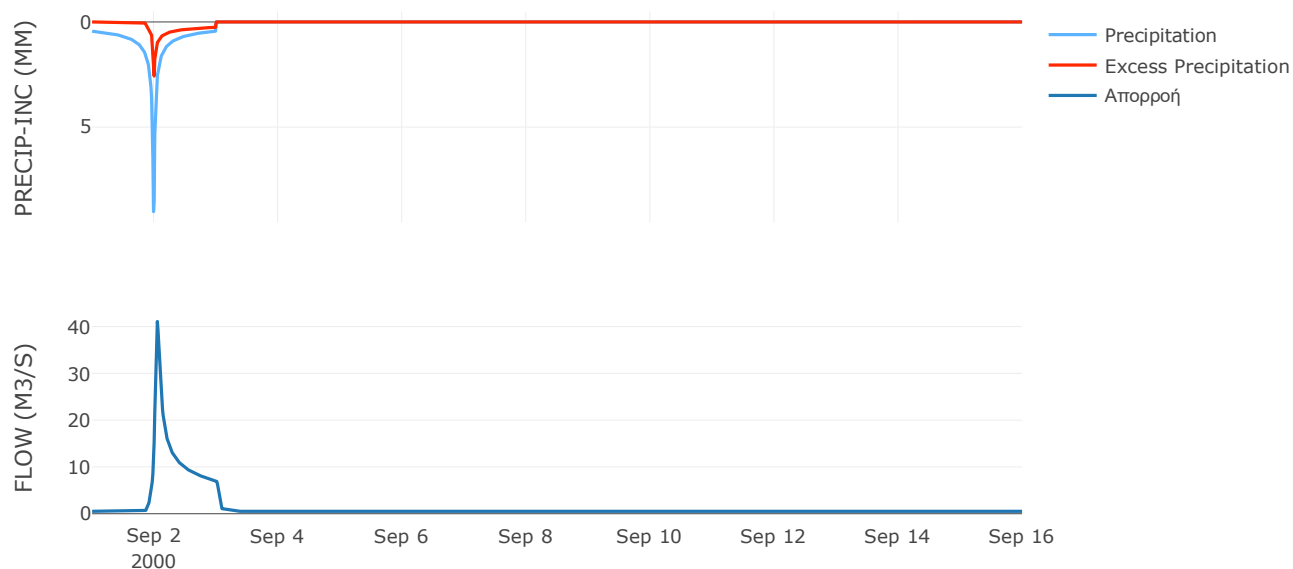
Μέθοδος
Μετασχηματισμού: SCS

Χρόνος Υστέρησης	56.44
------------------	-------

Αποτελέσματα:
EL0421FR001036

Παροχή αιχμής (M3/S)	41.07
Χρονική στιγμή αιχμής	02Sep2000, 01:15
Όγκος (MM)	81.81
Όγκος βροχόπτωσης (M3)	4.52E6
Όγκος απωλειών (M3)	3.35E6
Ενεργός Όγκος (M3)	1.17E6
Όγκος άμεσης απορροής (M3)	1.17E6
Όγκος βασικής απορροής (M3)	6.71E5

Βροχόπτωση και Απορροή



Υπολεκάνη: EL0421FR001037

Έκταση (KM2) : 26.53

Κατάντη : J2

Μέθοδος Απωλειών: SCS

Ποσοστό αδιαπέρατης επιφάνειας	0
Αριθμός Καμπύλης Απορροής-CN	40.75
Αρχικές Απώλειες	73.86

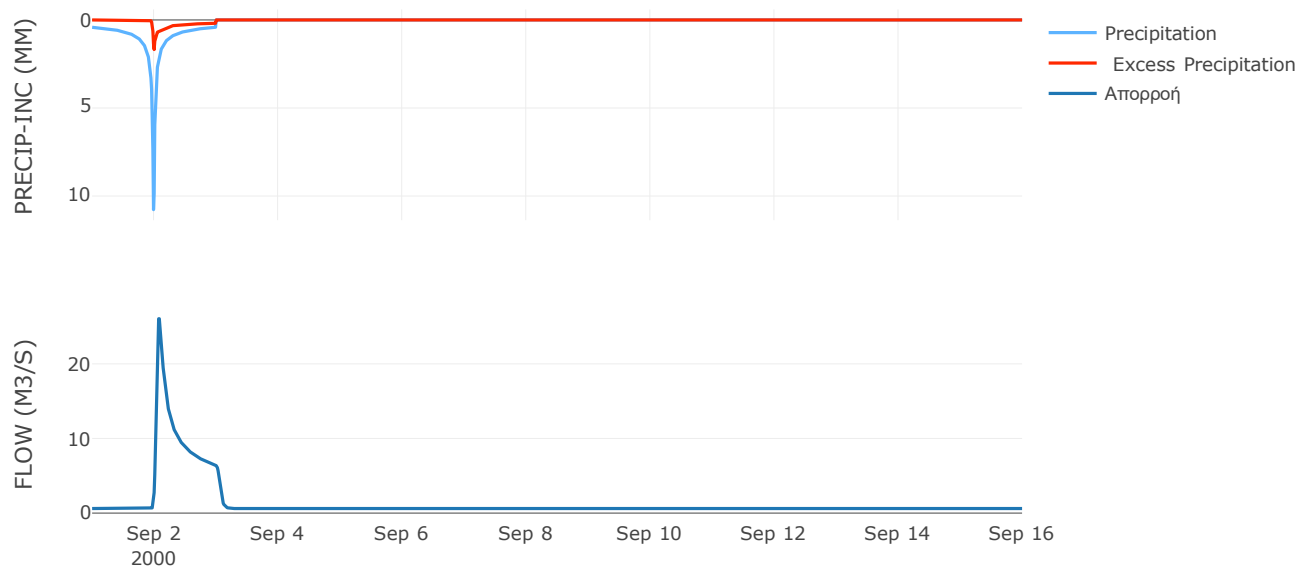
Μέθοδος
Μετασχηματισμού: SCS

Χρόνος Υστέρησης	78.49
------------------	-------

Αποτελέσματα:
EL0421FR001037

Παροχή αιχμής (M3/S)	26.05
Χρονική στιγμή αιχμής	02Sep2000, 02:00
Όγκος (MM)	64.33
Όγκος βροχόπτωσης (M3)	5.45E6
Όγκος απωλειών (M3)	4.53E6
Ενεργός Όγκος (M3)	9.16E5
Όγκος άμεσης απορροής (M3)	9.16E5
Όγκος βασικής απορροής (M3)	7.91E5

Βροχόπτωση και Απορροή



Υπολεκάνη: EL0421FR001038

Έκταση (KM2) : 16.84

Κατάντη : J18

Μέθοδος Απωλειών: SCS

Ποσοστό αδιαπέρατης επιφάνειας	0
Αριθμός Καμπύλης Απορροής-CN	62.75
Αρχικές Απώλειες	30.15

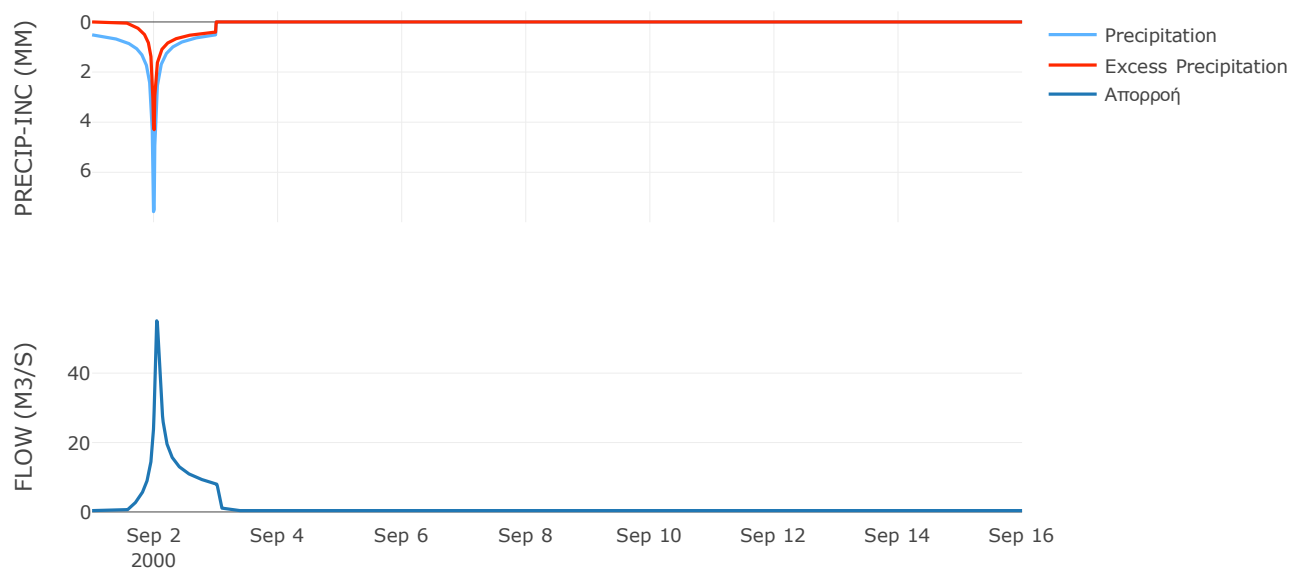
Μέθοδος
Μετασχηματισμού: SCS

Χρόνος Υστέρησης	57.32
------------------	-------

Αποτελέσματα:
EL0421FR001038

Παροχή αιχμής (M3/S)	55.07
Χρονική στιγμή αιχμής	02Sep2000, 01:00
Όγκος (MM)	128.29
Όγκος βροχόπτωσης (M3)	3.55E6
Όγκος απωλειών (M3)	1.89E6
Ενεργός Όγκος (M3)	1.66E6
Όγκος άμεσης απορροής (M3)	1.66E6
Όγκος βασικής απορροής (M3)	5.02E5

Βροχόπτωση και Απορροή



Υπολεκάνη: EL0421FR001039

Έκταση (KM2) : 11.68

Κατάντη : J8

Μέθοδος Απωλειών: SCS

Ποσοστό αδιαπέρατης επιφάνειας	0
Αριθμός Καμπύλης Απορροής-CN	62.62
Αρχικές Απώλειες	30.33

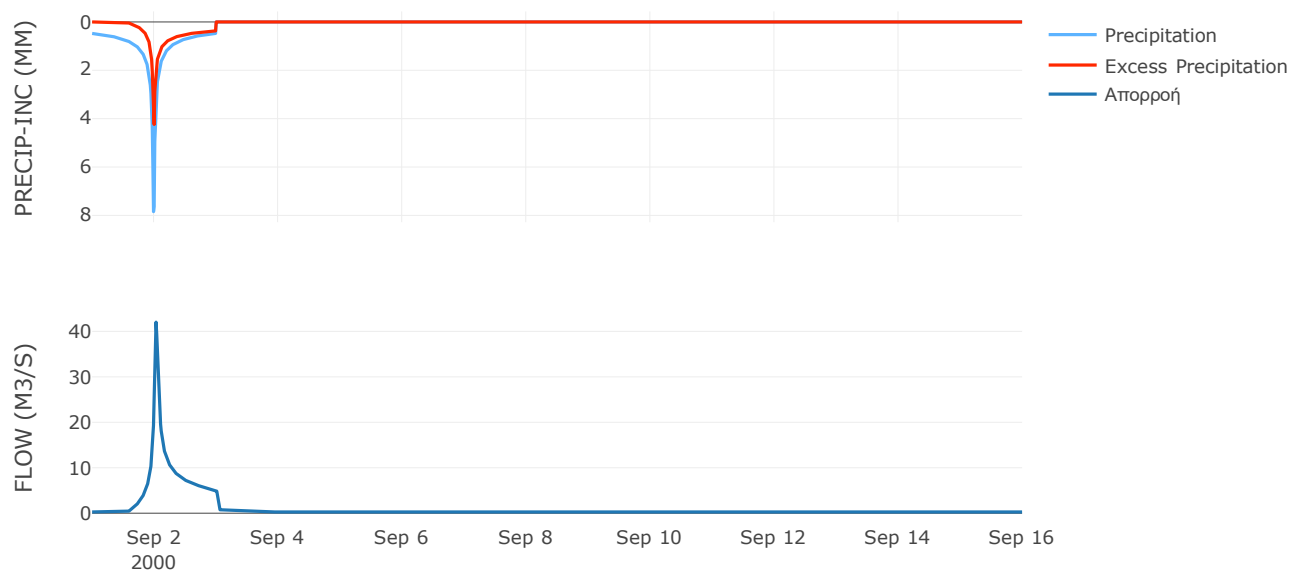
Μέθοδος
Μετασχηματισμού: SCS

Χρόνος Υστέρησης	37.9
------------------	------

Αποτελέσματα:
EL0421FR001039

Παροχή αιχμής (M3/S)	42.03
Χρονική στιγμή αιχμής	02Sep2000, 00:45
Όγκος (MM)	120.62
Όγκος βροχόπτωσης (M3)	2.35E6
Όγκος απωλειών (M3)	1.29E6
Ενεργός Όγκος (M3)	1.06E6
Όγκος άμεσης απορροής (M3)	1.06E6
Όγκος βασικής απορροής (M3)	3.48E5

Βροχόπτωση και Απορροή



Υπολεκάνη: EL0421FR001040

Έκταση (KM2) : 8.83

Κατάντη : J7

Μέθοδος Απωλειών: SCS

Ποσοστό αδιαπέρατης επιφάνειας	0
Αριθμός Καμπύλης Απορροής-CN	64.13
Αρχικές Απώλειες	28.41

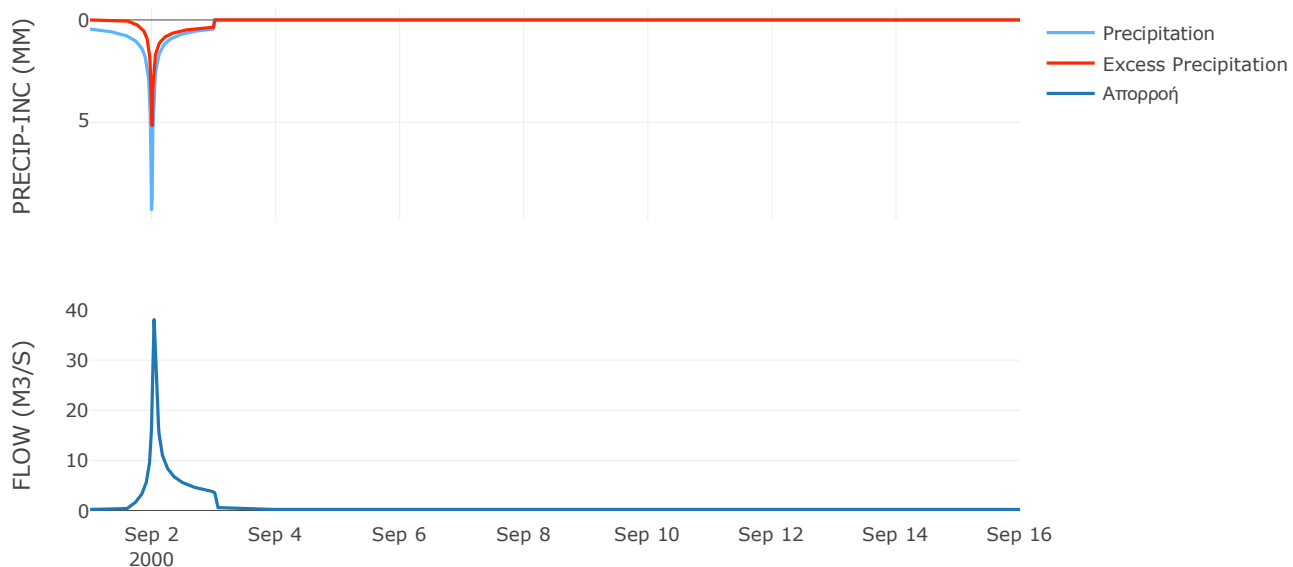
Μέθοδος
Μετασχηματισμού: SCS

Χρόνος Υστέρησης	38.46
------------------	-------

Αποτελέσματα:
EL0421FR001040

Παροχή αιχμής (M3/S)	38.08
Χρονική στιγμή αιχμής	02Sep2000, 00:45
Όγκος (MM)	126.66
Όγκος βροχόπτωσης (M3)	1.8E6
Όγκος απωλειών (M3)	9.44E5
Ενεργός Όγκος (M3)	8.55E5
Όγκος άμεσης απορροής (M3)	8.55E5
Όγκος βασικής απορροής (M3)	2.63E5

Βροχόπτωση και Απορροή



Υπολεκάνη: EL0421FR001041

Έκταση (KM2) : 11.46

Κατάντη : J11

Μέθοδος Απωλειών: SCS

Ποσοστό αδιαπέρατης επιφάνειας	0.2
Αριθμός Καμπύλης Απορροής-CN	62.87
Αρχικές Απώλειες	30

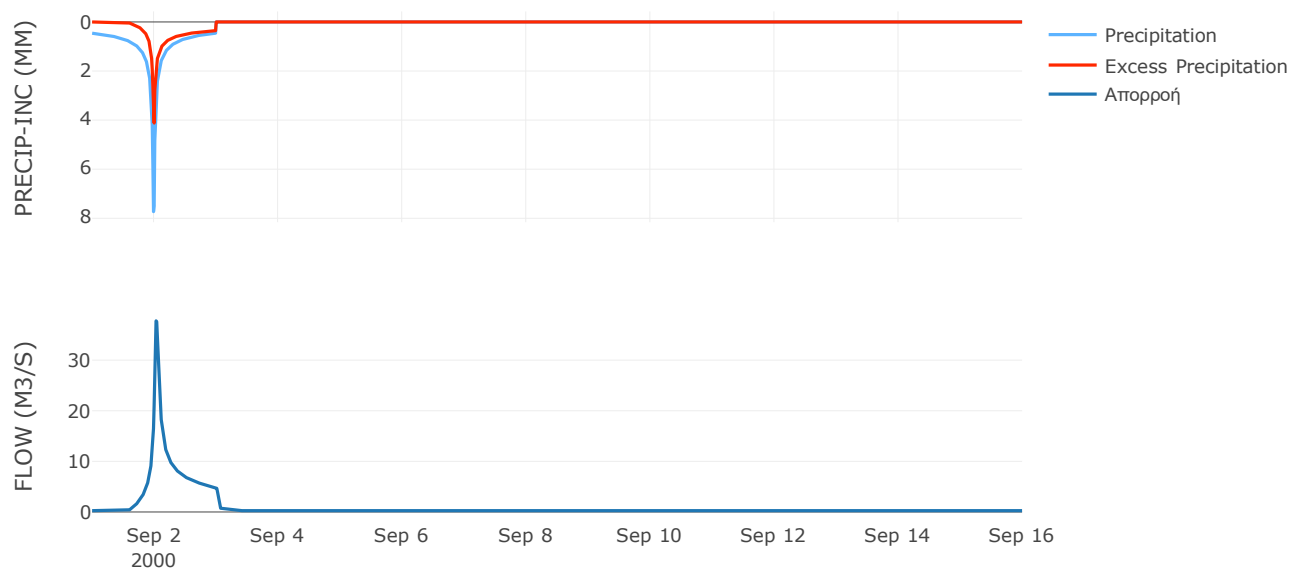
Μέθοδος
Μετασχηματισμού: SCS

Χρόνος Υστέρησης	45.38
------------------	-------

Αποτελέσματα:
EL0421FR001041

Παροχή αιχμής (M3/S)	37.76
Χρονική στιγμή αιχμής	02Sep2000, 00:45
Όγκος (MM)	117.09
Όγκος βροχόπτωσης (M3)	2.24E6
Όγκος απωλειών (M3)	1.24E6
Ενεργός Όγκος (M3)	1E6
Όγκος άμεσης απορροής (M3)	1E6
Όγκος βασικής απορροής (M3)	3.42E5

Βροχόπτωση και Απορροή



3.2 Δεδομένα και Υδρογραφήματα Σχεδιασμού Κλάδων Υδρογραφικού Δικτύου

Κλάδος: R21

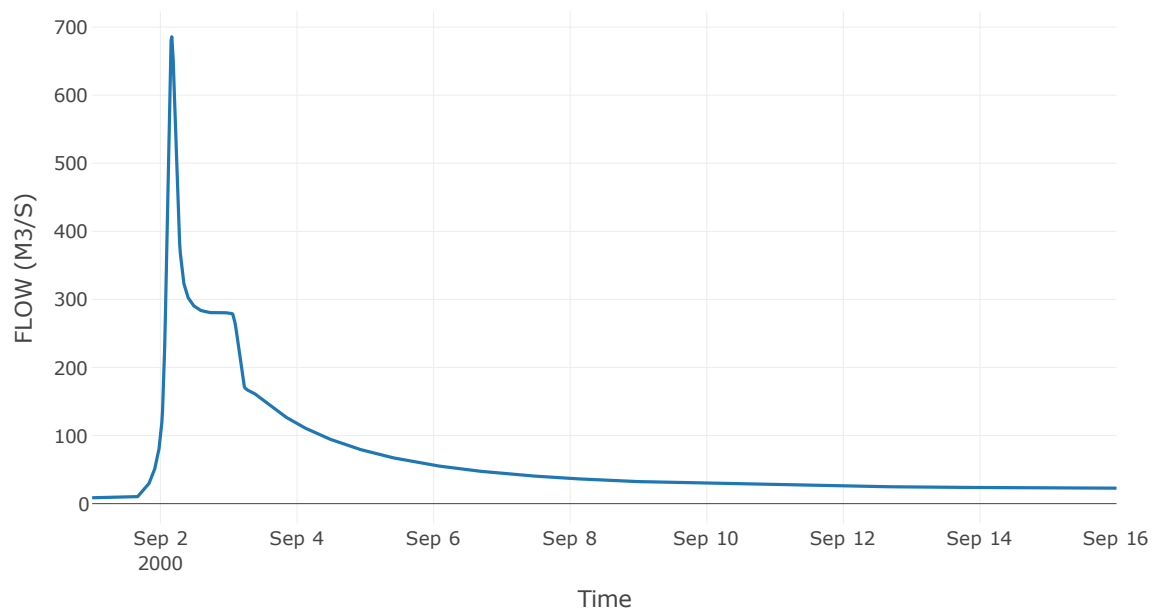
Κατάντη : J1

Μέθοδος διόδευσης	Muskingum
Αρχική Μεταβλητή	Combined Inflow
Χρόνος ροής K	0.74
Συντελεστής βάρους x	0.2
Πλήθος Υποκλάδων	3

Αποτελέσματα: R21

Παροχή Αιχμής(M3/S)	685.8
Χρονική στιγμή αιχμής	02Sep2000, 04:00
Όγκος (MM)	90.53
Παροχή Αιχμής Εισόδου (M3/S)	701.35
Όγκος Εισόδου(M3)	8.48E7

Απορροή



Κλάδος: R32

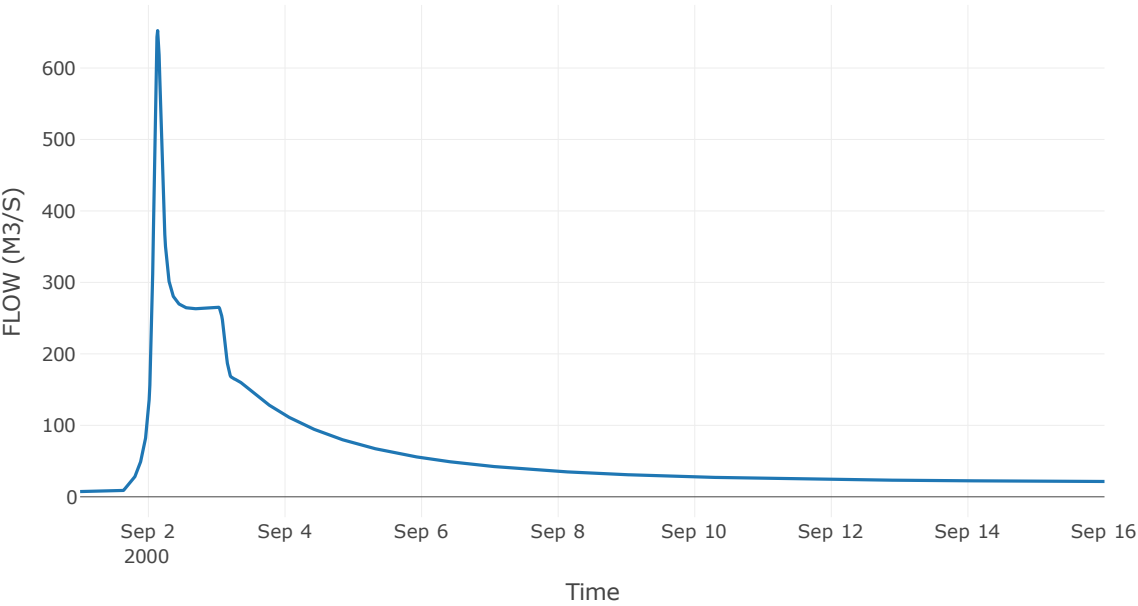
Κατάντη : J2

Μέθοδος διόδευσης	Muskingum
Αρχική Μεταβλητή	Combined Inflow
Χρόνος ροής K	0.21
Συντελεστής βάρους x	0.2
Πλήθος Υποκλάδων	1

Αποτελέσματα: R32

Παροχή Αιχμής(M3/S)	652.37
Χρονική στιγμή αιχμής	02Sep2000, 03:15
Όγκος (MM)	91.91
Παροχή Αιχμής Εισόδου (M3/S)	656.36
Όγκος Εισόδου(M3)	8.09E7

Απορροή



Κλάδος: R43

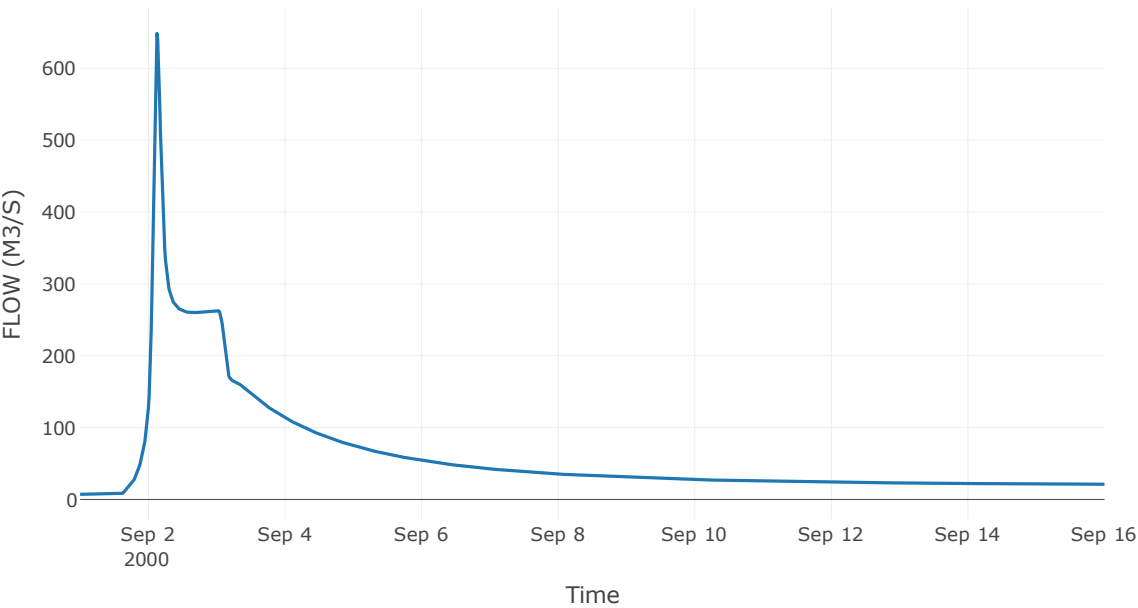
Κατάντη : J3

Μέθοδος διόδευσης	Muskingum
Αρχική Μεταβλητή	Combined Inflow
Χρόνος ροής K	0.45
Συντελεστής βάρους x	0.2
Πλήθος Υποκλάδων	2

Αποτελέσματα: R43

Παροχή Αιχμής(M3/S)	648.55
Χρονική στιγμή αιχμής	02Sep2000, 03:00
Όγκος (MM)	92.19
Παροχή Αιχμής Εισόδου (M3/S)	658.5
Όγκος Εισόδου(M3)	8.02E7

Απορροή



Κλάδος: R54

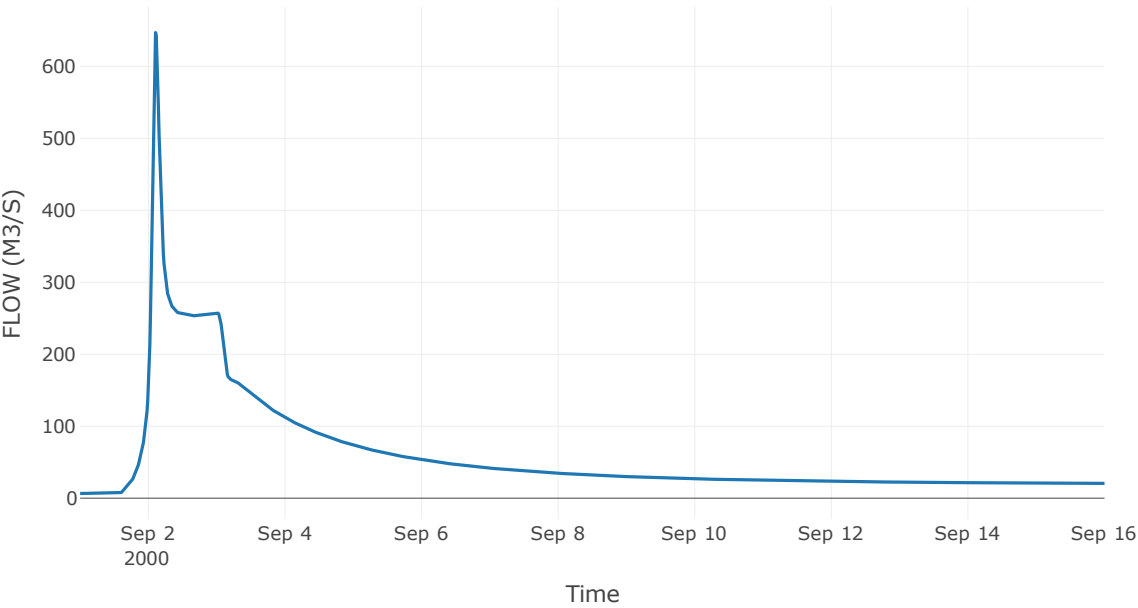
Κατάντη : J4

Μέθοδος διόδευσης	Muskingum
Αρχική Μεταβλητή	Combined Inflow
Χρόνος ροής K	0.18
Συντελεστής βάρους x	0.2
Πλήθος Υποκλάδων	1

Αποτελέσματα: R54

Παροχή Αιχμής(M3/S)	646.82
Χρονική στιγμή αιχμής	02Sep2000, 02:30
Όγκος (MM)	93.43
Παροχή Αιχμής Εισόδου (M3/S)	648.29
Όγκος Εισόδου(M3)	7.88E7

Απορροή



Κλάδος: R65

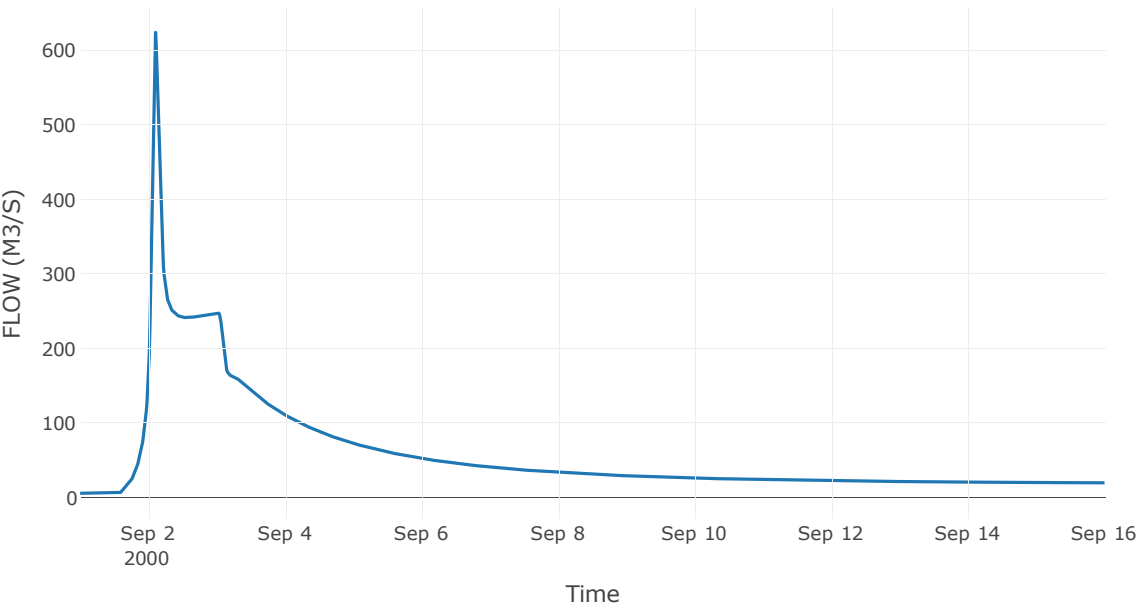
Κατάντη : J5

Μέθοδος διόδευσης	Muskingum
Αρχική Μεταβλητή	Combined Inflow
Χρόνος ροής K	0.51
Συντελεστής βάρους x	0.2
Πλήθος Υποκλάδων	2

Αποτελέσματα: R65

Παροχή Αιχμής(M3/S)	624.25
Χρονική στιγμή αιχμής	02Sep2000, 02:30
Όγκος (MM)	95.01
Παροχή Αιχμής Εισόδου (M3/S)	638.56
Όγκος Εισόδου(M3)	7.65E7

Απορροή



Κλάδος: R76

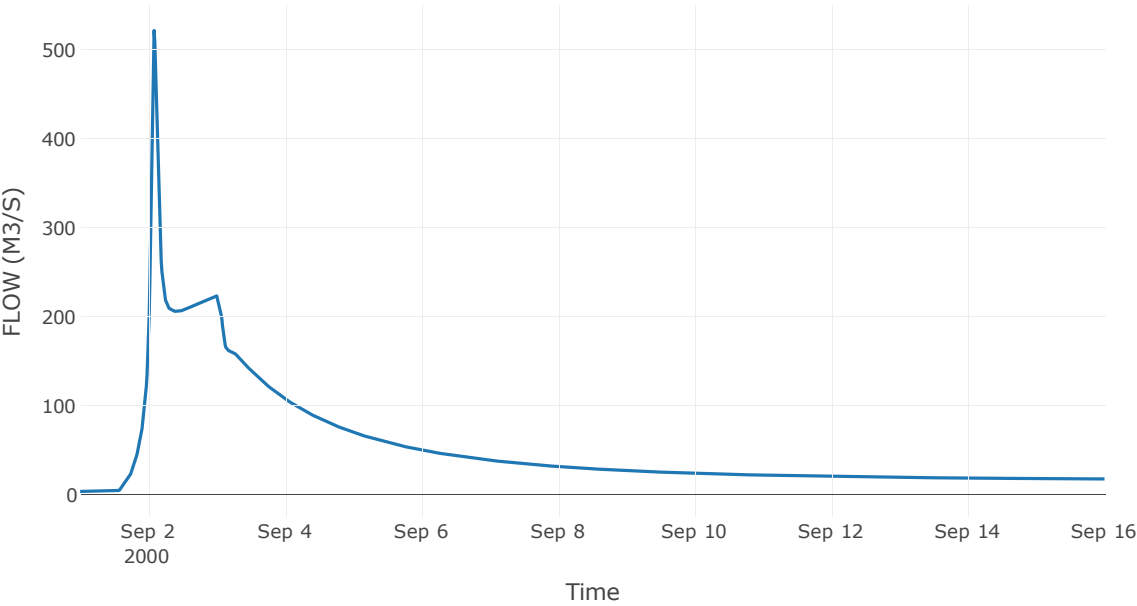
Κατάντη : J6

Μέθοδος διόδευσης	Muskingum
Αρχική Μεταβλητή	Combined Inflow
Χρόνος ροής K	0.61
Συντελεστής βάρους x	0.2
Πλήθος Υποκλάδων	2

Αποτελέσματα: R76

Παροχή Αιχμής(M3/S)	521.6
Χρονική στιγμή αιχμής	02Sep2000, 02:00
Όγκος (MM)	96.3
Παροχή Αιχμής Εισόδου (M3/S)	543.91
Όγκος Εισόδου(M3)	7.02E7

Απορροή



Κλάδος: R87

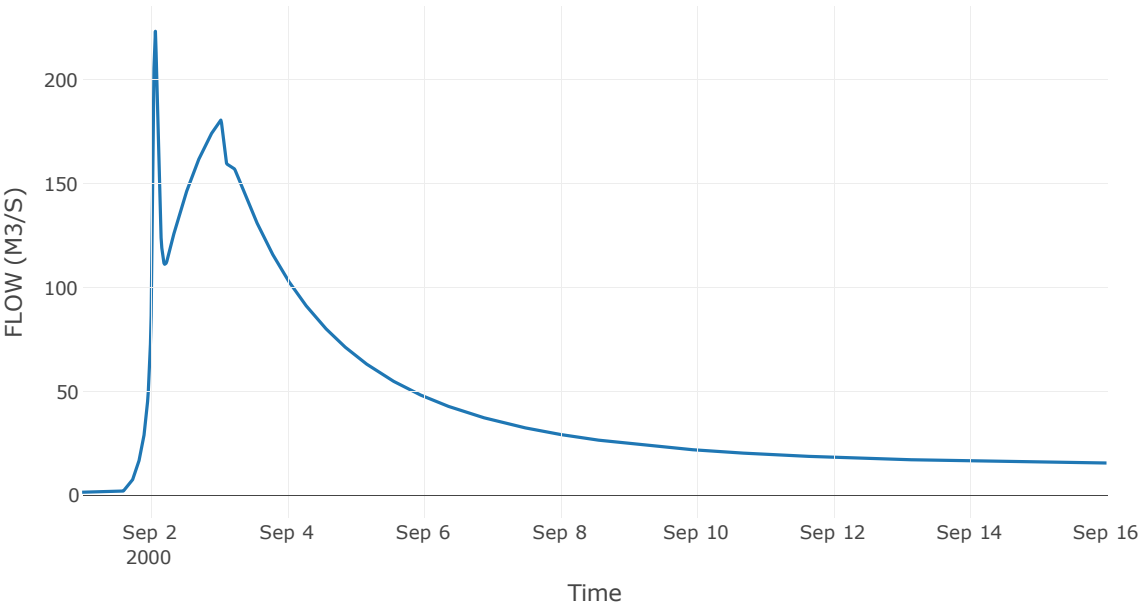
Κατάντη : J7

Μέθοδος διόδευσης	Χρόνος υστέρησης
Αρχική Μεταβλητή	Combined Inflow
Χρόνος υστέρησης	32.55

Αποτελέσματα: R87

Παροχή Αιχμής(M3/S)	223.43
Χρονική στιγμή αιχμής	02Sep2000, 01:45
Όγκος (MM)	91.27
Παροχή Αιχμής Εισόδου (M3/S)	224.39
Όγκος Εισόδου(M3)	5.78E7

Απορροή



Κλάδος: R98

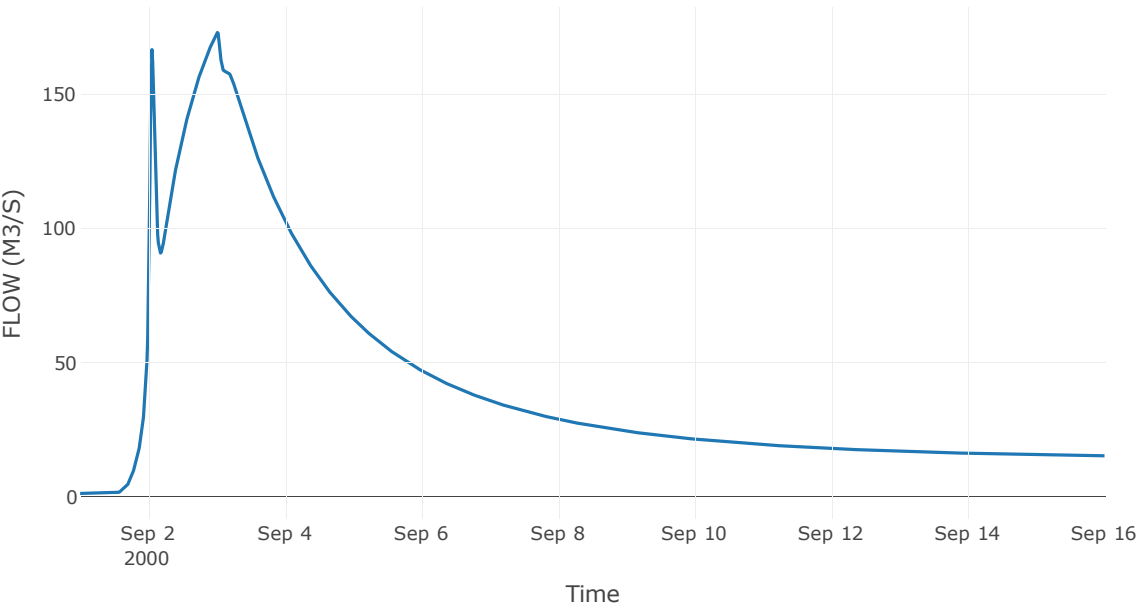
Κατάντη : J8

Μέθοδος διόδευσης	Muskingum
Αρχική Μεταβλητή	Combined Inflow
Χρόνος ροής K	0.3
Συντελεστής βάρους x	0.2
Πλήθος Υποκλάδων	1

Αποτελέσματα: R98

Παροχή Αιχμής(M3/S)	173.1
Χρονική στιγμή αιχμής	03Sep2000, 00:15
Όγκος (MM)	90.61
Παροχή Αιχμής Εισόδου (M3/S)	173.32
Όγκος Εισόδου(M3)	5.56E7

Απορροή



Κλάδος: R109

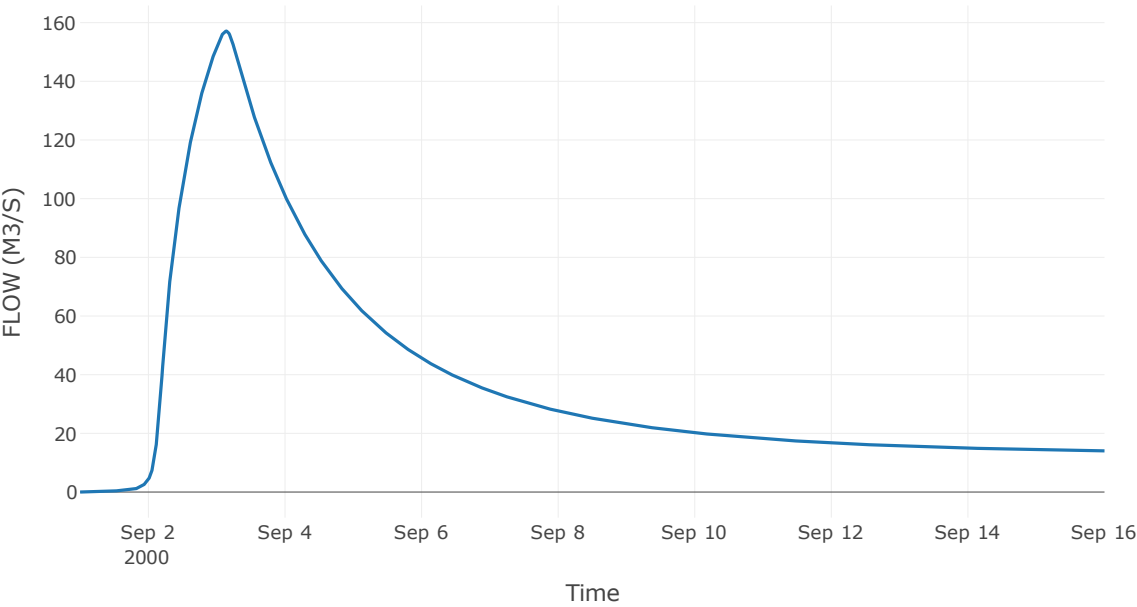
Κατάντη : J9

Μέθοδος διόδευσης	Χρόνος υστέρησης
Αρχική Μεταβλητή	Combined Inflow
Χρόνος υστέρησης	9.51

Αποτελέσματα: R109

Παροχή Αιχμής(M3/S)	157.12
Χρονική στιγμή αιχμής	03Sep2000, 03:15
Όγκος (MM)	88.47
Παροχή Αιχμής Εισόδου (M3/S)	157.12
Όγκος Εισόδου(M3)	4.96E7

Απορροή



Κλάδος: R1110

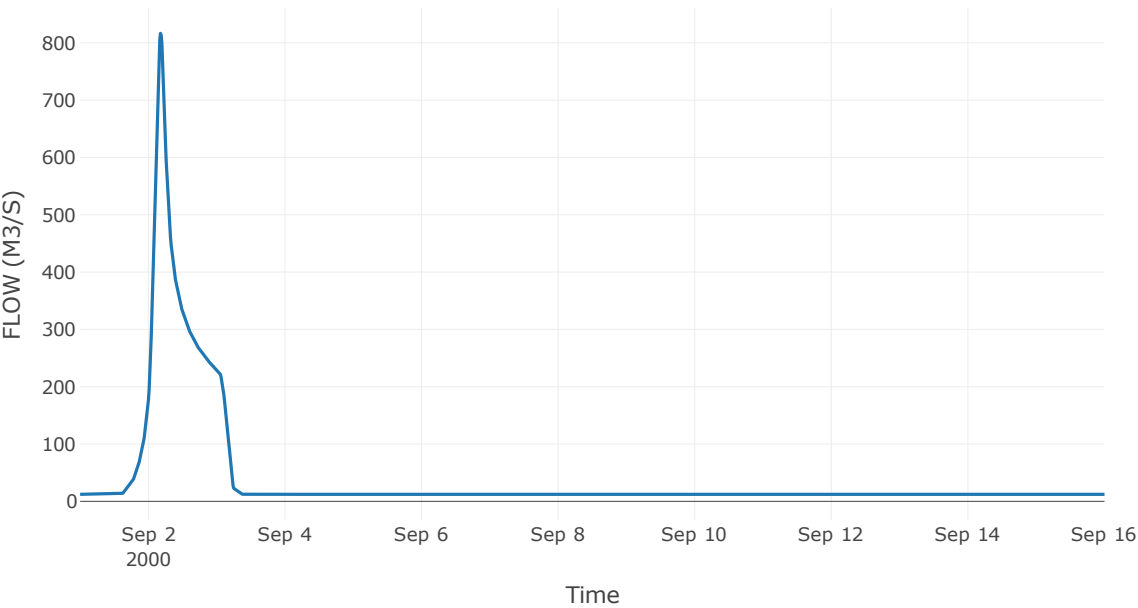
Κατάντη : J10 Res1

Μέθοδος διόδευσης	Muskingum
Αρχική Μεταβλητή	Combined Inflow
Χρόνος ροής K	0.63
Συντελεστής βάρους x	0.2
Πλήθος Υποκλάδων	3

Αποτελέσματα: R1110

Παροχή Αιχμής(M3/S)	816.48
Χρονική στιγμή αιχμής	02Sep2000, 04:15
Όγκος (MM)	98.78
Παροχή Αιχμής Εισόδου (M3/S)	825.42
Όγκος Εισόδου(M3)	5.25E7

Απορροή



Κλάδος: R1211

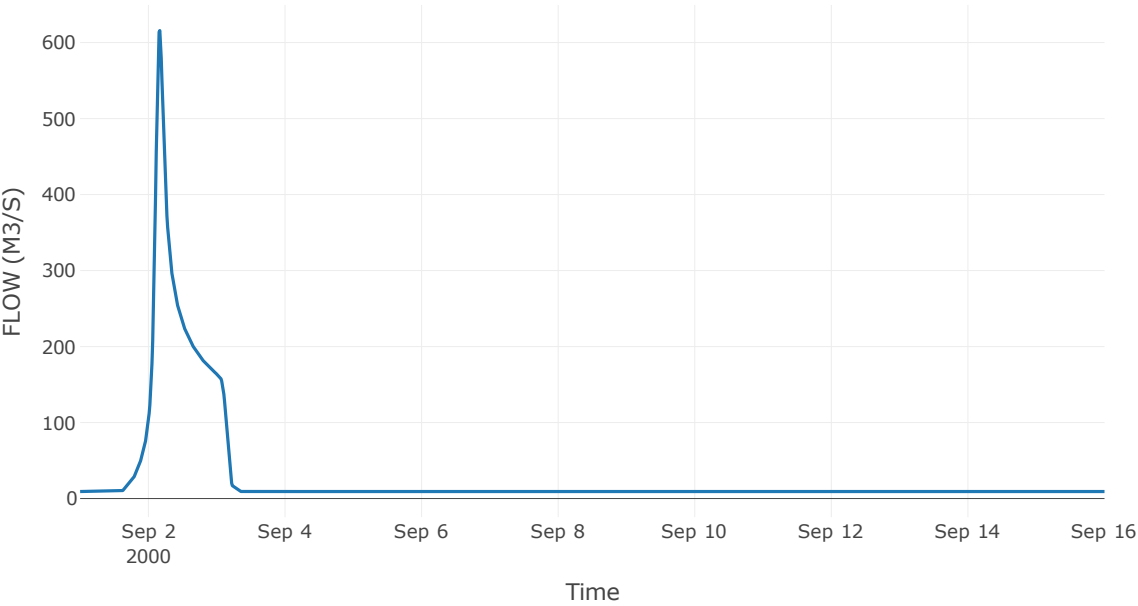
Κατάντη : J11

Μέθοδος διόδευσης	Muskingum
Αρχική Μεταβλητή	Combined Inflow
Χρόνος ροής K	1.15
Συντελεστής βάρους x	0.2
Πλήθος Υποκλάδων	5

Αποτελέσματα: R1211

Παροχή Αιχμής(M3/S)	615.76
Χρονική στιγμή αιχμής	02Sep2000, 04:00
Όγκος (MM)	92.46
Παροχή Αιχμής Εισόδου (M3/S)	639.78
Όγκος Εισόδου(M3)	3.71E7

Απορροή



Κλάδος: R1312

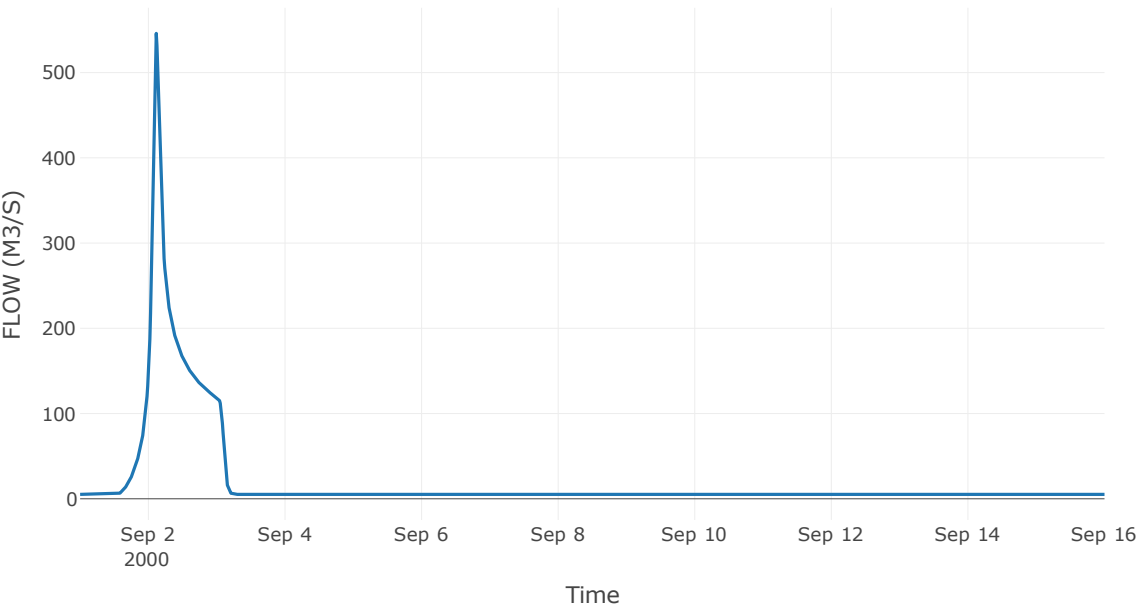
Κατάντη : J12

Μέθοδος διόδευσης	Muskingum
Αρχική Μεταβλητή	Combined Inflow
Χρόνος ροής K	0.73
Συντελεστής βάρους x	0.2
Πλήθος Υποκλάδων	3

Αποτελέσματα: R1312

Παροχή Αιχμής(M3/S)	545.98
Χρονική στιγμή αιχμής	02Sep2000, 02:45
Όγκος (MM)	119.63
Παροχή Αιχμής Εισόδου (M3/S)	564.31
Όγκος Εισόδου(M3)	2.69E7

Απορροή



Κλάδος: R1413

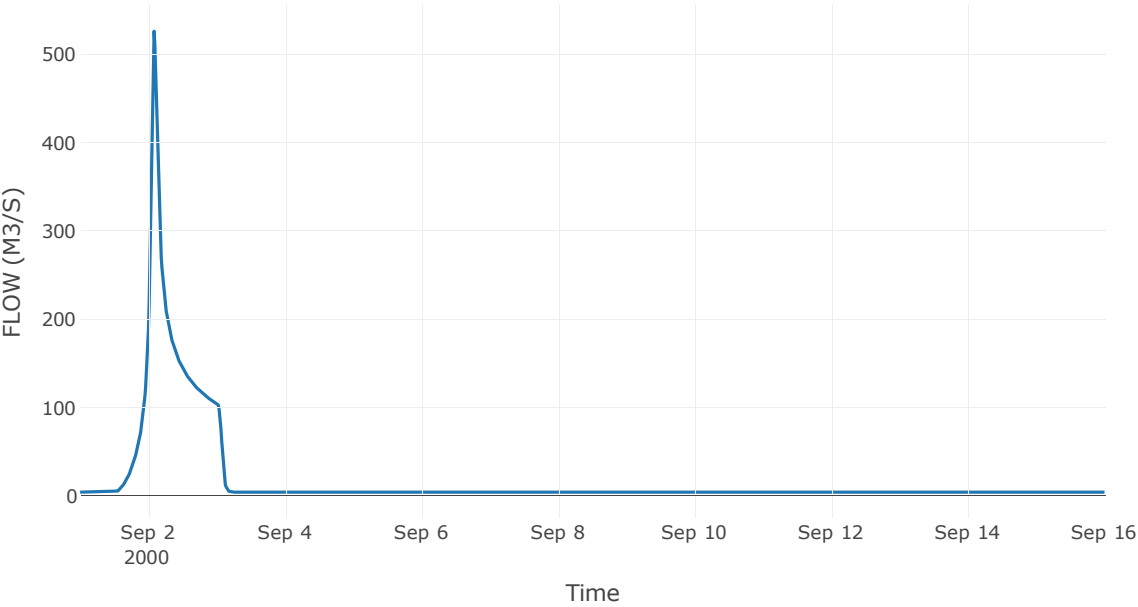
Κατάντη : J13

Μέθοδος διόδευσης	Χρόνος υστέρησης
Αρχική Μεταβλητή	Combined Inflow
Χρόνος υστέρησης	26.6

Αποτελέσματα: R1413

Παροχή Αιχμής(M3/S)	526.12
Χρονική στιγμή αιχμής	02Sep2000, 02:00
Όγκος (MM)	126.81
Παροχή Αιχμής Εισόδου (M3/S)	528.79
Όγκος Εισόδου(M3)	2.42E7

Απορροή



Κλάδος: R1514

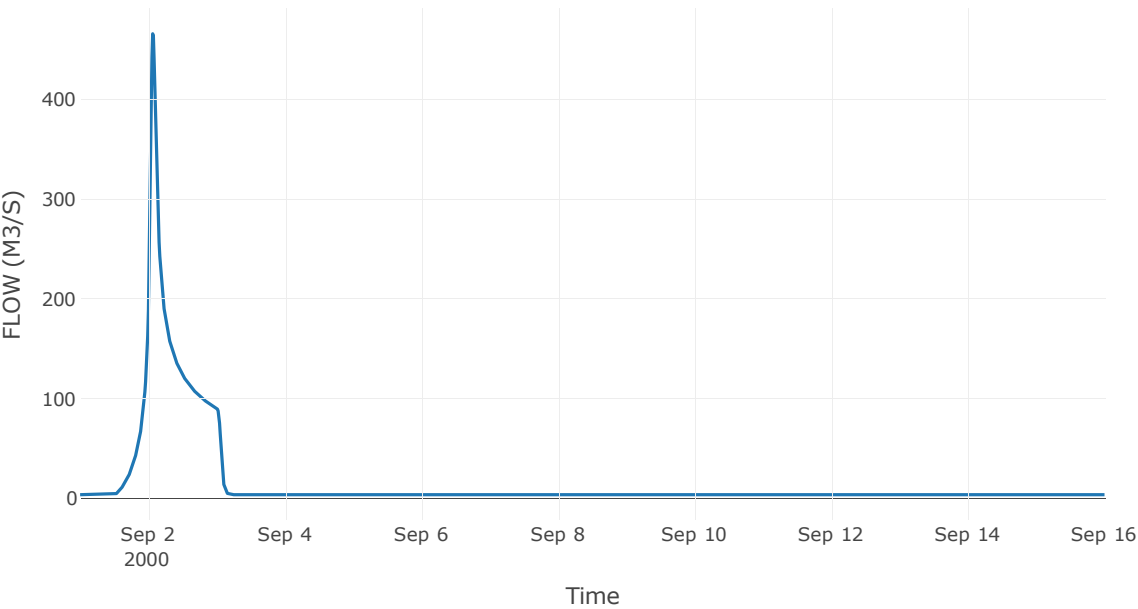
Κατάντη : J14

Μέθοδος διόδευσης	Χρόνος υστέρησης
Αρχική Μεταβλητή	Combined Inflow
Χρόνος υστέρησης	9.22

Αποτελέσματα: R1514

Παροχή Αιχμής(M3/S)	466.05
Χρονική στιγμή αιχμής	02Sep2000, 01:30
Όγκος (MM)	126.25
Παροχή Αιχμής Εισόδου (M3/S)	469.86
Όγκος Εισόδου(M3)	2.1E7

Απορροή



Κλάδος: R1615

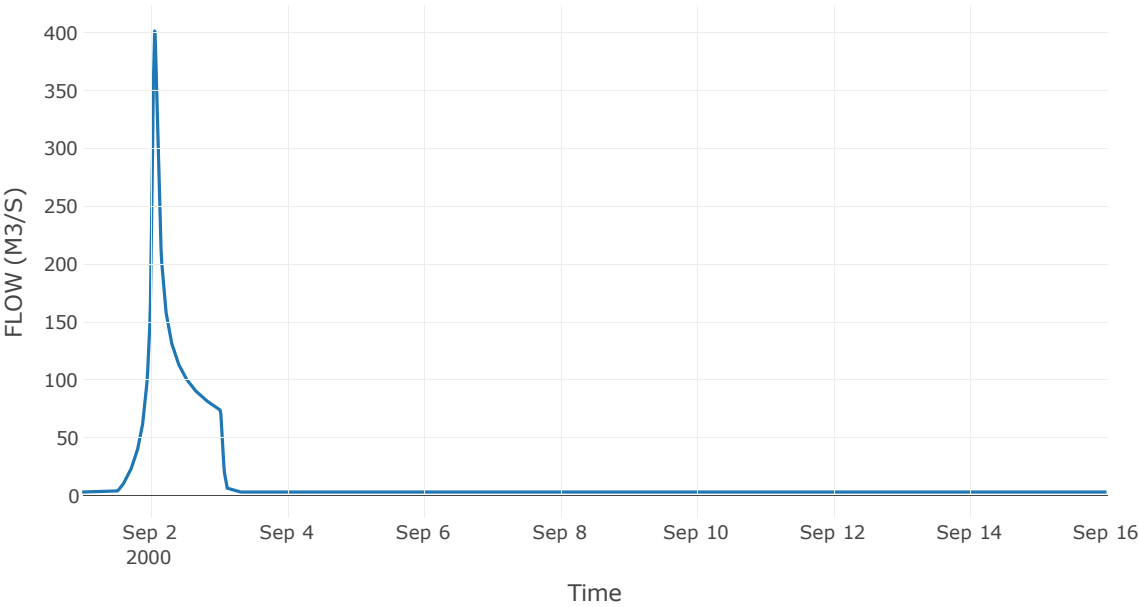
Κατάντη : J15

Μέθοδος διόδευσης	Χρόνος υστέρησης
Αρχική Μεταβλητή	Combined Inflow
Χρόνος υστέρησης	22.62

Αποτελέσματα: R1615

Παροχή Αιχμής(M3/S)	401.23
Χρονική στιγμή αιχμής	02Sep2000, 01:30
Όγκος (MM)	131.47
Παροχή Αιχμής Εισόδου (M3/S)	401.53
Όγκος Εισόδου(M3)	1.76E7

Απορροή



Κλάδος: R1716

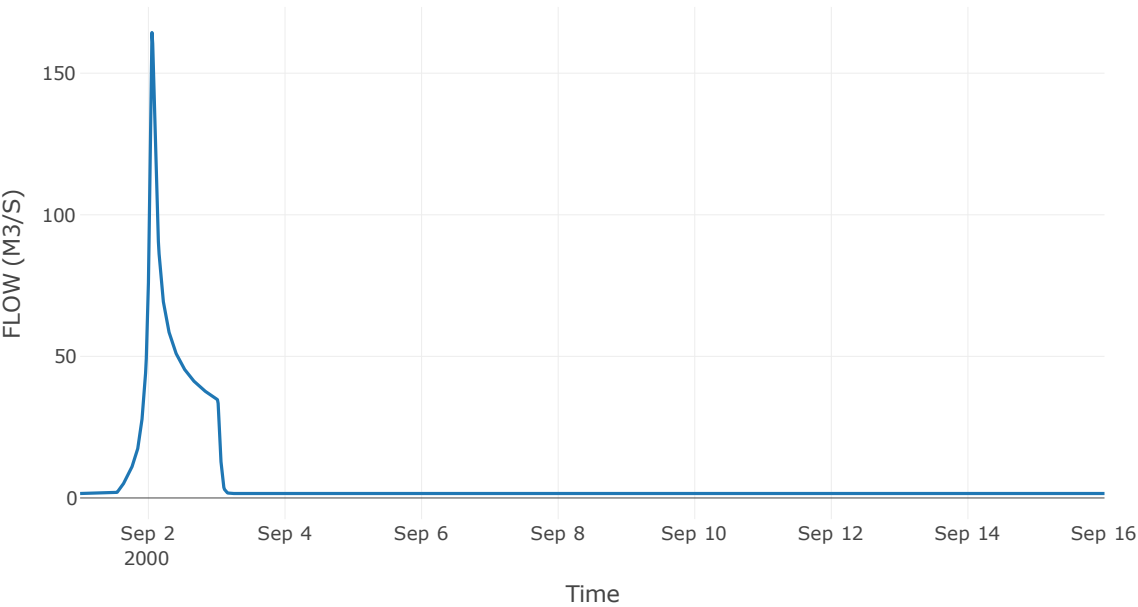
Κατάντη : J16

Μέθοδος διόδευσης	Χρόνος υστέρησης
Αρχική Μεταβλητή	Combined Inflow
Χρόνος υστέρησης	13.17

Αποτελέσματα: R1716

Παροχή Αιχμής(M3/S)	164.36
Χρονική στιγμή αιχμής	02Sep2000, 01:15
Όγκος (MM)	114.53
Παροχή Αιχμής Εισόδου (M3/S)	164.75
Όγκος Εισόδου(M3)	7.83E6

Απορροή



Κλάδος: R1811

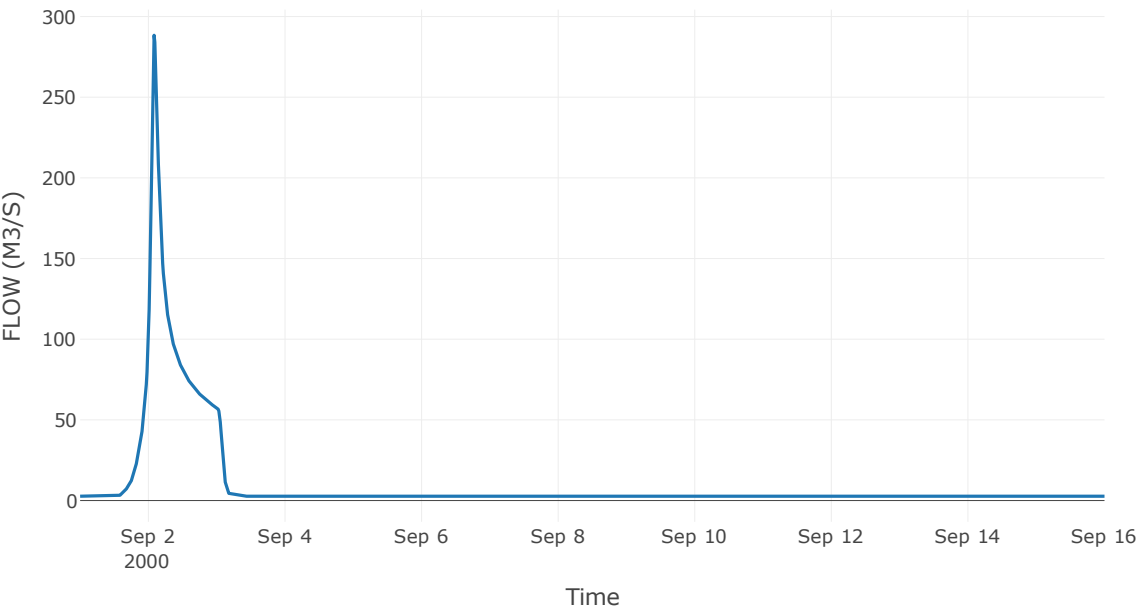
Κατάντη : J11

Μέθοδος διόδευσης	Muskingum
Αρχική Μεταβλητή	Combined Inflow
Χρόνος ροής K	0.53
Συντελεστής βάρους x	0.2
Πλήθος Υποκλάδων	2

Αποτελέσματα: R1811

Παροχή Αιχμής(M3/S)	288.4
Χρονική στιγμή αιχμής	02Sep2000, 02:00
Όγκος (MM)	118.53
Παροχή Αιχμής Εισόδου (M3/S)	295.37
Όγκος Εισόδου(M3)	1.38E7

Απορροή



Κλάδος: R1918

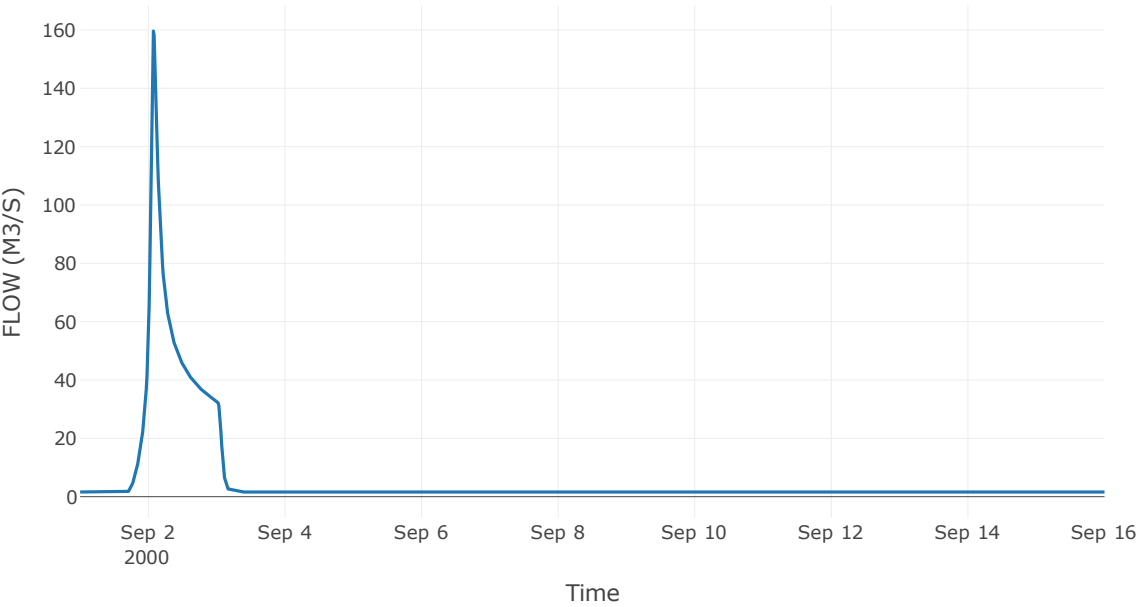
Κατάντη : J18

Μέθοδος διόδευσης	Χρόνος υστέρησης
Αρχική Μεταβλητή	Combined Inflow
Χρόνος υστέρησης	21.31

Αποτελέσματα: R1918

Παροχή Αιχμής(M3/S)	159.62
Χρονική στιγμή αιχμής	02Sep2000, 01:45
Όγκος (MM)	110.1
Παροχή Αιχμής Εισόδου (M3/S)	160.6
Όγκος Εισόδου(M3)	7.64E6

Απορροή



Κλάδος: R2012

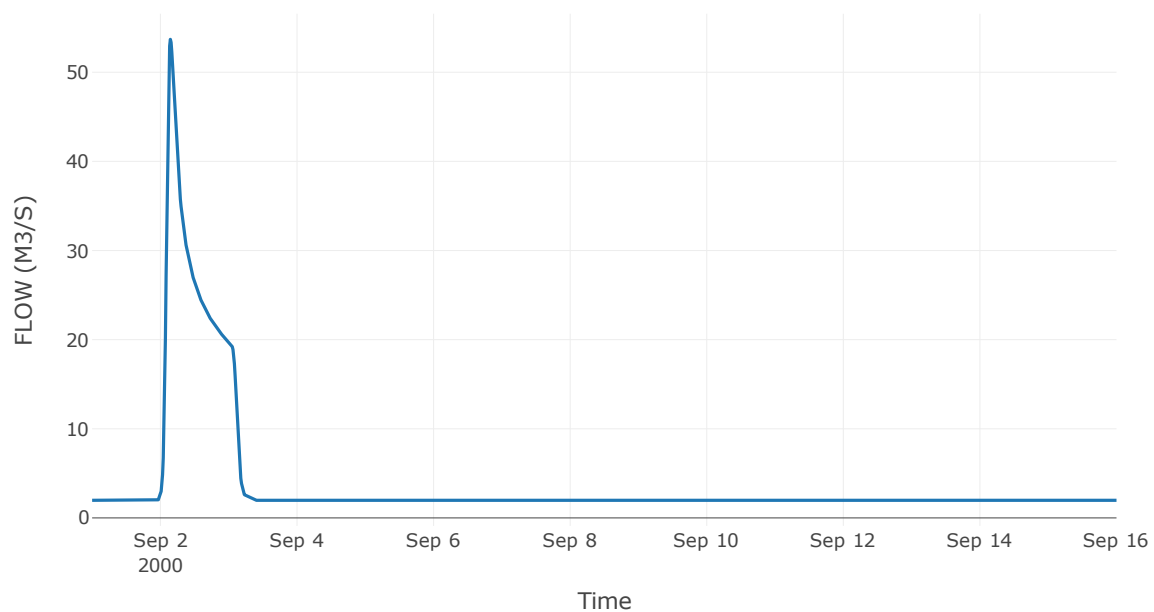
Κατάντη : J12

Μέθοδος διόδευσης	Muskingum
Αρχική Μεταβλητή	Combined Inflow
Χρόνος ροής K	1.07
Συντελεστής βάρους α	0.2
Πλήθος Υποκλάδων	4

Αποτελέσματα: R2012

Παροχή Αιχμής(M3/S)	53.69
Χρονική στιγμή αιχμής	02Sep2000, 03:30
Όγκος (MM)	57.89
Παροχή Αιχμής Εισόδου (M3/S)	55.44
Όγκος Εισόδου(M3)	4.97E6

Απορροή



Κλάδος: R2120

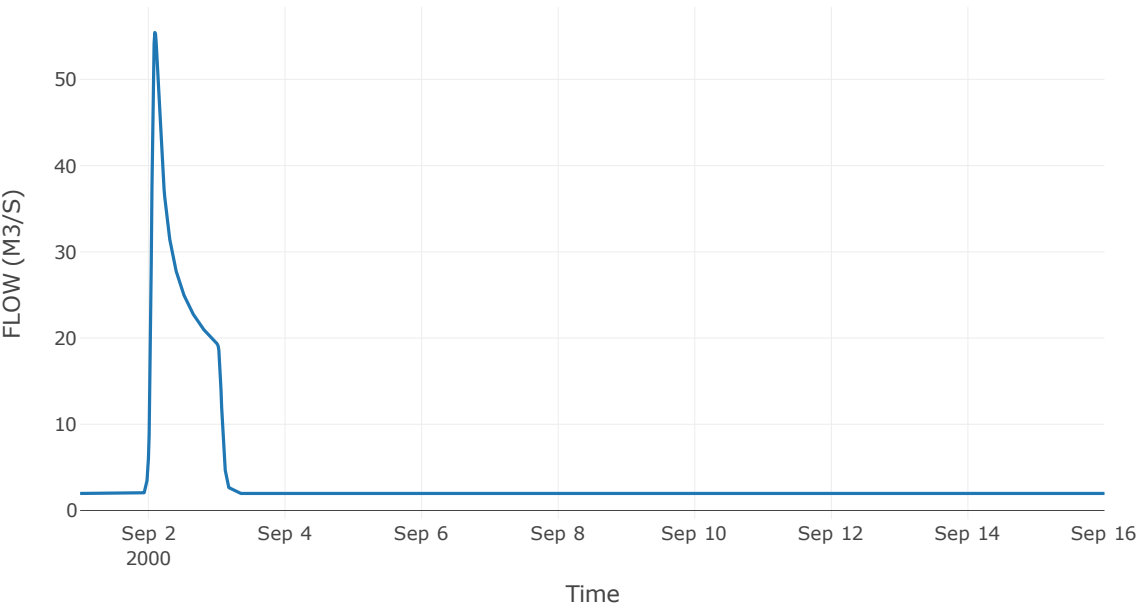
Κατάντη : J20

Μέθοδος διόδευσης	Muskingum
Αρχική Μεταβλητή	Combined Inflow
Χρόνος ροής K	0.38
Συντελεστής βάρους x	0.2
Πλήθος Υποκλάδων	2

Αποτελέσματα: R2120

Παροχή Αιχμής(M3/S)	55.44
Χρονική στιγμή αιχμής	02Sep2000, 02:15
Όγκος (MM)	57.89
Παροχή Αιχμής Εισόδου (M3/S)	55.89
Όγκος Εισόδου(M3)	4.97E6

Απορροή



Κλάδος: R227

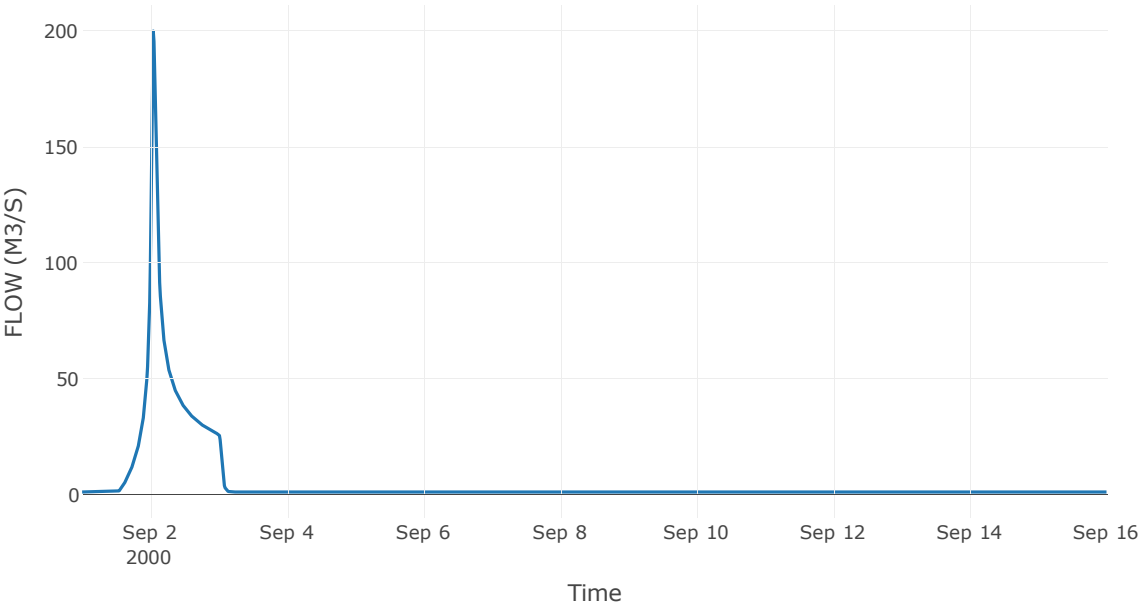
Κατάντη : J7

Μέθοδος διόδευσης	Χρόνος υστέρησης
Αρχική Μεταβλητή	Combined Inflow
Χρόνος υστέρησης	8.89

Αποτελέσματα: R227

Παροχή Αιχμής(M3/S)	200.02
Χρονική στιγμή αιχμής	02Sep2000, 01:00
Όγκος (MM)	134.34
Παροχή Αιχμής Εισόδου (M3/S)	201.02
Όγκος Εισόδου(M3)	7.16E6

Απορροή



Κλάδος: R232

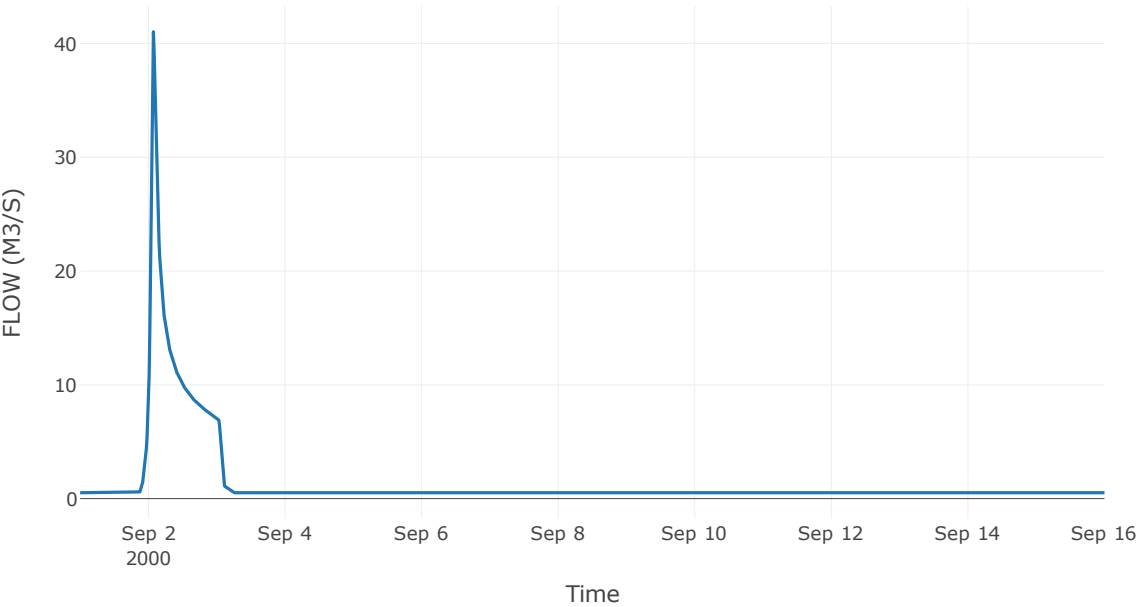
Κατάντη : J2

Μέθοδος διόδευσης	Χρόνος υστέρησης
Αρχική Μεταβλητή	Combined Inflow
Χρόνος υστέρησης	31.24

Αποτελέσματα: R232

Παροχή Αιχμής(M3/S)	41.03
Χρονική στιγμή αιχμής	02Sep2000, 01:45
Όγκος (MM)	81.81
Παροχή Αιχμής Εισόδου (M3/S)	41.07
Όγκος Εισόδου(M3)	1.84E6

Απορροή



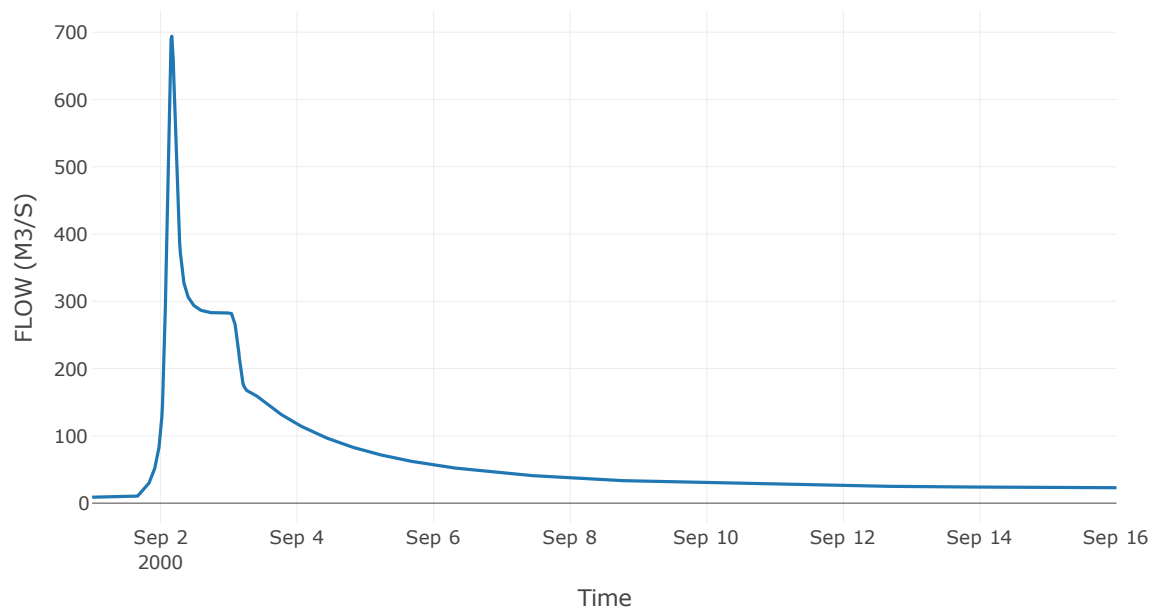
3.3 Δεδομένα και Υδρογραφήματα Σχεδιασμού Κόμβων Υδρογραφικού Δικτύου

Κόμβος εξόδου: J1

Αποτέλεσμα
τα: J1

Παροχή αιχμής (M3/S)	694.02
Χρονική στιγμή αιχμής	02Sep2000, 04:00
Όγκος (MM)	90.48

Απορροή



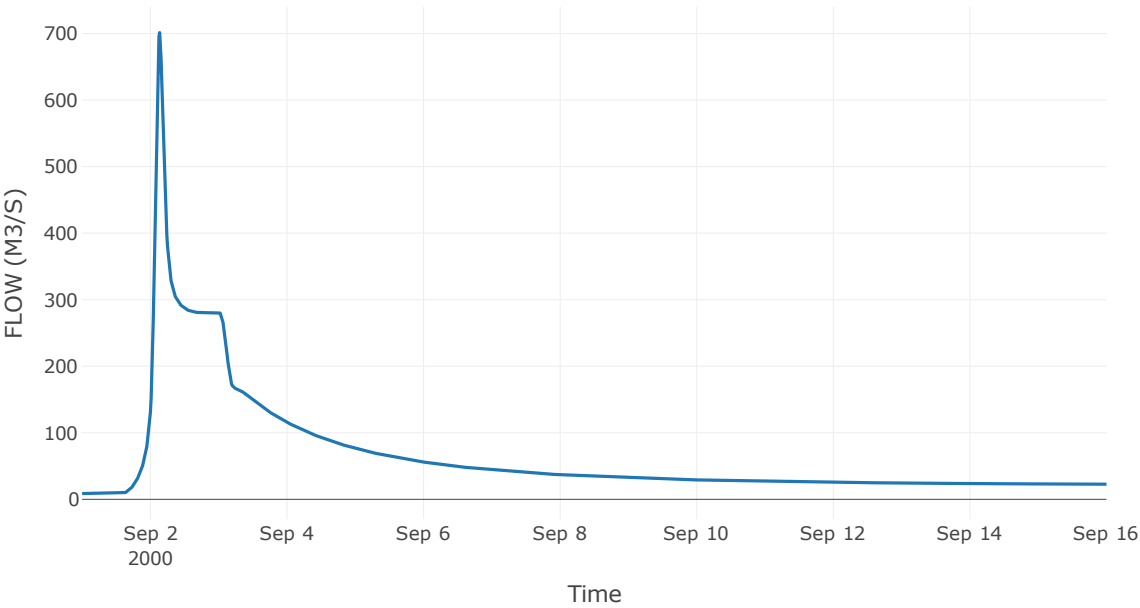
Κόμβος: J2

Κατάντη : R21

Αποτελέσματα: J2

Παροχή Αιχμής(M3/S)	701.35
Χρονική στιγμή αιχμής	02Sep2000, 03:15
Όγκος (MM)	90.57

Απορροή



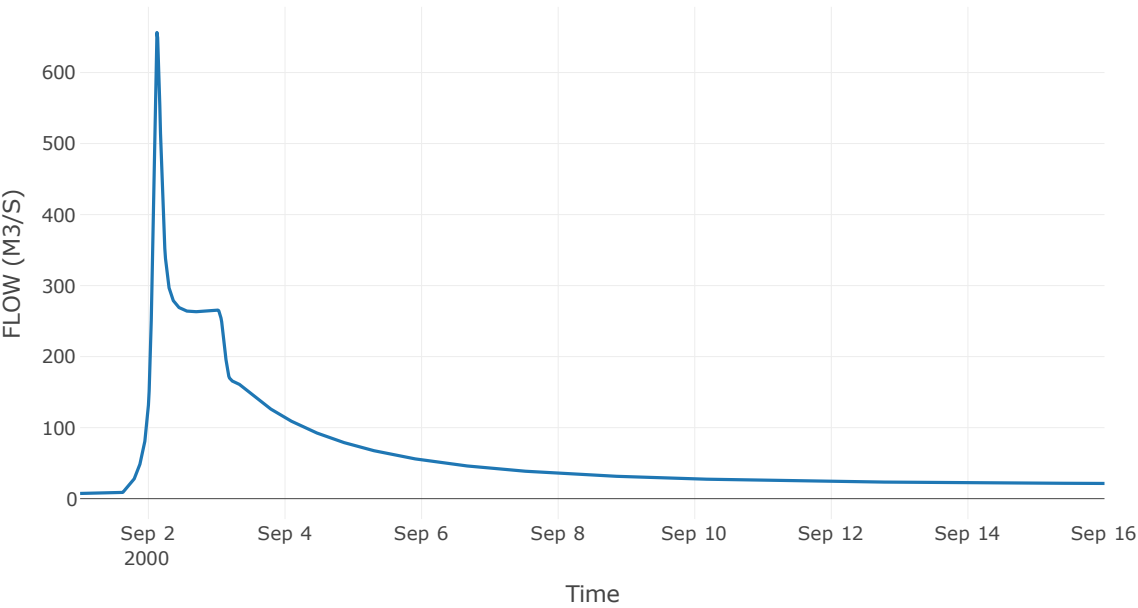
Κόμβος: J3

Κατάντη : R32

Αποτελέσματα: J3

Παροχή Αιχμής(M3/S)	656.36
Χρονική στιγμή αιχμής	02Sep2000, 03:00
Όγκος (MM)	91.92

Απορροή



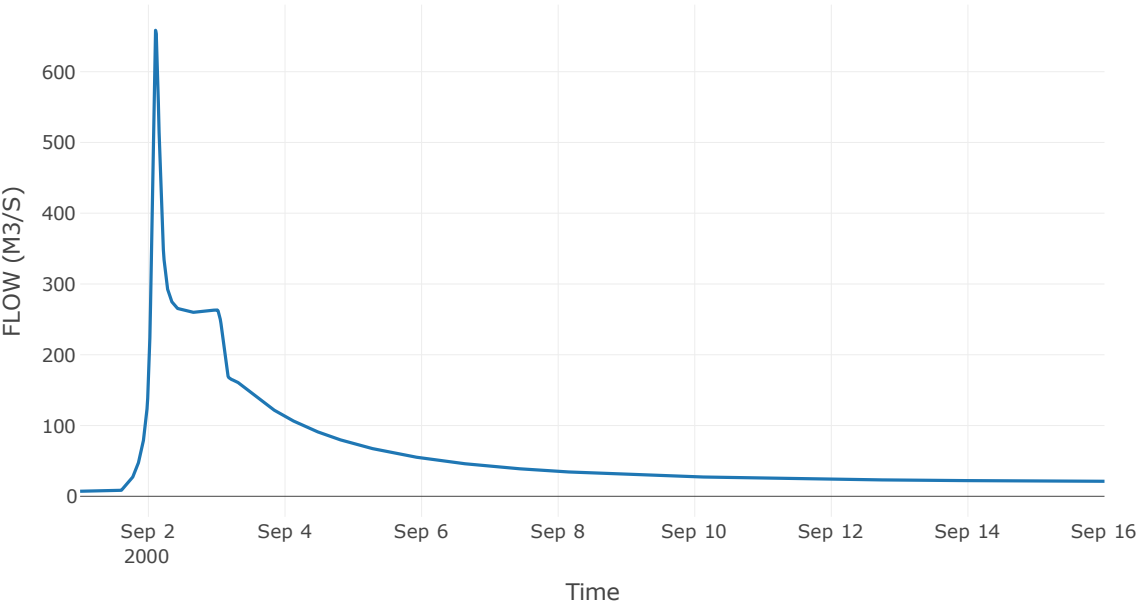
Κόμβος: J4

Κατάντη : R43

Αποτελέσματα: J4

Παροχή Αιχμής(M3/S)	658.5
Χρονική στιγμή αιχμής	02Sep2000, 02:30
Όγκος (MM)	92.21

Απορροή



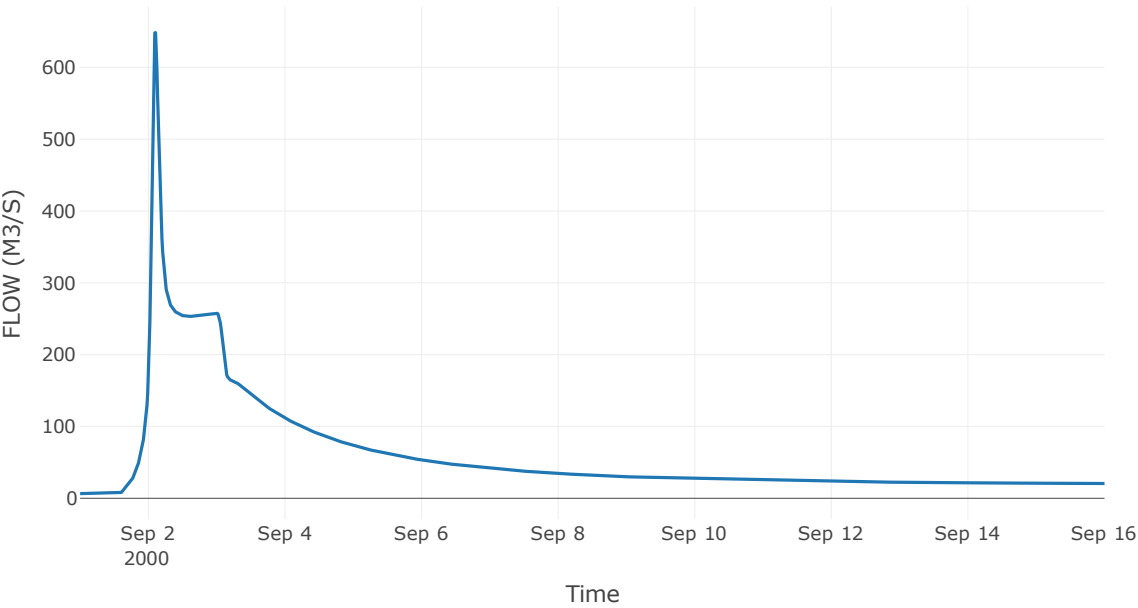
Κόμβος: J5

Κατάντη : R54

Αποτελέσματα: J5

Παροχή Αιχμής(M3/S)	648.29
Χρονική στιγμή αιχμής	02Sep2000, 02:30
Όγκος (MM)	93.44

Απορροή



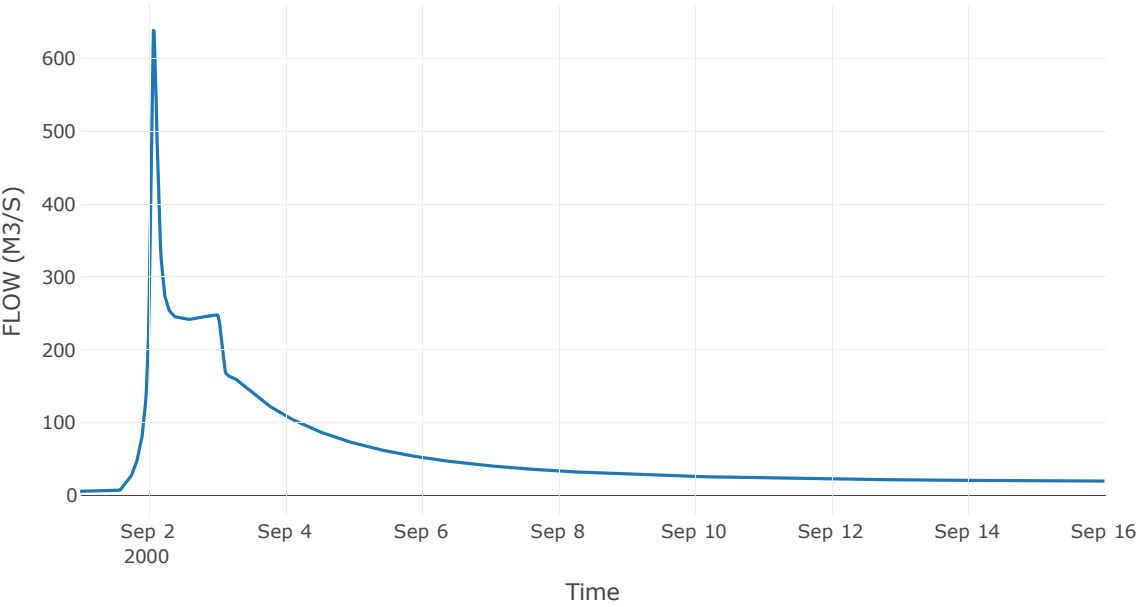
Κόμβος: J6

Κατάντη : R65

Αποτελέσματα: J6

Παροχή Αιχμής(M3/S)	638.56
Χρονική στιγμή αιχμής	02Sep2000, 01:45
Όγκος (MM)	95.04

Απορροή



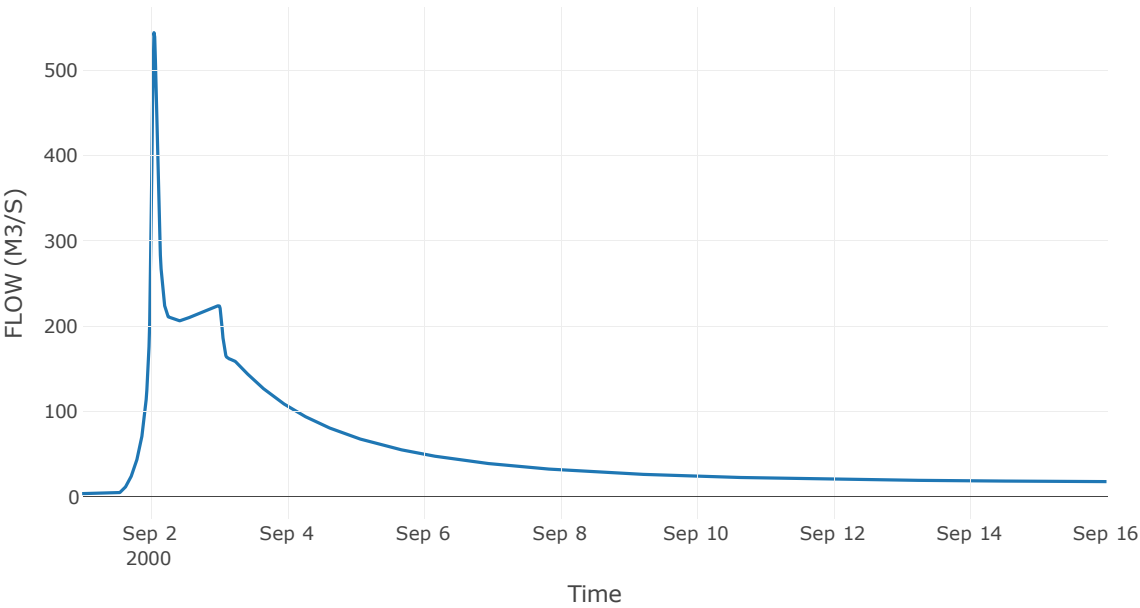
Κόμβος: J7

Κατάντη : R76

Αποτελέσματα: J7

Παροχή Αιχμής(M3/S)	543.91
Χρονική στιγμή αιχμής	02Sep2000, 01:15
Όγκος (MM)	96.34

Απορροή



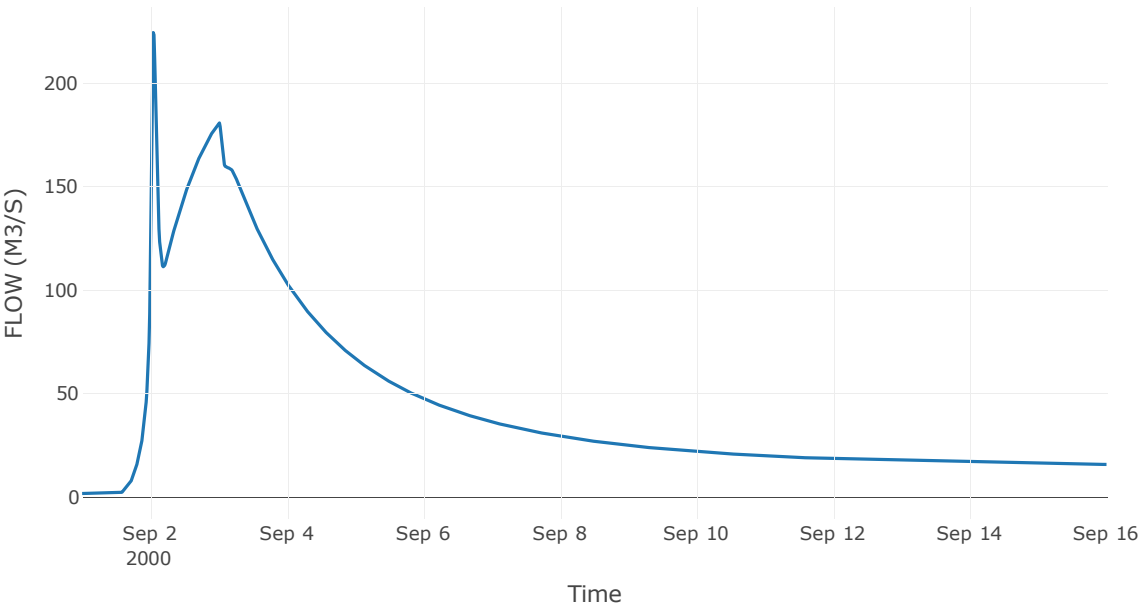
Κόμβος: J8

Κατάντη : R87

Αποτελέσματα: J8

Παροχή Αιχμής(M3/S)	224.39
Χρονική στιγμή αιχμής	02Sep2000, 01:00
Όγκος (MM)	91.31

Απορροή



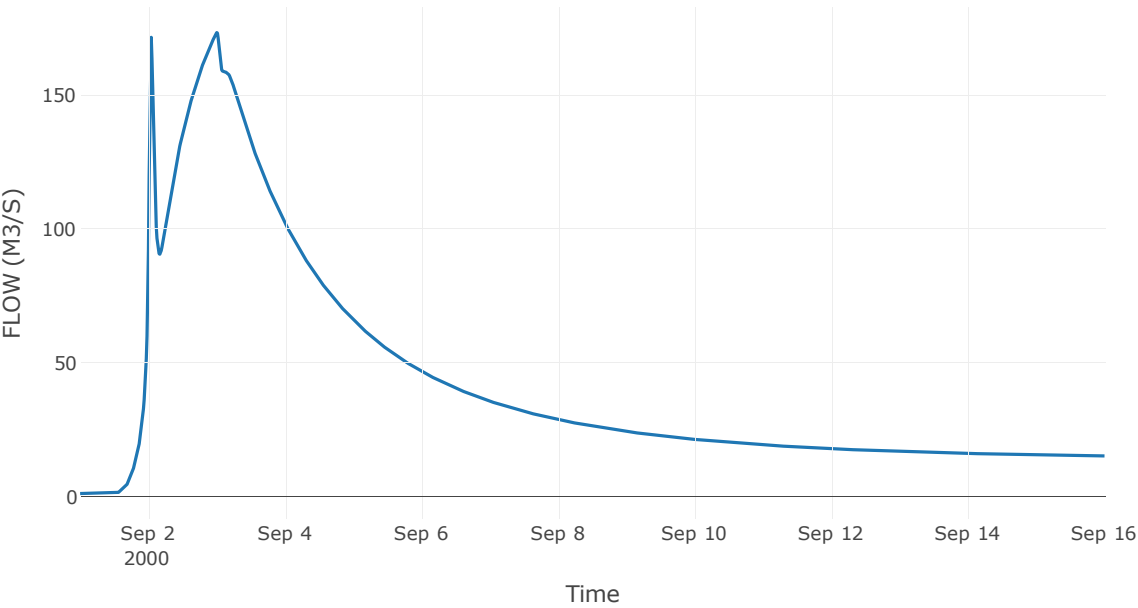
Κόμβος: J9

Κατάντη : R98

Αποτελέσματα: J9

Παροχή Αιχμής(M3/S)	173.32
Χρονική στιγμή αιχμής	02Sep2000, 24:00
Όγκος (MM)	90.64

Απορροή



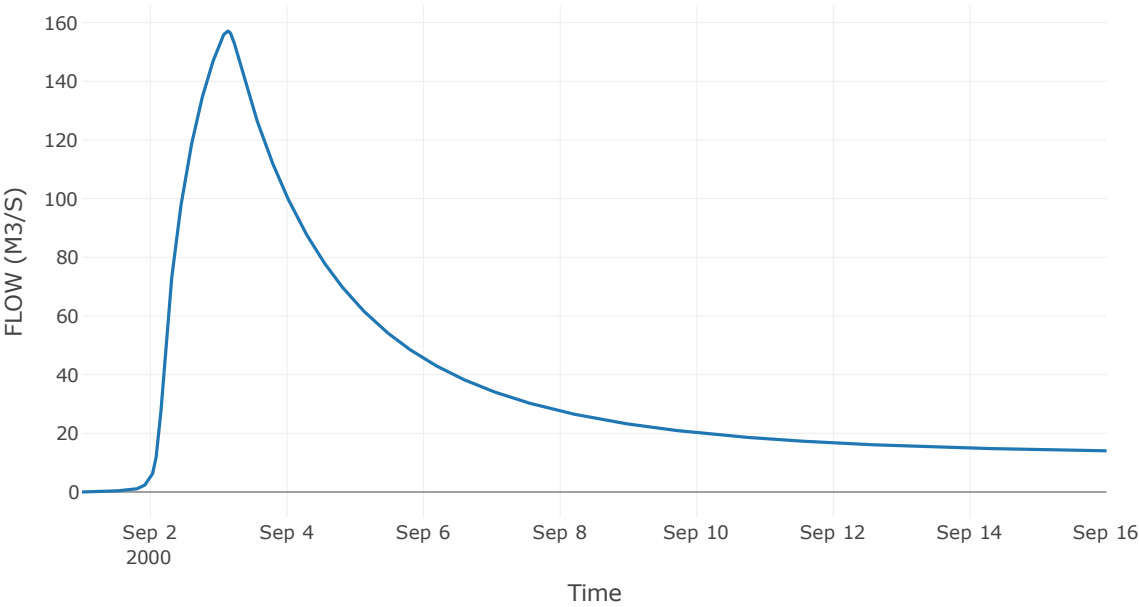
Reservoir: J10_RES1

Κατάντη : R109

Αποτελέσματα: J10_RES1

Παροχή Αιχμής(M3/S)	157.12
Χρονική στιγμή αιχμής	03Sep2000, 03:15
Όγκος (MM)	88.49
Παροχή Αιχμής Εισόδου (M3/S)	853.27
Time of Peak Inflow	02Sep2000, 04:15
Όγκος Εισροής (M3)	5.58E7
Maximum Storage (M3)	8.01E8
Peak Elevation (M)	436.54
Discharge Όγκος (M3)	4.96E7

Απορροή



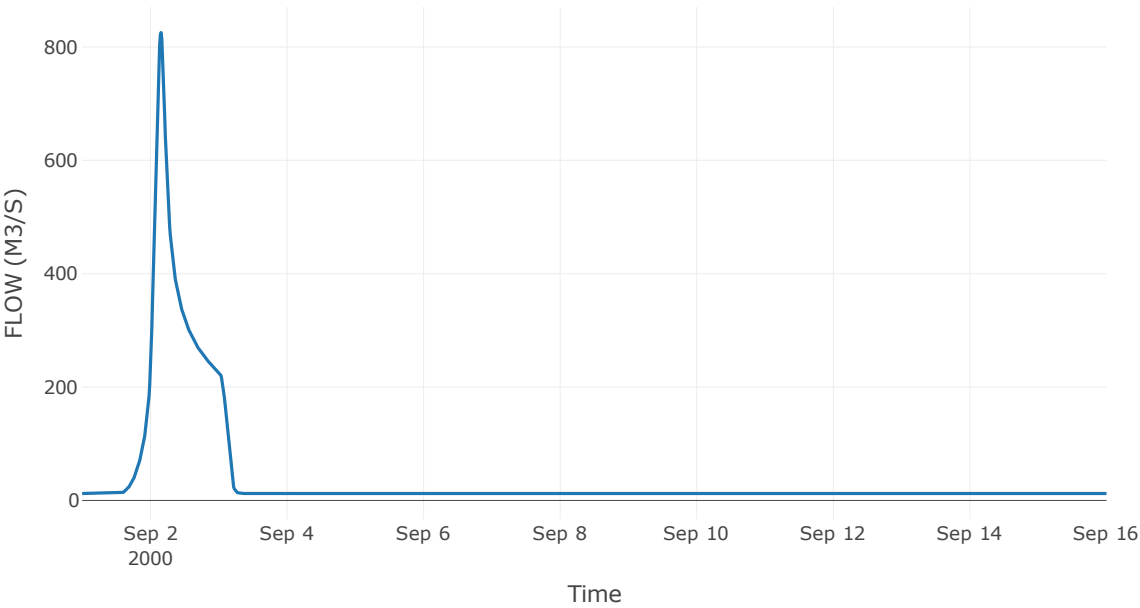
Κόμβος: J11

Κατάντη : R1110

Αποτελέσματα: J11

Παροχή Αιχμής(M3/S)	825.42
Χρονική στιγμή αιχμής	02Sep2000, 03:45
Όγκος (MM)	98.78

Απορροή



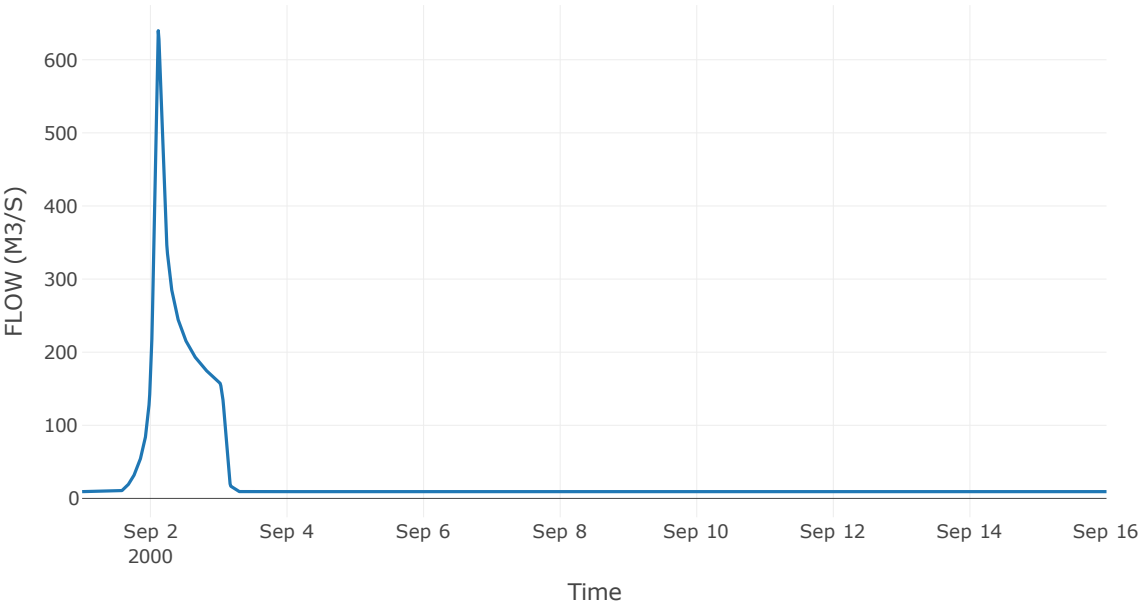
Κόμβος: J12

Κατάντη : R1211

Αποτελέσματα: J12

Παροχή Αιχμής(M3/S)	639.78
Χρονική στιγμή αιχμής	02Sep2000, 02:45
Όγκος (MM)	92.46

Απορροή



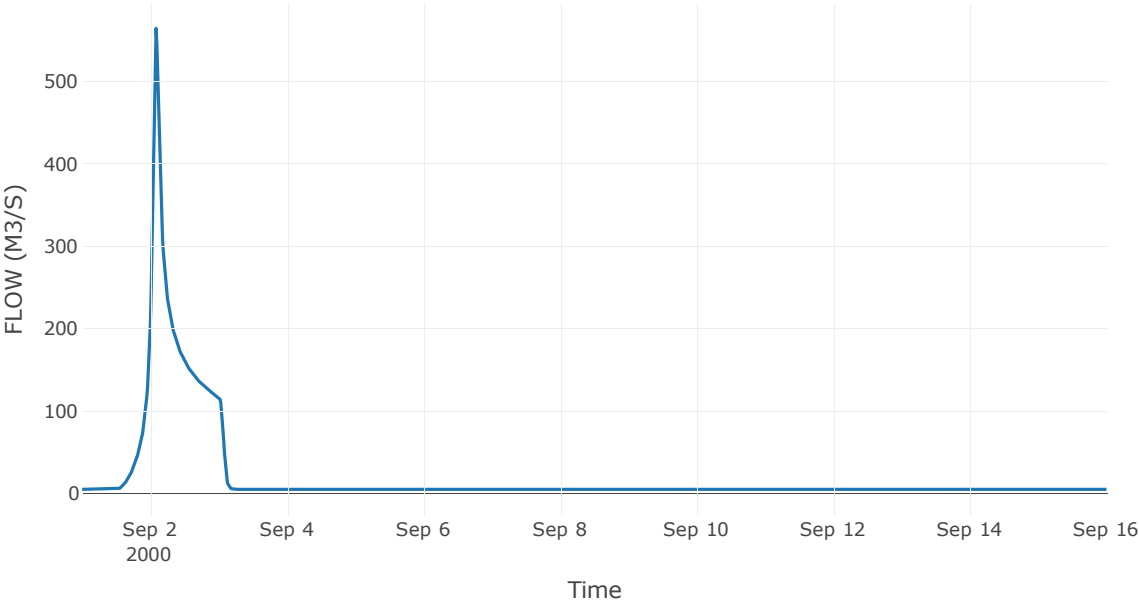
Κόμβος: J13

Κατάντη : R1312

Αποτελέσματα: J13

Παροχή Αιχμής(M3/S)	564.31
Χρονική στιγμή αιχμής	02Sep2000, 02:00
Όγκος (MM)	119.63

Απορροή



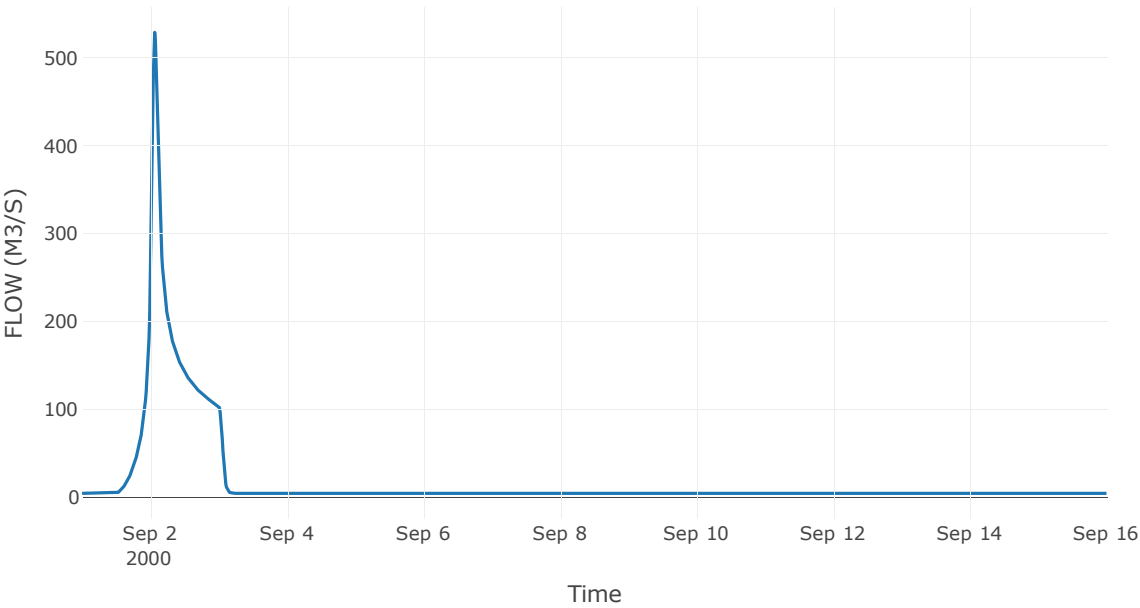
Κόμβος: J14

Κατάντη : R1413

Αποτελέσματα: J14

Παροχή Αιχμής(M3/S)	528.79
Χρονική στιγμή αιχμής	02Sep2000, 01:30
Όγκος (MM)	126.81

Απορροή



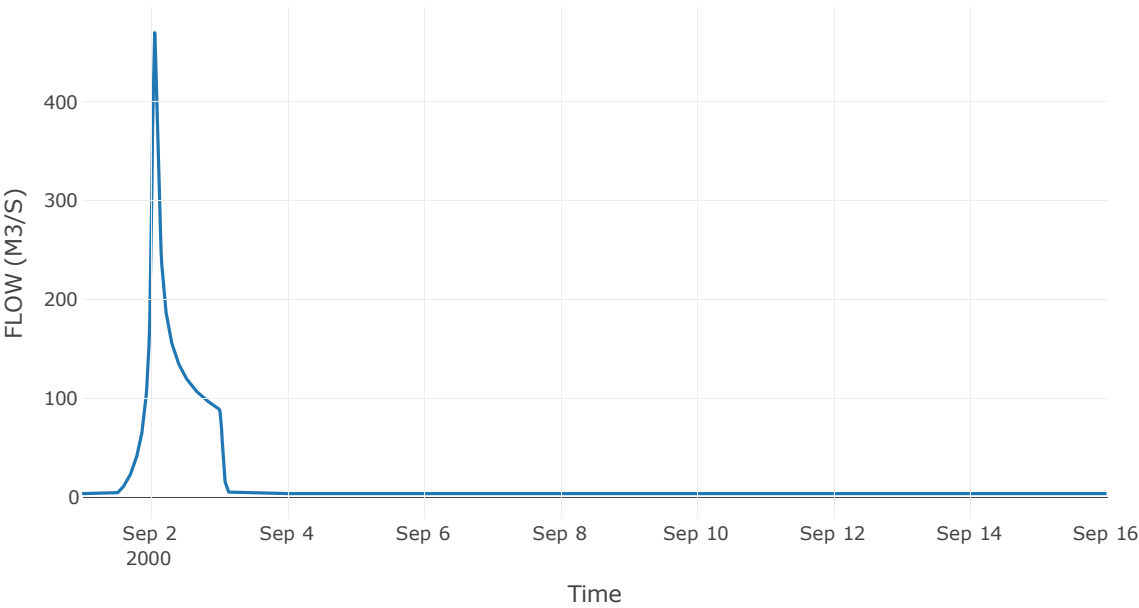
Κόμβος: J15

Κατάντη : R1514

Αποτελέσματα: J15

Παροχή Αιχμής(M3/S)	469.86
Χρονική στιγμή αιχμής	02Sep2000, 01:30
Όγκος (MM)	126.25

Απορροή



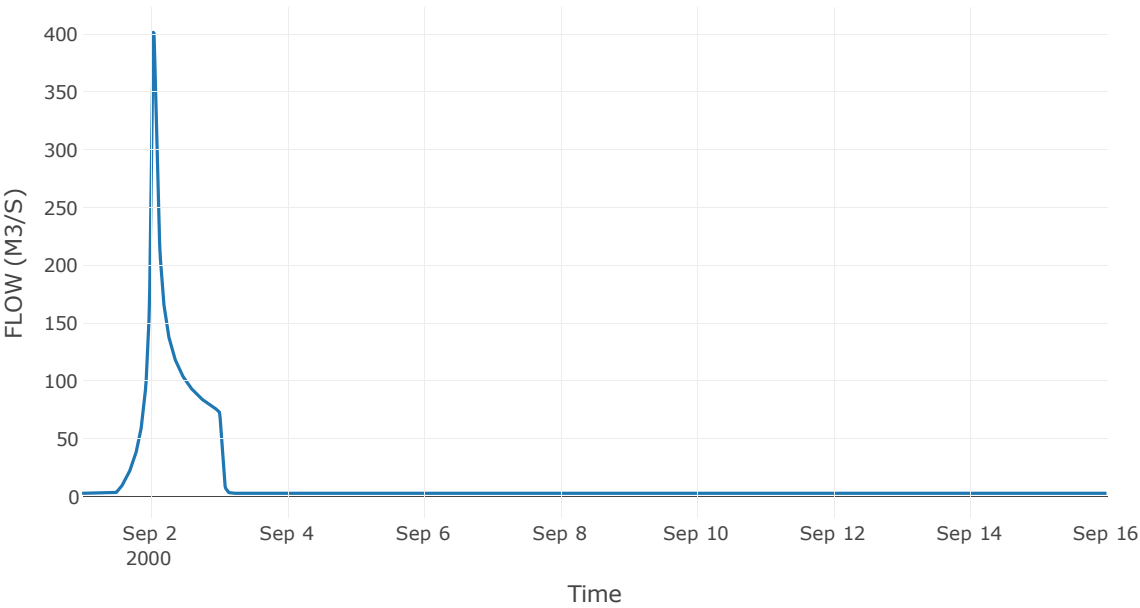
Κόμβος: J16

Κατάντη : R1615

Αποτελέσματα: J16

Παροχή Αιχμής(M3/S)	401.53
Χρονική στιγμή αιχμής	02Sep2000, 01:00
Όγκος (MM)	131.47

Απορροή



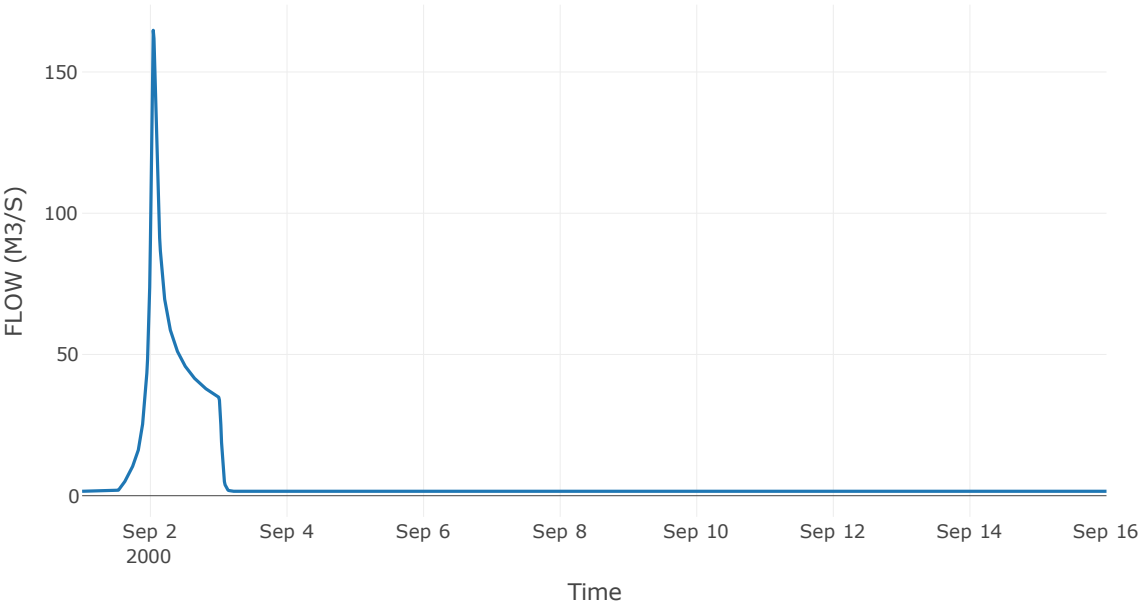
Κόμβος: J17

Κατάντη : R1716

Αποτελέσματα: J17

Παροχή Αιχμής(M3/S)	164.75
Χρονική στιγμή αιχμής	02Sep2000, 01:00
Όγκος (MM)	114.53

Απορροή



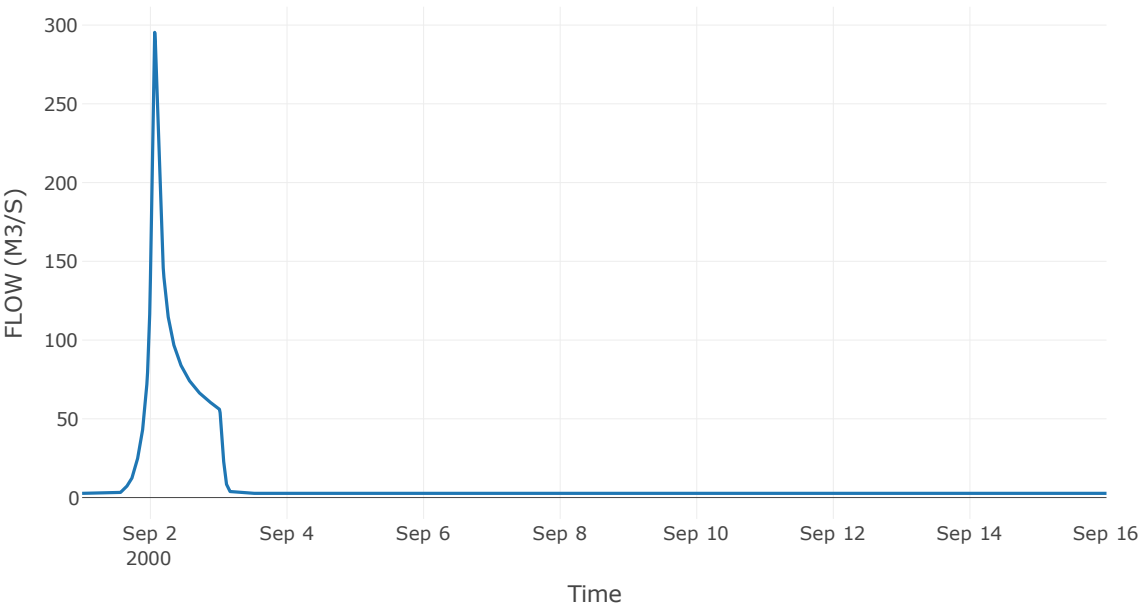
Κόμβος: J18

Κατάντη : R1811

Αποτελέσματα: J18

Παροχή Αιχμής(M3/S)	295.37
Χρονική στιγμή αιχμής	02Sep2000, 01:30
Όγκος (MM)	118.53

Απορροή



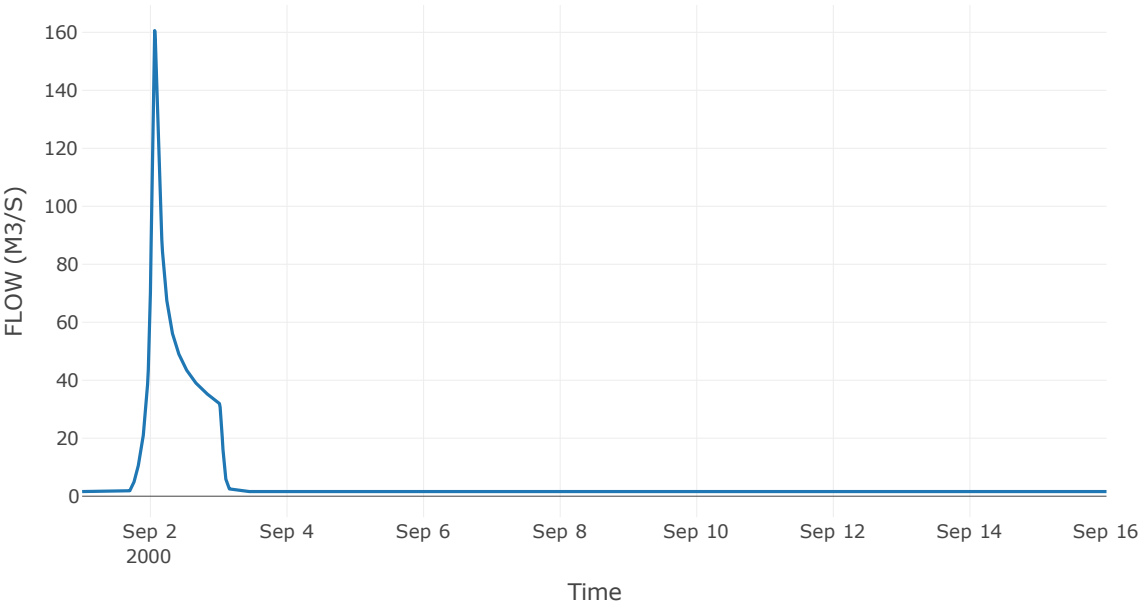
Κόμβος: J19

Κατάντη : R1918

Αποτελέσματα: J19

Παροχή Αιχμής(M3/S)	160.6
Χρονική στιγμή αιχμής	02Sep2000, 01:30
Όγκος (MM)	110.1

Απορροή



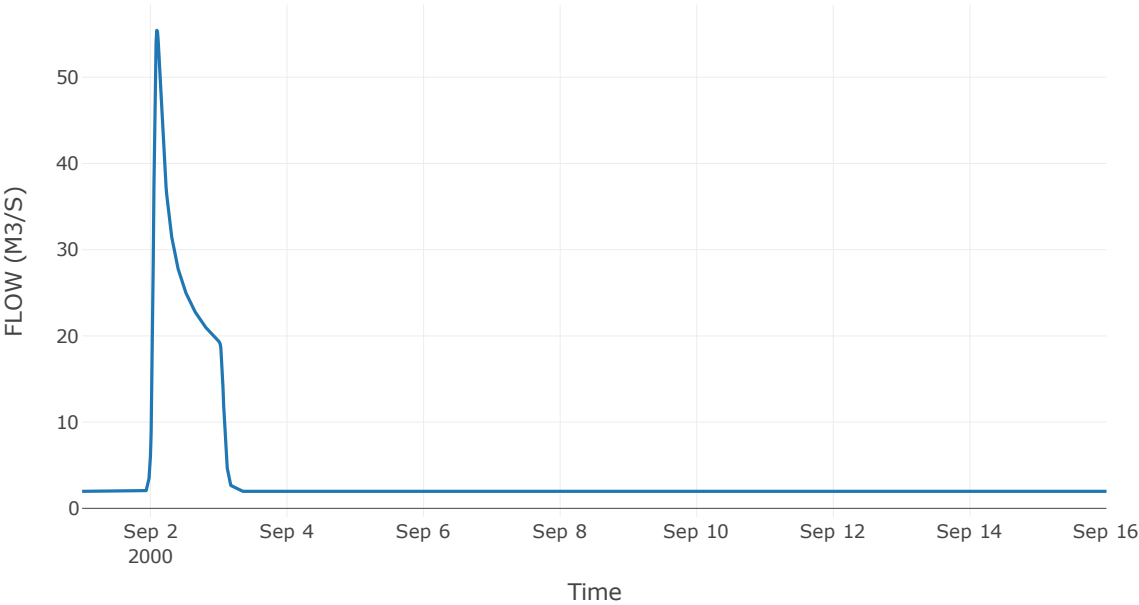
Κόμβος: J20

Κατάντη : R2012

Αποτελέσματα: J20

Παροχή Αιχμής(M3/S)	55.44
Χρονική στιγμή αιχμής	02Sep2000, 02:15
Όγκος (MM)	57.89

Απορροή



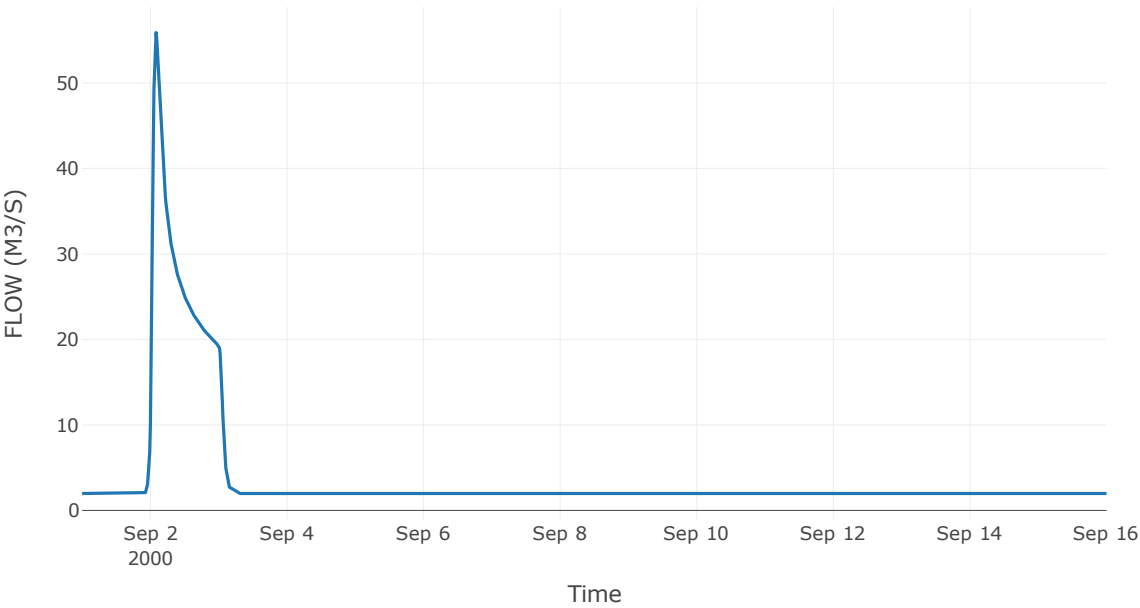
Κόμβος: J21

Κατάντη : R2120

Αποτελέσματα: J21

Παροχή Αιχμής(M3/S)	55.89
Χρονική στιγμή αιχμής	02Sep2000, 02:00
Όγκος (MM)	57.89

Απορροή



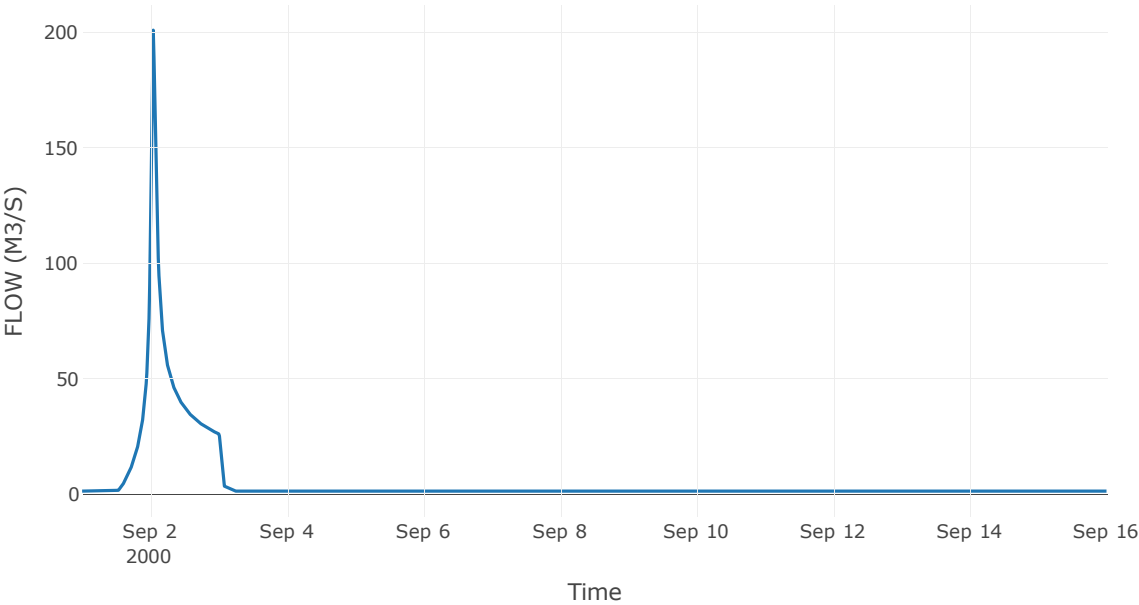
Κόμβος: J22

Κατάντη : R227

Αποτελέσματα: J22

Παροχή Αιχμής(M3/S)	201.02
Χρονική στιγμή αιχμής	02Sep2000, 01:00
Όγκος (MM)	134.34

Απορροή



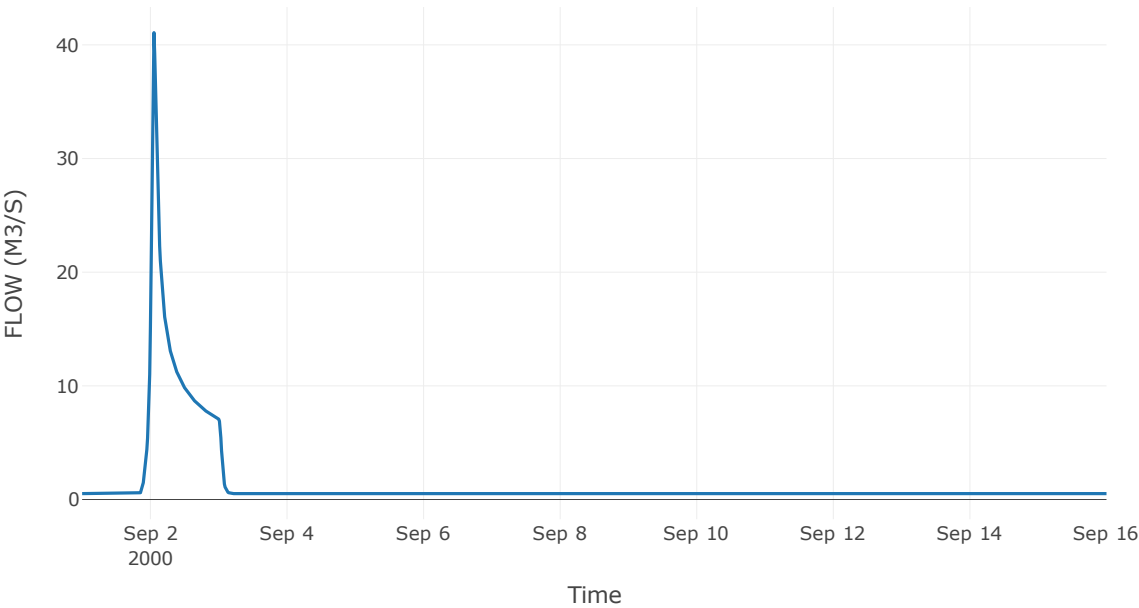
Κόμβος: J23

Κατάντη : R232

Αποτελέσματα: J23

Παροχή Αιχμής(M3/S)	41.07
Χρονική στιγμή αιχμής	02Sep2000, 01:15
Όγκος (MM)	81.81

Απορροή



4 Δεδομένα εισόδου και αποτελέσματα υδρολογικού σεναρίου T=50U

4.1 Αποτελέσματα, νετογραφήματα και υδρογραφήματα σχεδιασμού υπολεκανών

Υπολεκάνη: EL0421FR001001

Έκταση (KM2) : 7.91

Κατάντη : J1

Μέθοδος Απωλειών: SCS

Ποσοστό αδιαπέρατης επιφάνειας	0
Αριθμός Καμπύλης Απορροής-CN	85.74
Αρχικές Απώλειες	8.45

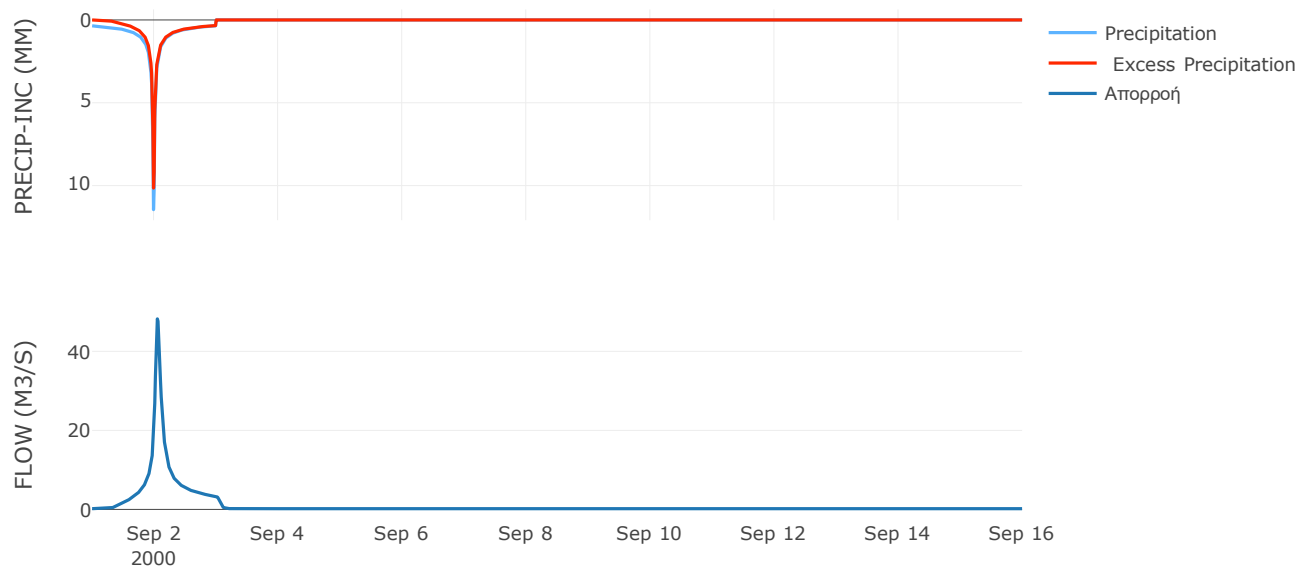
Μέθοδος
Μετασχηματισμού: SCS

Χρόνος Υστέρησης	75.93
------------------	-------

Αποτελέσματα:
EL0421FR001001

Παροχή αιχμής (M3/S)	48.22
Χρονική στιγμή αιχμής	02Sep2000, 01:15
Όγκος (MM)	176.53
Όγκος βροχόπτωσης (M3)	1.5E6
Όγκος απωλειών (M3)	3.38E5
Ενεργός Όγκος (M3)	1.16E6
Όγκος άμεσης απορροής (M3)	1.16E6
Όγκος βασικής απορροής (M3)	2.36E5

Βροχόπτωση και Απορροή



Υπολεκάνη: EL0421FR001002

Έκταση (KM2) : 7.13

Κατάντη : J2

Μέθοδος Απωλειών: SCS

Ποσοστό αδιαπέρατης επιφάνειας	0
Αριθμός Καμπύλης Απορροής-CN	74.89
Αρχικές Απώλειες	17.04

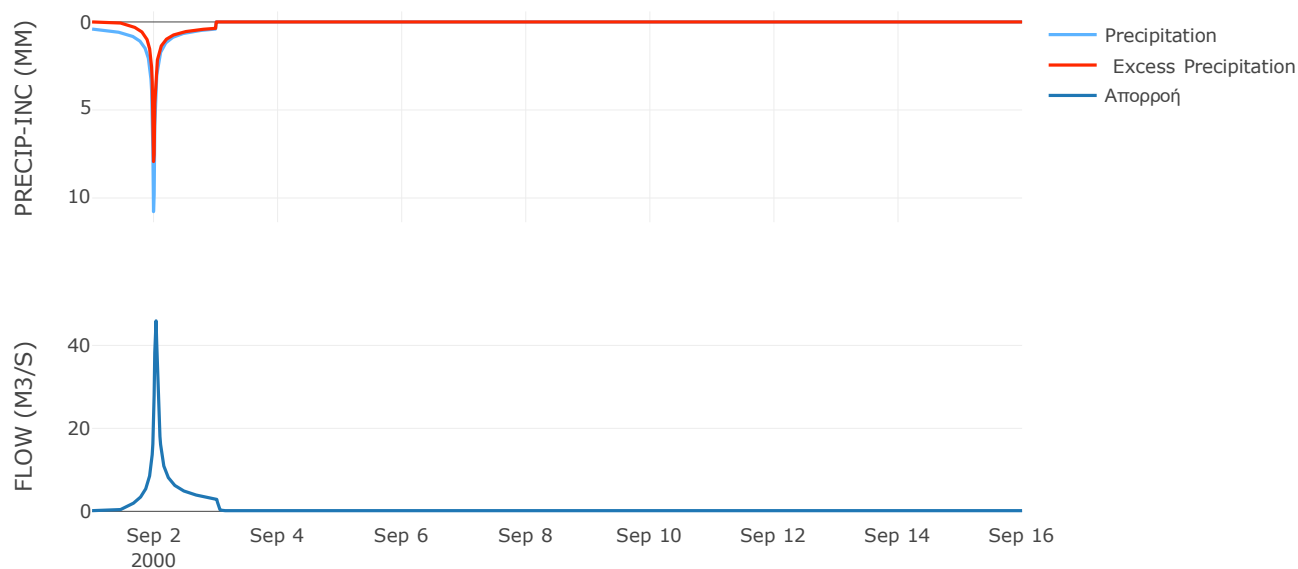
Μέθοδος
Μετασχηματισμού: SCS

Χρόνος Υστέρησης	35
------------------	----

Αποτελέσματα:
EL0421FR001002

Παροχή αιχμής (M3/S)	45.92
Χρονική στιγμή αιχμής	02Sep2000, 00:45
Όγκος (MM)	155.91
Όγκος βροχόπτωσης (M3)	1.44E6
Όγκος απωλειών (M3)	5.37E5
Ενεργός Όγκος (M3)	8.99E5
Όγκος άμεσης απορροής (M3)	8.99E5
Όγκος βασικής απορροής (M3)	2.12E5

Βροχόπτωση και Απορροή



Υπολεκάνη: EL0421FR001003

Έκταση (KM2) : 10.09

Κατάντη : J3

Μέθοδος Απωλειών: SCS

Ποσοστό αδιαπέρατης επιφάνειας	0
Αριθμός Καμπύλης Απορροής-CN	79.83
Αρχικές Απώλειες	12.84

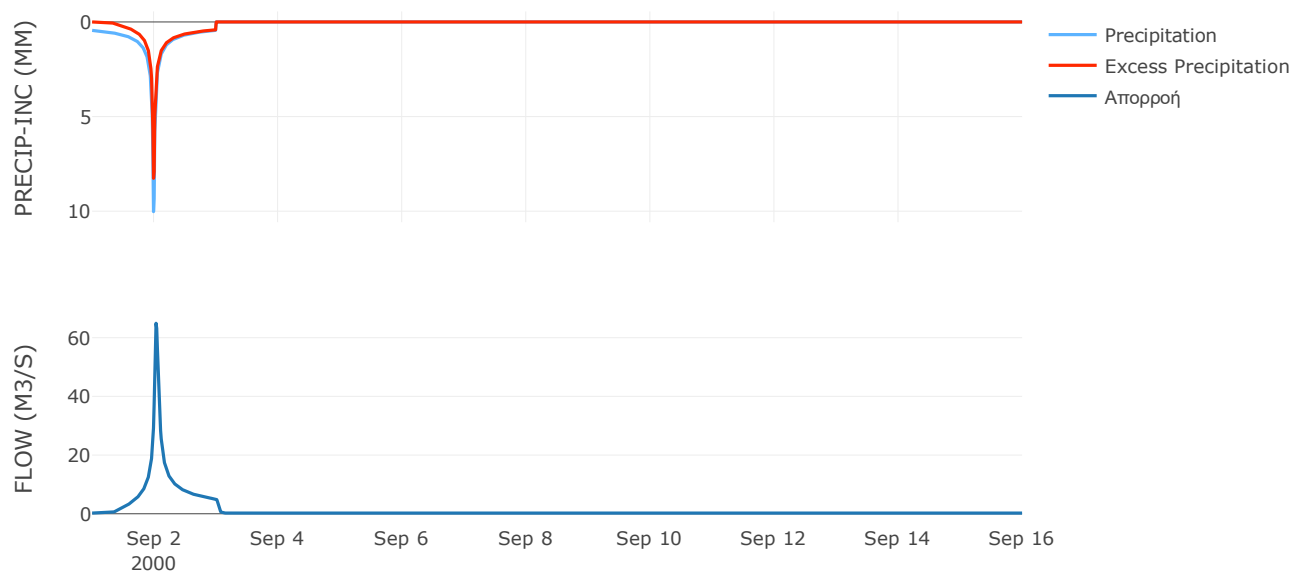
Μέθοδος
Μετασχηματισμού: SCS

Χρόνος Υστέρησης	45.82
------------------	-------

Αποτελέσματα:
EL0421FR001003

Παροχή αιχμής (M3/S)	64.9
Χρονική στιγμή αιχμής	02Sep2000, 00:45
Όγκος (MM)	177.9
Όγκος βροχόπτωσης (M3)	2.11E6
Όγκος απωλειών (M3)	6.18E5
Ενεργός Όγκος (M3)	1.49E6
Όγκος άμεσης απορροής (M3)	1.49E6
Όγκος βασικής απορροής (M3)	3.01E5

Βροχόπτωση και Απορροή



Υπολεκάνη: EL0421FR001004

Έκταση (KM2) : 2.73

Κατάντη : J4

Μέθοδος Απωλειών: SCS

Ποσοστό αδιαπέρατης επιφάνειας	0
Αριθμός Καμπύλης Απορροής-CN	84.8
Αρχικές Απώλειες	9.11

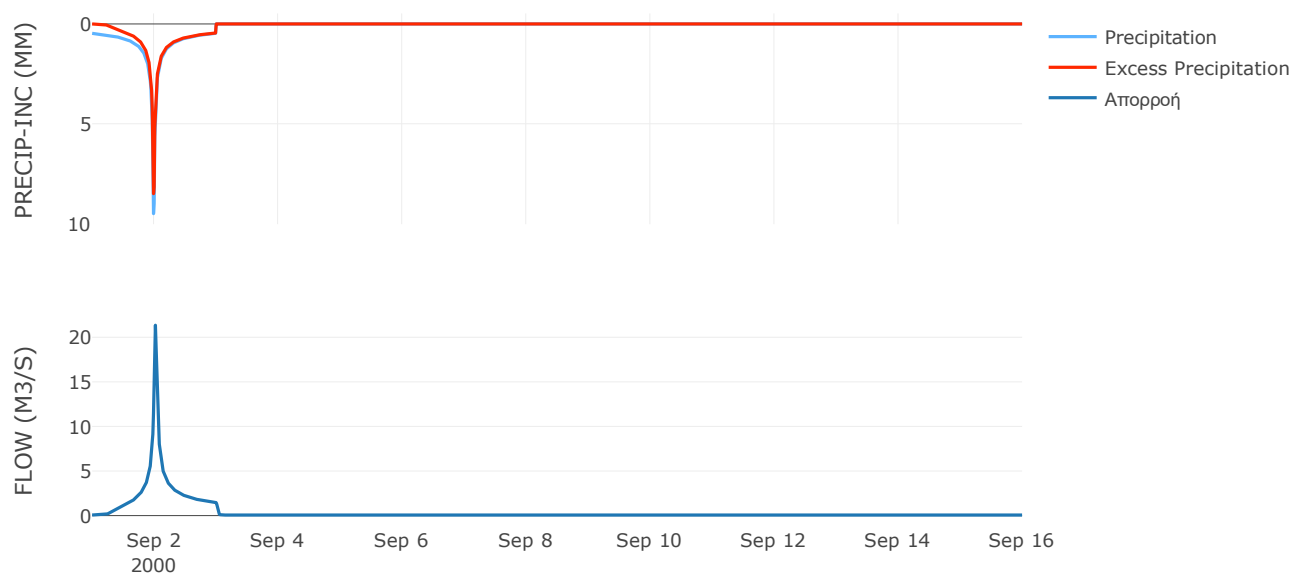
Μέθοδος
Μετασχηματισμού: SCS

Χρόνος Υστέρησης	26.06
------------------	-------

Αποτελέσματα:
EL0421FR001004

Παροχή αιχμής (M3/S)	21.35
Χρονική στιγμή αιχμής	02Sep2000, 00:30
Όγκος (MM)	196.69
Όγκος βροχόπτωσης (M3)	5.82E5
Όγκος απωλειών (M3)	1.26E5
Ενεργός Όγκος (M3)	4.56E5
Όγκος άμεσης απορροής (M3)	4.56E5
Όγκος βασικής απορροής (M3)	81369.36

Βροχόπτωση και Απορροή



Υπολεκάνη: EL0421FR001005

Έκταση (KM2) : 18.09

Κατάντη : J5

Μέθοδος Απωλειών: SCS

Ποσοστό αδιαπέρατης επιφάνειας	0
Αριθμός Καμπύλης Απορροής-CN	77.59
Αρχικές Απώλειες	14.68

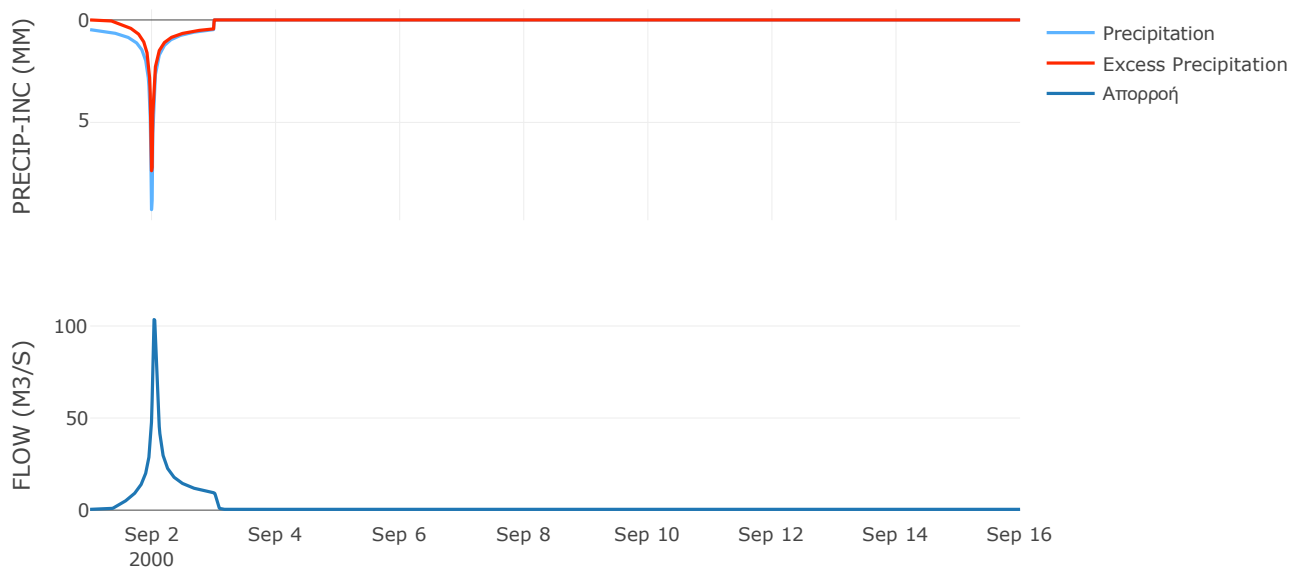
Μέθοδος
Μετασχηματισμού: SCS

Χρόνος Υστέρησης	48.66
------------------	-------

Αποτελέσματα:
EL0421FR001005

Παροχή αιχμής (M3/S)	103.51
Χρονική στιγμή αιχμής	02Sep2000, 00:45
Όγκος (MM)	173.85
Όγκος βροχόπτωσης (M3)	3.84E6
Όγκος απωλειών (M3)	1.23E6
Ενεργός Όγκος (M3)	2.61E6
Όγκος άμεσης απορροής (M3)	2.61E6
Όγκος βασικής απορροής (M3)	5.39E5

Βροχόπτωση και Απορροή



Υπολεκάνη: EL0421FR001006

Έκταση (KM2) : 33.49

Κατάντη : J6

Μέθοδος Απωλειών: SCS

Ποσοστό αδιαπέρατης επιφάνειας	0
Αριθμός Καμπύλης Απορροής-CN	85.25
Αρχικές Απώλειες	8.79

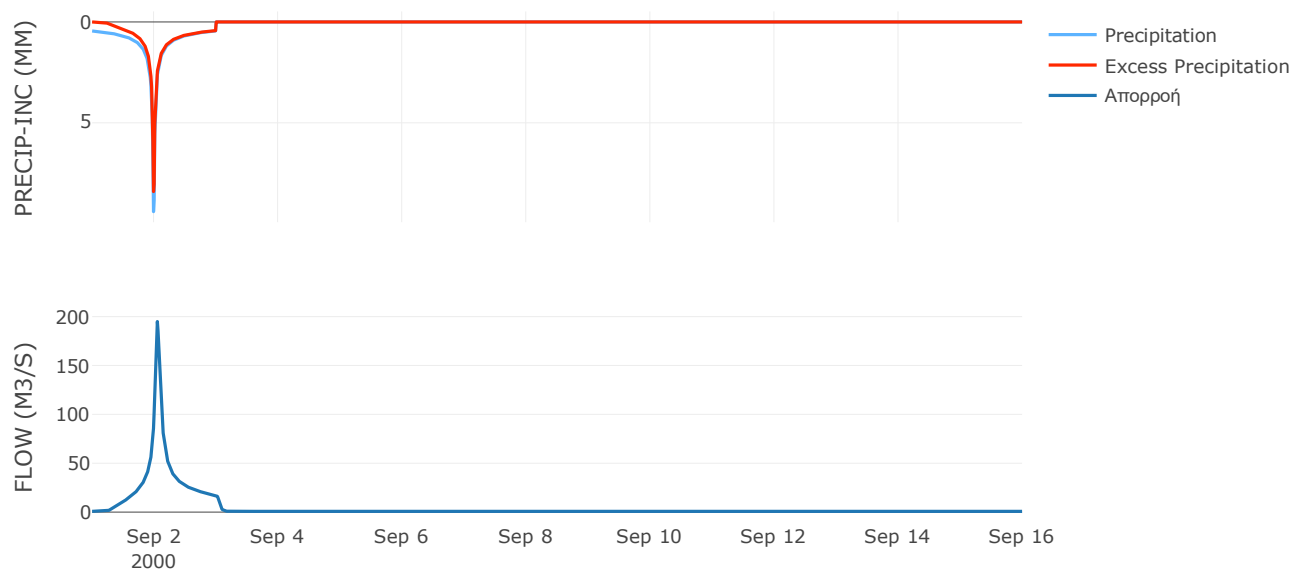
Μέθοδος
Μετασχηματισμού: SCS

Χρόνος Υστέρησης	66.33
------------------	-------

Αποτελέσματα:
EL0421FR001006

Παροχή αιχμής (M3/S)	194.95
Χρονική στιγμή αιχμής	02Sep2000, 01:15
Όγκος (MM)	190.41
Όγκος βροχόπτωσης (M3)	6.87E6
Όγκος απωλειών (M3)	1.5E6
Ενεργός Όγκος (M3)	5.38E6
Όγκος άμεσης απορροής (M3)	5.38E6
Όγκος βασικής απορροής (M3)	9.98E5

Βροχόπτωση και Απορροή



Υπολεκάνη: EL0421FR001007

Έκταση (KM2) : 33.81

Κατάντη : J7

Μέθοδος Απωλειών: SCS

Ποσοστό αδιαπέρατης επιφάνειας	0
Αριθμός Καμπύλης Απορροής-CN	91.18
Αρχικές Απώλειες	4.91

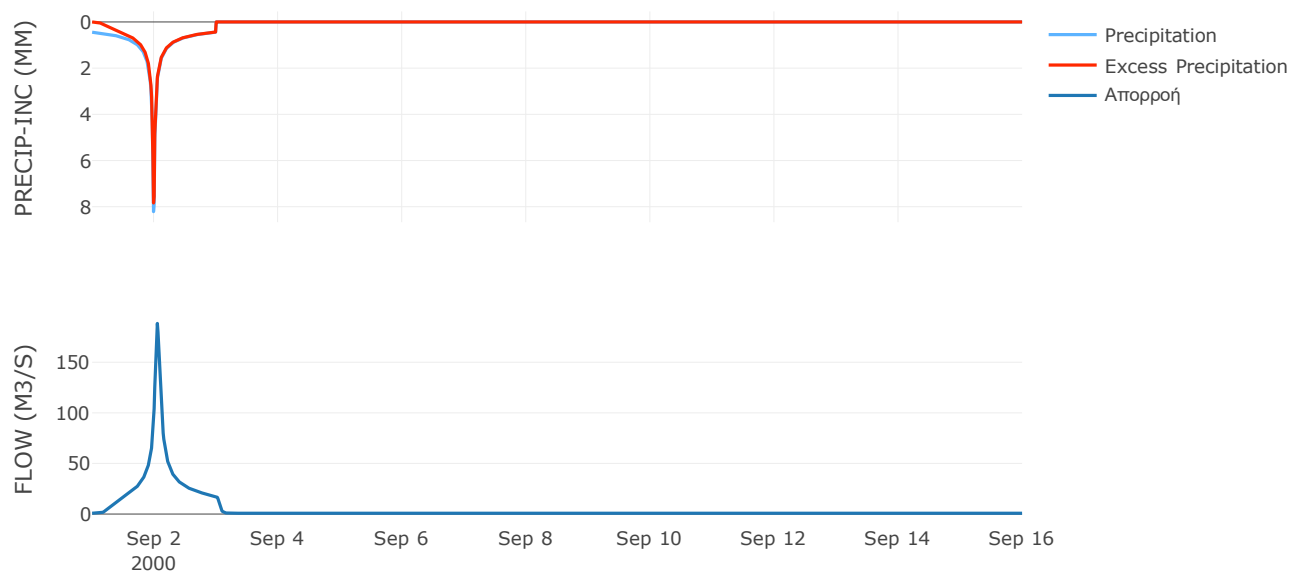
Μέθοδος
Μετασχηματισμού: SCS

Χρόνος Υστέρησης	66.68
------------------	-------

Αποτελέσματα:
EL0421FR001007

Παροχή αιχμής (M3/S)	188.39
Χρονική στιγμή αιχμής	02Sep2000, 01:15
Όγκος (MM)	198.48
Όγκος βροχόπτωσης (M3)	6.61E6
Όγκος απωλειών (M3)	9.02E5
Ενεργός Όγκος (M3)	5.7E6
Όγκος άμεσης απορροής (M3)	5.7E6
Όγκος βασικής απορροής (M3)	1.01E6

Βροχόπτωση και Απορροή



Υπολεκάνη: EL0421FR001008

Έκταση (KM2) : 8.14

Κατάντη : J8

Μέθοδος Απωλειών: SCS

Ποσοστό αδιαπέρατης επιφάνειας	0
Αριθμός Καμπύλης Απορροής-CN	88.4
Αρχικές Απώλειες	6.67

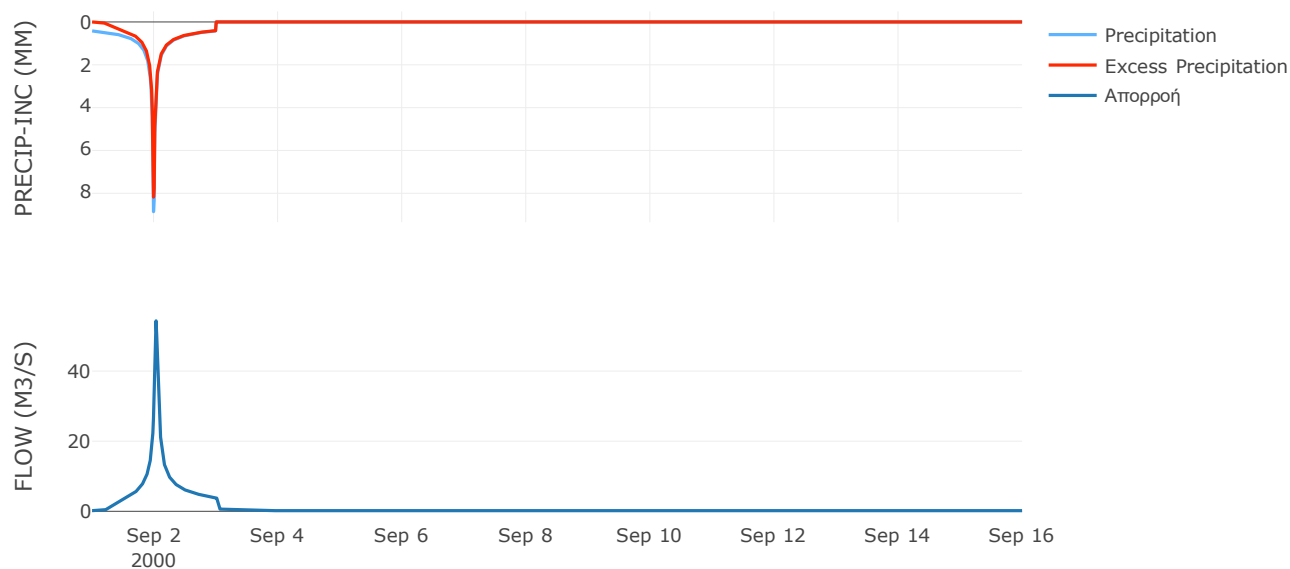
Μέθοδος
Μετασχηματισμού: SCS

Χρόνος Υστέρησης	40.19
------------------	-------

Αποτελέσματα:
EL0421FR001008

Παροχή αιχμής (M3/S)	54.33
Χρονική στιγμή αιχμής	02Sep2000, 00:45
Όγκος (MM)	187.42
Όγκος βροχόπτωσης (M3)	1.57E6
Όγκος απωλειών (M3)	2.85E5
Ενεργός Όγκος (M3)	1.28E6
Όγκος άμεσης απορροής (M3)	1.28E6
Όγκος βασικής απορροής (M3)	2.43E5

Βροχόπτωση και Απορροή



Υπολεκάνη: EL0421FR001009

Έκταση (KM2) : 9.96

Κατάντη : J9

Μέθοδος Απωλειών: SCS

Ποσοστό αδιαπέρατης επιφάνειας	0
Αριθμός Καμπύλης Απορροής-CN	90.33
Αρχικές Απώλειες	5.44

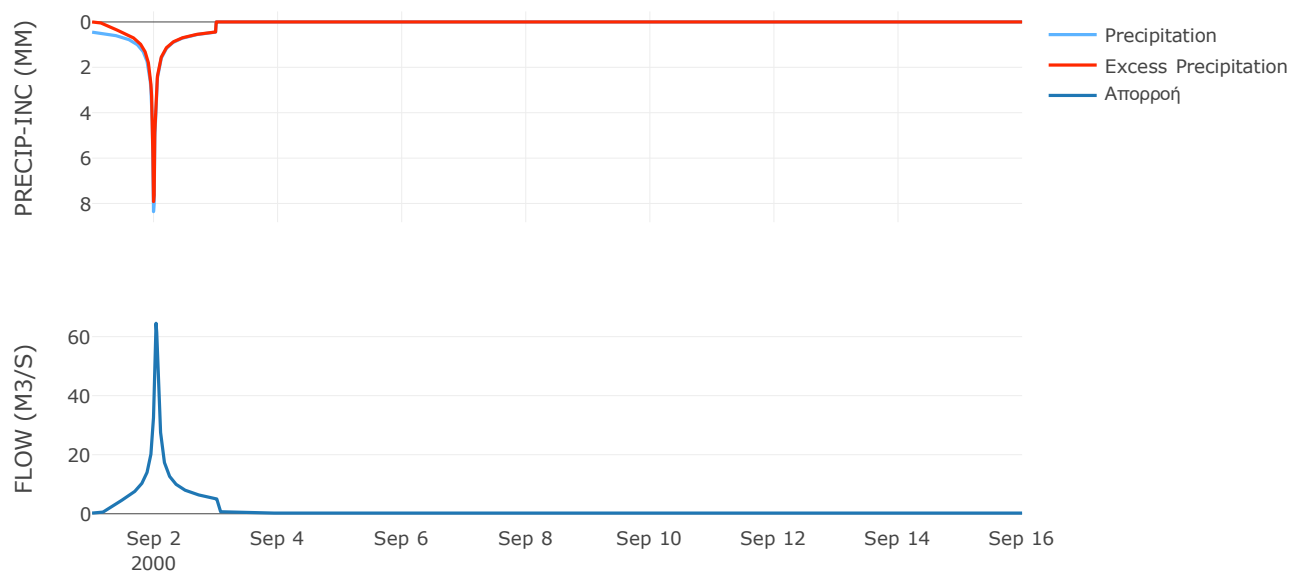
Μέθοδος
Μετασχηματισμού: SCS

Χρόνος Υστέρησης	43.52
------------------	-------

Αποτελέσματα:
EL0421FR001009

Παροχή αιχμής (M3/S)	64.53
Χρονική στιγμή αιχμής	02Sep2000, 00:45
Όγκος (MM)	198.88
Όγκος βροχόπτωσης (M3)	1.98E6
Όγκος απωλειών (M3)	2.92E5
Ενεργός Όγκος (M3)	1.68E6
Όγκος άμεσης απορροής (M3)	1.68E6
Όγκος βασικής απορροής (M3)	2.97E5

Βροχόπτωση και Απορροή



Υπολεκάνη: EL0421FR001010

Έκταση (KM2) : 28.77

Κατάνη : J10 Res1

Μέθοδος Απωλειών: SCS

Ποσοστό αδιαπέρατης επιφάνειας	0.14
Αριθμός Καμπύλης Απορροής-CN	90.2
Αρχικές Απώλειες	5.52

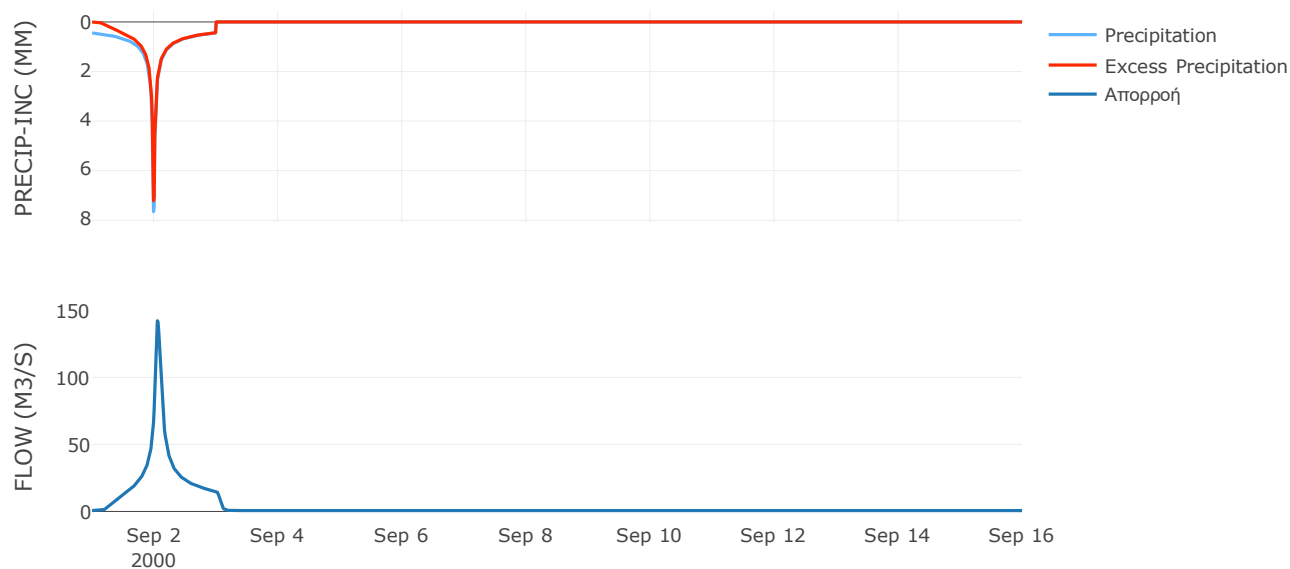
Μέθοδος
Μετασχηματισμού: SCS

Χρόνος Υστέρησης	77.62
------------------	-------

Αποτελέσματα:
EL0421FR001010

Παροχή αιχμής (M3/S)	142.24
Χρονική στιγμή αιχμής	02Sep2000, 01:15
Όγκος (MM)	190.97
Όγκος βροχόπτωσης (M3)	5.48E6
Όγκος απωλειών (M3)	8.48E5
Ενεργός Όγκος (M3)	4.64E6
Όγκος άμεσης απορροής (M3)	4.64E6
Όγκος βασικής απορροής (M3)	8.57E5

Βροχόπτωση και Απορροή



Υπολεκάνη: EL0421FR001011

Έκταση (KM2) : 2.42

Κατάντη : J11

Μέθοδος Απωλειών: SCS

Ποσοστό αδιαπέρατης επιφάνειας	0.38
Αριθμός Καμπύλης Απορροής-CN	89.68
Αρχικές Απώλειες	5.84

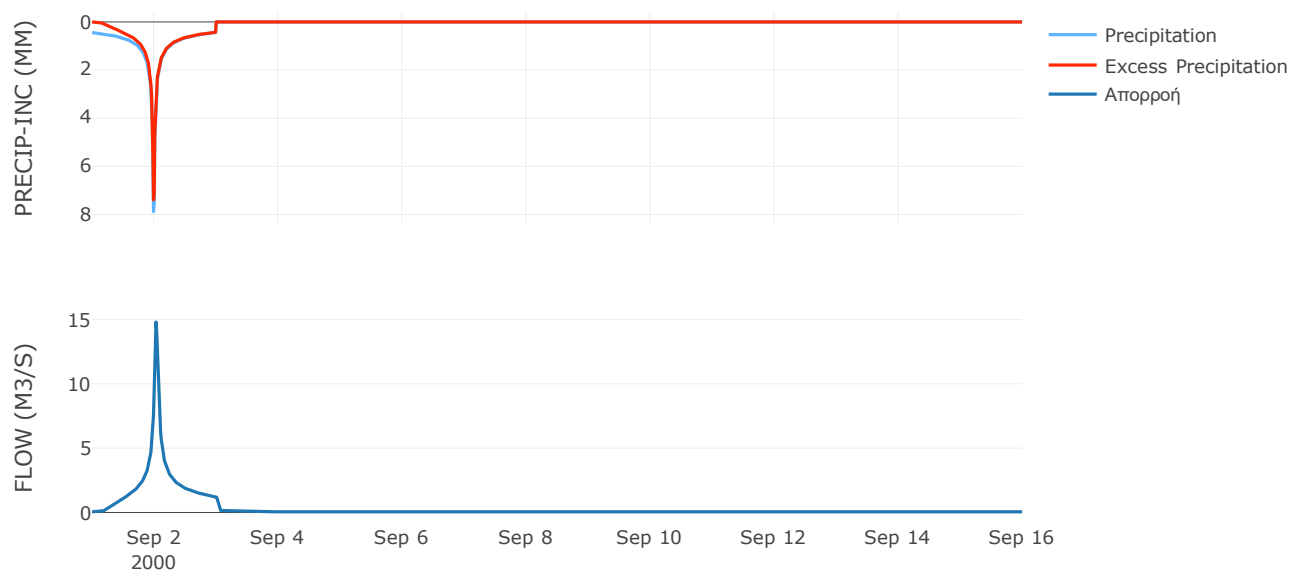
Μέθοδος
Μετασχηματισμού: SCS

Χρόνος Υστέρησης	42.55
------------------	-------

Αποτελέσματα:
EL0421FR001011

Παροχή αιχμής (M3/S)	14.81
Χρονική στιγμή αιχμής	02Sep2000, 00:45
Όγκος (MM)	190.79
Όγκος βροχόπτωσης (M3)	4.64E5
Όγκος απωλειών (M3)	74890.39
Ενεργός Όγκος (M3)	3.89E5
Όγκος άμεσης απορροής (M3)	3.89E5
Όγκος βασικής απορροής (M3)	72052.42

Βροχόπτωση και Απορροή



Υπολεκάνη: EL0421FR001012

Έκταση (KM2) : 33.86

Κατάντη : J12

Μέθοδος Απωλειών: SCS

Ποσοστό αδιαπέρατης επιφάνειας	0.09
Αριθμός Καμπύλης Απορροής-CN	79.54
Αρχικές Απώλειες	13.07

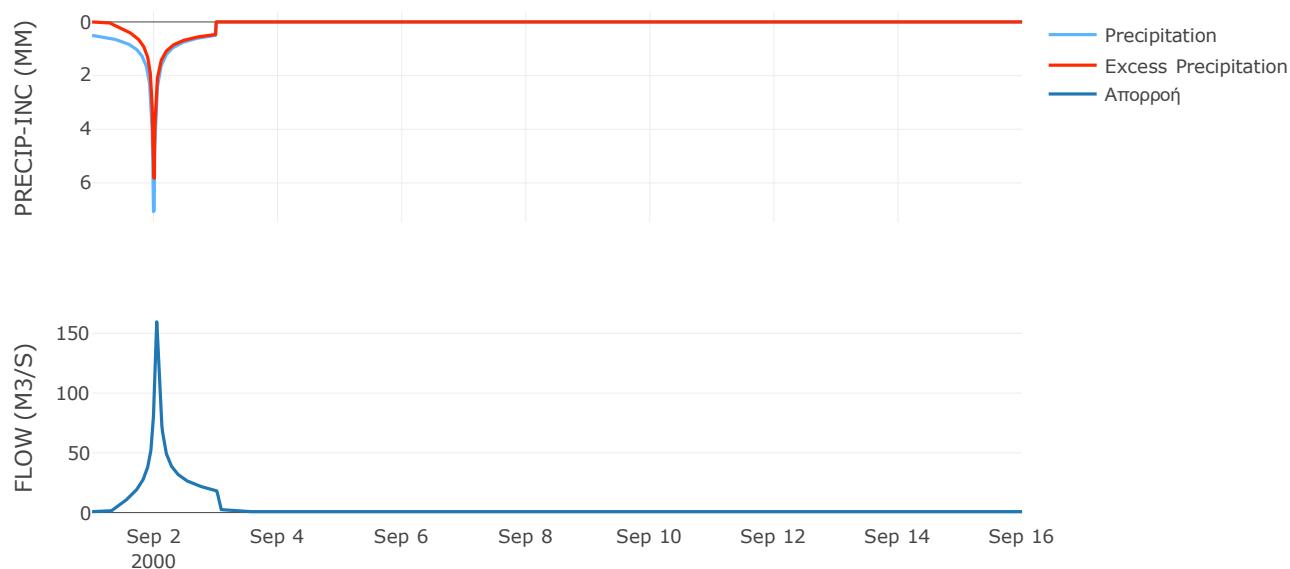
Μέθοδος
Μετασχηματισμού: SCS

Χρόνος Υστέρησης	50.75
------------------	-------

Αποτελέσματα:
EL0421FR001012

Παροχή αιχμής (M3/S)	159.66
Χρονική στιγμή αιχμής	02Sep2000, 01:00
Όγκος (MM)	170.56
Όγκος βροχόπτωσης (M3)	6.85E6
Όγκος απωλειών (M3)	2.09E6
Ενεργός Όγκος (M3)	4.77E6
Όγκος άμεσης απορροής (M3)	4.77E6
Όγκος βασικής απορροής (M3)	1.01E6

Βροχόπτωση και Απορροή



Υπολεκάνη: EL0421FR001013

Έκταση (KM2) : 34.09

Κατάντη : J13

Μέθοδος Απωλειών: SCS

Ποσοστό αδιαπέρατης επιφάνειας	0
Αριθμός Καμπύλης Απορροής-CN	80.08
Αρχικές Απώλειες	12.64

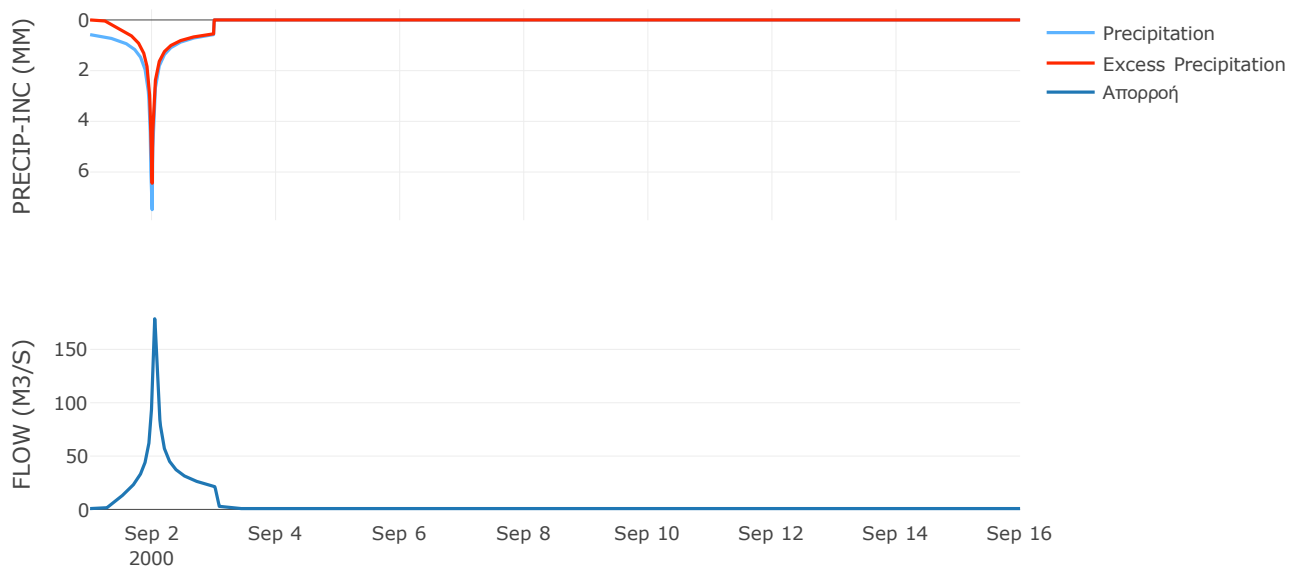
Μέθοδος
Μετασχηματισμού: SCS

Χρόνος Υστέρησης	51.72
------------------	-------

Αποτελέσματα:
EL0421FR001013

Παροχή αιχμής (M3/S)	178.71
Χρονική στιγμή αιχμής	02Sep2000, 01:00
Όγκος (MM)	195.68
Όγκος βροχόπτωσης (M3)	7.75E6
Όγκος απωλειών (M3)	2.1E6
Ενεργός Όγκος (M3)	5.65E6
Όγκος άμεσης απορροής (M3)	5.65E6
Όγκος βασικής απορροής (M3)	1.02E6

Βροχόπτωση και Απορροή



Υπολεκάνη: EL0421FR001014

Έκταση (KM2) : 11.34

Κατάντη : J14

Μέθοδος Απωλειών: SCS

Ποσοστό αδιαπέρατης επιφάνειας	0
Αριθμός Καμπύλης Απορροής-CN	86.38
Αρχικές Απώλειες	8.01

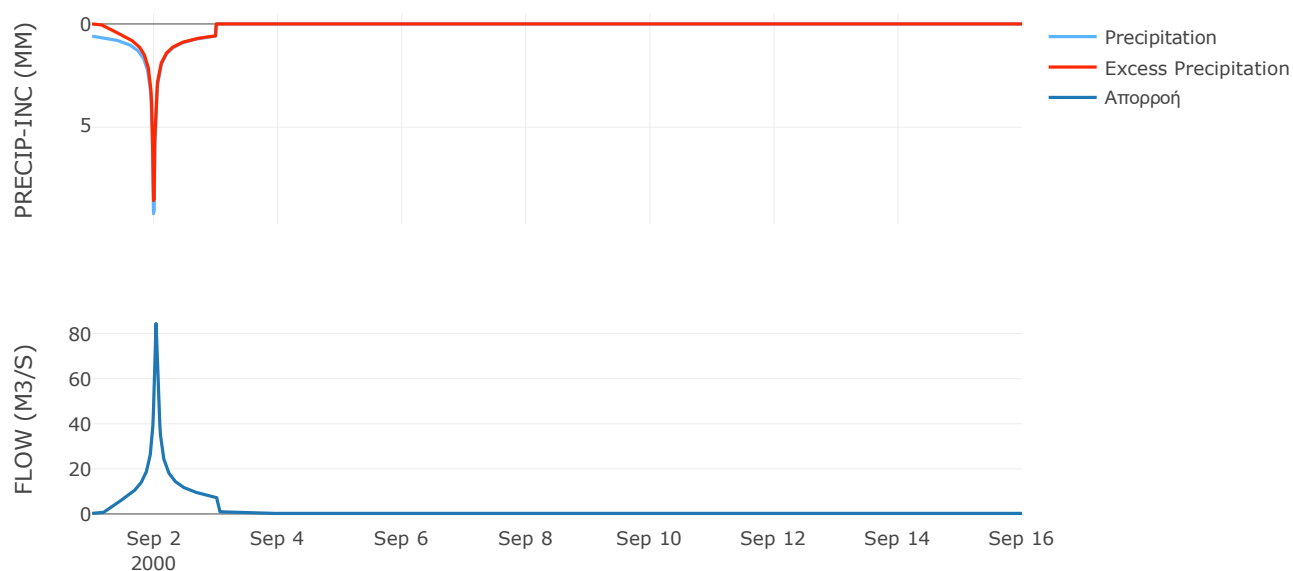
Μέθοδος
Μετασχηματισμού: SCS

Χρόνος Υστέρησης	37.14
------------------	-------

Αποτελέσματα:
EL0421FR001014

Παροχή αιχμής (M3/S)	84.42
Χρονική στιγμή αιχμής	02Sep2000, 00:45
Όγκος (MM)	233.54
Όγκος βροχόπτωσης (M3)	2.79E6
Όγκος απωλειών (M3)	4.8E5
Ενεργός Όγκος (M3)	2.31E6
Όγκος άμεσης απορροής (M3)	2.31E6
Όγκος βασικής απορροής (M3)	3.38E5

Βροχόπτωση και Απορροή



Υπολεκάνη: EL0421FR001015

Έκταση (KM2) : 20.48

Κατάντη : J15

Μέθοδος Απωλειών: SCS

Ποσοστό αδιαπέρατης επιφάνειας	0
Αριθμός Καμπύλης Απορροής-CN	85.05
Αρχικές Απώλειες	8.93

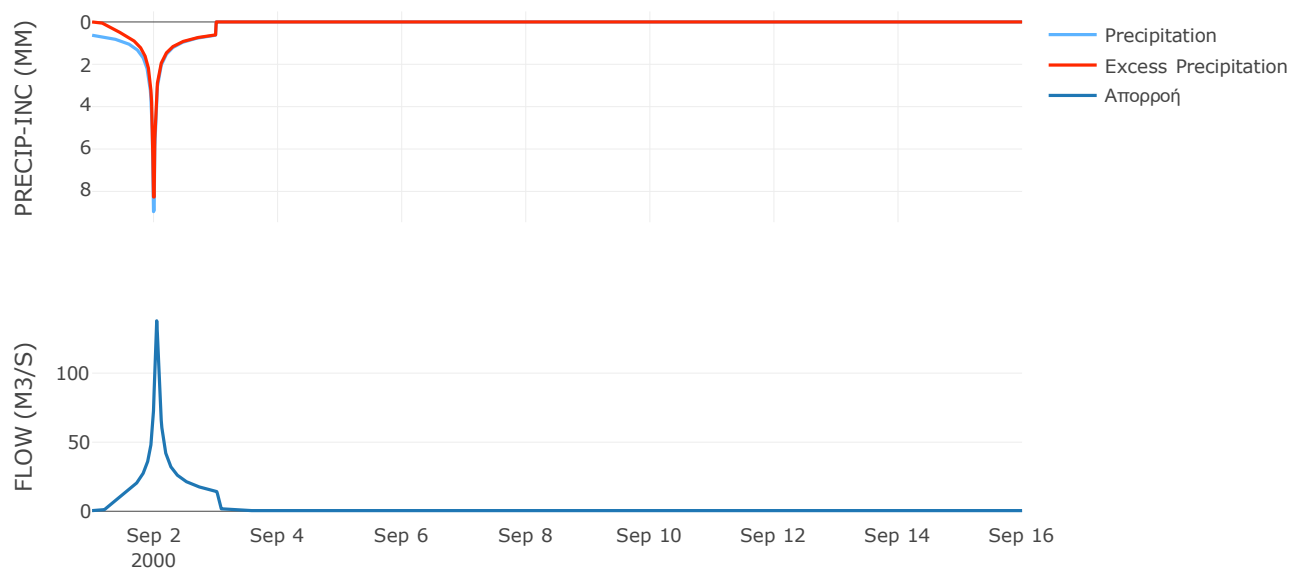
Μέθοδος
Μετασχηματισμού: SCS

Χρόνος Υστέρησης	50.53
------------------	-------

Αποτελέσματα:
EL0421FR001015

Παροχή αιχμής (M3/S)	137.88
Χρονική στιγμή αιχμής	02Sep2000, 01:00
Όγκος (MM)	237.62
Όγκος βροχόπτωσης (M3)	5.21E6
Όγκος απωλειών (M3)	9.57E5
Ενεργός Όγκος (M3)	4.26E6
Όγκος άμεσης απορροής (M3)	4.26E6
Όγκος βασικής απορροής (M3)	6.1E5

Βροχόπτωση και Απορροή



Υπολεκάνη: EL0421FR001016

Έκταση (KM2) : 15.22

Κατάντη : J16

Μέθοδος Απωλειών: SCS

Ποσοστό αδιαπέρατης επιφάνειας	0
Αριθμός Καμπύλης Απορροής-CN	84.41
Αρχικές Απώλειες	9.38

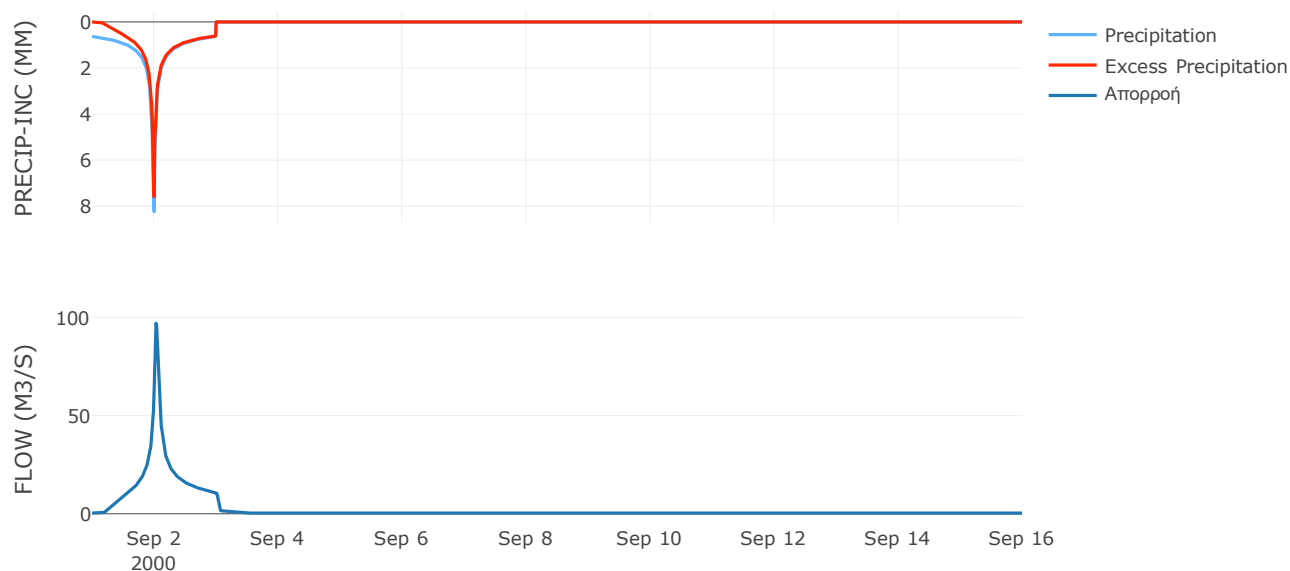
Μέθοδος
Μετασχηματισμού: SCS

Χρόνος Υστέρησης	46.87
------------------	-------

Αποτελέσματα:
EL0421FR001016

Παροχή αιχμής (M3/S)	97.07
Χρονική στιγμή αιχμής	02Sep2000, 00:45
Όγκος (MM)	229.09
Όγκος βροχόπτωσης (M3)	3.77E6
Όγκος απωλειών (M3)	7.39E5
Ενεργός Όγκος (M3)	3.03E6
Όγκος άμεσης απορροής (M3)	3.03E6
Όγκος βασικής απορροής (M3)	4.54E5

Βροχόπτωση και Απορροή



Υπολεκάνη: EL0421FR001017

Έκταση (KM2) : 32

Κατάληξη : J17

Μέθοδος Απωλειών: SCS

Ποσοστό αδιαπέρατης επιφάνειας	0
Αριθμός Καμπύλης Απορροής-CN	88.51
Αρχικές Απώλειες	6.6

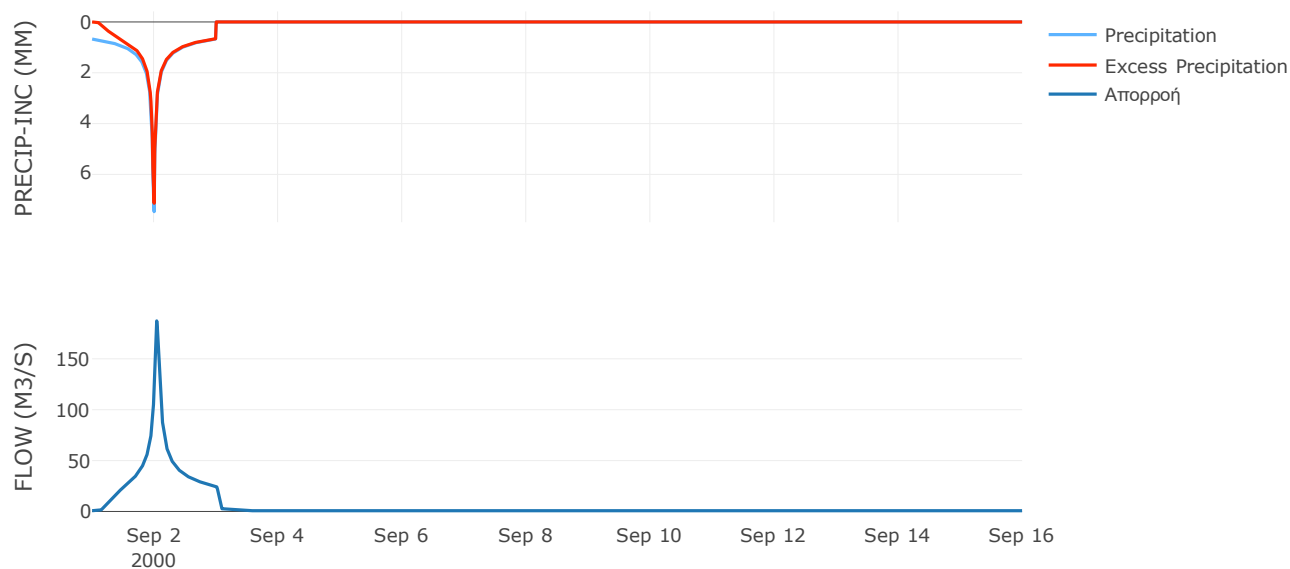
Μέθοδος
Μετασχηματισμού: SCS

Χρόνος Υστέρησης	55.37
------------------	-------

Αποτελέσματα:
EL0421FR001017

Παροχή αιχμής (M3/S)	187.23
Χρονική στιγμή αιχμής	02Sep2000, 01:00
Όγκος (MM)	244.79
Όγκος βροχόπτωσης (M3)	8.02E6
Όγκος απωλειών (M3)	1.14E6
Ενεργός Όγκος (M3)	6.88E6
Όγκος άμεσης απορροής (M3)	6.88E6
Όγκος βασικής απορροής (M3)	9.54E5

Βροχόπτωση και Απορροή



Υπολεκάνη: EL0421FR001018

Έκταση (KM2) : 15.19

Κατάντη : J17

Μέθοδος Απωλειών: SCS

Ποσοστό αδιαπέρατης επιφάνειας	0
Αριθμός Καμπύλης Απορροής-CN	81.76
Αρχικές Απώλειες	11.33

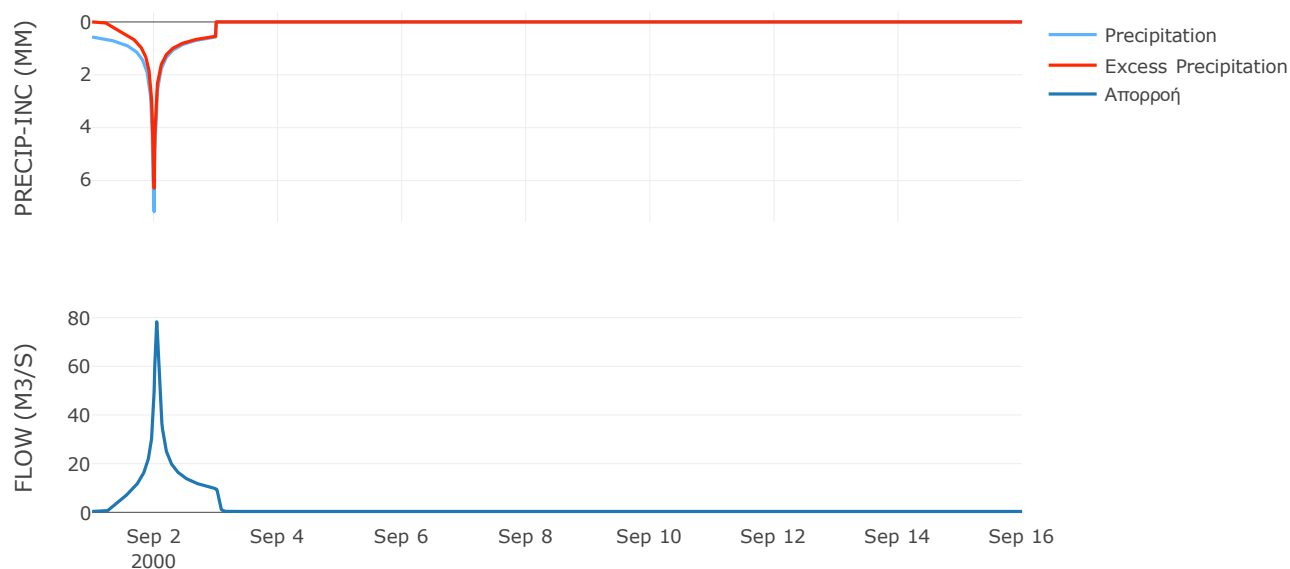
Μέθοδος
Μετασχηματισμού: SCS

Χρόνος Υστέρησης	50.99
------------------	-------

Αποτελέσματα:
EL0421FR001018

Παροχή αιχμής (M3/S)	78.29
Χρονική στιγμή αιχμής	02Sep2000, 01:00
Όγκος (MM)	195.69
Όγκος βροχόπτωσης (M3)	3.37E6
Όγκος απωλειών (M3)	8.5E5
Ενεργός Όγκος (M3)	2.52E6
Όγκος άμεσης απορροής (M3)	2.52E6
Όγκος βασικής απορροής (M3)	4.53E5

Βροχόπτωση και Απορροή



Υπολεκάνη: EL0421FR001019

Έκταση (KM2) : 21.21

Κατάντη : J17

Μέθοδος Απωλειών: SCS

Ποσοστό αδιαπέρατης επιφάνειας	0
Αριθμός Καμπύλης Απορροής-CN	80.45
Αρχικές Απώλειες	12.35

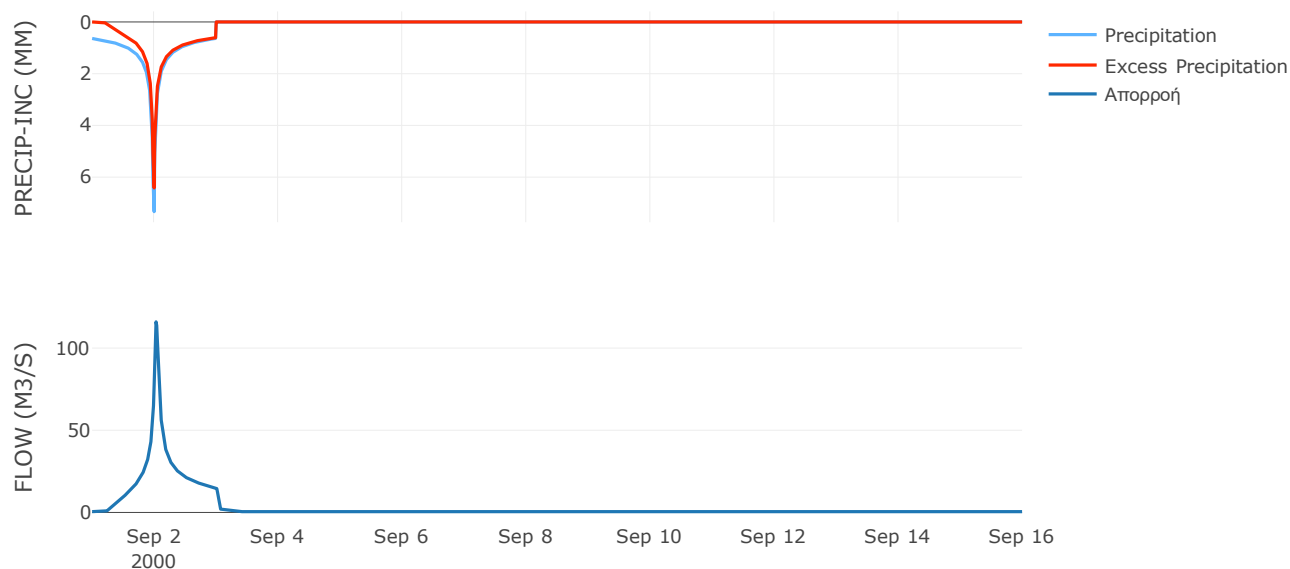
Μέθοδος
Μετασχηματισμού: SCS

Χρόνος Υστέρησης	45.6
------------------	------

Αποτελέσματα:
EL0421FR001019

Παροχή αιχμής (M3/S)	115.97
Χρονική στιγμή αιχμής	02Sep2000, 00:45
Όγκος (MM)	209.57
Όγκος βροχόπτωσης (M3)	5.1E6
Όγκος απωλειών (M3)	1.29E6
Ενεργός Όγκος (M3)	3.81E6
Όγκος άμεσης απορροής (M3)	3.81E6
Όγκος βασικής απορροής (M3)	6.32E5

Βροχόπτωση και Απορροή



Υπολεκάνη: EL0421FR001020

Έκταση (KM2) : 12.17

Κατάντη : J15

Μέθοδος Απωλειών: SCS

Ποσοστό αδιαπέρατης επιφάνειας	0
Αριθμός Καμπύλης Απορροής-CN	76.22
Αρχικές Απώλειες	15.85

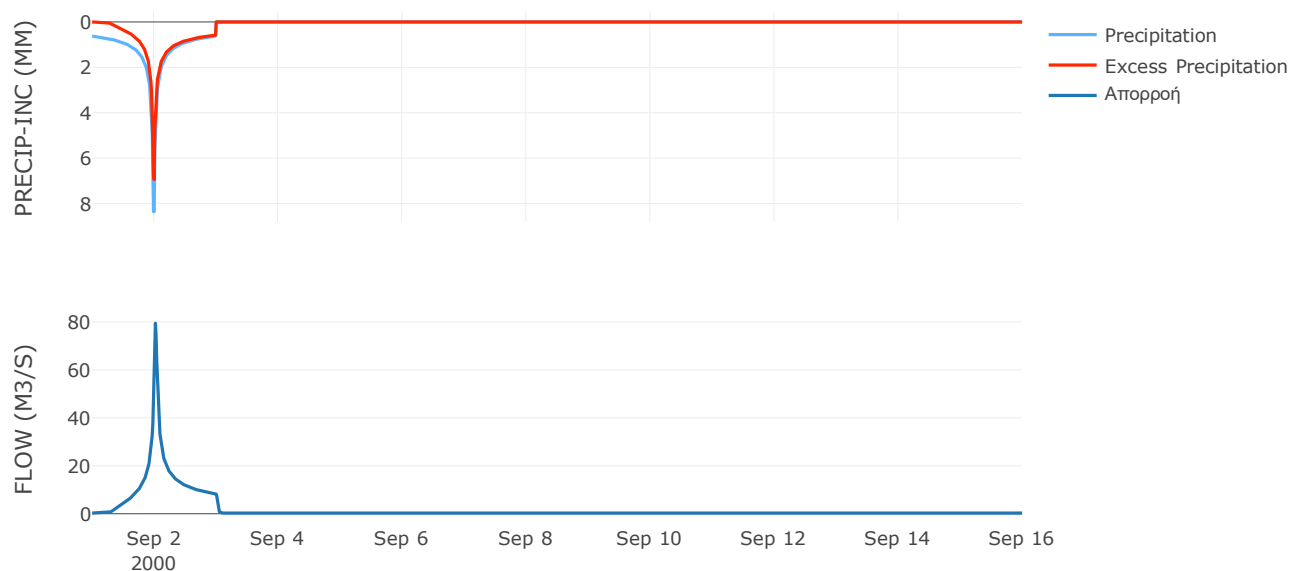
Μέθοδος
Μετασχηματισμού: SCS

Χρόνος Υστέρησης	28.36
------------------	-------

Αποτελέσματα:
EL0421FR001020

Παροχή αιχμής (M3/S)	79.44
Χρονική στιγμή αιχμής	02Sep2000, 00:30
Όγκος (MM)	202.12
Όγκος βροχόπτωσης (M3)	3.01E6
Όγκος απωλειών (M3)	9.11E5
Ενεργός Όγκος (M3)	2.1E6
Όγκος άμεσης απορροής (M3)	2.1E6
Όγκος βασικής απορροής (M3)	3.63E5

Βροχόπτωση και Απορροή



Υπολεκάνη: EL0421FR001021

Έκταση (KM2) : 25.71

Κατάντη : J16

Μέθοδος Απωλειών: SCS

Ποσοστό αδιαπέρατης επιφάνειας	0
Αριθμός Καμπύλης Απορροής-CN	89.69
Αρχικές Απώλειες	5.84

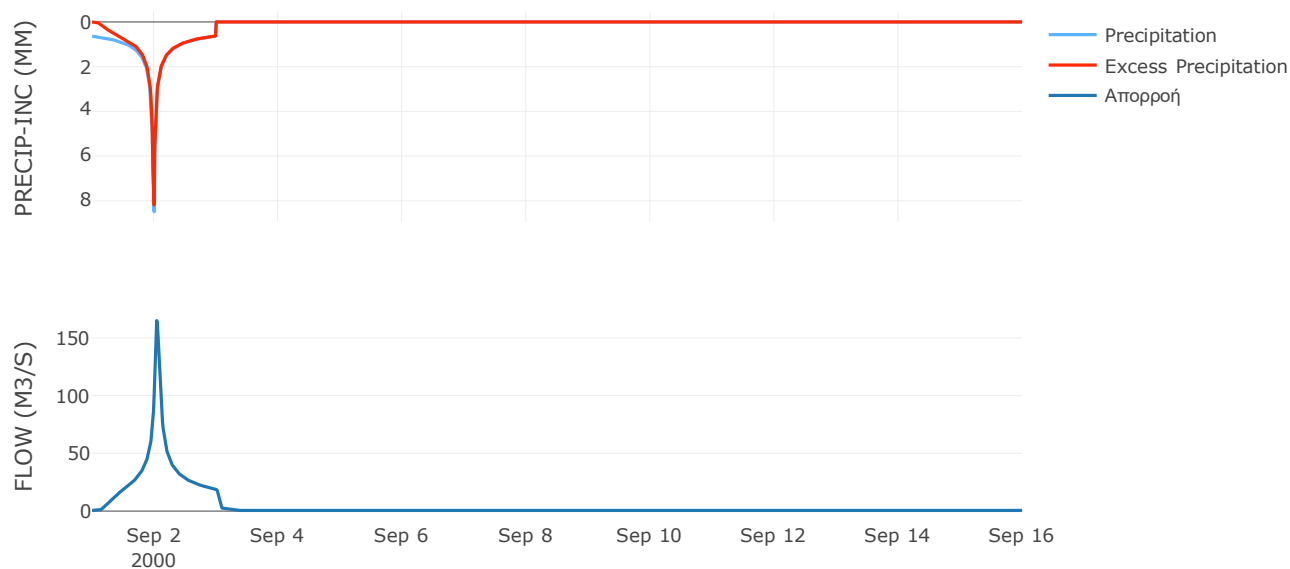
Μέθοδος
Μετασχηματισμού: SCS

Χρόνος Υστέρησης	60.98
------------------	-------

Αποτελέσματα:
EL0421FR001021

Παροχή αιχμής (M3/S)	164.95
Χρονική στιγμή αιχμής	02Sep2000, 01:00
Όγκος (MM)	249.75
Όγκος βροχόπτωσης (M3)	6.47E6
Όγκος απωλειών (M3)	8.21E5
Ενεργός Όγκος (M3)	5.65E6
Όγκος άμεσης απορροής (M3)	5.65E6
Όγκος βασικής απορροής (M3)	7.66E5

Βροχόπτωση και Απορροή



Υπολεκάνη: EL0421FR001022

Έκταση (KM2) : 24.36

Κατάντη : J16

Μέθοδος Απωλειών: SCS

Ποσοστό αδιαπέρατης επιφάνειας	0
Αριθμός Καμπύλης Απορροής-CN	60.03
Αρχικές Απώλειες	6.18

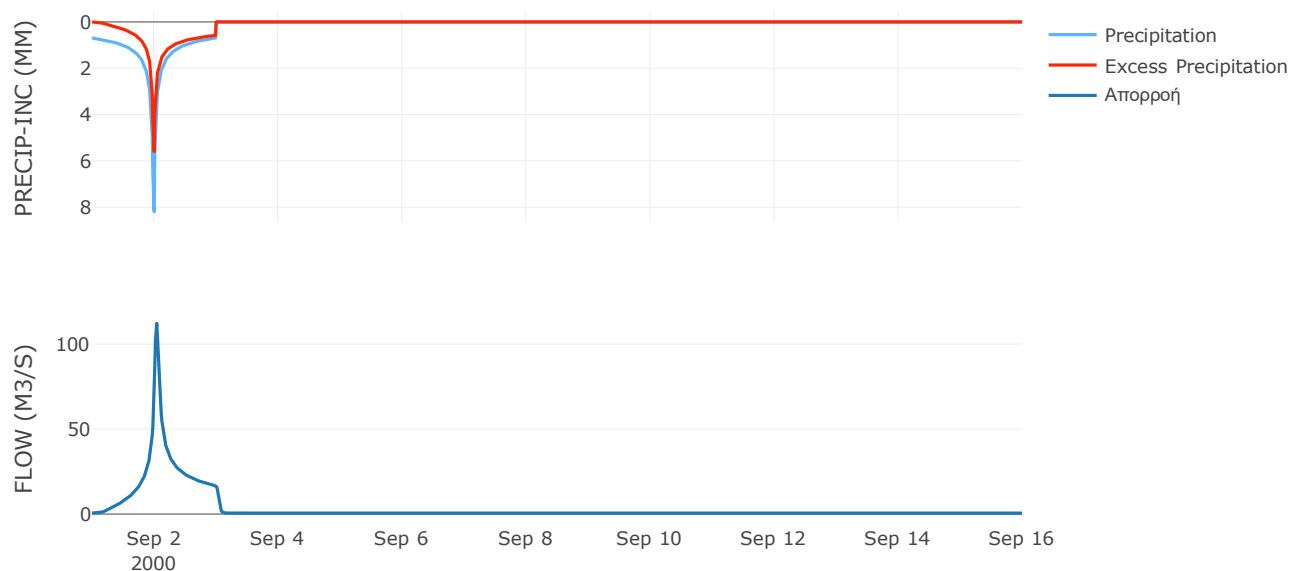
Μέθοδος
Μετασχηματισμού: SCS

Χρόνος Υστέρησης	48.68
------------------	-------

Αποτελέσματα:
EL0421FR001022

Παροχή αιχμής (M3/S)	112.22
Χρονική στιγμή αιχμής	02Sep2000, 01:00
Όγκος (MM)	185.31
Όγκος βροχόπτωσης (M3)	6.42E6
Όγκος απωλειών (M3)	2.64E6
Ενεργός Όγκος (M3)	3.79E6
Όγκος άμεσης απορροής (M3)	3.79E6
Όγκος βασικής απορροής (M3)	7.26E5

Βροχόπτωση και Απορροή



Υπολεκάνη: EL0421FR001023

Έκταση (KM2) : 13.31

Κατάντη : J14

Μέθοδος Απωλειών: SCS

Ποσοστό αδιαπέρατης επιφάνειας	0
Αριθμός Καμπύλης Απορροής-CN	87.2
Αρχικές Απώλειες	7.45

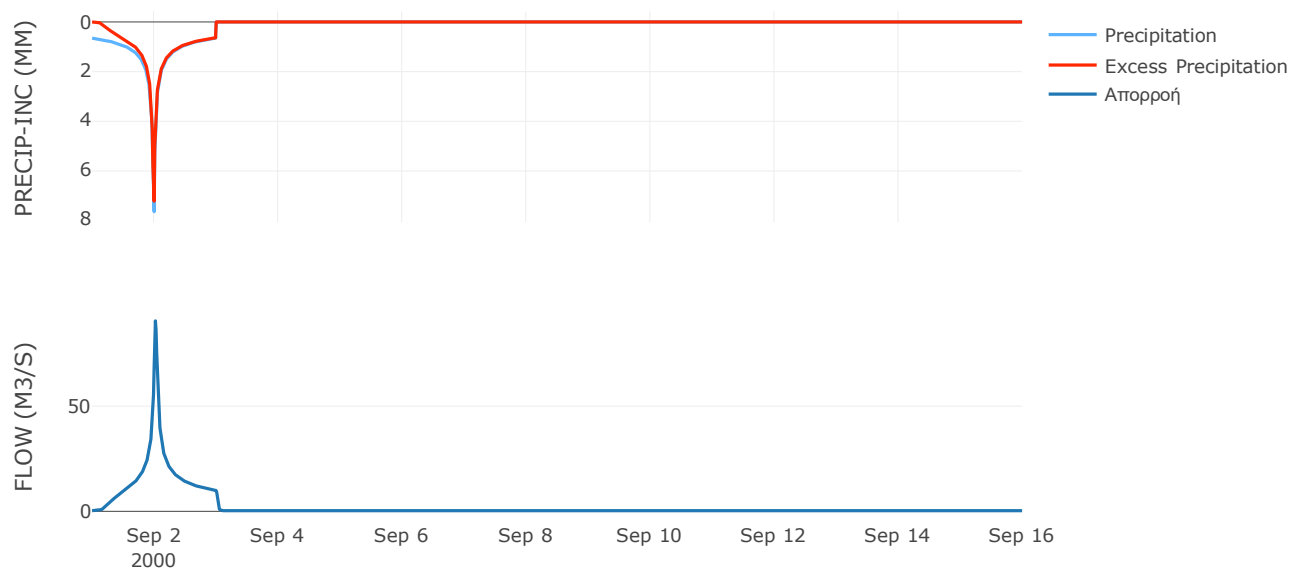
Μέθοδος
Μετασχηματισμού: SCS

Χρόνος Υστέρησης	29.64
------------------	-------

Αποτελέσματα:
EL0421FR001023

Παροχή αιχμής (M3/S)	90.55
Χρονική στιγμή αιχμής	02Sep2000, 00:30
Όγκος (MM)	237.75
Όγκος βροχόπτωσης (M3)	3.3E6
Όγκος απωλειών (M3)	5.29E5
Ενεργός Όγκος (M3)	2.77E6
Όγκος άμεσης απορροής (M3)	2.77E6
Όγκος βασικής απορροής (M3)	3.97E5

Βροχόπτωση και Απορροή



Υπολεκάνη: EL0421FR001024

Έκταση (KM2) : 30.28

Κατάντη : J18

Μέθοδος Απωλειών: SCS

Ποσοστό αδιαπέρατης επιφάνειας	0
Αριθμός Καμπύλης Απορροής-CN	89.43
Αρχικές Απώλειες	6.01

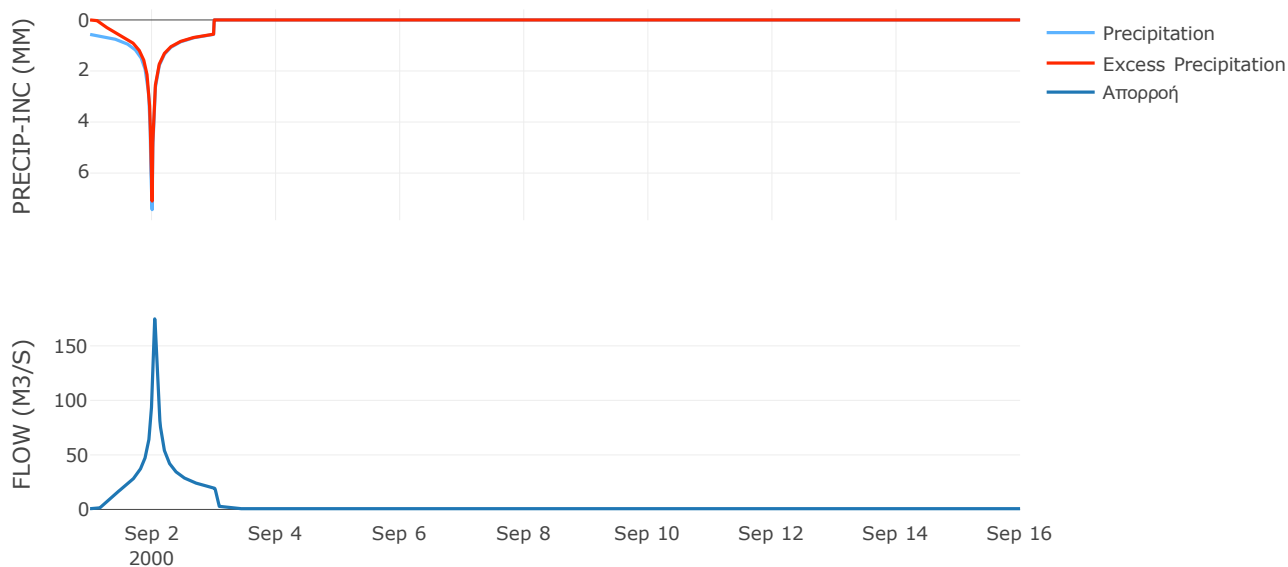
Μέθοδος
Μετασχηματισμού: SCS

Χρόνος Υστέρησης	53.81
------------------	-------

Αποτελέσματα:
EL0421FR001024

Παροχή αιχμής (M3/S)	174.74
Χρονική στιγμή αιχμής	02Sep2000, 01:00
Όγκος (MM)	221.27
Όγκος βροχόπτωσης (M3)	6.78E6
Όγκος απωλειών (M3)	9.81E5
Ενεργός Όγκος (M3)	5.8E6
Όγκος άμεσης απορροής (M3)	5.8E6
Όγκος βασικής απορροής (M3)	9.03E5

Βροχόπτωση και Απορροή



Υπολεκάνη: EL0421FR001025

Έκταση (KM2) : 69.37

Κατάντη : J19

Μέθοδος Απωλειών: SCS

Ποσοστό αδιαπέρατης επιφάνειας	0
Αριθμός Καμπύλης Απορροής-CN	85.82
Αρχικές Απώλειες	8.4

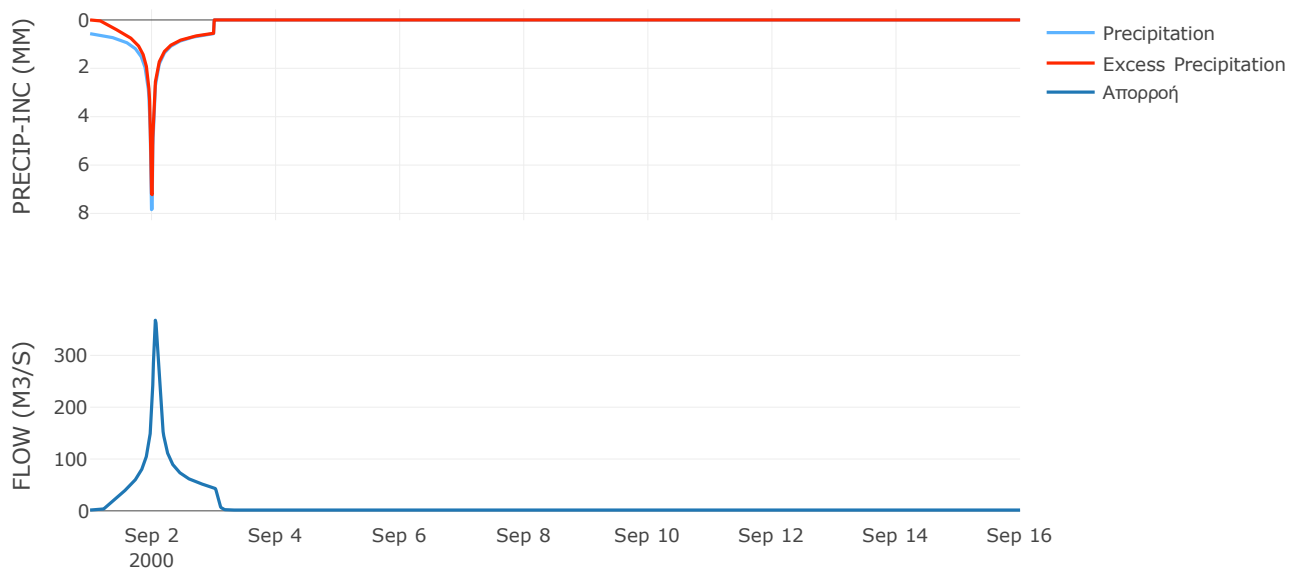
Μέθοδος
Μετασχηματισμού: SCS

Χρόνος Υστέρησης	73.55
------------------	-------

Αποτελέσματα:
EL0421FR001025

Παροχή αιχμής (M3/S)	367.81
Χρονική στιγμή αιχμής	02Sep2000, 01:15
Όγκος (MM)	213.97
Όγκος βροχόπτωσης (M3)	1.58E7
Όγκος απωλειών (M3)	3.03E6
Ενεργός Όγκος (M3)	1.28E7
Όγκος άμεσης απορροής (M3)	1.28E7
Όγκος βασικής απορροής (M3)	2.07E6

Βροχόπτωση και Απορροή



Υπολεκάνη: EL0421FR001026

Έκταση (KM2) : 14.94

Κατάντη : J9

Μέθοδος Απωλειών: SCS

Ποσοστό αδιαπέρατης επιφάνειας	0
Αριθμός Καμπύλης Απορροής-CN	87.44
Αρχικές Απώλειες	7.29

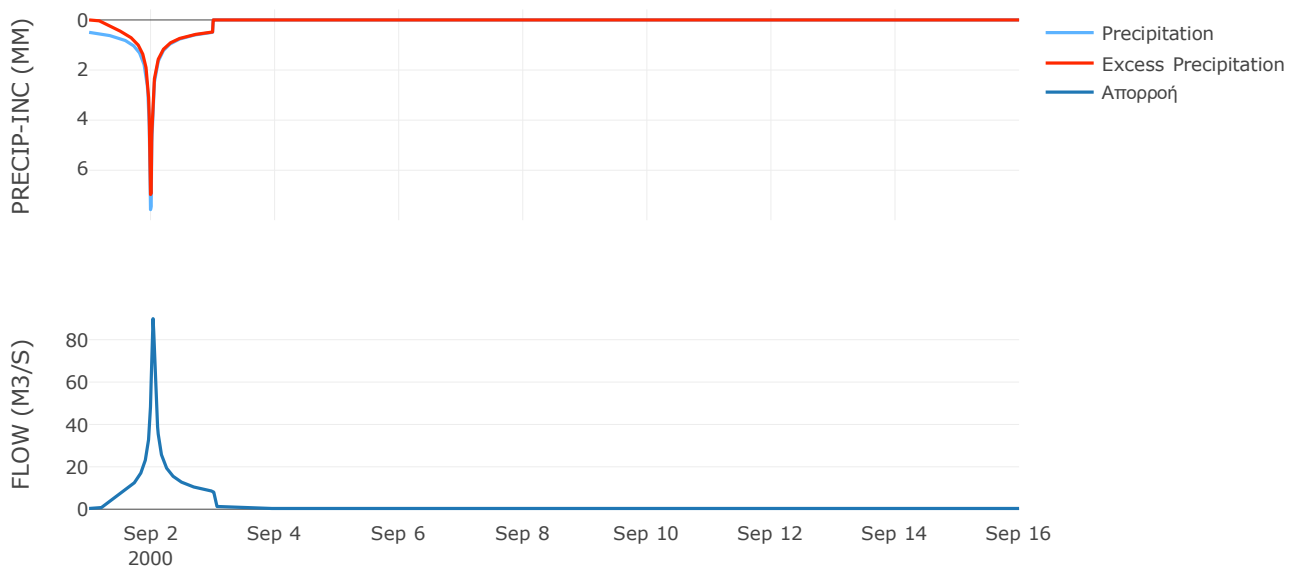
Μέθοδος
Μετασχηματισμού: SCS

Χρόνος Υστέρησης	39.93
------------------	-------

Αποτελέσματα:
EL0421FR001026

Παροχή αιχμής (M3/S)	89.92
Χρονική στιγμή αιχμής	02Sep2000, 00:45
Όγκος (MM)	196.66
Όγκος βροχόπτωσης (M3)	3.06E6
Όγκος απωλειών (M3)	5.69E5
Ενεργός Όγκος (M3)	2.49E6
Όγκος άμεσης απορροής (M3)	2.49E6
Όγκος βασικής απορροής (M3)	4.45E5

Βροχόπτωση και Απορροή



Υπολεκάνη: EL0421FR001027

Έκταση (KM2) : 17.74

Κατάντη : J22

Μέθοδος Απωλειών: SCS

Ποσοστό αδιαπέρατης επιφάνειας	0
Αριθμός Καμπύλης Απορροής-CN	90.89
Αρχικές Απώλειες	5.09

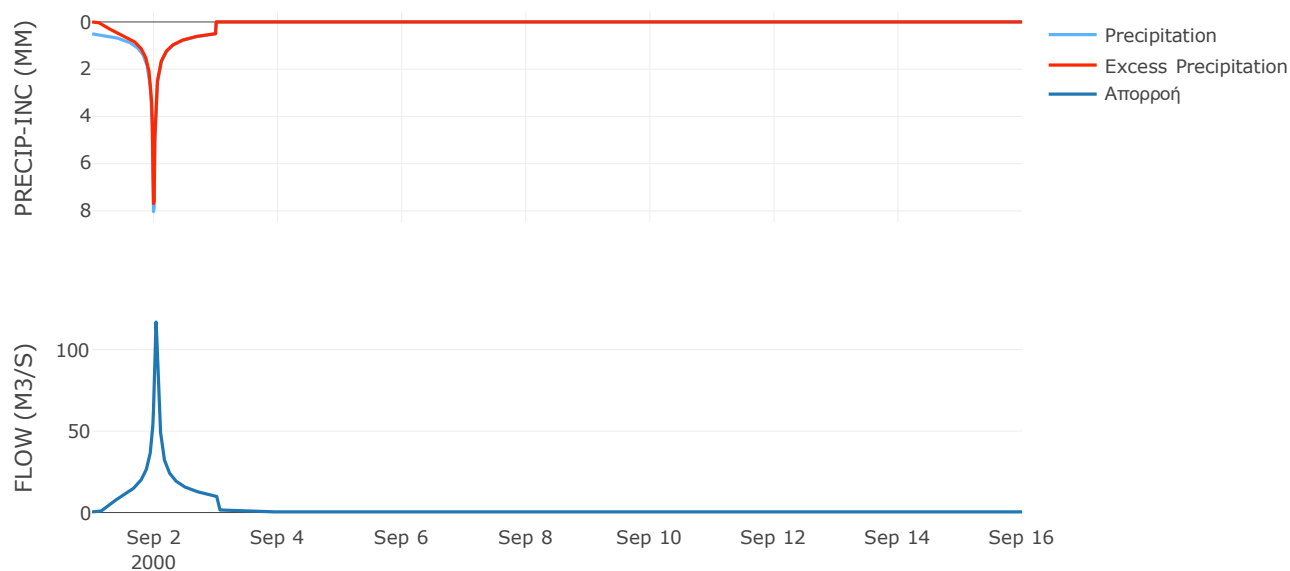
Μέθοδος
Μετασχηματισμού: SCS

Χρόνος Υστέρησης	39.75
------------------	-------

Αποτελέσματα:
EL0421FR001027

Παροχή αιχμής (M3/S)	116.94
Χρονική στιγμή αιχμής	02Sep2000, 00:45
Όγκος (MM)	213.48
Όγκος βροχόπτωσης (M3)	3.75E6
Όγκος απωλειών (M3)	4.92E5
Ενεργός Όγκος (M3)	3.26E6
Όγκος άμεσης απορροής (M3)	3.26E6
Όγκος βασικής απορροής (M3)	5.29E5

Βροχόπτωση και Απορροή



Υπολεκάνη: EL0421FR001028

Έκταση (KM2) : 35.53

Κατάντη : J22

Μέθοδος Απωλειών: SCS

Ποσοστό αδιαπέρατης επιφάνειας	0
Αριθμός Καμπύλης Απορροής-CN	90.51
Αρχικές Απώλειες	5.33

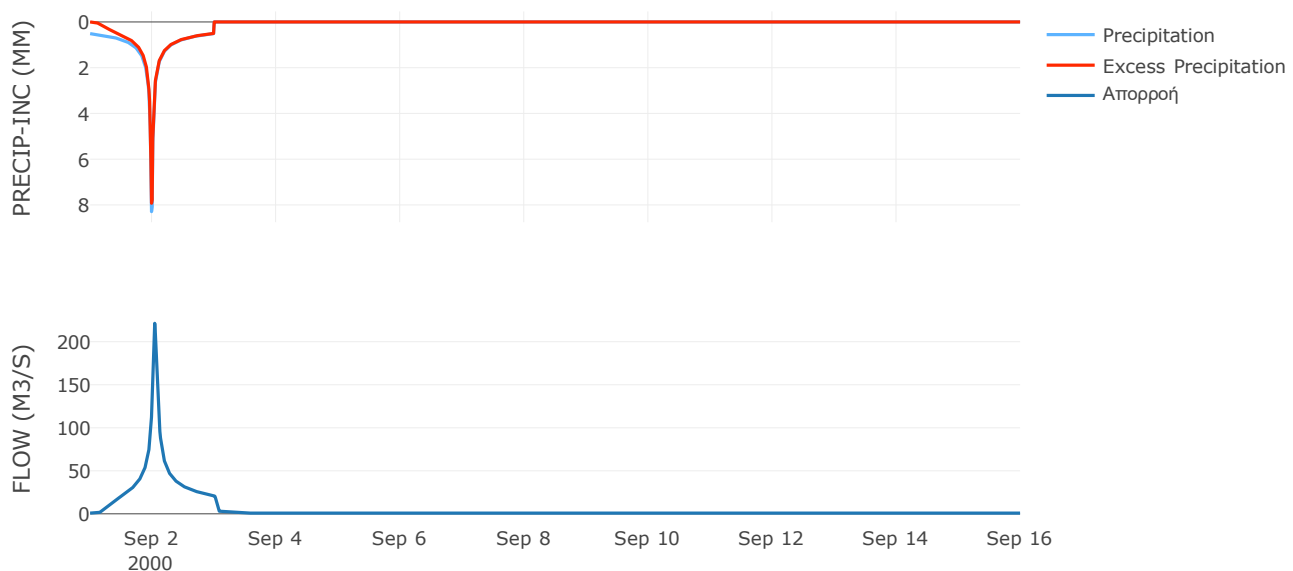
Μέθοδος
Μετασχηματισμού: SCS

Χρόνος Υστέρησης	53.46
------------------	-------

Αποτελέσματα:
EL0421FR001028

Παροχή αιχμής (M3/S)	221.4
Χρονική στιγμή αιχμής	02Sep2000, 01:00
Όγκος (MM)	216.47
Όγκος βροχόπτωσης (M3)	7.66E6
Όγκος απωλειών (M3)	1.03E6
Ενεργός Όγκος (M3)	6.63E6
Όγκος άμεσης απορροής (M3)	6.63E6
Όγκος βασικής απορροής (M3)	1.06E6

Βροχόπτωση και Απορροή



Υπολεκάνη: EL0421FR001029

Έκταση (KM2) : 42.48

Κατάντη : J6

Μέθοδος Απωλειών: SCS

Ποσοστό αδιαπέρατης επιφάνειας	0
Αριθμός Καμπύλης Απορροής-CN	43.62
Αρχικές Απώλειες	11.99

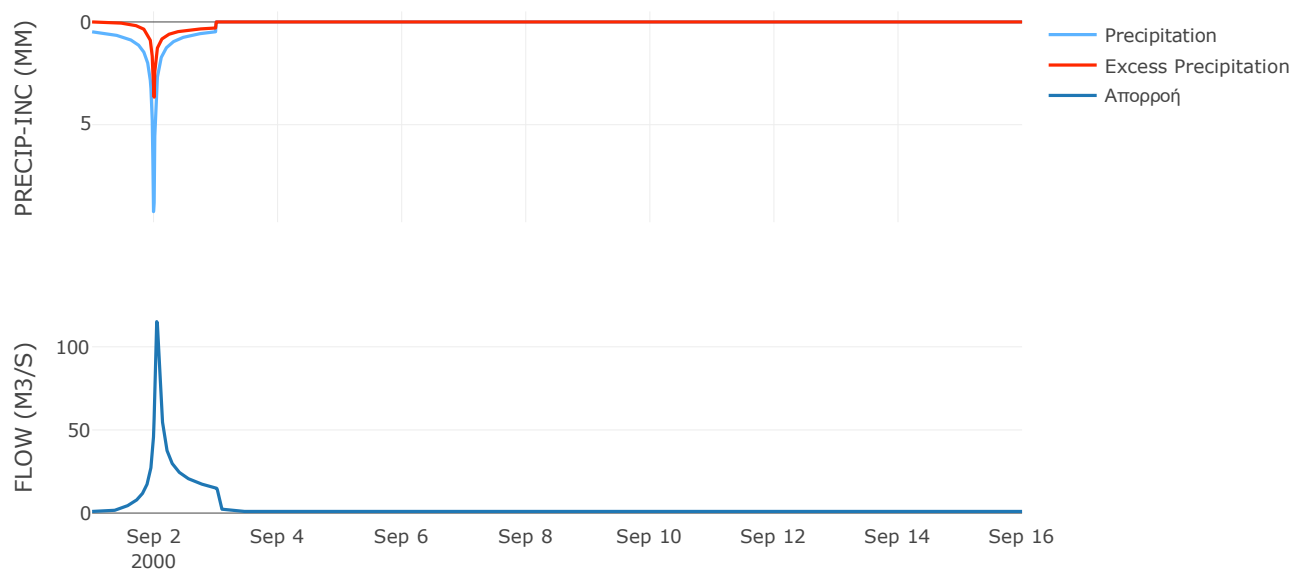
Μέθοδος
Μετασχηματισμού: SCS

Χρόνος Υστέρησης	57.81
------------------	-------

Αποτελέσματα:
EL0421FR001029

Παροχή αιχμής (M3/S)	115.15
Χρονική στιγμή αιχμής	02Sep2000, 01:00
Όγκος (MM)	106.74
Όγκος βροχόπτωσης (M3)	9.09E6
Όγκος απωλειών (M3)	5.82E6
Ενεργός Όγκος (M3)	3.27E6
Όγκος άμεσης απορροής (M3)	3.27E6
Όγκος βασικής απορροής (M3)	1.27E6

Βροχόπτωση και Απορροή



Υπολεκάνη: EL0421FR001030

Έκταση (KM2) : 20.53

Κατάντη : J5

Μέθοδος Απωλειών: SCS

Ποσοστό αδιαπέρατης επιφάνειας	0
Αριθμός Καμπύλης Απορροής-CN	36.3
Αρχικές Απώλειες	89.14

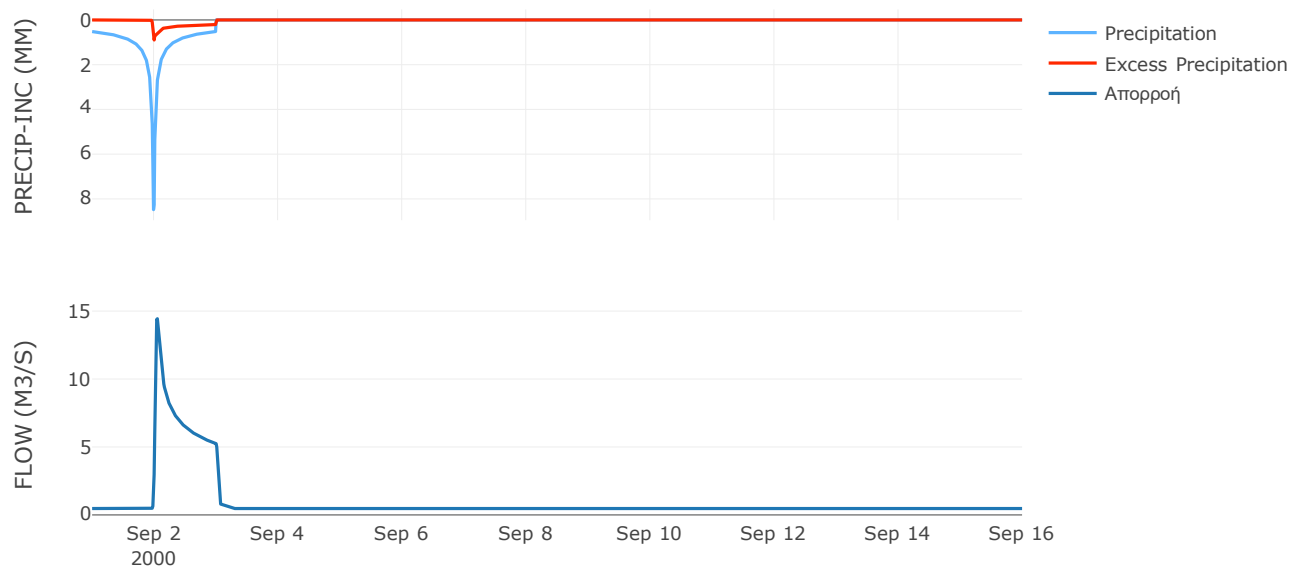
Μέθοδος
Μετασχηματισμού: SCS

Χρόνος Υστέρησης	39.95
------------------	-------

Αποτελέσματα:
EL0421FR001030

Παροχή αιχμής (M3/S)	14.44
Χρονική στιγμή αιχμής	02Sep2000, 01:15
Όγκος (MM)	59.23
Όγκος βροχόπτωσης (M3)	4.5E6
Όγκος απωλειών (M3)	3.9E6
Ενεργός Όγκος (M3)	6.04E5
Όγκος άμεσης απορροής (M3)	6.04E5
Όγκος βασικής απορροής (M3)	6.12E5

Βροχόπτωση και Απορροή



Υπολεκάνη: EL0421FR001031

Έκταση (KM2) : 24.21

Κατάντη : J4

Μέθοδος Απωλειών: SCS

Ποσοστό αδιαπέρατης επιφάνειας	0
Αριθμός Καμπύλης Απορροής-CN	72.66
Αρχικές Απώλειες	19.12

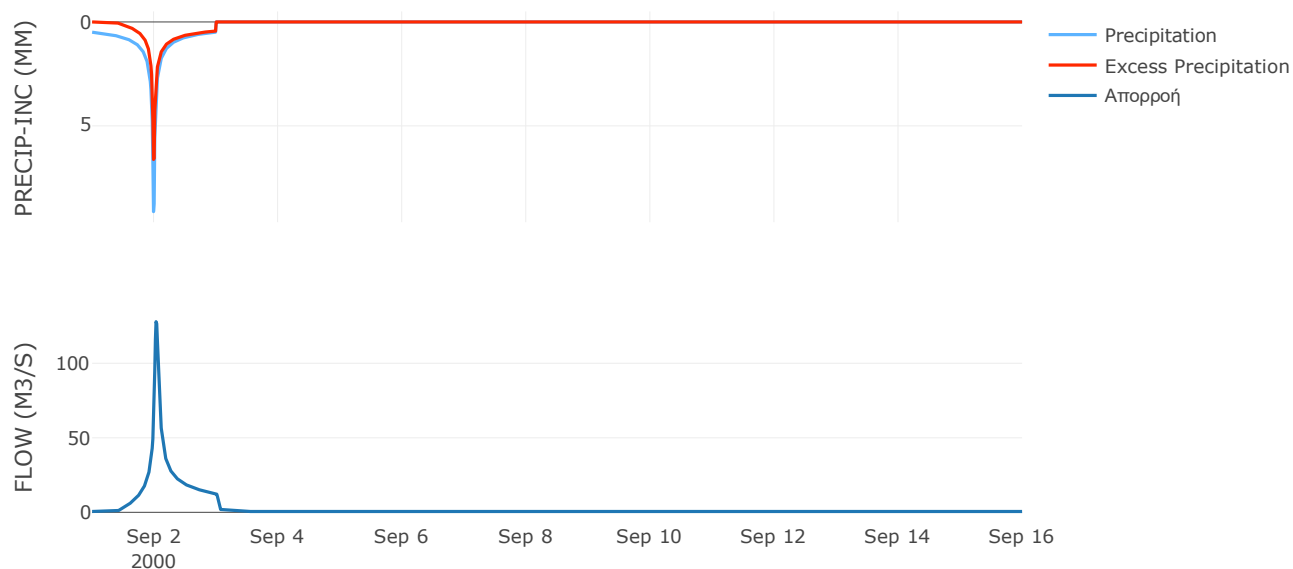
Μέθοδος
Μετασχηματισμού: SCS

Χρόνος Υστέρησης	46.79
------------------	-------

Αποτελέσματα:
EL0421FR001031

Παροχή αιχμής (M3/S)	127.91
Χρονική στιγμή αιχμής	02Sep2000, 00:45
Όγκος (MM)	163.2
Όγκος βροχόπτωσης (M3)	5.25E6
Όγκος απωλειών (M3)	2.02E6
Ενεργός Όγκος (M3)	3.23E6
Όγκος άμεσης απορροής (M3)	3.23E6
Όγκος βασικής απορροής (M3)	7.22E5

Βροχόπτωση και Απορροή



Υπολεκάνη: EL0421FR001032

Έκταση (KM2) : 56.61

Κατάντη : J12

Μέθοδος Απωλειών: SCS

Ποσοστό αδιαπέρατης επιφάνειας	0.06
Αριθμός Καμπύλης Απορροής-CN	76.06
Αρχικές Απώλειες	15.99

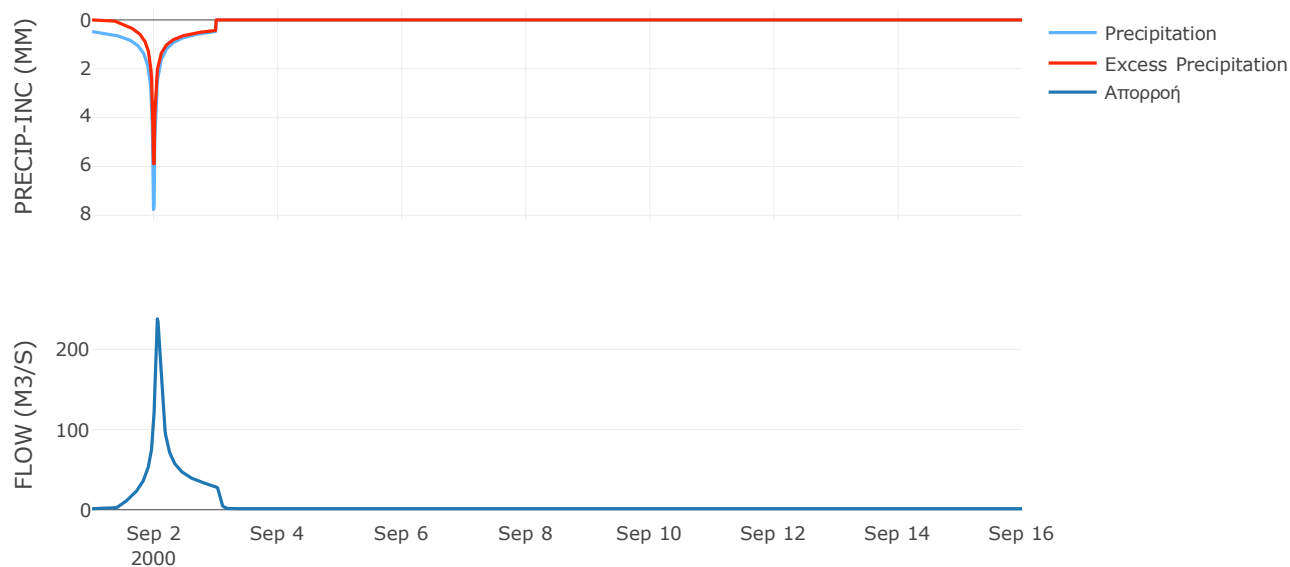
Μέθοδος
Μετασχηματισμού: SCS

Χρόνος Υστέρησης	72.09
------------------	-------

Αποτελέσματα:
EL0421FR001032

Παροχή αιχμής (M3/S)	237.99
Χρονική στιγμή αιχμής	02Sep2000, 01:15
Όγκος (MM)	159.25
Όγκος βροχόπτωσης (M3)	1.14E7
Όγκος απωλειών (M3)	4.06E6
Ενεργός Όγκος (M3)	7.33E6
Όγκος άμεσης απορροής (M3)	7.33E6
Όγκος βασικής απορροής (M3)	1.69E6

Βροχόπτωση και Απορροή



Υπολεκάνη: EL0421FR001033

Έκταση (KM2) : 28.55

Κατάντη : J21

Μέθοδος Απωλειών: SCS

Ποσοστό αδιαπέρατης επιφάνειας	0
Αριθμός Καμπύλης Απορροής-CN	82.7
Αρχικές Απώλειες	10.63

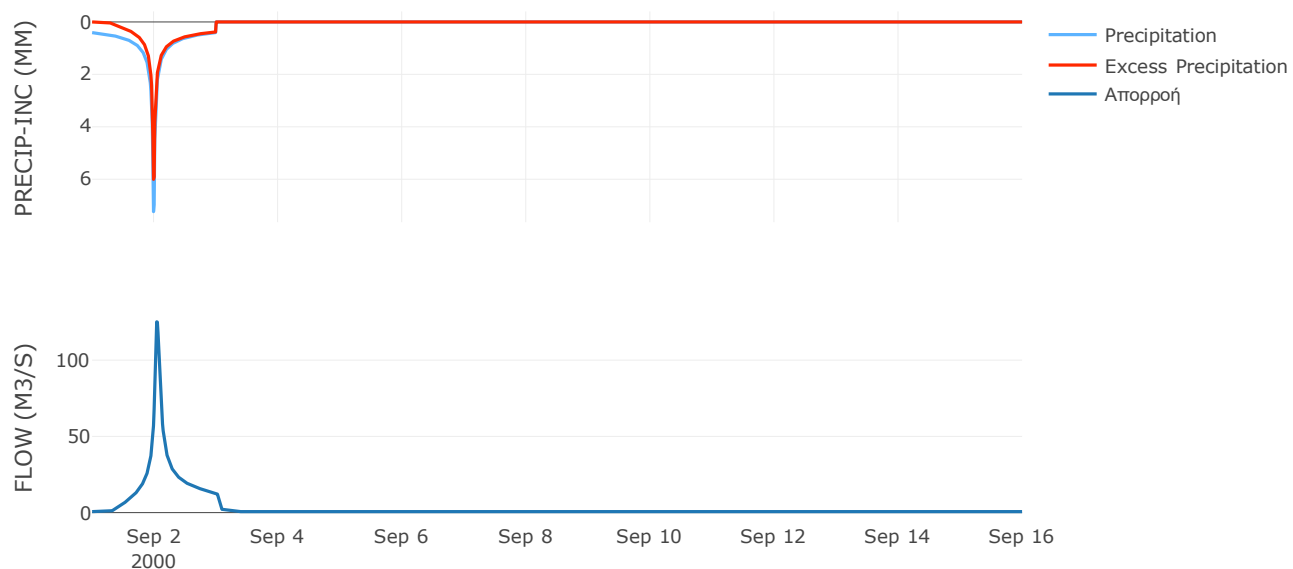
Μέθοδος
Μετασχηματισμού: SCS

Χρόνος Υστέρησης	63.08
------------------	-------

Αποτελέσματα:
EL0421FR001033

Παροχή αιχμής (M3/S)	125.14
Χρονική στιγμή αιχμής	02Sep2000, 01:00
Όγκος (MM)	155.77
Όγκος βροχόπτωσης (M3)	5.05E6
Όγκος απωλειών (M3)	1.45E6
Ενεργός Όγκος (M3)	3.6E6
Όγκος άμεσης απορροής (M3)	3.6E6
Όγκος βασικής απορροής (M3)	8.51E5

Βροχόπτωση και Απορροή



Υπολεκάνη: EL0421FR001034

Έκταση (KM2) : 57.33

Κατάντη : J21

Μέθοδος Απωλειών: SCS

Ποσοστό αδιαπέρατης επιφάνειας	0
Αριθμός Καμπύλης Απορροής-CN	80.12
Αρχικές Απώλειες	12.61

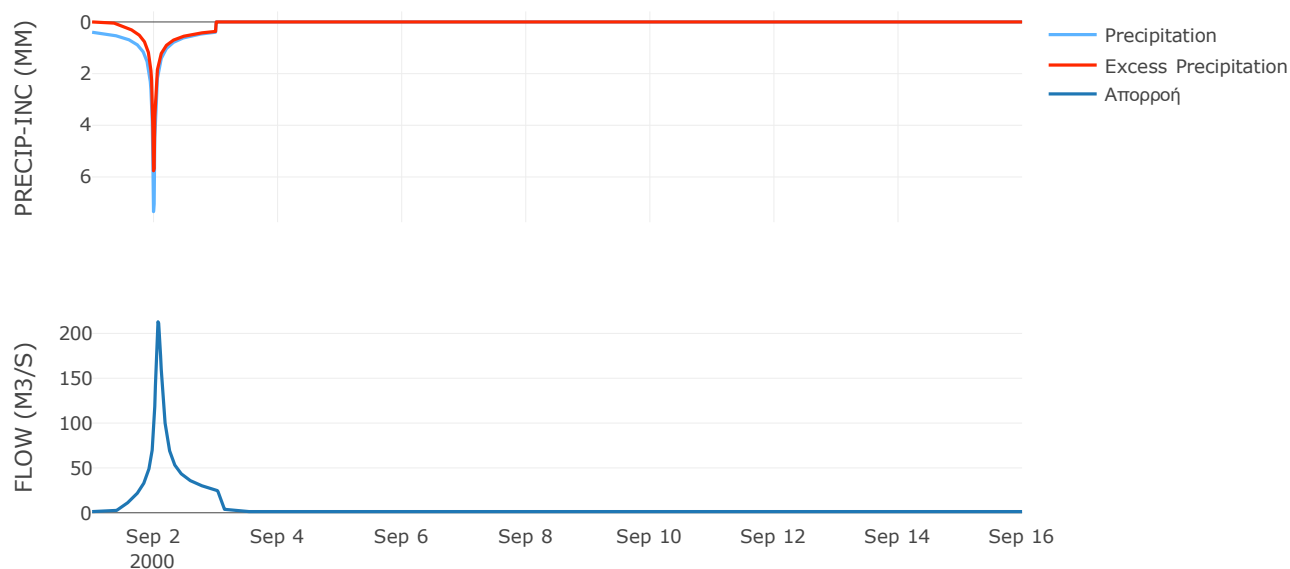
Μέθοδος
Μετασχηματισμού: SCS

Χρόνος Υστέρησης	87.83
------------------	-------

Αποτελέσματα:
EL0421FR001034

Παροχή αιχμής (M3/S)	212.99
Χρονική στιγμή αιχμής	02Sep2000, 01:30
Όγκος (MM)	146.93
Όγκος βροχόπτωσης (M3)	1E7
Όγκος απωλειών (M3)	3.33E6
Ενεργός Όγκος (M3)	6.71E6
Όγκος άμεσης απορροής (M3)	6.71E6
Όγκος βασικής απορροής (M3)	1.71E6

Βροχόπτωση και Απορροή



Υπολεκάνη: EL0421FR001035

Έκταση (KM2) : 27.47

Κατάντη : J9

Μέθοδος Απωλειών: SCS

Ποσοστό αδιαπέρατης επιφάνειας	0
Αριθμός Καμπύλης Απορροής-CN	90.47
Αρχικές Απώλειες	5.35

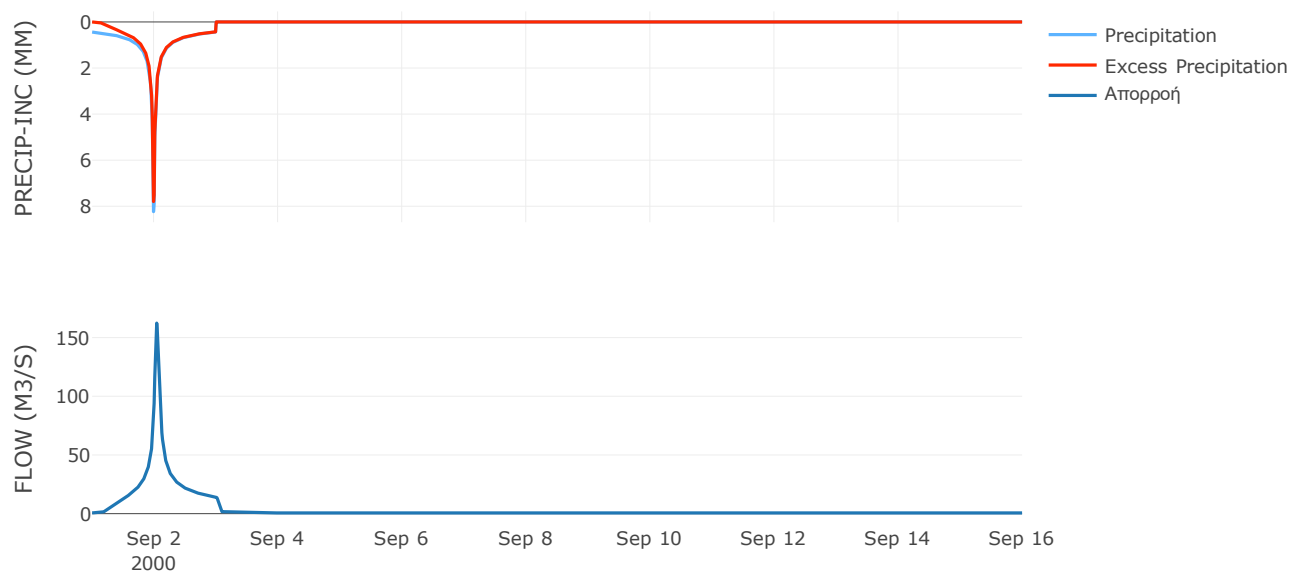
Μέθοδος
Μετασχηματισμού: SCS

Χρόνος Υστέρησης	55.23
------------------	-------

Αποτελέσματα:
EL0421FR001035

Παροχή αιχμής (M3/S)	162.33
Χρονική στιγμή αιχμής	02Sep2000, 01:00
Όγκος (MM)	194.92
Όγκος βροχόπτωσης (M3)	5.33E6
Όγκος απωλειών (M3)	7.9E5
Ενεργός Όγκος (M3)	4.54E6
Όγκος άμεσης απορροής (M3)	4.54E6
Όγκος βασικής απορροής (M3)	8.19E5

Βροχόπτωση και Απορροή



Υπολεκάνη: EL0421FR001036

Έκταση (KM2) : 22.53

Κατάντη : J23

Μέθοδος Απωλειών: SCS

Ποσοστό αδιαπέρατης επιφάνειας	0
Αριθμός Καμπύλης Απορροής-CN	83.83
Αρχικές Απώλειες	9.8

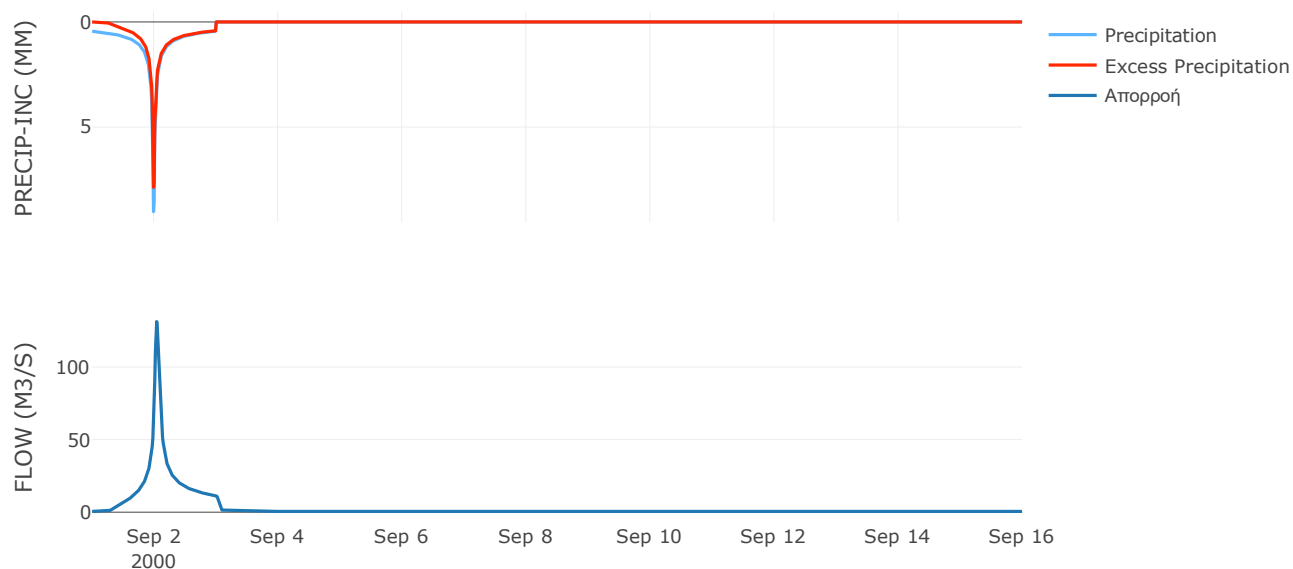
Μέθοδος
Μετασχηματισμού: SCS

Χρόνος Υστέρησης	56.44
------------------	-------

Αποτελέσματα:
EL0421FR001036

Παροχή αιχμής (M3/S)	131.3
Χρονική στιγμή αιχμής	02Sep2000, 01:00
Όγκος (MM)	181.64
Όγκος βροχόπτωσης (M3)	4.52E6
Όγκος απωλειών (M3)	1.1E6
Ενεργός Όγκος (M3)	3.42E6
Όγκος άμεσης απορροής (M3)	3.42E6
Όγκος βασικής απορροής (M3)	6.71E5

Βροχόπτωση και Απορροή



Υπολεκάνη: EL0421FR001037

Έκταση (KM2) : 26.53

Κατάντη : J2

Μέθοδος Απωλειών: SCS

Ποσοστό αδιαπέρατης επιφάνειας	0
Αριθμός Καμπύλης Απορροής-CN	40.75
Αρχικές Απώλειες	13.49

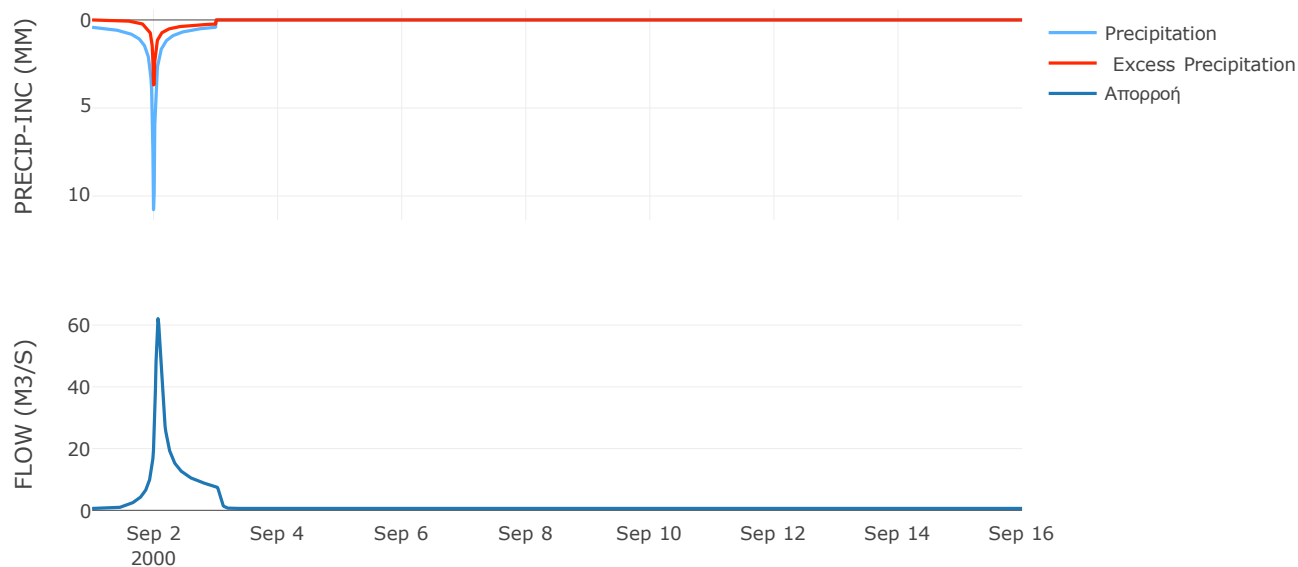
Μέθοδος
Μετασχηματισμού: SCS

Χρόνος Υστέρησης	78.49
------------------	-------

Αποτελέσματα:
EL0421FR001037

Παροχή αιχμής (M3/S)	62.1
Χρονική στιγμή αιχμής	02Sep2000, 01:30
Όγκος (MM)	95.41
Όγκος βροχόπτωσης (M3)	5.45E6
Όγκος απωλειών (M3)	3.71E6
Ενεργός Όγκος (M3)	1.74E6
Όγκος άμεσης απορροής (M3)	1.74E6
Όγκος βασικής απορροής (M3)	7.91E5

Βροχόπτωση και Απορροή



Υπολεκάνη: EL0421FR001038

Έκταση (KM2) : 16.84

Κατάντη : J18

Μέθοδος Απωλειών: SCS

Ποσοστό αδιαπέρατης επιφάνειας	0
Αριθμός Καμπύλης Απορροής-CN	90.22
Αρχικές Απώλειες	5.51

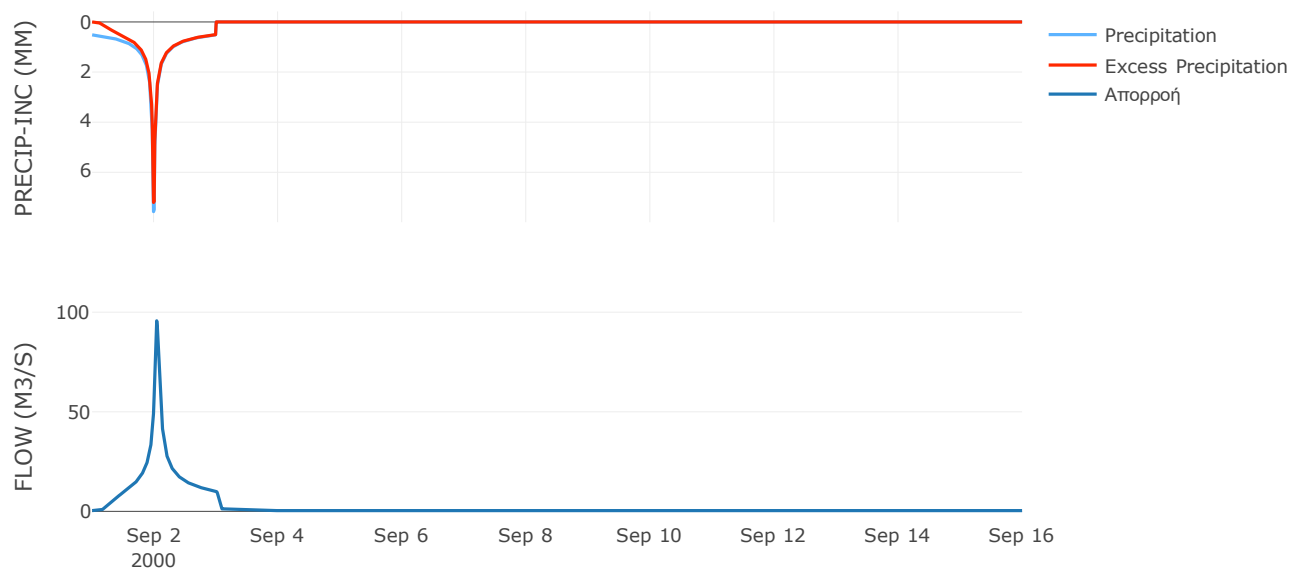
Μέθοδος
Μετασχηματισμού: SCS

Χρόνος Υστέρησης	57.32
------------------	-------

Αποτελέσματα:
EL0421FR001038

Παροχή αιχμής (M3/S)	95.68
Χρονική στιγμή αιχμής	02Sep2000, 01:00
Όγκος (MM)	210.84
Όγκος βροχόπτωσης (M3)	3.55E6
Όγκος απωλειών (M3)	5.01E5
Ενεργός Όγκος (M3)	3.05E6
Όγκος άμεσης απορροής (M3)	3.05E6
Όγκος βασικής απορροής (M3)	5.02E5

Βροχόπτωση και Απορροή



Υπολεκάνη: EL0421FR001039

Έκταση (KM2) : 11.68

Κατάντη : J8

Μέθοδος Απωλειών: SCS

Ποσοστό αδιαπέρατης επιφάνειας	0
Αριθμός Καμπύλης Απορροής-CN	62.62
Αρχικές Απώλειες	30.33

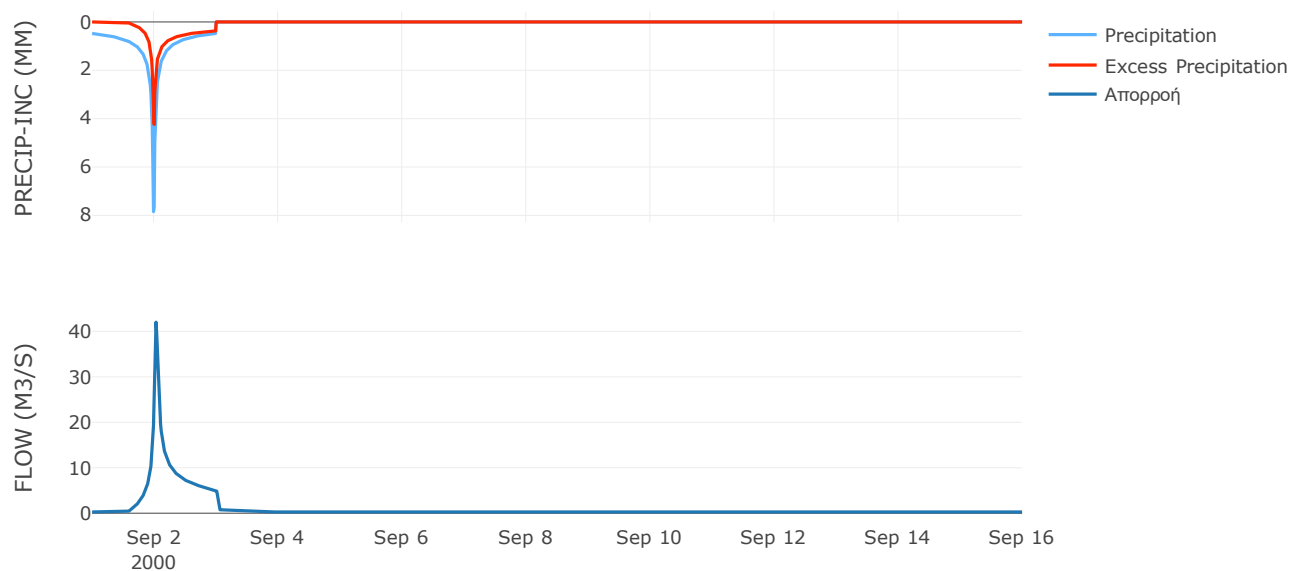
Μέθοδος
Μετασχηματισμού: SCS

Χρόνος Υστέρησης	37.9
------------------	------

Αποτελέσματα:
EL0421FR001039

Παροχή αιχμής (M3/S)	42.03
Χρονική στιγμή αιχμής	02Sep2000, 00:45
Όγκος (MM)	120.62
Όγκος βροχόπτωσης (M3)	2.35E6
Όγκος απωλειών (M3)	1.29E6
Ενεργός Όγκος (M3)	1.06E6
Όγκος άμεσης απορροής (M3)	1.06E6
Όγκος βασικής απορροής (M3)	3.48E5

Βροχόπτωση και Απορροή



Υπολεκάνη: EL0421FR001040

Έκταση (KM2) : 8.83

Κατάντη : J7

Μέθοδος Απωλειών: SCS

Ποσοστό αδιαπέρατης επιφάνειας	0
Αριθμός Καμπύλης Απορροής-CN	64.13
Αρχικές Απώλειες	28.41

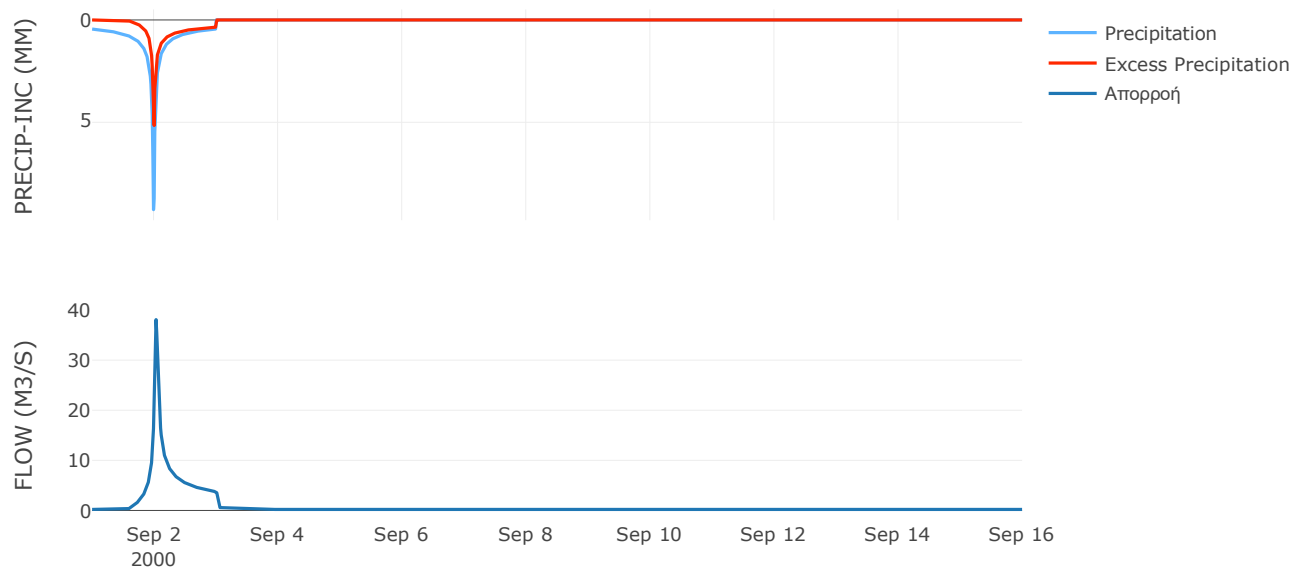
Μέθοδος
Μετασχηματισμού: SCS

Χρόνος Υστέρησης	38.46
------------------	-------

Αποτελέσματα:
EL0421FR001040

Παροχή αιχμής (M3/S)	38.08
Χρονική στιγμή αιχμής	02Sep2000, 00:45
Όγκος (MM)	126.66
Όγκος βροχόπτωσης (M3)	1.8E6
Όγκος απωλειών (M3)	9.44E5
Ενεργός Όγκος (M3)	8.55E5
Όγκος άμεσης απορροής (M3)	8.55E5
Όγκος βασικής απορροής (M3)	2.63E5

Βροχόπτωση και Απορροή



Υπολεκάνη: EL0421FR001041

Έκταση (KM2) : 11.46

Κατάντη : J11

Μέθοδος Απωλειών: SCS

Ποσοστό αδιαπέρατης επιφάνειας	0.2
Αριθμός Καμπύλης Απορροής-CN	62.87
Αρχικές Απώλειες	30

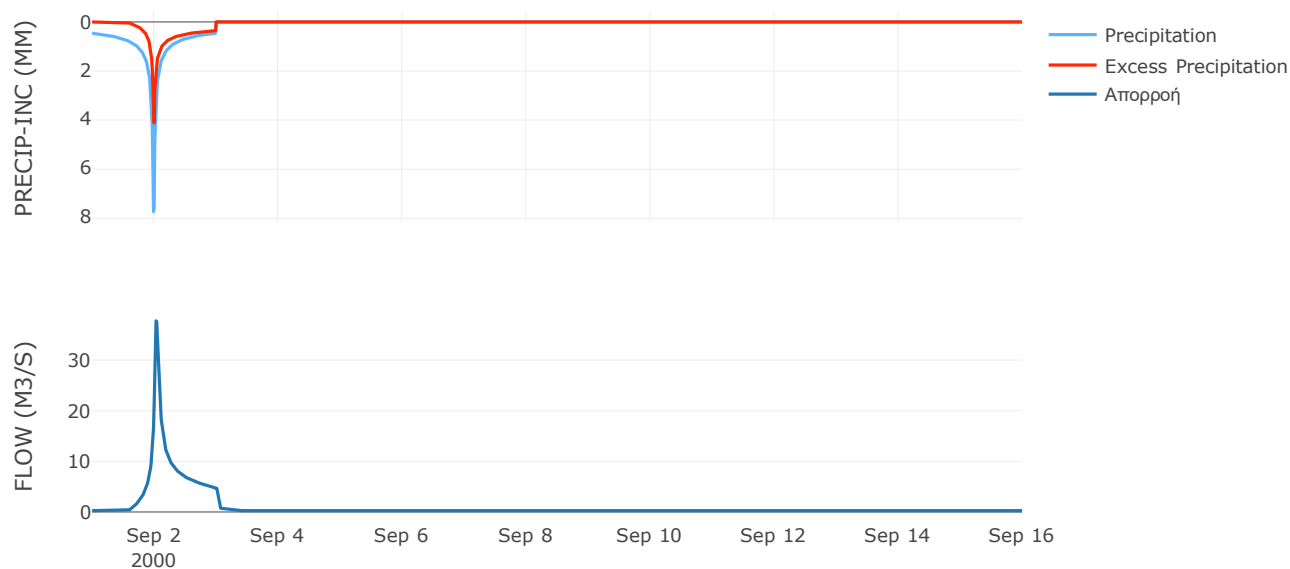
Μέθοδος
Μετασχηματισμού: SCS

Χρόνος Υστέρησης	45.38
------------------	-------

Αποτελέσματα:
EL0421FR001041

Παροχή αιχμής (M3/S)	37.76
Χρονική στιγμή αιχμής	02Sep2000, 00:45
Όγκος (MM)	117.09
Όγκος βροχόπτωσης (M3)	2.24E6
Όγκος απωλειών (M3)	1.24E6
Ενεργός Όγκος (M3)	1E6
Όγκος άμεσης απορροής (M3)	1E6
Όγκος βασικής απορροής (M3)	3.42E5

Βροχόπτωση και Απορροή



4.2 Δεδομένα και Υδρογραφήματα Σχεδιασμού Κλάδων Υδρογραφικού Δικτύου

Κλάδος: R21

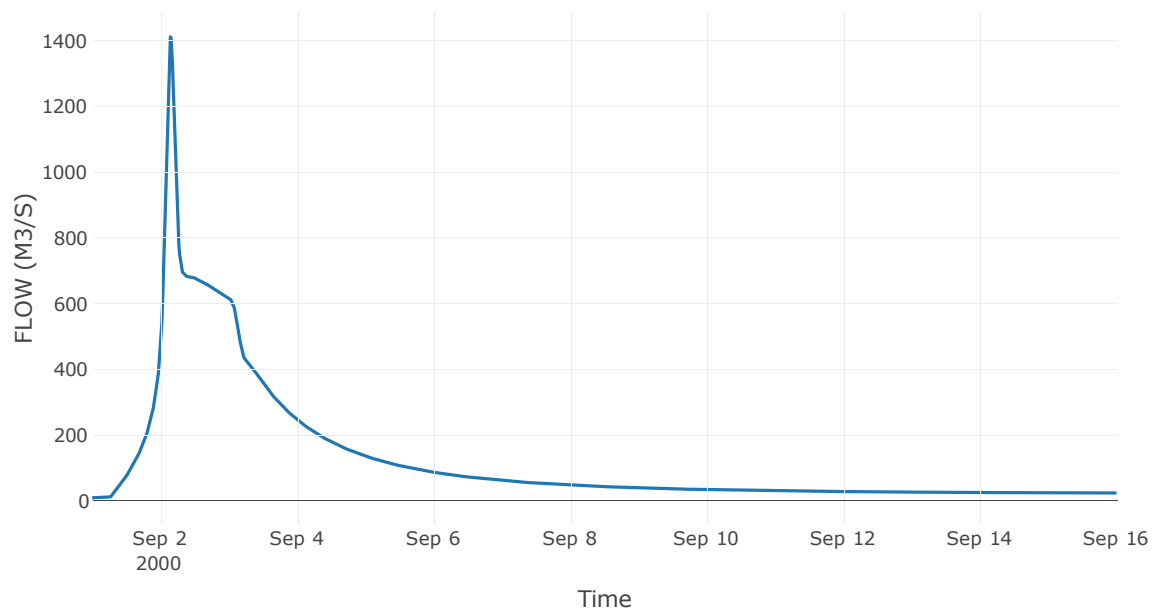
Κατάντη : J1

Μέθοδος διόδευσης	Muskingum
Αρχική Μεταβλητή	Combined Inflow
Χρόνος ροής K	0.74
Συντελεστής βάρους x	0.2
Πλήθος Υποκλάδων	3

Αποτελέσματα: R21

Παροχή Αιχμής(M3/S)	1411.25
Χρονική στιγμή αιχμής	02Sep2000, 03:30
Όγκος (MM)	176
Παροχή Αιχμής Εισόδου (M3/S)	1431.51
Όγκος Εισόδου(M3)	1.65E8

Απορροή



Κλάδος: R32

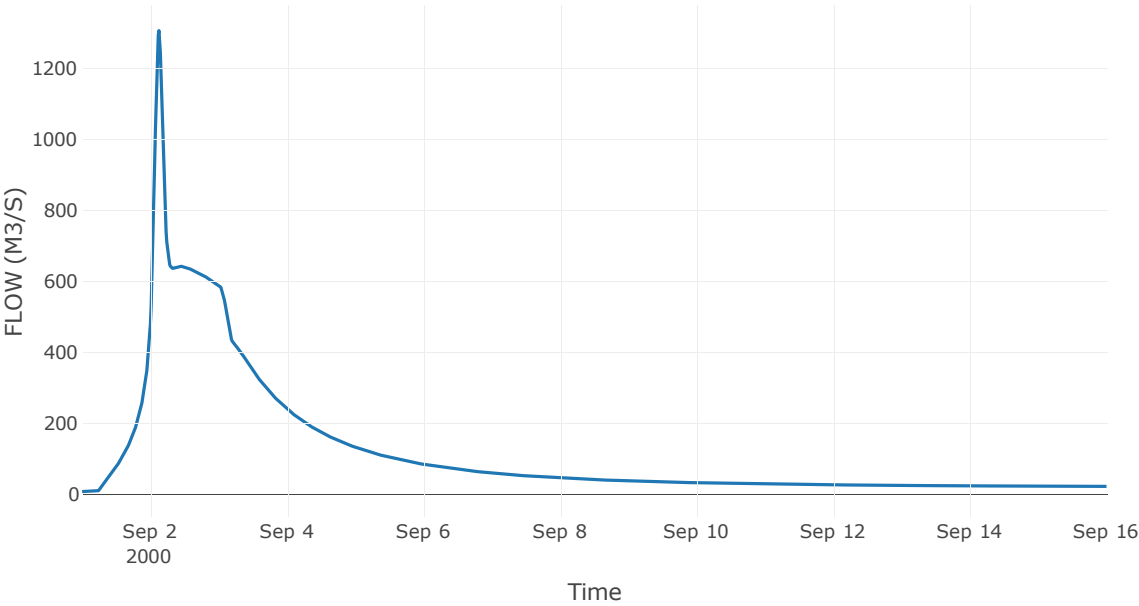
Κατάντη : J2

Μέθοδος διόδευσης	Muskingum
Αρχική Μεταβλητή	Combined Inflow
Χρόνος ροής K	0.21
Συντελεστής βάρους x	0.2
Πλήθος Υποκλάδων	1

Αποτελέσματα: R32

Παροχή Αιχμής(M3/S)	1306.6
Χρονική στιγμή αιχμής	02Sep2000, 03:00
Όγκος (MM)	178.49
Παροχή Αιχμής Εισόδου (M3/S)	1313.1
Όγκος Εισόδου(M3)	1.57E8

Απορροή



Κλάδος: R43

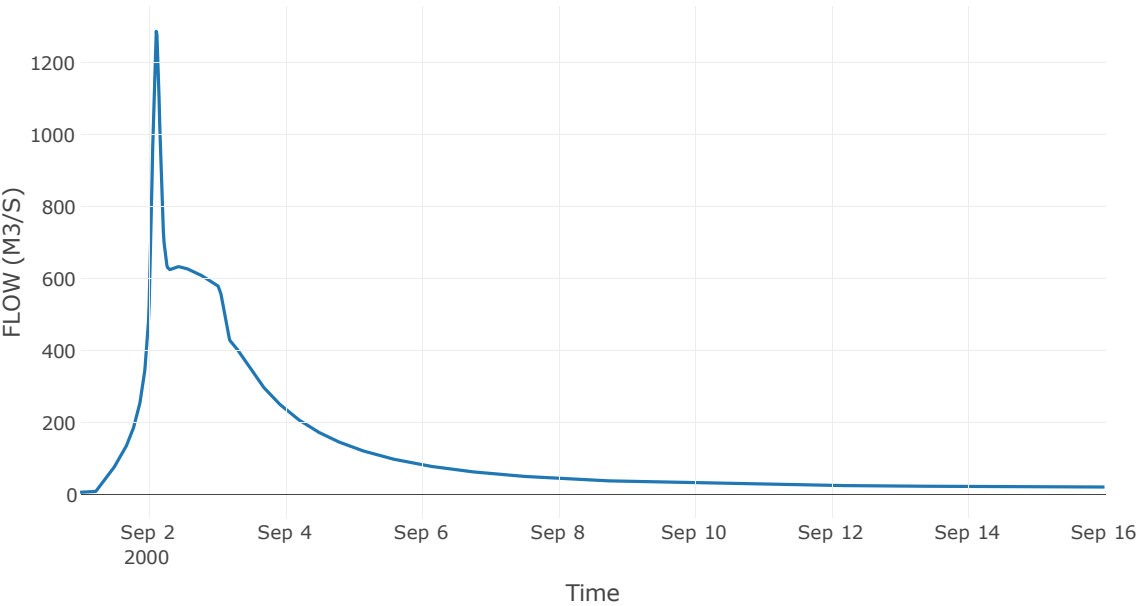
Κατάντη : J3

Μέθοδος διόδευσης	Muskingum
Αρχική Μεταβλητή	Combined Inflow
Χρόνος ροής K	0.45
Συντελεστής βάρους x	0.2
Πλήθος Υποκλάδων	2

Αποτελέσματα: R43

Παροχή Αιχμής(M3/S)	1287.57
Χρονική στιγμή αιχμής	02Sep2000, 02:45
Όγκος (MM)	178.51
Παροχή Αιχμής Εισόδου (M3/S)	1302.62
Όγκος Εισόδου(M3)	1.55E8

Απορροή



Κλάδος: R54

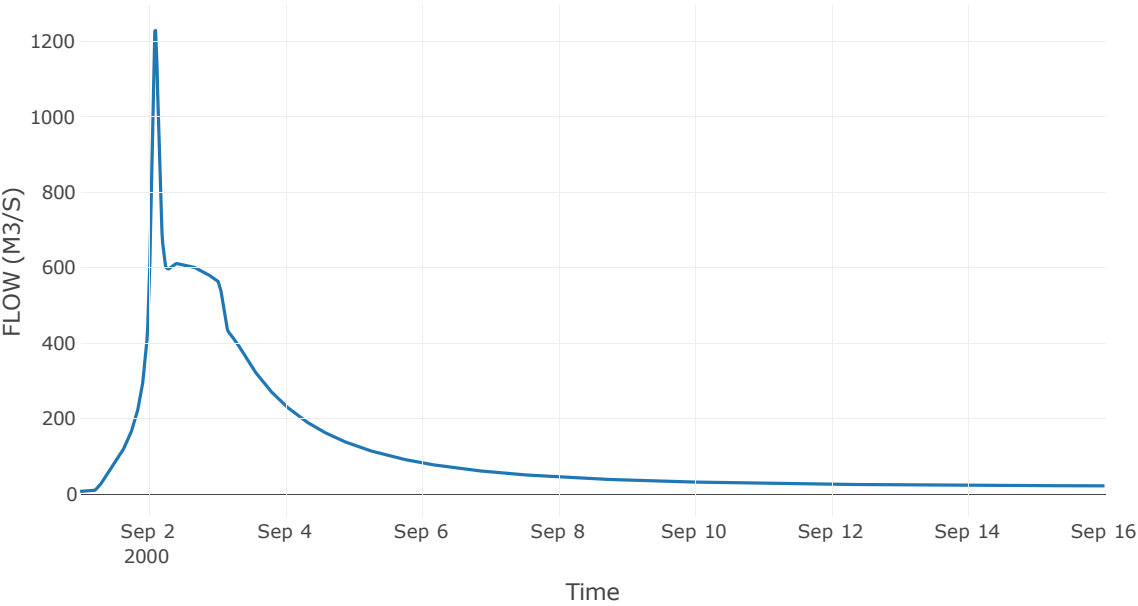
Κατάντη : J4

Μέθοδος διόδευσης	Muskingum
Αρχική Μεταβλητή	Combined Inflow
Χρόνος ροής K	0.18
Συντελεστής βάρους x	0.2
Πλήθος Υποκλάδων	1

Αποτελέσματα: R54

Παροχή Αιχμής(M3/S)	1228.04
Χρονική στιγμή αιχμής	02Sep2000, 02:30
Όγκος (MM)	178.92
Παροχή Αιχμής Εισόδου (M3/S)	1236.89
Όγκος Εισόδου(M3)	1.51E8

Απορροή



Κλάδος: R65

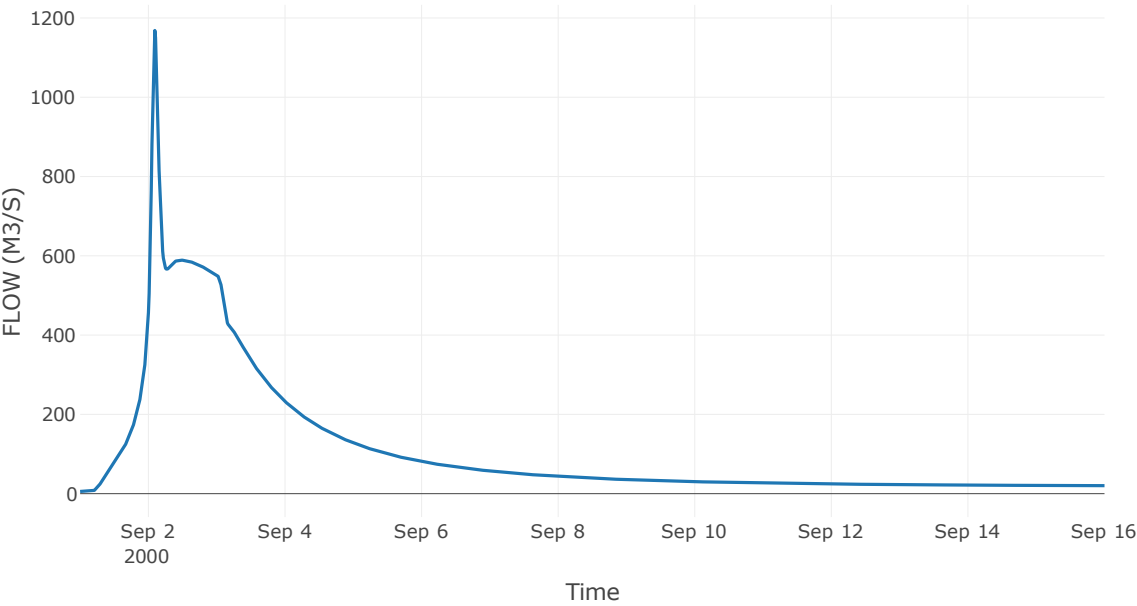
Κατάντη : J5

Μέθοδος διόδευσης	Muskingum
Αρχική Μεταβλητή	Combined Inflow
Χρόνος ροής K	0.51
Συντελεστής βάρους x	0.2
Πλήθος Υποκλάδων	2

Αποτελέσματα: R65

Παροχή Αιχμής(M3/S)	1168.39
Χρονική στιγμή αιχμής	02Sep2000, 02:15
Όγκος (MM)	182.1
Παροχή Αιχμής Εισόδου (M3/S)	1193.67
Όγκος Εισόδου(M3)	1.47E8

Απορροή



Κλάδος: R76

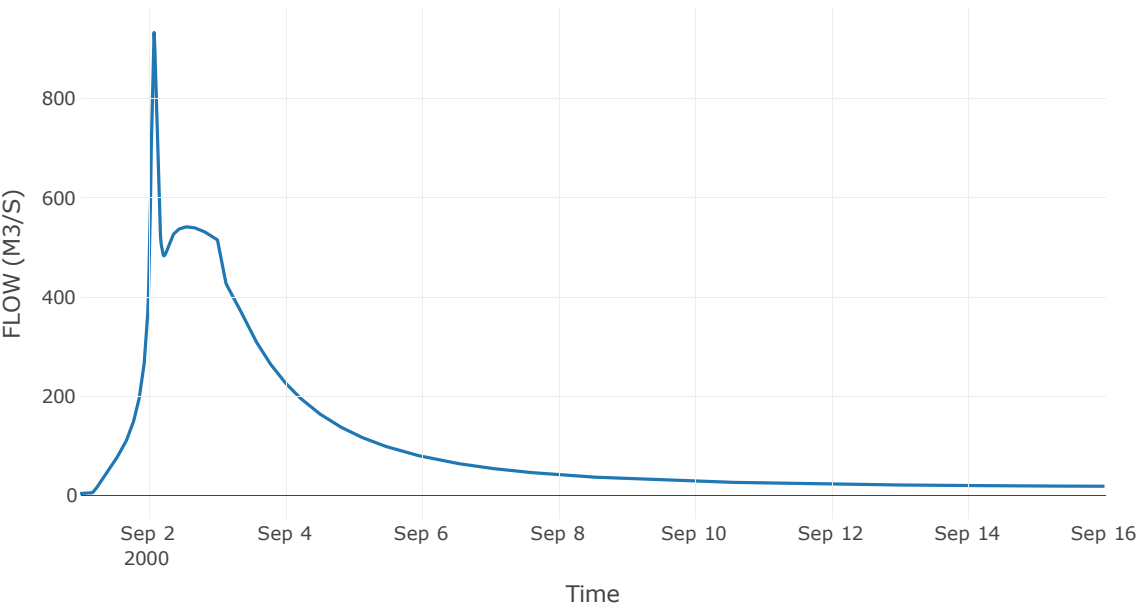
Κατάντη : J6

Μέθοδος διόδευσης	Muskingum
Αρχική Μεταβλητή	Combined Inflow
Χρόνος ροής K	0.61
Συντελεστής βάρους x	0.2
Πλήθος Υποκλάδων	2

Αποτελέσματα: R76

Παροχή Αιχμής(M3/S)	932.57
Χρονική στιγμή αιχμής	02Sep2000, 02:00
Όγκος (MM)	186.15
Παροχή Αιχμής Εισόδου (M3/S)	974.12
Όγκος Εισόδου(M3)	1.36E8

Απορροή



Κλάδος: R87

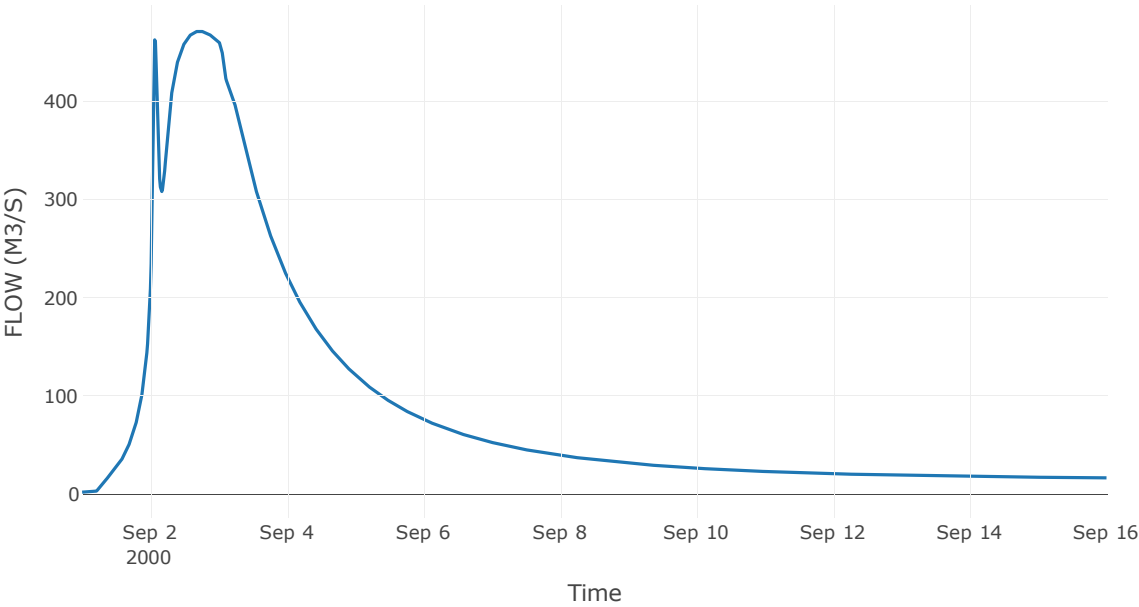
Κατάντη : J7

Μέθοδος διόδευσης	Χρόνος υστέρησης
Αρχική Μεταβλητή	Combined Inflow
Χρόνος υστέρησης	32.55

Αποτελέσματα: R87

Παροχή Αιχμής(M3/S)	471.29
Χρονική στιγμή αιχμής	02Sep2000, 17:15
Όγκος (MM)	183.9
Παροχή Αιχμής Εισόδου (M3/S)	471.29
Όγκος Εισόδου(M3)	1.16E8

Απορροή



Κλάδος: R98

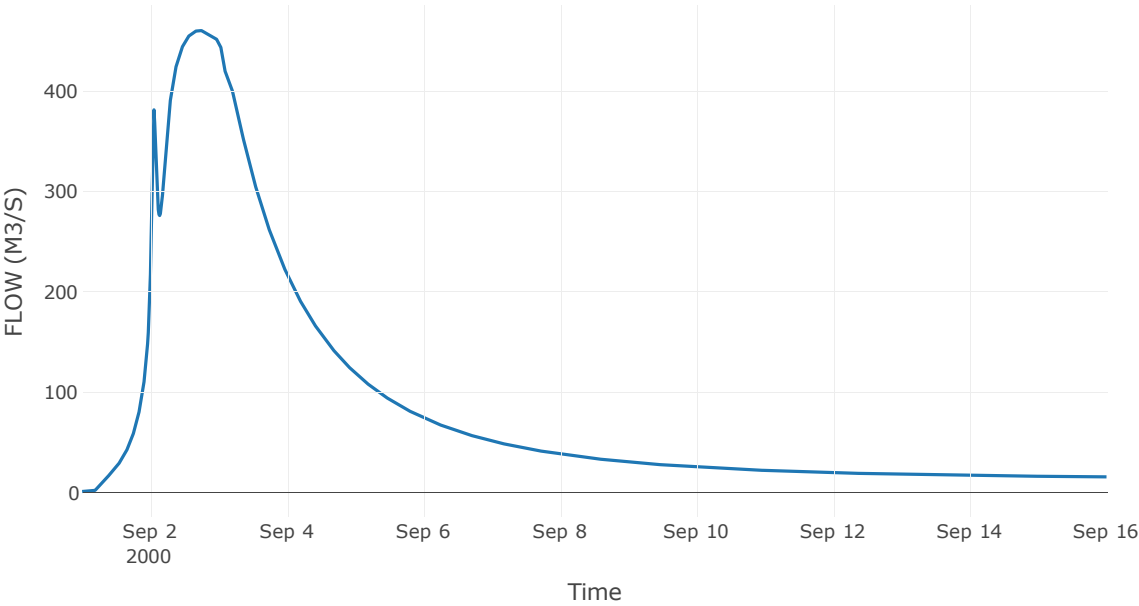
Κατάντη : J8

Μέθοδος διόδευσης	Muskingum
Αρχική Μεταβλητή	Combined Inflow
Χρόνος ροής K	0.3
Συντελεστής βάρους x	0.2
Πλήθος Υποκλάδων	1

Αποτελέσματα: R98

Παροχή Αιχμής(M3/S)	460.3
Χρονική στιγμή αιχμής	02Sep2000, 17:15
Όγκος (MM)	185.11
Παροχή Αιχμής Εισόδου (M3/S)	460.32
Όγκος Εισόδου(M3)	1.13E8

Απορροή



Κλάδος: R109

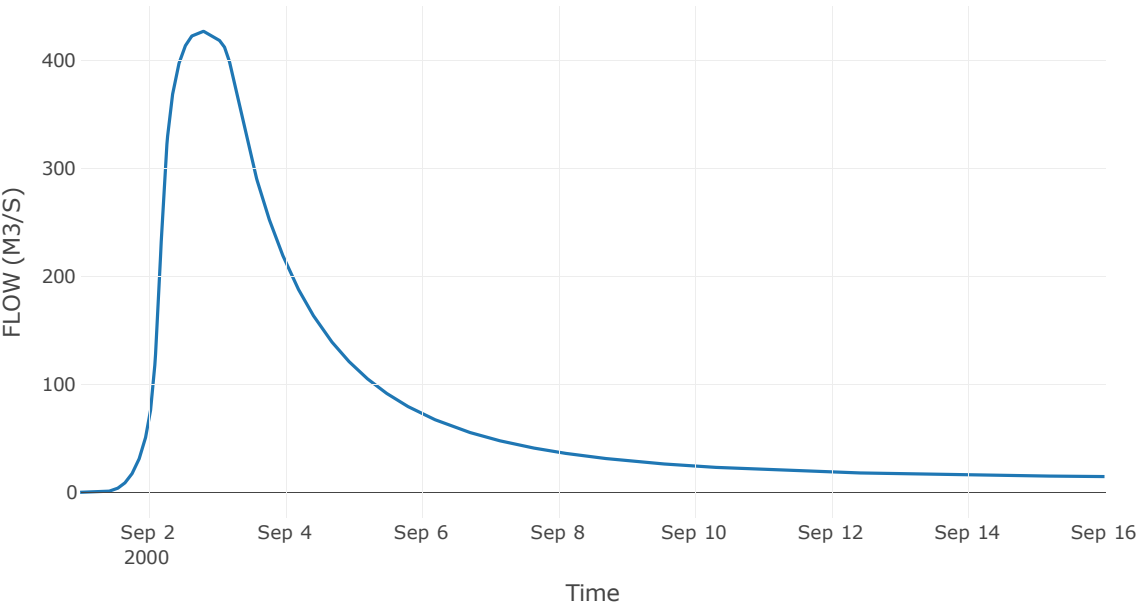
Κατάντη : J9

Μέθοδος διόδευσης	Χρόνος υστέρησης
Αρχική Μεταβλητή	Combined Inflow
Χρόνος υστέρησης	9.51

Αποτελέσματα: R109

Παροχή Αιχμής(M3/S)	427.14
Χρονική στιγμή αιχμής	02Sep2000, 18:45
Όγκος (MM)	184.1
Παροχή Αιχμής Εισόδου (M3/S)	427.14
Όγκος Εισόδου(M3)	1.03E8

Απορροή



Κλάδος: R1110

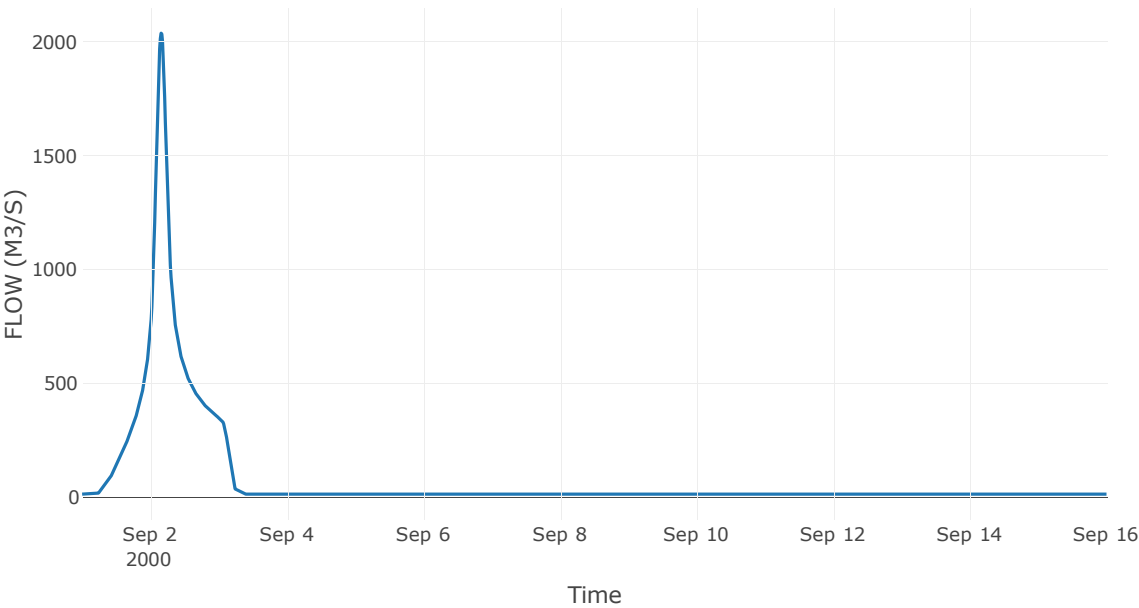
Κατάντη : J10 Res1

Μέθοδος διόδευσης	Muskingum
Αρχική Μεταβλητή	Combined Inflow
Χρόνος ροής K	0.63
Συντελεστής βάρους x	0.2
Πλήθος Υποκλάδων	3

Αποτελέσματα: R1110

Παροχή Αιχμής(M3/S)	2038.27
Χρονική στιγμή αιχμής	02Sep2000, 03:45
Όγκος (MM)	195.64
Παροχή Αιχμής Εισόδου (M3/S)	2057.22
Όγκος Εισόδου(M3)	1.04E8

Απορροή



Κλάδος: R1211

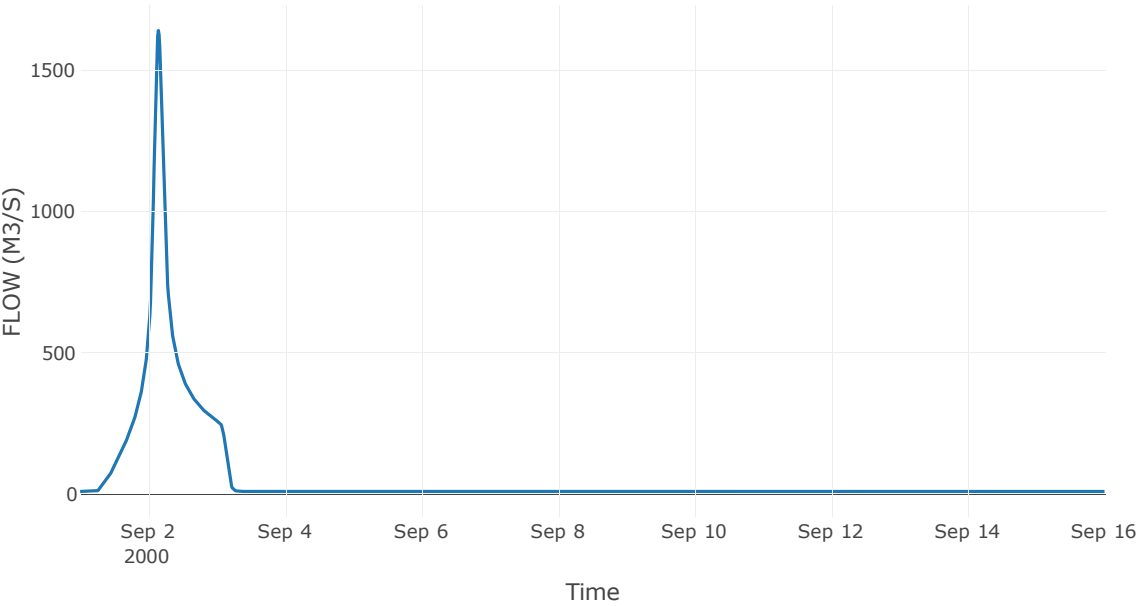
Κατάντη : J11

Μέθοδος διόδευσης	Muskingum
Αρχική Μεταβλητή	Combined Inflow
Χρόνος ροής K	1.15
Συντελεστής βάρους x	0.2
Πλήθος Υποκλάδων	5

Αποτελέσματα: R1211

Παροχή Αιχμής(M3/S)	1639.39
Χρονική στιγμή αιχμής	02Sep2000, 03:30
Όγκος (MM)	192.17
Παροχή Αιχμής Εισόδου (M3/S)	1683.04
Όγκος Εισόδου(M3)	7.71E7

Απορροή



Κλάδος: R1312

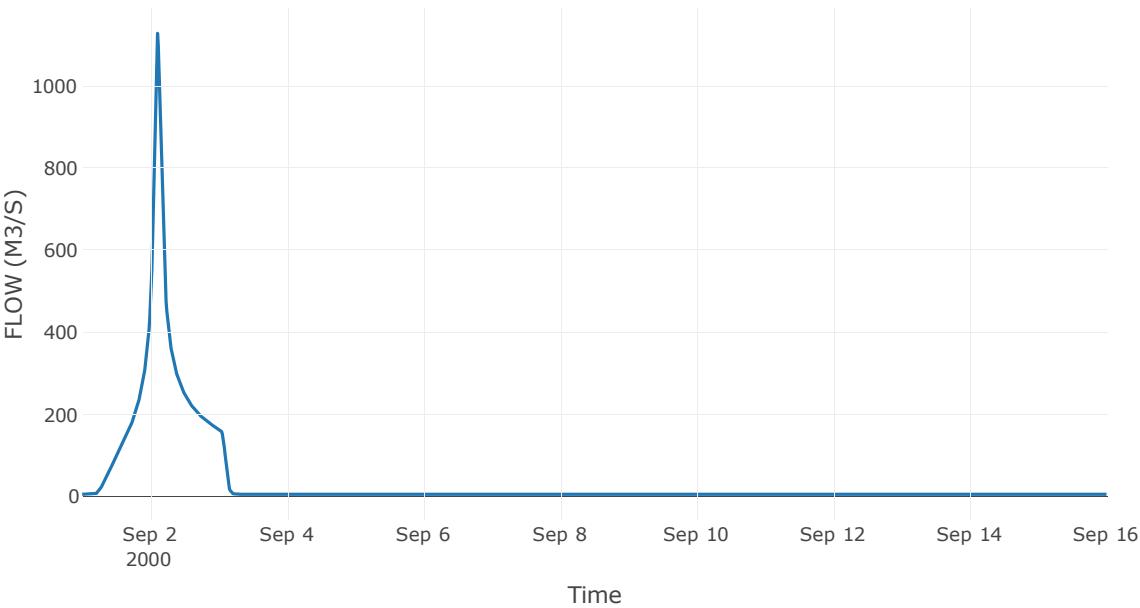
Κατάντη : J12

Μέθοδος διόδευσης	Muskingum
Αρχική Μεταβλητή	Combined Inflow
Χρόνος ροής K	0.73
Συντελεστής βάρους x	0.2
Πλήθος Υποκλάδων	3

Αποτελέσματα: R1312

Παροχή Αιχμής(M3/S)	1128.5
Χρονική στιγμή αιχμής	02Sep2000, 02:30
Όγκος (MM)	219.84
Παροχή Αιχμής Εισόδου (M3/S)	1161.41
Όγκος Εισόδου(M3)	4.95E7

Απορροή



Κλάδος: R1413

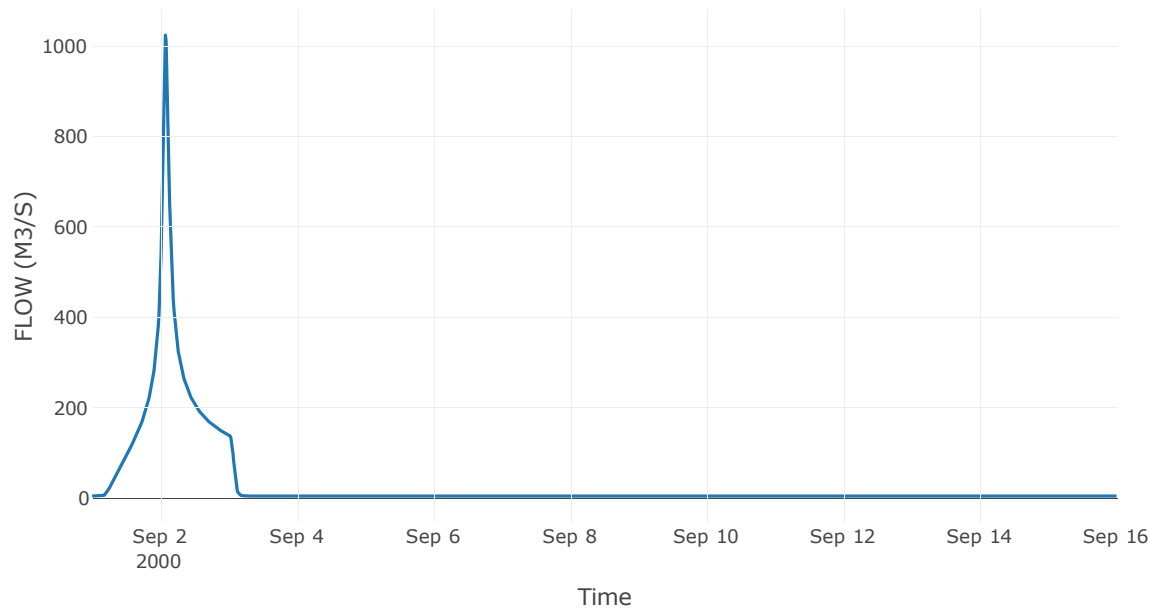
Κατάντη : J13

Μέθοδος διόδευσης	Χρόνος υστέρησης
Αρχική Μεταβλητή	Combined Inflow
Χρόνος υστέρησης	26.6

Αποτελέσματα: R1413

Παροχή Αιχμής(M3/S)	1024.17
Χρονική στιγμή αιχμής	02Sep2000, 01:45
Όγκος (MM)	224.16
Παροχή Αιχμής Εισόδου (M3/S)	1024.55
Όγκος Εισόδου(M3)	4.28E7

Απορροή



Κλάδος: R1514

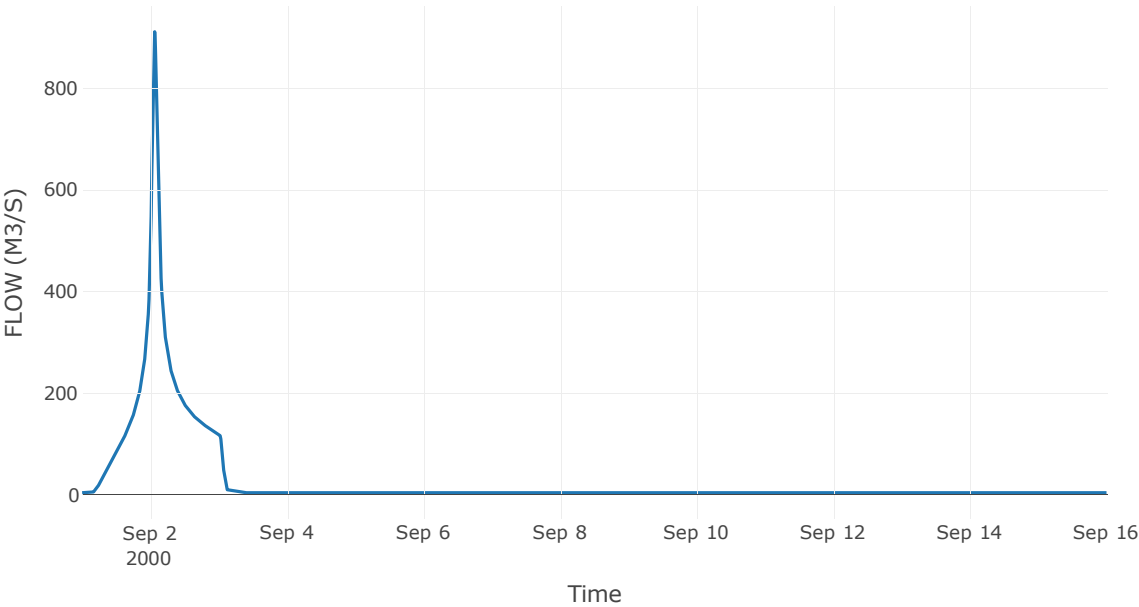
Κατάντη : J14

Μέθοδος διόδευσης	Χρόνος υστέρησης
Αρχική Μεταβλητή	Combined Inflow
Χρόνος υστέρησης	9.22

Αποτελέσματα: R1514

Παροχή Αιχμής(M3/S)	910.92
Χρονική στιγμή αιχμής	02Sep2000, 01:30
Όγκος (MM)	222.43
Παροχή Αιχμής Εισόδου (M3/S)	916.5
Όγκος Εισόδου(M3)	3.7E7

Απορροή



Κλάδος: R1615

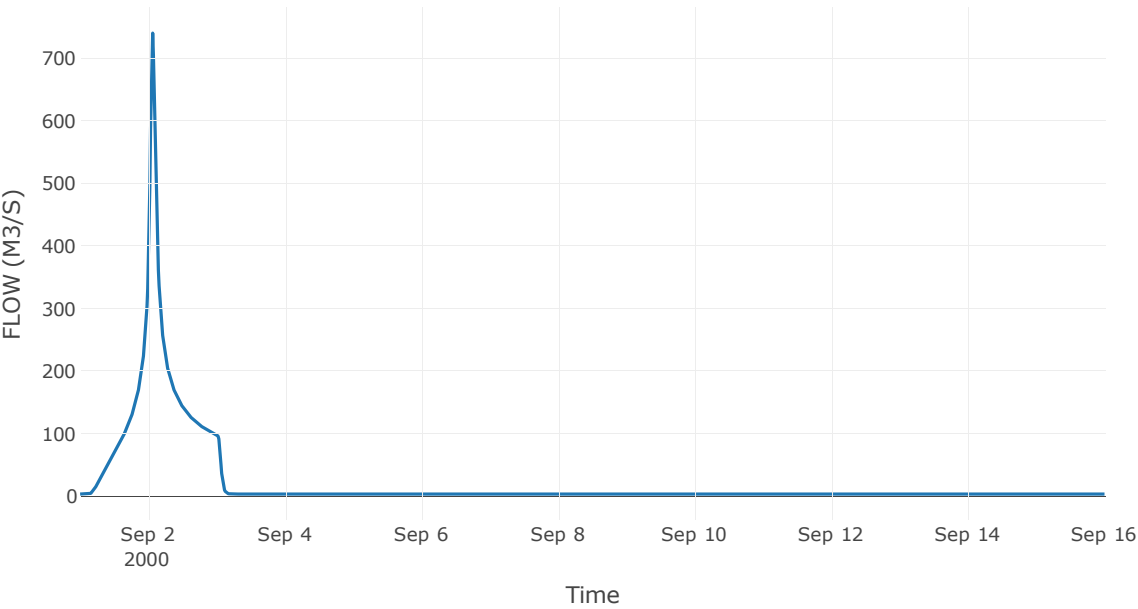
Κατάντη : J15

Μέθοδος διόδευσης	Χρόνος υστέρησης
Αρχική Μεταβλητή	Combined Inflow
Χρόνος υστέρησης	22.62

Αποτελέσματα: R1615

Παροχή Αιχμής(M3/S)	740.12
Χρονική στιγμή αιχμής	02Sep2000, 01:30
Όγκος (MM)	221.95
Παροχή Αιχμής Εισόδου (M3/S)	749.07
Όγκος Εισόδου(M3)	2.97E7

Απορροή



Κλάδος: R1716

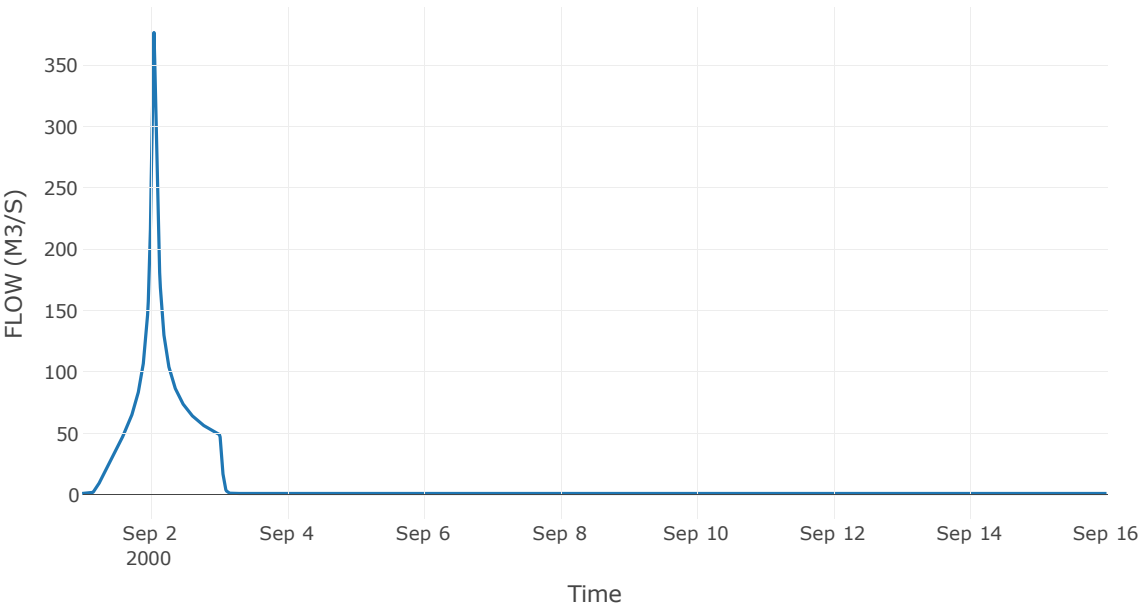
Κατάντη : J16

Μέθοδος διόδευσης	Χρόνος υστέρησης
Αρχική Μεταβλητή	Combined Inflow
Χρόνος υστέρησης	13.17

Αποτελέσματα: R1716

Παροχή Αιχμής(M3/S)	376.57
Χρονική στιγμή αιχμής	02Sep2000, 01:15
Όγκος (MM)	222.96
Παροχή Αιχμής Εισόδου (M3/S)	379.24
Όγκος Εισόδου(M3)	1.52E7

Απορροή



Κλάδος: R1811

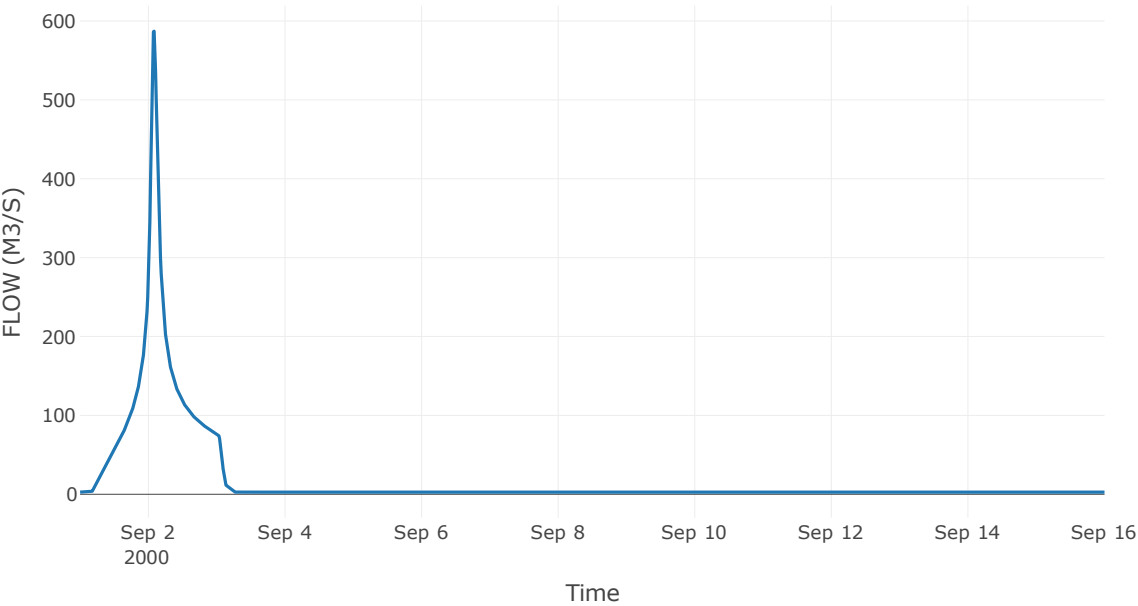
Κατάντη : J11

Μέθοδος διόδευσης	Muskingum
Αρχική Μεταβλητή	Combined Inflow
Χρόνος ροής K	0.53
Συντελεστής βάρους x	0.2
Πλήθος Υποκλάδων	2

Αποτελέσματα: R1811

Παροχή Αιχμής(M3/S)	587.06
Χρονική στιγμή αιχμής	02Sep2000, 02:00
Όγκος (MM)	215.42
Παροχή Αιχμής Εισόδου (M3/S)	603.34
Όγκος Εισόδου(M3)	2.51E7

Απορροή



Κλάδος: R1918

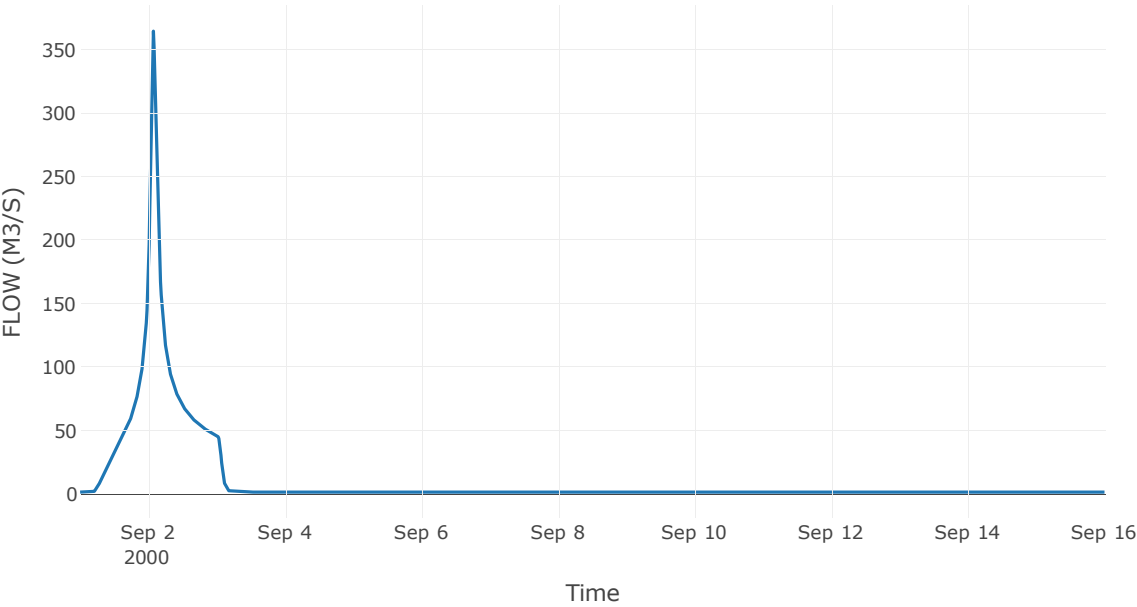
Κατάντη : J18

Μέθοδος διόδευσης	Χρόνος υστέρησης
Αρχική Μεταβλητή	Combined Inflow
Χρόνος υστέρησης	21.31

Αποτελέσματα: R1918

Παροχή Αιχμής(M3/S)	364.51
Χρονική στιγμή αιχμής	02Sep2000, 01:45
Όγκος (MM)	213.97
Παροχή Αιχμής Εισόδου (M3/S)	367.81
Όγκος Εισόδου(M3)	1.48E7

Απορροή



Κλάδος: R2012

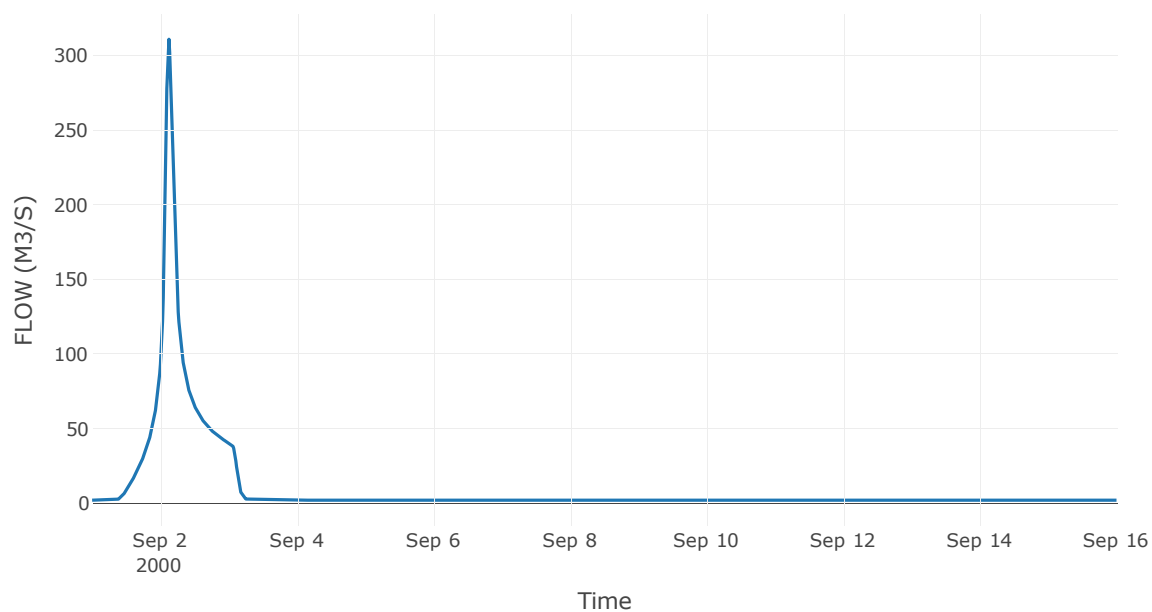
Κατάντη : J12

Μέθοδος διόδευσης	Muskingum
Αρχική Μεταβλητή	Combined Inflow
Χρόνος ροής K	1.07
Συντελεστής βάρους x	0.2
Πλήθος Υποκλάδων	4

Αποτελέσματα: R2012

Παροχή Αιχμής(M3/S)	310.77
Χρονική στιγμή αιχμής	02Sep2000, 03:00
Όγκος (MM)	149.87
Παροχή Αιχμής Εισόδου (M3/S)	327.91
Όγκος Εισόδου(M3)	1.29E7

Απορροή



Κλάδος: R2120

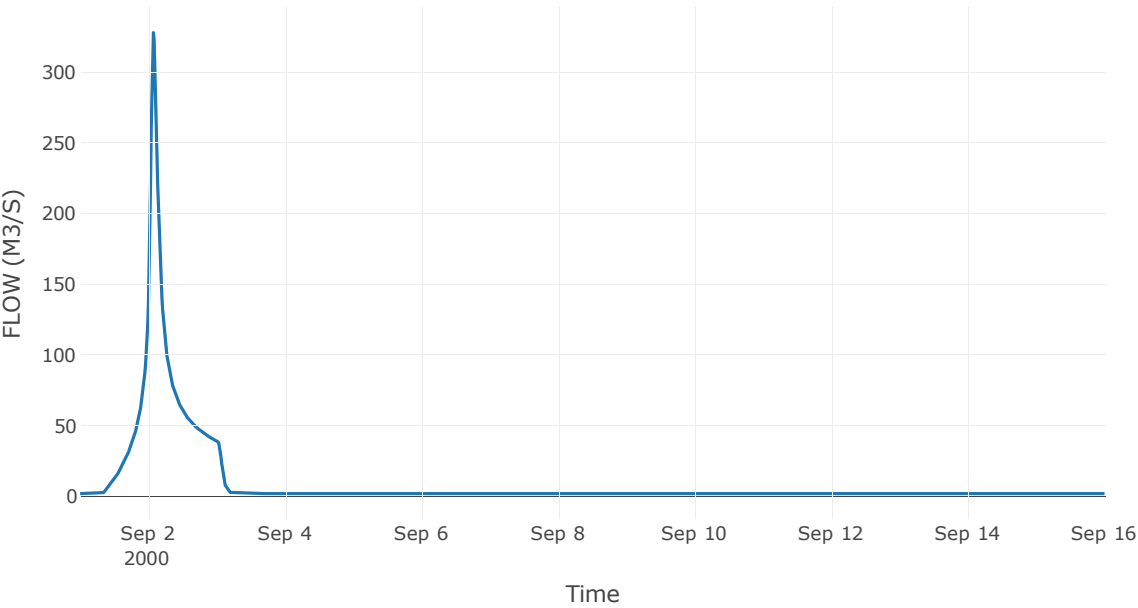
Κατάντη : J20

Μέθοδος διόδευσης	Muskingum
Αρχική Μεταβλητή	Combined Inflow
Χρόνος ροής K	0.38
Συντελεστής βάρους x	0.2
Πλήθος Υποκλάδων	2

Αποτελέσματα: R2120

Παροχή Αιχμής(M3/S)	327.91
Χρονική στιγμή αιχμής	02Sep2000, 01:45
Όγκος (MM)	149.87
Παροχή Αιχμής Εισόδου (M3/S)	331.06
Όγκος Εισόδου(M3)	1.29E7

Απορροή



Κλάδος: R227

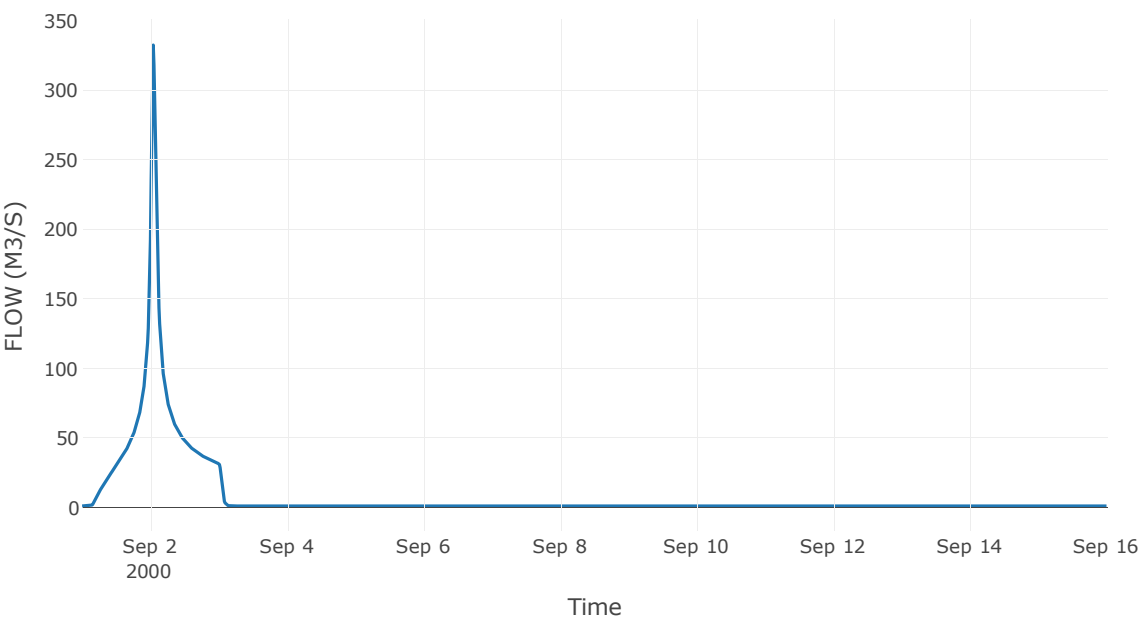
Κατάντη : J7

Μέθοδος διόδευσης	Χρόνος υστέρησης
Αρχική Μεταβλητή	Combined Inflow
Χρόνος υστέρησης	8.89

Αποτελέσματα: R227

Παροχή Αιχμής(M3/S)	332.44
Χρονική στιγμή αιχμής	02Sep2000, 01:00
Όγκος (MM)	215.48
Παροχή Αιχμής Εισόδου (M3/S)	334.66
Όγκος Εισόδου(M3)	1.15E7

Απορροή



Κλάδος: R232

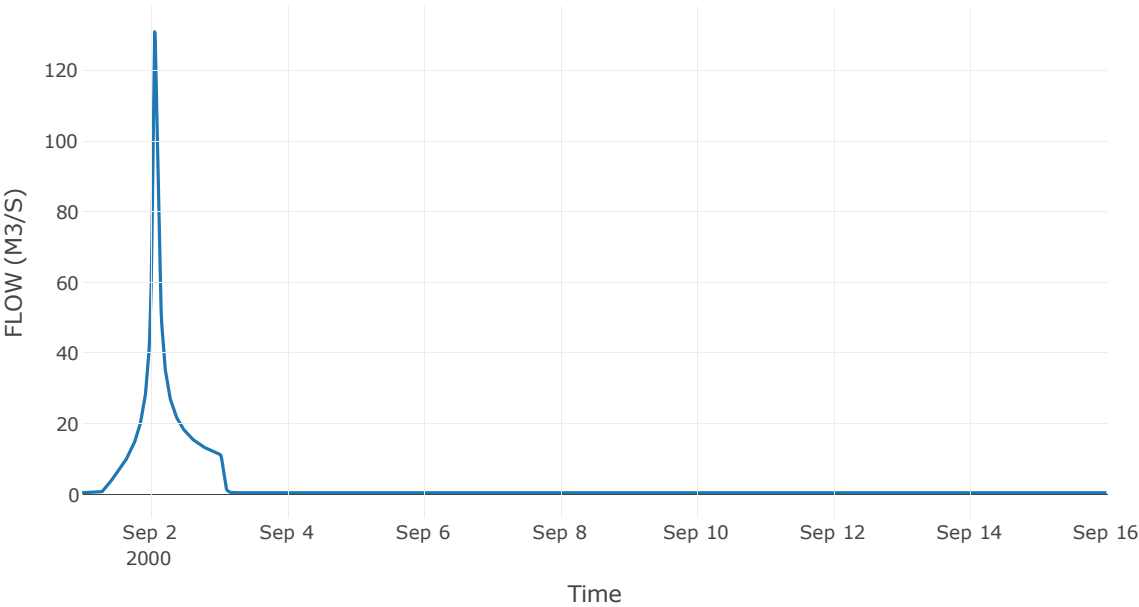
Κατάντη : J2

Μέθοδος διόδευσης	Χρόνος υστέρησης
Αρχική Μεταβλητή	Combined Inflow
Χρόνος υστέρησης	31.24

Αποτελέσματα: R232

Παροχή Αιχμής(M3/S)	130.97
Χρονική στιγμή αιχμής	02Sep2000, 01:30
Όγκος (MM)	181.64
Παροχή Αιχμής Εισόδου (M3/S)	131.3
Όγκος Εισόδου(M3)	4.09E6

Απορροή



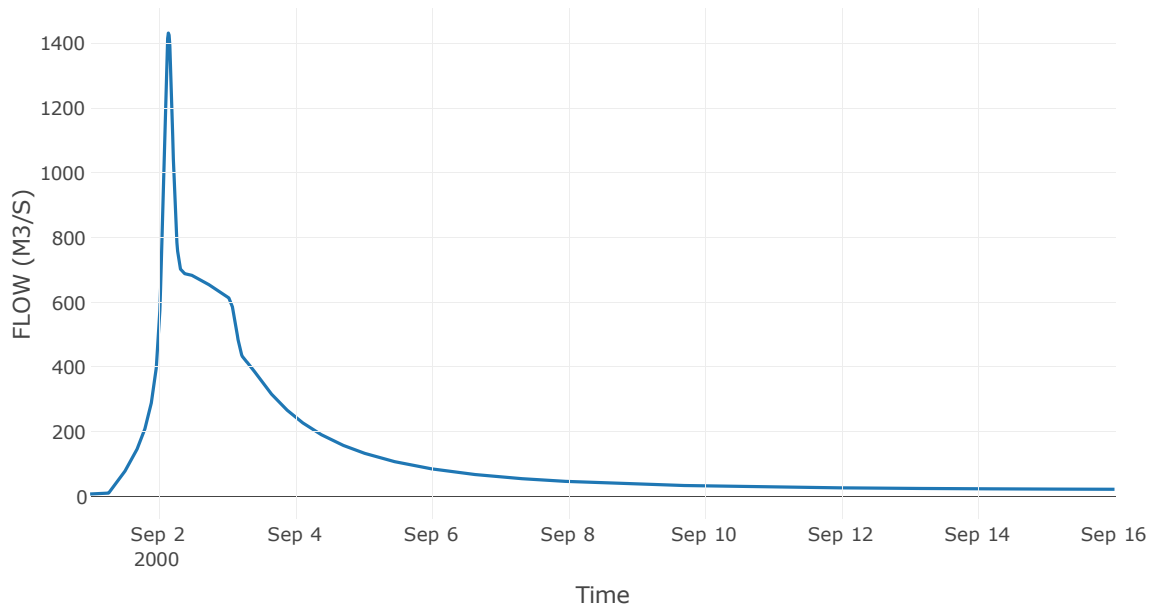
4.3 Δεδομένα και Υδρογραφήματα Σχεδιασμού Κόμβων Υδρογραφικού Δικτύου

Κόμβος εξόδου: J1

Αποτέλεσμα
τα: J1

Παροχή αιχμής (M3/S)	1431.77
Χρονική στιγμή αιχμής	02Sep2000, 03:30
Όγκος (MM)	176.01

Απορροή



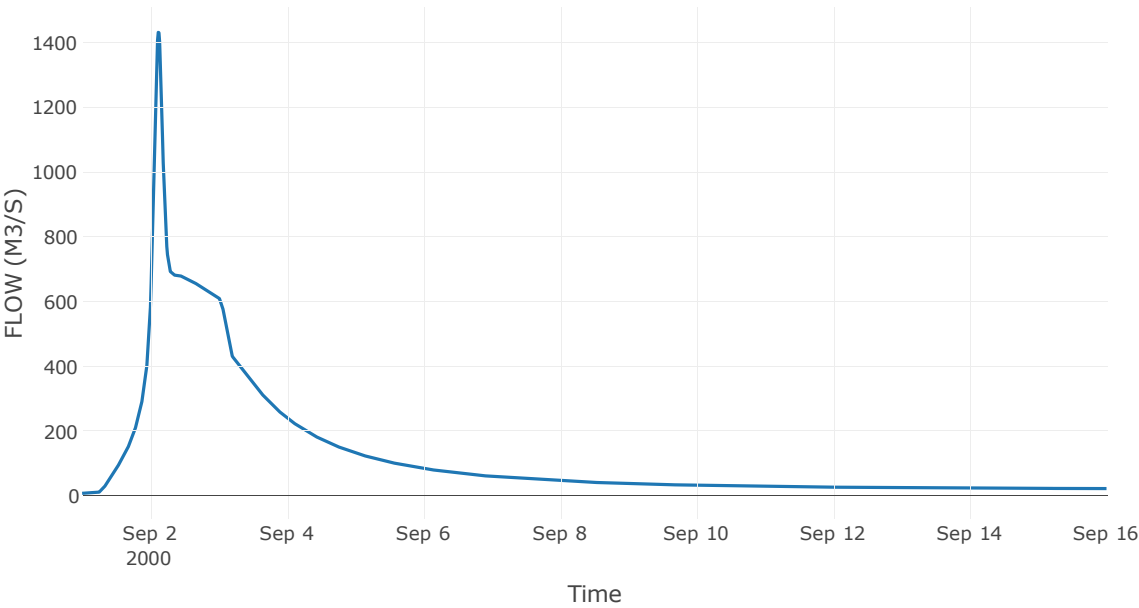
Κόμβος: J2

Κατάντη : R21

Αποτελέσματα: J2

Παροχή Αιχμής(M3/S)	1431.51
Χρονική στιγμή αιχμής	02Sep2000, 02:45
Όγκος (MM)	176.04

Απορροή



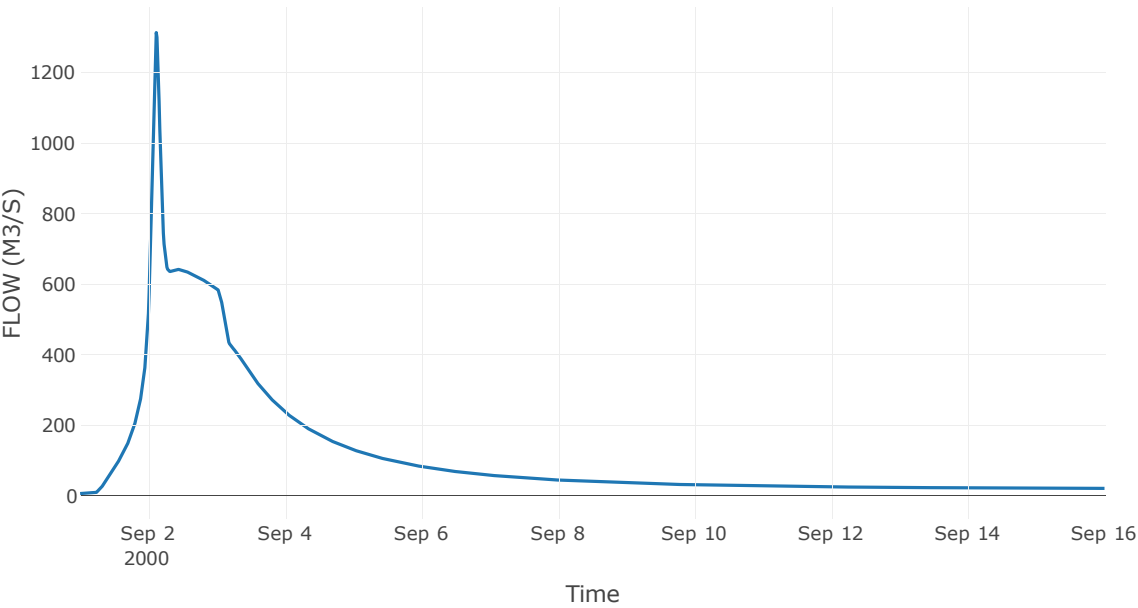
Κόμβος: J3

Κατάντη : R32

Αποτελέσματα: J3

Παροχή Αιχμής(M3/S)	1313.1
Χρονική στιγμή αιχμής	02Sep2000, 02:45
Όγκος (MM)	178.51

Απορροή



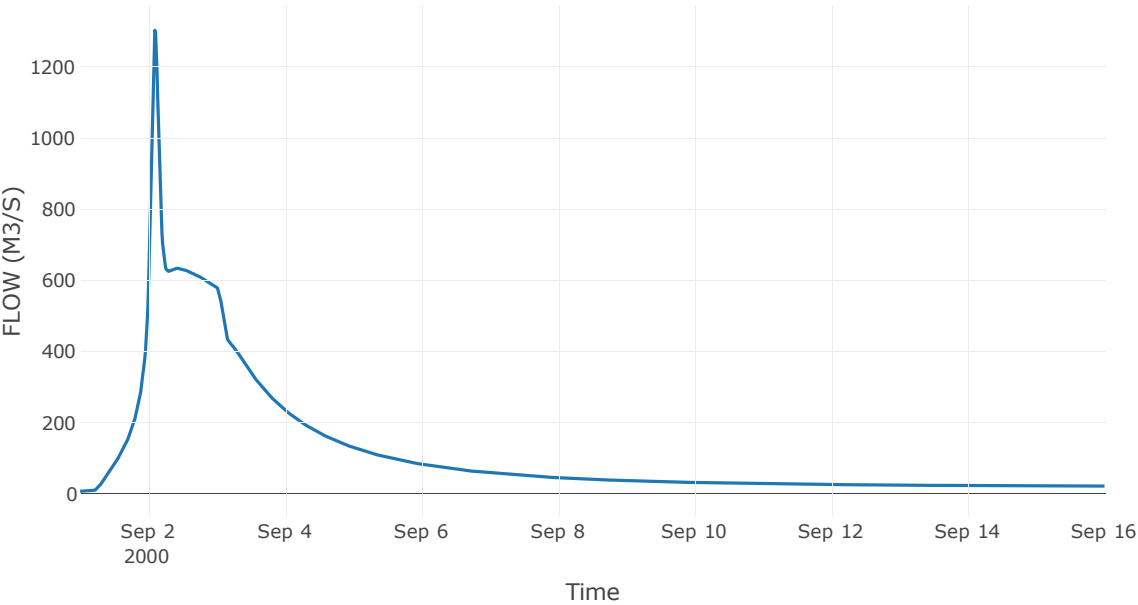
Κόμβος: J4

Κατάντη : R43

Αποτελέσματα: J4

Παροχή Αιχμής(M3/S)	1302.62
Χρονική στιγμή αιχμής	02Sep2000, 02:15
Όγκος (MM)	178.54

Απορροή



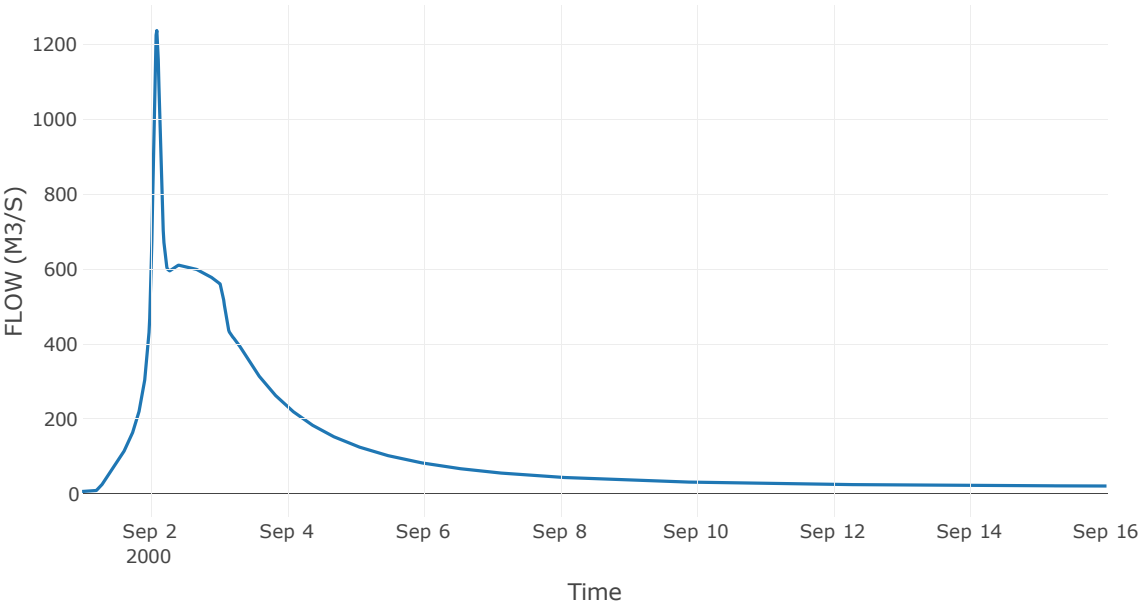
Κόμβος: J5

Κατάντη : R54

Αποτελέσματα: J5

Παροχή Αιχμής(M3/S)	1236.89
Χρονική στιγμή αιχμής	02Sep2000, 02:15
Όγκος (MM)	178.93

Απορροή



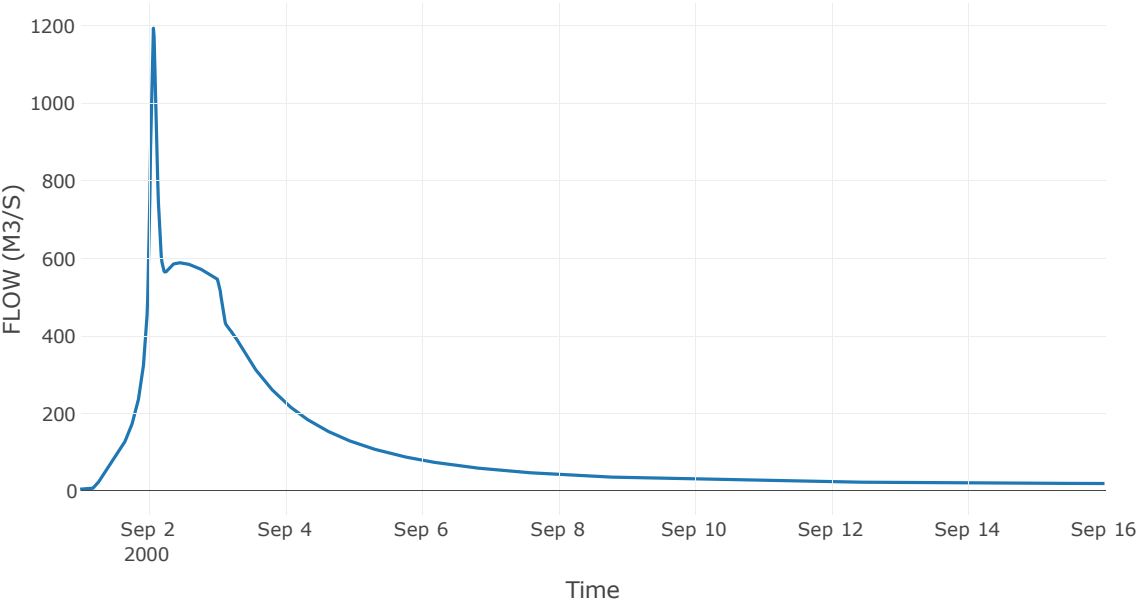
Κόμβος: J6

Κατάντη : R65

Αποτελέσματα: J6

Παροχή Αιχμής(M3/S)	1193.67
Χρονική στιγμή αιχμής	02Sep2000, 01:45
Όγκος (MM)	182.14

Απορροή



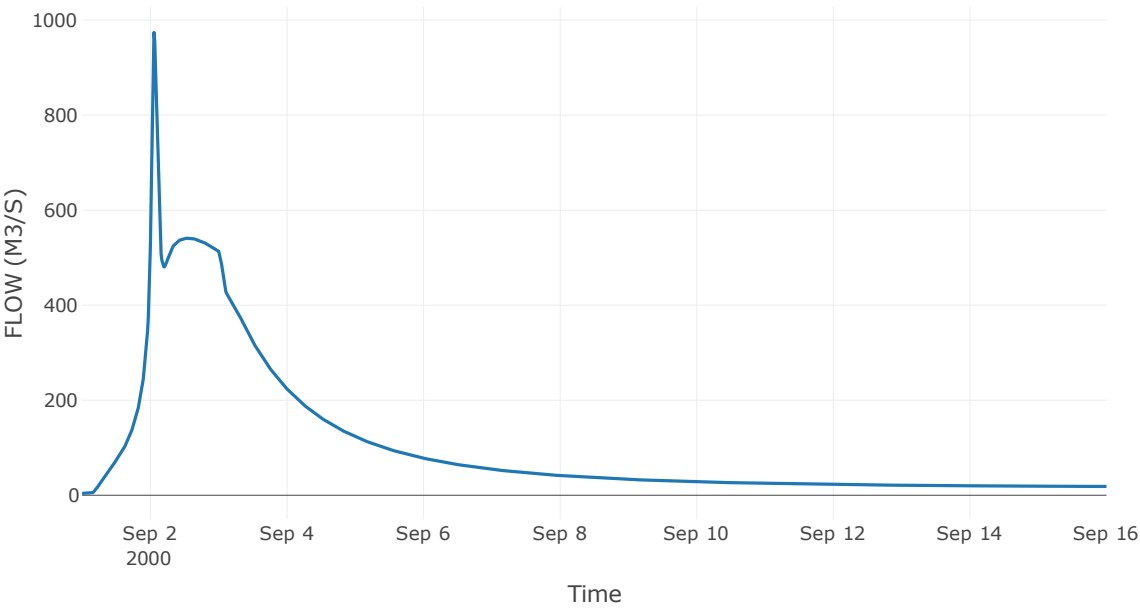
Κόμβος: J7

Κατάντη : R76

Αποτελέσματα: J7

Παροχή Αιχμής(M3/S)	974.12
Χρονική στιγμή αιχμής	02Sep2000, 01:15
Όγκος (MM)	186.19

Απορροή



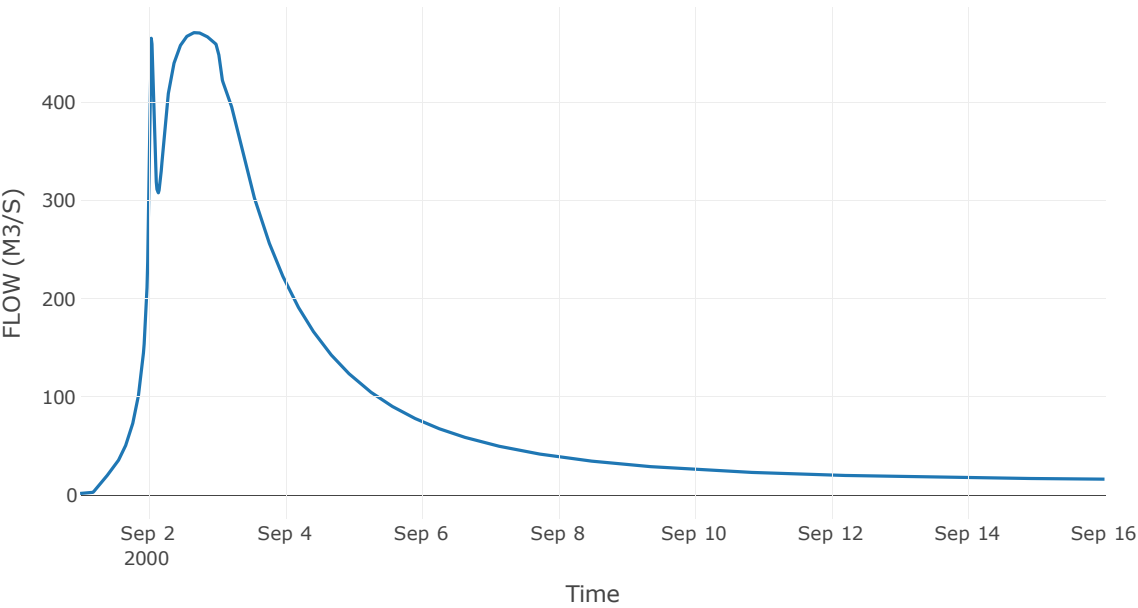
Κόμβος: J8

Κατάντη : R87

Αποτελέσματα: J8

Παροχή Αιχμής(M3/S)	471.29
Χρονική στιγμή αιχμής	02Sep2000, 16:45
Όγκος (MM)	183.95

Απορροή



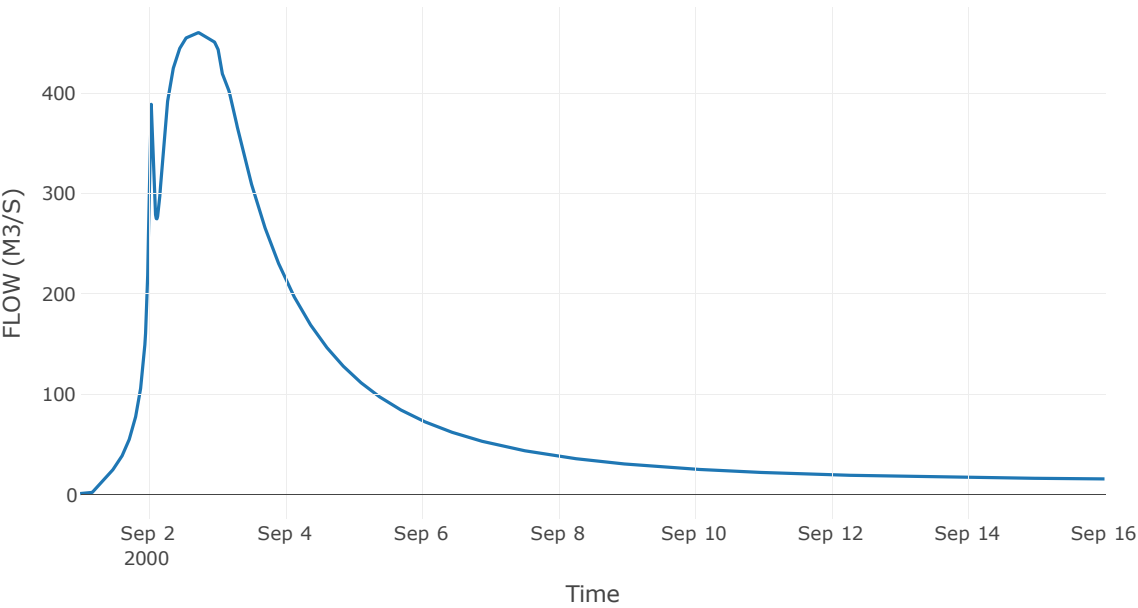
Κόμβος: J9

Κατάντη : R98

Αποτελέσματα: J9

Παροχή Αιχμής(M3/S)	460.32
Χρονική στιγμή αιχμής	02Sep2000, 17:00
Όγκος (MM)	185.13

Απορροή



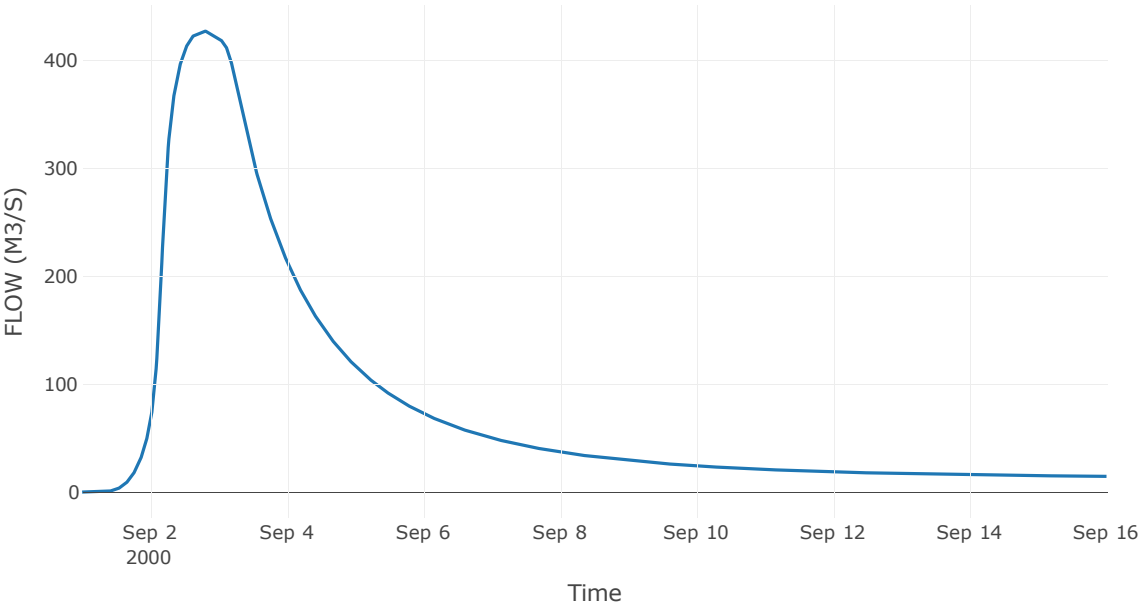
Reservoir: J10_RES1

Κατάντη : R109

Αποτελέσματα: J10_RES1

Παροχή Αιχμής(M3/S)	427.14
Χρονική στιγμή αιχμής	02Sep2000, 18:45
Όγκος (MM)	184.12
Παροχή Αιχμής Εισόδου (M3/S)	2104.18
Time of Peak Inflow	02Sep2000, 03:45
Όγκος Εισροής (M3)	1.1E8
Maximum Storage (M3)	8.3E8
Peak Elevation (M)	438.01
Discharge Όγκος (M3)	1.03E8

Απορροή



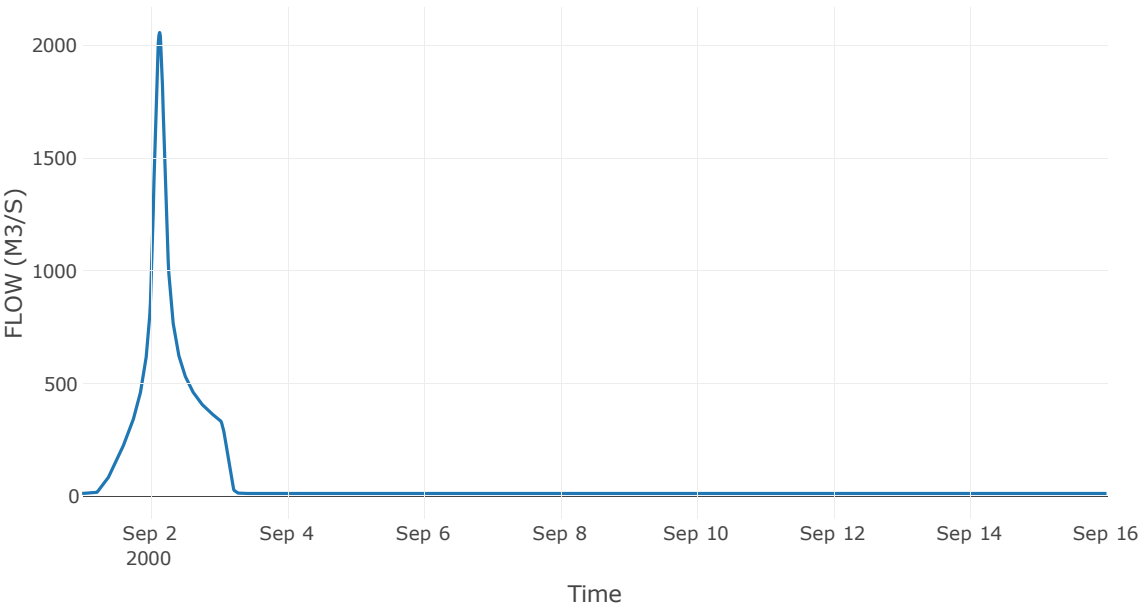
Κόμβος: J11

Κατάντη : R1110

Αποτελέσματα: J11

Παροχή Αιχμής(M3/S)	2057.22
Χρονική στιγμή αιχμής	02Sep2000, 03:15
Όγκος (MM)	195.64

Απορροή



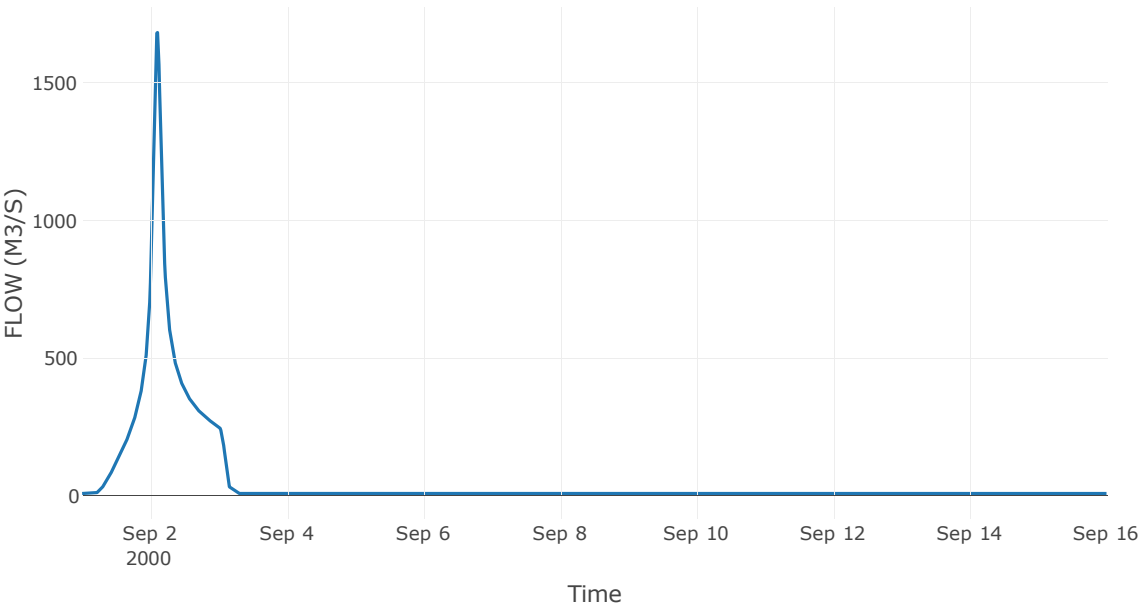
Κόμβος: J12

Κατάντη : R1211

Αποτελέσματα: J12

Παροχή Αιχμής(M3/S)	1683.04
Χρονική στιγμή αιχμής	02Sep2000, 02:30
Όγκος (MM)	192.17

Απορροή



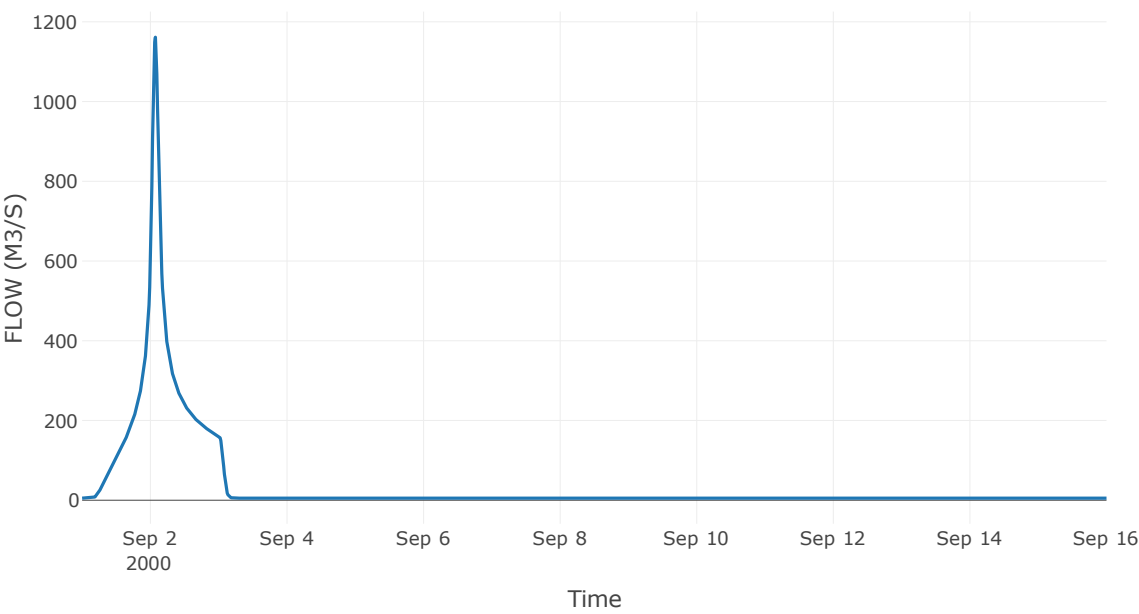
Κόμβος: J13

Κατάντη : R1312

Αποτελέσματα: J13

Παροχή Αιχμής(M3/S)	1161.41
Χρονική στιγμή αιχμής	02Sep2000, 01:45
Όγκος (MM)	219.84

Απορροή



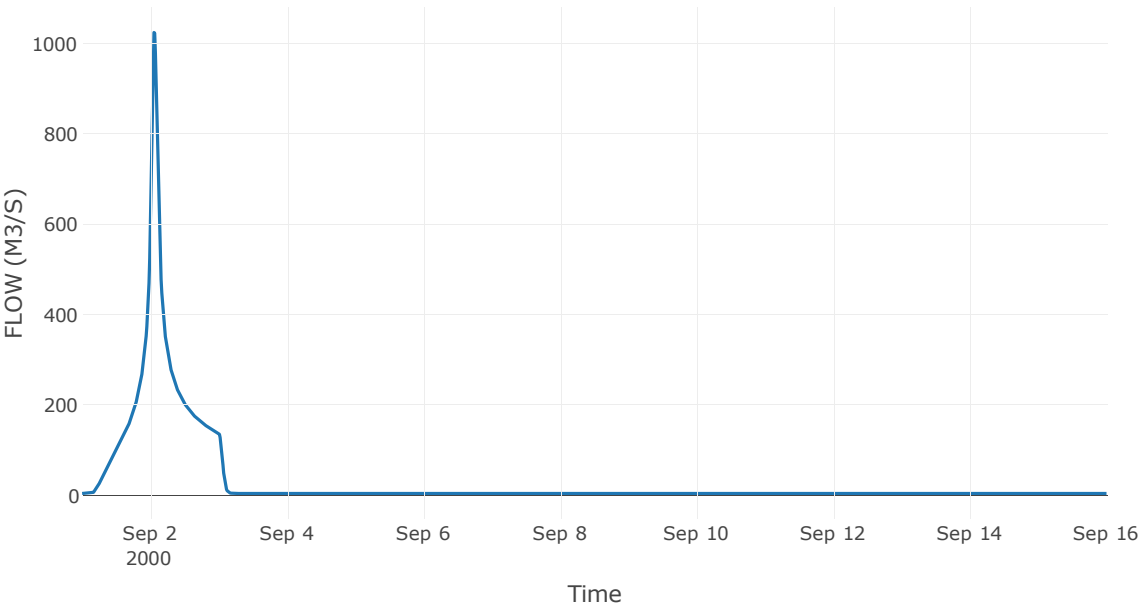
Κόμβος: J14

Κατάντη : R1413

Αποτελέσματα: J14

Παροχή Αιχμής(M3/S)	1024.55
Χρονική στιγμή αιχμής	02Sep2000, 01:15
Όγκος (MM)	224.16

Απορροή



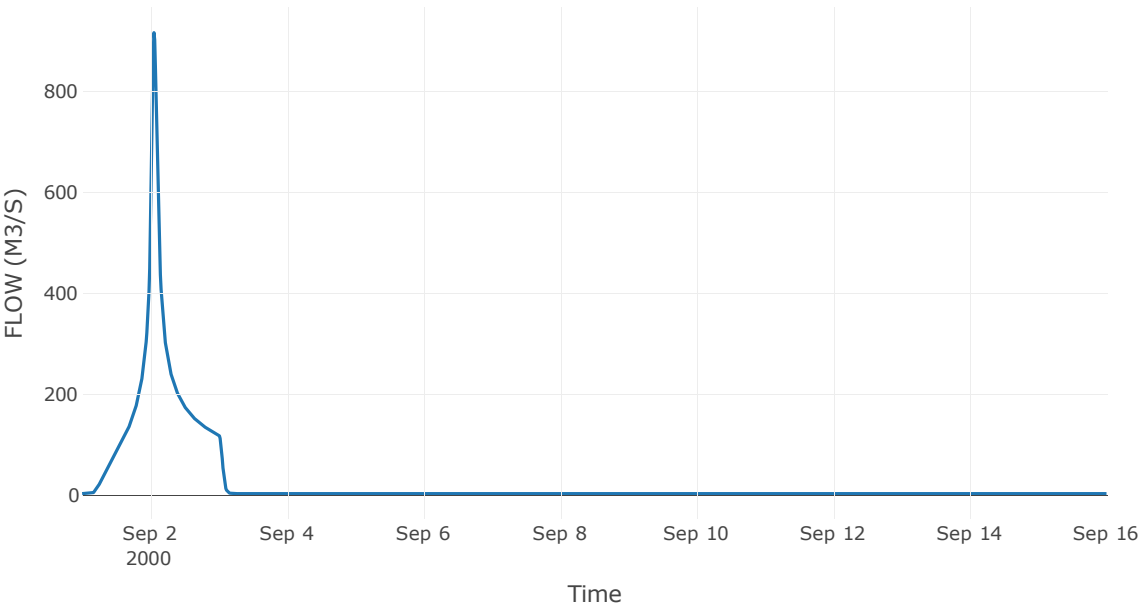
Κόμβος: J15

Κατάντη : R1514

Αποτελέσματα: J15

Παροχή Αιχμής(M3/S)	916.5
Χρονική στιγμή αιχμής	02Sep2000, 01:15
Όγκος (MM)	222.43

Απορροή



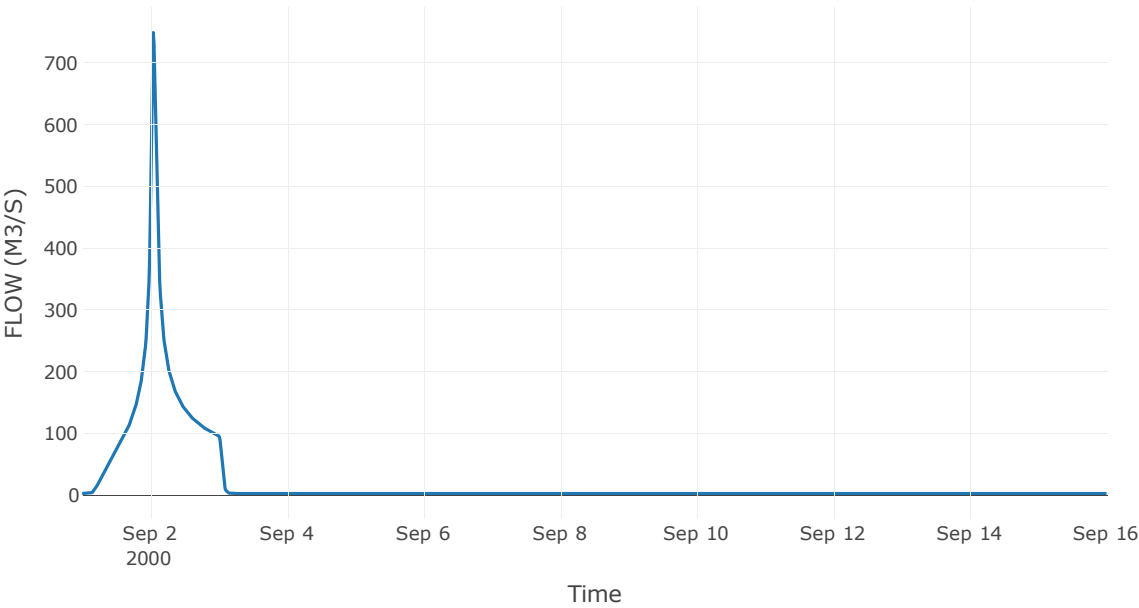
Κόμβος: J16

Κατάντη : R1615

Αποτελέσματα: J16

Παροχή Αιχμής(M3/S)	749.07
Χρονική στιγμή αιχμής	02Sep2000, 01:00
Όγκος (MM)	221.95

Απορροή



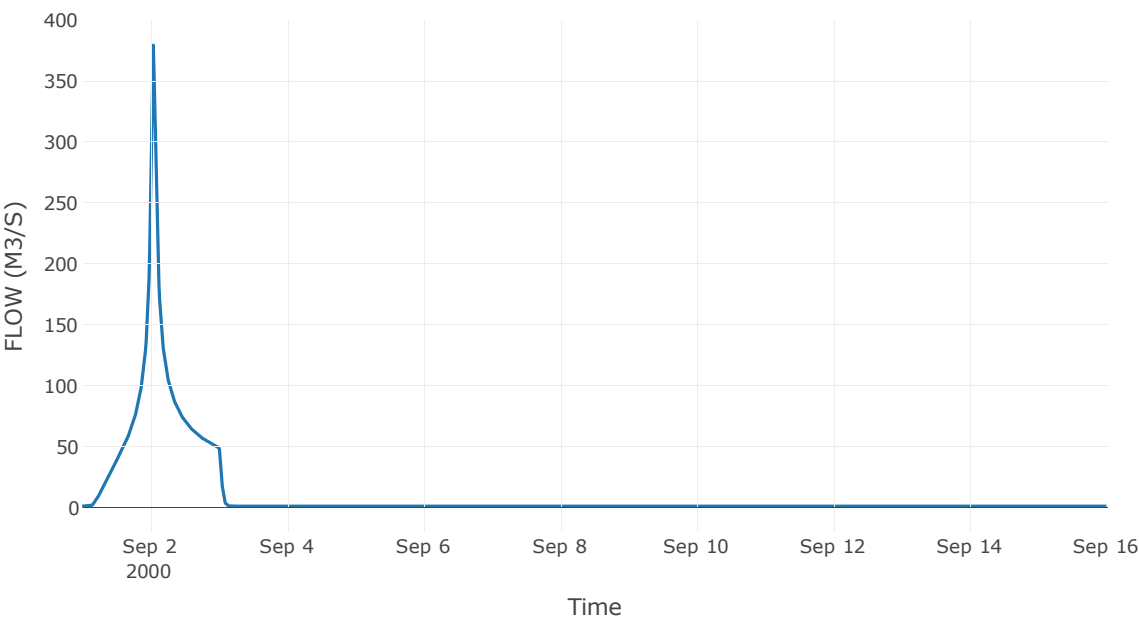
Κόμβος: J17

Κατάντη : R1716

Αποτελέσματα: J17

Παροχή Αιχμής(M3/S)	379.24
Χρονική στιγμή αιχμής	02Sep2000, 01:00
Όγκος (MM)	222.96

Απορροή



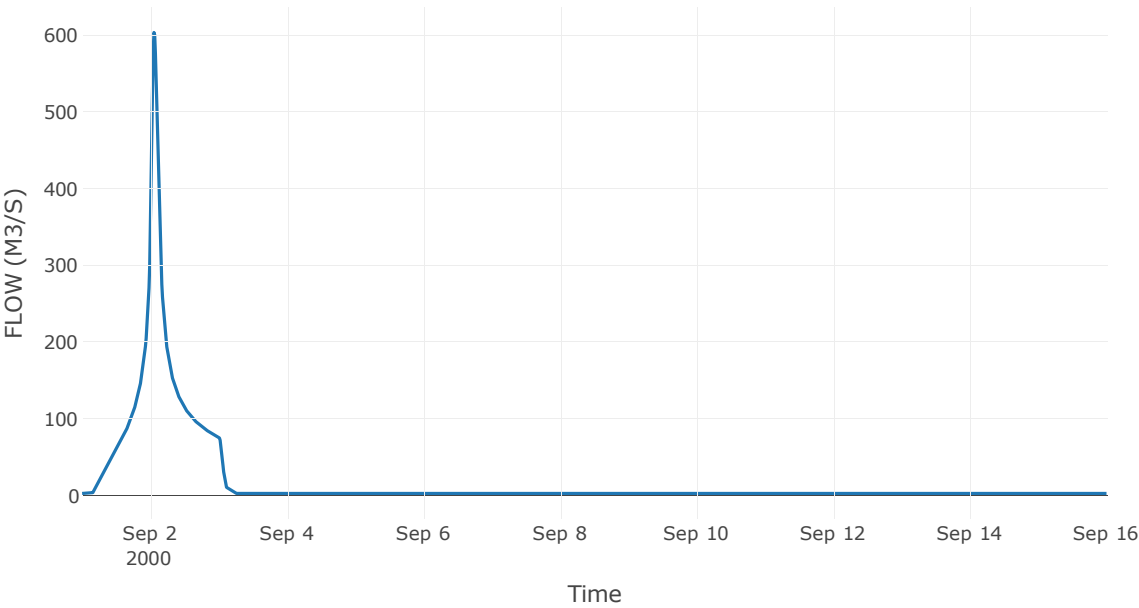
Κόμβος: J18

Κατάντη : R1811

Αποτελέσματα: J18

Παροχή Αιχμής(M3/S)	603.34
Χρονική στιγμή αιχμής	02Sep2000, 01:15
Όγκος (MM)	215.42

Απορροή



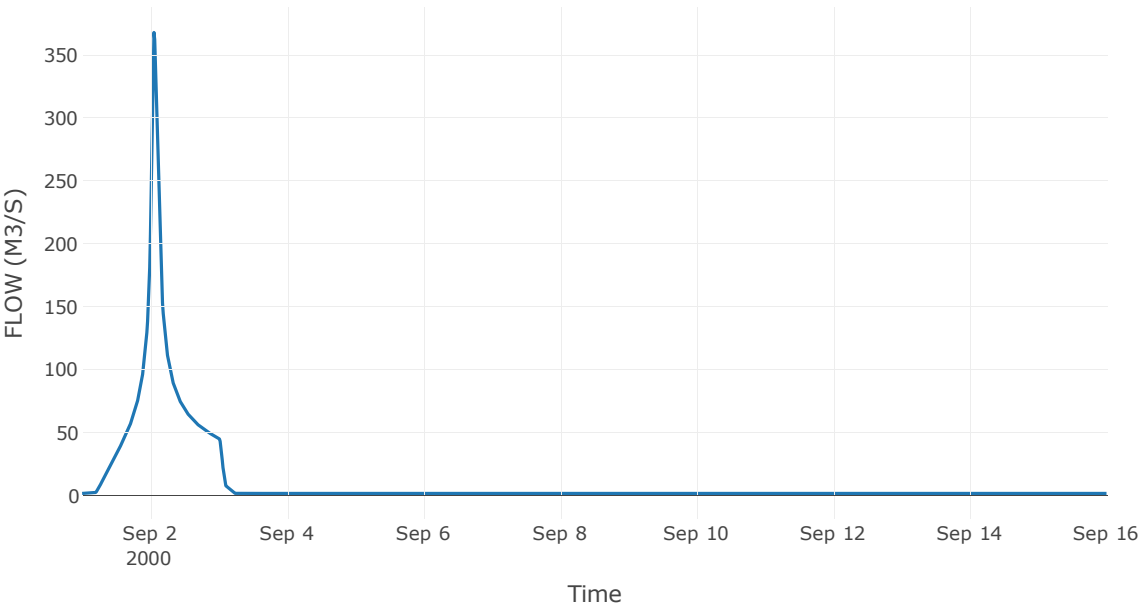
Κόμβος: J19

Κατάντη : R1918

Αποτελέσματα: J19

Παροχή Αιχμής(M3/S)	367.81
Χρονική στιγμή αιχμής	02Sep2000, 01:15
Όγκος (MM)	213.97

Απορροή



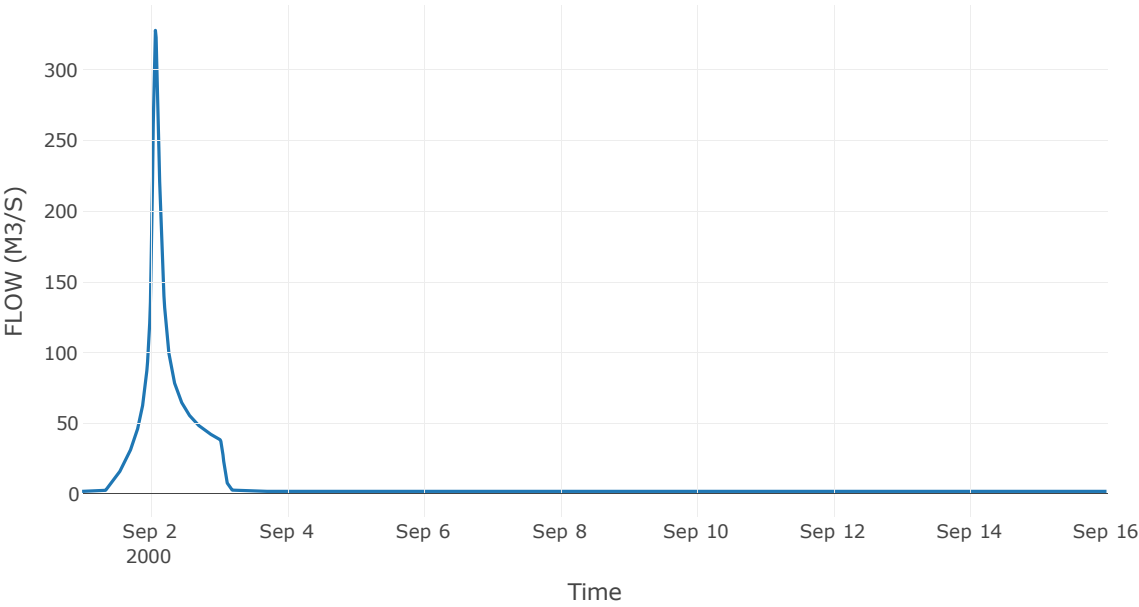
Κόμβος: J20

Κατάντη : R2012

Αποτελέσματα: J20

Παροχή Αιχμής(M3/S)	327.91
Χρονική στιγμή αιχμής	02Sep2000, 01:45
Όγκος (MM)	149.87

Απορροή



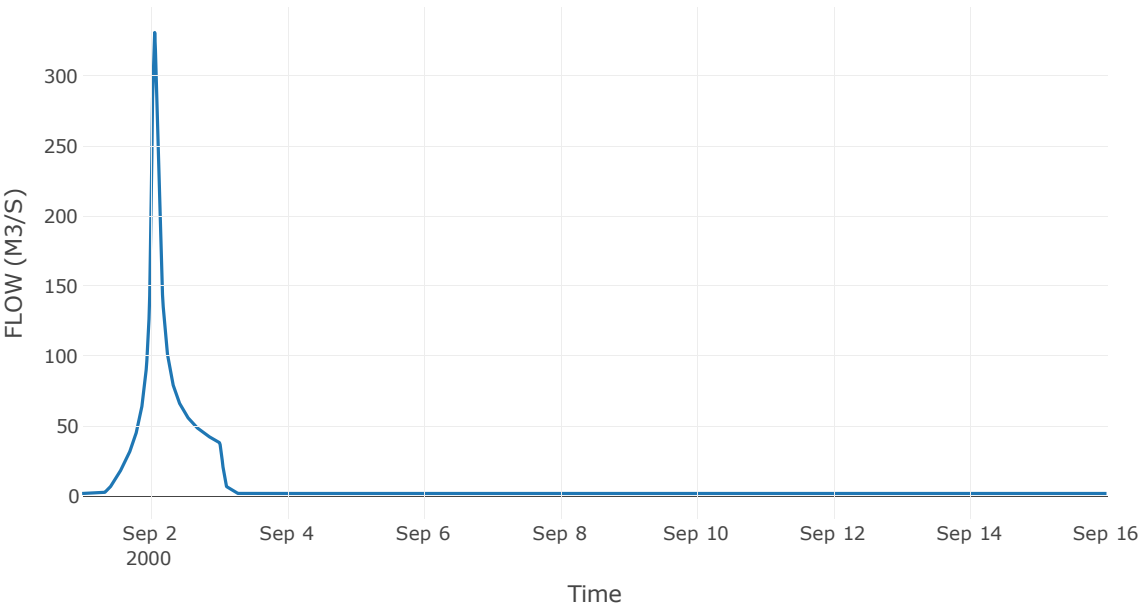
Κόμβος: J21

Κατάντη : R2120

Αποτελέσματα: J21

Παροχή Αιχμής(M3/S)	331.06
Χρονική στιγμή αιχμής	02Sep2000, 01:30
Όγκος (MM)	149.87

Απορροή



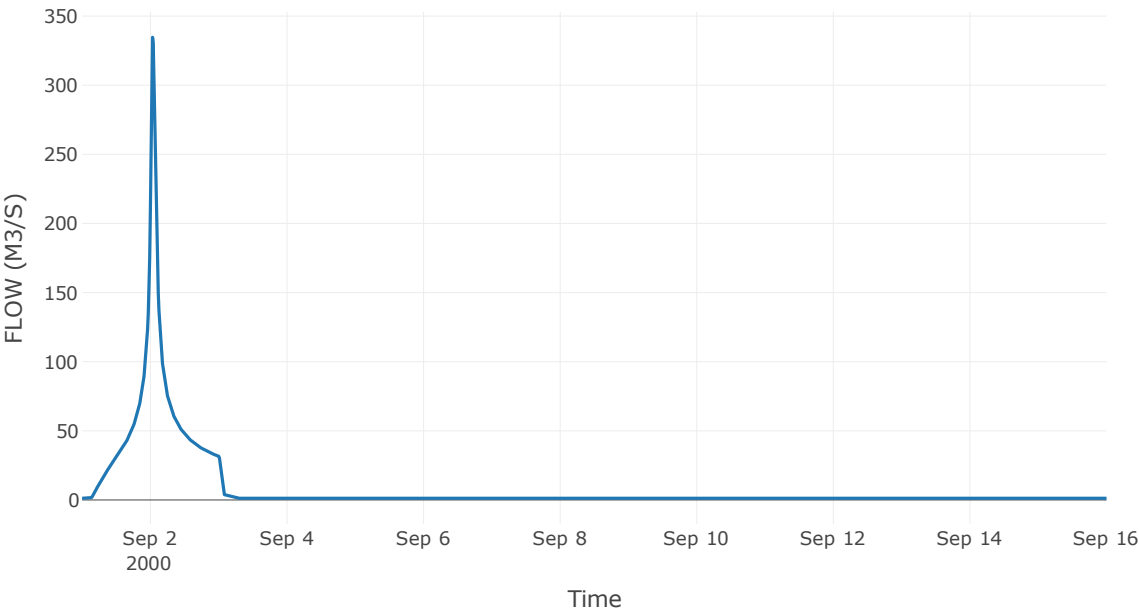
Κόμβος: J22

Κατάντη : R227

Αποτελέσματα: J22

Παροχή Αιχμής(M3/S)	334.66
Χρονική στιγμή αιχμής	02Sep2000, 00:45
Όγκος (MM)	215.48

Απορροή



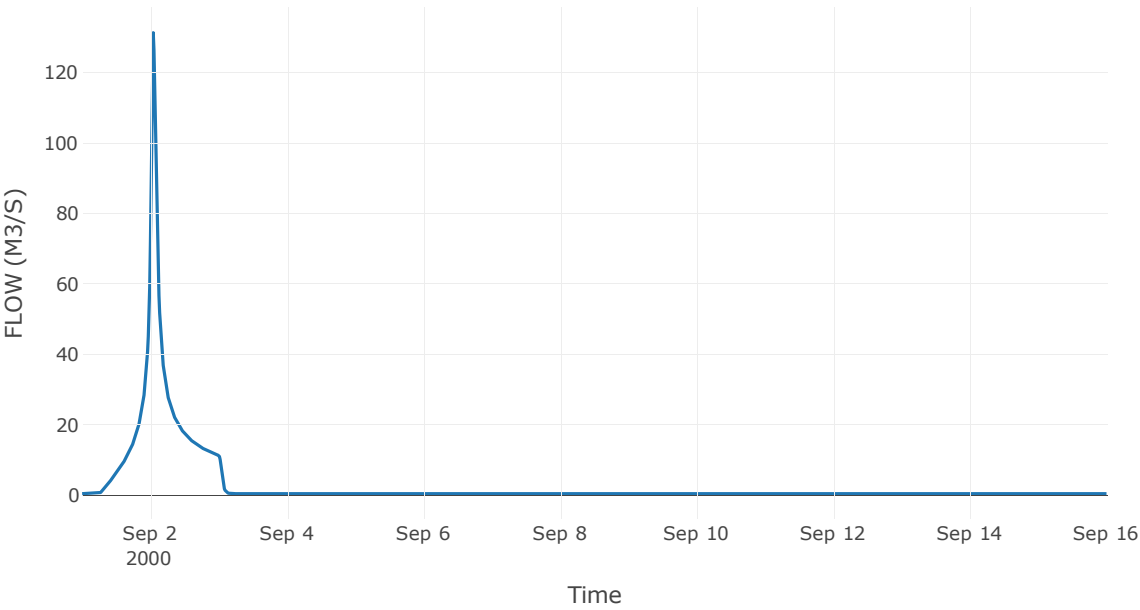
Κόμβος: J23

Κατάντη : R232

Αποτελέσματα: J23

Παροχή Αιχμής(M3/S)	131.3
Χρονική στιγμή αιχμής	02Sep2000, 01:00
Όγκος (MM)	181.64

Απορροή



5 Δεδομένα εισόδου και αποτελέσματα υδρολογικού σεναρίου T=100

5.1 Αποτελέσματα, υετογραφήματα και υδρογραφήματα σχεδιασμού υπολεκανών

Υπολεκάνη: EL0421FR001001

Έκταση (KM2) : 7.91

Κατάντη : J1

Μέθοδος Απωλειών: SCS

Ποσοστό αδιαπέρατης επιφάνειας	0
Αριθμός Καμπύλης Απορροής-CN	72.33
Αρχικές Απώλειες	19.44

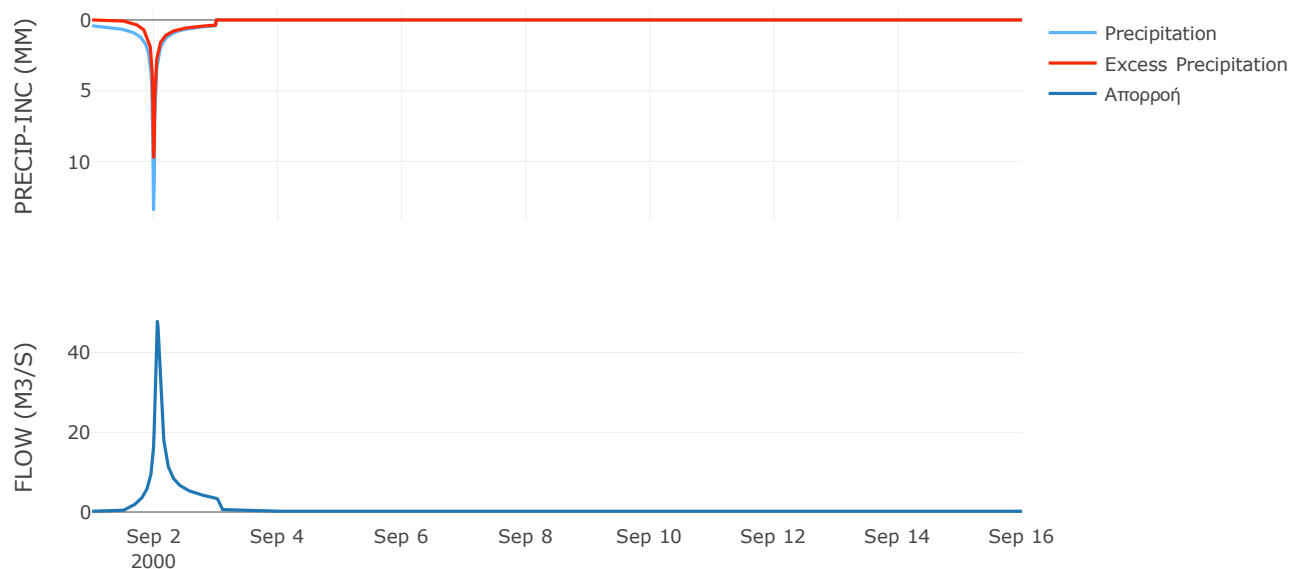
Μέθοδος
Μετασχηματισμού: SCS

Χρόνος Υστέρησης	70.16
------------------	-------

Αποτελέσματα:
EL0421FR001001

Παροχή αιχμής (M3/S)	47.82
Χρονική στιγμή αιχμής	02Sep2000, 01:15
Όγκος (MM)	169.15
Όγκος βροχόπτωσης (M3)	1.76E6
Όγκος απωλειών (M3)	6.73E5
Ενεργός Όγκος (M3)	1.08E6
Όγκος άμεσης απορροής (M3)	1.08E6
Όγκος βασικής απορροής (M3)	2.56E5

Βροχόπτωση και Απορροή



Υπολεκάνη: EL0421FR001002

Έκταση (KM2) : 7.13

Κατάντη : J2

Μέθοδος Απωλειών: SCS

Ποσοστό αδιαπέρατης επιφάνειας	0
Αριθμός Καμπύλης Απορροής-CN	56.46
Αρχικές Απώλειες	39.18

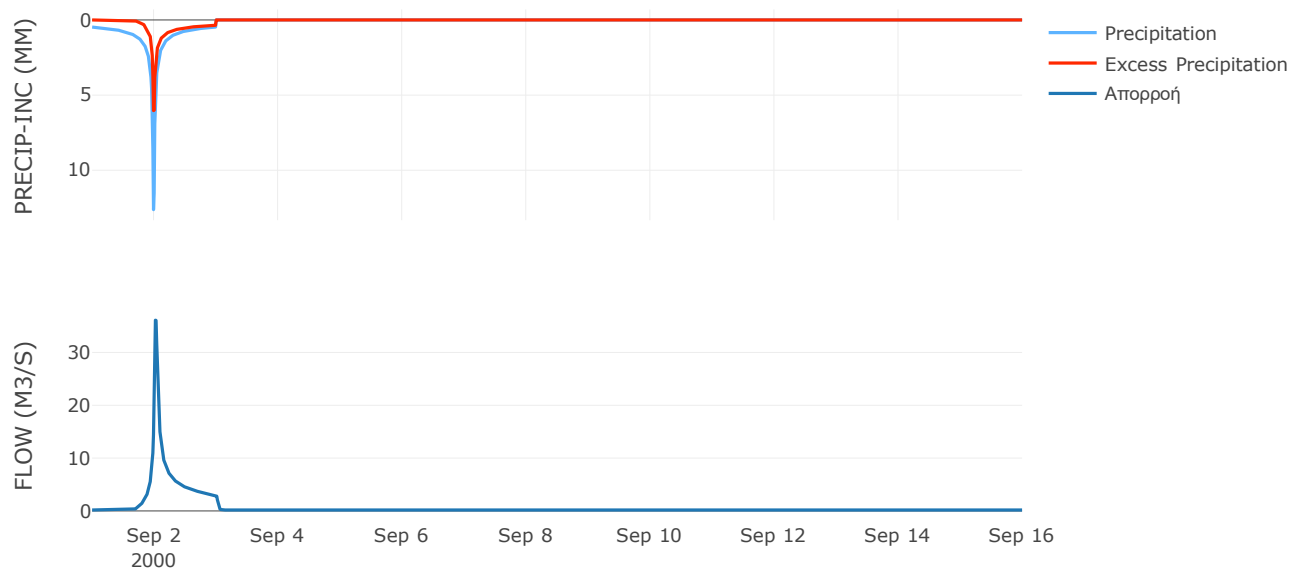
Μέθοδος
Μετασχηματισμού: SCS

Χρόνος Υστέρησης	32.34
------------------	-------

Αποτελέσματα:
EL0421FR001002

Παροχή αιχμής (M3/S)	36.11
Χρονική στιγμή αιχμής	02Sep2000, 00:30
Όγκος (MM)	130.94
Όγκος βροχόπτωσης (M3)	1.68E6
Όγκος απωλειών (M3)	9.79E5
Ενεργός Όγκος (M3)	7.02E5
Όγκος άμεσης απορροής (M3)	7.02E5
Όγκος βασικής απορροής (M3)	2.31E5

Βροχόπτωση και Απορροή



Υπολεκάνη: EL0421FR001003

Έκταση (KM2) : 10.09

Κατάντη : J3

Μέθοδος Απωλειών: SCS

Ποσοστό αδιαπέρατης επιφάνειας	0
Αριθμός Καμπύλης Απορροής-CN	63.24
Αρχικές Απώλειες	29.53

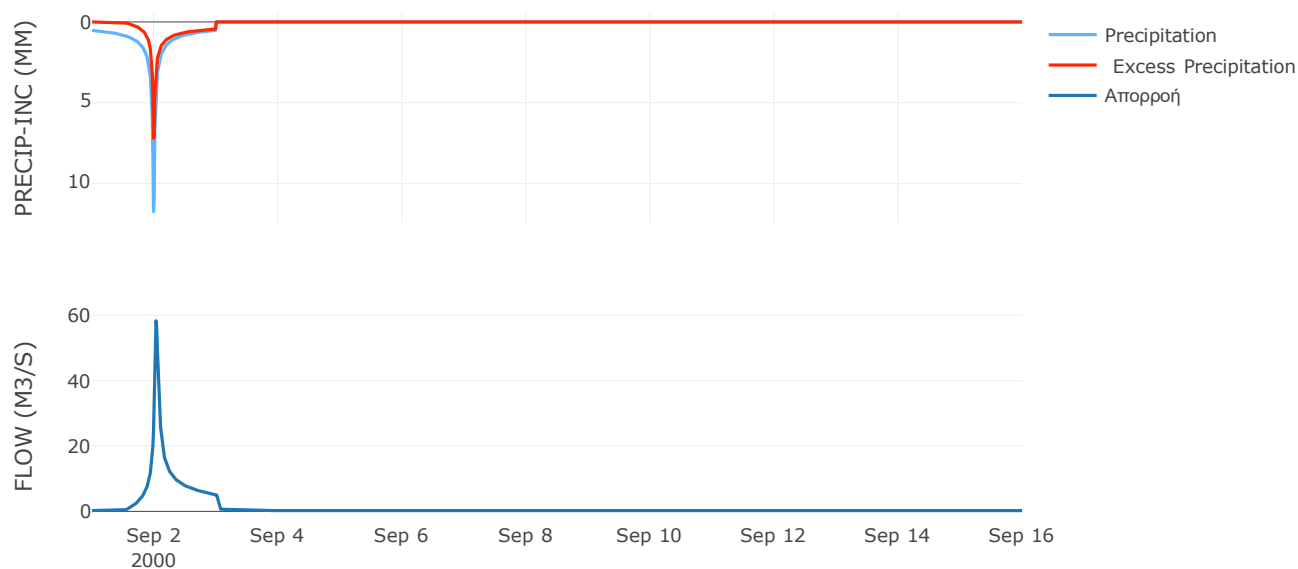
Μέθοδος
Μετασχηματισμού: SCS

Χρόνος Υστέρησης	42.34
------------------	-------

Αποτελέσματα:
EL0421FR001003

Παροχή αιχμής (M3/S)	58.3
Χρονική στιγμή αιχμής	02Sep2000, 00:45
Όγκος (MM)	160.38
Όγκος βροχόπτωσης (M3)	2.47E6
Όγκος απωλειών (M3)	1.18E6
Ενεργός Όγκος (M3)	1.29E6
Όγκος άμεσης απορροής (M3)	1.29E6
Όγκος βασικής απορροής (M3)	3.27E5

Βροχόπτωση και Απορροή



Υπολεκάνη: EL0421FR001004

Έκταση (KM2) : 2.73

Κατάντη : J4

Μέθοδος Απωλειών: SCS

Ποσοστό αδιαπέρατης επιφάνειας	0
Αριθμός Καμπύλης Απορροής-CN	70.81
Αρχικές Απώλειες	20.94

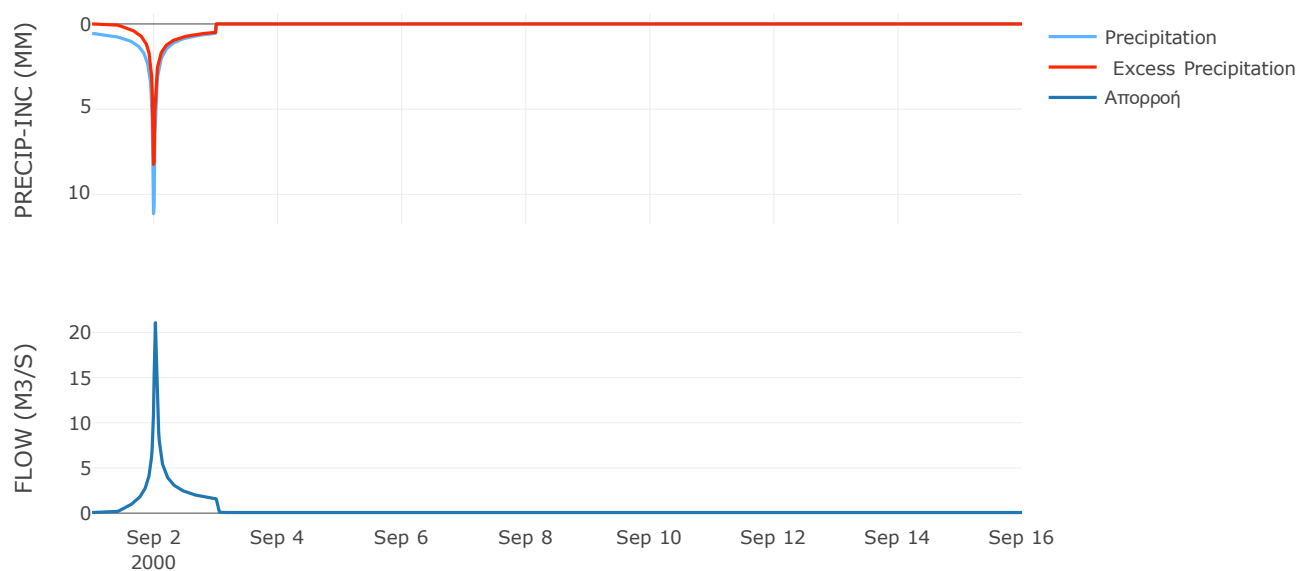
Μέθοδος
Μετασχηματισμού: SCS

Χρόνος Υστέρησης	24.08
------------------	-------

Αποτελέσματα:
EL0421FR001004

Παροχή αιχμής (M3/S)	21.07
Χρονική στιγμή αιχμής	02Sep2000, 00:30
Όγκος (MM)	189.33
Όγκος βροχόπτωσης (M3)	6.82E5
Όγκος απωλειών (M3)	2.53E5
Ενεργός Όγκος (M3)	4.28E5
Όγκος άμεσης απορροής (M3)	4.28E5
Όγκος βασικής απορροής (M3)	88444.22

Βροχόπτωση και Απορροή



Υπολεκάνη: EL0421FR001005

Έκταση (KM2) : 18.09

Κατάντη : J5

Μέθοδος Απωλειών: SCS

Ποσοστό αδιαπέρατης επιφάνειας	0
Αριθμός Καμπύλης Απορροής-CN	60.08
Αρχικές Απώλειες	33.75

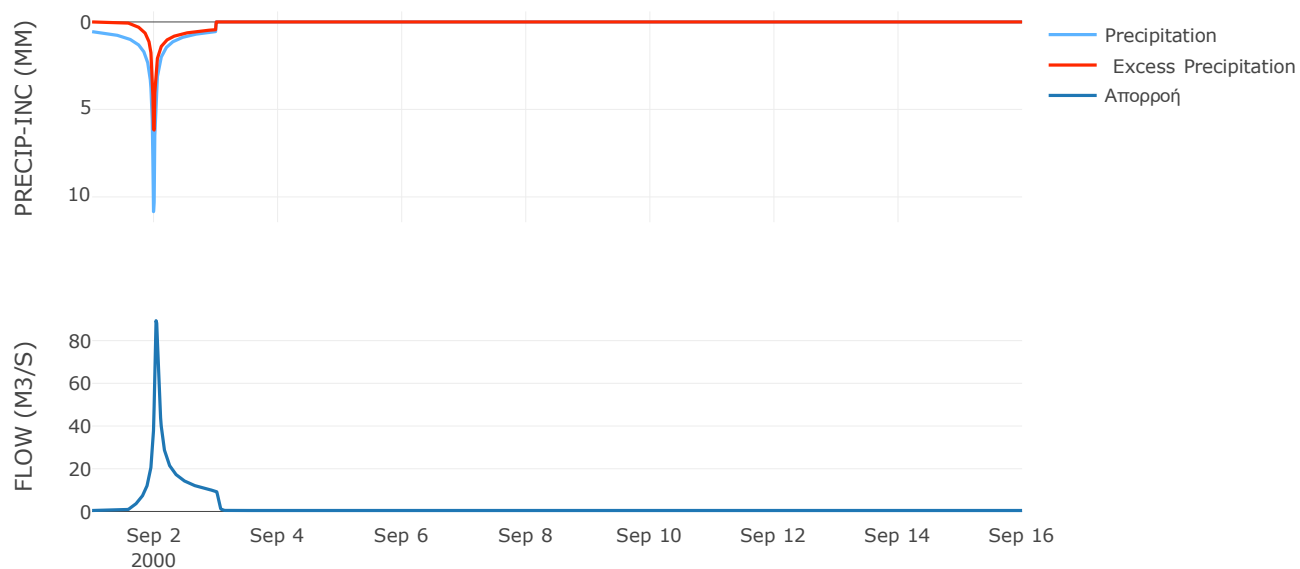
Μέθοδος
Μετασχηματισμού: SCS

Χρόνος Υστέρησης	44.96
------------------	-------

Αποτελέσματα:
EL0421FR001005

Παροχή αιχμής (M3/S)	89.34
Χρονική στιγμή αιχμής	02Sep2000, 00:45
Όγκος (MM)	152.66
Όγκος βροχόπτωσης (M3)	4.5E6
Όγκος απωλειών (M3)	2.32E6
Ενεργός Όγκος (M3)	2.18E6
Όγκος άμεσης απορροής (M3)	2.18E6
Όγκος βασικής απορροής (M3)	5.86E5

Βροχόπτωση και Απορροή



Υπολεκάνη: EL0421FR001006

Έκταση (KM2) : 33.49

Κατάντη : J6

Μέθοδος Απωλειών: SCS

Ποσοστό αδιαπέρατης επιφάνειας	0
Αριθμός Καμπύλης Απορροής-CN	71.54
Αρχικές Απώλειες	20.21

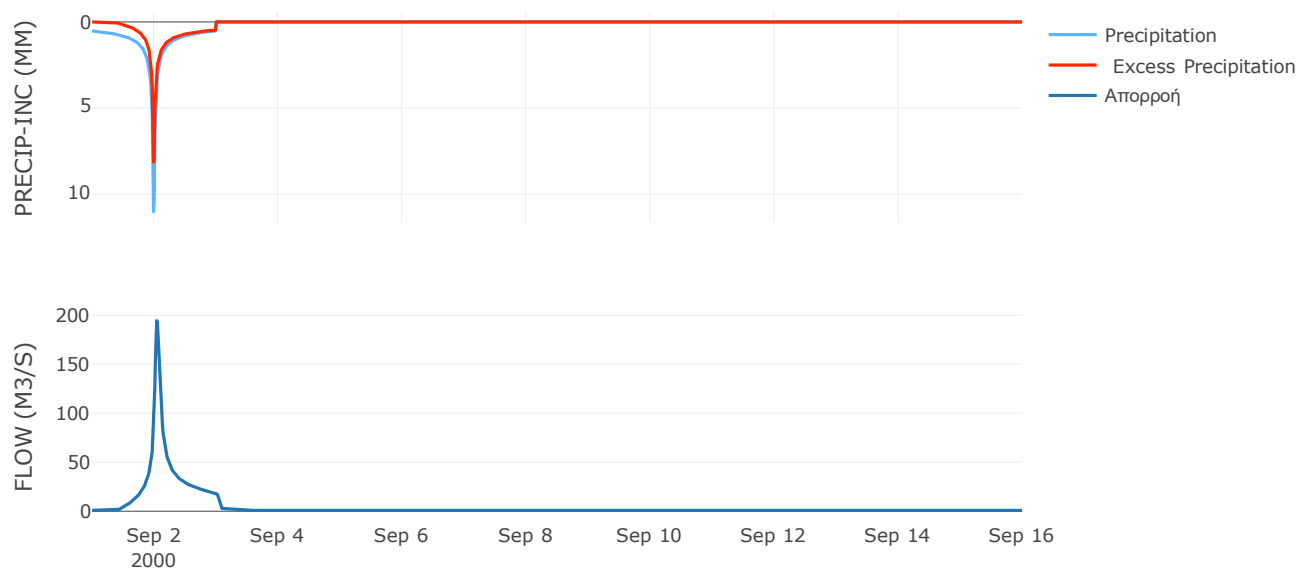
Μέθοδος
Μετασχηματισμού: SCS

Χρόνος Υστέρησης	61.29
------------------	-------

Αποτελέσματα:
EL0421FR001006

Παροχή αιχμής (M3/S)	194.4
Χρονική στιγμή αιχμής	02Sep2000, 01:00
Όγκος (MM)	183.41
Όγκος βροχόπτωσης (M3)	8.05E6
Όγκος απωλειών (M3)	3E6
Ενεργός Όγκος (M3)	5.06E6
Όγκος άμεσης απορροής (M3)	5.06E6
Όγκος βασικής απορροής (M3)	1.08E6

Βροχόπτωση και Απορροή



Υπολεκάνη: EL0421FR001007

Έκταση (KM2) : 33.81

Κατάντη : J7

Μέθοδος Απωλειών: SCS

Ποσοστό αδιαπέρατης επιφάνειας	0
Αριθμός Καμπύλης Απορροής-CN	81.8
Αρχικές Απώλειες	11.3

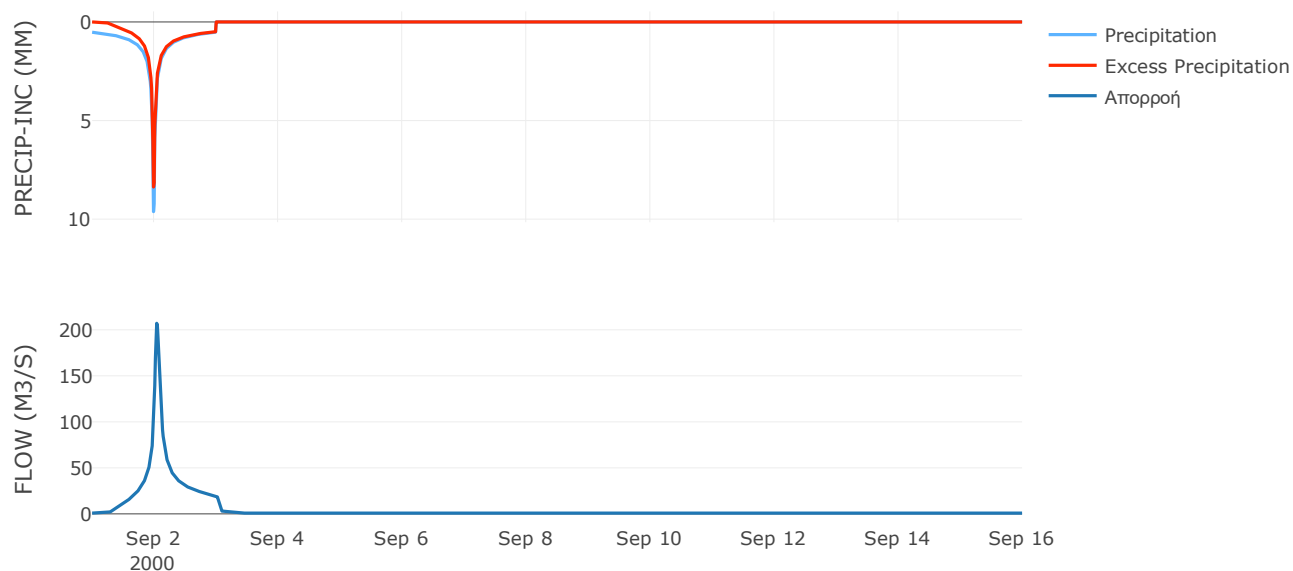
Μέθοδος
Μετασχηματισμού: SCS

Χρόνος Υστέρησης	61.61
------------------	-------

Αποτελέσματα:
EL0421FR001007

Παροχή αιχμής (M3/S)	207.06
Χρονική στιγμή αιχμής	02Sep2000, 01:00
Όγκος (MM)	205.06
Όγκος βροχόπτωσης (M3)	7.74E6
Όγκος απωλειών (M3)	1.9E6
Ενεργός Όγκος (M3)	5.84E6
Όγκος άμεσης απορροής (M3)	5.84E6
Όγκος βασικής απορροής (M3)	1.1E6

Βροχόπτωση και Απορροή



Υπολεκάνη: EL0421FR001008

Έκταση (KM2) : 8.14

Κατάντη : J8

Μέθοδος Απωλειών: SCS

Ποσοστό αδιαπέρατης επιφάνειας	0
Αριθμός Καμπύλης Απορροής-CN	76.81
Αρχικές Απώλειες	15.34

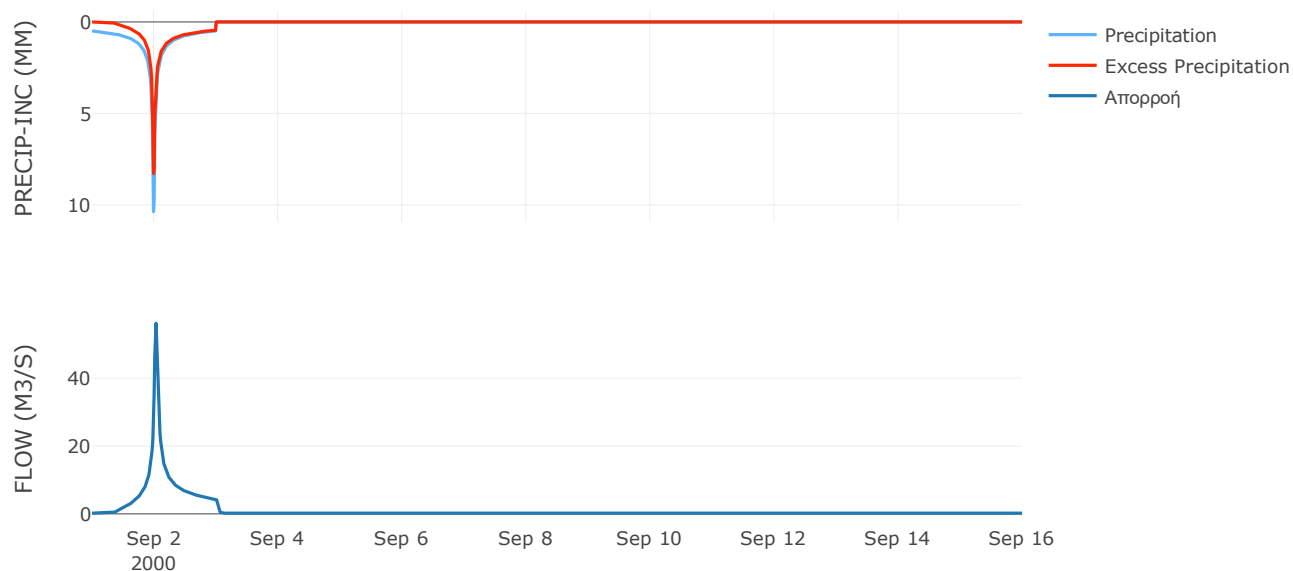
Μέθοδος
Μετασχηματισμού: SCS

Χρόνος Υστέρησης	37.14
------------------	-------

Αποτελέσματα:
EL0421FR001008

Παροχή αιχμής (M3/S)	56.15
Χρονική στιγμή αιχμής	02Sep2000, 00:45
Όγκος (MM)	186.35
Όγκος βροχόπτωσης (M3)	1.84E6
Όγκος απωλειών (M3)	5.82E5
Ενεργός Όγκος (M3)	1.25E6
Όγκος άμεσης απορροής (M3)	1.25E6
Όγκος βασικής απορροής (M3)	2.64E5

Βροχόπτωση και Απορροή



Υπολεκάνη: EL0421FR001009

Έκταση (KM2) : 9.96

Κατάντη : J9

Μέθοδος Απωλειών: SCS

Ποσοστό αδιαπέρατης επιφάνειας	0
Αριθμός Καμπύλης Απορροής-CN	80.24
Αρχικές Απώλειες	12.51

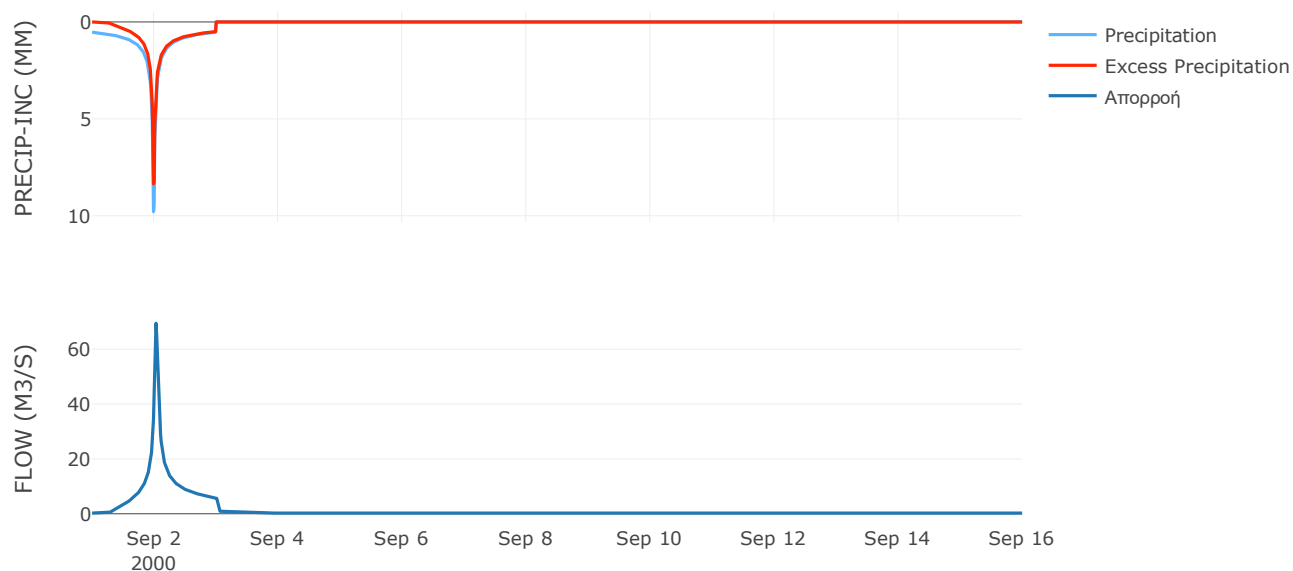
Μέθοδος
Μετασχηματισμού: SCS

Χρόνος Υστέρησης	40.22
------------------	-------

Αποτελέσματα:
EL0421FR001009

Παροχή αιχμής (M3/S)	69.45
Χρονική στιγμή αιχμής	02Sep2000, 00:45
Όγκος (MM)	203.46
Όγκος βροχόπτωσης (M3)	2.31E6
Όγκος απωλειών (M3)	6.1E5
Ενεργός Όγκος (M3)	1.7E6
Όγκος άμεσης απορροής (M3)	1.7E6
Όγκος βασικής απορροής (M3)	3.23E5

Βροχόπτωση και Απορροή



Υπολεκάνη: EL0421FR001010

Έκταση (KM2) : 28.77

Κατάνη : J10 Res1

Μέθοδος Απωλειών: SCS

Ποσοστό αδιαπέρατης επιφάνειας	0.14
Αριθμός Καμπύλης Απορροής-CN	80.01
Αρχικές Απώλειες	12.69

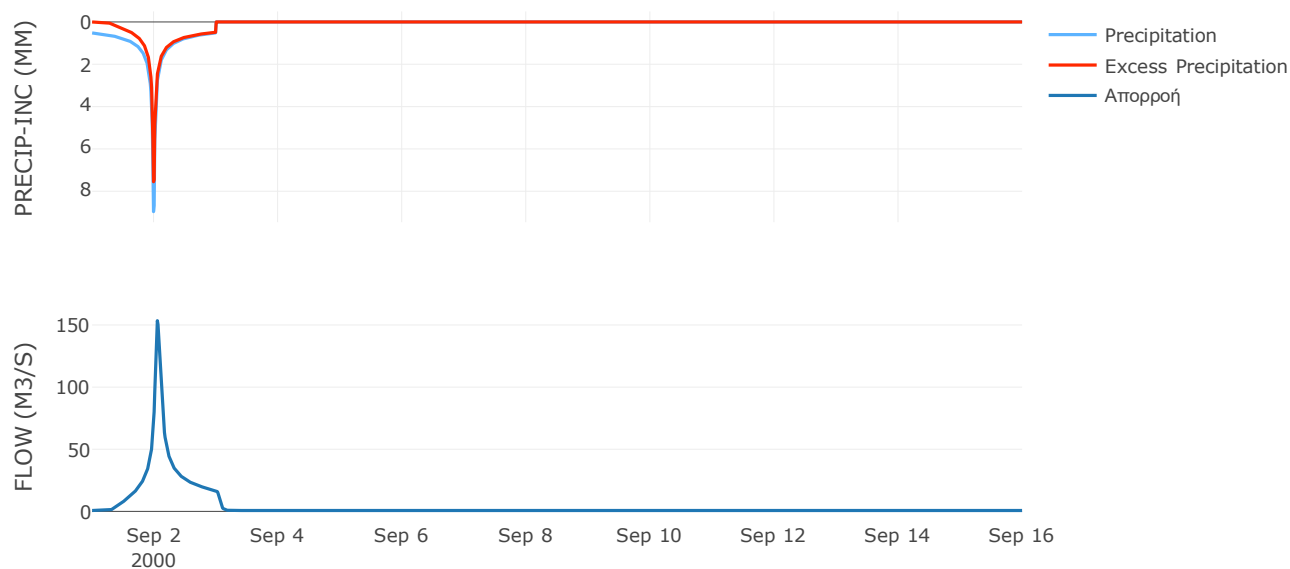
Μέθοδος
Μετασχηματισμού: SCS

Χρόνος Υστέρησης	71.73
------------------	-------

Αποτελέσματα:
EL0421FR001010

Παροχή αιχμής (M3/S)	153.44
Χρονική στιγμή αιχμής	02Sep2000, 01:15
Όγκος (MM)	194.29
Όγκος βροχόπτωσης (M3)	6.42E6
Όγκος απωλειών (M3)	1.77E6
Ενεργός Όγκος (M3)	4.66E6
Όγκος άμεσης απορροής (M3)	4.66E6
Όγκος βασικής απορροής (M3)	9.32E5

Βροχόπτωση και Απορροή



Υπολεκάνη: EL0421FR001011

Έκταση (KM2) : 2.42

Κατάνη : J11

Μέθοδος Απωλειών: SCS

Ποσοστό αδιαπέρατης επιφάνειας	0.38
Αριθμός Καμπύλης Απορροής-CN	79.08
Αρχικές Απώλειες	13.44

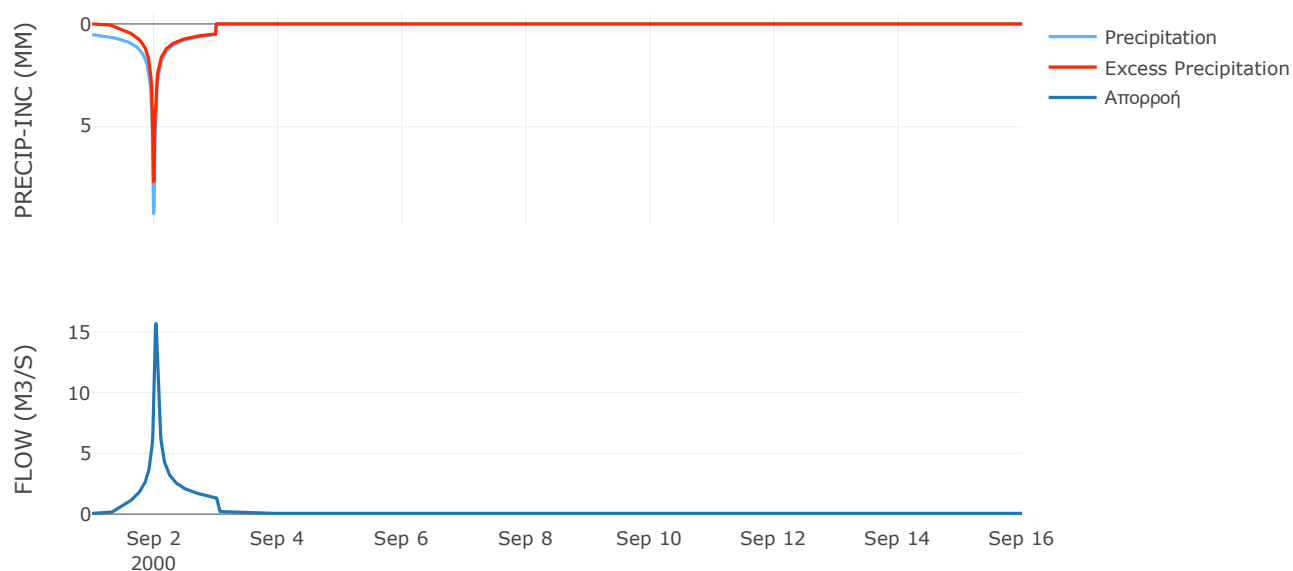
Μέθοδος
Μετασχηματισμού: SCS

Χρόνος Υστέρησης	39.32
------------------	-------

Αποτελέσματα:
EL0421FR001011

Παροχή αιχμής (M3/S)	15.68
Χρονική στιγμή αιχμής	02Sep2000, 00:45
Όγκος (MM)	192.99
Όγκος βροχόπτωσης (M3)	5.43E5
Όγκος απωλειών (M3)	1.55E5
Ενεργός Όγκος (M3)	3.88E5
Όγκος άμεσης απορροής (M3)	3.88E5
Όγκος βασικής απορροής (M3)	78317.28

Βροχόπτωση και Απορροή



Υπολεκάνη: EL0421FR001012

Έκταση (KM2) : 33.86

Κατάντη : J12

Μέθοδος Απωλειών: SCS

Ποσοστό αδιαπέρατης επιφάνειας	0.09
Αριθμός Καμπύλης Απορροής-CN	62.82
Αρχικές Απώλειες	30.06

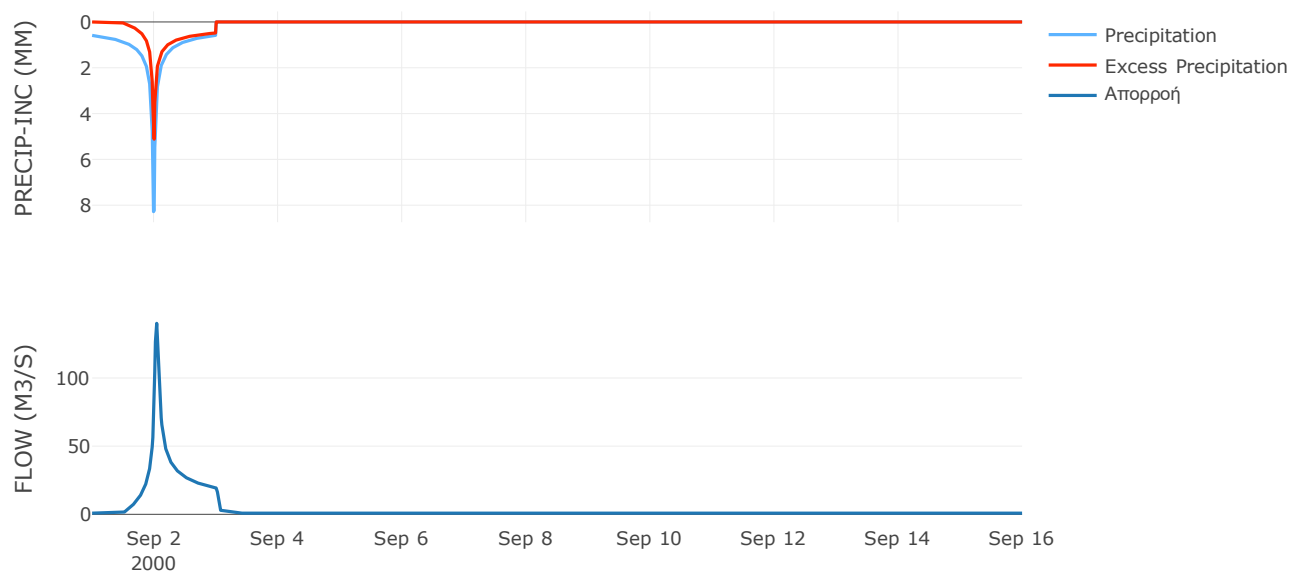
Μέθοδος
Μετασχηματισμού: SCS

Χρόνος Υστέρησης	46.9
------------------	------

Αποτελέσματα:
EL0421FR001012

Παροχή αιχμής (M3/S)	140.09
Χρονική στιγμή αιχμής	02Sep2000, 01:00
Όγκος (MM)	152.35
Όγκος βροχόπτωσης (M3)	8.02E6
Όγκος απωλειών (M3)	3.96E6
Ενεργός Όγκος (M3)	4.06E6
Όγκος άμεσης απορροής (M3)	4.06E6
Όγκος βασικής απορροής (M3)	1.1E6

Βροχόπτωση και Απορροή



Υπολεκάνη: EL0421FR001013

Έκταση (KM2) : 34.09

Κατάντη : J13

Μέθοδος Απωλειών: SCS

Ποσοστό αδιαπέρατης επιφάνειας	0
Αριθμός Καμπύλης Απορροής-CN	63.6
Αρχικές Απώλειες	29.07

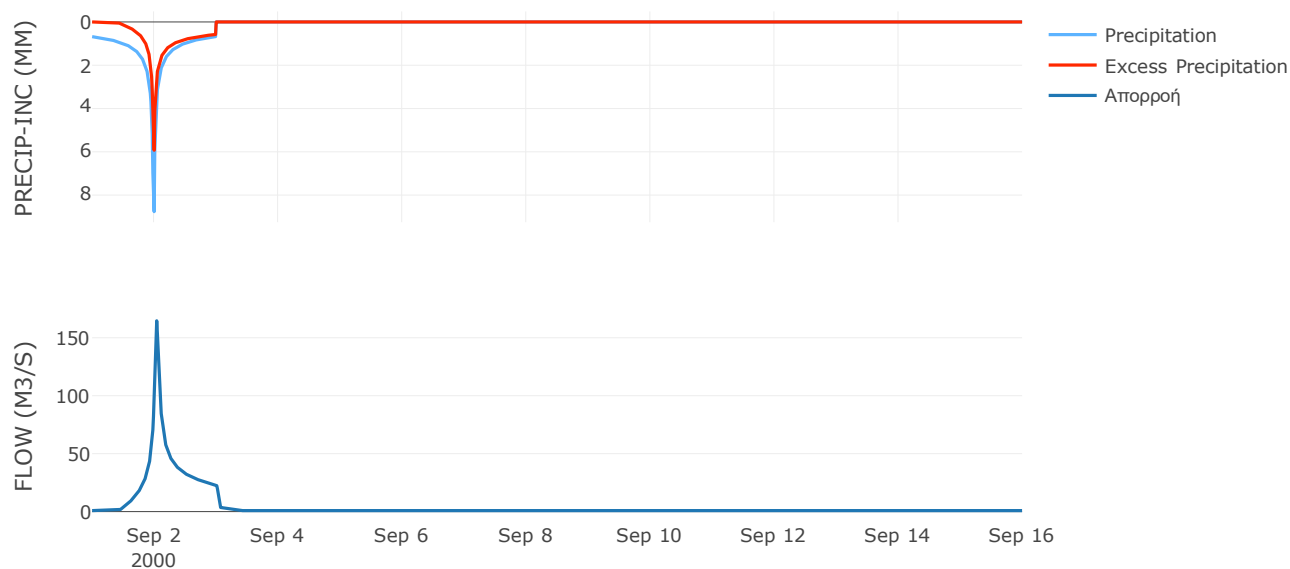
Μέθοδος
Μετασχηματισμού: SCS

Χρόνος Υστέρησης	47.79
------------------	-------

Αποτελέσματα:
EL0421FR001013

Παροχή αιχμής (M3/S)	164.64
Χρονική στιγμή αιχμής	02Sep2000, 01:00
Όγκος (MM)	179.48
Όγκος βροχόπτωσης (M3)	9.08E6
Όγκος απωλειών (M3)	4.06E6
Ενεργός Όγκος (M3)	5.01E6
Όγκος άμεσης απορροής (M3)	5.01E6
Όγκος βασικής απορροής (M3)	1.1E6

Βροχόπτωση και Απορροή



Υπολεκάνη: EL0421FR001014

Έκταση (KM2) : 11.34

Κατάντη : J14

Μέθοδος Απωλειών: SCS

Ποσοστό αδιαπέρατης επιφάνειας	0
Αριθμός Καμπύλης Απορροής-CN	73.38
Αρχικές Απώλειες	18.43

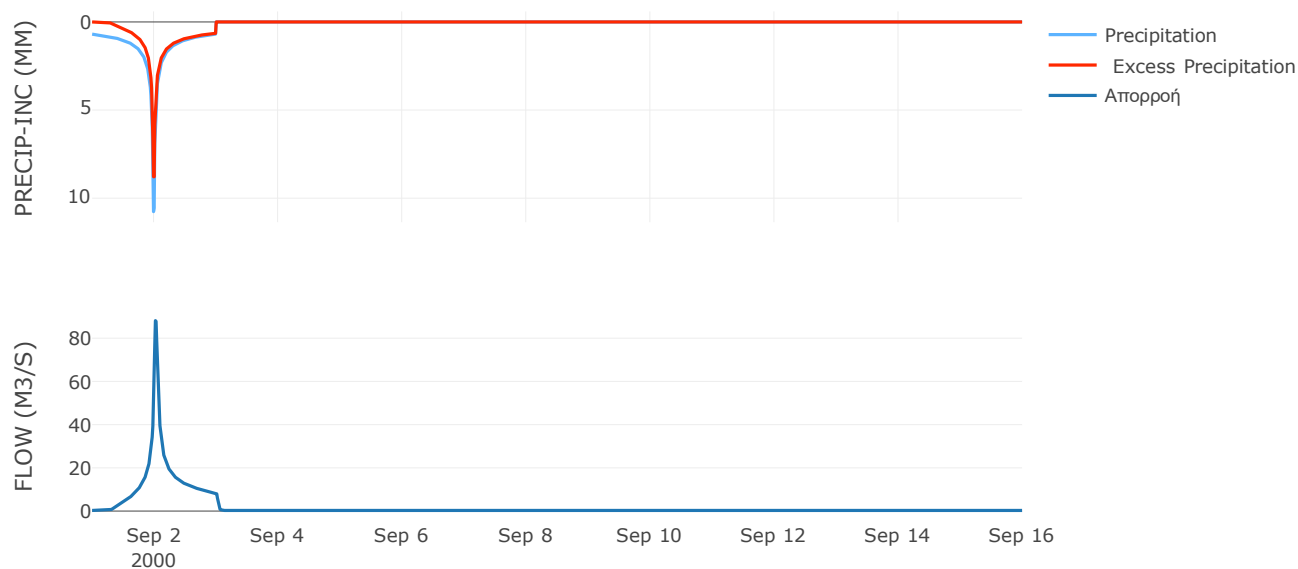
Μέθοδος
Μετασχηματισμού: SCS

Χρόνος Υστέρησης	34.32
------------------	-------

Αποτελέσματα:
EL0421FR001014

Παροχή αιχμής (M3/S)	88.13
Χρονική στιγμή αιχμής	02Sep2000, 00:30
Όγκος (MM)	233.51
Όγκος βροχόπτωσης (M3)	3.27E6
Όγκος απωλειών (M3)	9.88E5
Ενεργός Όγκος (M3)	2.28E6
Όγκος άμεσης απορροής (M3)	2.28E6
Όγκος βασικής απορροής (M3)	3.67E5

Βροχόπτωση και Απορροή



Υπολεκάνη: EL0421FR001015

Έκταση (KM2) : 20.48

Κατάντη : J15

Μέθοδος Απωλειών: SCS

Ποσοστό αδιαπέρατης επιφάνειας	0
Αριθμός Καμπύλης Απορροής-CN	71.2
Αρχικές Απώλειες	20.55

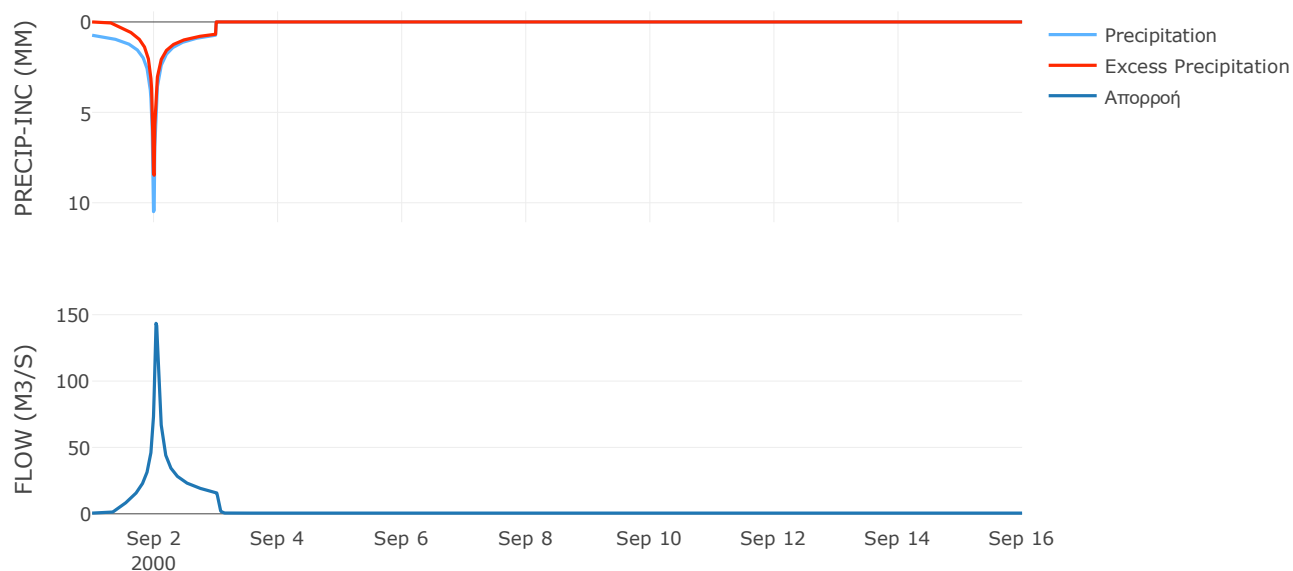
Μέθοδος
Μετασχηματισμού: SCS

Χρόνος Υστέρησης	46.68
------------------	-------

Αποτελέσματα:
EL0421FR001015

Παροχή αιχμής (M3/S)	143.5
Χρονική στιγμή αιχμής	02Sep2000, 00:45
Όγκος (MM)	235.1
Όγκος βροχόπτωσης (M3)	6.11E6
Όγκος απωλειών (M3)	1.96E6
Ενεργός Όγκος (M3)	4.15E6
Όγκος άμεσης απορροής (M3)	4.15E6
Όγκος βασικής απορροής (M3)	6.63E5

Βροχόπτωση και Απορροή



Υπολεκάνη: EL0421FR001016

Έκταση (KM2) : 15.22

Κατάντη : J16

Μέθοδος Απωλειών: SCS

Ποσοστό αδιαπέρατης επιφάνειας	0
Αριθμός Καμπύλης Απορροής-CN	70.19
Αρχικές Απώλειες	21.58

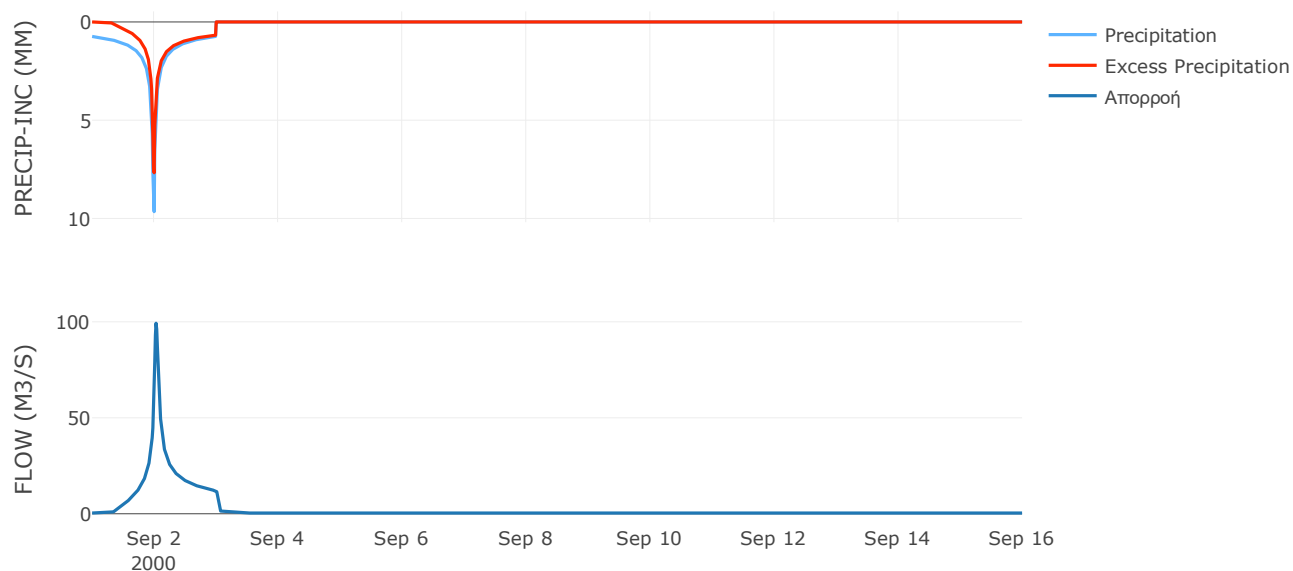
Μέθοδος
Μετασχηματισμού: SCS

Χρόνος Υστέρησης	43.29
------------------	-------

Αποτελέσματα:
EL0421FR001016

Παροχή αιχμής (M3/S)	99.26
Χρονική στιγμή αιχμής	02Sep2000, 00:45
Όγκος (MM)	224.36
Όγκος βροχόπτωσης (M3)	4.42E6
Όγκος απωλειών (M3)	1.5E6
Ενεργός Όγκος (M3)	2.92E6
Όγκος άμεσης απορροής (M3)	2.92E6
Όγκος βασικής απορροής (M3)	4.93E5

Βροχόπτωση και Απορροή



Υπολεκάνη: EL0421FR001017

Έκταση (KM2) : 32
Κατάντη : J17

Μέθοδος Απωλειών: SCS

Ποσοστό αδιαπέρατης επιφάνειας	0
Αριθμός Καμπύλης Απορροής-CN	77
Αρχικές Απώλειες	15.17

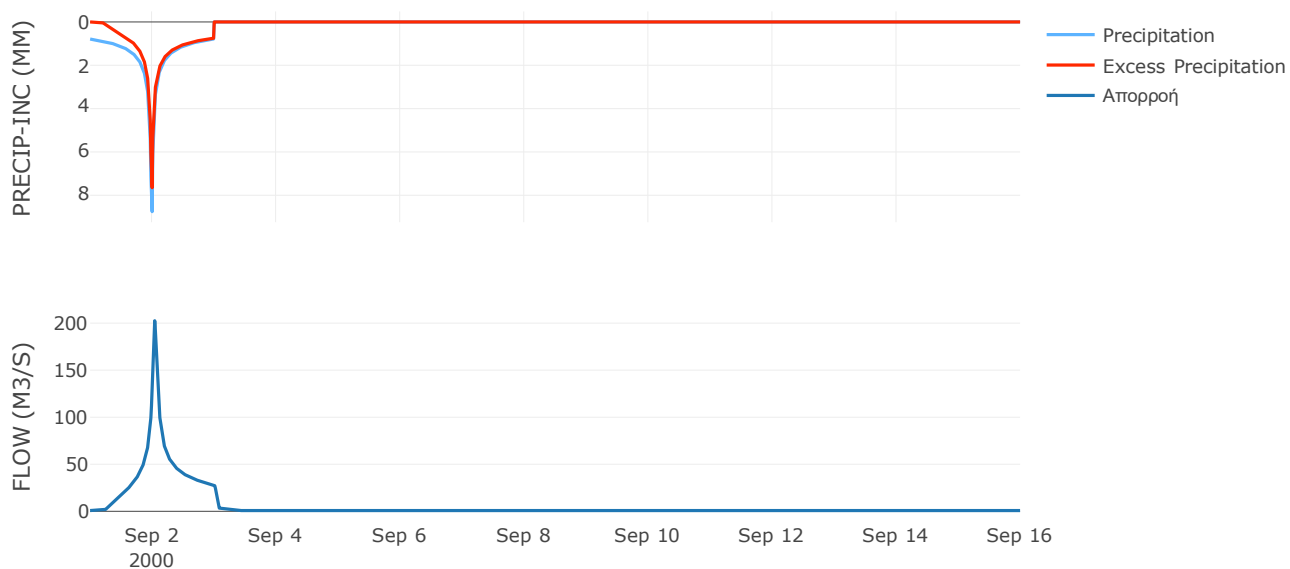
Μέθοδος
Μετασχηματισμού: SCS

Χρόνος Υστέρησης	51.13
------------------	-------

Αποτελέσματα:
EL0421FR001017

Παροχή αιχμής (M3/S)	202.51
Χρονική στιγμή αιχμής	02Sep2000, 01:00
Όγκος (MM)	251.53
Όγκος βροχόπτωσης (M3)	9.4E6
Όγκος απωλειών (M3)	2.39E6
Ενεργός Όγκος (M3)	7.01E6
Όγκος άμεσης απορροής (M3)	7.01E6
Όγκος βασικής απορροής (M3)	1.04E6

Βροχόπτωση και Απορροή



Υπολεκάνη: EL0421FR001018

Έκταση (KM2) : 15.19

Κατάληξη : J17

Μέθοδος Απωλειών: SCS

Ποσοστό αδιαπέρατης επιφάνειας	0
Αριθμός Καμπύλης Απορροής-CN	66.09
Αρχικές Απώλειες	26.06

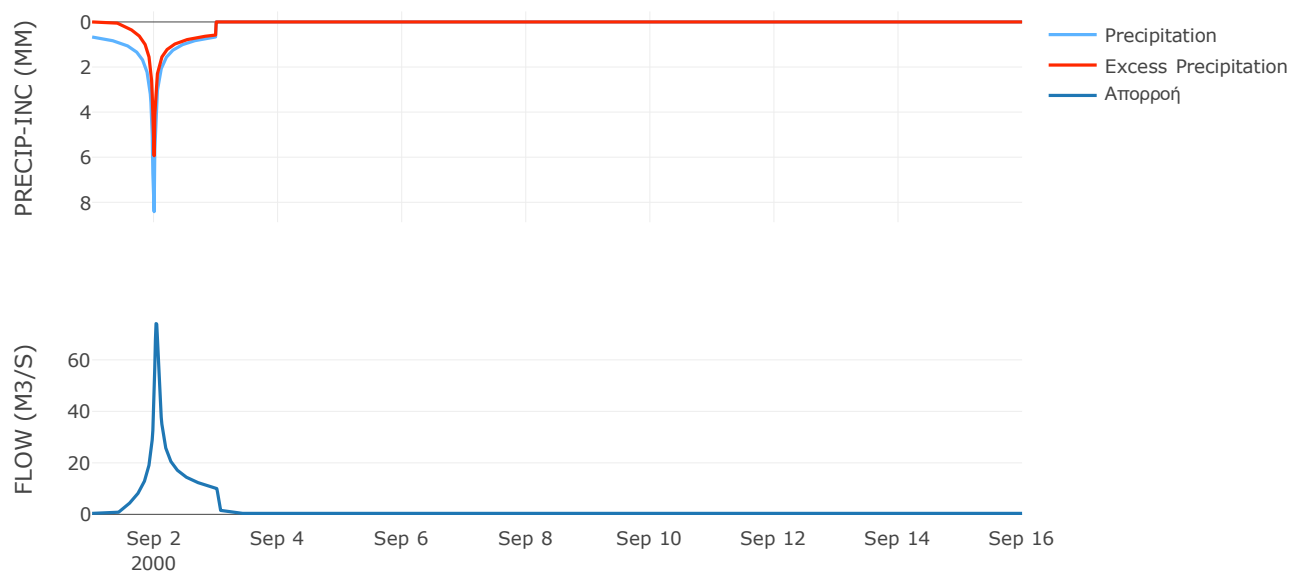
Μέθοδος
Μετασχηματισμού: SCS

Χρόνος Υστέρησης	47.1
------------------	------

Αποτελέσματα:
EL0421FR001018

Παροχή αιχμής (M3/S)	74.1
Χρονική στιγμή αιχμής	02Sep2000, 00:45
Όγκος (MM)	182.7
Όγκος βροχόπτωσης (M3)	3.95E6
Όγκος απωλειών (M3)	1.67E6
Ενεργός Όγκος (M3)	2.28E6
Όγκος άμεσης απορροής (M3)	2.28E6
Όγκος βασικής απορροής (M3)	4.92E5

Βροχόπτωση και Απορροή



Υπολεκάνη: EL0421FR001019

Έκταση (KM2) : 21.21

Κατάντη : J17

Μέθοδος Απωλειών: SCS

Ποσοστό αδιαπέρατης επιφάνειας	0
Αριθμός Καμπύλης Απορροής-CN	64.14
Αρχικές Απώλειες	28.4

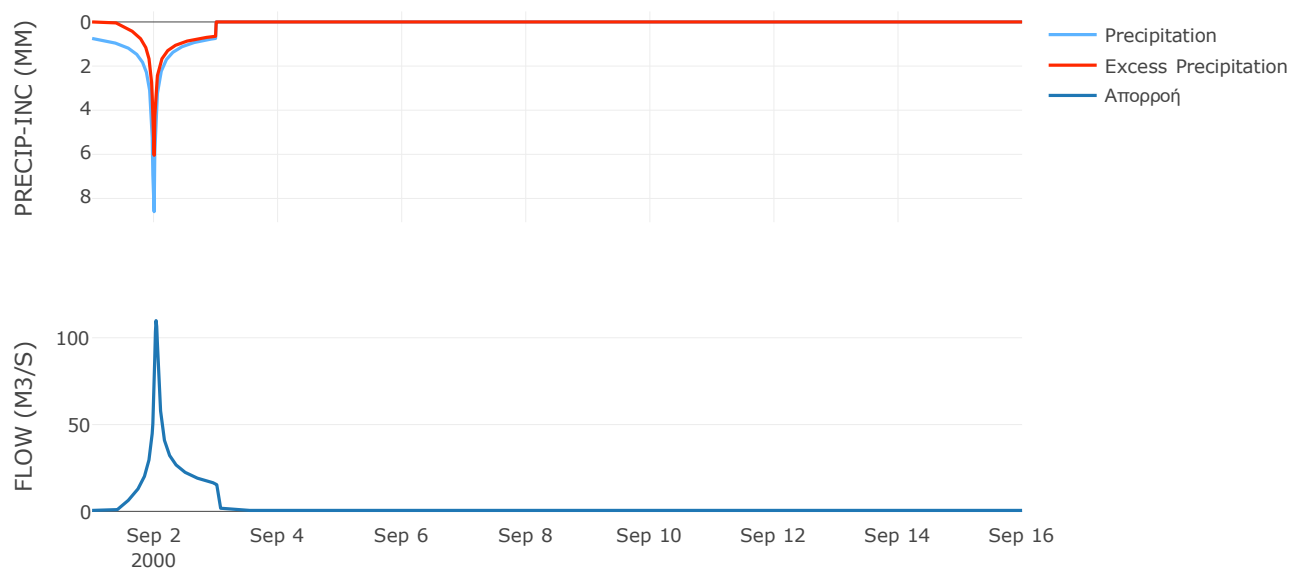
Μέθοδος
Μετασχηματισμού: SCS

Χρόνος Υστέρησης	42.12
------------------	-------

Αποτελέσματα:
EL0421FR001019

Παροχή αιχμής (M3/S)	109.87
Χρονική στιγμή αιχμής	02Sep2000, 00:45
Όγκος (MM)	195.11
Όγκος βροχόπτωσης (M3)	5.98E6
Όγκος απωλειών (M3)	2.53E6
Ενεργός Όγκος (M3)	3.45E6
Όγκος άμεσης απορροής (M3)	3.45E6
Όγκος βασικής απορροής (M3)	6.87E5

Βροχόπτωση και Απορροή



Υπολεκάνη: EL0421FR001020

Έκταση (KM2) : 12.17

Κατάντη : J15

Μέθοδος Απωλειών: SCS

Ποσοστό αδιαπέρατης επιφάνειας	0
Αριθμός Καμπύλης Απορροής-CN	58.23
Αρχικές Απώλειες	36.45

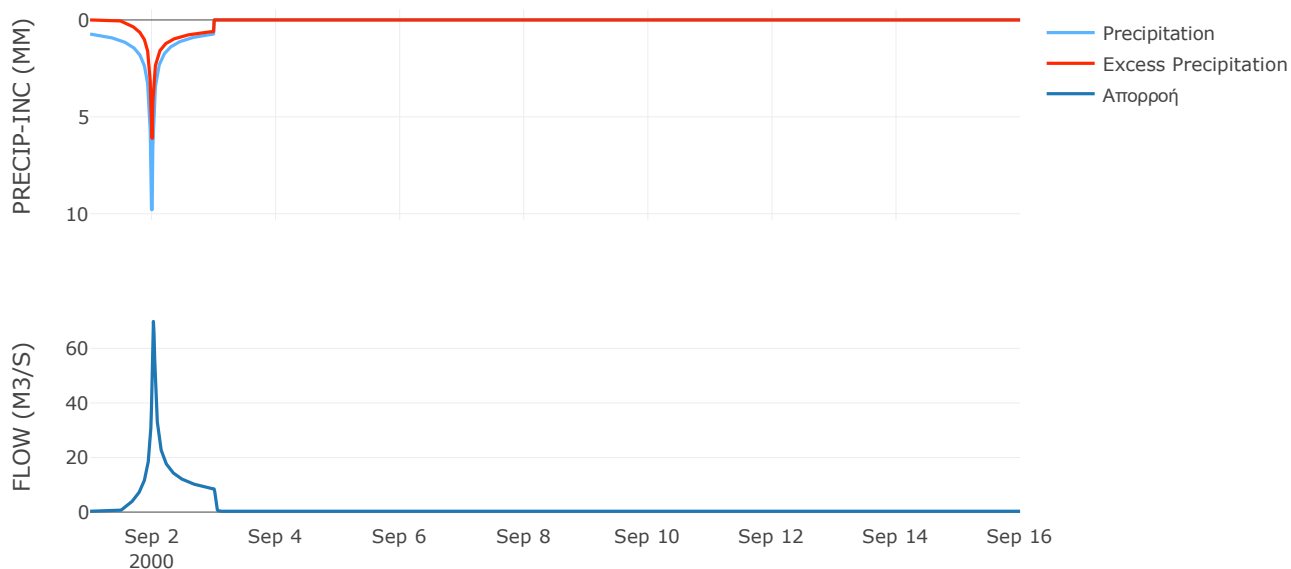
Μέθοδος
Μετασχηματισμού: SCS

Χρόνος Υστέρησης	26.2
------------------	------

Αποτελέσματα:
EL0421FR001020

Παροχή αιχμής (M3/S)	69.88
Χρονική στιγμή αιχμής	02Sep2000, 00:30
Όγκος (MM)	179.6
Όγκος βροχόπτωσης (M3)	3.53E6
Όγκος απωλειών (M3)	1.73E6
Ενεργός Όγκος (M3)	1.79E6
Όγκος άμεσης απορροής (M3)	1.79E6
Όγκος βασικής απορροής (M3)	3.94E5

Βροχόπτωση και Απορροή



Υπολεκάνη: EL0421FR001021

Έκταση (KM2) : 25.71

Κατάντη : J16

Μέθοδος Απωλειών: SCS

Ποσοστό αδιαπέρατης επιφάνειας	0
Αριθμός Καμπύλης Απορροής-CN	79.09
Αρχικές Απώλειες	13.43

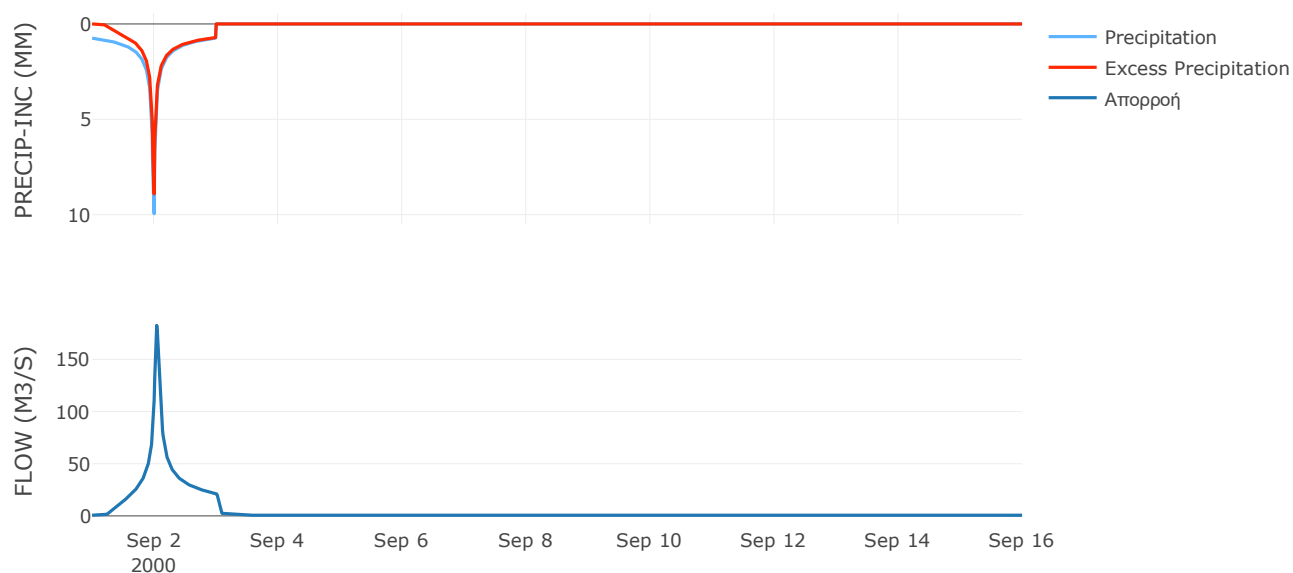
Μέθοδος
Μετασχηματισμού: SCS

Χρόνος Υστέρησης	56.32
------------------	-------

Αποτελέσματα:
EL0421FR001021

Παροχή αιχμής (M3/S)	182.66
Χρονική στιγμή αιχμής	02Sep2000, 01:00
Όγκος (MM)	260.04
Όγκος βροχόπτωσης (M3)	7.59E6
Όγκος απωλειών (M3)	1.74E6
Ενεργός Όγκος (M3)	5.85E6
Όγκος άμεσης απορροής (M3)	5.85E6
Όγκος βασικής απορροής (M3)	8.33E5

Βροχόπτωση και Απορροή



Υπολεκάνη: EL0421FR001022

Έκταση (KM2) : 24.36

Κατάντη : J16

Μέθοδος Απωλειών: SCS

Ποσοστό αδιαπέρατης επιφάνειας	0
Αριθμός Καμπύλης Απορροής-CN	78.15
Αρχικές Απώλειες	14.2

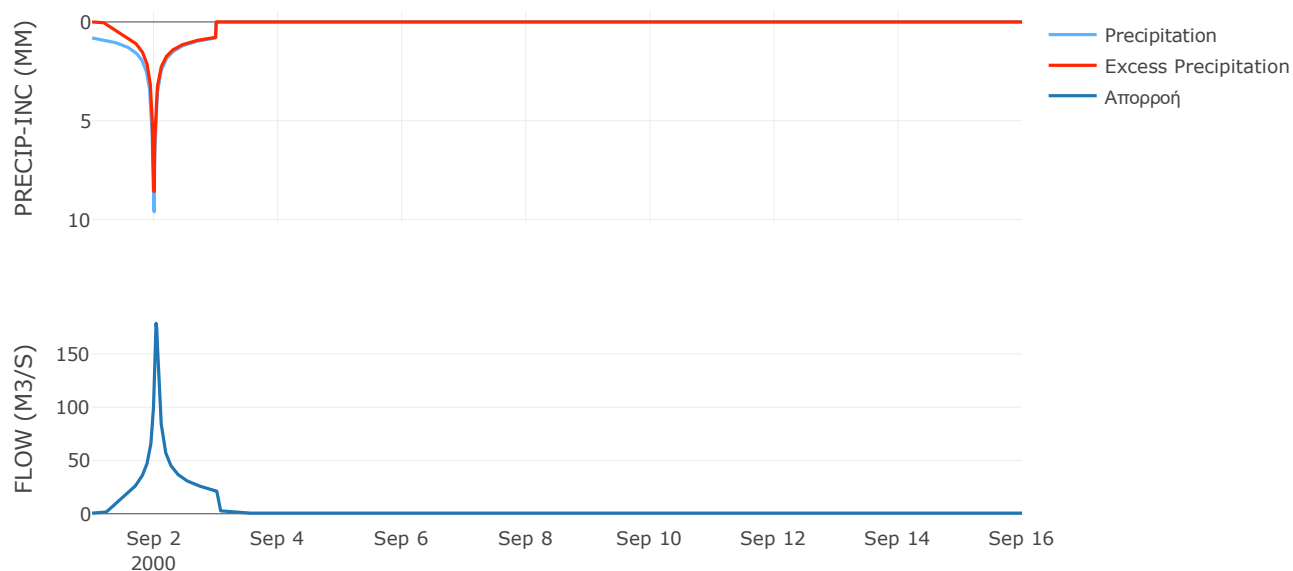
Μέθοδος
Μετασχηματισμού: SCS

Χρόνος Υστέρησης	44.97
------------------	-------

Αποτελέσματα:
EL0421FR001022

Παροχή αιχμής (M3/S)	178.73
Χρονική στιγμή αιχμής	02Sep2000, 00:45
Όγκος (MM)	270.04
Όγκος βροχόπτωσης (M3)	7.53E6
Όγκος απωλειών (M3)	1.74E6
Ενεργός Όγκος (M3)	5.79E6
Όγκος άμεσης απορροής (M3)	5.79E6
Όγκος βασικής απορροής (M3)	7.89E5

Βροχόπτωση και Απορροή



Υπολεκάνη: EL0421FR001023

Έκταση (KM2) : 13.31

Κατάντη : J14

Μέθοδος Απωλειών: SCS

Ποσοστό αδιαπέρατης επιφάνειας	0
Αριθμός Καμπύλης Απορροής-CN	74.77
Αρχικές Απώλειες	17.15

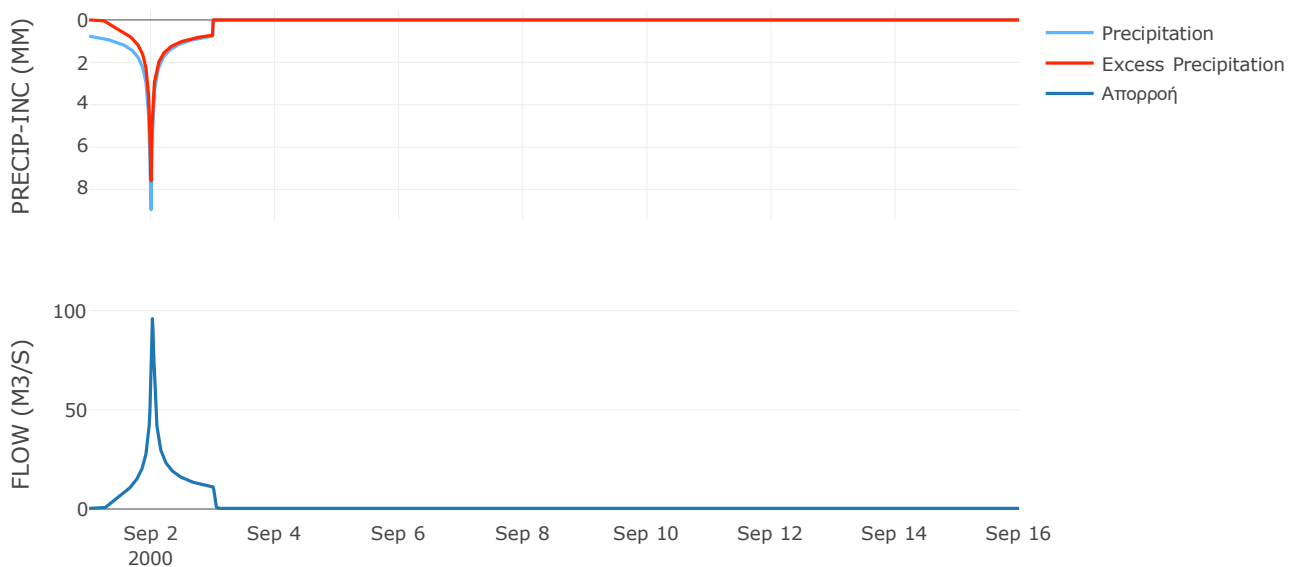
Μέθοδος
Μετασχηματισμού: SCS

Χρόνος Υστέρησης	27.39
------------------	-------

Αποτελέσματα:
EL0421FR001023

Παροχή αιχμής (M3/S)	95.92
Χρονική στιγμή αιχμής	02Sep2000, 00:30
Όγκος (MM)	240.1
Όγκος βροχόπτωσης (M3)	3.86E6
Όγκος απωλειών (M3)	1.1E6
Ενεργός Όγκος (M3)	2.76E6
Όγκος άμεσης απορροής (M3)	2.76E6
Όγκος βασικής απορροής (M3)	4.31E5

Βροχόπτωση και Απορροή



Υπολεκάνη: EL0421FR001024

Έκταση (KM2) : 30.28

Κατάντη : J18

Μέθοδος Απωλειών: SCS

Ποσοστό αδιαπέρατης επιφάνειας	0
Αριθμός Καμπύλης Απορροής-CN	78.62
Αρχικές Απώλειες	13.81

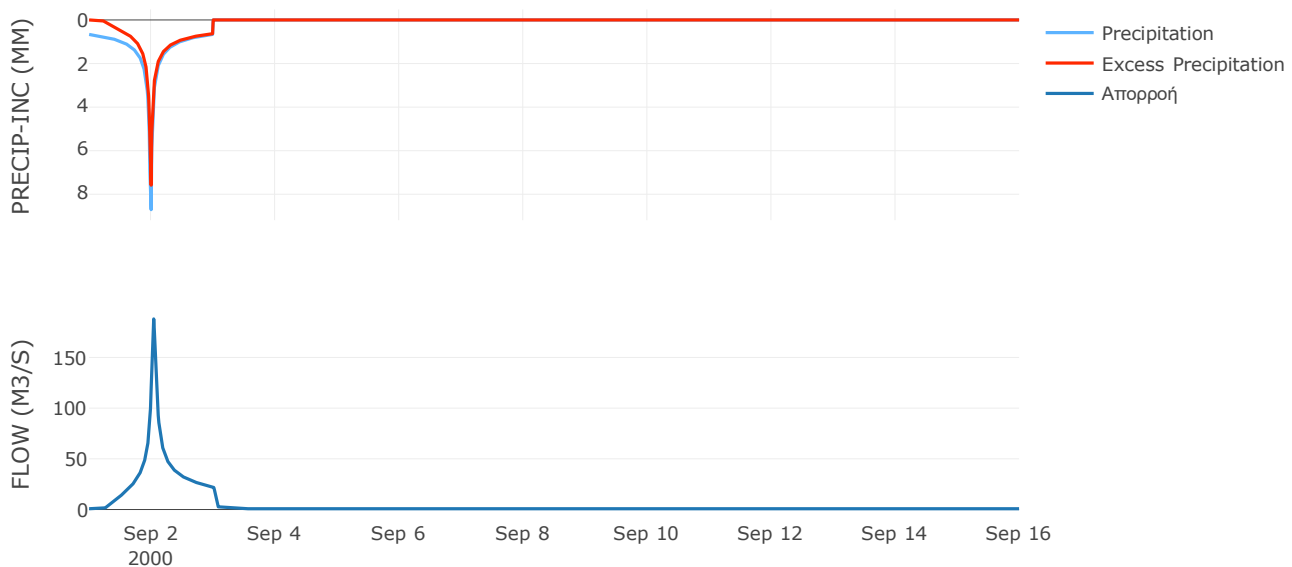
Μέθοδος
Μετασχηματισμού: SCS

Χρόνος Υστέρησης	49.72
------------------	-------

Αποτελέσματα:
EL0421FR001024

Παροχή αιχμής (M3/S)	188.03
Χρονική στιγμή αιχμής	02Sep2000, 01:00
Όγκος (MM)	226.75
Όγκος βροχόπτωσης (M3)	7.94E6
Όγκος απωλειών (M3)	2.05E6
Ενεργός Όγκος (M3)	5.89E6
Όγκος άμεσης απορροής (M3)	5.89E6
Όγκος βασικής απορροής (M3)	9.81E5

Βροχόπτωση και Απορροή



Υπολεκάνη: EL0421FR001025

Έκταση (KM2) : 69.37

Κατάντη : J19

Μέθοδος Απωλειών: SCS

Ποσοστό αδιαπέρατης επιφάνειας	0
Αριθμός Καμπύλης Απορροής-CN	72.46
Αρχικές Απώλειες	19.31

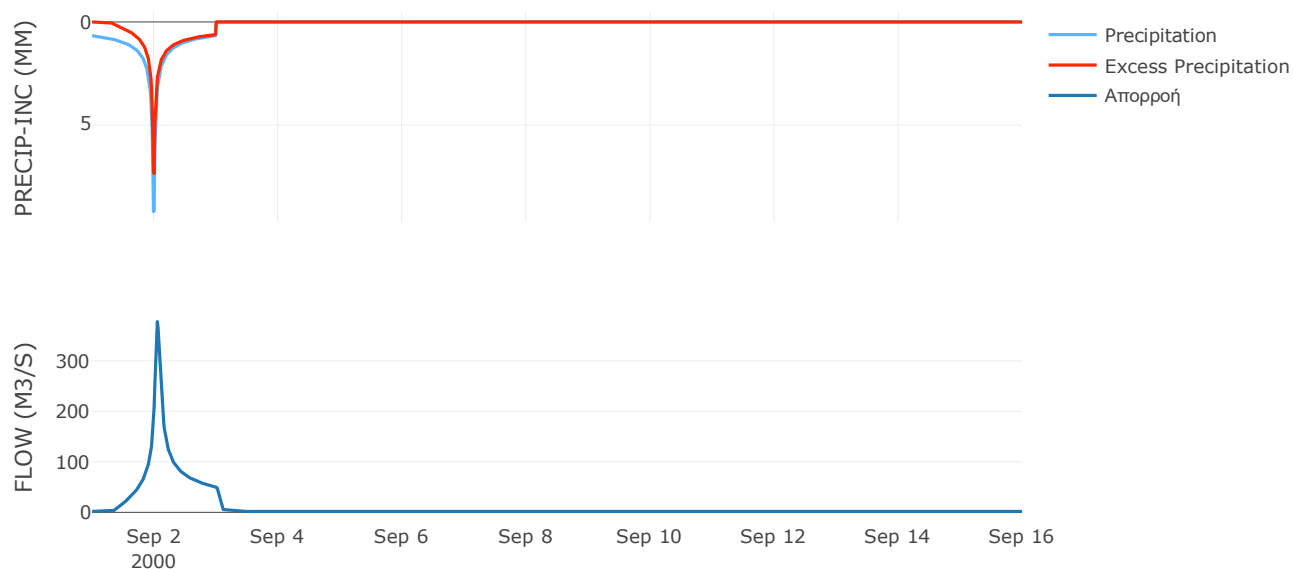
Μέθοδος
Μετασχηματισμού: SCS

Χρόνος Υστέρησης	67.96
------------------	-------

Αποτελέσματα:
EL0421FR001025

Παροχή αιχμής (M3/S)	377.97
Χρονική στιγμή αιχμής	02Sep2000, 01:15
Όγκος (MM)	210.45
Όγκος βροχόπτωσης (M3)	1.85E7
Όγκος απωλειών (M3)	6.16E6
Ενεργός Όγκος (M3)	1.24E7
Όγκος άμεσης απορροής (M3)	1.24E7
Όγκος βασικής απορροής (M3)	2.25E6

Βροχόπτωση και Απορροή



Υπολεκάνη: EL0421FR001026

Έκταση (KM2) : 14.94

Κατάντη : J9

Μέθοδος Απωλειών: SCS

Ποσοστό αδιαπέρατης επιφάνειας	0
Αριθμός Καμπύλης Απορροής-CN	75.17
Αρχικές Απώλειες	16.78

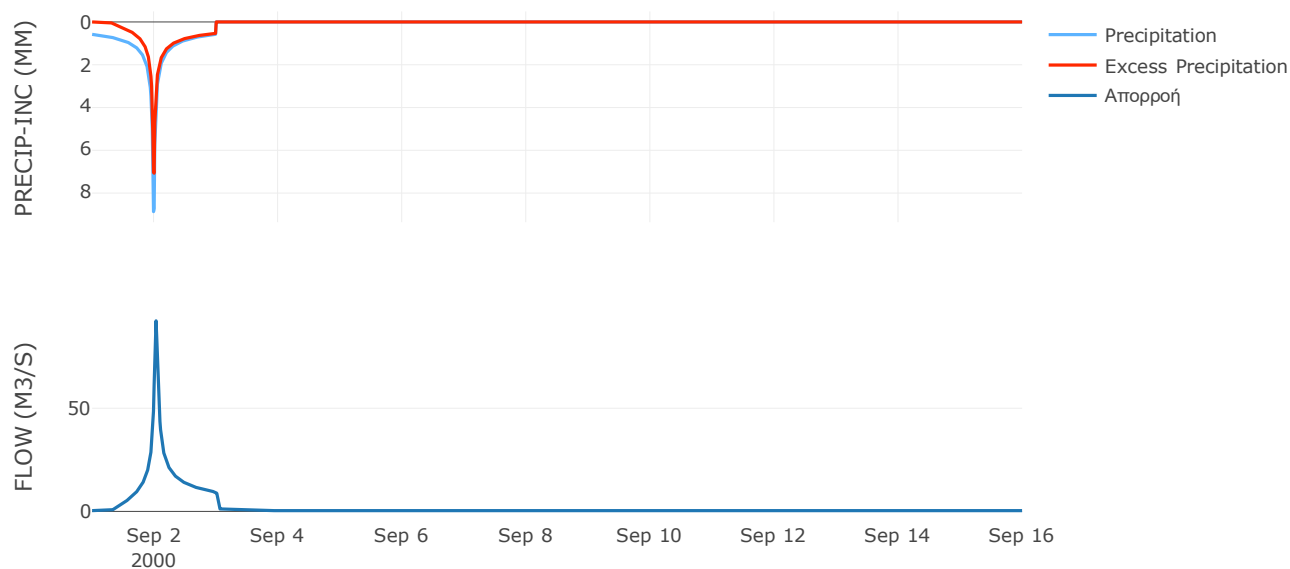
Μέθοδος
Μετασχηματισμού: SCS

Χρόνος Υστέρησης	36.89
------------------	-------

Αποτελέσματα:
EL0421FR001026

Παροχή αιχμής (M3/S)	92.37
Χρονική στιγμή αιχμής	02Sep2000, 00:45
Όγκος (MM)	194.66
Όγκος βροχόπτωσης (M3)	3.59E6
Όγκος απωλειών (M3)	1.16E6
Ενεργός Όγκος (M3)	2.42E6
Όγκος άμεσης απορροής (M3)	2.42E6
Όγκος βασικής απορροής (M3)	4.84E5

Βροχόπτωση και Απορροή



Υπολεκάνη: EL0421FR001027

Έκταση (KM2) : 17.74

Κατάντη : J22

Μέθοδος Απωλειών: SCS

Ποσοστό αδιαπέρατης επιφάνειας	0
Αριθμός Καμπύλης Απορροής-CN	81.27
Αρχικές Απώλειες	11.71

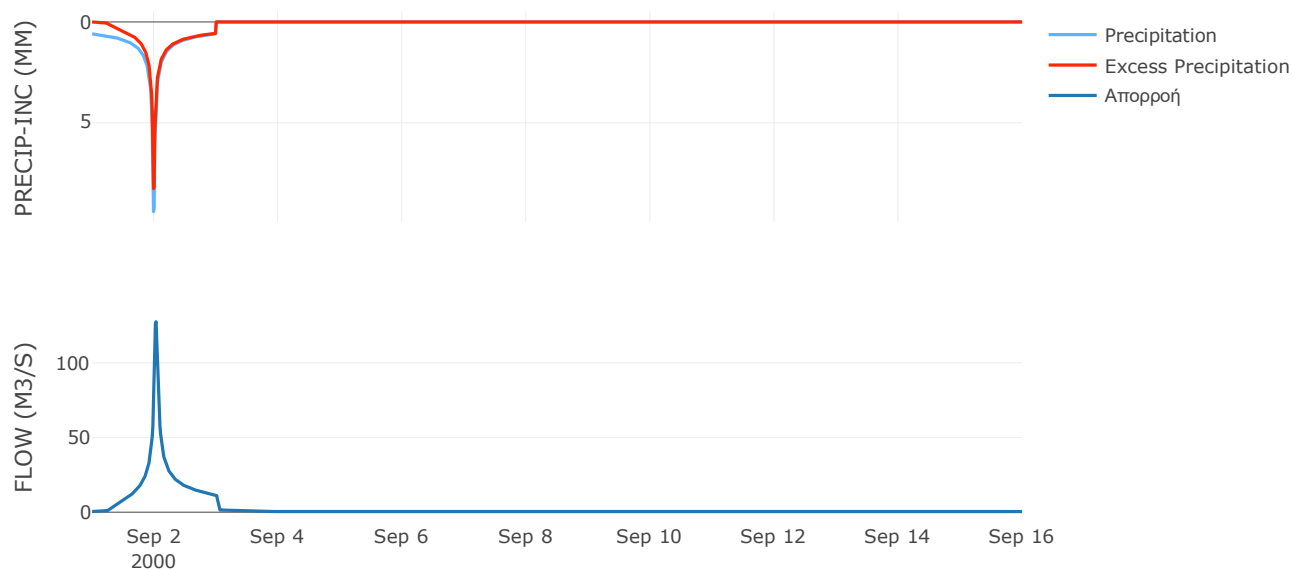
Μέθοδος
Μετασχηματισμού: SCS

Χρόνος Υστέρησης	36.73
------------------	-------

Αποτελέσματα:
EL0421FR001027

Παροχή αιχμής (M3/S)	127.52
Χρονική στιγμή αιχμής	02Sep2000, 00:45
Όγκος (MM)	221.41
Όγκος βροχόπτωσης (M3)	4.39E6
Όγκος απωλειών (M3)	1.04E6
Ενεργός Όγκος (M3)	3.35E6
Όγκος άμεσης απορροής (M3)	3.35E6
Όγκος βασικής απορροής (M3)	5.75E5

Βροχόπτωση και Απορροή



Υπολεκάνη: EL0421FR001028

Έκταση (KM2) : 35.53

Κατάντη : J22

Μέθοδος Απωλειών: SCS

Ποσοστό αδιαπέρατης επιφάνειας	0
Αριθμός Καμπύλης Απορροής-CN	80.57
Αρχικές Απώλειες	12.25

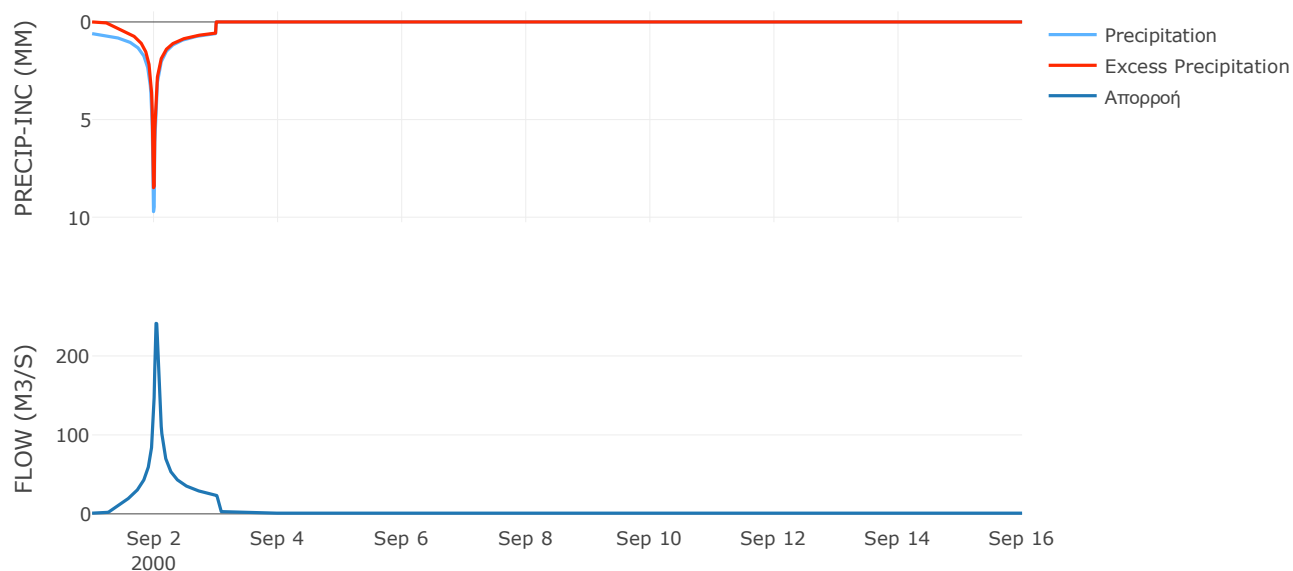
Μέθοδος
Μετασχηματισμού: SCS

Χρόνος Υστέρησης	49.4
------------------	------

Αποτελέσματα:
EL0421FR001028

Παροχή αιχμής (M3/S)	241.27
Χρονική στιγμή αιχμής	02Sep2000, 00:45
Όγκος (MM)	223.93
Όγκος βροχόπτωσης (M3)	8.98E6
Όγκος απωλειών (M3)	2.17E6
Ενεργός Όγκος (M3)	6.81E6
Όγκος άμεσης απορροής (M3)	6.81E6
Όγκος βασικής απορροής (M3)	1.15E6

Βροχόπτωση και Απορροή



Υπολεκάνη: EL0421FR001029

Έκταση (KM2) : 42.48

Κατάντη : J6

Μέθοδος Απωλειών: SCS

Ποσοστό αδιαπέρατης επιφάνειας	0
Αριθμός Καμπύλης Απορροής-CN	64.82
Αρχικές Απώλειες	27.58

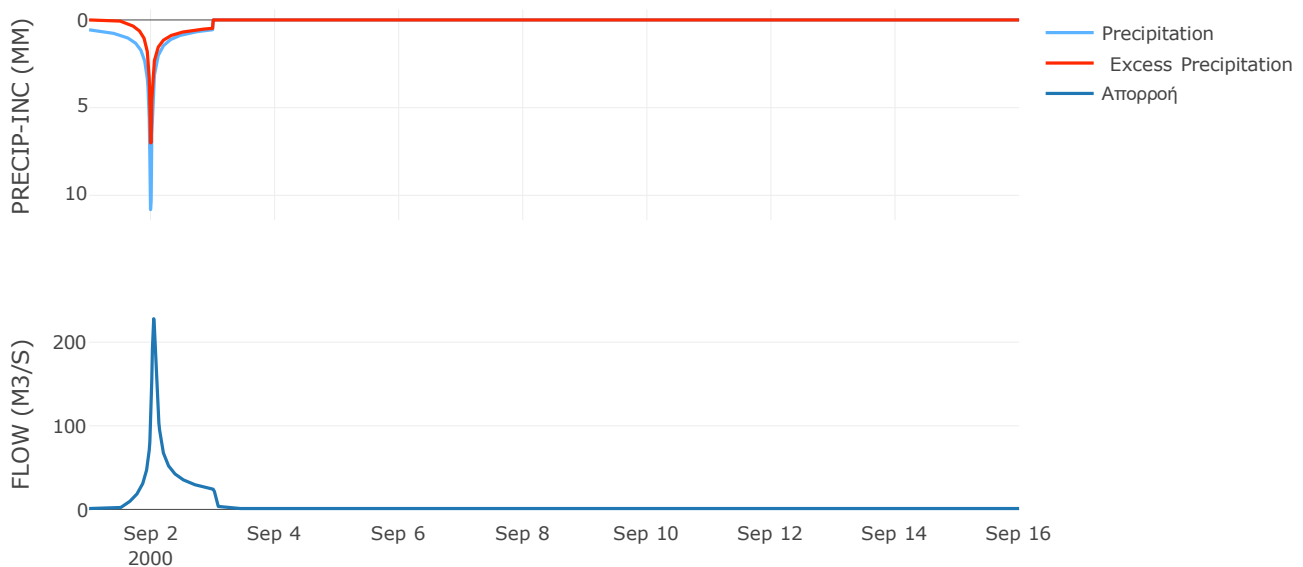
Μέθοδος
Μετασχηματισμού: SCS

Χρόνος Υστέρησης	53.41
------------------	-------

Αποτελέσματα:
EL0421FR001029

Παροχή αιχμής (M3/S)	228.06
Χρονική στιγμή αιχμής	02Sep2000, 01:00
Όγκος (MM)	170.26
Όγκος βροχόπτωσης (M3)	1.06E7
Όγκος απωλειών (M3)	4.79E6
Ενεργός Όγκος (M3)	5.86E6
Όγκος άμεσης απορροής (M3)	5.86E6
Όγκος βασικής απορροής (M3)	1.38E6

Βροχόπτωση και Απορροή



Υπολεκάνη: EL0421FR001030

Έκταση (KM2) : 20.53

Κατάντη : J5

Μέθοδος Απωλειών: SCS

Ποσοστό αδιαπέρατης επιφάνειας	0
Αριθμός Καμπύλης Απορροής-CN	57.57
Αρχικές Απώλειες	37.44

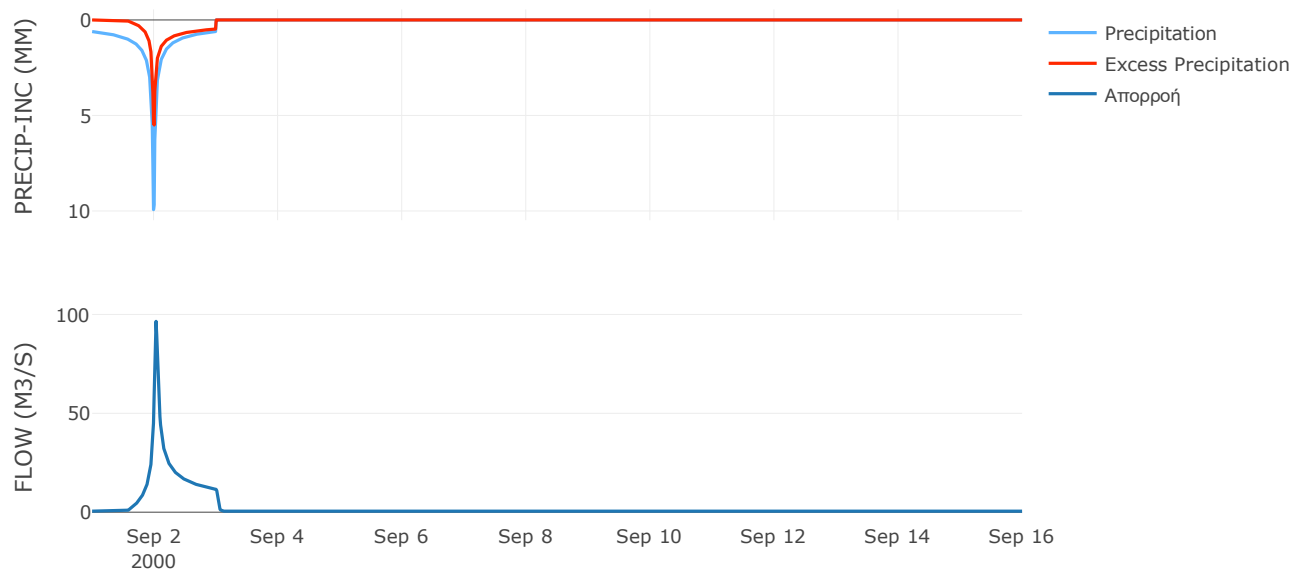
Μέθοδος
Μετασχηματισμού: SCS

Χρόνος Υστέρησης	36.91
------------------	-------

Αποτελέσματα:
EL0421FR001030

Παροχή αιχμής (M3/S)	96.52
Χρονική στιγμή αιχμής	02Sep2000, 00:45
Όγκος (MM)	150.79
Όγκος βροχόπτωσης (M3)	5.27E6
Όγκος απωλειών (M3)	2.84E6
Ενεργός Όγκος (M3)	2.43E6
Όγκος άμεσης απορροής (M3)	2.43E6
Όγκος βασικής απορροής (M3)	6.65E5

Βροχόπτωση και Απορροή



Υπολεκάνη: EL0421FR001031

Έκταση (KM2) : 24.21

Κατάντη : J4

Μέθοδος Απωλειών: SCS

Ποσοστό αδιαπέρατης επιφάνειας	0
Αριθμός Καμπύλης Απορροής-CN	53.6
Αρχικές Απώλειες	43.97

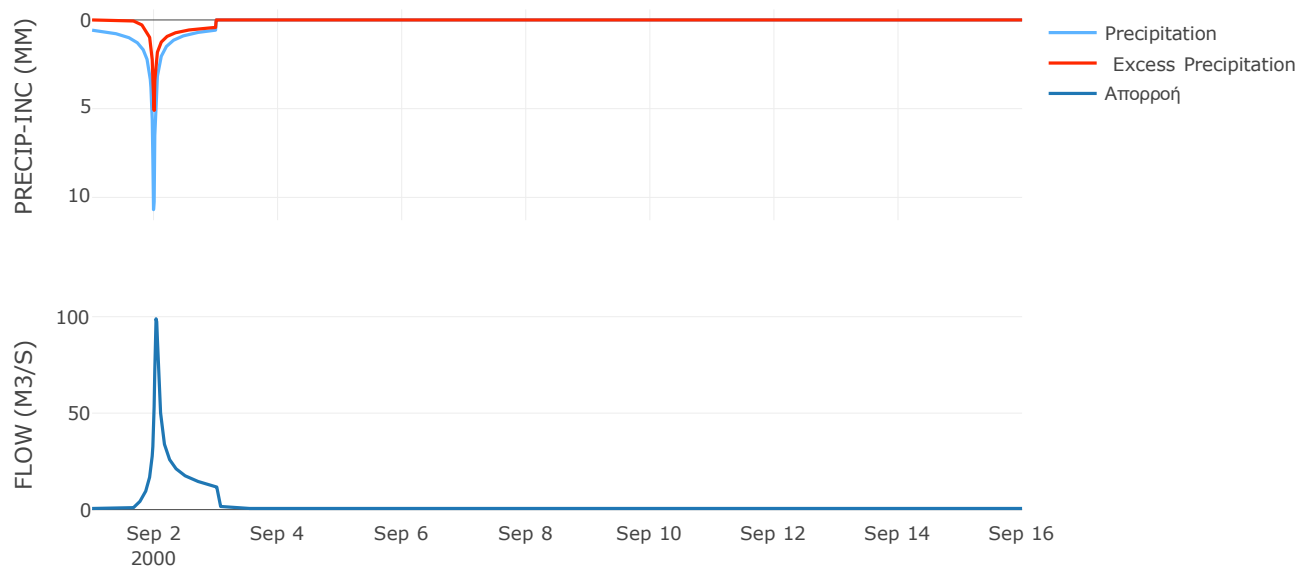
Μέθοδος
Μετασχηματισμού: SCS

Χρόνος Υστέρησης	43.24
------------------	-------

Αποτελέσματα:
EL0421FR001031

Παροχή αιχμής (M3/S)	98.92
Χρονική στιγμή αιχμής	02Sep2000, 00:45
Όγκος (MM)	135.06
Όγκος βροχόπτωσης (M3)	6.15E6
Όγκος απωλειών (M3)	3.66E6
Ενεργός Όγκος (M3)	2.49E6
Όγκος άμεσης απορροής (M3)	2.49E6
Όγκος βασικής απορροής (M3)	7.84E5

Βροχόπτωση και Απορροή



Υπολεκάνη: EL0421FR001032

Έκταση (KM2) : 56.61

Κατάντη : J12

Μέθοδος Απωλειών: SCS

Ποσοστό αδιαπέρατης επιφάνειας	0.06
Αριθμός Καμπύλης Απορροής-CN	58
Αρχικές Απώλειες	36.78

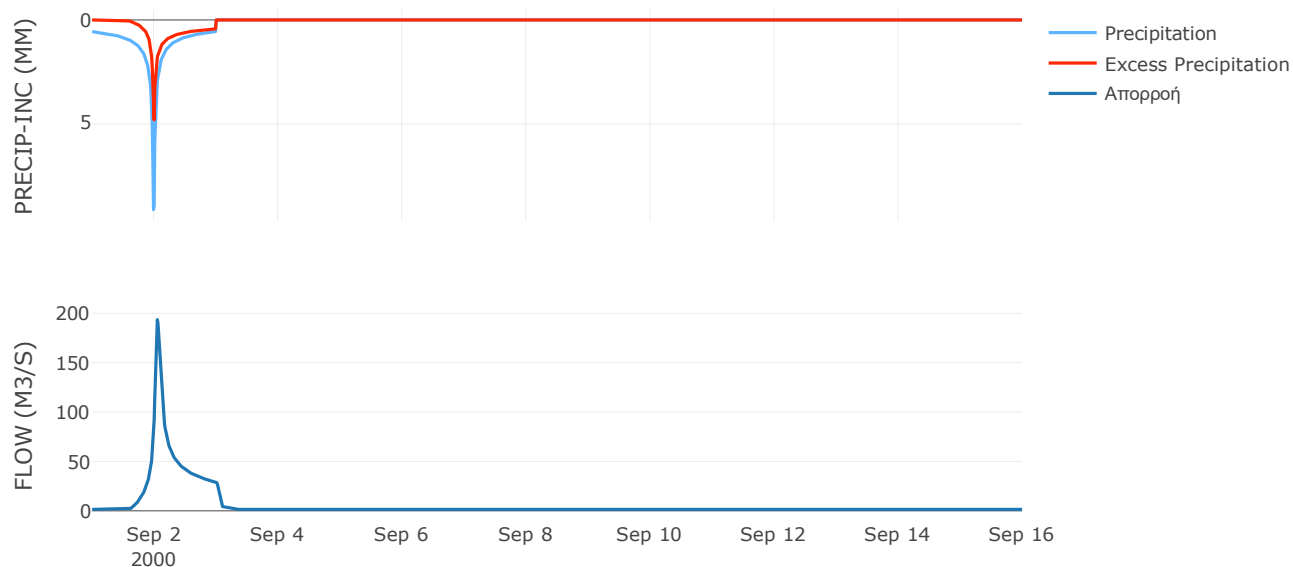
Μέθοδος
Μετασχηματισμού: SCS

Χρόνος Υστέρησης	66.62
------------------	-------

Αποτελέσματα:
EL0421FR001032

Παροχή αιχμής (M3/S)	193.66
Χρονική στιγμή αιχμής	02Sep2000, 01:15
Όγκος (MM)	135.81
Όγκος βροχόπτωσης (M3)	1.33E7
Όγκος απωλειών (M3)	7.49E6
Ενεργός Όγκος (M3)	5.85E6
Όγκος άμεσης απορροής (M3)	5.85E6
Όγκος βασικής απορροής (M3)	1.83E6

Βροχόπτωση και Απορροή



Υπολεκάνη: EL0421FR001033

Έκταση (KM2) : 28.55

Κατάντη : J21

Μέθοδος Απωλειών: SCS

Ποσοστό αδιαπέρατης επιφάνειας	0
Αριθμός Καμπύλης Απορροής-CN	67.52
Αρχικές Απώλειες	24.44

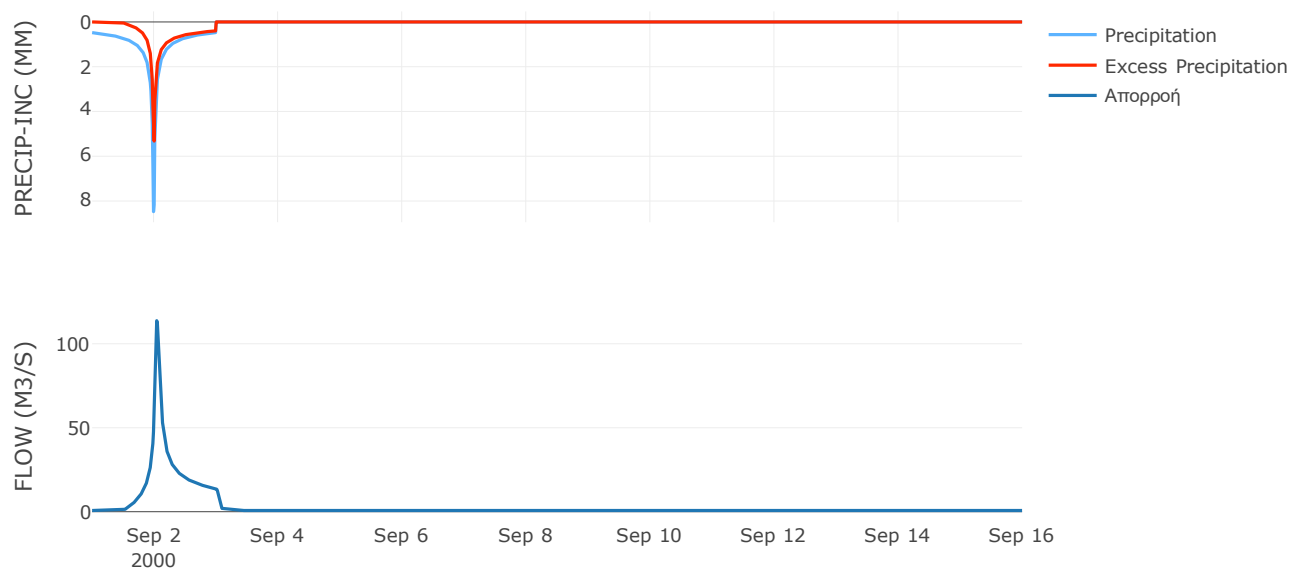
Μέθοδος
Μετασχηματισμού: SCS

Χρόνος Υστέρησης	58.29
------------------	-------

Αποτελέσματα:
EL0421FR001033

Παροχή αιχμής (M3/S)	113.75
Χρονική στιγμή αιχμής	02Sep2000, 01:00
Όγκος (MM)	141.86
Όγκος βροχόπτωσης (M3)	5.91E6
Όγκος απωλειών (M3)	2.79E6
Ενεργός Όγκος (M3)	3.13E6
Όγκος άμεσης απορροής (M3)	3.13E6
Όγκος βασικής απορροής (M3)	9.25E5

Βροχόπτωση και Απορροή



Υπολεκάνη: EL0421FR001034

Έκταση (KM2) : 57.33

Κατάντη : J21

Μέθοδος Απωλειών: SCS

Ποσοστό αδιαπέρατης επιφάνειας	0
Αριθμός Καμπύλης Απορροής-CN	63.67
Αρχικές Απώλειες	28.99

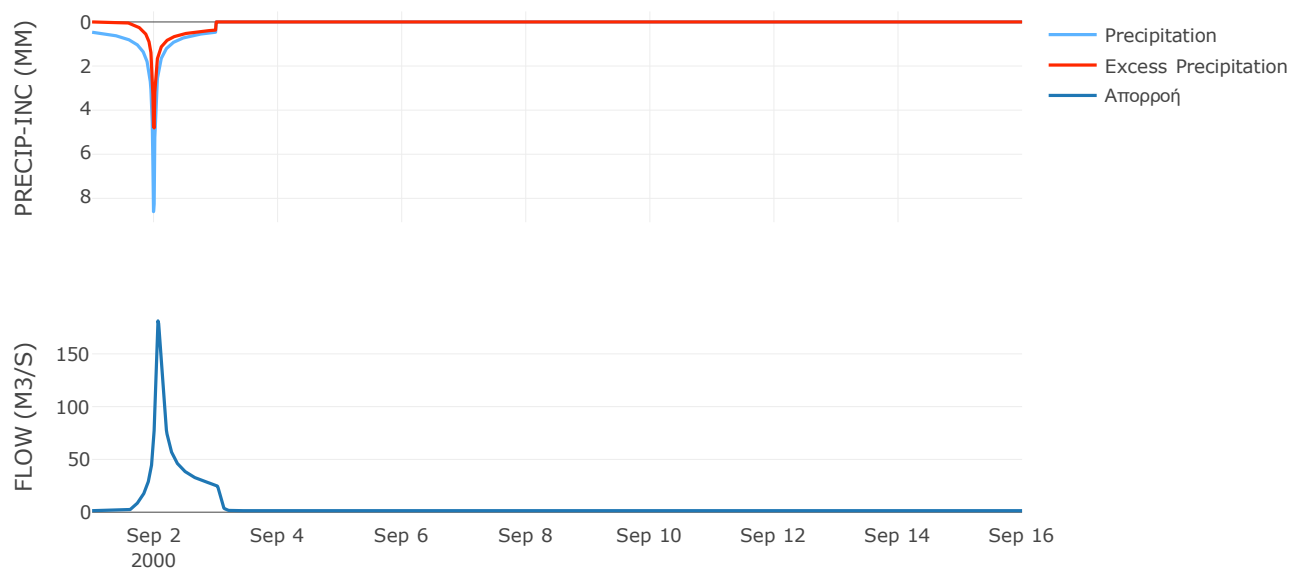
Μέθοδος
Μετασχηματισμού: SCS

Χρόνος Υστέρησης	81.15
------------------	-------

Αποτελέσματα:
EL0421FR001034

Παροχή αιχμής (M3/S)	181.23
Χρονική στιγμή αιχμής	02Sep2000, 01:30
Όγκος (MM)	129.05
Όγκος βροχόπτωσης (M3)	1.18E7
Όγκος απωλειών (M3)	6.22E6
Ενεργός Όγκος (M3)	5.54E6
Όγκος άμεσης απορροής (M3)	5.54E6
Όγκος βασικής απορροής (M3)	1.86E6

Βροχόπτωση και Απορροή



Υπολεκάνη: EL0421FR001035

Έκταση (KM2) : 27.47

Κατάντη : J9

Μέθοδος Απωλειών: SCS

Ποσοστό αδιαπέρατης επιφάνειας	0
Αριθμός Καμπύλης Απορροής-CN	80.51
Αρχικές Απώλειες	12.3

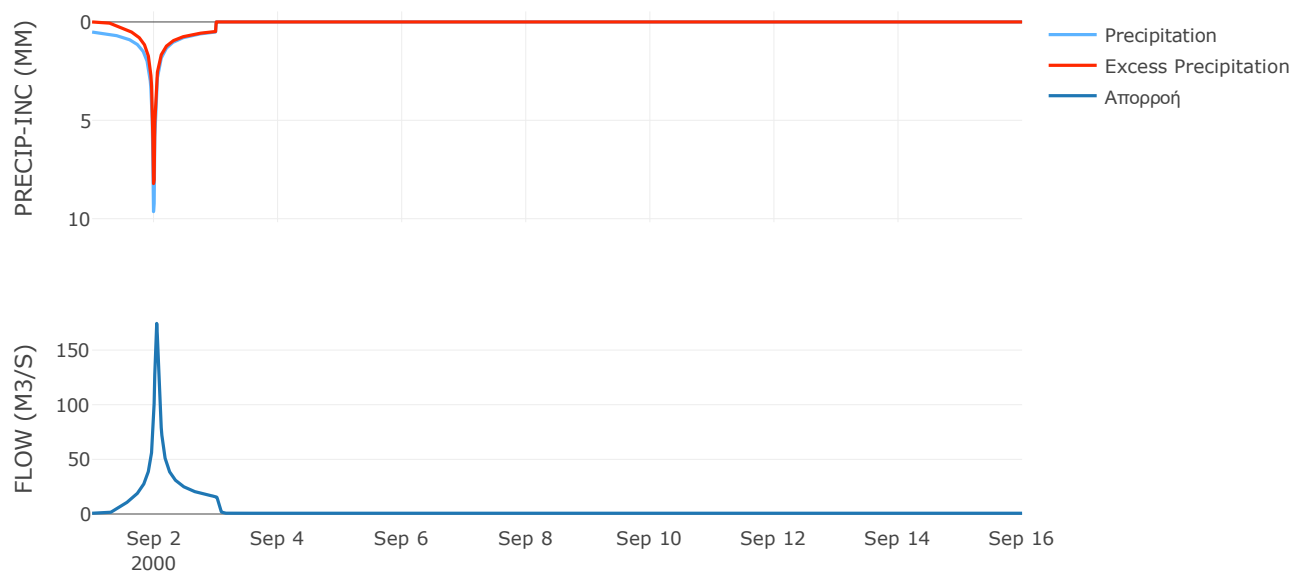
Μέθοδος
Μετασχηματισμού: SCS

Χρόνος Υστέρησης	51.04
------------------	-------

Αποτελέσματα:
EL0421FR001035

Παροχή αιχμής (M3/S)	174.41
Χρονική στιγμή αιχμής	02Sep2000, 01:00
Όγκος (MM)	199.34
Όγκος βροχόπτωσης (M3)	6.24E6
Όγκος απωλειών (M3)	1.65E6
Ενεργός Όγκος (M3)	4.59E6
Όγκος άμεσης απορροής (M3)	4.59E6
Όγκος βασικής απορροής (M3)	8.9E5

Βροχόπτωση και Απορροή



Υπολεκάνη: EL0421FR001036

Έκταση (KM2) : 22.53

Κατάντη : J23

Μέθοδος Απωλειών: SCS

Ποσοστό αδιαπέρατης επιφάνειας	0
Αριθμός Καμπύλης Απορροής-CN	69.26
Αρχικές Απώλειες	22.54

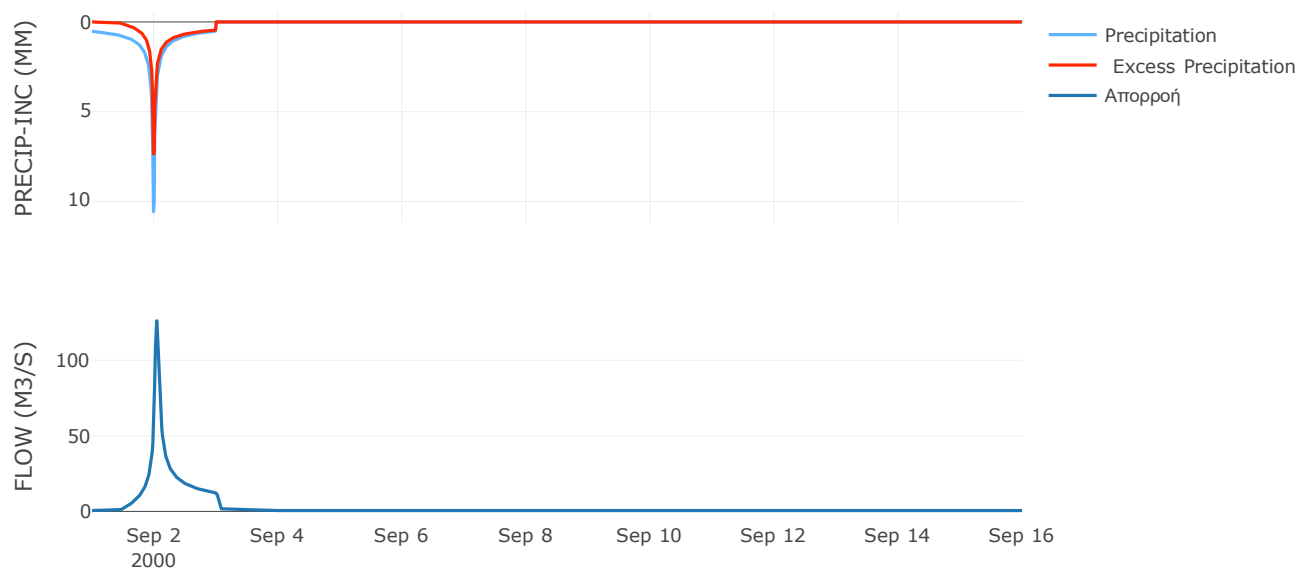
Μέθοδος
Μετασχηματισμού: SCS

Χρόνος Υστέρησης	52.15
------------------	-------

Αποτελέσματα:
EL0421FR001036

Παροχή αιχμής (M3/S)	126.14
Χρονική στιγμή αιχμής	02Sep2000, 01:00
Όγκος (MM)	171.22
Όγκος βροχόπτωσης (M3)	5.29E6
Όγκος απωλειών (M3)	2.17E6
Ενεργός Όγκος (M3)	3.13E6
Όγκος άμεσης απορροής (M3)	3.13E6
Όγκος βασικής απορροής (M3)	7.3E5

Βροχόπτωση και Απορροή



Υπολεκάνη: EL0421FR001037

Έκταση (KM2) : 26.53

Κατάντη : J2

Μέθοδος Απωλειών: SCS

Ποσοστό αδιαπέρατης επιφάνειας	0
Αριθμός Καμπύλης Απορροής-CN	62.09
Αρχικές Απώλειες	31.02

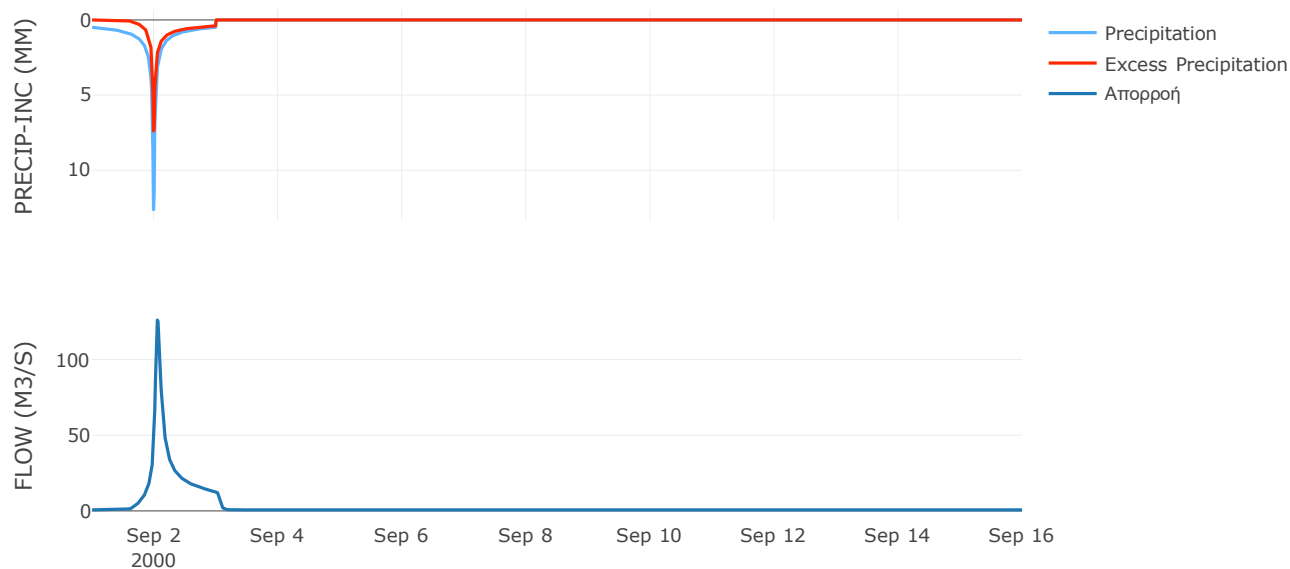
Μέθοδος
Μετασχηματισμού: SCS

Χρόνος Υστέρησης	72.53
------------------	-------

Αποτελέσματα:
EL0421FR001037

Παροχή αιχμής (M3/S)	126.01
Χρονική στιγμή αιχμής	02Sep2000, 01:15
Όγκος (MM)	152.75
Όγκος βροχόπτωσης (M3)	6.38E6
Όγκος απωλειών (M3)	3.19E6
Ενεργός Όγκος (M3)	3.19E6
Όγκος άμεσης απορροής (M3)	3.19E6
Όγκος βασικής απορροής (M3)	8.59E5

Βροχόπτωση και Απορροή



Υπολεκάνη: EL0421FR001038

Έκταση (KM2) : 16.84

Κατάντη : J18

Μέθοδος Απωλειών: SCS

Ποσοστό αδιαπέρατης επιφάνειας	0
Αριθμός Καμπύλης Απορροής-CN	80.05
Αρχικές Απώλειες	12.66

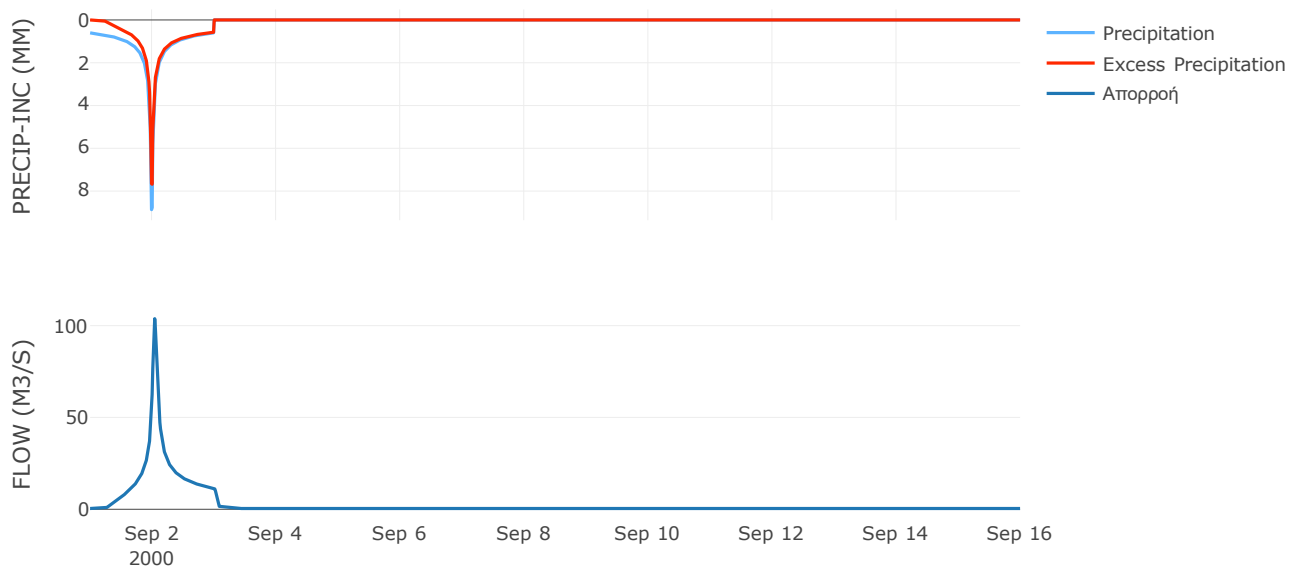
Μέθοδος
Μετασχηματισμού: SCS

Χρόνος Υστέρησης	52.97
------------------	-------

Αποτελέσματα:
EL0421FR001038

Παροχή αιχμής (M3/S)	103.77
Χρονική στιγμή αιχμής	02Sep2000, 01:00
Όγκος (MM)	216.79
Όγκος βροχόπτωσης (M3)	4.16E6
Όγκος απωλειών (M3)	1.05E6
Ενεργός Όγκος (M3)	3.11E6
Όγκος άμεσης απορροής (M3)	3.11E6
Όγκος βασικής απορροής (M3)	5.46E5

Βροχόπτωση και Απορροή



Υπολεκάνη: EL0421FR001039

Έκταση (KM2) : 11.68

Κατάντη : J8

Μέθοδος Απωλειών: SCS

Ποσοστό αδιαπέρατης επιφάνειας	0
Αριθμός Καμπύλης Απορροής-CN	79.95
Αρχικές Απώλειες	12.74

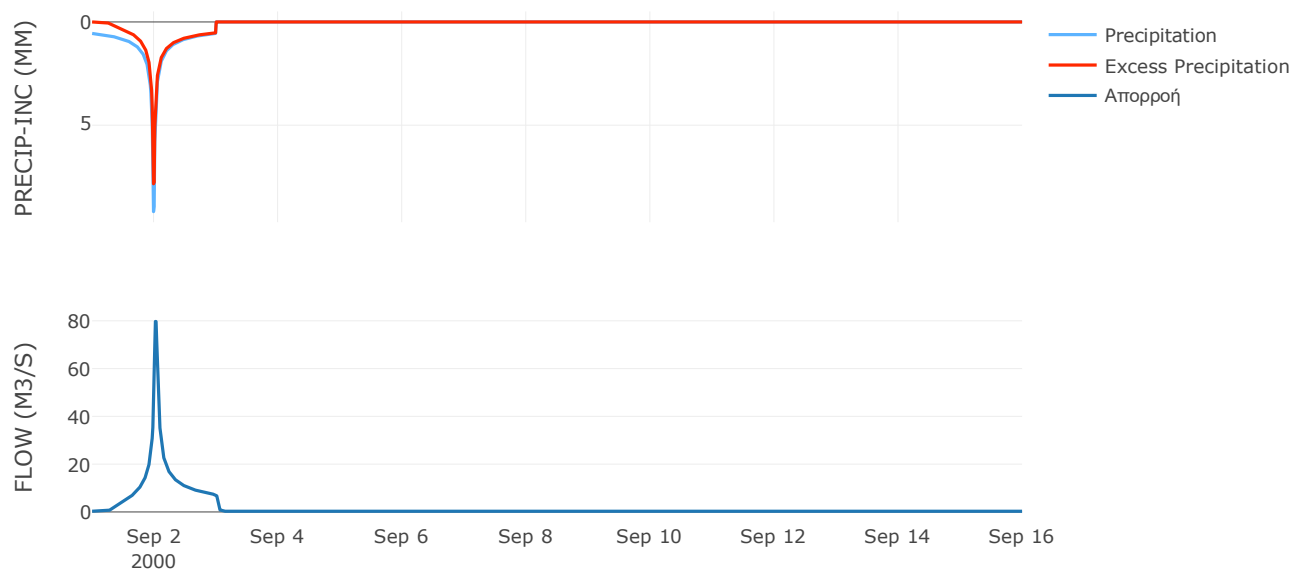
Μέθοδος
Μετασχηματισμού: SCS

Χρόνος Υστέρησης	35.02
------------------	-------

Αποτελέσματα:
EL0421FR001039

Παροχή αιχμής (M3/S)	79.74
Χρονική στιγμή αιχμής	02Sep2000, 00:30
Όγκος (MM)	206.18
Όγκος βροχόπτωσης (M3)	2.76E6
Όγκος απωλειών (M3)	7.27E5
Ενεργός Όγκος (M3)	2.03E6
Όγκος άμεσης απορροής (M3)	2.03E6
Όγκος βασικής απορροής (M3)	3.78E5

Βροχόπτωση και Απορροή



Υπολεκάνη: EL0421FR001040

Έκταση (KM2) : 8.83

Κατάντη : J7

Μέθοδος Απωλειών: SCS

Ποσοστό αδιαπέρατης επιφάνειας	0
Αριθμός Καμπύλης Απορροής-CN	80.98
Αρχικές Απώλειες	11.93

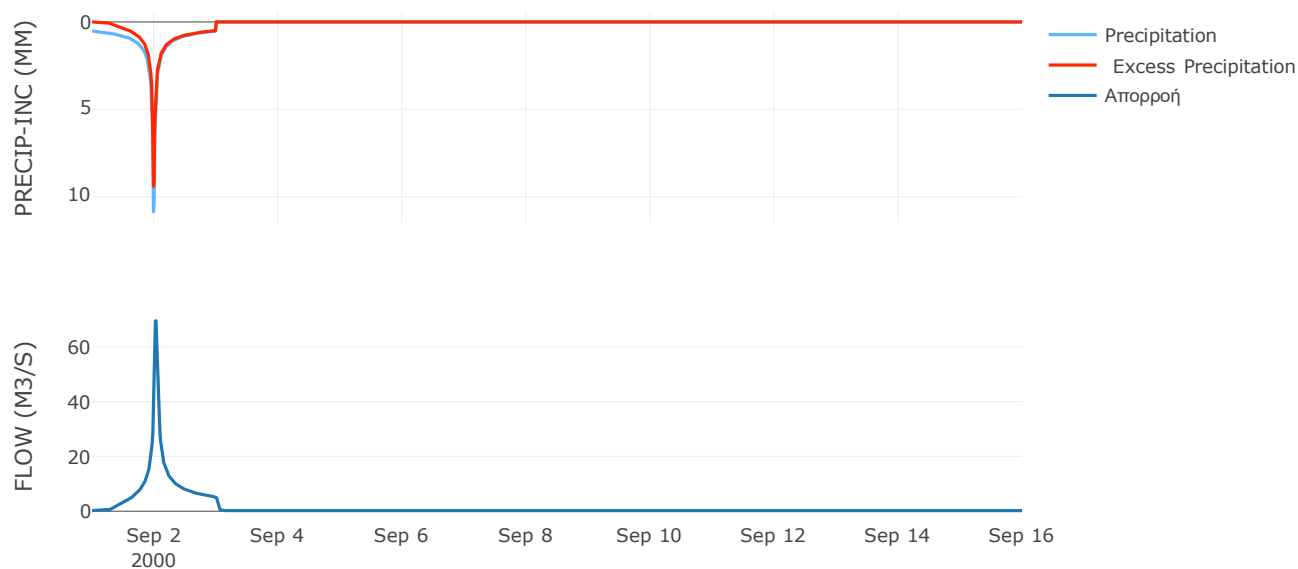
Μέθοδος
Μετασχηματισμού: SCS

Χρόνος Υστέρησης	35.54
------------------	-------

Αποτελέσματα:
EL0421FR001040

Παροχή αιχμής (M3/S)	69.51
Χρονική στιγμή αιχμής	02Sep2000, 00:45
Όγκος (MM)	211.88
Όγκος βροχόπτωσης (M3)	2.11E6
Όγκος απωλειών (M3)	5.22E5
Ενεργός Όγκος (M3)	1.58E6
Όγκος άμεσης απορροής (M3)	1.58E6
Όγκος βασικής απορροής (M3)	2.86E5

Βροχόπτωση και Απορροή



Υπολεκάνη: EL0421FR001041

Έκταση (KM2) : 11.46

Κατάνη : J11

Μέθοδος Απωλειών: SCS

Ποσοστό αδιαπέρατης επιφάνειας	0.2
Αριθμός Καμπύλης Απορροής-CN	80.13
Αρχικές Απώλειες	12.6

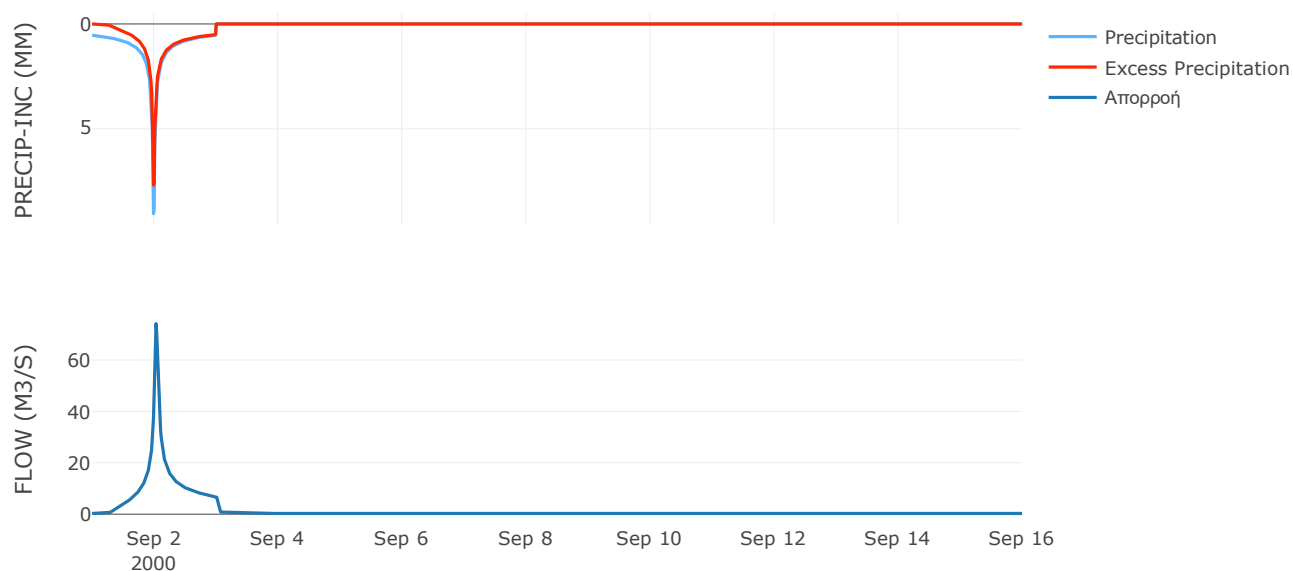
Μέθοδος
Μετασχηματισμού: SCS

Χρόνος Υστέρησης	41.94
------------------	-------

Αποτελέσματα:
EL0421FR001041

Παροχή αιχμής (M3/S)	74.14
Χρονική στιγμή αιχμής	02Sep2000, 00:45
Όγκος (MM)	200.41
Όγκος βροχόπτωσης (M3)	2.63E6
Όγκος απωλειών (M3)	7.02E5
Ενεργός Όγκος (M3)	1.93E6
Όγκος άμεσης απορροής (M3)	1.93E6
Όγκος βασικής απορροής (M3)	3.71E5

Βροχόπτωση και Απορροή



5.2 Δεδομένα και Υδρογραφήματα Σχεδιασμού Κλάδων Υδρογραφικού Δικτύου

Κλάδος: R21

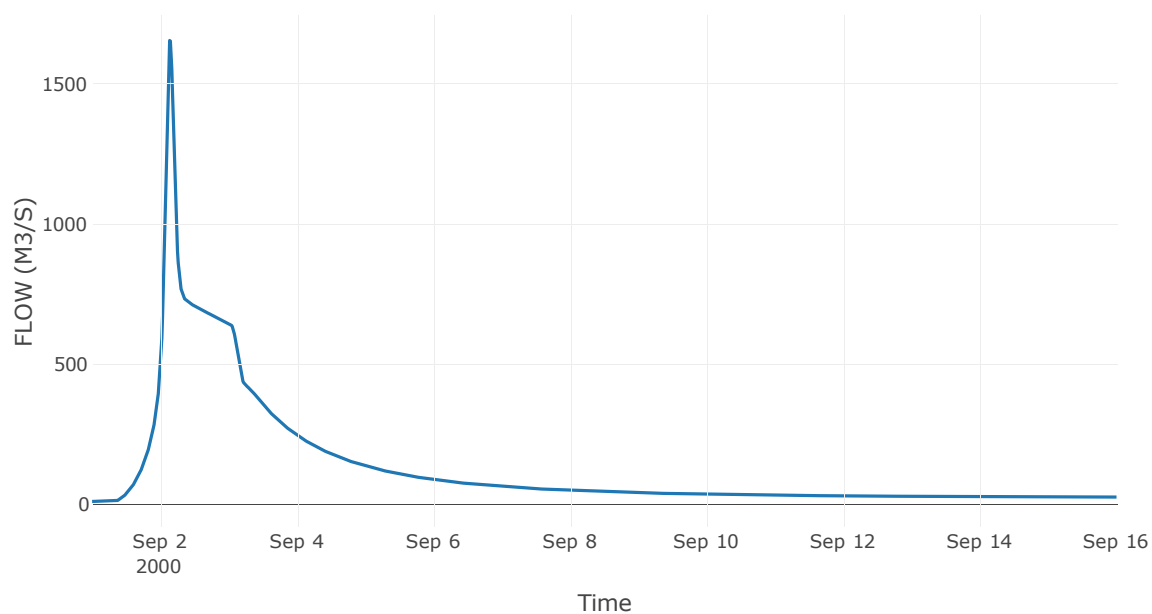
Κατάντη : J1

Μέθοδος διόδευσης	Muskingum
Αρχική Μεταβλητή	Combined Inflow
Χρόνος ροής K	0.7
Συντελεστής βάρους x	0.2
Πλήθος Υποκλάδων	3

Αποτελέσματα: R21

Παροχή Αιχμής(M3/S)	1654.07
Χρονική στιγμή αιχμής	02Sep2000, 03:15
Όγκος (MM)	181.59
Παροχή Αιχμής Εισόδου (M3/S)	1681.95
Όγκος Εισόδου(M3)	1.7E8

Απορροή



Κλάδος: R32

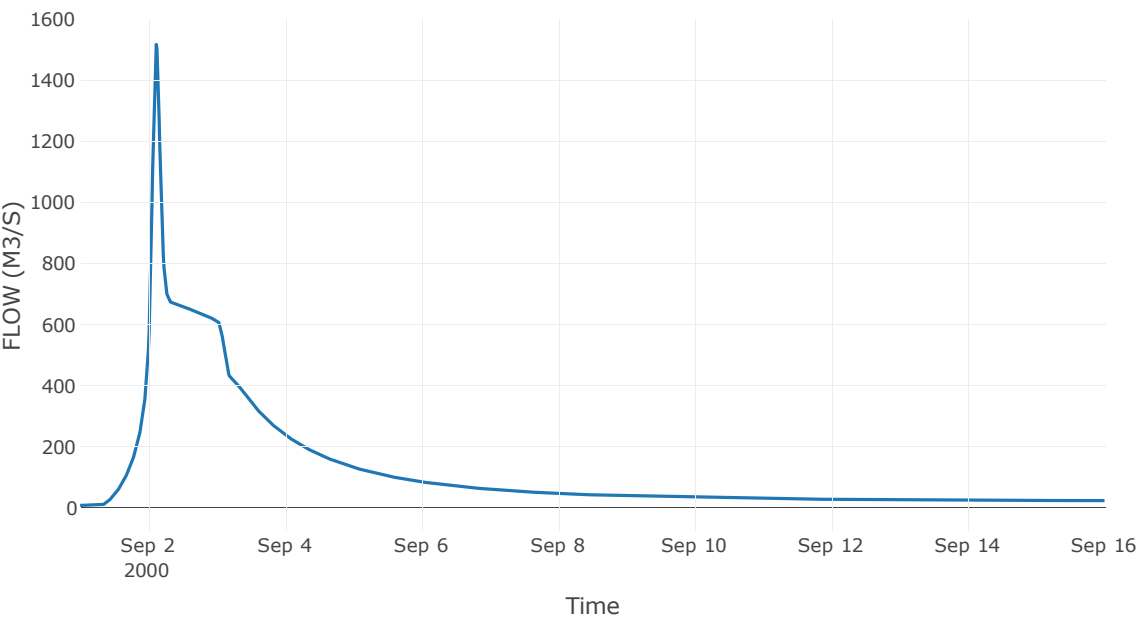
Κατάντη : J2

Μέθοδ	Muskingum
Αρχική Μεταβλητή	Combined Inflow
Χρόνος ροής	0.2
Συντελεστής βάρους α	0.2
Πλήθος n	1

Αποτελέσματα: R32

Παροχή Αιχμής(M3/S)	1516.57
Χρονική στιγμή αιχμής	02Sep2000, 02:45
Όγκος (MM)	183.18
Παροχή Αιχμής Εισόδου (M3/S)	1522.24
Όγκος V_{max}	1.61E8

Απορροή



Κλάδος: R43

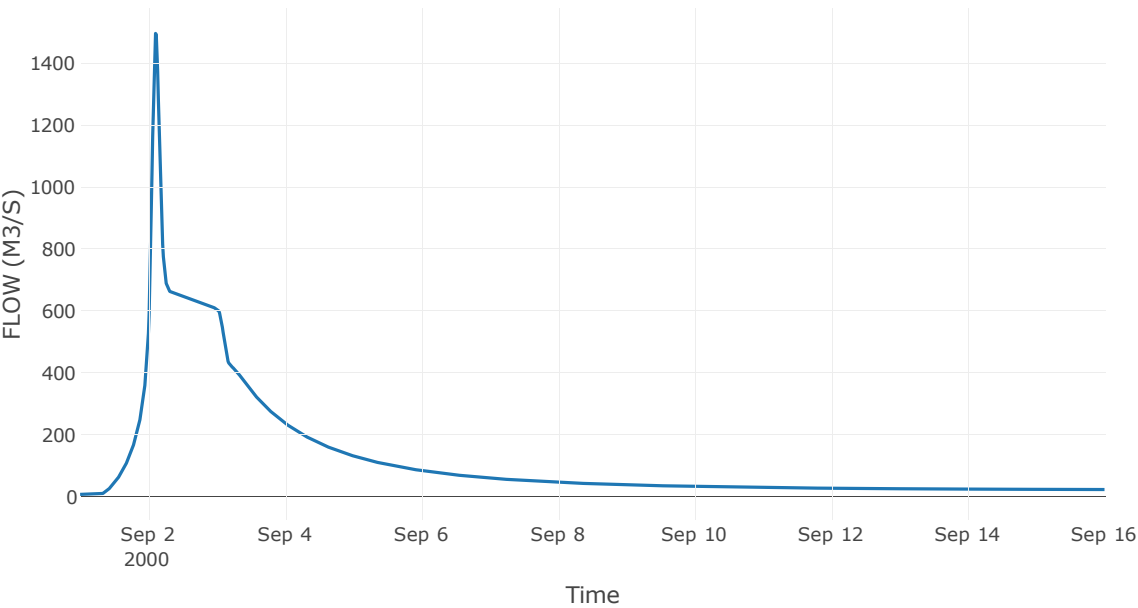
Κατάντη : J3

Μέθοδος διόδευσης	Muskingum
Αρχική Μεταβλητή	Combined Inflow
Χρόνος ροής K	0.43
Συντελεστής βάρους x	0.2
Πλήθος Υποκλάδων	2

Αποτελέσματα: R43

Παροχή Αιχμής(M3/S)	1496.52
Χρονική στιγμή αιχμής	02Sep2000, 02:30
Όγκος (MM)	183.46
Παροχή Αιχμής Εισόδου (M3/S)	1517.04
Όγκος Εισόδου(M3)	1.6E8

Απορροή



Κλάδος: R54

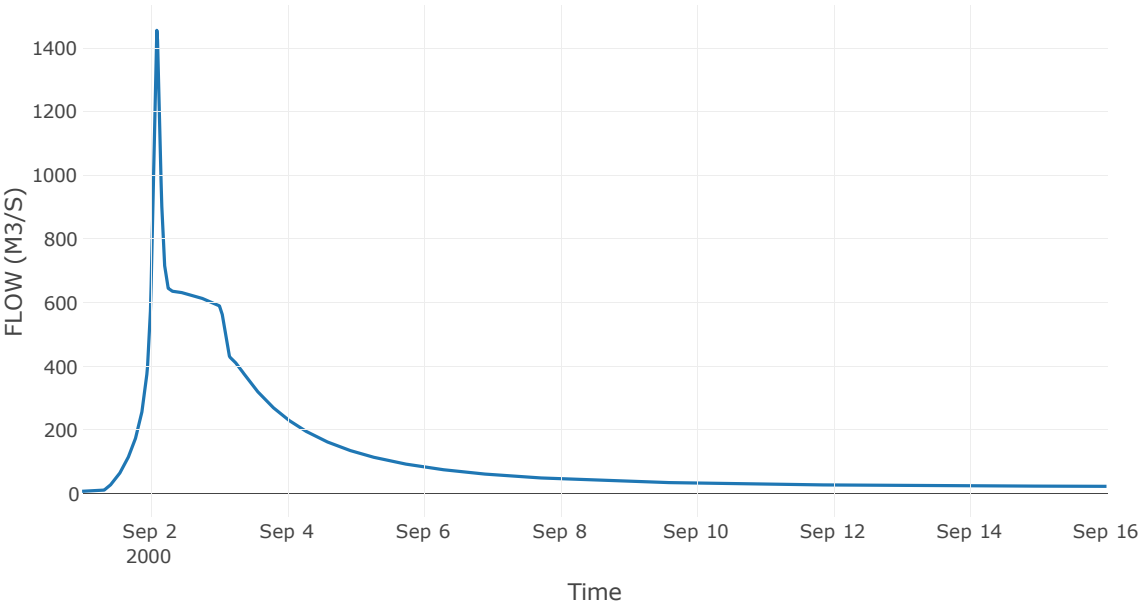
Κατάντη : J4

Μέθοδος διόδευσης	Muskingum
Αρχική Μεταβλητή	Combined Inflow
Χρόνος ροής K	0.17
Συντελεστής βάρους x	0.2
Πλήθος Υποκλάδων	1

Αποτελέσματα: R54

Παροχή Αιχμής(M3/S)	1454.66
Χρονική στιγμή αιχμής	02Sep2000, 02:15
Όγκος (MM)	184.86
Παροχή Αιχμής Εισόδου (M3/S)	1462.19
Όγκος Εισόδου(M3)	1.56E8

Απορροή



Κλάδος: R65

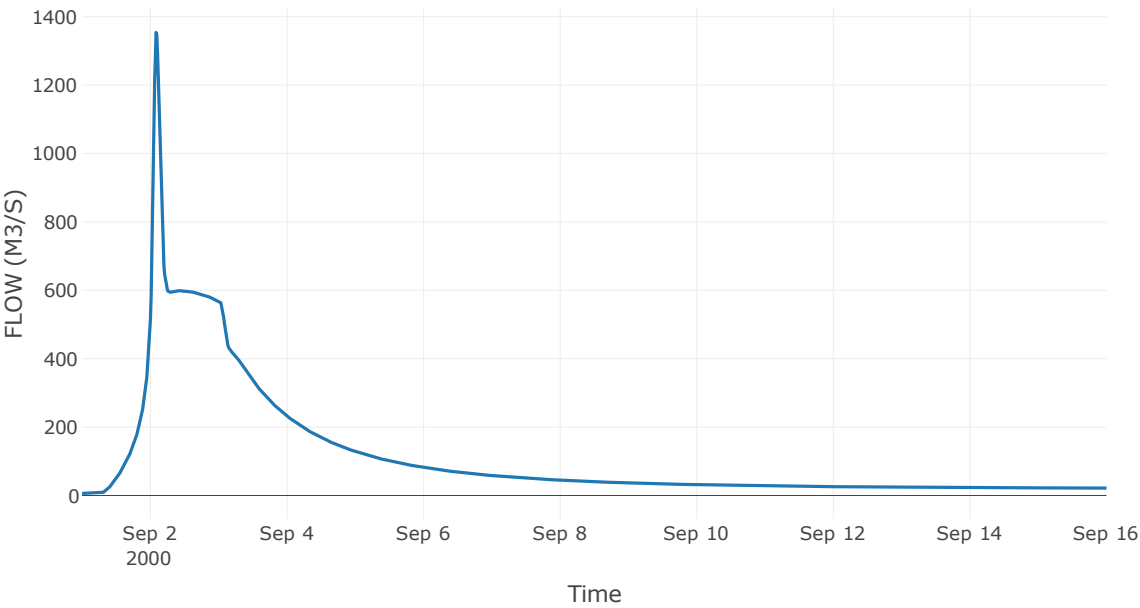
Κατάντη : J5

Μέθοδος διόδευσης	Muskingum
Αρχική Μεταβλητή	Combined Inflow
Χρόνος ροής K	0.48
Συντελεστής βάρους x	0.2
Πλήθος Υποκλάδων	2

Αποτελέσματα: R65

Παροχή Αιχμής(M3/S)	1353.94
Χρονική στιγμή αιχμής	02Sep2000, 02:00
Όγκος (MM)	186.46
Παροχή Αιχμής Εισόδου (M3/S)	1382.99
Όγκος Εισόδου(M3)	1.5E8

Απορροή



Κλάδος: R76

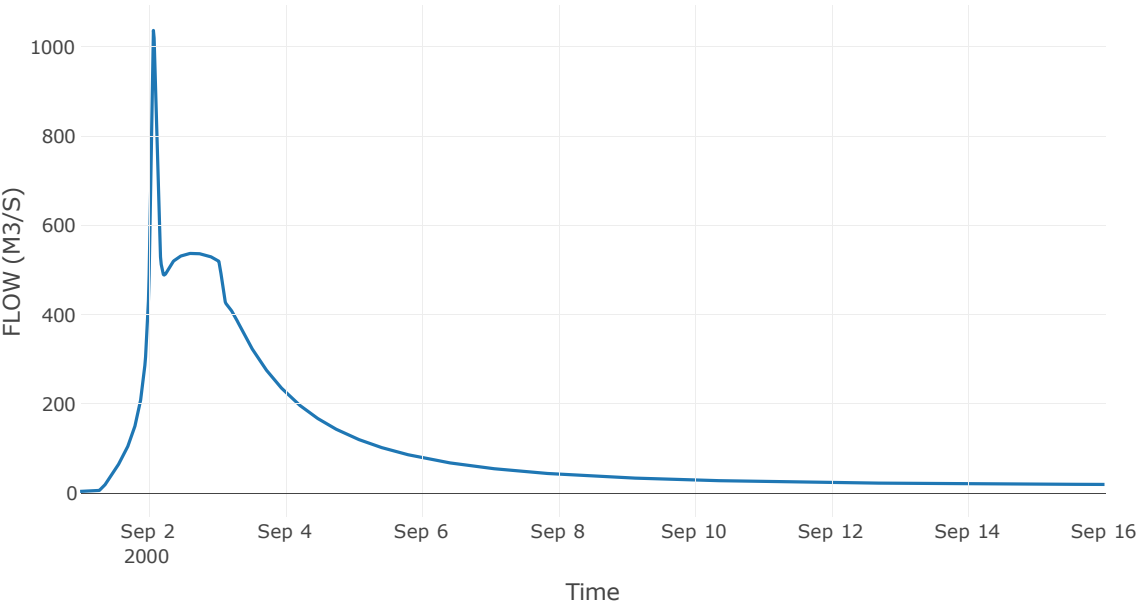
Κατάντη : J6

Μέθοδος διόδευσης	Muskingum
Αρχική Μεταβλητή	Combined Inflow
Χρόνος ροής K	0.58
Συντελεστής βάρους x	0.2
Πλήθος Υποκλάδων	2

Αποτελέσματα: R76

Παροχή Αιχμής(M3/S)	1035.92
Χρονική στιγμή αιχμής	02Sep2000, 01:45
Όγκος (MM)	187.58
Παροχή Αιχμής Εισόδου (M3/S)	1080.2
Όγκος Εισόδου(M3)	1.37E8

Απορροή



Κλάδος: R87

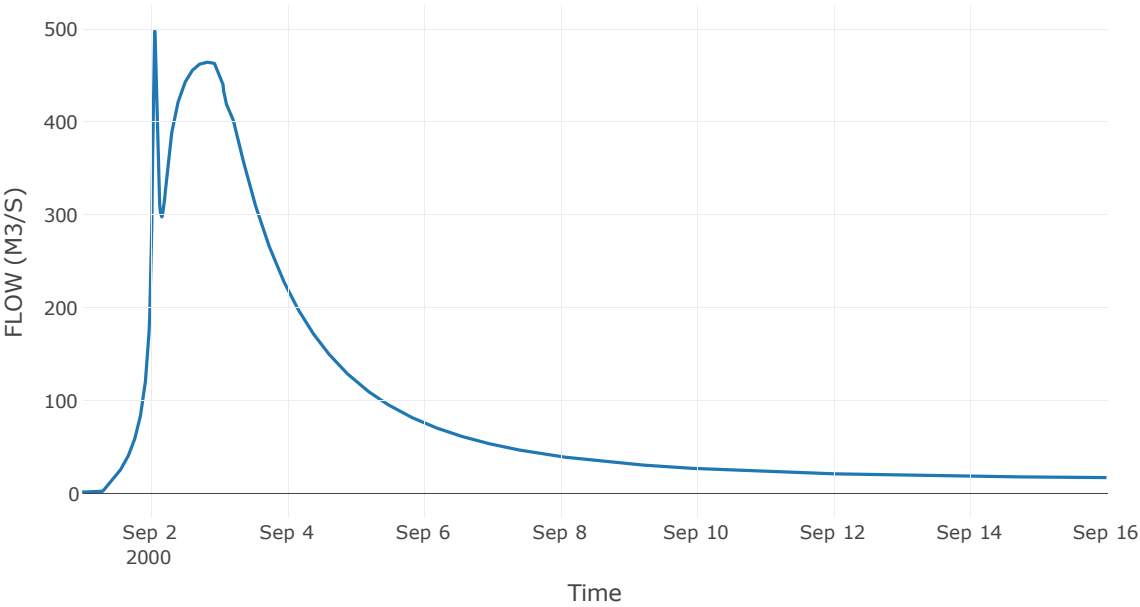
Κατάντη : J7

Μέθοδος διόδευσης	Χρόνος υστέρησης
Αρχική Μεταβλητή	Combined Inflow
Χρόνος υστέρησης	31.02

Αποτελέσματα: R87

Παροχή Αιχμής(M3/S)	497.57
Χρονική στιγμή αιχμής	02Sep2000, 01:30
Όγκος (MM)	183.37
Παροχή Αιχμής Εισόδου (M3/S)	498.43
Όγκος Εισόδου(M3)	1.16E8

Απορροή



Κλάδος: R98

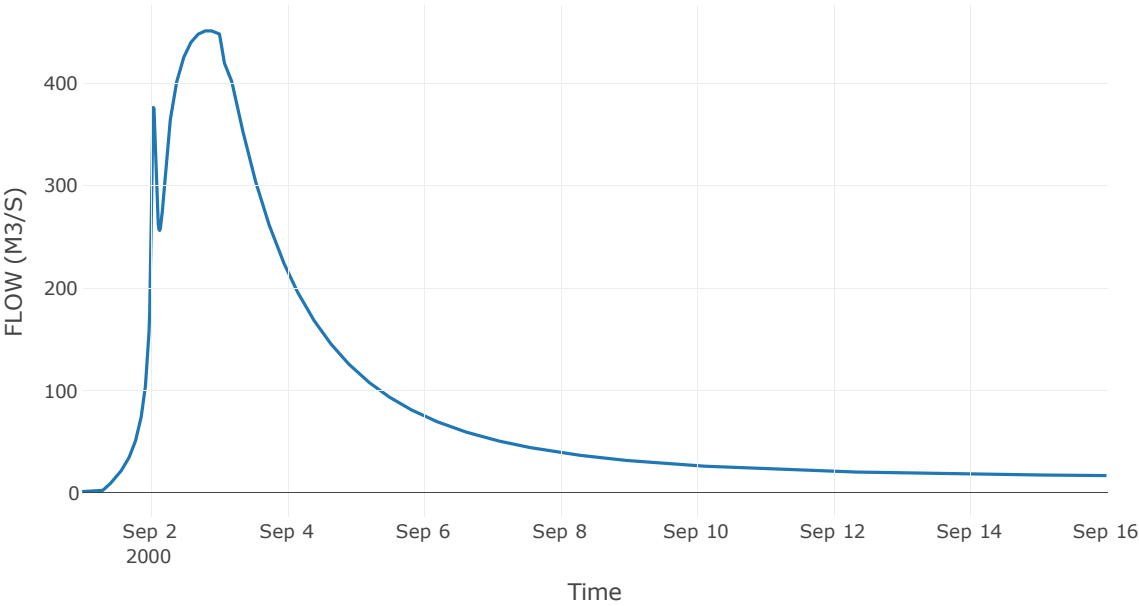
Κατάντη : J8

Μέθοδος διόδευσης	Muskingum
Αρχική Μεταβλητή	Combined Inflow
Χρόνος ροής K	0.28
Συντελεστής βάρους x	0.2
Πλήθος Υποκλάδων	1

Αποτελέσματα: R98

Παροχή Αιχμής(M3/S)	451.28
Χρονική στιγμή αιχμής	02Sep2000, 20:15
Όγκος (MM)	182.95
Παροχή Αιχμής Εισόδου (M3/S)	451.29
Όγκος Εισόδου(M3)	1.12E8

Απορροή



Κλάδος: R109

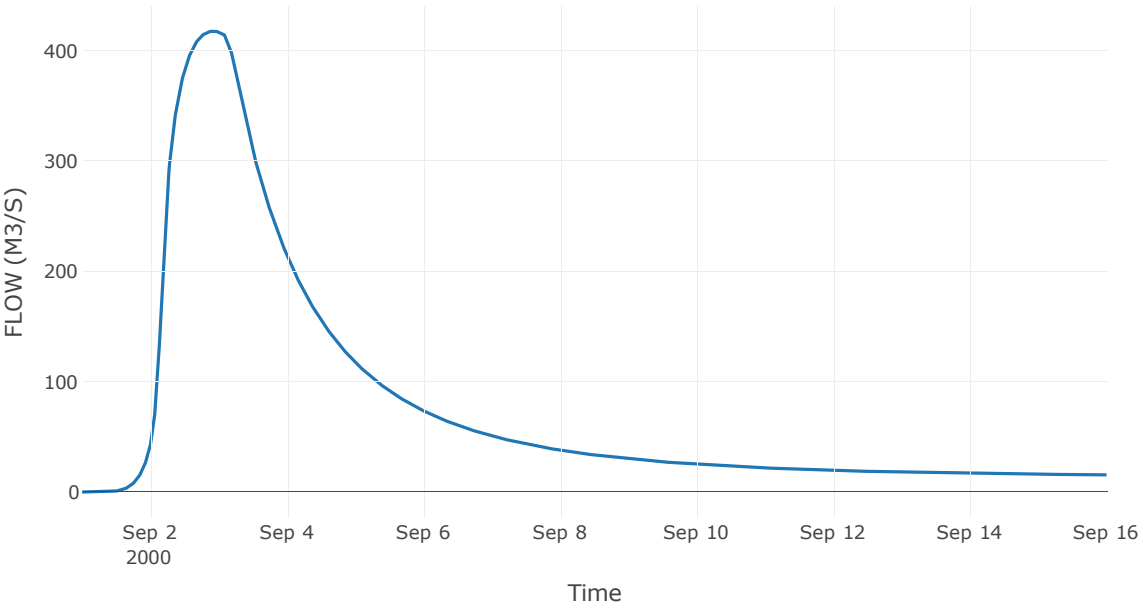
Κατάντη : J9

Μέθοδος διόδευσης	Χρόνος υστέρησης
Αρχική Μεταβλητή	Combined Inflow
Χρόνος υστέρησης	9.07

Αποτελέσματα: R109

Παροχή Αιχμής(M3/S)	417.68
Χρονική στιγμή αιχμής	02Sep2000, 22:00
Όγκος (MM)	181.49
Παροχή Αιχμής Εισόδου (M3/S)	417.69
Όγκος Εισόδου(M3)	1.02E8

Απορροή



Κλάδος: R1110

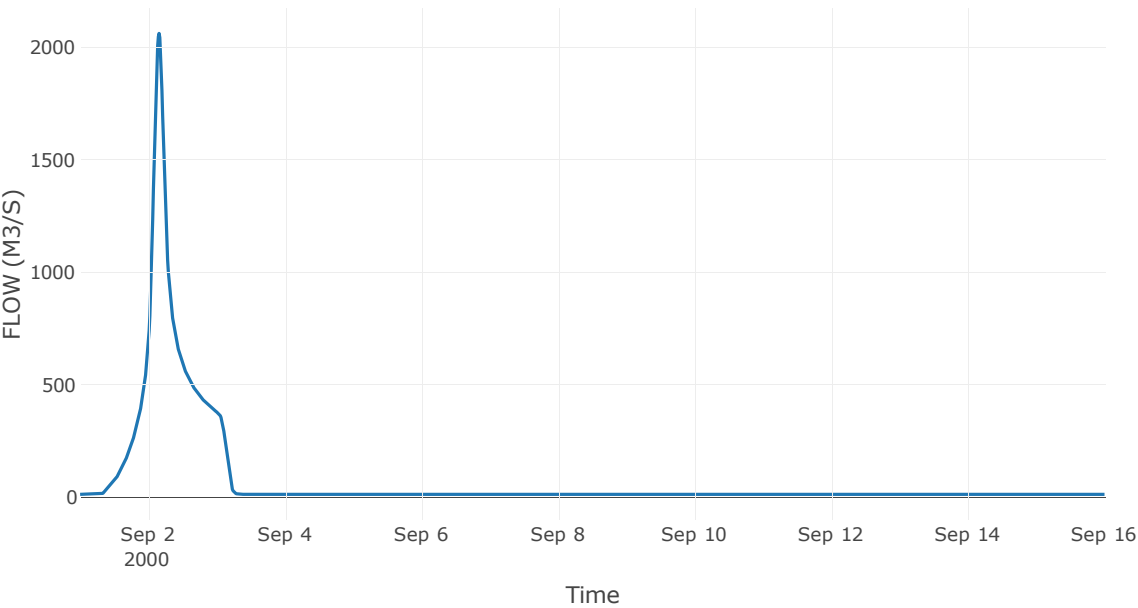
Κατάντη : J10 Res1

Μέθοδος διόδευσης	Muskingum
Αρχική Μεταβλητή	Combined Inflow
Χρόνος ροής K	0.6
Συντελεστής βάρους x	0.2
Πλήθος Υποκλάδων	3

Αποτελέσματα: R1110

Παροχή Αιχμής(M3/S)	2061.95
Χρονική στιγμή αιχμής	02Sep2000, 03:45
Όγκος (MM)	193.26
Παροχή Αιχμής Εισόδου (M3/S)	2078.46
Όγκος Εισόδου(M3)	1.03E8

Απορροή



Κλάδος: R1211

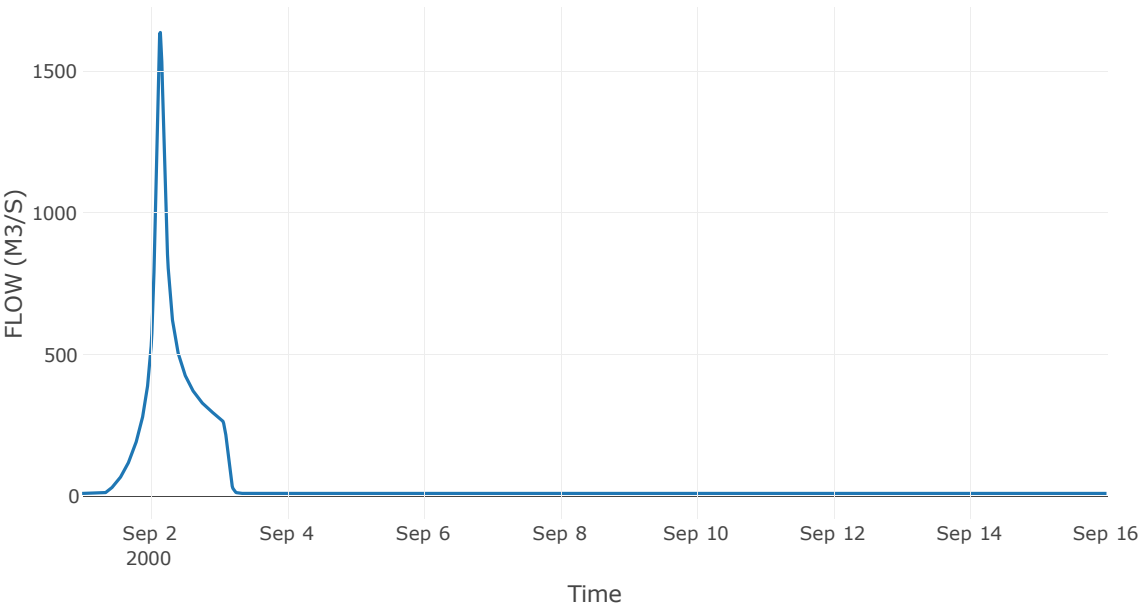
Κατάντη : J11

Μέθοδος διόδευσης	Muskingum
Αρχική Μεταβλητή	Combined Inflow
Χρόνος ροής K	1.1
Συντελεστής βάρους x	0.2
Πλήθος Υποκλάδων	5

Αποτελέσματα: R1211

Παροχή Αιχμής(M3/S)	1637.11
Χρονική στιγμή αιχμής	02Sep2000, 03:30
Όγκος (MM)	186.58
Παροχή Αιχμής Εισόδου (M3/S)	1690.8
Όγκος Εισόδου(M3)	7.49E7

Απορροή



Κλάδος: R1312

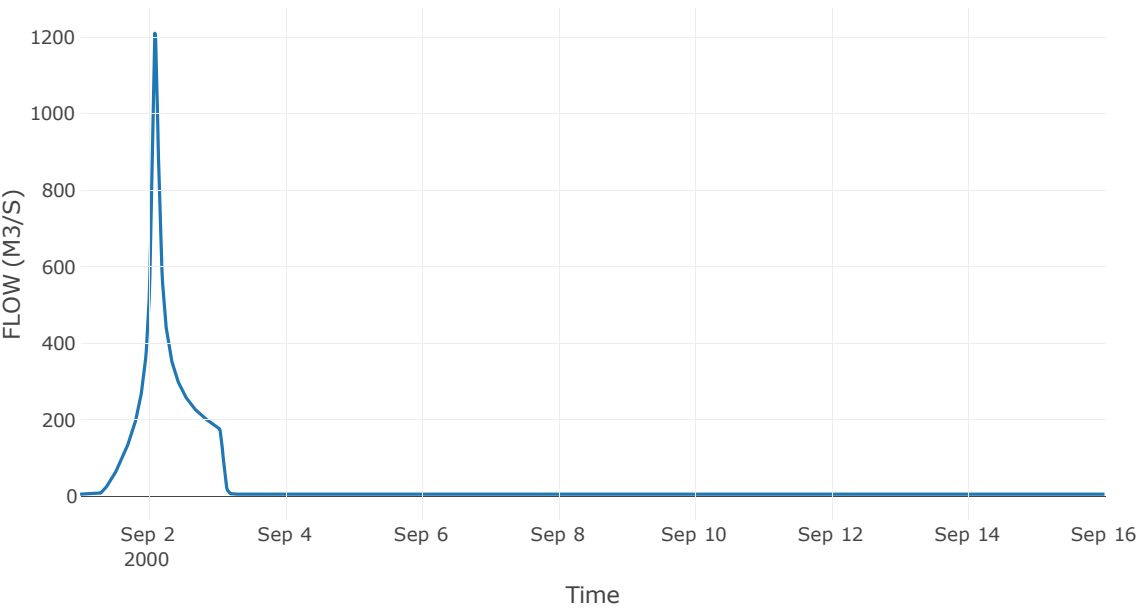
Κατάντη : J12

Μέθοδος διόδευσης	Muskingum
Αρχική Μεταβλητή	Combined Inflow
Χρόνος ροής K	0.69
Συντελεστής βάρους x	0.2
Πλήθος Υποκλάδων	3

Αποτελέσματα: R1312

Παροχή Αιχμής(M3/S)	1209.39
Χρονική στιγμή αιχμής	02Sep2000, 02:15
Όγκος (MM)	224.82
Παροχή Αιχμής Εισόδου (M3/S)	1242.75
Όγκος Εισόδου(M3)	5.06E7

Απορροή



Κλάδος: R1413

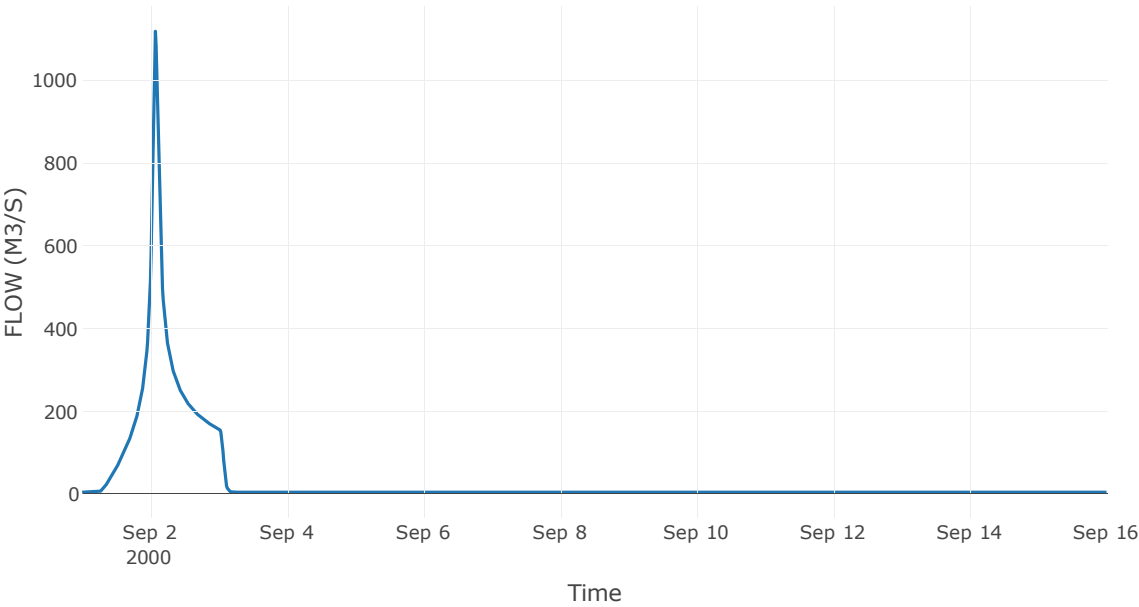
Κατάντη : J13

Μέθοδος διόδευσης	Χρόνος υστέρησης
Αρχική Μεταβλητή	Combined Inflow
Χρόνος υστέρησης	25.35

Αποτελέσματα: R1413

Παροχή Αιχμής(M3/S)	1118.49
Χρονική στιγμή αιχμής	02Sep2000, 01:45
Όγκος (MM)	232.92
Παροχή Αιχμής Εισόδου (M3/S)	1124.94
Όγκος Εισόδου(M3)	4.45E7

Απορροή



Κλάδος: R1514

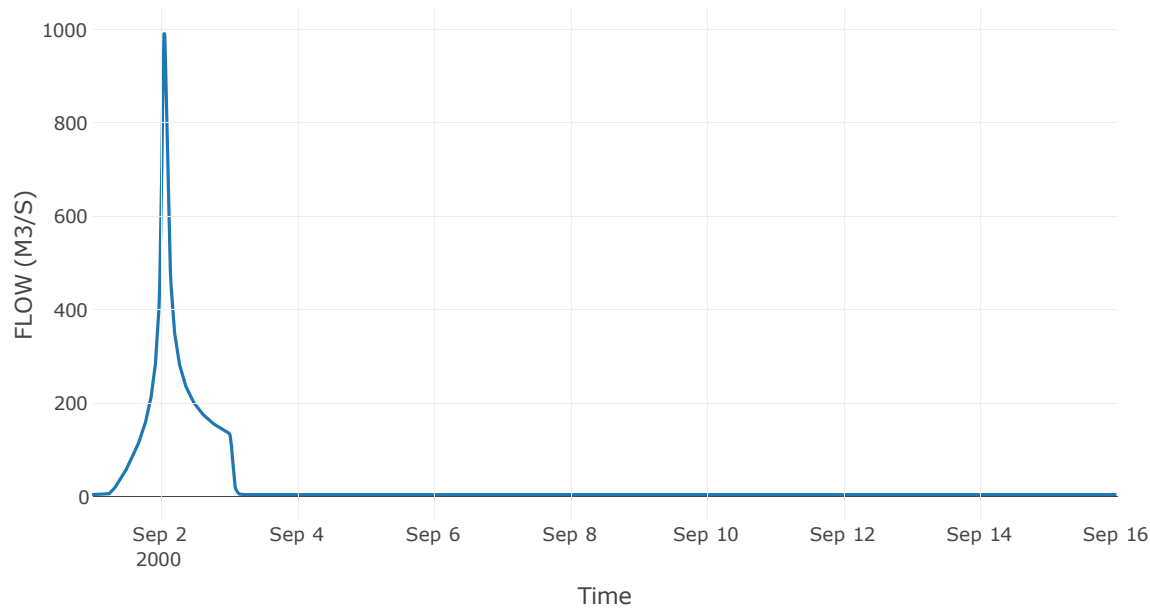
Κατάντη : J14

Μέθοδος διόδευσης	Χρόνος υστέρησης
Αρχική Μεταβλητή	Combined Inflow
Χρόνος υστέρησης	8.79

Αποτελέσματα: R1514

Παροχή Αιχμής(M3/S)	991.46
Χρονική στιγμή αιχμής	02Sep2000, 01:15
Όγκος (MM)	232.3
Παροχή Αιχμής Εισόδου (M3/S)	1006.13
Όγκος Εισόδου(M3)	3.86E7

Απορροή



Κλάδος: R1615

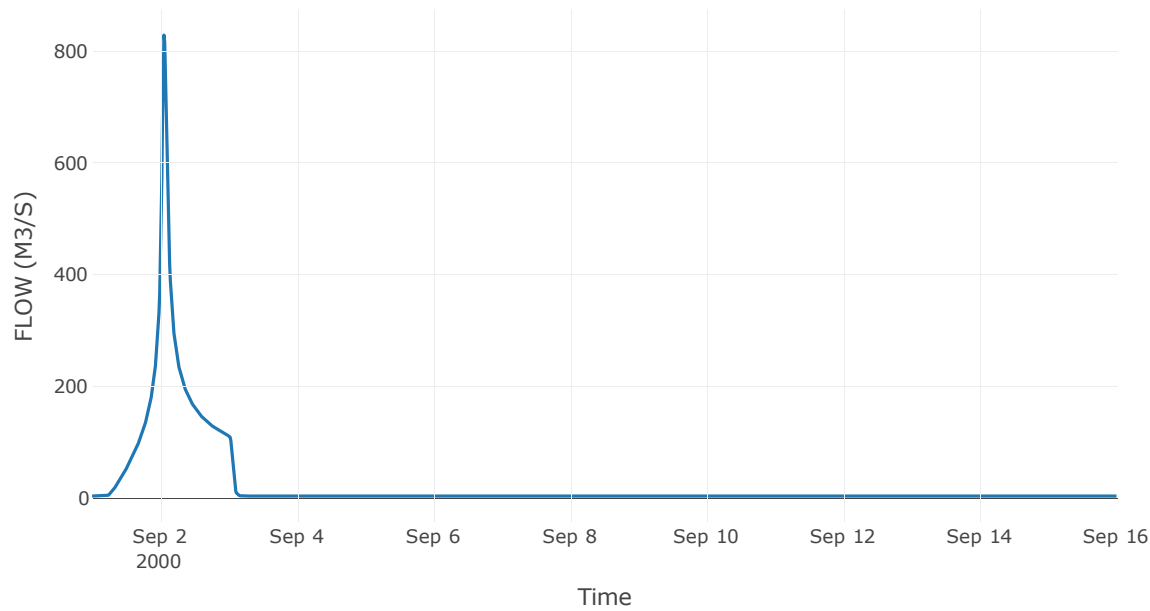
Κατάντη : J15

Μέθοδος διόδευσης	Χρόνος υστέρησης
Αρχική Μεταβλητή	Combined Inflow
Χρόνος υστέρησης	21.56

Αποτελέσματα: R1615

Παροχή Αιχμής(M3/S)	828.11
Χρονική στιγμή αιχμής	02Sep2000, 01:15
Όγκος (MM)	236.67
Παροχή Αιχμής Εισόδου (M3/S)	837.11
Όγκος Εισόδου(M3)	3.16E7

Απορροή



Κλάδος: R1716

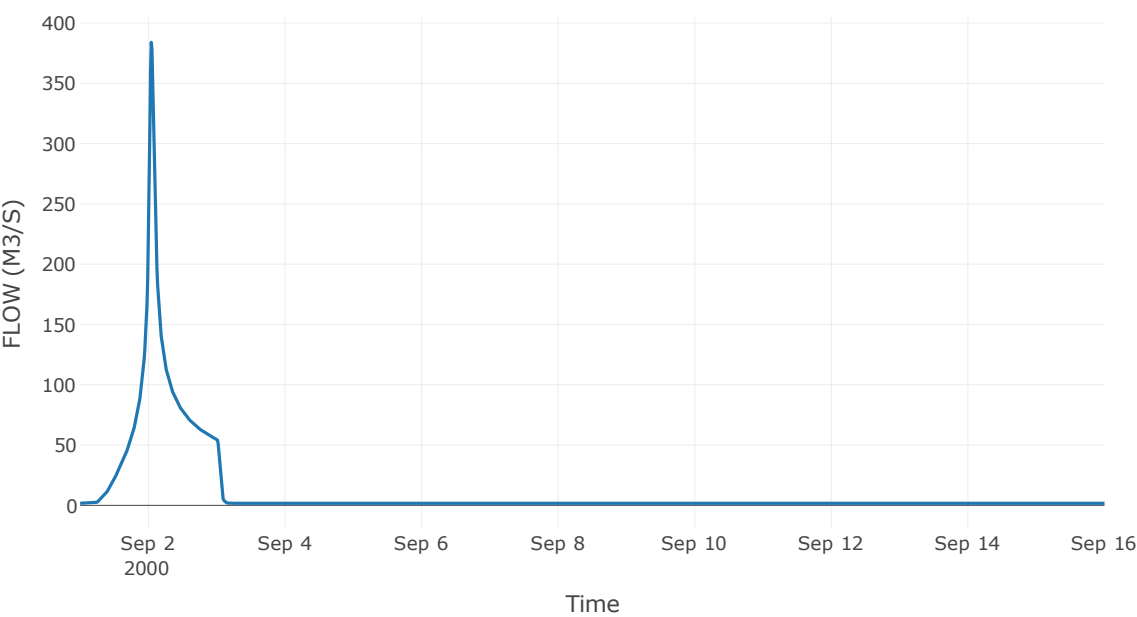
Κατάντη : J16

Μέθοδος διόδευσης	Χρόνος υστέρησης
Αρχική Μεταβλητή	Combined Inflow
Χρόνος υστέρησης	12.55

Αποτελέσματα: R1716

Παροχή Αιχμής(M3/S)	384.01
Χρονική στιγμή αιχμής	02Sep2000, 01:00
Όγκος (MM)	218.75
Παροχή Αιχμής Εισόδου (M3/S)	384.27
Όγκος Εισόδου(M3)	1.5E7

Απορροή



Κλάδος: R1811

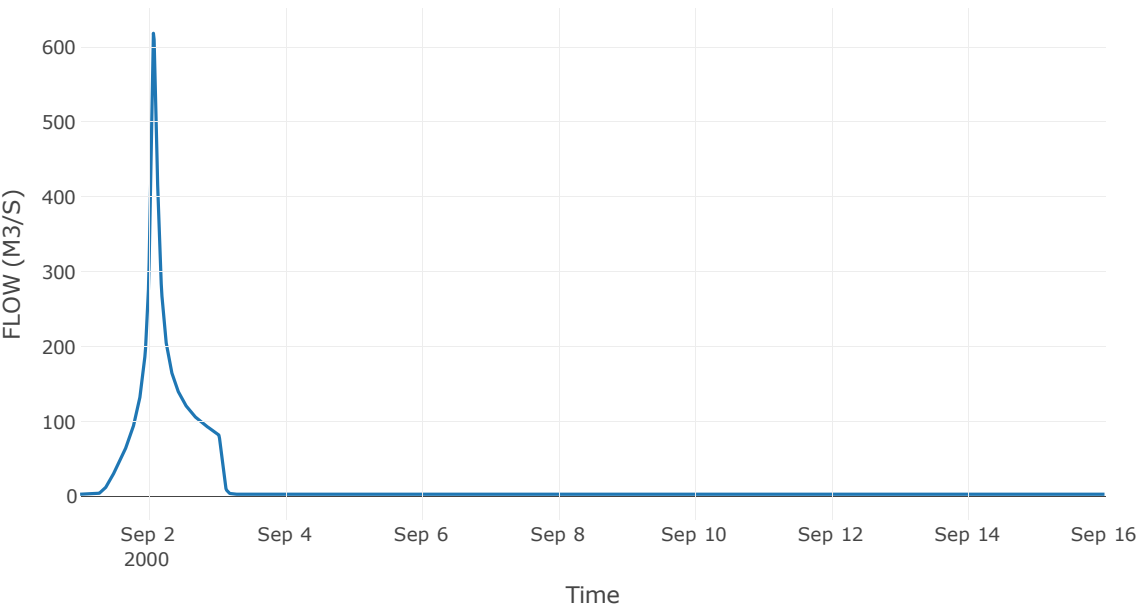
Κατάντη : J11

Μέθοδος διόδευσης	Muskingum
Αρχική Μεταβλητή	Combined Inflow
Χρόνος ροής K	0.5
Συντελεστής βάρους x	0.2
Πλήθος Υποκλάδων	2

Αποτελέσματα: R1811

Παροχή Αιχμής(M3/S)	618.57
Χρονική στιγμή αιχμής	02Sep2000, 01:45
Όγκος (MM)	215.6
Παροχή Αιχμής Εισόδου (M3/S)	635.32
Όγκος Εισόδου(M3)	2.51E7

Απορροή



Κλάδος: R1918

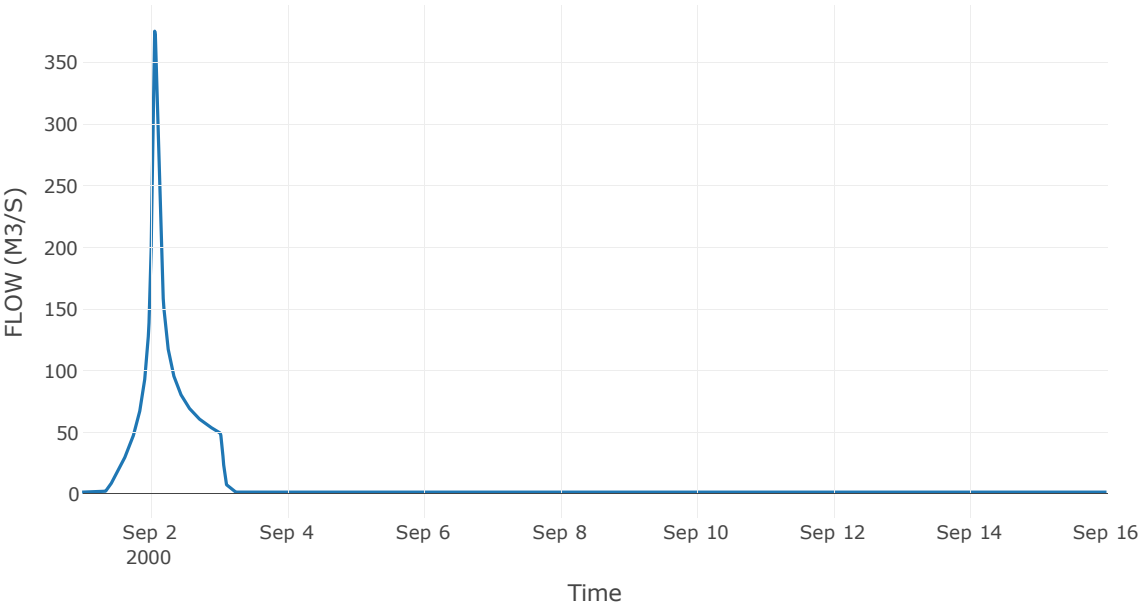
Κατάντη : J18

Μέθοδος διόδευσης	Χρόνος υστέρησης
Αρχική Μεταβλητή	Combined Inflow
Χρόνος υστέρησης	20.31

Αποτελέσματα: R1918

Παροχή Αιχμής(M3/S)	375.36
Χρονική στιγμή αιχμής	02Sep2000, 01:30
Όγκος (MM)	210.45
Παροχή Αιχμής Εισόδου (M3/S)	377.97
Όγκος Εισόδου(M3)	1.46E7

Απορροή



Κλάδος: R2012

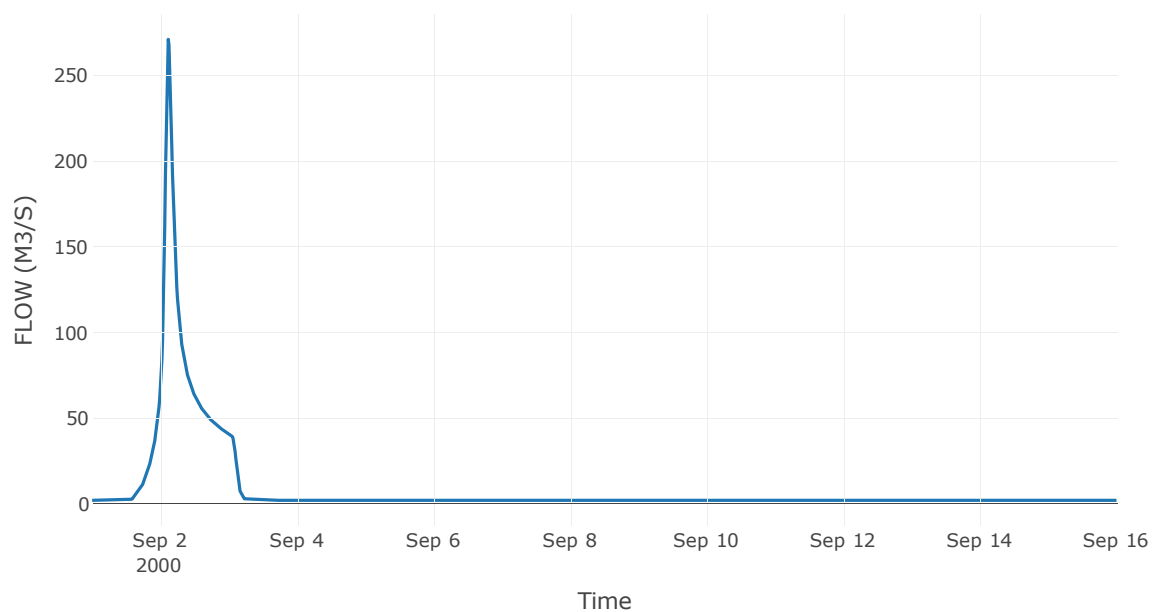
Κατάντη : J12

Μέθοδος διόδευσης	Muskingum
Αρχική Μεταβλητή	Combined Inflow
Χρόνος ροής K	1.02
Συντελεστής βάρους α	0.2
Πλήθος Υποκλάδων	4

Αποτελέσματα: R2012

Παροχή Αιχμής(M3/S)	270.87
Χρονική στιγμή αιχμής	02Sep2000, 02:45
Όγκος (MM)	133.31
Παροχή Αιχμής Εισόδου (M3/S)	284.92
Όγκος Εισόδου(M3)	1.14E7

Απορροή



Κλάδος: R2120

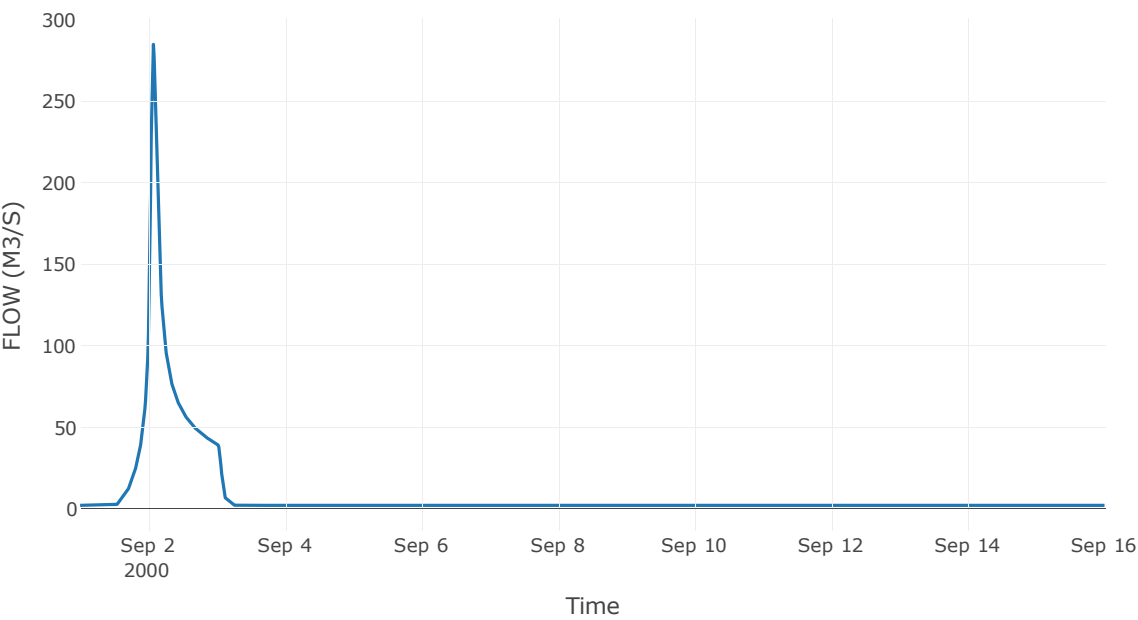
Κατάντη : J20

Μέθοδος διόδευσης	Muskingum
Αρχική Μεταβλητή	Combined Inflow
Χρόνος ροής K	0.36
Συντελεστής βάρους x	0.2
Πλήθος Υποκλάδων	2

Αποτελέσματα: R2120

Παροχή Αιχμής(M3/S)	284.92
Χρονική στιγμή αιχμής	02Sep2000, 01:45
Όγκος (MM)	133.31
Παροχή Αιχμής Εισόδου (M3/S)	288.65
Όγκος Εισόδου(M3)	1.14E7

Απορροή



Κλάδος: R227

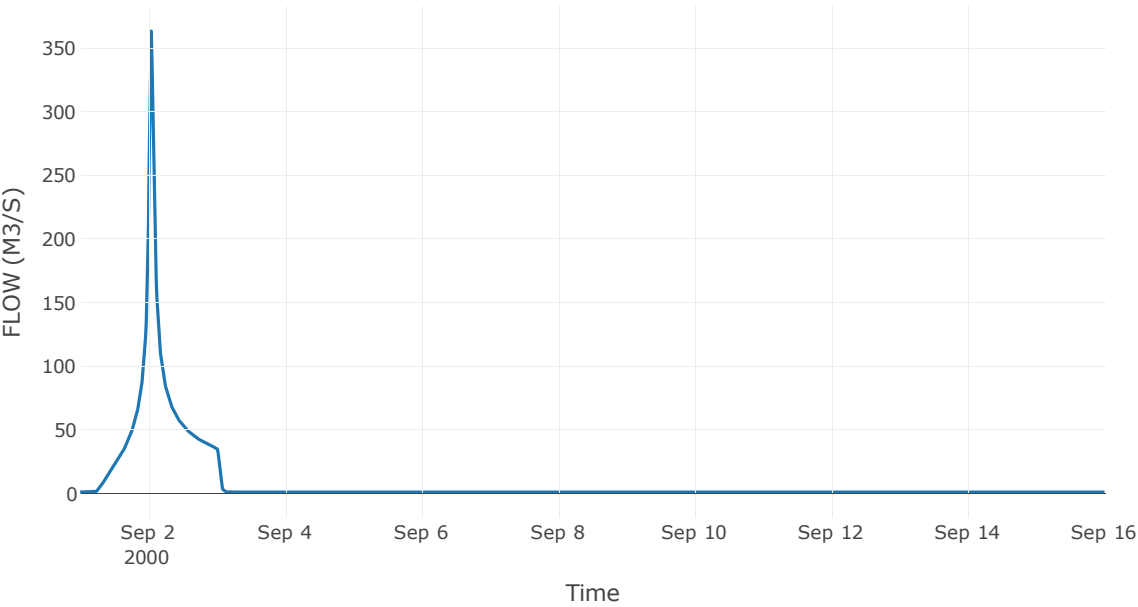
Κατάντη : J7

Μέθοδος διόδευσης	Χρόνος υστέρησης
Αρχική Μεταβλητή	Combined Inflow
Χρόνος υστέρησης	8.47

Αποτελέσματα: R227

Παροχή Αιχμής(M3/S)	363.18
Χρονική στιγμή αιχμής	02Sep2000, 01:00
Όγκος (MM)	223.09
Παροχή Αιχμής Εισόδου (M3/S)	368.79
Όγκος Εισόδου(M3)	1.19E7

Απορροή



Κλάδος: R232

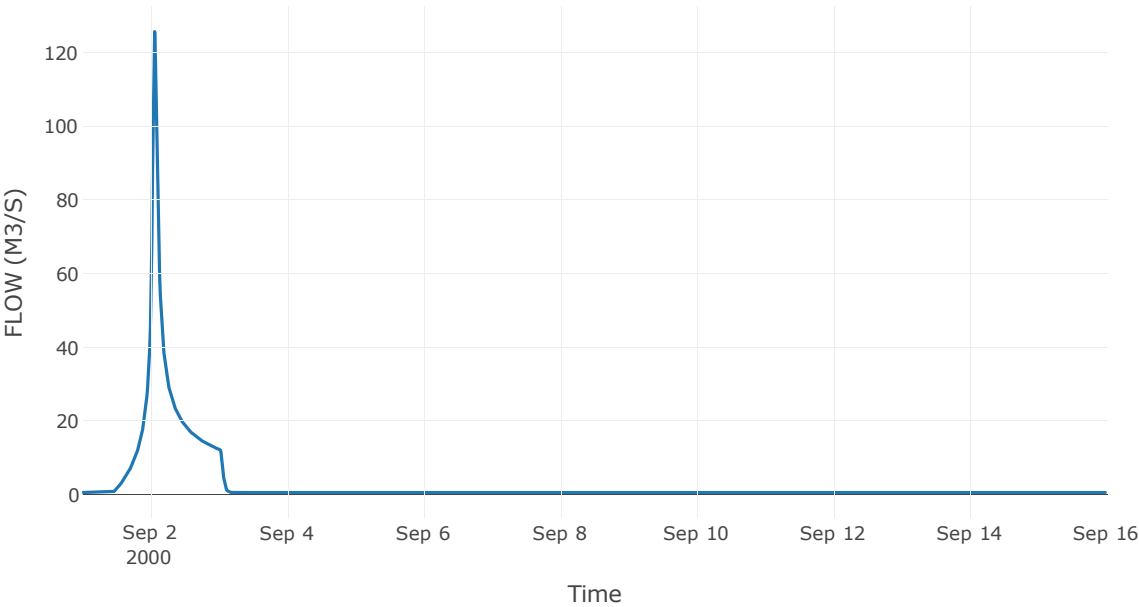
Κατάντη : J2

Μέθοδος διόδευσης	Χρόνος υστέρησης
Αρχική Μεταβλητή	Combined Inflow
Χρόνος υστέρησης	29.78

Αποτελέσματα: R232

Παροχή Αιχμής(M3/S)	125.7
Χρονική στιγμή αιχμής	02Sep2000, 01:30
Όγκος (MM)	171.22
Παροχή Αιχμής Εισόδου (M3/S)	126.14
Όγκος Εισόδου(M3)	3.86E6

Απορροή



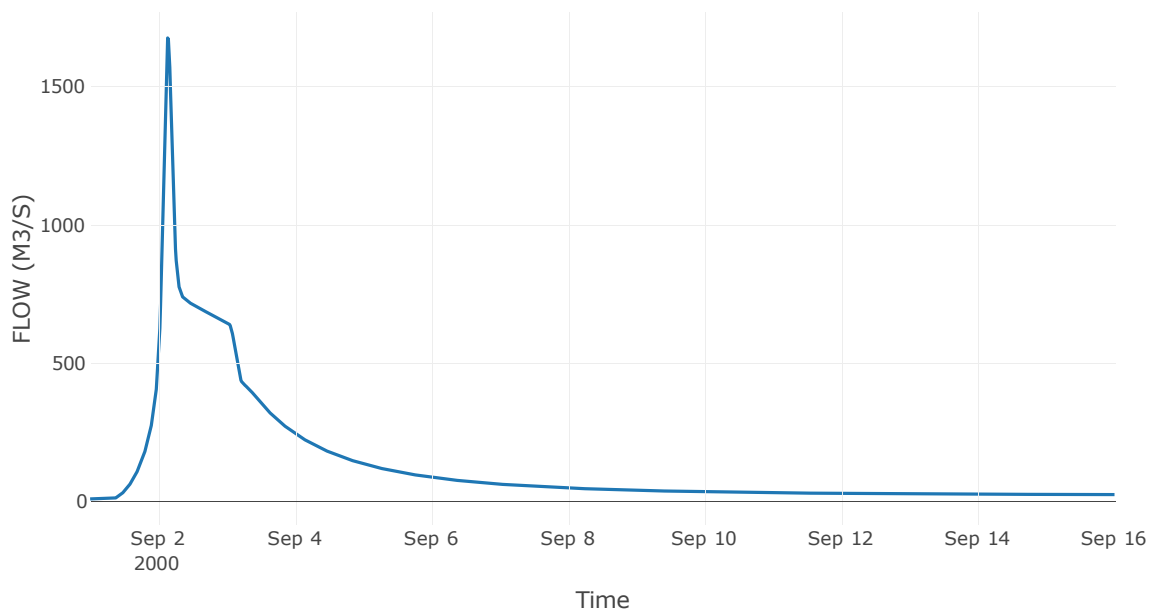
5.3 Δεδομένα και Υδρογραφήματα Σχεδιασμού Κόμβων Υδρογραφικού Δικτύου

Κόμβος εξόδου: J1

Αποτελέσμα
τα: J1

Παροχή αιχμής (M3/S)	1675.78
Χρονική στιγμή αιχμής	02Sep2000, 03:15
Όγκος (MM)	181.49

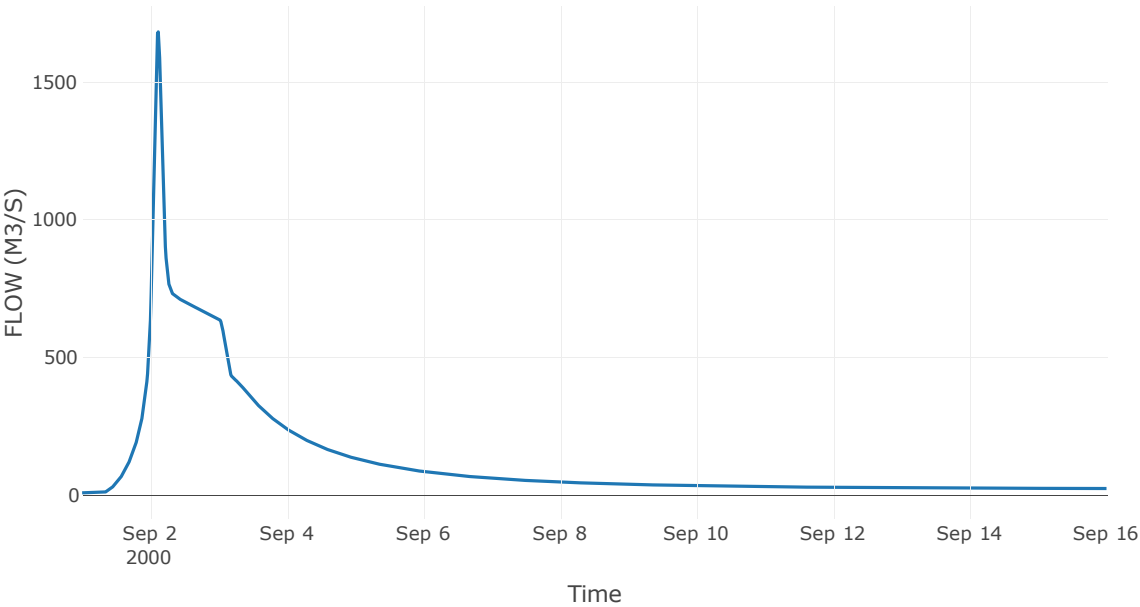
Απορροή



Αποτελέσματ
α: J2

Παροχή αιχμής (M3/S)	1681.95
Χρονική στιγμή αιχμής	02Sep2000, 02:45
Όγκος (MM)	181.63

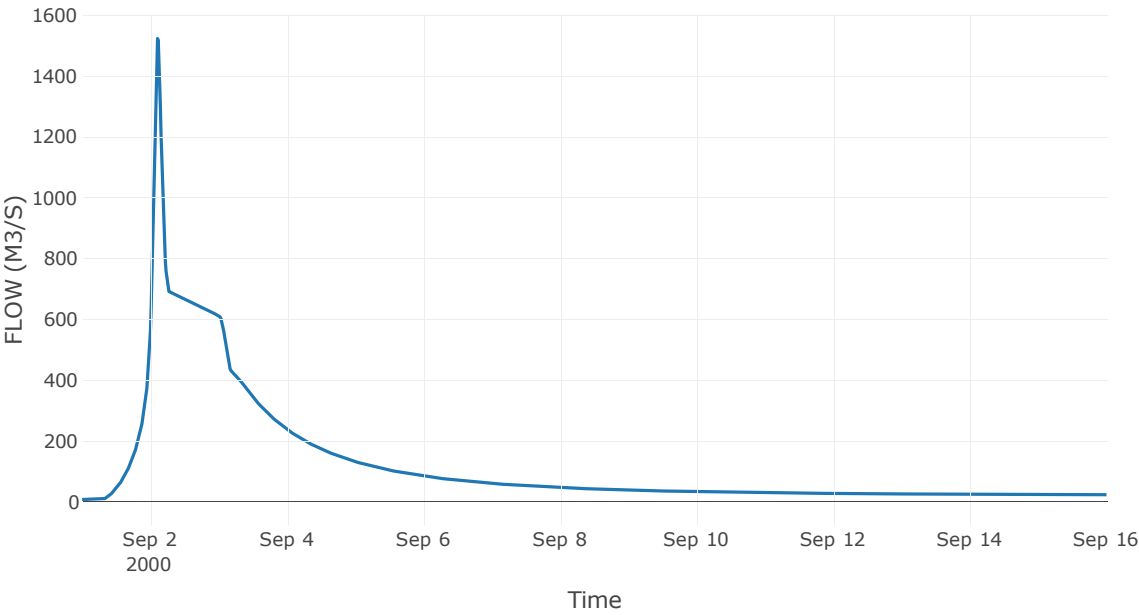
Απορροή



Αποτελέσματα: J3

Παροχή Αιχμής(M3/S)	1522.24
Χρονική στιγμή αιχμής	02Sep2000, 02:30
Όγκος (MM)	183.19

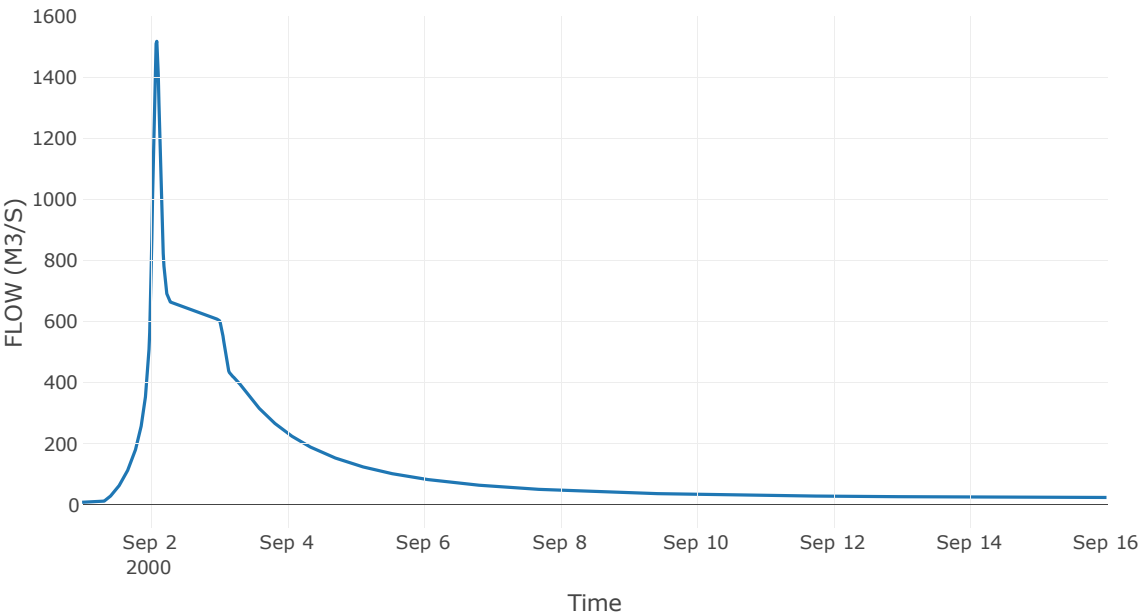
Απορροή



Αποτελέσματα: J4

Παροχή Αιχμής(M3/S)	1517.04
Χρονική στιγμή αιχμής	02Sep2000, 02:15
Όγκος (MM)	183.48

Απορροή

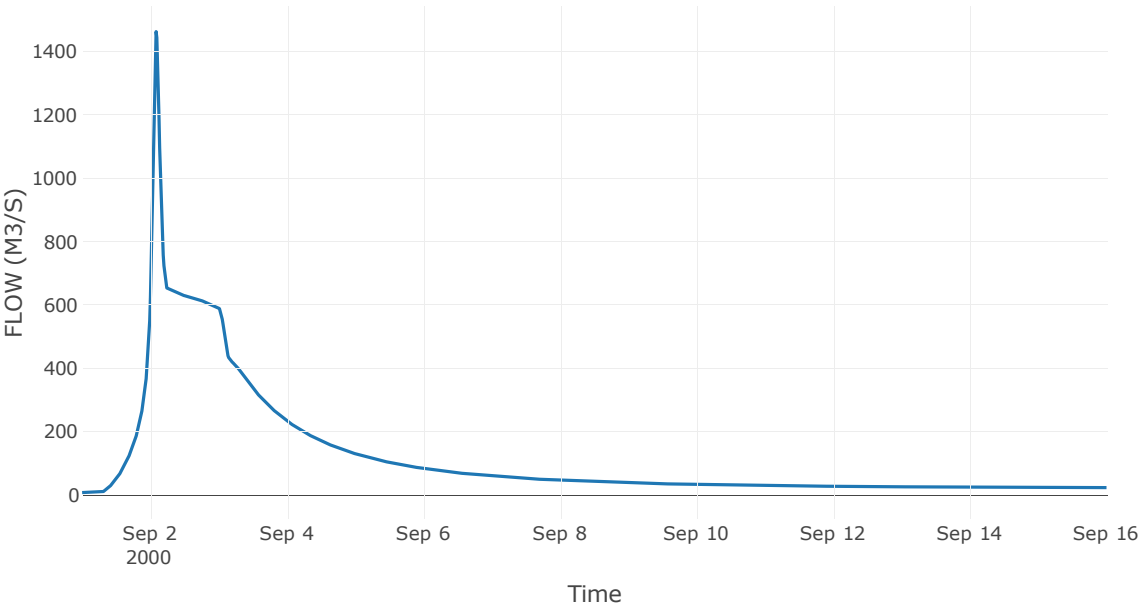


Κόμβος: J5

Αποτέλεσμα
τα: J5

Παροχή αιχμής (M3/S)	1462.19
Χρονική στιγμή αιχμής	02Sep2000, 02:00
Όγκος (MM)	184.87

Απορροή

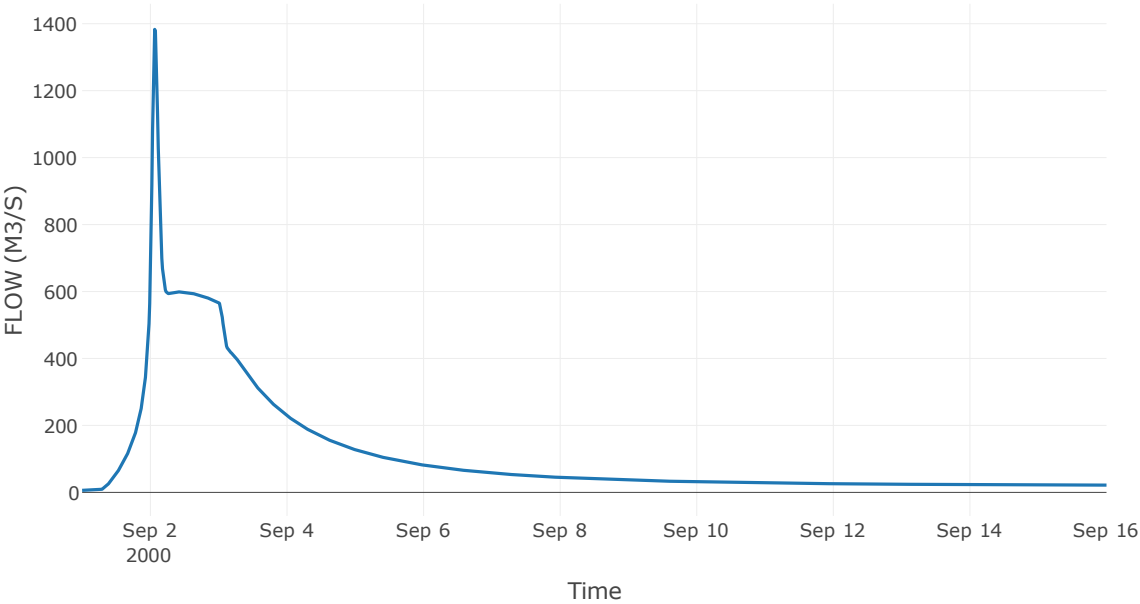


Κόμβος: J6

Αποτελέσματ
α: J6

Παροχή αιχμής (M3/S)	1382.99
Χρονική στιγμή αιχμής	02Sep2000, 01:30
Όγκος (MM)	186.49

Απορροή

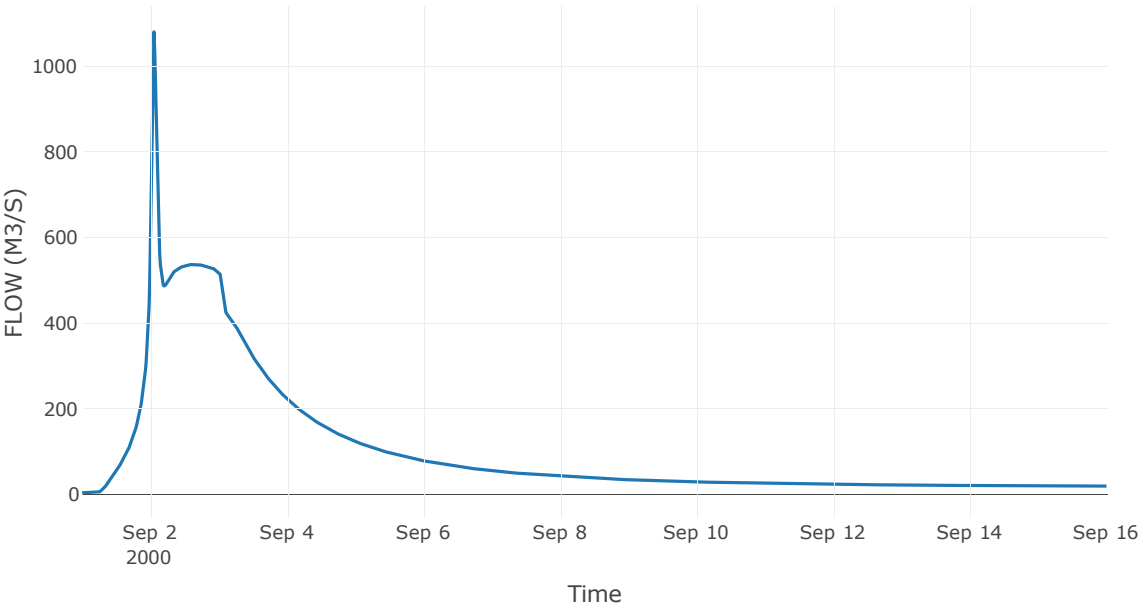


Κόμβος: J7

Αποτελέσματ
α: J7

Παροχή αιχμής (M3/S)	1080.2
Χρονική στιγμή αιχμής	02Sep2000, 01:15
Όγκος (MM)	187.63

Απορροή

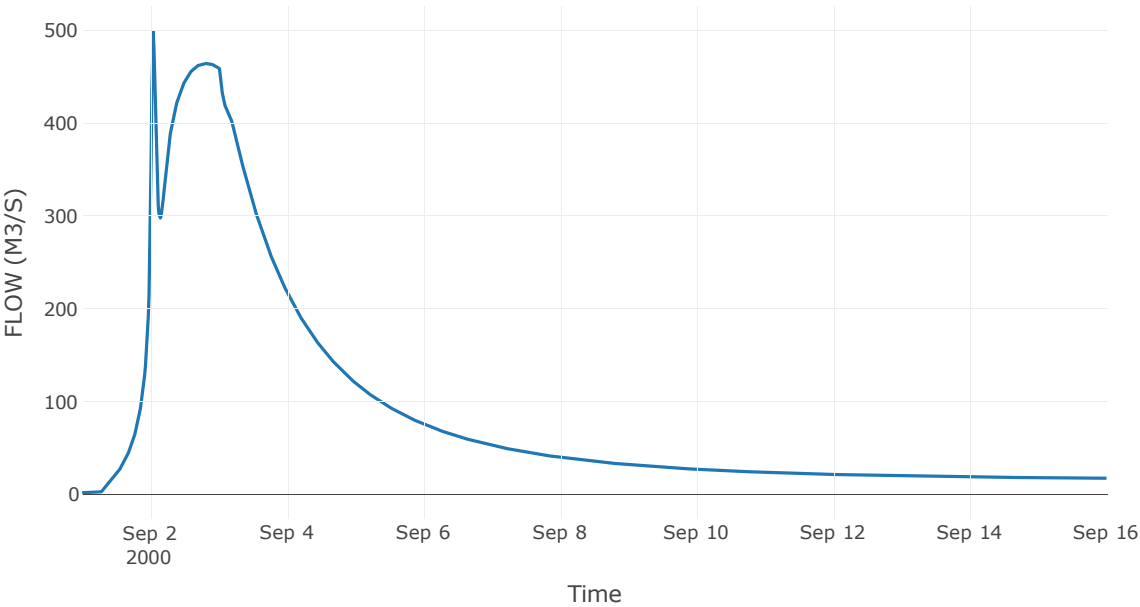


Κόμβος: J8

Αποτελέσματ
α: J8

Παροχή αιχμής (M3/S)	498.43
Χρονική στιγμή αιχμής	02Sep2000, 01:00
Όγκος (MM)	183.42

Απορροή

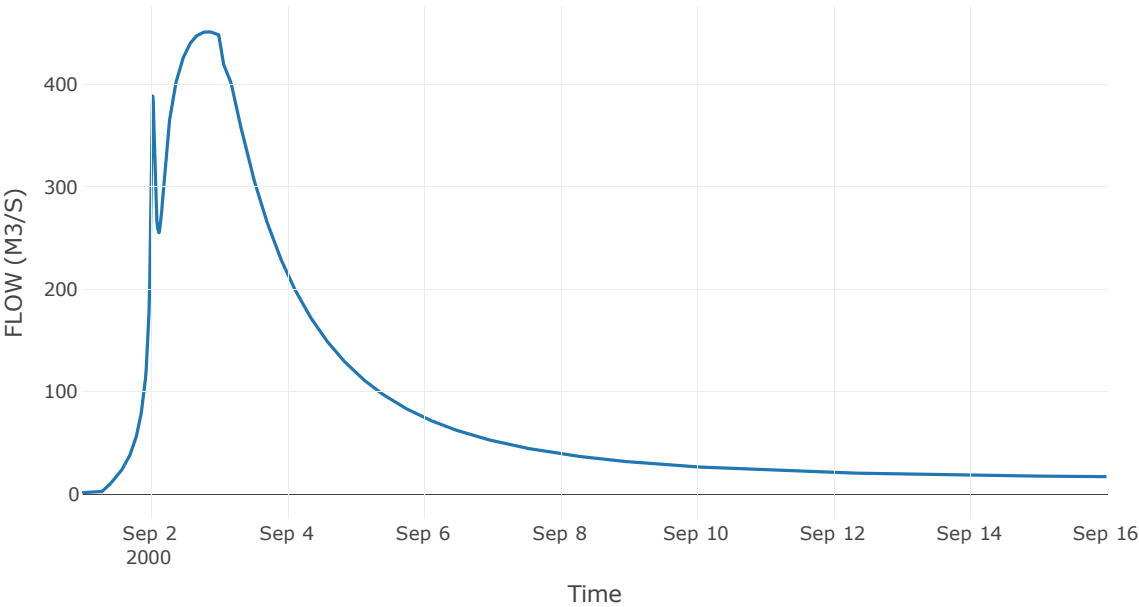


Κόμβος: J9

Αποτέλεσμα
τα: J9

Παροχή αιχμής (M3/S)	451.29
Χρονική στιγμή αιχμής	02Sep2000, 20:00
Όγκος (MM)	182.97

Απορροή



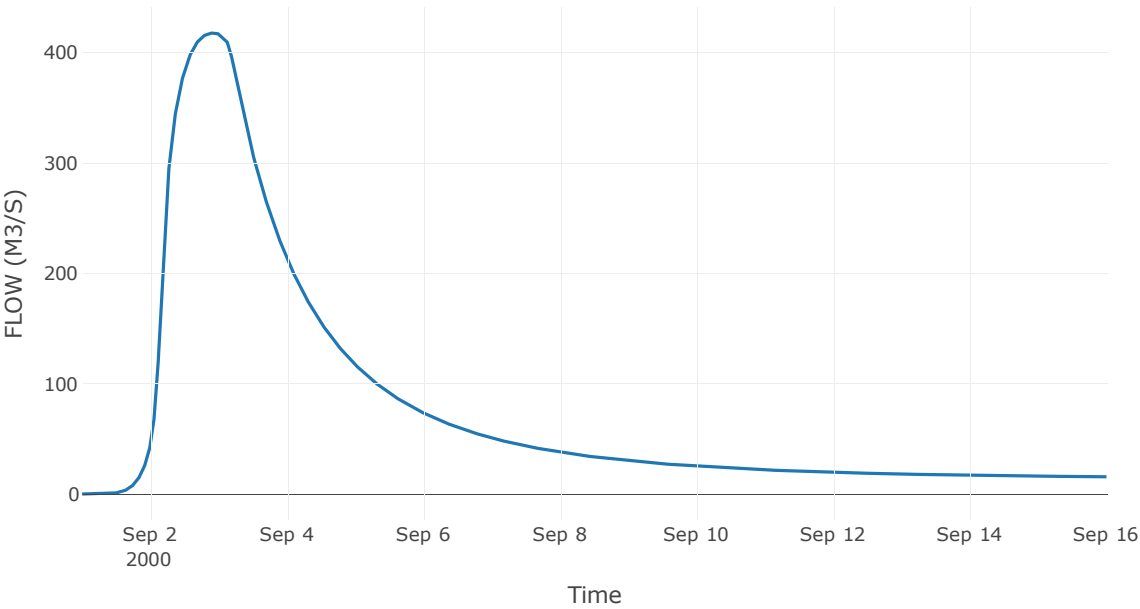
Reservoir: J10_RES1

Κατάντη : R109

Αποτελέσματα: J10_RES1

Παροχή Αιχμής(M3/S)	417.69
Χρονική στιγμή αιχμής	02Sep2000, 22:00
Όγκος (MM)	181.51
Παροχή Αιχμής Εισόδου (M3/S)	2130.07
Time of Peak Inflow	02Sep2000, 03:45
Όγκος Εισροής (M3)	1.08E8
Maximum Storage (M3)	8.29E8
Peak Elevation (M)	437.96
Discharge Όγκος (M3)	1.02E8

Απορροή

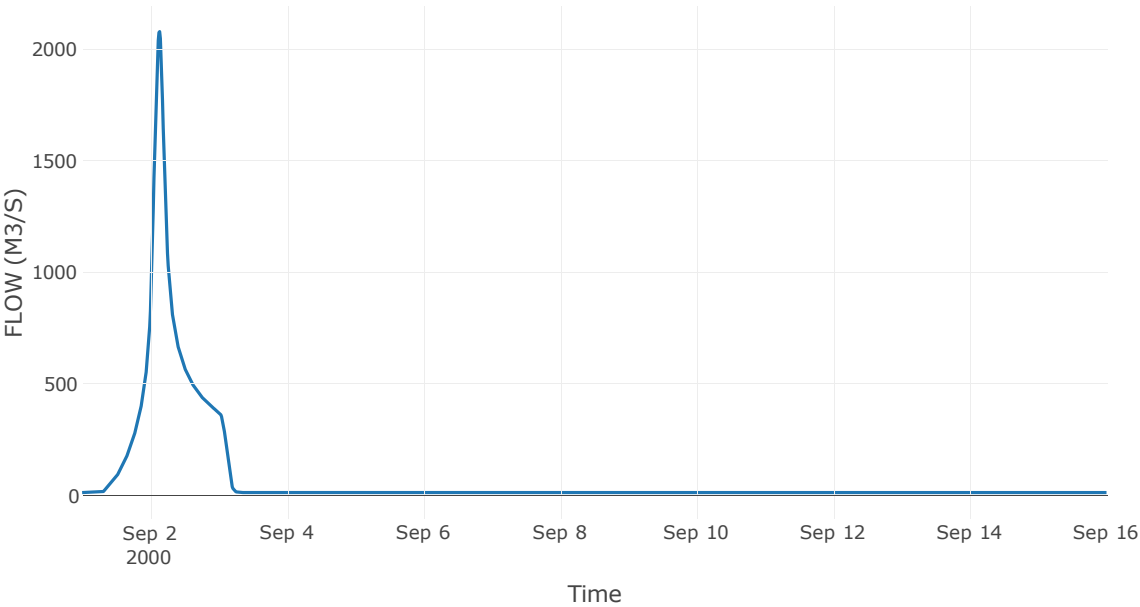


Κόμβος: J11

Αποτελέσμα
α: J11

Παροχή αιχμής (M3/S)	2078.46
Χρονική στιγμή αιχμής	02Sep2000, 03:15
Όγκος (MM)	193.26

Απορροή

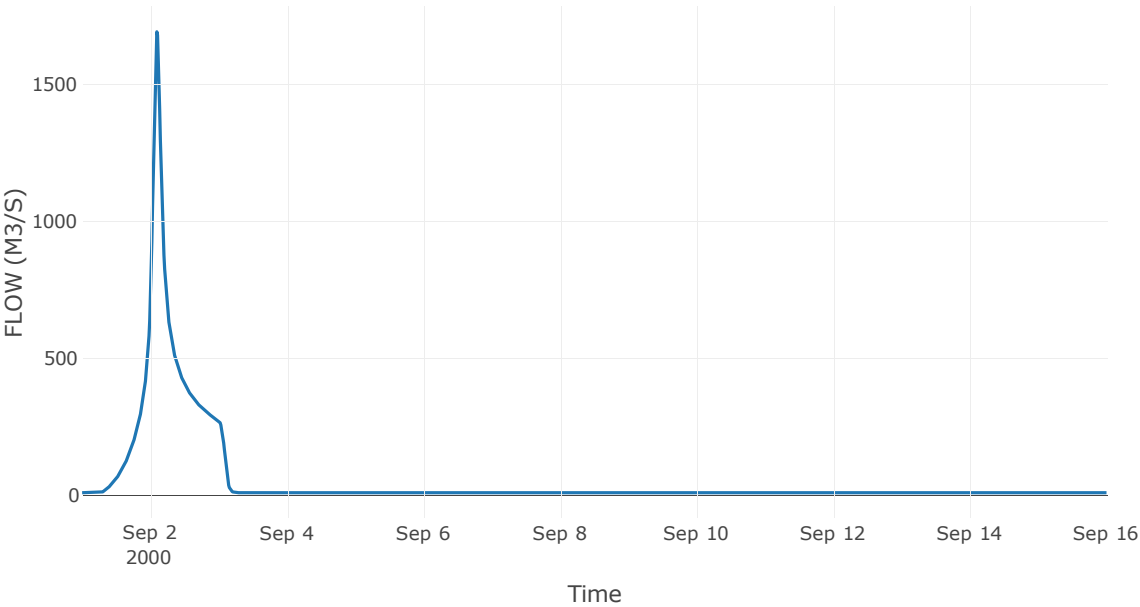


Κόμβος: J12

Αποτελέσμα
α: J12

Παροχή αιχμής (M3/S)	1690.8
Χρονική στιγμή αιχμής	02Sep2000, 02:15
Όγκος (MM)	186.58

Απορροή

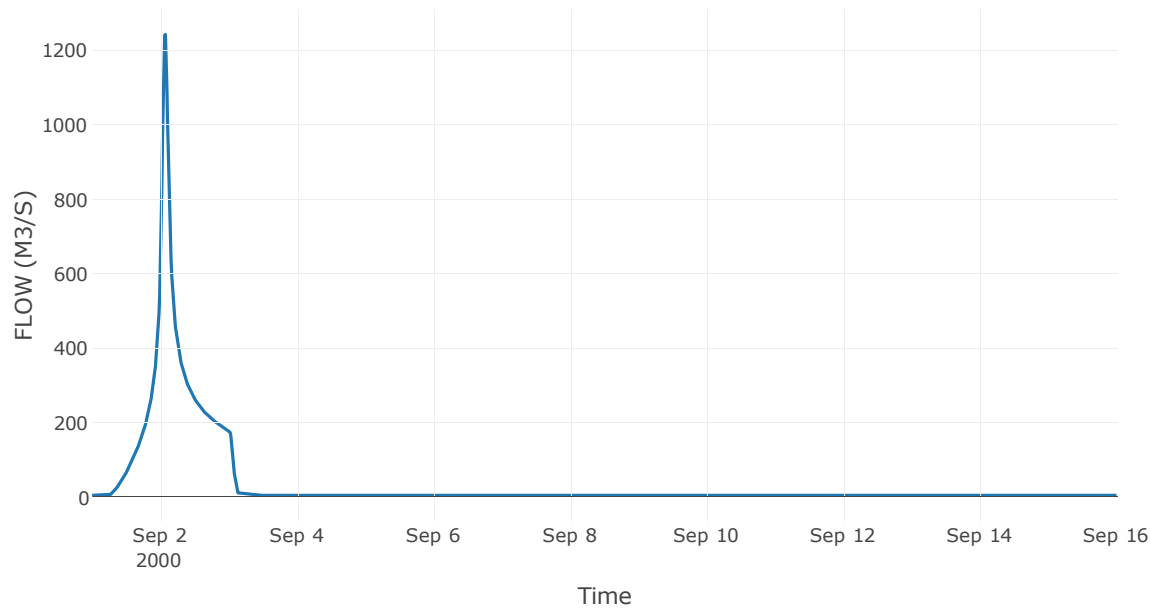


Κόμβος: J13

Αποτελέσματ
α: J13

Παροχή αιχμής (M3/S)	1242.75
Χρονική στιγμή αιχμής	02Sep2000, 01:45
Όγκος (MM)	224.82

Απορροή

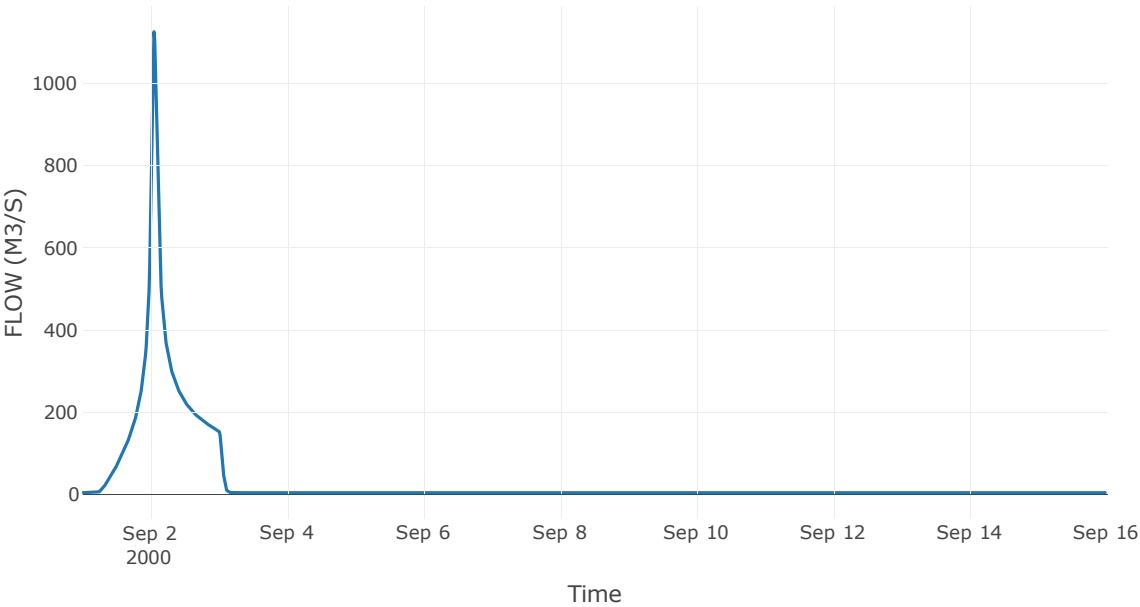


Κόμβος: J14

Αποτελέσμα
α: J14

Παροχή αιχμής (M3/S)	1124.94
Χρονική στιγμή αιχμής	02Sep2000, 01:15
Όγκος (MM)	232.92

Απορροή

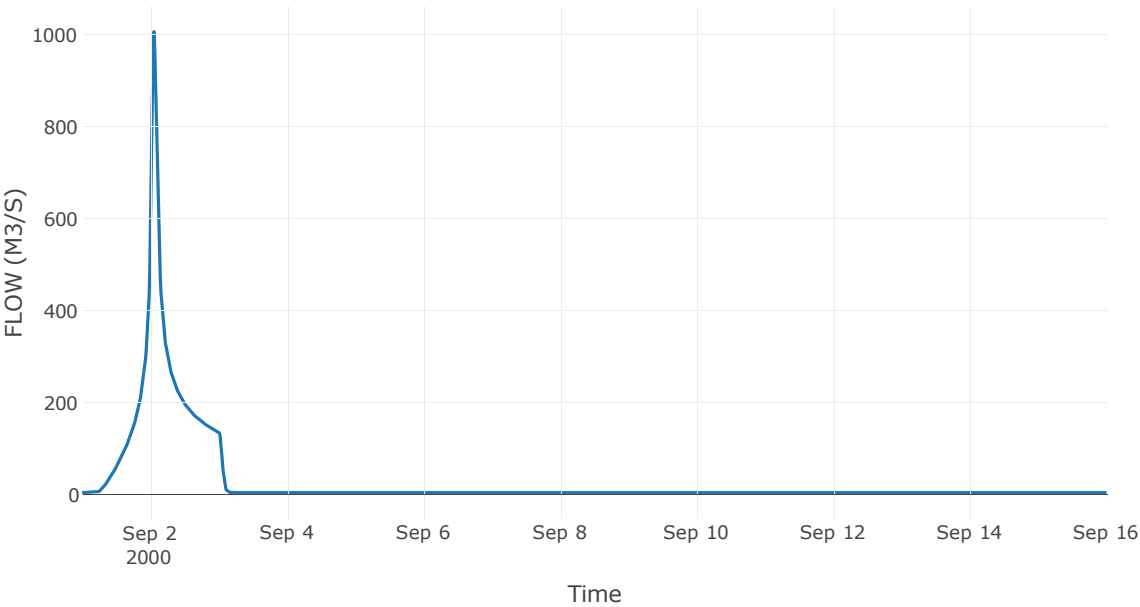


Κόμβος: J15

Αποτελέσματ
α: J15

Παροχή αιχμής (M3/S)	1006.13
Χρονική στιγμή αιχμής	02Sep2000, 01:15
Όγκος (MM)	232.3

Απορροή

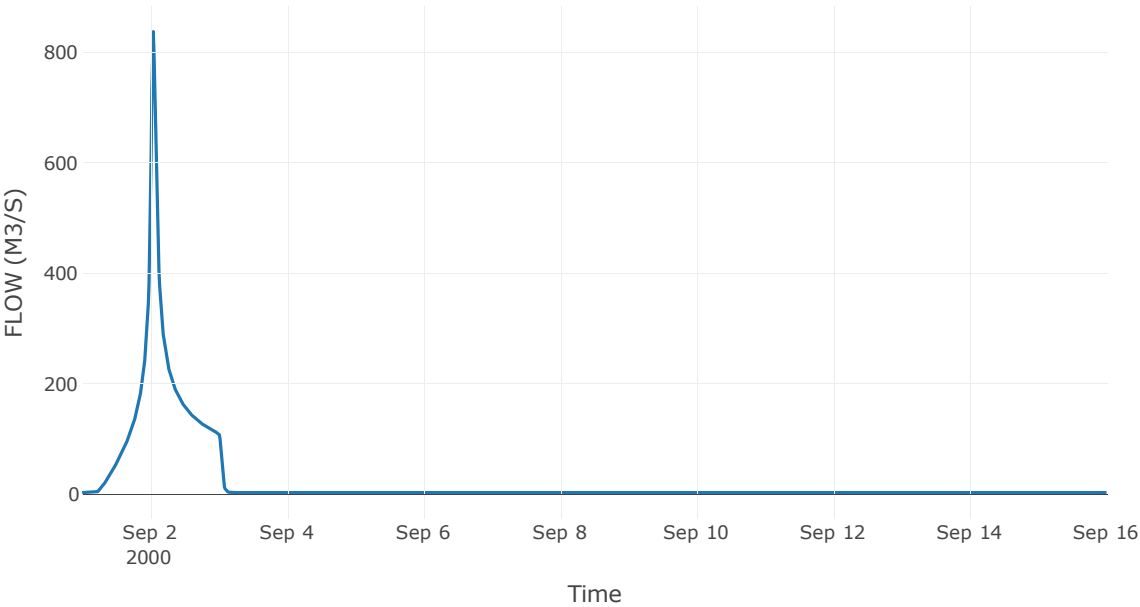


Κόμβος: J16

Αποτελέσμα
α: J16

Παροχή αιχμής (M3/S)	837.11
Χρονική στιγμή αιχμής	02Sep2000, 01:00
Όγκος (MM)	236.67

Απορροή

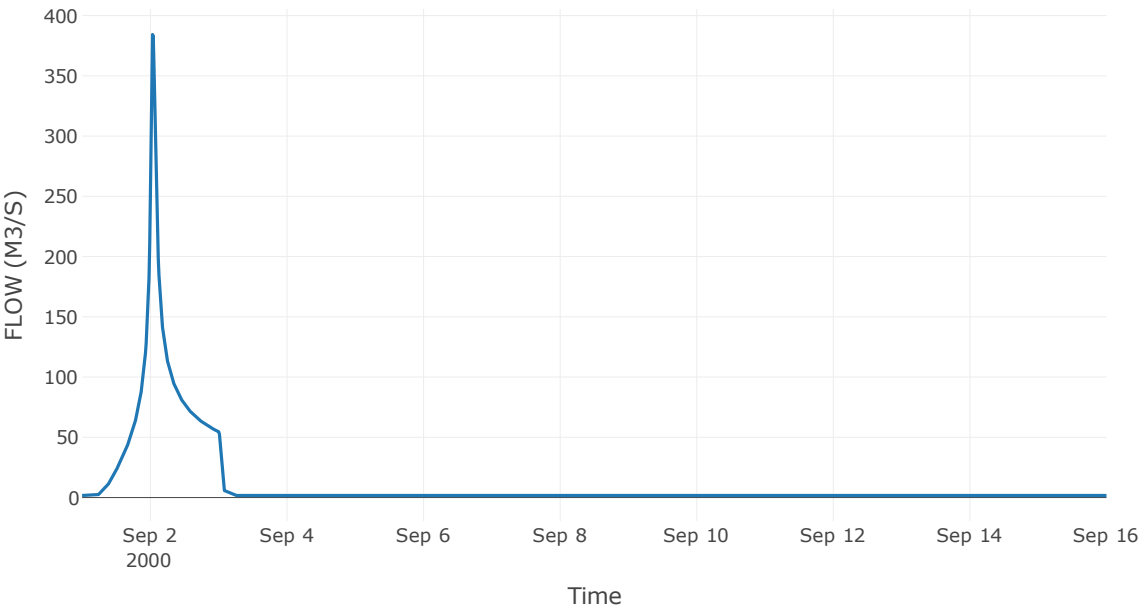


Κόμβος: J17

Αποτελέσματ
α: J17

Παροχή αιχμής (M3/S)	384.27
Χρονική στιγμή αιχμής	02Sep2000, 00:45
Όγκος (MM)	218.75

Απορροή

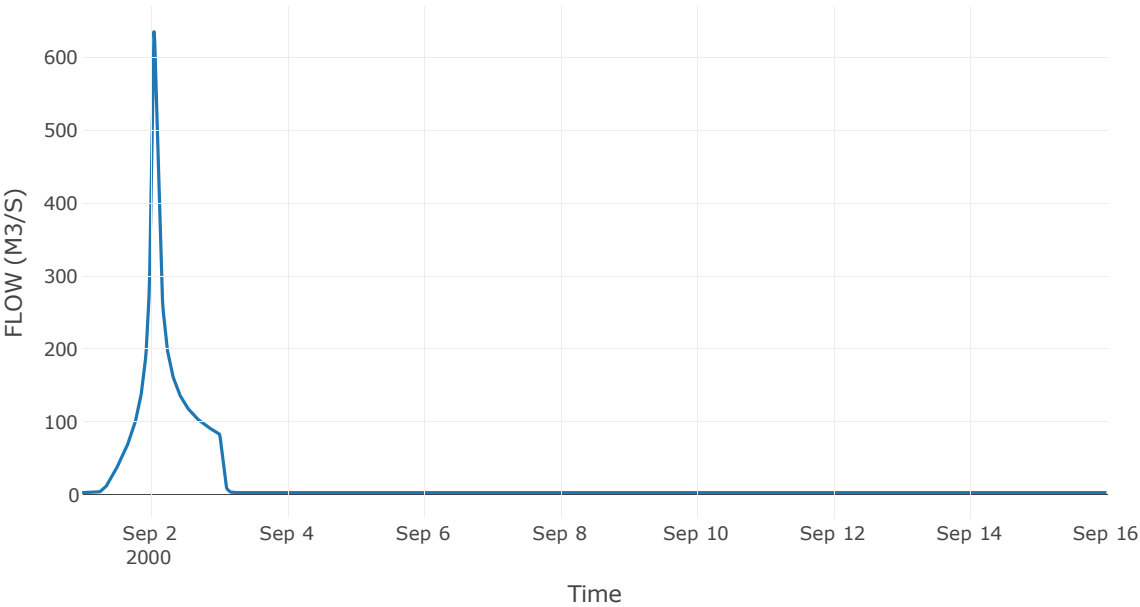


Κόμβος: J18

Αποτελέσμα
α: J18

Παροχή αιχμής (M3/S)	635.32
Χρονική στιγμή αιχμής	02Sep2000, 01:15
Όγκος (MM)	215.6

Απορροή

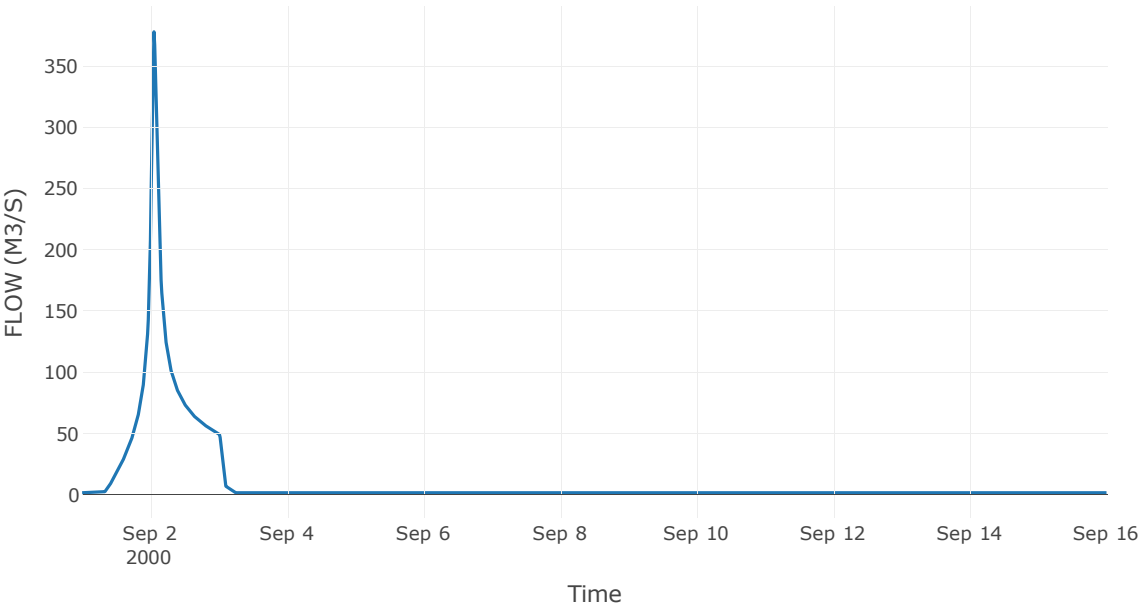


Κόμβος: J19

Αποτελέσματ
α: J19

Παροχή αιχμής (M3/S)	377.97
Χρονική στιγμή αιχμής	02Sep2000, 01:15
Όγκος (MM)	210.45

Απορροή

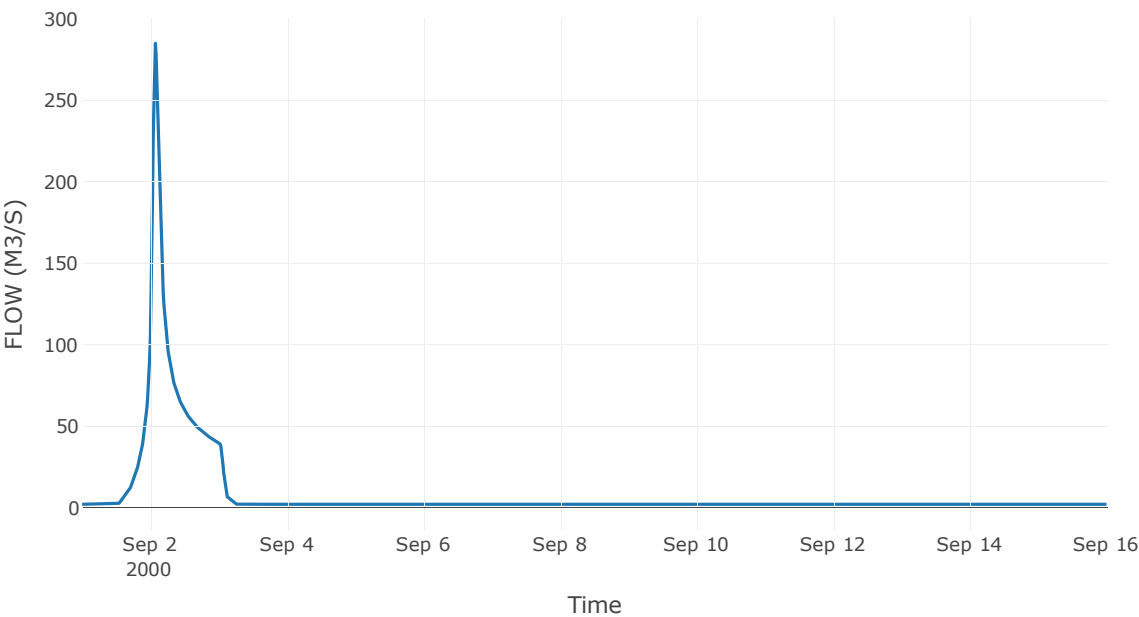


Κόμβος: J20

Αποτελέσματα: J20

Παροχή Αιχμής(M3/S)	284.92
Χρονική στιγμή αιχμής	02Sep2000, 01:45
Όγκος (MM)	133.31

Απορροή

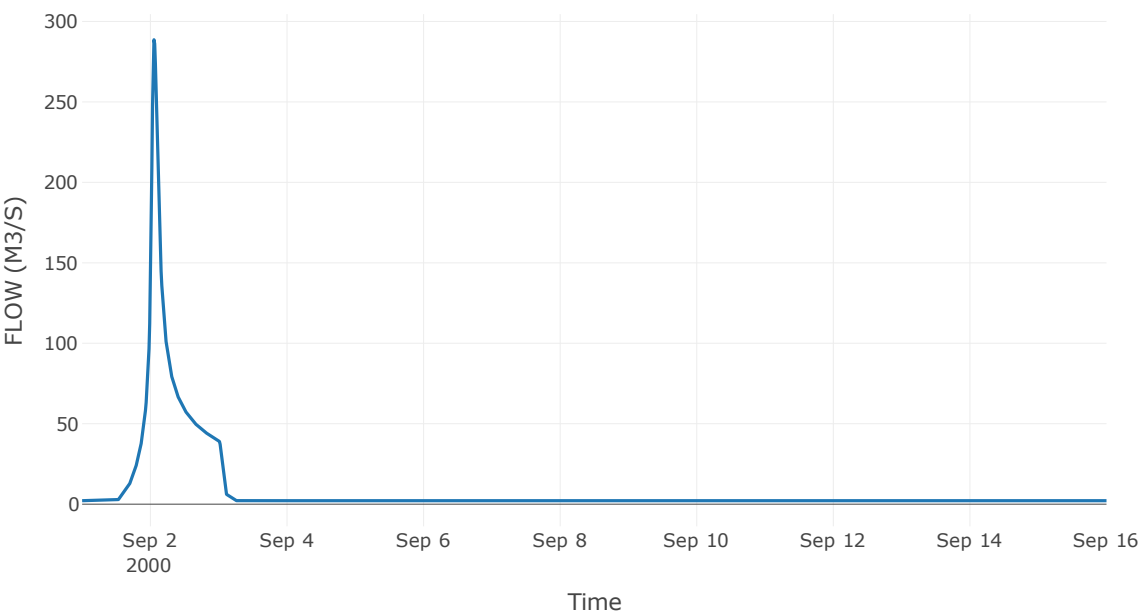


Κόμβος: J21

Αποτελέσμα
α: J21

Παροχή αιχμής (M3/S)	288.65
Χρονική στιγμή αιχμής	02Sep2000, 01:15
Όγκος (MM)	133.31

Απορροή

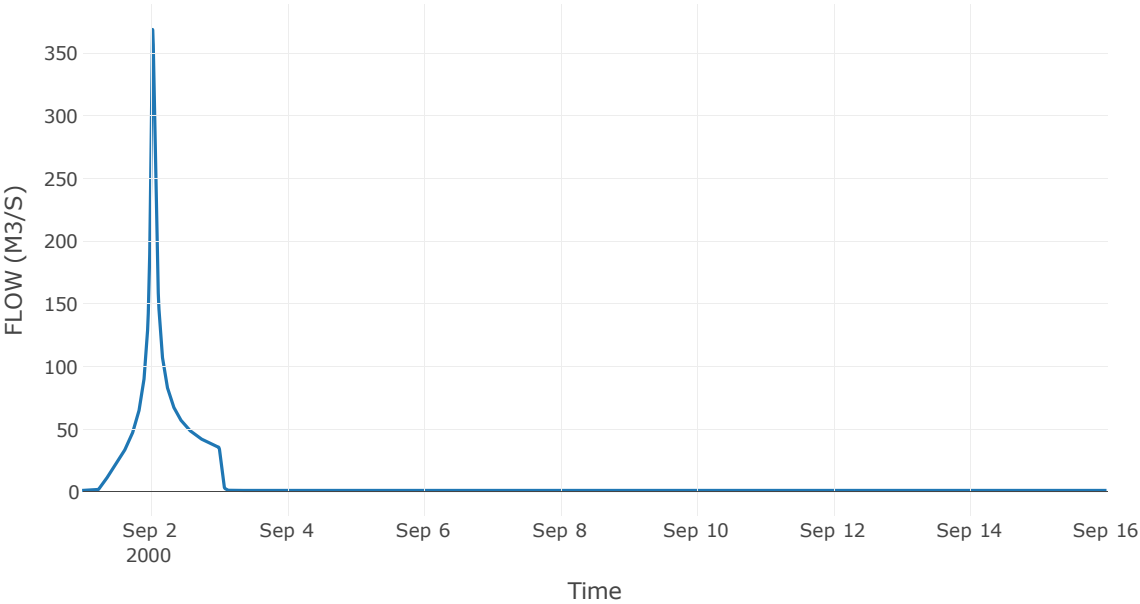


Κόμβος: J22

Αποτελέσματ
α: J22

Παροχή αιχμής (M3/S)	368.79
Χρονική στιγμή αιχμής	02Sep2000, 00:45
Όγκος (MM)	223.09

Απορροή

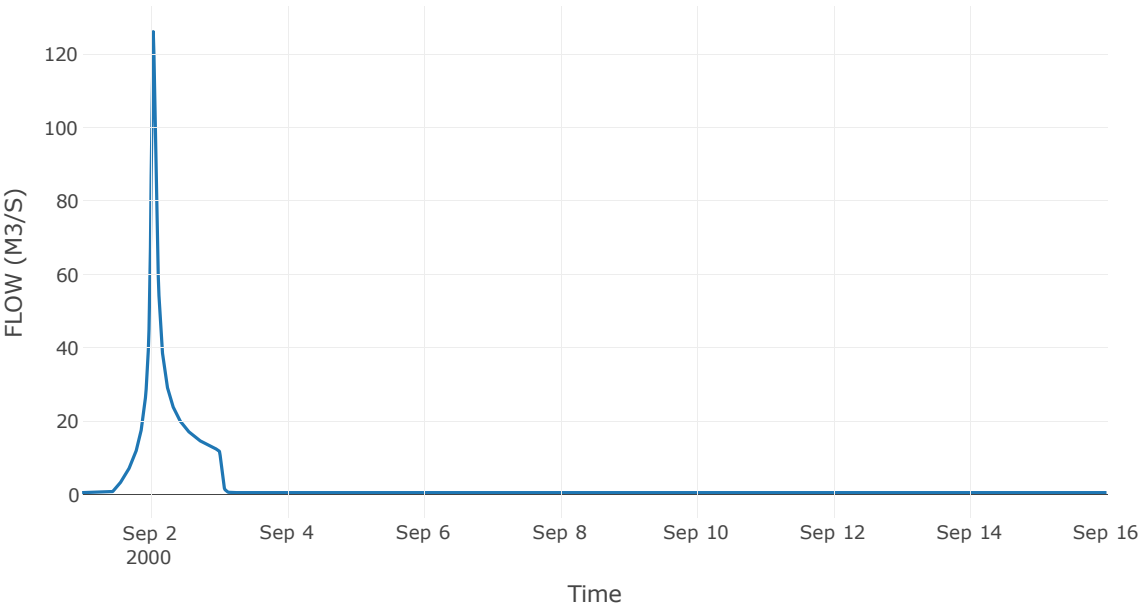


Κόμβος: J23

Αποτελέσματ
α: J23

Παροχή αιχμής (M3/S)	126.14
Χρονική στιγμή αιχμής	02Sep2000, 01:00
Όγκος (MM)	171.22

Απορροή



6 Δεδομένα εισόδου και αποτελέσματα υδρολογικού σεναρίου T=100L

6.1 Αποτελέσματα, νετογραφήματα και υδρογραφήματα σχεδιασμού υπολεκανών

Υπολεκάνη: EL0421FR001001

Έκταση (KM2) : 7.91

Κατάντη : J1

Μέθοδος Απωλειών: SCS

Ποσοστό αδιαπέρατης επιφάνειας	0
Αριθμός Καμπύλης Απορροής-CN	52.33
Αρχικές Απώλειες	46.28

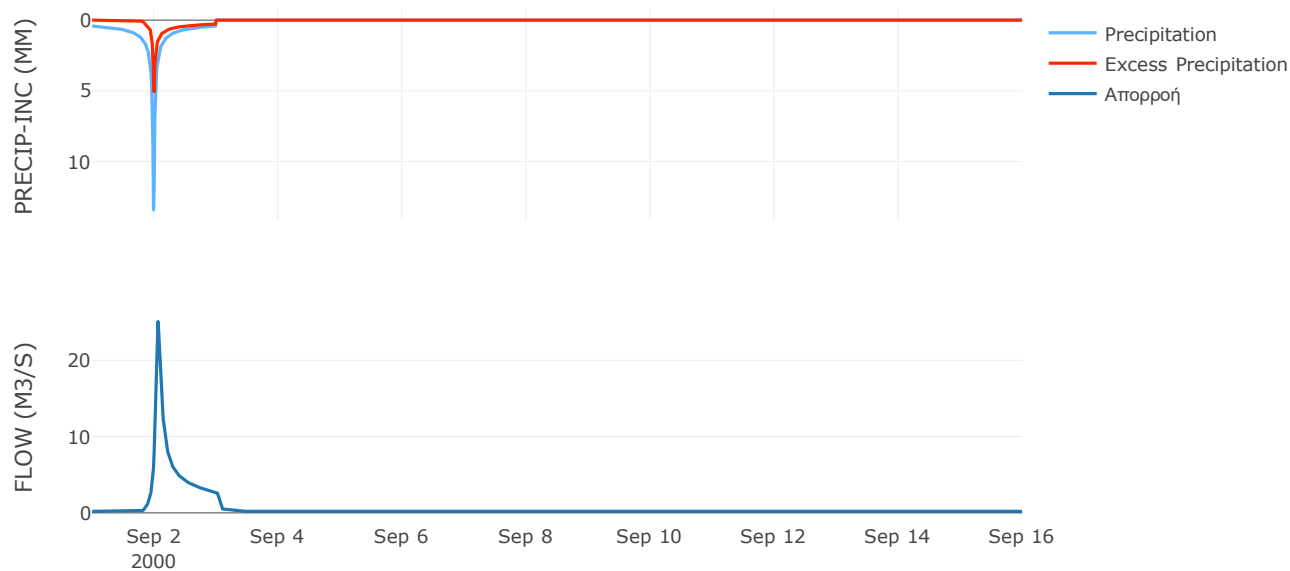
Μέθοδος Μετασχηματισμού: SCS

Χρόνος Υστέρησης	70.16
------------------	-------

Αποτελέσματα:
EL0421FR001001

Παροχή αιχμής (M3/S)	25.08
Χρονική στιγμή αιχμής	02Sep2000, 01:30
Όγκος (MM)	108.14
Όγκος βροχόπτωσης (M3)	1.76E6
Όγκος απωλειών (M3)	1.16E6
Ενεργός Όγκος (M3)	5.99E5
Όγκος άμεσης απορροής (M3)	5.99E5
Όγκος βασικής απορροής (M3)	2.56E5

Βροχόπτωση και Απορροή



Υπολεκάνη: EL0421FR001002

Έκταση (KM2) : 7.13

Κατάντη : J2

Μέθοδος Απωλειών: SCS

Ποσοστό αδιαπέρατης επιφάνειας	0
Αριθμός Καμπύλης Απορροής-CN	35.26
Αρχικές Απώλειες	93.29

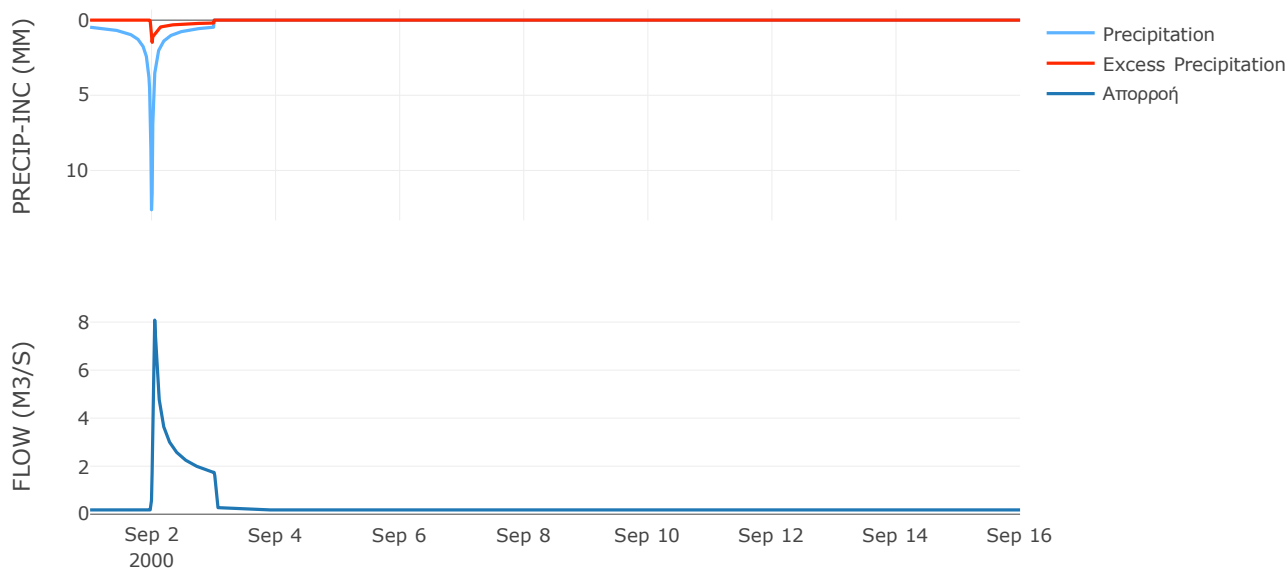
Μέθοδος Μετασχηματισμού: SCS

Χρόνος Υστέρησης	32.34
------------------	-------

Αποτελέσματα:
EL0421FR001002

Παροχή αιχμής (M3/S)	8.08
Χρονική στιγμή αιχμής	02Sep2000, 01:00
Όγκος (MM)	65.78
Όγκος βροχόπτωσης (M3)	1.68E6
Όγκος απωλειών (M3)	1.44E6
Ενεργός Όγκος (M3)	2.38E5
Όγκος άμεσης απορροής (M3)	2.38E5
Όγκος βασικής απορροής (M3)	2.31E5

Βροχόπτωση και Απορροή



Υπολεκάνη: EL0421FR001003

Έκταση (KM2) : 10.09

Κατάντη : J3

Μέθοδος Απωλειών: SCS

Ποσοστό αδιαπέρατης επιφάνειας	0
Αριθμός Καμπύλης Απορροής-CN	41.95
Αρχικές Απώλειες	70.3

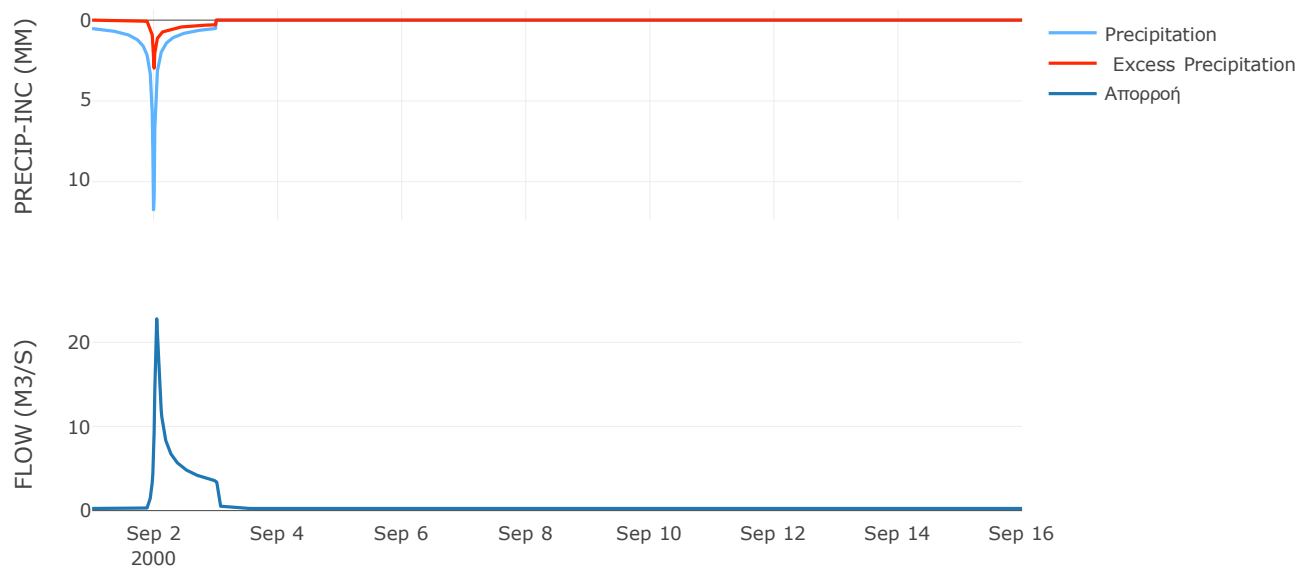
Μέθοδος Μετασχηματισμού: SCS

Χρόνος Υστέρησης	42.34
------------------	-------

Αποτελέσματα:
EL0421FR001003

Παροχή αιχμής (M3/S)	22.78
Χρονική στιγμή αιχμής	02Sep2000, 01:00
Όγκος (MM)	90.48
Όγκος βροχόπτωσης (M3)	2.47E6
Όγκος απωλειών (M3)	1.89E6
Ενεργός Όγκος (M3)	5.86E5
Όγκος άμεσης απορροής (M3)	5.86E5
Όγκος βασικής απορροής (M3)	3.27E5

Βροχόπτωση και Απορροή



Υπολεκάνη: EL0421FR001004

Έκταση (KM2) : 2.73

Κατάντη : J4

Μέθοδος Απωλειών: SCS

Ποσοστό αδιαπέρατης επιφάνειας	0
Αριθμός Καμπύλης Απορροής-CN	50.47
Αρχικές Απώλειες	49.86

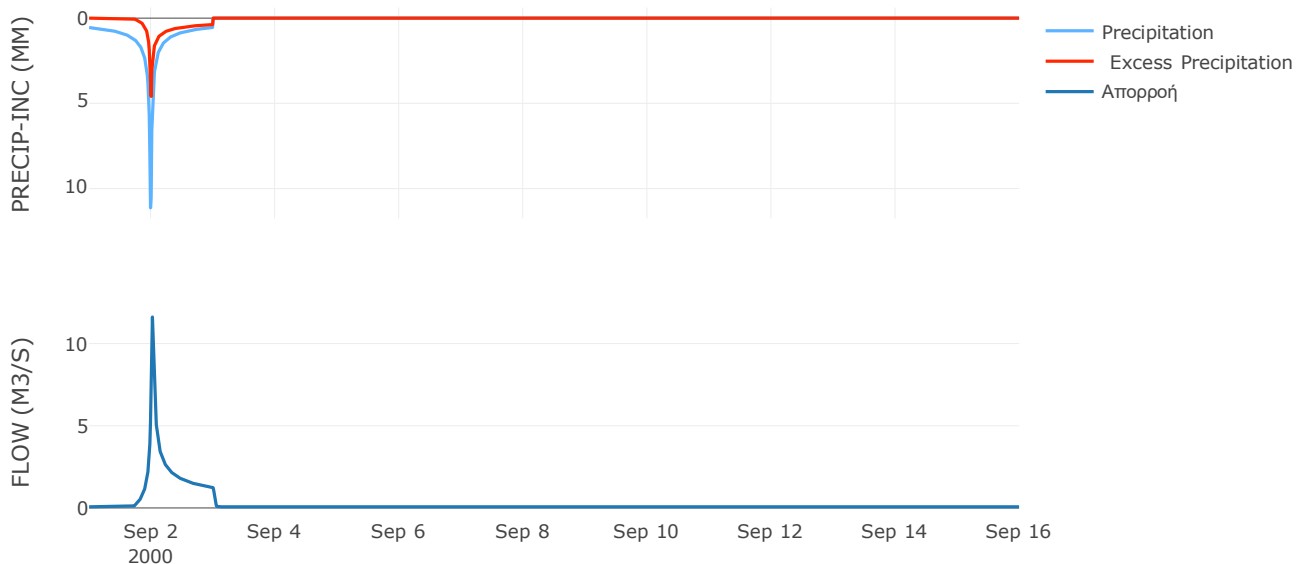
Μέθοδος Μετασχηματισμού: SCS

Χρόνος Υστέρησης	24.08
------------------	-------

Αποτελέσματα:
EL0421FR001004

Παροχή αιχμής (M3/S)	11.61
Χρονική στιγμή αιχμής	02Sep2000, 00:30
Όγκος (MM)	121.31
Όγκος βροχόπτωσης (M3)	6.82E5
Όγκος απωλειών (M3)	4.39E5
Ενεργός Όγκος (M3)	2.43E5
Όγκος άμεσης απορροής (M3)	2.43E5
Όγκος βασικής απορροής (M3)	88444.22

Βροχόπτωση και Απορροή



Υπολεκάνη: EL0421FR001005

Έκταση (KM2) : 18.09

Κατάντη : J5

Μέθοδος Απωλειών: SCS

Ποσοστό αδιαπέρατης επιφάνειας	0
Αριθμός Καμπύλης Απορροής-CN	38.73
Αρχικές Απώλειες	80.36

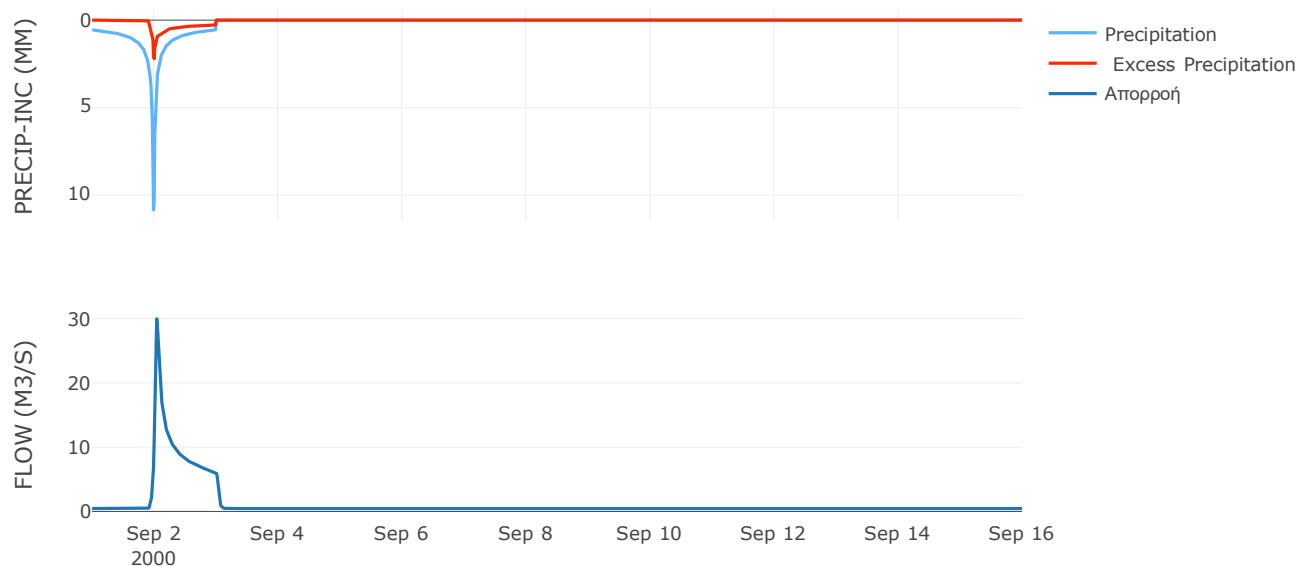
Μέθοδος Μετασχηματισμού: SCS

Χρόνος Υστέρησης	44.96
------------------	-------

Αποτελέσματα:
EL0421FR001005

Παροχή αιχμής (M3/S)	29.99
Χρονική στιγμή αιχμής	02Sep2000, 01:00
Όγκος (MM)	82.01
Όγκος βροχόπτωσης (M3)	4.5E6
Όγκος απωλειών (M3)	3.6E6
Ενεργός Όγκος (M3)	8.98E5
Όγκος άμεσης απορροής (M3)	8.98E5
Όγκος βασικής απορροής (M3)	5.86E5

Βροχόπτωση και Απορροή



Υπολεκάνη: EL0421FR001006

Έκταση (KM2) : 33.49

Κατάντη : J6

Μέθοδος Απωλειών: SCS

Ποσοστό αδιαπέρατης επιφάνειας	0
Αριθμός Καμπύλης Απορροής-CN	51.36
Αρχικές Απώλειες	48.11

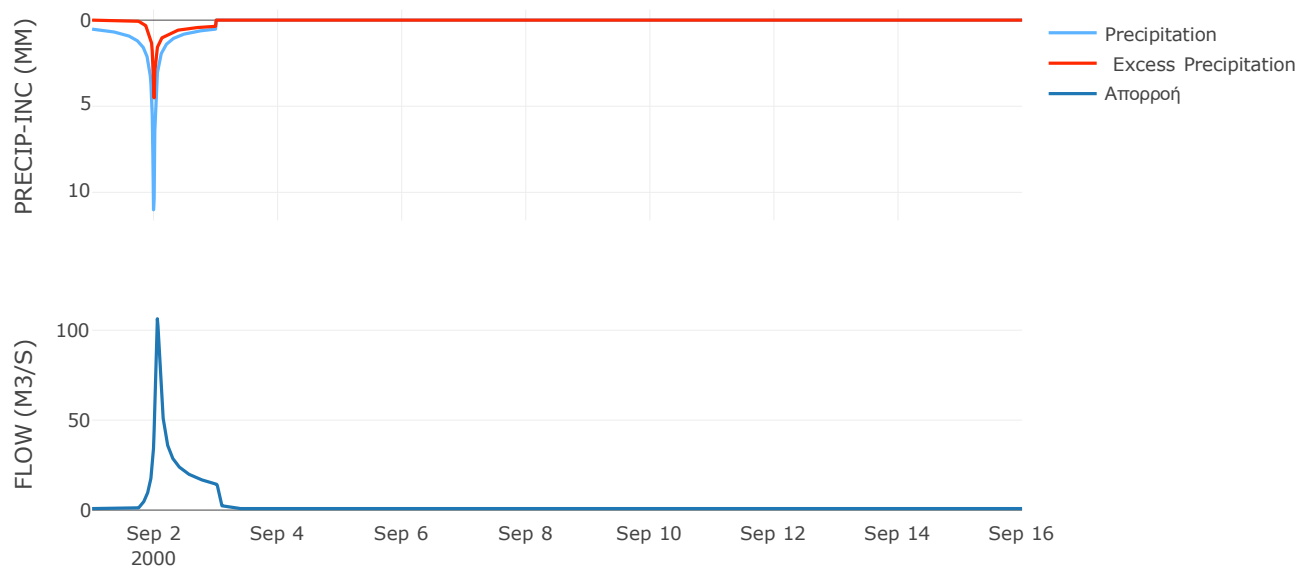
Μέθοδος Μετασχηματισμού: SCS

Χρόνος Υστέρησης	61.29
------------------	-------

Αποτελέσματα:
EL0421FR001006

Παροχή αιχμής (M3/S)	106.35
Χρονική στιγμή αιχμής	02Sep2000, 01:15
Όγκος (MM)	117.88
Όγκος βροχόπτωσης (M3)	8.05E6
Όγκος απωλειών (M3)	5.19E6
Ενεργός Όγκος (M3)	2.86E6
Όγκος άμεσης απορροής (M3)	2.86E6
Όγκος βασικής απορροής (M3)	1.08E6

Βροχόπτωση και Απορροή



Υπολεκάνη: EL0421FR001007

Έκταση (KM2) : 33.81

Κατάντη : J7

Μέθοδος Απωλειών: SCS

Ποσοστό αδιαπέρατης επιφάνειας	0
Αριθμός Καμπύλης Απορροής-CN	65.37
Αρχικές Απώλειες	26.91

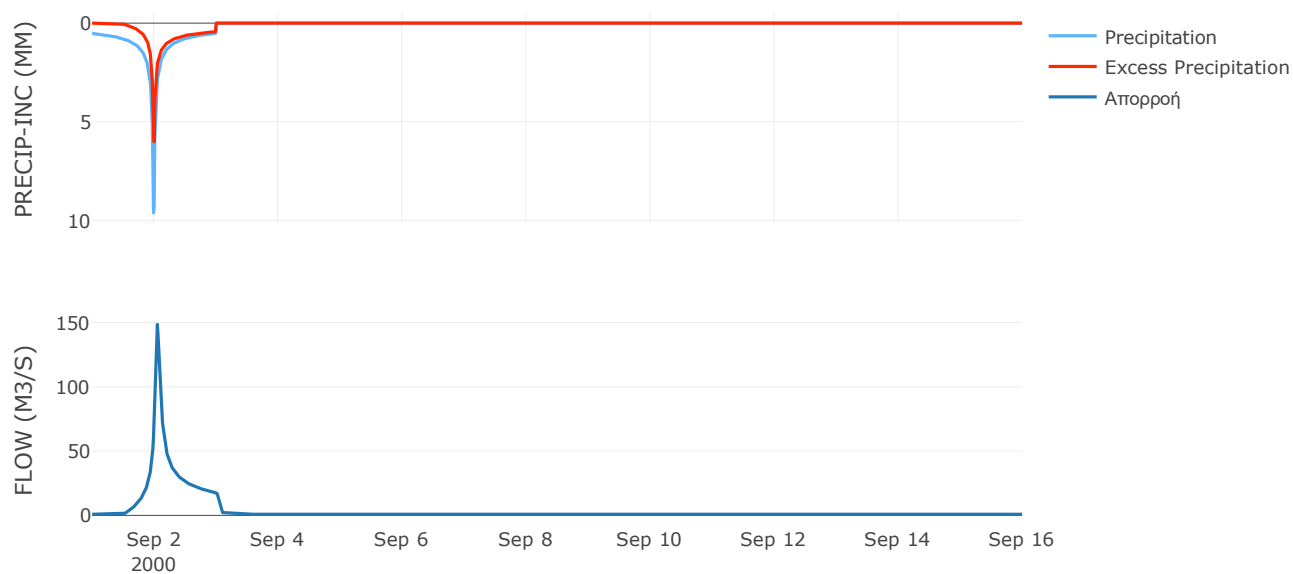
Μέθοδος Μετασχηματισμού: SCS

Χρόνος Υστέρησης	61.61
------------------	-------

Αποτελέσματα:
EL0421FR001007

Παροχή αιχμής (M3/S)	148.48
Χρονική στιγμή αιχμής	02Sep2000, 01:15
Όγκος (MM)	153.56
Όγκος βροχόπτωσης (M3)	7.74E6
Όγκος απωλειών (M3)	3.64E6
Ενεργός Όγκος (M3)	4.1E6
Όγκος άμεσης απορροής (M3)	4.1E6
Όγκος βασικής απορροής (M3)	1.1E6

Βροχόπτωση και Απορροή



Υπολεκάνη: EL0421FR001008

Έκταση (KM2) : 8.14

Κατάντη : J8

Μέθοδος Απωλειών: SCS

Ποσοστό αδιαπέρατης επιφάνειας	0
Αριθμός Καμπύλης Απορροής-CN	58.18
Αρχικές Απώλειες	36.52

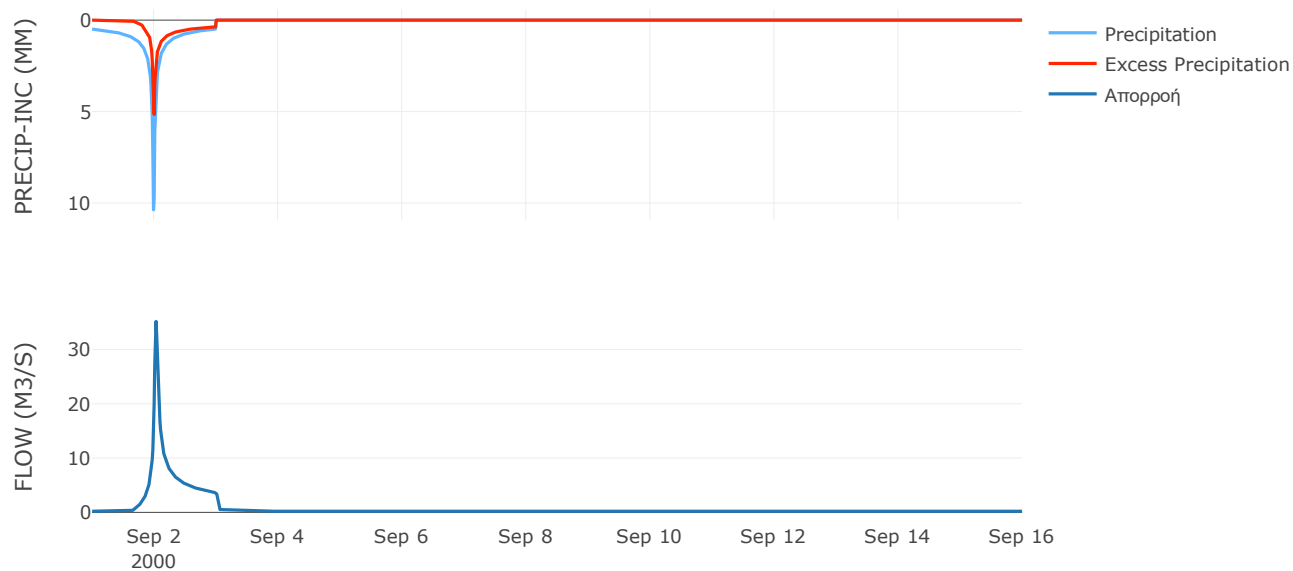
Μέθοδος Μετασχηματισμού: SCS

Χρόνος Υστέρησης	37.14
------------------	-------

Αποτελέσματα:
EL0421FR001008

Παροχή αιχμής (M3/S)	35.17
Χρονική στιγμή αιχμής	02Sep2000, 00:45
Όγκος (MM)	128.49
Όγκος βροχόπτωσης (M3)	1.84E6
Όγκος απωλειών (M3)	1.05E6
Ενεργός Όγκος (M3)	7.83E5
Όγκος άμεσης απορροής (M3)	7.83E5
Όγκος βασικής απορροής (M3)	2.64E5

Βροχόπτωση και Απορροή



Υπολεκάνη: EL0421FR001009

Έκταση (KM2) : 9.96

Κατάντη : J9

Μέθοδος Απωλειών: SCS

Ποσοστό αδιαπέρατης επιφάνειας	0
Αριθμός Καμπύλης Απορροής-CN	63.03
Αρχικές Απώλειες	29.79

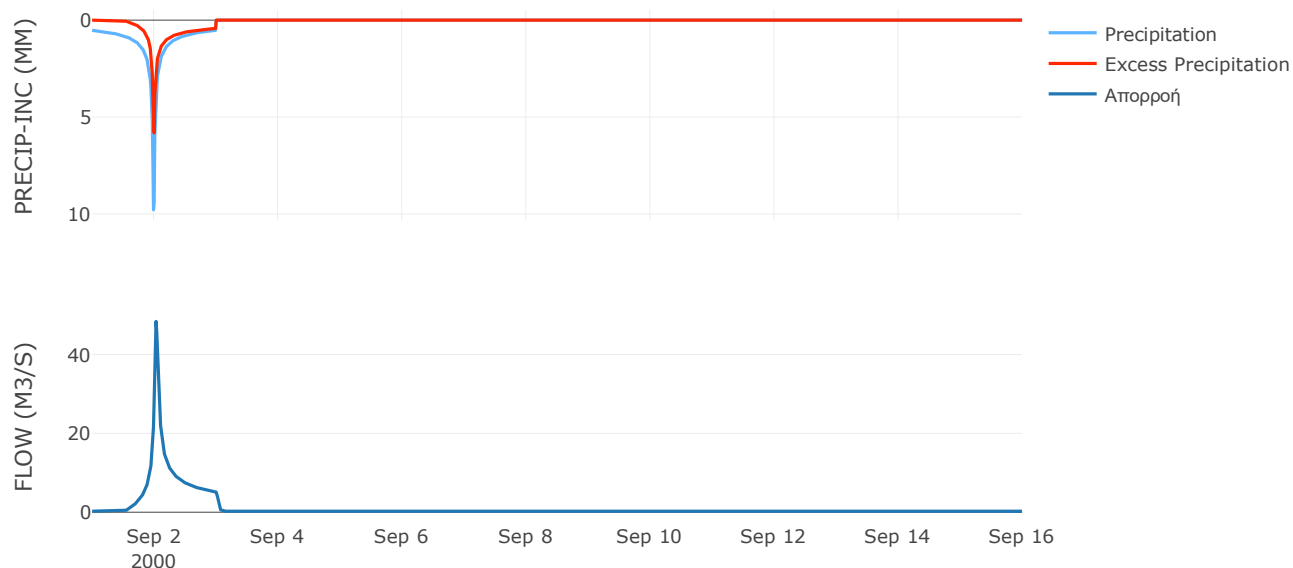
Μέθοδος Μετασχηματισμού: SCS

Χρόνος Υστέρησης	40.22
------------------	-------

Αποτελέσματα:
EL0421FR001009

Παροχή αιχμής (M3/S)	48.41
Χρονική στιγμή αιχμής	02Sep2000, 00:45
Όγκος (MM)	149.05
Όγκος βροχόπτωσης (M3)	2.31E6
Όγκος απωλειών (M3)	1.15E6
Ενεργός Όγκος (M3)	1.16E6
Όγκος άμεσης απορροής (M3)	1.16E6
Όγκος βασικής απορροής (M3)	3.23E5

Βροχόπτωση και Απορροή



Υπολεκάνη: EL0421FR001010

Έκταση (KM2) : 28.77

Κατάντη : J10 Res1

Μέθοδος Απωλειών: SCS

Ποσοστό αδιαπέρατης επιφάνειας	0.14
Αριθμός Καμπύλης Απορροής-CN	62.71
Αρχικές Απώλειες	30.21

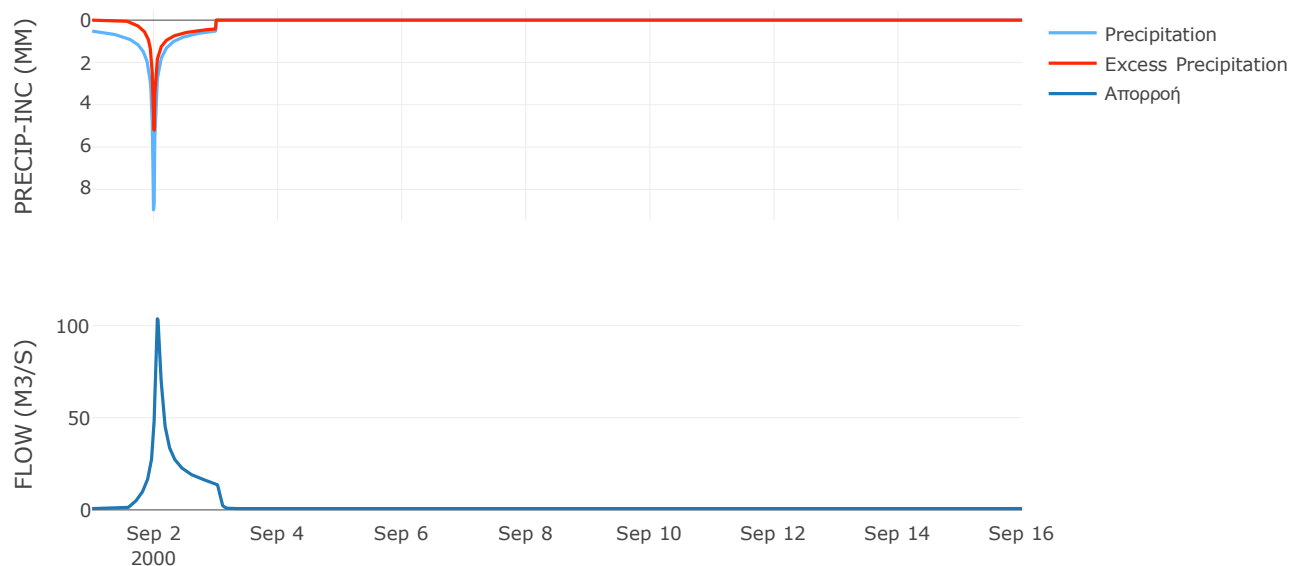
Μέθοδος Μετασχηματισμού: SCS

Χρόνος Υστέρησης	71.73
------------------	-------

Αποτελέσματα:
EL0421FR001010

Παροχή αιχμής (M3/S)	103.72
Χρονική στιγμή αιχμής	02Sep2000, 01:15
Όγκος (MM)	140.85
Όγκος βροχόπτωσης (M3)	6.42E6
Όγκος απωλειών (M3)	3.3E6
Ενεργός Όγκος (M3)	3.12E6
Όγκος άμεσης απορροής (M3)	3.12E6
Όγκος βασικής απορροής (M3)	9.32E5

Βροχόπτωση και Απορροή



Υπολεκάνη: EL0421FR001011

Έκταση (KM2) : 2.42

Κατάντη : J11

Μέθοδος Απωλειών: SCS

Ποσοστό αδιαπέρατης επιφάνειας	0.38
Αριθμός Καμπύλης Απορροής-CN	61.35
Αρχικές Απώλειες	32.01

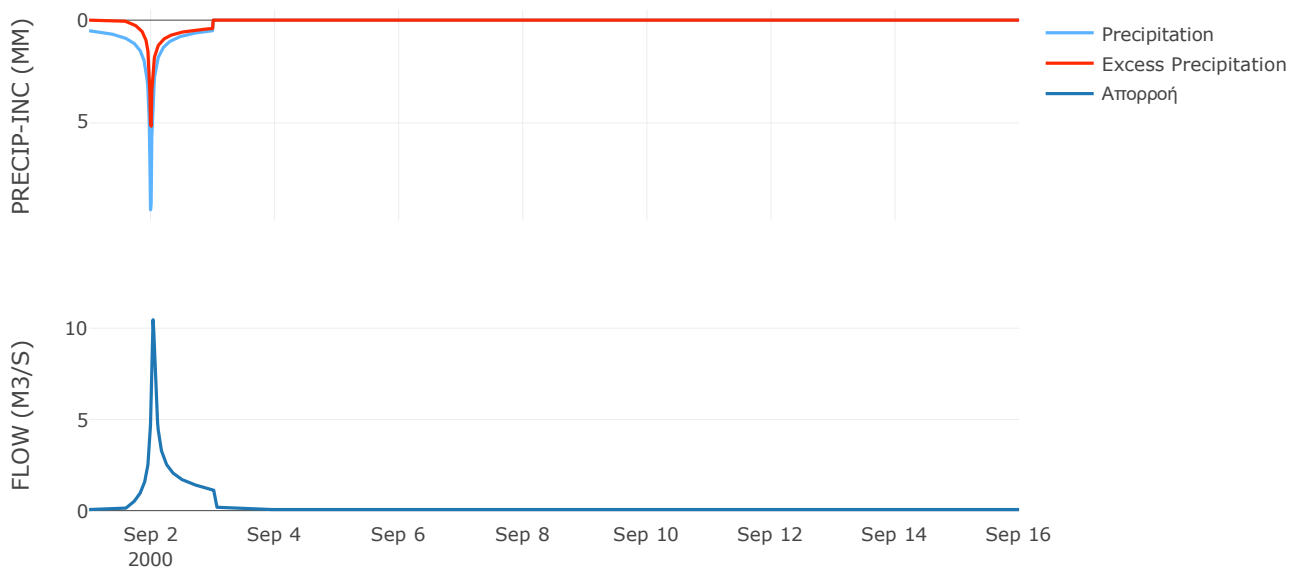
Μέθοδος Μετασχηματισμού: SCS

Χρόνος Υστέρησης	39.32
------------------	-------

Αποτελέσματα:
EL0421FR001011

Παροχή αιχμής (M3/S)	10.46
Χρονική στιγμή αιχμής	02Sep2000, 00:45
Όγκος (MM)	138.19
Όγκος βροχόπτωσης (M3)	5.43E5
Όγκος απωλειών (M3)	2.88E5
Ενεργός Όγκος (M3)	2.56E5
Όγκος άμεσης απορροής (M3)	2.56E5
Όγκος βασικής απορροής (M3)	78317.28

Βροχόπτωση και Απορροή



Έκταση (KM2) : 33.86
Κατάντη : J12

Μέθοδος Απωλειών: SCS

Ποσοστό αδιαπέρατης επιφάνειας	0.09
Αριθμός Καμπύλης Απορροής-CN	41.51
Αρχικές Απώλειες	71.58

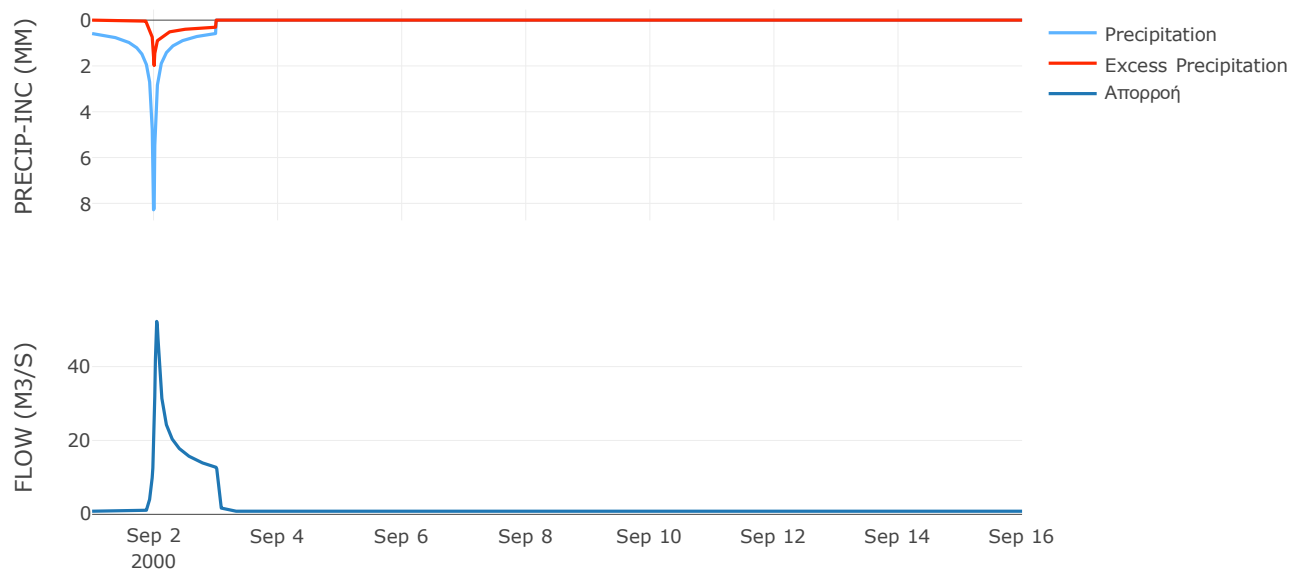
Μέθοδος Μετασχηματισμού: SCS

Χρόνος Υστέρησης	46.9
------------------	------

Αποτελέσματα:
EL0421FR001012

Παροχή αιχμής (M3/S)	52.22
Χρονική στιγμή αιχμής	02Sep2000, 01:00
Όγκος (MM)	84.84
Όγκος βροχόπτωσης (M3)	8.02E6
Όγκος απωλειών (M3)	6.25E6
Ενεργός Όγκος (M3)	1.78E6
Όγκος άμεσης απορροής (M3)	1.78E6
Όγκος βασικής απορροής (M3)	1.1E6

Βροχόπτωση και Απορροή



Υπολεκάνη: EL0421FR001013

Έκταση (KM2) : 34.09

Κατάντη : J13

Μέθοδος Απωλειών: SCS

Ποσοστό αδιαπέρατης επιφάνειας	0
Αριθμός Καμπύλης Απορροής-CN	42.33
Αρχικές Απώλειες	69.21

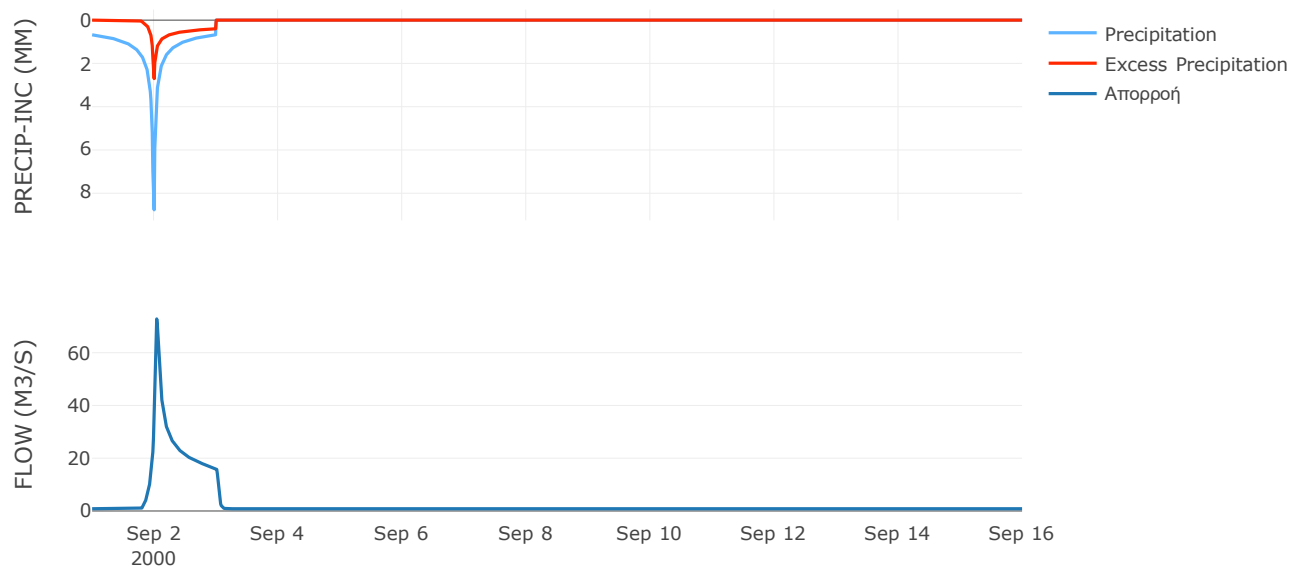
Μέθοδος Μετασχηματισμού: SCS

Χρόνος Υστέρησης	47.79
------------------	-------

Αποτελέσματα:
EL0421FR001013

Παροχή αιχμής (M3/S)	72.81
Χρονική στιγμή αιχμής	02Sep2000, 01:00
Όγκος (MM)	103.9
Όγκος βροχόπτωσης (M3)	9.08E6
Όγκος απωλειών (M3)	6.64E6
Ενεργός Όγκος (M3)	2.44E6
Όγκος άμεσης απορροής (M3)	2.44E6
Όγκος βασικής απορροής (M3)	1.1E6

Βροχόπτωση και Απορροή



Υπολεκάνη: EL0421FR001014

Έκταση (KM2) : 11.34

Κατάντη : J14

Μέθοδος Απωλειών: SCS

Ποσοστό αδιαπέρατης επιφάνειας	0
Αριθμός Καμπύλης Απορροής-CN	53.66
Αρχικές Απώλειες	43.88

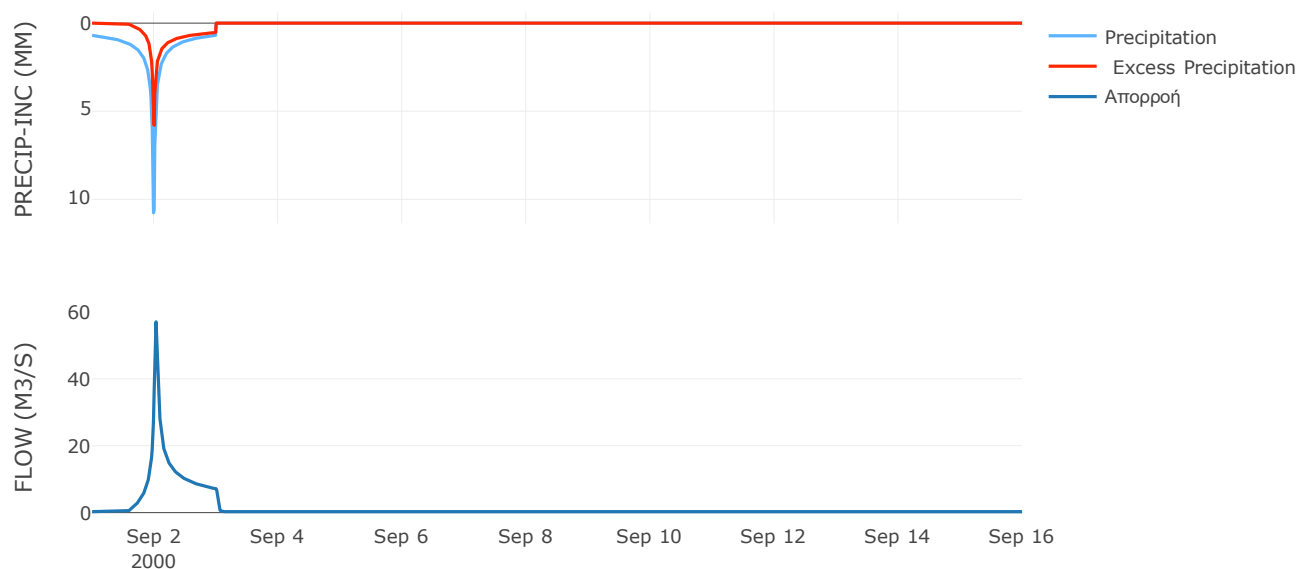
Μέθοδος Μετασχηματισμού: SCS

Χρόνος Υστέρησης	34.32
------------------	-------

Αποτελέσματα:
EL0421FR001014

Παροχή αιχμής (M3/S)	57.04
Χρονική στιγμή αιχμής	02Sep2000, 00:45
Όγκος (MM)	161.15
Όγκος βροχόπτωσης (M3)	3.27E6
Όγκος απωλειών (M3)	1.81E6
Ενεργός Όγκος (M3)	1.46E6
Όγκος άμεσης απορροής (M3)	1.46E6
Όγκος βασικής απορροής (M3)	3.67E5

Βροχόπτωση και Απορροή



Υπολεκάνη: EL0421FR001015

Έκταση (KM2) : 20.48

Κατάντη : J15

Μέθοδος Απωλειών: SCS

Ποσοστό αδιαπέρατης επιφάνειας	0
Αριθμός Καμπύλης Απορροής-CN	50.94
Αρχικές Απώλειες	48.92

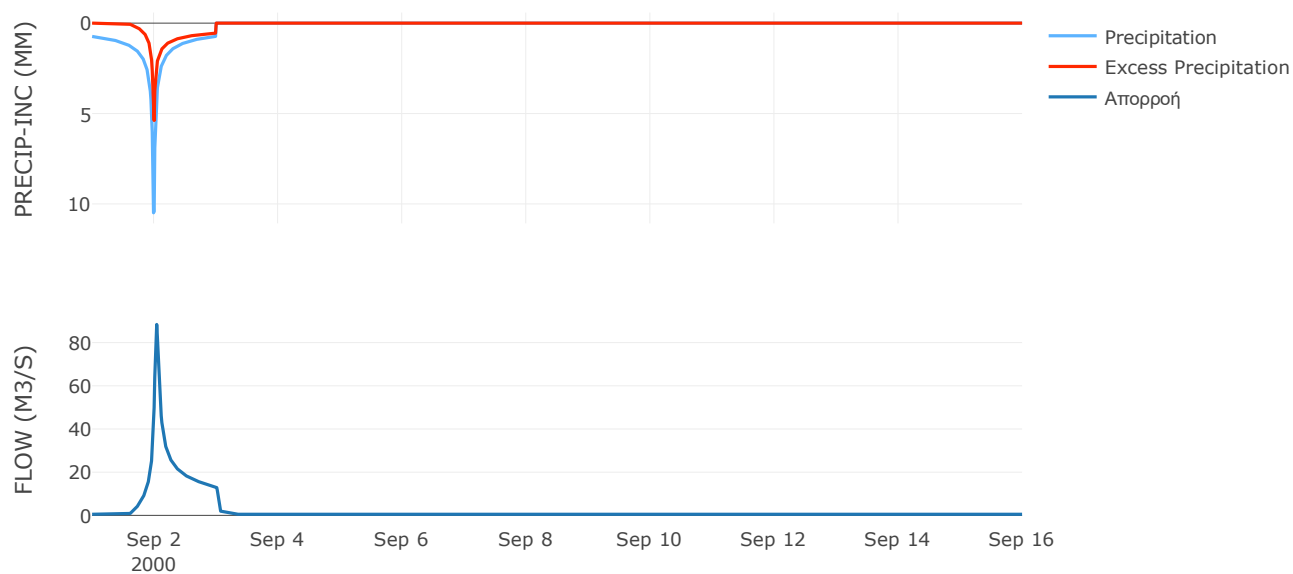
Μέθοδος Μετασχηματισμού: SCS

Χρόνος Υστέρησης	46.68
------------------	-------

Αποτελέσματα:
EL0421FR001015

Παροχή αιχμής (M3/S)	88.4
Χρονική στιγμή αιχμής	02Sep2000, 01:00
Όγκος (MM)	158.25
Όγκος βροχόπτωσης (M3)	6.11E6
Όγκος απωλειών (M3)	3.53E6
Ενεργός Όγκος (M3)	2.58E6
Όγκος άμεσης απορροής (M3)	2.58E6
Όγκος βασικής απορροής (M3)	6.63E5

Βροχόπτωση και Απορροή



Υπολεκάνη: EL0421FR001016

Έκταση (KM2) : 15.22

Κατάντη : J16

Μέθοδος Απωλειών: SCS

Ποσοστό αδιαπέρατης επιφάνειας	0
Αριθμός Καμπύλης Απορροής-CN	49.72
Αρχικές Απώλειες	51.38

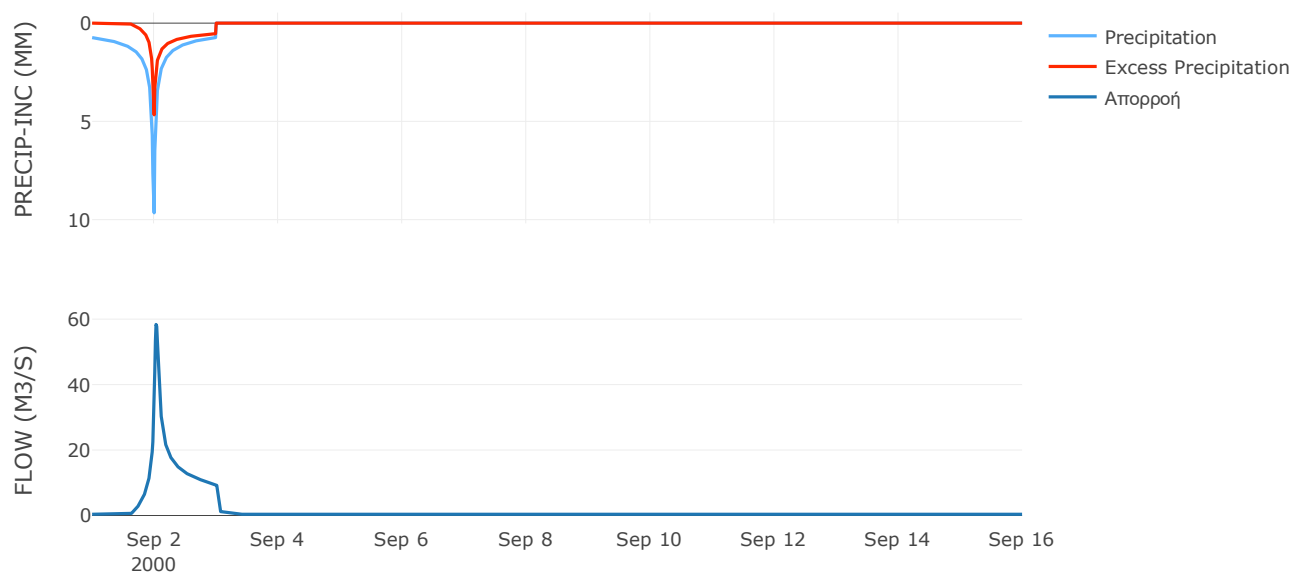
Μέθοδος Μετασχηματισμού: SCS

Χρόνος Υστέρησης	43.29
------------------	-------

Αποτελέσματα:
EL0421FR001016

Παροχή αιχμής (M3/S)	58.37
Χρονική στιγμή αιχμής	02Sep2000, 00:45
Όγκος (MM)	147.7
Όγκος βροχόπτωσης (M3)	4.42E6
Όγκος απωλειών (M3)	2.67E6
Ενεργός Όγκος (M3)	1.75E6
Όγκος άμεσης απορροής (M3)	1.75E6
Όγκος βασικής απορροής (M3)	4.93E5

Βροχόπτωση και Απορροή



Υπολεκάνη: EL0421FR001017

Έκταση (KM2) : 32

Κατάντη : J17

Μέθοδος Απωλειών: SCS

Ποσοστό αδιαπέρατης επιφάνειας	0
Αριθμός Καμπύλης Απορροής-CN	58.44
Αρχικές Απώλειες	36.12

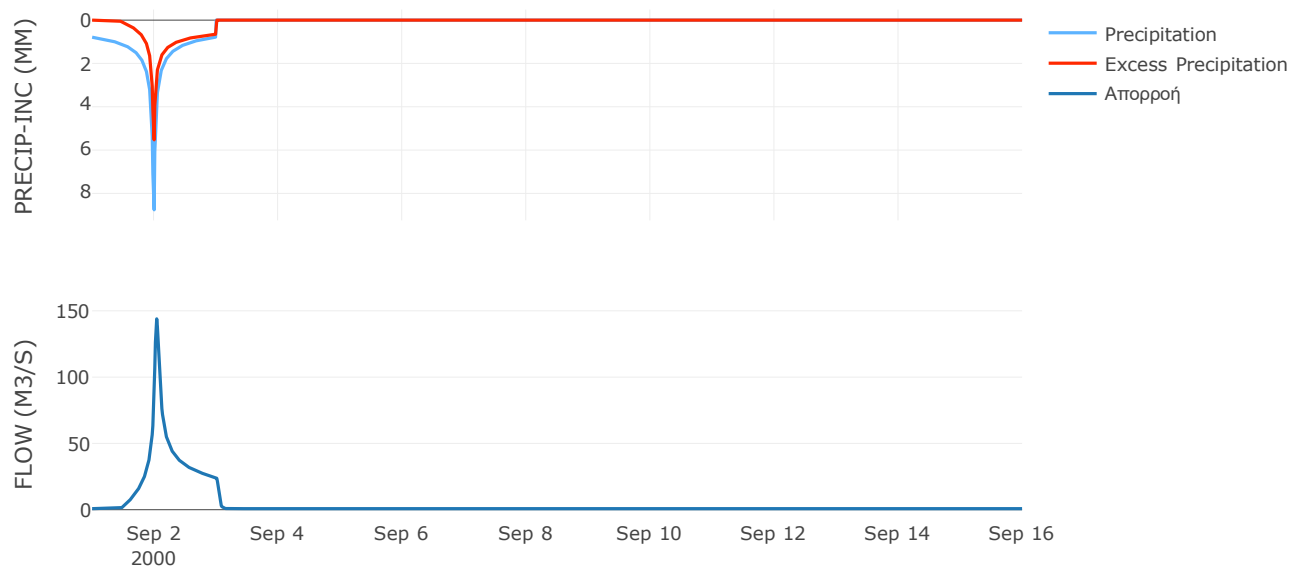
Μέθοδος Μετασχηματισμού: SCS

Χρόνος Υστέρησης	51.13
------------------	-------

Αποτελέσματα:
EL0421FR001017

Παροχή αιχμής (M3/S)	143.95
Χρονική στιγμή αιχμής	02Sep2000, 01:00
Όγκος (MM)	184
Όγκος βροχόπτωσης (M3)	9.4E6
Όγκος απωλειών (M3)	4.55E6
Ενεργός Όγκος (M3)	4.85E6
Όγκος άμεσης απορροής (M3)	4.85E6
Όγκος βασικής απορροής (M3)	1.04E6

Βροχόπτωση και Απορροή



Υπολεκάνη: EL0421FR001018

Έκταση (KM2) : 15.19

Κατάντη : J17

Μέθοδος Απωλειών: SCS

Ποσοστό αδιαπέρατης επιφάνειας	0
Αριθμός Καμπύλης Απορροής-CN	45.02
Αρχικές Απώλειες	62.05

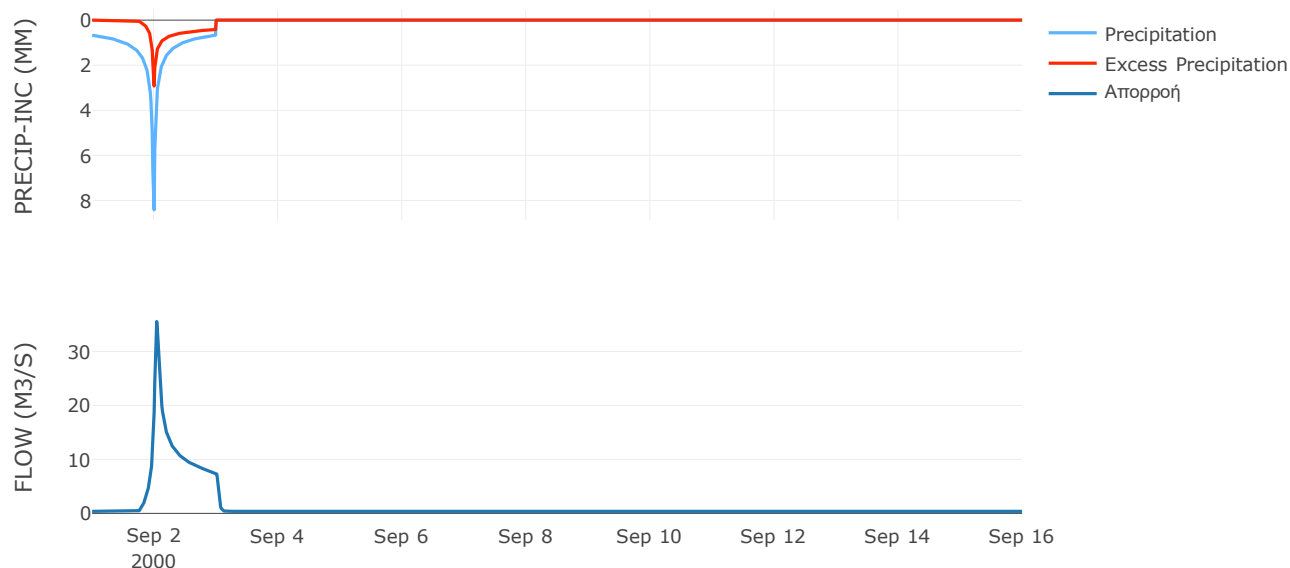
Μέθοδος Μετασχηματισμού: SCS

Χρόνος Υστέρησης	47.1
------------------	------

Αποτελέσματα:
EL0421FR001018

Παροχή αιχμής (M3/S)	35.55
Χρονική στιγμή αιχμής	02Sep2000, 01:00
Όγκος (MM)	109.54
Όγκος βροχόπτωσης (M3)	3.95E6
Όγκος απωλειών (M3)	2.78E6
Ενεργός Όγκος (M3)	1.17E6
Όγκος άμεσης απορροής (M3)	1.17E6
Όγκος βασικής απορροής (M3)	4.92E5

Βροχόπτωση και Απορροή



Υπολεκάνη: EL0421FR001019

Έκταση (KM2) : 21.21

Κατάντη : J17

Μέθοδος Απωλειών: SCS

Ποσοστό αδιαπέρατης επιφάνειας	0
Αριθμός Καμπύλης Απορροής-CN	42.9
Αρχικές Απώλειες	67.62

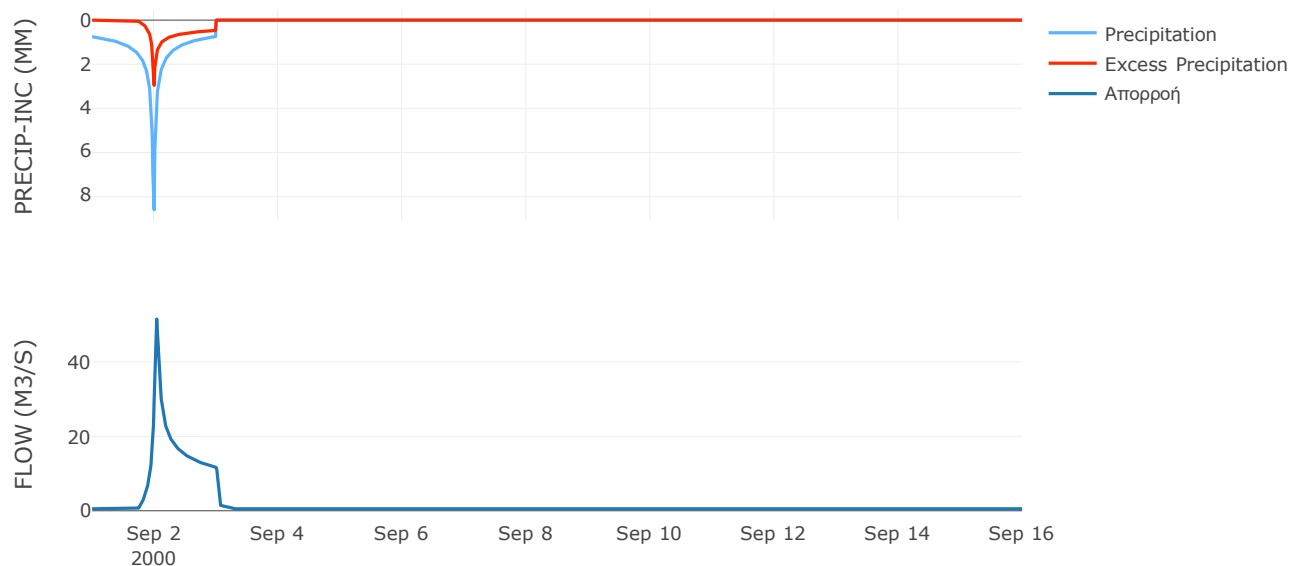
Μέθοδος Μετασχηματισμού: SCS

Χρόνος Υστέρησης	42.12
------------------	-------

Αποτελέσματα:
EL0421FR001019

Παροχή αιχμής (M3/S)	51.58
Χρονική στιγμή αιχμής	02Sep2000, 01:00
Όγκος (MM)	115.69
Όγκος βροχόπτωσης (M3)	5.98E6
Όγκος απωλειών (M3)	4.22E6
Ενεργός Όγκος (M3)	1.77E6
Όγκος άμεσης απορροής (M3)	1.77E6
Όγκος βασικής απορροής (M3)	6.87E5

Βροχόπτωση και Απορροή



Υπολεκάνη: EL0421FR001020

Έκταση (KM2) : 12.17

Κατάντη : J15

Μέθοδος Απωλειών: SCS

Ποσοστό αδιαπέρατης επιφάνειας	0
Αριθμός Καμπύλης Απορροής-CN	36.92
Αρχικές Απώλειες	86.78

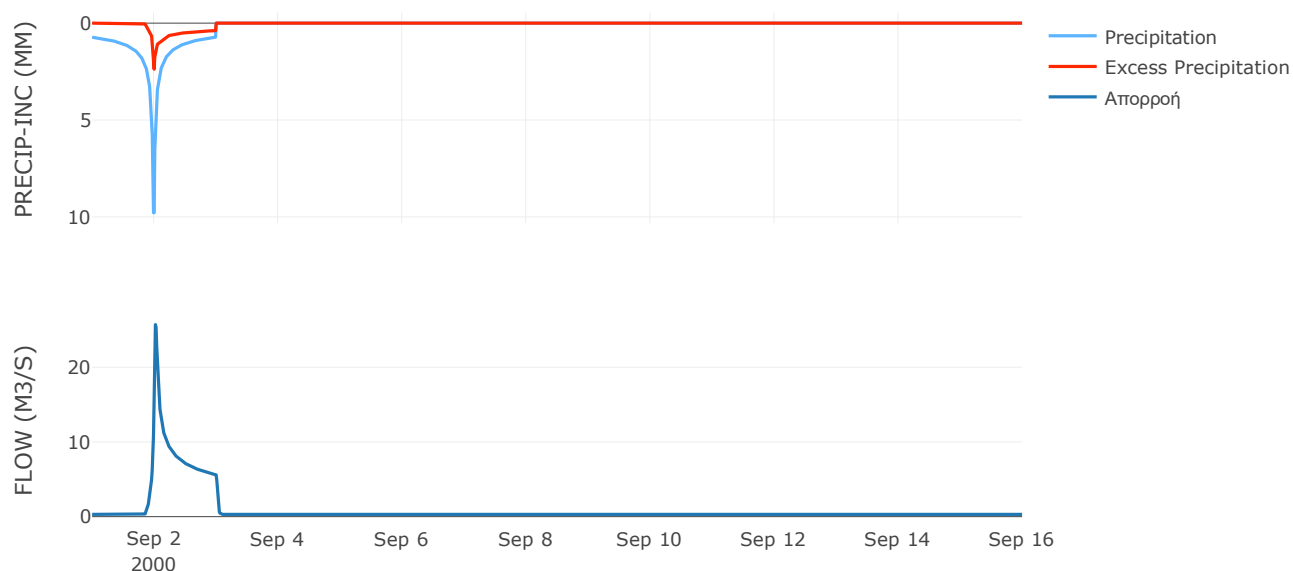
Μέθοδος Μετασχηματισμού: SCS

Χρόνος Υστέρησης	26.2
------------------	------

Αποτελέσματα:
EL0421FR001020

Παροχή αιχμής (M3/S)	25.72
Χρονική στιγμή αιχμής	02Sep2000, 00:30
Όγκος (MM)	97.01
Όγκος βροχόπτωσης (M3)	3.53E6
Όγκος απωλειών (M3)	2.74E6
Ενεργός Όγκος (M3)	7.86E5
Όγκος άμεσης απορροής (M3)	7.86E5
Όγκος βασικής απορροής (M3)	3.94E5

Βροχόπτωση και Απορροή



Υπολεκάνη: EL0421FR001021

Έκταση (KM2) : 25.71

Κατάντη : J16

Μέθοδος Απωλειών: SCS

Ποσοστό αδιαπέρατης επιφάνειας	0
Αριθμός Καμπύλης Απορροής-CN	61.37
Αρχικές Απώλειες	31.98

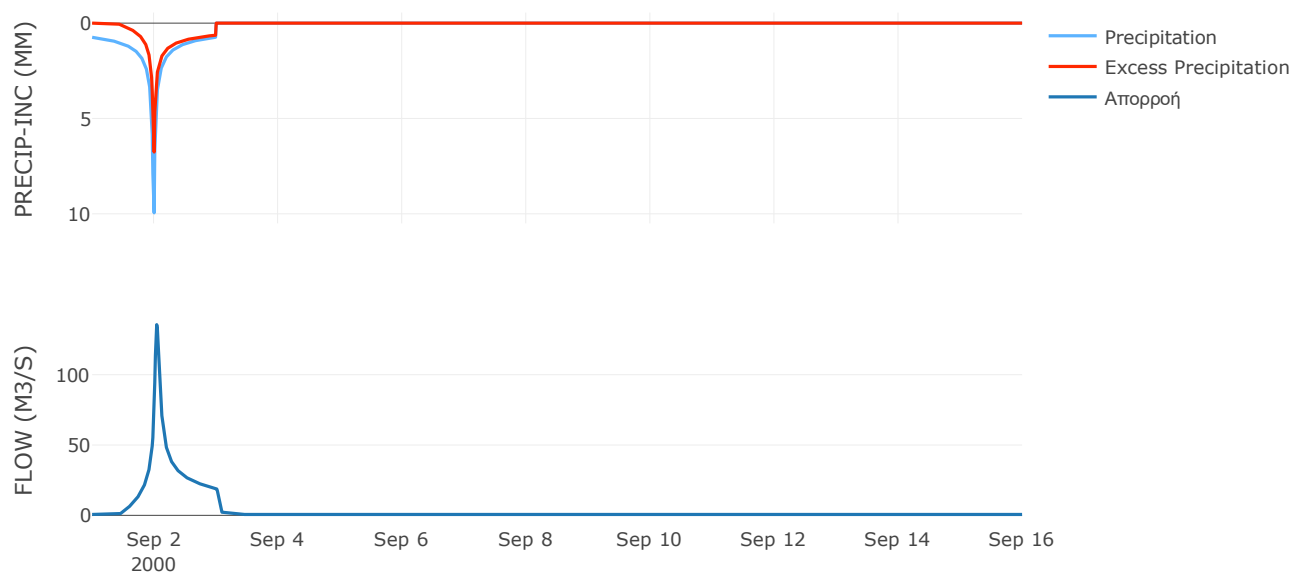
Μέθοδος Μετασχηματισμού: SCS

Χρόνος Υστέρησης	56.32
------------------	-------

Αποτελέσματα:
EL0421FR001021

Παροχή αιχμής (M3/S)	135.57
Χρονική στιγμή αιχμής	02Sep2000, 01:00
Όγκος (MM)	196.24
Όγκος βροχόπτωσης (M3)	7.59E6
Όγκος απωλειών (M3)	3.38E6
Ενεργός Όγκος (M3)	4.21E6
Όγκος άμεσης απορροής (M3)	4.21E6
Όγκος βασικής απορροής (M3)	8.33E5

Βροχόπτωση και Απορροή



Υπολεκάνη: EL0421FR001022

Έκταση (KM2) : 24.36

Κατάντη : J16

Μέθοδος Απωλειών: SCS

Ποσοστό αδιαπέρατης επιφάνειας	0
Αριθμός Καμπύλης Απορροής-CN	60.03
Αρχικές Απώλειες	33.82

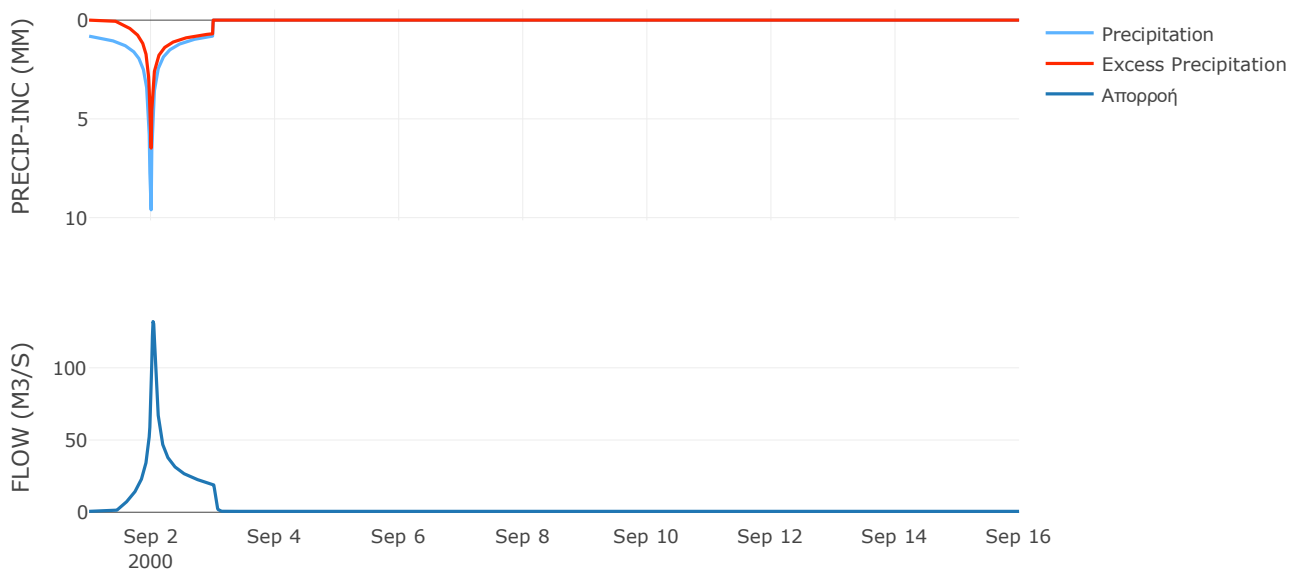
Μέθοδος Μετασχηματισμού: SCS

Χρόνος Υστέρησης	44.97
------------------	-------

Αποτελέσματα:
EL0421FR001022

Παροχή αιχμής (M3/S)	132
Χρονική στιγμή αιχμής	02Sep2000, 00:45
Όγκος (MM)	202.92
Όγκος βροχόπτωσης (M3)	7.53E6
Όγκος απωλειών (M3)	3.37E6
Ενεργός Όγκος (M3)	4.15E6
Όγκος άμεσης απορροής (M3)	4.15E6
Όγκος βασικής απορροής (M3)	7.89E5

Βροχόπτωση και Απορροή



Υπολεκάνη: EL0421FR001023

Έκταση (KM2) : 13.31

Κατάντη : J14

Μέθοδος Απωλειών: SCS

Ποσοστό αδιαπέρατης επιφάνειας	0
Αριθμός Καμπύλης Απορροής-CN	55.44
Αρχικές Απώλειες	40.82

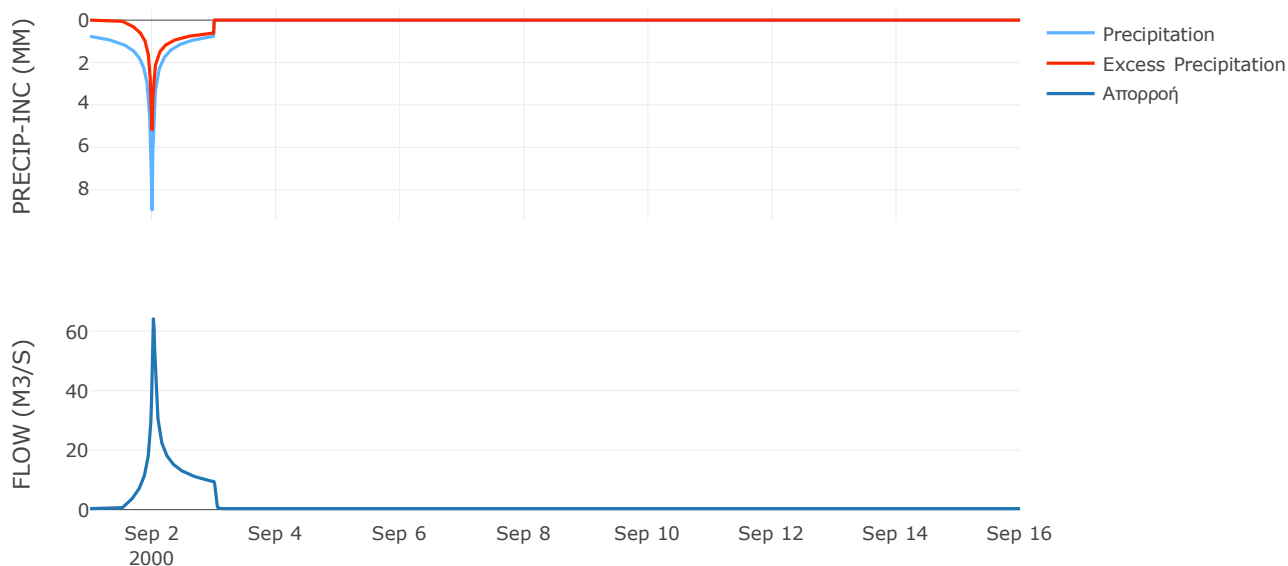
Μέθοδος Μετασχηματισμού: SCS

Χρόνος Υστέρησης	27.39
------------------	-------

Αποτελέσματα:
EL0421FR001023

Παροχή αιχμής (M3/S)	64.14
Χρονική στιγμή αιχμής	02Sep2000, 00:30
Όγκος (MM)	169.44
Όγκος βροχόπτωσης (M3)	3.86E6
Όγκος απωλειών (M3)	2.04E6
Ενεργός Όγκος (M3)	1.82E6
Όγκος άμεσης απορροής (M3)	1.82E6
Όγκος βασικής απορροής (M3)	4.31E5

Βροχόπτωση και Απορροή



Υπολεκάνη: EL0421FR001024

Έκταση (KM2) : 30.28

Κατάντη : J18

Μέθοδος Απωλειών: SCS

Ποσοστό αδιαπέρατης επιφάνειας	0
Αριθμός Καμπύλης Απορροής-CN	60.7
Αρχικές Απώλειες	32.89

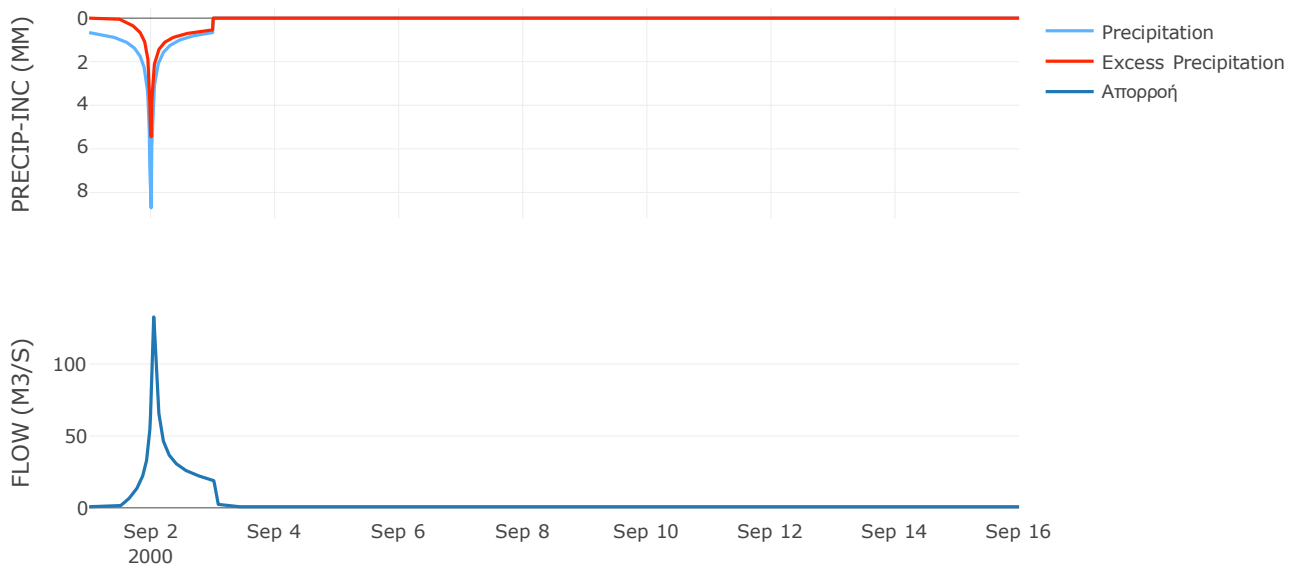
Μέθοδος Μετασχηματισμού: SCS

Χρόνος Υστέρησης	49.72
------------------	-------

Αποτελέσματα:
EL0421FR001024

Παροχή αιχμής (M3/S)	132.79
Χρονική στιγμή αιχμής	02Sep2000, 01:00
Όγκος (MM)	165.95
Όγκος βροχόπτωσης (M3)	7.94E6
Όγκος απωλειών (M3)	3.9E6
Ενεργός Όγκος (M3)	4.04E6
Όγκος άμεσης απορροής (M3)	4.04E6
Όγκος βασικής απορροής (M3)	9.81E5

Βροχόπτωση και Απορροή



Υπολεκάνη: EL0421FR001025

Έκταση (KM2) : 69.37

Κατάντη : J19

Μέθοδος Απωλειών: SCS

Ποσοστό αδιαπέρατης επιφάνειας	0
Αριθμός Καμπύλης Απορροής-CN	52.49
Αρχικές Απώλειες	45.98

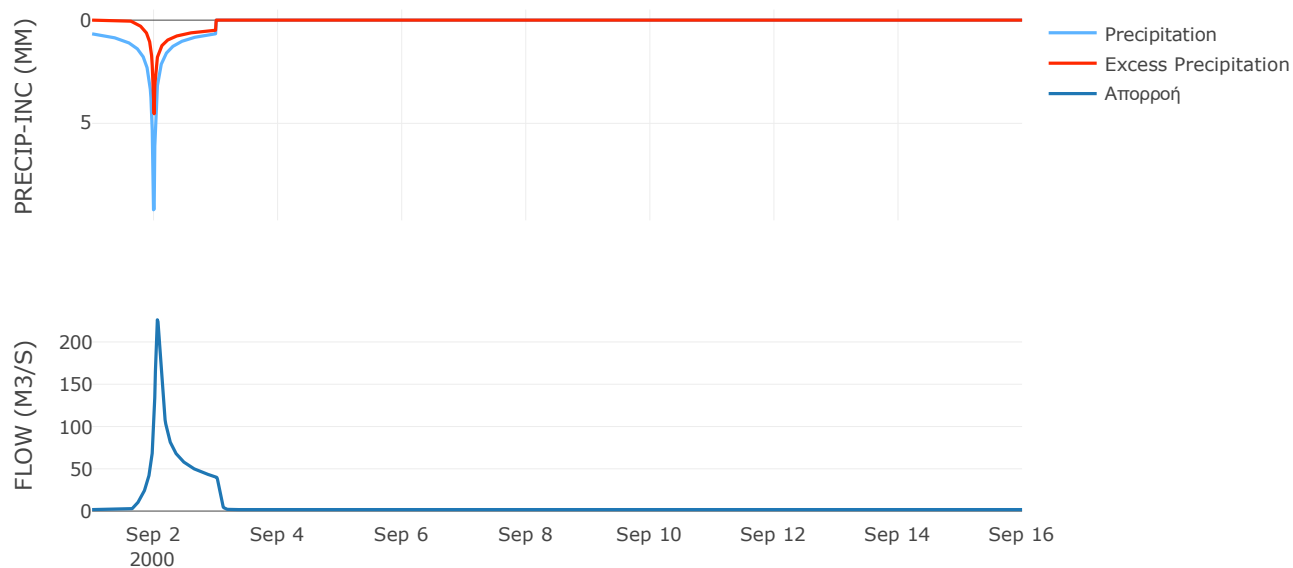
Μέθοδος Μετασχηματισμού: SCS

Χρόνος Υστέρησης	67.96
------------------	-------

Αποτελέσματα:
EL0421FR001025

Παροχή αιχμής (M3/S)	226.22
Χρονική στιγμή αιχμής	02Sep2000, 01:15
Όγκος (MM)	140.6
Όγκος βροχόπτωσης (M3)	1.85E7
Όγκος απωλειών (M3)	1.1E7
Ενεργός Όγκος (M3)	7.51E6
Όγκος άμεσης απορροής (M3)	7.51E6
Όγκος βασικής απορροής (M3)	2.25E6

Βροχόπτωση και Απορροή



Υπολεκάνη: EL0421FR001026

Έκταση (KM2) : 14.94

Κατάντη : J9

Μέθοδος Απωλειών: SCS

Ποσοστό αδιαπέρατης επιφάνειας	0
Αριθμός Καμπύλης Απορροής-CN	55.98
Αρχικές Απώλειες	39.95

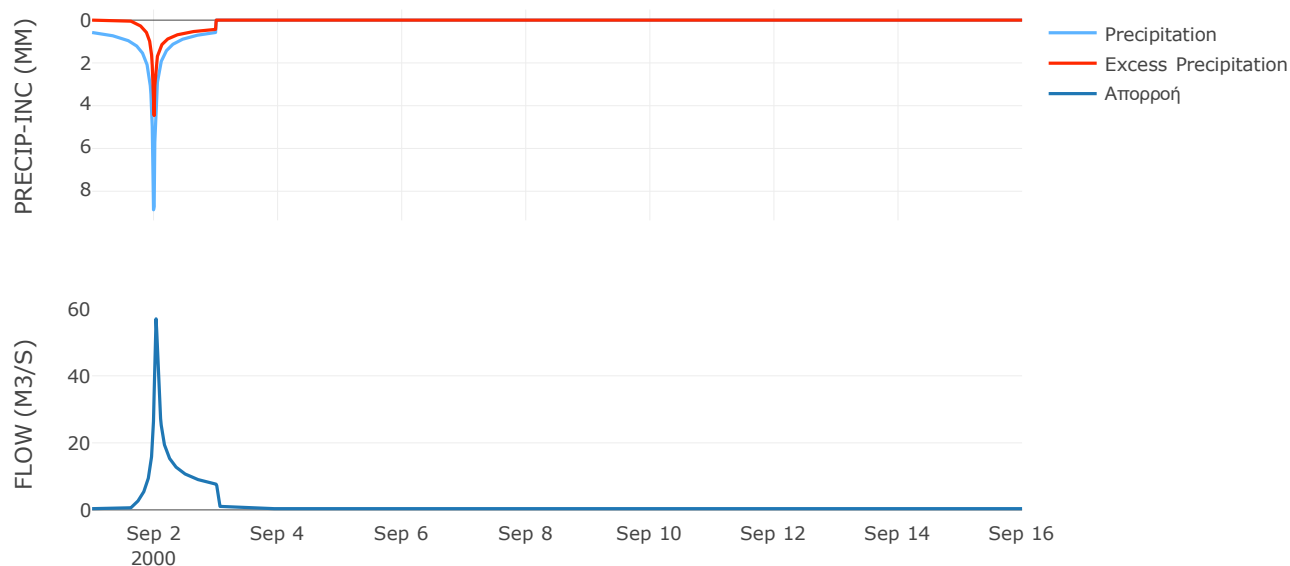
Μέθοδος Μετασχηματισμού: SCS

Χρόνος Υστέρησης	36.89
------------------	-------

Αποτελέσματα:
EL0421FR001026

Παροχή αιχμής (M3/S)	56.99
Χρονική στιγμή αιχμής	02Sep2000, 00:45
Όγκος (MM)	132.52
Όγκος βροχόπτωσης (M3)	3.59E6
Όγκος απωλειών (M3)	2.09E6
Ενεργός Όγκος (M3)	1.5E6
Όγκος άμεσης απορροής (M3)	1.5E6
Όγκος βασικής απορροής (M3)	4.84E5

Βροχόπτωση και Απορροή



Υπολεκάνη: EL0421FR001027

Έκταση (KM2) : 17.74

Κατάντη : J22

Μέθοδος Απωλειών: SCS

Ποσοστό αδιαπέρατης επιφάνειας	0
Αριθμός Καμπύλης Απορροής-CN	64.57
Αρχικές Απώλειες	27.88

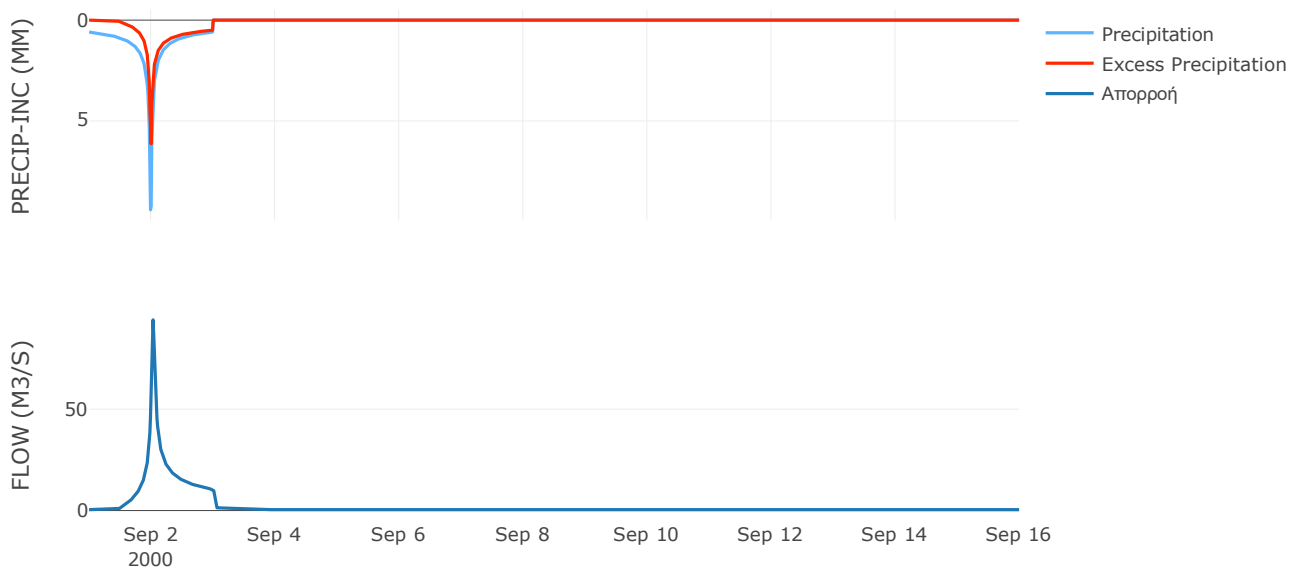
Μέθοδος Μετασχηματισμού: SCS

Χρόνος Υστέρησης	36.73
------------------	-------

Αποτελέσματα:
EL0421FR001027

Παροχή αιχμής (M3/S)	94.07
Χρονική στιγμή αιχμής	02Sep2000, 00:45
Όγκος (MM)	166.86
Όγκος βροχόπτωσης (M3)	4.39E6
Όγκος απωλειών (M3)	2.01E6
Ενεργός Όγκος (M3)	2.39E6
Όγκος άμεσης απορροής (M3)	2.39E6
Όγκος βασικής απορροής (M3)	5.75E5

Βροχόπτωση και Απορροή



Υπολεκάνη: EL0421FR001028

Έκταση (KM2) : 35.53

Κατάντη : J22

Μέθοδος Απωλειών: SCS

Ποσοστό αδιαπέρατης επιφάνειας	0
Αριθμός Καμπύλης Απορροής-CN	63.53
Αρχικές Απώλειες	29.17

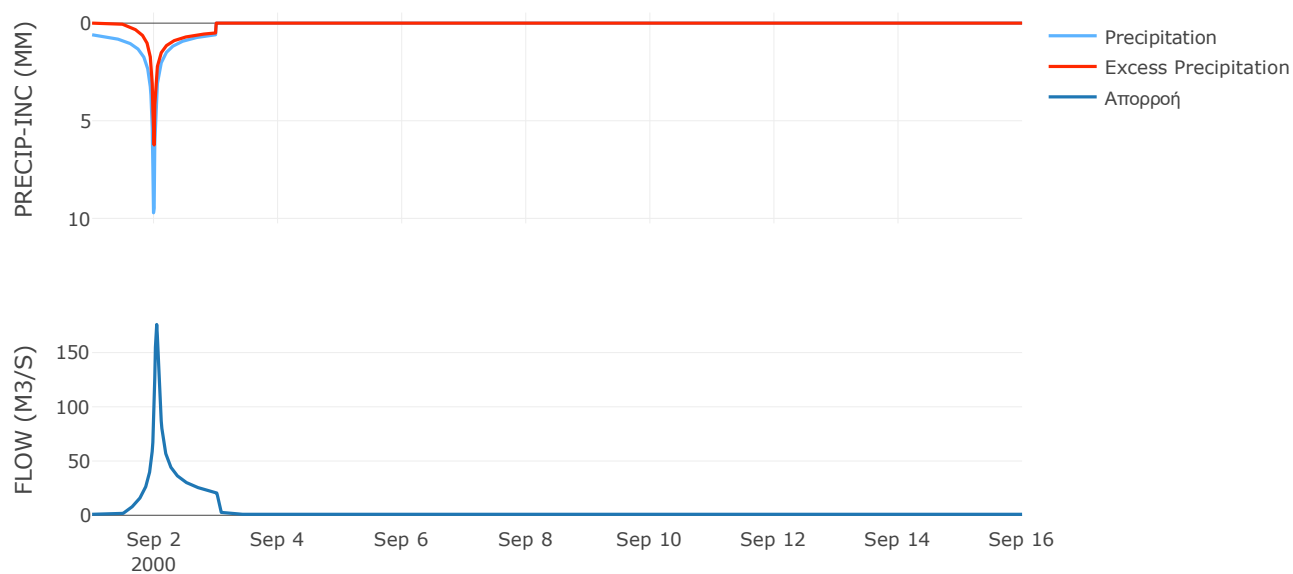
Μέθοδος Μετασχηματισμού: SCS

Χρόνος Υστέρησης	49.4
------------------	------

Αποτελέσματα:
EL0421FR001028

Παροχή αιχμής (M3/S)	175.89
Χρονική στιγμή αιχμής	02Sep2000, 01:00
Όγκος (MM)	167.58
Όγκος βροχόπτωσης (M3)	8.98E6
Όγκος απωλειών (M3)	4.17E6
Ενεργός Όγκος (M3)	4.8E6
Όγκος άμεσης απορροής (M3)	4.8E6
Όγκος βασικής απορροής (M3)	1.15E6

Βροχόπτωση και Απορροή



Υπολεκάνη: EL0421FR001029

Έκταση (KM2) : 42.48

Κατάντη : J6

Μέθοδος Απωλειών: SCS

Ποσοστό αδιαπέρατης επιφάνειας	0
Αριθμός Καμπύλης Απορροής-CN	43.62
Αρχικές Απώλειες	65.66

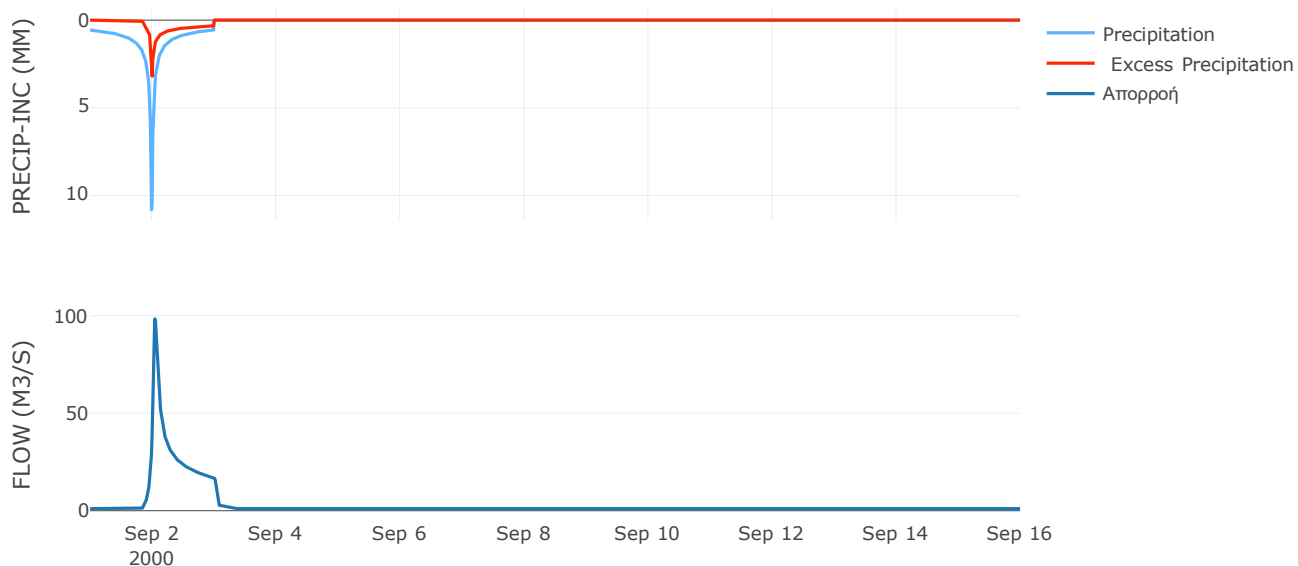
Μέθοδος Μετασχηματισμού: SCS

Χρόνος Υστέρησης	53.41
------------------	-------

Αποτελέσματα:
EL0421FR001029

Παροχή αιχμής (M3/S)	98.37
Χρονική στιγμή αιχμής	02Sep2000, 01:00
Όγκος (MM)	99.07
Όγκος βροχόπτωσης (M3)	1.06E7
Όγκος απωλειών (M3)	7.82E6
Ενεργός Όγκος (M3)	2.83E6
Όγκος άμεσης απορροής (M3)	2.83E6
Όγκος βασικής απορροής (M3)	1.38E6

Βροχόπτωση και Απορροή



Υπολεκάνη: EL0421FR001030

Έκταση (KM2) : 20.53

Κατάντη : J5

Μέθοδος Απωλειών: SCS

Ποσοστό αδιαπέρατης επιφάνειας	0
Αριθμός Καμπύλης Απορροής-CN	36.3
Αρχικές Απώλειες	89.14

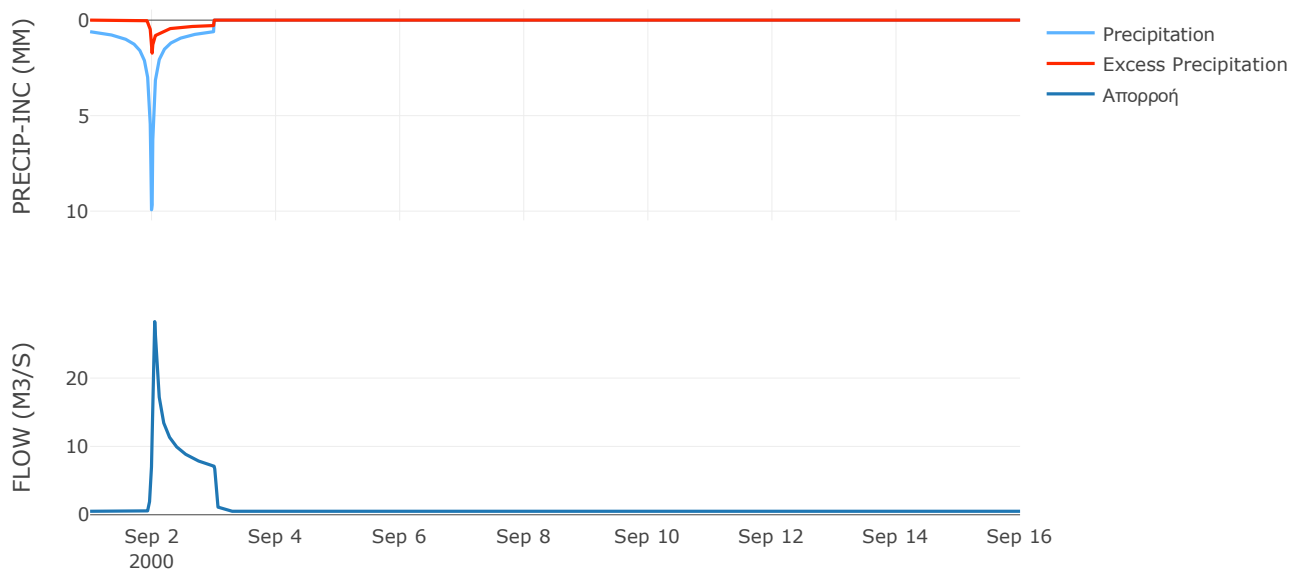
Μέθοδος Μετασχηματισμού: SCS

Χρόνος Υστέρησης	36.91
------------------	-------

Αποτελέσματα:
EL0421FR001030

Παροχή αιχμής (M3/S)	28.27
Χρονική στιγμή αιχμής	02Sep2000, 01:00
Όγκος (MM)	78.25
Όγκος βροχόπτωσης (M3)	5.27E6
Όγκος απωλειών (M3)	4.33E6
Ενεργός Όγκος (M3)	9.41E5
Όγκος άμεσης απορροής (M3)	9.41E5
Όγκος βασικής απορροής (M3)	6.65E5

Βροχόπτωση και Απορροή



Υπολεκάνη: EL0421FR001031

Έκταση (KM2) : 24.21

Κατάντη : J4

Μέθοδος Απωλειών: SCS

Ποσοστό αδιαπέρατης επιφάνειας	0
Αριθμός Καμπύλης Απορροής-CN	32.67
Αρχικές Απώλειες	104.69

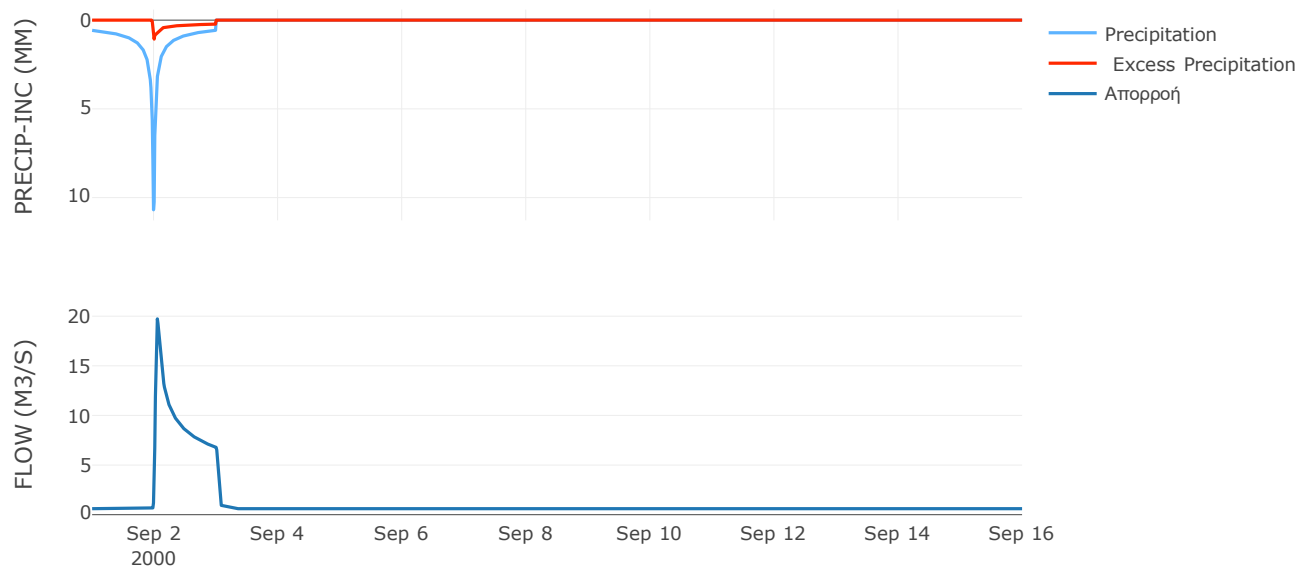
Μέθοδος Μετασχηματισμού: SCS

Χρόνος Υστέρησης	43.24
------------------	-------

Αποτελέσματα:
EL0421FR001031

Παροχή αιχμής (M3/S)	19.73
Χρονική στιγμή αιχμής	02Sep2000, 01:15
Όγκος (MM)	65.56
Όγκος βροχόπτωσης (M3)	6.15E6
Όγκος απωλειών (M3)	5.35E6
Ενεργός Όγκος (M3)	8.03E5
Όγκος άμεσης απορροής (M3)	8.03E5
Όγκος βασικής απορροής (M3)	7.84E5

Βροχόπτωση και Απορροή



Υπολεκάνη: EL0421FR001032

Έκταση (KM2) : 56.61

Κατάντη : J12

Μέθοδος Απωλειών: SCS

Ποσοστό αδιαπέρατης επιφάνειας	0.06
Αριθμός Καμπύλης Απορροής-CN	36.71
Αρχικές Απώλειες	87.57

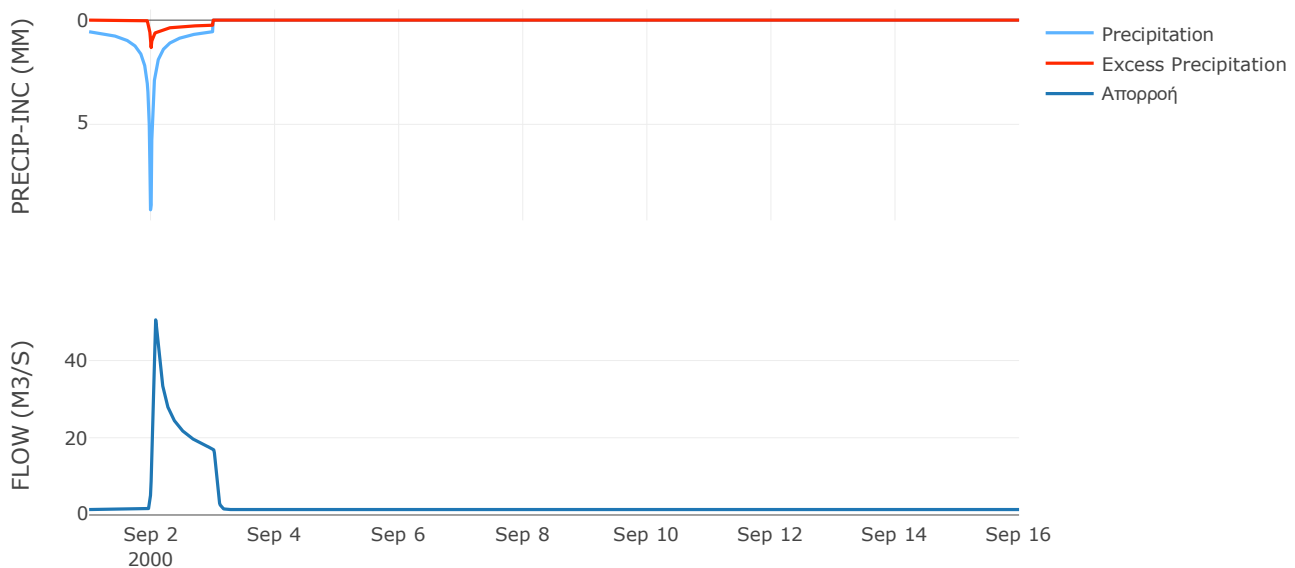
Μέθοδος Μετασχηματισμού: SCS

Χρόνος Υστέρησης	66.62
------------------	-------

Αποτελέσματα:
EL0421FR001032

Παροχή αιχμής (M3/S)	50.53
Χρονική στιγμή αιχμής	02Sep2000, 01:45
Όγκος (MM)	69.94
Όγκος βροχόπτωσης (M3)	1.33E7
Όγκος απωλειών (M3)	1.12E7
Ενεργός Όγκος (M3)	2.13E6
Όγκος άμεσης απορροής (M3)	2.13E6
Όγκος βασικής απορροής (M3)	1.83E6

Βροχόπτωση και Απορροή



Υπολεκάνη: EL0421FR001033

Έκταση (KM2) : 28.55

Κατάντη : J21

Μέθοδος Απωλειών: SCS

Ποσοστό αδιαπέρατης επιφάνειας	0
Αριθμός Καμπύλης Απορροής-CN	46.61
Αρχικές Απώλειες	58.19

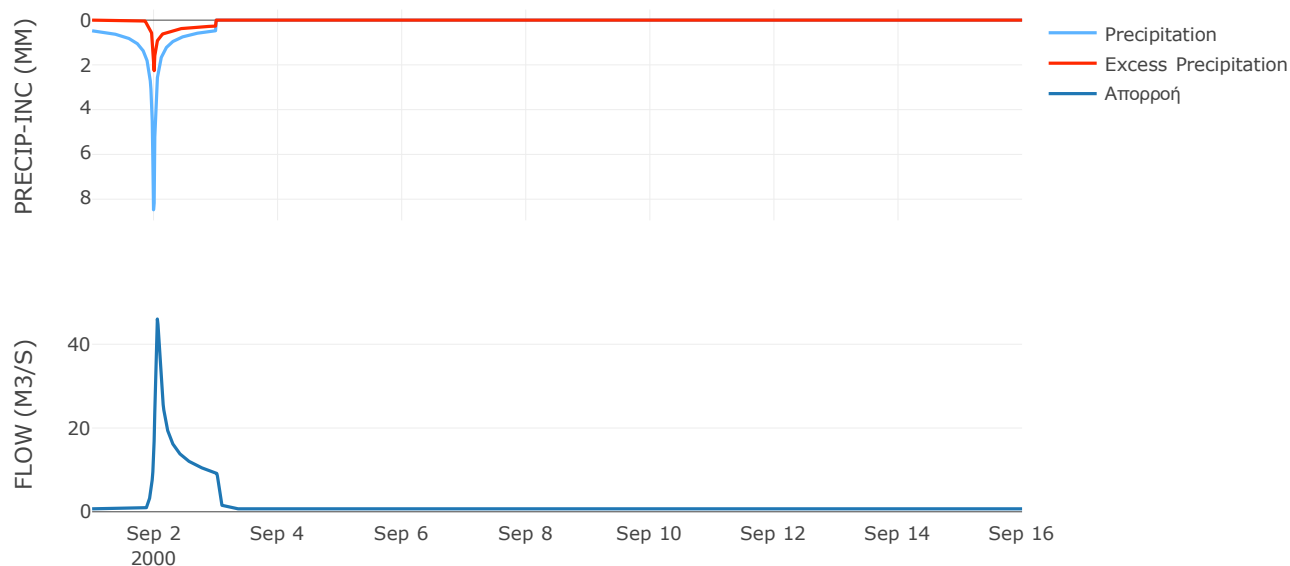
Μέθοδος Μετασχηματισμού: SCS

Χρόνος Υστέρησης	58.29
------------------	-------

Αποτελέσματα:
EL0421FR001033

Παροχή αιχμής (M3/S)	46.02
Χρονική στιγμή αιχμής	02Sep2000, 01:15
Όγκος (MM)	82.82
Όγκος βροχόπτωσης (M3)	5.91E6
Όγκος απωλειών (M3)	4.47E6
Ενεργός Όγκος (M3)	1.44E6
Όγκος άμεσης απορροής (M3)	1.44E6
Όγκος βασικής απορροής (M3)	9.25E5

Βροχόπτωση και Απορροή



Υπολεκάνη: EL0421FR001034

Έκταση (KM2) : 57.33

Κατάντη : J21

Μέθοδος Απωλειών: SCS

Ποσοστό αδιαπέρατης επιφάνειας	0
Αριθμός Καμπύλης Απορροής-CN	42.39
Αρχικές Απώλειες	69.03

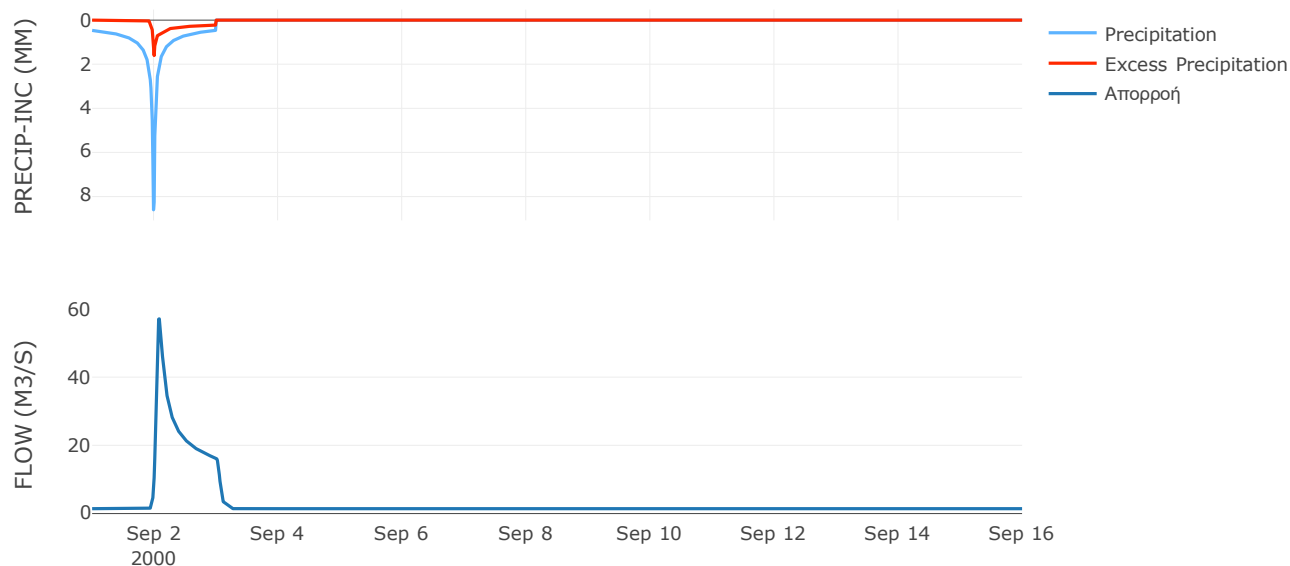
Μέθοδος Μετασχηματισμού: SCS

Χρόνος Υστέρησης	81.15
------------------	-------

Αποτελέσματα:
EL0421FR001034

Παροχή αιχμής (M3/S)	57.07
Χρονική στιγμή αιχμής	02Sep2000, 02:00
Όγκος (MM)	70.91
Όγκος βροχόπτωσης (M3)	1.18E7
Όγκος απωλειών (M3)	9.55E6
Ενεργός Όγκος (M3)	2.21E6
Όγκος άμεσης απορροής (M3)	2.21E6
Όγκος βασικής απορροής (M3)	1.86E6

Βροχόπτωση και Απορροή



Υπολεκάνη: EL0421FR001035

Έκταση (KM2) : 27.47

Κατάντη : J9

Μέθοδος Απωλειών: SCS

Ποσοστό αδιαπέρατης επιφάνειας	0
Αριθμός Καμπύλης Απορροής-CN	63.43
Αρχικές Απώλειες	29.29

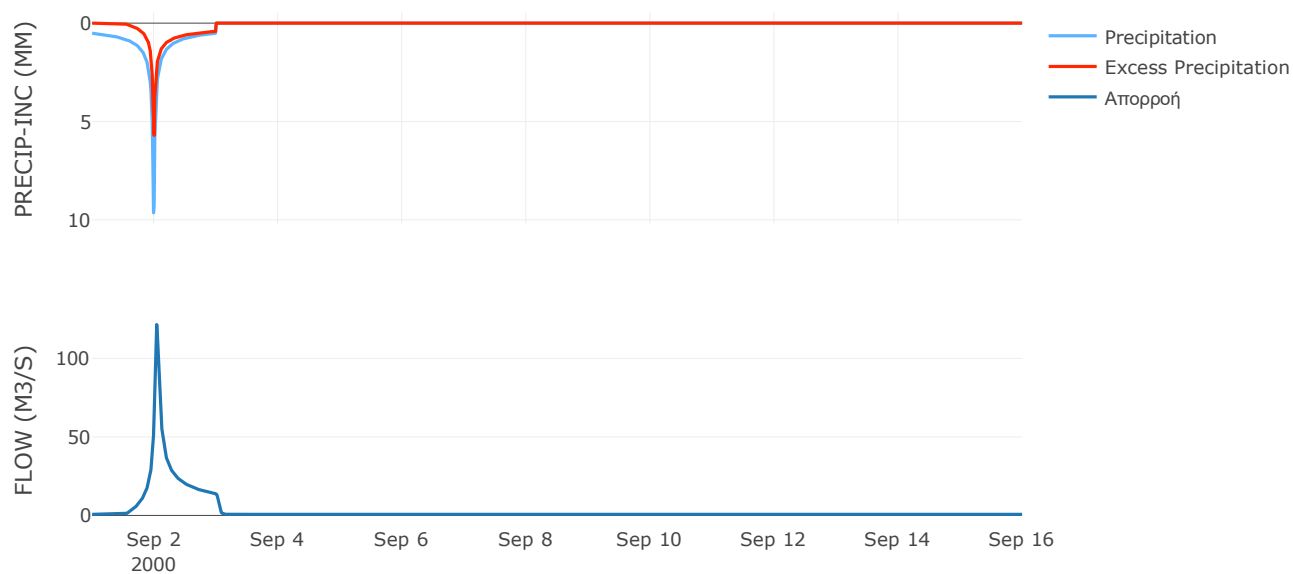
Μέθοδος Μετασχηματισμού: SCS

Χρόνος Υστέρησης	51.04
------------------	-------

Αποτελέσματα:
EL0421FR001035

Παροχή αιχμής (M3/S)	121.54
Χρονική στιγμή αιχμής	02Sep2000, 01:00
Όγκος (MM)	146.03
Όγκος βροχόπτωσης (M3)	6.24E6
Όγκος απωλειών (M3)	3.12E6
Ενεργός Όγκος (M3)	3.12E6
Όγκος άμεσης απορροής (M3)	3.12E6
Όγκος βασικής απορροής (M3)	8.9E5

Βροχόπτωση και Απορροή



Υπολεκάνη: EL0421FR001036

Έκταση (KM2) : 22.53

Κατάντη : J23

Μέθοδος Απωλειών: SCS

Ποσοστό αδιαπέρατης επιφάνειας	0
Αριθμός Καμπύλης Απορροής-CN	48.63
Αρχικές Απώλειες	53.67

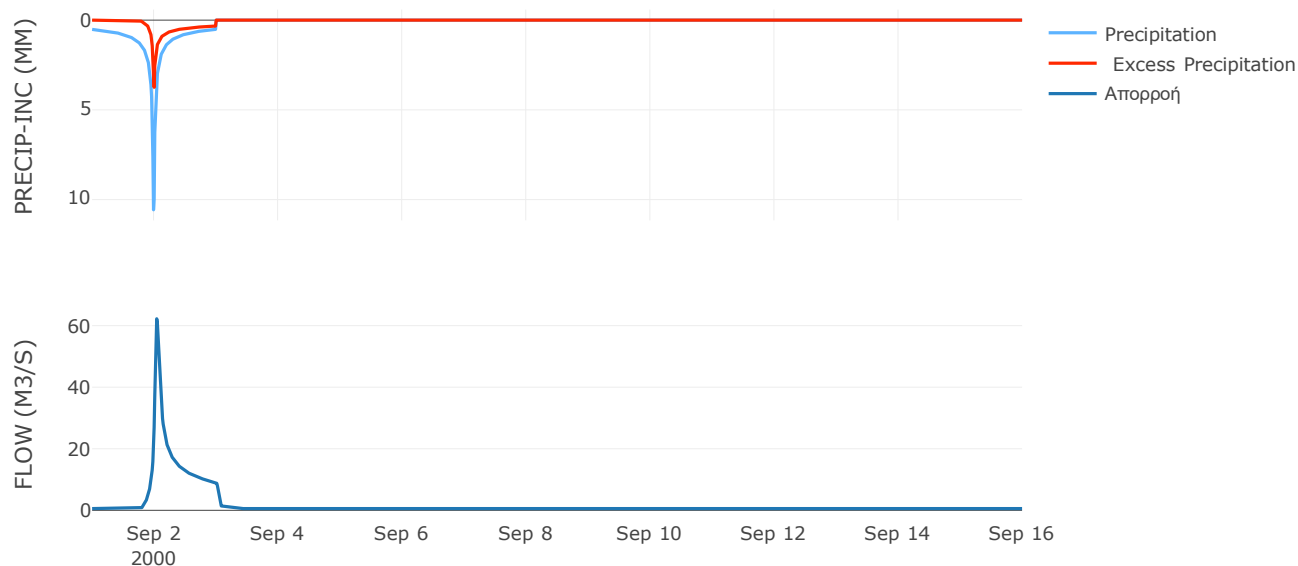
Μέθοδος Μετασχηματισμού: SCS

Χρόνος Υστέρησης	52.15
------------------	-------

Αποτελέσματα:
EL0421FR001036

Παροχή αιχμής (M3/S)	62.24
Χρονική στιγμή αιχμής	02Sep2000, 01:00
Όγκος (MM)	105.52
Όγκος βροχόπτωσης (M3)	5.29E6
Όγκος απωλειών (M3)	3.65E6
Ενεργός Όγκος (M3)	1.65E6
Όγκος άμεσης απορροής (M3)	1.65E6
Όγκος βασικής απορροής (M3)	7.3E5

Βροχόπτωση και Απορροή



Υπολεκάνη: EL0421FR001037

Έκταση (KM2) : 26.53

Κατάντη : J2

Μέθοδος Απωλειών: SCS

Ποσοστό αδιαπέρατης επιφάνειας	0
Αριθμός Καμπύλης Απορροής-CN	40.75
Αρχικές Απώλειες	73.86

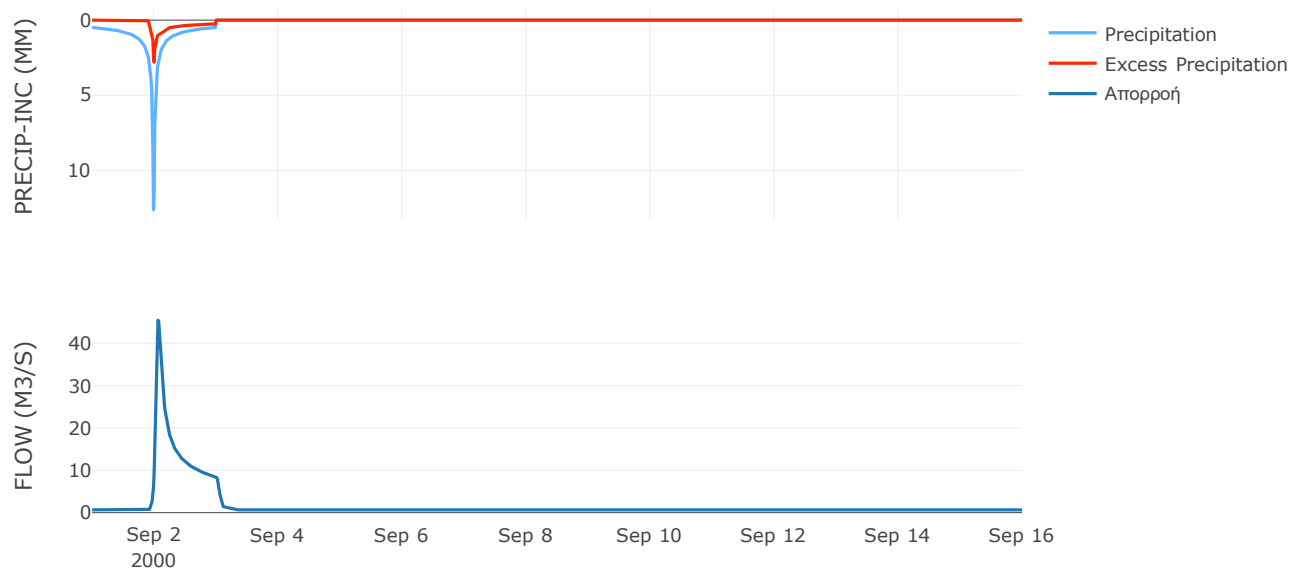
Μέθοδος Μετασχηματισμού: SCS

Χρόνος Υστέρησης	72.53
------------------	-------

Αποτελέσματα:
EL0421FR001037

Παροχή αιχμής (M3/S)	45.45
Χρονική στιγμή αιχμής	02Sep2000, 01:30
Όγκος (MM)	84.21
Όγκος βροχόπτωσης (M3)	6.38E6
Όγκος απωλειών (M3)	5.01E6
Ενεργός Όγκος (M3)	1.37E6
Όγκος άμεσης απορροής (M3)	1.37E6
Όγκος βασικής απορροής (M3)	8.59E5

Βροχόπτωση και Απορροή



Υπολεκάνη: EL0421FR001038

Έκταση (KM2) : 16.84

Κατάντη : J18

Μέθοδος Απωλειών: SCS

Ποσοστό αδιαπέρατης επιφάνειας	0
Αριθμός Καμπύλης Απορροής-CN	62.75
Αρχικές Απώλειες	30.15

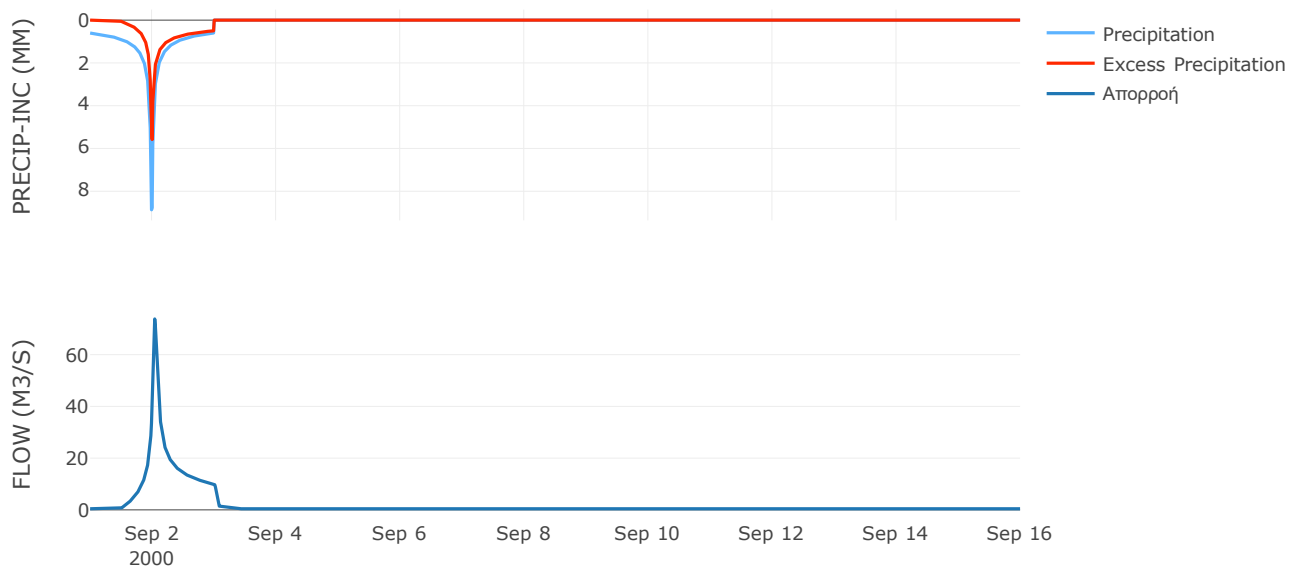
Μέθοδος Μετασχηματισμού: SCS

Χρόνος Υστέρησης	52.97
------------------	-------

Αποτελέσματα:
EL0421FR001038

Παροχή αιχμής (M3/S)	73.81
Χρονική στιγμή αιχμής	02Sep2000, 01:00
Όγκος (MM)	160.23
Όγκος βροχόπτωσης (M3)	4.16E6
Όγκος απωλειών (M3)	2.01E6
Ενεργός Όγκος (M3)	2.15E6
Όγκος άμεσης απορροής (M3)	2.15E6
Όγκος βασικής απορροής (M3)	5.46E5

Βροχόπτωση και Απορροή



Υπολεκάνη: EL0421FR001039

Έκταση (KM2) : 11.68

Κατάντη : J8

Μέθοδος Απωλειών: SCS

Ποσοστό αδιαπέρατης επιφάνειας	0
Αριθμός Καμπύλης Απορροής-CN	62.62
Αρχικές Απώλειες	30.33

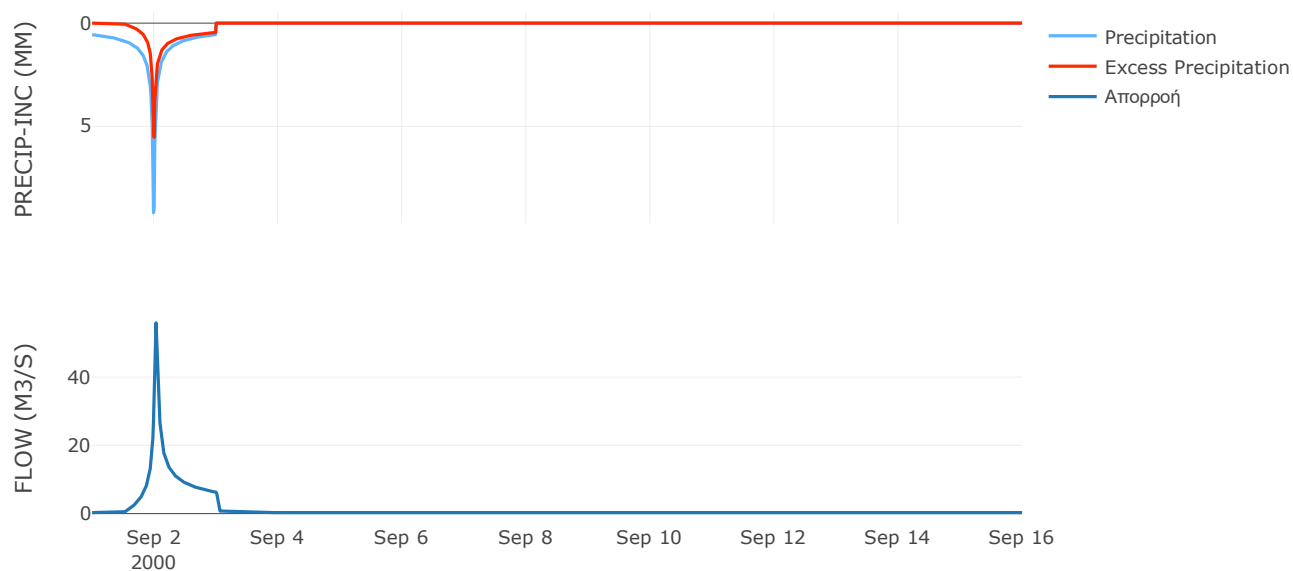
Μέθοδος Μετασχηματισμού: SCS

Χρόνος Υστέρησης	35.02
------------------	-------

Αποτελέσματα:
EL0421FR001039

Παροχή αιχμής (M3/S)	55.93
Χρονική στιγμή αιχμής	02Sep2000, 00:45
Όγκος (MM)	150.84
Όγκος βροχόπτωσης (M3)	2.76E6
Όγκος απωλειών (M3)	1.37E6
Ενεργός Όγκος (M3)	1.38E6
Όγκος άμεσης απορροής (M3)	1.38E6
Όγκος βασικής απορροής (M3)	3.78E5

Βροχόπτωση και Απορροή



Υπολεκάνη: EL0421FR001040

Έκταση (KM2) : 8.83

Κατάντη : J7

Μέθοδος Απωλειών: SCS

Ποσοστό αδιαπέρατης επιφάνειας	0
Αριθμός Καμπύλης Απορροής-CN	64.13
Αρχικές Απώλειες	28.41

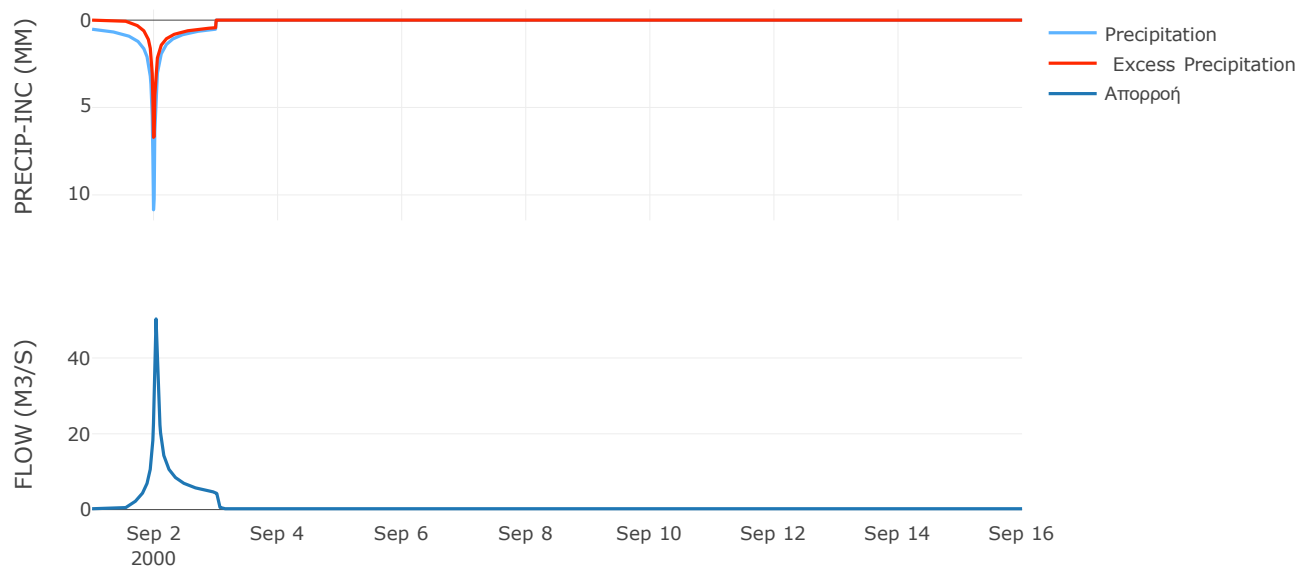
Μέθοδος Μετασχηματισμού: SCS

Χρόνος Υστέρησης	35.54
------------------	-------

Αποτελέσματα:
EL0421FR001040

Παροχή αιχμής (M3/S)	50.3
Χρονική στιγμή αιχμής	02Sep2000, 00:45
Όγκος (MM)	157.86
Όγκος βροχόπτωσης (M3)	2.11E6
Όγκος απωλειών (M3)	9.99E5
Ενεργός Όγκος (M3)	1.11E6
Όγκος άμεσης απορροής (M3)	1.11E6
Όγκος βασικής απορροής (M3)	2.86E5

Βροχόπτωση και Απορροή



Υπολεκάνη: EL0421FR001041

Έκταση (KM2) : 11.46

Κατάντη : J11

Μέθοδος Απωλειών: SCS

Ποσοστό αδιαπέρατης επιφάνειας	0.2
Αριθμός Καμπύλης Απορροής-CN	62.87
Αρχικές Απώλειες	30

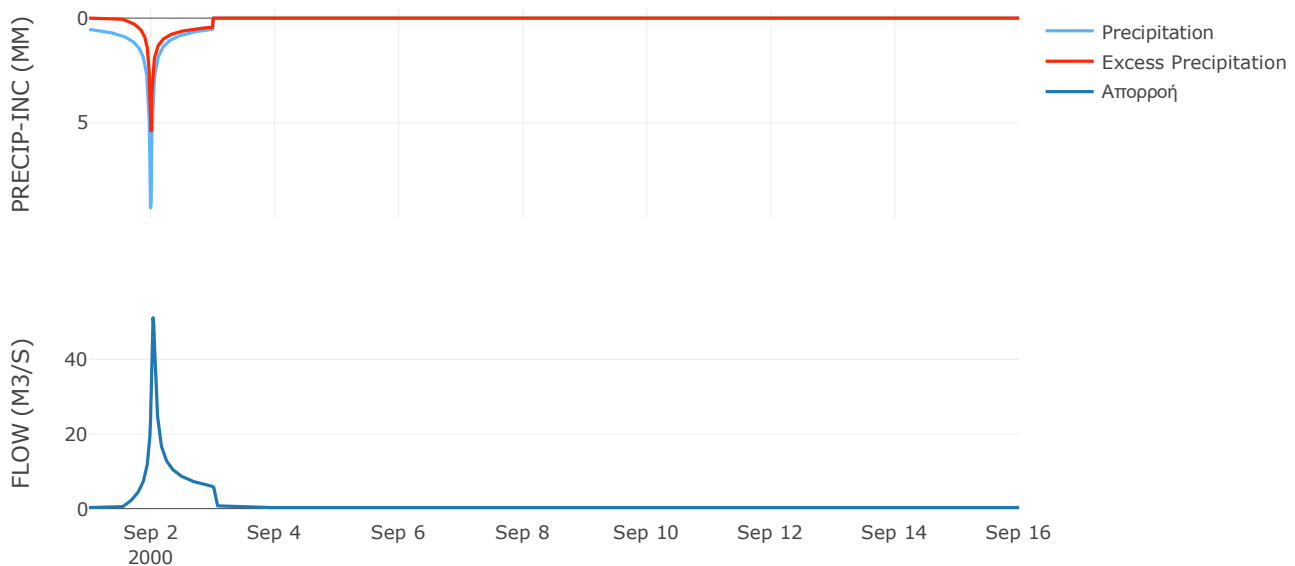
Μέθοδος Μετασχηματισμού: SCS

Χρόνος Υστέρησης	41.94
------------------	-------

Αποτελέσματα:
EL0421FR001041

Παροχή αιχμής (M3/S)	51.16
Χρονική στιγμή αιχμής	02Sep2000, 00:45
Όγκος (MM)	146.35
Όγκος βροχόπτωσης (M3)	2.63E6
Όγκος απωλειών (M3)	1.32E6
Ενεργός Όγκος (M3)	1.31E6
Όγκος άμεσης απορροής (M3)	1.31E6
Όγκος βασικής απορροής (M3)	3.71E5

Βροχόπτωση και Απορροή



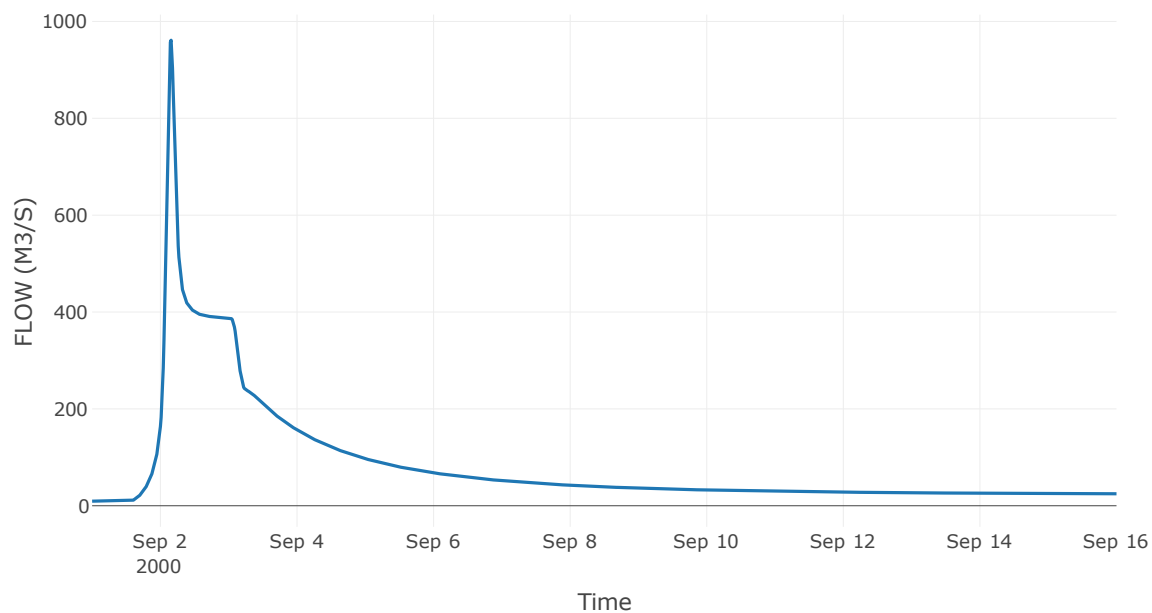
6.2 Δεδομένα και Υδρογραφήματα Σχεδιασμού Κλάδων Υδρογραφικού Δικτύου

Κλάδος: R21

Αποτελέσματ
α: R21

Παροχή αιχμής (M3/S)	961.21
Χρονική στιγμή αιχμής	02Sep2000, 03:45
Όγκος (MM)	116.72
Παροχή Αιχμής Εισόδου (M3/S)	982.91
Όγκος Εισροής (M3)	1.09E8

Απορροή

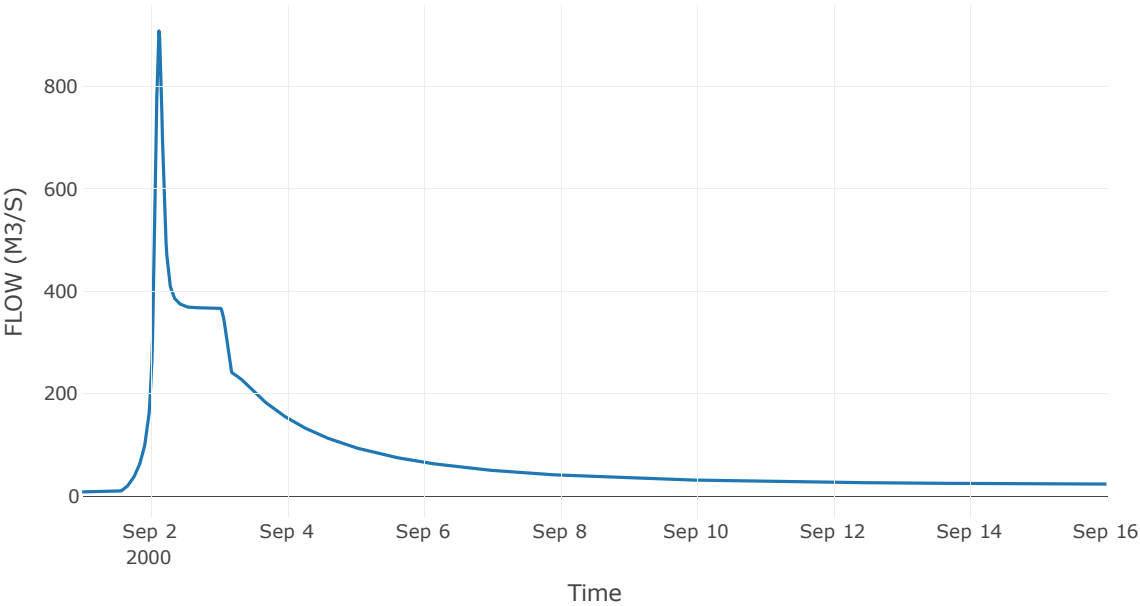


Κλάδος: R32

Αποτελέσμα
α: R32

Παροχή αιχμής (M3/S)	908.33
Χρονική στιγμή αιχμής	02Sep2000, 03:00
Όγκος (MM)	118.45
Παροχή Αιχμής Εισόδου (M3/S)	913.2
Όγκος Εισροής (M3)	1.04E8

Απορροή

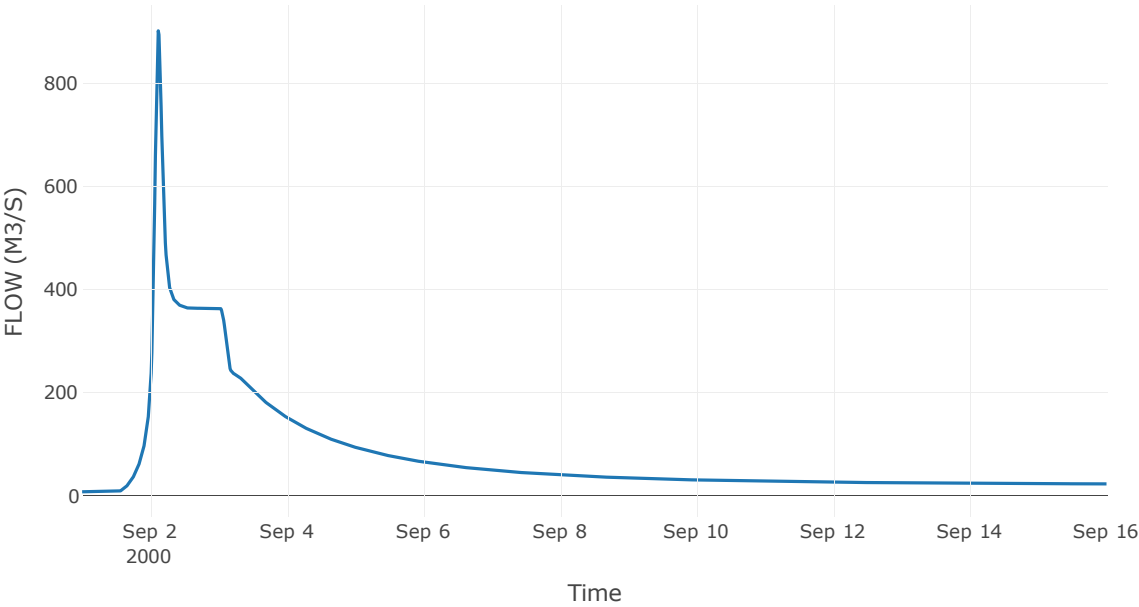


Κλάδος: R43

Αποτελέσματ
α: R43

Παροχή αιχμής (M3/S)	901.33
Χρονική στιγμή αιχμής	02Sep2000, 02:45
Όγκος (MM)	118.78
Παροχή Αιχμής Εισόδου (M3/S)	912.84
Όγκος Εισροής (M3)	1.03E8

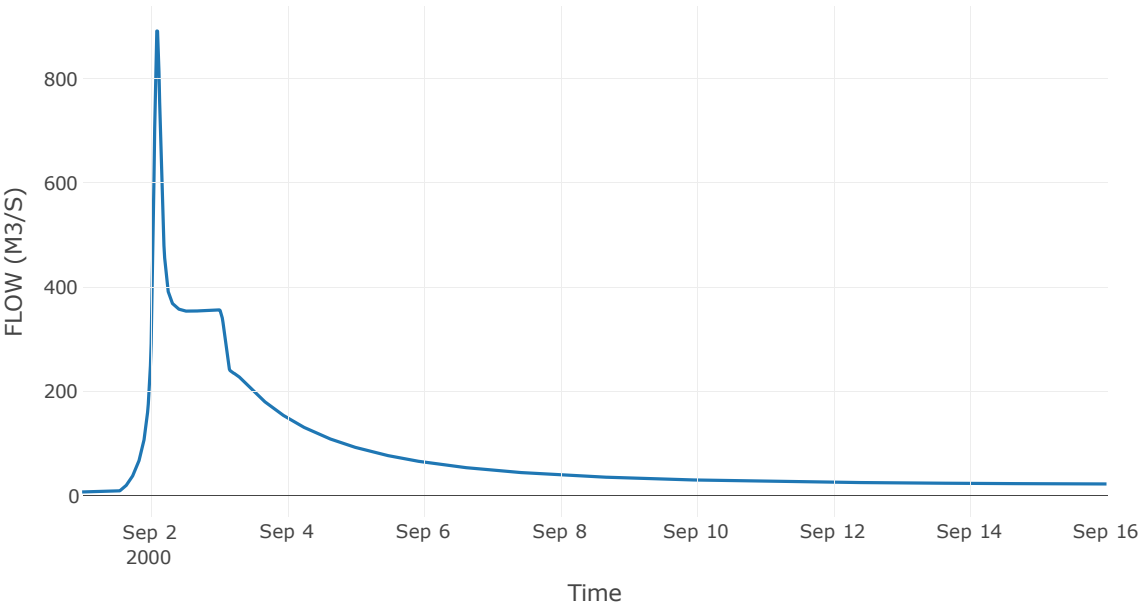
Απορροή



Αποτελέσματα
: R54

Παροχή αιχμής (M3/S)	891.53
Χρονική στιγμή αιχμής	02Sep2000, 02:15
Όγκος (MM)	120.33
Παροχή Αιχμής Εισόδου (M3/S)	899.16
Όγκος Εισροής (M3)	1.01E8

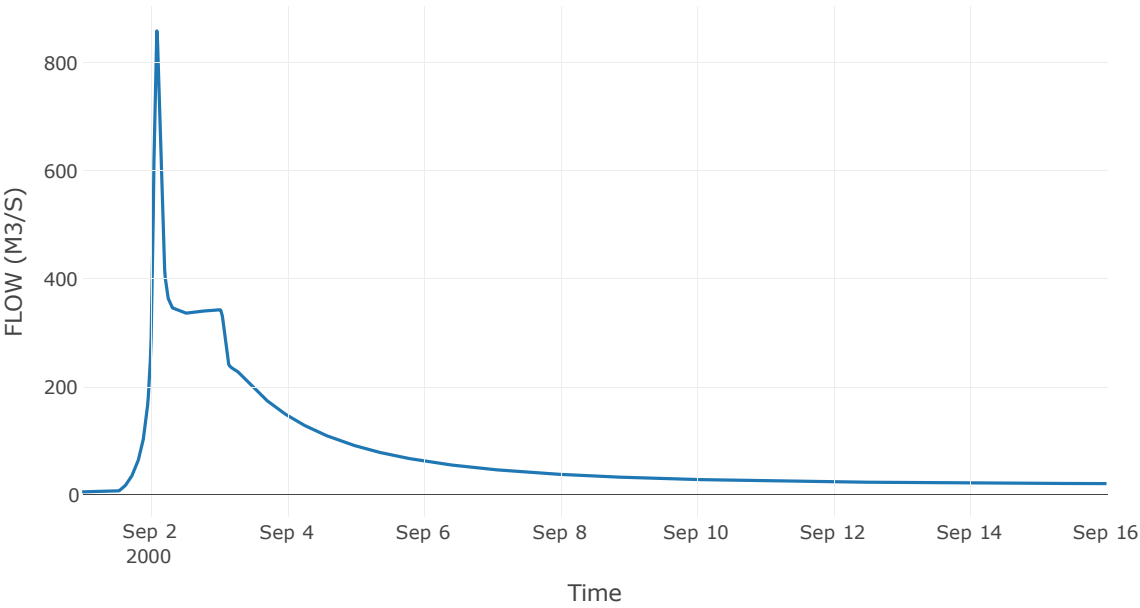
Απορροή



Αποτελέσματα
: R65

Παροχή αιχμής (M3/S)	859.1
Χρονική στιγμή αιχμής	02Sep2000, 02:15
Όγκος (MM)	122.28
Παροχή Αιχμής Εισόδου (M3/S)	879.08
Όγκος Εισροής (M3)	9.84E7

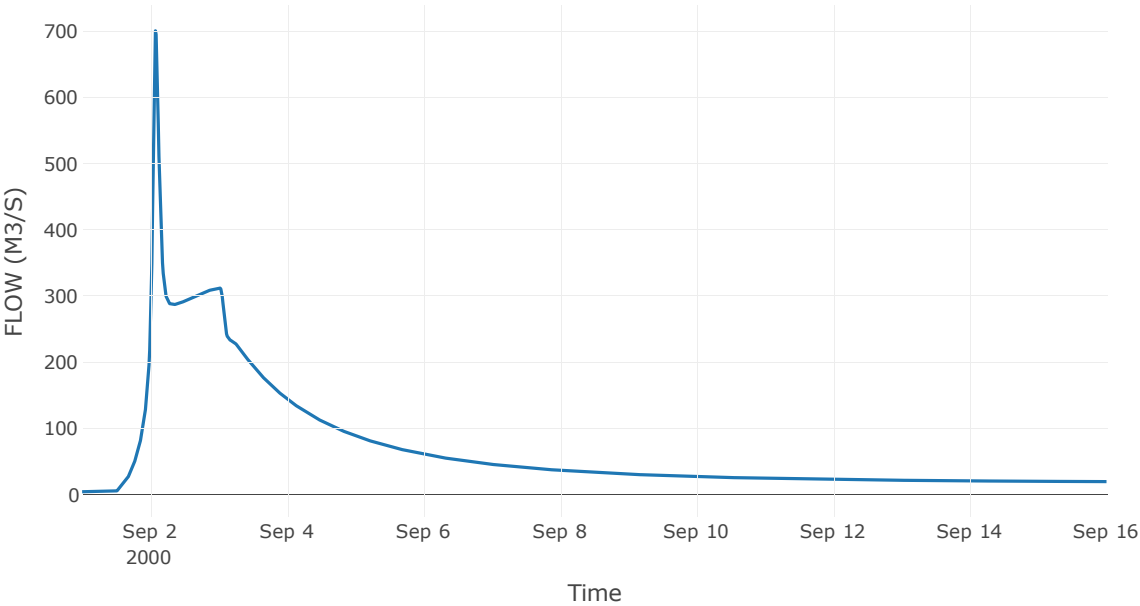
Απορροή



Αποτελέσμα
α: R76

Παροχή αιχμής (M3/S)	700.52
Χρονική στιγμή αιχμής	02Sep2000, 01:45
Όγκος (MM)	123.87
Παροχή Αιχμής Εισόδου (M3/S)	734.08
Όγκος Εισροής (M3)	9.03E7

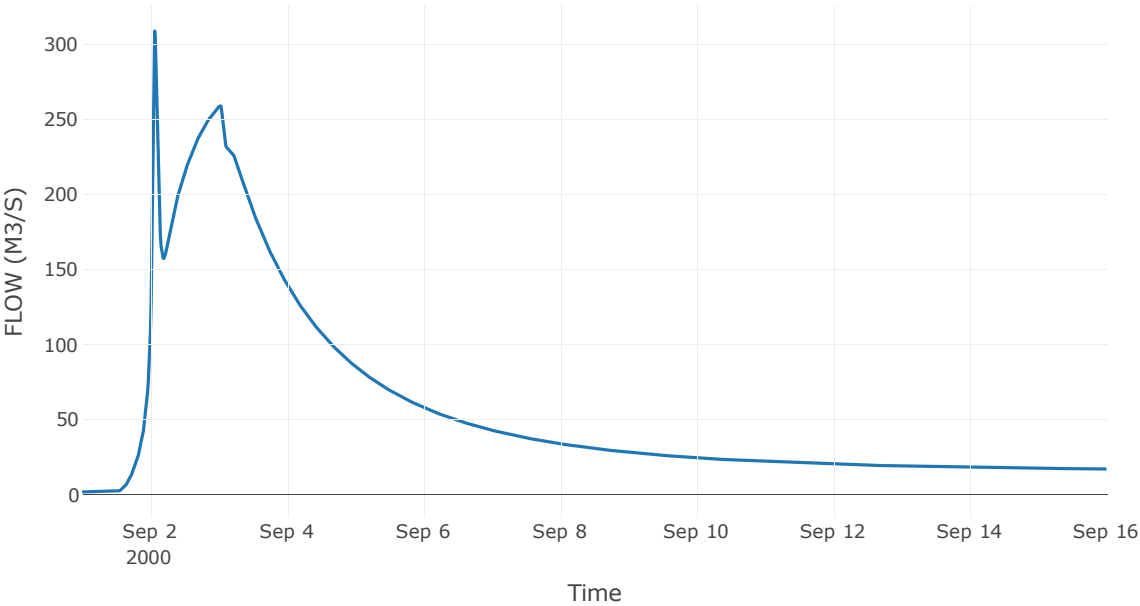
Απορροή



Αποτελέσμα
α: R87

Παροχή αιχμής (M3/S)	308.8
Χρονική στιγμή αιχμής	02Sep2000, 01:30
Όγκος (MM)	118.2
Παροχή Αιχμής Εισόδου (M3/S)	309.67
Όγκος Εισροής (M3)	7.48E7

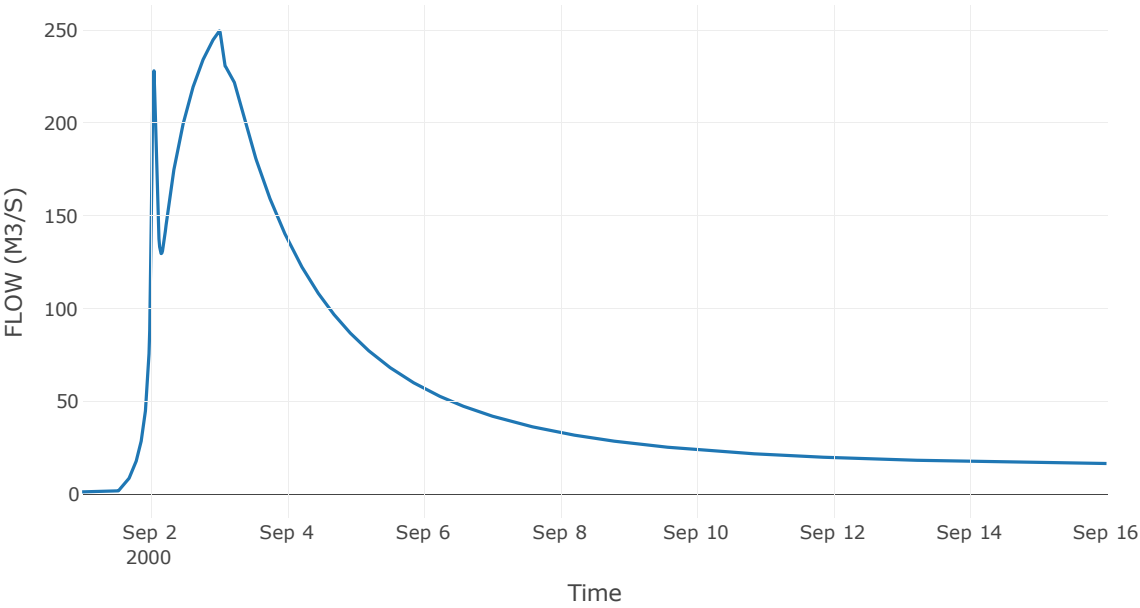
Απορροή



Αποτελέσματα
: R98

Παροχή αιχμής (M3/S)	249.66
Χρονική στιγμή αιχμής	03Sep2000, 00:15
Όγκος (MM)	117.49
Παροχή Αιχμής Εισόδου (M3/S)	249.92
Όγκος Εισροής (M3)	7.2E7

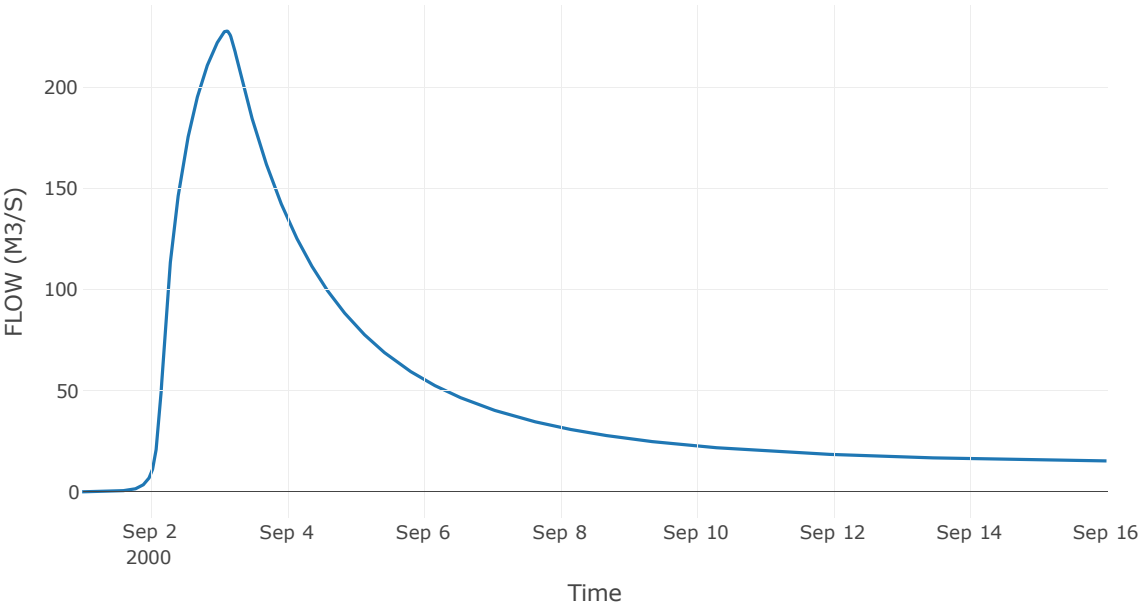
Απορροή



Αποτελέσματα:
R109

Παροχή αιχμής (M3/S)	227.89
Χρονική στιγμή αιχμής	03Sep2000, 02:45
Όγκος (MM)	115.16
Παροχή Αιχμής Εισόδου (M3/S)	227.92
Όγκος Εισροής (M3)	6.46E7

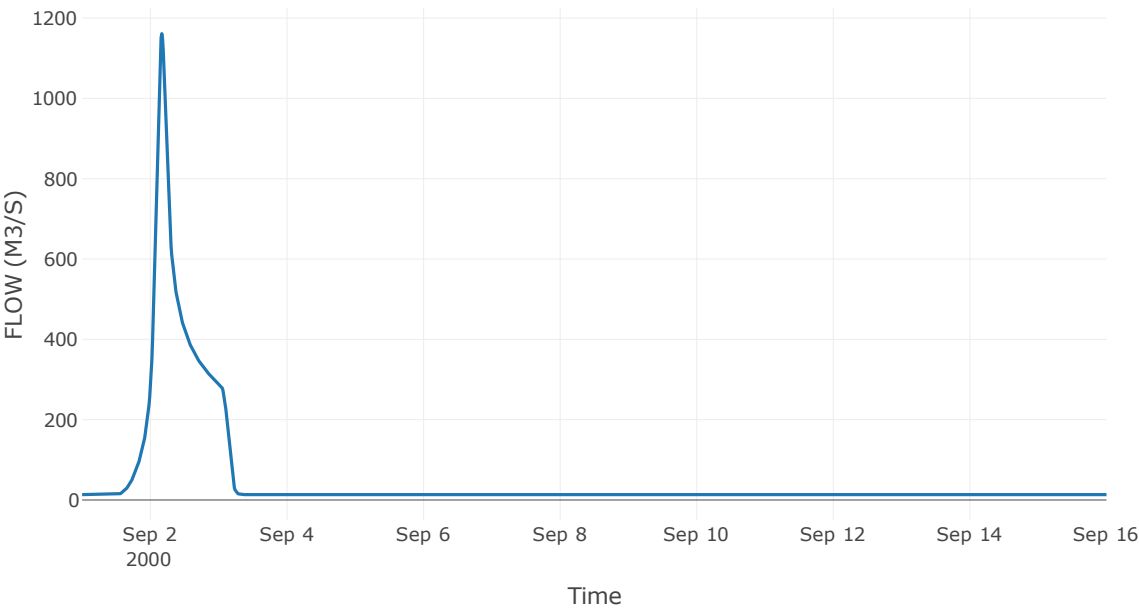
Απορροή



Αποτελέσματα:
R1110

Παροχή αιχμής (M3/S)	1161.16
Χρονική στιγμή αιχμής	02Sep2000, 04:00
Όγκος (MM)	126.06
Παροχή Αιχμής Εισόδου (M3/S)	1171.92
Όγκος Εισροής (M3)	6.7E7

Απορροή

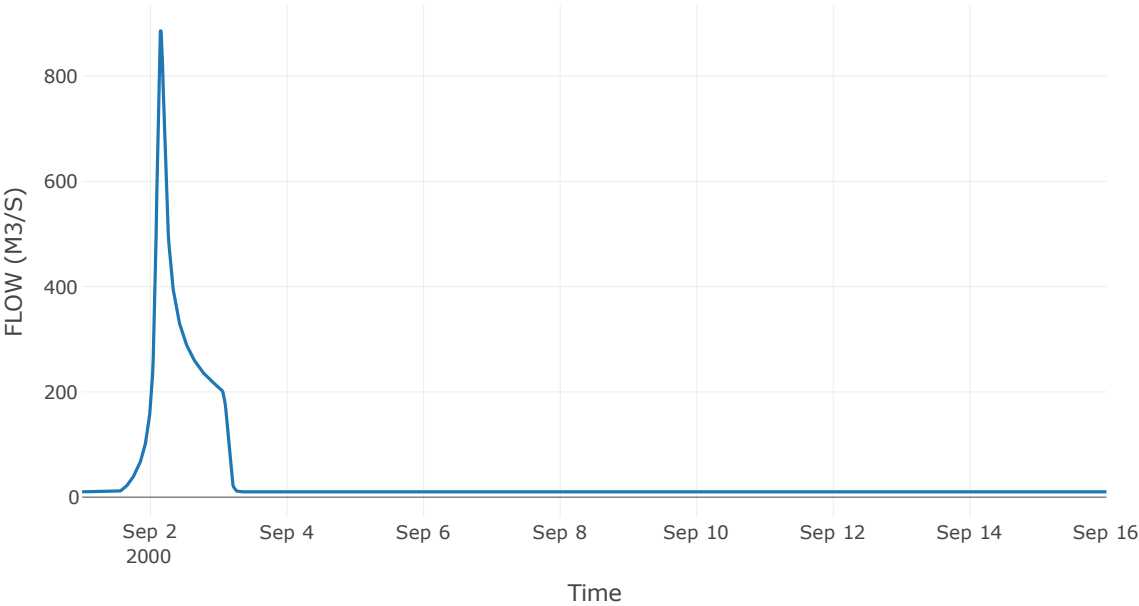


Κλάδος: R1211

Αποτελέσματα:
R1211

Παροχή αιχμής (M3/S)	886
Χρονική στιγμή αιχμής	02Sep2000, 03:30
Όγκος (MM)	118.45
Παροχή Αιχμής Εισόδου (M3/S)	921.35
Όγκος Εισροής (M3)	4.75E7

Απορροή

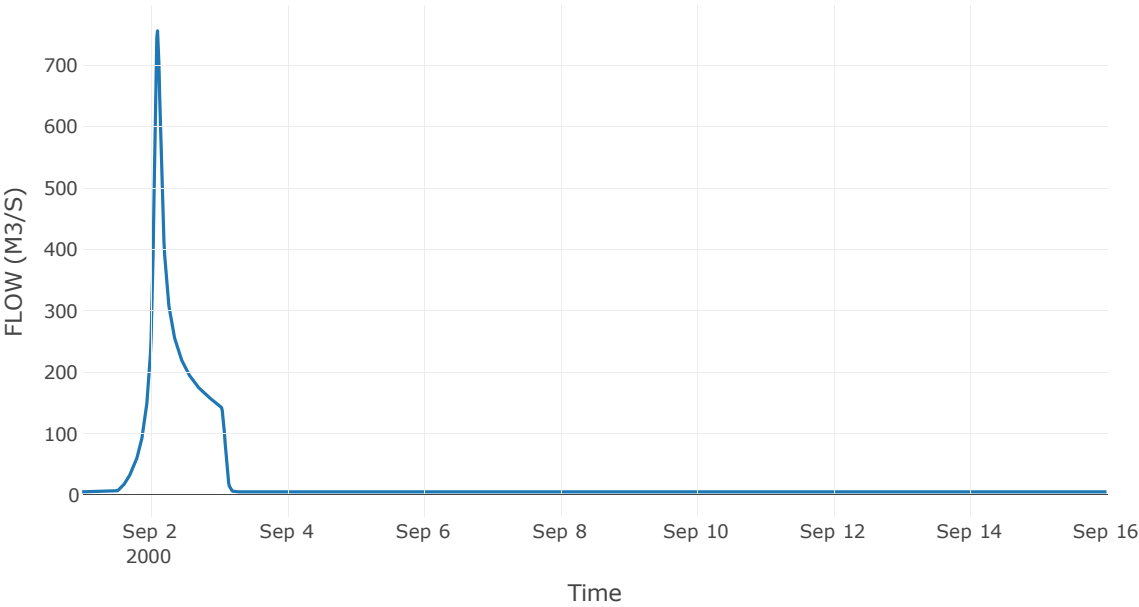


Κλάδος: R1312

Αποτελέσματα:
R1312

Παροχή αιχμής (M3/S)	755.53
Χρονική στιγμή αιχμής	02Sep2000, 02:30
Όγκος (MM)	152.34
Παροχή Αιχμής Εισόδου (M3/S)	780.35
Όγκος Εισροής (M3)	3.43E7

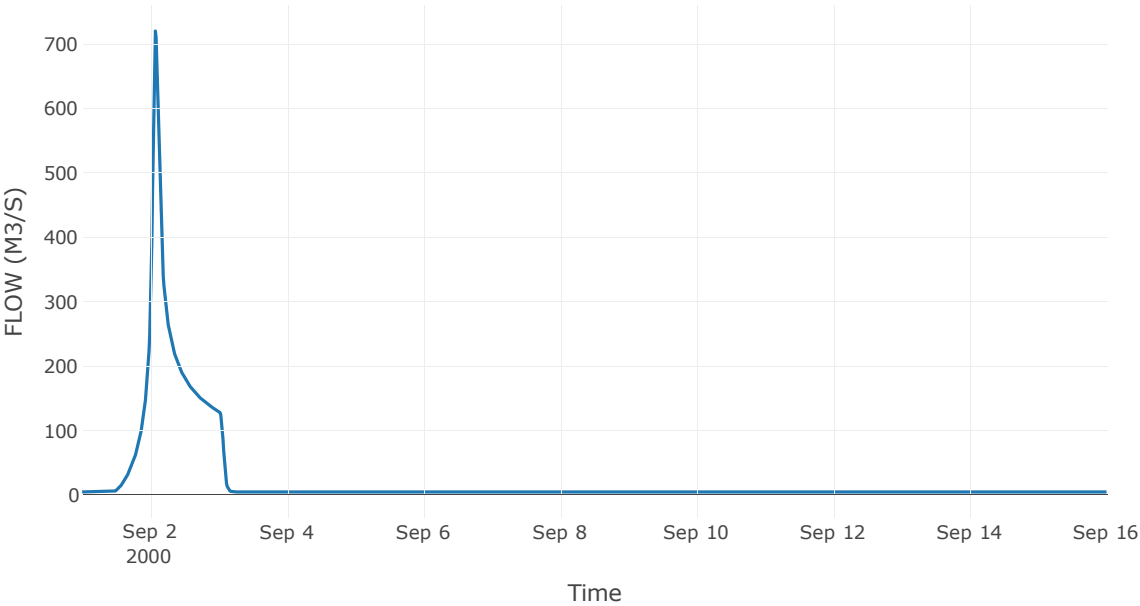
Απορροή



Αποτελέσματα:
R1413

Παροχή αιχμής (M3/S)	720.18
Χρονική στιγμή αιχμής	02Sep2000, 01:45
Όγκος (MM)	160.98
Παροχή Αιχμής Εισόδου (M3/S)	720.54
Όγκος Εισροής (M3)	3.07E7

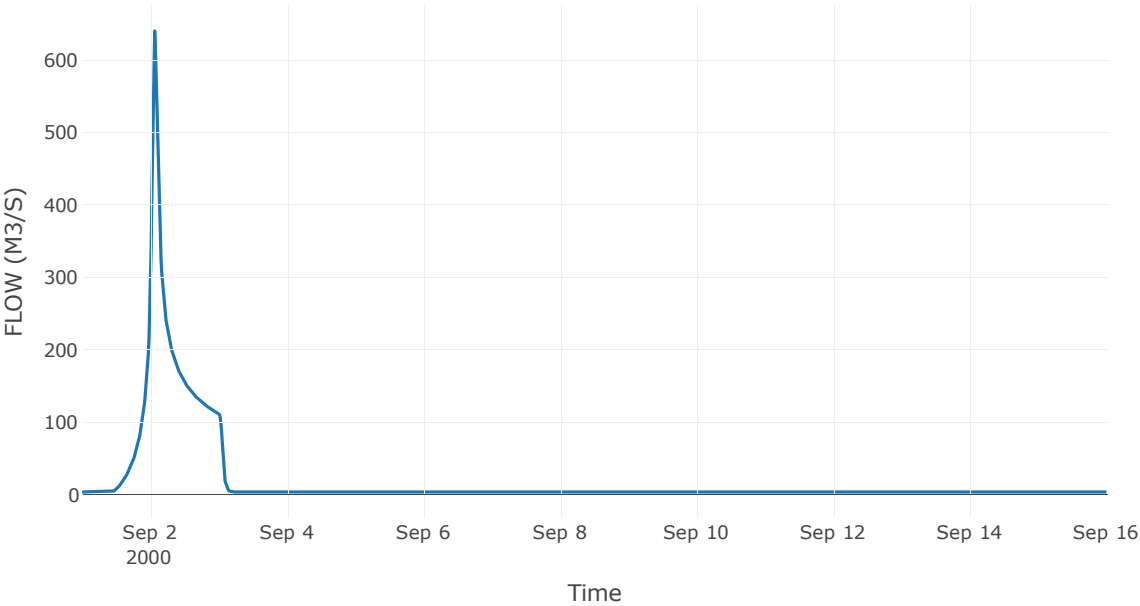
Απορροή



Αποτελέσματα:
R1514

Παροχή αιχμής (M3/S)	640.26
Χρονική στιγμή αιχμής	02Sep2000, 01:30
Όγκος (MM)	160.29
Παροχή Αιχμής Εισόδου (M3/S)	644.84
Όγκος Εισροής (M3)	2.67E7

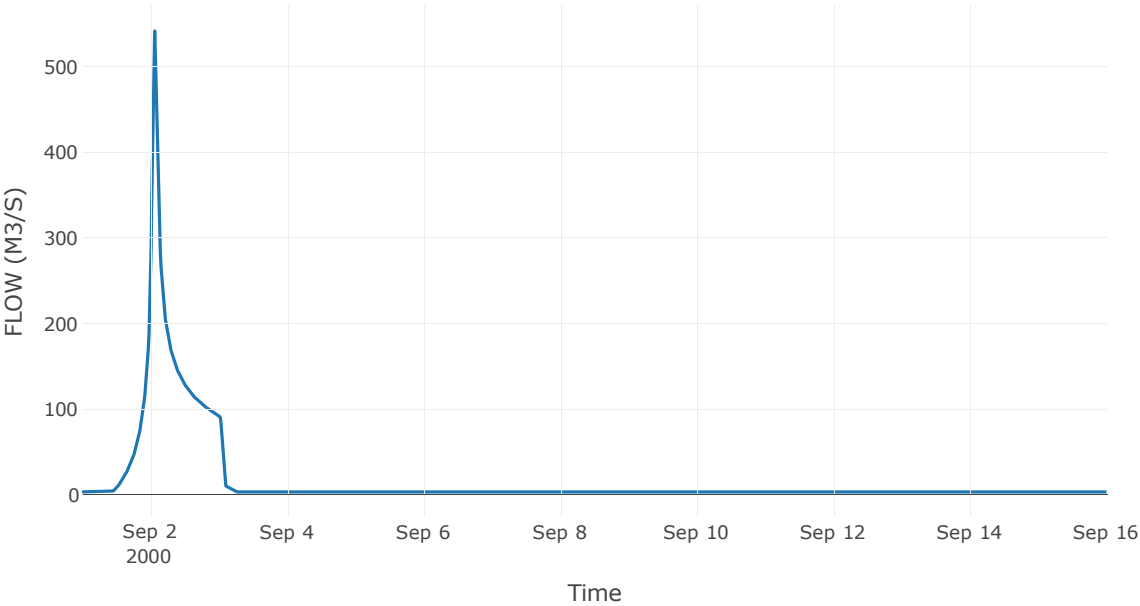
Απορροή



Αποτελέσματα:
R1615

Παροχή αιχμής (M3/S)	542.06
Χρονική στιγμή αιχμής	02Sep2000, 01:30
Όγκος (MM)	166.37
Παροχή Αιχμής Εισόδου (M3/S)	551.12
Όγκος Εισροής (M3)	2.22E7

Απορροή

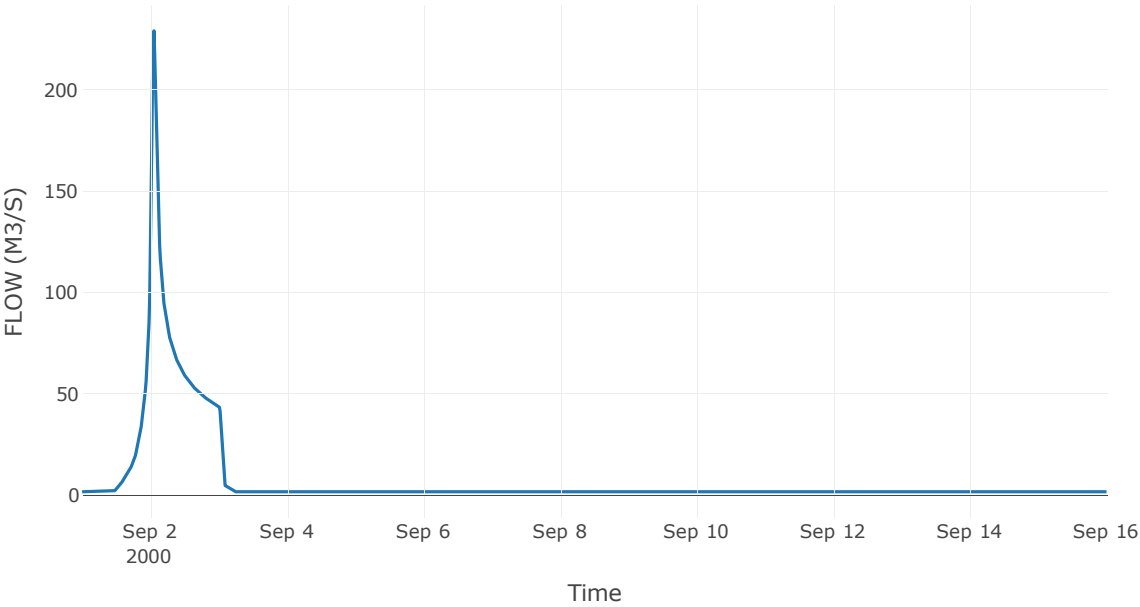


Κλάδος: R1716

Αποτελέσματα:
R1716

Παροχή αιχμής (M3/S)	229.05
Χρονική στιγμή αιχμής	02Sep2000, 01:15
Όγκος (MM)	146.28
Παροχή Αιχμής Εισόδου (M3/S)	231.08
Όγκος Εισροής (M3)	1E7

Απορροή

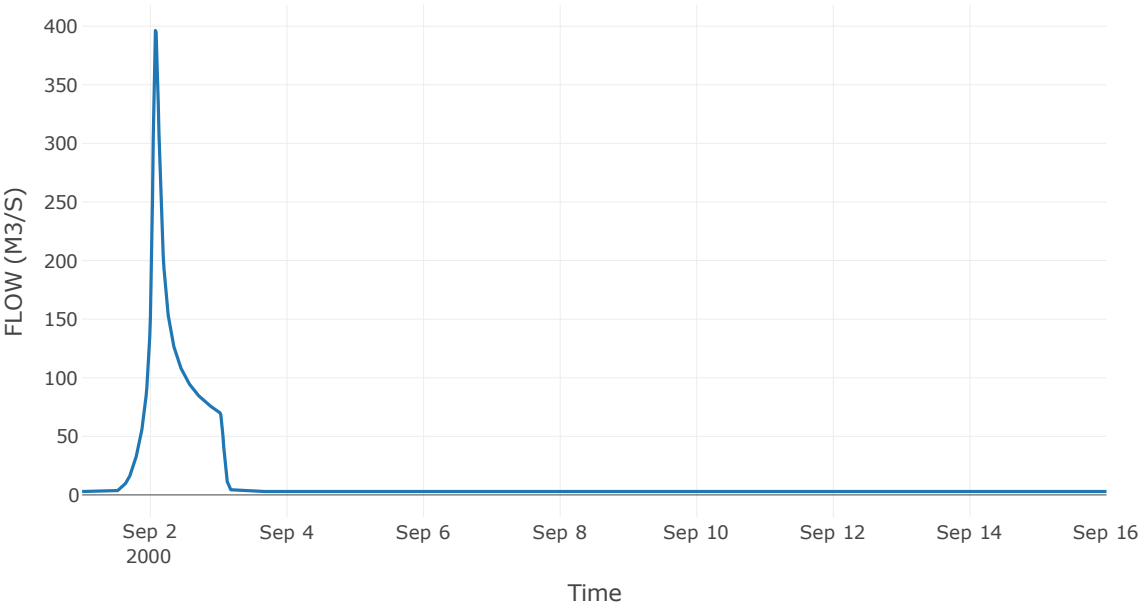


Κλάδος: R1811

Αποτελέσματα:
R1811

Παροχή αιχμής (M3/S)	396.28
Χρονική στιγμή αιχμής	02Sep2000, 01:45
Όγκος (MM)	150.03
Παροχή Αιχμής Εισόδου (M3/S)	407.17
Όγκος Εισροής (M3)	1.75E7

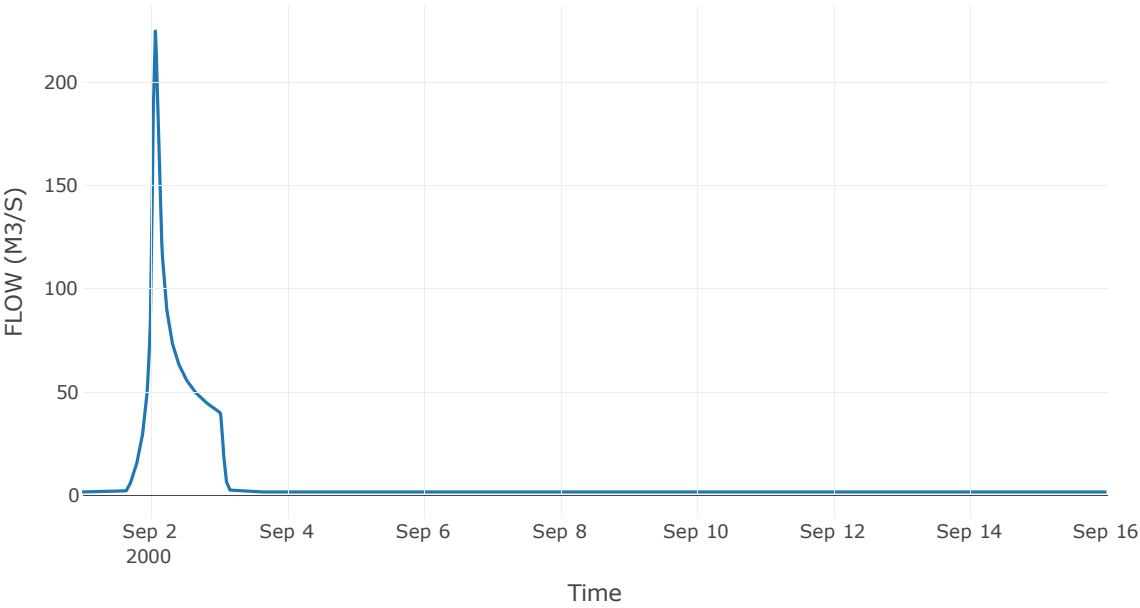
Απορροή



Αποτελέσματα:
R1918

Παροχή αιχμής (M3/S)	224.62
Χρονική στιγμή αιχμής	02Sep2000, 01:45
Όγκος (MM)	140.6
Παροχή Αιχμής Εισόδου (M3/S)	226.22
Όγκος Εισροής (M3)	9.75E6

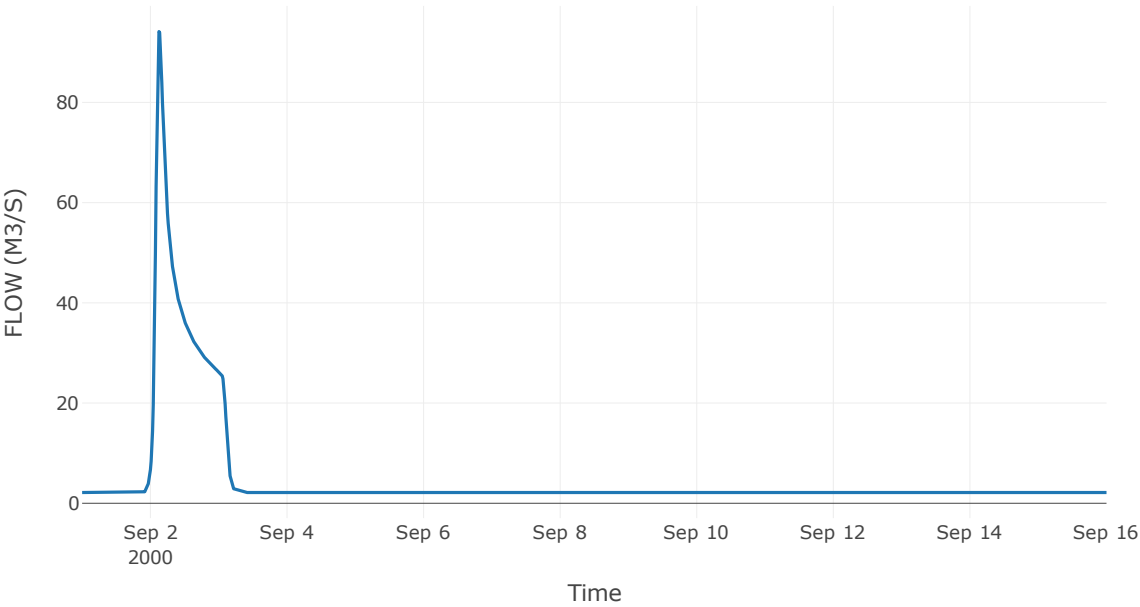
Απορροή



Αποτελέσματα: R2012

Παροχή Αιχμής(M3/S)	94.14
Χρονική στιγμή αιχμής	02Sep2000, 03:00
Όγκος (MM)	74.87
Παροχή Αιχμής Εισόδου (M3/S)	98.41
Όγκος Εισόδου(M3)	6.43E6

Απορροή

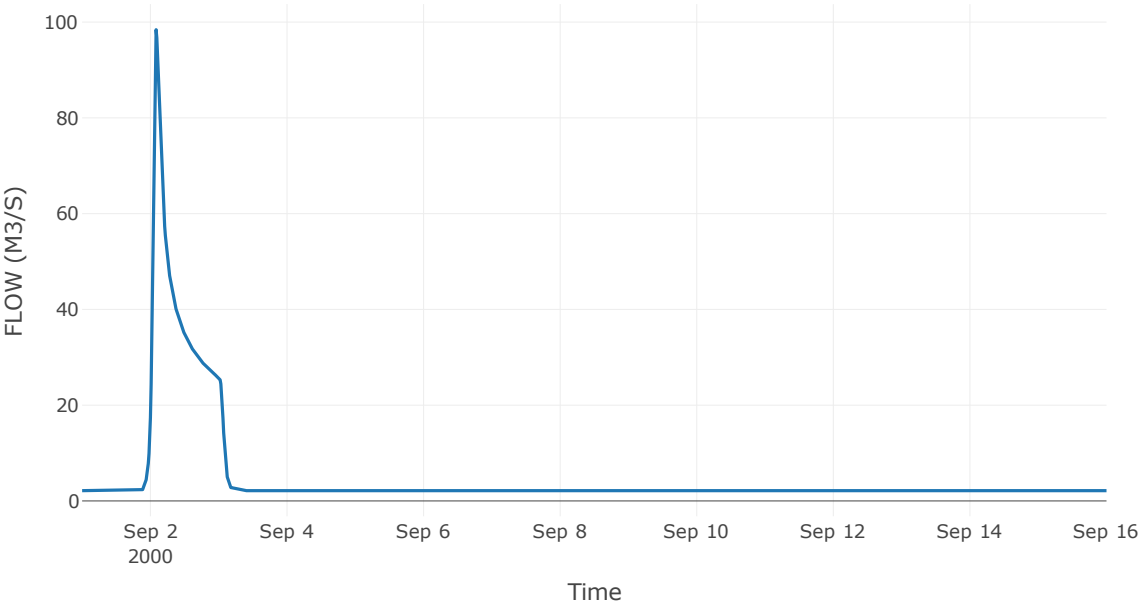


Κλάδος: R2120

Αποτελέσματα: R2120

Παροχή Αιχμής(M3/S)	98.41
Χρονική στιγμή αιχμής	02Sep2000, 02:00
Όγκος (MM)	74.87
Παροχή Αιχμής Εισόδου (M3/S)	99.34
Όγκος Εισόδου(M3)	6.43E6

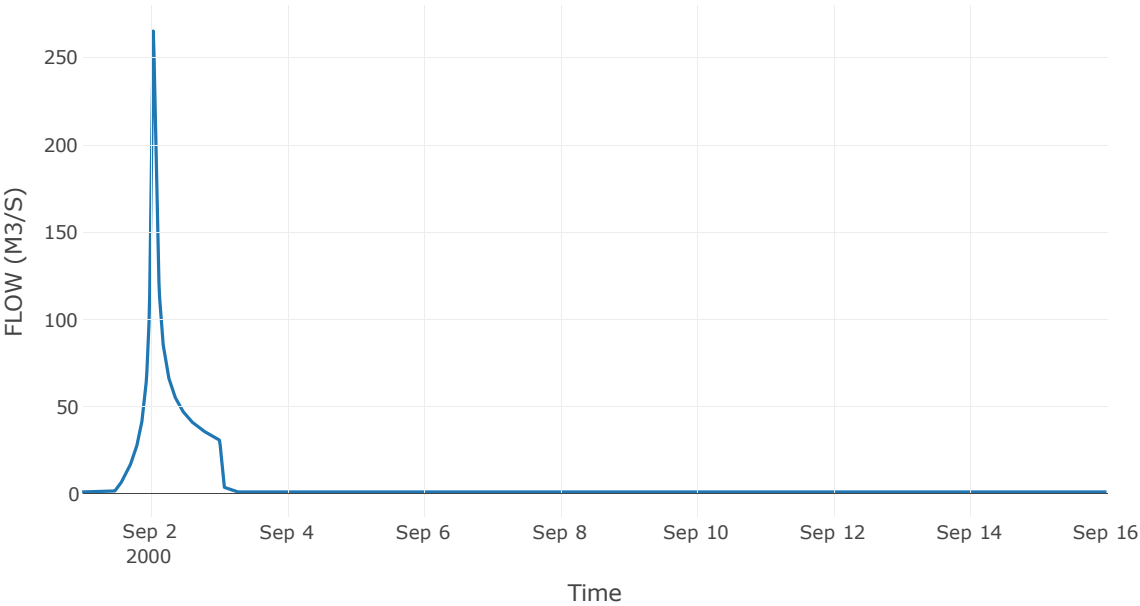
Απορροή



Αποτελέσματα:
R227

Παροχή αιχμής (M3/S)	265.26
Χρονική στιγμή αιχμής	02Sep2000, 01:00
Όγκος (MM)	167.34
Παροχή Αιχμής Εισόδου (M3/S)	267.58
Όγκος Εισροής (M3)	8.92E6

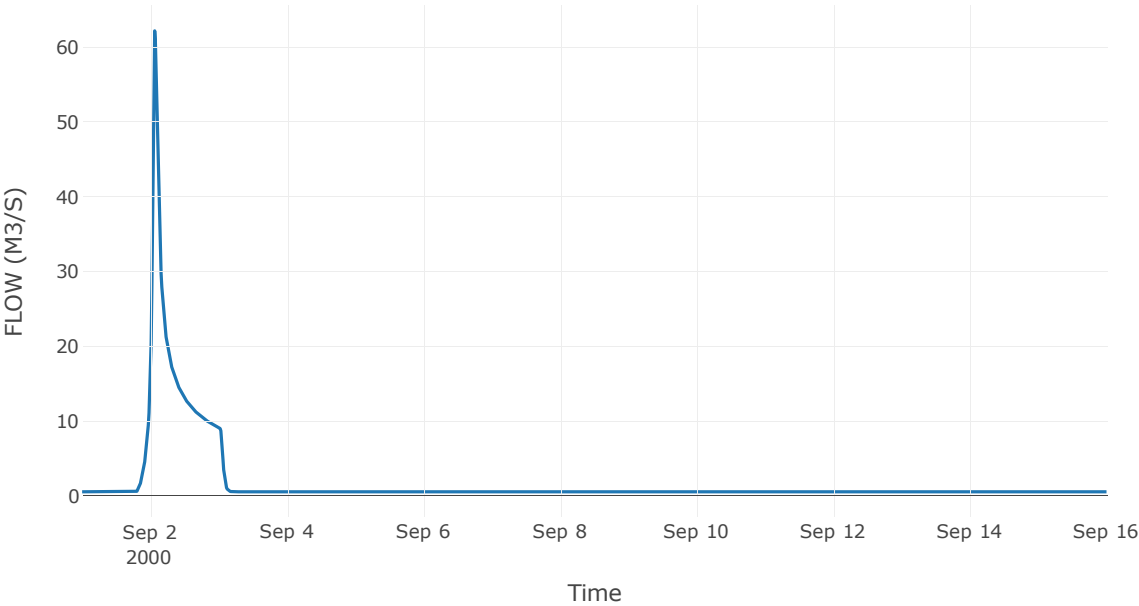
Απορροή



Αποτελέσματα:
R232

Παροχή αιχμής (M3/S)	62.15
Χρονική στιγμή αιχμής	02Sep2000, 01:30
Όγκος (MM)	105.52
Παροχή Αιχμής Εισόδου (M3/S)	62.24
Όγκος Εισροής (M3)	2.38E6

Απορροή



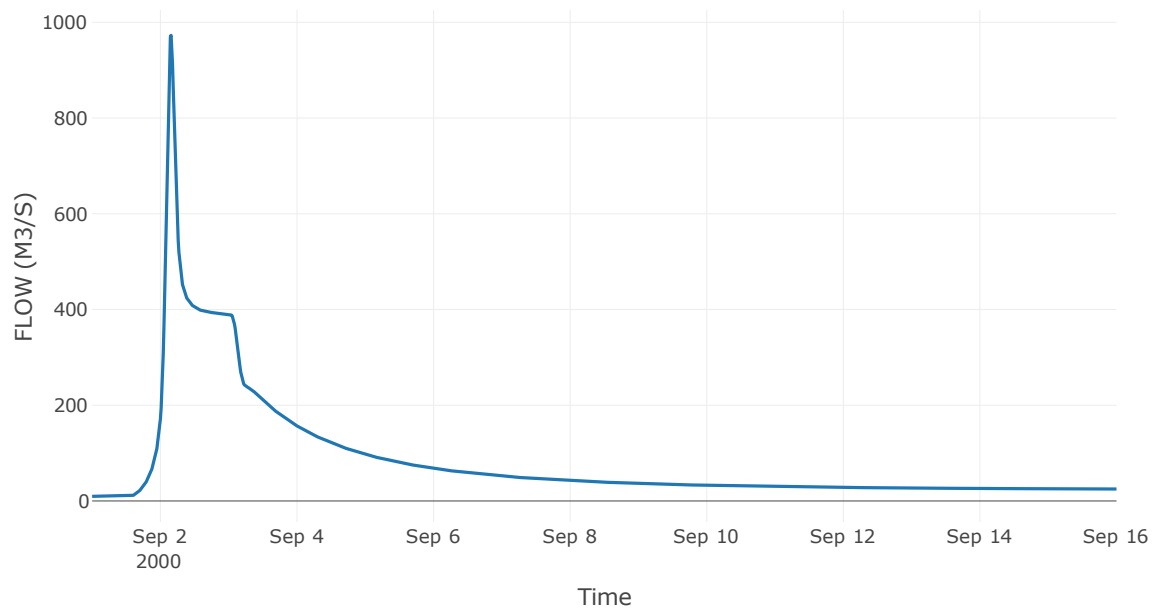
6.3 Δεδομένα και Υδρογραφήματα Σχεδιασμού Κόμβων Υδρογραφικού Δικτύου

Κόμβος εξόδου: J1

Αποτέλεσμα
τα: J1

Παροχή αιχμής (M3/S)	972.63
Χρονική στιγμή αιχμής	02Sep2000, 03:45
Όγκος (MM)	116.65

Απορροή



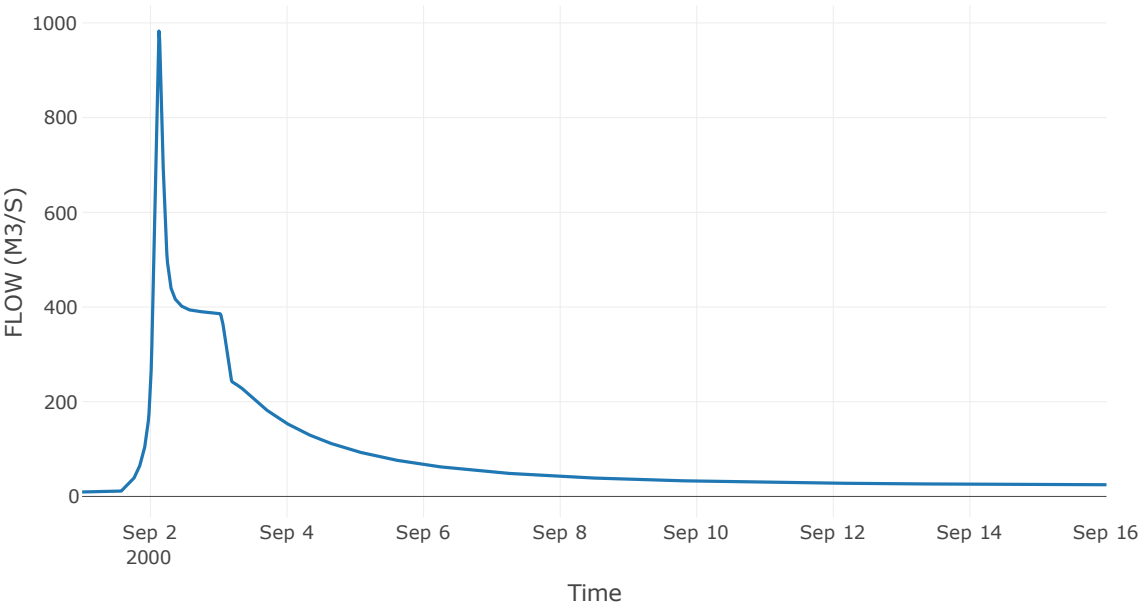
Κόμβος: J2

Κατάντη : R21

Αποτελέσματα: J2

Παροχή Αιχμής(M3/S)	982.91
Χρονική στιγμή αιχμής	02Sep2000, 03:00
Όγκος (MM)	116.77

Απορροή



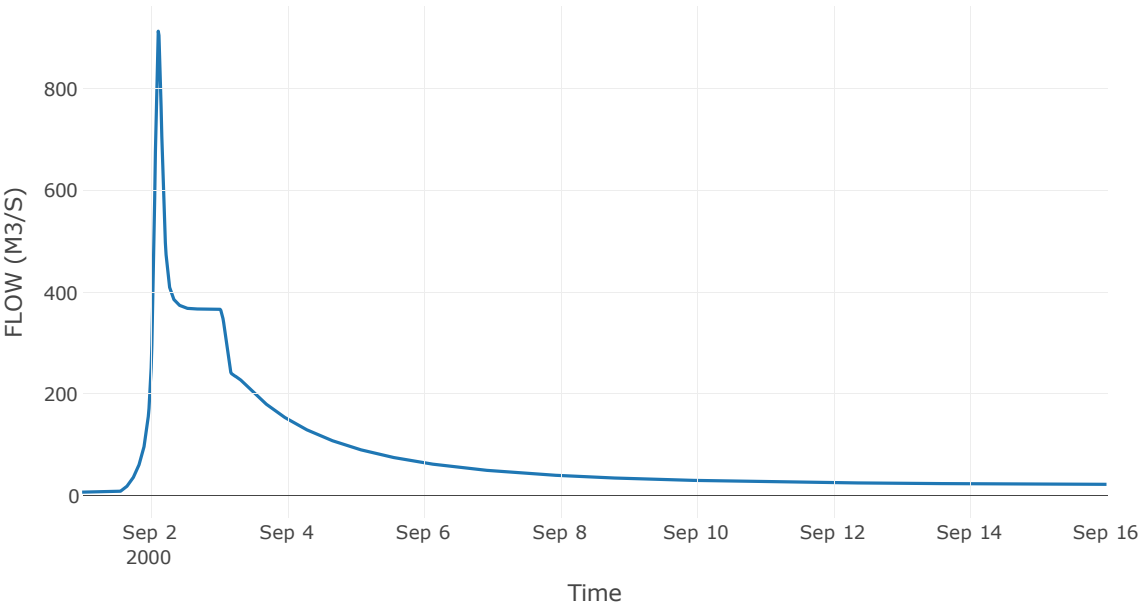
Κόμβος: J3

Κατάντη : R32

Αποτελέσματα: J3

Παροχή Αιχμής(M3/S)	913.2
Χρονική στιγμή αιχμής	02Sep2000, 02:45
Όγκος (MM)	118.46

Απορροή



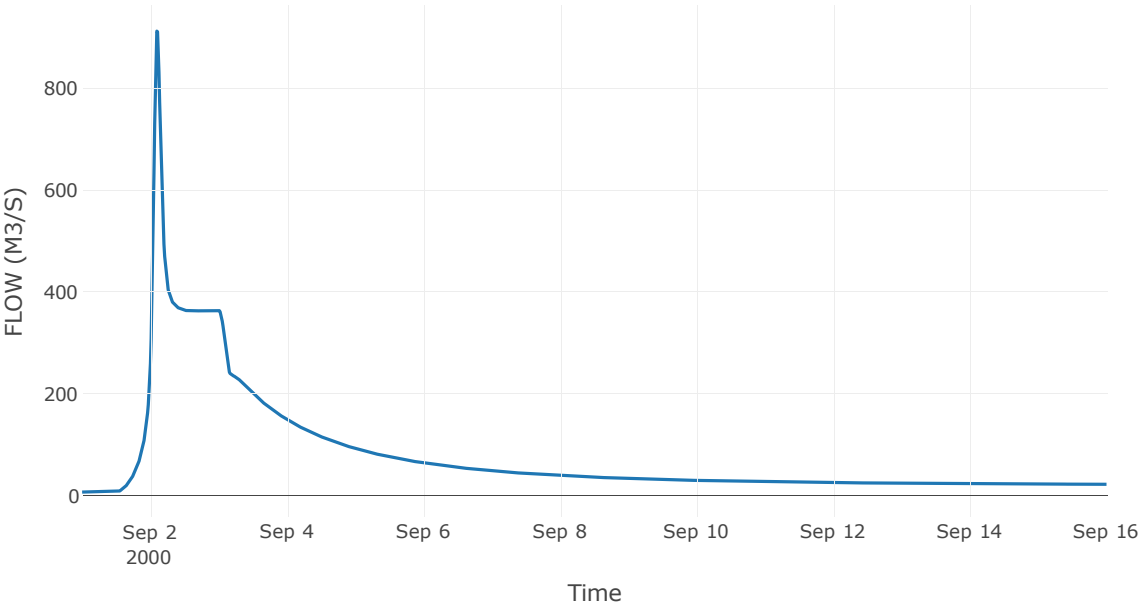
Κόμβος: J4

Κατάντη : R43

Αποτελέσματα: J4

Παροχή Αιχμής(M3/S)	912.84
Χρονική στιγμή αιχμής	02Sep2000, 02:15
Όγκος (MM)	118.81

Απορροή



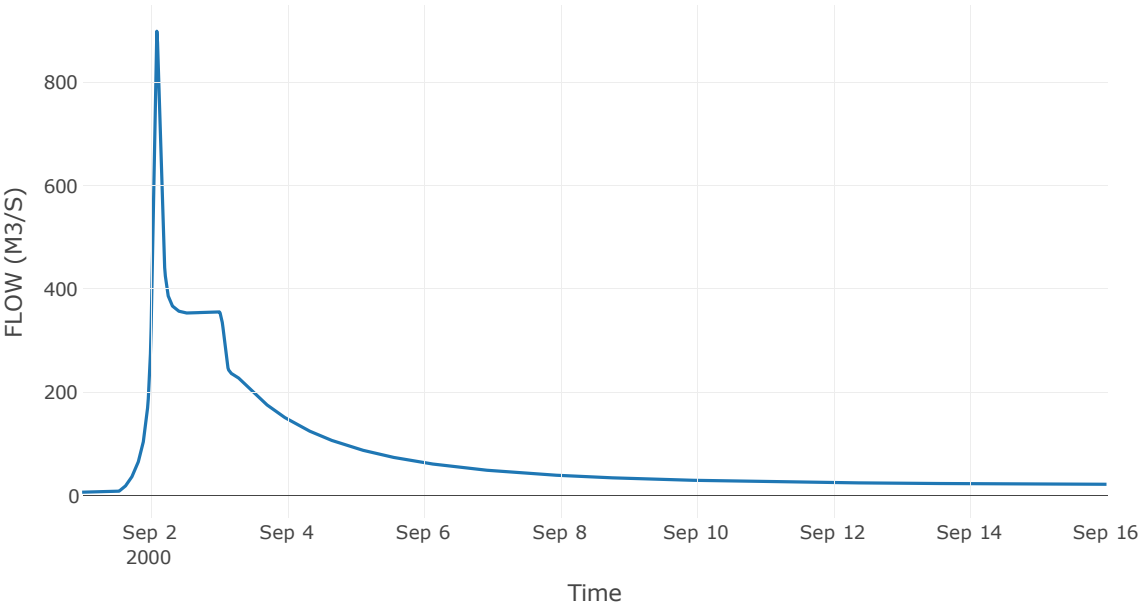
Κόμβος: J5

Κατάντη : R54

Αποτελέσματα: J5

Παροχή Αιχμής(M3/S)	899.16
Χρονική στιγμή αιχμής	02Sep2000, 02:15
Όγκος (MM)	120.34

Απορροή



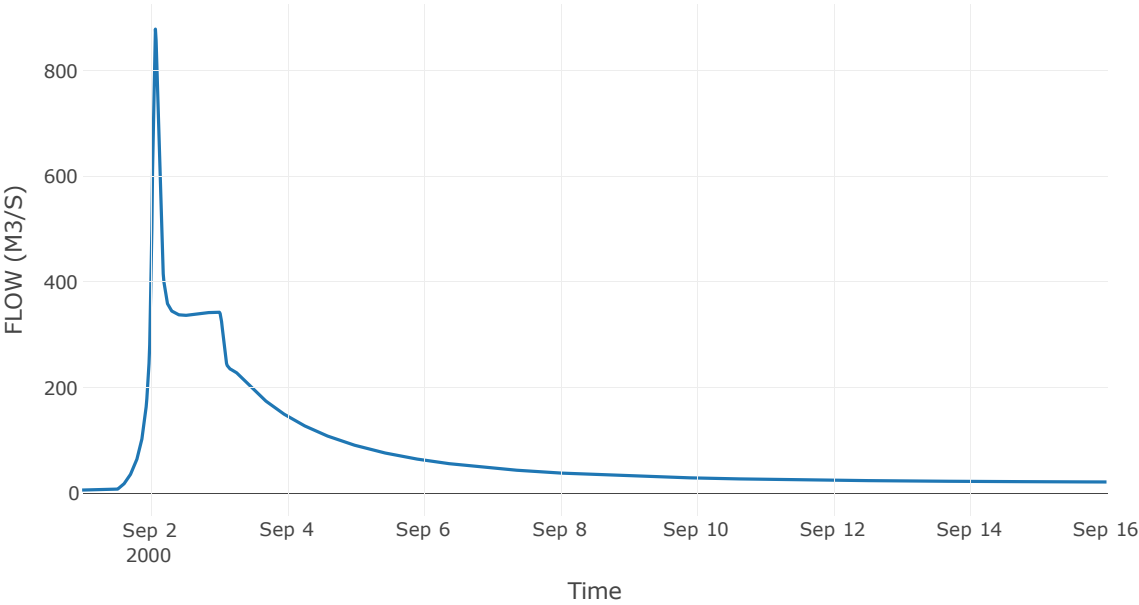
Κόμβος: J6

Κατάντη : R65

Αποτελέσματα: J6

Παροχή Αιχμής(M3/S)	879.08
Χρονική στιγμή αιχμής	02Sep2000, 01:45
Όγκος (MM)	122.31

Απορροή



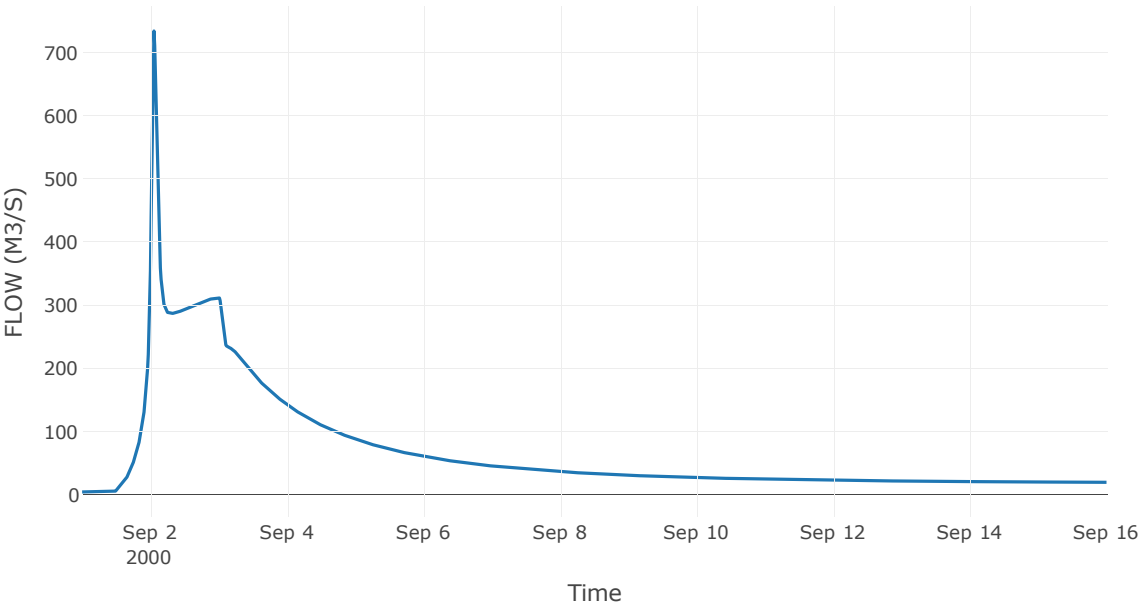
Κόμβος: J7

Κατάντη : R76

Αποτελέσματα: J7

Παροχή Αιχμής(M3/S)	734.08
Χρονική στιγμή αιχμής	02Sep2000, 01:15
Όγκος (MM)	123.92

Απορροή



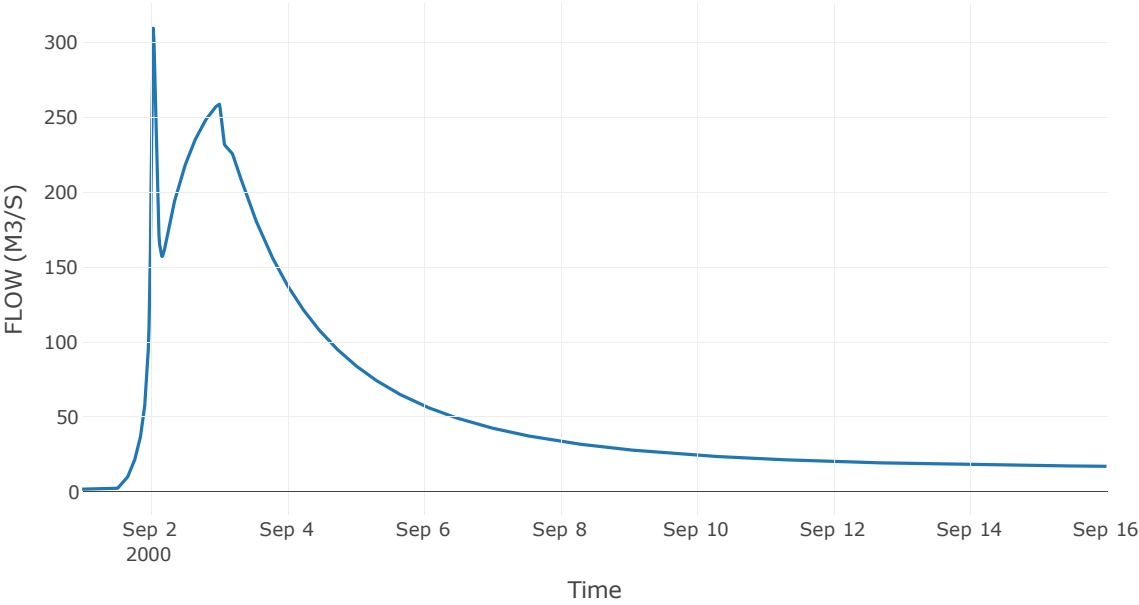
Κόμβος: J8

Κατάντη : R87

Αποτελέσματα: J8

Παροχή Αιχμής(M3/S)	309.67
Χρονική στιγμή αιχμής	02Sep2000, 01:00
Όγκος (MM)	118.25

Απορροή



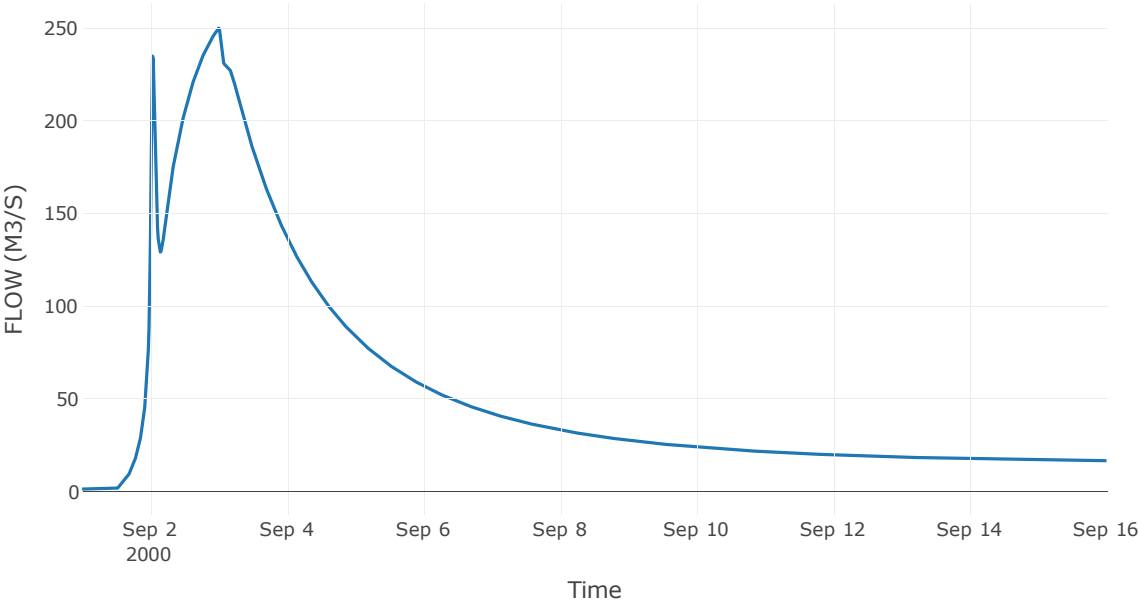
Κόμβος: J9

Κατάντη : R98

Αποτελέσματα: J9

Παροχή Αιχμής(M3/S)	249.92
Χρονική στιγμή αιχμής	02Sep2000, 24:00
Όγκος (MM)	117.51

Απορροή



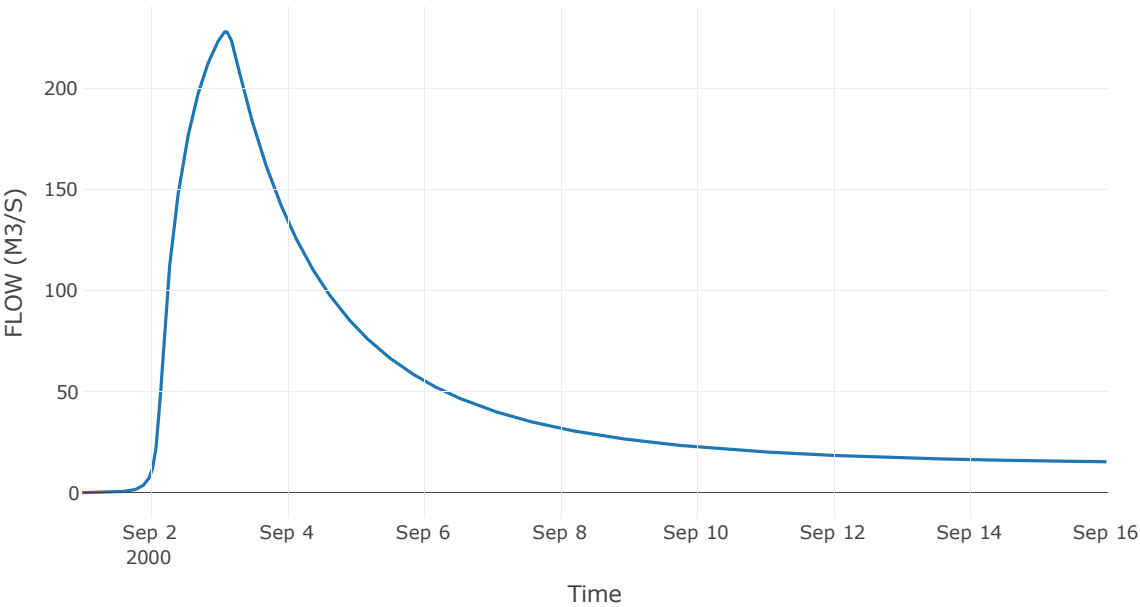
Reservoir: J10_RES1

Κατάντη : R109

Αποτελέσματα: J10_RES1

Παροχή Αιχμής(M3/S)	227.92
Χρονική στιγμή αιχμής	03Sep2000, 02:30
Όγκος (MM)	115.17
Παροχή Αιχμής Εισόδου (M3/S)	1209.25
Time of Peak Inflow	02Sep2000, 04:00
Όγκος Εισροής (M3)	7.11E7
Maximum Storage (M3)	8.09E8
Peak Elevation (M)	436.98
Discharge Όγκος (M3)	6.46E7

Απορροή



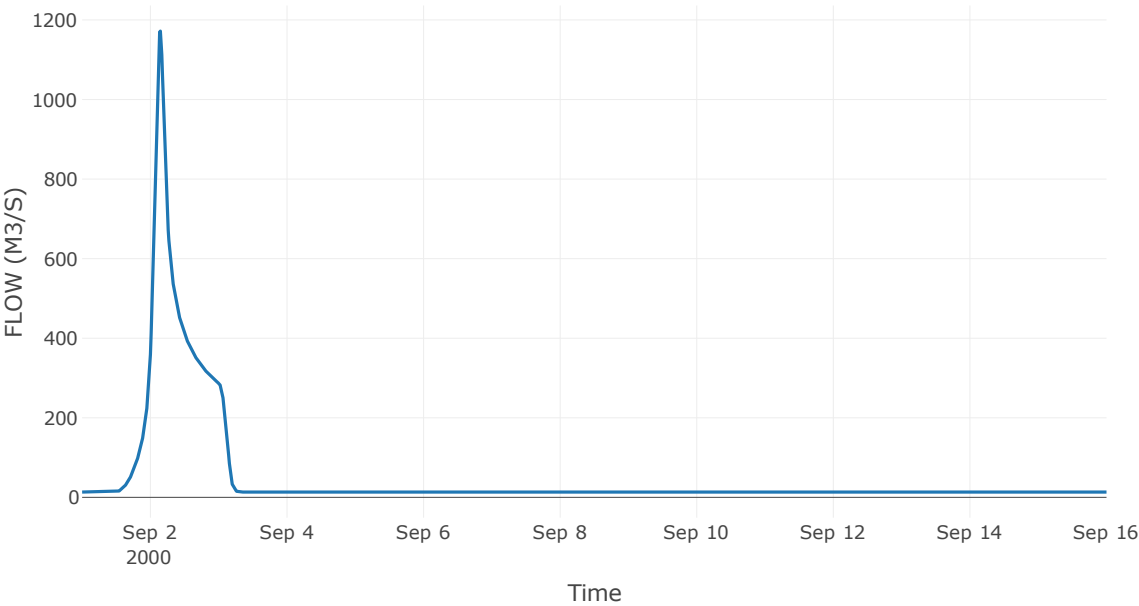
Κόμβος: J11

Κατάντη : R1110

Αποτελέσματα: J11

Παροχή Αιχμής(M3/S)	1171.92
Χρονική στιγμή αιχμής	02Sep2000, 03:30
Όγκος (MM)	126.06

Απορροή



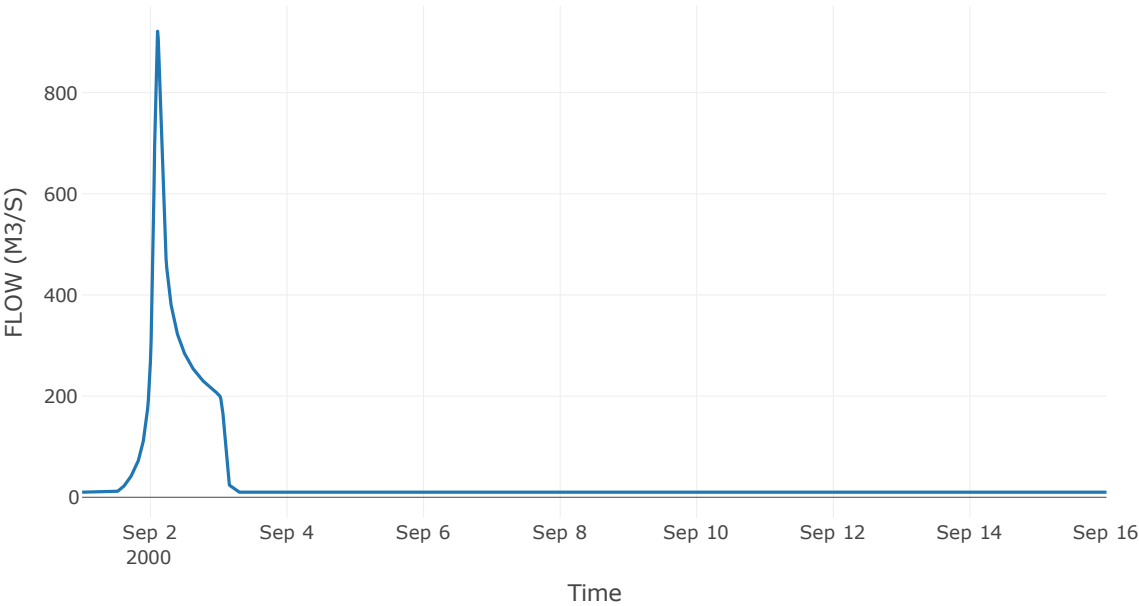
Κόμβος: J12

Κατάντη : R1211

Αποτελέσματα: J12

Παροχή Αιχμής(M3/S)	921.35
Χρονική στιγμή αιχμής	02Sep2000, 02:30
Όγκος (MM)	118.45

Απορροή



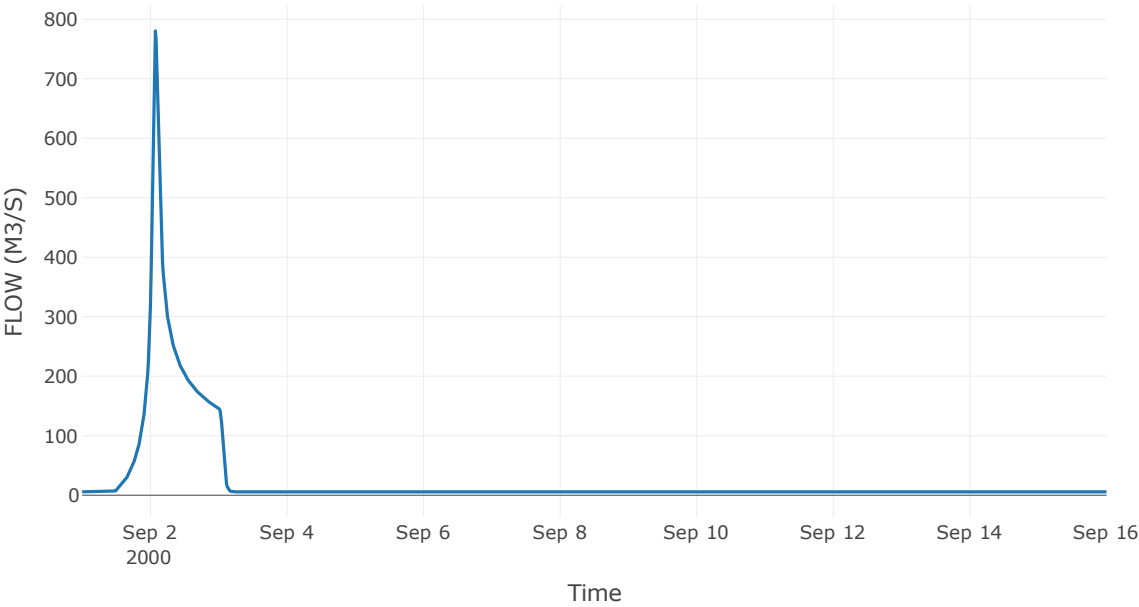
Κόμβος: J13

Κατάντη : R1312

Αποτελέσματα: J13

Παροχή Αιχμής(M3/S)	780.35
Χρονική στιγμή αιχμής	02Sep2000, 01:45
Όγκος (MM)	152.34

Απορροή



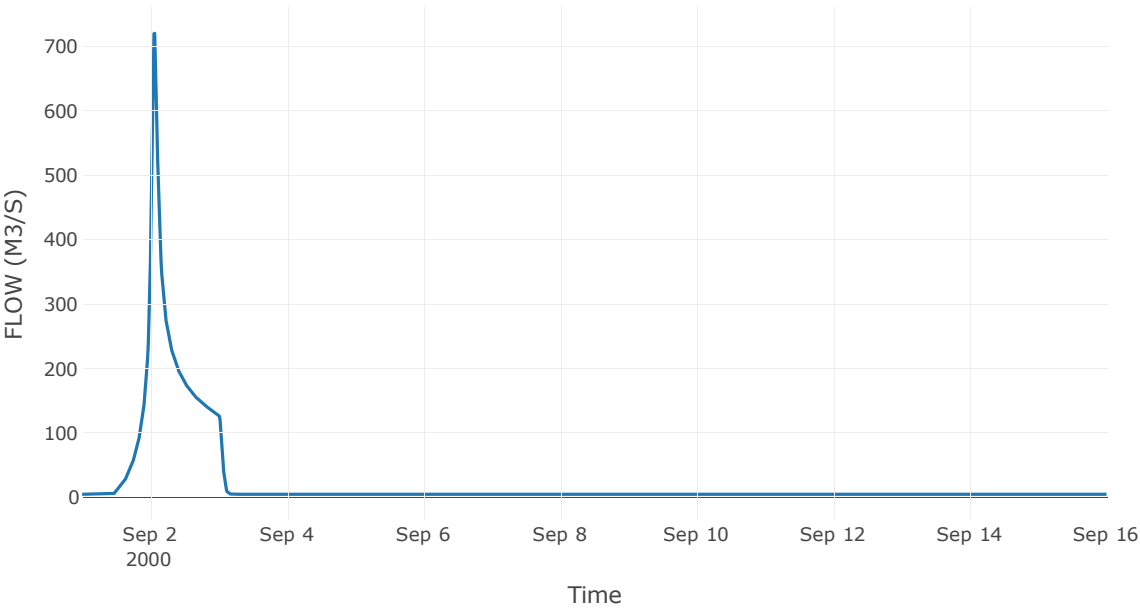
Κόμβος: J14

Κατάντη : R1413

Αποτελέσματα: J14

Παροχή Αιχμής(M3/S)	720.54
Χρονική στιγμή αιχμής	02Sep2000, 01:30
Όγκος (MM)	160.98

Απορροή



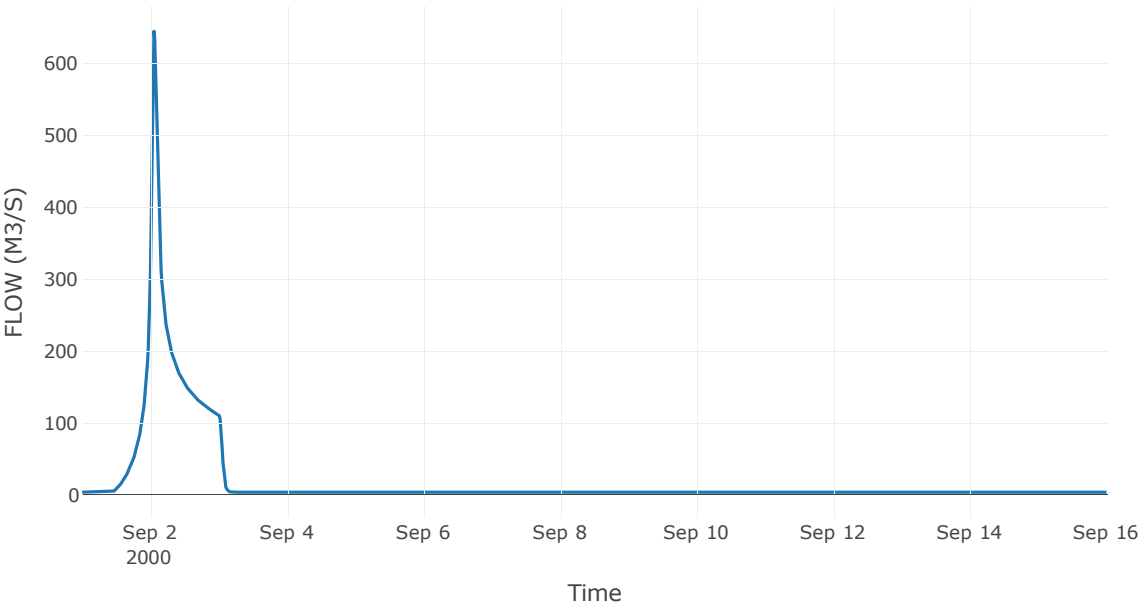
Κόμβος: J15

Κατάντη : R1514

Αποτελέσματα: J15

Παροχή Αιχμής(M3/S)	644.84
Χρονική στιγμή αιχμής	02Sep2000, 01:15
Όγκος (MM)	160.29

Απορροή



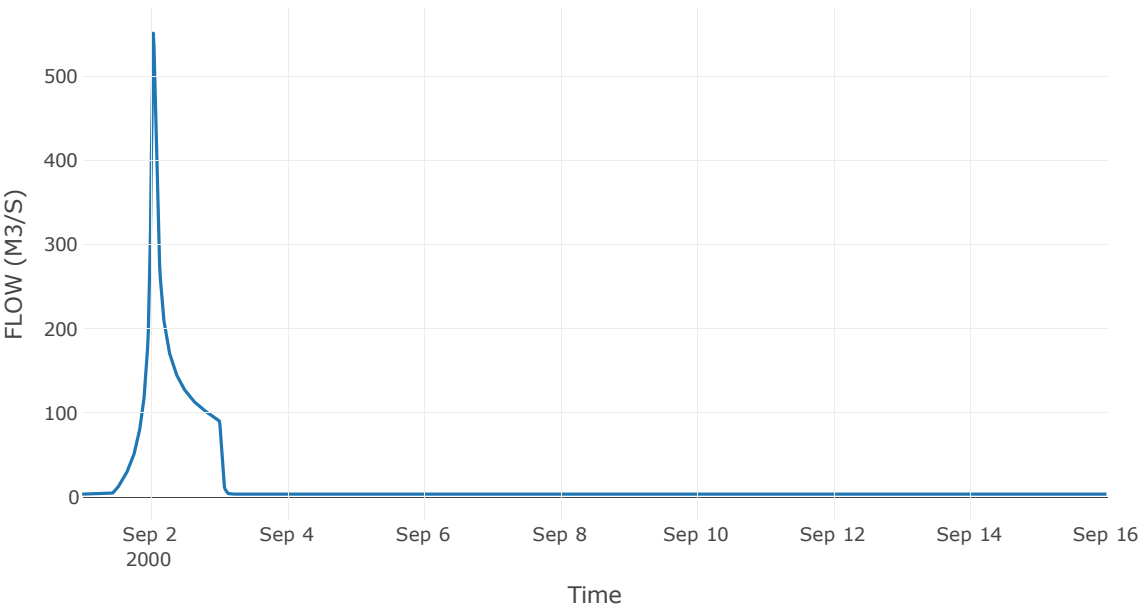
Κόμβος: J16

Κατάντη : R1615

Αποτελέσματα: J16

Παροχή Αιχμής(M3/S)	551.12
Χρονική στιγμή αιχμής	02Sep2000, 01:00
Όγκος (MM)	166.37

Απορροή



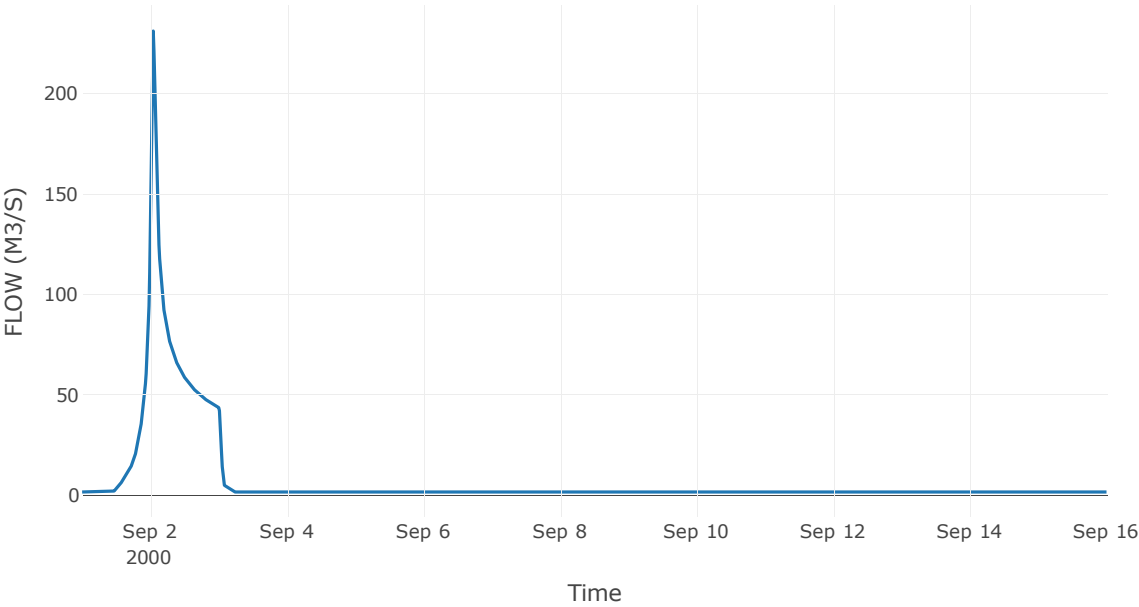
Κόμβος: J17

Κατάντη : R1716

Αποτελέσματα: J17

Παροχή Αιχμής(M3/S)	231.08
Χρονική στιγμή αιχμής	02Sep2000, 01:00
Όγκος (MM)	146.28

Απορροή



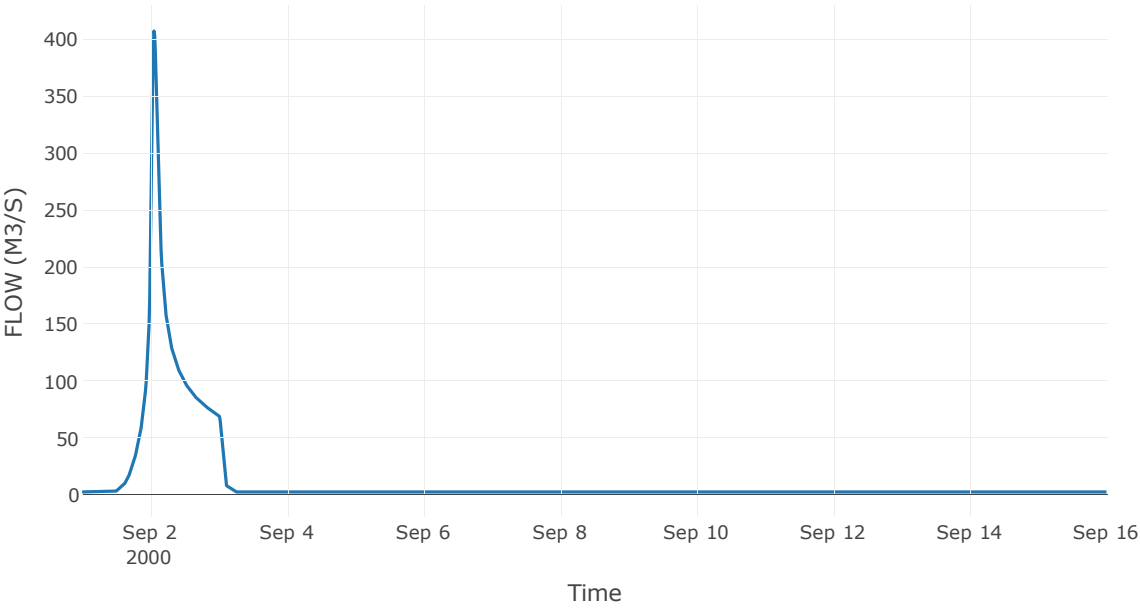
Κόμβος: J18

Κατάντη : R1811

Αποτελέσματα: J18

Παροχή Αιχμής(M3/S)	407.17
Χρονική στιγμή αιχμής	02Sep2000, 01:15
Όγκος (MM)	150.03

Απορροή



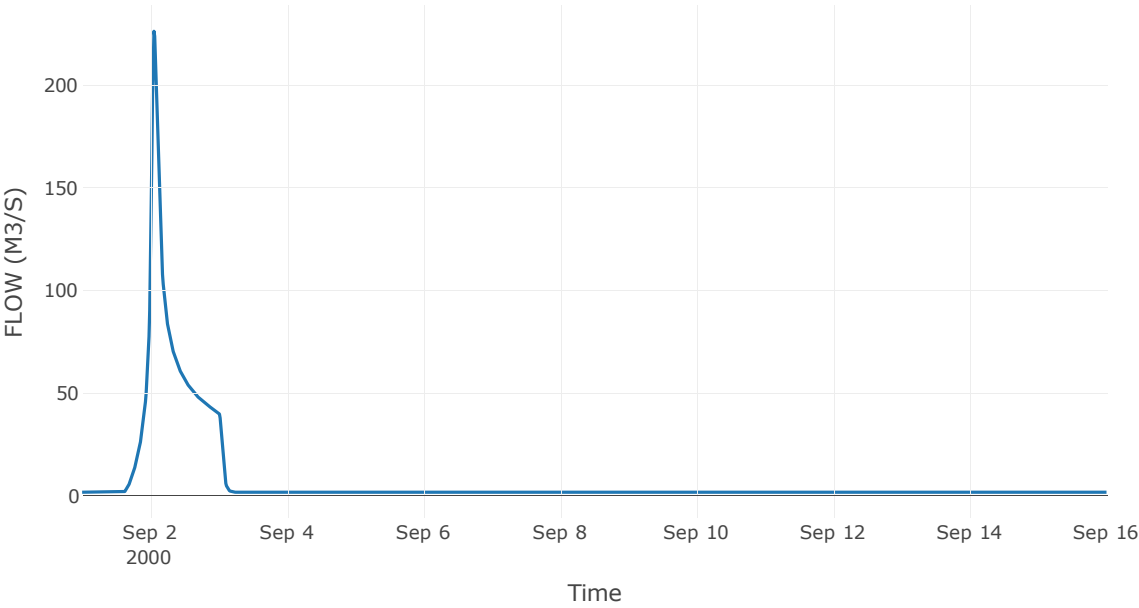
Κόμβος: J19

Κατάντη : R1918

Αποτελέσματα: J19

Παροχή Αιχμής(M3/S)	226.22
Χρονική στιγμή αιχμής	02Sep2000, 01:15
Όγκος (MM)	140.6

Απορροή



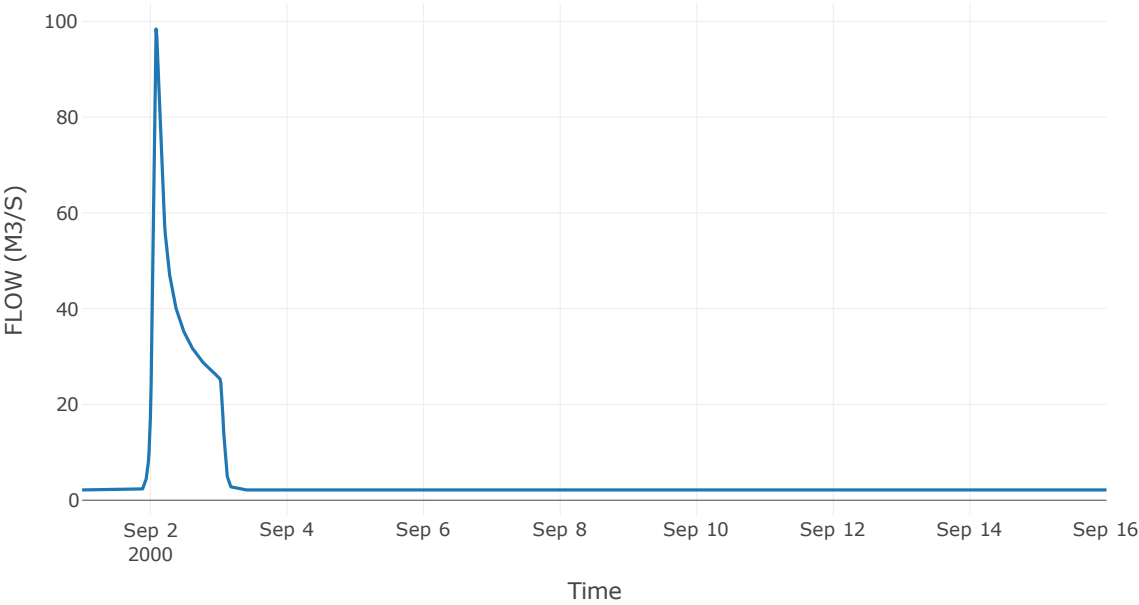
Κόμβος: J20

Κατάντη : R2012

Αποτελέσματα: J20

Παροχή Αιχμής(M3/S)	98.41
Χρονική στιγμή αιχμής	02Sep2000, 02:00
Όγκος (MM)	74.87

Απορροή



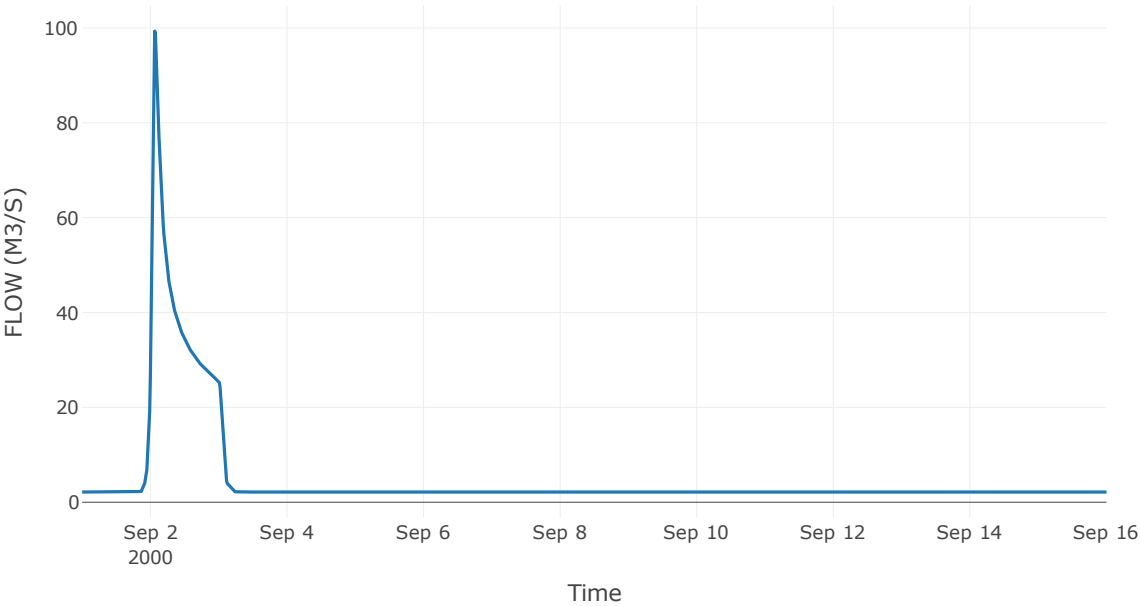
Κόμβος: J21

Κατάντη : R2120

Αποτελέσματα: J21

Παροχή Αιχμής(M3/S)	99.34
Χρονική στιγμή αιχμής	02Sep2000, 01:30
Όγκος (MM)	74.87

Απορροή



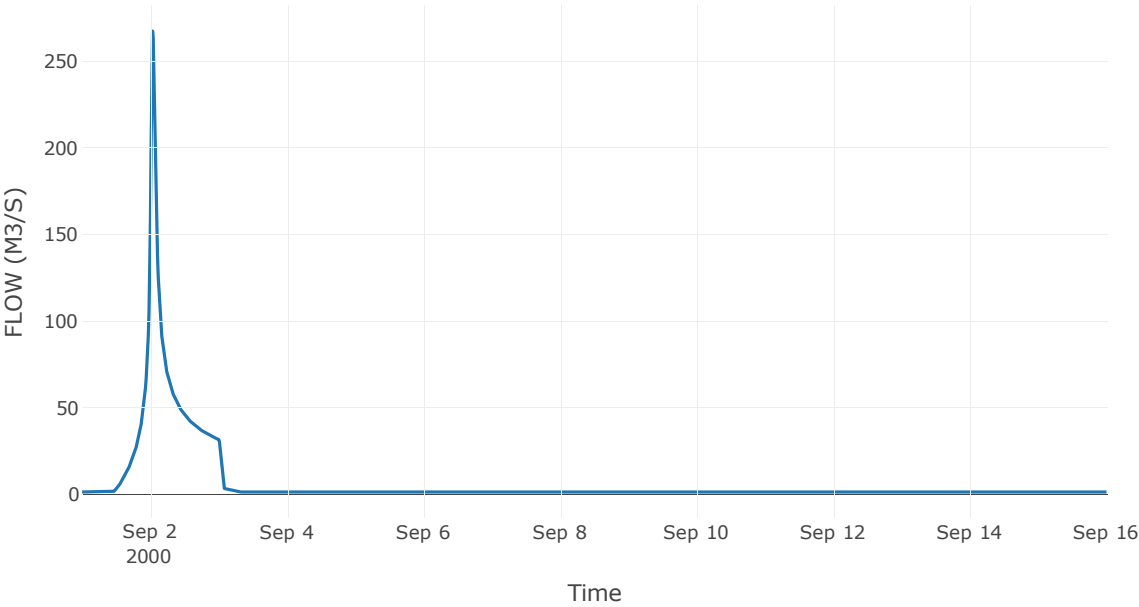
Κόμβος: J22

Κατάντη : R227

Αποτελέσματα: J22

Παροχή Αιχμής(M3/S)	267.58
Χρονική στιγμή αιχμής	02Sep2000, 00:45
Όγκος (MM)	167.34

Απορροή



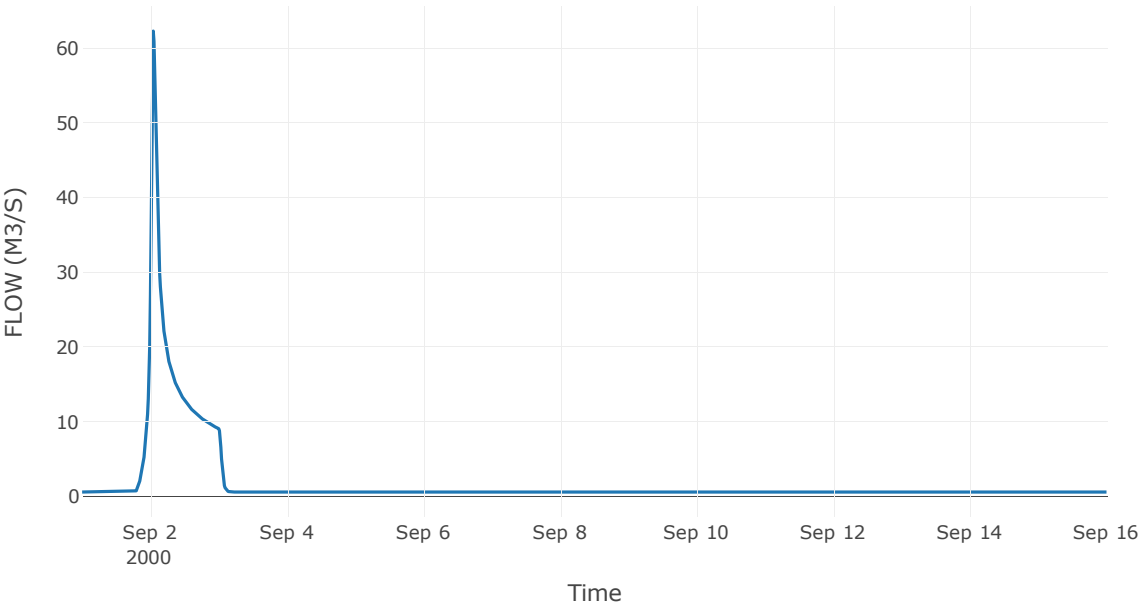
Κόμβος: J23

Κατάντη : R232

Αποτελέσματα: J23

Παροχή Αιχμής(M3/S)	62.24
Χρονική στιγμή αιχμής	02Sep2000, 01:00
Όγκος (MM)	105.52

Απορροή



7 Δεδομένα εισόδου και αποτελέσματα υδρολογικού σεναρίου T=100U

7.1 Αποτελέσματα, υετογραφήματα και υδρογραφήματα σχεδιασμού υπολεκανών

Υπολεκάνη: EL0421FR001001

Έκταση (KM2) : 7.91

Κατάντη : J1

Μέθοδος Απωλειών: SCS

Ποσοστό αδιαπέρατης επιφάνειας	0
Αριθμός Καμπύλης Απορροής-CN	85.74
Αρχικές Απώλειες	8.45

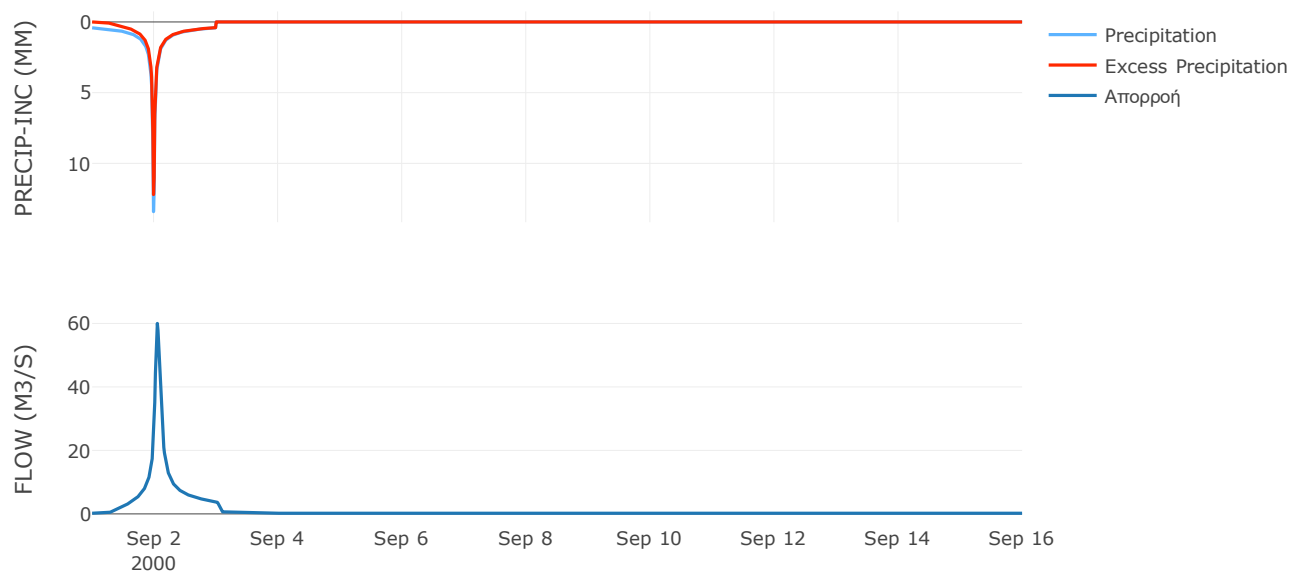
Μέθοδος
Μετασχηματισμού: SCS

Χρόνος Υστέρησης	70.16
------------------	-------

Αποτελέσματα:
EL0421FR001001

Παροχή αιχμής (M3/S)	60.01
Χρονική στιγμή αιχμής	02Sep2000, 01:15
Όγκος (MM)	210.53
Όγκος βροχόπτωσης (M3)	1.76E6
Όγκος απωλειών (M3)	3.46E5
Ενεργός Όγκος (M3)	1.41E6
Όγκος άμεσης απορροής (M3)	1.41E6
Όγκος βασικής απορροής (M3)	2.56E5

Βροχόπτωση και Απορροή



Υπολεκάνη: EL0421FR001002

Έκταση (KM2) : 7.13

Κατάντη : J2

Μέθοδος Απωλειών: SCS

Ποσοστό αδιαπέρατης επιφάνειας	0
Αριθμός Καμπύλης Απορροής-CN	74.89
Αρχικές Απώλειες	17.04

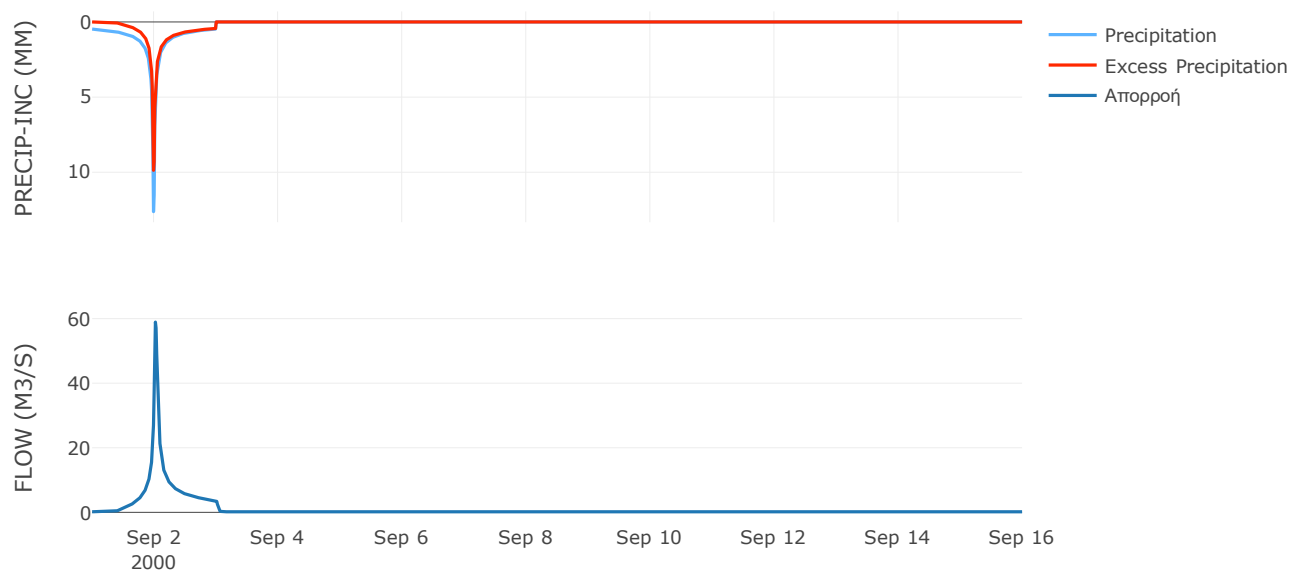
Μέθοδος
Μετασχηματισμού: SCS

Χρόνος Υστέρησης	32.34
------------------	-------

Αποτελέσματα:
EL0421FR001002

Παροχή αιχμής (M3/S)	58.92
Χρονική στιγμή αιχμής	02Sep2000, 00:30
Όγκος (MM)	189.92
Όγκος βροχόπτωσης (M3)	1.68E6
Όγκος απωλειών (M3)	5.59E5
Ενεργός Όγκος (M3)	1.12E6
Όγκος άμεσης απορροής (M3)	1.12E6
Όγκος βασικής απορροής (M3)	2.31E5

Βροχόπτωση και Απορροή



Υπολεκάνη: EL0421FR001003

Έκταση (KM2) : 10.09

Κατάντη : J3

Μέθοδος Απωλειών: SCS

Ποσοστό αδιαπέρατης επιφάνειας	0
Αριθμός Καμπύλης Απορροής-CN	79.83
Αρχικές Απώλειες	12.84

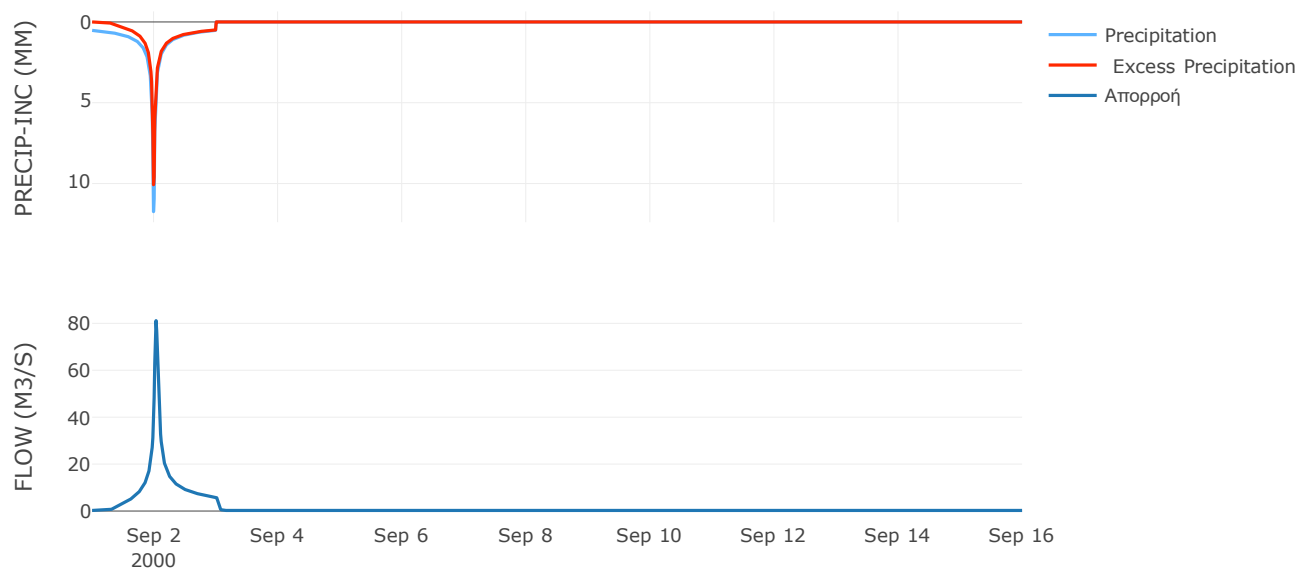
Μέθοδος
Μετασχηματισμού: SCS

Χρόνος Υστέρησης	42.34
------------------	-------

Αποτελέσματα:
EL0421FR001003

Παροχή αιχμής (M3/S)	81.16
Χρονική στιγμή αιχμής	02Sep2000, 00:45
Όγκος (MM)	214.41
Όγκος βροχόπτωσης (M3)	2.47E6
Όγκος απωλειών (M3)	6.37E5
Ενεργός Όγκος (M3)	1.84E6
Όγκος άμεσης απορροής (M3)	1.84E6
Όγκος βασικής απορροής (M3)	3.27E5

Βροχόπτωση και Απορροή



Υπολεκάνη: EL0421FR001004

Έκταση (KM2) : 2.73

Κατάντη : J4

Μέθοδος Απωλειών: SCS

Ποσοστό αδιαπέρατης επιφάνειας	0
Αριθμός Καμπύλης Απορροής-CN	84.8
Αρχικές Απώλειες	9.11

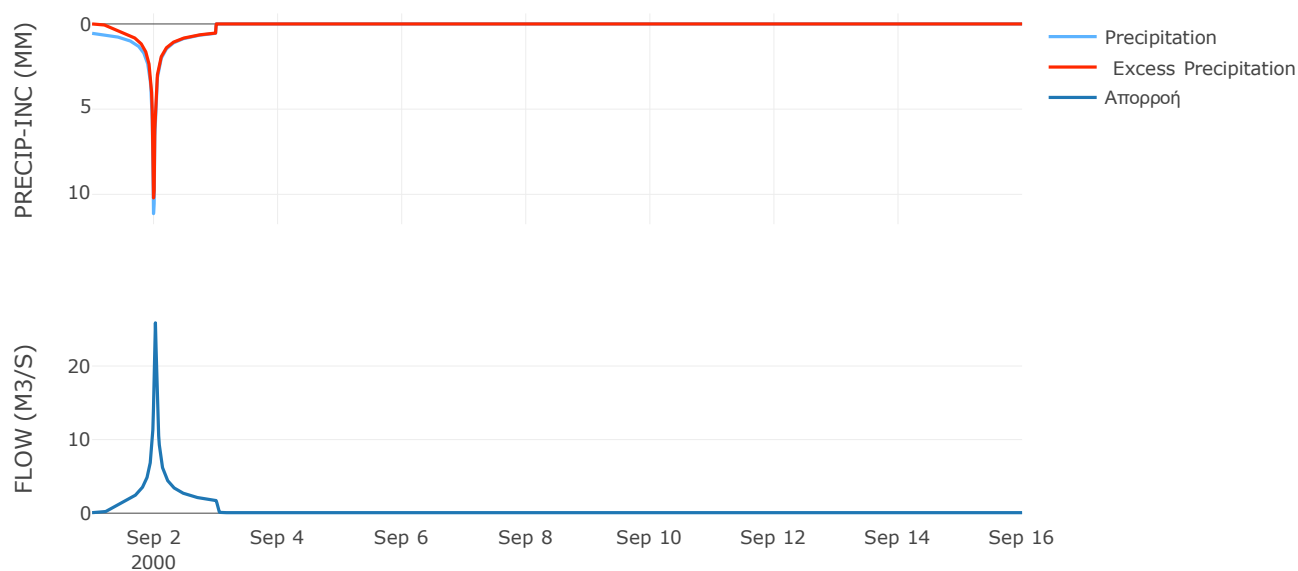
Μέθοδος
Μετασχηματισμού: SCS

Χρόνος Υστέρησης	24.08
------------------	-------

Αποτελέσματα:
EL0421FR001004

Παροχή αιχμής (M3/S)	25.87
Χρονική στιγμή αιχμής	02Sep2000, 00:30
Όγκος (MM)	234.71
Όγκος βροχόπτωσης (M3)	6.82E5
Όγκος απωλειών (M3)	1.29E5
Ενεργός Όγκος (M3)	5.52E5
Όγκος άμεσης απορροής (M3)	5.52E5
Όγκος βασικής απορροής (M3)	88444.22

Βροχόπτωση και Απορροή



Υπολεκάνη: EL0421FR001005

Έκταση (KM2) : 18.09

Κατάντη : J5

Μέθοδος Απωλειών: SCS

Ποσοστό αδιαπέρατης επιφάνειας	0
Αριθμός Καμπύλης Απορροής-CN	77.59
Αρχικές Απώλειες	14.68

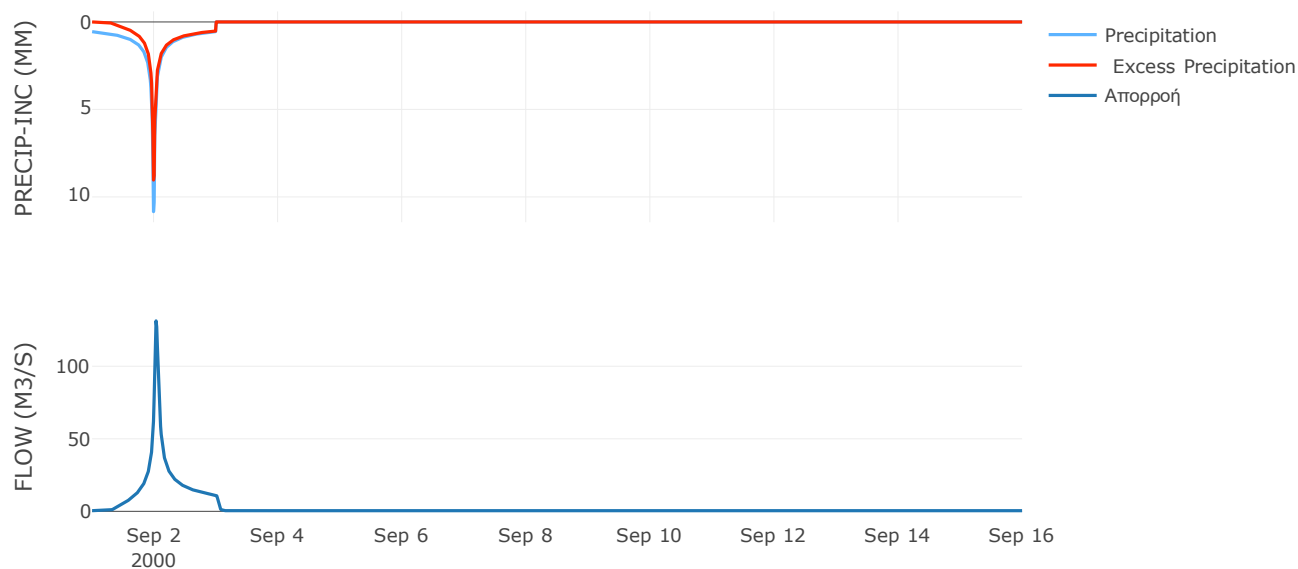
Μέθοδος
Μετασχηματισμού: SCS

Χρόνος Υστέρησης	44.96
------------------	-------

Αποτελέσματα:
EL0421FR001005

Παροχή αιχμής (M3/S)	131.27
Χρονική στιγμή αιχμής	02Sep2000, 00:45
Όγκος (MM)	210.39
Όγκος βροχόπτωσης (M3)	4.5E6
Όγκος απωλειών (M3)	1.28E6
Ενεργός Όγκος (M3)	3.22E6
Όγκος άμεσης απορροής (M3)	3.22E6
Όγκος βασικής απορροής (M3)	5.86E5

Βροχόπτωση και Απορροή



Υπολεκάνη: EL0421FR001006

Έκταση (KM2) : 33.49

Κατάντη : J6

Μέθοδος Απωλειών: SCS

Ποσοστό αδιαπέρατης επιφάνειας	0
Αριθμός Καμπύλης Απορροής-CN	85.25
Αρχικές Απώλειες	8.79

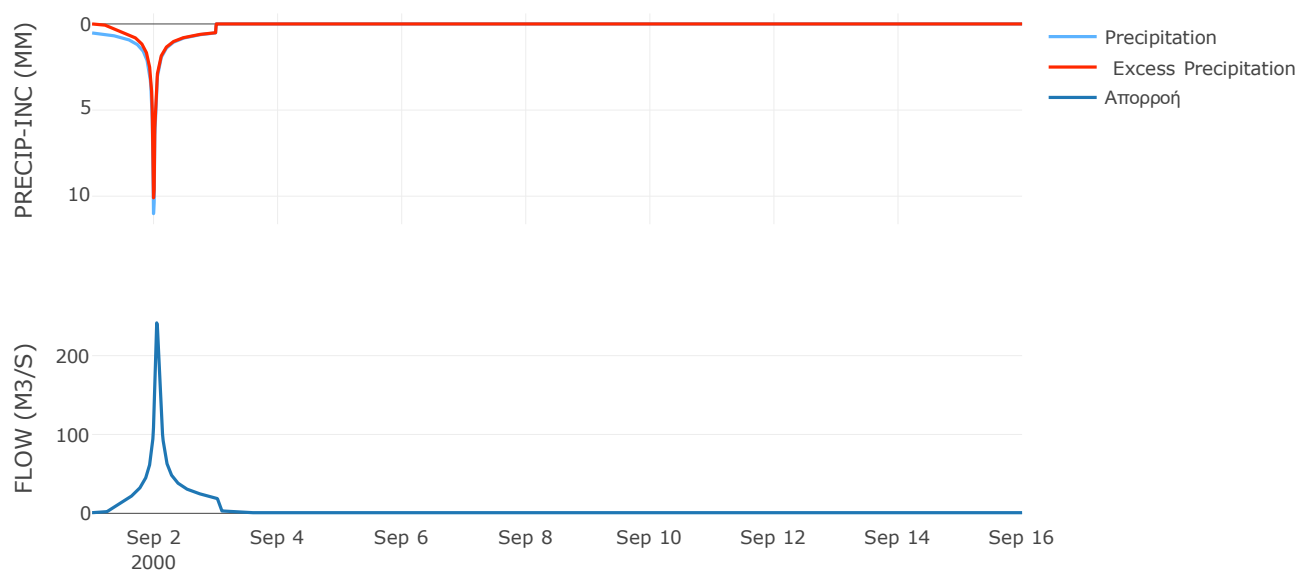
Μέθοδος
Μετασχηματισμού: SCS

Χρόνος Υστέρησης	61.29
------------------	-------

Αποτελέσματα:
EL0421FR001006

Παροχή αιχμής (M3/S)	241.59
Χρονική στιγμή αιχμής	02Sep2000, 01:00
Όγκος (MM)	227.17
Όγκος βροχόπτωσης (M3)	8.05E6
Όγκος απωλειών (M3)	1.53E6
Ενεργός Όγκος (M3)	6.52E6
Όγκος άμεσης απορροής (M3)	6.52E6
Όγκος βασικής απορροής (M3)	1.08E6

Βροχόπτωση και Απορροή



Υπολεκάνη: EL0421FR001007

Έκταση (KM2) : 33.81

Κατάντη : J7

Μέθοδος Απωλειών: SCS

Ποσοστό αδιαπέρατης επιφάνειας	0
Αριθμός Καμπύλης Απορροής-CN	91.18
Αρχικές Απώλειες	4.91

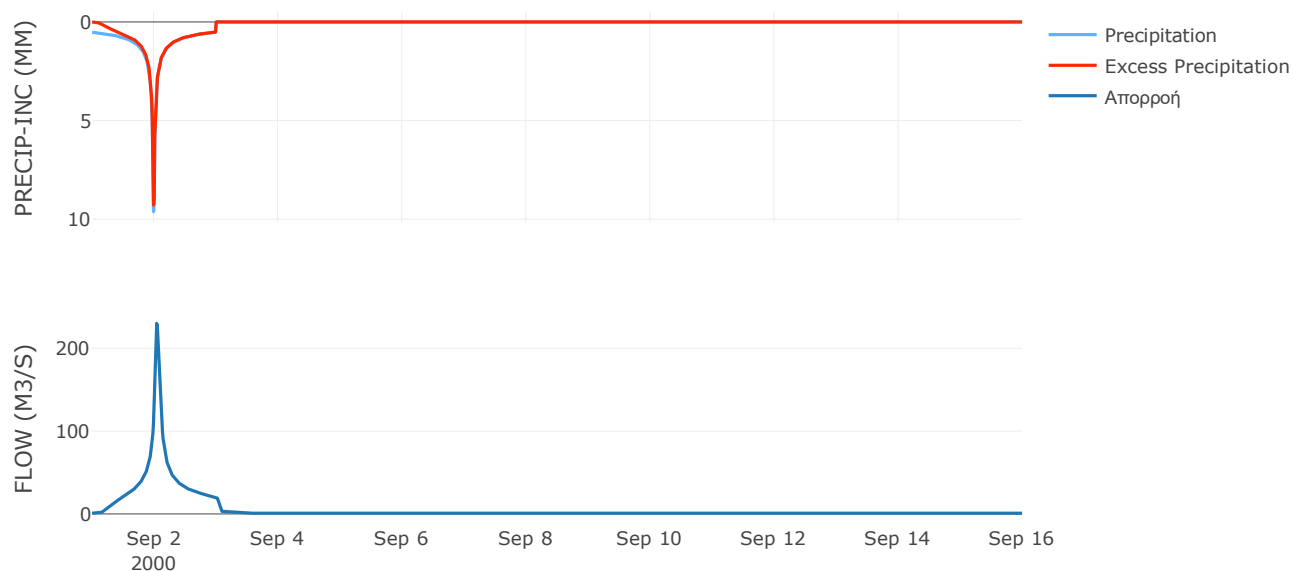
Μέθοδος
Μετασχηματισμού: SCS

Χρόνος Υστέρησης	61.61
------------------	-------

Αποτελέσματα:
EL0421FR001007

Παροχή αιχμής (M3/S)	230.11
Χρονική στιγμή αιχμής	02Sep2000, 01:00
Όγκος (MM)	234.16
Όγκος βροχόπτωσης (M3)	7.74E6
Όγκος απωλειών (M3)	9.15E5
Ενεργός Όγκος (M3)	6.82E6
Όγκος άμεσης απορροής (M3)	6.82E6
Όγκος βασικής απορροής (M3)	1.1E6

Βροχόπτωση και Απορροή



Υπολεκάνη: EL0421FR001008

Έκταση (KM2) : 8.14

Κατάντη : J8

Μέθοδος Απωλειών: SCS

Ποσοστό αδιαπέρατης επιφάνειας	0
Αριθμός Καμπύλης Απορροής-CN	88.4
Αρχικές Απώλειες	6.67

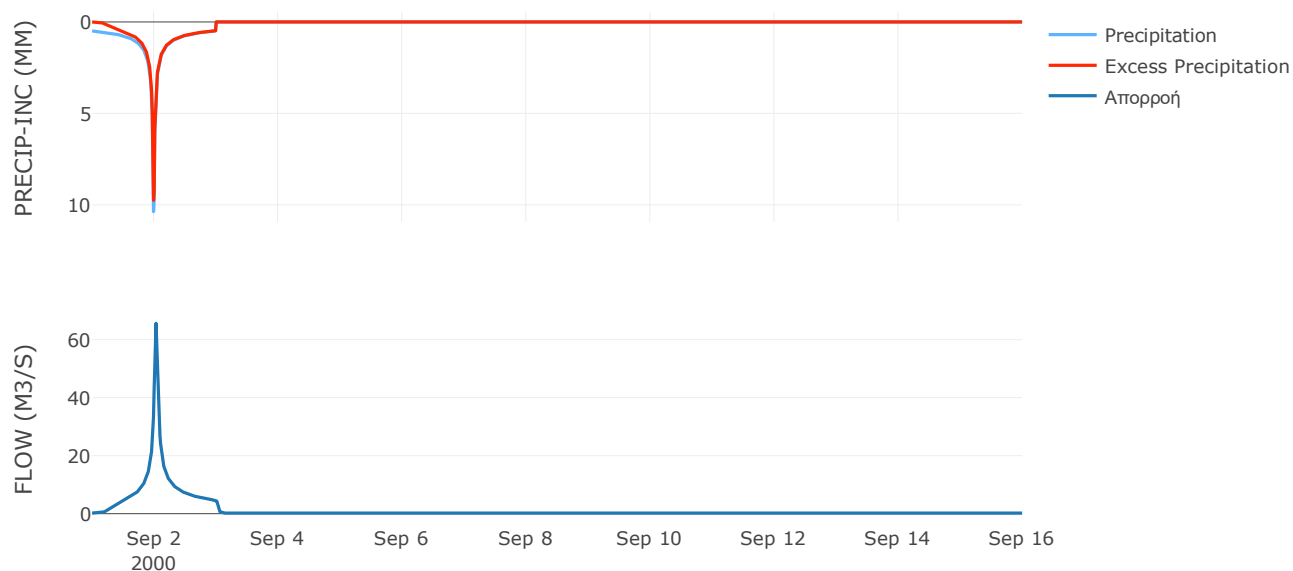
Μέθοδος
Μετασχηματισμού: SCS

Χρόνος Υστέρησης	37.14
------------------	-------

Αποτελέσματα:
EL0421FR001008

Παροχή αιχμής (M3/S)	65.64
Χρονική στιγμή αιχμής	02Sep2000, 00:45
Όγκος (MM)	222.26
Όγκος βροχόπτωσης (M3)	1.84E6
Όγκος απωλειών (M3)	2.9E5
Ενεργός Όγκος (M3)	1.55E6
Όγκος άμεσης απορροής (M3)	1.55E6
Όγκος βασικής απορροής (M3)	2.64E5

Βροχόπτωση και Απορροή



Υπολεκάνη: EL0421FR001009

Έκταση (KM2) : 9.96

Κατάντη : J9

Μέθοδος Απωλειών: SCS

Ποσοστό αδιαπέρατης επιφάνειας	0
Αριθμός Καμπύλης Απορροής-CN	90.33
Αρχικές Απώλειες	5.44

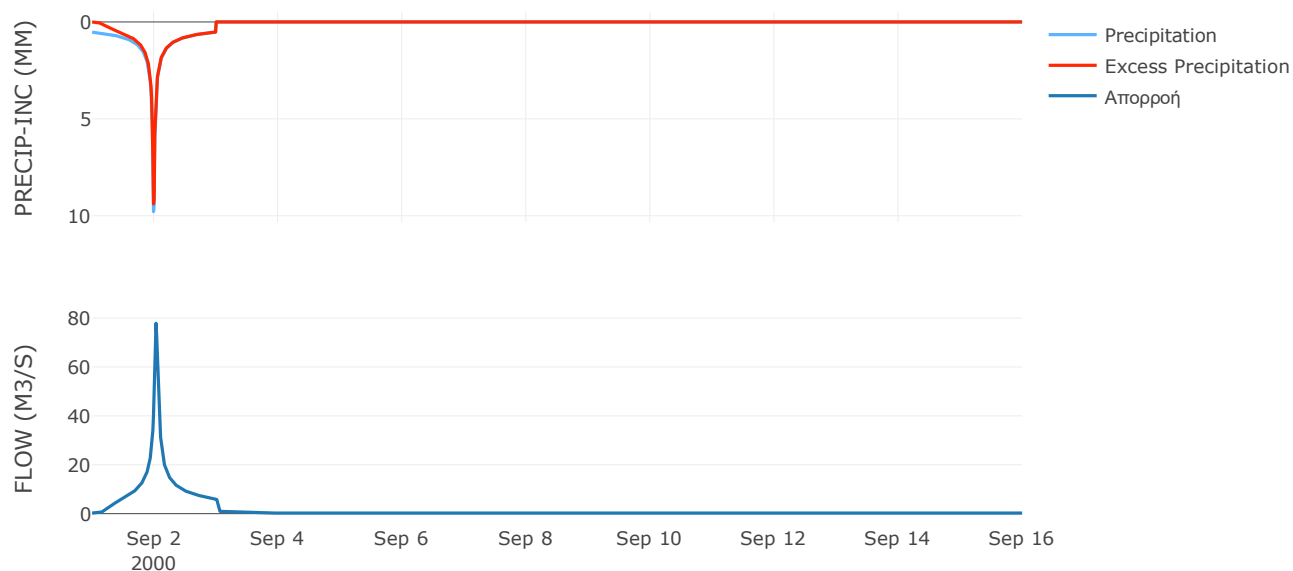
Μέθοδος
Μετασχηματισμού: SCS

Χρόνος Υστέρησης	40.22
------------------	-------

Αποτελέσματα:
EL0421FR001009

Παροχή αιχμής (M3/S)	77.89
Χρονική στιγμή αιχμής	02Sep2000, 00:45
Όγκος (MM)	234.94
Όγκος βροχόπτωσης (M3)	2.31E6
Όγκος απωλειών (M3)	2.96E5
Ενεργός Όγκος (M3)	2.02E6
Όγκος άμεσης απορροής (M3)	2.02E6
Όγκος βασικής απορροής (M3)	3.23E5

Βροχόπτωση και Απορροή



Υπολεκάνη: EL0421FR001010

Έκταση (KM2) : 28.77

Κατάνη : J10 Res1

Μέθοδος Απωλειών: SCS

Ποσοστό αδιαπέρατης επιφάνειας	0.14
Αριθμός Καμπύλης Απορροής-CN	90.2
Αρχικές Απώλειες	5.52

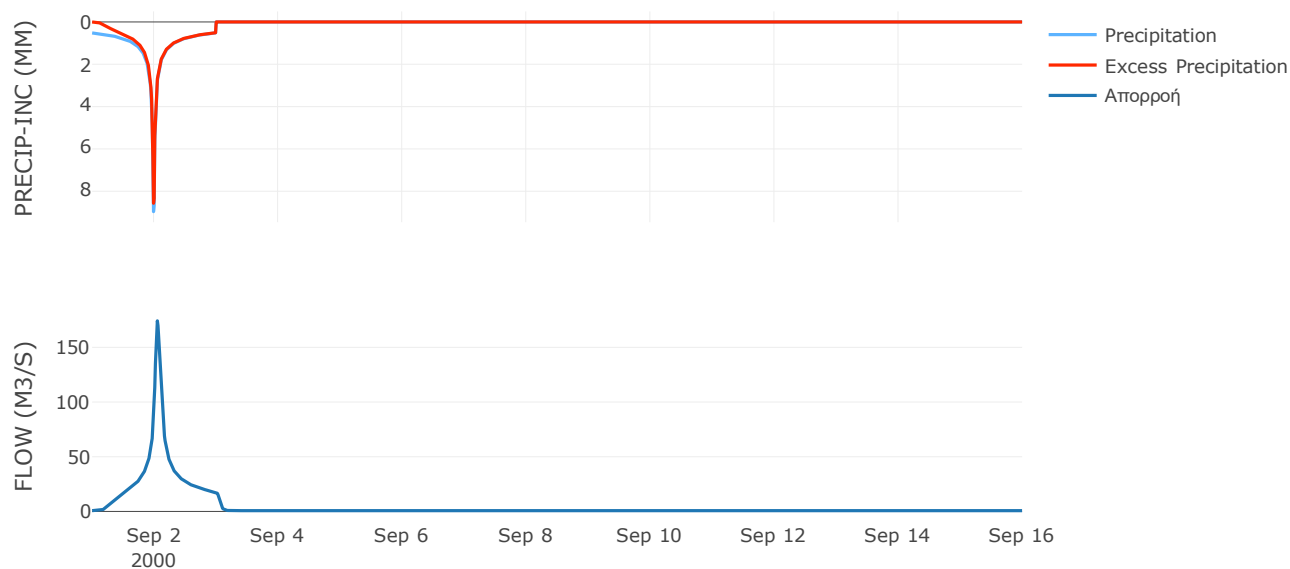
Μέθοδος
Μετασχηματισμού: SCS

Χρόνος Υστέρησης	71.73
------------------	-------

Αποτελέσματα:
EL0421FR001010

Παροχή αιχμής (M3/S)	174.26
Χρονική στιγμή αιχμής	02Sep2000, 01:15
Όγκος (MM)	225.69
Όγκος βροχόπτωσης (M3)	6.42E6
Όγκος απωλειών (M3)	8.62E5
Ενεργός Όγκος (M3)	5.56E6
Όγκος άμεσης απορροής (M3)	5.56E6
Όγκος βασικής απορροής (M3)	9.32E5

Βροχόπτωση και Απορροή



Υπολεκάνη: EL0421FR001011

Έκταση (KM2) : 2.42

Κατάντη : J11

Μέθοδος Απωλειών: SCS

Ποσοστό αδιαπέρατης επιφάνειας	0.38
Αριθμός Καμπύλης Απορροής-CN	89.68
Αρχικές Απώλειες	5.84

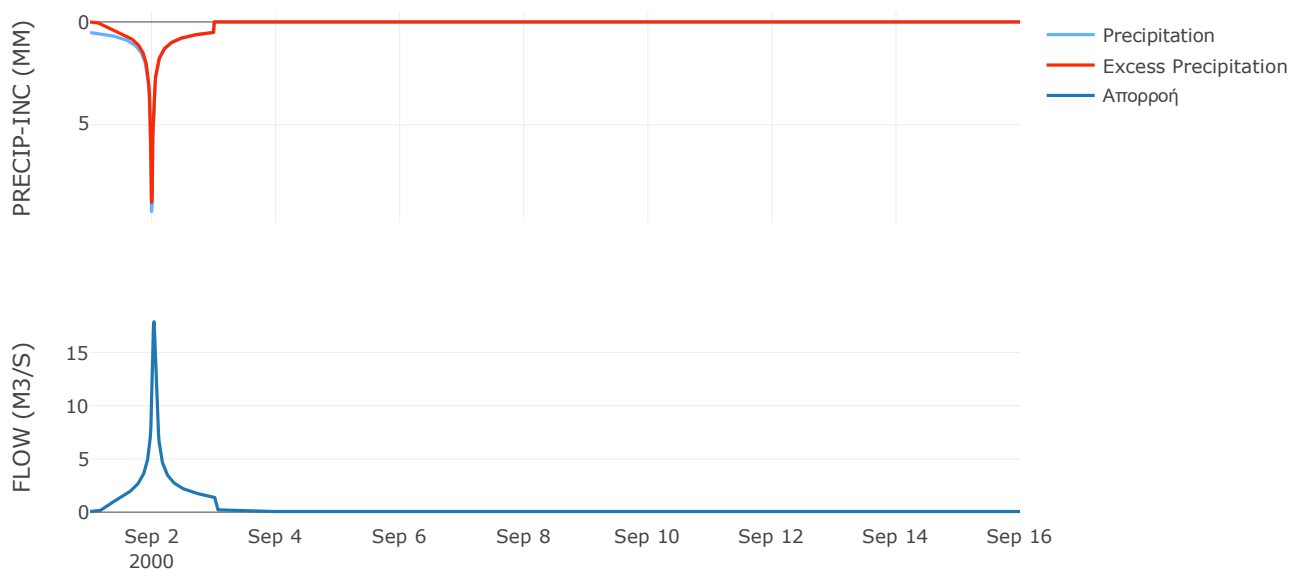
Μέθοδος
Μετασχηματισμού: SCS

Χρόνος Υστέρησης	39.32
------------------	-------

Αποτελέσματα:
EL0421FR001011

Παροχή αιχμής (M3/S)	17.89
Χρονική στιγμή αιχμής	02Sep2000, 00:45
Όγκος (MM)	225.67
Όγκος βροχόπτωσης (M3)	5.43E5
Όγκος απωλειών (M3)	76153.1
Ενεργός Όγκος (M3)	4.67E5
Όγκος άμεσης απορροής (M3)	4.67E5
Όγκος βασικής απορροής (M3)	78317.28

Βροχόπτωση και Απορροή



Υπολεκάνη: EL0421FR001012

Έκταση (KM2) : 33.86

Κατάντη : J12

Μέθοδος Απωλειών: SCS

Ποσοστό αδιαπέρατης επιφάνειας	0.09
Αριθμός Καμπύλης Απορροής-CN	79.54
Αρχικές Απώλειες	13.07

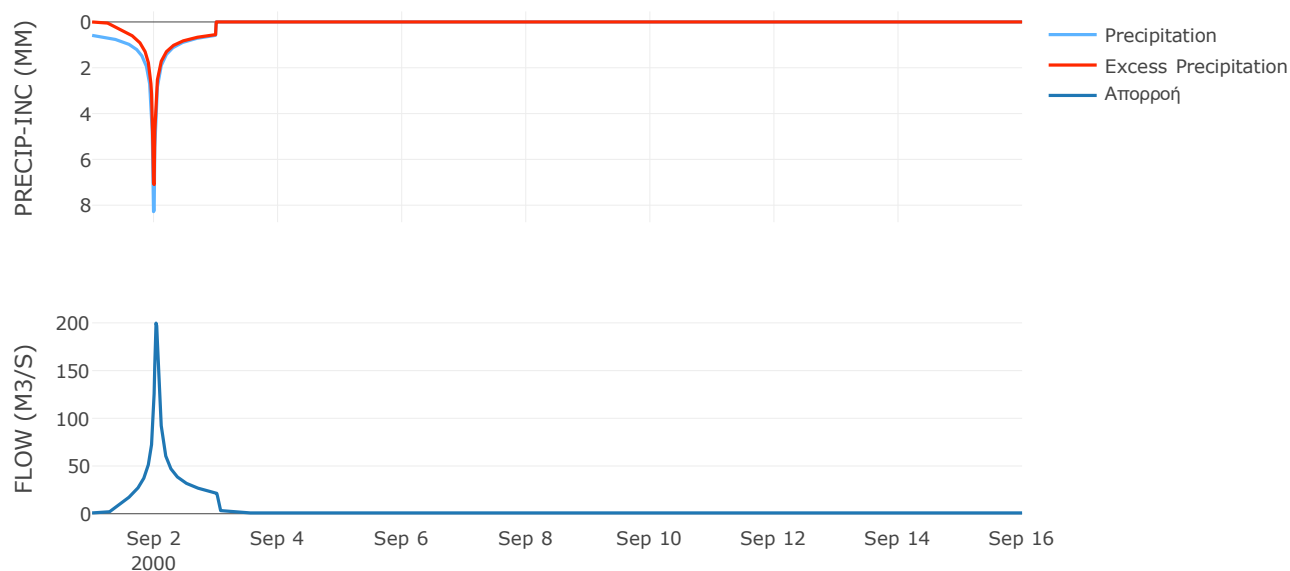
Μέθοδος
Μετασχηματισμού: SCS

Χρόνος Υστέρησης	46.9
------------------	------

Αποτελέσματα:
EL0421FR001012

Παροχή αιχμής (M3/S)	199.77
Χρονική στιγμή αιχμής	02Sep2000, 00:45
Όγκος (MM)	205.77
Όγκος βροχόπτωσης (M3)	8.02E6
Όγκος απωλειών (M3)	2.15E6
Ενεργός Όγκος (M3)	5.87E6
Όγκος άμεσης απορροής (M3)	5.87E6
Όγκος βασικής απορροής (M3)	1.1E6

Βροχόπτωση και Απορροή



Υπολεκάνη: EL0421FR001013

Έκταση (KM2) : 34.09

Κατάντη : J13

Μέθοδος Απωλειών: SCS

Ποσοστό αδιαπέρατης επιφάνειας	0
Αριθμός Καμπύλης Απορροής-CN	80.08
Αρχικές Απώλειες	12.64

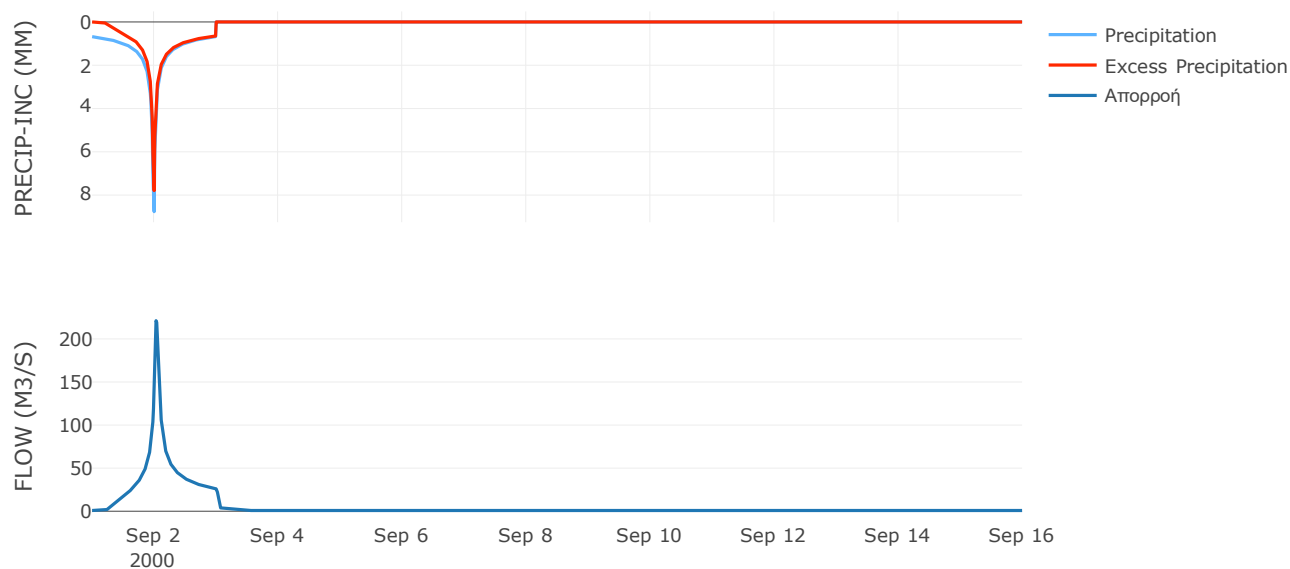
Μέθοδος
Μετασχηματισμού: SCS

Χρόνος Υστέρησης	47.79
------------------	-------

Αποτελέσματα:
EL0421FR001013

Παροχή αιχμής (M3/S)	221.14
Χρονική στιγμή αιχμής	02Sep2000, 00:45
Όγκος (MM)	235.45
Όγκος βροχόπτωσης (M3)	9.08E6
Όγκος απωλειών (M3)	2.16E6
Ενεργός Όγκος (M3)	6.92E6
Όγκος άμεσης απορροής (M3)	6.92E6
Όγκος βασικής απορροής (M3)	1.1E6

Βροχόπτωση και Απορροή



Υπολεκάνη: EL0421FR001014

Έκταση (KM2) : 11.34

Κατάντη : J14

Μέθοδος Απωλειών: SCS

Ποσοστό αδιαπέρατης επιφάνειας	0
Αριθμός Καμπύλης Απορροής-CN	86.38
Αρχικές Απώλειες	8.01

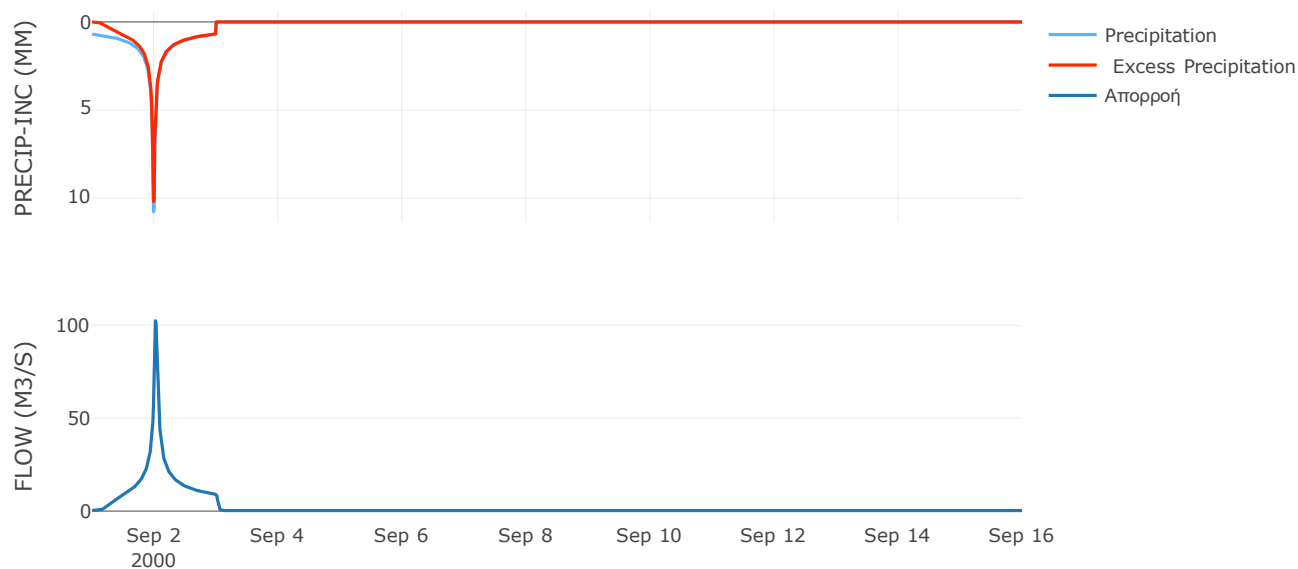
Μέθοδος
Μετασχηματισμού: SCS

Χρόνος Υστέρησης	34.32
------------------	-------

Αποτελέσματα:
EL0421FR001014

Παροχή αιχμής (M3/S)	102.45
Χρονική στιγμή αιχμής	02Sep2000, 00:30
Όγκος (MM)	277.55
Όγκος βροχόπτωσης (M3)	3.27E6
Όγκος απωλειών (M3)	4.88E5
Ενεργός Όγκος (M3)	2.78E6
Όγκος άμεσης απορροής (M3)	2.78E6
Όγκος βασικής απορροής (M3)	3.67E5

Βροχόπτωση και Απορροή



Υπολεκάνη: EL0421FR001015

Έκταση (KM2) : 20.48

Κατάνη : J15

Μέθοδος Απωλειών: SCS

Ποσοστό αδιαπέρατης επιφάνειας	0
Αριθμός Καμπύλης Απορροής-CN	85.05
Αρχικές Απώλειες	8.93

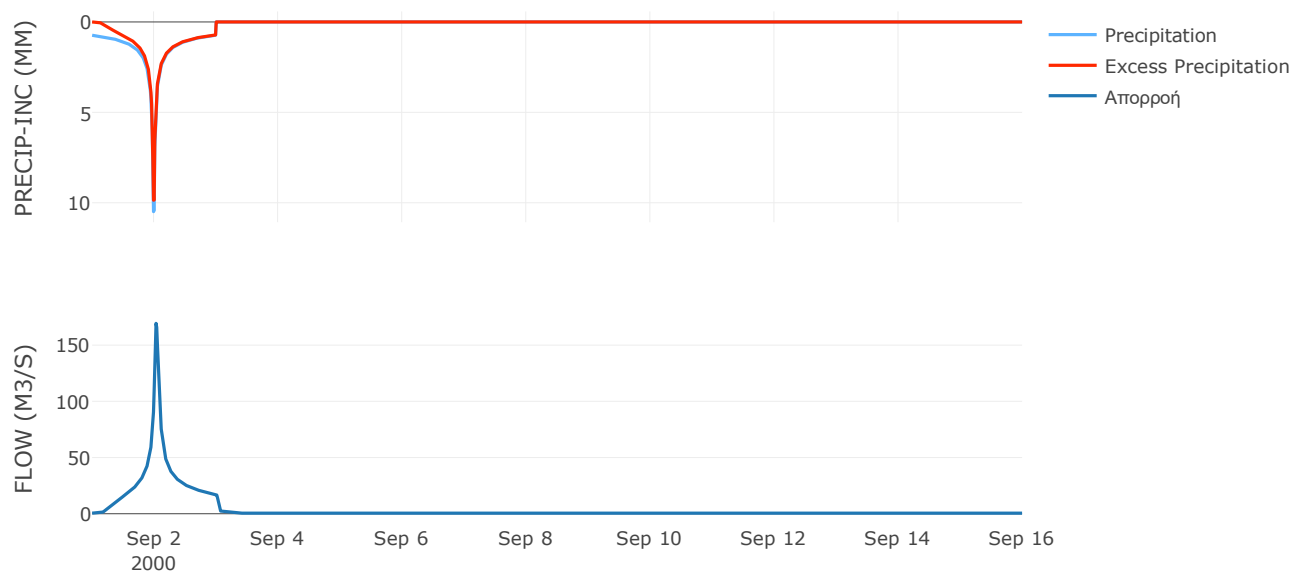
Μέθοδος
Μετασχηματισμού: SCS

Χρόνος Υστέρησης	46.68
------------------	-------

Αποτελέσματα:
EL0421FR001015

Παροχή αιχμής (M3/S)	169.36
Χρονική στιγμή αιχμής	02Sep2000, 00:45
Όγκος (MM)	283.01
Όγκος βροχόπτωσης (M3)	6.11E6
Όγκος απωλειών (M3)	9.75E5
Ενεργός Όγκος (M3)	5.13E6
Όγκος άμεσης απορροής (M3)	5.13E6
Όγκος βασικής απορροής (M3)	6.63E5

Βροχόπτωση και Απορροή



Υπολεκάνη: EL0421FR001016

Έκταση (KM2) : 15.22

Κατάντη : J16

Μέθοδος Απωλειών: SCS

Ποσοστό αδιαπέρατης επιφάνειας	0
Αριθμός Καμπύλης Απορροής-CN	84.41
Αρχικές Απώλειες	9.38

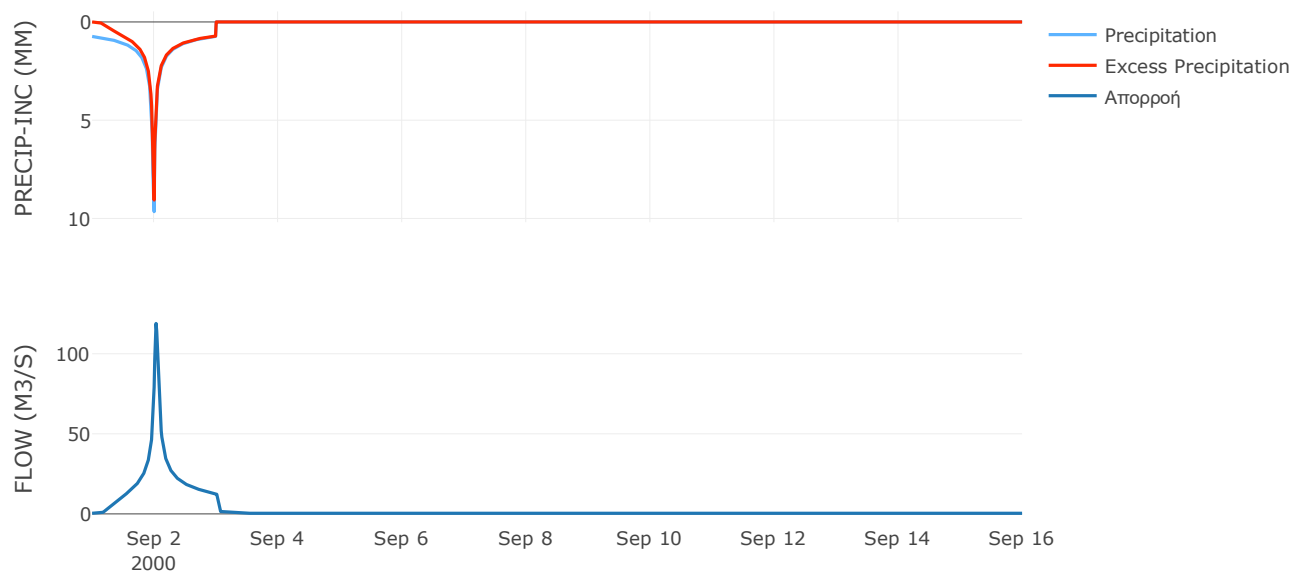
Μέθοδος
Μετασχηματισμού: SCS

Χρόνος Υστέρησης	43.29
------------------	-------

Αποτελέσματα:
EL0421FR001016

Παροχή αιχμής (M3/S)	118.89
Χρονική στιγμή αιχμής	02Sep2000, 00:45
Όγκος (MM)	273.36
Όγκος βροχόπτωσης (M3)	4.42E6
Όγκος απωλειών (M3)	7.55E5
Ενεργός Όγκος (M3)	3.67E6
Όγκος άμεσης απορροής (M3)	3.67E6
Όγκος βασικής απορροής (M3)	4.93E5

Βροχόπτωση και Απορροή



Υπολεκάνη: EL0421FR001017

Έκταση (KM2) : 32

Κατάντη : J17

Μέθοδος Απωλειών: SCS

Ποσοστό αδιαπέρατης επιφάνειας	0
Αριθμός Καμπύλης Απορροής-CN	88.51
Αρχικές Απώλειες	6.6

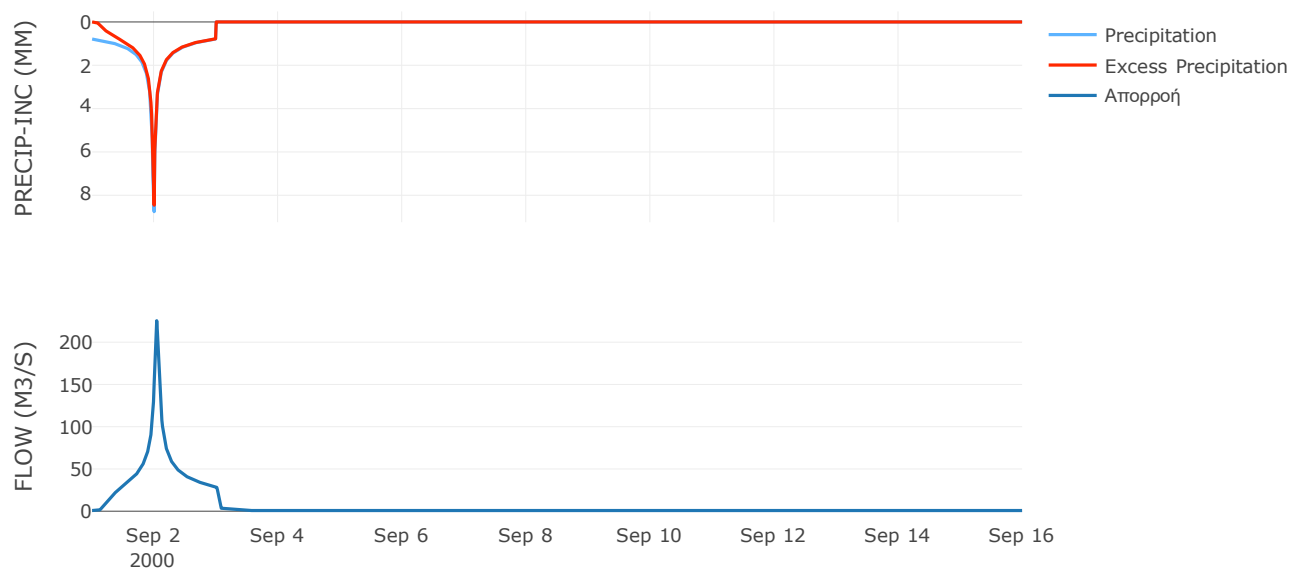
Μέθοδος
Μετασχηματισμού: SCS

Χρόνος Υστέρησης	51.13
------------------	-------

Αποτελέσματα:
EL0421FR001017

Παροχή αιχμής (M3/S)	225.41
Χρονική στιγμή αιχμής	02Sep2000, 01:00
Όγκος (MM)	290.15
Όγκος βροχόπτωσης (M3)	9.4E6
Όγκος απωλειών (M3)	1.16E6
Ενεργός Όγκος (M3)	8.25E6
Όγκος άμεσης απορροής (M3)	8.25E6
Όγκος βασικής απορροής (M3)	1.04E6

Βροχόπτωση και Απορροή



Υπολεκάνη: EL0421FR001018

Έκταση (KM2) : 15.19

Κατάντη : J17

Μέθοδος Απωλειών: SCS

Ποσοστό αδιαπέρατης επιφάνειας	0
Αριθμός Καμπύλης Απορροής-CN	81.76
Αρχικές Απώλειες	11.33

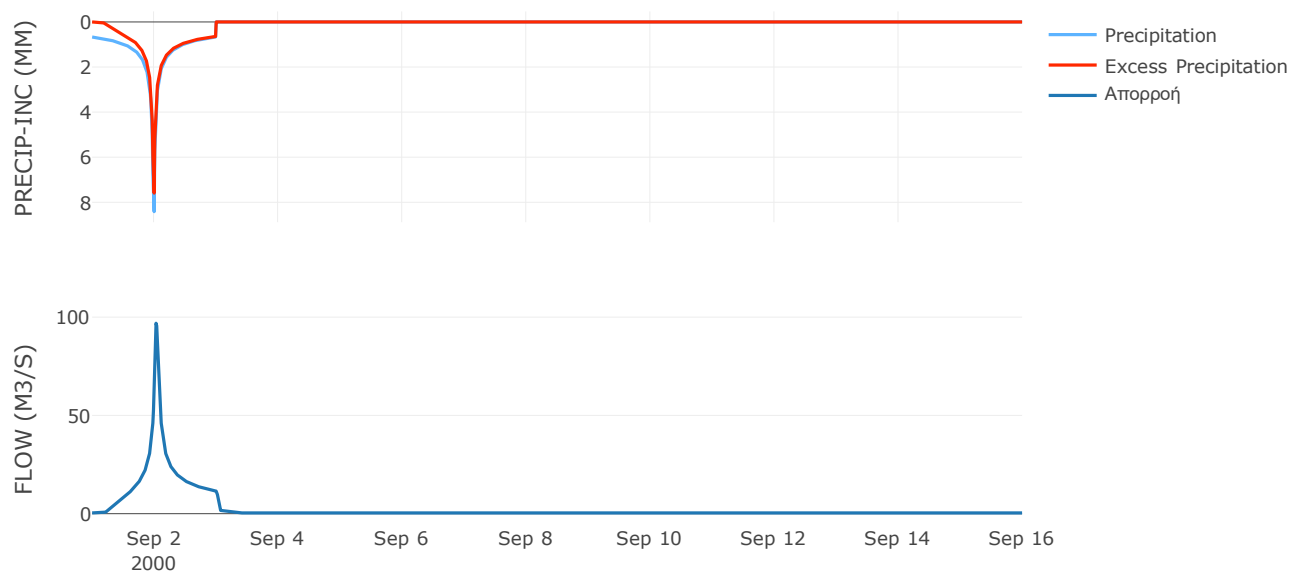
Μέθοδος
Μετασχηματισμού: SCS

Χρόνος Υστέρησης	47.1
------------------	------

Αποτελέσματα:
EL0421FR001018

Παροχή αιχμής (M3/S)	96.88
Χρονική στιγμή αιχμής	02Sep2000, 00:45
Όγκος (MM)	234.98
Όγκος βροχόπτωσης (M3)	3.95E6
Όγκος απωλειών (M3)	8.73E5
Ενεργός Όγκος (M3)	3.08E6
Όγκος άμεσης απορροής (M3)	3.08E6
Όγκος βασικής απορροής (M3)	4.92E5

Βροχόπτωση και Απορροή



Υπολεκάνη: EL0421FR001019

Έκταση (KM2) : 21.21
Κατάντη : J17

Μέθοδος Απωλειών: SCS

Ποσοστό αδιαπέρατης επιφάνειας	0
Αριθμός Καμπύλης Απορροής-CN	80.45
Αρχικές Απώλειες	12.35

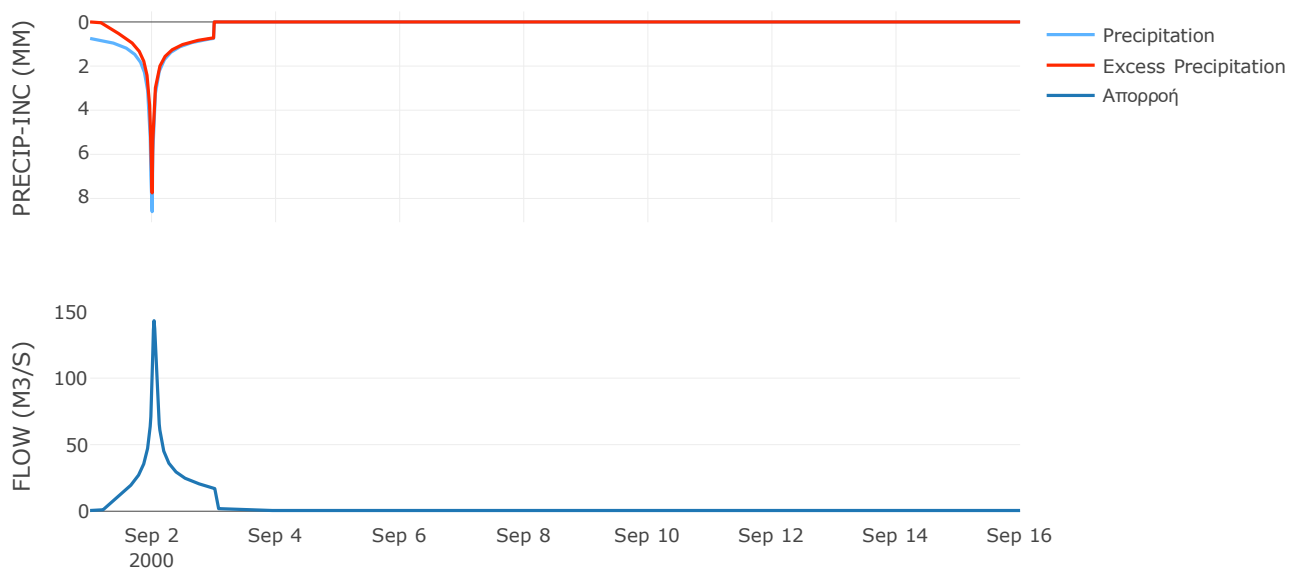
Μέθοδος
Μετασχηματισμού: SCS

Χρόνος Υστέρησης	42.12
------------------	-------

Αποτελέσματα:
EL0421FR001019

Παροχή αιχμής (M3/S)	143.17
Χρονική στιγμή αιχμής	02Sep2000, 00:45
Όγκος (MM)	251.97
Όγκος βροχόπτωσης (M3)	5.98E6
Όγκος απωλειών (M3)	1.33E6
Ενεργός Όγκος (M3)	4.66E6
Όγκος άμεσης απορροής (M3)	4.66E6
Όγκος βασικής απορροής (M3)	6.87E5

Βροχόπτωση και Απορροή



Υπολεκάνη: EL0421FR001020

Έκταση (KM2) : 12.17

Κατάνη : J15

Μέθοδος Απωλειών: SCS

Ποσοστό αδιαπέρατης επιφάνειας	0
Αριθμός Καμπύλης Απορροής-CN	76.22
Αρχικές Απώλειες	15.85

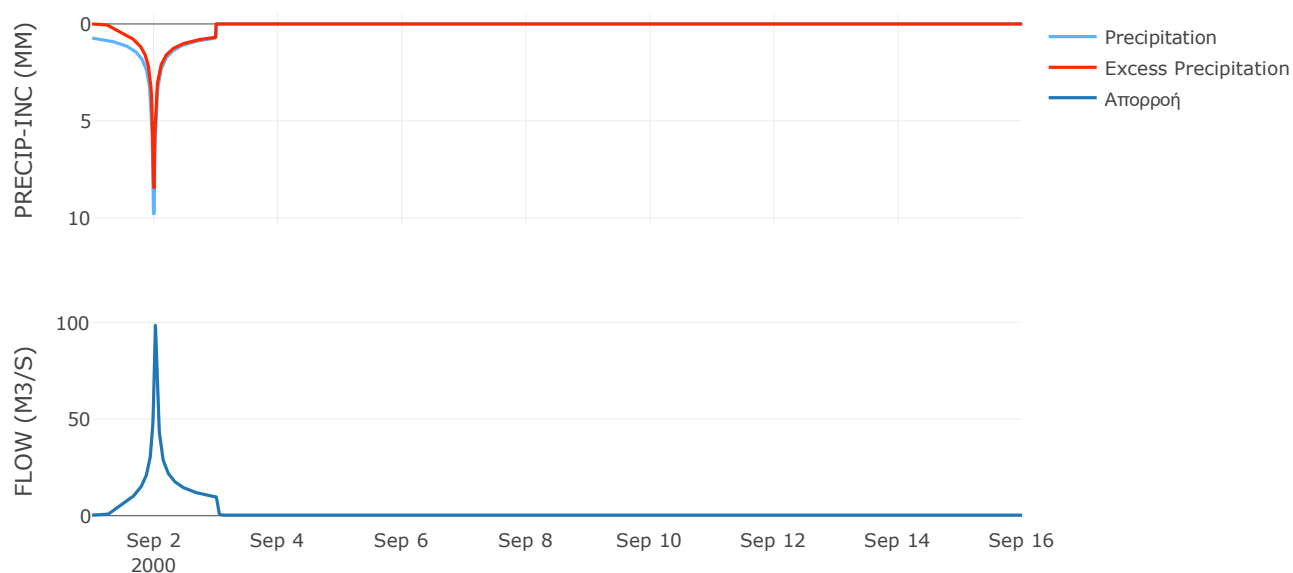
Μέθοδος
Μετασχηματισμού: SCS

Χρόνος Υστέρησης	26.2
------------------	------

Αποτελέσματα:
EL0421FR001020

Παροχή αιχμής (M3/S)	98.48
Χρονική στιγμή αιχμής	02Sep2000, 00:30
Όγκος (MM)	244.71
Όγκος βροχόπτωσης (M3)	3.53E6
Όγκος απωλειών (M3)	9.41E5
Ενεργός Όγκος (M3)	2.58E6
Όγκος άμεσης απορροής (M3)	2.58E6
Όγκος βασικής απορροής (M3)	3.94E5

Βροχόπτωση και Απορροή



Υπολεκάνη: EL0421FR001021

Έκταση (KM2) : 25.71

Κατάντη : J16

Μέθοδος Απωλειών: SCS

Ποσοστό αδιαπέρατης επιφάνειας	0
Αριθμός Καμπύλης Απορροής-CN	89.69
Αρχικές Απώλειες	5.84

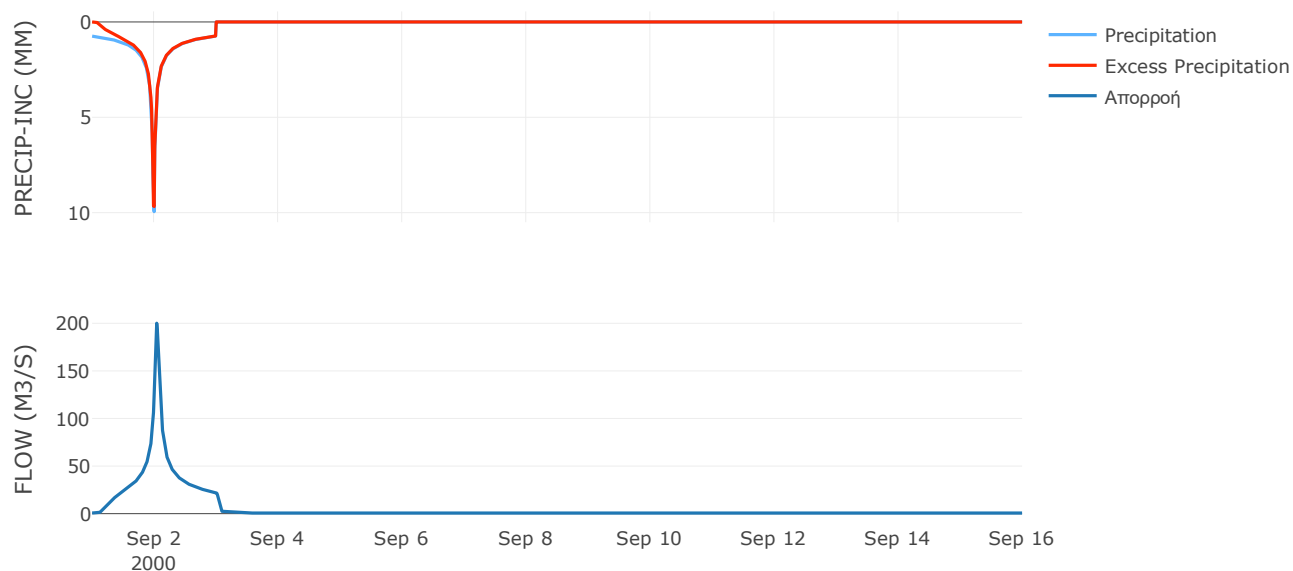
Μέθοδος
Μετασχηματισμού: SCS

Χρόνος Υστέρησης	56.32
------------------	-------

Αποτελέσματα:
EL0421FR001021

Παροχή αιχμής (M3/S)	200.08
Χρονική στιγμή αιχμής	02Sep2000, 01:00
Όγκος (MM)	295.34
Όγκος βροχόπτωσης (M3)	7.59E6
Όγκος απωλειών (M3)	8.32E5
Ενεργός Όγκος (M3)	6.76E6
Όγκος άμεσης απορροής (M3)	6.76E6
Όγκος βασικής απορροής (M3)	8.33E5

Βροχόπτωση και Απορροή



Υπολεκάνη: EL0421FR001022

Έκταση (KM2) : 24.36

Κατάντη : J16

Μέθοδος Απωλειών: SCS

Ποσοστό αδιαπέρατης επιφάνειας	0
Αριθμός Καμπύλης Απορροής-CN	89.16
Αρχικές Απώλειες	6.18

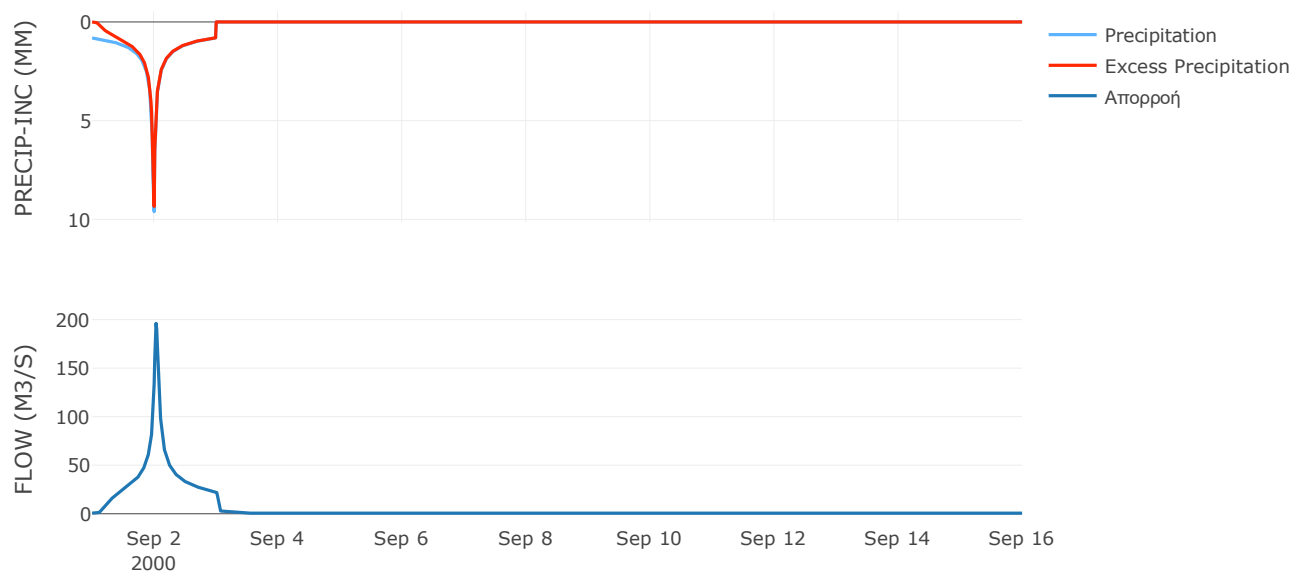
Μέθοδος
Μετασχηματισμού: SCS

Χρόνος Υστέρησης	44.97
------------------	-------

Αποτελέσματα:
EL0421FR001022

Παροχή αιχμής (M3/S)	196.1
Χρονική στιγμή αιχμής	02Sep2000, 00:45
Όγκος (MM)	307.28
Όγκος βροχόπτωσης (M3)	7.53E6
Όγκος απωλειών (M3)	8.33E5
Ενεργός Όγκος (M3)	6.7E6
Όγκος άμεσης απορροής (M3)	6.7E6
Όγκος βασικής απορροής (M3)	7.89E5

Βροχόπτωση και Απορροή



Υπολεκάνη: EL0421FR001023

Έκταση (KM2) : 13.31

Κατάντη : J14

Μέθοδος Απωλειών: SCS

Ποσοστό αδιαπέρατης επιφάνειας	0
Αριθμός Καμπύλης Απορροής-CN	87.2
Αρχικές Απώλειες	7.45

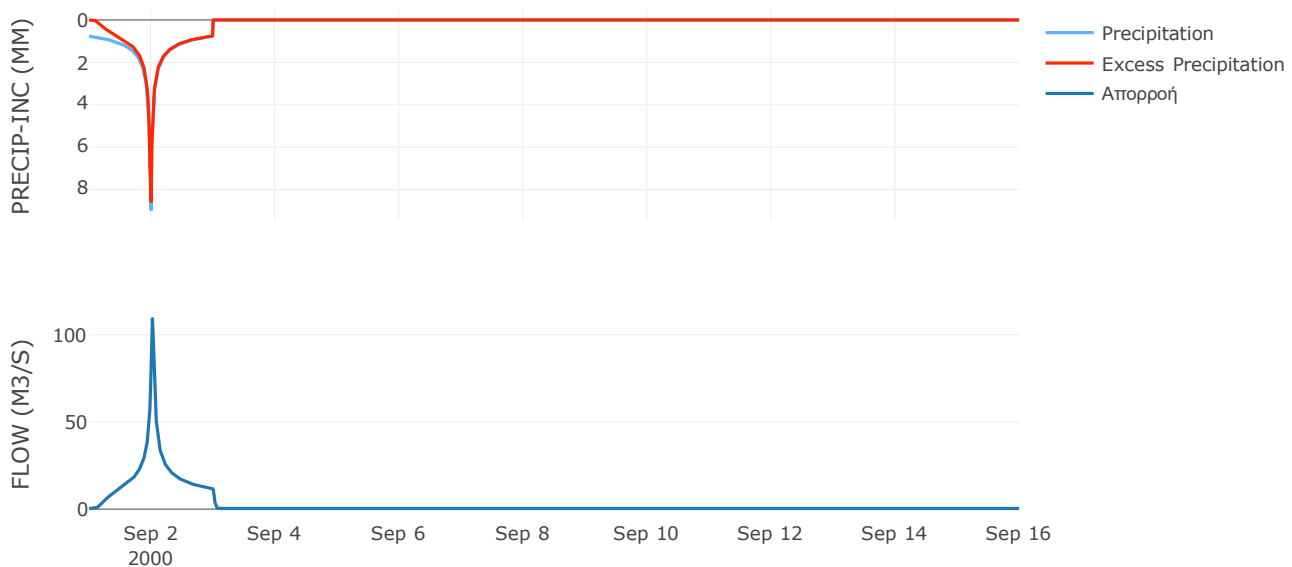
Μέθοδος
Μετασχηματισμού: SCS

Χρόνος Υστέρησης	27.39
------------------	-------

Αποτελέσματα:
EL0421FR001023

Παροχή αιχμής (M3/S)	109.26
Χρονική στιγμή αιχμής	02Sep2000, 00:30
Όγκος (MM)	282.1
Όγκος βροχόπτωσης (M3)	3.86E6
Όγκος απωλειών (M3)	5.38E5
Ενεργός Όγκος (M3)	3.32E6
Όγκος άμεσης απορροής (M3)	3.32E6
Όγκος βασικής απορροής (M3)	4.31E5

Βροχόπτωση και Απορροή



Υπολεκάνη: EL0421FR001024

Έκταση (KM2) : 30.28

Κατάντη : J18

Μέθοδος Απωλειών: SCS

Ποσοστό αδιαπέρατης επιφάνειας	0
Αριθμός Καμπύλης Απορροής-CN	89.43
Αρχικές Απώλειες	6.01

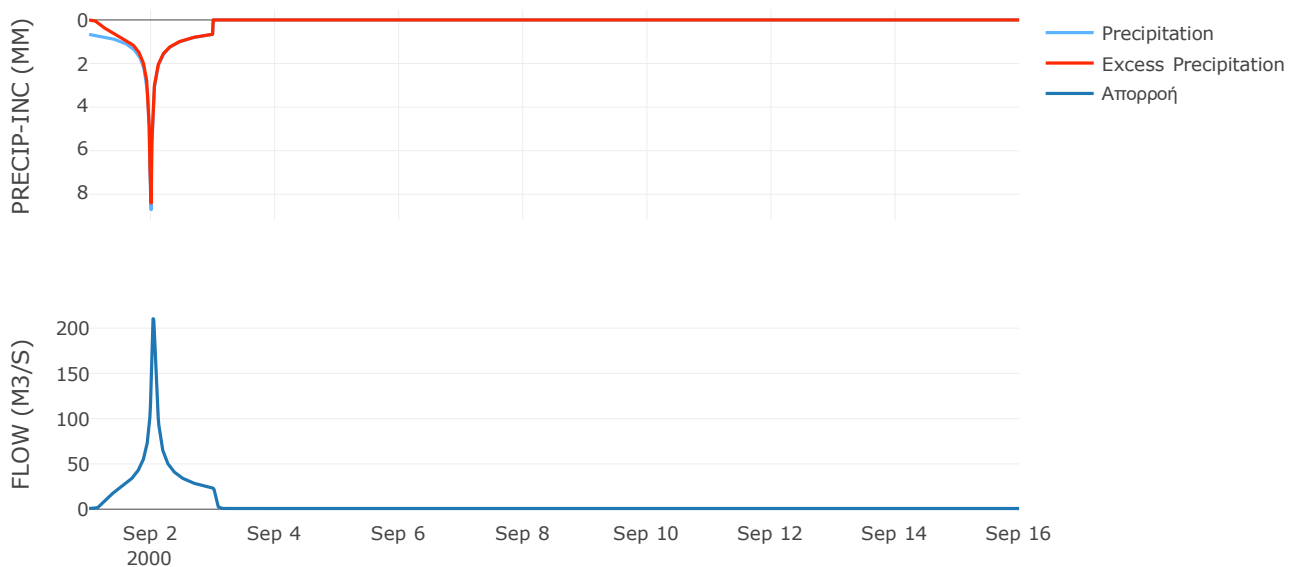
Μέθοδος
Μετασχηματισμού: SCS

Χρόνος Υστέρησης	49.72
------------------	-------

Αποτελέσματα:
EL0421FR001024

Παροχή αιχμής (M3/S)	210.46
Χρονική στιγμή αιχμής	02Sep2000, 00:45
Όγκος (MM)	261.72
Όγκος βροχόπτωσης (M3)	7.94E6
Όγκος απωλειών (M3)	9.96E5
Ενεργός Όγκος (M3)	6.94E6
Όγκος άμεσης απορροής (M3)	6.94E6
Όγκος βασικής απορροής (M3)	9.81E5

Βροχόπτωση και Απορροή



Υπολεκάνη: EL0421FR001025

Έκταση (KM2) : 69.37

Κατάντη : J19

Μέθοδος Απωλειών: SCS

Ποσοστό αδιαπέρατης επιφάνειας	0
Αριθμός Καμπύλης Απορροής-CN	85.82
Αρχικές Απώλειες	8.4

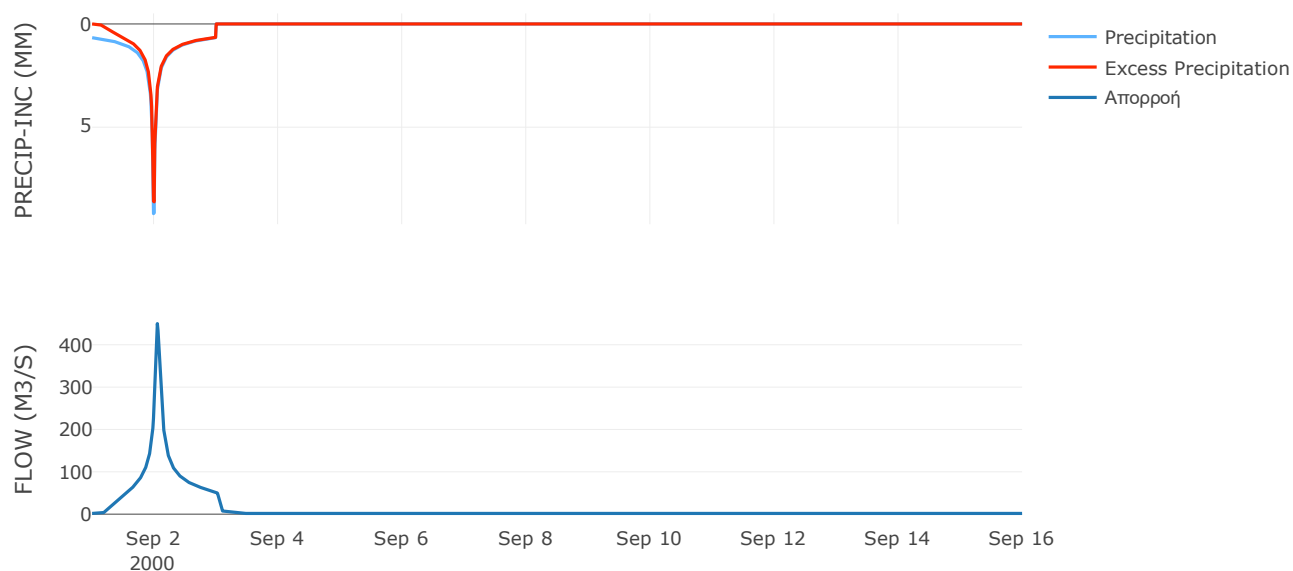
Μέθοδος
Μετασχηματισμού: SCS

Χρόνος Υστέρησης	67.96
------------------	-------

Αποτελέσματα:
EL0421FR001025

Παροχή αιχμής (M3/S)	449.92
Χρονική στιγμή αιχμής	02Sep2000, 01:15
Όγκος (MM)	254.71
Όγκος βροχόπτωσης (M3)	1.85E7
Όγκος απωλειών (M3)	3.09E6
Ενεργός Όγκος (M3)	1.54E7
Όγκος άμεσης απορροής (M3)	1.54E7
Όγκος βασικής απορροής (M3)	2.25E6

Βροχόπτωση και Απορροή



Υπολεκάνη: EL0421FR001026

Έκταση (KM2) : 14.94

Κατάντη : J9

Μέθοδος Απωλειών: SCS

Ποσοστό αδιαπέρατης επιφάνειας	0
Αριθμός Καμπύλης Απορροής-CN	87.44
Αρχικές Απώλειες	7.29

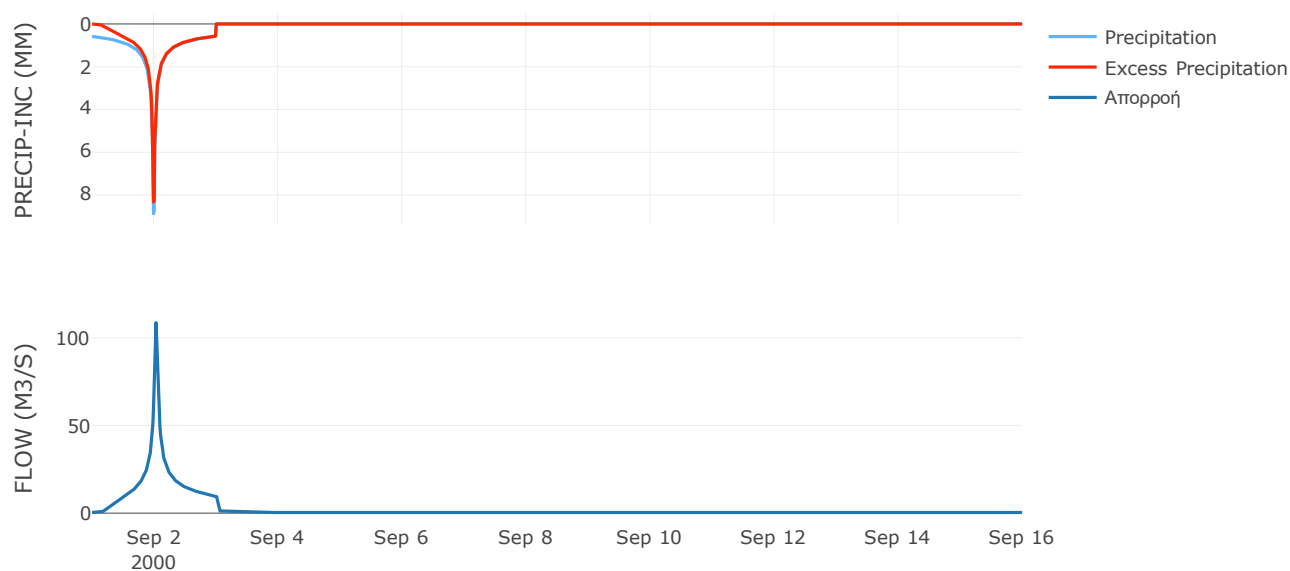
Μέθοδος
Μετασχηματισμού: SCS

Χρόνος Υστέρησης	36.89
------------------	-------

Αποτελέσματα:
EL0421FR001026

Παροχή αιχμής (M3/S)	108.6
Χρονική στιγμή αιχμής	02Sep2000, 00:45
Όγκος (MM)	233.59
Όγκος βροχόπτωσης (M3)	3.59E6
Όγκος απωλειών (M3)	5.8E5
Ενεργός Όγκος (M3)	3.01E6
Όγκος άμεσης απορροής (M3)	3.01E6
Όγκος βασικής απορροής (M3)	4.84E5

Βροχόπτωση και Απορροή



Υπολεκάνη: EL0421FR001027

Έκταση (KM2) : 17.74

Κατάντη : J22

Μέθοδος Απωλειών: SCS

Ποσοστό αδιαπέρατης επιφάνειας	0
Αριθμός Καμπύλης Απορροής-CN	90.89
Αρχικές Απώλειες	5.09

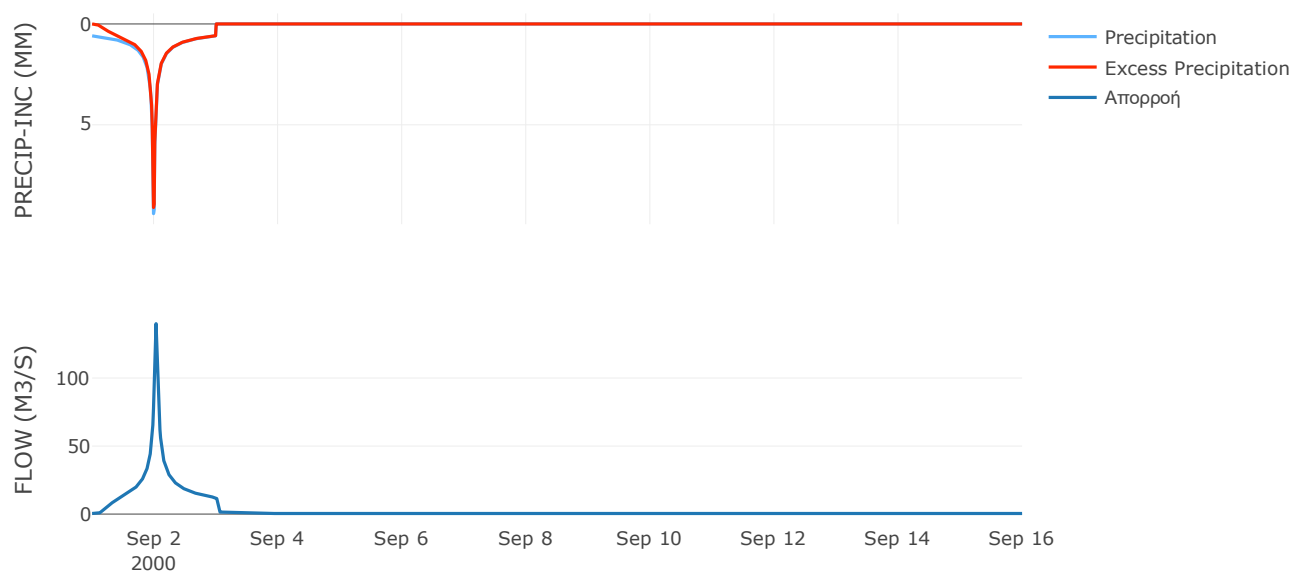
Μέθοδος
Μετασχηματισμού: SCS

Χρόνος Υστέρησης	36.73
------------------	-------

Αποτελέσματα:
EL0421FR001027

Παροχή αιχμής (M3/S)	139.97
Χρονική στιγμή αιχμής	02Sep2000, 00:45
Όγκος (MM)	251.89
Όγκος βροχόπτωσης (M3)	4.39E6
Όγκος απωλειών (M3)	4.99E5
Ενεργός Όγκος (M3)	3.89E6
Όγκος άμεσης απορροής (M3)	3.89E6
Όγκος βασικής απορροής (M3)	5.75E5

Βροχόπτωση και Απορροή



Υπολεκάνη: EL0421FR001028

Έκταση (KM2) : 35.53

Κατάντη : J22

Μέθοδος Απωλειών: SCS

Ποσοστό αδιαπέρατης επιφάνειας	0
Αριθμός Καμπύλης Απορροής-CN	90.51
Αρχικές Απώλειες	5.33

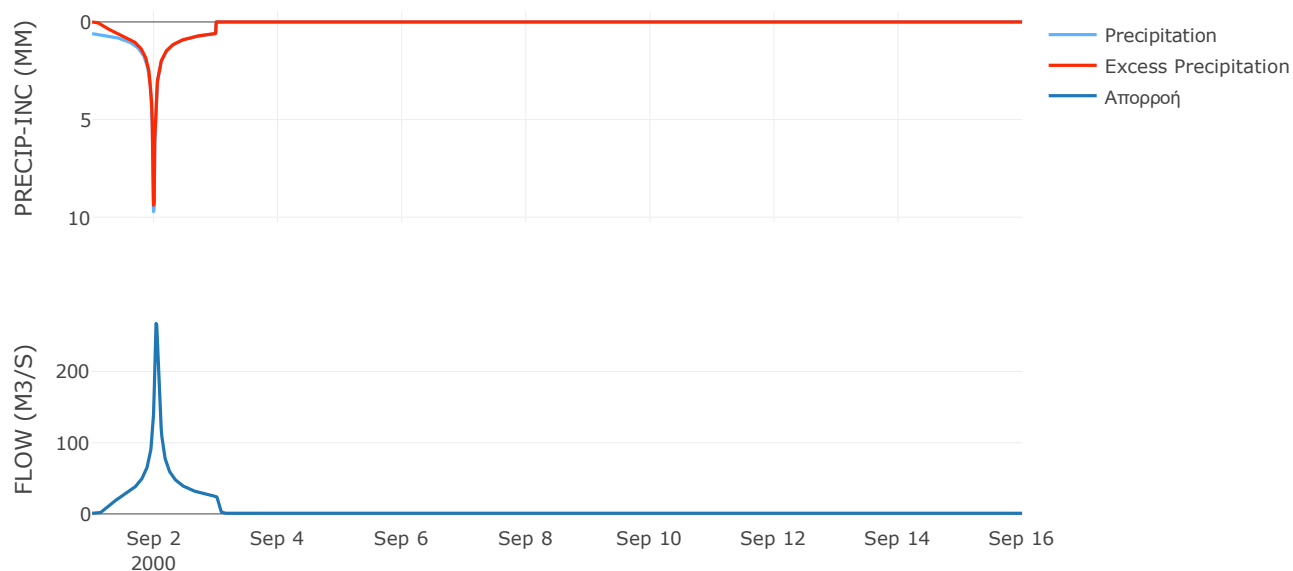
Μέθοδος
Μετασχηματισμού: SCS

Χρόνος Υστέρησης	49.4
------------------	------

Αποτελέσματα:
EL0421FR001028

Παροχή αιχμής (M3/S)	267.42
Χρονική στιγμή αιχμής	02Sep2000, 00:45
Όγκος (MM)	255.62
Όγκος βροχόπτωσης (M3)	8.98E6
Όγκος απωλειών (M3)	1.04E6
Ενεργός Όγκος (M3)	7.93E6
Όγκος άμεσης απορροής (M3)	7.93E6
Όγκος βασικής απορροής (M3)	1.15E6

Βροχόπτωση και Απορροή



Υπολεκάνη: EL0421FR001029

Έκταση (KM2) : 42.48

Κατάντη : J6

Μέθοδος Απωλειών: SCS

Ποσοστό αδιαπέρατης επιφάνειας	0
Αριθμός Καμπύλης Απορροής-CN	80.91
Αρχικές Απώλειες	11.99

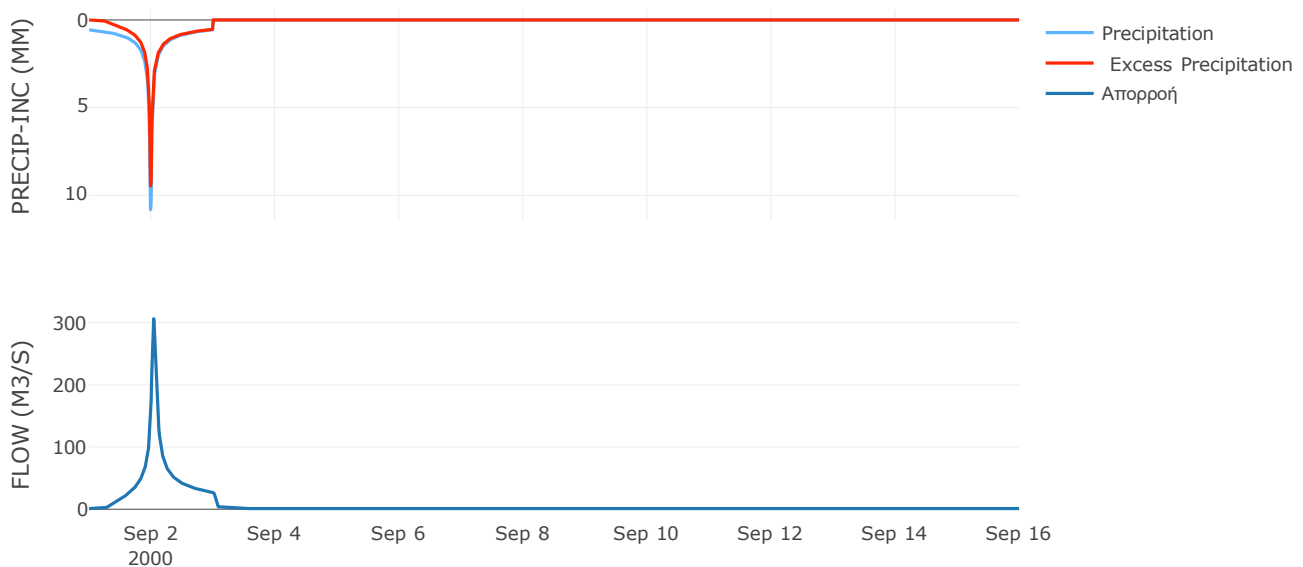
Μέθοδος
Μετασχηματισμού: SCS

Χρόνος Υστέρησης	53.41
------------------	-------

Αποτελέσματα:
EL0421FR001029

Παροχή αιχμής (M3/S)	306.18
Χρονική στιγμή αιχμής	02Sep2000, 01:00
Όγκος (MM)	223.14
Όγκος βροχόπτωσης (M3)	1.06E7
Όγκος απωλειών (M3)	2.54E6
Ενεργός Όγκος (M3)	8.1E6
Όγκος άμεσης απορροής (M3)	8.1E6
Όγκος βασικής απορροής (M3)	1.38E6

Βροχόπτωση και Απορροή



Υπολεκάνη: EL0421FR001030

Έκταση (KM2) : 20.53

Κατάντη : J5

Μέθοδος Απωλειών: SCS

Ποσοστό αδιαπέρατης επιφάνειας	0
Αριθμός Καμπύλης Απορροής-CN	75.73
Αρχικές Απώλειες	16.28

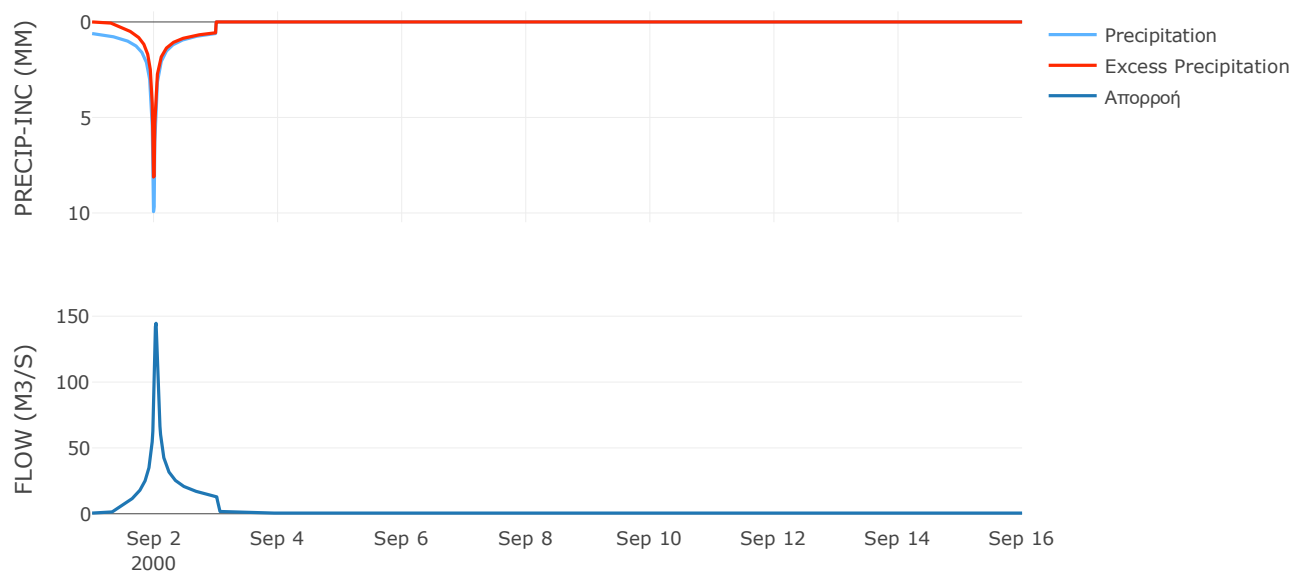
Μέθοδος
Μετασχηματισμού: SCS

Χρόνος Υστέρησης	36.91
------------------	-------

Αποτελέσματα:
EL0421FR001030

Παροχή αιχμής (M3/S)	144.65
Χρονική στιγμή αιχμής	02Sep2000, 00:45
Όγκος (MM)	212.14
Όγκος βροχόπτωσης (M3)	5.27E6
Όγκος απωλειών (M3)	1.58E6
Ενεργός Όγκος (M3)	3.69E6
Όγκος άμεσης απορροής (M3)	3.69E6
Όγκος βασικής απορροής (M3)	6.65E5

Βροχόπτωση και Απορροή



Υπολεκάνη: EL0421FR001031

Έκταση (KM2) : 24.21

Κατάντη : J4

Μέθοδος Απωλειών: SCS

Ποσοστό αδιαπέρατης επιφάνειας	0
Αριθμός Καμπύλης Απορροής-CN	72.66
Αρχικές Απώλειες	19.12

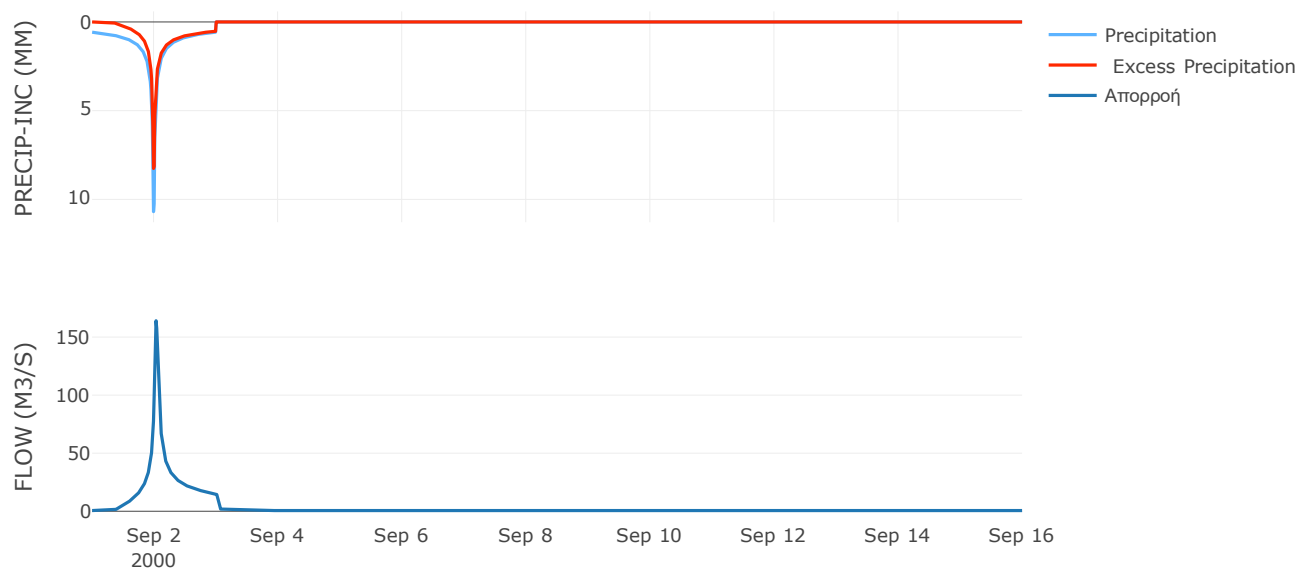
Μέθοδος
Μετασχηματισμού: SCS

Χρόνος Υστέρησης	43.24
------------------	-------

Αποτελέσματα:
EL0421FR001031

Παροχή αιχμής (M3/S)	164.09
Χρονική στιγμή αιχμής	02Sep2000, 00:45
Όγκος (MM)	199.4
Όγκος βροχόπτωσης (M3)	6.15E6
Όγκος απωλειών (M3)	2.11E6
Ενεργός Όγκος (M3)	4.04E6
Όγκος άμεσης απορροής (M3)	4.04E6
Όγκος βασικής απορροής (M3)	7.84E5

Βροχόπτωση και Απορροή



Έκταση (KM2) : 56.61
Κατάντη : J12

Μέθοδος Απωλειών: SCS

Ποσοστό αδιαπέρατης επιφάνειας	0.06
Αριθμός Καμπύλης Απορροής-CN	76.06
Αρχικές Απώλειες	15.99

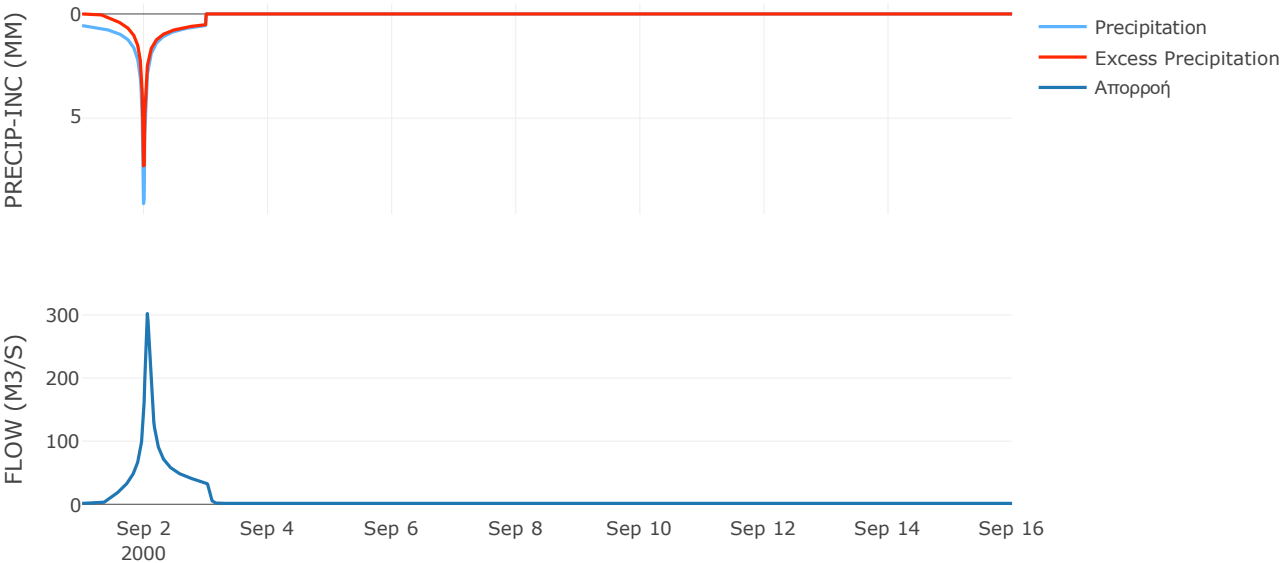
Μέθοδος
Μετασχηματισμού: SCS

Χρόνος Υστέρησης	66.62
------------------	-------

Αποτελέσματα:
EL0421FR001032

Παροχή αιχμής (M3/S)	302.16
Χρονική στιγμή αιχμής	02Sep2000, 01:15
Όγκος (MM)	193.49
Όγκος βροχόπτωσης (M3)	1.33E7
Όγκος απωλειών (M3)	4.22E6
Ενεργός Όγκος (M3)	9.12E6
Όγκος άμεσης απορροής (M3)	9.12E6
Όγκος βασικής απορροής (M3)	1.83E6

Βροχόπτωση και Απορροή



Υπολεκάνη: EL0421FR001033

Έκταση (KM2) : 28.55

Κατάντη : J21

Μέθοδος Απωλειών: SCS

Ποσοστό αδιαπέρατης επιφάνειας	0
Αριθμός Καμπύλης Απορροής-CN	82.7
Αρχικές Απώλειες	10.63

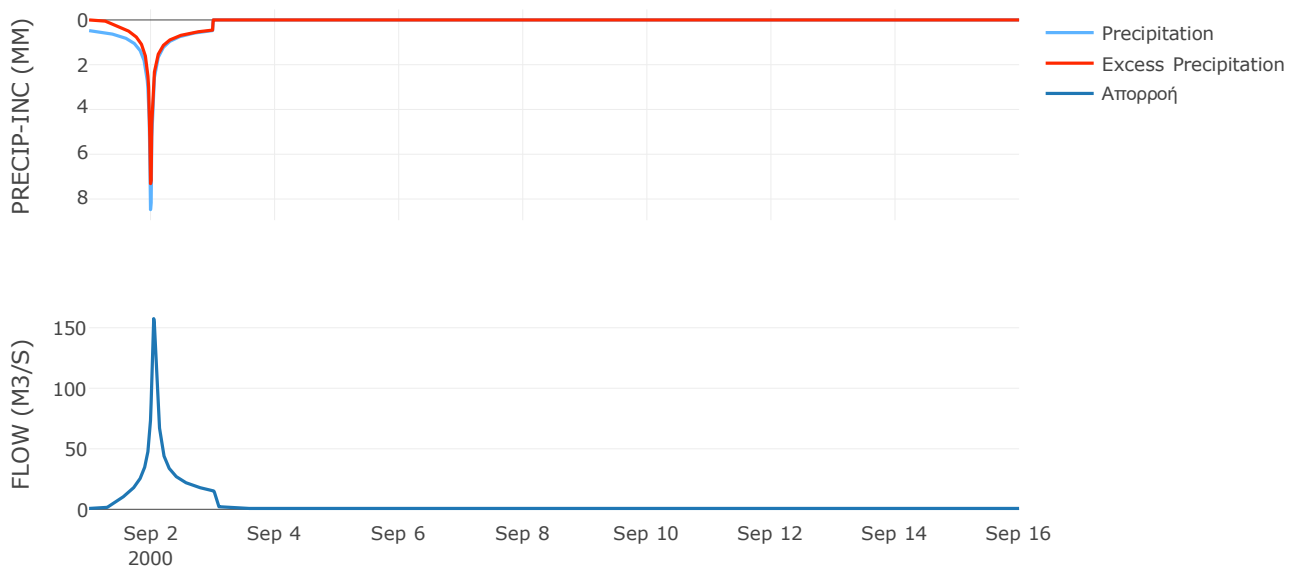
Μέθοδος
Μετασχηματισμού: SCS

Χρόνος Υστέρησης	58.29
------------------	-------

Αποτελέσματα:
EL0421FR001033

Παροχή αιχμής (M3/S)	157.53
Χρονική στιγμή αιχμής	02Sep2000, 01:00
Όγκος (MM)	187.07
Όγκος βροχόπτωσης (M3)	5.91E6
Όγκος απωλειών (M3)	1.5E6
Ενεργός Όγκος (M3)	4.42E6
Όγκος άμεσης απορροής (M3)	4.42E6
Όγκος βασικής απορροής (M3)	9.25E5

Βροχόπτωση και Απορροή



Υπολεκάνη: EL0421FR001034

Έκταση (KM2) : 57.33

Κατάντη : J21

Μέθοδος Απωλειών: SCS

Ποσοστό αδιαπέρατης επιφάνειας	0
Αριθμός Καμπύλης Απορροής-CN	80.12
Αρχικές Απώλειες	12.61

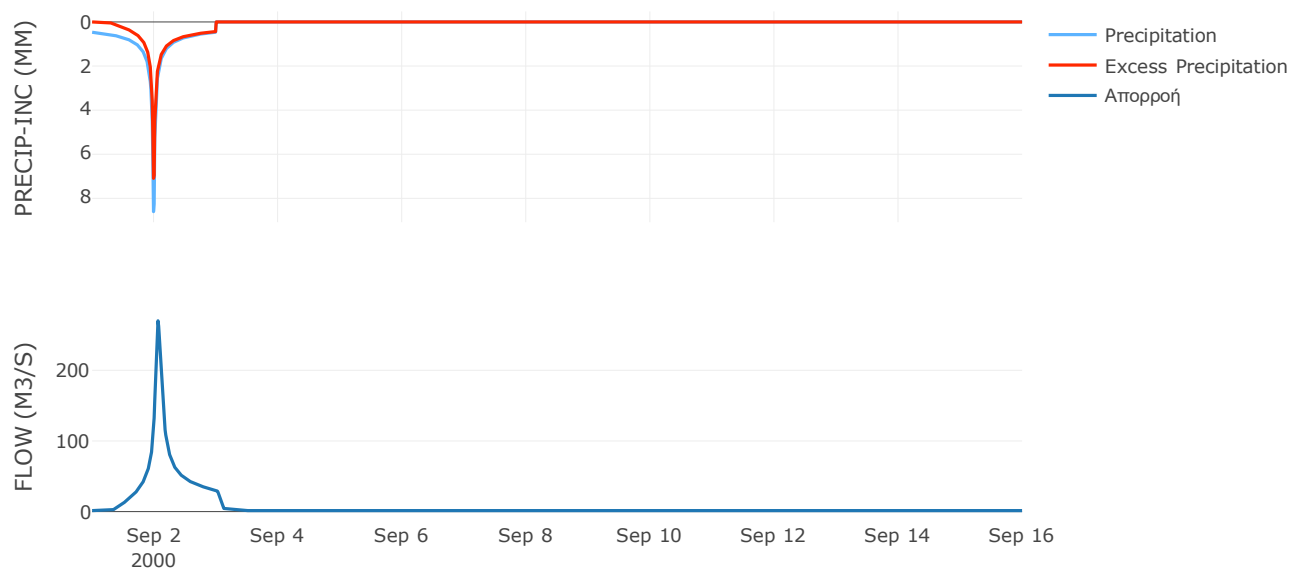
Μέθοδος
Μετασχηματισμού: SCS

Χρόνος Υστέρησης	81.15
------------------	-------

Αποτελέσματα:
EL0421FR001034

Παροχή αιχμής (M3/S)	270.11
Χρονική στιγμή αιχμής	02Sep2000, 01:30
Όγκος (MM)	177.47
Όγκος βροχόπτωσης (M3)	1.18E7
Όγκος απωλειών (M3)	3.44E6
Ενεργός Όγκος (M3)	8.32E6
Όγκος άμεσης απορροής (M3)	8.32E6
Όγκος βασικής απορροής (M3)	1.86E6

Βροχόπτωση και Απορροή



Υπολεκάνη: EL0421FR001035

Έκταση (KM2) : 27.47

Κατάντη : J9

Μέθοδος Απωλειών: SCS

Ποσοστό αδιαπέρατης επιφάνειας	0
Αριθμός Καμπύλης Απορροής-CN	90.47
Αρχικές Απώλειες	5.35

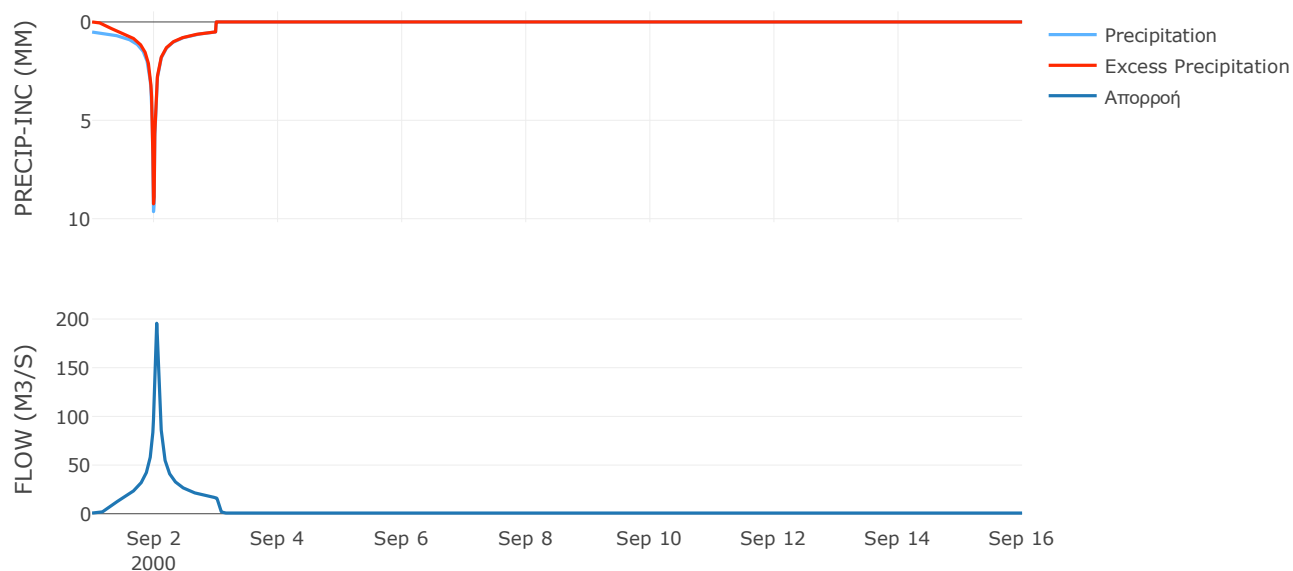
Μέθοδος
Μετασχηματισμού: SCS

Χρόνος Υστέρησης	51.04
------------------	-------

Αποτελέσματα:
EL0421FR001035

Παροχή αιχμής (M3/S)	195.67
Χρονική στιγμή αιχμής	02Sep2000, 01:00
Όγκος (MM)	230.24
Όγκος βροχόπτωσης (M3)	6.24E6
Όγκος απωλειών (M3)	8.03E5
Ενεργός Όγκος (M3)	5.44E6
Όγκος άμεσης απορροής (M3)	5.44E6
Όγκος βασικής απορροής (M3)	8.9E5

Βροχόπτωση και Απορροή



Υπολεκάνη: EL0421FR001036

Έκταση (KM2) : 22.53

Κατάντη : J23

Μέθοδος Απωλειών: SCS

Ποσοστό αδιαπέρατης επιφάνειας	0
Αριθμός Καμπύλης Απορροής-CN	83.83
Αρχικές Απώλειες	9.8

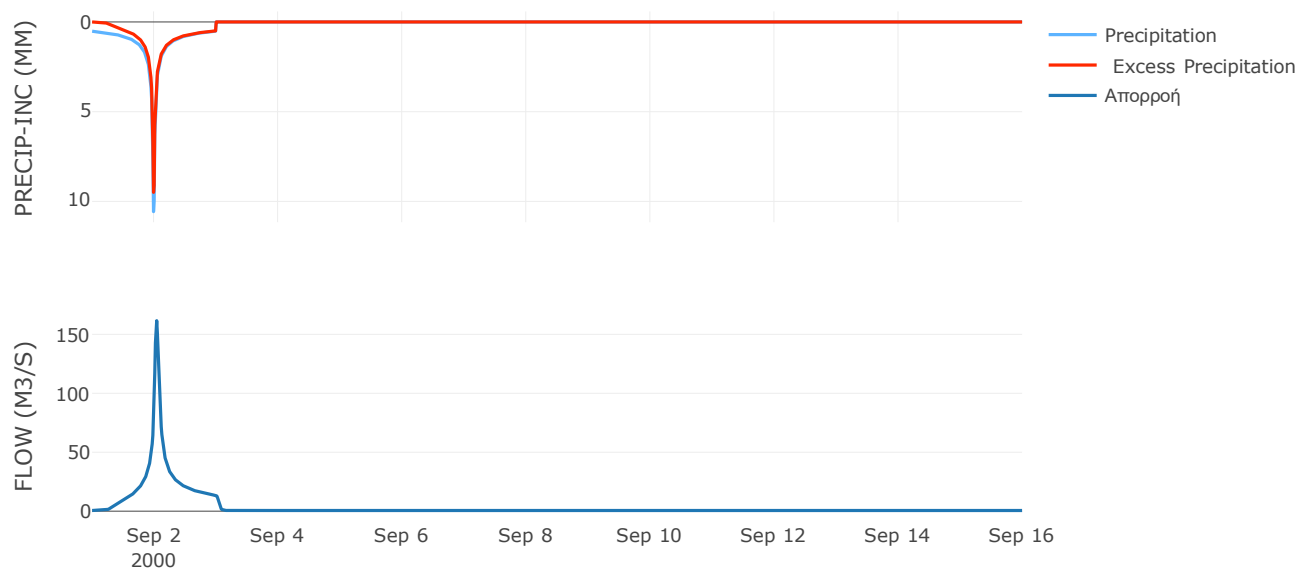
Μέθοδος
Μετασχηματισμού: SCS

Χρόνος Υστέρησης	52.15
------------------	-------

Αποτελέσματα:
EL0421FR001036

Παροχή αιχμής (M3/S)	161.59
Χρονική στιγμή αιχμής	02Sep2000, 01:00
Όγκος (MM)	217.36
Όγκος βροχόπτωσης (M3)	5.29E6
Όγκος απωλειών (M3)	1.13E6
Ενεργός Όγκος (M3)	4.17E6
Όγκος άμεσης απορροής (M3)	4.17E6
Όγκος βασικής απορροής (M3)	7.3E5

Βροχόπτωση και Απορροή



Υπολεκάνη: EL0421FR001037

Έκταση (KM2) : 26.53

Κατάντη : J2

Μέθοδος Απωλειών: SCS

Ποσοστό αδιαπέρατης επιφάνειας	0
Αριθμός Καμπύλης Απορροής-CN	79.02
Αρχικές Απώλειες	13.49

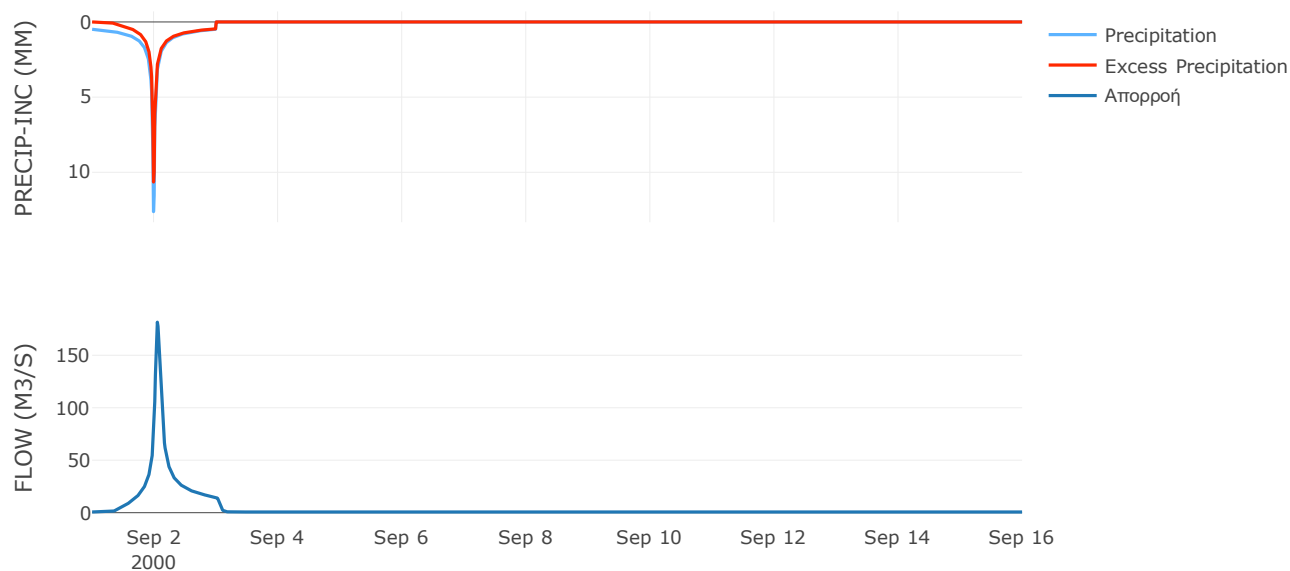
Μέθοδος
Μετασχηματισμού: SCS

Χρόνος Υστέρησης	72.53
------------------	-------

Αποτελέσματα:
EL0421FR001037

Παροχή αιχμής (M3/S)	181.53
Χρονική στιγμή αιχμής	02Sep2000, 01:15
Όγκος (MM)	207.41
Όγκος βροχόπτωσης (M3)	6.38E6
Όγκος απωλειών (M3)	1.74E6
Ενεργός Όγκος (M3)	4.64E6
Όγκος άμεσης απορροής (M3)	4.64E6
Όγκος βασικής απορροής (M3)	8.59E5

Βροχόπτωση και Απορροή



Υπολεκάνη: EL0421FR001038

Έκταση (KM2) : 16.84

Κατάντη : J18

Μέθοδος Απωλειών: SCS

Ποσοστό αδιαπέρατης επιφάνειας	0
Αριθμός Καμπύλης Απορροής-CN	90.22
Αρχικές Απώλειες	5.51

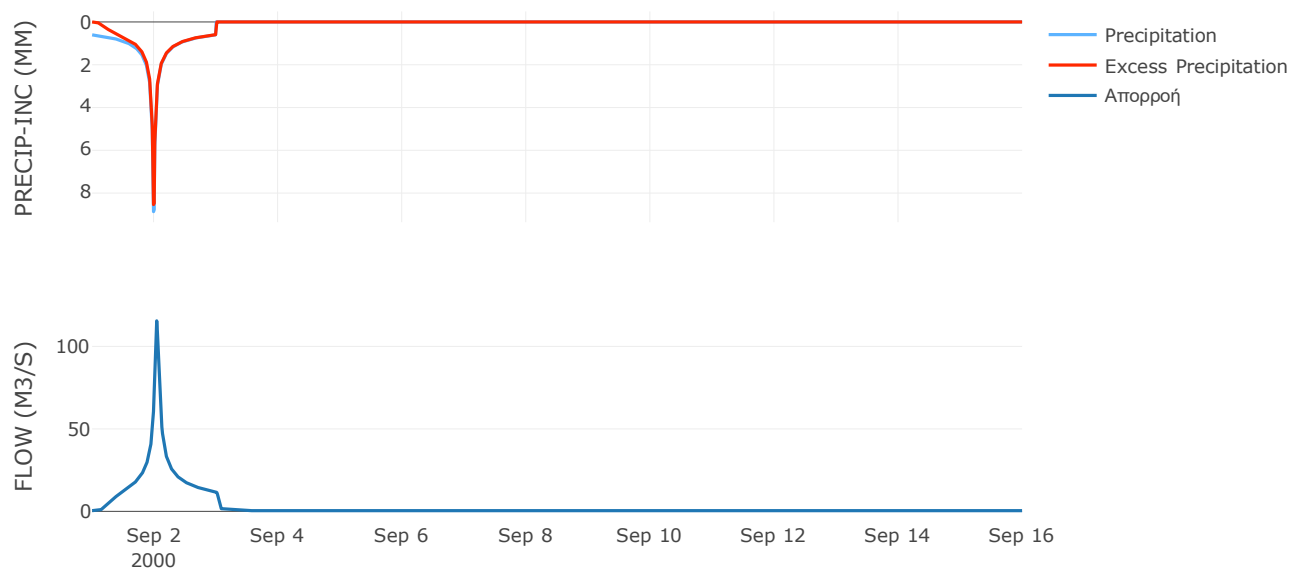
Μέθοδος
Μετασχηματισμού: SCS

Χρόνος Υστέρησης	52.97
------------------	-------

Αποτελέσματα:
EL0421FR001038

Παροχή αιχμής (M3/S)	115.5
Χρονική στιγμή αιχμής	02Sep2000, 01:00
Όγκος (MM)	249.08
Όγκος βροχόπτωσης (M3)	4.16E6
Όγκος απωλειών (M3)	5.09E5
Ενεργός Όγκος (M3)	3.65E6
Όγκος άμεσης απορροής (M3)	3.65E6
Όγκος βασικής απορροής (M3)	5.46E5

Βροχόπτωση και Απορροή



Υπολεκάνη: EL0421FR001039

Έκταση (KM2) : 11.68

Κατάντη : J8

Μέθοδος Απωλειών: SCS

Ποσοστό αδιαπέρατης επιφάνειας	0
Αριθμός Καμπύλης Απορροής-CN	90.17
Αρχικές Απώλειες	5.54

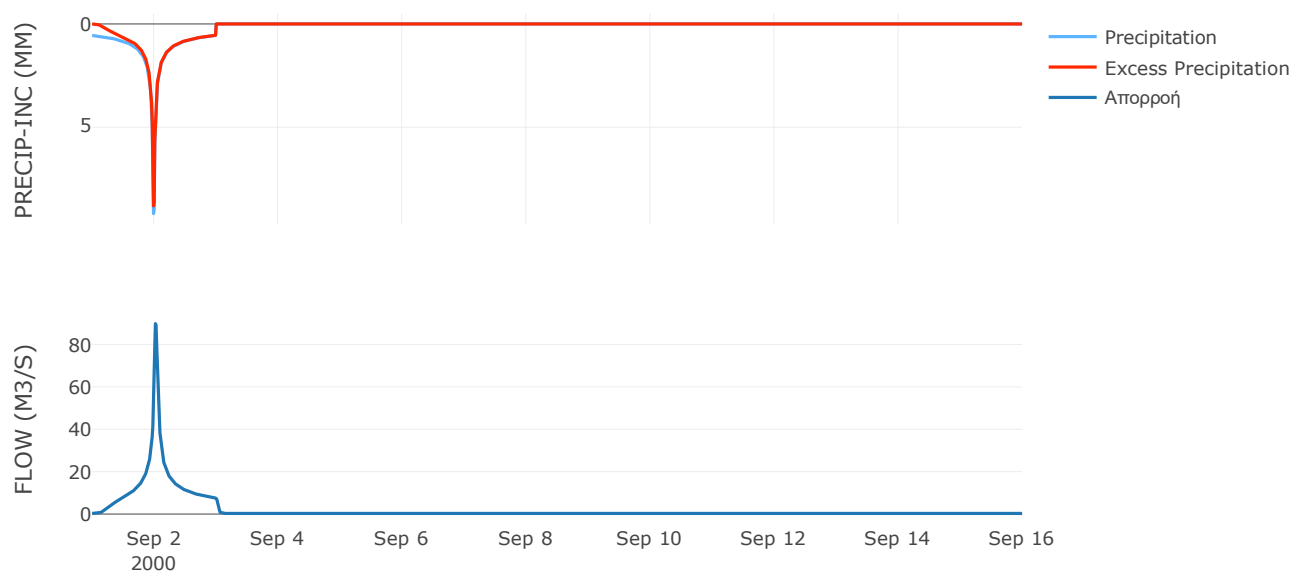
Μέθοδος
Μετασχηματισμού: SCS

Χρόνος Υστέρησης	35.02
------------------	-------

Αποτελέσματα:
EL0421FR001039

Παροχή αιχμής (M3/S)	89.84
Χρονική στιγμή αιχμής	02Sep2000, 00:30
Όγκος (MM)	238.21
Όγκος βροχόπτωσης (M3)	2.76E6
Όγκος απωλειών (M3)	3.53E5
Ενεργός Όγκος (M3)	2.4E6
Όγκος άμεσης απορροής (M3)	2.4E6
Όγκος βασικής απορροής (M3)	3.78E5

Βροχόπτωση και Απορροή



Υπολεκάνη: EL0421FR001040

Έκταση (KM2) : 8.83

Κατάντη : J7

Μέθοδος Απωλειών: SCS

Ποσοστό αδιαπέρατης επιφάνειας	0
Αριθμός Καμπύλης Απορροής-CN	90.73
Αρχικές Απώλειες	5.19

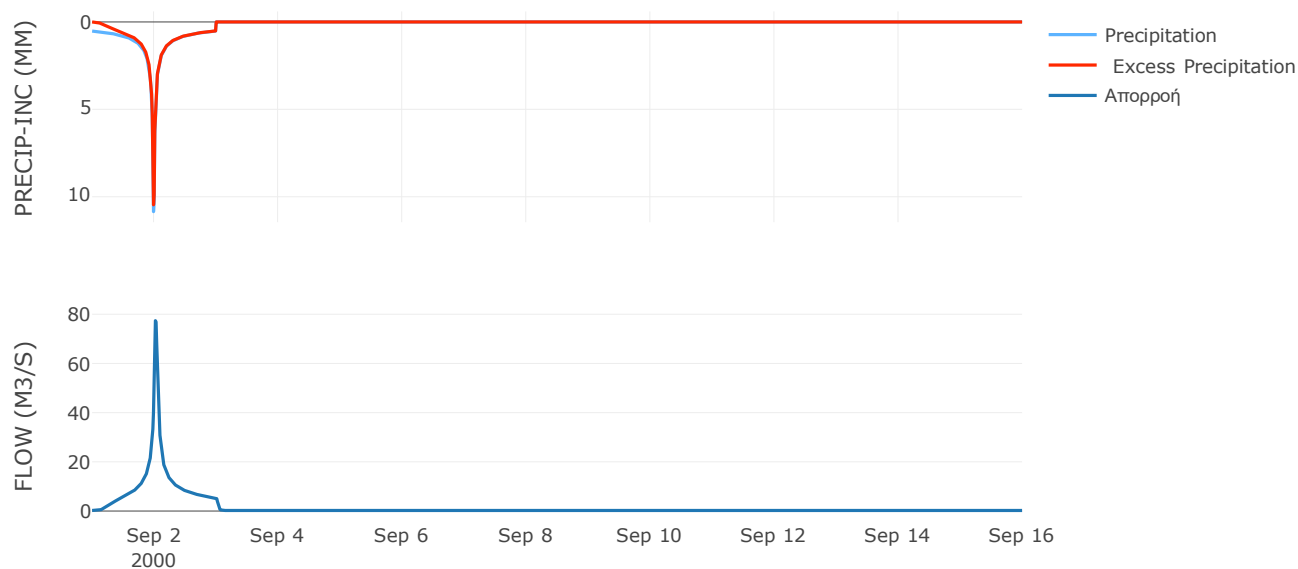
Μέθοδος
Μετασχηματισμού: SCS

Χρόνος Υστέρησης	35.54
------------------	-------

Αποτελέσματα:
EL0421FR001040

Παροχή αιχμής (M3/S)	77.39
Χρονική στιγμή αιχμής	02Sep2000, 00:30
Όγκος (MM)	242.51
Όγκος βροχόπτωσης (M3)	2.11E6
Όγκος απωλειών (M3)	2.52E5
Ενεργός Όγκος (M3)	1.86E6
Όγκος άμεσης απορροής (M3)	1.86E6
Όγκος βασικής απορροής (M3)	2.86E5

Βροχόπτωση και Απορροή



Υπολεκάνη: EL0421FR001041

Έκταση (KM2) : 11.46

Κατάνη : J11

Μέθοδος Απωλειών: SCS

Ποσοστό αδιαπέρατης επιφάνειας	0.2
Αριθμός Καμπύλης Απορροής-CN	90.27
Αρχικές Απώλειες	5.48

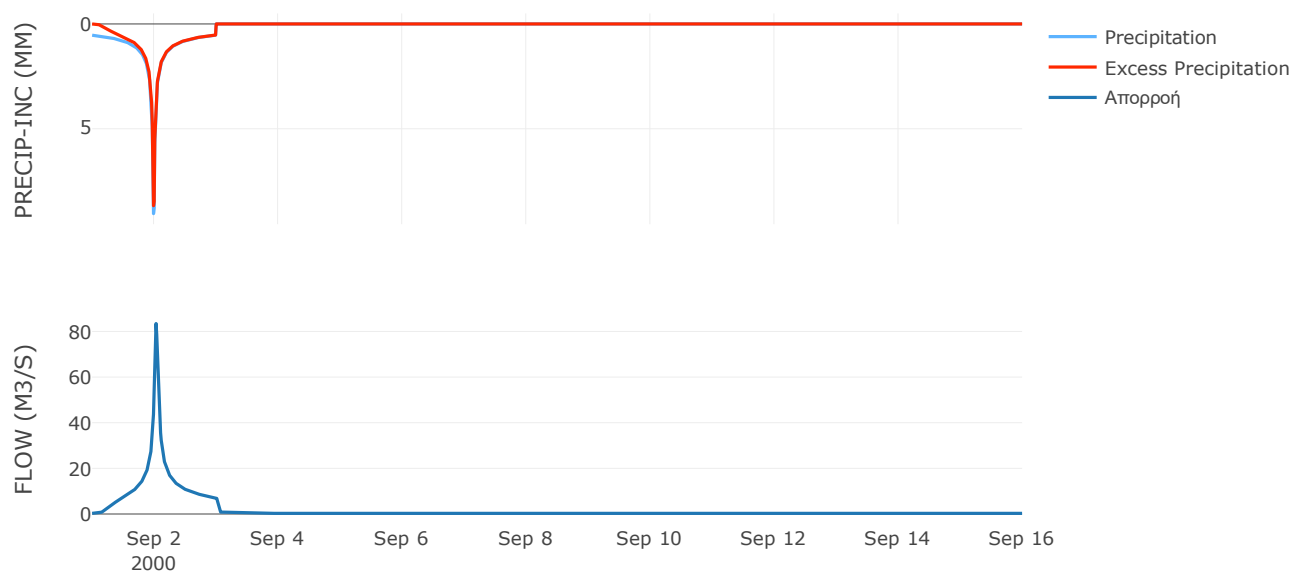
Μέθοδος
Μετασχηματισμού: SCS

Χρόνος Υστέρησης	41.94
------------------	-------

Αποτελέσματα:
EL0421FR001041

Παροχή αιχμής (M3/S)	83.48
Χρονική στιγμή αιχμής	02Sep2000, 00:45
Όγκος (MM)	231.88
Όγκος βροχόπτωσης (M3)	2.63E6
Όγκος απωλειών (M3)	3.42E5
Ενεργός Όγκος (M3)	2.29E6
Όγκος άμεσης απορροής (M3)	2.29E6
Όγκος βασικής απορροής (M3)	3.71E5

Βροχόπτωση και Απορροή



7.2 Δεδομένα και Υδρογραφήματα Σχεδιασμού Κλάδων Υδρογραφικού Δικτύου

Κλάδος: R21

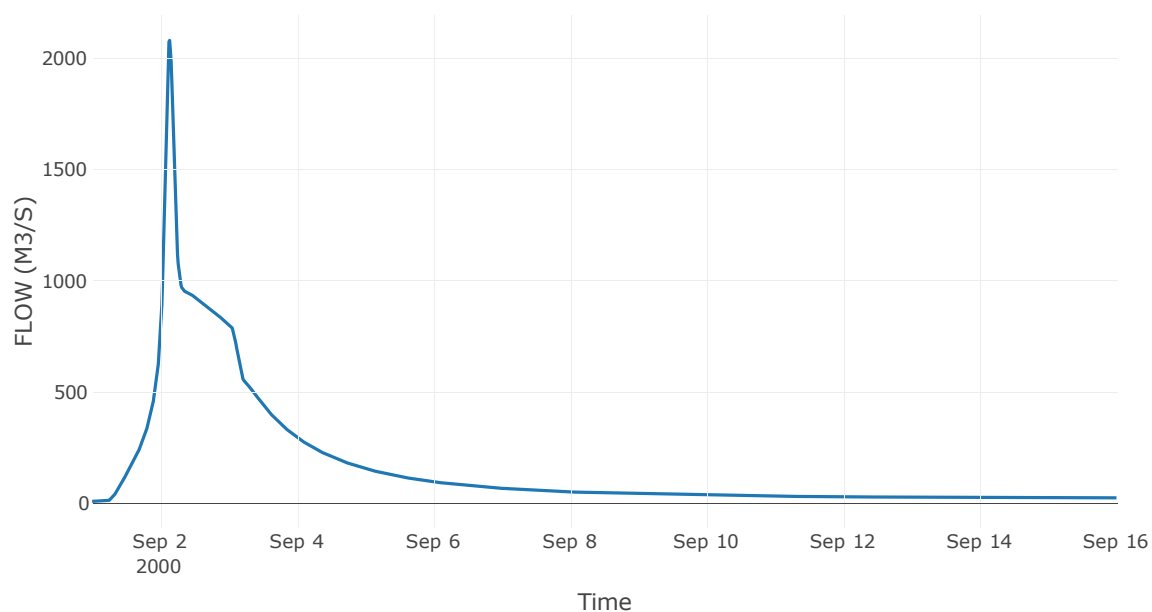
Κατάντη : J1

Μέθοδος διόδευσης	Muskingum
Αρχική Μεταβλητή	Combined Inflow
Χρόνος ροής K	0.7
Συντελεστής βάρους x	0.2
Πλήθος Υποκλάδων	3

Αποτελέσματα: R21

Παροχή Αιχμής(M3/S)	2079
Χρονική στιγμή αιχμής	02Sep2000, 03:15
Όγκος (MM)	226.59
Παροχή Αιχμής Εισόδου (M3/S)	2107.14
Όγκος Εισόδου(M3)	2.12E8

Απορροή



Κλάδος: R32

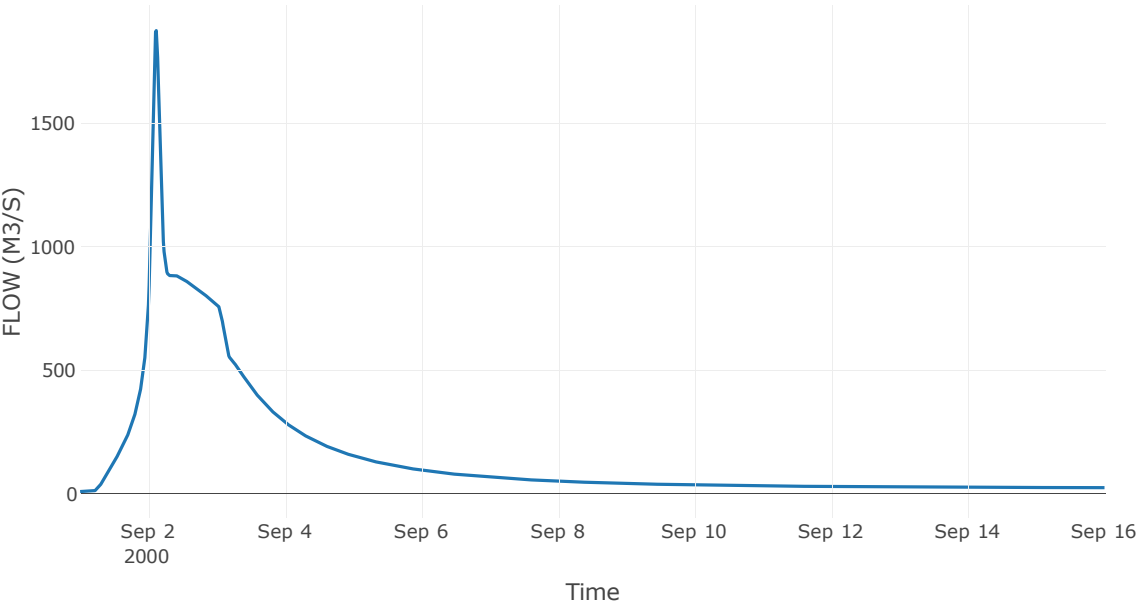
Κατάντη : J2

Μέθοδος διόδευσης	Muskingum
Αρχική Μεταβλητή	Combined Inflow
Χρόνος ροής K	0.2
Συντελεστής βάρους x	0.2
Πλήθος Υποκλάδων	1

Αποτελέσματα: R32

Παροχή Αιχμής(M3/S)	1874.59
Χρονική στιγμή αιχμής	02Sep2000, 02:45
Όγκος (MM)	227.74
Παροχή Αιχμής Εισόδου (M3/S)	1885.03
Όγκος Εισόδου(M3)	2E8

Απορροή



Κλάδος: R43

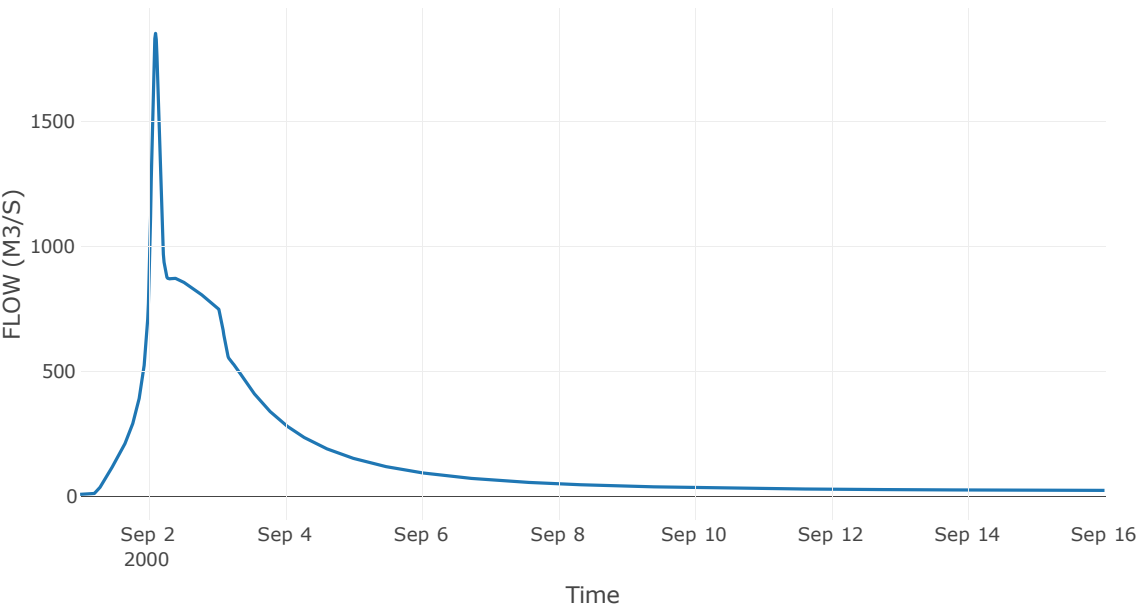
Κατάντη : J3

Μέθοδος διόδευσης	Muskingum
Αρχική Μεταβλητή	Combined Inflow
Χρόνος ροής K	0.43
Συντελεστής βάρους x	0.2
Πλήθος Υποκλάδων	2

Αποτελέσματα: R43

Παροχή Αιχμής(M3/S)	1852.19
Χρονική στιγμή αιχμής	02Sep2000, 02:30
Όγκος (MM)	227.91
Παροχή Αιχμής Εισόδου (M3/S)	1872.08
Όγκος Εισόδου(M3)	1.98E8

Απορροή



Κλάδος: R54

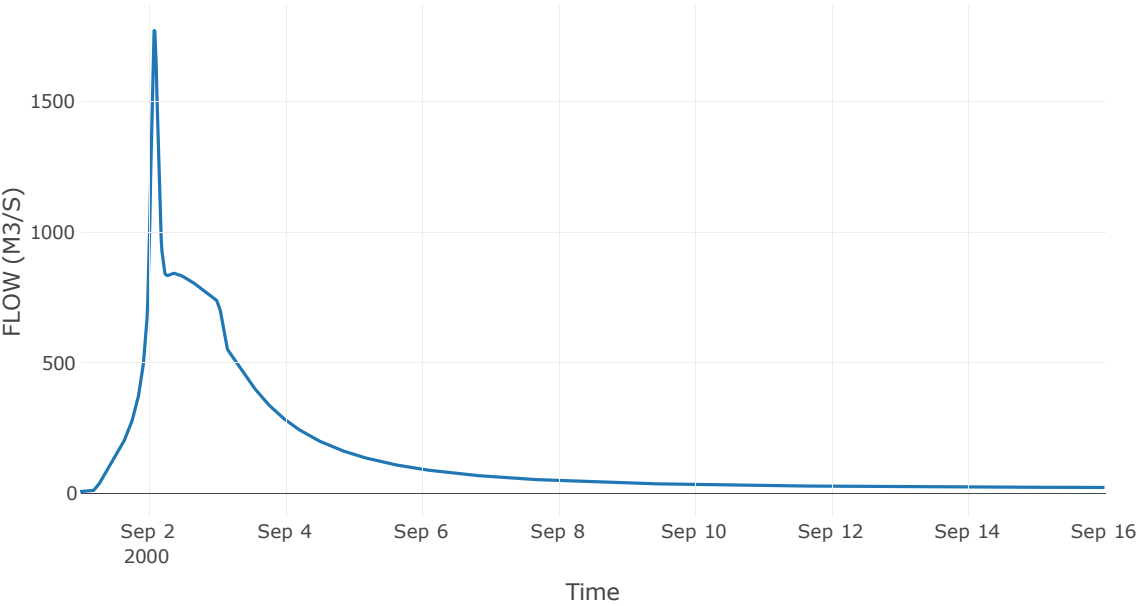
Κατάντη : J4

Μέθοδος διόδευσης	Muskingum
Αρχική Μεταβλητή	Combined Inflow
Χρόνος ροής K	0.17
Συντελεστής βάρους x	0.2
Πλήθος Υποκλάδων	1

Αποτελέσματα: R54

Παροχή Αιχμής(M3/S)	1770.13
Χρονική στιγμή αιχμής	02Sep2000, 02:00
Όγκος (MM)	228.74
Παροχή Αιχμής Εισόδου (M3/S)	1782.52
Όγκος Εισόδου(M3)	1.93E8

Απορροή



Κλάδος: R65

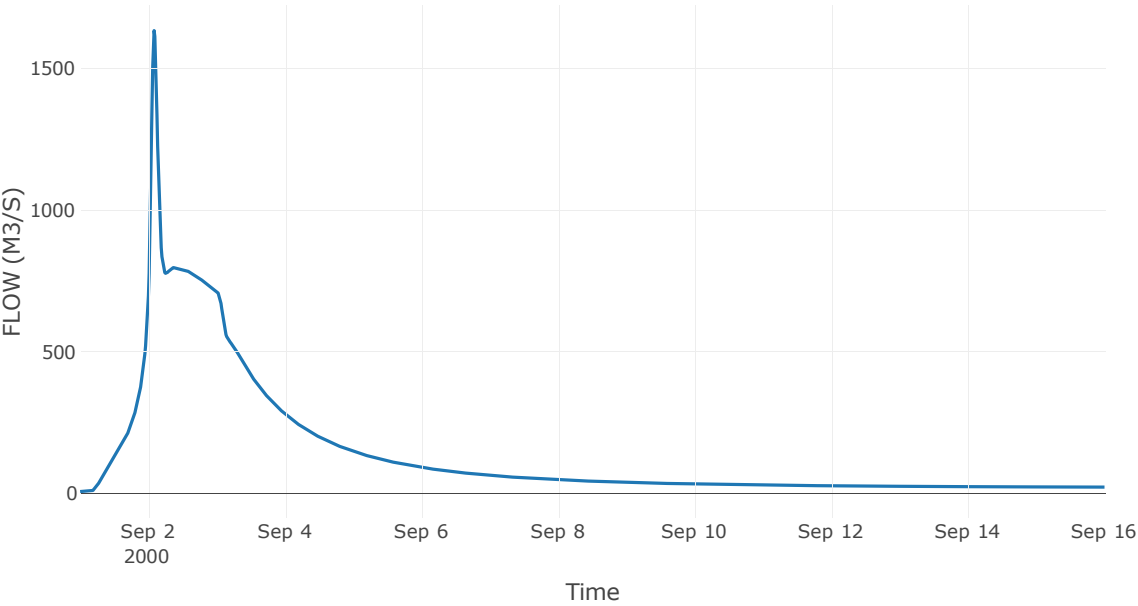
Κατάντη : J5

Μέθοδος διόδευσης	Muskingum
Αρχική Μεταβλητή	Combined Inflow
Χρόνος ροής K	0.48
Συντελεστής βάρους x	0.2
Πλήθος Υποκλάδων	2

Αποτελέσματα: R65

Παροχή Αιχμής(M3/S)	1633.5
Χρονική στιγμή αιχμής	02Sep2000, 02:00
Όγκος (MM)	229.58
Παροχή Αιχμής Εισόδου (M3/S)	1667.16
Όγκος Εισόδου(M3)	1.85E8

Απορροή



Κλάδος: R76

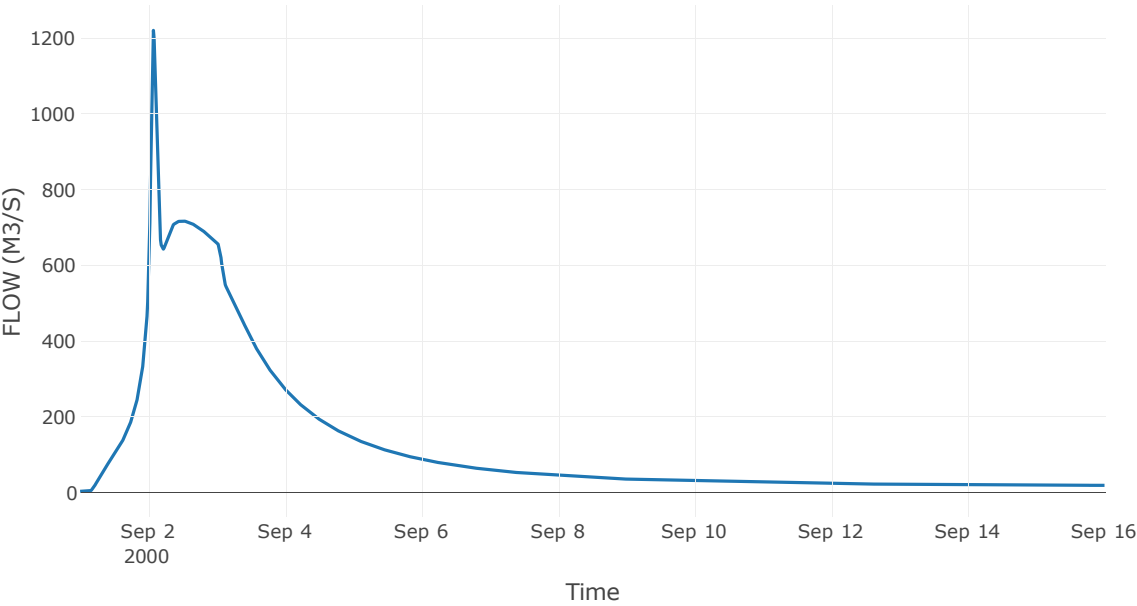
Κατάντη : J6

Μέθοδος διόδευσης	Muskingum
Αρχική Μεταβλητή	Combined Inflow
Χρόνος ροής K	0.58
Συντελεστής βάρους x	0.2
Πλήθος Υποκλάδων	2

Αποτελέσματα: R76

Παροχή Αιχμής(M3/S)	1219.87
Χρονική στιγμή αιχμής	02Sep2000, 01:45
Όγκος (MM)	230.11
Παροχή Αιχμής Εισόδου (M3/S)	1268.23
Όγκος Εισόδου(M3)	1.68E8

Απορροή



Κλάδος: R87

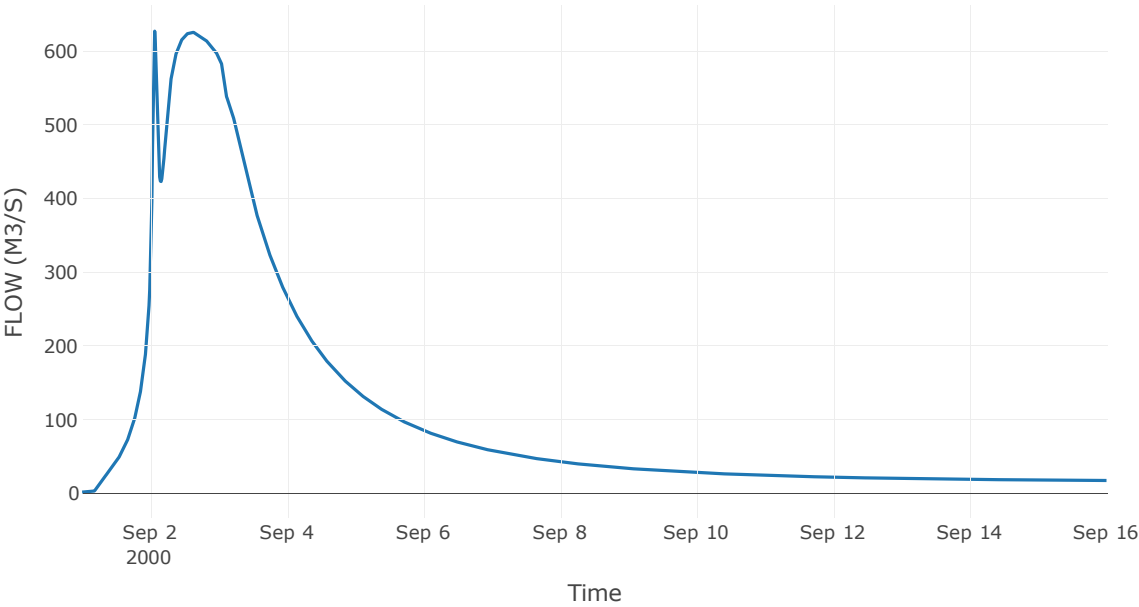
Κατάντη : J7

Μέθοδος διόδευσης	Χρόνος υστέρησης
Αρχική Μεταβλητή	Combined Inflow
Χρόνος υστέρησης	31.02

Αποτελέσματα: R87

Παροχή Αιχμής(M3/S)	626.8
Χρονική στιγμή αιχμής	02Sep2000, 01:30
Όγκος (MM)	227.73
Παροχή Αιχμής Εισόδου (M3/S)	627.67
Όγκος Εισόδου(M3)	1.44E8

Απορροή



Κλάδος: R98

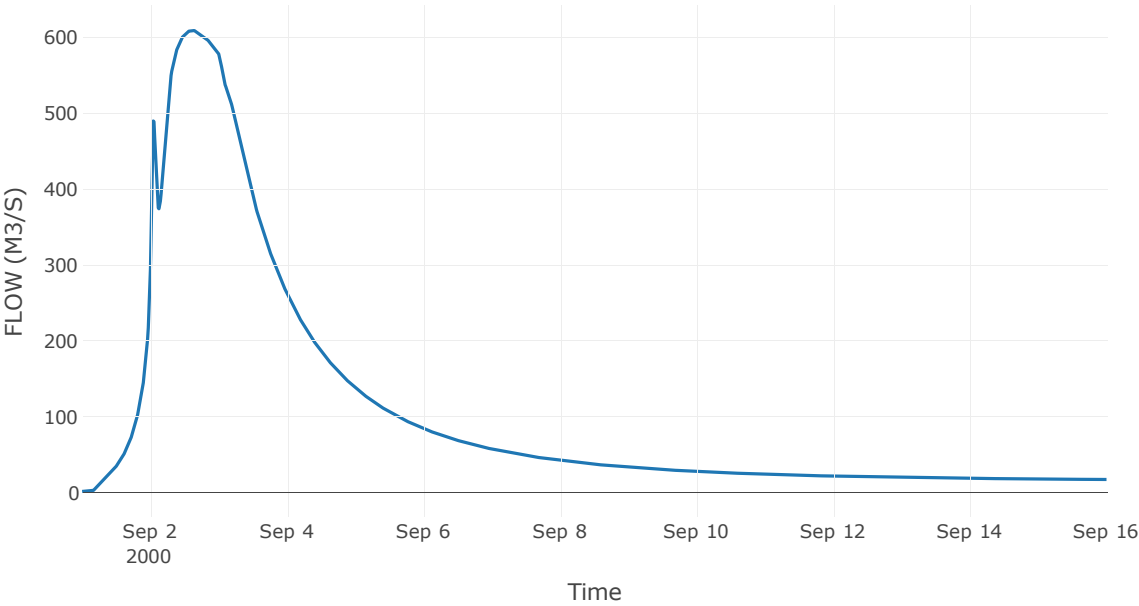
Κατάντη : J8

Μέθοδος διόδευσης	Muskingum
Αρχική Μεταβλητή	Combined Inflow
Χρόνος ροής K	0.28
Συντελεστής βάρους x	0.2
Πλήθος Υποκλάδων	1

Αποτελέσματα: R98

Παροχή Αιχμής(M3/S)	608.72
Χρονική στιγμή αιχμής	02Sep2000, 14:45
Όγκος (MM)	227.65
Παροχή Αιχμής Εισόδου (M3/S)	608.75
Όγκος Εισόδου(M3)	1.4E8

Απορροή



Κλάδος: R109

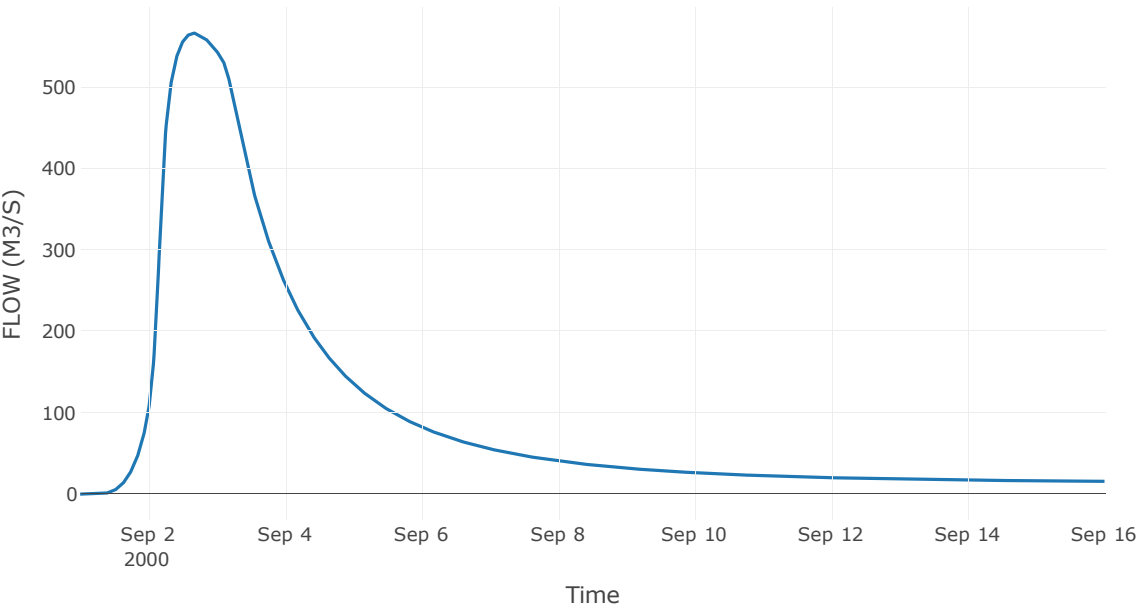
Κατάντη : J9

Μέθοδος διόδευσης	Χρόνος υστέρησης
Αρχική Μεταβλητή	Combined Inflow
Χρόνος υστέρησης	9.07

Αποτελέσματα: R109

Παροχή Αιχμής(M3/S)	565.94
Χρονική στιγμή αιχμής	02Sep2000, 16:00
Όγκος (MM)	227.26
Παροχή Αιχμής Εισόδου (M3/S)	565.94
Όγκος Εισόδου(M3)	1.27E8

Απορροή



Κλάδος: R1110

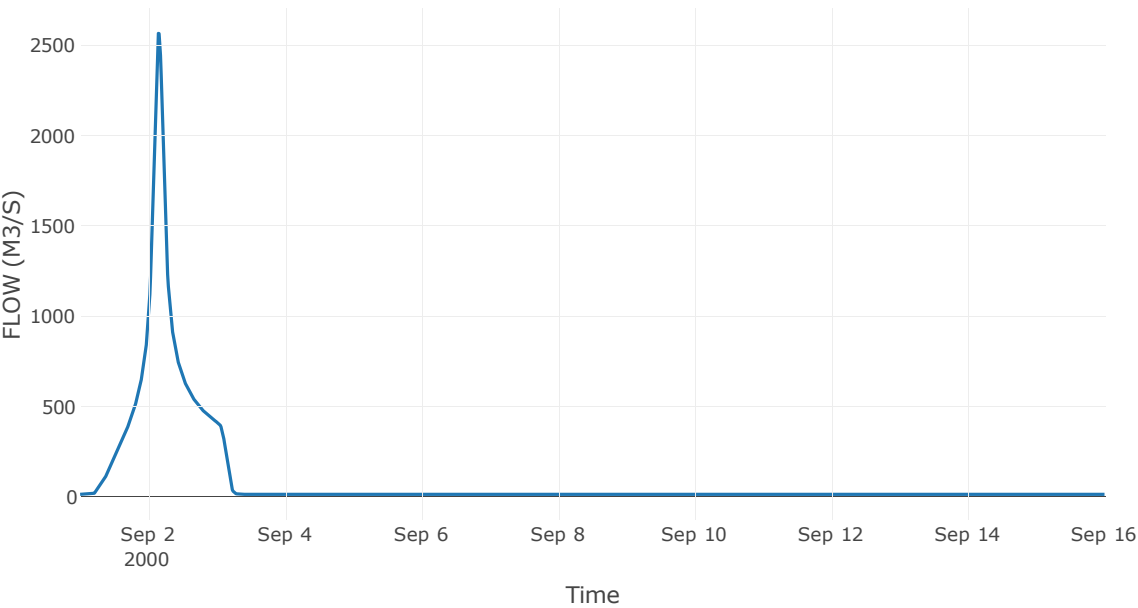
Κατάντη : J10 Res1

Μέθοδος διόδευσης	Muskingum
Αρχική Μεταβλητή	Combined Inflow
Χρόνος ροής K	0.6
Συντελεστής βάρους x	0.2
Πλήθος Υποκλάδων	3

Αποτελέσματα: R1110

Παροχή Αιχμής(M3/S)	2567.97
Χρονική στιγμή αιχμής	02Sep2000, 03:30
Όγκος (MM)	239.88
Παροχή Αιχμής Εισόδου (M3/S)	2593.24
Όγκος Εισόδου(M3)	1.28E8

Απορροή



Κλάδος: R1211

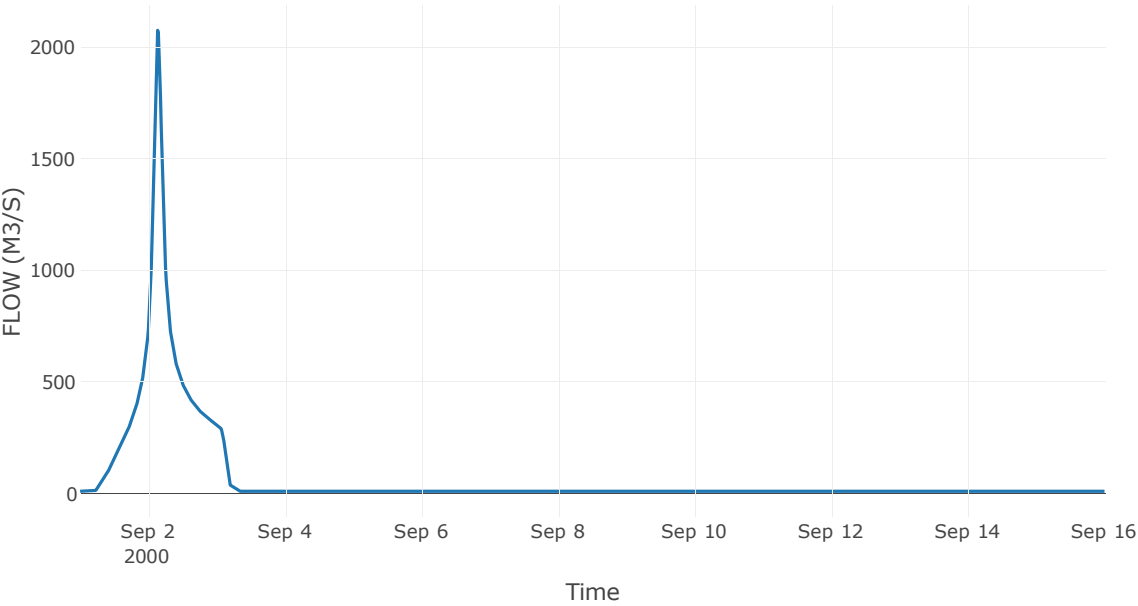
Κατάντη : J11

Μέθοδος διόδευσης	Muskingum
Αρχική Μεταβλητή	Combined Inflow
Χρόνος ροής K	1.1
Συντελεστής βάρους x	0.2
Πλήθος Υποκλάδων	5

Αποτελέσματα: R1211

Παροχή Αιχμής(M3/S)	2074.27
Χρονική στιγμή αιχμής	02Sep2000, 03:15
Όγκος (MM)	235.6
Παροχή Αιχμής Εισόδου (M3/S)	2136.7
Όγκος Εισόδου(M3)	9.46E7

Απορροή



Κλάδος: R1312

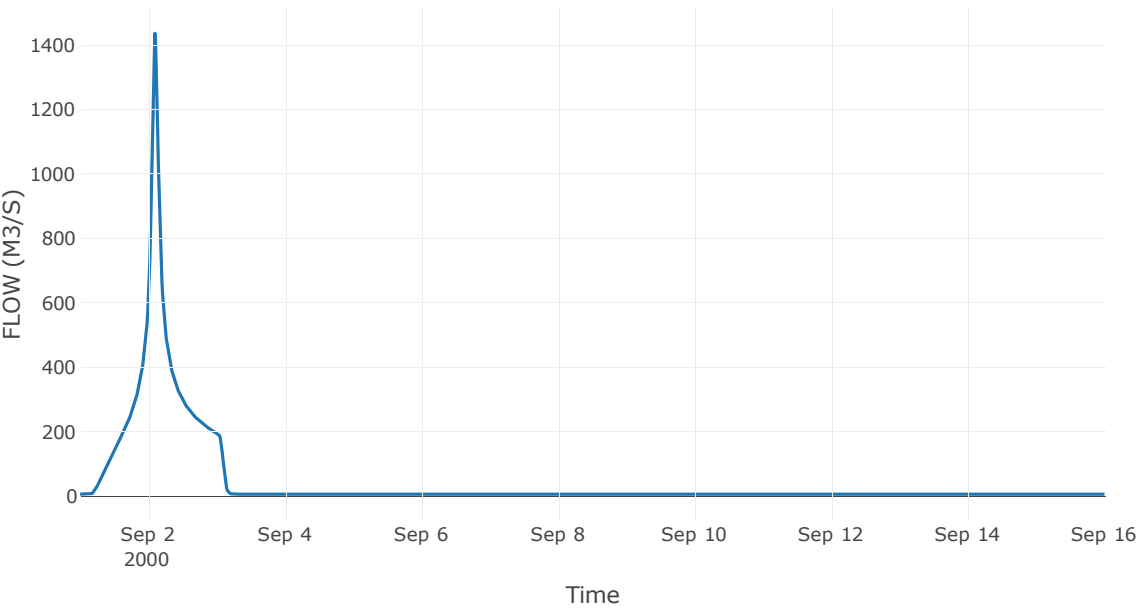
Κατάντη : J12

Μέθοδος διόδευσης	Muskingum
Αρχική Μεταβλητή	Combined Inflow
Χρόνος ροής K	0.69
Συντελεστής βάρους x	0.2
Πλήθος Υποκλάδων	3

Αποτελέσματα: R1312

Παροχή Αιχμής(M3/S)	1435.93
Χρονική στιγμή αιχμής	02Sep2000, 02:15
Όγκος (MM)	271.64
Παροχή Αιχμής Εισόδου (M3/S)	1474.58
Όγκος Εισόδου(M3)	6.11E7

Απορροή



Κλάδος: R1413

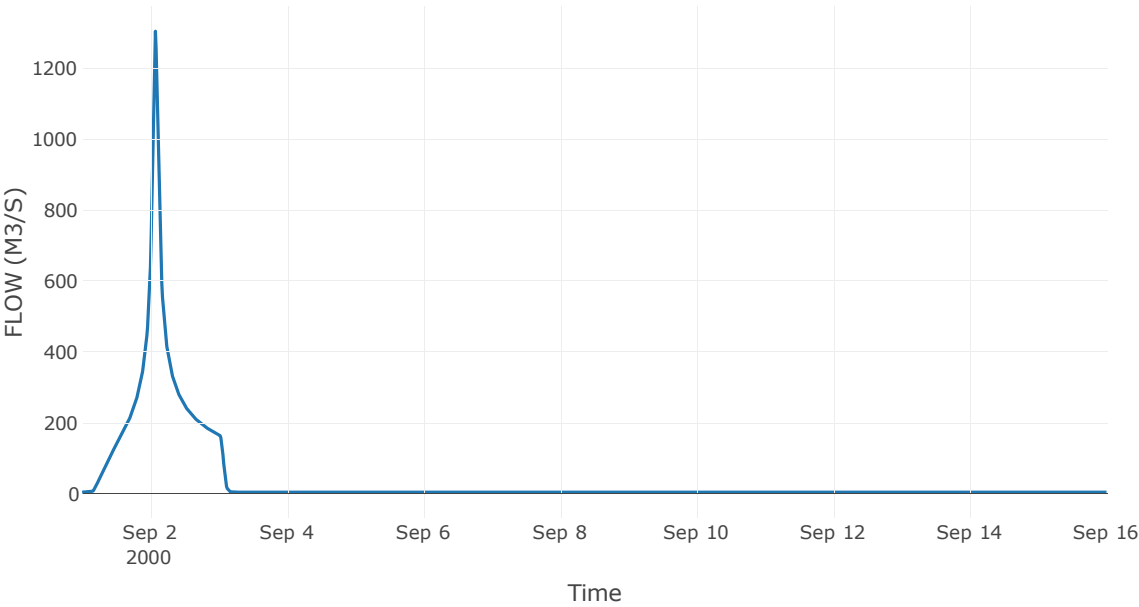
Κατάντη : J13

Μέθοδος διόδευσης	Χρόνος υστέρησης
Αρχική Μεταβλητή	Combined Inflow
Χρόνος υστέρησης	25.35

Αποτελέσματα: R1413

Παροχή Αιχμής(M3/S)	1303.54
Χρονική στιγμή αιχμής	02Sep2000, 01:45
Όγκος (MM)	278.1
Παροχή Αιχμής Εισόδου (M3/S)	1314.2
Όγκος Εισόδου(M3)	5.31E7

Απορροή



Κλάδος: R1514

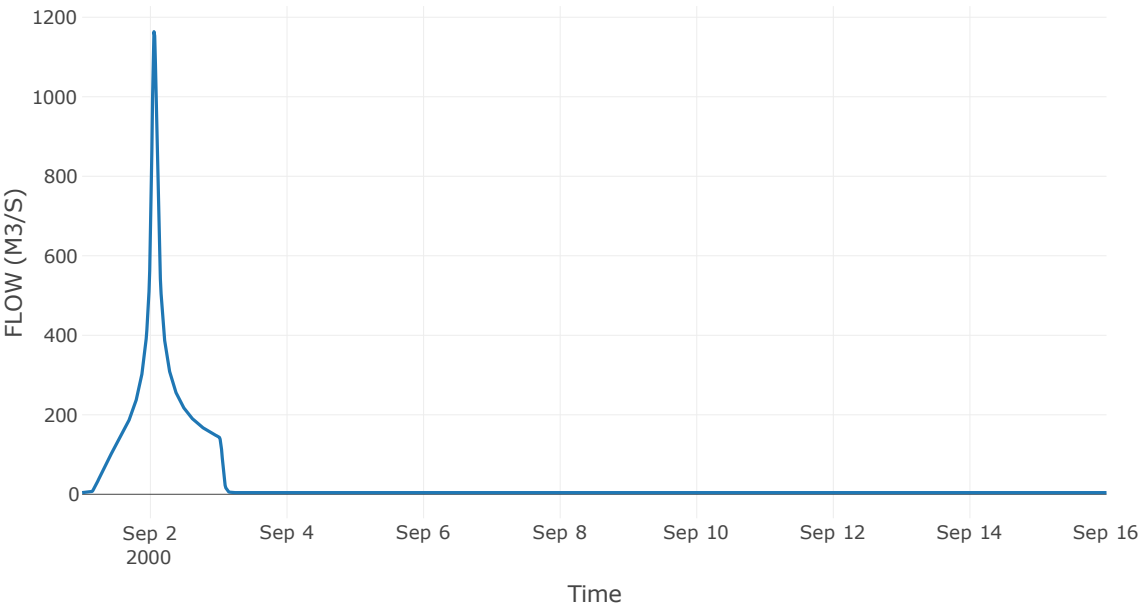
Κατάντη : J14

Μέθοδος διόδευσης	Χρόνος υστέρησης
Αρχική Μεταβλητή	Combined Inflow
Χρόνος υστέρησης	8.79

Αποτελέσματα: R1514

Παροχή Αιχμής(M3/S)	1163.77
Χρονική στιγμή αιχμής	02Sep2000, 01:15
Όγκος (MM)	277.81
Παροχή Αιχμής Εισόδου (M3/S)	1175.43
Όγκος Εισόδου(M3)	4.62E7

Απορροή



Κλάδος: R1615

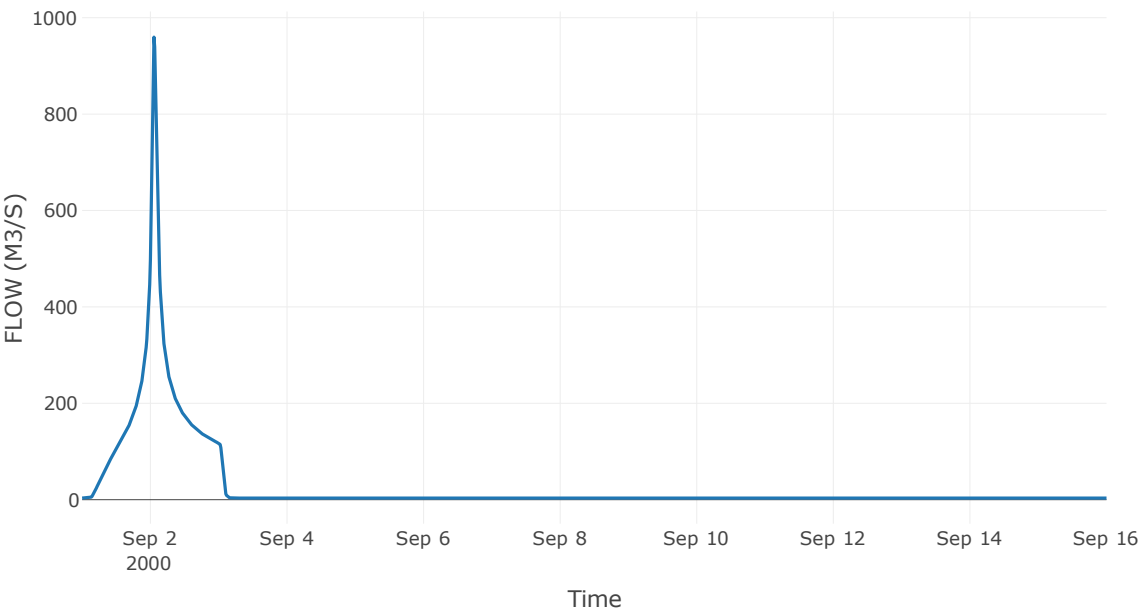
Κατάντη : J15

Μέθοδος διόδευσης	Χρόνος υστέρησης
Αρχική Μεταβλητή	Combined Inflow
Χρόνος υστέρησης	21.56

Αποτελέσματα: R1615

Παροχή Αιχμής(M3/S)	959.71
Χρονική στιγμή αιχμής	02Sep2000, 01:15
Όγκος (MM)	280.03
Παροχή Αιχμής Εισόδου (M3/S)	967.58
Όγκος Εισόδου(M3)	3.74E7

Απορροή



Κλάδος: R1716

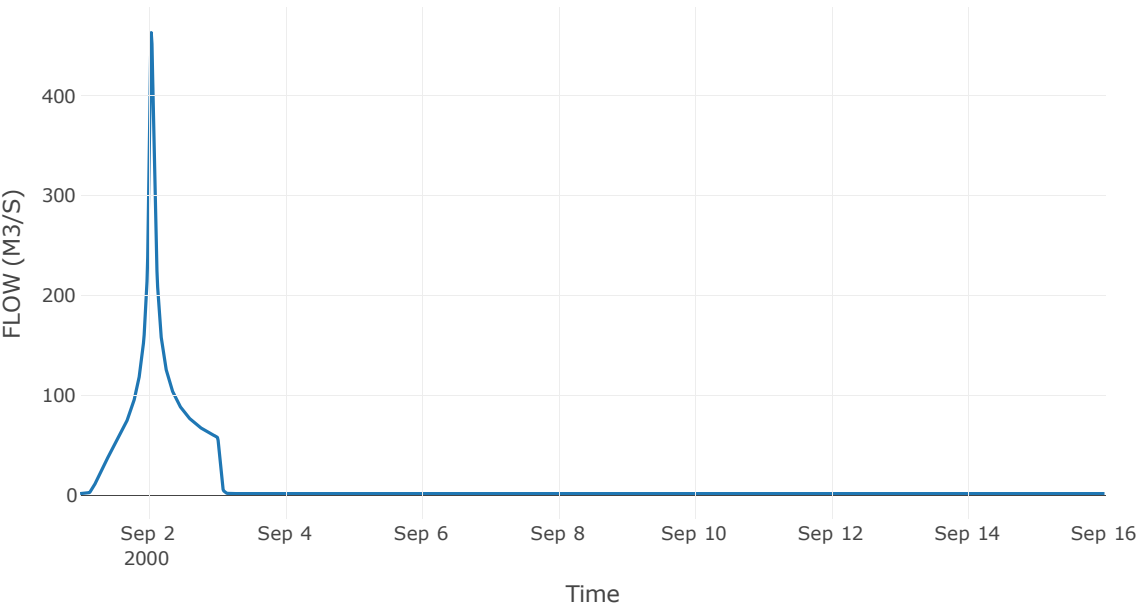
Κατάντη : J16

Μέθοδος διόδευσης	Χρόνος υστέρησης
Αρχική Μεταβλητή	Combined Inflow
Χρόνος υστέρησης	12.55

Αποτελέσματα: R1716

Παροχή Αιχμής(M3/S)	462.99
Χρονική στιγμή αιχμής	02Sep2000, 01:00
Όγκος (MM)	266.06
Παροχή Αιχμής Εισόδου (M3/S)	464.18
Όγκος Εισόδου(M3)	1.82E7

Απορροή



Κλάδος: R1811

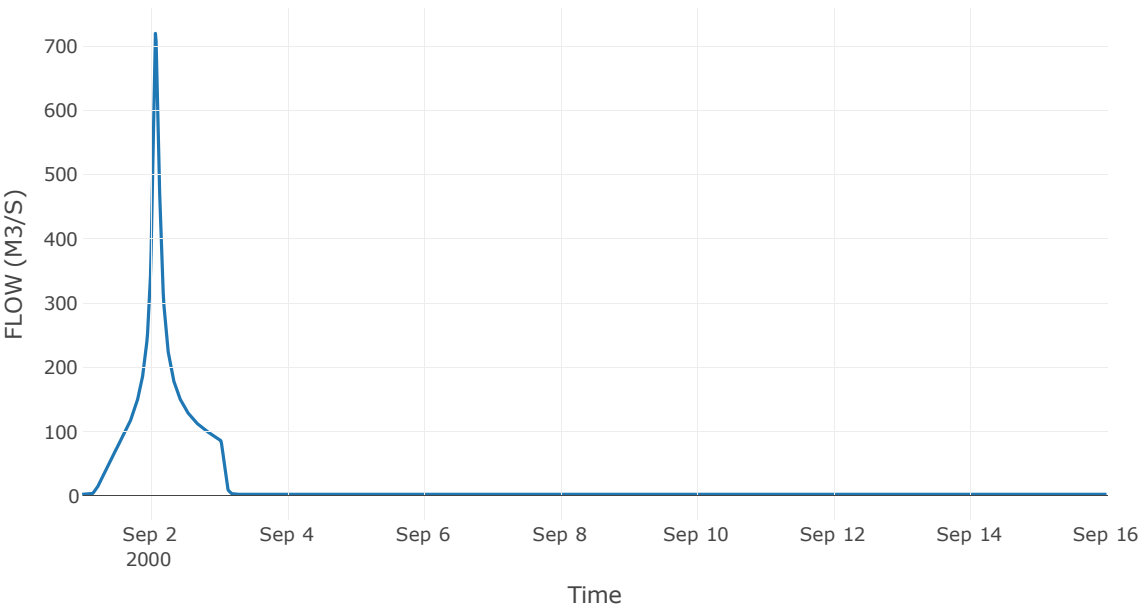
Κατάντη : J11

Μέθοδος διόδευσης	Muskingum
Αρχική Μεταβλητή	Combined Inflow
Χρόνος ροής K	0.5
Συντελεστής βάρους x	0.2
Πλήθος Υποκλάδων	2

Αποτελέσματα: R1811

Παροχή Αιχμής(M3/S)	719.25
Χρονική στιγμή αιχμής	02Sep2000, 01:45
Όγκος (MM)	255.72
Παροχή Αιχμής Εισόδου (M3/S)	738.57
Όγκος Εισόδου(M3)	2.98E7

Απορροή



Κλάδος: R1918

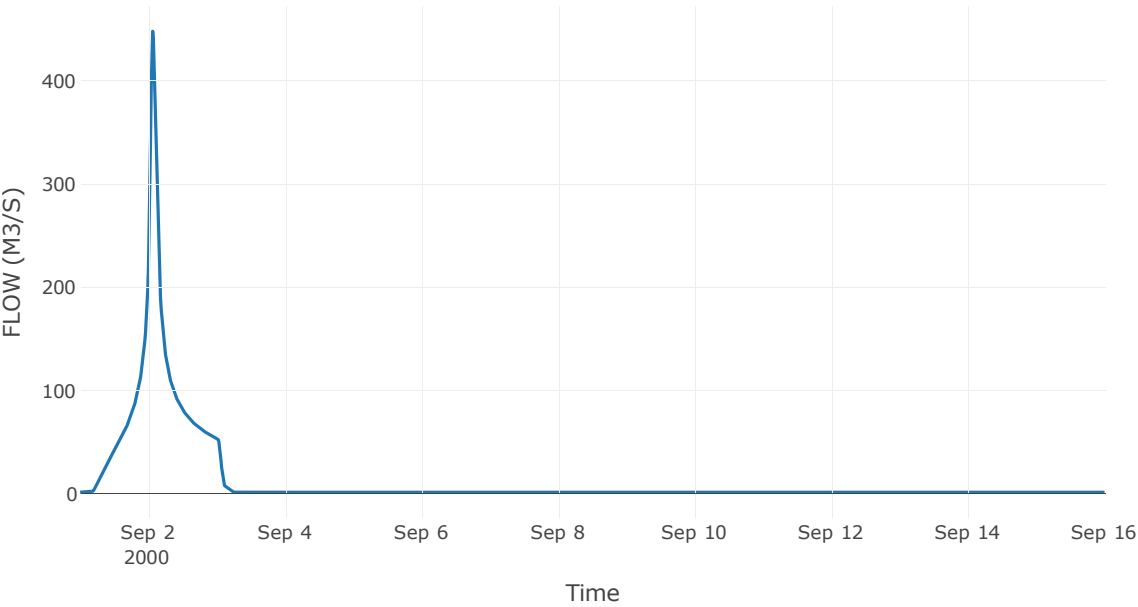
Κατάντη : J18

Μέθοδος διόδευσης	Χρόνος υστέρησης
Αρχική Μεταβλητή	Combined Inflow
Χρόνος υστέρησης	20.31

Αποτελέσματα: R1918

Παροχή Αιχμής(M3/S)	447.97
Χρονική στιγμή αιχμής	02Sep2000, 01:30
Όγκος (MM)	254.71
Παροχή Αιχμής Εισόδου (M3/S)	449.92
Όγκος Εισόδου(M3)	1.77E7

Απορροή



Κλάδος: R2012

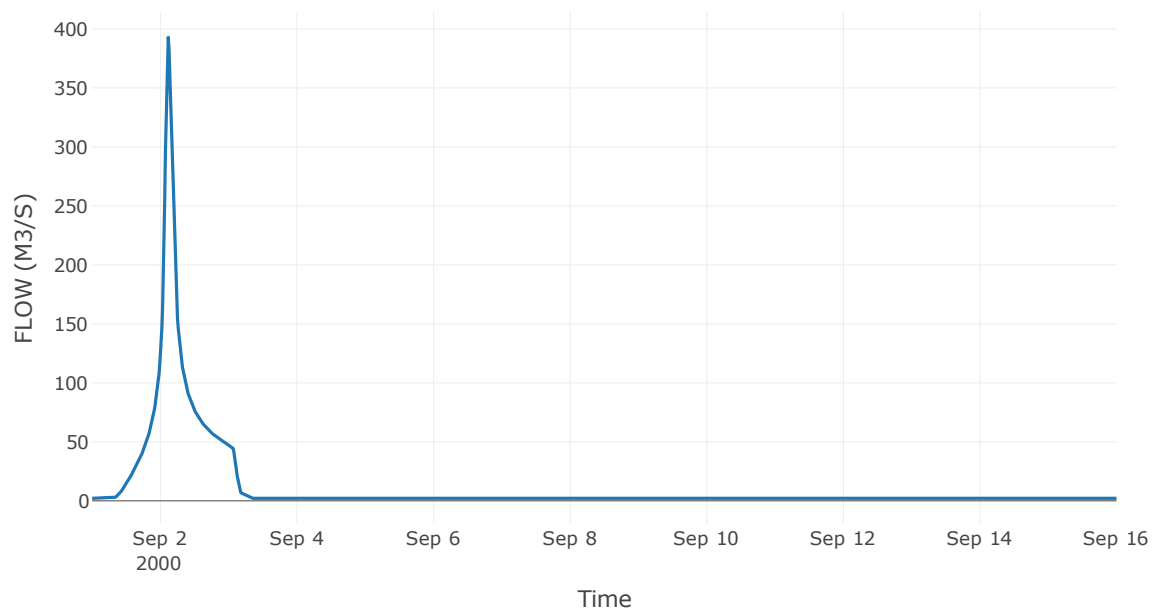
Κατάντη : J12

Μέθοδος διόδευσης	Muskingum
Αρχική Μεταβλητή	Combined Inflow
Χρόνος ροής K	1.02
Συντελεστής βάρους α	0.2
Πλήθος Υποκλάδων	4

Αποτελέσματα: R2012

Παροχή Αιχμής(M3/S)	392.89
Χρονική στιγμή αιχμής	02Sep2000, 02:45
Όγκος (MM)	180.66
Παροχή Αιχμής Εισόδου (M3/S)	412.29
Όγκος Εισόδου(M3)	1.55E7

Απορροή



Κλάδος: R2120

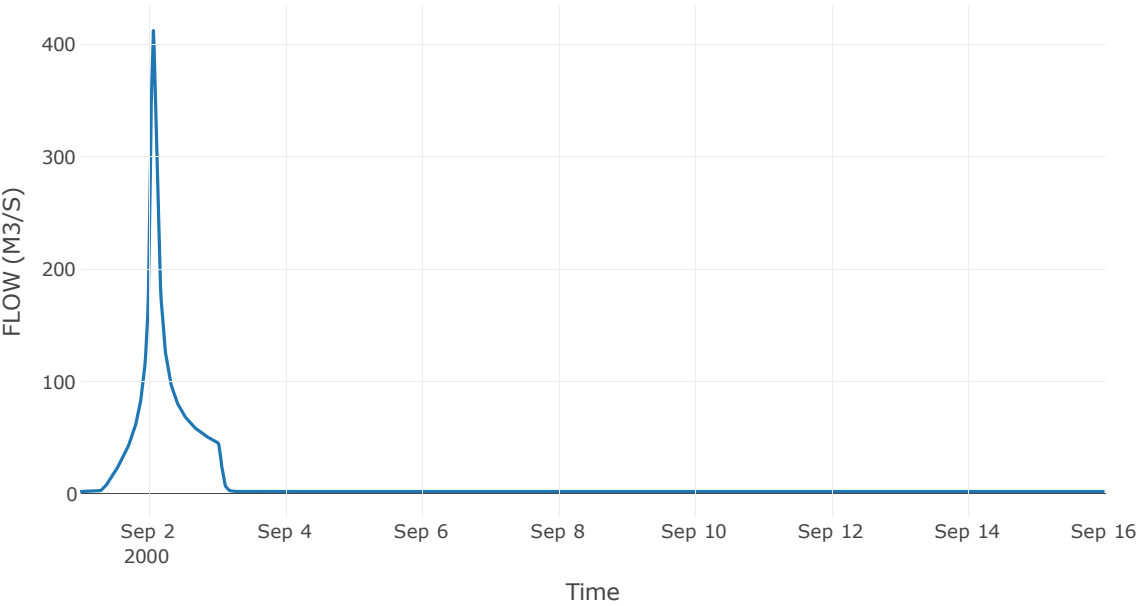
Κατάντη : J20

Μέθοδος διόδευσης	Muskingum
Αρχική Μεταβλητή	Combined Inflow
Χρόνος ροής K	0.36
Συντελεστής βάρους x	0.2
Πλήθος Υποκλάδων	2

Αποτελέσματα: R2120

Παροχή Αιχμής(M3/S)	412.29
Χρονική στιγμή αιχμής	02Sep2000, 01:45
Όγκος (MM)	180.66
Παροχή Αιχμής Εισόδου (M3/S)	420.35
Όγκος Εισόδου(M3)	1.55E7

Απορροή



Κλάδος: R227

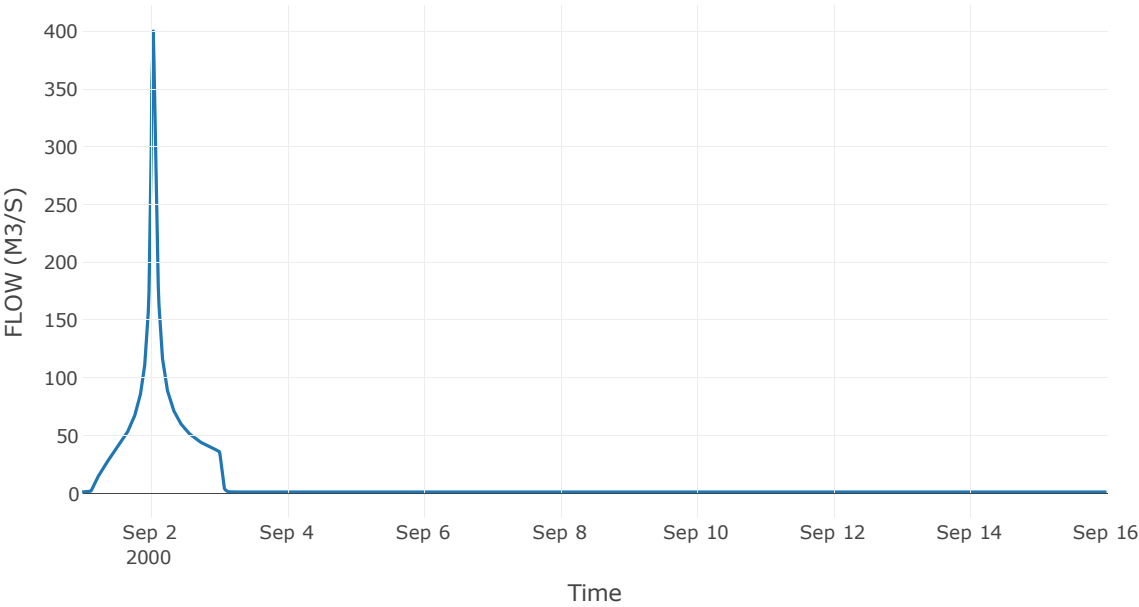
Κατάντη : J7

Μέθοδος διόδευσης	Χρόνος υστέρησης
Αρχική Μεταβλητή	Combined Inflow
Χρόνος υστέρησης	8.47

Αποτελέσματα: R227

Παροχή Αιχμής(M3/S)	400.21
Χρονική στιγμή αιχμής	02Sep2000, 01:00
Όγκος (MM)	254.38
Παροχή Αιχμής Εισόδου (M3/S)	407.39
Όγκος Εισόδου(M3)	1.36E7

Απορροή



Κλάδος: R232

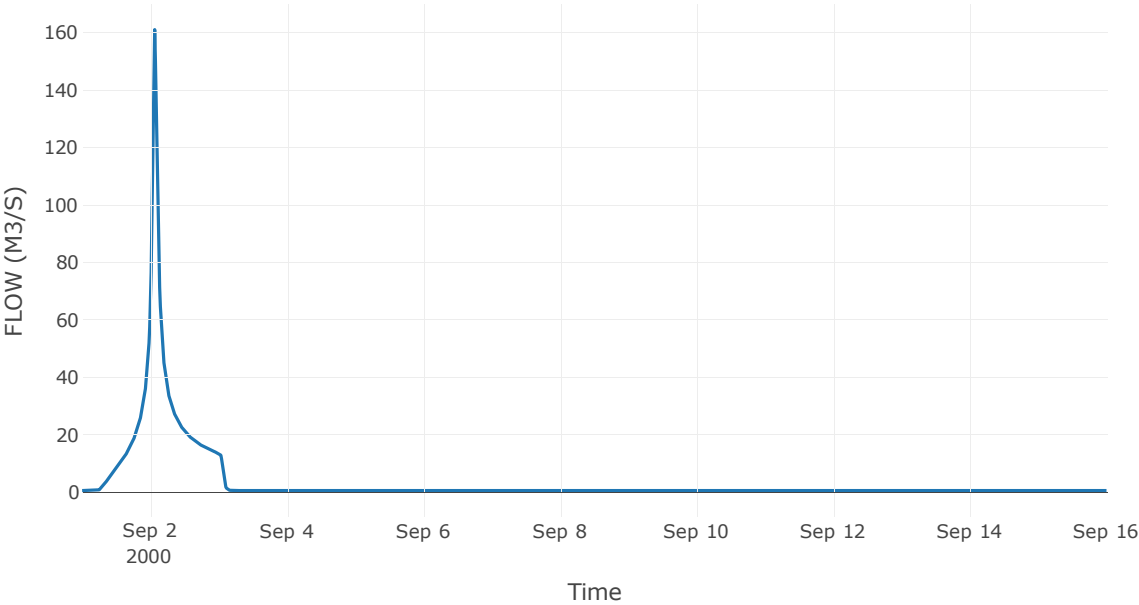
Κατάντη : J2

Μέθοδος διόδευσης	Χρόνος υστέρησης
Αρχική Μεταβλητή	Combined Inflow
Χρόνος υστέρησης	29.78

Αποτελέσματα: R232

Παροχή Αιχμής(M3/S)	160.91
Χρονική στιγμή αιχμής	02Sep2000, 01:30
Όγκος (MM)	217.36
Παροχή Αιχμής Εισόδου (M3/S)	161.59
Όγκος Εισόδου(M3)	4.9E6

Απορροή



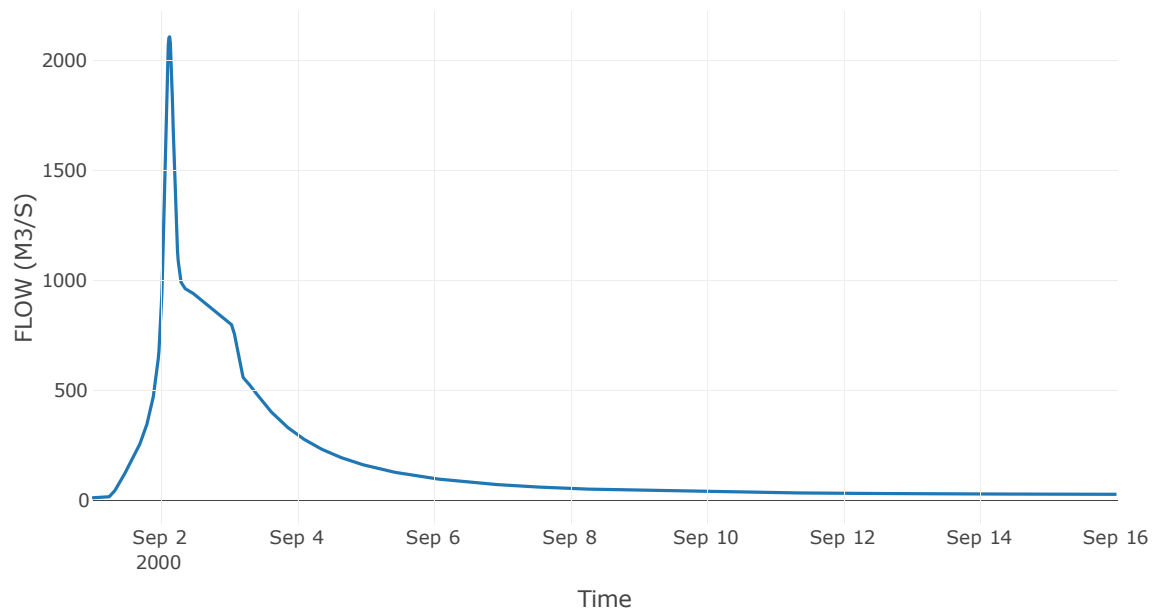
7.3 Δεδομένα και Υδρογραφήματα Σχεδιασμού Κόμβων Υδρογραφικού Δικτύου

Κόμβος εξόδου: J1

Αποτέλεσμα
τα: J1

Παροχή αιχμής (M3/S)	2104.56
Χρονική στιγμή αιχμής	02Sep2000, 03:15
Όγκος (MM)	226.45

Απορροή



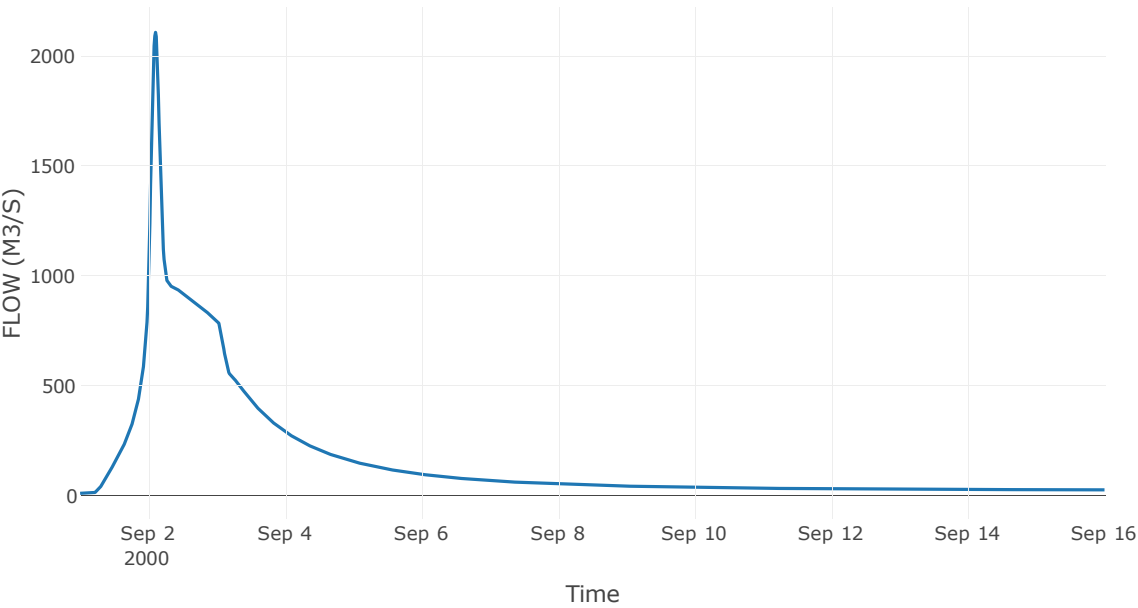
Κόμβος: J2

Κατάντη : R21

Αποτελέσματα: J2

Παροχή Αιχμής(M3/S)	2107.14
Χρονική στιγμή αιχμής	02Sep2000, 02:30
Όγκος (MM)	226.63

Απορροή



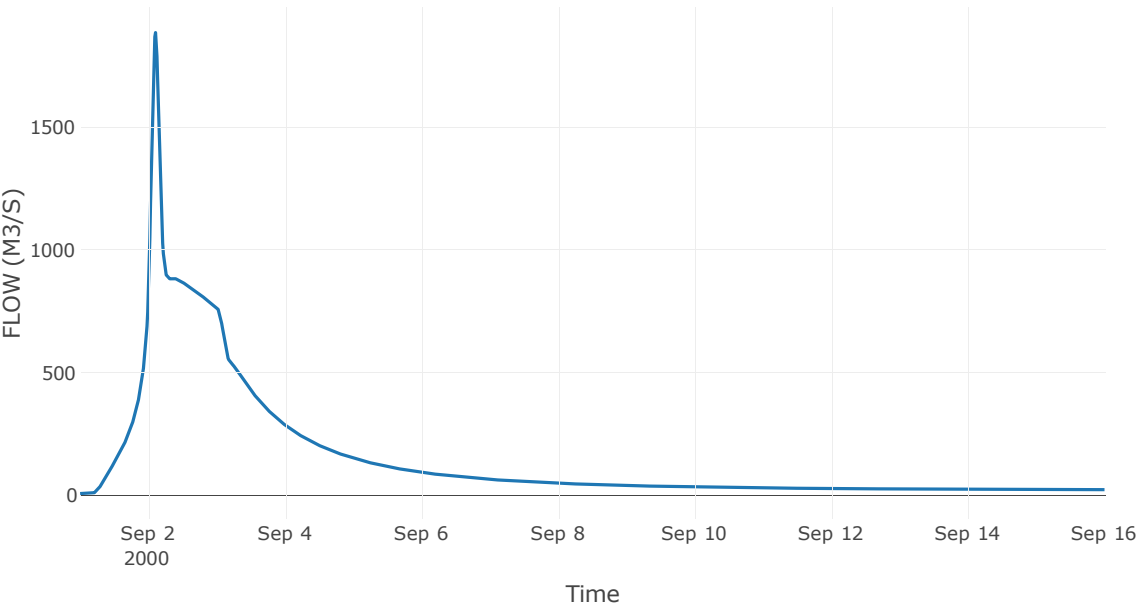
Κόμβος: J3

Κατάντη : R32

Αποτελέσματα: J3

Παροχή Αιχμής(M3/S)	1885.03
Χρονική στιγμή αιχμής	02Sep2000, 02:30
Όγκος (MM)	227.76

Απορροή



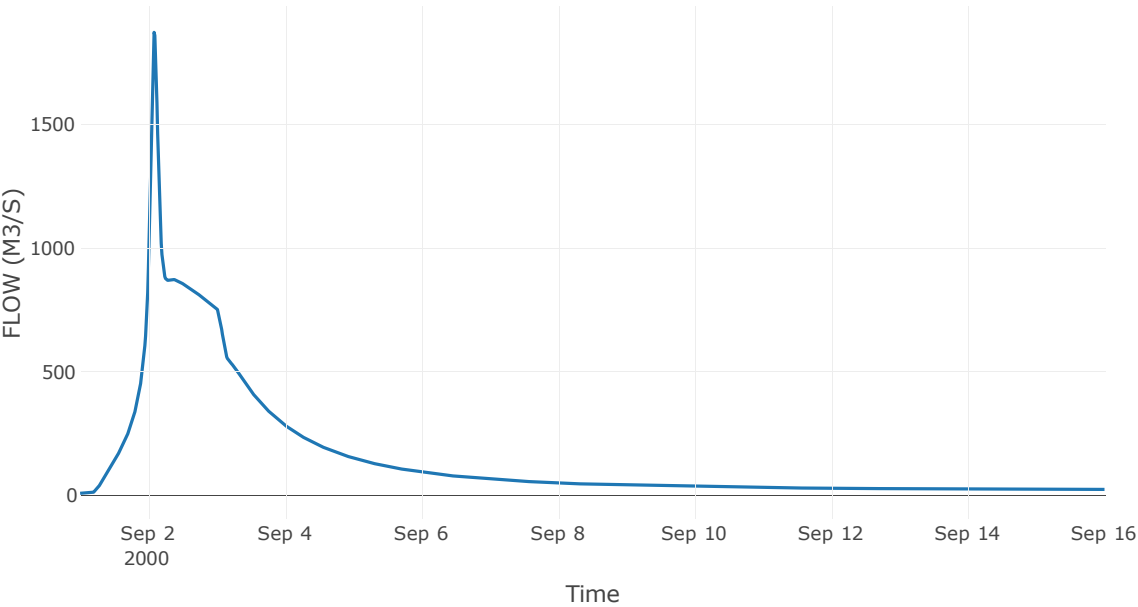
Κόμβος: J4

Κατάντη : R43

Αποτελέσματα: J4

Παροχή Αιχμής(M3/S)	1872.08
Χρονική στιγμή αιχμής	02Sep2000, 02:00
Όγκος (MM)	227.94

Απορροή



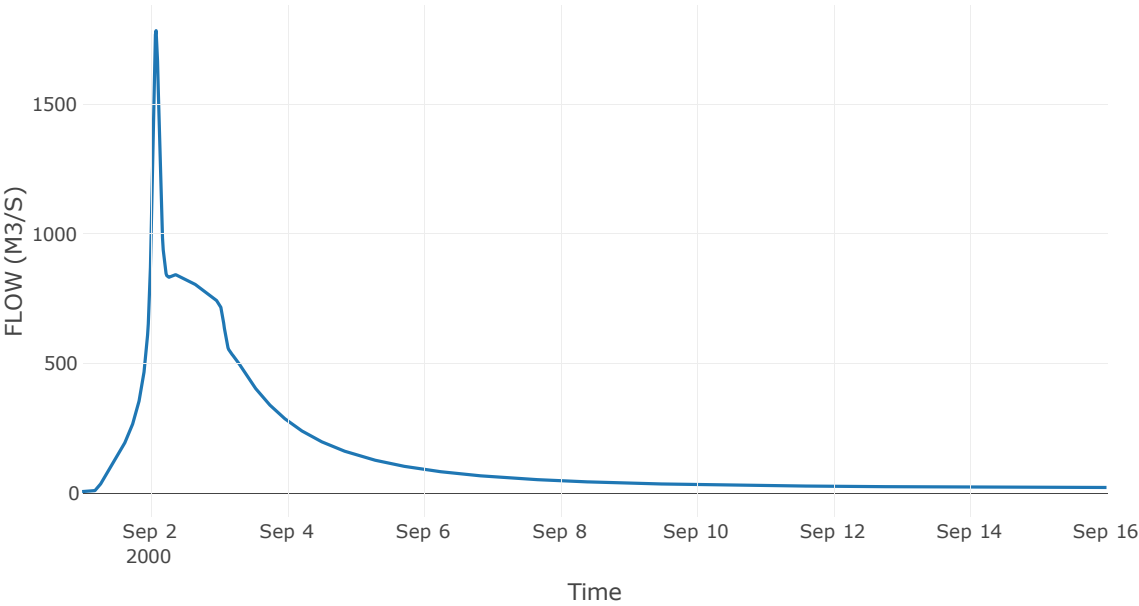
Κόμβος: J5

Κατάντη : R54

Αποτελέσματα: J5

Παροχή Αιχμής(M3/S)	1782.52
Χρονική στιγμή αιχμής	02Sep2000, 02:00
Όγκος (MM)	228.75

Απορροή



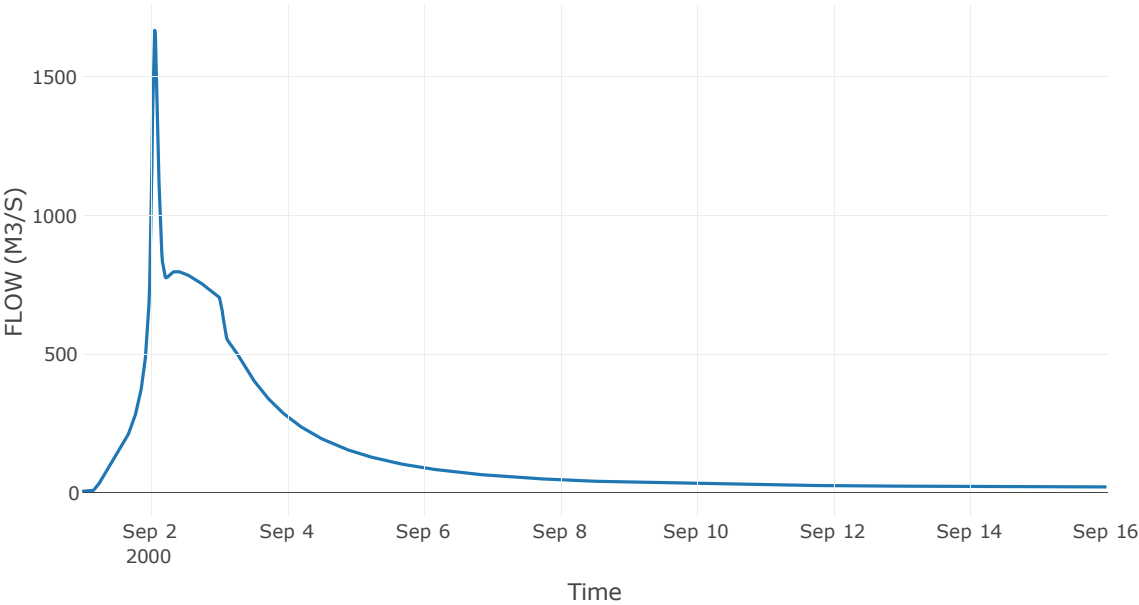
Κόμβος: J6

Κατάντη : R65

Αποτελέσματα: J6

Παροχή Αιχμής(M3/S)	1667.16
Χρονική στιγμή αιχμής	02Sep2000, 01:30
Όγκος (MM)	229.62

Απορροή



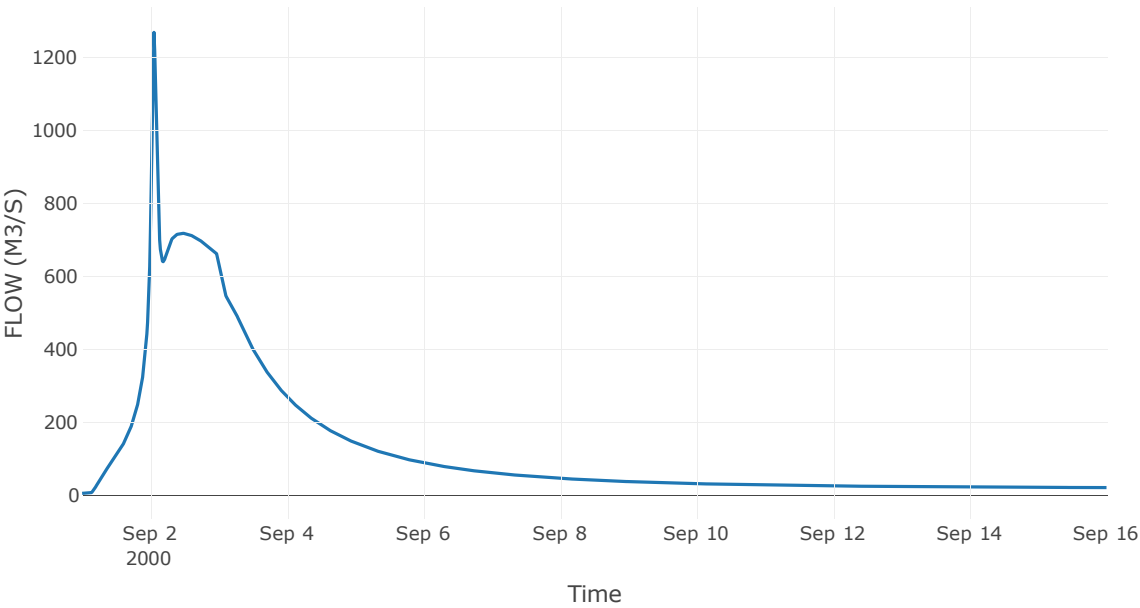
Κόμβος: J7

Κατάντη : R76

Αποτελέσματα: J7

Παροχή Αιχμής(M3/S)	1268.23
Χρονική στιγμή αιχμής	02Sep2000, 01:15
Όγκος (MM)	230.15

Απορροή



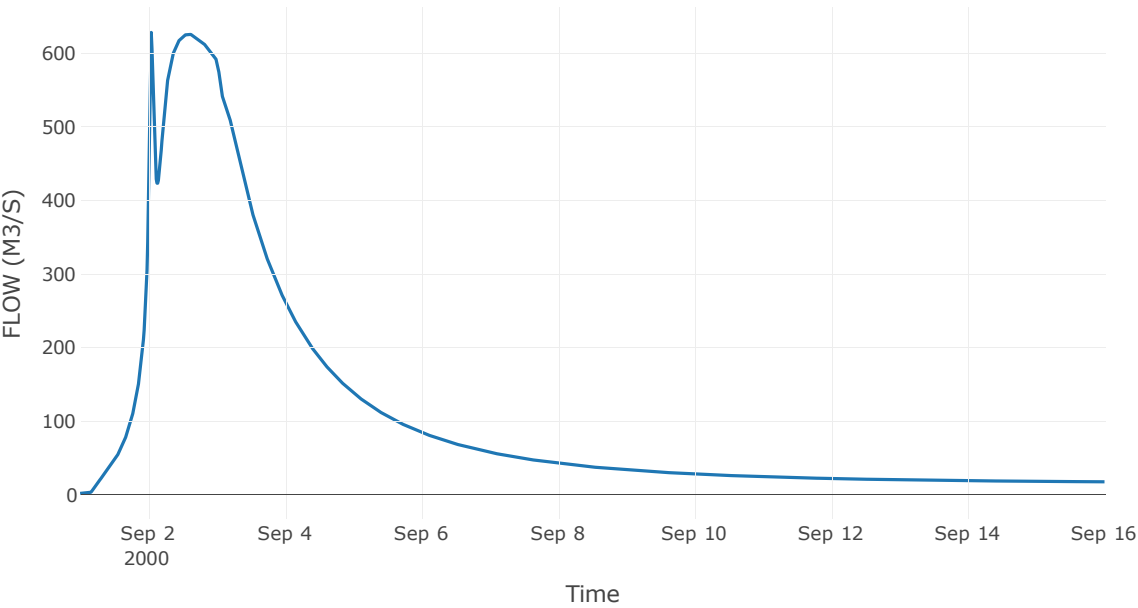
Κόμβος: J8

Κατάντη : R87

Αποτελέσματα: J8

Παροχή Αιχμής(M3/S)	627.67
Χρονική στιγμή αιχμής	02Sep2000, 01:00
Όγκος (MM)	227.77

Απορροή



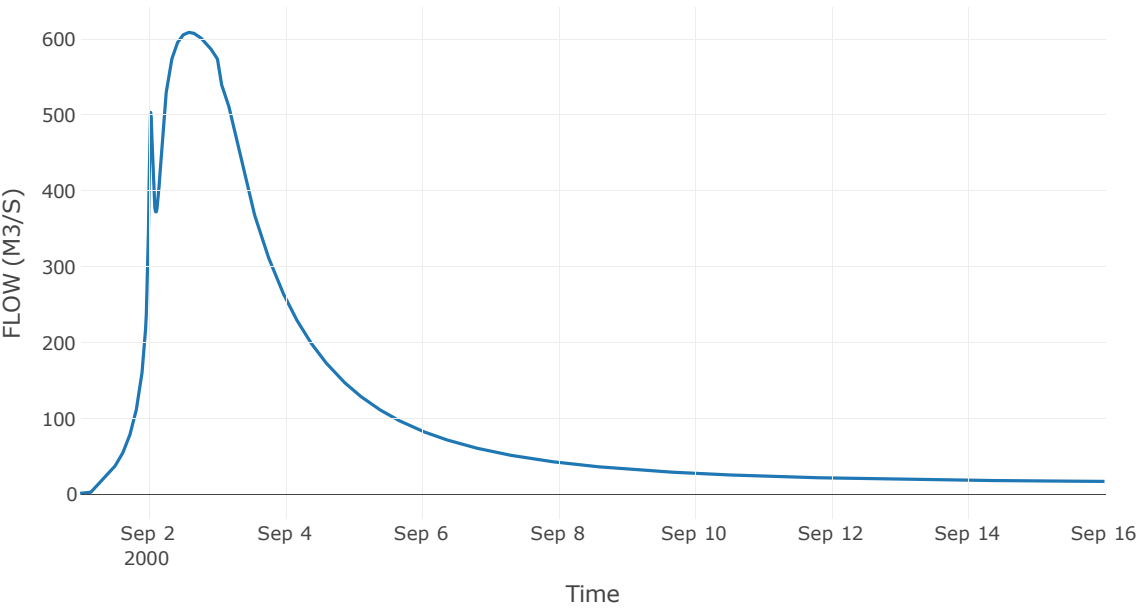
Κόμβος: J9

Κατάντη : R98

Αποτελέσματα: J9

Παροχή Αιχμής(M3/S)	608.75
Χρονική στιγμή αιχμής	02Sep2000, 14:30
Όγκος (MM)	227.67

Απορροή



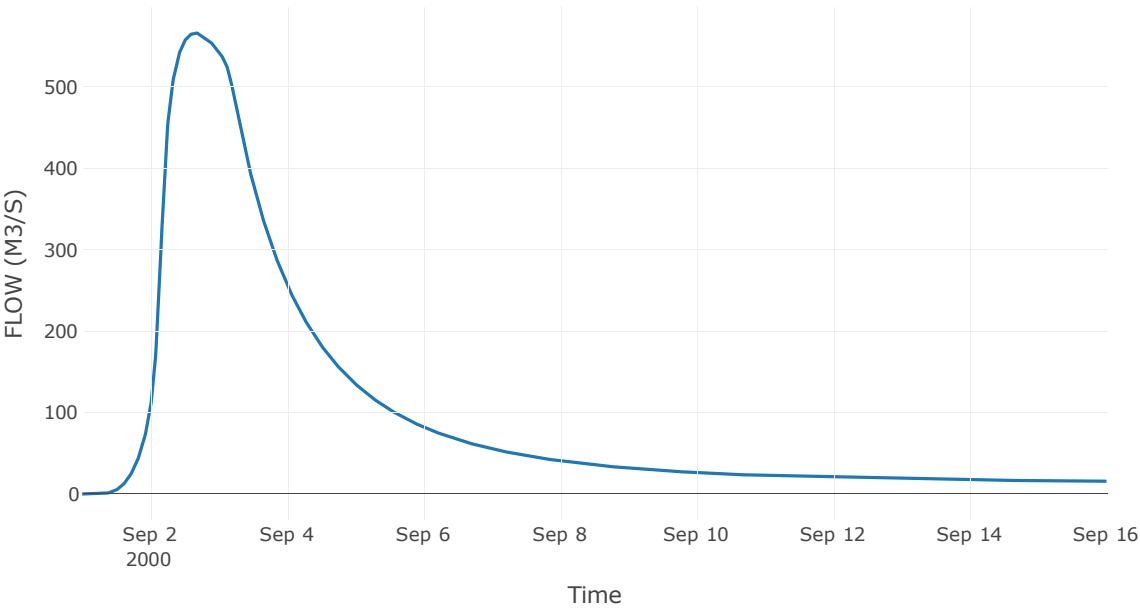
Reservoir: J10_RES1

Κατάντη : R109

Αποτελέσματα: J10_RES1

Παροχή Αιχμής(M3/S)	565.94
Χρονική στιγμή αιχμής	02Sep2000, 15:45
Όγκος (MM)	227.28
Παροχή Αιχμής Εισόδου (M3/S)	2648.37
Time of Peak Inflow	02Sep2000, 03:30
Όγκος Εισροής (M3)	1.34E8
Maximum Storage (M3)	8.42E8
Peak Elevation (M)	438.63
Discharge Όγκος (M3)	1.27E8

Απορροή



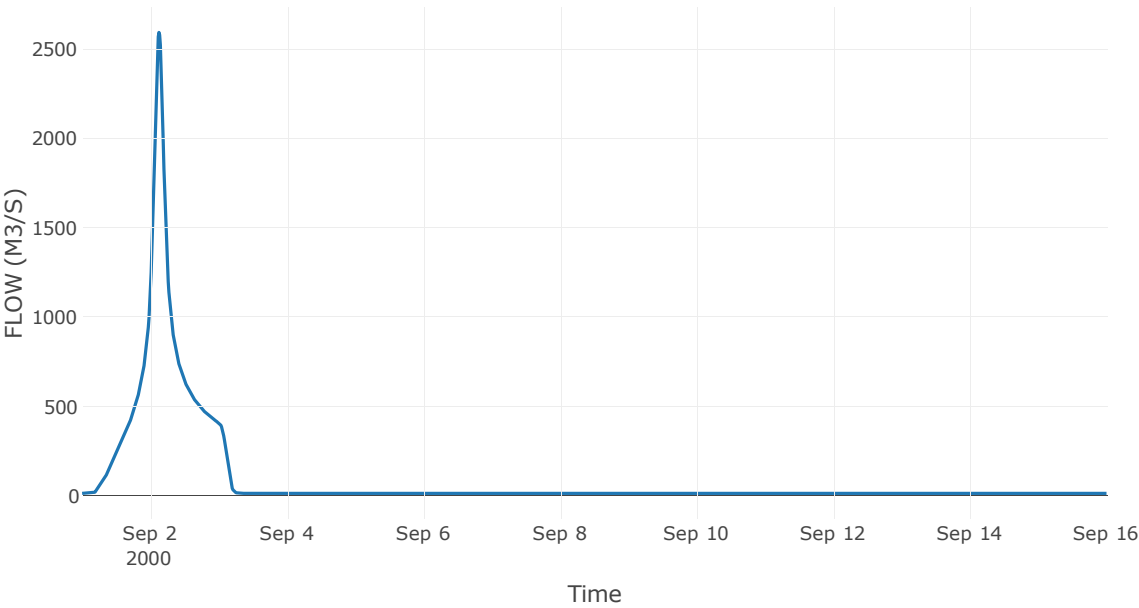
Κόμβος: J11

Κατάντη : R1110

Αποτελέσματα: J11

Παροχή Αιχμής(M3/S)	2593.24
Χρονική στιγμή αιχμής	02Sep2000, 03:00
Όγκος (MM)	239.88

Απορροή



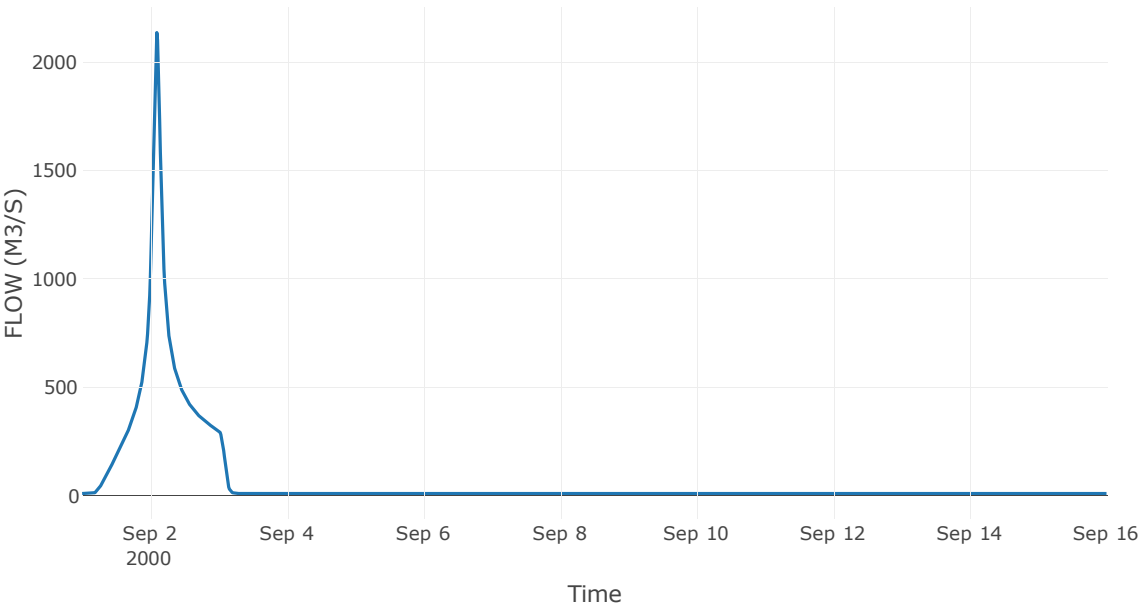
Κόμβος: J12

Κατάντη : R1211

Αποτελέσματα: J12

Παροχή Αιχμής(M3/S)	2136.7
Χρονική στιγμή αιχμής	02Sep2000, 02:15
Όγκος (MM)	235.6

Απορροή



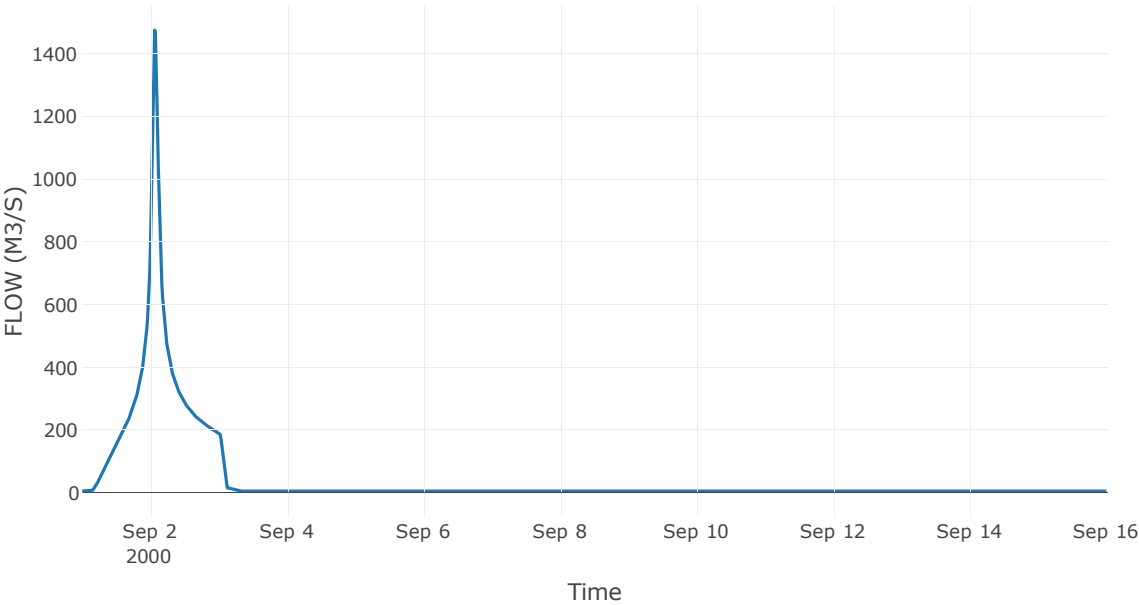
Κόμβος: J13

Κατάντη : R1312

Αποτελέσματα: J13

Παροχή Αιχμής(M3/S)	1474.58
Χρονική στιγμή αιχμής	02Sep2000, 01:30
Όγκος (MM)	271.64

Απορροή



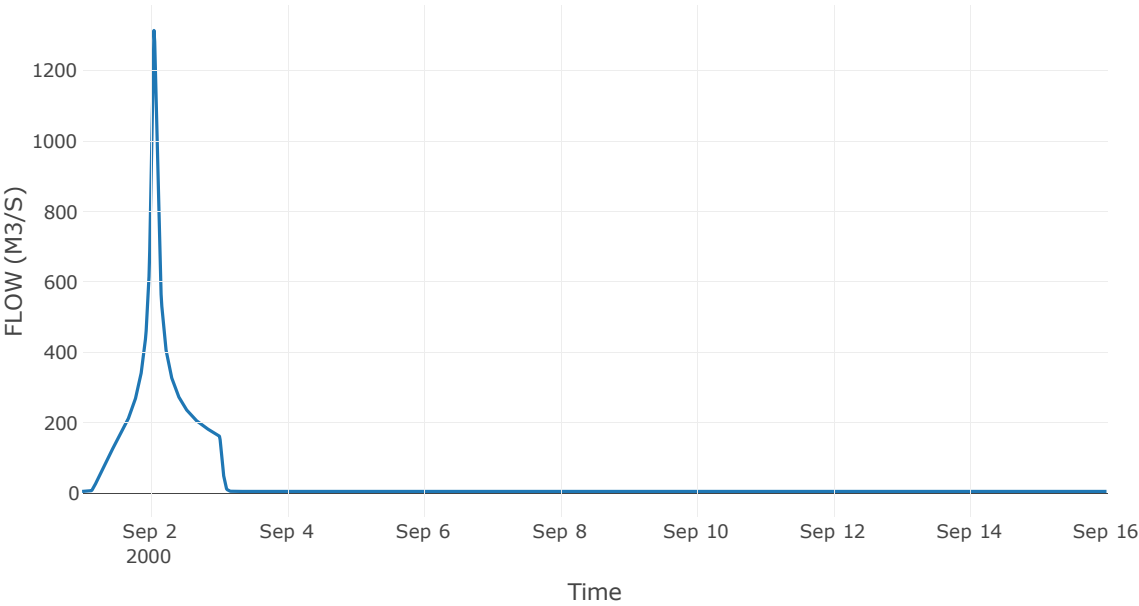
Κόμβος: J14

Κατάντη : R1413

Αποτελέσματα: J14

Παροχή Αιχμής(M3/S)	1314.2
Χρονική στιγμή αιχμής	02Sep2000, 01:15
Όγκος (MM)	278.1

Απορροή



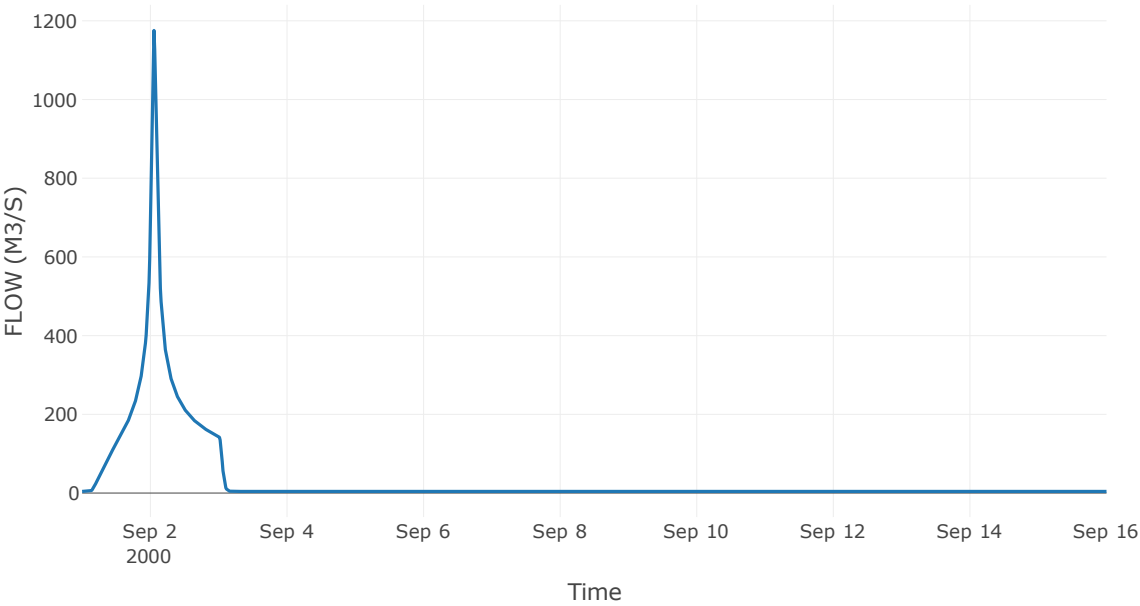
Κόμβος: J15

Κατάντη : R1514

Αποτελέσματα: J15

Παροχή Αιχμής(M3/S)	1175.43
Χρονική στιγμή αιχμής	02Sep2000, 01:15
Όγκος (MM)	277.81

Απορροή



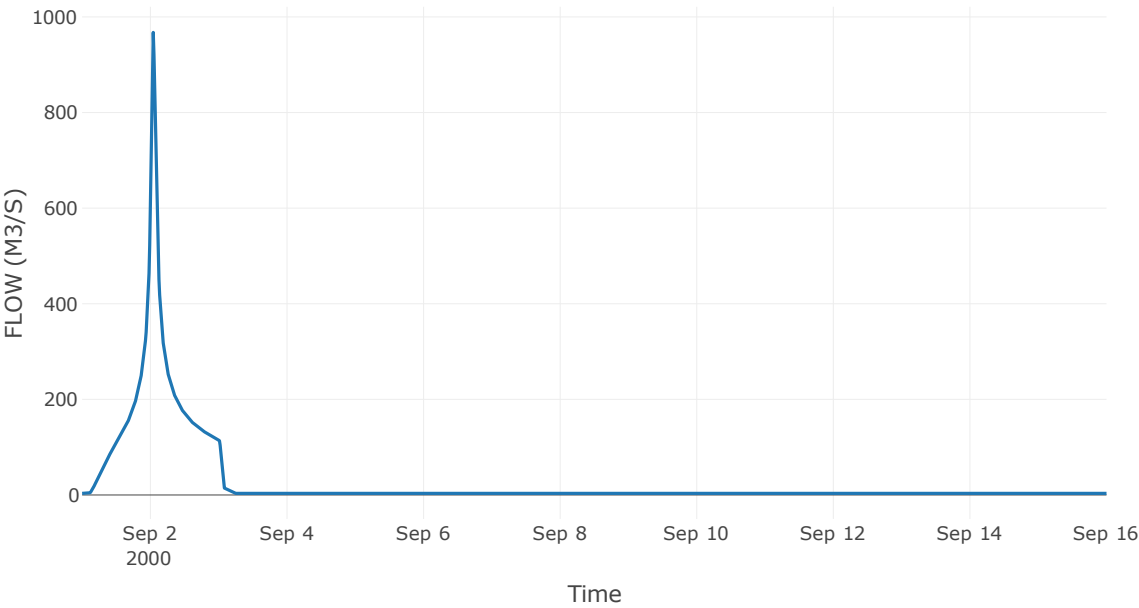
Κόμβος: J16

Κατάντη : R1615

Αποτελέσματα: J16

Παροχή Αιχμής(M3/S)	967.58
Χρονική στιγμή αιχμής	02Sep2000, 01:00
Όγκος (MM)	280.03

Απορροή



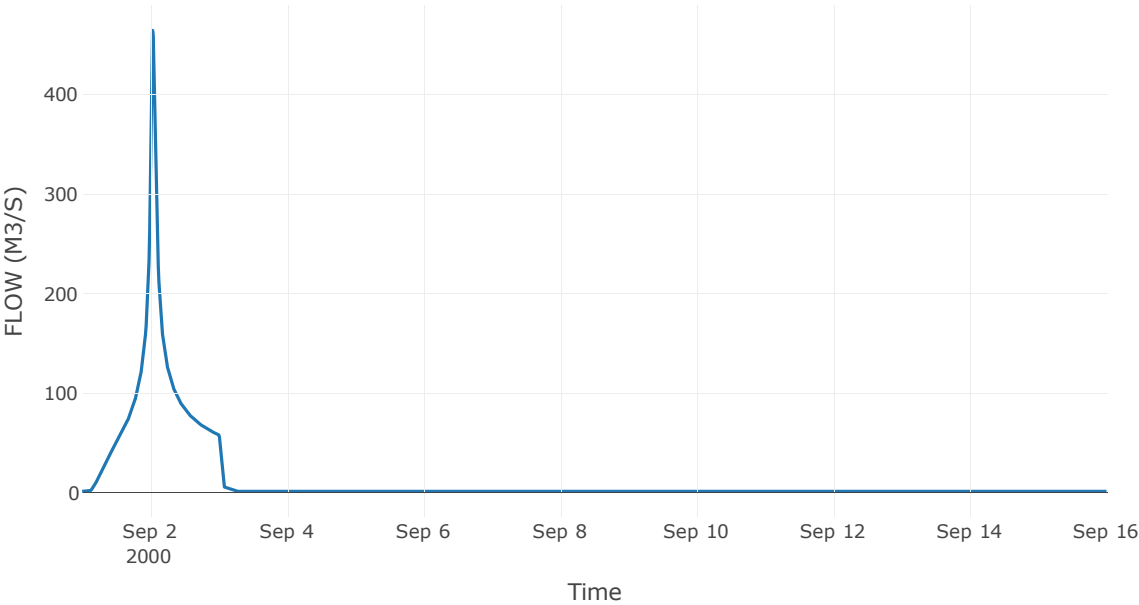
Κόμβος: J17

Κατάντη : R1716

Αποτελέσματα: J17

Παροχή Αιχμής(M3/S)	464.18
Χρονική στιγμή αιχμής	02Sep2000, 00:45
Όγκος (MM)	266.06

Απορροή



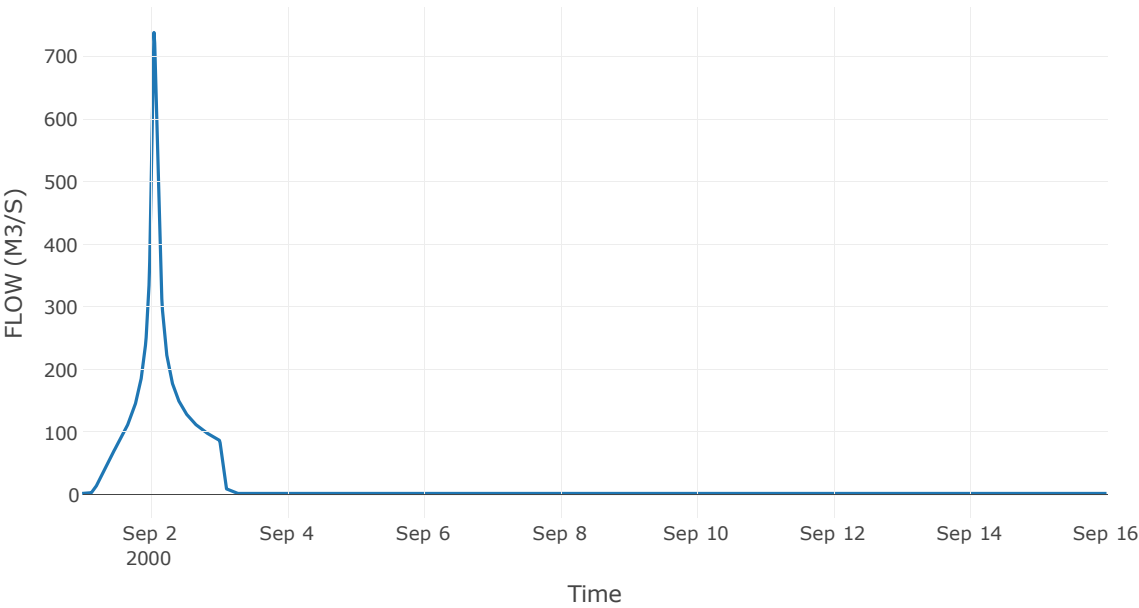
Κόμβος: J18

Κατάντη : R1811

Αποτελέσματα: J18

Παροχή Αιχμής(M3/S)	738.57
Χρονική στιγμή αιχμής	02Sep2000, 01:15
Όγκος (MM)	255.72

Απορροή



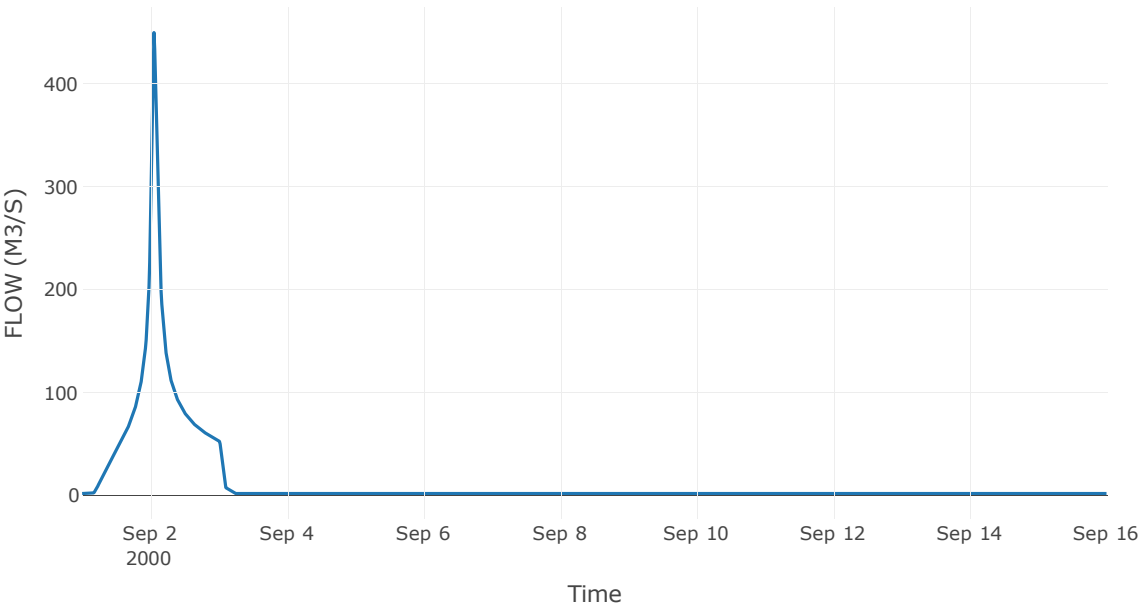
Κόμβος: J19

Κατάντη : R1918

Αποτελέσματα: J19

Παροχή Αιχμής(M3/S)	449.92
Χρονική στιγμή αιχμής	02Sep2000, 01:15
Όγκος (MM)	254.71

Απορροή



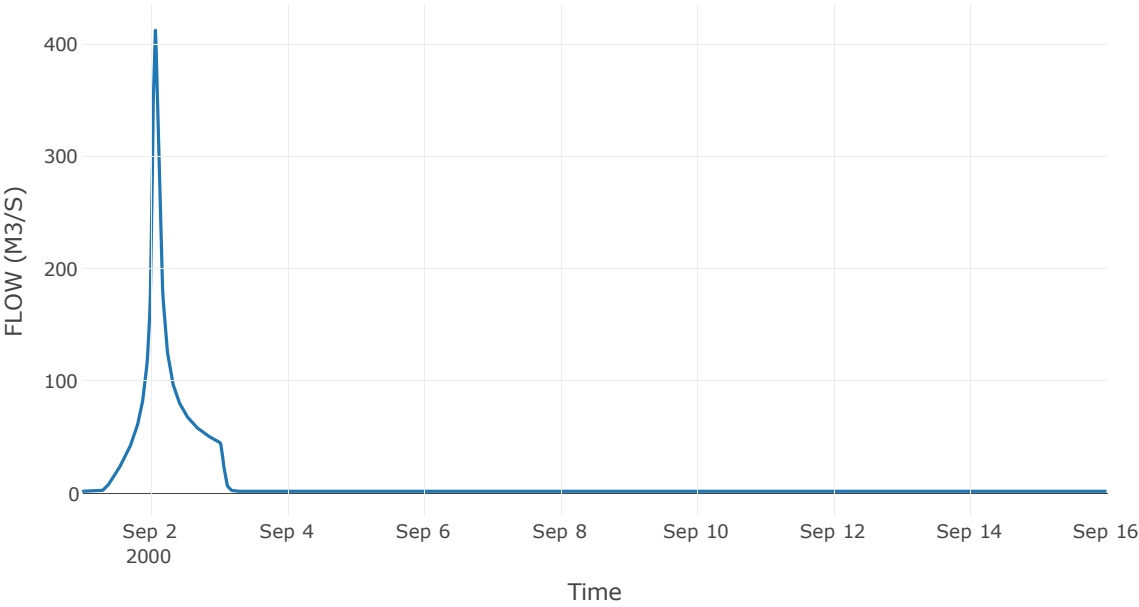
Κόμβος: J20

Κατάντη : R2012

Αποτελέσματα: J20

Παροχή Αιχμής(M3/S)	412.29
Χρονική στιγμή αιχμής	02Sep2000, 01:45
Όγκος (MM)	180.66

Απορροή



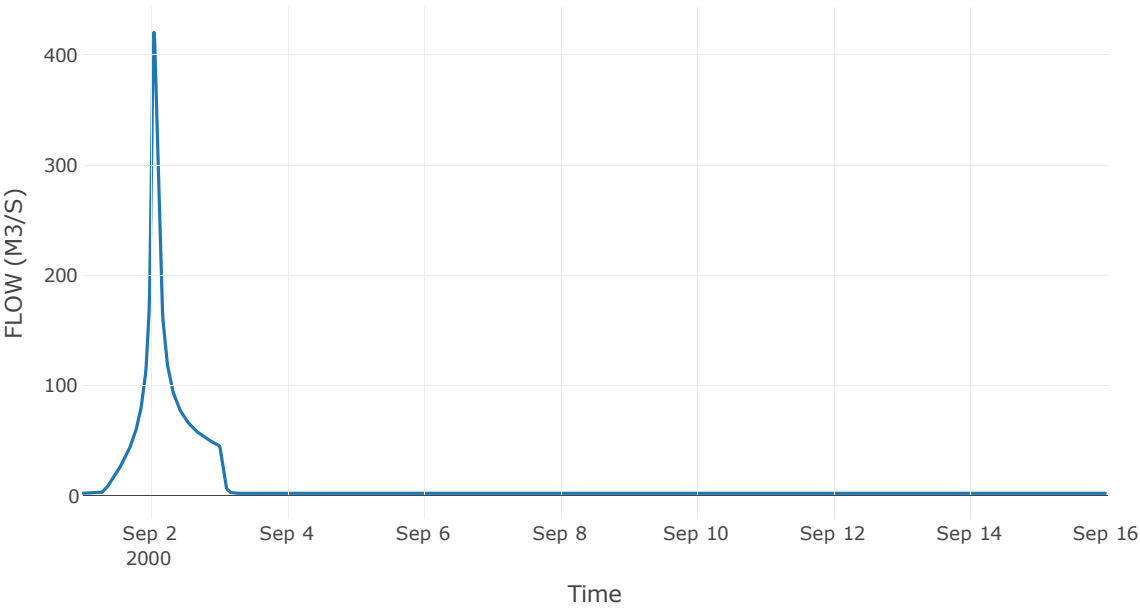
Κόμβος: J21

Κατάντη : R2120

Αποτελέσματα: J21

Παροχή Αιχμής(M3/S)	420.35
Χρονική στιγμή αιχμής	02Sep2000, 01:15
Όγκος (MM)	180.66

Απορροή



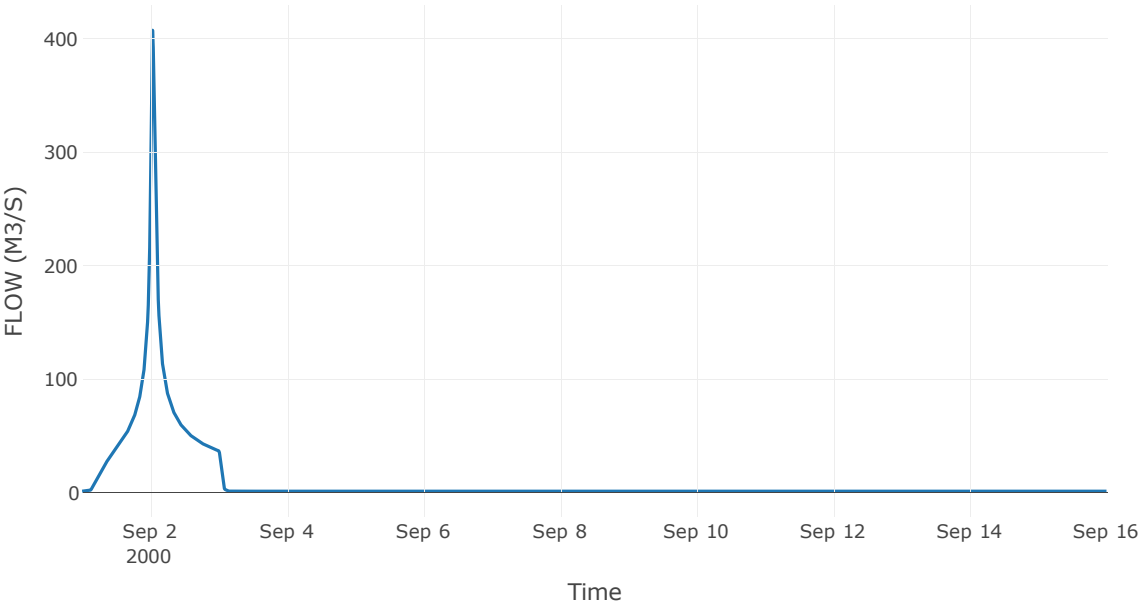
Κόμβος: J22

Κατάντη : R227

Αποτελέσματα: J22

Παροχή Αιχμής(M3/S)	407.39
Χρονική στιγμή αιχμής	02Sep2000, 00:45
Όγκος (MM)	254.38

Απορροή



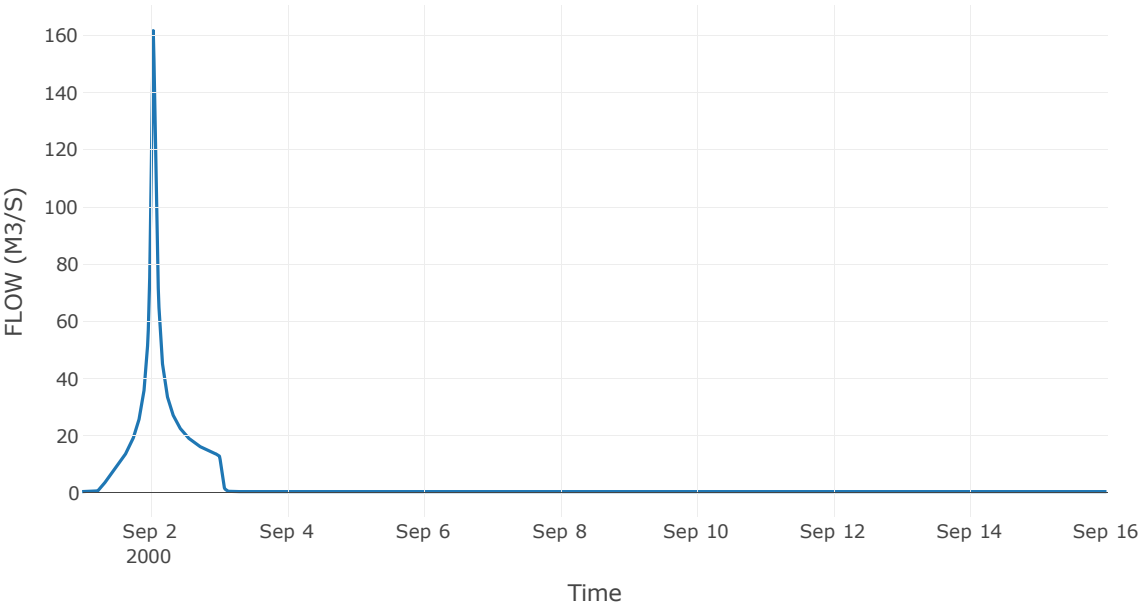
Κόμβος: J23

Κατάντη : R232

Αποτελέσματα: J23

Παροχή Αιχμής(M3/S)	161.59
Χρονική στιγμή αιχμής	02Sep2000, 01:00
Όγκος (MM)	217.36

Απορροή



8 Δεδομένα εισόδου και αποτελέσματα υδρολογικού σεναρίου T=1000??

8.1 Αποτελέσματα, υετογραφήματα και υδρογραφήματα σχεδιασμού υπολεκανών

Υπολεκάνη: EL0421FR001001

Έκταση (KM2) : 7.91

Κατάντη : J1

Μέθοδος Απωλειών: SCS

Ποσοστό αδιαπέρατης επιφάνειας	0
Αριθμός Καμπύλης Απορροής-CN	72.33
Αρχικές Απώλειες	19.44

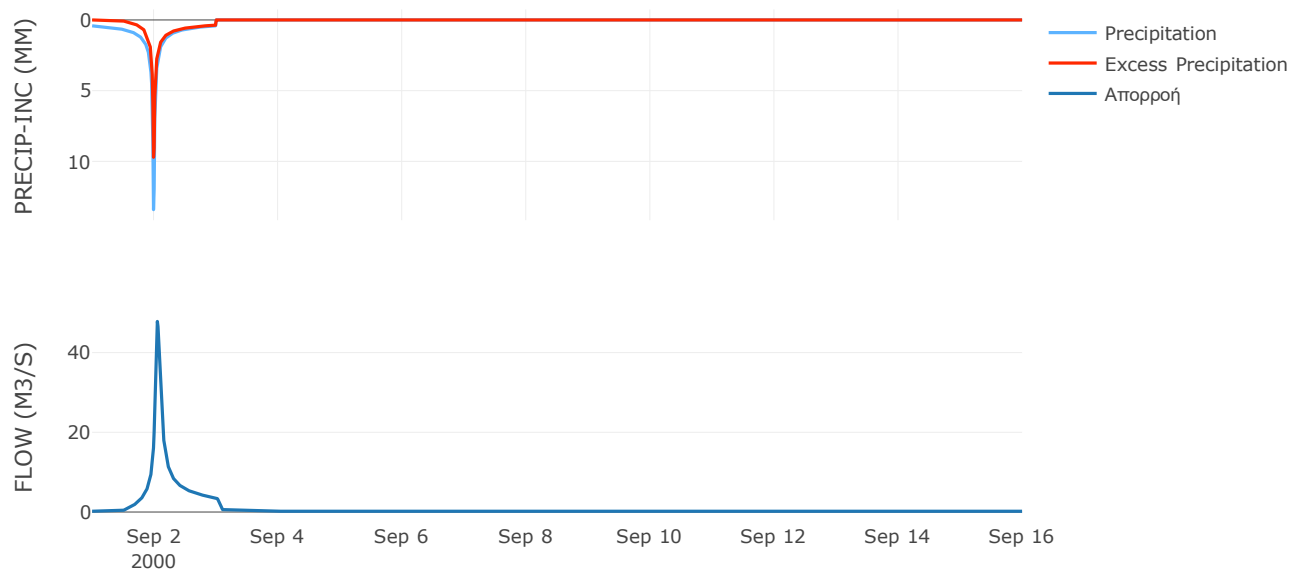
Μέθοδος
Μετασχηματισμού: SCS

Χρόνος Υστέρησης	70.16
------------------	-------

Αποτελέσματα:
EL0421FR001001

Παροχή αιχμής (M3/S)	47.82
Χρονική στιγμή αιχμής	02Sep2000, 01:15
Όγκος (MM)	169.15
Όγκος βροχόπτωσης (M3)	1.76E6
Όγκος απωλειών (M3)	6.73E5
Ενεργός Όγκος (M3)	1.08E6
Όγκος άμεσης απορροής (M3)	1.08E6
Όγκος βασικής απορροής (M3)	2.56E5

Βροχόπτωση και Απορροή



Υπολεκάνη: EL0421FR001002

Έκταση (KM2) : 7.13

Κατάντη : J2

Μέθοδος Απωλειών: SCS

Ποσοστό αδιαπέρατης επιφάνειας	0
Αριθμός Καμπύλης Απορροής-CN	56.46
Αρχικές Απώλειες	39.18

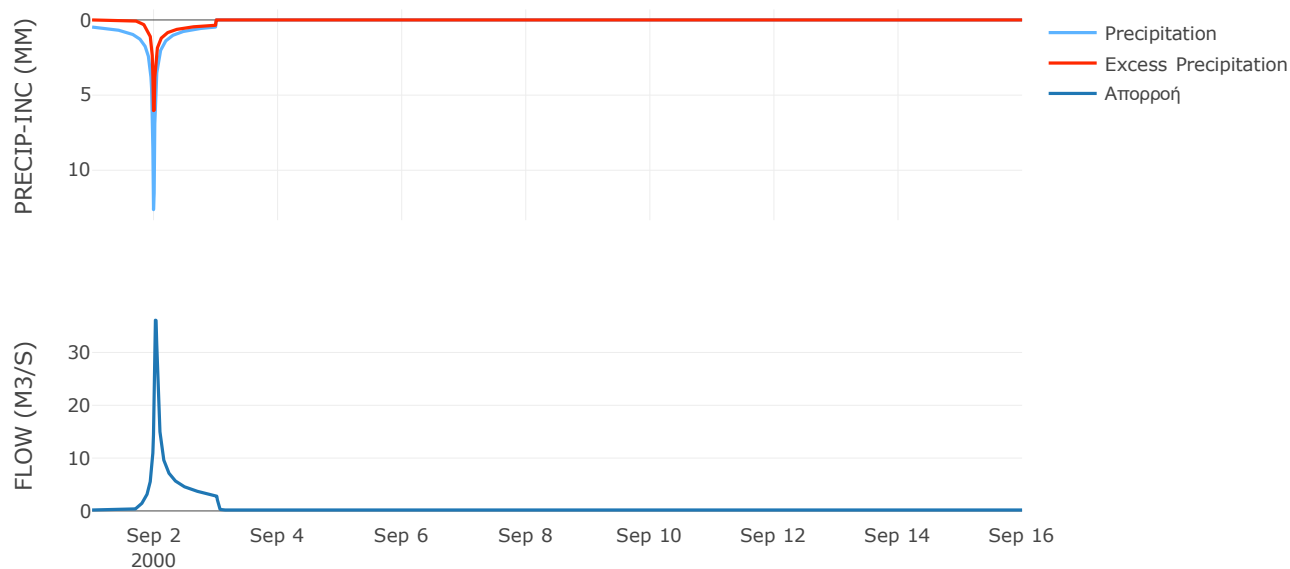
Μέθοδος
Μετασχηματισμού: SCS

Χρόνος Υστέρησης	32.34
------------------	-------

Αποτελέσματα:
EL0421FR001002

Παροχή αιχμής (M3/S)	36.11
Χρονική στιγμή αιχμής	02Sep2000, 00:30
Όγκος (MM)	130.94
Όγκος βροχόπτωσης (M3)	1.68E6
Όγκος απωλειών (M3)	9.79E5
Ενεργός Όγκος (M3)	7.02E5
Όγκος άμεσης απορροής (M3)	7.02E5
Όγκος βασικής απορροής (M3)	2.31E5

Βροχόπτωση και Απορροή



Υπολεκάνη: EL0421FR001003

Έκταση (KM2) : 10.09

Κατάντη : J3

Μέθοδος Απωλειών: SCS

Ποσοστό αδιαπέρατης επιφάνειας	0
Αριθμός Καμπύλης Απορροής-CN	63.24
Αρχικές Απώλειες	29.53

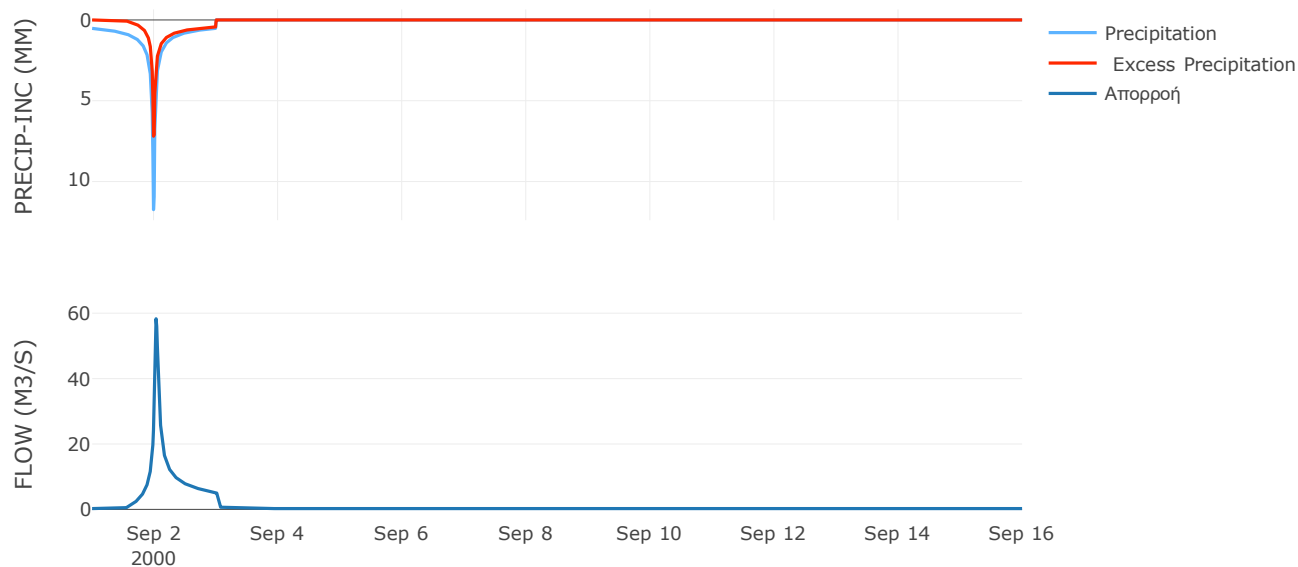
Μέθοδος
Μετασχηματισμού: SCS

Χρόνος Υστέρησης	42.34
------------------	-------

Αποτελέσματα:
EL0421FR001003

Παροχή αιχμής (M3/S)	58.3
Χρονική στιγμή αιχμής	02Sep2000, 00:45
Όγκος (MM)	160.38
Όγκος βροχόπτωσης (M3)	2.47E6
Όγκος απωλειών (M3)	1.18E6
Ενεργός Όγκος (M3)	1.29E6
Όγκος άμεσης απορροής (M3)	1.29E6
Όγκος βασικής απορροής (M3)	3.27E5

Βροχόπτωση και Απορροή



Υπολεκάνη: EL0421FR001004

Έκταση (KM2) : 2.73

Κατάντη : J4

Μέθοδος Απωλειών: SCS

Ποσοστό αδιαπέρατης επιφάνειας	0
Αριθμός Καμπύλης Απορροής-CN	70.81
Αρχικές Απώλειες	20.94

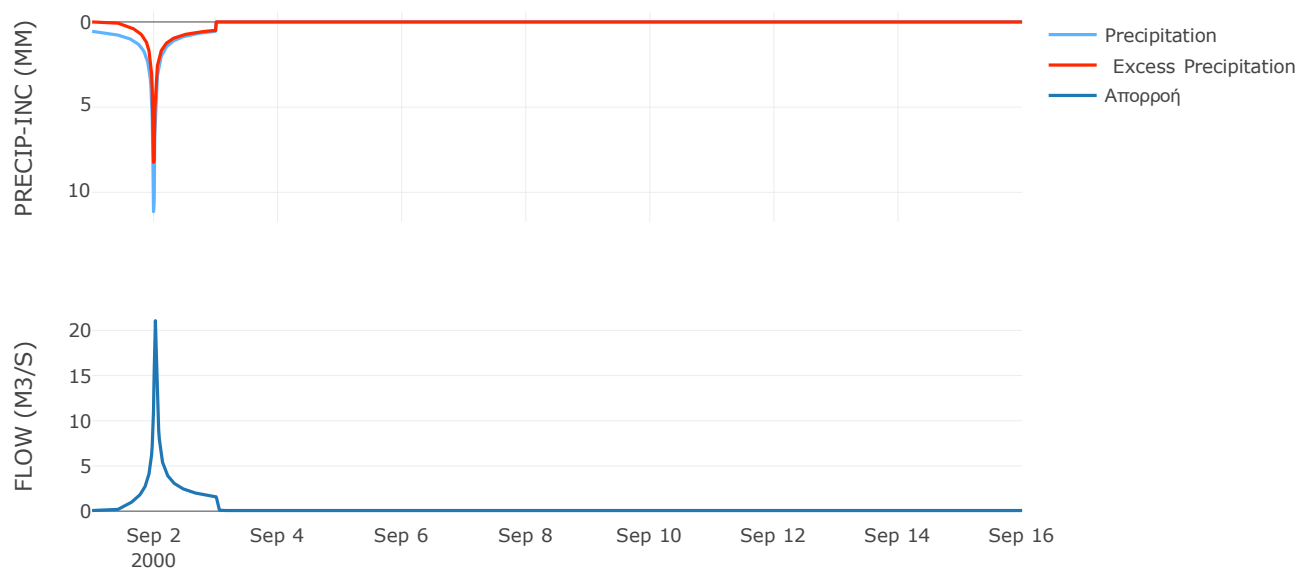
Μέθοδος
Μετασχηματισμού: SCS

Χρόνος Υστέρησης	24.08
------------------	-------

Αποτελέσματα:
EL0421FR001004

Παροχή αιχμής (M3/S)	21.07
Χρονική στιγμή αιχμής	02Sep2000, 00:30
Όγκος (MM)	189.33
Όγκος βροχόπτωσης (M3)	6.82E5
Όγκος απωλειών (M3)	2.53E5
Ενεργός Όγκος (M3)	4.28E5
Όγκος άμεσης απορροής (M3)	4.28E5
Όγκος βασικής απορροής (M3)	88444.22

Βροχόπτωση και Απορροή



Υπολεκάνη: EL0421FR001005

Έκταση (KM2) : 18.09

Κατάντη : J5

Μέθοδος Απωλειών: SCS

Ποσοστό αδιαπέρατης επιφάνειας	0
Αριθμός Καμπύλης Απορροής-CN	60.08
Αρχικές Απώλειες	33.75

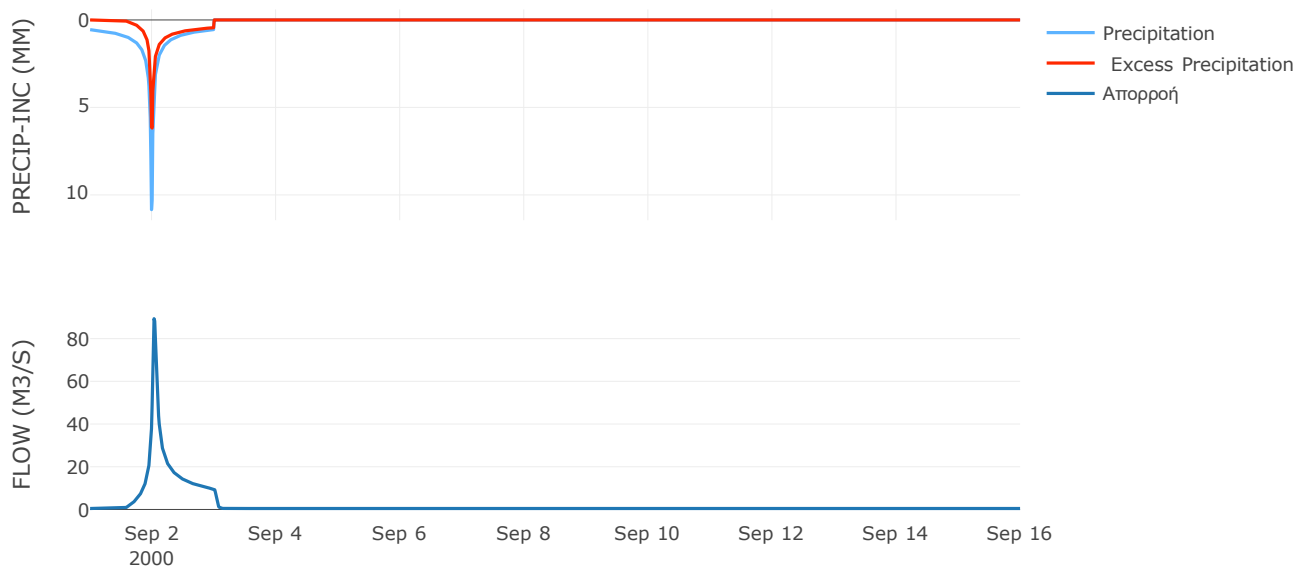
Μέθοδος
Μετασχηματισμού: SCS

Χρόνος Υστέρησης	44.96
------------------	-------

Αποτελέσματα:
EL0421FR001005

Παροχή αιχμής (M3/S)	89.34
Χρονική στιγμή αιχμής	02Sep2000, 00:45
Όγκος (MM)	152.66
Όγκος βροχόπτωσης (M3)	4.5E6
Όγκος απωλειών (M3)	2.32E6
Ενεργός Όγκος (M3)	2.18E6
Όγκος άμεσης απορροής (M3)	2.18E6
Όγκος βασικής απορροής (M3)	5.86E5

Βροχόπτωση και Απορροή



Υπολεκάνη: EL0421FR001006

Έκταση (KM2) : 33.49

Κατάντη : J6

Μέθοδος Απωλειών: SCS

Ποσοστό αδιαπέρατης επιφάνειας	0
Αριθμός Καμπύλης Απορροής-CN	71.54
Αρχικές Απώλειες	20.21

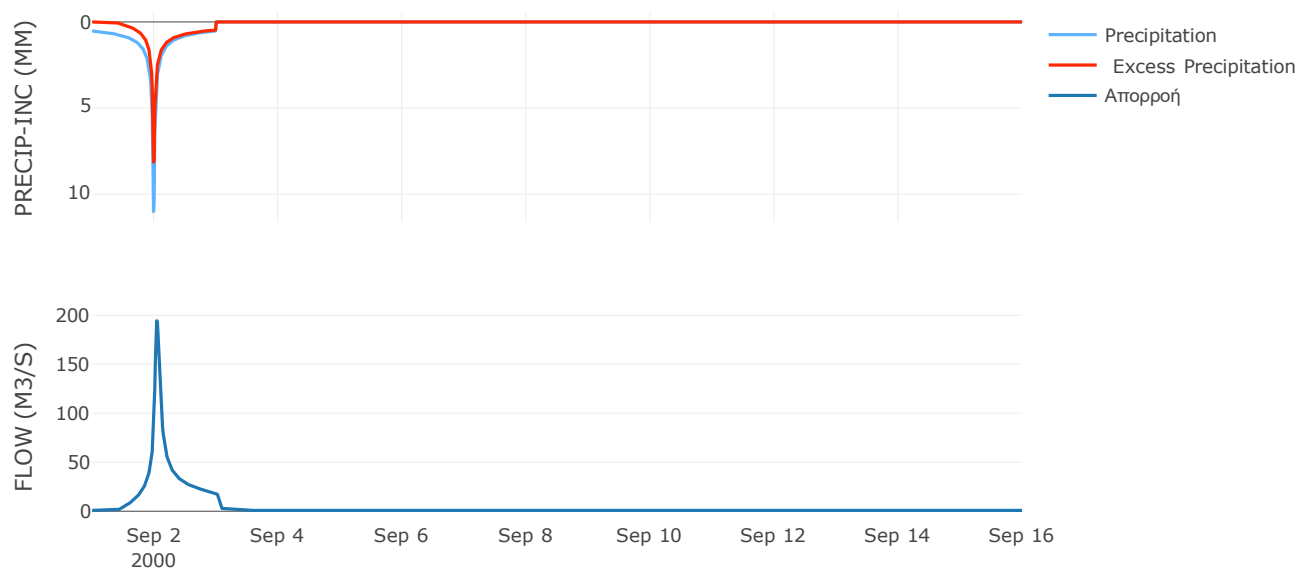
Μέθοδος
Μετασχηματισμού: SCS

Χρόνος Υστέρησης	61.29
------------------	-------

Αποτελέσματα:
EL0421FR001006

Παροχή αιχμής (M3/S)	194.4
Χρονική στιγμή αιχμής	02Sep2000, 01:00
Όγκος (MM)	183.41
Όγκος βροχόπτωσης (M3)	8.05E6
Όγκος απωλειών (M3)	3E6
Ενεργός Όγκος (M3)	5.06E6
Όγκος άμεσης απορροής (M3)	5.06E6
Όγκος βασικής απορροής (M3)	1.08E6

Βροχόπτωση και Απορροή



Υπολεκάνη: EL0421FR001007

Έκταση (KM2) : 33.81

Κατάντη : J7

Μέθοδος Απωλειών: SCS

Ποσοστό αδιαπέρατης επιφάνειας	0
Αριθμός Καμπύλης Απορροής-CN	81.8
Αρχικές Απώλειες	11.3

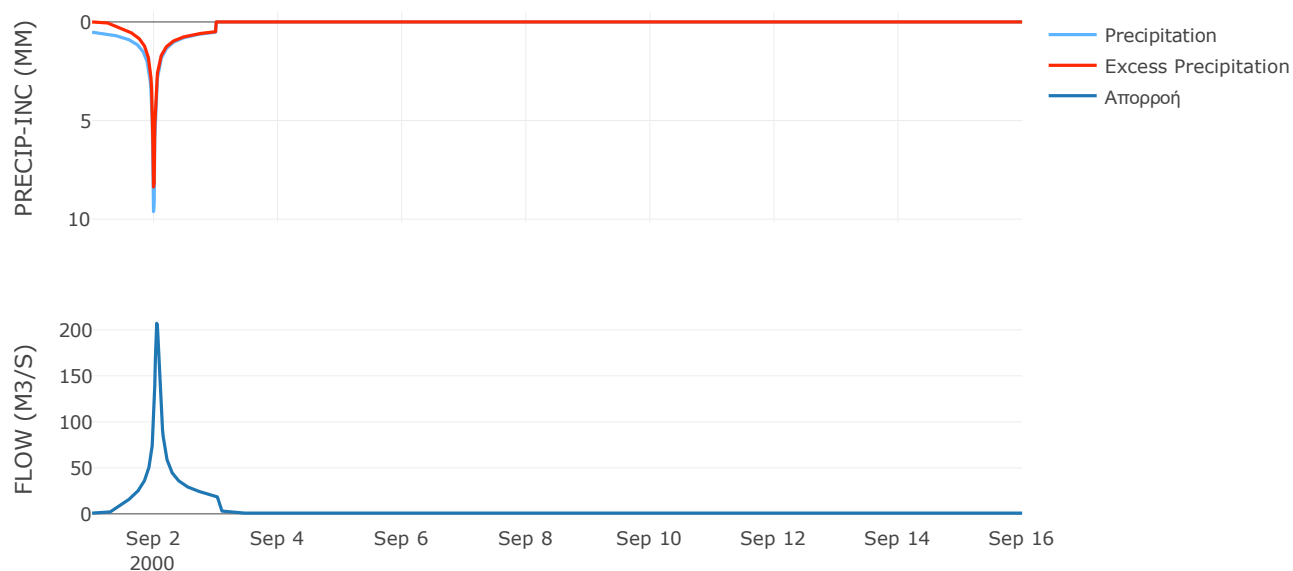
Μέθοδος
Μετασχηματισμού: SCS

Χρόνος Υστέρησης	61.61
------------------	-------

Αποτελέσματα:
EL0421FR001007

Παροχή αιχμής (M3/S)	207.06
Χρονική στιγμή αιχμής	02Sep2000, 01:00
Όγκος (MM)	205.06
Όγκος βροχόπτωσης (M3)	7.74E6
Όγκος απωλειών (M3)	1.9E6
Ενεργός Όγκος (M3)	5.84E6
Όγκος άμεσης απορροής (M3)	5.84E6
Όγκος βασικής απορροής (M3)	1.1E6

Βροχόπτωση και Απορροή



Υπολεκάνη: EL0421FR001008

Έκταση (KM2) : 8.14

Κατάντη : J8

Μέθοδος Απωλειών: SCS

Ποσοστό αδιαπέρατης επιφάνειας	0
Αριθμός Καμπύλης Απορροής-CN	76.81
Αρχικές Απώλειες	15.34

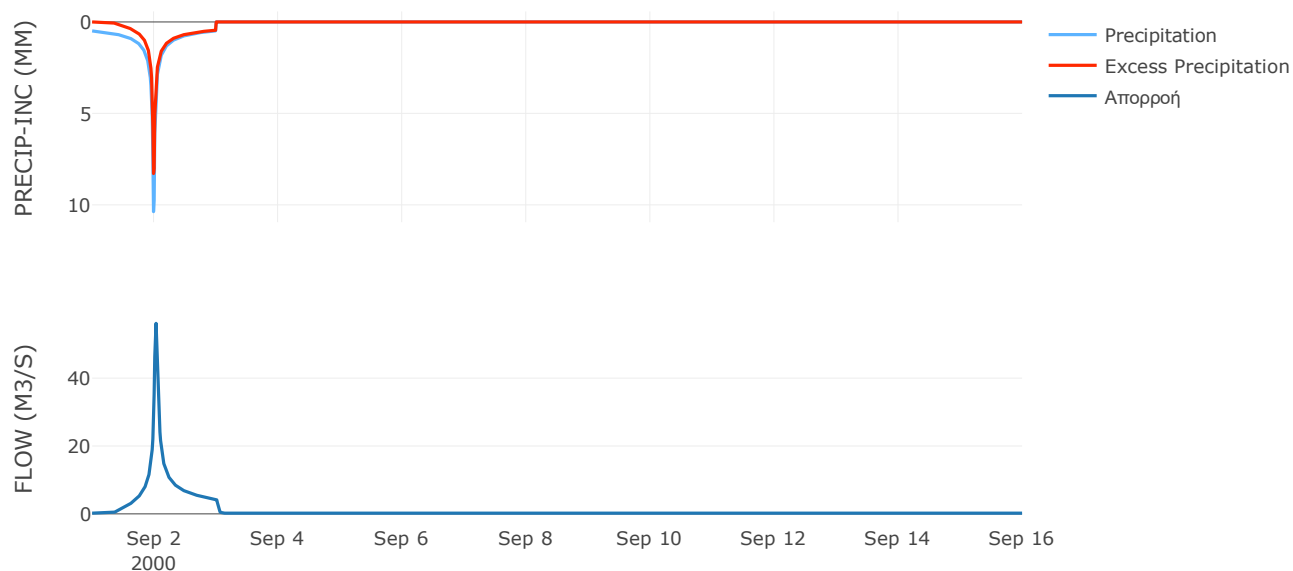
Μέθοδος
Μετασχηματισμού: SCS

Χρόνος Υστέρησης	37.14
------------------	-------

Αποτελέσματα:
EL0421FR001008

Παροχή αιχμής (M3/S)	56.15
Χρονική στιγμή αιχμής	02Sep2000, 00:45
Όγκος (MM)	186.35
Όγκος βροχόπτωσης (M3)	1.84E6
Όγκος απωλειών (M3)	5.82E5
Ενεργός Όγκος (M3)	1.25E6
Όγκος άμεσης απορροής (M3)	1.25E6
Όγκος βασικής απορροής (M3)	2.64E5

Βροχόπτωση και Απορροή



Υπολεκάνη: EL0421FR001009

Έκταση (KM2) : 9.96

Κατάντη : J9

Μέθοδος Απωλειών: SCS

Ποσοστό αδιαπέρατης επιφάνειας	0
Αριθμός Καμπύλης Απορροής-CN	80.24
Αρχικές Απώλειες	12.51

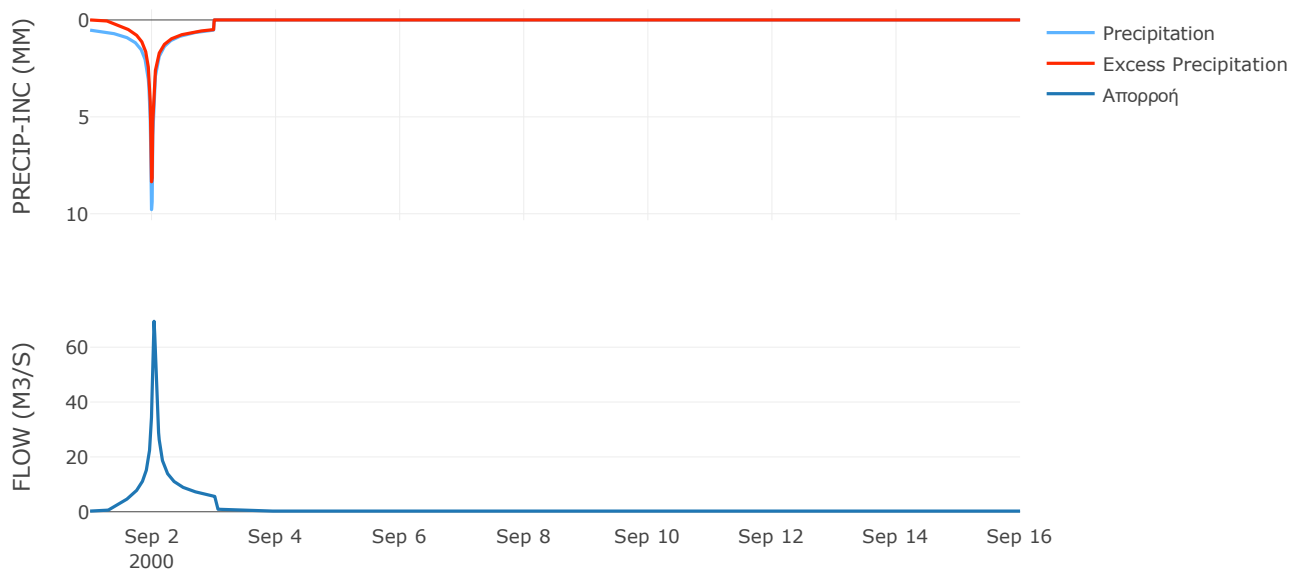
Μέθοδος
Μετασχηματισμού: SCS

Χρόνος Υστέρησης	40.22
------------------	-------

Αποτελέσματα:
EL0421FR001009

Παροχή αιχμής (M3/S)	69.45
Χρονική στιγμή αιχμής	02Sep2000, 00:45
Όγκος (MM)	203.46
Όγκος βροχόπτωσης (M3)	2.31E6
Όγκος απωλειών (M3)	6.1E5
Ενεργός Όγκος (M3)	1.7E6
Όγκος άμεσης απορροής (M3)	1.7E6
Όγκος βασικής απορροής (M3)	3.23E5

Βροχόπτωση και Απορροή



Υπολεκάνη: EL0421FR001010

Έκταση (KM2) : 28.77

Κατάνη : J10 Res1

Μέθοδος Απωλειών: SCS

Ποσοστό αδιαπέρατης επιφάνειας	0.14
Αριθμός Καμπύλης Απορροής-CN	80.01
Αρχικές Απώλειες	12.69

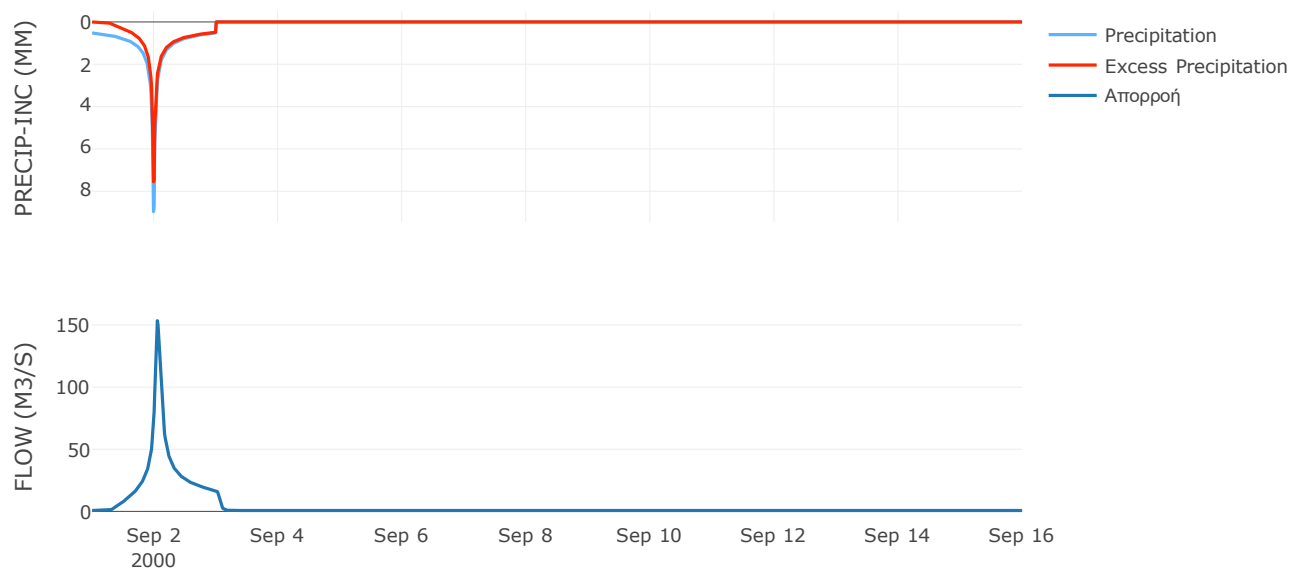
Μέθοδος
Μετασχηματισμού: SCS

Χρόνος Υστέρησης	71.73
------------------	-------

Αποτελέσματα:
EL0421FR001010

Παροχή αιχμής (M3/S)	153.44
Χρονική στιγμή αιχμής	02Sep2000, 01:15
Όγκος (MM)	194.29
Όγκος βροχόπτωσης (M3)	6.42E6
Όγκος απωλειών (M3)	1.77E6
Ενεργός Όγκος (M3)	4.66E6
Όγκος άμεσης απορροής (M3)	4.66E6
Όγκος βασικής απορροής (M3)	9.32E5

Βροχόπτωση και Απορροή



Υπολεκάνη: EL0421FR001011

Έκταση (KM2) : 2.42

Κατάντη : J11

Μέθοδος Απωλειών: SCS

Ποσοστό αδιαπέρατης επιφάνειας	0.38
Αριθμός Καμπύλης Απορροής-CN	79.08
Αρχικές Απώλειες	13.44

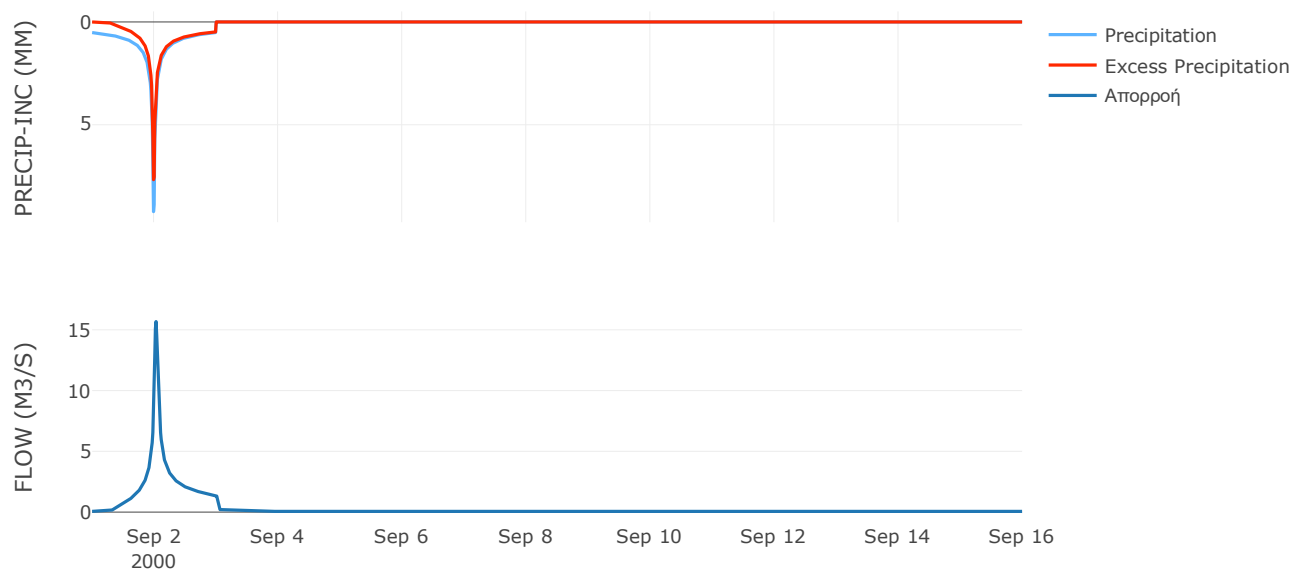
Μέθοδος
Μετασχηματισμού: SCS

Χρόνος Υστέρησης	39.32
------------------	-------

Αποτελέσματα:
EL0421FR001011

Παροχή αιχμής (M3/S)	15.68
Χρονική στιγμή αιχμής	02Sep2000, 00:45
Όγκος (MM)	192.99
Όγκος βροχόπτωσης (M3)	5.43E5
Όγκος απωλειών (M3)	1.55E5
Ενεργός Όγκος (M3)	3.88E5
Όγκος άμεσης απορροής (M3)	3.88E5
Όγκος βασικής απορροής (M3)	78317.28

Βροχόπτωση και Απορροή



Υπολεκάνη: EL0421FR001012

Έκταση (KM2) : 33.86

Κατάντη : J12

Μέθοδος Απωλειών: SCS

Ποσοστό αδιαπέρατης επιφάνειας	0.09
Αριθμός Καμπύλης Απορροής-CN	62.82
Αρχικές Απώλειες	30.06

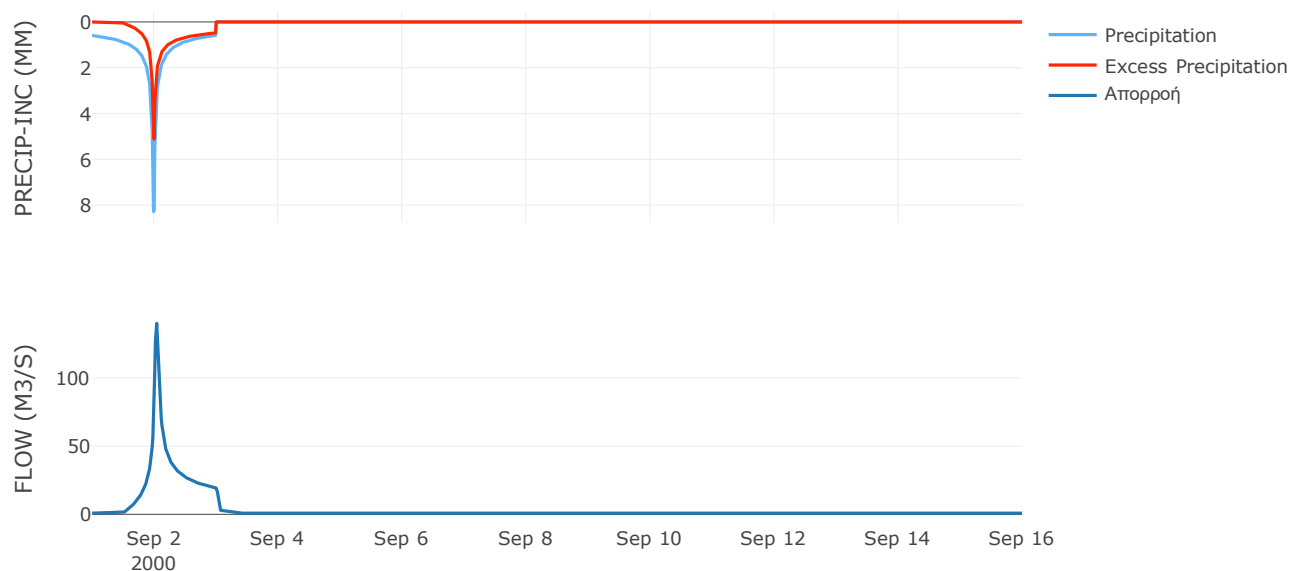
Μέθοδος
Μετασχηματισμού: SCS

Χρόνος Υστέρησης	46.9
------------------	------

Αποτελέσματα:
EL0421FR001012

Παροχή αιχμής (M3/S)	140.09
Χρονική στιγμή αιχμής	02Sep2000, 01:00
Όγκος (MM)	152.35
Όγκος βροχόπτωσης (M3)	8.02E6
Όγκος απωλειών (M3)	3.96E6
Ενεργός Όγκος (M3)	4.06E6
Όγκος άμεσης απορροής (M3)	4.06E6
Όγκος βασικής απορροής (M3)	1.1E6

Βροχόπτωση και Απορροή



Υπολεκάνη: EL0421FR001013

Έκταση (KM2) : 34.09

Κατάντη : J13

Μέθοδος Απωλειών: SCS

Ποσοστό αδιαπέρατης επιφάνειας	0
Αριθμός Καμπύλης Απορροής-CN	63.6
Αρχικές Απώλειες	29.07

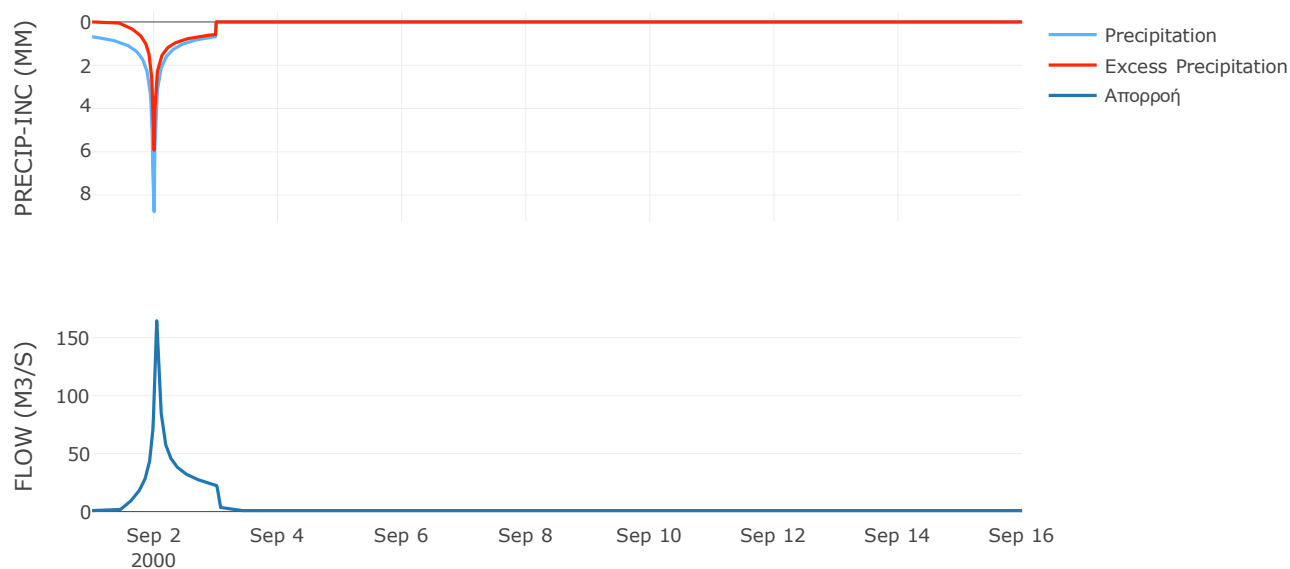
Μέθοδος
Μετασχηματισμού: SCS

Χρόνος Υστέρησης	47.79
------------------	-------

Αποτελέσματα:
EL0421FR001013

Παροχή αιχμής (M3/S)	164.64
Χρονική στιγμή αιχμής	02Sep2000, 01:00
Όγκος (MM)	179.48
Όγκος βροχόπτωσης (M3)	9.08E6
Όγκος απωλειών (M3)	4.06E6
Ενεργός Όγκος (M3)	5.01E6
Όγκος άμεσης απορροής (M3)	5.01E6
Όγκος βασικής απορροής (M3)	1.1E6

Βροχόπτωση και Απορροή



Υπολεκάνη: EL0421FR001014

Έκταση (KM2) : 11.34

Κατάντη : J14

Μέθοδος Απωλειών: SCS

Ποσοστό αδιαπέρατης επιφάνειας	0
Αριθμός Καμπύλης Απορροής-CN	73.38
Αρχικές Απώλειες	18.43

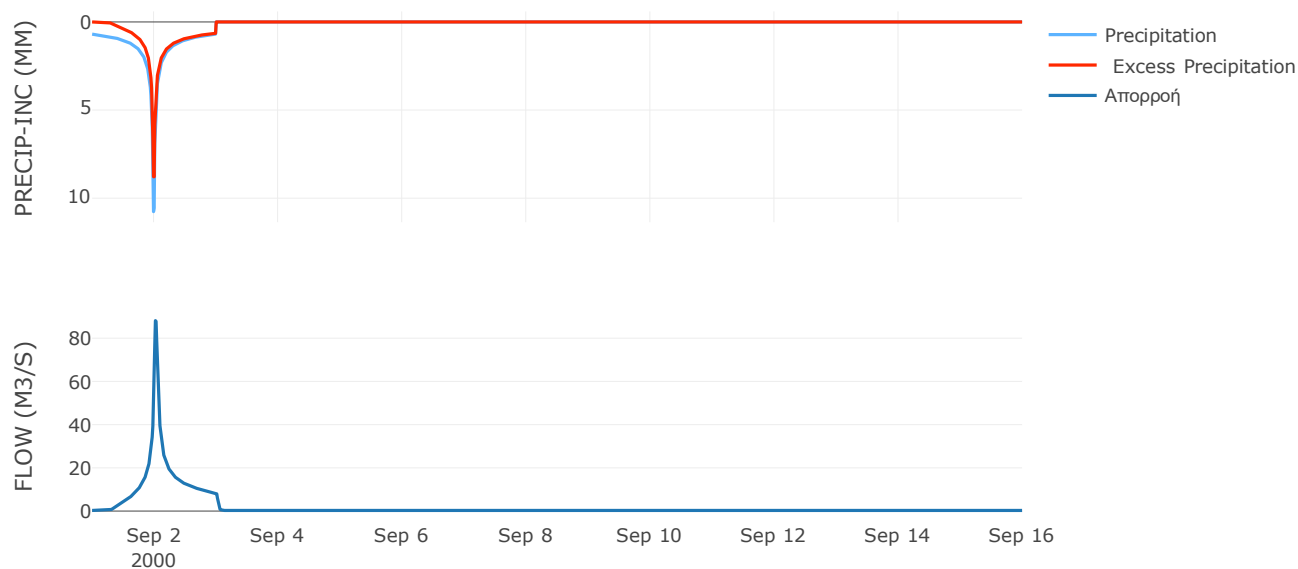
Μέθοδος
Μετασχηματισμού: SCS

Χρόνος Υστέρησης	34.32
------------------	-------

Αποτελέσματα:
EL0421FR001014

Παροχή αιχμής (M3/S)	88.13
Χρονική στιγμή αιχμής	02Sep2000, 00:30
Όγκος (MM)	233.51
Όγκος βροχόπτωσης (M3)	3.27E6
Όγκος απωλειών (M3)	9.88E5
Ενεργός Όγκος (M3)	2.28E6
Όγκος άμεσης απορροής (M3)	2.28E6
Όγκος βασικής απορροής (M3)	3.67E5

Βροχόπτωση και Απορροή



Υπολεκάνη: EL0421FR001015

Έκταση (KM2) : 20.48

Κατάντη : J15

Μέθοδος Απωλειών: SCS

Ποσοστό αδιαπέρατης επιφάνειας	0
Αριθμός Καμπύλης Απορροής-CN	71.2
Αρχικές Απώλειες	20.55

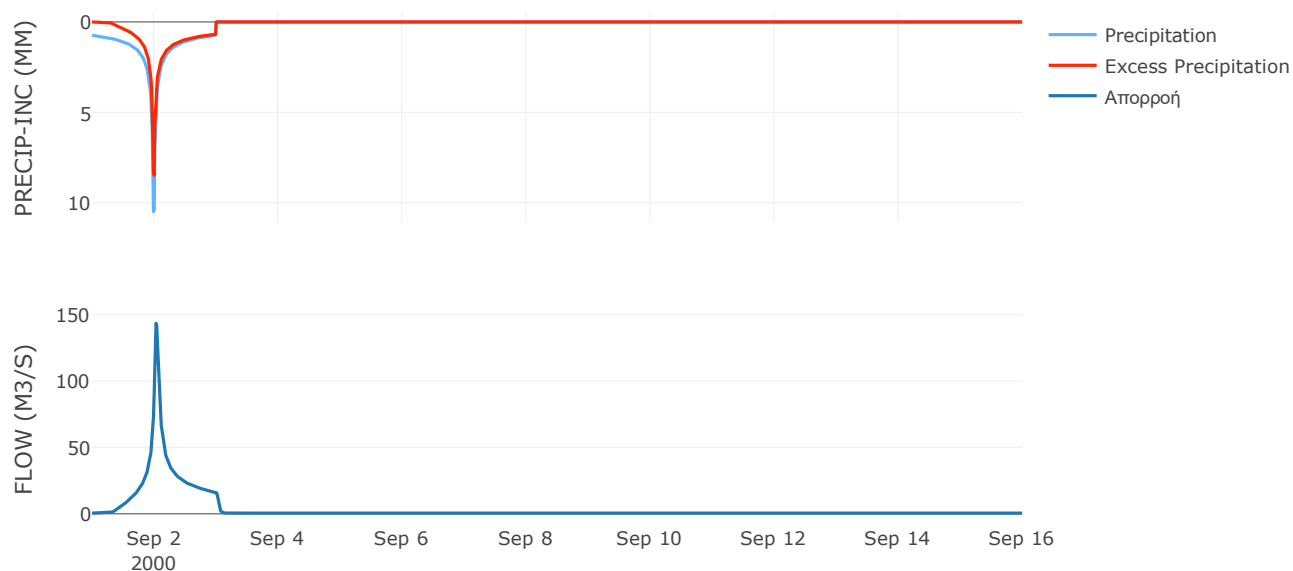
Μέθοδος
Μετασχηματισμού: SCS

Χρόνος Υστέρησης	46.68
------------------	-------

Αποτελέσματα:
EL0421FR001015

Παροχή αιχμής (M3/S)	143.5
Χρονική στιγμή αιχμής	02Sep2000, 00:45
Όγκος (MM)	235.1
Όγκος βροχόπτωσης (M3)	6.11E6
Όγκος απωλειών (M3)	1.96E6
Ενεργός Όγκος (M3)	4.15E6
Όγκος άμεσης απορροής (M3)	4.15E6
Όγκος βασικής απορροής (M3)	6.63E5

Βροχόπτωση και Απορροή



Υπολεκάνη: EL0421FR001016

Έκταση (KM2) : 15.22

Κατάντη : J16

Μέθοδος Απωλειών: SCS

Ποσοστό αδιαπέρατης επιφάνειας	0
Αριθμός Καμπύλης Απορροής-CN	70.19
Αρχικές Απώλειες	21.58

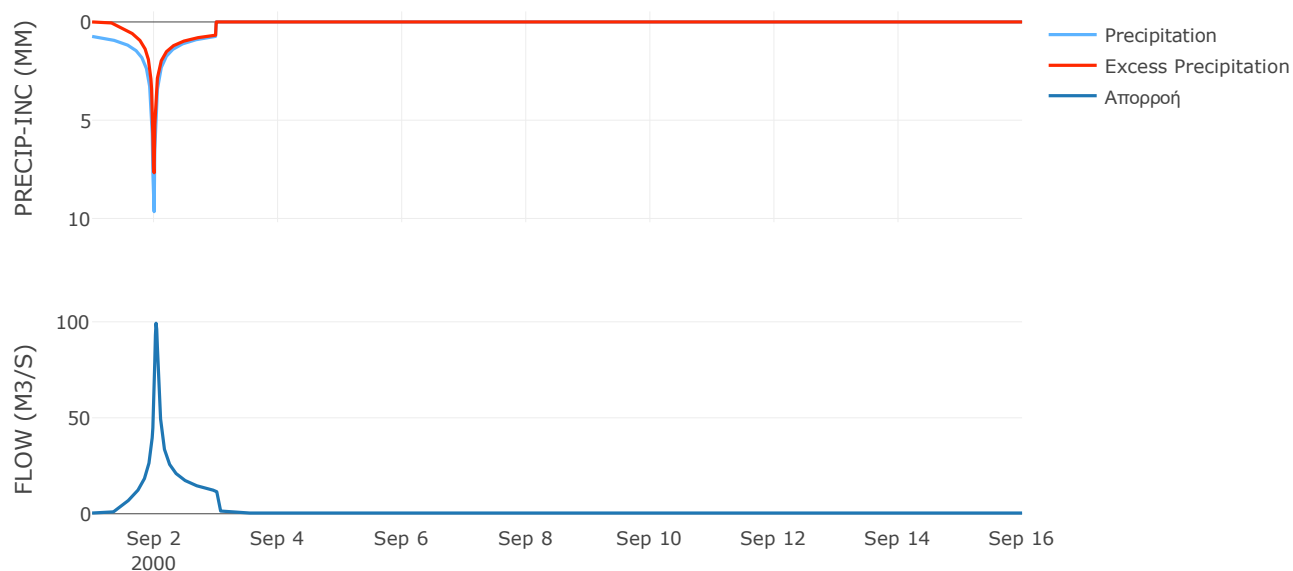
Μέθοδος
Μετασχηματισμού: SCS

Χρόνος Υστέρησης	43.29
------------------	-------

Αποτελέσματα:
EL0421FR001016

Παροχή αιχμής (M3/S)	99.26
Χρονική στιγμή αιχμής	02Sep2000, 00:45
Όγκος (MM)	224.36
Όγκος βροχόπτωσης (M3)	4.42E6
Όγκος απωλειών (M3)	1.5E6
Ενεργός Όγκος (M3)	2.92E6
Όγκος άμεσης απορροής (M3)	2.92E6
Όγκος βασικής απορροής (M3)	4.93E5

Βροχόπτωση και Απορροή



Υπολεκάνη: EL0421FR001017

Έκταση (KM2) : 32

Κατάληξη : J17

Μέθοδος Απωλειών: SCS

Ποσοστό αδιαπέρατης επιφάνειας	0
Αριθμός Καμπύλης Απορροής-CN	77
Αρχικές Απώλειες	15.17

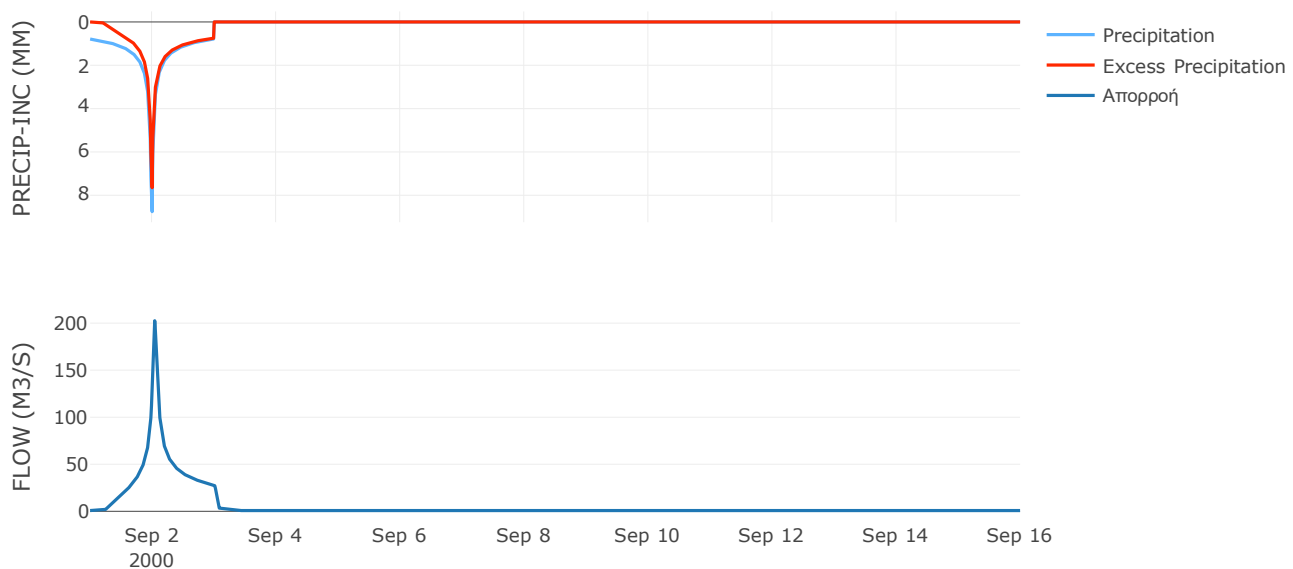
Μέθοδος
Μετασχηματισμού: SCS

Χρόνος Υστέρησης	51.13
------------------	-------

Αποτελέσματα:
EL0421FR001017

Παροχή αιχμής (M3/S)	202.51
Χρονική στιγμή αιχμής	02Sep2000, 01:00
Όγκος (MM)	251.53
Όγκος βροχόπτωσης (M3)	9.4E6
Όγκος απωλειών (M3)	2.39E6
Ενεργός Όγκος (M3)	7.01E6
Όγκος άμεσης απορροής (M3)	7.01E6
Όγκος βασικής απορροής (M3)	1.04E6

Βροχόπτωση και Απορροή



Υπολεκάνη: EL0421FR001018

Έκταση (KM2) : 15.19

Κατάντη : J17

Μέθοδος Απωλειών: SCS

Ποσοστό αδιαπέρατης επιφάνειας	0
Αριθμός Καμπύλης Απορροής-CN	66.09
Αρχικές Απώλειες	26.06

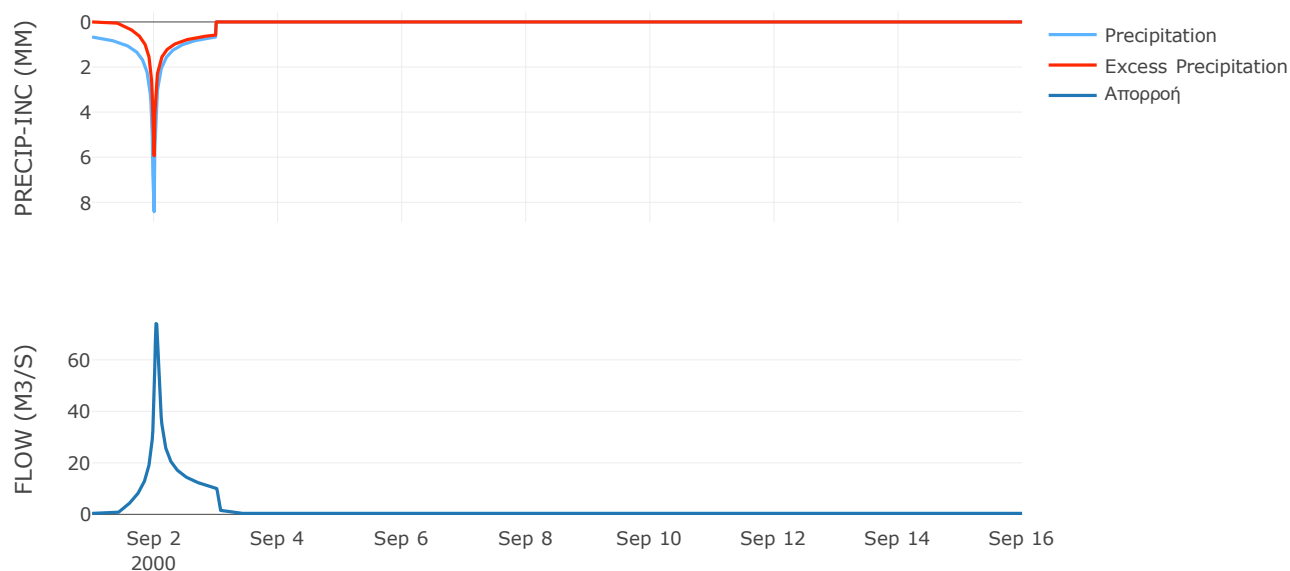
Μέθοδος
Μετασχηματισμού: SCS

Χρόνος Υστέρησης	47.1
------------------	------

Αποτελέσματα:
EL0421FR001018

Παροχή αιχμής (M3/S)	74.1
Χρονική στιγμή αιχμής	02Sep2000, 00:45
Όγκος (MM)	182.7
Όγκος βροχόπτωσης (M3)	3.95E6
Όγκος απωλειών (M3)	1.67E6
Ενεργός Όγκος (M3)	2.28E6
Όγκος άμεσης απορροής (M3)	2.28E6
Όγκος βασικής απορροής (M3)	4.92E5

Βροχόπτωση και Απορροή



Υπολεκάνη: EL0421FR001019

Έκταση (KM2) : 21.21

Κατάντη : J17

Μέθοδος Απωλειών: SCS

Ποσοστό αδιαπέρατης επιφάνειας	0
Αριθμός Καμπύλης Απορροής-CN	64.14
Αρχικές Απώλειες	28.4

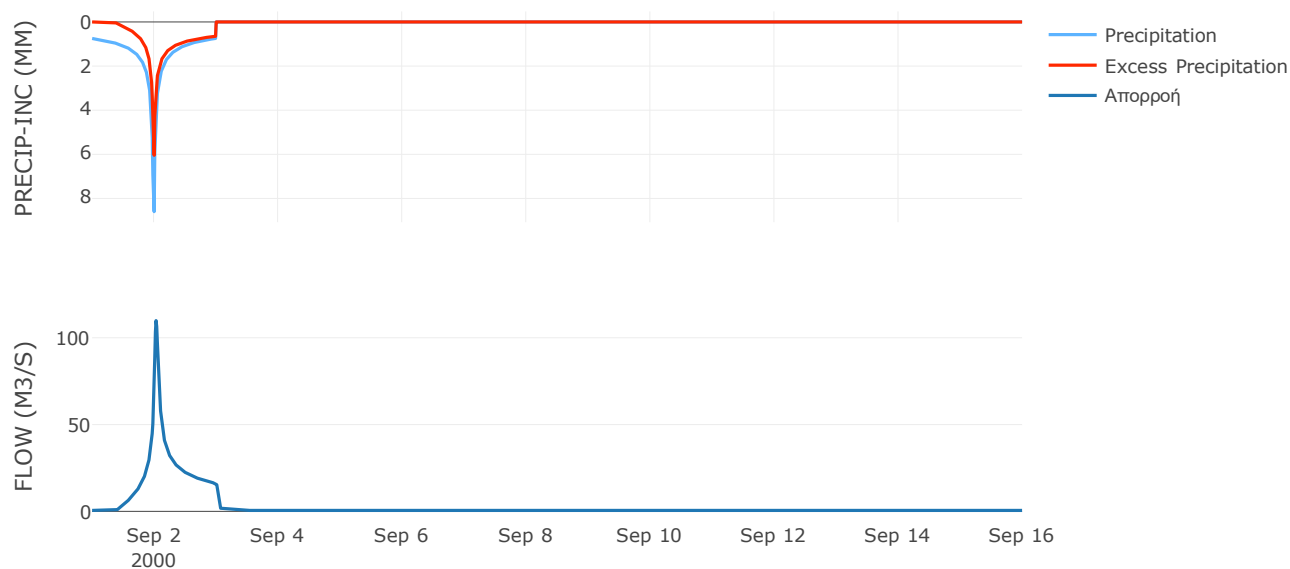
Μέθοδος
Μετασχηματισμού: SCS

Χρόνος Υστέρησης	42.12
------------------	-------

Αποτελέσματα:
EL0421FR001019

Παροχή αιχμής (M3/S)	109.87
Χρονική στιγμή αιχμής	02Sep2000, 00:45
Όγκος (MM)	195.11
Όγκος βροχόπτωσης (M3)	5.98E6
Όγκος απωλειών (M3)	2.53E6
Ενεργός Όγκος (M3)	3.45E6
Όγκος άμεσης απορροής (M3)	3.45E6
Όγκος βασικής απορροής (M3)	6.87E5

Βροχόπτωση και Απορροή



Υπολεκάνη: EL0421FR001020

Έκταση (KM2) : 12.17

Κατάντη : J15

Μέθοδος Απωλειών: SCS

Ποσοστό αδιαπέρατης επιφάνειας	0
Αριθμός Καμπύλης Απορροής-CN	58.23
Αρχικές Απώλειες	36.45

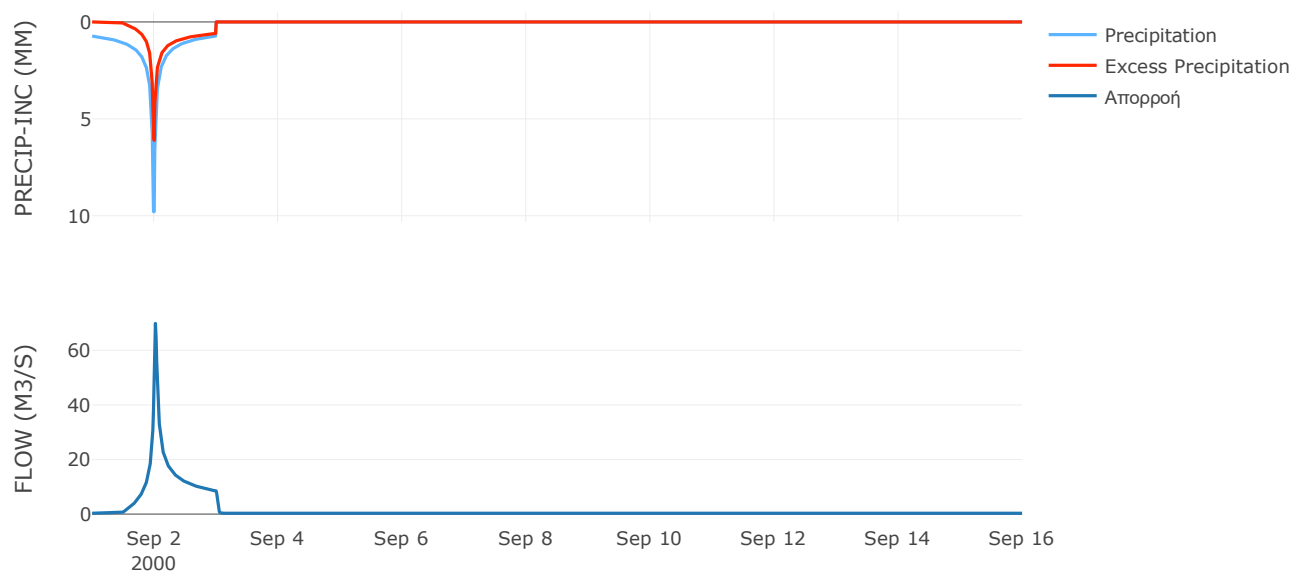
Μέθοδος
Μετασχηματισμού: SCS

Χρόνος Υστέρησης	26.2
------------------	------

Αποτελέσματα:
EL0421FR001020

Παροχή αιχμής (M3/S)	69.88
Χρονική στιγμή αιχμής	02Sep2000, 00:30
Όγκος (MM)	179.6
Όγκος βροχόπτωσης (M3)	3.53E6
Όγκος απωλειών (M3)	1.73E6
Ενεργός Όγκος (M3)	1.79E6
Όγκος άμεσης απορροής (M3)	1.79E6
Όγκος βασικής απορροής (M3)	3.94E5

Βροχόπτωση και Απορροή



Υπολεκάνη: EL0421FR001021

Έκταση (KM2) : 25.71

Κατάντη : J16

Μέθοδος Απωλειών: SCS

Ποσοστό αδιαπέρατης επιφάνειας	0
Αριθμός Καμπύλης Απορροής-CN	79.09
Αρχικές Απώλειες	13.43

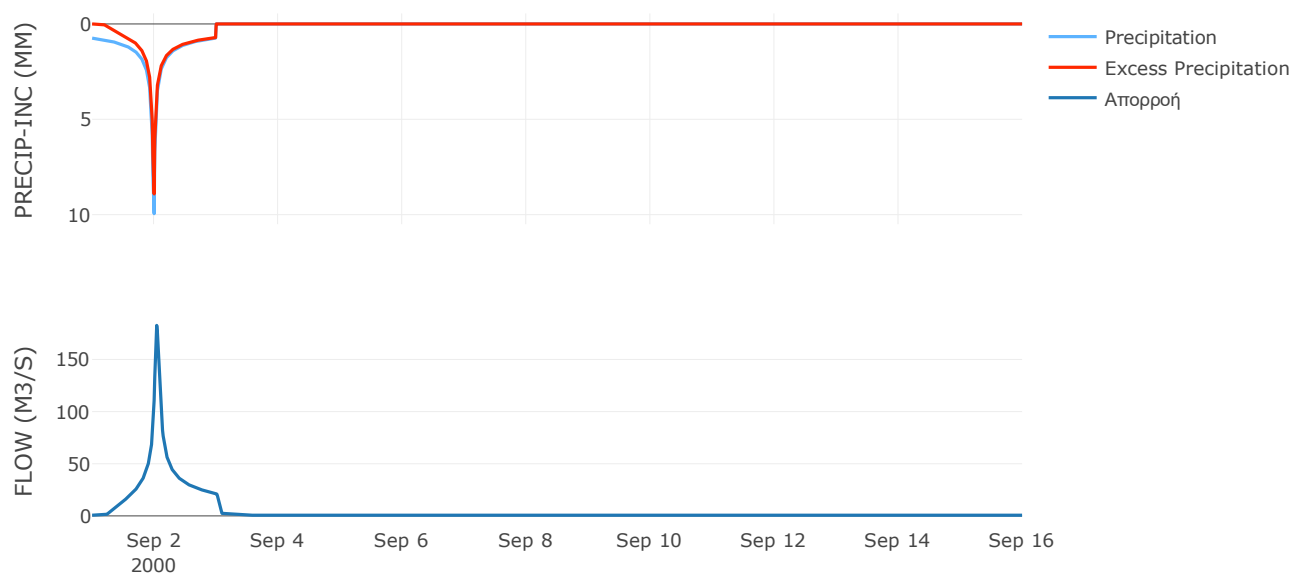
Μέθοδος
Μετασχηματισμού: SCS

Χρόνος Υστέρησης	56.32
------------------	-------

Αποτελέσματα:
EL0421FR001021

Παροχή αιχμής (M3/S)	182.66
Χρονική στιγμή αιχμής	02Sep2000, 01:00
Όγκος (MM)	260.04
Όγκος βροχόπτωσης (M3)	7.59E6
Όγκος απωλειών (M3)	1.74E6
Ενεργός Όγκος (M3)	5.85E6
Όγκος άμεσης απορροής (M3)	5.85E6
Όγκος βασικής απορροής (M3)	8.33E5

Βροχόπτωση και Απορροή



Υπολεκάνη: EL0421FR001022

Έκταση (KM2) : 24.36

Κατάντη : J16

Μέθοδος Απωλειών: SCS

Ποσοστό αδιαπέρατης επιφάνειας	0
Αριθμός Καμπύλης Απορροής-CN	78.15
Αρχικές Απώλειες	14.2

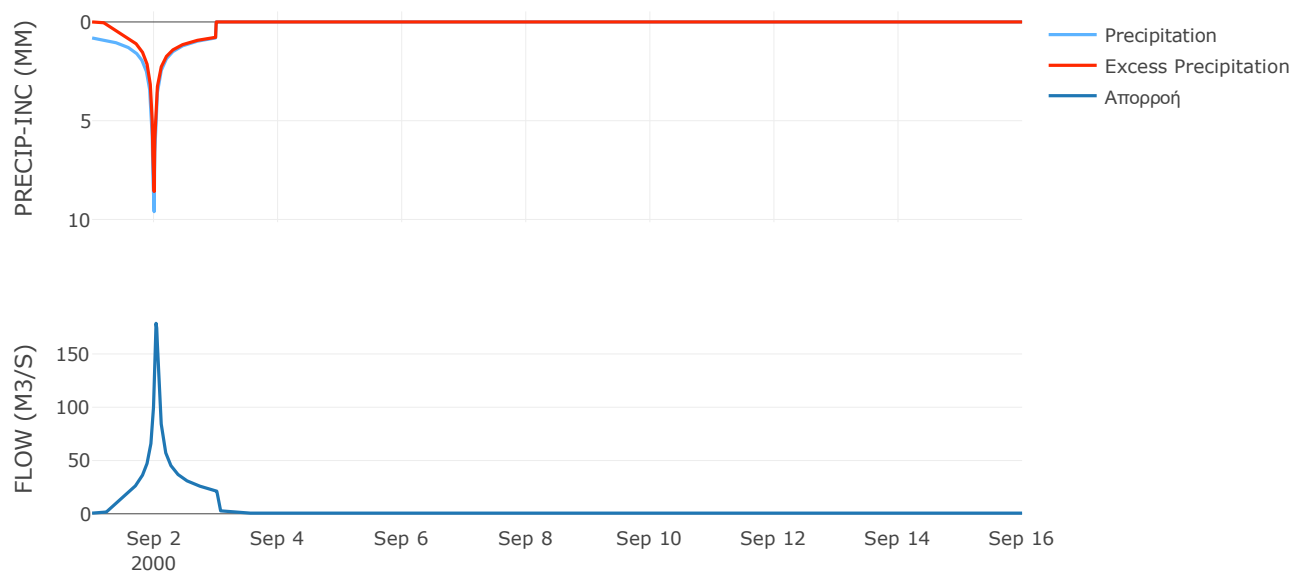
Μέθοδος
Μετασχηματισμού: SCS

Χρόνος Υστέρησης	44.97
------------------	-------

Αποτελέσματα:
EL0421FR001022

Παροχή αιχμής (M3/S)	178.73
Χρονική στιγμή αιχμής	02Sep2000, 00:45
Όγκος (MM)	270.04
Όγκος βροχόπτωσης (M3)	7.53E6
Όγκος απωλειών (M3)	1.74E6
Ενεργός Όγκος (M3)	5.79E6
Όγκος άμεσης απορροής (M3)	5.79E6
Όγκος βασικής απορροής (M3)	7.89E5

Βροχόπτωση και Απορροή



Υπολεκάνη: EL0421FR001023

Έκταση (KM2) : 13.31

Κατάντη : J14

Μέθοδος Απωλειών: SCS

Ποσοστό αδιαπέρατης επιφάνειας	0
Αριθμός Καμπύλης Απορροής-CN	74.77
Αρχικές Απώλειες	17.15

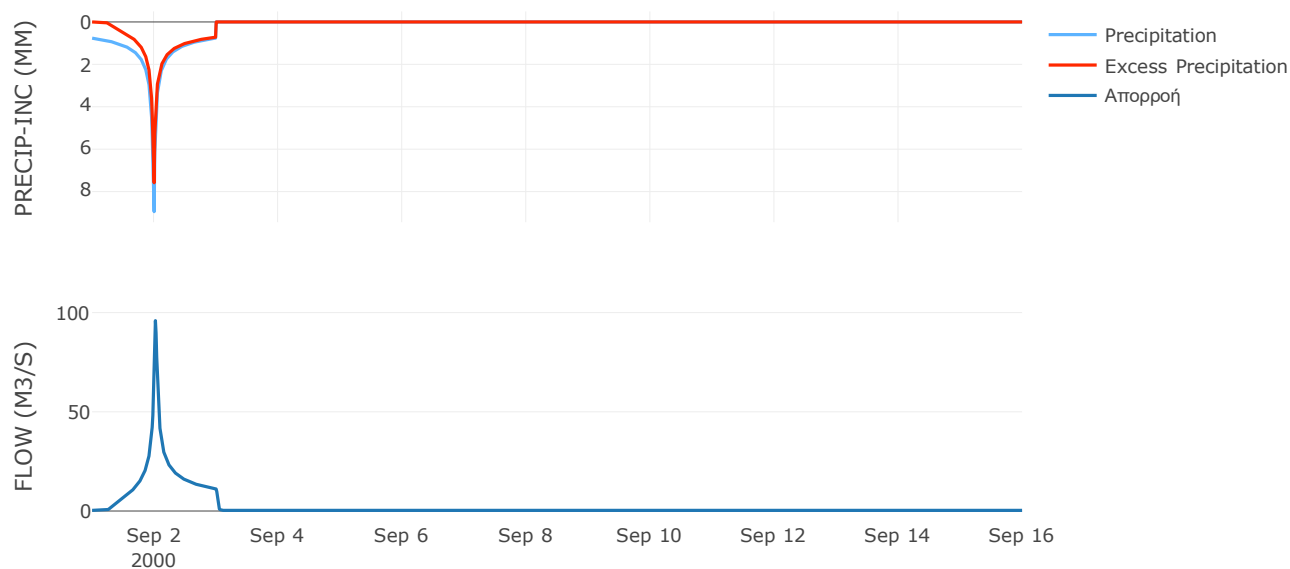
Μέθοδος
Μετασχηματισμού: SCS

Χρόνος Υστέρησης	27.39
------------------	-------

Αποτελέσματα:
EL0421FR001023

Παροχή αιχμής (M3/S)	95.92
Χρονική στιγμή αιχμής	02Sep2000, 00:30
Όγκος (MM)	240.1
Όγκος βροχόπτωσης (M3)	3.86E6
Όγκος απωλειών (M3)	1.1E6
Ενεργός Όγκος (M3)	2.76E6
Όγκος άμεσης απορροής (M3)	2.76E6
Όγκος βασικής απορροής (M3)	4.31E5

Βροχόπτωση και Απορροή



Υπολεκάνη: EL0421FR001024

Έκταση (KM2) : 30.28

Κατάντη : J18

Μέθοδος Απωλειών: SCS

Ποσοστό αδιαπέρατης επιφάνειας	0
Αριθμός Καμπύλης Απορροής-CN	78.62
Αρχικές Απώλειες	13.81

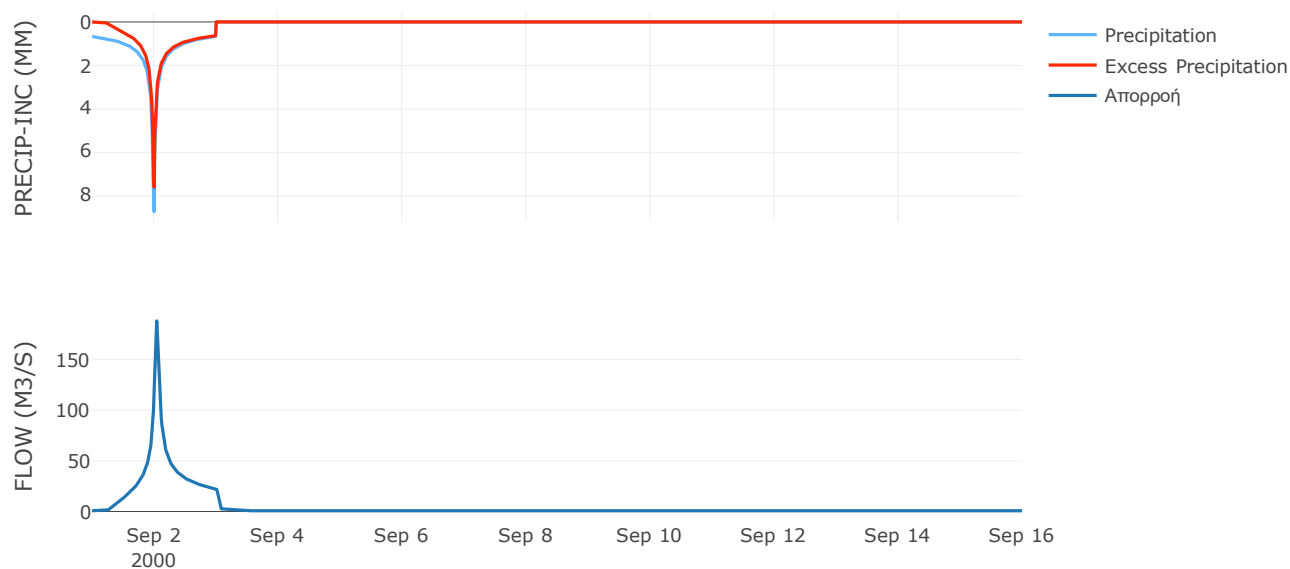
Μέθοδος
Μετασχηματισμού: SCS

Χρόνος Υστέρησης	49.72
------------------	-------

Αποτελέσματα:
EL0421FR001024

Παροχή αιχμής (M3/S)	188.03
Χρονική στιγμή αιχμής	02Sep2000, 01:00
Όγκος (MM)	226.75
Όγκος βροχόπτωσης (M3)	7.94E6
Όγκος απωλειών (M3)	2.05E6
Ενεργός Όγκος (M3)	5.89E6
Όγκος άμεσης απορροής (M3)	5.89E6
Όγκος βασικής απορροής (M3)	9.81E5

Βροχόπτωση και Απορροή



Υπολεκάνη: EL0421FR001025

Έκταση (KM2) : 69.37
Κατάντη : J19

Μέθοδος Απωλειών: SCS

Ποσοστό αδιαπέρατης επιφάνειας	0
Αριθμός Καμπύλης Απορροής-CN	72.46
Αρχικές Απώλειες	19.31

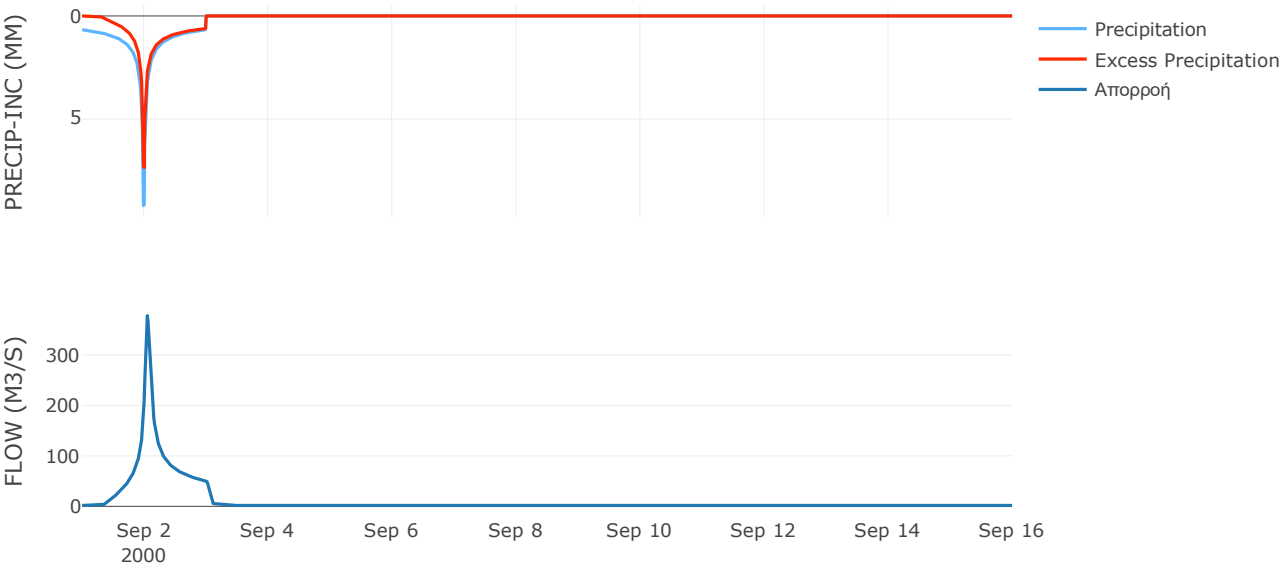
Μέθοδος
Μετασχηματισμού: SCS

Χρόνος Υστέρησης	67.96
------------------	-------

Αποτελέσματα:
EL0421FR001025

Παροχή αιχμής (M3/S)	377.97
Χρονική στιγμή αιχμής	02Sep2000, 01:15
Όγκος (MM)	210.45
Όγκος βροχόπτωσης (M3)	1.85E7
Όγκος απωλειών (M3)	6.16E6
Ενεργός Όγκος (M3)	1.24E7
Όγκος άμεσης απορροής (M3)	1.24E7
Όγκος βασικής απορροής (M3)	2.25E6

Βροχόπτωση και Απορροή



Υπολεκάνη: EL0421FR001026

Έκταση (KM2) : 14.94

Κατάντη : J9

Μέθοδος Απωλειών: SCS

Ποσοστό αδιαπέρατης επιφάνειας	0
Αριθμός Καμπύλης Απορροής-CN	75.17
Αρχικές Απώλειες	16.78

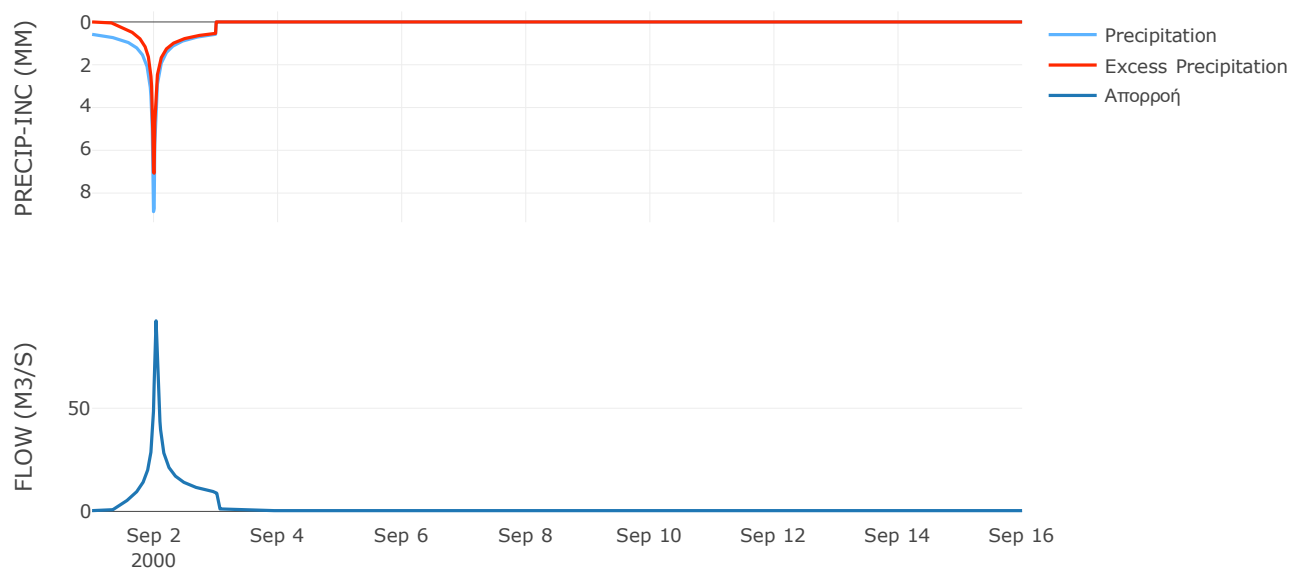
Μέθοδος
Μετασχηματισμού: SCS

Χρόνος Υστέρησης	36.89
------------------	-------

Αποτελέσματα:
EL0421FR001026

Παροχή αιχμής (M3/S)	92.37
Χρονική στιγμή αιχμής	02Sep2000, 00:45
Όγκος (MM)	194.66
Όγκος βροχόπτωσης (M3)	3.59E6
Όγκος απωλειών (M3)	1.16E6
Ενεργός Όγκος (M3)	2.42E6
Όγκος άμεσης απορροής (M3)	2.42E6
Όγκος βασικής απορροής (M3)	4.84E5

Βροχόπτωση και Απορροή



Υπολεκάνη: EL0421FR001027

Έκταση (KM2) : 17.74

Κατάντη : J22

Μέθοδος Απωλειών: SCS

Ποσοστό αδιαπέρατης επιφάνειας	0
Αριθμός Καμπύλης Απορροής-CN	81.27
Αρχικές Απώλειες	11.71

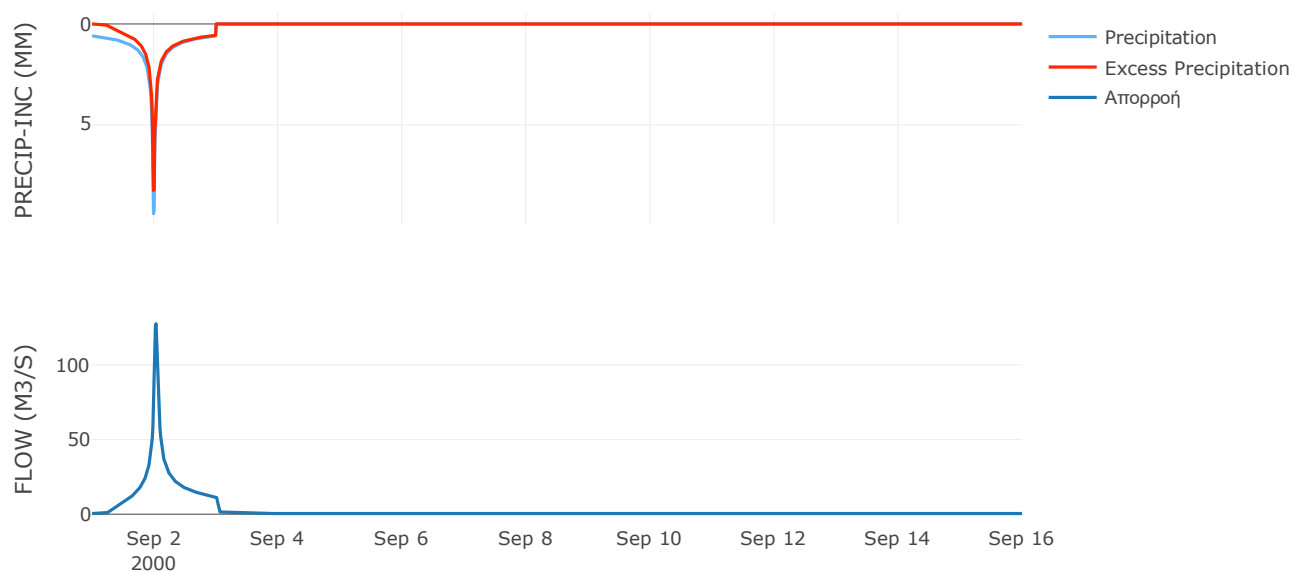
Μέθοδος
Μετασχηματισμού: SCS

Χρόνος Υστέρησης	36.73
------------------	-------

Αποτελέσματα:
EL0421FR001027

Παροχή αιχμής (M3/S)	127.52
Χρονική στιγμή αιχμής	02Sep2000, 00:45
Όγκος (MM)	221.41
Όγκος βροχόπτωσης (M3)	4.39E6
Όγκος απωλειών (M3)	1.04E6
Ενεργός Όγκος (M3)	3.35E6
Όγκος άμεσης απορροής (M3)	3.35E6
Όγκος βασικής απορροής (M3)	5.75E5

Βροχόπτωση και Απορροή



Υπολεκάνη: EL0421FR001028

Έκταση (KM2) : 35.53
Κατάντη : J22

Μέθοδος Απωλειών: SCS

Ποσοστό αδιαπέρατης επιφάνειας	0
Αριθμός Καμπύλης Απορροής-CN	80.57
Αρχικές Απώλειες	12.25

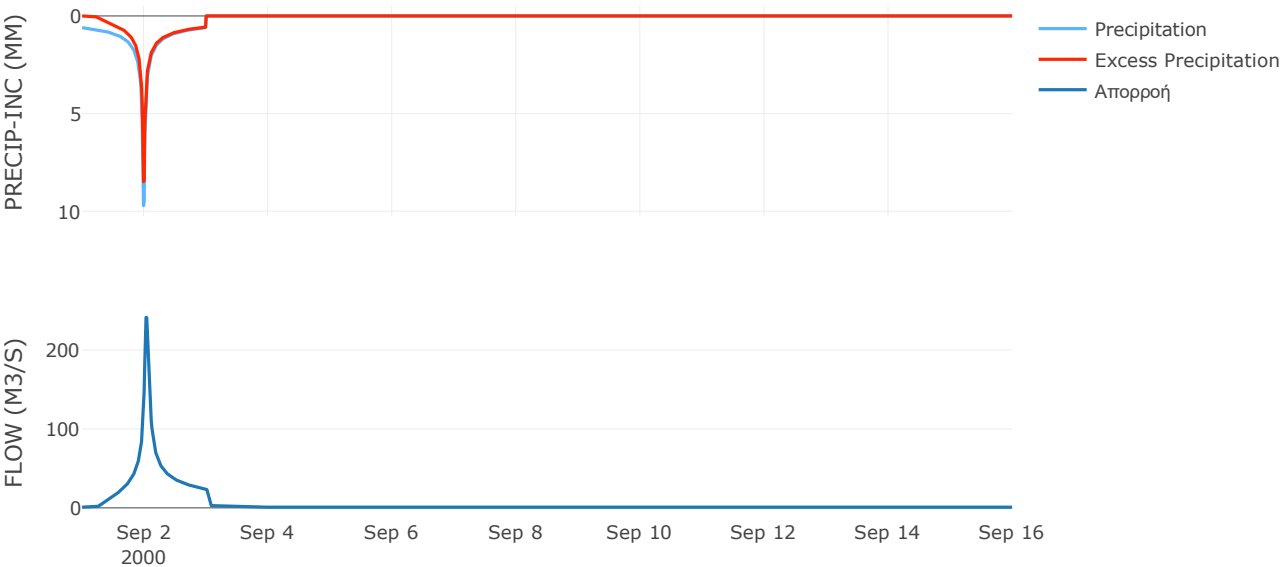
Μέθοδος
Μετασχηματισμού: SCS

Χρόνος Υστέρησης	49.4
------------------	------

Αποτελέσματα:
EL0421FR001028

Παροχή αιχμής (M3/S)	241.27
Χρονική στιγμή αιχμής	02Sep2000, 00:45
Όγκος (MM)	223.93
Όγκος βροχόπτωσης (M3)	8.98E6
Όγκος απωλειών (M3)	2.17E6
Ενεργός Όγκος (M3)	6.81E6
Όγκος άμεσης απορροής (M3)	6.81E6
Όγκος βασικής απορροής (M3)	1.15E6

Βροχόπτωση και Απορροή



Υπολεκάνη: EL0421FR001029

Έκταση (KM2) : 42.48

Κατάντη : J6

Μέθοδος Απωλειών: SCS

Ποσοστό αδιαπέρατης επιφάνειας	0
Αριθμός Καμπύλης Απορροής-CN	64.82
Αρχικές Απώλειες	27.58

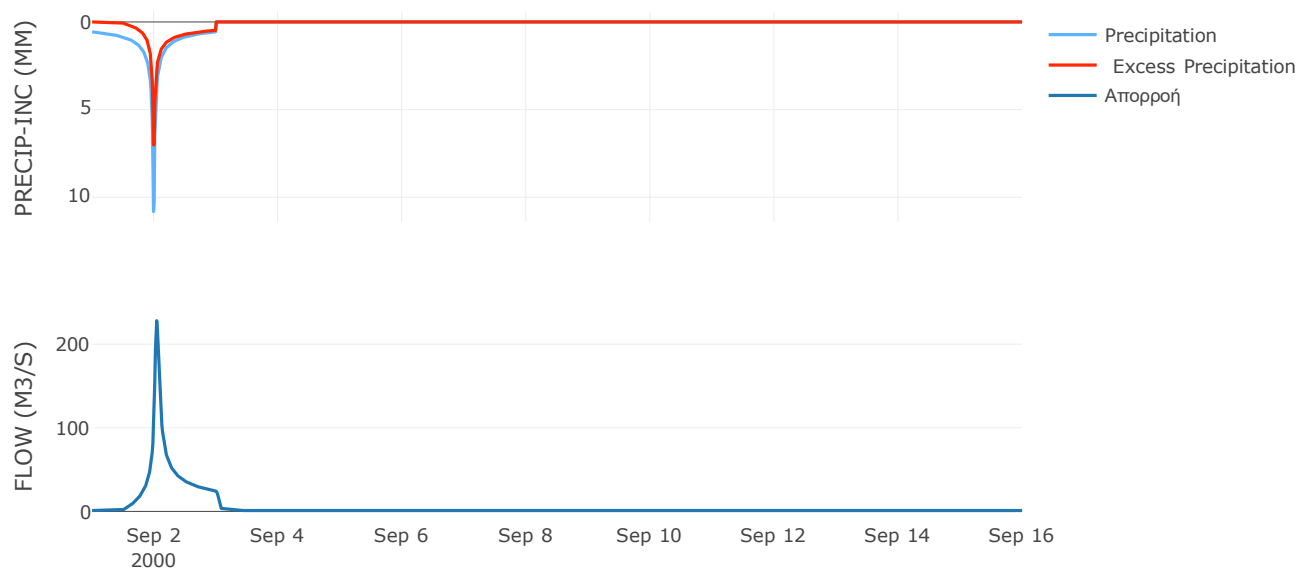
Μέθοδος
Μετασχηματισμού: SCS

Χρόνος Υστέρησης	53.41
------------------	-------

Αποτελέσματα:
EL0421FR001029

Παροχή αιχμής (M3/S)	228.06
Χρονική στιγμή αιχμής	02Sep2000, 01:00
Όγκος (MM)	170.26
Όγκος βροχόπτωσης (M3)	1.06E7
Όγκος απωλειών (M3)	4.79E6
Ενεργός Όγκος (M3)	5.86E6
Όγκος άμεσης απορροής (M3)	5.86E6
Όγκος βασικής απορροής (M3)	1.38E6

Βροχόπτωση και Απορροή



Υπολεκάνη: EL0421FR001030

Έκταση (KM2) : 20.53

Κατάντη : J5

Μέθοδος Απωλειών: SCS

Ποσοστό αδιαπέρατης επιφάνειας	0
Αριθμός Καμπύλης Απορροής-CN	57.57
Αρχικές Απώλειες	37.44

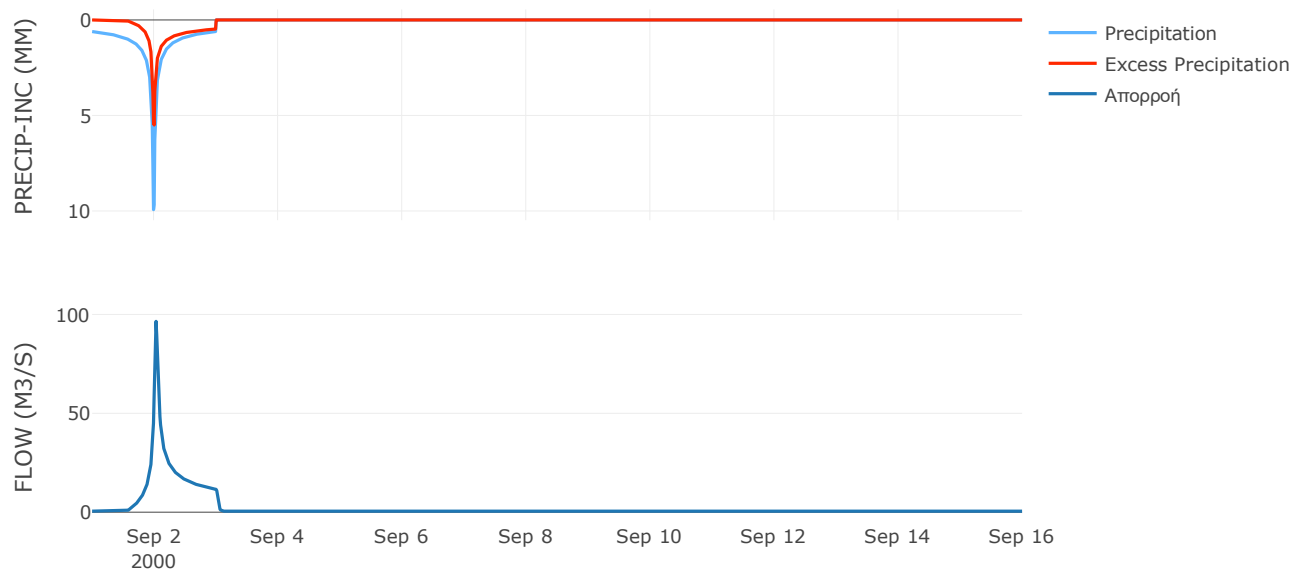
Μέθοδος
Μετασχηματισμού: SCS

Χρόνος Υστέρησης	36.91
------------------	-------

Αποτελέσματα:
EL0421FR001030

Παροχή αιχμής (M3/S)	96.52
Χρονική στιγμή αιχμής	02Sep2000, 00:45
Όγκος (MM)	150.79
Όγκος βροχόπτωσης (M3)	5.27E6
Όγκος απωλειών (M3)	2.84E6
Ενεργός Όγκος (M3)	2.43E6
Όγκος άμεσης απορροής (M3)	2.43E6
Όγκος βασικής απορροής (M3)	6.65E5

Βροχόπτωση και Απορροή



Υπολεκάνη: EL0421FR001031

Έκταση (KM2) : 24.21

Κατάντη : J4

Μέθοδος Απωλειών: SCS

Ποσοστό αδιαπέρατης επιφάνειας	0
Αριθμός Καμπύλης Απορροής-CN	53.6
Αρχικές Απώλειες	43.97

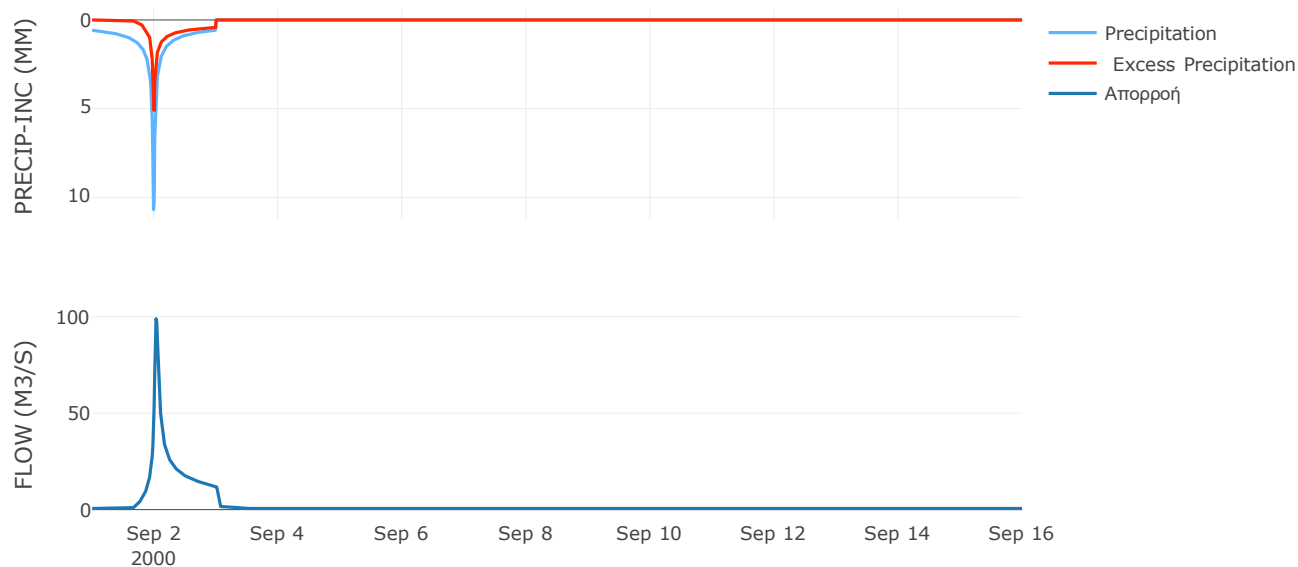
Μέθοδος
Μετασχηματισμού: SCS

Χρόνος Υστέρησης	43.24
------------------	-------

Αποτελέσματα:
EL0421FR001031

Παροχή αιχμής (M3/S)	98.92
Χρονική στιγμή αιχμής	02Sep2000, 00:45
Όγκος (MM)	135.06
Όγκος βροχόπτωσης (M3)	6.15E6
Όγκος απωλειών (M3)	3.66E6
Ενεργός Όγκος (M3)	2.49E6
Όγκος άμεσης απορροής (M3)	2.49E6
Όγκος βασικής απορροής (M3)	7.84E5

Βροχόπτωση και Απορροή



Υπολεκάνη: EL0421FR001032

Έκταση (KM2) : 56.61

Κατάντη : J12

Μέθοδος Απωλειών: SCS

Ποσοστό αδιαπέρατης επιφάνειας	0.06
Αριθμός Καμπύλης Απορροής-CN	58
Αρχικές Απώλειες	36.78

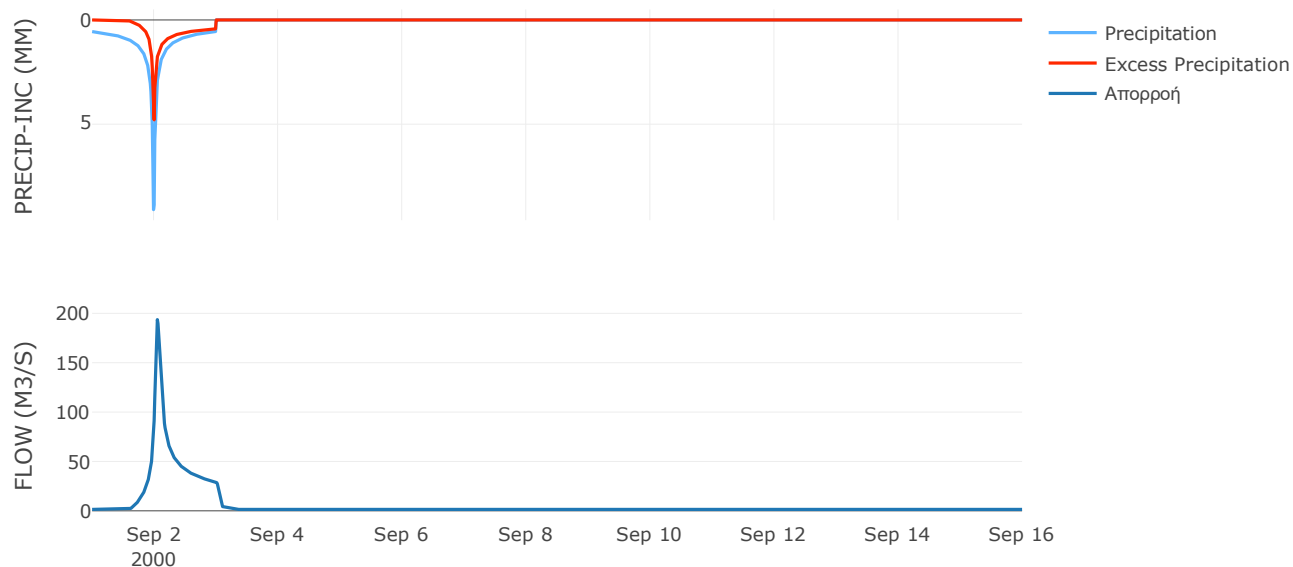
Μέθοδος
Μετασχηματισμού: SCS

Χρόνος Υστέρησης	66.62
------------------	-------

Αποτελέσματα:
EL0421FR001032

Παροχή αιχμής (M3/S)	193.66
Χρονική στιγμή αιχμής	02Sep2000, 01:15
Όγκος (MM)	135.81
Όγκος βροχόπτωσης (M3)	1.33E7
Όγκος απωλειών (M3)	7.49E6
Ενεργός Όγκος (M3)	5.85E6
Όγκος άμεσης απορροής (M3)	5.85E6
Όγκος βασικής απορροής (M3)	1.83E6

Βροχόπτωση και Απορροή



Υπολεκάνη: EL0421FR001033

Έκταση (KM2) : 28.55

Κατάντη : J21

Μέθοδος Απωλειών: SCS

Ποσοστό αδιαπέρατης επιφάνειας	0
Αριθμός Καμπύλης Απορροής-CN	67.52
Αρχικές Απώλειες	24.44

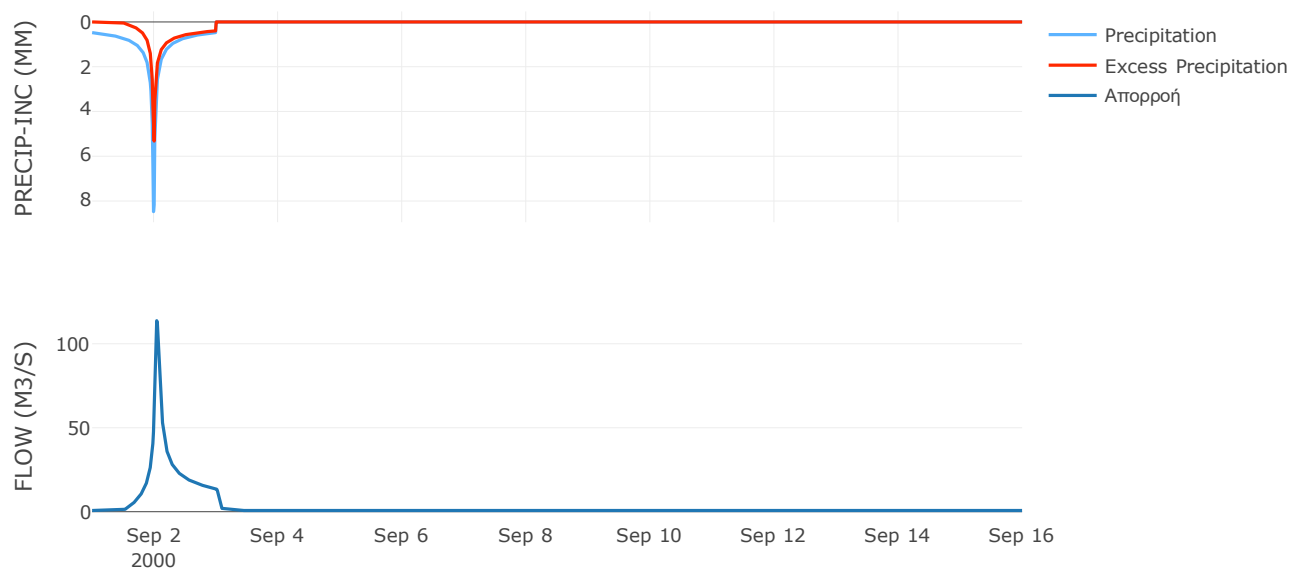
Μέθοδος
Μετασχηματισμού: SCS

Χρόνος Υστέρησης	58.29
------------------	-------

Αποτελέσματα:
EL0421FR001033

Παροχή αιχμής (M3/S)	113.75
Χρονική στιγμή αιχμής	02Sep2000, 01:00
Όγκος (MM)	141.86
Όγκος βροχόπτωσης (M3)	5.91E6
Όγκος απωλειών (M3)	2.79E6
Ενεργός Όγκος (M3)	3.13E6
Όγκος άμεσης απορροής (M3)	3.13E6
Όγκος βασικής απορροής (M3)	9.25E5

Βροχόπτωση και Απορροή



Υπολεκάνη: EL0421FR001034

Έκταση (KM2) : 57.33

Κατάντη : J21

Μέθοδος Απωλειών: SCS

Ποσοστό αδιαπέρατης επιφάνειας	0
Αριθμός Καμπύλης Απορροής-CN	63.67
Αρχικές Απώλειες	28.99

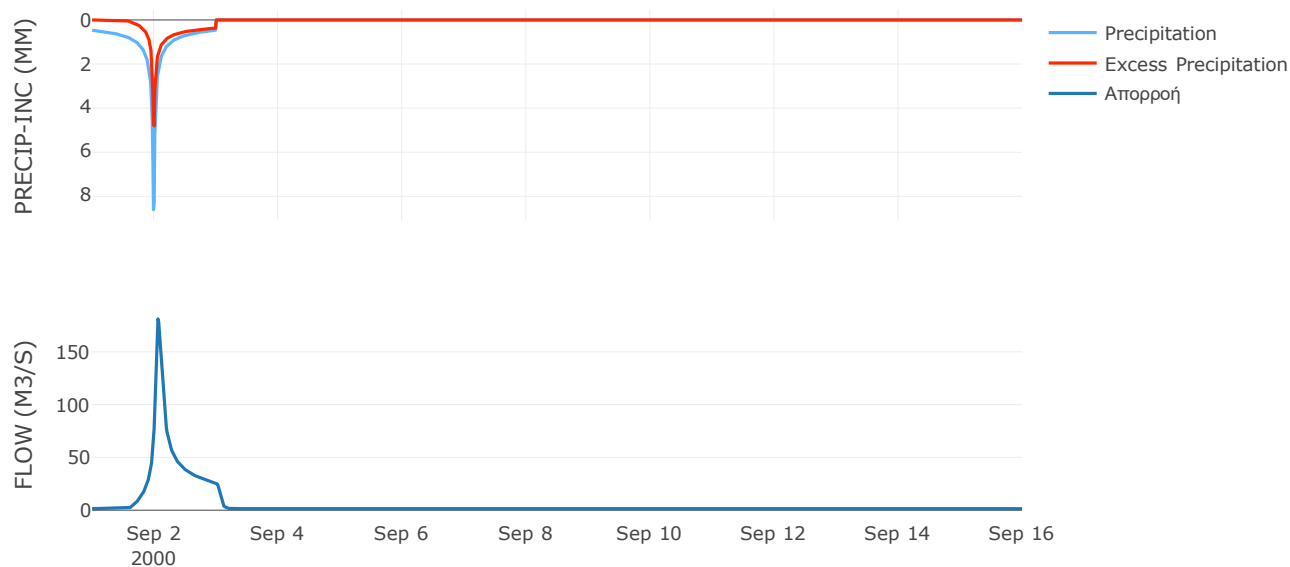
Μέθοδος
Μετασχηματισμού: SCS

Χρόνος Υστέρησης	81.15
------------------	-------

Αποτελέσματα:
EL0421FR001034

Παροχή αιχμής (M3/S)	181.23
Χρονική στιγμή αιχμής	02Sep2000, 01:30
Όγκος (MM)	129.05
Όγκος βροχόπτωσης (M3)	1.18E7
Όγκος απωλειών (M3)	6.22E6
Ενεργός Όγκος (M3)	5.54E6
Όγκος άμεσης απορροής (M3)	5.54E6
Όγκος βασικής απορροής (M3)	1.86E6

Βροχόπτωση και Απορροή



Υπολεκάνη: EL0421FR001035

Έκταση (KM2) : 27.47

Κατάντη : J9

Μέθοδος Απωλειών: SCS

Ποσοστό αδιαπέρατης επιφάνειας	0
Αριθμός Καμπύλης Απορροής-CN	80.51
Αρχικές Απώλειες	12.3

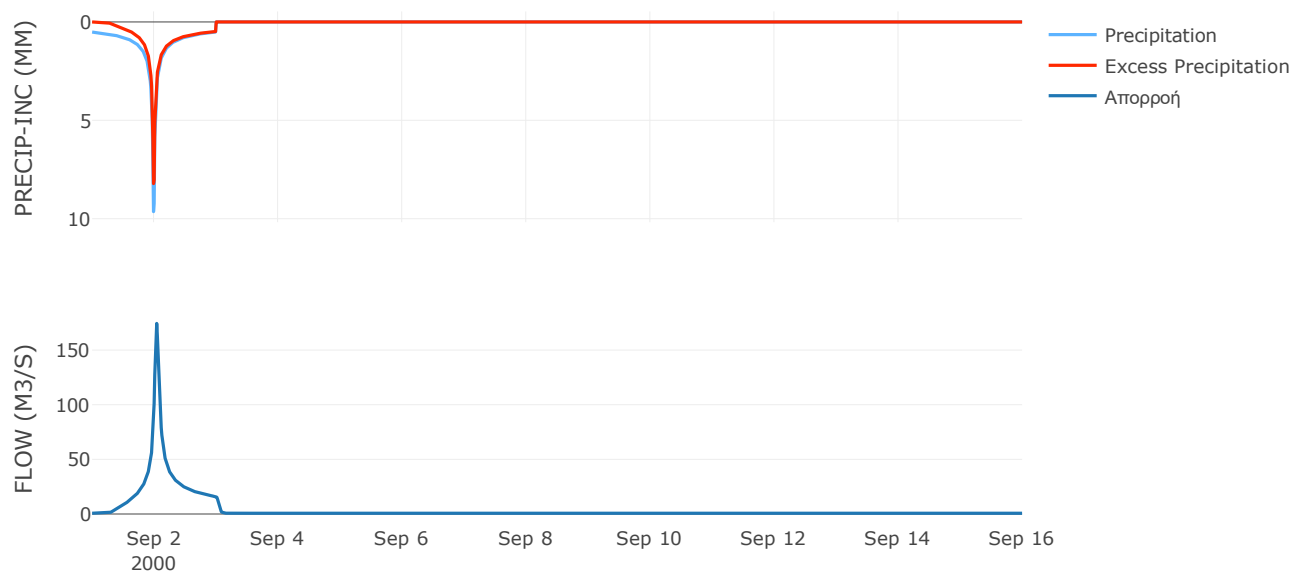
Μέθοδος
Μετασχηματισμού: SCS

Χρόνος Υστέρησης	51.04
------------------	-------

Αποτελέσματα:
EL0421FR001035

Παροχή αιχμής (M3/S)	174.41
Χρονική στιγμή αιχμής	02Sep2000, 01:00
Όγκος (MM)	199.34
Όγκος βροχόπτωσης (M3)	6.24E6
Όγκος απωλειών (M3)	1.65E6
Ενεργός Όγκος (M3)	4.59E6
Όγκος άμεσης απορροής (M3)	4.59E6
Όγκος βασικής απορροής (M3)	8.9E5

Βροχόπτωση και Απορροή



Υπολεκάνη: EL0421FR001036

Έκταση (KM2) : 22.53

Κατάντη : J23

Μέθοδος Απωλειών: SCS

Ποσοστό αδιαπέρατης επιφάνειας	0
Αριθμός Καμπύλης Απορροής-CN	69.26
Αρχικές Απώλειες	22.54

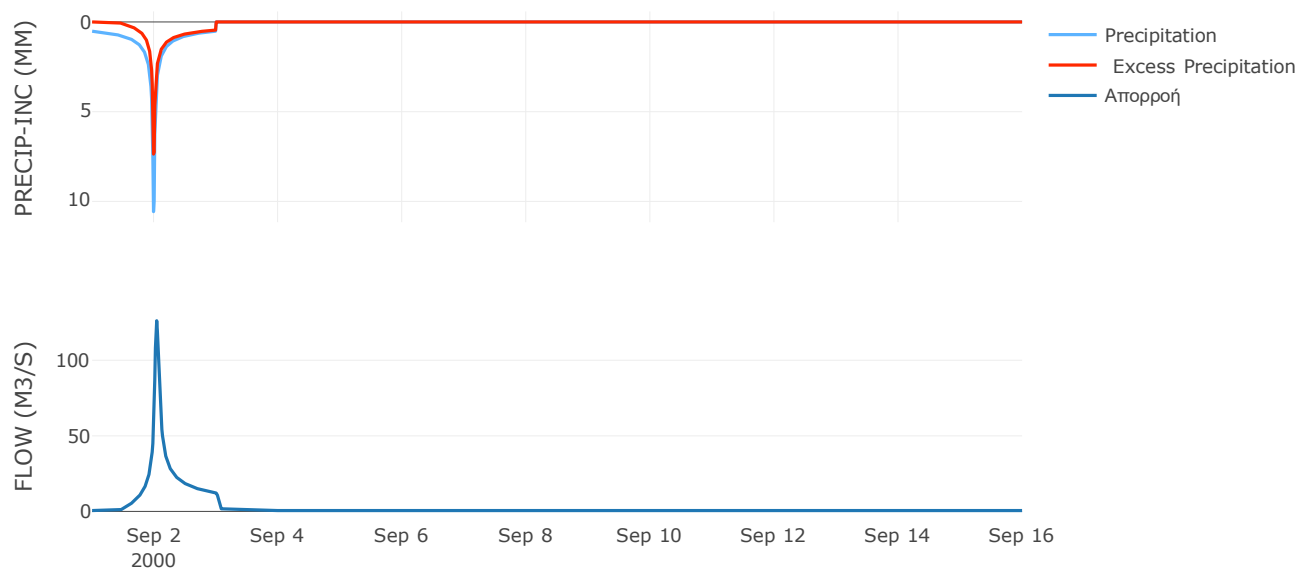
Μέθοδος
Μετασχηματισμού: SCS

Χρόνος Υστέρησης	52.15
------------------	-------

Αποτελέσματα:
EL0421FR001036

Παροχή αιχμής (M3/S)	126.14
Χρονική στιγμή αιχμής	02Sep2000, 01:00
Όγκος (MM)	171.22
Όγκος βροχόπτωσης (M3)	5.29E6
Όγκος απωλειών (M3)	2.17E6
Ενεργός Όγκος (M3)	3.13E6
Όγκος άμεσης απορροής (M3)	3.13E6
Όγκος βασικής απορροής (M3)	7.3E5

Βροχόπτωση και Απορροή



Υπολεκάνη: EL0421FR001037

Έκταση (KM2) : 26.53

Κατάντη : J2

Μέθοδος Απωλειών: SCS

Ποσοστό αδιαπέρατης επιφάνειας	0
Αριθμός Καμπύλης Απορροής-CN	62.09
Αρχικές Απώλειες	31.02

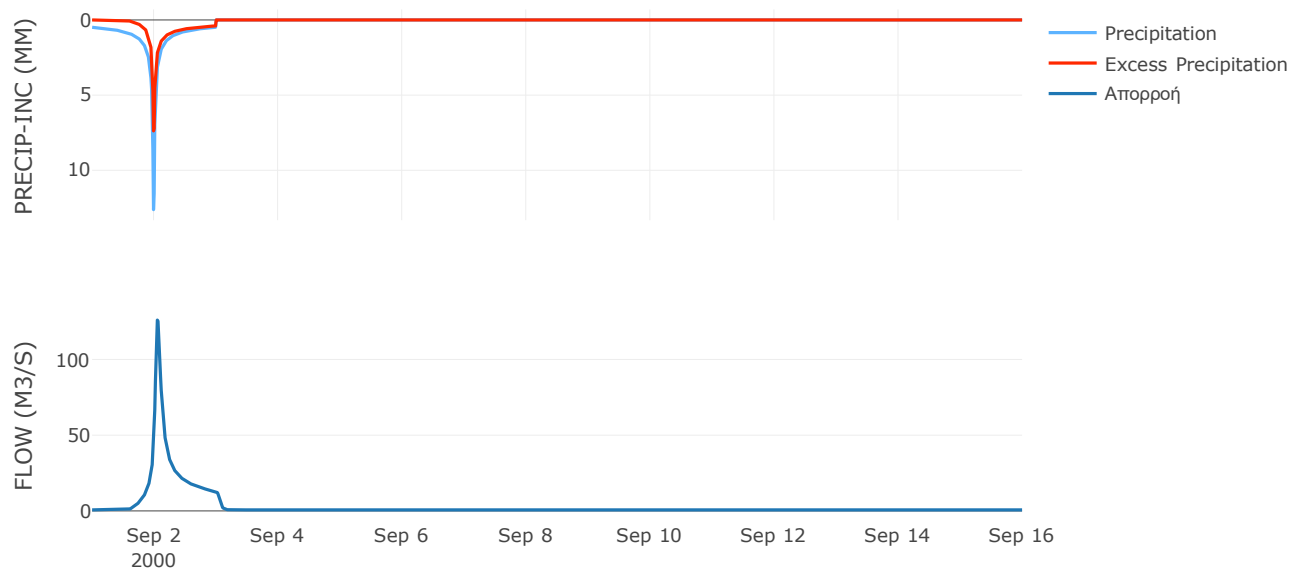
Μέθοδος
Μετασχηματισμού: SCS

Χρόνος Υστέρησης	72.53
------------------	-------

Αποτελέσματα:
EL0421FR001037

Παροχή αιχμής (M3/S)	126.01
Χρονική στιγμή αιχμής	02Sep2000, 01:15
Όγκος (MM)	152.75
Όγκος βροχόπτωσης (M3)	6.38E6
Όγκος απωλειών (M3)	3.19E6
Ενεργός Όγκος (M3)	3.19E6
Όγκος άμεσης απορροής (M3)	3.19E6
Όγκος βασικής απορροής (M3)	8.59E5

Βροχόπτωση και Απορροή



Υπολεκάνη: EL0421FR001038

Έκταση (KM2) : 16.84

Κατάντη : J18

Μέθοδος Απωλειών: SCS

Ποσοστό αδιαπέρατης επιφάνειας	0
Αριθμός Καμπύλης Απορροής-CN	80.05
Αρχικές Απώλειες	12.66

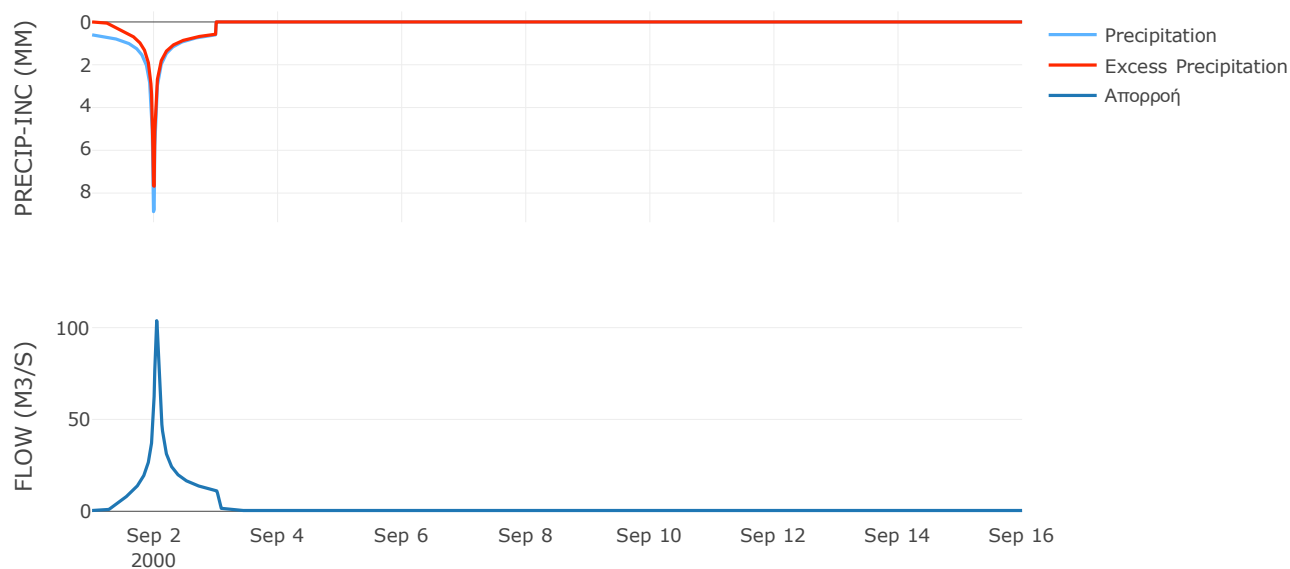
Μέθοδος
Μετασχηματισμού: SCS

Χρόνος Υστέρησης	52.97
------------------	-------

Αποτελέσματα:
EL0421FR001038

Παροχή αιχμής (M3/S)	103.77
Χρονική στιγμή αιχμής	02Sep2000, 01:00
Όγκος (MM)	216.79
Όγκος βροχόπτωσης (M3)	4.16E6
Όγκος απωλειών (M3)	1.05E6
Ενεργός Όγκος (M3)	3.11E6
Όγκος άμεσης απορροής (M3)	3.11E6
Όγκος βασικής απορροής (M3)	5.46E5

Βροχόπτωση και Απορροή



Υπολεκάνη: EL0421FR001039

Έκταση (KM2) : 11.68

Κατάντη : J8

Μέθοδος Απωλειών: SCS

Ποσοστό αδιαπέρατης επιφάνειας	0
Αριθμός Καμπύλης Απορροής-CN	79.95
Αρχικές Απώλειες	12.74

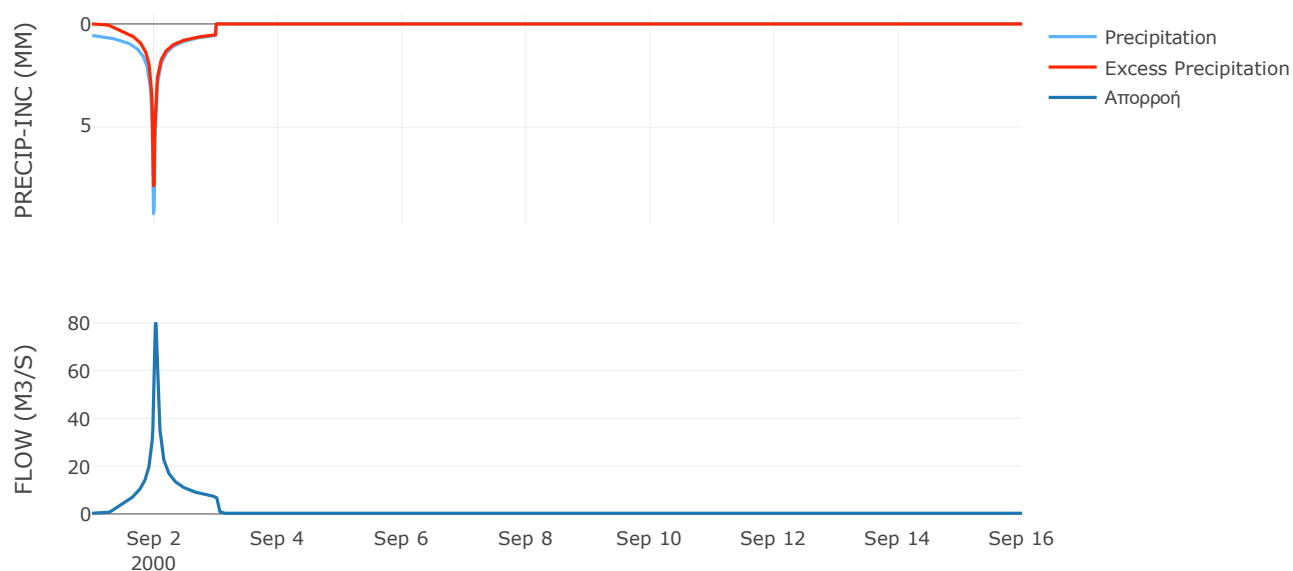
Μέθοδος
Μετασχηματισμού: SCS

Χρόνος Υστέρησης	35.02
------------------	-------

Αποτελέσματα:
EL0421FR001039

Παροχή αιχμής (M3/S)	79.74
Χρονική στιγμή αιχμής	02Sep2000, 00:30
Όγκος (MM)	206.18
Όγκος βροχόπτωσης (M3)	2.76E6
Όγκος απωλειών (M3)	7.27E5
Ενεργός Όγκος (M3)	2.03E6
Όγκος άμεσης απορροής (M3)	2.03E6
Όγκος βασικής απορροής (M3)	3.78E5

Βροχόπτωση και Απορροή



Υπολεκάνη: EL0421FR001040

Έκταση (KM2) : 8.83

Κατάντη : J7

Μέθοδος Απωλειών: SCS

Ποσοστό αδιαπέρατης επιφάνειας	0
Αριθμός Καμπύλης Απορροής-CN	80.98
Αρχικές Απώλειες	11.93

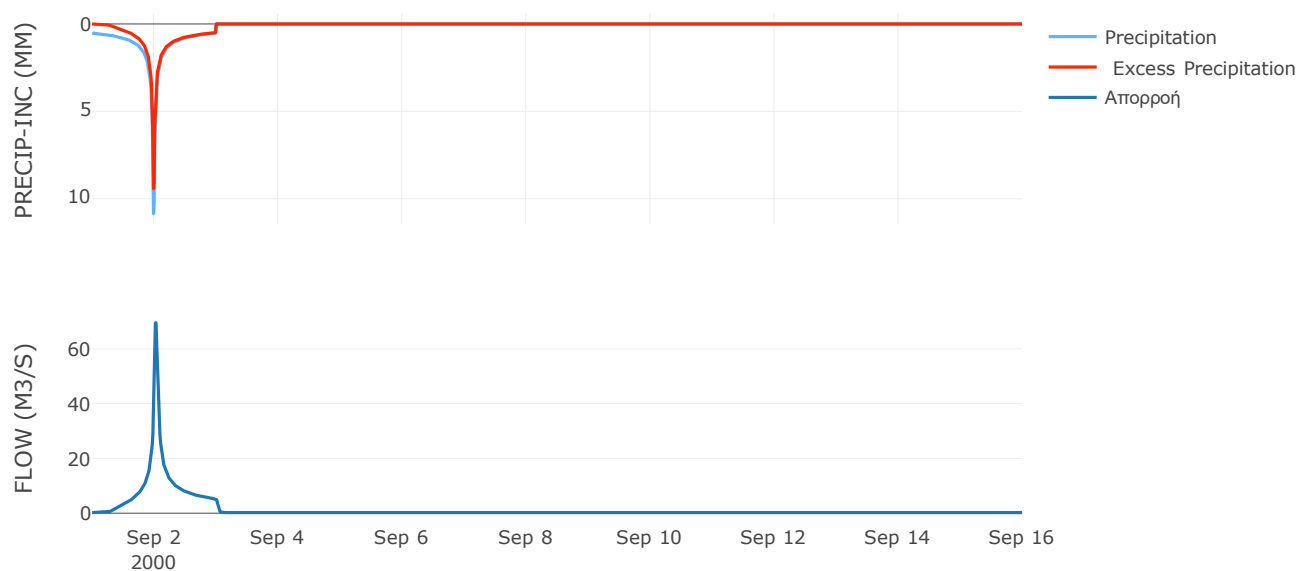
Μέθοδος
Μετασχηματισμού: SCS

Χρόνος Υστέρησης	35.54
------------------	-------

Αποτελέσματα:
EL0421FR001040

Παροχή αιχμής (M3/S)	69.51
Χρονική στιγμή αιχμής	02Sep2000, 00:45
Όγκος (MM)	211.88
Όγκος βροχόπτωσης (M3)	2.11E6
Όγκος απωλειών (M3)	5.22E5
Ενεργός Όγκος (M3)	1.58E6
Όγκος άμεσης απορροής (M3)	1.58E6
Όγκος βασικής απορροής (M3)	2.86E5

Βροχόπτωση και Απορροή



Υπολεκάνη: EL0421FR001041

Έκταση (KM2) : 11.46

Κατάντη : J11

Μέθοδος Απωλειών: SCS

Ποσοστό αδιαπέρατης επιφάνειας	0.2
Αριθμός Καμπύλης Απορροής-CN	80.13
Αρχικές Απώλειες	12.6

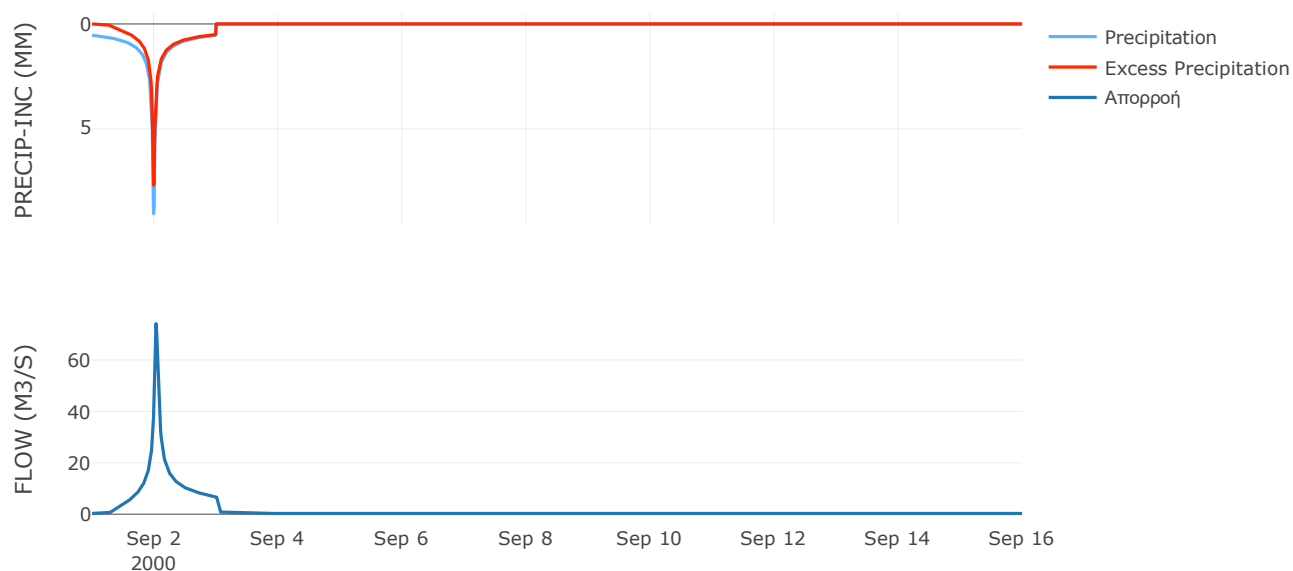
Μέθοδος
Μετασχηματισμού: SCS

Χρόνος Υστέρησης	41.94
------------------	-------

Αποτελέσματα:
EL0421FR001041

Παροχή αιχμής (M3/S)	74.14
Χρονική στιγμή αιχμής	02Sep2000, 00:45
Όγκος (MM)	200.41
Όγκος βροχόπτωσης (M3)	2.63E6
Όγκος απωλειών (M3)	7.02E5
Ενεργός Όγκος (M3)	1.93E6
Όγκος άμεσης απορροής (M3)	1.93E6
Όγκος βασικής απορροής (M3)	3.71E5

Βροχόπτωση και Απορροή



8.2 Δεδομένα και Υδρογραφήματα Σχεδιασμού Κλάδων Υδρογραφικού Δικτύου

Κλάδος: R21

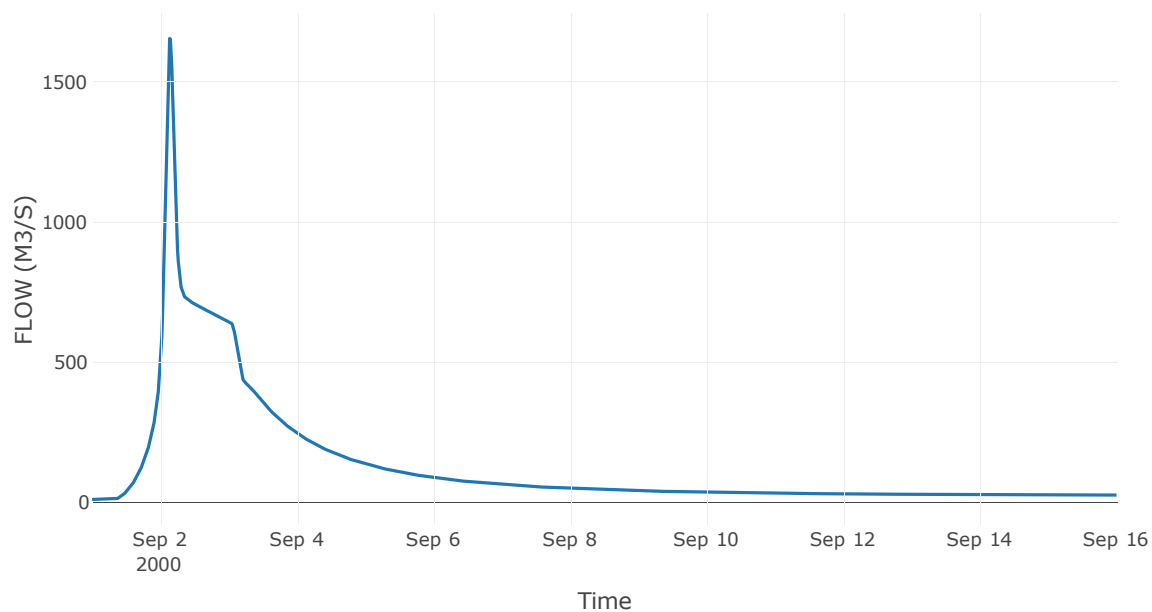
Κατάντη : J1

Μέθοδος διόδευσης	Muskingum
Αρχική Μεταβλητή	Combined Inflow
Χρόνος ροής K	0.7
Συντελεστής βάρους x	0.2
Πλήθος Υποκλάδων	3

Αποτελέσματα: R21

Παροχή Αιχμής(M3/S)	1654.07
Χρονική στιγμή αιχμής	02Sep2000, 03:15
Όγκος (MM)	181.59
Παροχή Αιχμής Εισόδου (M3/S)	1681.95
Όγκος Εισόδου(M3)	1.7E8

Απορροή



Κλάδος: R32

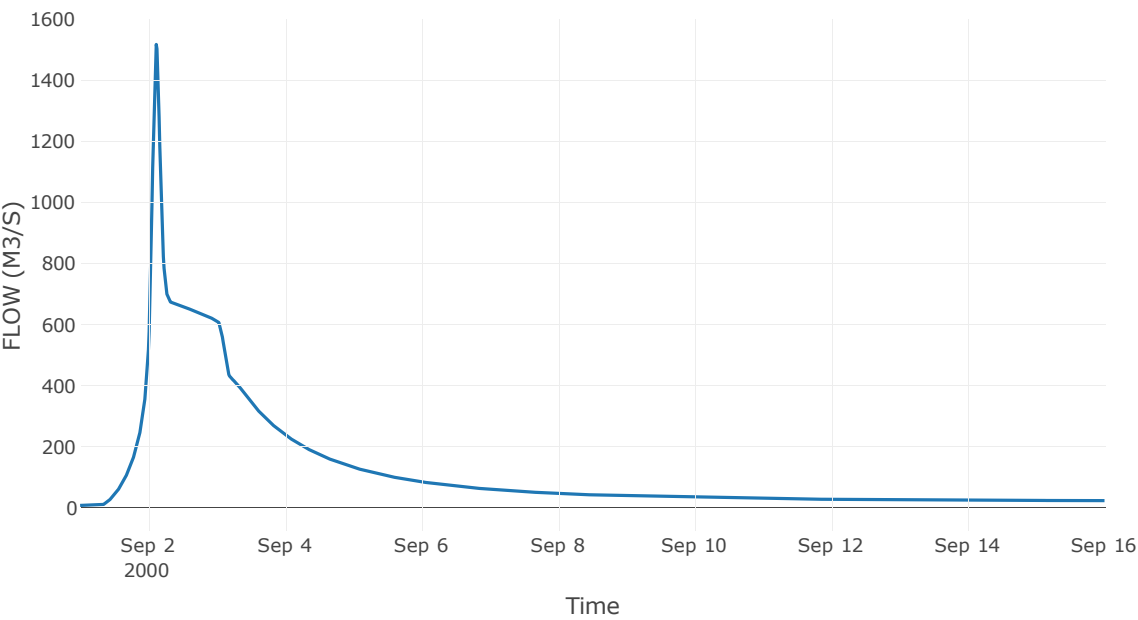
Κατάντη : J2

Μέθοδ	Muskingum
Αρχική Μεταβλητή	Combined Inflow
Χρόνος ροής	0.2
Συντελεστής βάρους α	0.2
Πλήθος n	1

Αποτελέσματα: R32

Παροχή Αιχμής(M3/S)	1516.57
Χρονική στιγμή αιχμής	02Sep2000, 02:45
Όγκος (MM)	183.18
Παροχή Αιχμής Εισόδου (M3/S)	1522.24
Όγκος V_{max}	1.61E8

Απορροή



Κλάδος: R43

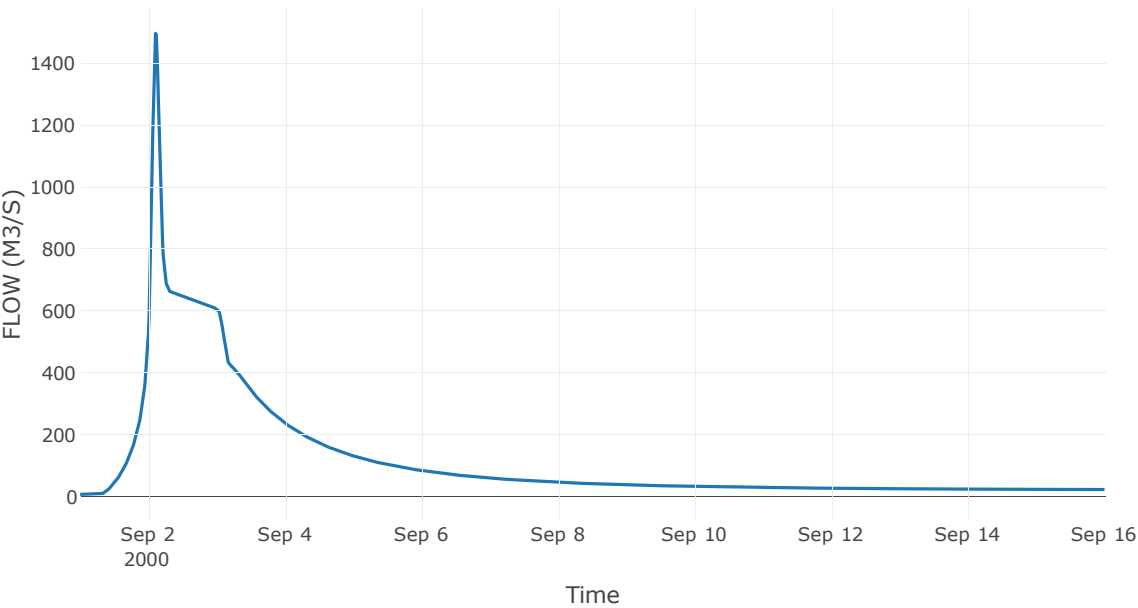
Κατάντη : J3

Μέθοδος διόδευσης	Muskingum
Αρχική Μεταβλητή	Combined Inflow
Χρόνος ροής K	0.43
Συντελεστής βάρους x	0.2
Πλήθος Υποκλάδων	2

Αποτελέσματα: R43

Παροχή Αιχμής(M3/S)	1496.52
Χρονική στιγμή αιχμής	02Sep2000, 02:30
Όγκος (MM)	183.46
Παροχή Αιχμής Εισόδου (M3/S)	1517.04
Όγκος Εισόδου(M3)	1.6E8

Απορροή



Κλάδος: R54

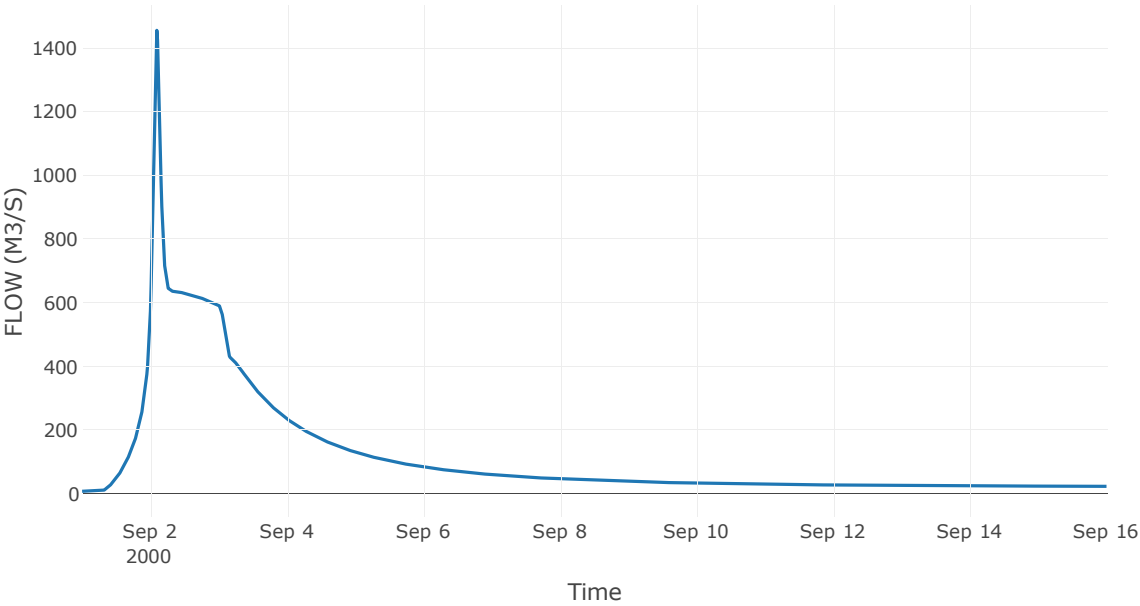
Κατάντη : J4

Μέθοδος διόδευσης	Muskingum
Αρχική Μεταβλητή	Combined Inflow
Χρόνος ροής K	0.17
Συντελεστής βάρους x	0.2
Πλήθος Υποκλάδων	1

Αποτελέσματα: R54

Παροχή Αιχμής(M3/S)	1454.66
Χρονική στιγμή αιχμής	02Sep2000, 02:15
Όγκος (MM)	184.86
Παροχή Αιχμής Εισόδου (M3/S)	1462.19
Όγκος Εισόδου(M3)	1.56E8

Απορροή



Κλάδος: R65

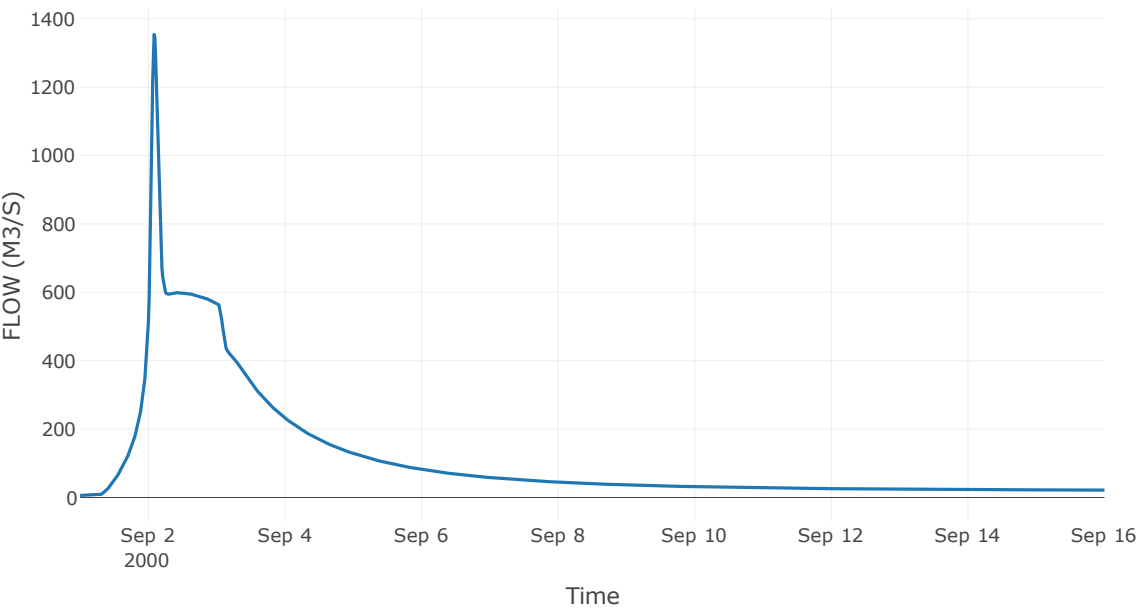
Κατάντη : J5

Μέθοδος διόδευσης	Muskingum
Αρχική Μεταβλητή	Combined Inflow
Χρόνος ροής K	0.48
Συντελεστής βάρους x	0.2
Πλήθος Υποκλάδων	2

Αποτελέσματα: R65

Παροχή Αιχμής(M3/S)	1353.94
Χρονική στιγμή αιχμής	02Sep2000, 02:00
Όγκος (MM)	186.46
Παροχή Αιχμής Εισόδου (M3/S)	1382.99
Όγκος Εισόδου(M3)	1.5E8

Απορροή



Κλάδος: R76

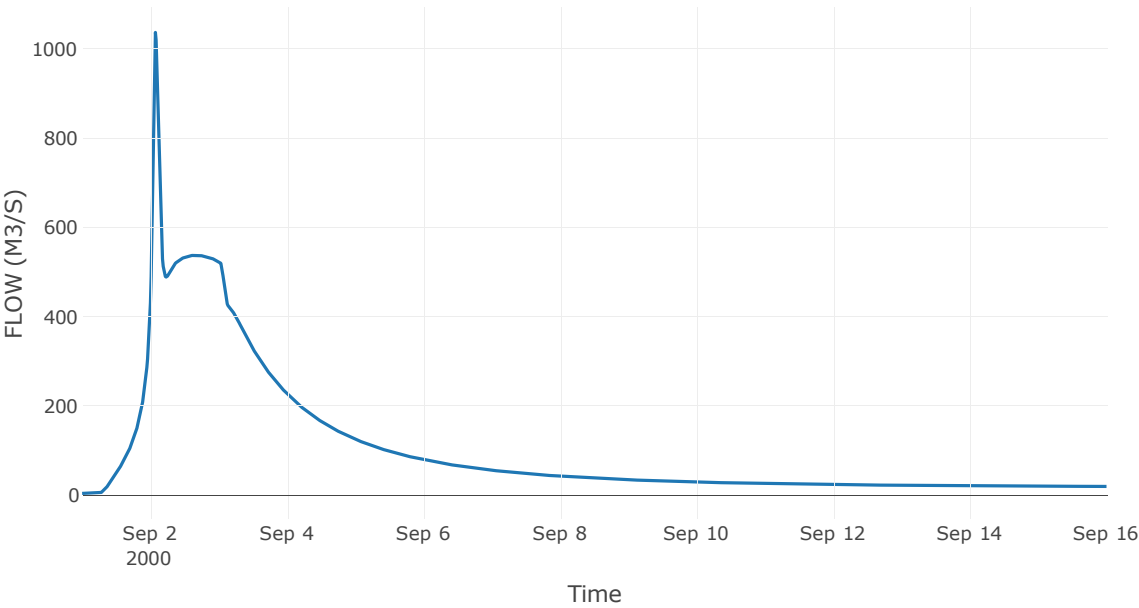
Κατάντη : J6

Μέθοδος διόδευσης	Muskingum
Αρχική Μεταβλητή	Combined Inflow
Χρόνος ροής K	0.58
Συντελεστής βάρους x	0.2
Πλήθος Υποκλάδων	2

Αποτελέσματα: R76

Παροχή Αιχμής(M3/S)	1035.92
Χρονική στιγμή αιχμής	02Sep2000, 01:45
Όγκος (MM)	187.58
Παροχή Αιχμής Εισόδου (M3/S)	1080.2
Όγκος Εισόδου(M3)	1.37E8

Απορροή



Κλάδος: R87

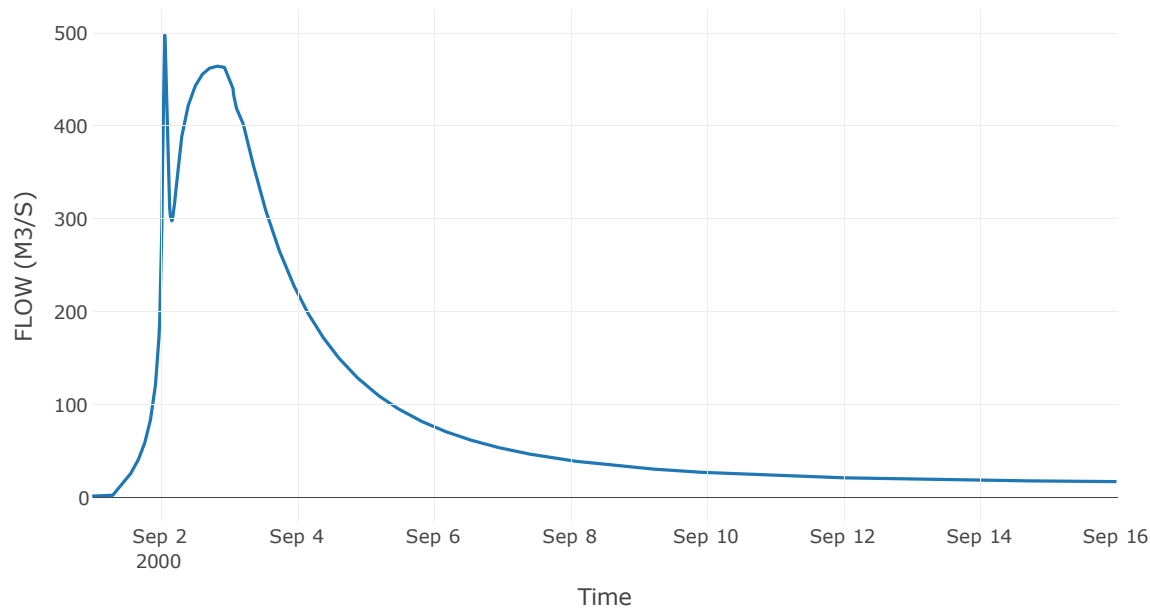
Κατάντη : J7

Μέθοδος διόδευσης	Χρόνος υστέρησης
Αρχική Μεταβλητή	Combined Inflow
Χρόνος υστέρησης	31.02

Αποτελέσματα: R87

Παροχή Αιχμής(M3/S)	497.57
Χρονική στιγμή αιχμής	02Sep2000, 01:30
Όγκος (MM)	183.37
Παροχή Αιχμής Εισόδου (M3/S)	498.43
Όγκος Εισόδου(M3)	1.16E8

Απορροή



Κλάδος: R98

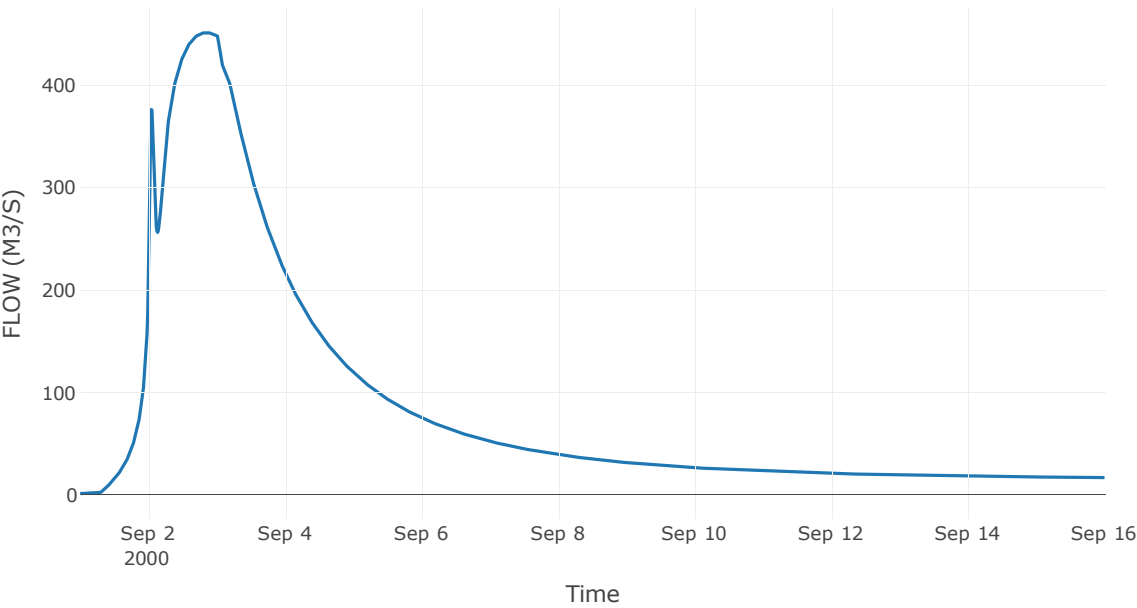
Κατάντη : J8

Μέθοδος διόδευσης	Muskingum
Αρχική Μεταβλητή	Combined Inflow
Χρόνος ροής K	0.28
Συντελεστής βάρους x	0.2
Πλήθος Υποκλάδων	1

Αποτελέσματα: R98

Παροχή Αιχμής(M3/S)	451.28
Χρονική στιγμή αιχμής	02Sep2000, 20:15
Όγκος (MM)	182.95
Παροχή Αιχμής Εισόδου (M3/S)	451.29
Όγκος Εισόδου(M3)	1.12E8

Απορροή



Κλάδος: R109

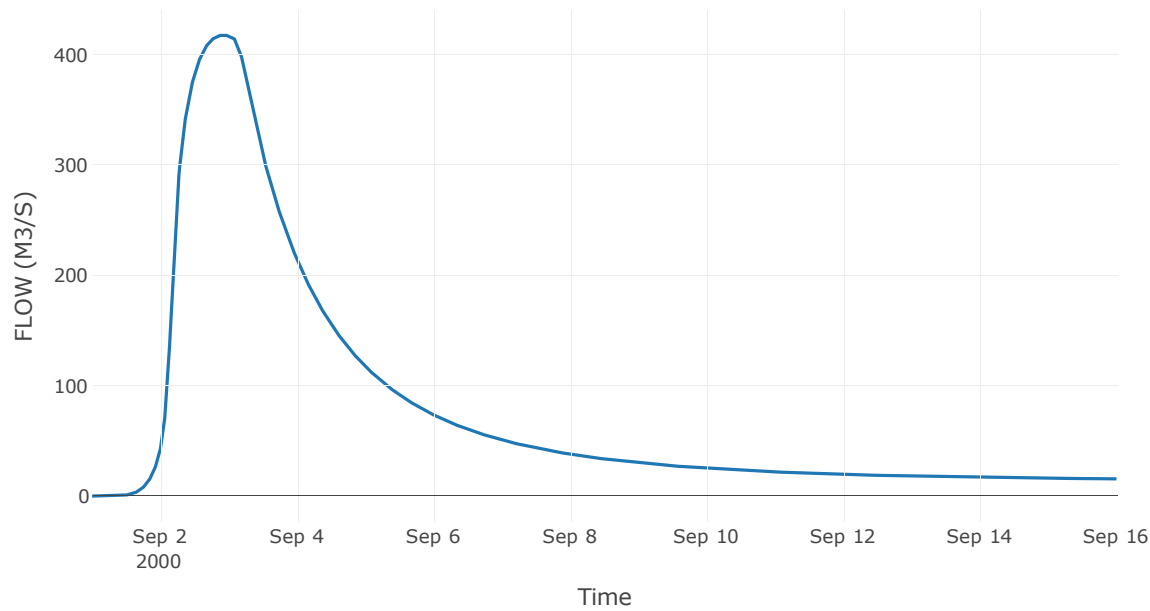
Κατάντη : J9

Μέθοδος διόδευσης	Χρόνος υστέρησης
Αρχική Μεταβλητή	Combined Inflow
Χρόνος υστέρησης	9.07

Αποτελέσματα: R109

Παροχή Αιχμής(M3/S)	417.68
Χρονική στιγμή αιχμής	02Sep2000, 22:00
Όγκος (MM)	181.49
Παροχή Αιχμής Εισόδου (M3/S)	417.69
Όγκος Εισόδου(M3)	1.02E8

Απορροή



Κλάδος: R1110

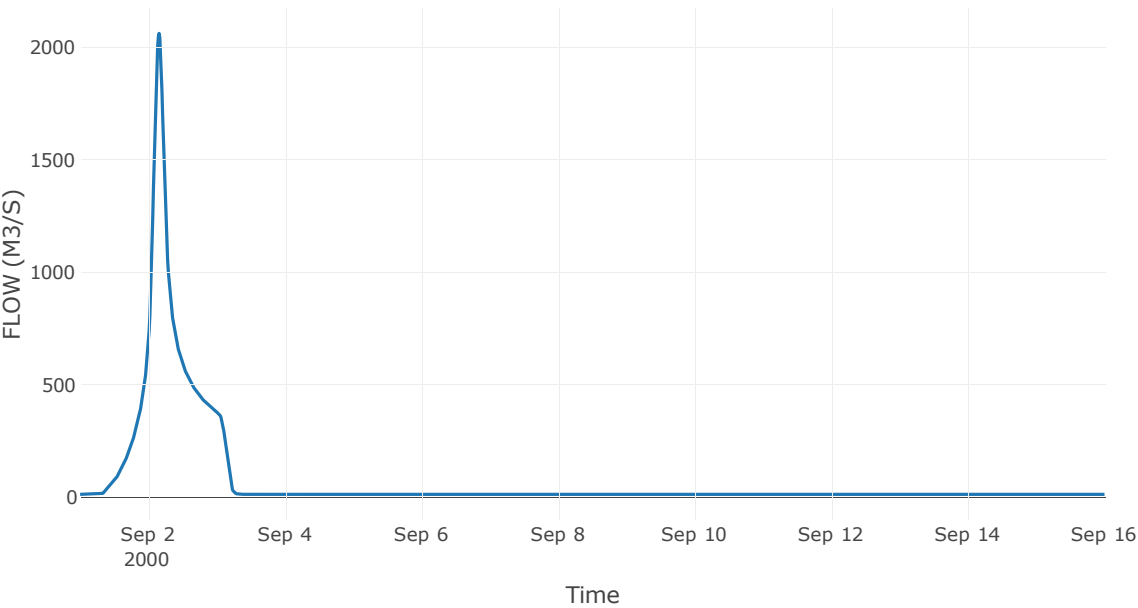
Κατάντη : J10 Res1

Μέθοδος διόδευσης	Muskingum
Αρχική Μεταβλητή	Combined Inflow
Χρόνος ροής K	0.6
Συντελεστής βάρους x	0.2
Πλήθος Υποκλάδων	3

Αποτελέσματα: R1110

Παροχή Αιχμής(M3/S)	2061.95
Χρονική στιγμή αιχμής	02Sep2000, 03:45
Όγκος (MM)	193.26
Παροχή Αιχμής Εισόδου (M3/S)	2078.46
Όγκος Εισόδου(M3)	1.03E8

Απορροή



Κλάδος: R1211

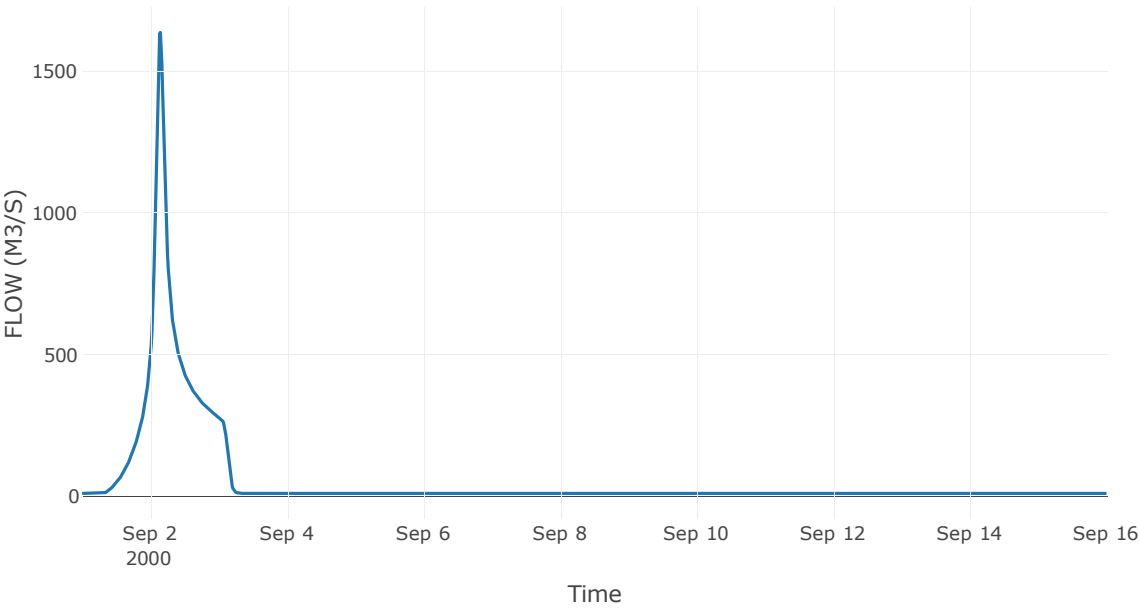
Κατάντη : J11

Μέθοδος διόδευσης	Muskingum
Αρχική Μεταβλητή	Combined Inflow
Χρόνος ροής K	1.1
Συντελεστής βάρους x	0.2
Πλήθος Υποκλάδων	5

Αποτελέσματα: R1211

Παροχή Αιχμής(M3/S)	1637.11
Χρονική στιγμή αιχμής	02Sep2000, 03:30
Όγκος (MM)	186.58
Παροχή Αιχμής Εισόδου (M3/S)	1690.8
Όγκος Εισόδου(M3)	7.49E7

Απορροή



Κλάδος: R1312

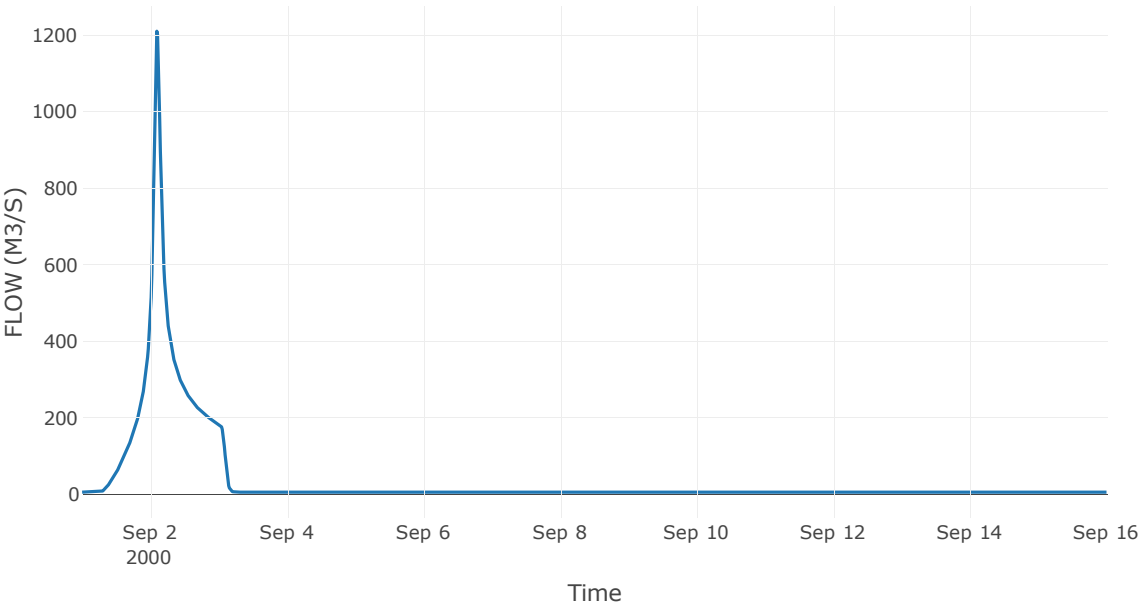
Κατάντη : J12

Μέθοδος διόδευσης	Muskingum
Αρχική Μεταβλητή	Combined Inflow
Χρόνος ροής K	0.69
Συντελεστής βάρους x	0.2
Πλήθος Υποκλάδων	3

Αποτελέσματα: R1312

Παροχή Αιχμής(M3/S)	1209.39
Χρονική στιγμή αιχμής	02Sep2000, 02:15
Όγκος (MM)	224.82
Παροχή Αιχμής Εισόδου (M3/S)	1242.75
Όγκος Εισόδου(M3)	5.06E7

Απορροή



Κλάδος: R1413

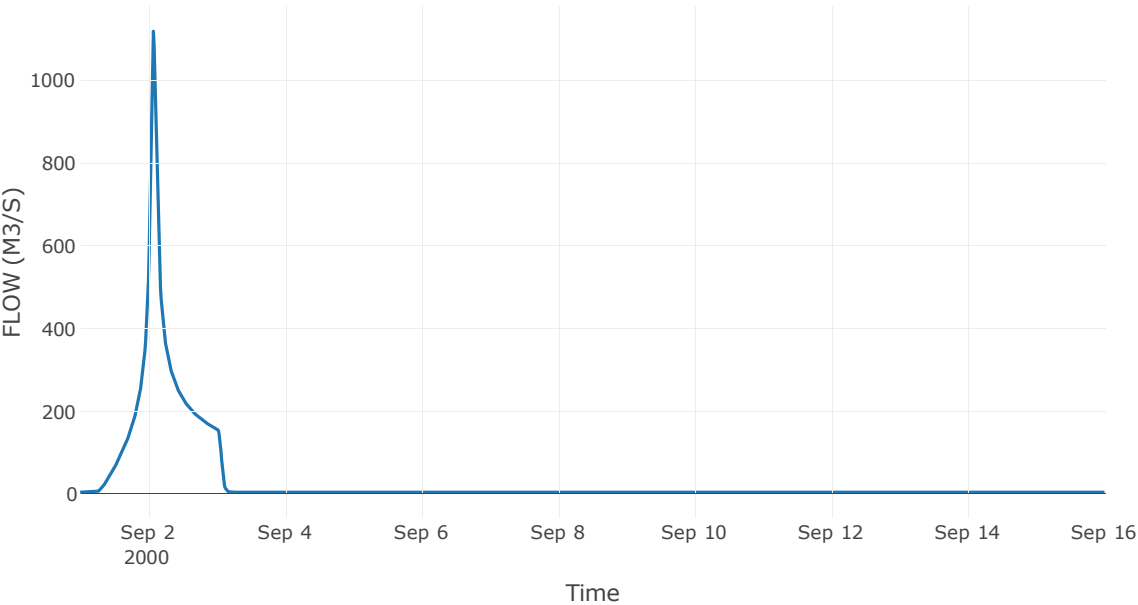
Κατάντη : J13

Μέθοδος διόδευσης	Χρόνος υστέρησης
Αρχική Μεταβλητή	Combined Inflow
Χρόνος υστέρησης	25.35

Αποτελέσματα: R1413

Παροχή Αιχμής(M3/S)	1118.49
Χρονική στιγμή αιχμής	02Sep2000, 01:45
Όγκος (MM)	232.92
Παροχή Αιχμής Εισόδου (M3/S)	1124.94
Όγκος Εισόδου(M3)	4.45E7

Απορροή



Κλάδος: R1514

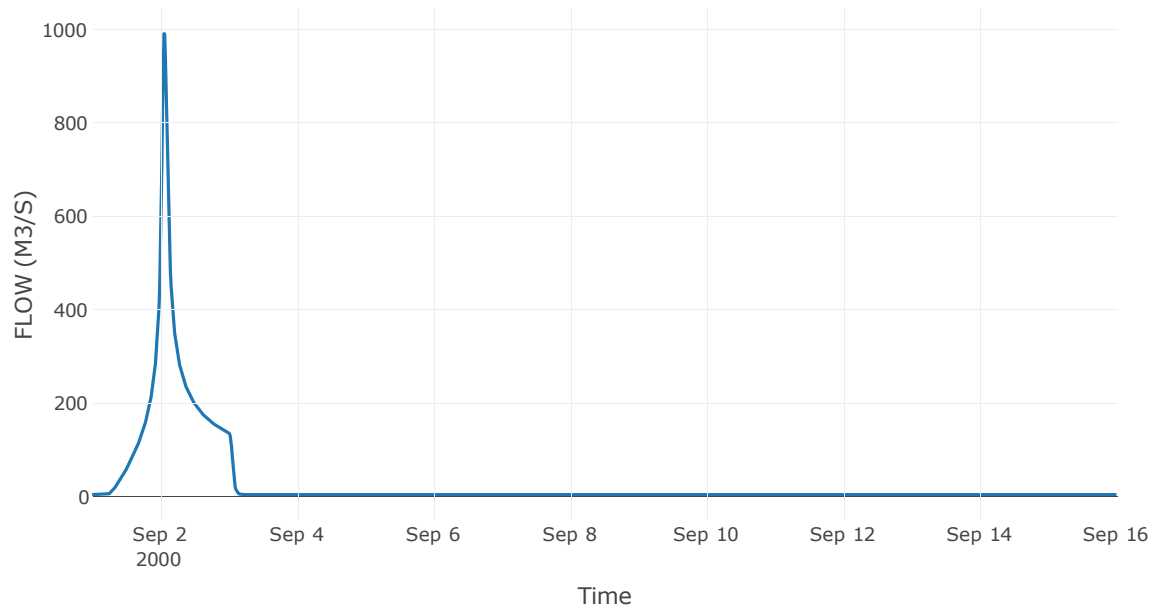
Κατάντη : J14

Μέθοδος διόδευσης	Χρόνος υστέρησης
Αρχική Μεταβλητή	Combined Inflow
Χρόνος υστέρησης	8.79

Αποτελέσματα: R1514

Παροχή Αιχμής(M3/S)	991.46
Χρονική στιγμή αιχμής	02Sep2000, 01:15
Όγκος (MM)	232.3
Παροχή Αιχμής Εισόδου (M3/S)	1006.13
Όγκος Εισόδου(M3)	3.86E7

Απορροή



Κλάδος: R1615

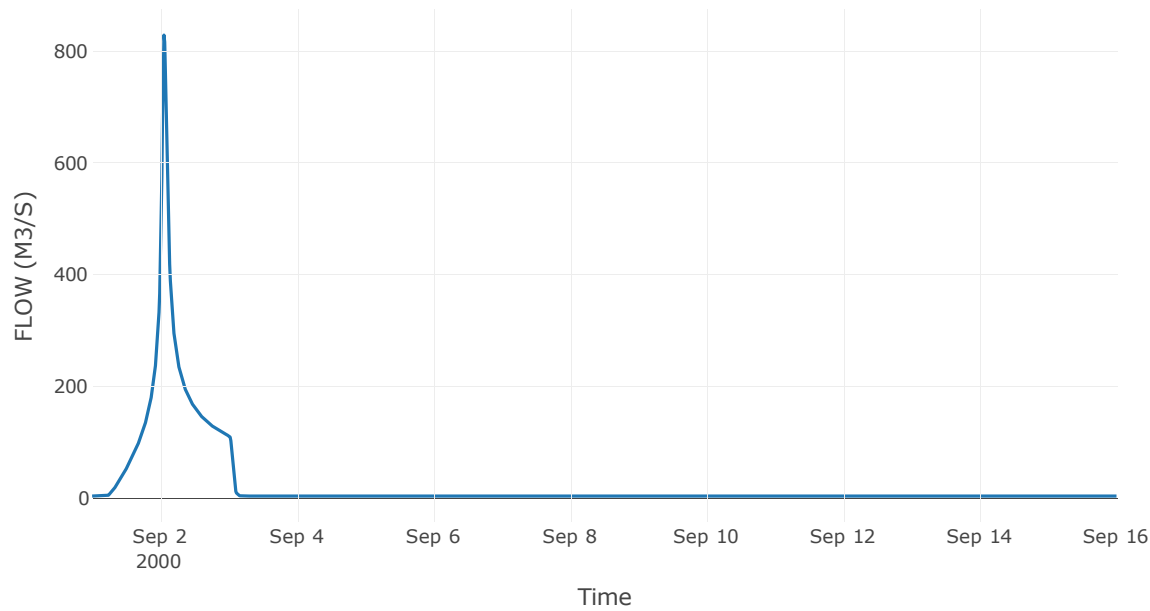
Κατάντη : J15

Μέθοδος διόδευσης	Χρόνος υστέρησης
Αρχική Μεταβλητή	Combined Inflow
Χρόνος υστέρησης	21.56

Αποτελέσματα: R1615

Παροχή Αιχμής(M3/S)	828.11
Χρονική στιγμή αιχμής	02Sep2000, 01:15
Όγκος (MM)	236.67
Παροχή Αιχμής Εισόδου (M3/S)	837.11
Όγκος Εισόδου(M3)	3.16E7

Απορροή



Κλάδος: R1716

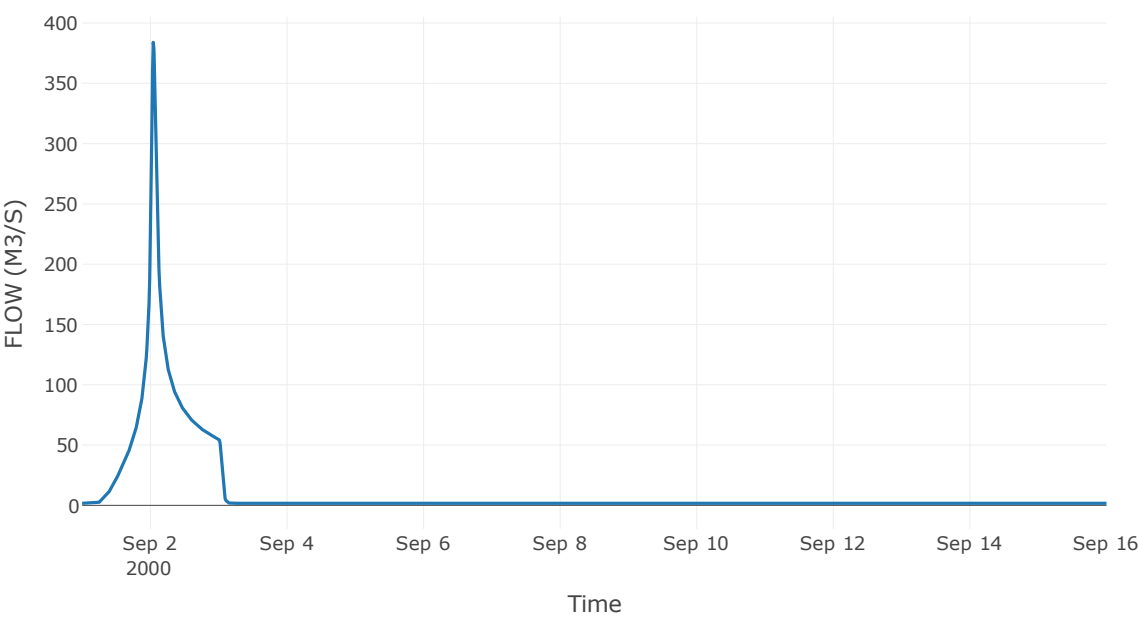
Κατάντη : J16

Μέθοδος διόδευσης	Χρόνος υστέρησης
Αρχική Μεταβλητή	Combined Inflow
Χρόνος υστέρησης	12.55

Αποτελέσματα: R1716

Παροχή Αιχμής(M3/S)	384.01
Χρονική στιγμή αιχμής	02Sep2000, 01:00
Όγκος (MM)	218.75
Παροχή Αιχμής Εισόδου (M3/S)	384.27
Όγκος Εισόδου(M3)	1.5E7

Απορροή



Κλάδος: R1811

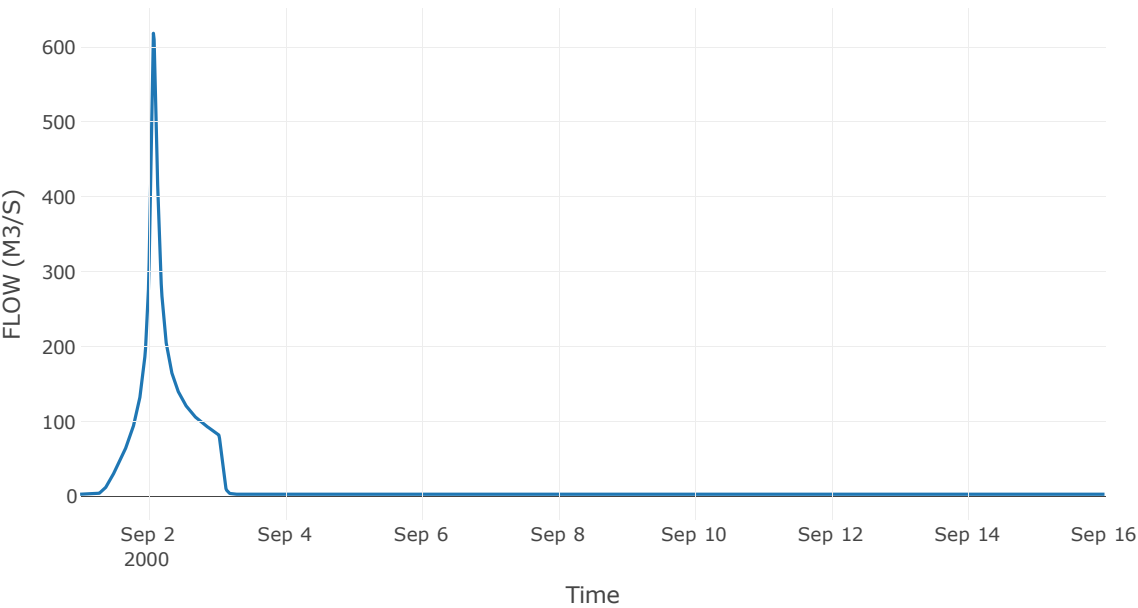
Κατάντη : J11

Μέθοδος διόδευσης	Muskingum
Αρχική Μεταβλητή	Combined Inflow
Χρόνος ροής K	0.5
Συντελεστής βάρους x	0.2
Πλήθος Υποκλάδων	2

Αποτελέσματα: R1811

Παροχή Αιχμής(M3/S)	618.57
Χρονική στιγμή αιχμής	02Sep2000, 01:45
Όγκος (MM)	215.6
Παροχή Αιχμής Εισόδου (M3/S)	635.32
Όγκος Εισόδου(M3)	2.51E7

Απορροή



Κλάδος: R1918

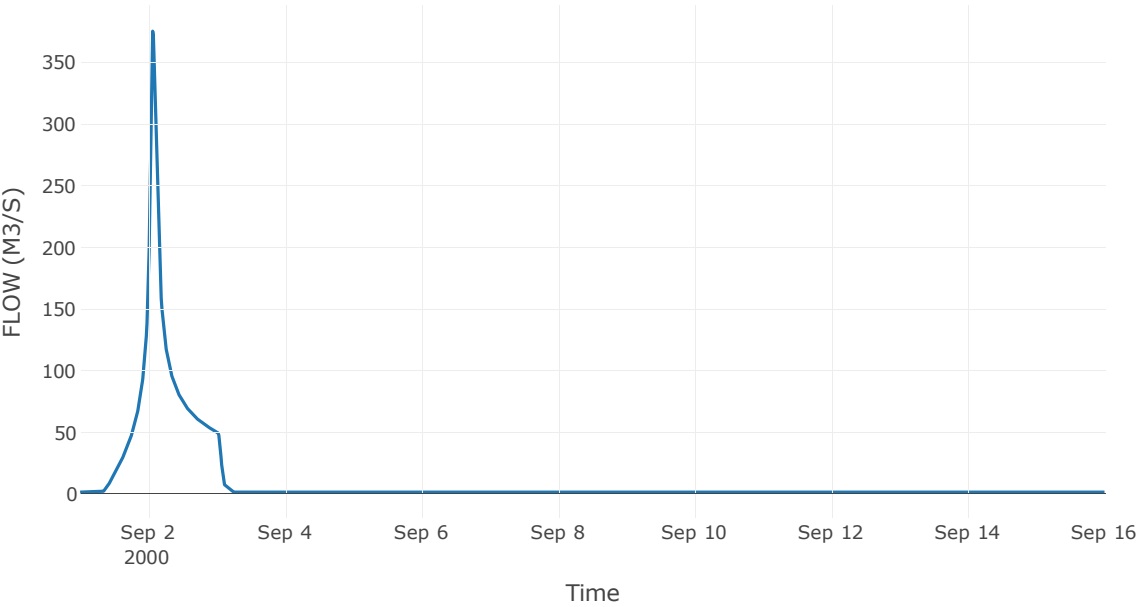
Κατάντη : J18

Μέθοδος διόδευσης	Χρόνος υστέρησης
Αρχική Μεταβλητή	Combined Inflow
Χρόνος υστέρησης	20.31

Αποτελέσματα: R1918

Παροχή Αιχμής(M3/S)	375.36
Χρονική στιγμή αιχμής	02Sep2000, 01:30
Όγκος (MM)	210.45
Παροχή Αιχμής Εισόδου (M3/S)	377.97
Όγκος Εισόδου(M3)	1.46E7

Απορροή



Κλάδος: R2012

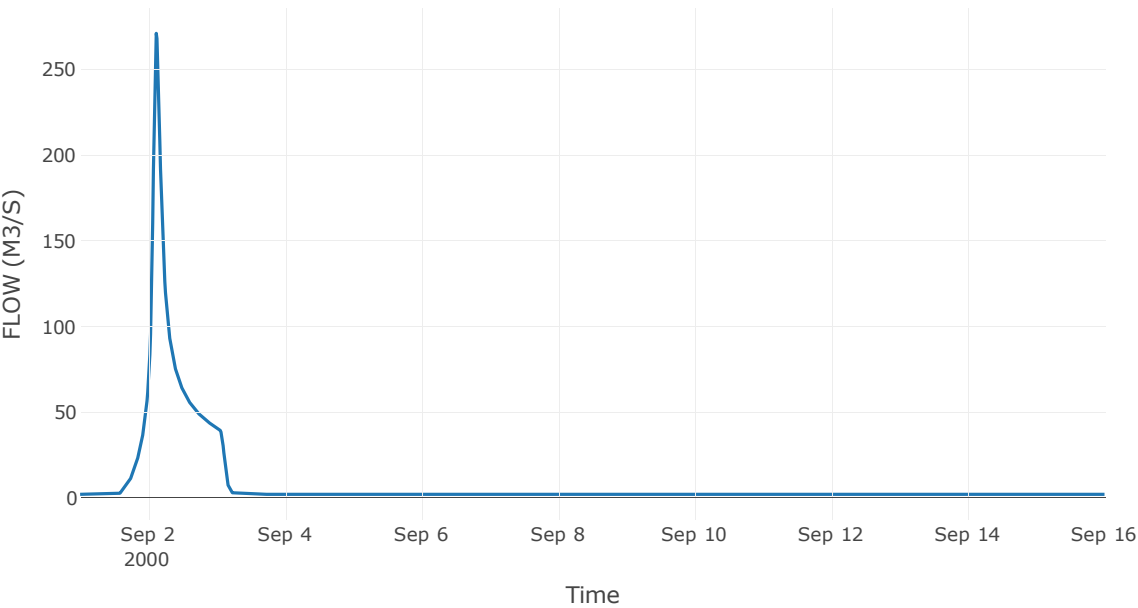
Κατάντη : J12

Μέθοδος διόδευσης	Muskingum
Αρχική Μεταβλητή	Combined Inflow
Χρόνος ροής K	1.02
Συντελεστής βάρους x	0.2
Πλήθος Υποκλάδων	4

Αποτελέσματα: R2012

Παροχή Αιχμής(M3/S)	270.87
Χρονική στιγμή αιχμής	02Sep2000, 02:45
Όγκος (MM)	133.31
Παροχή Αιχμής Εισόδου (M3/S)	284.92
Όγκος Εισόδου(M3)	1.14E7

Απορροή



Κλάδος: R2120

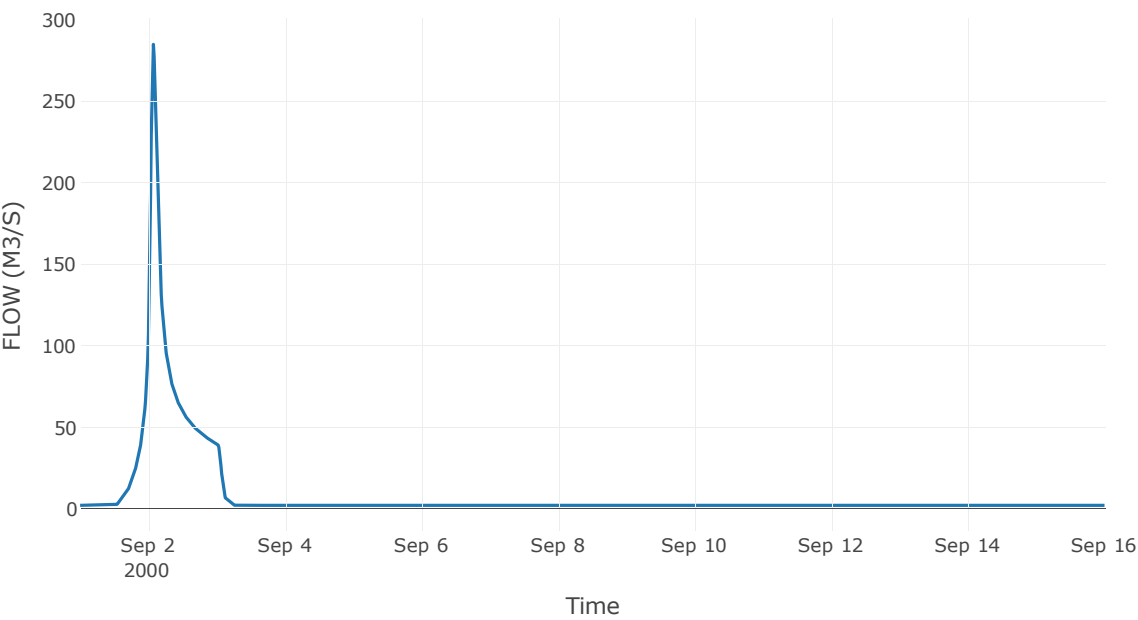
Κατάντη : J20

Μέθοδος διόδευσης	Muskingum
Αρχική Μεταβλητή	Combined Inflow
Χρόνος ροής K	0.36
Συντελεστής βάρους x	0.2
Πλήθος Υποκλάδων	2

Αποτελέσματα: R2120

Παροχή Αιχμής(M3/S)	284.92
Χρονική στιγμή αιχμής	02Sep2000, 01:45
Όγκος (MM)	133.31
Παροχή Αιχμής Εισόδου (M3/S)	288.65
Όγκος Εισόδου(M3)	1.14E7

Απορροή



Κλάδος: R227

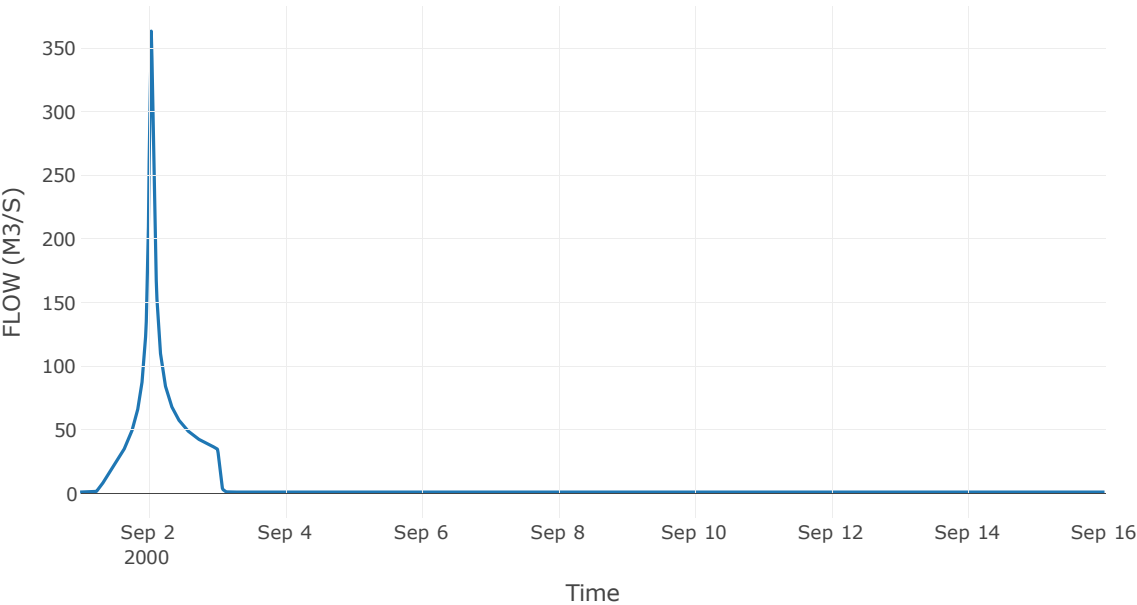
Κατάντη : J7

Μέθοδος διόδευσης	Χρόνος υστέρησης
Αρχική Μεταβλητή	Combined Inflow
Χρόνος υστέρησης	8.47

Αποτελέσματα: R227

Παροχή Αιχμής(M3/S)	363.18
Χρονική στιγμή αιχμής	02Sep2000, 01:00
Όγκος (MM)	223.09
Παροχή Αιχμής Εισόδου (M3/S)	368.79
Όγκος Εισόδου(M3)	1.19E7

Απορροή



Κλάδος: R232

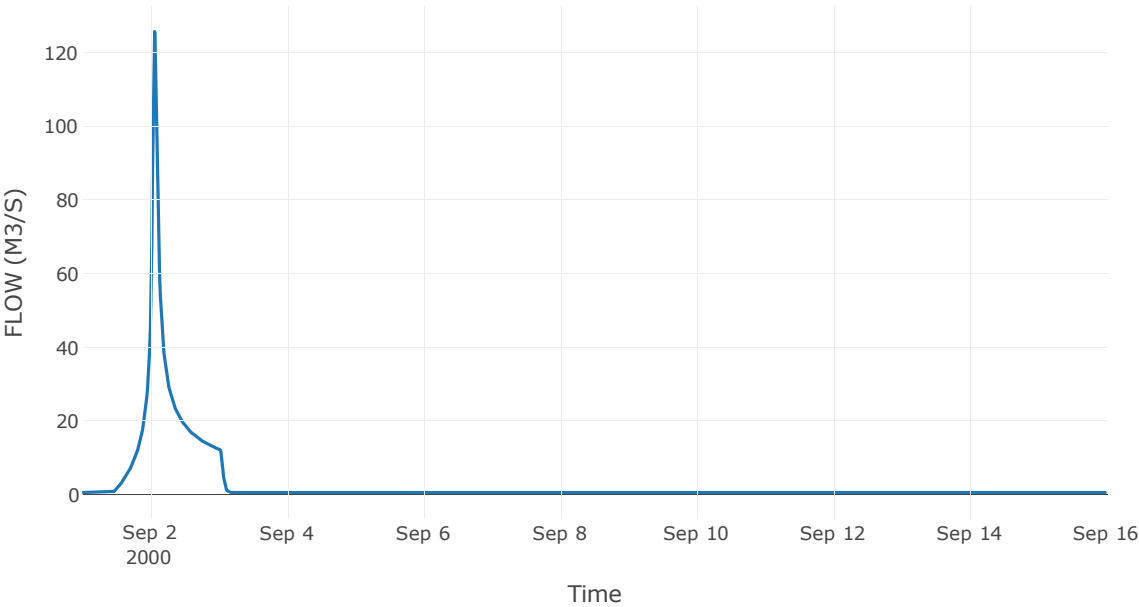
Κατάντη : J2

Μέθοδος διόδευσης	Χρόνος υστέρησης
Αρχική Μεταβλητή	Combined Inflow
Χρόνος υστέρησης	29.78

Αποτελέσματα: R232

Παροχή Αιχμής(M3/S)	125.7
Χρονική στιγμή αιχμής	02Sep2000, 01:30
Όγκος (MM)	171.22
Παροχή Αιχμής Εισόδου (M3/S)	126.14
Όγκος Εισόδου(M3)	3.86E6

Απορροή



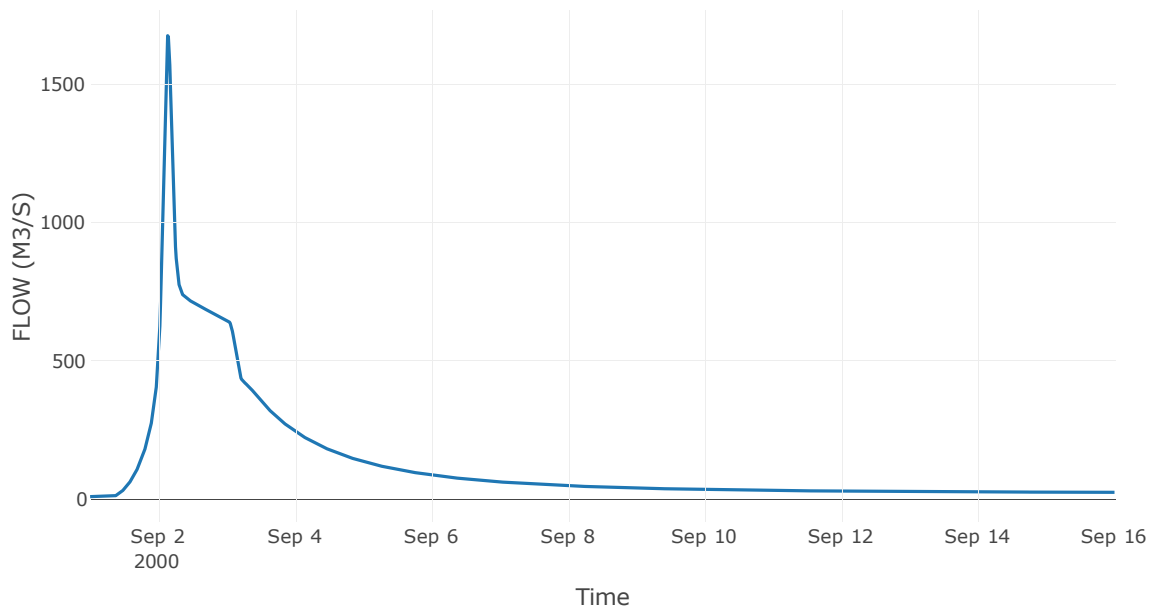
8.3 Δεδομένα και Υδρογραφήματα Σχεδιασμού Κόμβων Υδρογραφικού Δικτύου

Κόμβος εξόδου: J1

Αποτέλεσμα
τα: J1

Παροχή αιχμής (M3/S)	1675.78
Χρονική στιγμή αιχμής	02Sep2000, 03:15
Όγκος (MM)	181.49

Απορροή

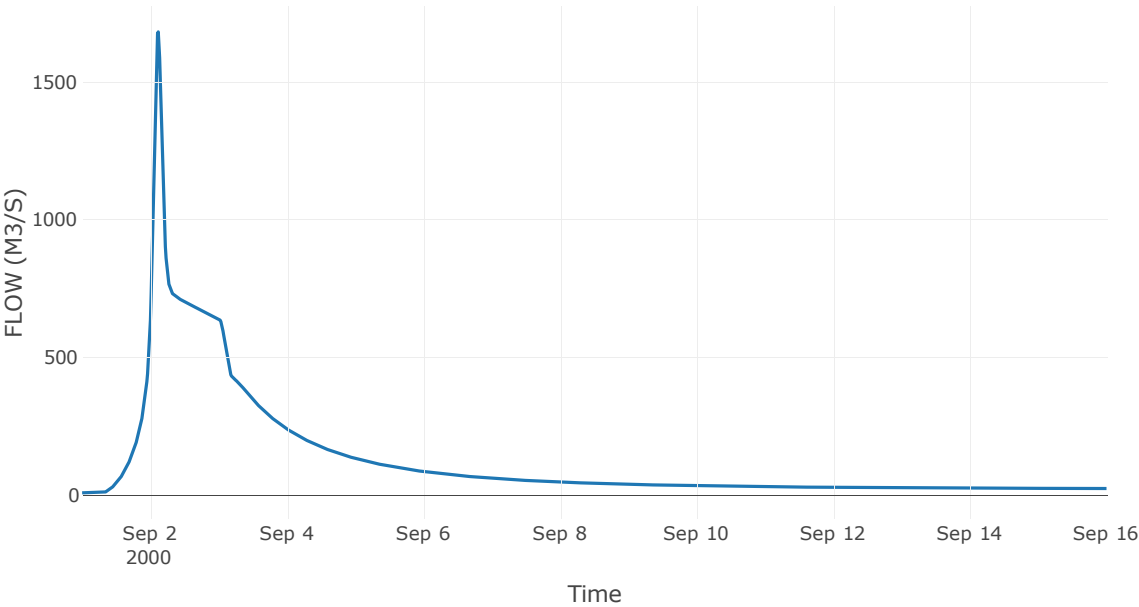


Κόμβος: J2

Αποτελέσματ
α: J2

Παροχή αιχμής (M3/S)	1681.95
Χρονική στιγμή αιχμής	02Sep2000, 02:45
Όγκος (MM)	181.63

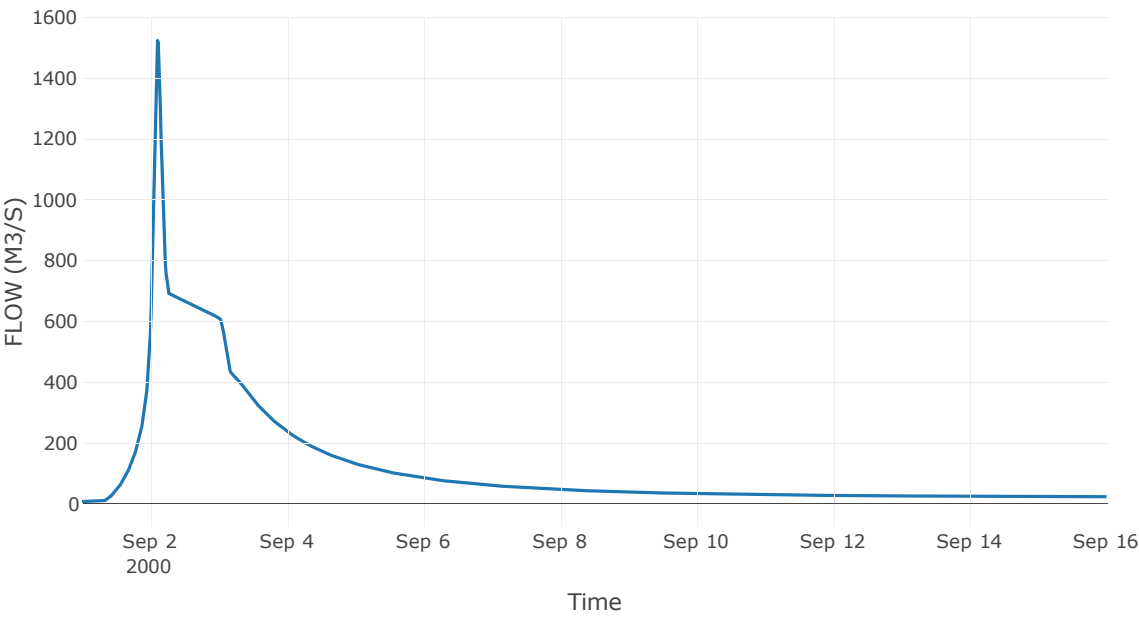
Απορροή



Αποτελέσματα: J3

Παροχή Αιχμής(M3/S)	1522.24
Χρονική στιγμή αιχμής	02Sep2000, 02:30
Όγκος (MM)	183.19

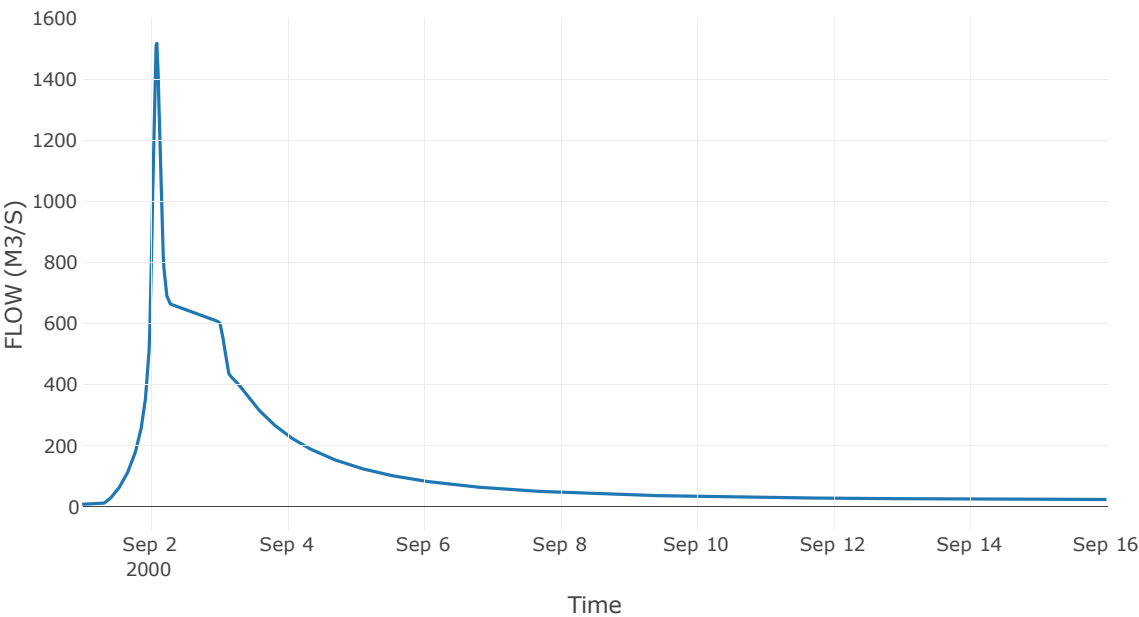
Απορροή



Αποτελέσματα: J4

Παροχή Αιχμής(M3/S)	1517.04
Χρονική στιγμή αιχμής	02Sep2000, 02:15
Όγκος (MM)	183.48

Απορροή

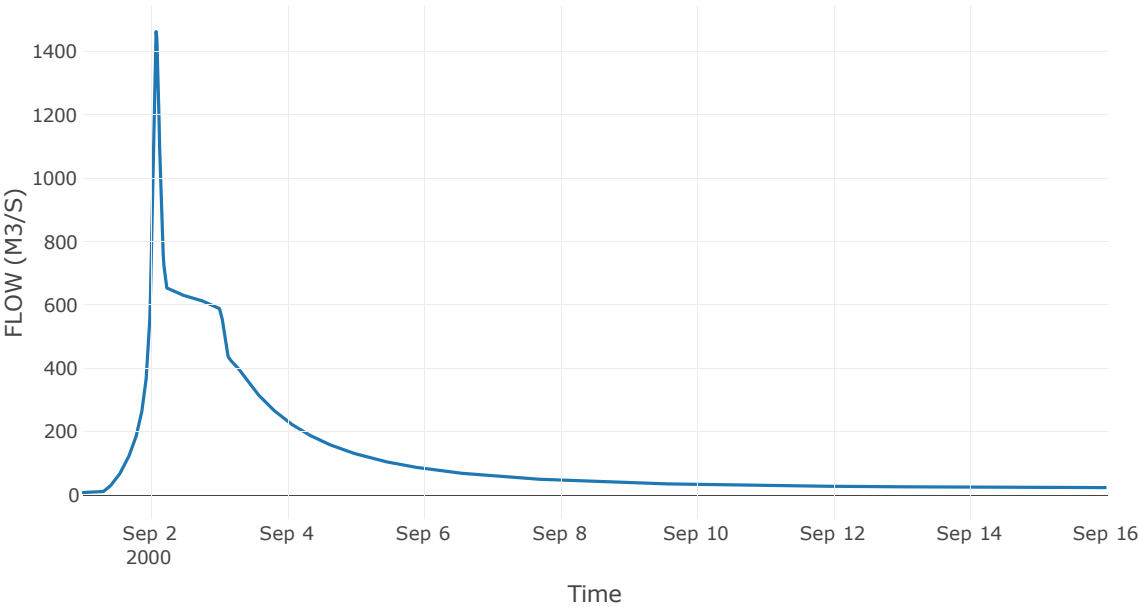


Κόμβος: J5

Αποτέλεσμα
τα: J5

Παροχή αιχμής (M3/S)	1462.19
Χρονική στιγμή αιχμής	02Sep2000, 02:00
Όγκος (MM)	184.87

Απορροή

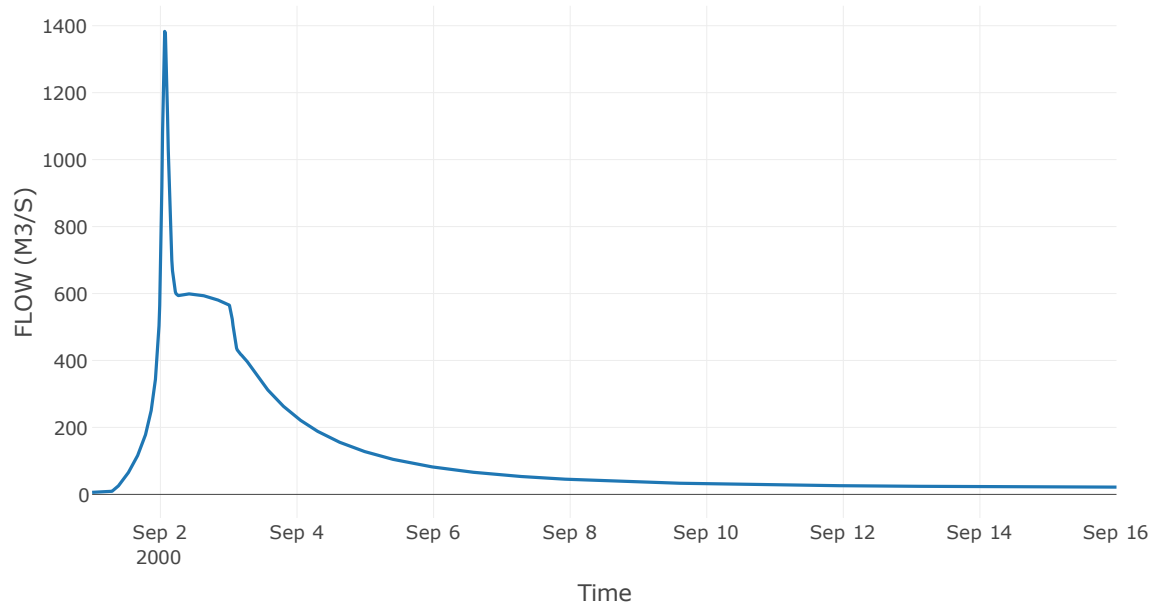


Κόμβος: J6

Αποτελέσματ
α: J6

Παροχή αιχμής (M3/S)	1382.99
Χρονική στιγμή αιχμής	02Sep2000, 01:30
Όγκος (MM)	186.49

Απορροή

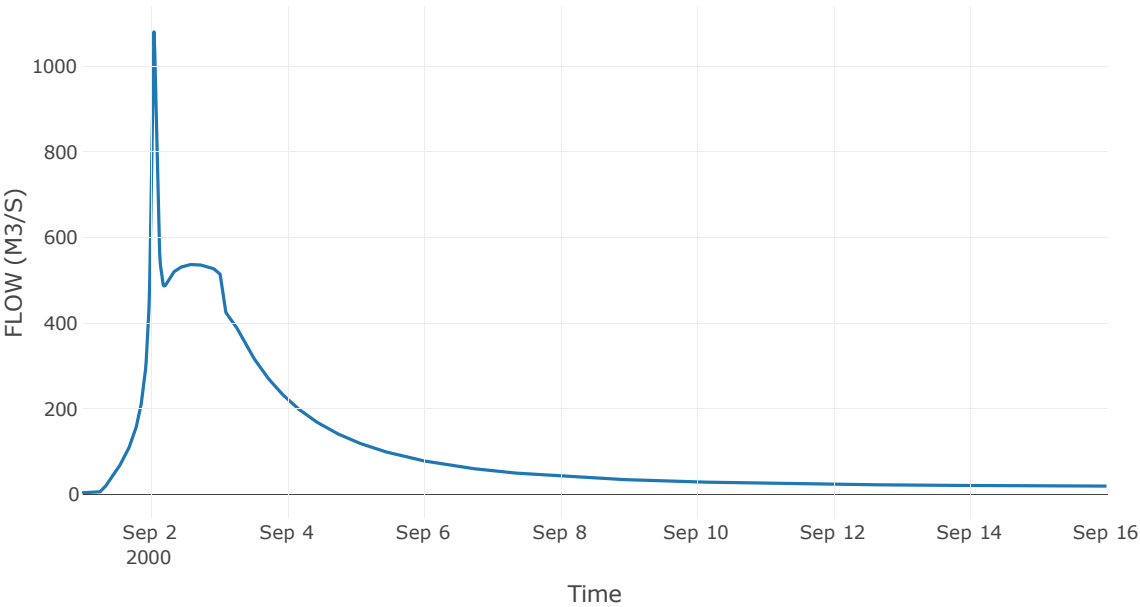


Κόμβος: J7

Αποτελέσματ
α: J7

Παροχή αιχμής (M3/S)	1080.2
Χρονική στιγμή αιχμής	02Sep2000, 01:15
Όγκος (MM)	187.63

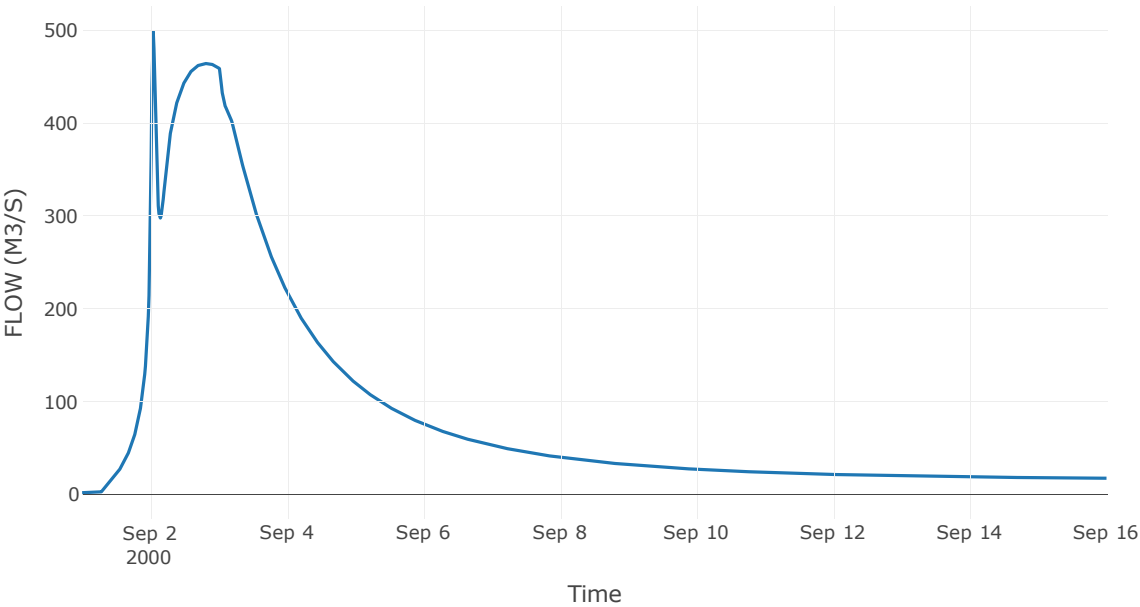
Απορροή



Αποτελέσματ
α: J8

Παροχή αιχμής (M3/S)	498.43
Χρονική στιγμή αιχμής	02Sep2000, 01:00
Όγκος (MM)	183.42

Απορροή

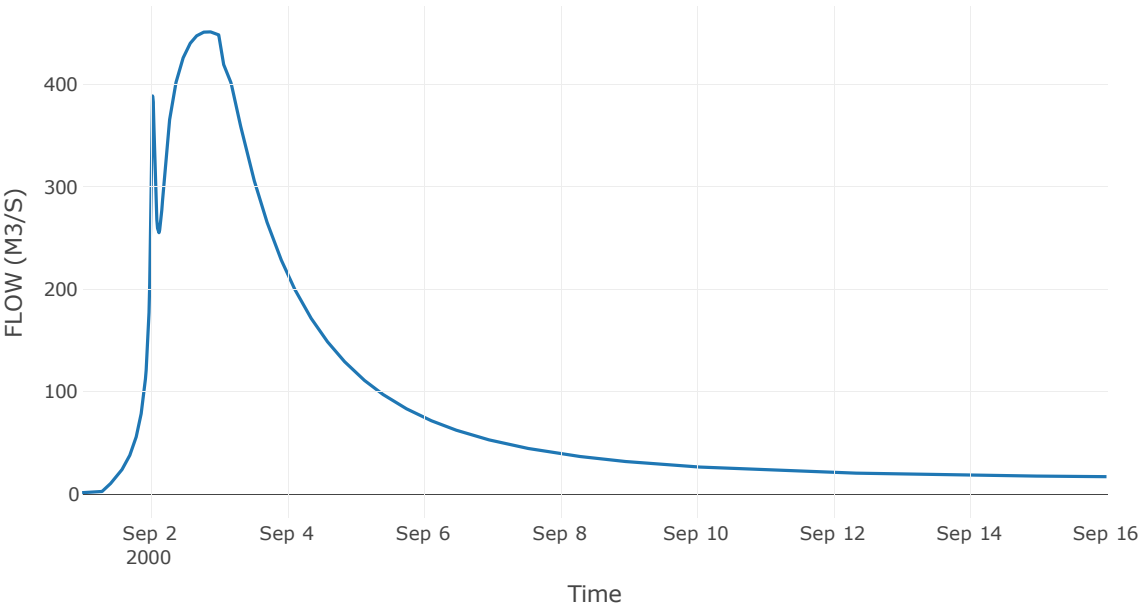


Κόμβος: J9

Αποτέλεσμα
τα: J9

Παροχή αιχμής (M3/S)	451.29
Χρονική στιγμή αιχμής	02Sep2000, 20:00
Όγκος (MM)	182.97

Απορροή



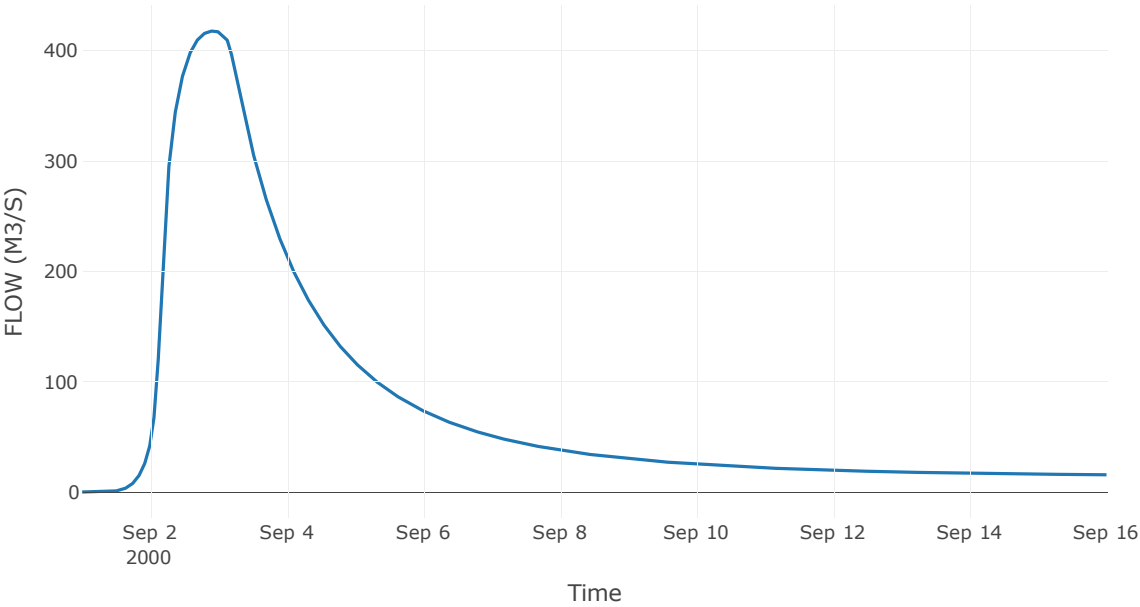
Reservoir: J10_RES1

Κατάντη : R109

Αποτελέσματα: J10_RES1

Παροχή Αιχμής(M3/S)	417.69
Χρονική στιγμή αιχμής	02Sep2000, 22:00
Όγκος (MM)	181.51
Παροχή Αιχμής Εισόδου (M3/S)	2130.07
Time of Peak Inflow	02Sep2000, 03:45
Όγκος Εισροής (M3)	1.08E8
Maximum Storage (M3)	8.29E8
Peak Elevation (M)	437.96
Discharge Όγκος (M3)	1.02E8

Απορροή

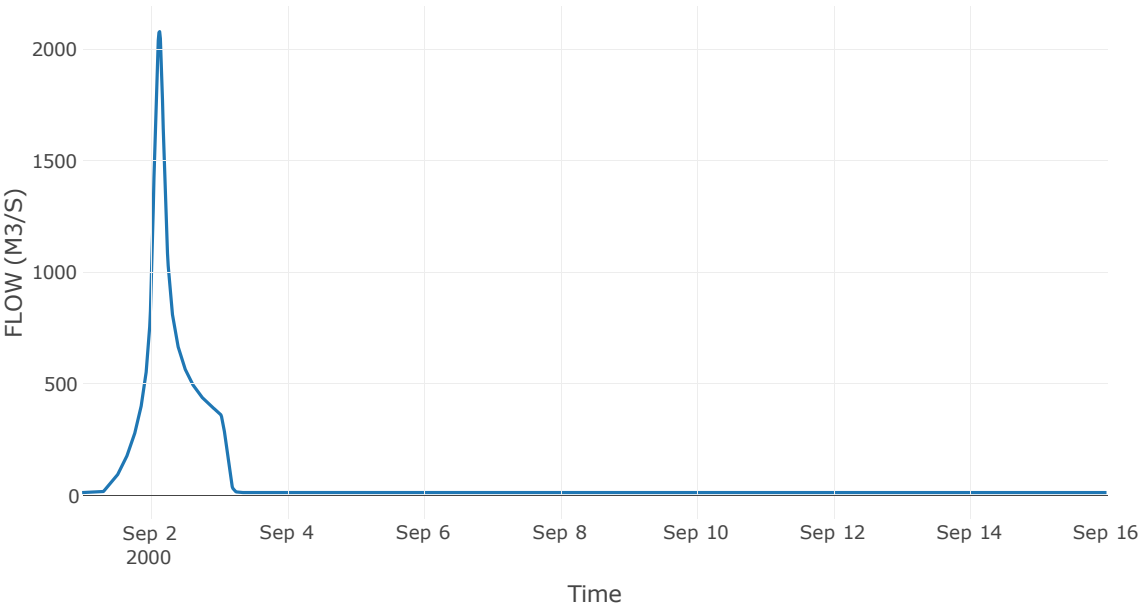


Κόμβος: J11

Αποτελέσμα
α: J11

Παροχή αιχμής (M3/S)	2078.46
Χρονική στιγμή αιχμής	02Sep2000, 03:15
Όγκος (MM)	193.26

Απορροή

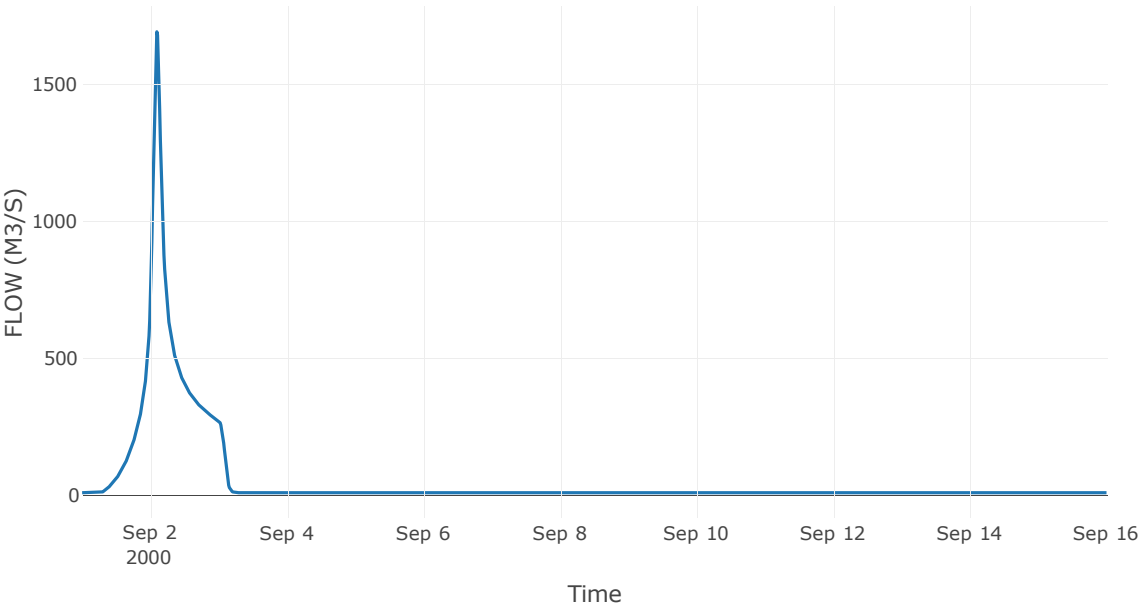


Κόμβος: J12

Αποτελέσμα
α: J12

Παροχή αιχμής (M3/S)	1690.8
Χρονική στιγμή αιχμής	02Sep2000, 02:15
Όγκος (MM)	186.58

Απορροή

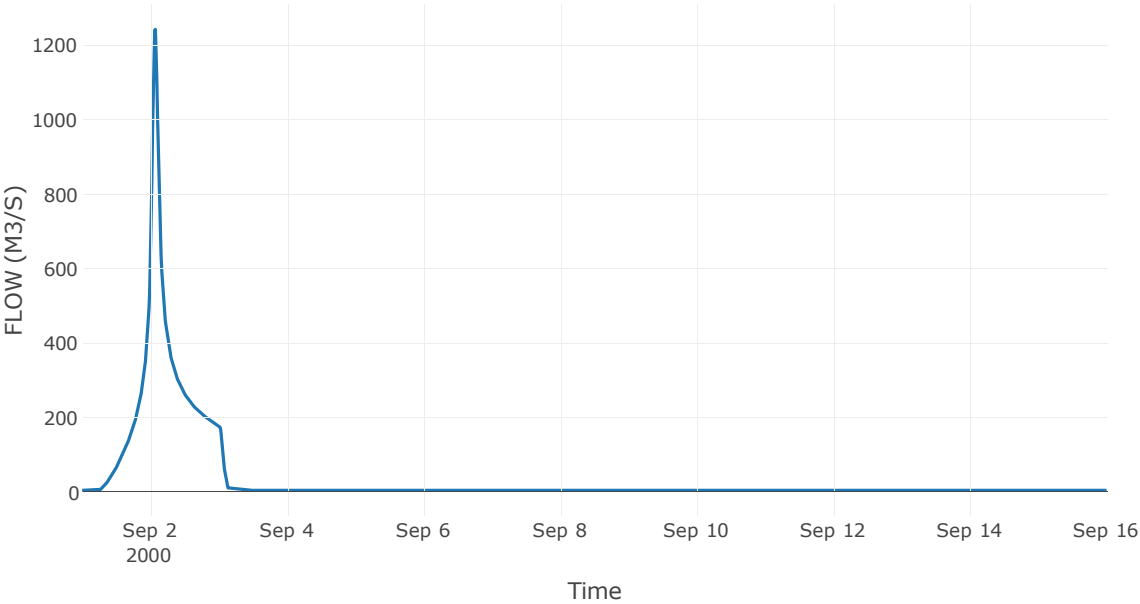


Κόμβος: J13

Αποτελέσματ
α: J13

Παροχή αιχμής (M3/S)	1242.75
Χρονική στιγμή αιχμής	02Sep2000, 01:45
Όγκος (MM)	224.82

Απορροή

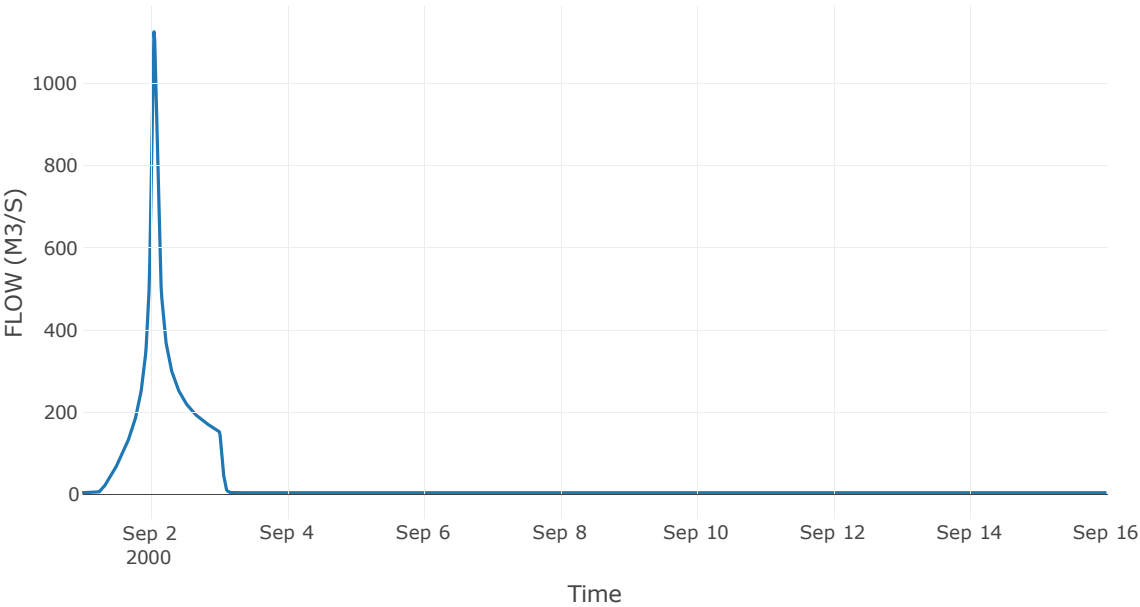


Κόμβος: J14

Αποτελέσμα
α: J14

Παροχή αιχμής (M3/S)	1124.94
Χρονική στιγμή αιχμής	02Sep2000, 01:15
Όγκος (MM)	232.92

Απορροή

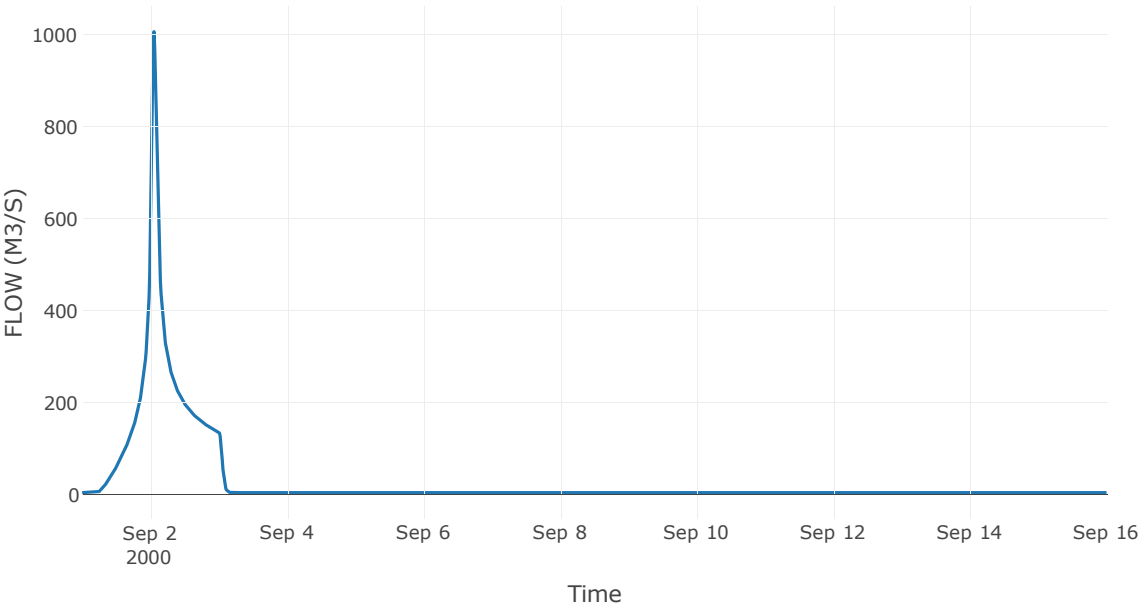


Κόμβος: J15

Αποτελέσματ
α: J15

Παροχή αιχμής (M3/S)	1006.13
Χρονική στιγμή αιχμής	02Sep2000, 01:15
Όγκος (MM)	232.3

Απορροή

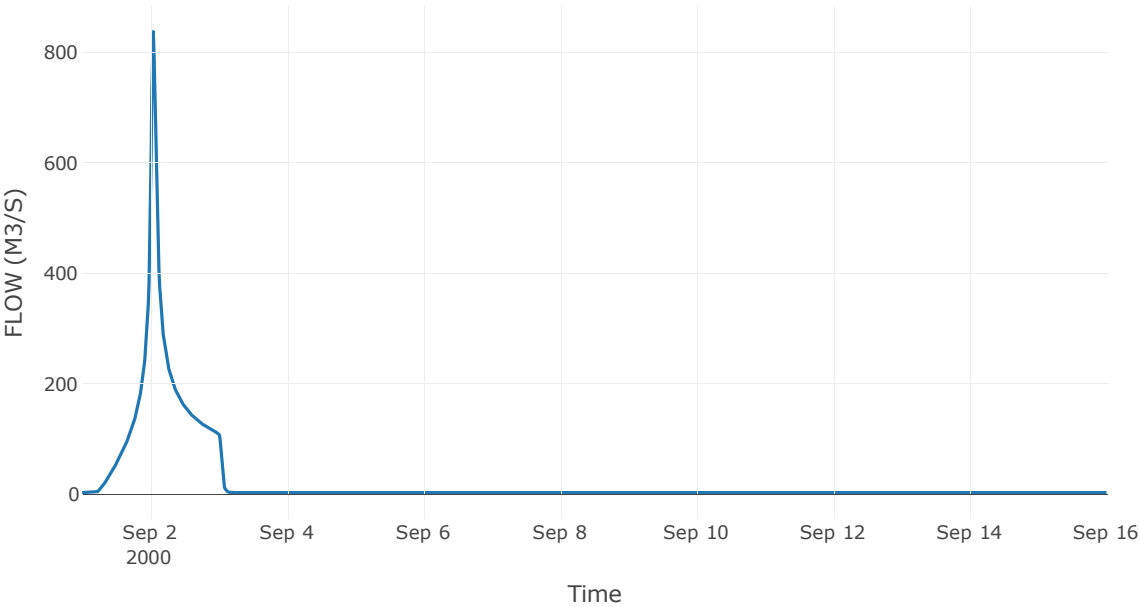


Κόμβος: J16

Αποτελέσμα
α: J16

Παροχή αιχμής (M3/S)	837.11
Χρονική στιγμή αιχμής	02Sep2000, 01:00
Όγκος (MM)	236.67

Απορροή

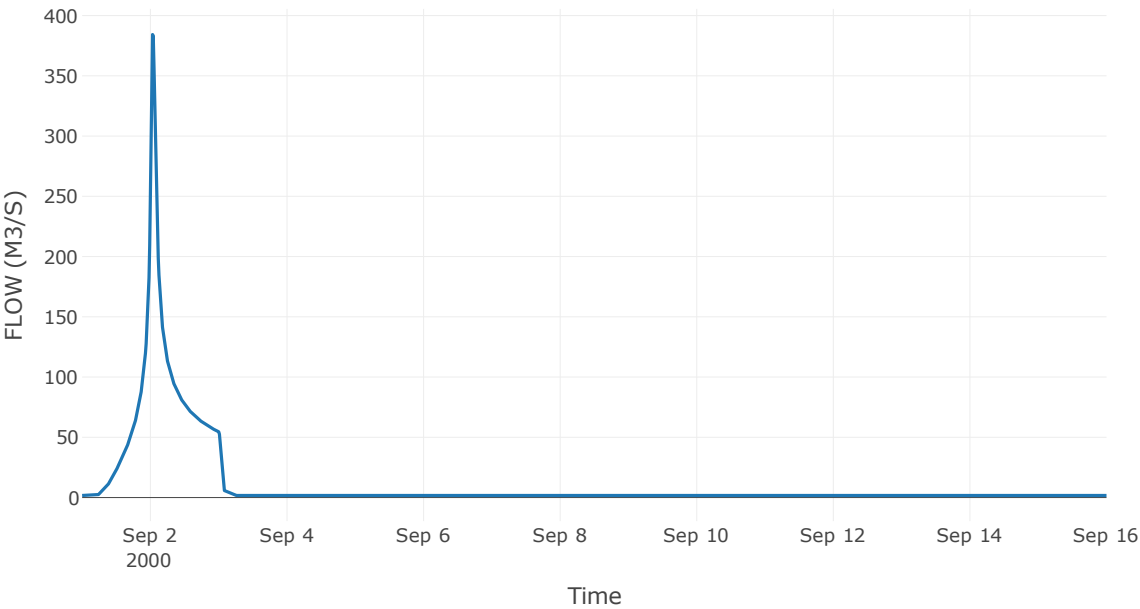


Κόμβος: J17

Αποτελέσματ
α: J17

Παροχή αιχμής (M3/S)	384.27
Χρονική στιγμή αιχμής	02Sep2000, 00:45
Όγκος (MM)	218.75

Απορροή

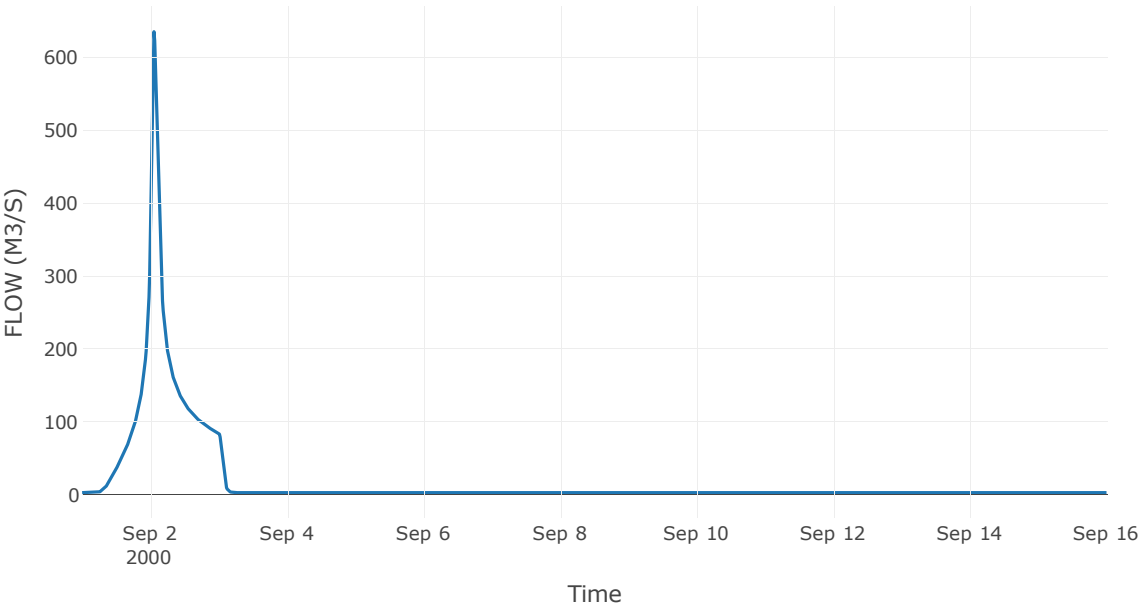


Κόμβος: J18

Αποτελέσμα
α: J18

Παροχή αιχμής (M3/S)	635.32
Χρονική στιγμή αιχμής	02Sep2000, 01:15
Όγκος (MM)	215.6

Απορροή

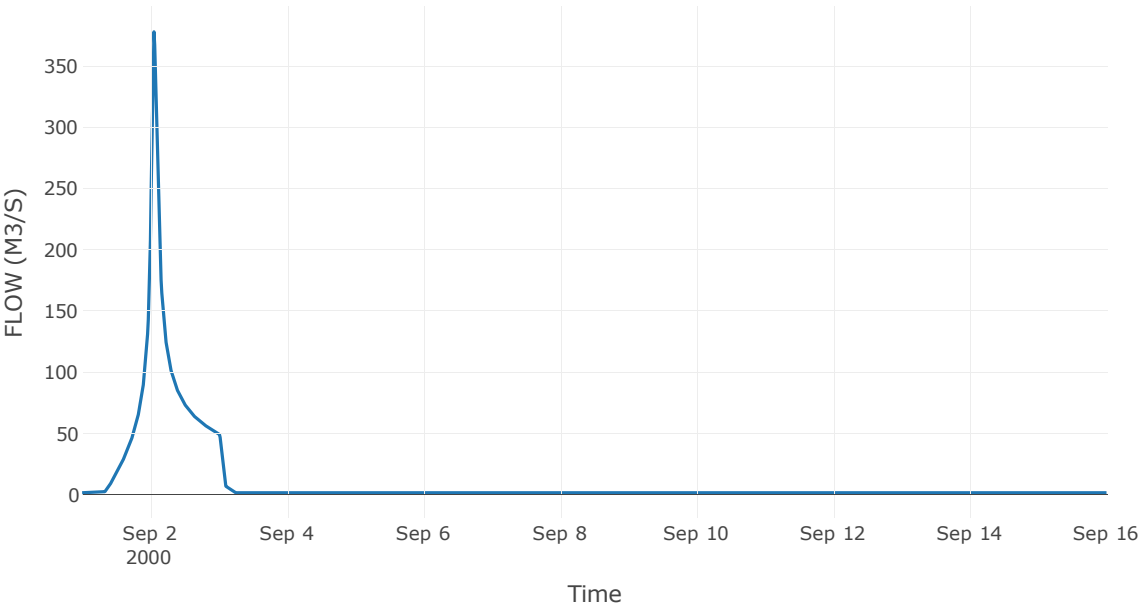


Κόμβος: J19

Αποτελέσματ
α: J19

Παροχή αιχμής (M3/S)	377.97
Χρονική στιγμή αιχμής	02Sep2000, 01:15
Όγκος (MM)	210.45

Απορροή

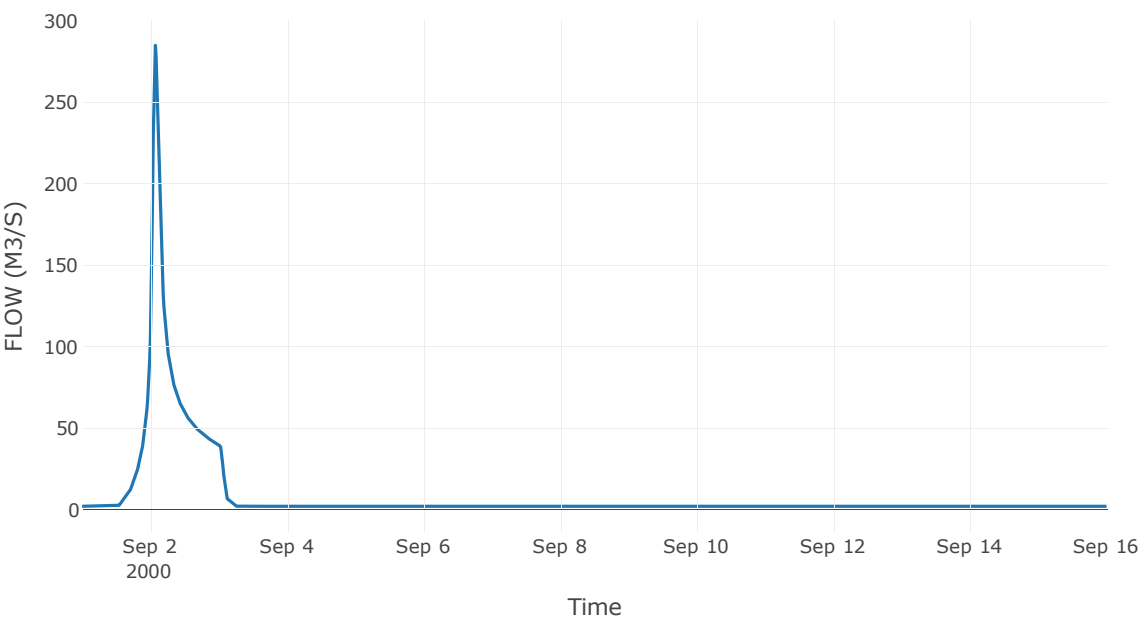


Κόμβος: J20

Αποτελέσματα: J20

Παροχή Αιχμής(M3/S)	284.92
Χρονική στιγμή αιχμής	02Sep2000, 01:45
Όγκος (MM)	133.31

Απορροή

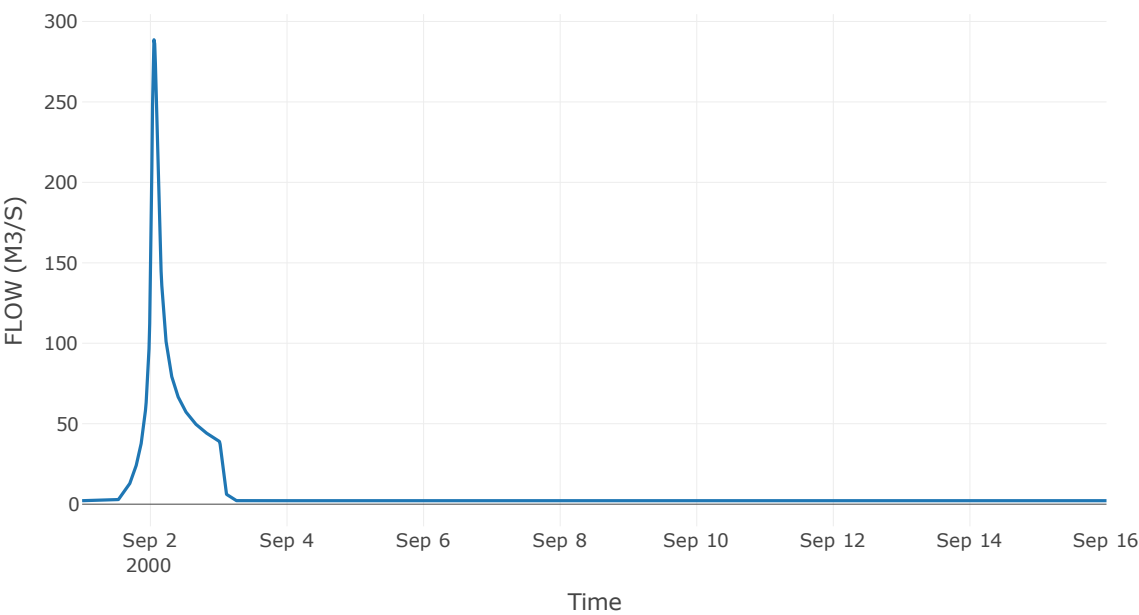


Κόμβος: J21

Αποτελέσμα
α: J21

Παροχή αιχμής (M3/S)	288.65
Χρονική στιγμή αιχμής	02Sep2000, 01:15
Όγκος (MM)	133.31

Απορροή

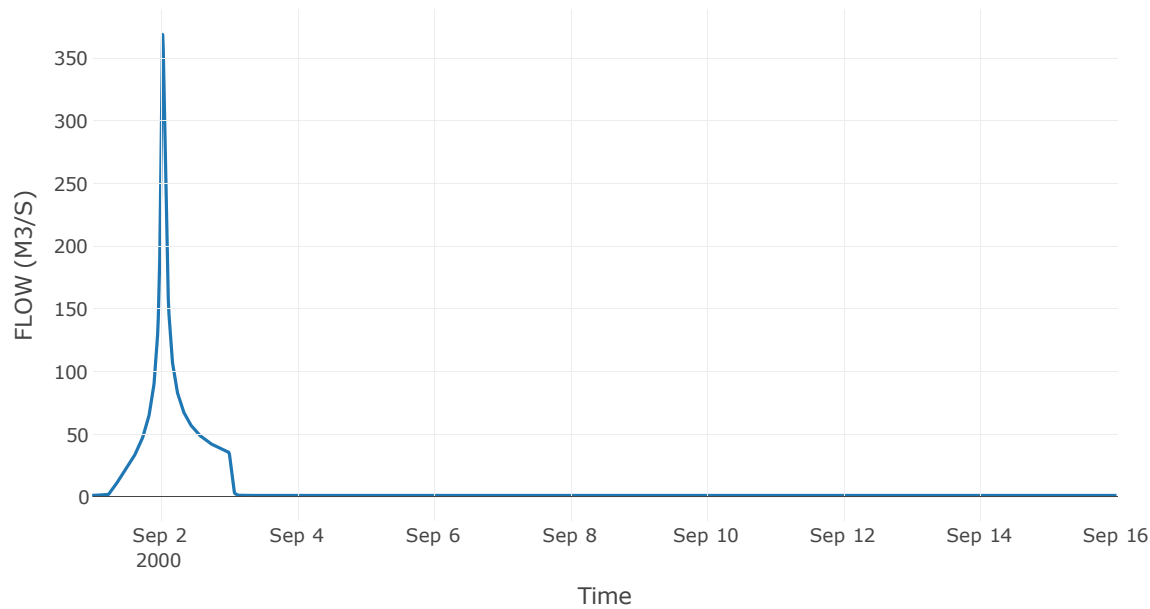


Κόμβος: J22

Αποτελέσματ
α: J22

Παροχή αιχμής (M3/S)	368.79
Χρονική στιγμή αιχμής	02Sep2000, 00:45
Όγκος (MM)	223.09

Απορροή

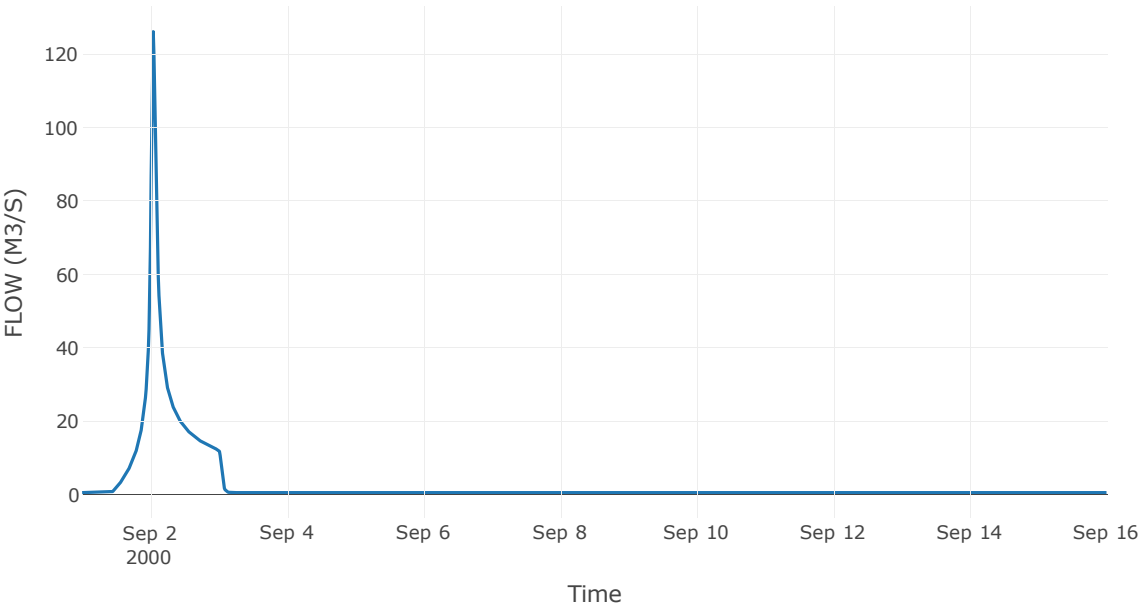


Κόμβος: J23

Αποτελέσματ
α: J23

Παροχή αιχμής (M3/S)	126.14
Χρονική στιγμή αιχμής	02Sep2000, 01:00
Όγκος (MM)	171.22

Απορροή



9 Δεδομένα εισόδου και αποτελέσματα υδρολογικού σεναρίου T=1000L

9.1 Αποτελέσματα, νετογραφήματα και υδρογραφήματα σχεδιασμού υπολεκανών

Υπολεκάνη: EL0421FR001001

Έκταση (KM2) : 7.91

Κατάνη : J1

Μέθοδος Απωλειών: SCS

Ποσοστό αδιαπέρατης επιφάνειας	0
Αριθμός Καμπύλης Απορροής-CN	52.33
Αρχικές Απώλειες	46.28

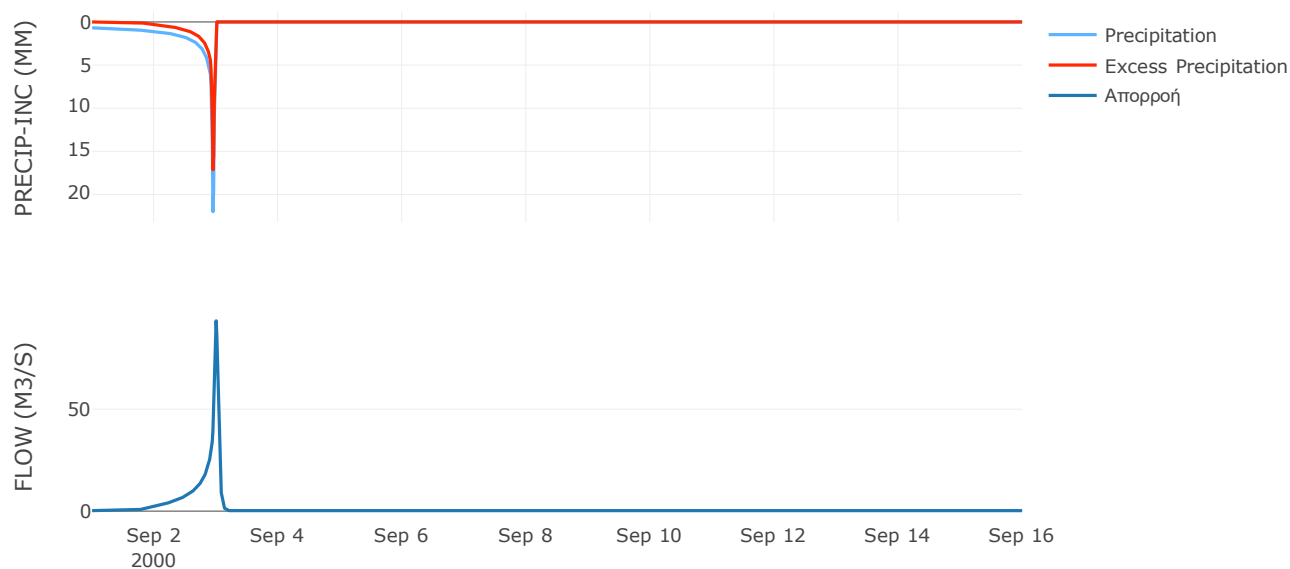
Μέθοδος
Μετασχηματισμού: SCS

Χρόνος Υστέρησης	54.79
------------------	-------

Αποτελέσματα:
EL0421FR001001

Παροχή αιχμής (M3/S)	93.34
Χρονική στιγμή αιχμής	02Sep2000, 24:00
Όγκος (MM)	223.84
Όγκος βροχόπτωσης (M3)	2.88E6
Όγκος απωλειών (M3)	1.43E6
Ενεργός Όγκος (M3)	1.45E6
Όγκος άμεσης απορροής (M3)	1.45E6
Όγκος βασικής απορροής (M3)	3.18E5

Βροχόπτωση και Απορροή



Υπολεκάνη: EL0421FR001002

Έκταση (KM2) : 7.13

Κατάντη : J2

Μέθοδος Απωλειών: SCS

Ποσοστό αδιαπέρατης επιφάνειας	0
Αριθμός Καμπύλης Απορροής-CN	35.26
Αρχικές Απώλειες	93.29

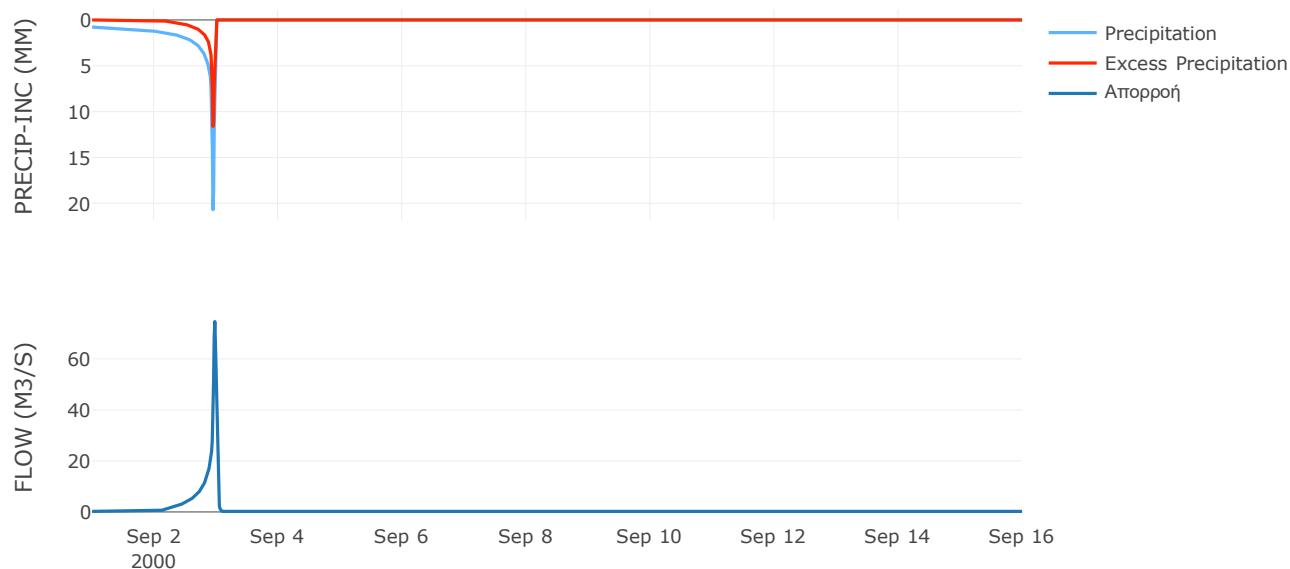
Μέθοδος
Μετασχηματισμού: SCS

Χρόνος Υστέρησης	25.26
------------------	-------

Αποτελέσματα:
EL0421FR001002

Παροχή αιχμής (M3/S)	74.62
Χρονική στιγμή αιχμής	02Sep2000, 23:30
Όγκος (MM)	153.52
Όγκος βροχόπτωσης (M3)	2.76E6
Όγκος απωλειών (M3)	1.95E6
Ενεργός Όγκος (M3)	8.08E5
Όγκος άμεσης απορροής (M3)	8.08E5
Όγκος βασικής απορροής (M3)	2.86E5

Βροχόπτωση και Απορροή



Υπολεκάνη: EL0421FR001003

Έκταση (KM2) : 10.09

Κατάντη : J3

Μέθοδος Απωλειών: SCS

Ποσοστό αδιαπέρατης επιφάνειας	0
Αριθμός Καμπύλης Απορροής-CN	41.95
Αρχικές Απώλειες	70.3

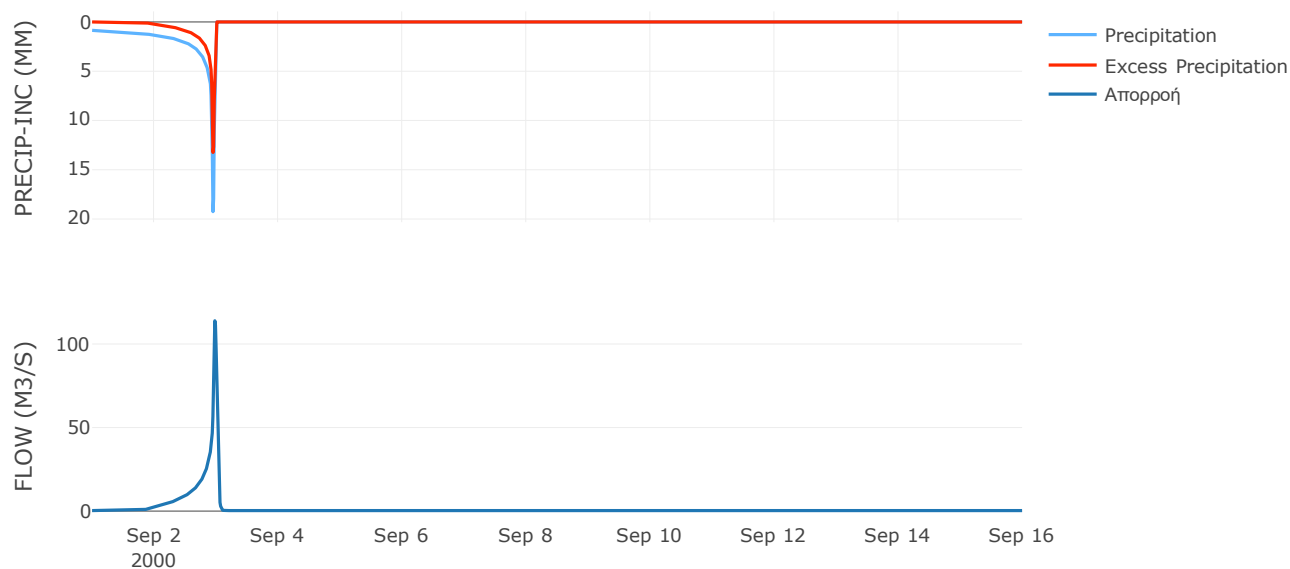
Μέθοδος
Μετασχηματισμού: SCS

Χρόνος Υστέρησης	33.06
------------------	-------

Αποτελέσματα:
EL0421FR001003

Παροχή αιχμής (M3/S)	113.9
Χρονική στιγμή αιχμής	02Sep2000, 23:30
Όγκος (MM)	201.22
Όγκος βροχόπτωσης (M3)	4.06E6
Όγκος απωλειών (M3)	2.43E6
Ενεργός Όγκος (M3)	1.62E6
Όγκος άμεσης απορροής (M3)	1.62E6
Όγκος βασικής απορροής (M3)	4.05E5

Βροχόπτωση και Απορροή



Υπολεκάνη: EL0421FR001004

Έκταση (KM2) : 2.73

Κατάντη : J4

Μέθοδος Απωλειών: SCS

Ποσοστό αδιαπέρατης επιφάνειας	0
Αριθμός Καμπύλης Απορροής-CN	50.47
Αρχικές Απώλειες	49.86

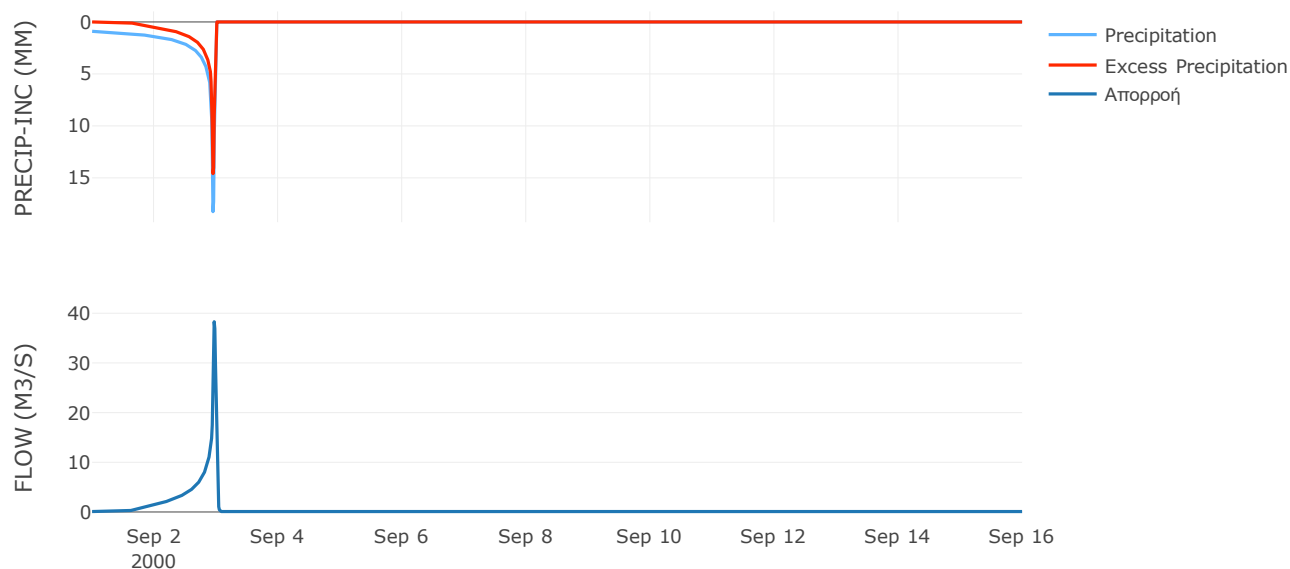
Μέθοδος
Μετασχηματισμού: SCS

Χρόνος Υστέρησης	18.8
------------------	------

Αποτελέσματα:
EL0421FR001004

Παροχή αιχμής (M3/S)	38.29
Χρονική στιγμή αιχμής	02Sep2000, 23:15
Όγκος (MM)	252.55
Όγκος βροχόπτωσης (M3)	1.12E6
Όγκος απωλειών (M3)	5.38E5
Ενεργός Όγκος (M3)	5.8E5
Όγκος άμεσης απορροής (M3)	5.8E5
Όγκος βασικής απορροής (M3)	1.1E5

Βροχόπτωση και Απορροή



Υπολεκάνη: EL0421FR001005

Έκταση (KM2) : 18.09

Κατάντη : J5

Μέθοδος Απωλειών: SCS

Ποσοστό αδιαπέρατης επιφάνειας	0
Αριθμός Καμπύλης Απορροής-CN	38.73
Αρχικές Απώλειες	80.36

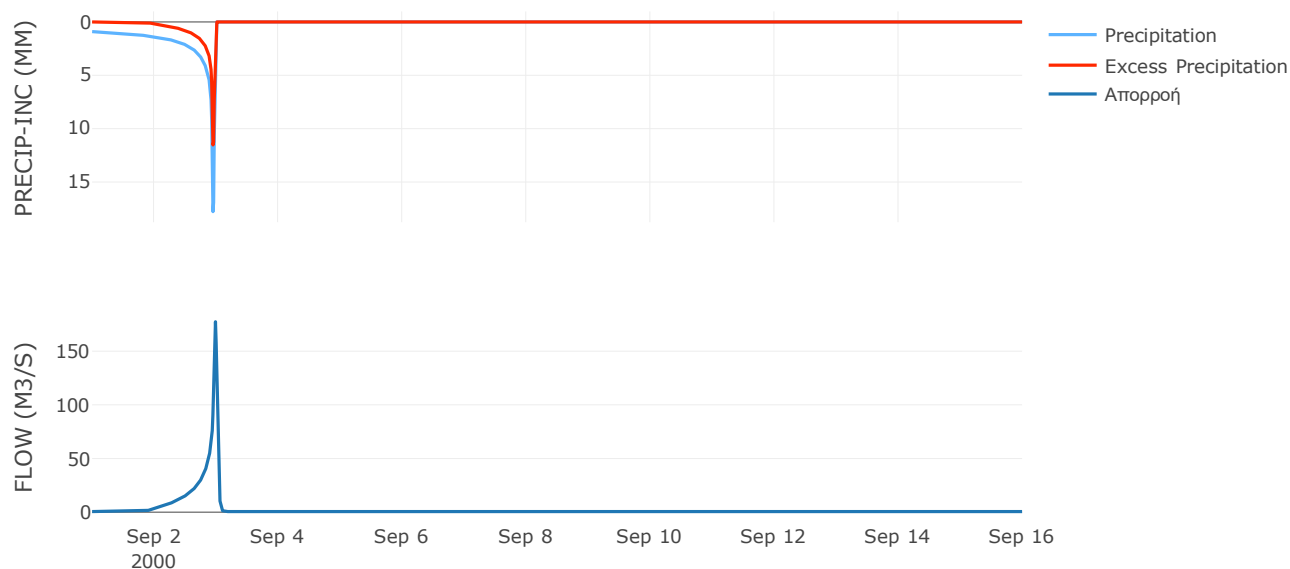
Μέθοδος
Μετασχηματισμού: SCS

Χρόνος Υστέρησης	35.12
------------------	-------

Αποτελέσματα:
EL0421FR001005

Παροχή αιχμής (M3/S)	177.39
Χρονική στιγμή αιχμής	02Sep2000, 23:45
Όγκος (MM)	186.97
Όγκος βροχόπτωσης (M3)	7.37E6
Όγκος απωλειών (M3)	4.72E6
Ενεργός Όγκος (M3)	2.66E6
Όγκος άμεσης απορροής (M3)	2.66E6
Όγκος βασικής απορροής (M3)	7.27E5

Βροχόπτωση και Απορροή



Υπολεκάνη: EL0421FR001006

Έκταση (KM2) : 33.49

Κατάντη : J6

Μέθοδος Απωλειών: SCS

Ποσοστό αδιαπέρατης επιφάνειας	0
Αριθμός Καμπύλης Απορροής-CN	51.36
Αρχικές Απώλειες	48.11

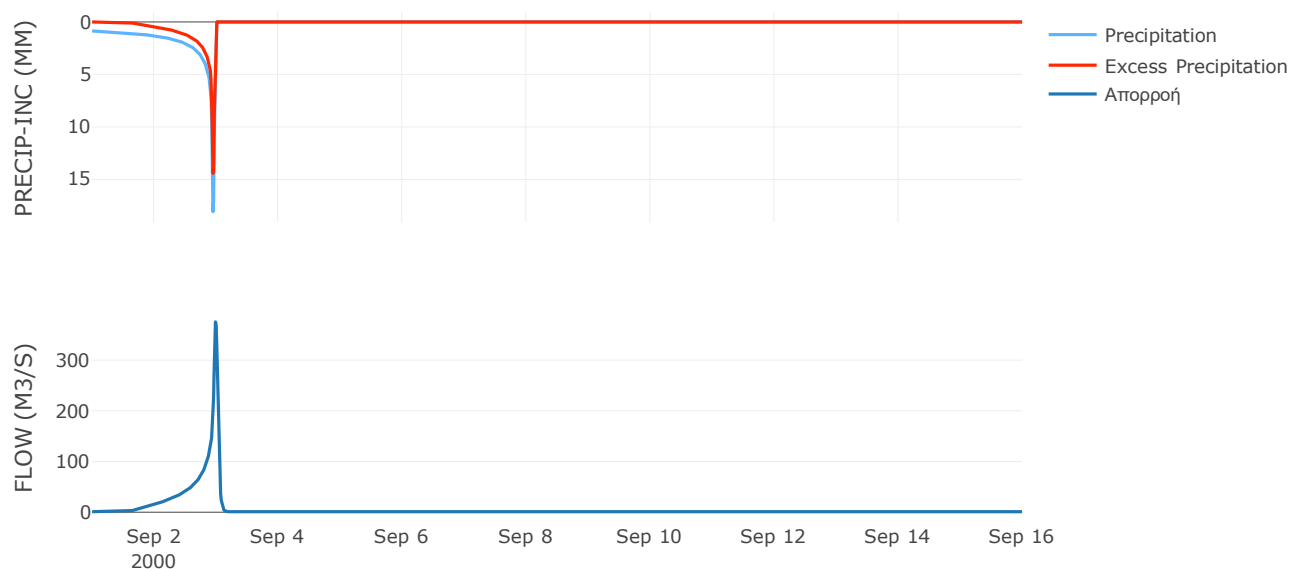
Μέθοδος
Μετασχηματισμού: SCS

Χρόνος Υστέρησης	47.85
------------------	-------

Αποτελέσματα:
EL0421FR001006

Παροχή αιχμής (M3/S)	375.42
Χρονική στιγμή αιχμής	02Sep2000, 23:45
Όγκος (MM)	244.64
Όγκος βροχόπτωσης (M3)	1.32E7
Όγκος απωλειών (M3)	6.37E6
Ενεργός Όγκος (M3)	6.85E6
Όγκος άμεσης απορροής (M3)	6.85E6
Όγκος βασικής απορροής (M3)	1.35E6

Βροχόπτωση και Απορροή



Υπολεκάνη: EL0421FR001007

Έκταση (KM2) : 33.81

Κατάντη : J7

Μέθοδος Απωλειών: SCS

Ποσοστό αδιαπέρατης επιφάνειας	0
Αριθμός Καμπύλης Απορροής-CN	65.37
Αρχικές Απώλειες	26.91

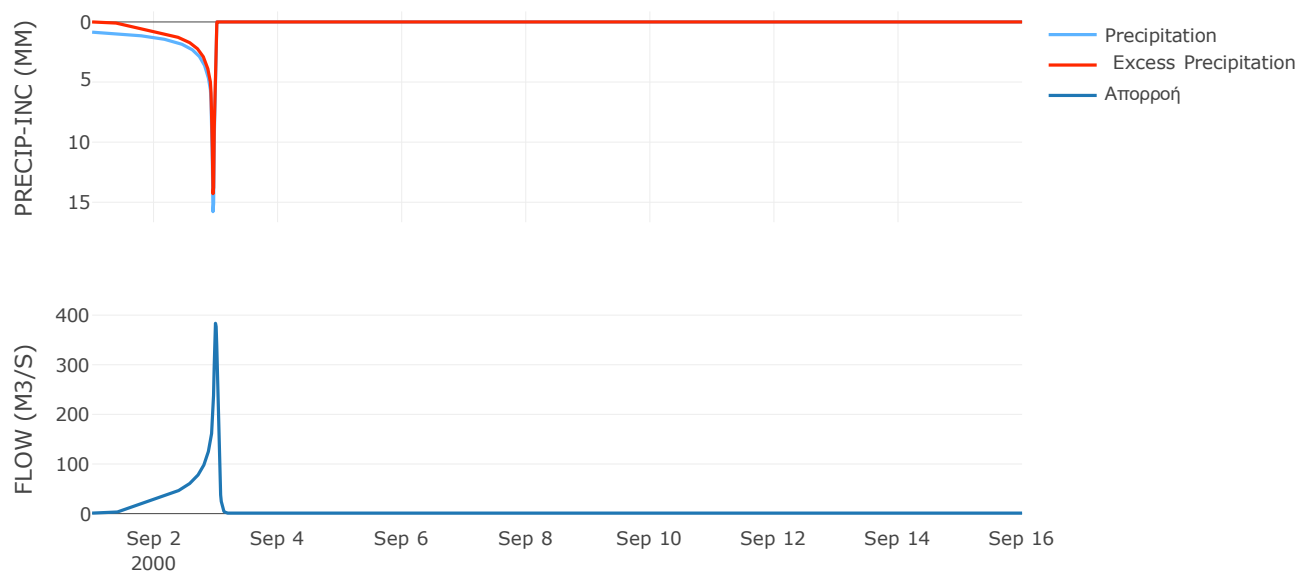
Μέθοδος
Μετασχηματισμού: SCS

Χρόνος Υστέρησης	48.1
------------------	------

Αποτελέσματα:
EL0421FR001007

Παροχή αιχμής (M3/S)	383.49
Χρονική στιγμή αιχμής	02Sep2000, 23:45
Όγκος (MM)	291.54
Όγκος βροχόπτωσης (M3)	1.27E7
Όγκος απωλειών (M3)	4.19E6
Ενεργός Όγκος (M3)	8.5E6
Όγκος άμεσης απορροής (M3)	8.5E6
Όγκος βασικής απορροής (M3)	1.36E6

Βροχόπτωση και Απορροή



Υπολεκάνη: EL0421FR001008

Έκταση (KM2) : 8.14

Κατάντη : J8

Μέθοδος Απωλειών: SCS

Ποσοστό αδιαπέρατης επιφάνειας	0
Αριθμός Καμπύλης Απορροής-CN	58.18
Αρχικές Απώλειες	36.52

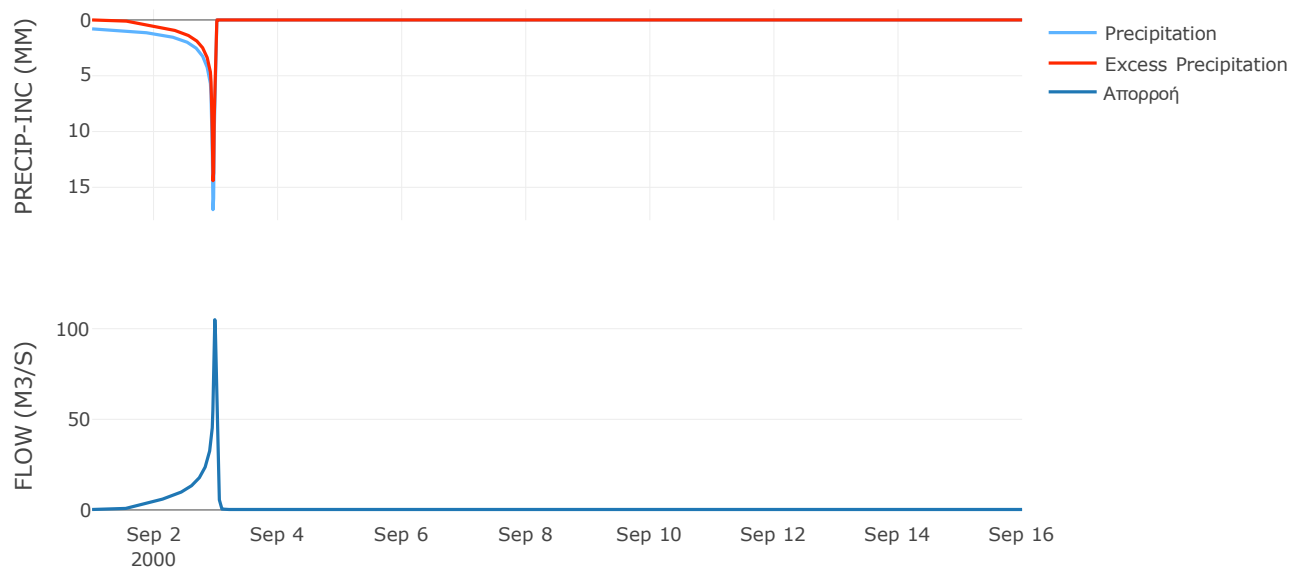
Μέθοδος
Μετασχηματισμού: SCS

Χρόνος Υστέρησης	29.01
------------------	-------

Αποτελέσματα:
EL0421FR001008

Παροχή αιχμής (M3/S)	104.96
Χρονική στιγμή αιχμής	02Sep2000, 23:30
Όγκος (MM)	255.3
Όγκος βροχόπτωσης (M3)	3.01E6
Όγκος απωλειών (M3)	1.26E6
Ενεργός Όγκος (M3)	1.75E6
Όγκος άμεσης απορροής (M3)	1.75E6
Όγκος βασικής απορροής (M3)	3.27E5

Βροχόπτωση και Απορροή



Υπολεκάνη: EL0421FR001009

Έκταση (KM2) : 9.96

Κατάντη : J9

Μέθοδος Απωλειών: SCS

Ποσοστό αδιαπέρατης επιφάνειας	0
Αριθμός Καμπύλης Απορροής-CN	63.03
Αρχικές Απώλειες	29.79

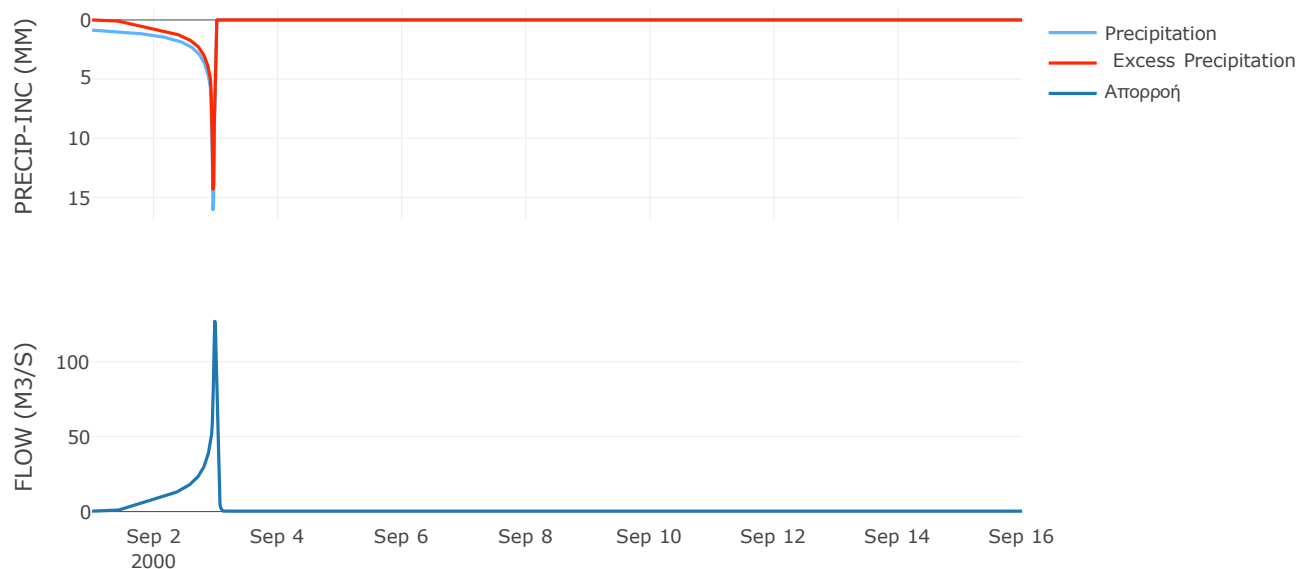
Μέθοδος
Μετασχηματισμού: SCS

Χρόνος Υστέρησης	31.41
------------------	-------

Αποτελέσματα:
EL0421FR001009

Παροχή αιχμής (M3/S)	126.91
Χρονική στιγμή αιχμής	02Sep2000, 23:30
Όγκος (MM)	286.56
Όγκος βροχόπτωσης (M3)	3.79E6
Όγκος απωλειών (M3)	1.34E6
Ενεργός Όγκος (M3)	2.45E6
Όγκος άμεσης απορροής (M3)	2.45E6
Όγκος βασικής απορροής (M3)	4E5

Βροχόπτωση και Απορροή



Υπολεκάνη: EL0421FR001010

Έκταση (KM2) : 28.77

Κατάνη : J10 Res1

Μέθοδος Απωλειών: SCS

Ποσοστό αδιαπέρατης επιφάνειας	0.14
Αριθμός Καμπύλης Απορροής-CN	62.71
Αρχικές Απώλειες	30.21

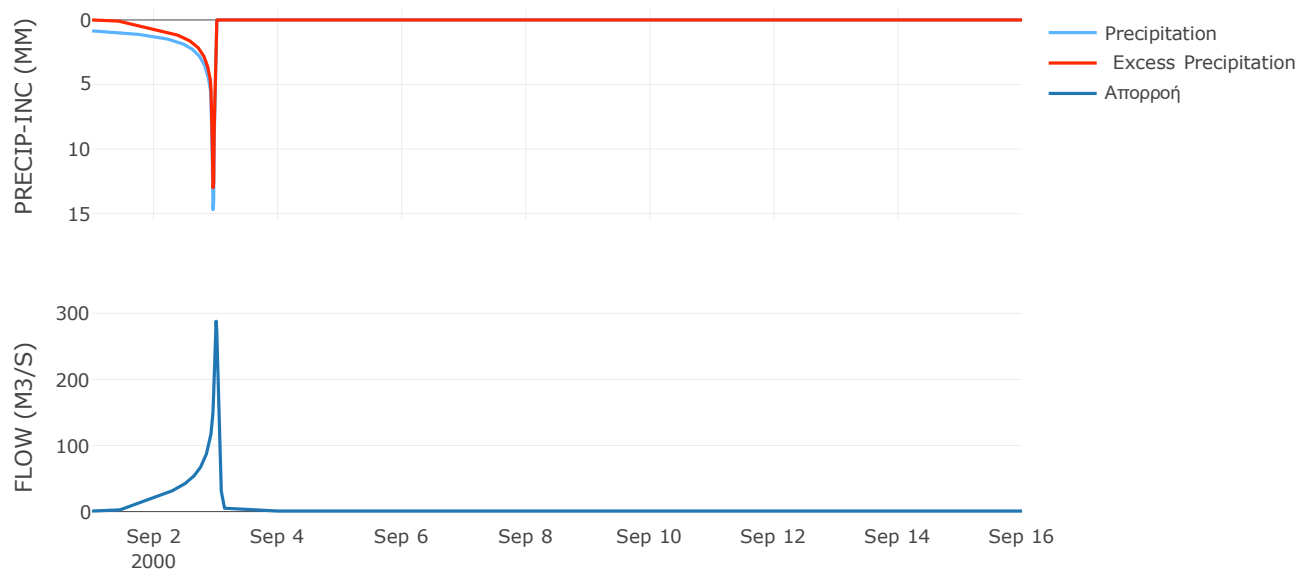
Μέθοδος
Μετασχηματισμού: SCS

Χρόνος Υστέρησης	56.02
------------------	-------

Αποτελέσματα:
EL0421FR001010

Παροχή αιχμής (M3/S)	288.08
Χρονική στιγμή αιχμής	02Sep2000, 24:00
Όγκος (MM)	271.96
Όγκος βροχόπτωσης (M3)	1.05E7
Όγκος απωλειών (M3)	3.86E6
Ενεργός Όγκος (M3)	6.67E6
Όγκος άμεσης απορροής (M3)	6.67E6
Όγκος βασικής απορροής (M3)	1.16E6

Βροχόπτωση και Απορροή



Υπολεκάνη: EL0421FR001011

Έκταση (KM2) : 2.42

Κατάνη : J11

Μέθοδος Απωλειών: SCS

Ποσοστό αδιαπέρατης επιφάνειας	0.38
Αριθμός Καμπύλης Απορροής-CN	61.35
Αρχικές Απώλειες	32.01

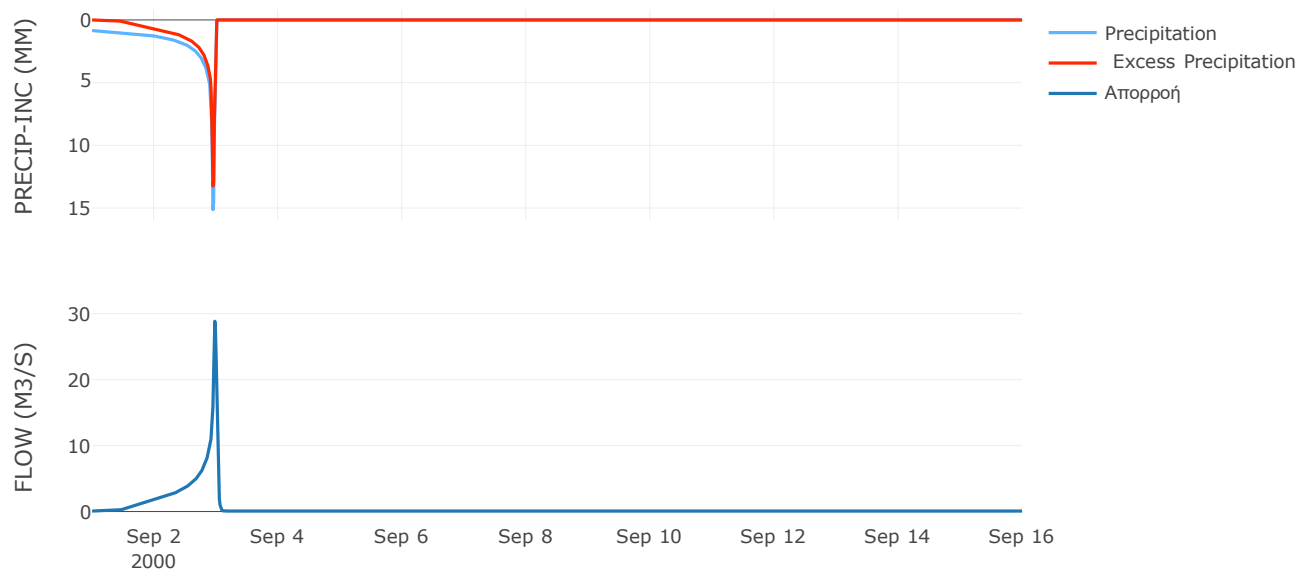
Μέθοδος
Μετασχηματισμού: SCS

Χρόνος Υστέρησης	30.71
------------------	-------

Αποτελέσματα:
EL0421FR001011

Παροχή αιχμής (M3/S)	28.85
Χρονική στιγμή αιχμής	02Sep2000, 23:30
Όγκος (MM)	268.72
Όγκος βροχόπτωσης (M3)	8.91E5
Όγκος απωλειών (M3)	3.38E5
Ενεργός Όγκος (M3)	5.52E5
Όγκος άμεσης απορροής (M3)	5.52E5
Όγκος βασικής απορροής (M3)	97113.17

Βροχόπτωση και Απορροή



Υπολεκάνη: EL0421FR001012

Έκταση (KM2) : 33.86

Κατάντη : J12

Μέθοδος Απωλειών: SCS

Ποσοστό αδιαπέρατης επιφάνειας	0.09
Αριθμός Καμπύλης Απορροής-CN	41.51
Αρχικές Απώλειες	71.58

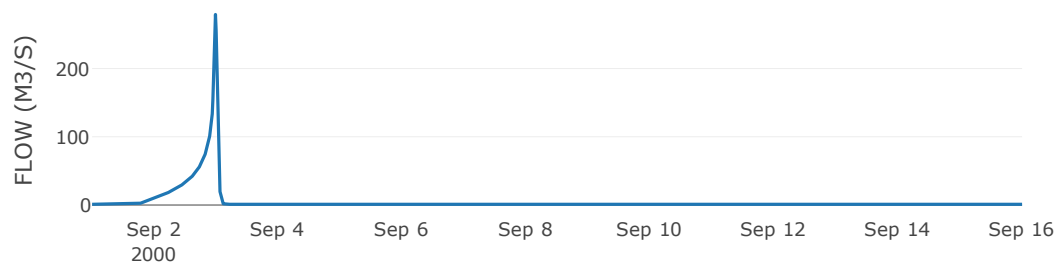
Μέθοδος
Μετασχηματισμού: SCS

Χρόνος Υστέρησης	36.62
------------------	-------

Αποτελέσματα:
EL0421FR001012

Παροχή αιχμής (M3/S)	279.12
Χρονική στιγμή αιχμής	02Sep2000, 23:45
Όγκος (MM)	189.28
Όγκος βροχόπτωσης (M3)	1.32E7
Όγκος απωλειών (M3)	8.11E6
Ενεργός Όγκος (M3)	5.05E6
Όγκος άμεσης απορροής (M3)	5.05E6
Όγκος βασικής απορροής (M3)	1.36E6

Βροχόπτωση και Απορροή



Υπολεκάνη: EL0421FR001013

Έκταση (KM2) : 34.09

Κατάντη : J13

Μέθοδος Απωλειών: SCS

Ποσοστό αδιαπέρατης επιφάνειας	0
Αριθμός Καμπύλης Απορροής-CN	42.33
Αρχικές Απώλειες	69.21

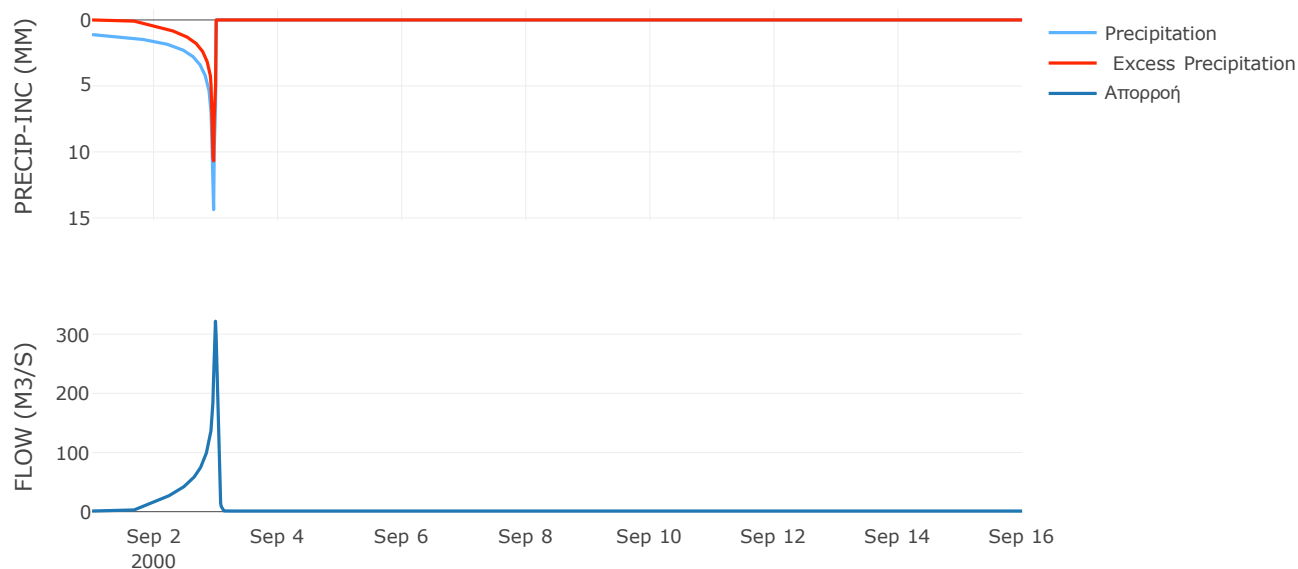
Μέθοδος
Μετασχηματισμού: SCS

Χρόνος Υστέρησης	37.31
------------------	-------

Αποτελέσματα:
EL0421FR001013

Παροχή αιχμής (M3/S)	321.95
Χρονική στιγμή αιχμής	02Sep2000, 23:45
Όγκος (MM)	229.51
Όγκος βροχόπτωσης (M3)	1.49E7
Όγκος απωλειών (M3)	8.44E6
Ενεργός Όγκος (M3)	6.45E6
Όγκος άμεσης απορροής (M3)	6.45E6
Όγκος βασικής απορροής (M3)	1.37E6

Βροχόπτωση και Απορροή



Υπολεκάνη: EL0421FR001014

Έκταση (KM2) : 11.34

Κατάντη : J14

Μέθοδος Απωλειών: SCS

Ποσοστό αδιαπέρατης επιφάνειας	0
Αριθμός Καμπύλης Απορροής-CN	53.66
Αρχικές Απώλειες	43.88

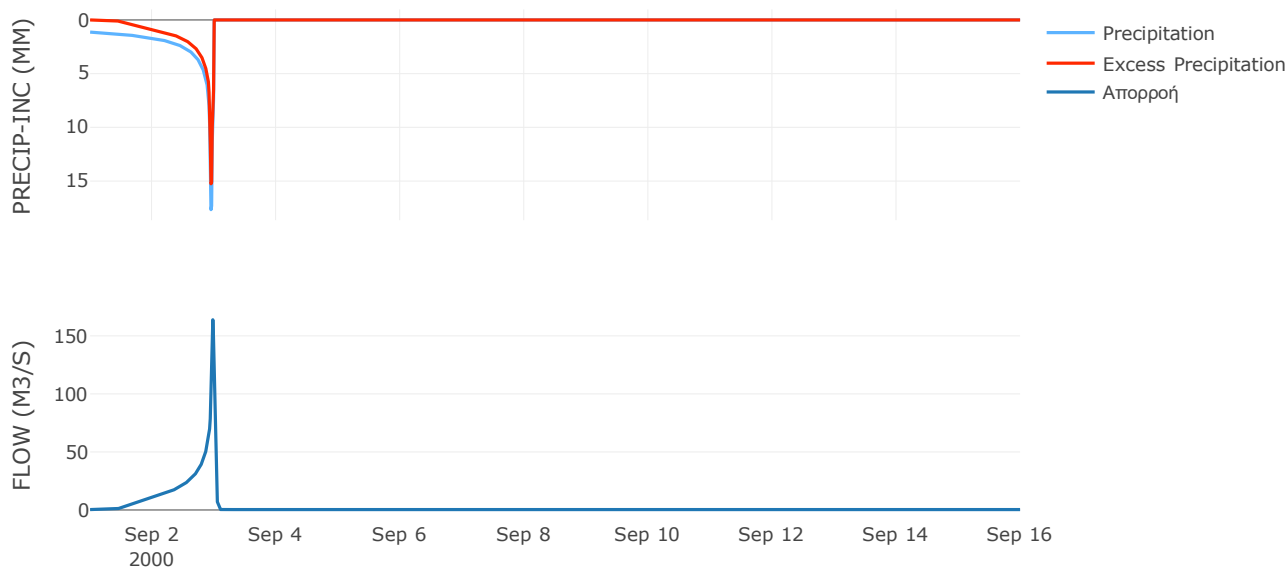
Μέθοδος
Μετασχηματισμού: SCS

Χρόνος Υστέρησης	26.79
------------------	-------

Αποτελέσματα:
EL0421FR001014

Παροχή αιχμής (M3/S)	163.86
Χρονική στιγμή αιχμής	02Sep2000, 23:30
Όγκος (MM)	324.04
Όγκος βροχόπτωσης (M3)	5.36E6
Όγκος απωλειών (M3)	2.14E6
Ενεργός Όγκος (M3)	3.22E6
Όγκος άμεσης απορροής (M3)	3.22E6
Όγκος βασικής απορροής (M3)	4.56E5

Βροχόπτωση και Απορροή



Υπολεκάνη: EL0421FR001015

Έκταση (KM2) : 20.48

Κατάνη : J15

Μέθοδος Απωλειών: SCS

Ποσοστό αδιαπέρατης επιφάνειας	0
Αριθμός Καμπύλης Απορροής-CN	50.94
Αρχικές Απώλειες	48.92

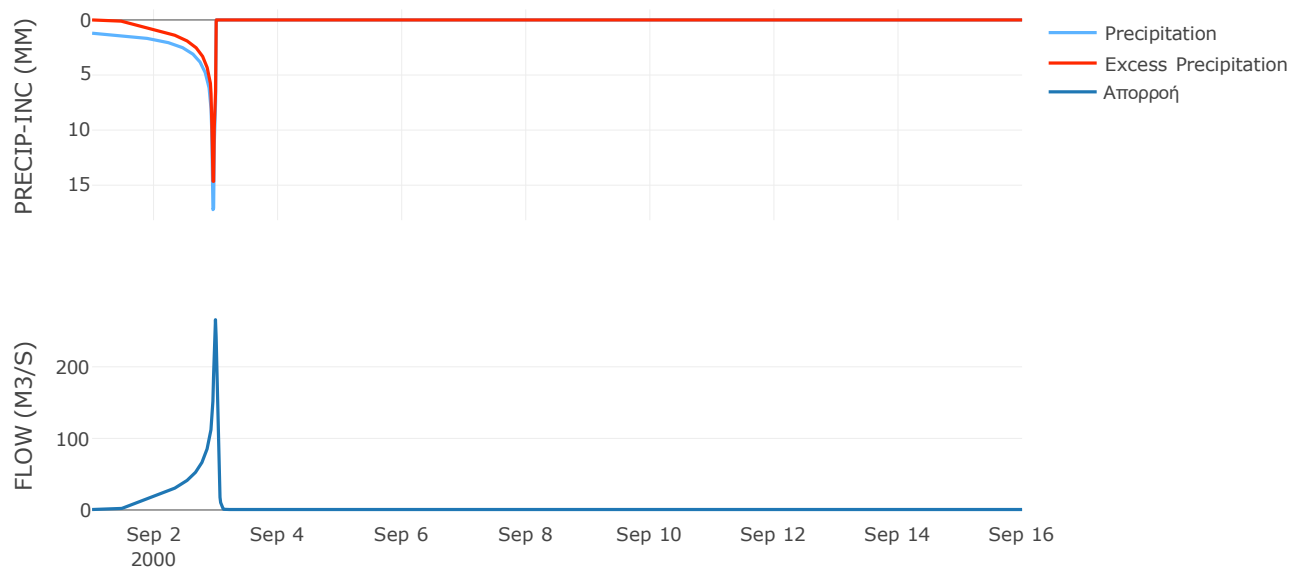
Μέθοδος
Μετασχηματισμού: SCS

Χρόνος Υστέρησης	36.43
------------------	-------

Αποτελέσματα:
EL0421FR001015

Παροχή αιχμής (M3/S)	265.84
Χρονική στιγμή αιχμής	02Sep2000, 23:45
Όγκος (MM)	323.53
Όγκος βροχόπτωσης (M3)	1E7
Όγκος απωλειών (M3)	4.22E6
Ενεργός Όγκος (M3)	5.8E6
Όγκος άμεσης απορροής (M3)	5.8E6
Όγκος βασικής απορροής (M3)	8.23E5

Βροχόπτωση και Απορροή



Υπολεκάνη: EL0421FR001016

Έκταση (KM2) : 15.22

Κατάντη : J16

Μέθοδος Απωλειών: SCS

Ποσοστό αδιαπέρατης επιφάνειας	0
Αριθμός Καμπύλης Απορροής-CN	49.72
Αρχικές Απώλειες	51.38

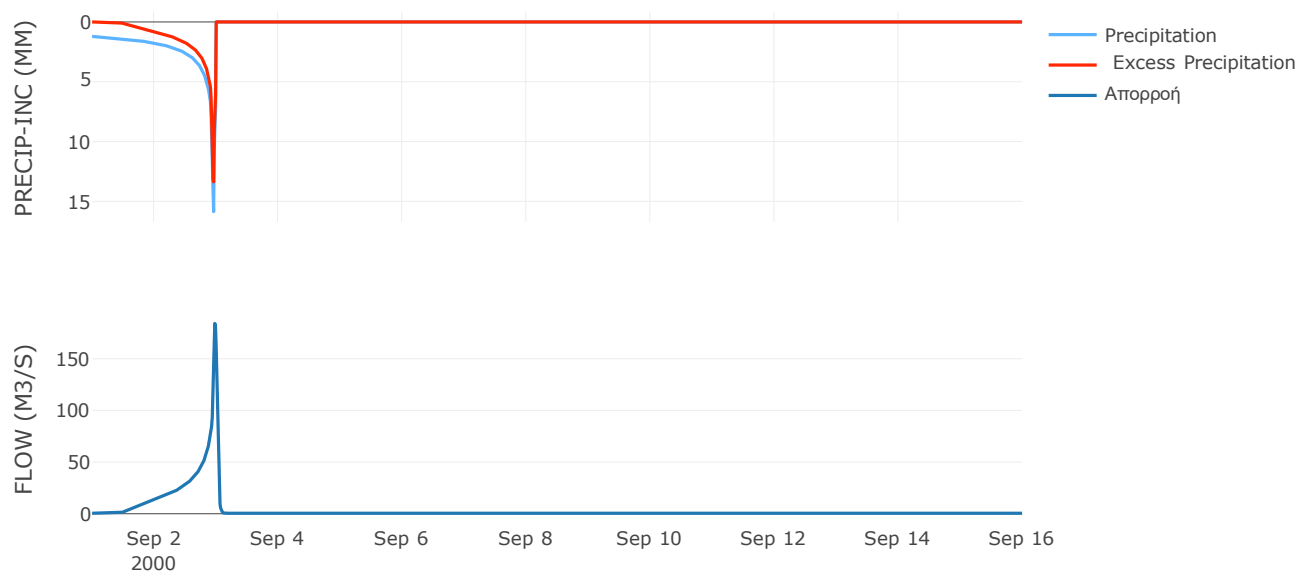
Μέθοδος
Μετασχηματισμού: SCS

Χρόνος Υστέρησης	33.77
------------------	-------

Αποτελέσματα:
EL0421FR001016

Παροχή αιχμής (M3/S)	184.2
Χρονική στιγμή αιχμής	02Sep2000, 23:30
Όγκος (MM)	305.93
Όγκος βροχόπτωσης (M3)	7.27E6
Όγκος απωλειών (M3)	3.22E6
Ενεργός Όγκος (M3)	4.04E6
Όγκος άμεσης απορροής (M3)	4.04E6
Όγκος βασικής απορροής (M3)	6.11E5

Βροχόπτωση και Απορροή



Υπολεκάνη: EL0421FR001017

Έκταση (KM2) : 32

Κατάληξη : J17

Μέθοδος Απωλειών: SCS

Ποσοστό αδιαπέρατης επιφάνειας	0
Αριθμός Καμπύλης Απορροής-CN	58.44
Αρχικές Απώλειες	36.12

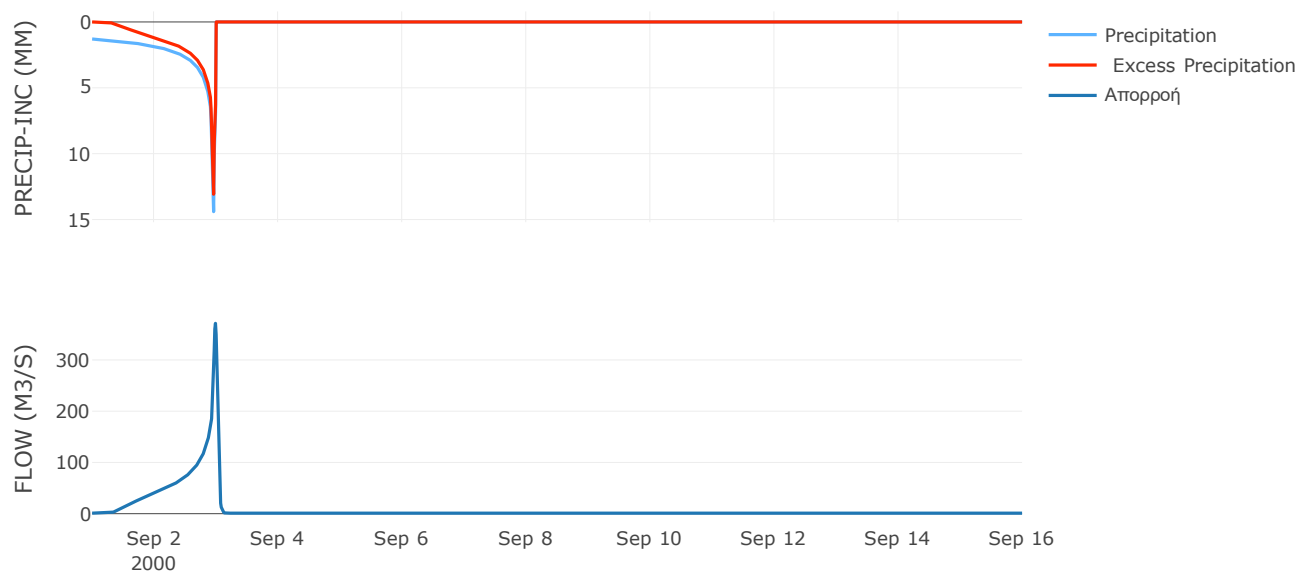
Μέθοδος
Μετασχηματισμού: SCS

Χρόνος Υστέρησης	39.86
------------------	-------

Αποτελέσματα:
EL0421FR001017

Παροχή αιχμής (M3/S)	371.37
Χρονική στιγμή αιχμής	02Sep2000, 23:45
Όγκος (MM)	358.9
Όγκος βροχόπτωσης (M3)	1.55E7
Όγκος απωλειών (M3)	5.27E6
Ενεργός Όγκος (M3)	1.02E7
Όγκος άμεσης απορροής (M3)	1.02E7
Όγκος βασικής απορροής (M3)	1.29E6

Βροχόπτωση και Απορροή



Υπολεκάνη: EL0421FR001018

Έκταση (KM2) : 15.19

Κατάντη : J17

Μέθοδος Απωλειών: SCS

Ποσοστό αδιαπέρατης επιφάνειας	0
Αριθμός Καμπύλης Απορροής-CN	45.02
Αρχικές Απώλειες	62.05

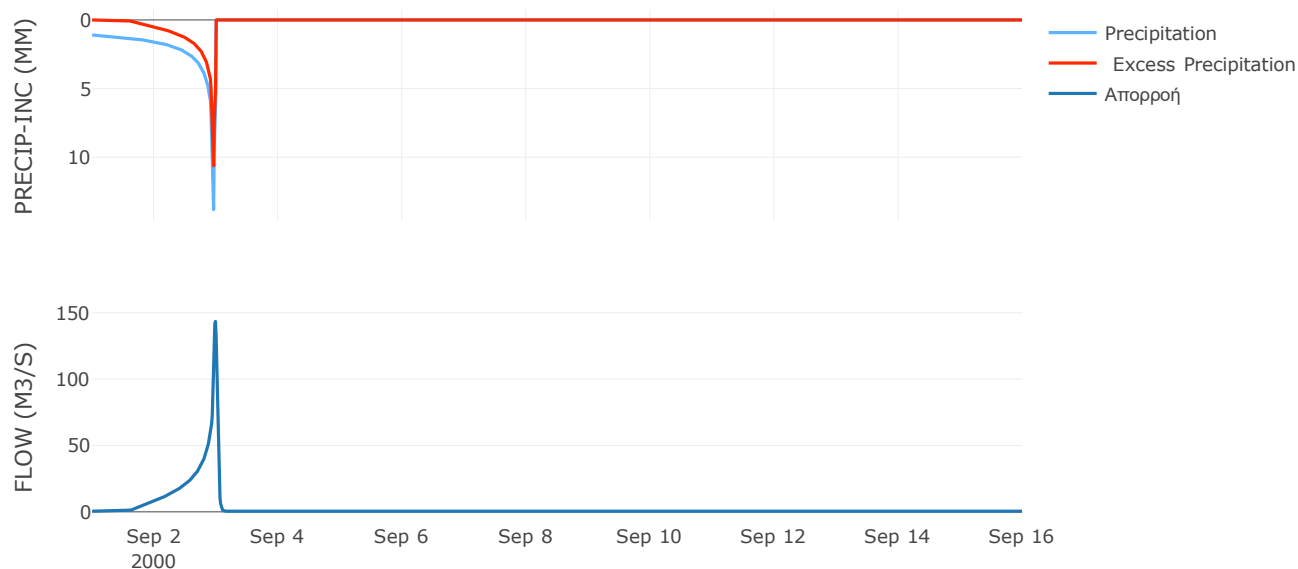
Μέθοδος
Μετασχηματισμού: SCS

Χρόνος Υστέρησης	36.74
------------------	-------

Αποτελέσματα:
EL0421FR001018

Παροχή αιχμής (M3/S)	143.44
Χρονική στιγμή αιχμής	02Sep2000, 23:45
Όγκος (MM)	237.66
Όγκος βροχόπτωσης (M3)	6.49E6
Όγκος απωλειών (M3)	3.49E6
Ενεργός Όγκος (M3)	3E6
Όγκος άμεσης απορροής (M3)	3E6
Όγκος βασικής απορροής (M3)	6.1E5

Βροχόπτωση και Απορροή



Υπολεκάνη: EL0421FR001019

Έκταση (KM2) : 21.21

Κατάντη : J17

Μέθοδος Απωλειών: SCS

Ποσοστό αδιαπέρατης επιφάνειας	0
Αριθμός Καμπύλης Απορροής-CN	42.9
Αρχικές Απώλειες	67.62

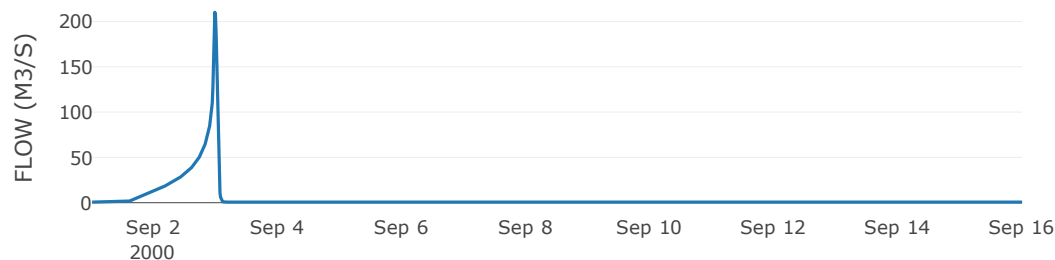
Μέθοδος
Μετασχηματισμού: SCS

Χρόνος Υστέρησης	32.86
------------------	-------

Αποτελέσματα:
EL0421FR001019

Παροχή αιχμής (M3/S)	210.16
Χρονική στιγμή αιχμής	02Sep2000, 23:30
Όγκος (MM)	253.81
Όγκος βροχόπτωσης (M3)	9.83E6
Όγκος απωλειών (M3)	5.3E6
Ενεργός Όγκος (M3)	4.53E6
Όγκος άμεσης απορροής (M3)	4.53E6
Όγκος βασικής απορροής (M3)	8.52E5

Βροχόπτωση και Απορροή



Υπολεκάνη: EL0421FR001020

Έκταση (KM2) : 12.17

Κατάνη : J15

Μέθοδος Απωλειών: SCS

Ποσοστό αδιαπέρατης επιφάνειας	0
Αριθμός Καμπύλης Απορροής-CN	36.92
Αρχικές Απώλειες	86.78

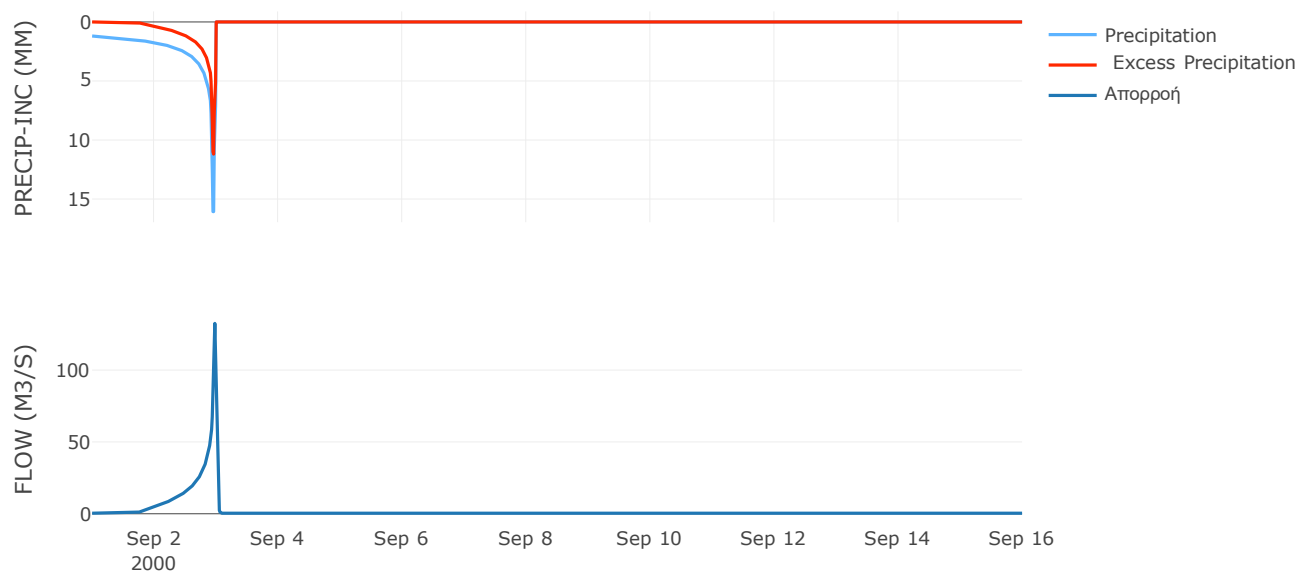
Μέθοδος
Μετασχηματισμού: SCS

Χρόνος Υστέρησης	20.45
------------------	-------

Αποτελέσματα:
EL0421FR001020

Παροχή αιχμής (M3/S)	132.5
Χρονική στιγμή αιχμής	02Sep2000, 23:30
Όγκος (MM)	223.77
Όγκος βροχόπτωσης (M3)	5.79E6
Όγκος απωλειών (M3)	3.55E6
Ενεργός Όγκος (M3)	2.23E6
Όγκος άμεσης απορροής (M3)	2.23E6
Όγκος βασικής απορροής (M3)	4.89E5

Βροχόπτωση και Απορροή



Υπολεκάνη: EL0421FR001021

Έκταση (KM2) : 25.71

Κατάντη : J16

Μέθοδος Απωλειών: SCS

Ποσοστό αδιαπέρατης επιφάνειας	0
Αριθμός Καμπύλης Απορροής-CN	61.37
Αρχικές Απώλειες	31.98

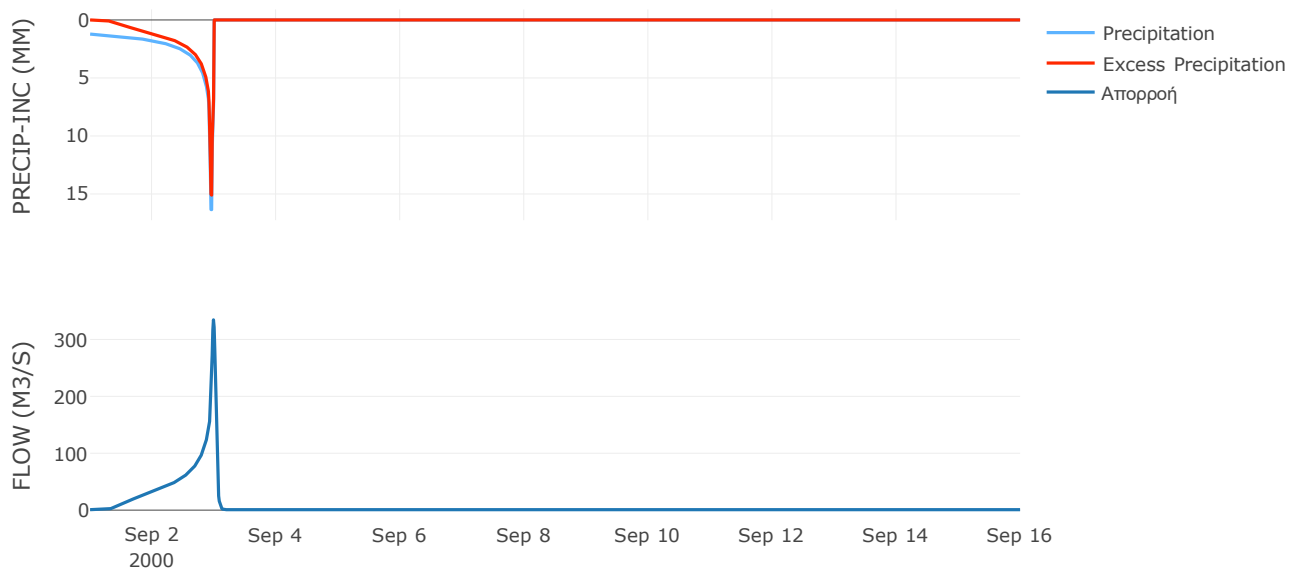
Μέθοδος
Μετασχηματισμού: SCS

Χρόνος Υστέρησης	43.93
------------------	-------

Αποτελέσματα:
EL0421FR001021

Παροχή αιχμής (M3/S)	334.54
Χρονική στιγμή αιχμής	02Sep2000, 23:45
Όγκος (MM)	375.44
Όγκος βροχόπτωσης (M3)	1.25E7
Όγκος απωλειών (M3)	3.86E6
Ενεργός Όγκος (M3)	8.62E6
Όγκος άμεσης απορροής (M3)	8.62E6
Όγκος βασικής απορροής (M3)	1.03E6

Βροχόπτωση και Απορροή



Υπολεκάνη: EL0421FR001022

Έκταση (KM2) : 24.36

Κατάντη : J16

Μέθοδος Απωλειών: SCS

Ποσοστό αδιαπέρατης επιφάνειας	0
Αριθμός Καμπύλης Απορροής-CN	60.03
Αρχικές Απώλειες	33.82

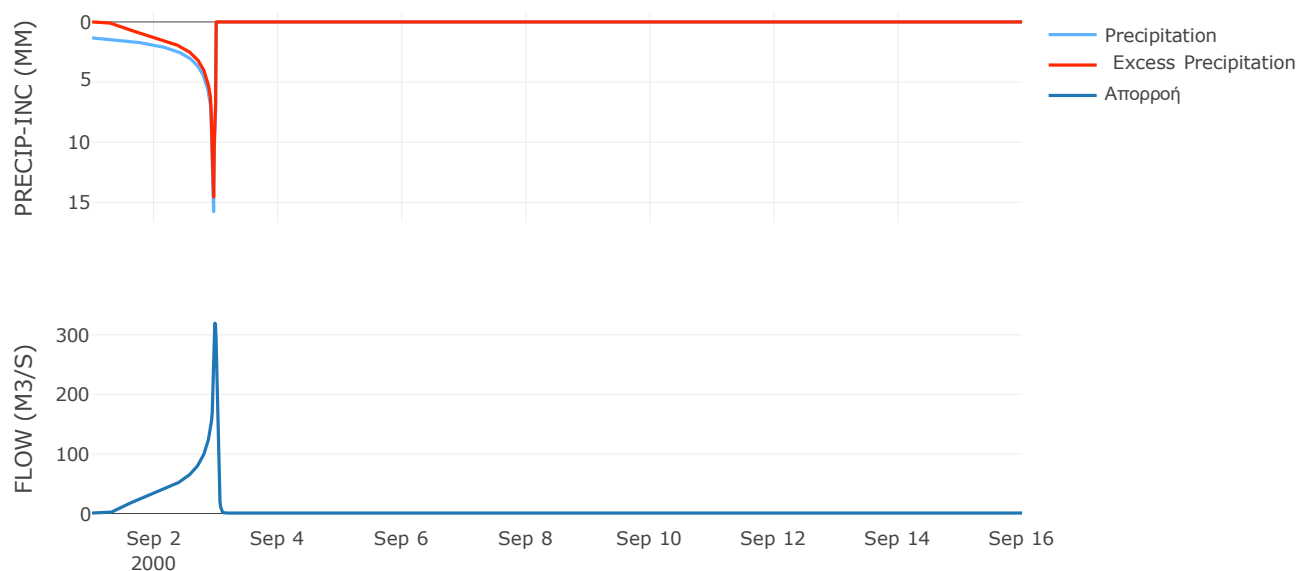
Μέθοδος
Μετασχηματισμού: SCS

Χρόνος Υστέρησης	35.09
------------------	-------

Αποτελέσματα:
EL0421FR001022

Παροχή αιχμής (M3/S)	319.46
Χρονική στιγμή αιχμής	02Sep2000, 23:30
Όγκος (MM)	389.27
Όγκος βροχόπτωσης (M3)	1.24E7
Όγκος απωλειών (M3)	3.86E6
Ενεργός Όγκος (M3)	8.5E6
Όγκος άμεσης απορροής (M3)	8.5E6
Όγκος βασικής απορροής (M3)	9.79E5

Βροχόπτωση και Απορροή



Υπολεκάνη: EL0421FR001023

Έκταση (KM2) : 13.31

Κατάντη : J14

Μέθοδος Απωλειών: SCS

Ποσοστό αδιαπέρατης επιφάνειας	0
Αριθμός Καμπύλης Απορροής-CN	55.44
Αρχικές Απώλειες	40.82

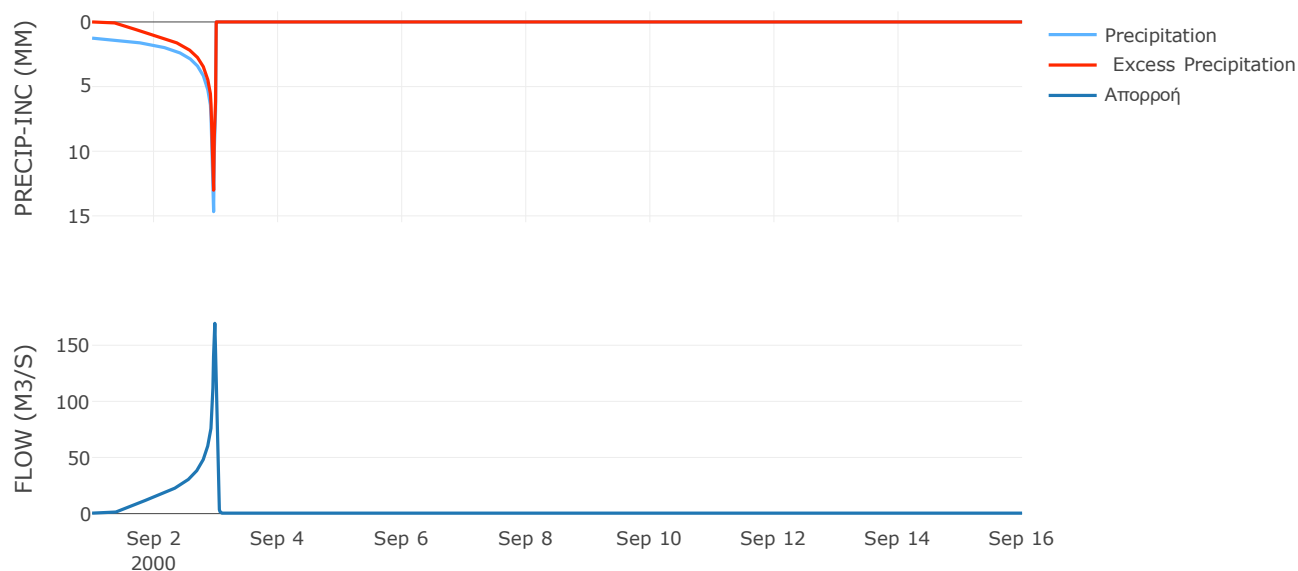
Μέθοδος
Μετασχηματισμού: SCS

Χρόνος Υστέρησης	21.38
------------------	-------

Αποτελέσματα:
EL0421FR001023

Παροχή αιχμής (M3/S)	169.49
Χρονική στιγμή αιχμής	02Sep2000, 23:30
Όγκος (MM)	336.26
Όγκος βροχόπτωσης (M3)	6.33E6
Όγκος απωλειών (M3)	2.39E6
Ενεργός Όγκος (M3)	3.94E6
Όγκος άμεσης απορροής (M3)	3.94E6
Όγκος βασικής απορροής (M3)	5.35E5

Βροχόπτωση και Απορροή



Υπολεκάνη: EL0421FR001024

Έκταση (KM2) : 30.28

Κατάντη : J18

Μέθοδος Απωλειών: SCS

Ποσοστό αδιαπέρατης επιφάνειας	0
Αριθμός Καμπύλης Απορροής-CN	60.7
Αρχικές Απώλειες	32.89

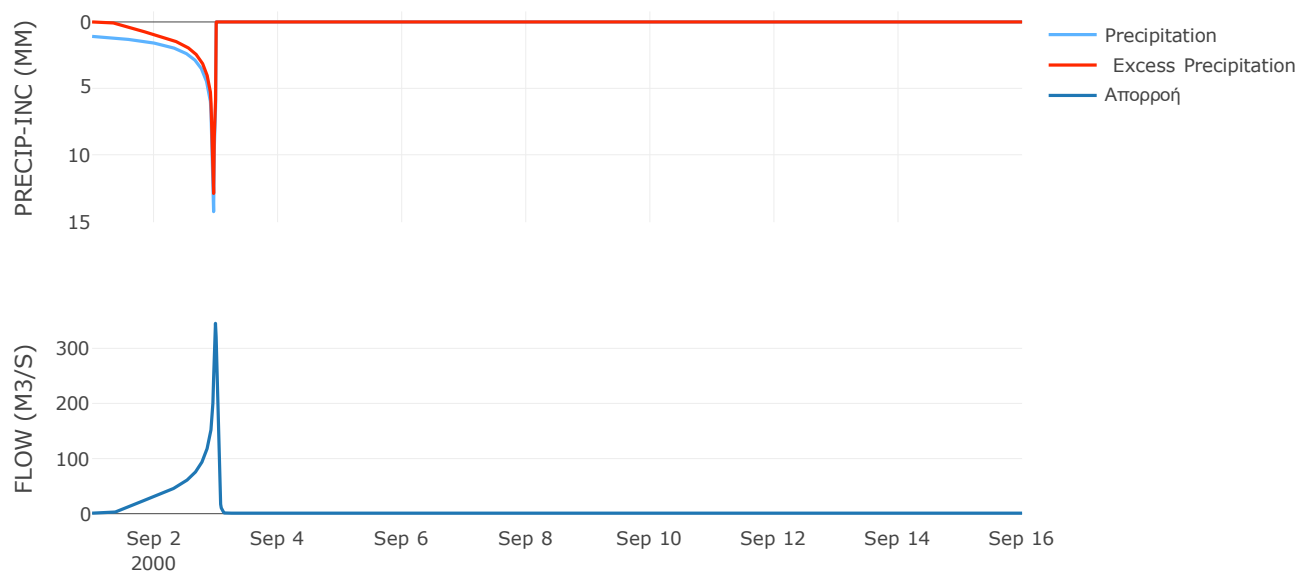
Μέθοδος
Μετασχηματισμού: SCS

Χρόνος Υστέρησης	38.82
------------------	-------

Αποτελέσματα:
EL0421FR001024

Παροχή αιχμής (M3/S)	345.34
Χρονική στιγμή αιχμής	02Sep2000, 23:45
Όγκος (MM)	321.1
Όγκος βροχόπτωσης (M3)	1.3E7
Όγκος απωλειών (M3)	4.52E6
Ενεργός Όγκος (M3)	8.51E6
Όγκος άμεσης απορροής (M3)	8.51E6
Όγκος βασικής απορροής (M3)	1.22E6

Βροχόπτωση και Απορροή



Υπολεκάνη: EL0421FR001025

Έκταση (KM2) : 69.37

Κατάντη : J19

Μέθοδος Απωλειών: SCS

Ποσοστό αδιαπέρατης επιφάνειας	0
Αριθμός Καμπύλης Απορροής-CN	52.49
Αρχικές Απώλειες	45.98

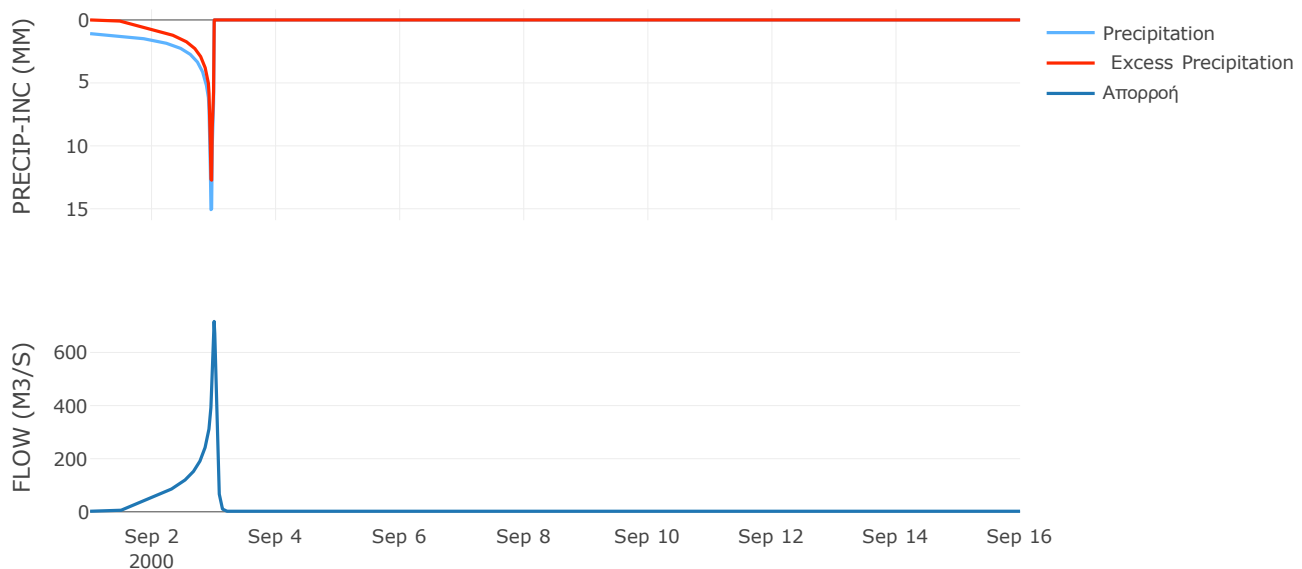
Μέθοδος
Μετασχηματισμού: SCS

Χρόνος Υστέρησης	53.06
------------------	-------

Αποτελέσματα:
EL0421FR001025

Παροχή αιχμής (M3/S)	716.86
Χρονική στιγμή αιχμής	02Sep2000, 24:00
Όγκος (MM)	286.99
Όγκος βροχόπτωσης (M3)	3.04E7
Όγκος απωλειών (M3)	1.32E7
Ενεργός Όγκος (M3)	1.71E7
Όγκος άμεσης απορροής (M3)	1.71E7
Όγκος βασικής απορροής (M3)	2.79E6

Βροχόπτωση και Απορροή



Υπολεκάνη: EL0421FR001026

Έκταση (KM2) : 14.94

Κατάντη : J9

Μέθοδος Απωλειών: SCS

Ποσοστό αδιαπέρατης επιφάνειας	0
Αριθμός Καμπύλης Απορροής-CN	55.98
Αρχικές Απώλειες	39.95

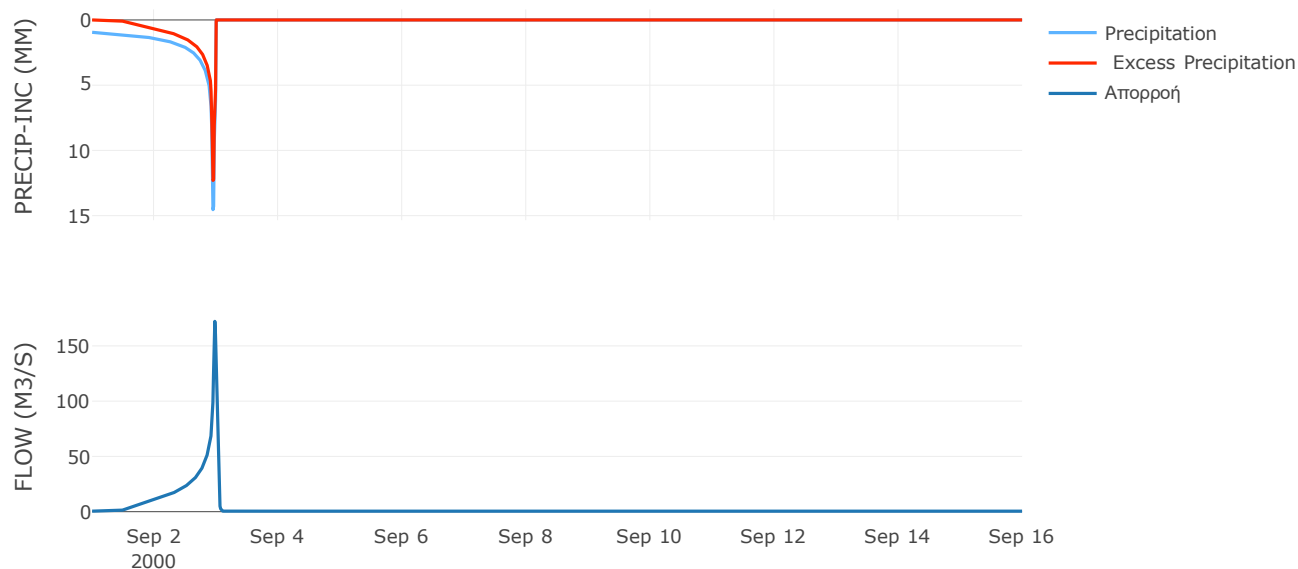
Μέθοδος
Μετασχηματισμού: SCS

Χρόνος Υστέρησης	28.81
------------------	-------

Αποτελέσματα:
EL0421FR001026

Παροχή αιχμής (M3/S)	172.2
Χρονική στιγμή αιχμής	02Sep2000, 23:30
Όγκος (MM)	266.17
Όγκος βροχόπτωσης (M3)	5.88E6
Όγκος απωλειών (M3)	2.5E6
Ενεργός Όγκος (M3)	3.38E6
Όγκος άμεσης απορροής (M3)	3.38E6
Όγκος βασικής απορροής (M3)	6E5

Βροχόπτωση και Απορροή



Υπολεκάνη: EL0421FR001027

Έκταση (KM2) : 17.74

Κατάντη : J22

Μέθοδος Απωλειών: SCS

Ποσοστό αδιαπέρατης επιφάνειας	0
Αριθμός Καμπύλης Απορροής-CN	64.57
Αρχικές Απώλειες	27.88

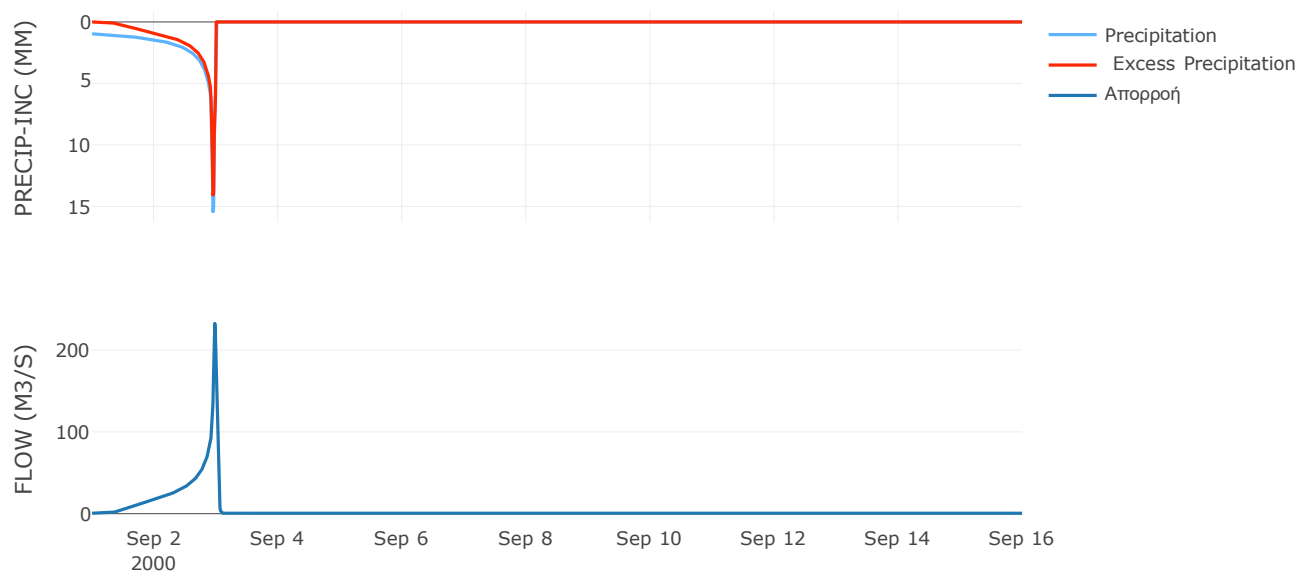
Μέθοδος
Μετασχηματισμού: SCS

Χρόνος Υστέρησης	28.68
------------------	-------

Αποτελέσματα:
EL0421FR001027

Παροχή αιχμής (M3/S)	232.57
Χρονική στιγμή αιχμής	02Sep2000, 23:30
Όγκος (MM)	316.54
Όγκος βροχόπτωσης (M3)	7.21E6
Όγκος απωλειών (M3)	2.3E6
Ενεργός Όγκος (M3)	4.9E6
Όγκος άμεσης απορροής (M3)	4.9E6
Όγκος βασικής απορροής (M3)	7.13E5

Βροχόπτωση και Απορροή



Υπολεκάνη: EL0421FR001028

Έκταση (KM2) : 35.53

Κατάντη : J22

Μέθοδος Απωλειών: SCS

Ποσοστό αδιαπέρατης επιφάνειας	0
Αριθμός Καμπύλης Απορροής-CN	63.53
Αρχικές Απώλειες	29.17

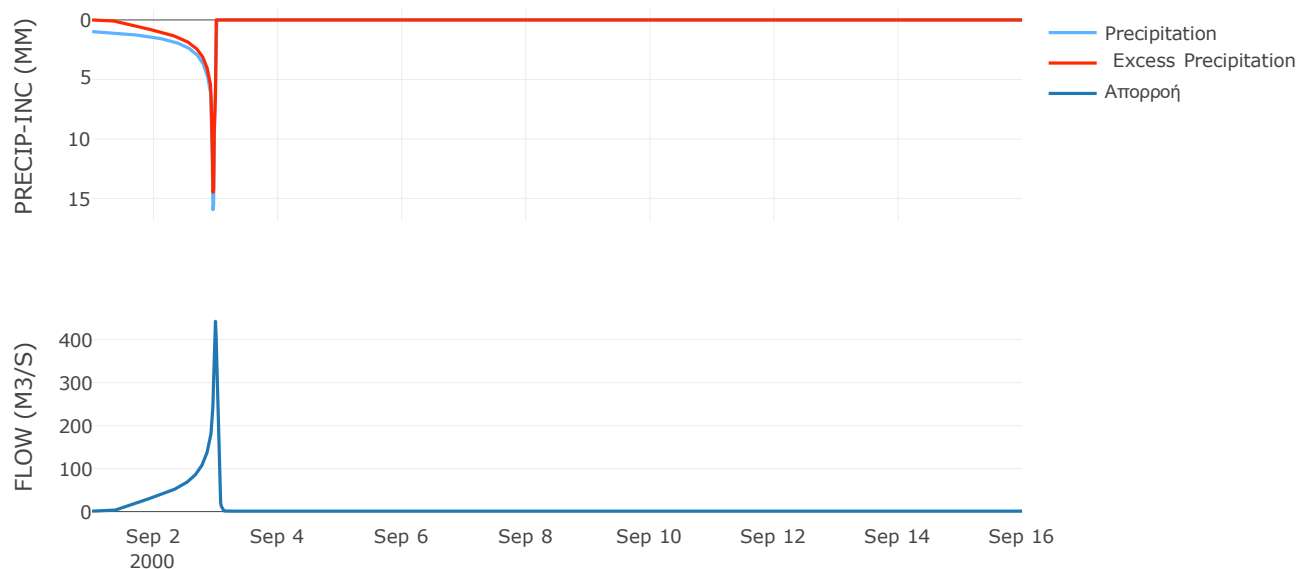
Μέθοδος
Μετασχηματισμού: SCS

Χρόνος Υστέρησης	38.57
------------------	-------

Αποτελέσματα:
EL0421FR001028

Παροχή αιχμής (M3/S)	442.57
Χρονική στιγμή αιχμής	02Sep2000, 23:45
Όγκος (MM)	319.64
Όγκος βροχόπτωσης (M3)	1.47E7
Όγκος απωλειών (M3)	4.8E6
Ενεργός Όγκος (M3)	9.93E6
Όγκος άμεσης απορροής (M3)	9.93E6
Όγκος βασικής απορροής (M3)	1.43E6

Βροχόπτωση και Απορροή



Υπολεκάνη: EL0421FR001029

Έκταση (KM2) : 42.48

Κατάντη : J6

Μέθοδος Απωλειών: SCS

Ποσοστό αδιαπέρατης επιφάνειας	0
Αριθμός Καμπύλης Απορροής-CN	43.62
Αρχικές Απώλειες	65.66

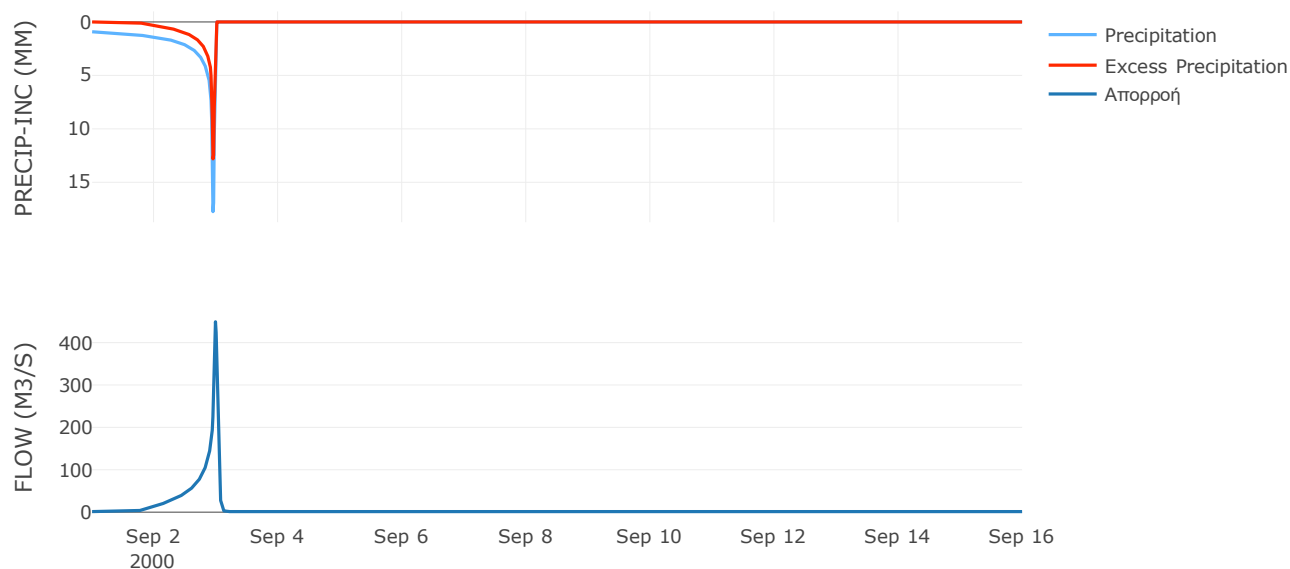
Μέθοδος
Μετασχηματισμού: SCS

Χρόνος Υστέρησης	41.7
------------------	------

Αποτελέσματα:
EL0421FR001029

Παροχή αιχμής (M3/S)	449.1
Χρονική στιγμή αιχμής	02Sep2000, 23:45
Όγκος (MM)	217.38
Όγκος βροχόπτωσης (M3)	1.75E7
Όγκος απωλειών (M3)	9.94E6
Ενεργός Όγκος (M3)	7.53E6
Όγκος άμεσης απορροής (M3)	7.53E6
Όγκος βασικής απορροής (M3)	1.71E6

Βροχόπτωση και Απορροή



Υπολεκάνη: EL0421FR001030

Έκταση (KM2) : 20.53

Κατάντη : J5

Μέθοδος Απωλειών: SCS

Ποσοστό αδιαπέρατης επιφάνειας	0
Αριθμός Καμπύλης Απορροής-CN	36.3
Αρχικές Απώλειες	89.14

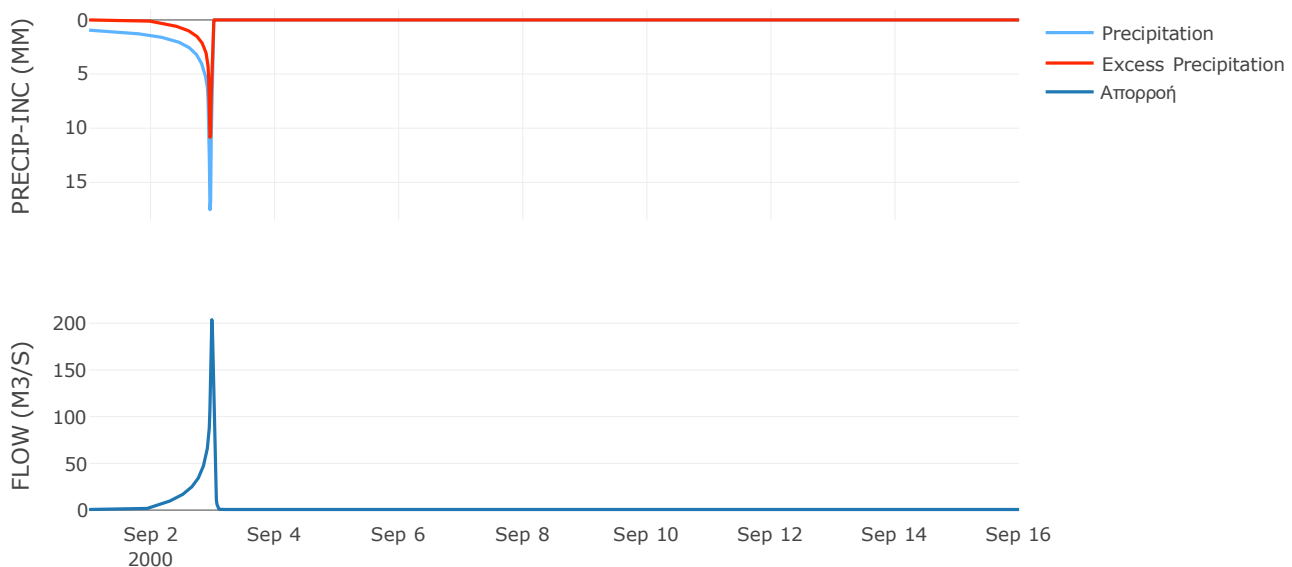
Μέθοδος
Μετασχηματισμού: SCS

Χρόνος Υστέρησης	28.83
------------------	-------

Αποτελέσματα:
EL0421FR001030

Παροχή αιχμής (M3/S)	203.82
Χρονική στιγμή αιχμής	02Sep2000, 23:30
Όγκος (MM)	178.82
Όγκος βροχόπτωσης (M3)	8.55E6
Όγκος απωλειών (M3)	5.7E6
Ενεργός Όγκος (M3)	2.85E6
Όγκος άμεσης απορροής (M3)	2.85E6
Όγκος βασικής απορροής (M3)	8.25E5

Βροχόπτωση και Απορροή



Υπολεκάνη: EL0421FR001031

Έκταση (KM2) : 24.21

Κατάντη : J4

Μέθοδος Απωλειών: SCS

Ποσοστό αδιαπέρατης επιφάνειας	0
Αριθμός Καμπύλης Απορροής-CN	32.67
Αρχικές Απώλειες	104.69

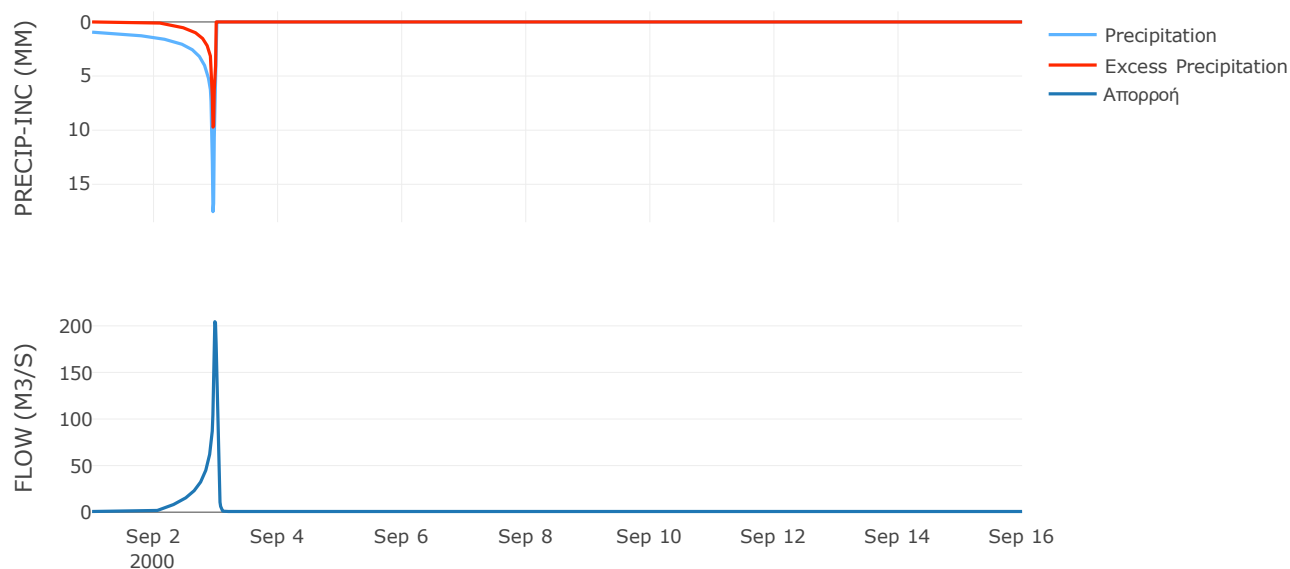
Μέθοδος
Μετασχηματισμού: SCS

Χρόνος Υστέρησης	33.77
------------------	-------

Αποτελέσματα:
EL0421FR001031

Παροχή αιχμής (M3/S)	204.5
Χρονική στιγμή αιχμής	02Sep2000, 23:30
Όγκος (MM)	156.6
Όγκος βροχόπτωσης (M3)	1.01E7
Όγκος απωλειών (M3)	7.26E6
Ενεργός Όγκος (M3)	2.82E6
Όγκος άμεσης απορροής (M3)	2.82E6
Όγκος βασικής απορροής (M3)	9.72E5

Βροχόπτωση και Απορροή



Υπολεκάνη: EL0421FR001032

Έκταση (KM2) : 56.61

Κατάντη : J12

Μέθοδος Απωλειών: SCS

Ποσοστό αδιαπέρατης επιφάνειας	0.06
Αριθμός Καμπύλης Απορροής-CN	36.71
Αρχικές Απώλειες	87.57

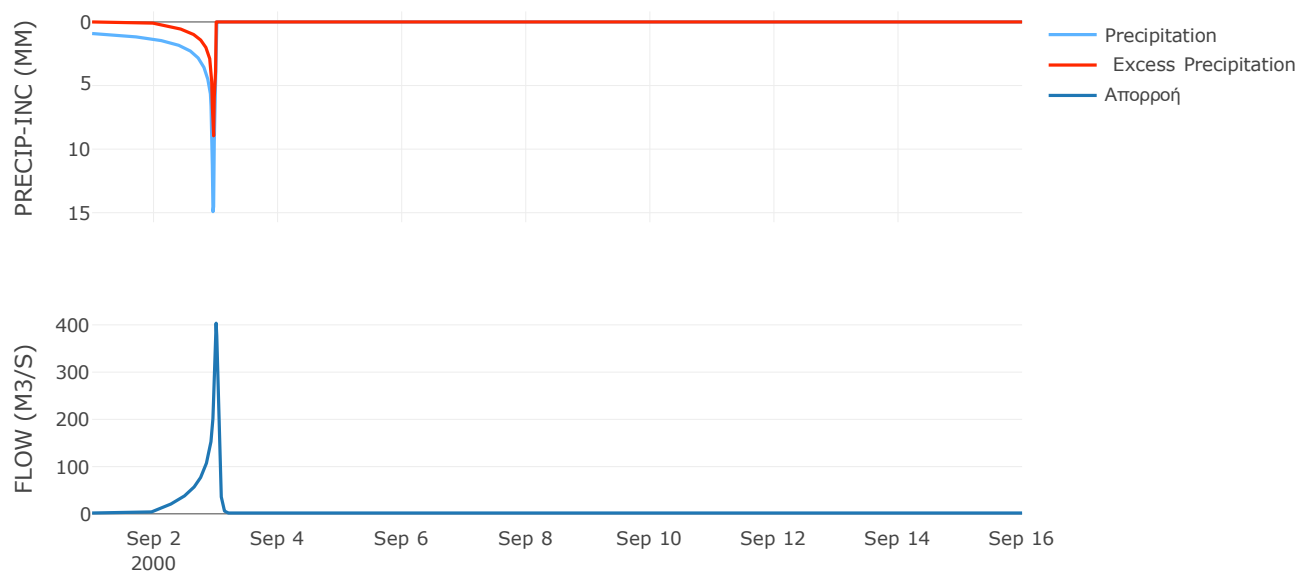
Μέθοδος
Μετασχηματισμού: SCS

Χρόνος Υστέρησης	52.03
------------------	-------

Αποτελέσματα:
EL0421FR001032

Παροχή αιχμής (M3/S)	403.58
Χρονική στιγμή αιχμής	02Sep2000, 24:00
Όγκος (MM)	161.51
Όγκος βροχόπτωσης (M3)	2.19E7
Όγκος απωλειών (M3)	1.5E7
Ενεργός Όγκος (M3)	6.87E6
Όγκος άμεσης απορροής (M3)	6.87E6
Όγκος βασικής απορροής (M3)	2.27E6

Βροχόπτωση και Απορροή



Υπολεκάνη: EL0421FR001033

Έκταση (KM2) : 28.55

Κατάντη : J21

Μέθοδος Απωλειών: SCS

Ποσοστό αδιαπέρατης επιφάνειας	0
Αριθμός Καμπύλης Απορροής-CN	46.61
Αρχικές Απώλειες	58.19

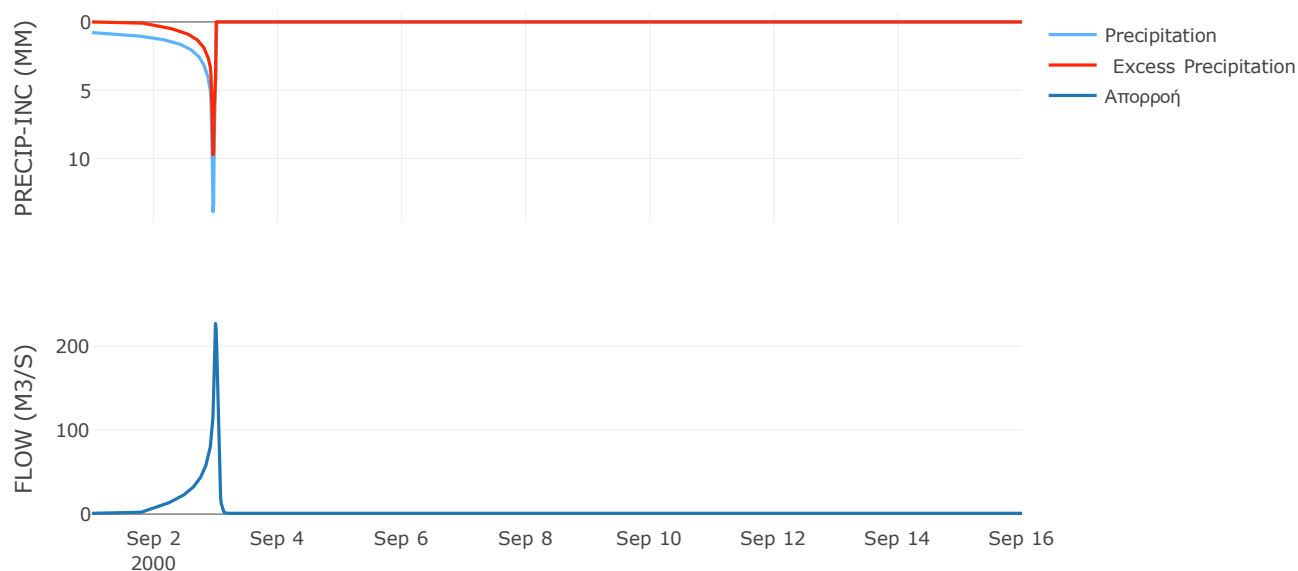
Μέθοδος
Μετασχηματισμού: SCS

Χρόνος Υστέρησης	45.52
------------------	-------

Αποτελέσματα:
EL0421FR001033

Παροχή αιχμής (M3/S)	226.98
Χρονική στιγμή αιχμής	02Sep2000, 23:45
Όγκος (MM)	178.58
Όγκος βροχόπτωσης (M3)	9.7E6
Όγκος απωλειών (M3)	5.75E6
Ενεργός Όγκος (M3)	3.95E6
Όγκος άμεσης απορροής (M3)	3.95E6
Όγκος βασικής απορροής (M3)	1.15E6

Βροχόπτωση και Απορροή



Υπολεκάνη: EL0421FR001034

Έκταση (KM2) : 57.33

Κατάντη : J21

Μέθοδος Απωλειών: SCS

Ποσοστό αδιαπέρατης επιφάνειας	0
Αριθμός Καμπύλης Απορροής-CN	42.39
Αρχικές Απώλειες	69.03

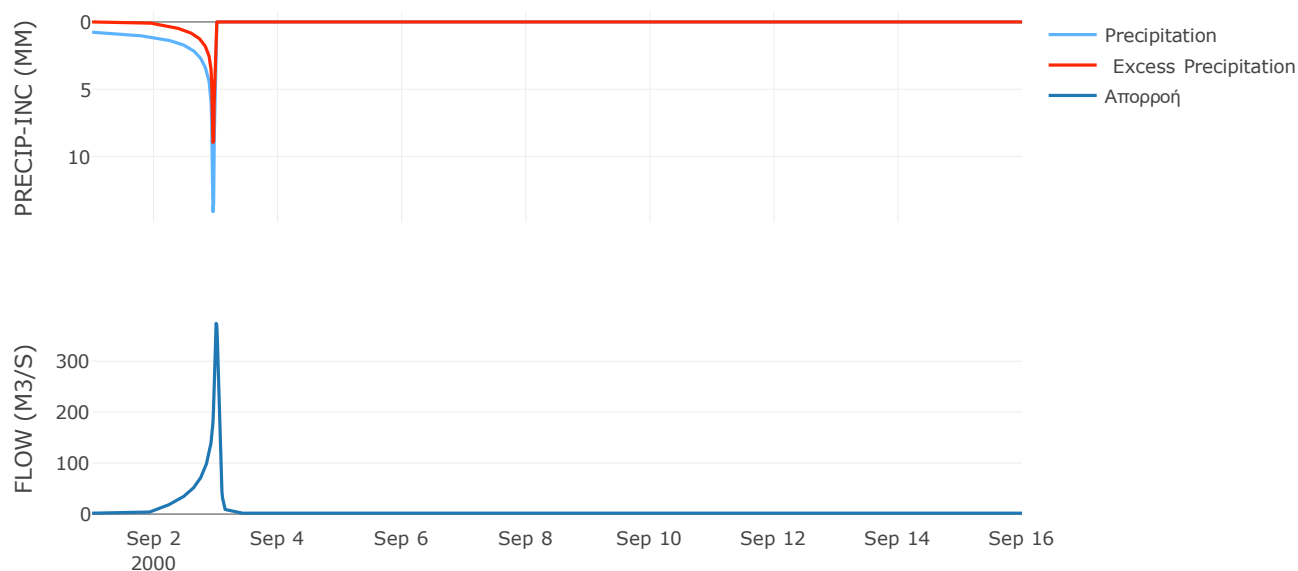
Μέθοδος
Μετασχηματισμού: SCS

Χρόνος Υστέρησης	63.35
------------------	-------

Αποτελέσματα:
EL0421FR001034

Παροχή αιχμής (M3/S)	374.22
Χρονική στιγμή αιχμής	02Sep2000, 24:00
Όγκος (MM)	157.03
Όγκος βροχόπτωσης (M3)	1.93E7
Όγκος απωλειών (M3)	1.26E7
Ενεργός Όγκος (M3)	6.7E6
Όγκος άμεσης απορροής (M3)	6.7E6
Όγκος βασικής απορροής (M3)	2.3E6

Βροχόπτωση και Απορροή



Υπολεκάνη: EL0421FR001035

Έκταση (KM2) : 27.47

Κατάντη : J9

Μέθοδος Απωλειών: SCS

Ποσοστό αδιαπέρατης επιφάνειας	0
Αριθμός Καμπύλης Απορροής-CN	63.43
Αρχικές Απώλειες	29.29

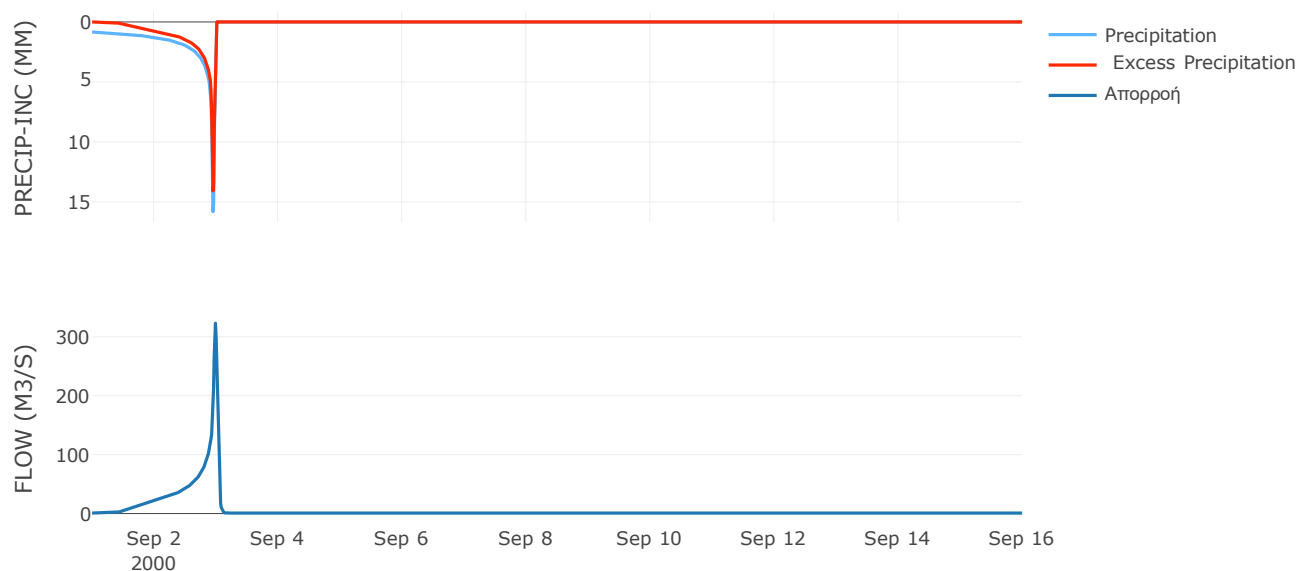
Μέθοδος
Μετασχηματισμού: SCS

Χρόνος Υστέρησης	39.86
------------------	-------

Αποτελέσματα:
EL0421FR001035

Παροχή αιχμής (M3/S)	322.97
Χρονική στιγμή αιχμής	02Sep2000, 23:45
Όγκος (MM)	280.57
Όγκος βροχόπτωσης (M3)	1.02E7
Όγκος απωλειών (M3)	3.62E6
Ενεργός Όγκος (M3)	6.6E6
Όγκος άμεσης απορροής (M3)	6.6E6
Όγκος βασικής απορροής (M3)	1.1E6

Βροχόπτωση και Απορροή



Υπολεκάνη: EL0421FR001036

Έκταση (KM2) : 22.53

Κατάντη : J23

Μέθοδος Απωλειών: SCS

Ποσοστό αδιαπέρατης επιφάνειας	0
Αριθμός Καμπύλης Απορροής-CN	48.63
Αρχικές Απώλειες	53.67

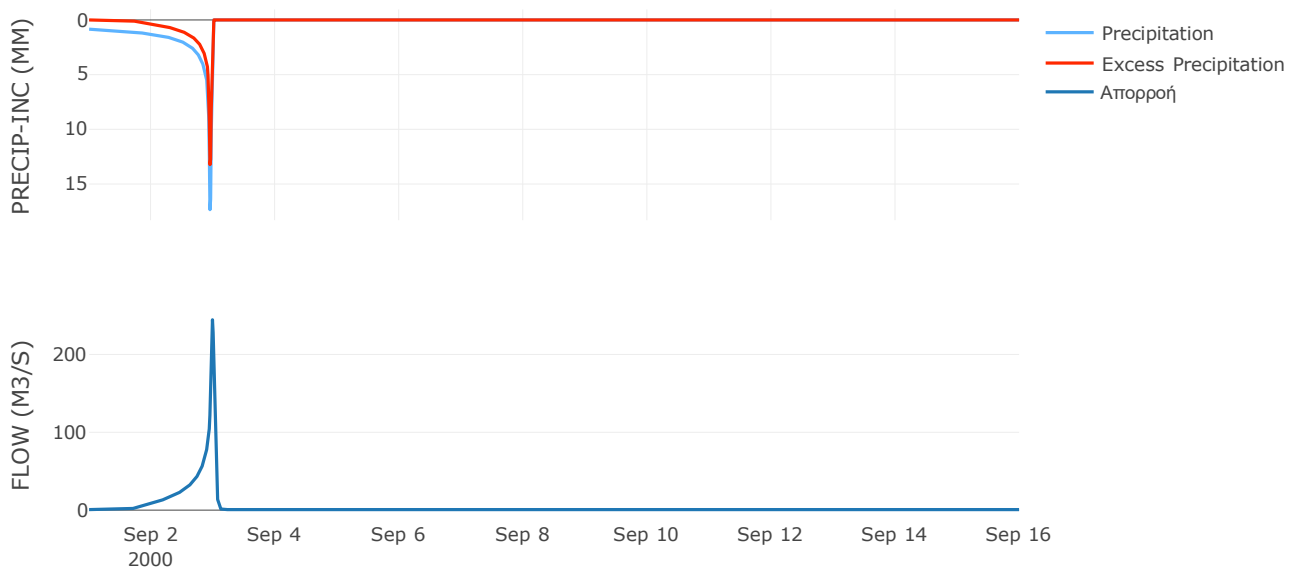
Μέθοδος
Μετασχηματισμού: SCS

Χρόνος Υστέρησης	40.72
------------------	-------

Αποτελέσματα:
EL0421FR001036

Παροχή αιχμής (M3/S)	244.53
Χρονική στιγμή αιχμής	02Sep2000, 23:45
Όγκος (MM)	223.65
Όγκος βροχόπτωσης (M3)	8.68E6
Όγκος απωλειών (M3)	4.55E6
Ενεργός Όγκος (M3)	4.13E6
Όγκος άμεσης απορροής (M3)	4.13E6
Όγκος βασικής απορροής (M3)	9.05E5

Βροχόπτωση και Απορροή



Υπολεκάνη: EL0421FR001037

Έκταση (KM2) : 26.53

Κατάντη : J2

Μέθοδος Απωλειών: SCS

Ποσοστό αδιαπέρατης επιφάνειας	0
Αριθμός Καμπύλης Απορροής-CN	40.75
Αρχικές Απώλειες	73.86

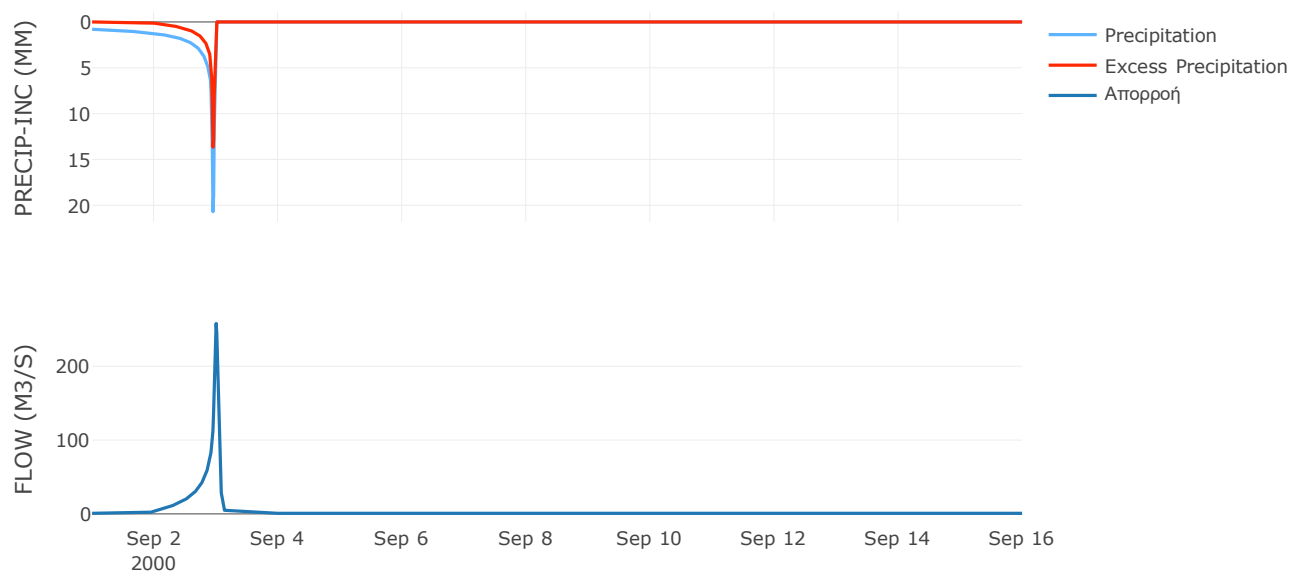
Μέθοδος
Μετασχηματισμού: SCS

Χρόνος Υστέρησης	56.65
------------------	-------

Αποτελέσματα:
EL0421FR001037

Παροχή αιχμής (M3/S)	257.93
Χρονική στιγμή αιχμής	02Sep2000, 24:00
Όγκος (MM)	189.05
Όγκος βροχόπτωσης (M3)	1.05E7
Όγκος απωλειών (M3)	6.51E6
Ενεργός Όγκος (M3)	3.95E6
Όγκος άμεσης απορροής (M3)	3.95E6
Όγκος βασικής απορροής (M3)	1.07E6

Βροχόπτωση και Απορροή



Υπολεκάνη: EL0421FR001038

Έκταση (KM2) : 16.84
Κατάντη : J18

Μέθοδος Απωλειών: SCS

Ποσοστό αδιαπέρατης επιφάνειας	0
Αριθμός Καμπύλης Απορροής-CN	62.75
Αρχικές Απώλειες	30.15

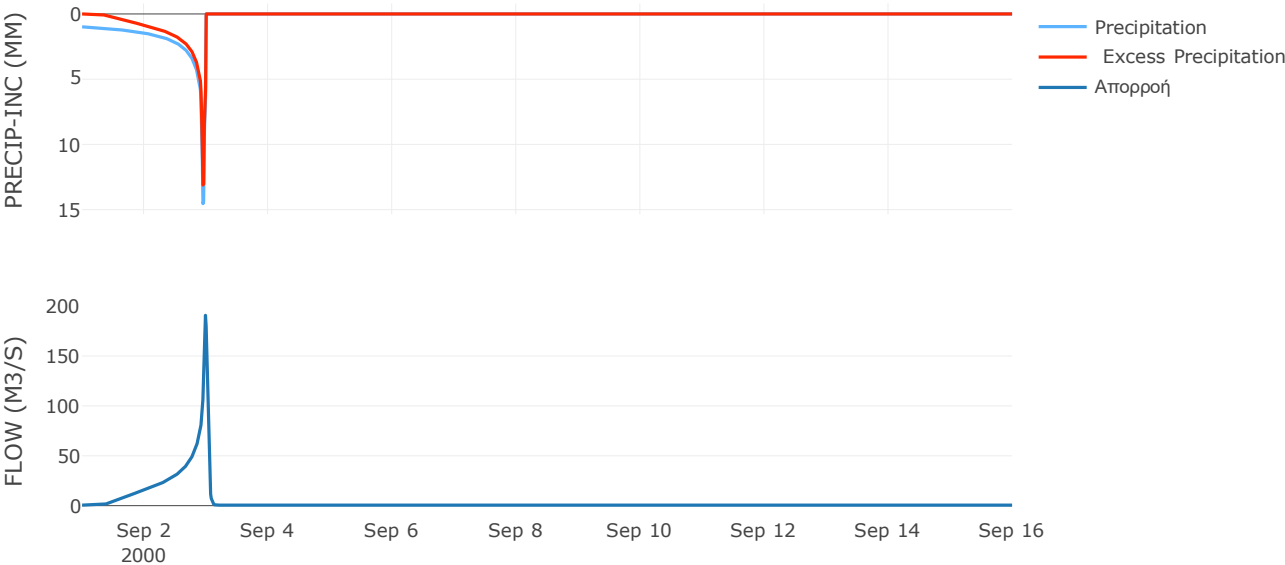
Μέθοδος
Μετασχηματισμού: SCS

Χρόνος Υστέρησης	41.36
------------------	-------

Αποτελέσματα:
EL0421FR001038

Παροχή αιχμής (M3/S)	190.79
Χρονική στιγμή αιχμής	02Sep2000, 23:45
Όγκος (MM)	307.43
Όγκος βροχόπτωσης (M3)	6.82E6
Όγκος απωλειών (M3)	2.32E6
Ενεργός Όγκος (M3)	4.5E6
Όγκος άμεσης απορροής (M3)	4.5E6
Όγκος βασικής απορροής (M3)	6.77E5

Βροχόπτωση και Απορροή



Υπολεκάνη: EL0421FR001039

Έκταση (KM2) : 11.68

Κατάντη : J8

Μέθοδος Απωλειών: SCS

Ποσοστό αδιαπέρατης επιφάνειας	0
Αριθμός Καμπύλης Απορροής-CN	62.62
Αρχικές Απώλειες	30.33

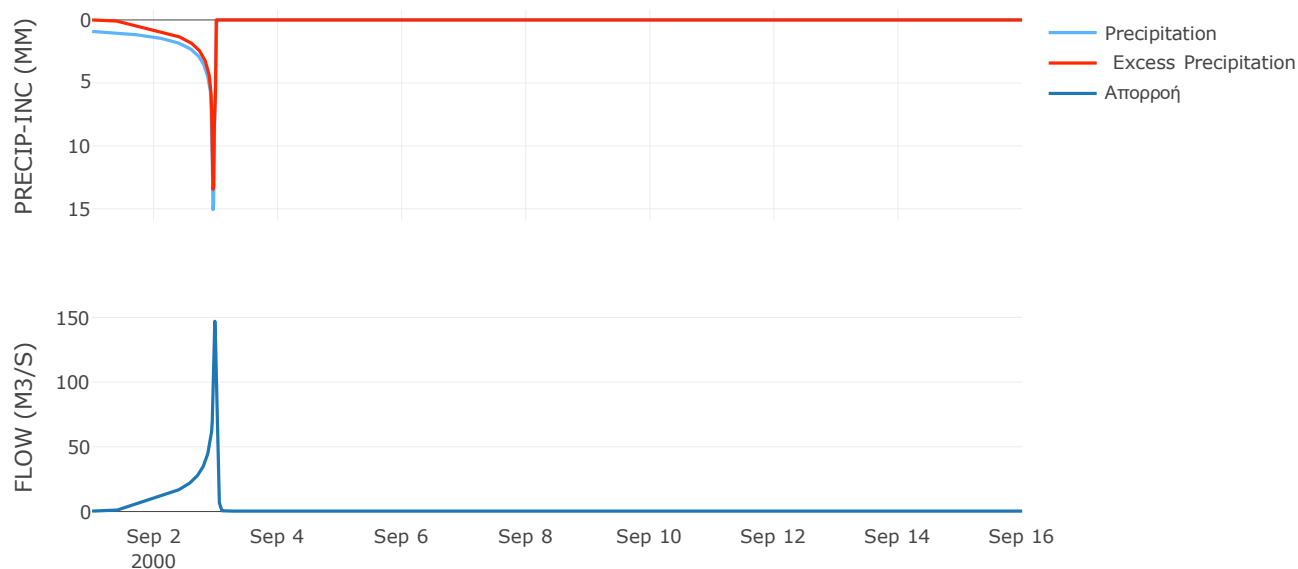
Μέθοδος
Μετασχηματισμού: SCS

Χρόνος Υστέρησης	27.35
------------------	-------

Αποτελέσματα:
EL0421FR001039

Παροχή αιχμής (M3/S)	147.02
Χρονική στιγμή αιχμής	02Sep2000, 23:30
Όγκος (MM)	290.6
Όγκος βροχόπτωσης (M3)	4.52E6
Όγκος απωλειών (M3)	1.6E6
Ενεργός Όγκος (M3)	2.92E6
Όγκος άμεσης απορροής (M3)	2.92E6
Όγκος βασικής απορροής (M3)	4.69E5

Βροχόπτωση και Απορροή



Υπολεκάνη: EL0421FR001040

Έκταση (KM2) : 8.83

Κατάντη : J7

Μέθοδος Απωλειών: SCS

Ποσοστό αδιαπέρατης επιφάνειας	0
Αριθμός Καμπύλης Απορροής-CN	64.13
Αρχικές Απώλειες	28.41

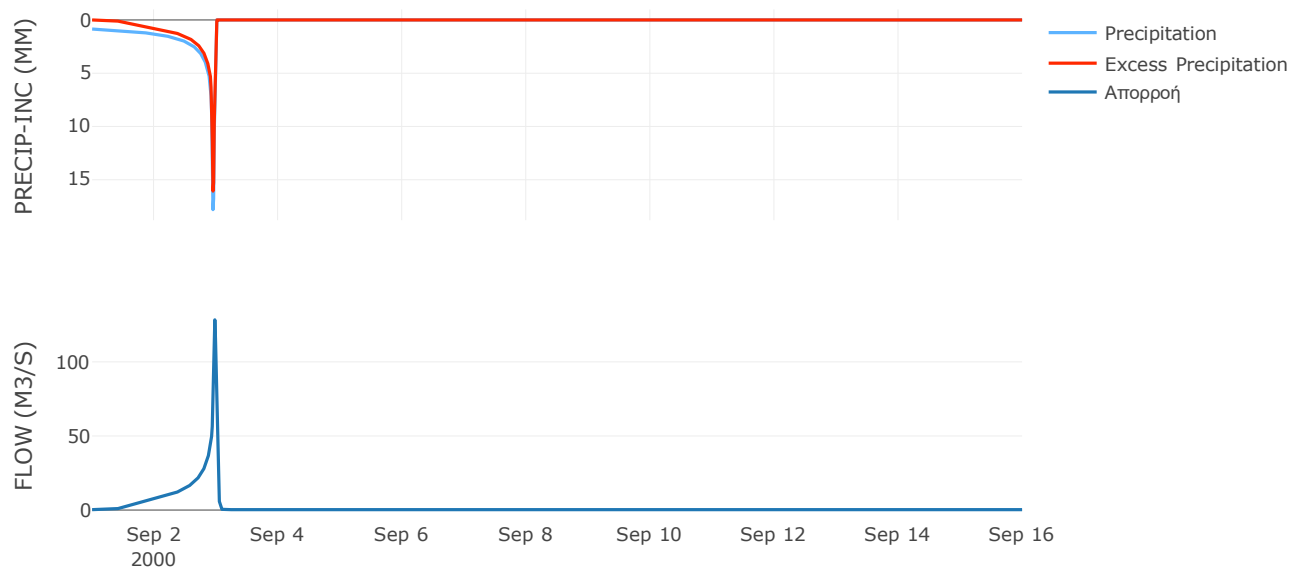
Μέθοδος
Μετασχηματισμού: SCS

Χρόνος Υστέρησης	27.74
------------------	-------

Αποτελέσματα:
EL0421FR001040

Παροχή αιχμής (M3/S)	128.37
Χρονική στιγμή αιχμής	02Sep2000, 23:30
Όγκος (MM)	301.17
Όγκος βροχόπτωσης (M3)	3.46E6
Όγκος απωλειών (M3)	1.15E6
Ενεργός Όγκος (M3)	2.3E6
Όγκος άμεσης απορροής (M3)	2.3E6
Όγκος βασικής απορροής (M3)	3.55E5

Βροχόπτωση και Απορροή



Υπολεκάνη: EL0421FR001041

Έκταση (KM2) : 11.46

Κατάνη : J11

Μέθοδος Απωλειών: SCS

Ποσοστό αδιαπέρατης επιφάνειας	0.2
Αριθμός Καμπύλης Απορροής-CN	62.87
Αρχικές Απώλειες	30

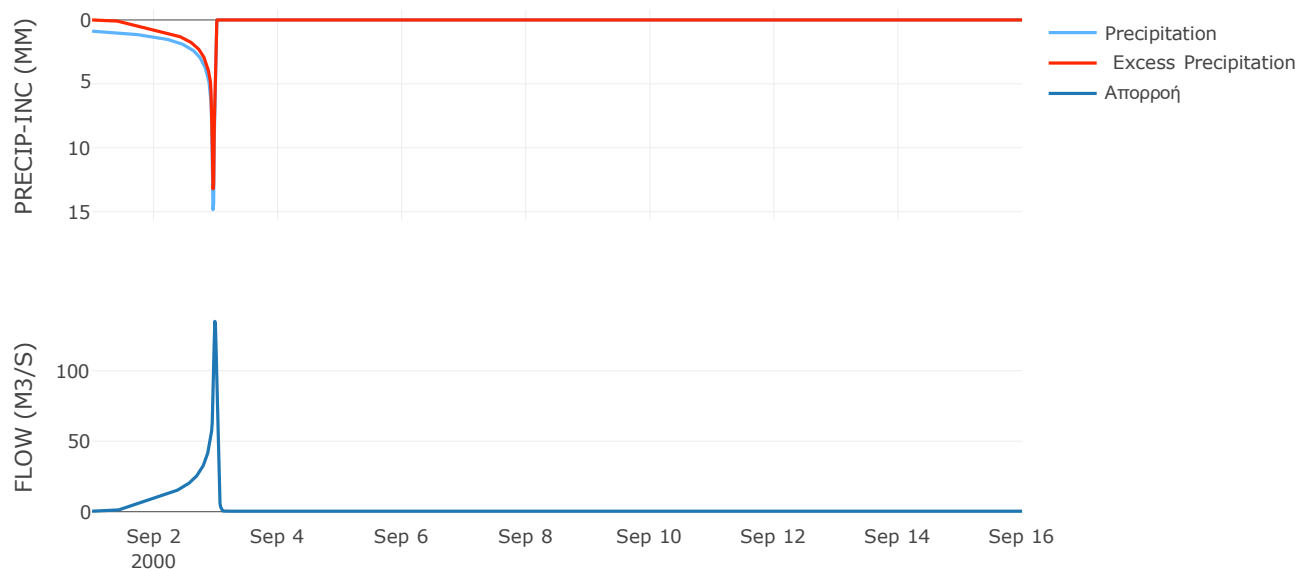
Μέθοδος
Μετασχηματισμού: SCS

Χρόνος Υστέρησης	32.75
------------------	-------

Αποτελέσματα:
EL0421FR001041

Παροχή αιχμής (M3/S)	134.95
Χρονική στιγμή αιχμής	02Sep2000, 23:30
Όγκος (MM)	281.73
Όγκος βροχόπτωσης (M3)	4.31E6
Όγκος απωλειών (M3)	1.54E6
Ενεργός Όγκος (M3)	2.77E6
Όγκος άμεσης απορροής (M3)	2.77E6
Όγκος βασικής απορροής (M3)	4.61E5

Βροχόπτωση και Απορροή



9.2 Δεδομένα και Υδρογραφήματα Σχεδιασμού Κλάδων Υδρογραφικού Δικτύου

Κλάδος: R21

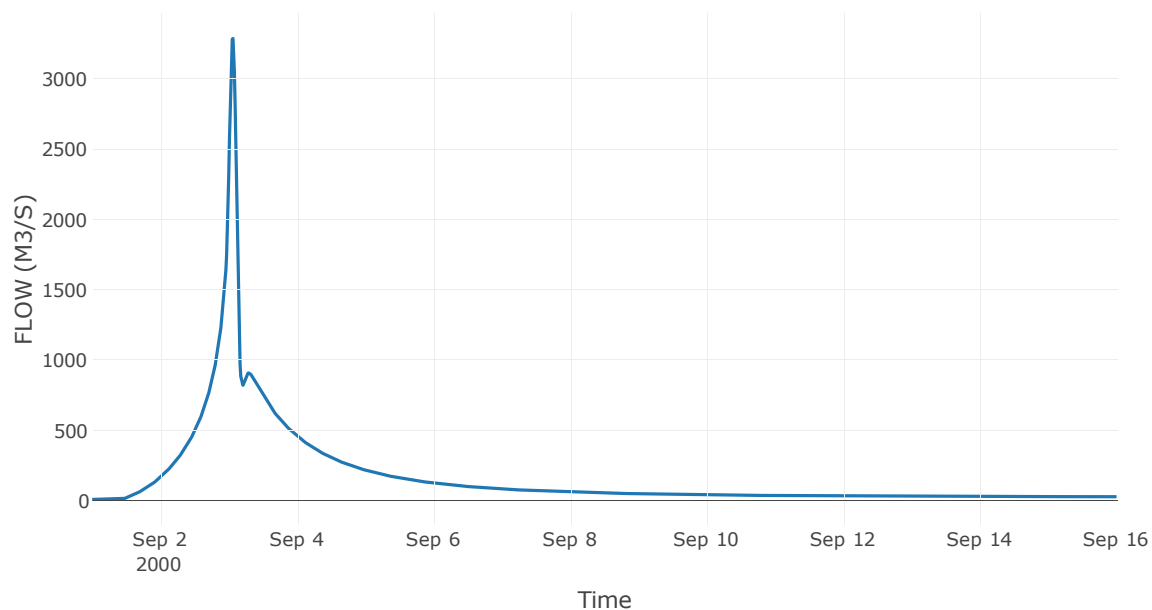
Κατάντη : J1

Μέθοδος διόδευσης	Muskingum
Αρχική Μεταβλητή	Combined Inflow
Χρόνος ροής K	0.61
Συντελεστής βάρους x	0.2
Πλήθος Υποκλάδων	3

Αποτελέσματα: R21

Παροχή Αιχμής(M3/S)	3286.04
Χρονική στιγμή αιχμής	03Sep2000, 01:30
Όγκος (MM)	245.17
Παροχή Αιχμής Εισόδου (M3/S)	3340.69
Όγκος Εισόδου(M3)	2.3E8

Απορροή



Κλάδος: R32

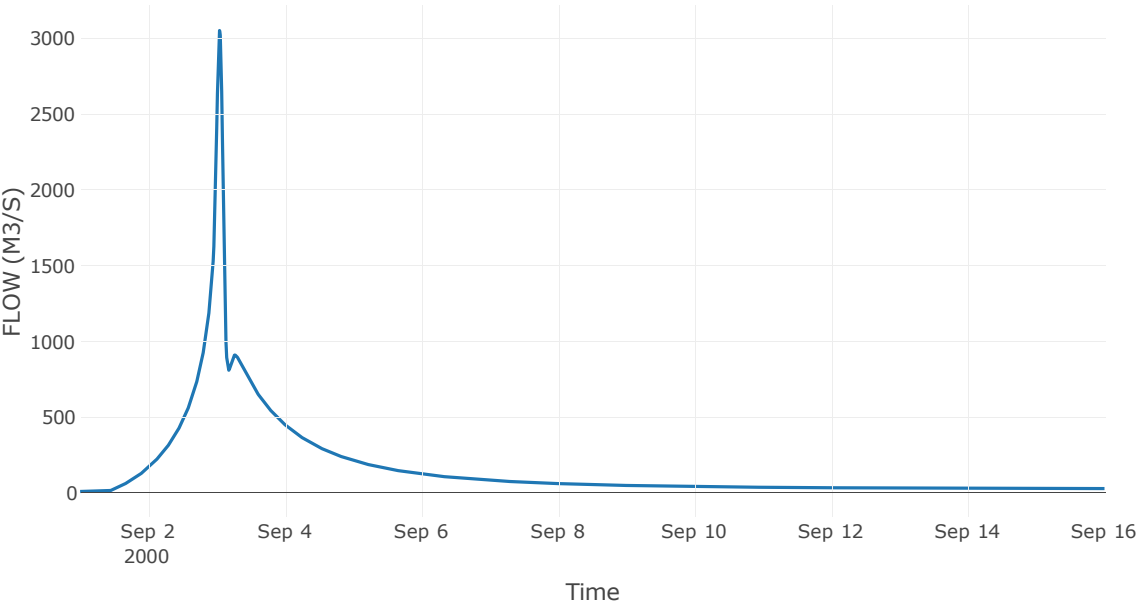
Κατάντη : J2

Μέθοδος διόδευσης	Muskingum
Αρχική Μεταβλητή	Combined Inflow
Χρόνος ροής K	0.17
Συντελεστής βάρους x	0.2
Πλήθος Υποκλάδων	1

Αποτελέσματα: R32

Παροχή Αιχμής(M3/S)	3051.07
Χρονική στιγμή αιχμής	03Sep2000, 01:00
Όγκος (MM)	248.2
Παροχή Αιχμής Εισόδου (M3/S)	3056.23
Όγκος Εισόδου(M3)	2.18E8

Απορροή



Κλάδος: R43

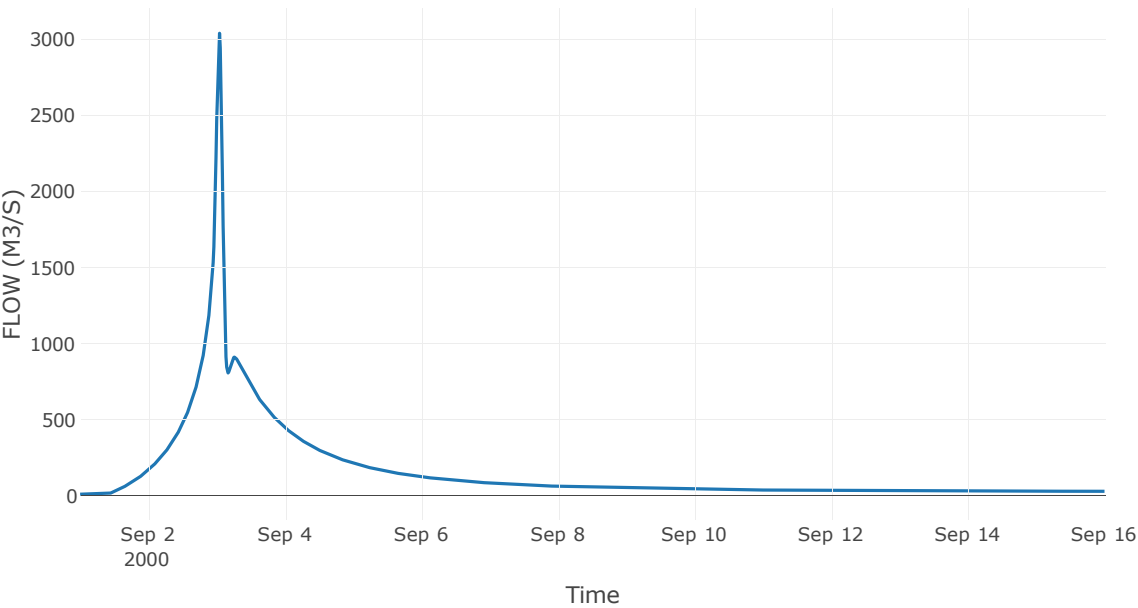
Κατάντη : J3

Μέθοδος διόδευσης	Muskingum
Αρχική Μεταβλητή	Combined Inflow
Χρόνος ροής K	0.37
Συντελεστής βάρους x	0.2
Πλήθος Υποκλάδων	2

Αποτελέσματα: R43

Παροχή Αιχμής(M3/S)	3039.5
Χρονική στιγμή αιχμής	03Sep2000, 01:00
Όγκος (MM)	248.76
Παροχή Αιχμής Εισόδου (M3/S)	3084.34
Όγκος Εισόδου(M3)	2.16E8

Απορροή



Κλάδος: R54

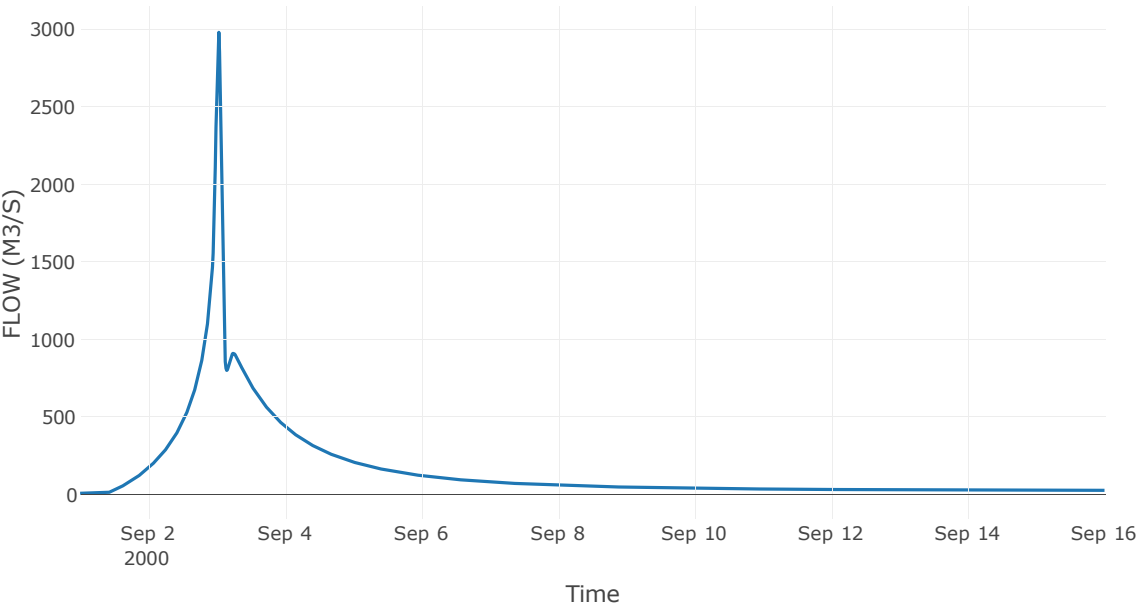
Κατάντη : J4

Μέθοδος διόδευσης	Muskingum
Αρχική Μεταβλητή	Combined Inflow
Χρόνος ροής K	0.15
Συντελεστής βάρους x	0.2
Πλήθος Υποκλάδων	1

Αποτελέσματα: R54

Παροχή Αιχμής(M3/S)	2979.81
Χρονική στιγμή αιχμής	03Sep2000, 00:45
Όγκος (MM)	251.42
Παροχή Αιχμής Εισόδου (M3/S)	3008.44
Όγκος Εισόδου(M3)	2.12E8

Απορροή



Κλάδος: R65

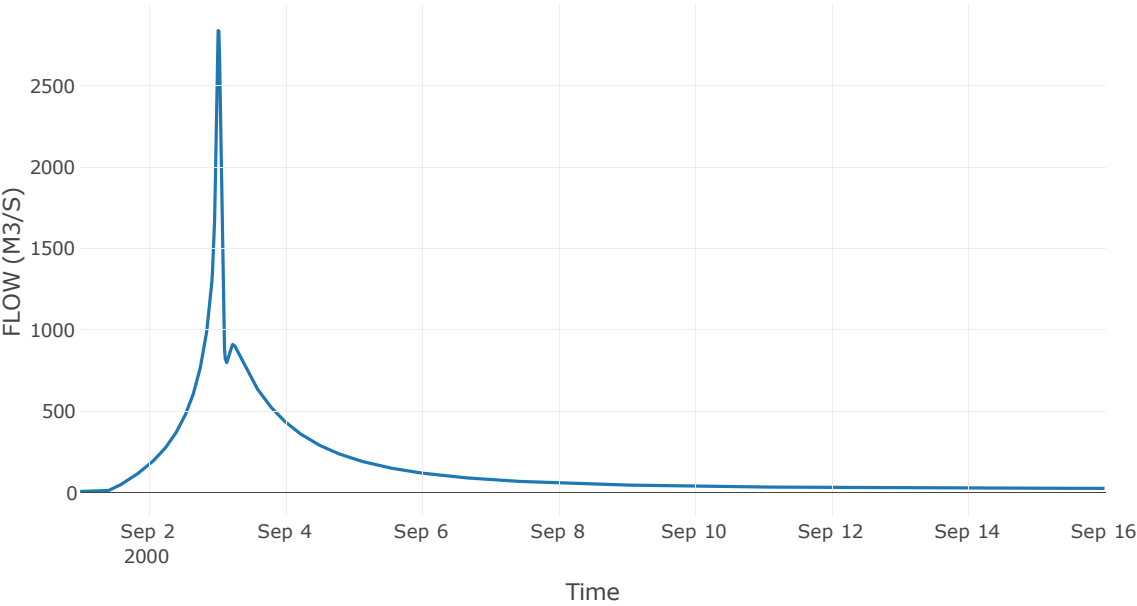
Κατάντη : J5

Μέθοδος διόδευσης	Muskingum
Αρχική Μεταβλητή	Combined Inflow
Χρόνος ροής K	0.42
Συντελεστής βάρους α	0.2
Πλήθος Υποκλάδων	2

Αποτελέσματα: R65

Παροχή Αιχμής(M3/S)	2837.7
Χρονική στιγμή αιχμής	03Sep2000, 00:30
Όγκος (MM)	254.74
Παροχή Αιχμής Εισόδου (M3/S)	2921.59
Όγκος Εισόδου(M3)	2.05E8

Απορροή



Κλάδος: R76

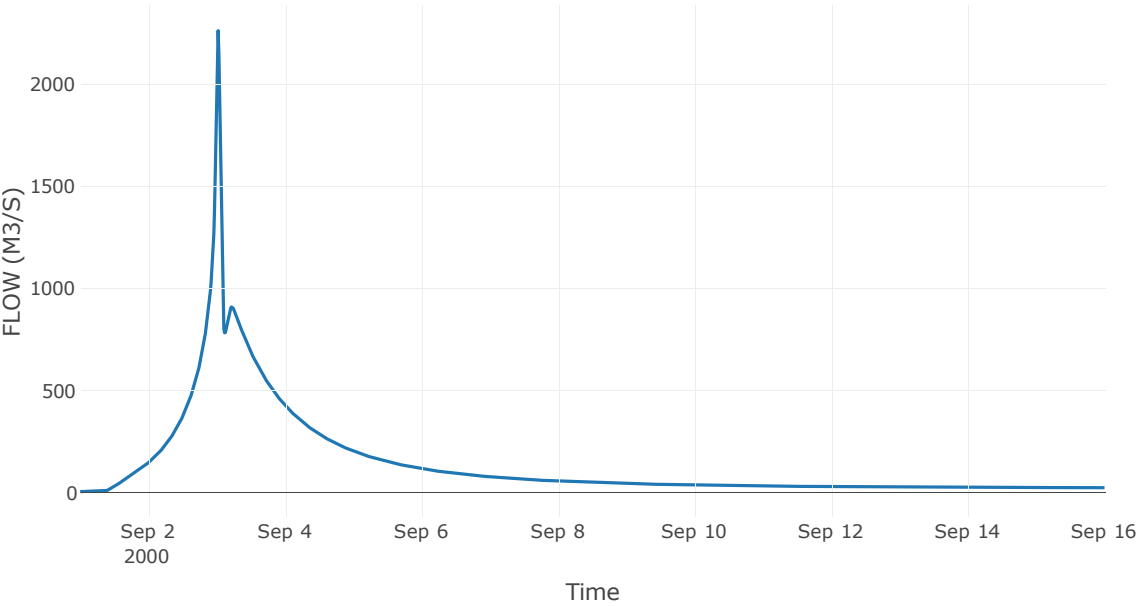
Κατάντη : J6

Μέθοδος διόδευσης	Muskingum
Αρχική Μεταβλητή	Combined Inflow
Χρόνος ροής K	0.5
Συντελεστής βάρους x	0.2
Πλήθος Υποκλάδων	2

Αποτελέσματα: R76

Παροχή Αιχμής(M3/S)	2261.74
Χρονική στιγμή αιχμής	03Sep2000, 00:30
Όγκος (MM)	257.42
Παροχή Αιχμής Εισόδου (M3/S)	2352.37
Όγκος Εισόδου(M3)	1.88E8

Απορροή



Κλάδος: R87

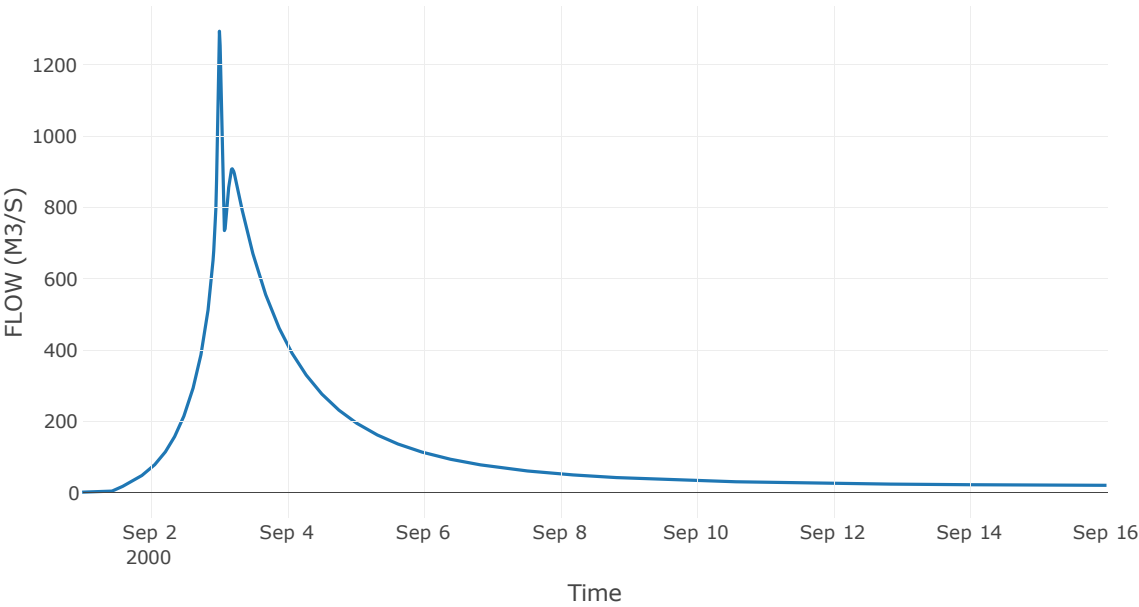
Κατάντη : J7

Μέθοδος διόδευσης	Χρόνος υστέρησης
Αρχική Μεταβλητή	Combined Inflow
Χρόνος υστέρησης	26.86

Αποτελέσματα: R87

Παροχή Αιχμής(M3/S)	1293.65
Χρονική στιγμή αιχμής	03Sep2000, 00:15
Όγκος (MM)	249.89
Παροχή Αιχμής Εισόδου (M3/S)	1300.28
Όγκος Εισόδου(M3)	1.58E8

Απορροή



Κλάδος: R98

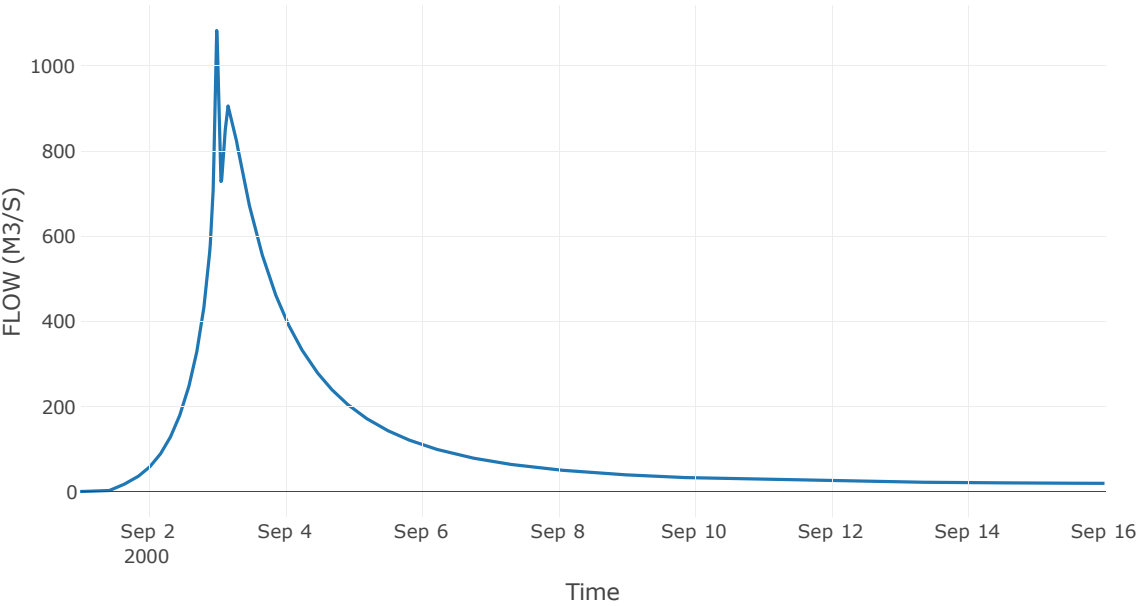
Κατάντη : J8

Μέθοδος διόδευσης	Muskingum
Αρχική Μεταβλητή	Combined Inflow
Χρόνος ροής K	0.24
Συντελεστής βάρους x	0.2
Πλήθος Υποκλάδων	1

Αποτελέσματα: R98

Παροχή Αιχμής(M3/S)	1082.45
Χρονική στιγμή αιχμής	02Sep2000, 24:00
Όγκος (MM)	249.09
Παροχή Αιχμής Εισόδου (M3/S)	1099.65
Όγκος Εισόδου(M3)	1.53E8

Απορροή



Κλάδος: R109

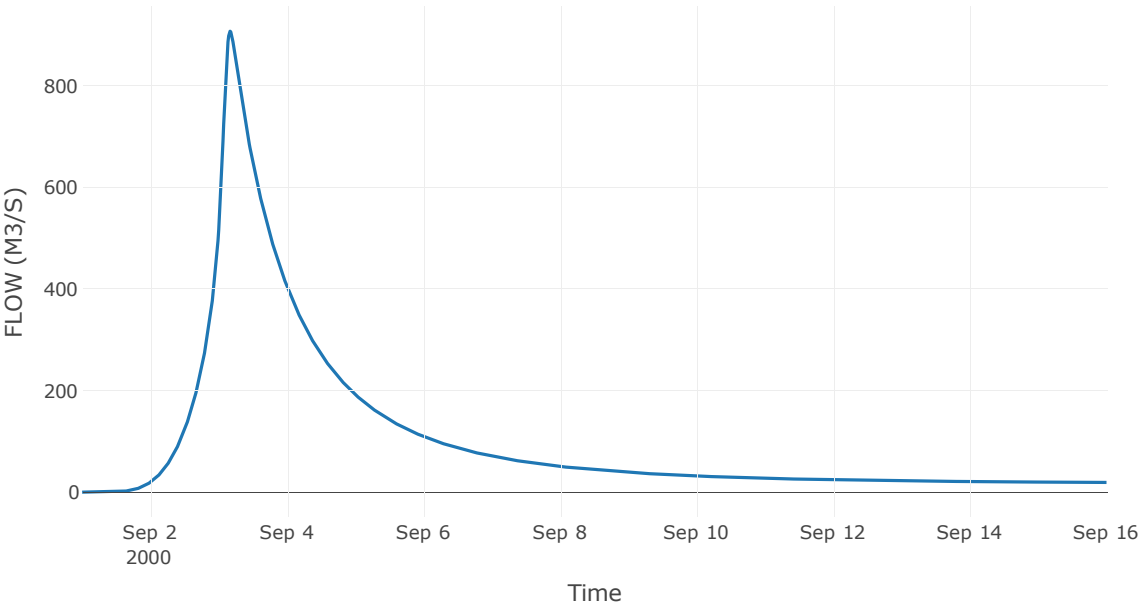
Κατάντη : J9

Μέθοδος διόδευσης	Χρόνος υστέρησης
Αρχική Μεταβλητή	Combined Inflow
Χρόνος υστέρησης	7.85

Αποτελέσματα: R109

Παροχή Αιχμής(M3/S)	907.55
Χρονική στιγμή αιχμής	03Sep2000, 04:00
Όγκος (MM)	246.46
Παροχή Αιχμής Εισόδου (M3/S)	907.68
Όγκος Εισόδου(M3)	1.38E8

Απορροή



Κλάδος: R1110

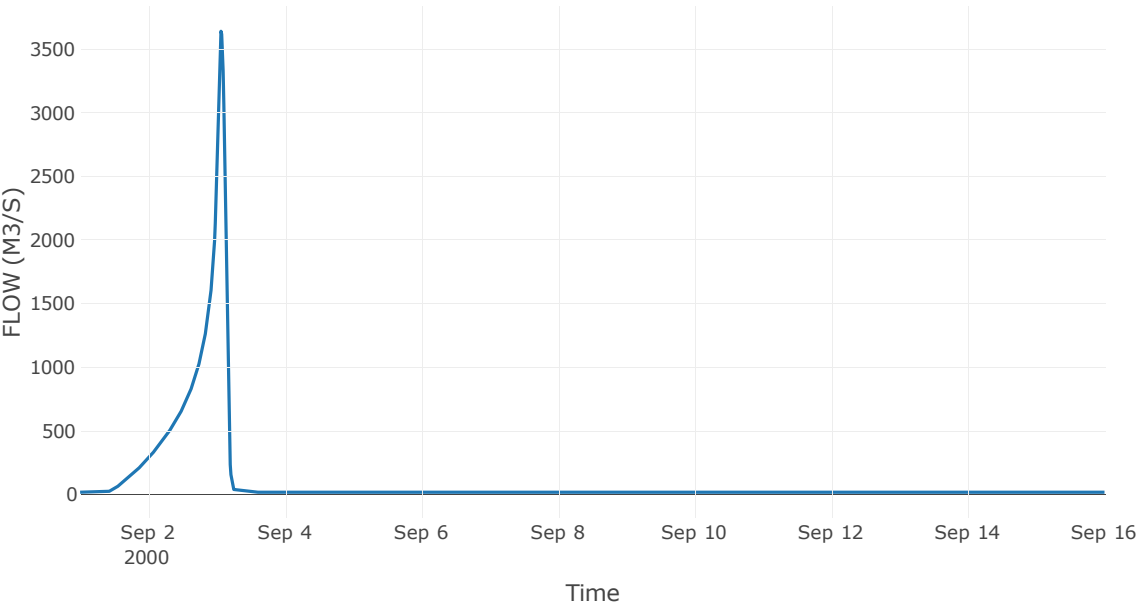
Κατάντη : J10 Res1

Μέθοδος διόδευσης	Muskingum
Αρχική Μεταβλητή	Combined Inflow
Χρόνος ροής K	0.52
Συντελεστής βάρους x	0.2
Πλήθος Υποκλάδων	3

Αποτελέσματα: R1110

Παροχή Αιχμής(M3/S)	3639.49
Χρονική στιγμή αιχμής	03Sep2000, 01:30
Όγκος (MM)	259.37
Παροχή Αιχμής Εισόδου (M3/S)	3673.51
Όγκος Εισόδου(M3)	1.38E8

Απορροή



Κλάδος: R1211

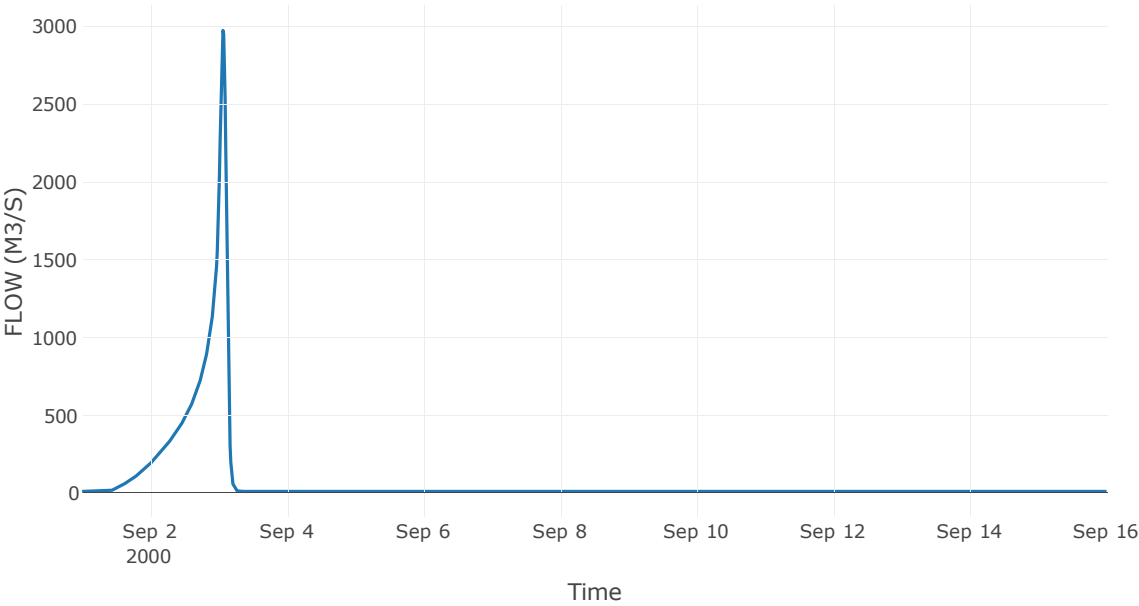
Κατάντη : J11

Μέθοδος διόδευσης	Muskingum
Αρχική Μεταβλητή	Combined Inflow
Χρόνος ροής K	0.95
Συντελεστής βάρους x	0.2
Πλήθος Υποκλάδων	5

Αποτελέσματα: R1211

Παροχή Αιχμής(M3/S)	2974.4
Χρονική στιγμή αιχμής	03Sep2000, 01:30
Όγκος (MM)	247.22
Παροχή Αιχμής Εισόδου (M3/S)	3078.23
Όγκος Εισόδου(M3)	9.92E7

Απορροή



Κλάδος: R1312

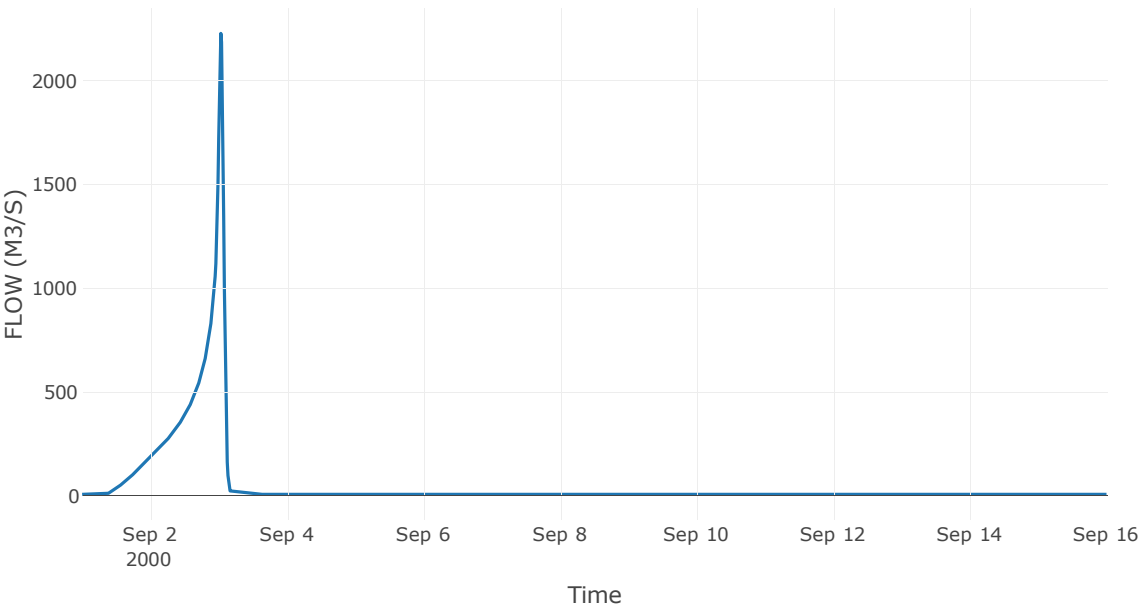
Κατάντη : J12

Μέθοδος διόδευσης	Muskingum
Αρχική Μεταβλητή	Combined Inflow
Χρόνος ροής K	0.6
Συντελεστής βάρους x	0.2
Πλήθος Υποκλάδων	3

Αποτελέσματα: R1312

Παροχή Αιχμής(M3/S)	2228.78
Χρονική στιγμή αιχμής	03Sep2000, 00:45
Όγκος (MM)	309.19
Παροχή Αιχμής Εισόδου (M3/S)	2316.6
Όγκος Εισόδου(M3)	6.96E7

Απορροή



Κλάδος: R1413

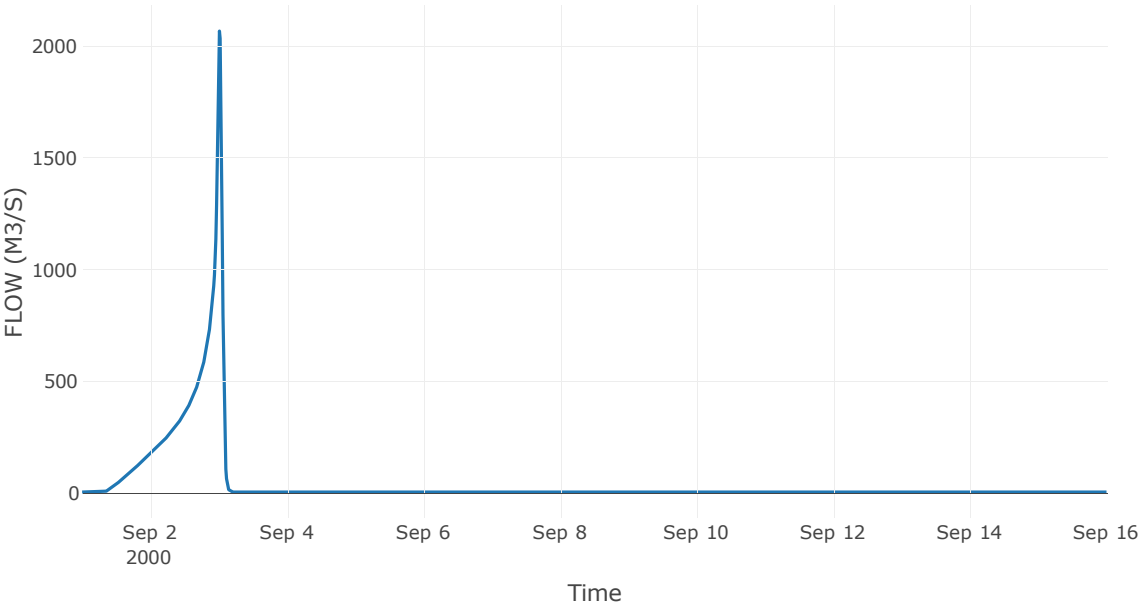
Κατάντη : J13

Μέθοδος διόδευσης	Χρόνος υστέρησης
Αρχική Μεταβλητή	Combined Inflow
Χρόνος υστέρησης	21.95

Αποτελέσματα: R1413

Παροχή Αιχμής(M3/S)	2065.9
Χρονική στιγμή αιχμής	03Sep2000, 00:15
Όγκος (MM)	323.41
Παροχή Αιχμής Εισόδου (M3/S)	2092.55
Όγκος Εισόδου(M3)	6.18E7

Απορροή



Κλάδος: R1514

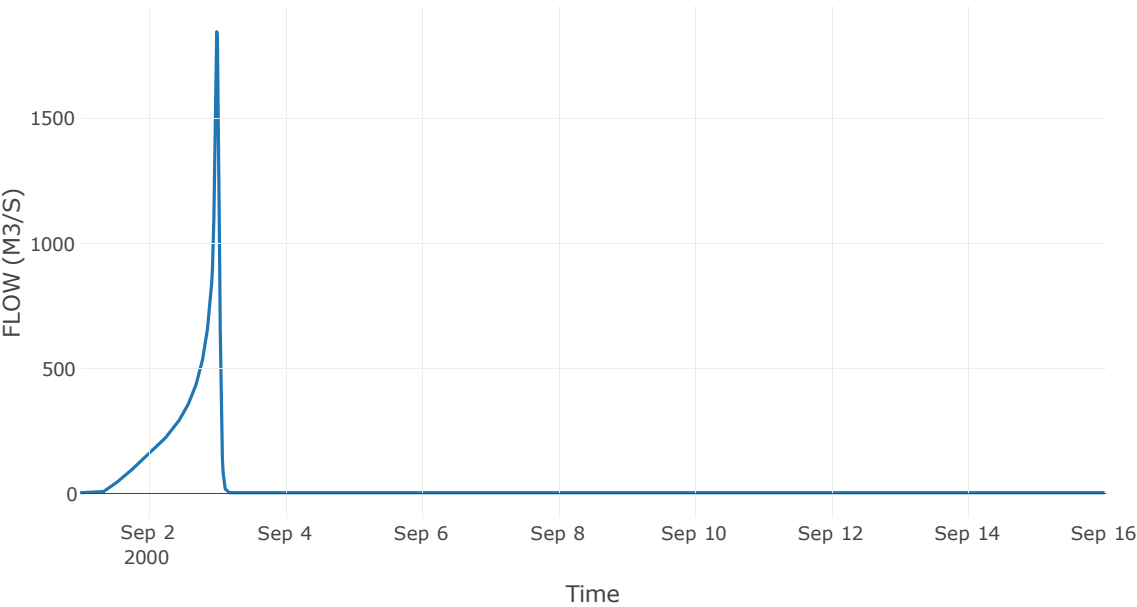
Κατάντη : J14

Μέθοδος διόδευσης	Χρόνος υστέρησης
Αρχική Μεταβλητή	Combined Inflow
Χρόνος υστέρησης	7.61

Αποτελέσματα: R1514

Παροχή Αιχμής(M3/S)	1845.08
Χρονική στιγμή αιχμής	02Sep2000, 24:00
Όγκος (MM)	322.34
Παροχή Αιχμής Εισόδου (M3/S)	1870.45
Όγκος Εισόδου(M3)	5.36E7

Απορροή



Κλάδος: R1615

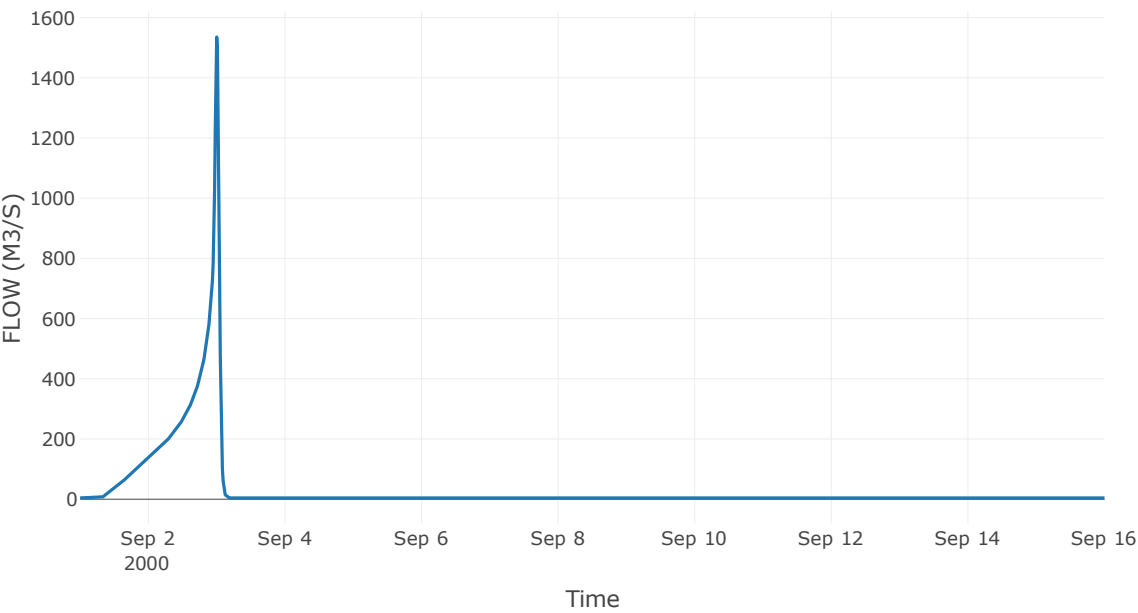
Κατάντη : J15

Μέθοδος διόδευσης	Χρόνος υστέρησης
Αρχική Μεταβλητή	Combined Inflow
Χρόνος υστέρησης	18.67

Αποτελέσματα: R1615

Παροχή Αιχμής(M3/S)	1535.47
Χρονική στιγμή αιχμής	02Sep2000, 24:00
Όγκος (MM)	331.13
Παροχή Αιχμής Εισόδου (M3/S)	1550.16
Όγκος Εισόδου(M3)	4.43E7

Απορροή



Κλάδος: R1716

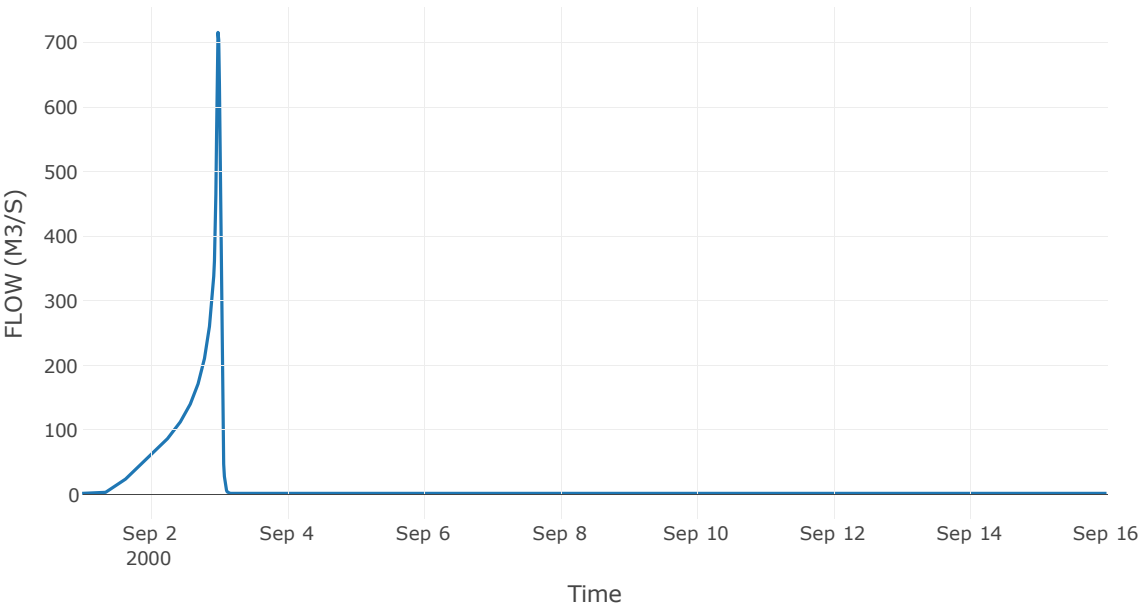
Κατάντη : J16

Μέθοδος διόδευσης	Χρόνος υστέρησης
Αρχική Μεταβλητή	Combined Inflow
Χρόνος υστέρησης	10.87

Αποτελέσματα: R1716

Παροχή Αιχμής(M3/S)	715.36
Χρονική στιγμή αιχμής	02Sep2000, 23:45
Όγκος (MM)	299.38
Παροχή Αιχμής Εισόδου (M3/S)	721.86
Όγκος Εισόδου(M3)	2.05E7

Απορροή



Κλάδος: R1811

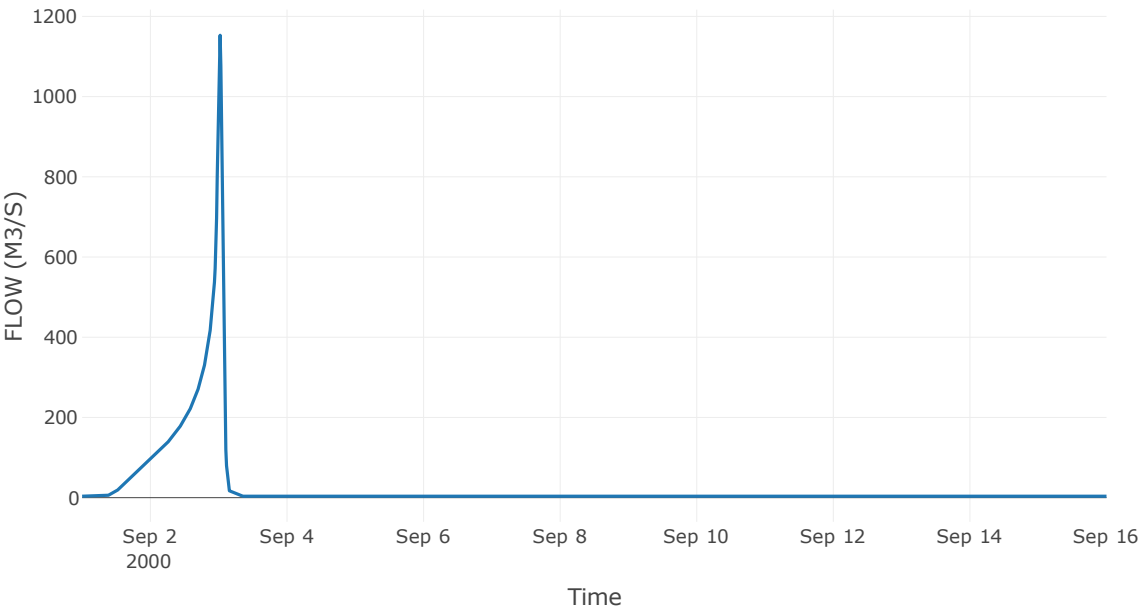
Κατάντη : J11

Μέθοδος διόδευσης	Muskingum
Αρχική Μεταβλητή	Combined Inflow
Χρόνος ροής K	0.43
Συντελεστής βάρους x	0.2
Πλήθος Υποκλάδων	2

Αποτελέσματα: R1811

Παροχή Αιχμής(M3/S)	1152.98
Χρονική στιγμή αιχμής	03Sep2000, 00:30
Όγκος (MM)	298.81
Παροχή Αιχμής Εισόδου (M3/S)	1197.41
Όγκος Εισόδου(M3)	3.48E7

Απορροή



Κλάδος: R1918

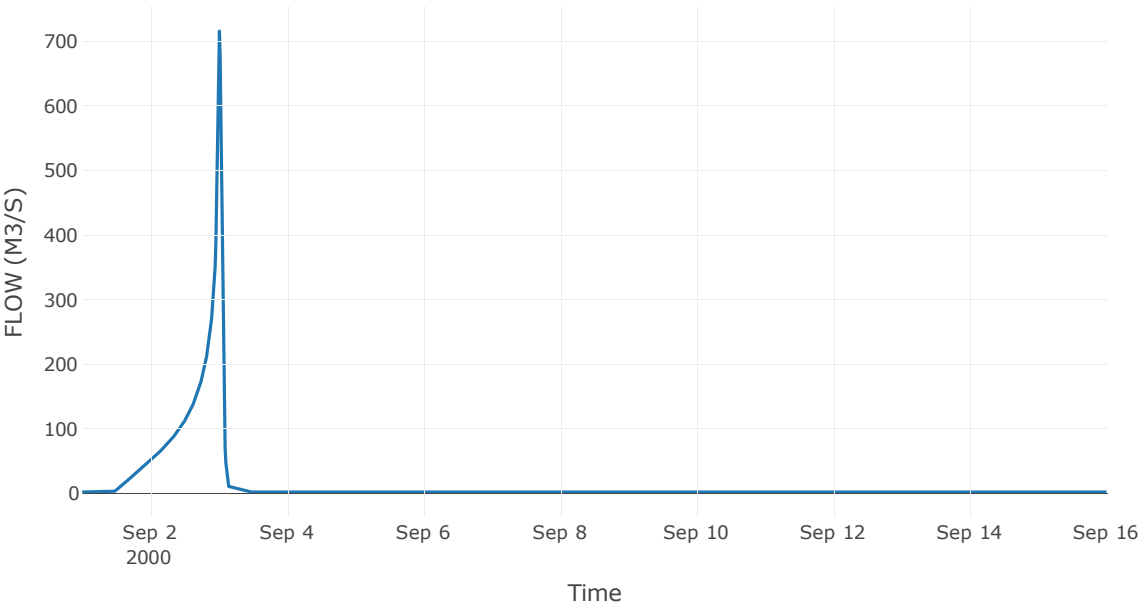
Κατάντη : J18

Μέθοδος διόδευσης	Χρόνος υστέρησης
Αρχική Μεταβλητή	Combined Inflow
Χρόνος υστέρησης	17.59

Αποτελέσματα: R1918

Παροχή Αιχμής(M3/S)	715.39
Χρονική στιγμή αιχμής	03Sep2000, 00:15
Όγκος (MM)	286.99
Παροχή Αιχμής Εισόδου (M3/S)	716.86
Όγκος Εισόδου(M3)	1.99E7

Απορροή



Κλάδος: R2012

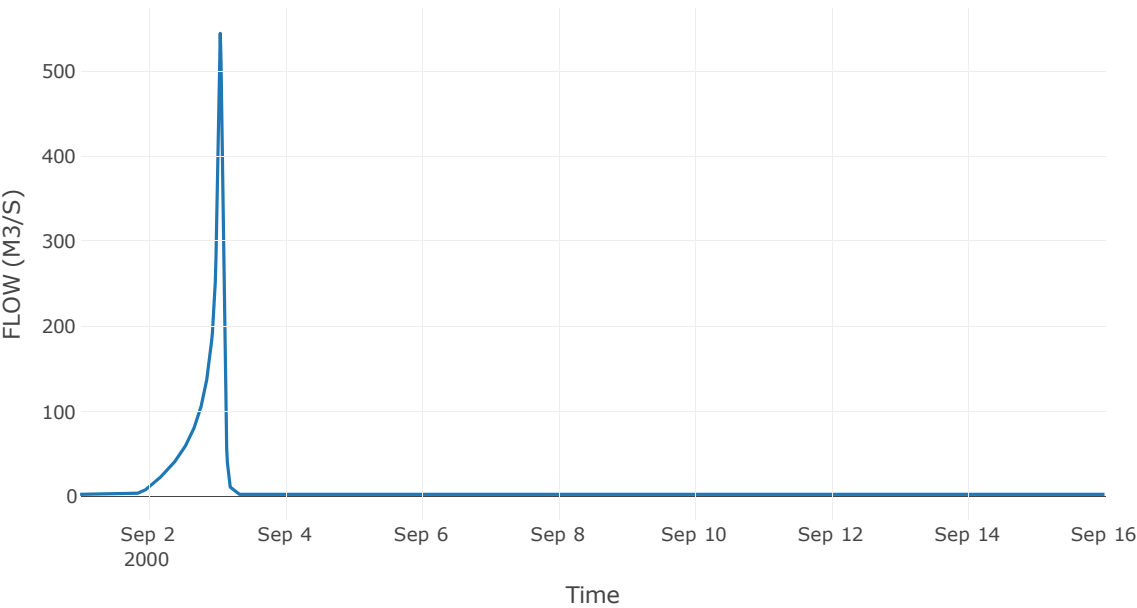
Κατάντη : J12

Μέθοδος διόδευσης	Muskingum
Αρχική Μεταβλητή	Combined Inflow
Χρόνος ροής K	0.89
Συντελεστής βάρους x	0.2
Πλήθος Υποκλάδων	4

Αποτελέσματα: R2012

Παροχή Αιχμής(M3/S)	544
Χρονική στιγμή αιχμής	03Sep2000, 01:15
Όγκος (MM)	164.19
Παροχή Αιχμής Εισόδου (M3/S)	583.53
Όγκος Εισόδου(M3)	1.41E7

Απορροή



Κλάδος: R2120

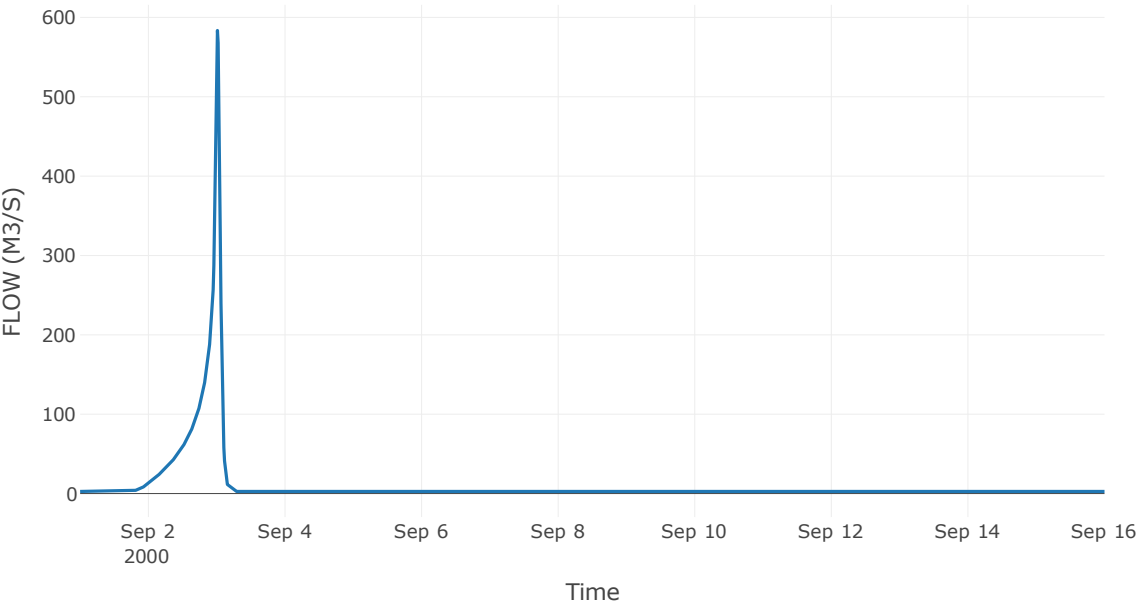
Κατάντη : J20

Μέθοδος διόδευσης	Muskingum
Αρχική Μεταβλητή	Combined Inflow
Χρόνος ροής K	0.31
Συντελεστής βάρους x	0.2
Πλήθος Υποκλάδων	2

Αποτελέσματα: R2120

Παροχή Αιχμής(M3/S)	583.53
Χρονική στιγμή αιχμής	03Sep2000, 00:15
Όγκος (MM)	164.19
Παροχή Αιχμής Εισόδου (M3/S)	595.19
Όγκος Εισόδου(M3)	1.41E7

Απορροή



Κλάδος: R227

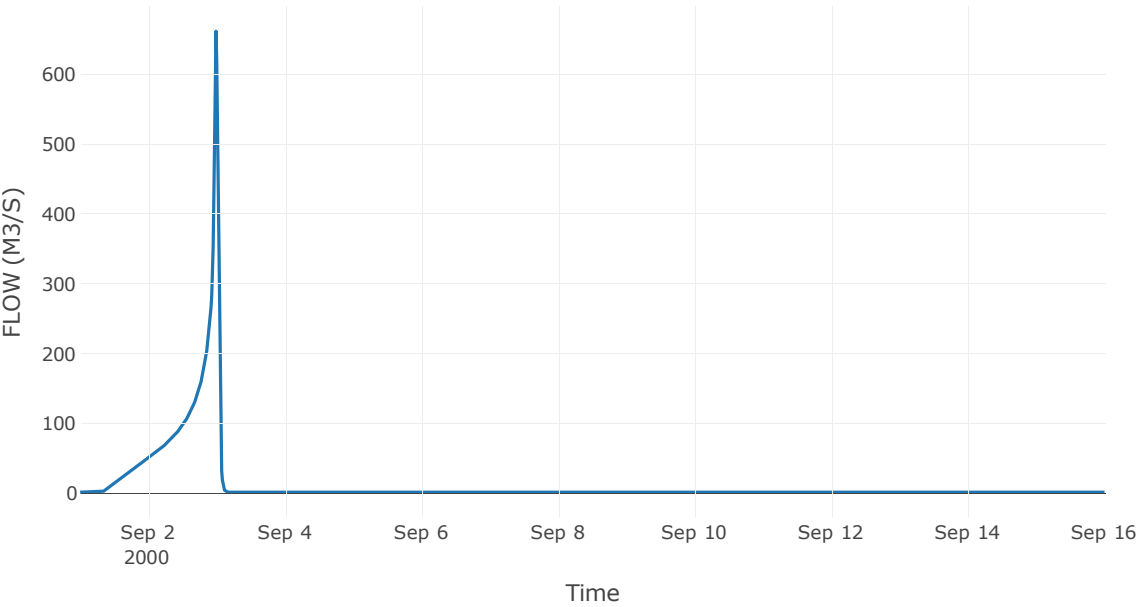
Κατάντη : J7

Μέθοδος διόδευσης	Χρόνος υστέρησης
Αρχική Μεταβλητή	Combined Inflow
Χρόνος υστέρησης	7.34

Αποτελέσματα: R227

Παροχή Αιχμής(M3/S)	661.82
Χρονική στιγμή αιχμής	02Sep2000, 23:45
Όγκος (MM)	318.61
Παροχή Αιχμής Εισόδου (M3/S)	665.94
Όγκος Εισόδου(M3)	1.7E7

Απορροή



Κλάδος: R232

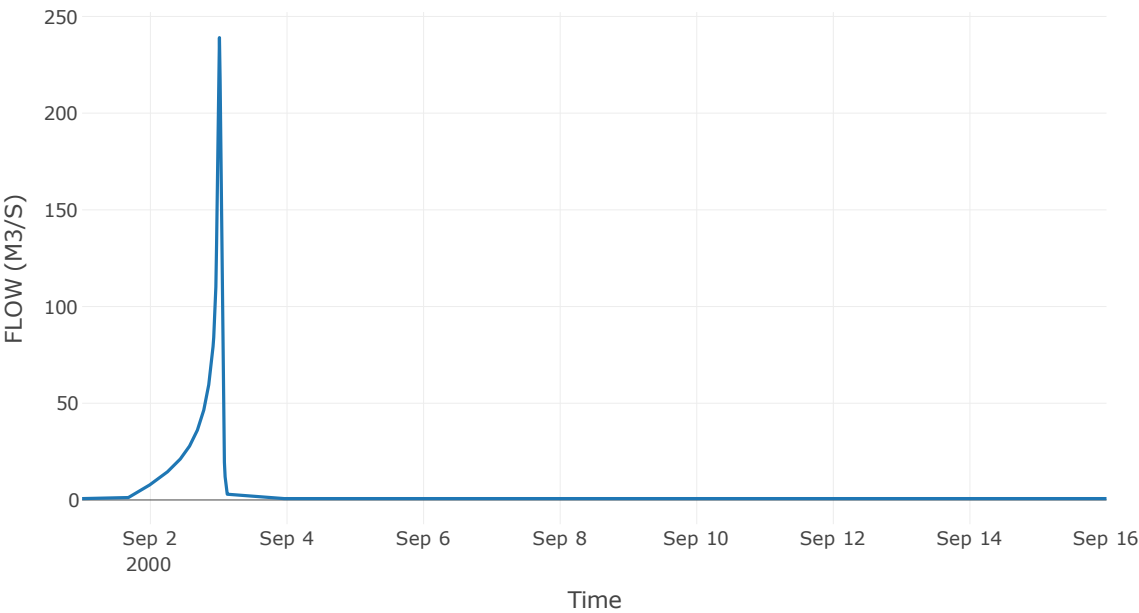
Κατάντη : J2

Μέθοδος διόδευσης	Χρόνος υστέρησης
Αρχική Μεταβλητή	Combined Inflow
Χρόνος υστέρησης	25.78

Αποτελέσματα: R232

Παροχή Αιχμής(M3/S)	239.05
Χρονική στιγμή αιχμής	03Sep2000, 00:15
Όγκος (MM)	223.65
Παροχή Αιχμής Εισόδου (M3/S)	244.53
Όγκος Εισόδου(M3)	5.04E6

Απορροή



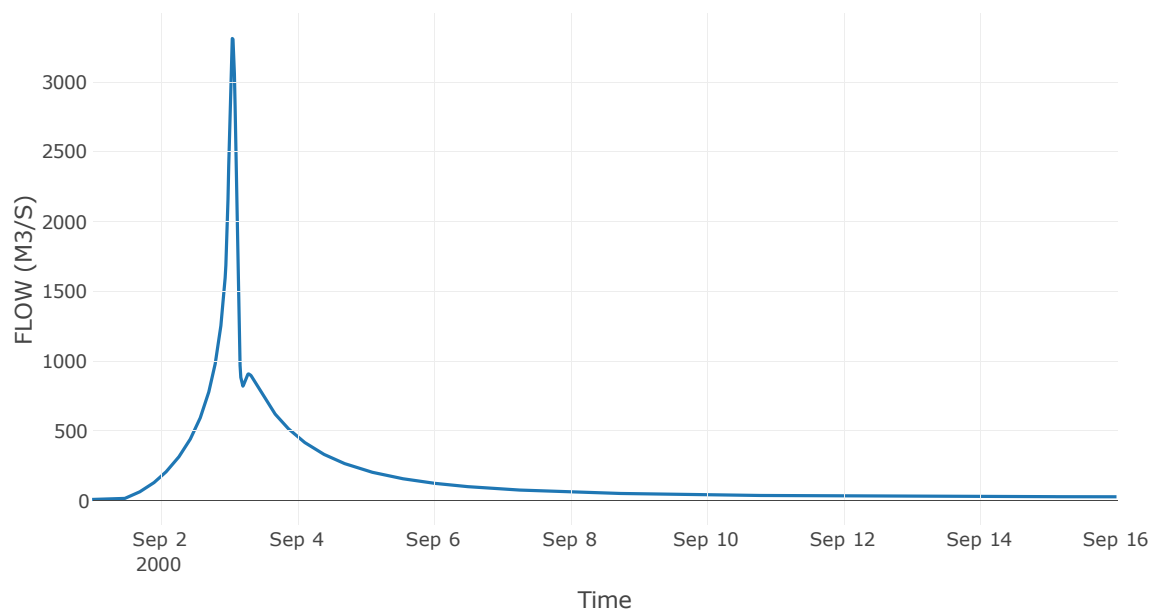
9.3 Δεδομένα και Υδρογραφήματα Σχεδιασμού Κόμβων Υδρογραφικού Δικτύου

Κόμβος εξόδου: J1

Αποτελέσματ
α: J1

Παροχή αιχμής (M3/S)	3310.46
Χρονική στιγμή αιχμής	03Sep2000, 01:15
Όγκος (MM)	244.99

Απορροή



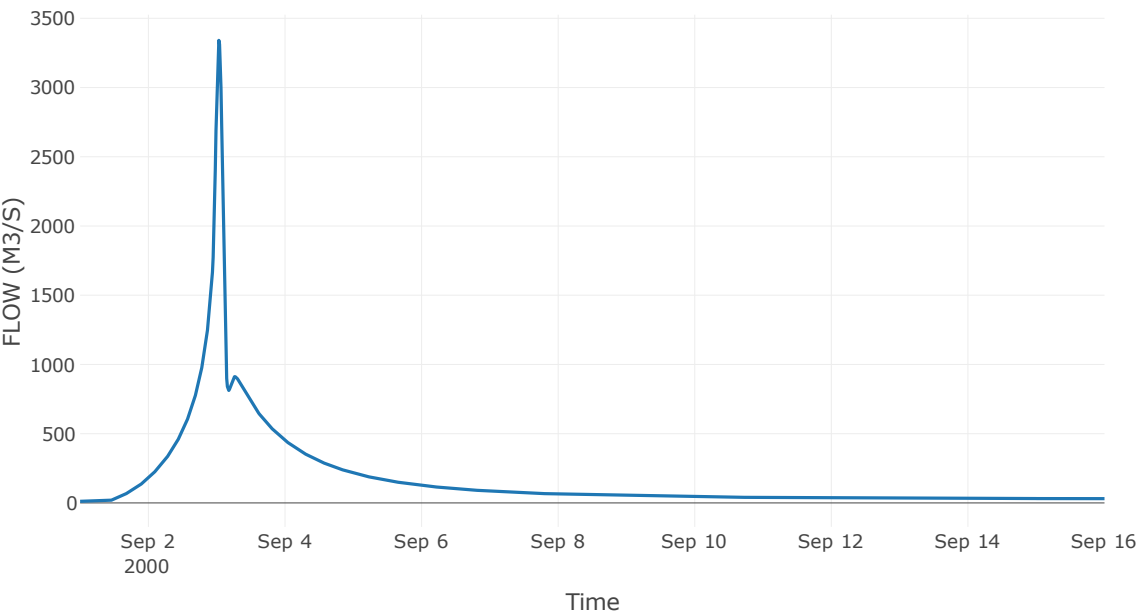
Κόμβος: J2

Κατάντη : R21

Αποτελέσματα: J2

Παροχή Αιχμής(M3/S)	3340.69
Χρονική στιγμή αιχμής	03Sep2000, 00:45
Όγκος (MM)	245.21

Απορροή



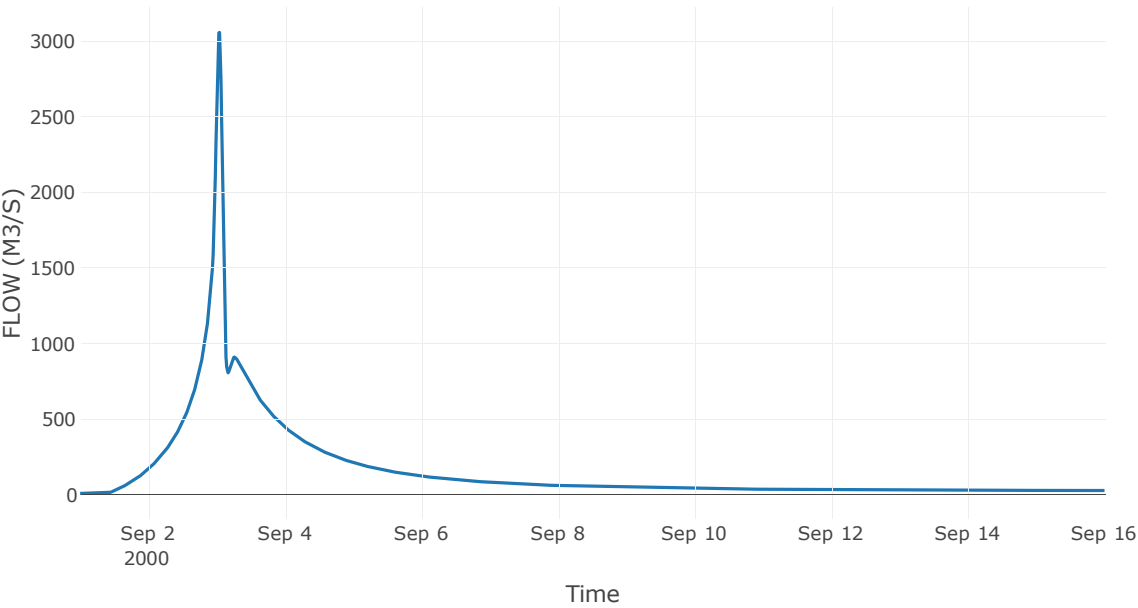
Κόμβος: J3

Κατάντη : R32

Αποτελέσματα: J3

Παροχή Αιχμής(M3/S)	3056.23
Χρονική στιγμή αιχμής	03Sep2000, 01:00
Όγκος (MM)	248.22

Απορροή



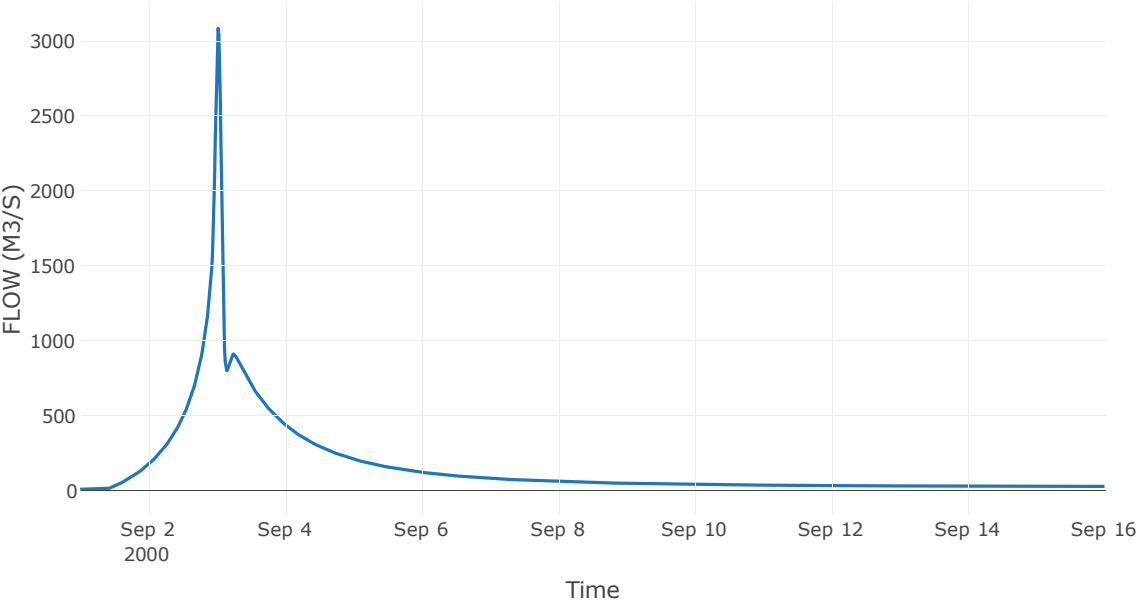
Κόμβος: J4

Κατάντη : R43

Αποτελέσματα: J4

Παροχή Αιχμής(M3/S)	3084.34
Χρονική στιγμή αιχμής	03Sep2000, 00:30
Όγκος (MM)	248.79

Απορροή



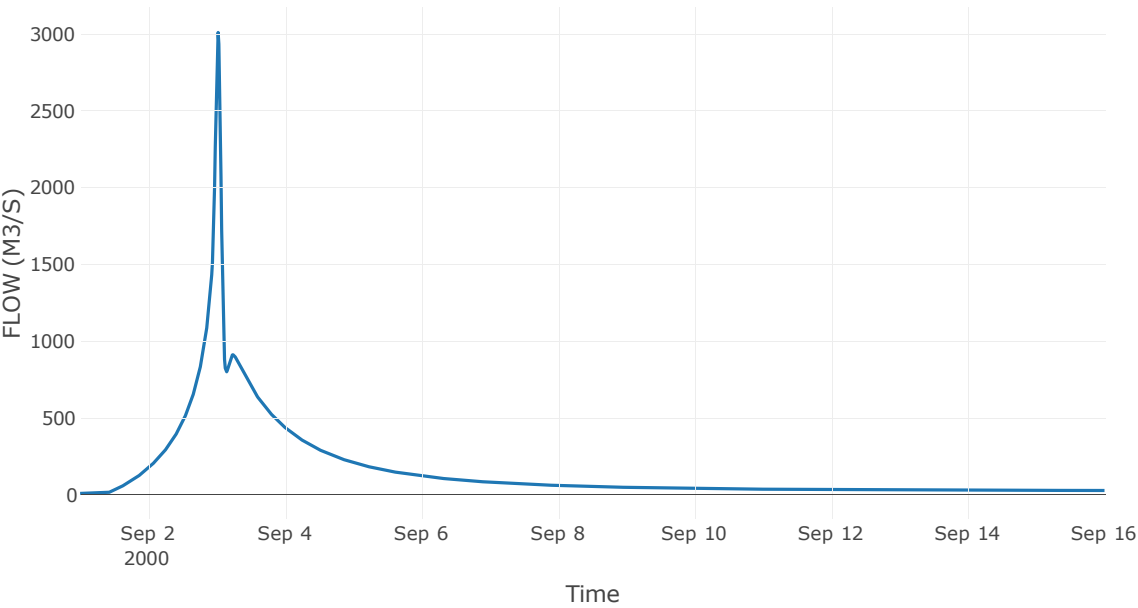
Κόμβος: J5

Κατάντη : R54

Αποτελέσματα: J5

Παροχή Αιχμής(M3/S)	3008.44
Χρονική στιγμή αιχμής	03Sep2000, 00:30
Όγκος (MM)	251.44

Απορροή



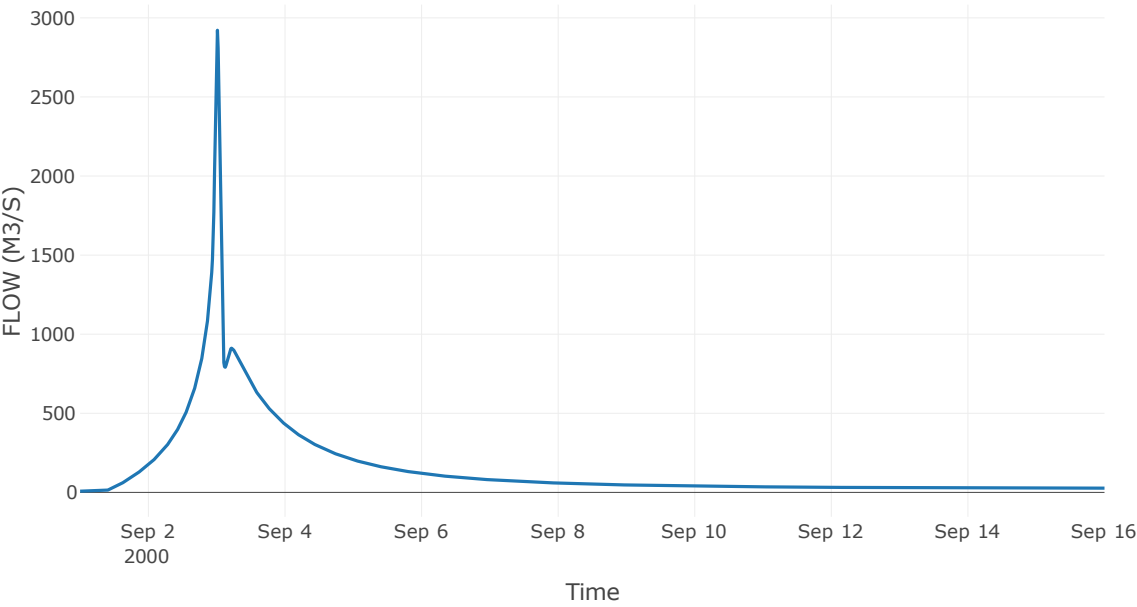
Κόμβος: J6

Κατάντη : R65

Αποτελέσματα: J6

Παροχή Αιχμής(M3/S)	2921.59
Χρονική στιγμή αιχμής	03Sep2000, 00:15
Όγκος (MM)	254.77

Απορροή



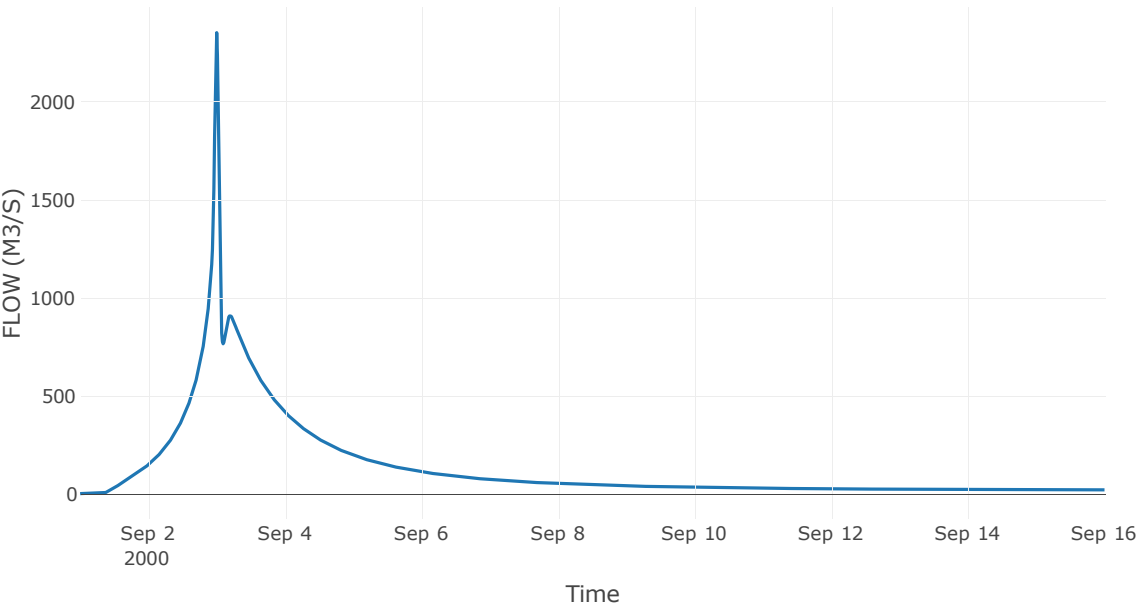
Κόμβος: J7

Κατάντη : R76

Αποτελέσματα: J7

Παροχή Αιχμής(M3/S)	2352.37
Χρονική στιγμή αιχμής	02Sep2000, 24:00
Όγκος (MM)	257.47

Απορροή



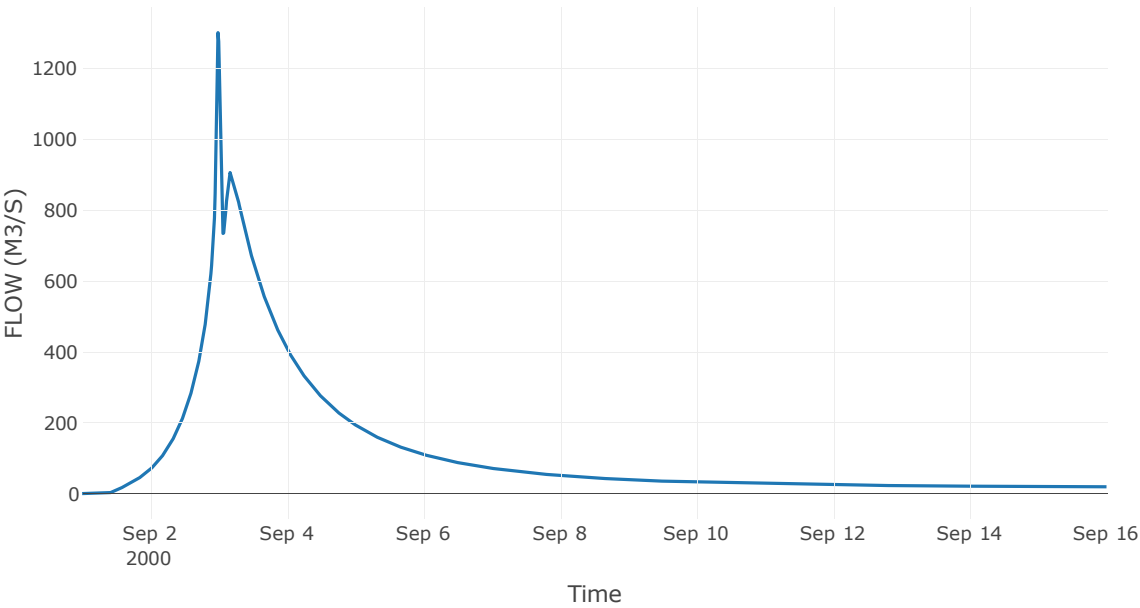
Κόμβος: J8

Κατάντη : R87

Αποτελέσματα: J8

Παροχή Αιχμής(M3/S)	1300.28
Χρονική στιγμή αιχμής	02Sep2000, 23:45
Όγκος (MM)	249.94

Απορροή



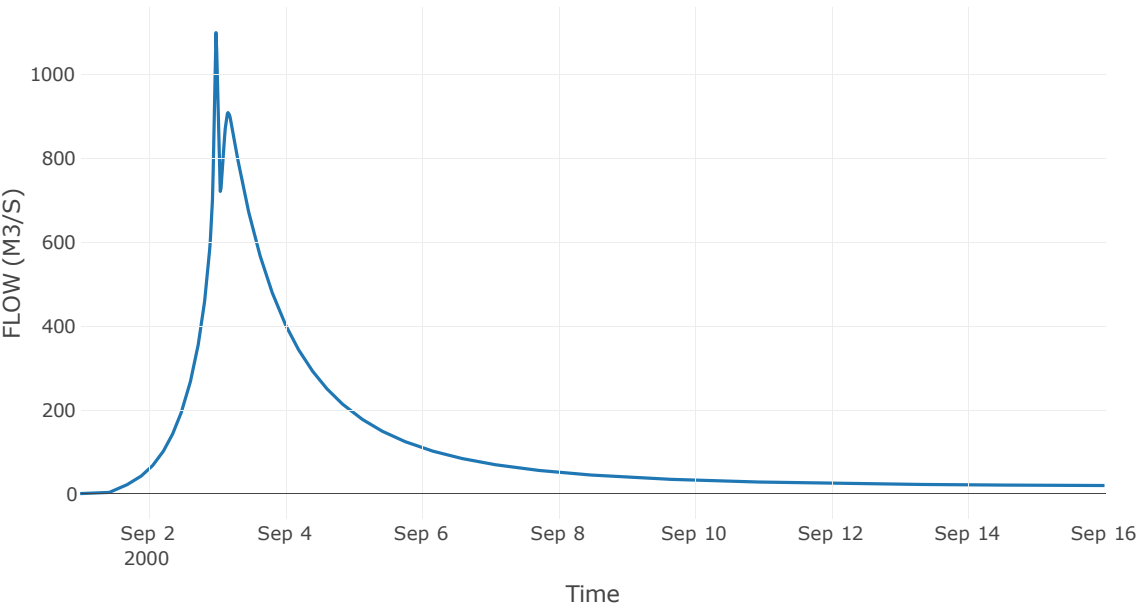
Κόμβος: J9

Κατάντη : R98

Αποτελέσματα: J9

Παροχή Αιχμής(M3/S)	1099.65
Χρονική στιγμή αιχμής	02Sep2000, 23:45
Όγκος (MM)	249.12

Απορροή



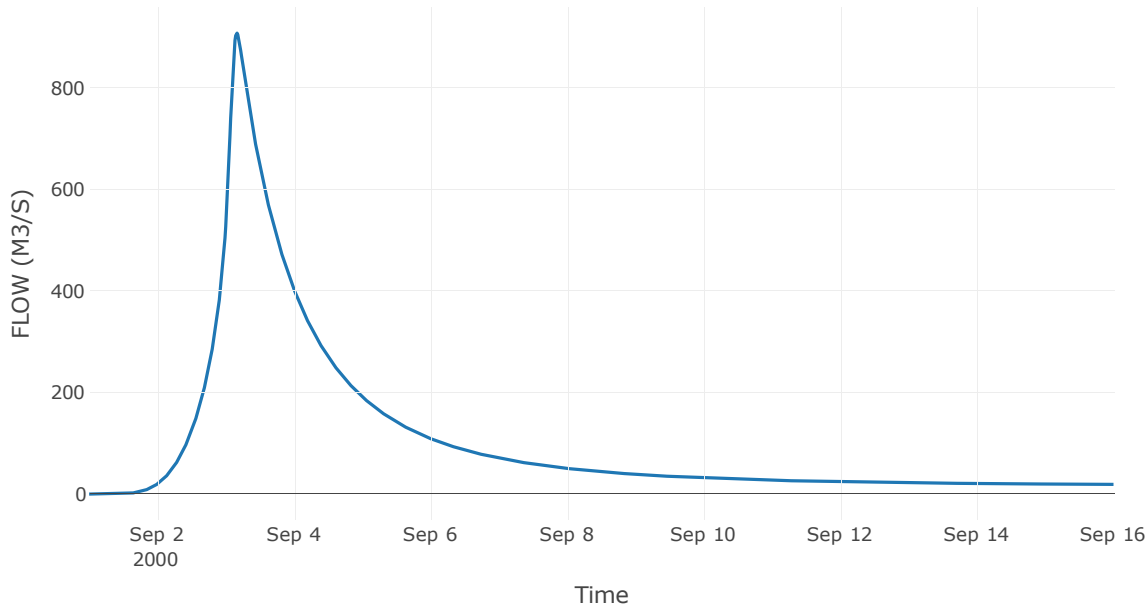
Reservoir: J10_RES1

Κατάντη : R109

Αποτελέσματα: J10_RES1

Παροχή Αιχμής(M3/S)	907.68
Χρονική στιγμή αιχμής	03Sep2000, 04:00
Όγκος (MM)	246.47
Παροχή Αιχμής Εισόδου (M3/S)	3705.82
Time of Peak Inflow	03Sep2000, 01:30
Όγκος Εισροής (M3)	1.46E8
Maximum Storage (M3)	8.69E8
Peak Elevation (M)	439.97
Discharge Όγκος (M3)	1.38E8

Απορροή



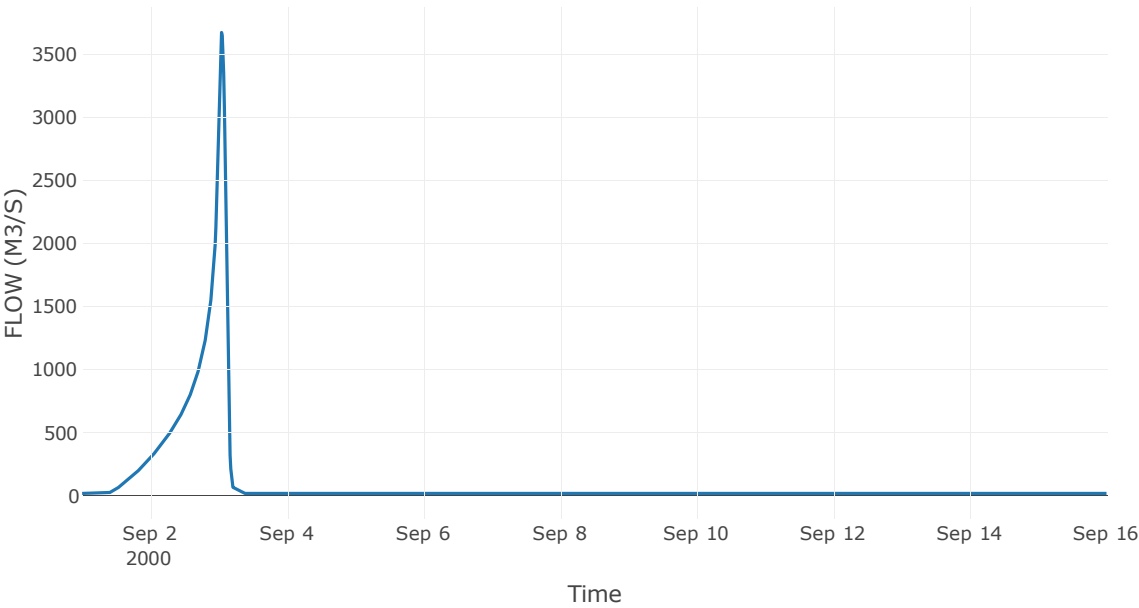
Κόμβος: J11

Κατάντη : R1110

Αποτελέσματα: J11

Παροχή Αιχμής(M3/S)	3673.51
Χρονική στιγμή αιχμής	03Sep2000, 01:00
Όγκος (MM)	259.37

Απορροή



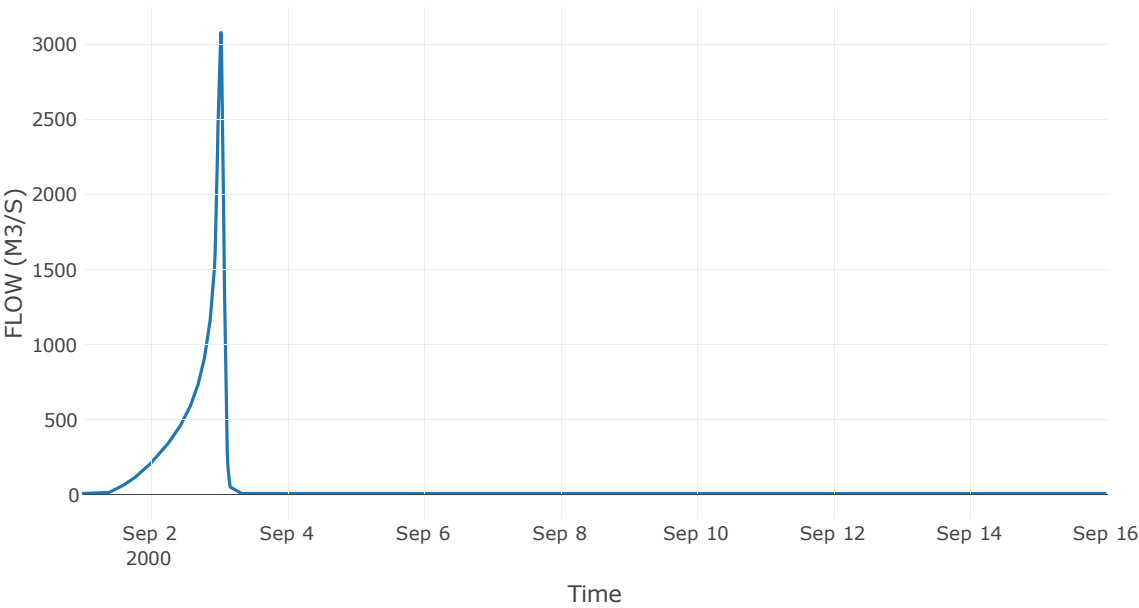
Κόμβος: J12

Κατάντη : R1211

Αποτελέσματα: J12

Παροχή Αιχμής(M3/S)	3078.23
Χρονική στιγμή αιχμής	03Sep2000, 00:45
Όγκος (MM)	247.22

Απορροή



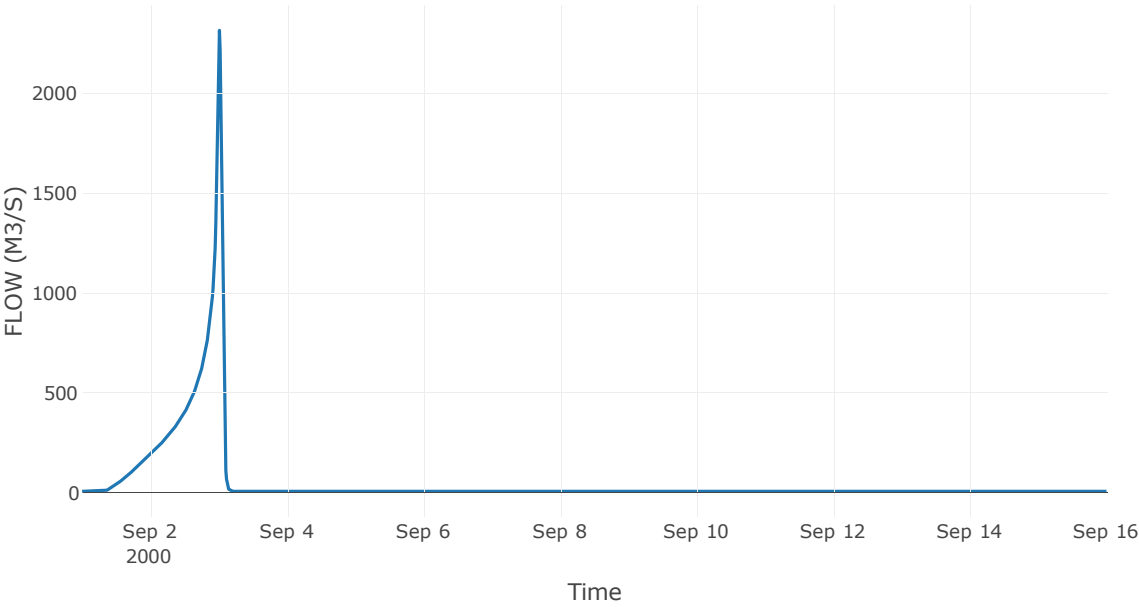
Κόμβος: J13

Κατάντη : R1312

Αποτελέσματα: J13

Παροχή Αιχμής(M3/S)	2316.6
Χρονική στιγμή αιχμής	03Sep2000, 00:15
Όγκος (MM)	309.19

Απορροή



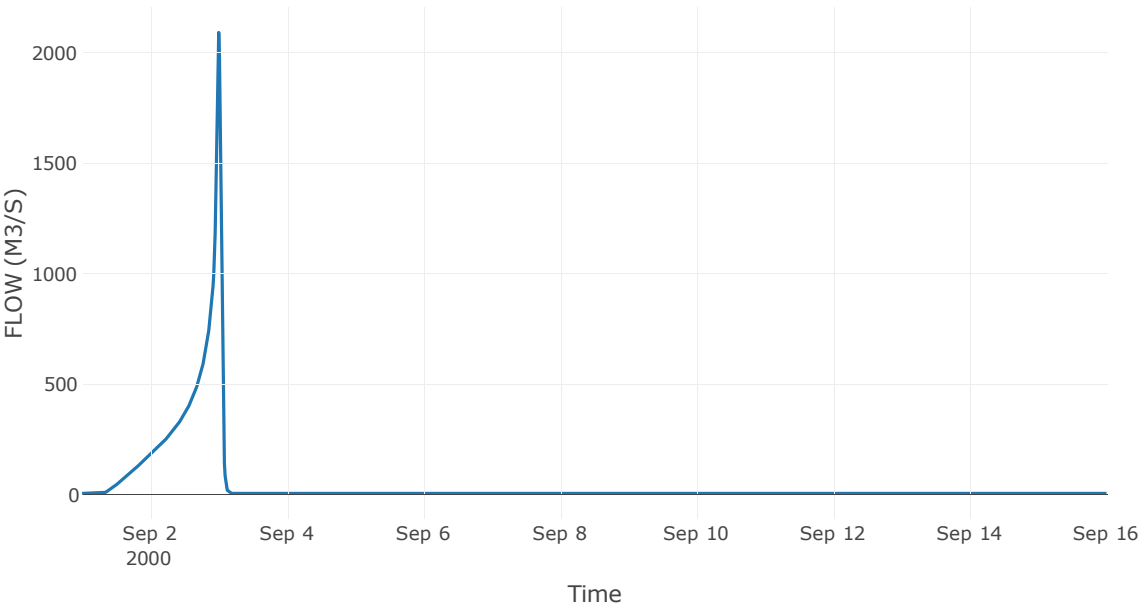
Κόμβος: J14

Κατάντη : R1413

Αποτελέσματα: J14

Παροχή Αιχμής(M3/S)	2092.55
Χρονική στιγμή αιχμής	02Sep2000, 24:00
Όγκος (MM)	323.41

Απορροή



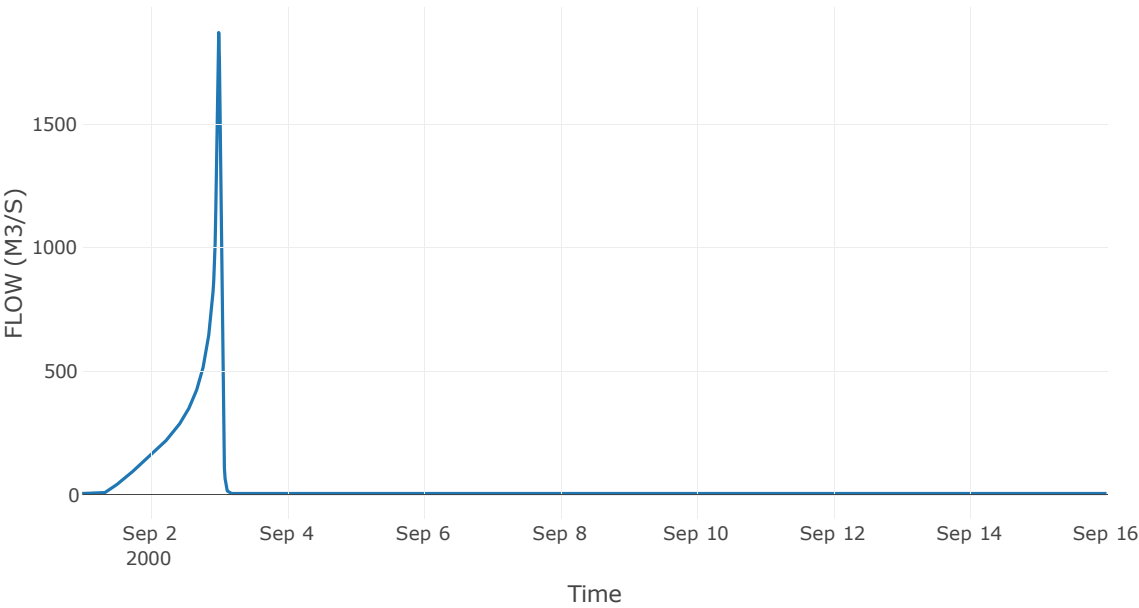
Κόμβος: J15

Κατάντη : R1514

Αποτελέσματα: J15

Παροχή Αιχμής(M3/S)	1870.45
Χρονική στιγμή αιχμής	02Sep2000, 24:00
Όγκος (MM)	322.34

Απορροή



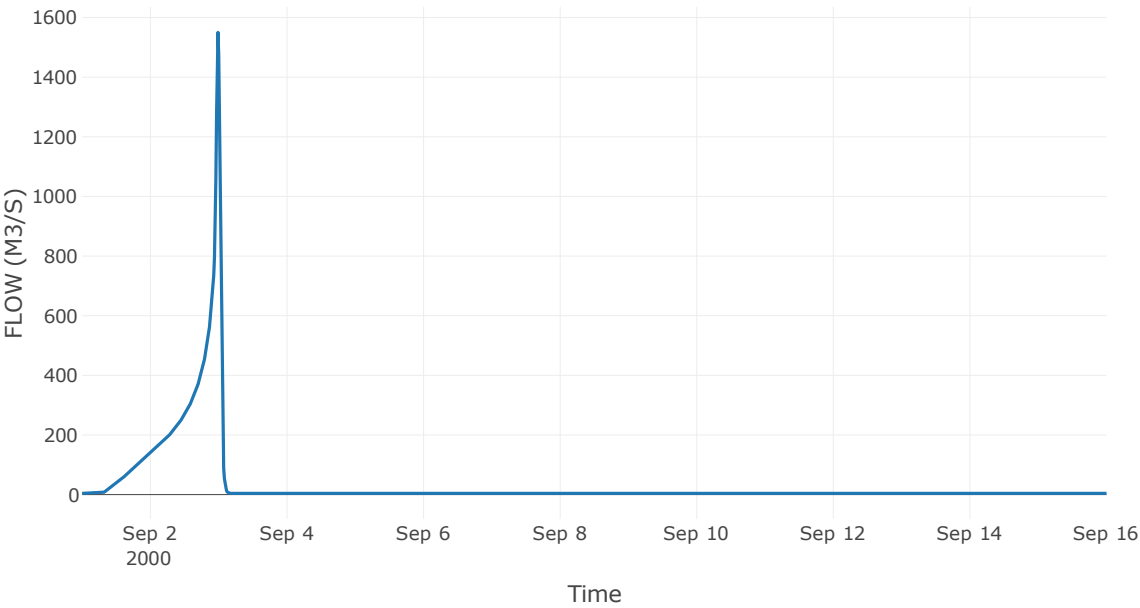
Κόμβος: J16

Κατάντη : R1615

Αποτελέσματα: J16

Παροχή Αιχμής(M3/S)	1550.16
Χρονική στιγμή αιχμής	02Sep2000, 23:45
Όγκος (MM)	331.13

Απορροή



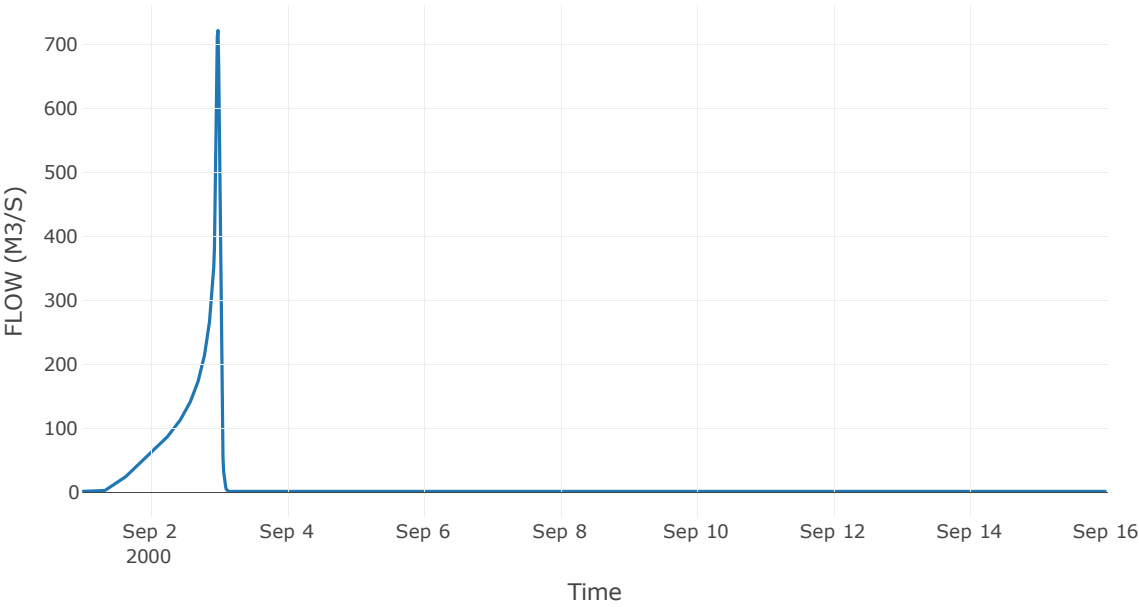
Κόμβος: J17

Κατάντη : R1716

Αποτελέσματα: J17

Παροχή Αιχμής(M3/S)	721.86
Χρονική στιγμή αιχμής	02Sep2000, 23:45
Όγκος (MM)	299.38

Απορροή



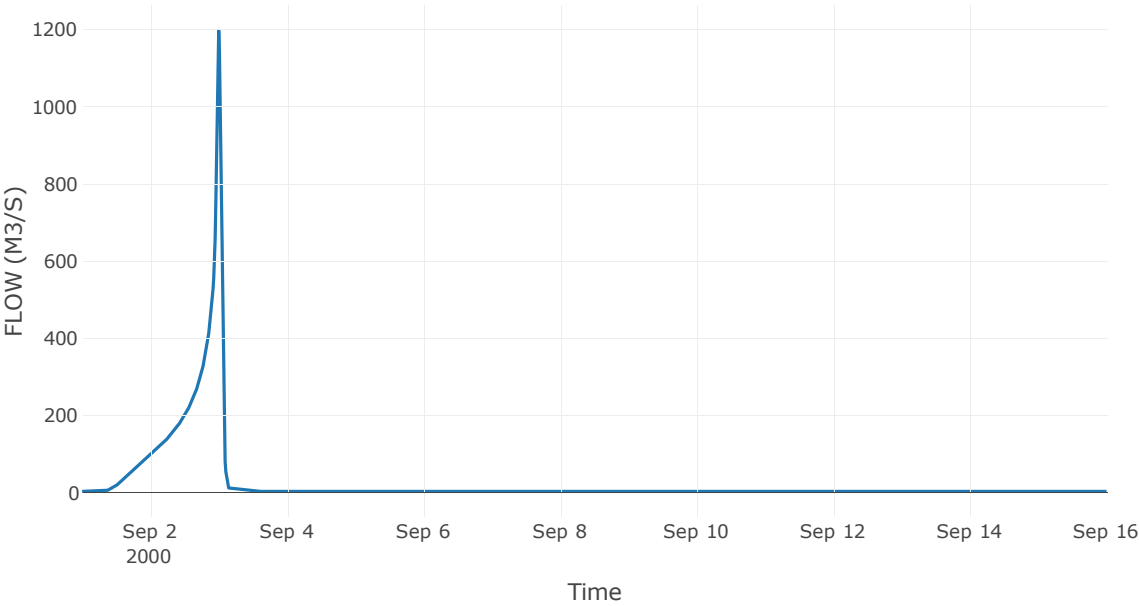
Κόμβος: J18

Κατάντη : R1811

Αποτελέσματα: J18

Παροχή Αιχμής(M3/S)	1197.41
Χρονική στιγμή αιχμής	02Sep2000, 24:00
Όγκος (MM)	298.81

Απορροή



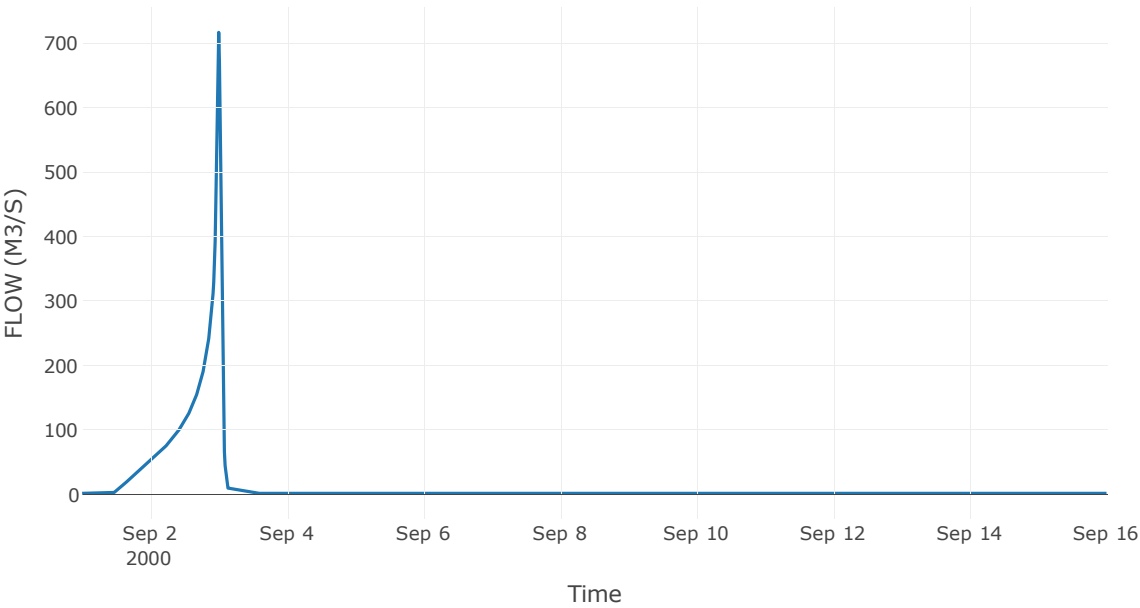
Κόμβος: J19

Κατάντη : R1918

Αποτελέσματα: J19

Παροχή Αιχμής(M3/S)	716.86
Χρονική στιγμή αιχμής	02Sep2000, 24:00
Όγκος (MM)	286.99

Απορροή



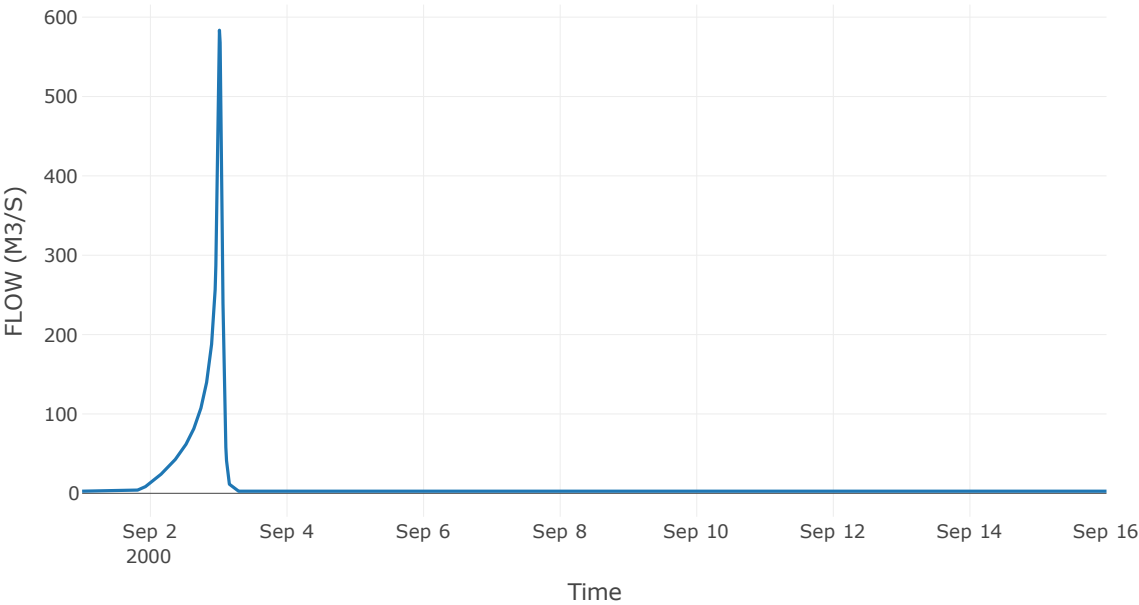
Κόμβος: J20

Κατάντη : R2012

Αποτελέσματα: J20

Παροχή Αιχμής(M3/S)	583.53
Χρονική στιγμή αιχμής	03Sep2000, 00:15
Όγκος (MM)	164.19

Απορροή



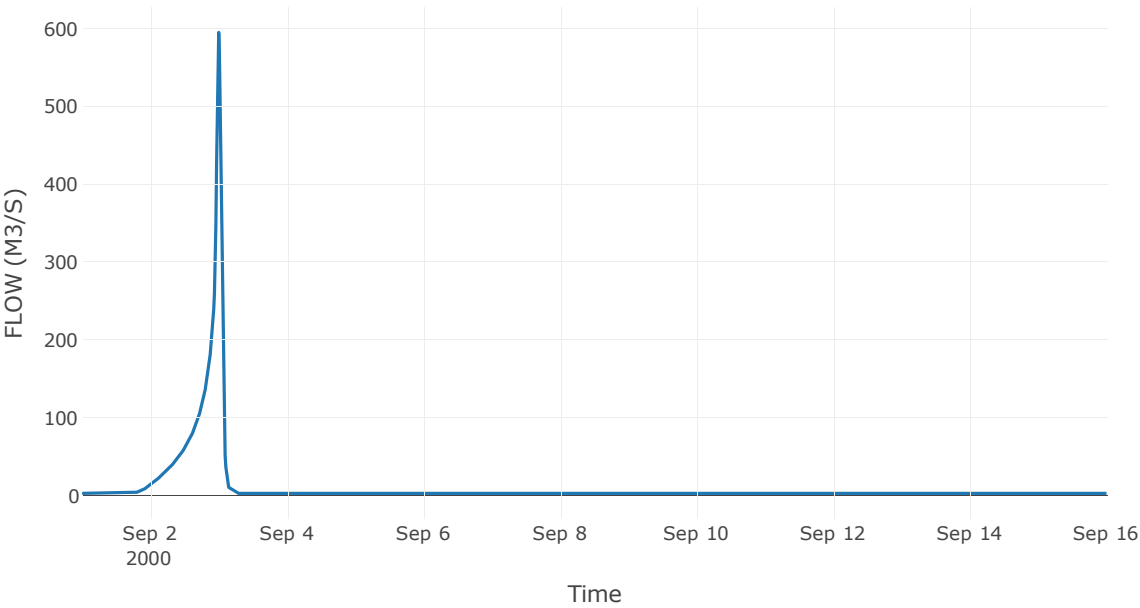
Κόμβος: J21

Κατάντη : R2120

Αποτελέσματα: J21

Παροχή Αιχμής(M3/S)	595.19
Χρονική στιγμή αιχμής	02Sep2000, 24:00
Όγκος (MM)	164.19

Απορροή



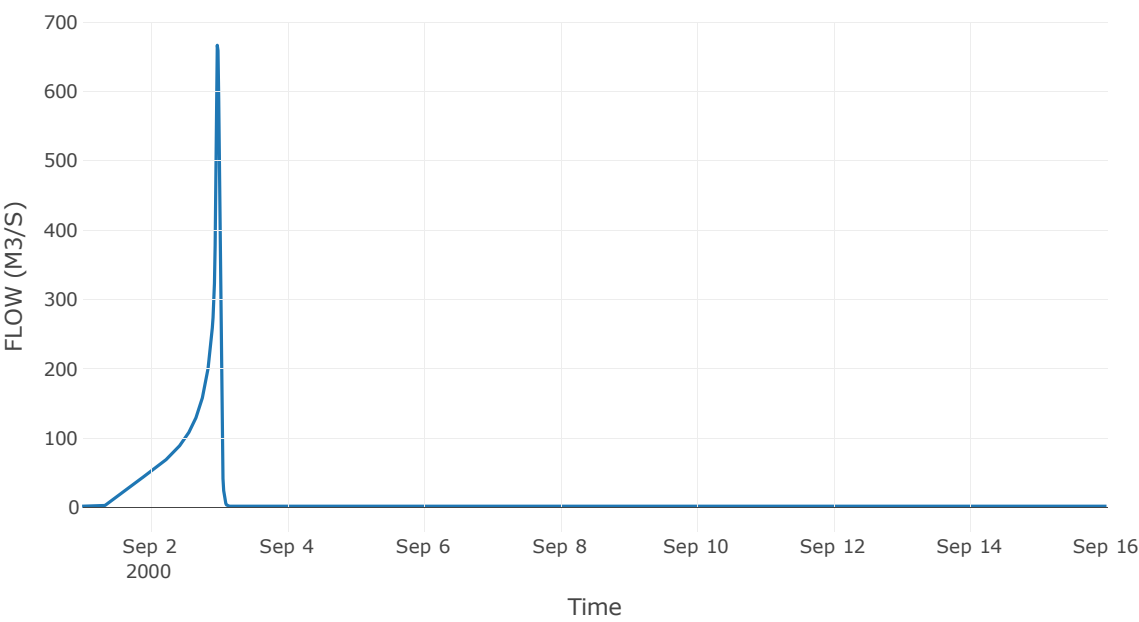
Κόμβος: J22

Κατάντη : R227

Αποτελέσματα: J22

Παροχή Αιχμής(M3/S)	665.94
Χρονική στιγμή αιχμής	02Sep2000, 23:30
Όγκος (MM)	318.61

Απορροή



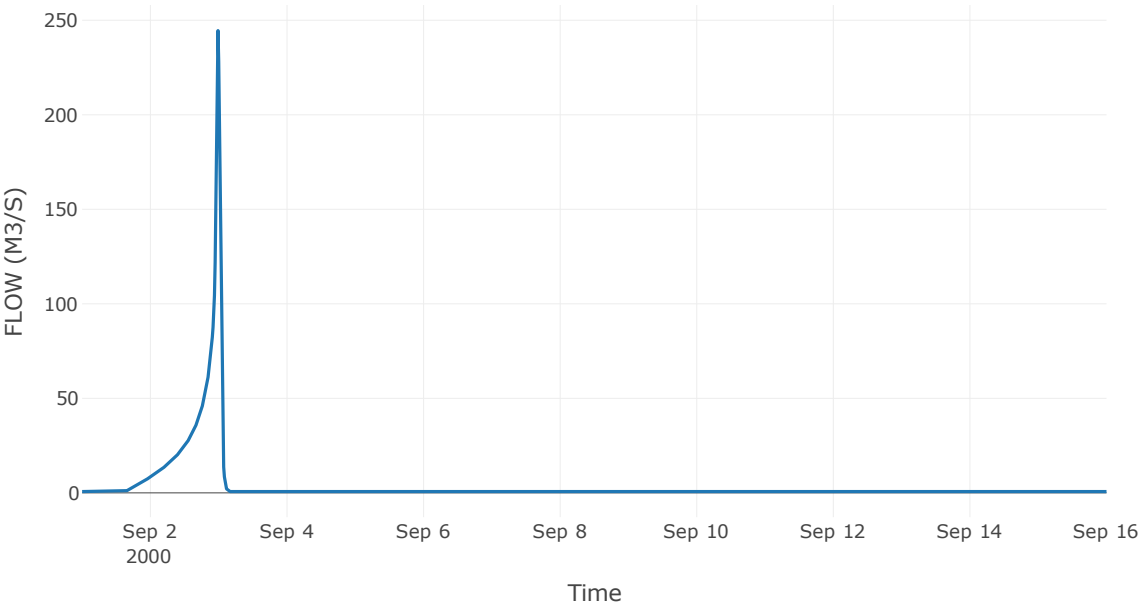
Κόμβος: J23

Κατάντη : R232

Αποτελέσματα: J23

Παροχή Αιχμής(M3/S)	244.53
Χρονική στιγμή αιχμής	02Sep2000, 23:45
Όγκος (MM)	223.65

Απορροή



10 Δεδομένα εισόδου και αποτελέσματα υδρολογικού σεναρίου T=1000U

10.1 Αποτελέσματα, υετογραφήματα και υδρογραφήματα σχεδιασμού υπολεκανών

Υπολεκάνη: EL0421FR001001

Έκταση (KM2) : 7.91

Κατάντη : J1

Μέθοδος Απωλειών: SCS

Ποσοστό αδιαπέρατης επιφάνειας	0
Αριθμός Καμπύλης Απορροής-CN	85.74
Αρχικές Απώλειες	8.45

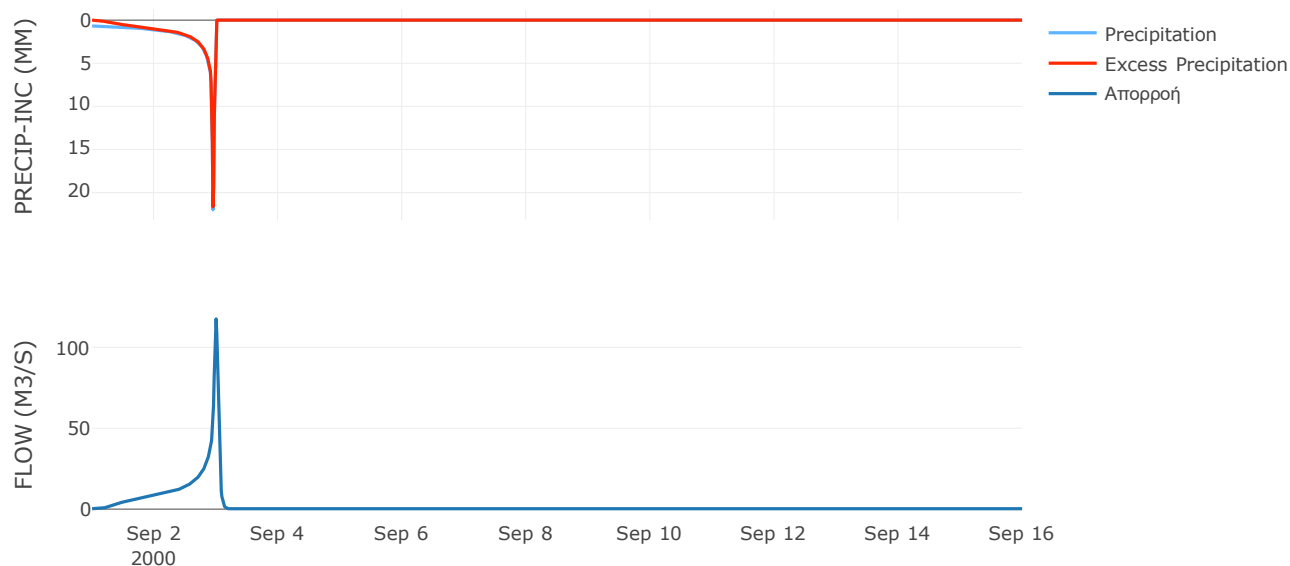
Μέθοδος Μετασχηματισμού: SCS

Χρόνος Υστέρησης	54.79
------------------	-------

Αποτελέσματα:
EL0421FR001001

Παροχή αιχμής (M3/S)	117.59
Χρονική στιγμή αιχμής	02Sep2000, 24:00
Όγκος (MM)	357.76
Όγκος βροχόπτωσης (M3)	2.88E6
Όγκος απωλειών (M3)	3.66E5
Ενεργός Όγκος (M3)	2.51E6
Όγκος άμεσης απορροής (M3)	2.51E6
Όγκος βασικής απορροής (M3)	3.18E5

Βροχόπτωση και Απορροή



Υπολεκάνη: EL0421FR001002

Έκταση (KM2) : 7.13

Κατάντη : J2

Μέθοδος Απωλειών: SCS

Ποσοστό αδιαπέρατης επιφάνειας	0
Αριθμός Καμπύλης Απορροής-CN	74.89
Αρχικές Απώλειες	17.04

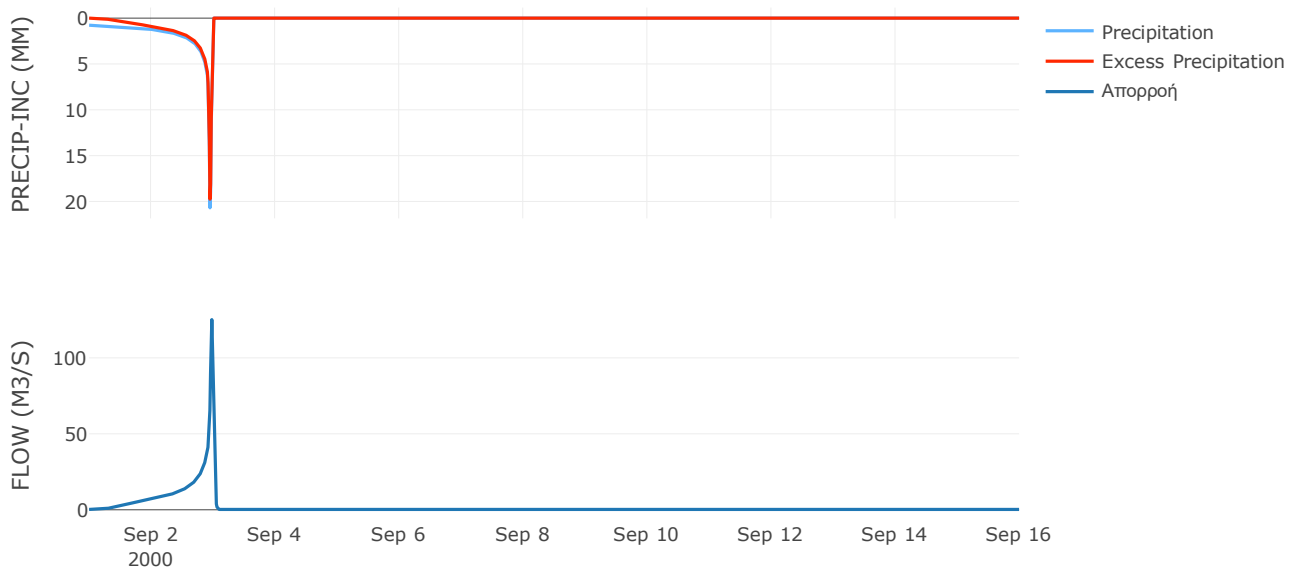
Μέθοδος Μετασχηματισμού: SCS

Χρόνος Υστέρησης	25.26
------------------	-------

Αποτελέσματα:
EL0421FR001002

Παροχή αιχμής (M3/S)	125.15
Χρονική στιγμή αιχμής	02Sep2000, 23:30
Όγκος (MM)	340.68
Όγκος βροχόπτωσης (M3)	2.76E6
Όγκος απωλειών (M3)	6.15E5
Ενεργός Όγκος (M3)	2.14E6
Όγκος άμεσης απορροής (M3)	2.14E6
Όγκος βασικής απορροής (M3)	2.86E5

Βροχόπτωση και Απορροή



Υπολεκάνη: EL0421FR001003

Έκταση (KM2) : 10.09

Κατάντη : J3

Μέθοδος Απωλειών: SCS

Ποσοστό αδιαπέρατης επιφάνειας	0
Αριθμός Καμπύλης Απορροής-CN	79.83
Αρχικές Απώλειες	12.84

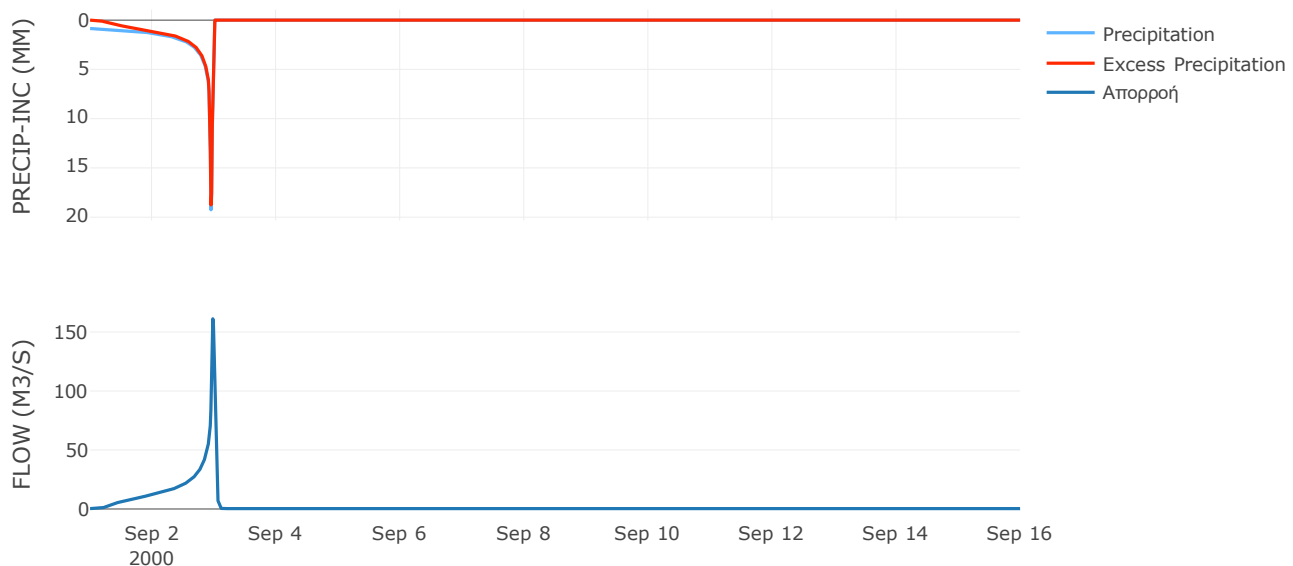
Μέθοδος Μετασχηματισμού: SCS

Χρόνος Υστέρησης	33.06
------------------	-------

Αποτελέσματα:
EL0421FR001003

Παροχή αιχμής (M3/S)	161.24
Χρονική στιγμή αιχμής	02Sep2000, 23:30
Όγκος (MM)	374.24
Όγκος βροχόπτωσης (M3)	4.06E6
Όγκος απωλειών (M3)	6.85E5
Ενεργός Όγκος (M3)	3.37E6
Όγκος άμεσης απορροής (M3)	3.37E6
Όγκος βασικής απορροής (M3)	4.05E5

Βροχόπτωση και Απορροή



Υπολεκάνη: EL0421FR001004

Έκταση (KM2) : 2.73

Κατάντη : J4

Μέθοδος Απωλειών: SCS

Ποσοστό αδιαπέρατης επιφάνειας	0
Αριθμός Καμπύλης Απορροής-CN	84.8
Αρχικές Απώλειες	9.11

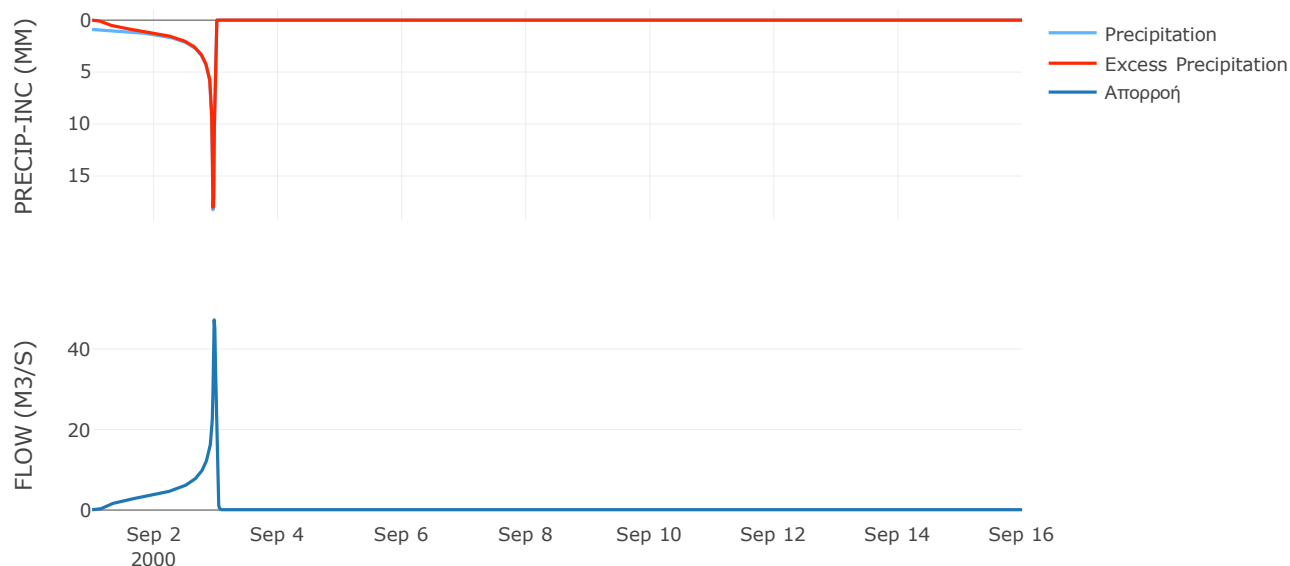
Μέθοδος Μετασχηματισμού: SCS

Χρόνος Υστέρησης	18.8
------------------	------

Αποτελέσματα:
EL0421FR001004

Παροχή αιχμής (M3/S)	47.24
Χρονική στιγμή αιχμής	02Sep2000, 23:15
Όγκος (MM)	399.67
Όγκος βροχόπτωσης (M3)	1.12E6
Όγκος απωλειών (M3)	1.36E5
Ενεργός Όγκος (M3)	9.81E5
Όγκος άμεσης απορροής (M3)	9.81E5
Όγκος βασικής απορροής (M3)	1.1E5

Βροχόπτωση και Απορροή



Υπολεκάνη: EL0421FR001005

Έκταση (KM2) : 18.09

Κατάντη : J5

Μέθοδος Απωλειών: SCS

Ποσοστό αδιαπέρατης επιφάνειας	0
Αριθμός Καμπύλης Απορροής-CN	77.59
Αρχικές Απώλειες	14.68

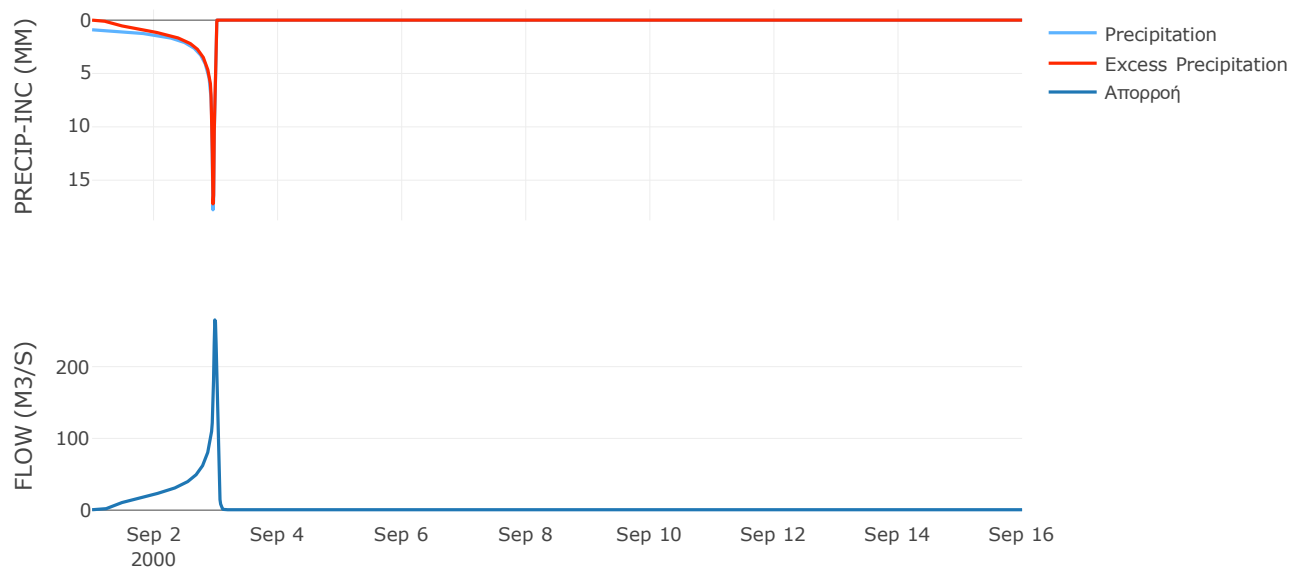
Μέθοδος Μετασχηματισμού: SCS

Χρόνος Υστέρησης	35.12
------------------	-------

Αποτελέσματα:
EL0421FR001005

Παροχή αιχμής (M3/S)	265.16
Χρονική στιγμή αιχμής	02Sep2000, 23:30
Όγκος (MM)	371.14
Όγκος βροχόπτωσης (M3)	7.37E6
Όγκος απωλειών (M3)	1.38E6
Ενεργός Όγκος (M3)	5.99E6
Όγκος άμεσης απορροής (M3)	5.99E6
Όγκος βασικής απορροής (M3)	7.27E5

Βροχόπτωση και Απορροή



Υπολεκάνη: EL0421FR001006

Έκταση (KM2) : 33.49

Κατάντη : J6

Μέθοδος Απωλειών: SCS

Ποσοστό αδιαπέρατης επιφάνειας	0
Αριθμός Καμπύλης Απορροής-CN	85.25
Αρχικές Απώλειες	8.79

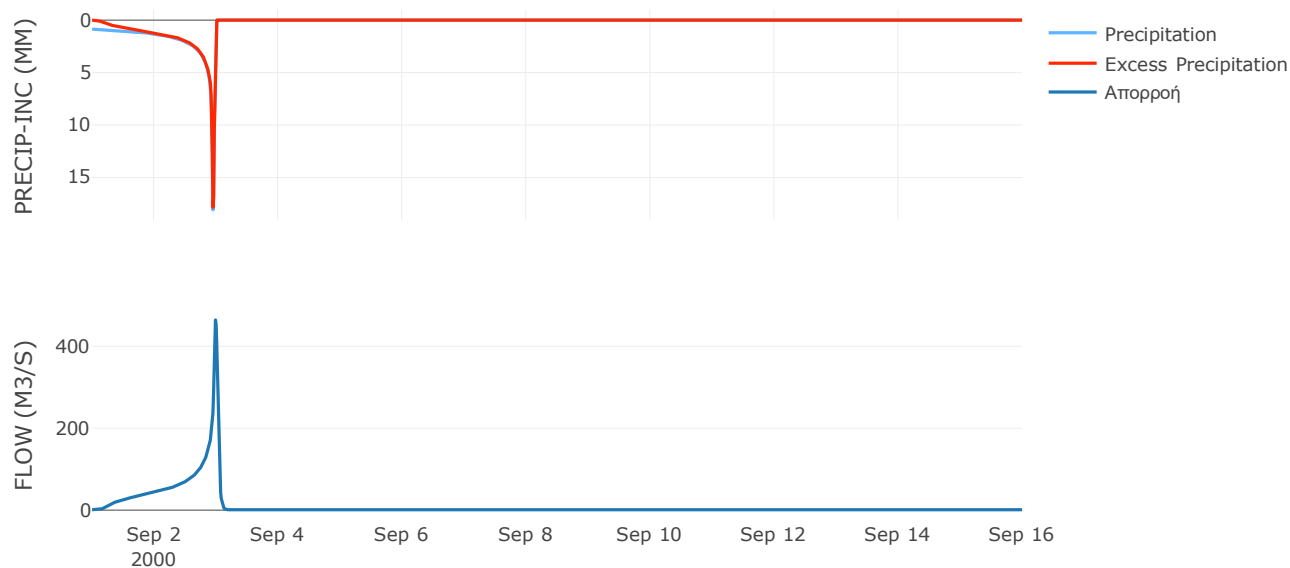
Μέθοδος Μετασχηματισμού: SCS

Χρόνος Υστέρησης	47.85
------------------	-------

Αποτελέσματα:
EL0421FR001006

Παροχή αιχμής (M3/S)	464.35
Χρονική στιγμή αιχμής	02Sep2000, 23:45
Όγκος (MM)	386.5
Όγκος βροχόπτωσης (M3)	1.32E7
Όγκος απωλειών (M3)	1.61E6
Ενεργός Όγκος (M3)	1.16E7
Όγκος άμεσης απορροής (M3)	1.16E7
Όγκος βασικής απορροής (M3)	1.35E6

Βροχόπτωση και Απορροή



Υπολεκάνη: EL0421FR001007

Έκταση (KM2) : 33.81

Κατάντη : J7

Μέθοδος Απωλειών: SCS

Ποσοστό αδιαπέρατης επιφάνειας	0
Αριθμός Καμπύλης Απορροής-CN	91.18
Αρχικές Απώλειες	4.91

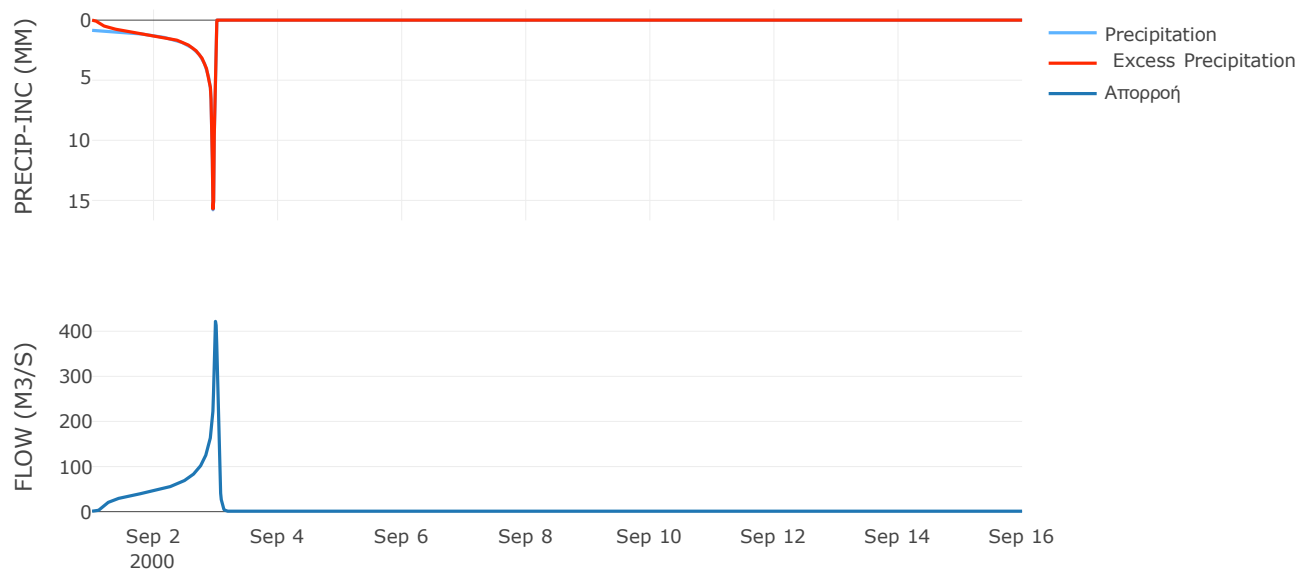
Μέθοδος Μετασχηματισμού: SCS

Χρόνος Υστέρησης	48.1
------------------	------

Αποτελέσματα:
EL0421FR001007

Παροχή αιχμής (M3/S)	421.87
Χρονική στιγμή αιχμής	02Sep2000, 23:45
Όγκος (MM)	387.57
Όγκος βροχόπτωσης (M3)	1.27E7
Όγκος απωλειών (M3)	9.45E5
Ενεργός Όγκος (M3)	1.17E7
Όγκος άμεσης απορροής (M3)	1.17E7
Όγκος βασικής απορροής (M3)	1.36E6

Βροχόπτωση και Απορροή



Υπολεκάνη: EL0421FR001008

Έκταση (KM2) : 8.14

Κατάντη : J8

Μέθοδος Απωλειών: SCS

Ποσοστό αδιαπέρατης επιφάνειας	0
Αριθμός Καμπύλης Απορροής-CN	88.4
Αρχικές Απώλειες	6.67

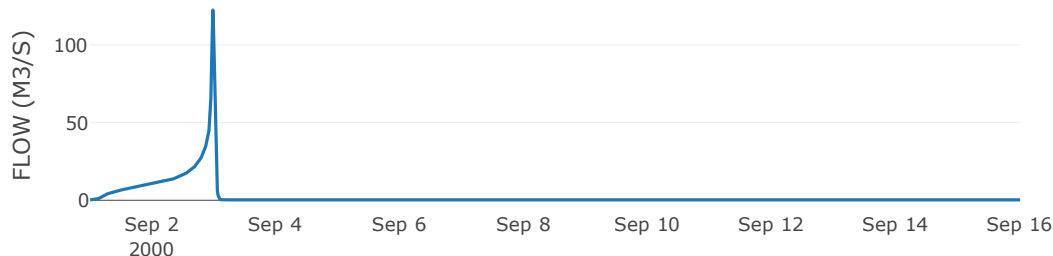
Μέθοδος Μετασχηματισμού: SCS

Χρόνος Υστέρησης	29.01
------------------	-------

Αποτελέσματα:
EL0421FR001008

Παροχή αιχμής (M3/S)	122.48
Χρονική στιγμή αιχμής	02Sep2000, 23:30
Όγκος (MM)	372.54
Όγκος βροχόπτωσης (M3)	3.01E6
Όγκος απωλειών (M3)	3.03E5
Ενεργός Όγκος (M3)	2.71E6
Όγκος άμεσης απορροής (M3)	2.71E6
Όγκος βασικής απορροής (M3)	3.27E5

Βροχόπτωση και Απορροή



Υπολεκάνη: EL0421FR001009

Έκταση (KM2) : 9.96

Κατάντη : J9

Μέθοδος Απωλειών: SCS

Ποσοστό αδιαπέρατης επιφάνειας	0
Αριθμός Καμπύλης Απορροής-CN	90.33
Αρχικές Απώλειες	5.44

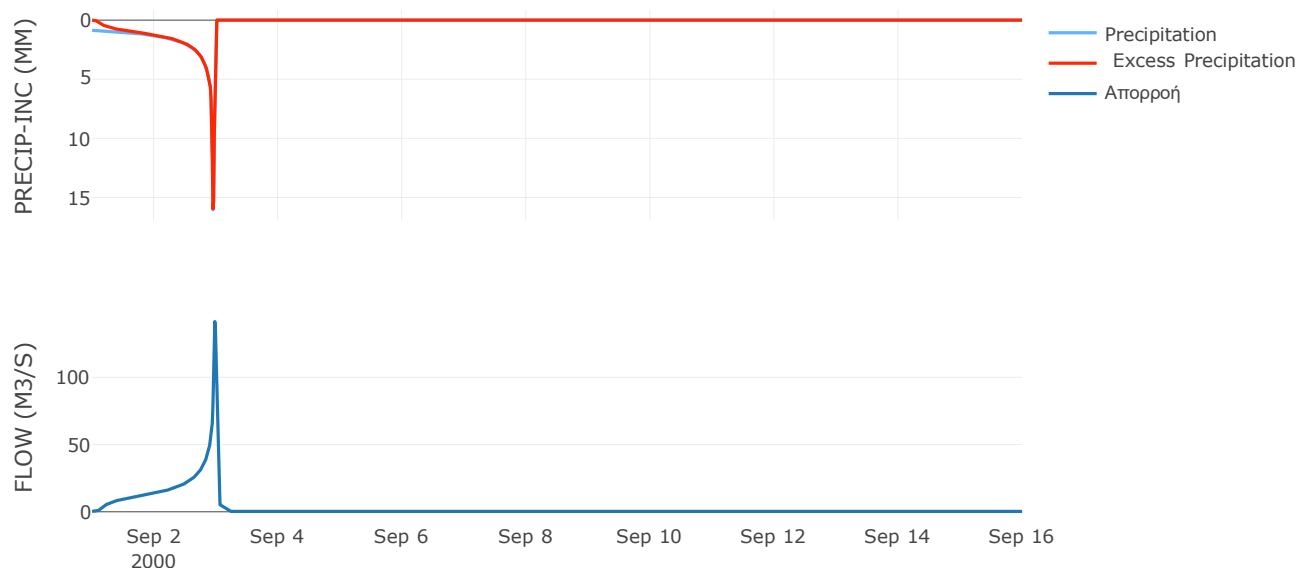
Μέθοδος Μετασχηματισμού: SCS

Χρόνος Υστέρησης	31.41
------------------	-------

Αποτελέσματα:
EL0421FR001009

Παροχή αιχμής (M3/S)	141.41
Χρονική στιγμή αιχμής	02Sep2000, 23:30
Όγκος (MM)	390.12
Όγκος βροχόπτωσης (M3)	3.79E6
Όγκος απωλειών (M3)	3.07E5
Ενεργός Όγκος (M3)	3.48E6
Όγκος άμεσης απορροής (M3)	3.48E6
Όγκος βασικής απορροής (M3)	4E5

Βροχόπτωση και Απορροή



Υπολεκάνη: EL0421FR001010

Έκταση (KM2) : 28.77

Κατάντη : J10 Res1

Μέθοδος Απωλειών: SCS

Ποσοστό αδιαπέρατης επιφάνειας	0.14
Αριθμός Καμπύλης Απορροής-CN	90.2
Αρχικές Απώλειες	5.52

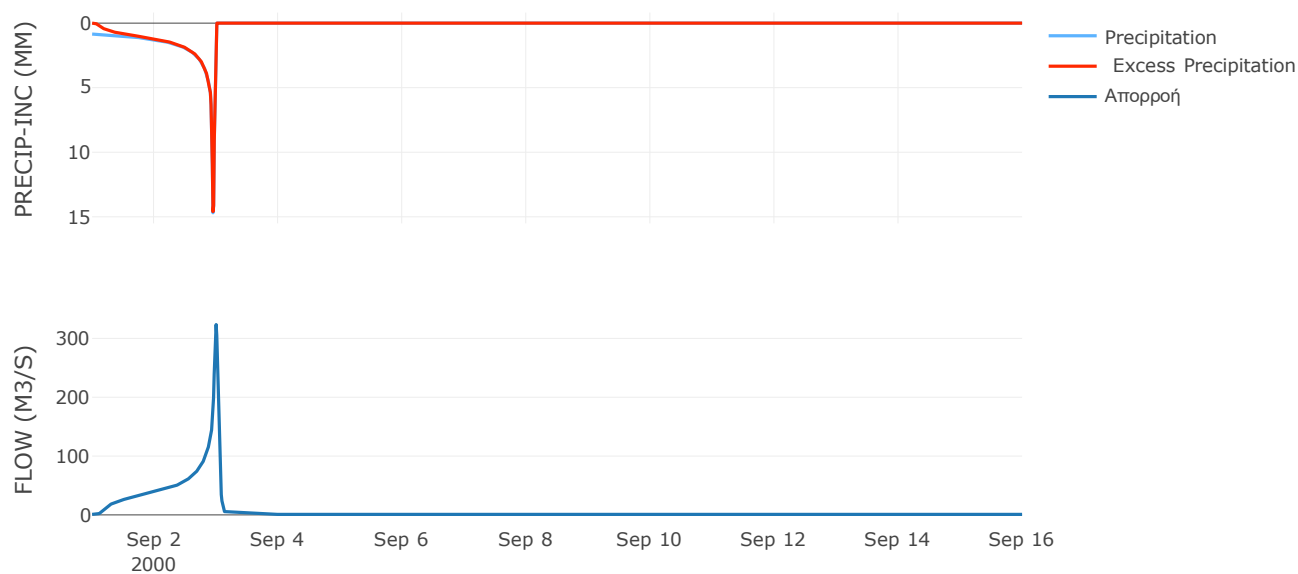
Μέθοδος Μετασχηματισμού: SCS

Χρόνος Υστέρησης	56.02
------------------	-------

Αποτελέσματα:
EL0421FR001010

Παροχή αιχμής (M3/S)	323.56
Χρονική στιγμή αιχμής	02Sep2000, 24:00
Όγκος (MM)	375.07
Όγκος βροχόπτωσης (M3)	1.05E7
Όγκος απωλειών (M3)	8.95E5
Ενεργός Όγκος (M3)	9.63E6
Όγκος άμεσης απορροής (M3)	9.63E6
Όγκος βασικής απορροής (M3)	1.16E6

Βροχόπτωση και Απορροή



Υπολεκάνη: EL0421FR001011

Έκταση (KM2) : 2.42

Κατάντη : J11

Μέθοδος Απωλειών: SCS

Ποσοστό αδιαπέρατης επιφάνειας	0.38
Αριθμός Καμπύλης Απορροής-CN	89.68
Αρχικές Απώλειες	5.84

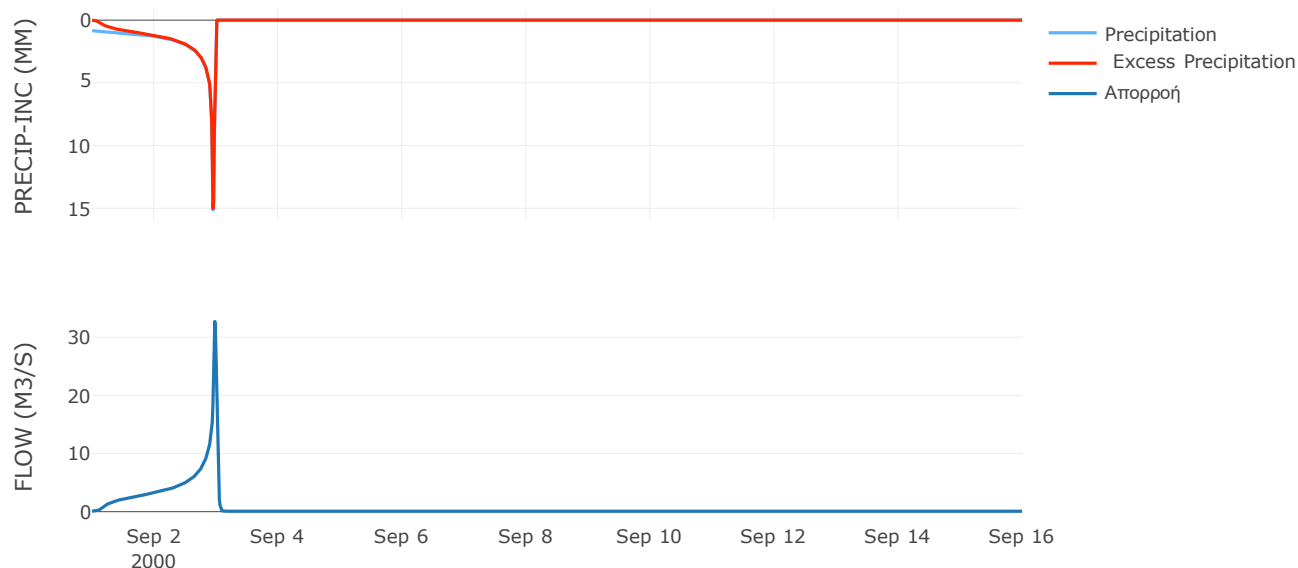
Μέθοδος Μετασχηματισμού: SCS

Χρόνος Υστέρησης	30.71
------------------	-------

Αποτελέσματα:
EL0421FR001011

Παροχή αιχμής (M3/S)	32.71
Χρονική στιγμή αιχμής	02Sep2000, 23:30
Όγκος (MM)	375.87
Όγκος βροχόπτωσης (M3)	8.91E5
Όγκος απωλειών (M3)	79191.39
Ενεργός Όγκος (M3)	8.11E5
Όγκος άμεσης απορροής (M3)	8.11E5
Όγκος βασικής απορροής (M3)	97113.17

Βροχόπτωση και Απορροή



Υπολεκάνη: EL0421FR001012

Έκταση (KM2) : 33.86

Κατάντη : J12

Μέθοδος Απωλειών: SCS

Ποσοστό αδιαπέρατης επιφάνειας	0.09
Αριθμός Καμπύλης Απορροής-CN	79.54
Αρχικές Απώλειες	13.07

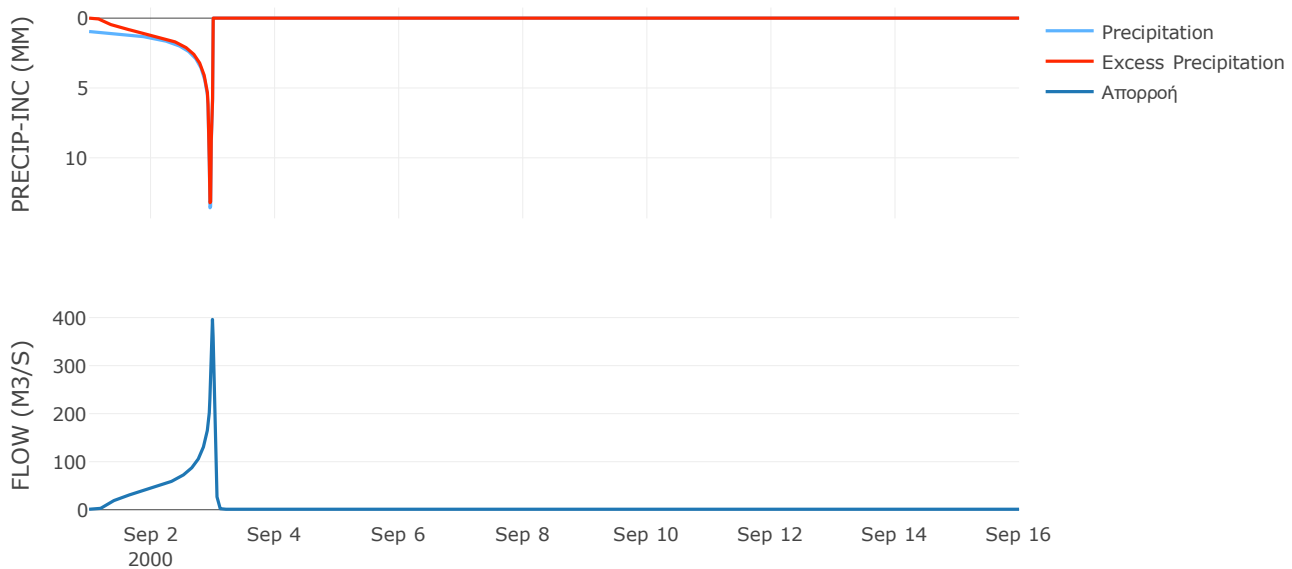
Μέθοδος Μετασχηματισμού: SCS

Χρόνος Υστέρησης	36.62
------------------	-------

Αποτελέσματα:
EL0421FR001012

Παροχή αιχμής (M3/S)	396.15
Χρονική στιγμή αιχμής	02Sep2000, 23:45
Όγκος (MM)	360.07
Όγκος βροχόπτωσης (M3)	1.32E7
Όγκος απωλειών (M3)	2.33E6
Ενεργός Όγκος (M3)	1.08E7
Όγκος άμεσης απορροής (M3)	1.08E7
Όγκος βασικής απορροής (M3)	1.36E6

Βροχόπτωση και Απορροή



Υπολεκάνη: EL0421FR001013

Έκταση (KM2) : 34.09

Κατάντη : J13

Μέθοδος Απωλειών: SCS

Ποσοστό αδιαπέρατης επιφάνειας	0
Αριθμός Καμπύλης Απορροής-CN	42.33
Αρχικές Απώλειες	12.64

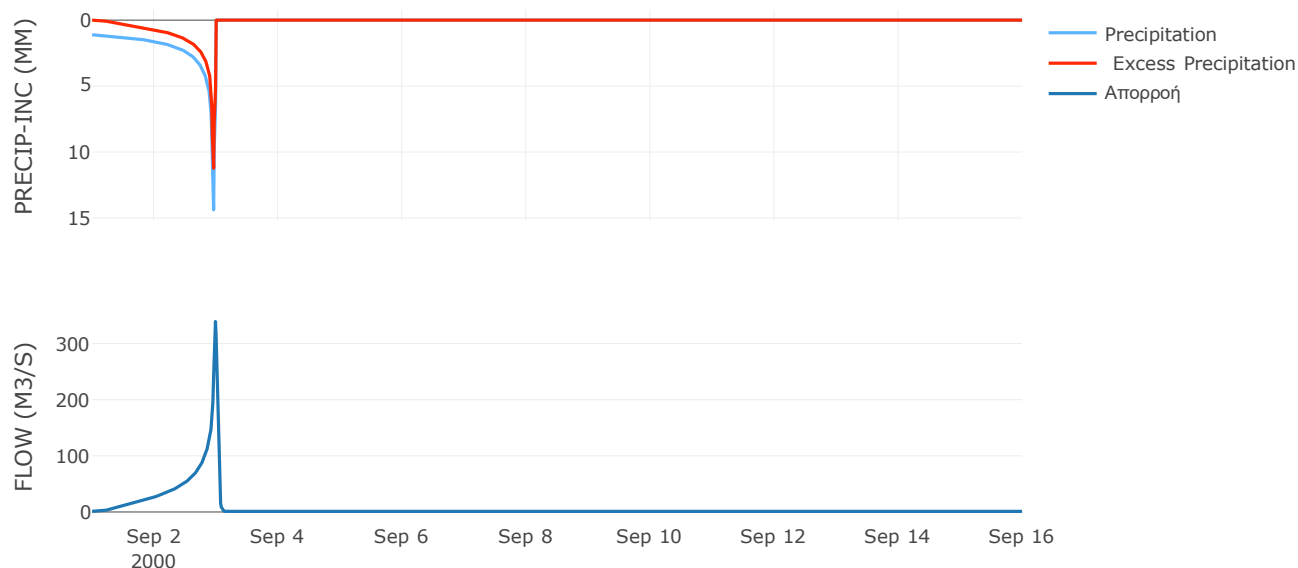
Μέθοδος Μετασχηματισμού: SCS

Χρόνος Υστέρησης	37.31
------------------	-------

Αποτελέσματα:
EL0421FR001013

Παροχή αιχμής (M3/S)	339.16
Χρονική στιγμή αιχμής	02Sep2000, 23:45
Όγκος (MM)	273.76
Όγκος βροχόπτωσης (M3)	1.49E7
Όγκος απωλειών (M3)	6.93E6
Ενεργός Όγκος (M3)	7.96E6
Όγκος άμεσης απορροής (M3)	7.96E6
Όγκος βασικής απορροής (M3)	1.37E6

Βροχόπτωση και Απορροή



Υπολεκάνη: EL0421FR001014

Έκταση (KM2) : 11.34

Κατάντη : J14

Μέθοδος Απωλειών: SCS

Ποσοστό αδιαπέρατης επιφάνειας	0
Αριθμός Καμπύλης Απορροής-CN	86.38
Αρχικές Απώλειες	8.01

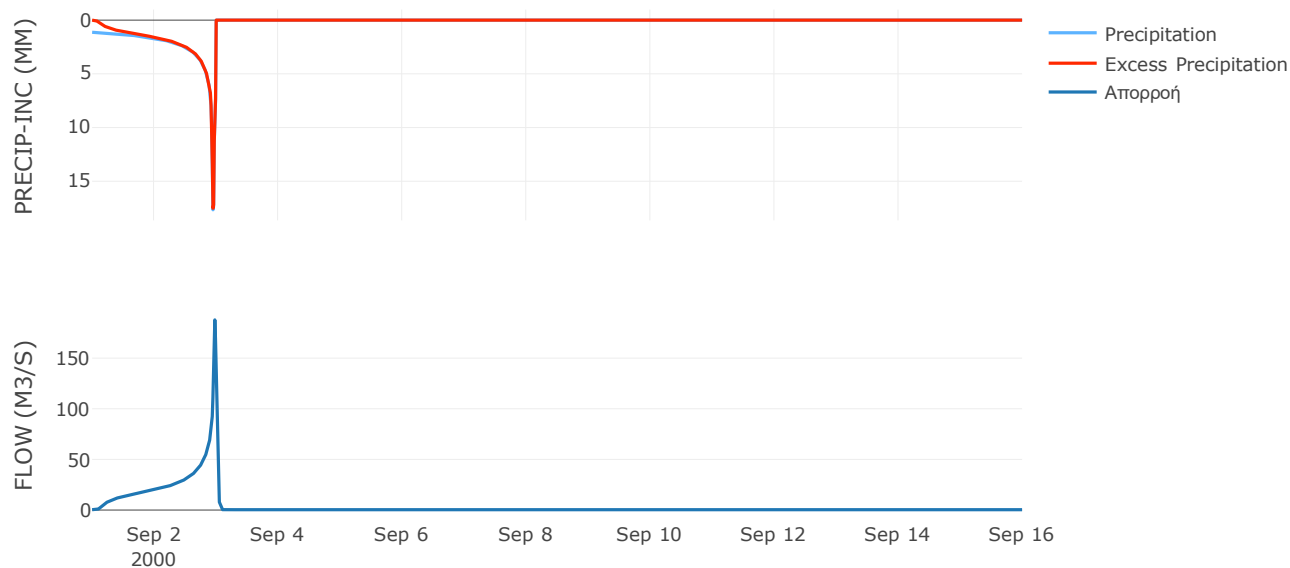
Μέθοδος Μετασχηματισμού: SCS

Χρόνος Υστέρησης	26.79
------------------	-------

Αποτελέσματα:
EL0421FR001014

Παροχή αιχμής (M3/S)	187.75
Χρονική στιγμή αιχμής	02Sep2000, 23:30
Όγκος (MM)	468.17
Όγκος βροχόπτωσης (M3)	5.36E6
Όγκος απωλειών (M3)	5.09E5
Ενεργός Όγκος (M3)	4.85E6
Όγκος άμεσης απορροής (M3)	4.85E6
Όγκος βασικής απορροής (M3)	4.56E5

Βροχόπτωση και Απορροή



Υπολεκάνη: EL0421FR001015

Έκταση (KM2) : 20.48

Κατάντη : J15

Μέθοδος Απωλειών: SCS

Ποσοστό αδιαπέρατης επιφάνειας	0
Αριθμός Καμπύλης Απορροής-CN	85.05
Αρχικές Απώλειες	8.93

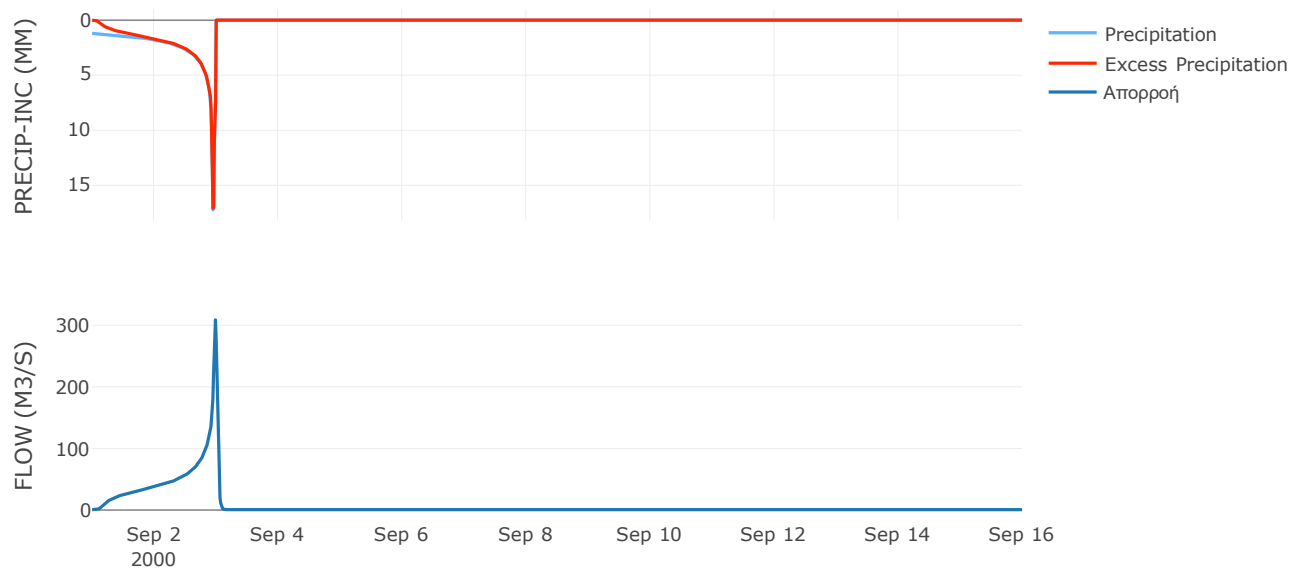
Μέθοδος Μετασχηματισμού: SCS

Χρόνος Υστέρησης	36.43
------------------	-------

Αποτελέσματα:
EL0421FR001015

Παροχή αιχμής (M3/S)	308.8
Χρονική στιγμή αιχμής	02Sep2000, 23:45
Όγκος (MM)	479.94
Όγκος βροχόπτωσης (M3)	1E7
Όγκος απωλειών (M3)	1.02E6
Ενεργός Όγκος (M3)	9E6
Όγκος άμεσης απορροής (M3)	9E6
Όγκος βασικής απορροής (M3)	8.23E5

Βροχόπτωση και Απορροή



Υπολεκάνη: EL0421FR001016

Έκταση (KM2) : 15.22

Κατάντη : J16

Μέθοδος Απωλειών: SCS

Ποσοστό αδιαπέρατης επιφάνειας	0
Αριθμός Καμπύλης Απορροής-CN	84.41
Αρχικές Απώλειες	9.38

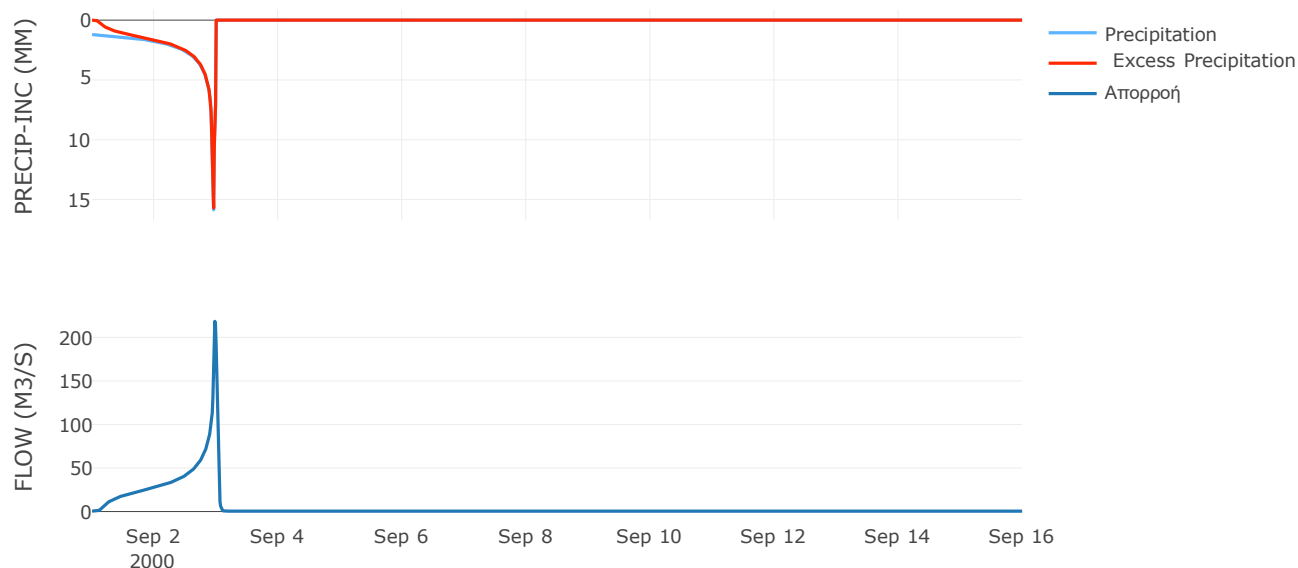
Μέθοδος Μετασχηματισμού: SCS

Χρόνος Υστέρησης	33.77
------------------	-------

Αποτελέσματα:
EL0421FR001016

Παροχή αιχμής (M3/S)	218.44
Χρονική στιγμή αιχμής	02Sep2000, 23:30
Όγκος (MM)	465.55
Όγκος βροχόπτωσης (M3)	7.27E6
Όγκος απωλειών (M3)	7.92E5
Ενεργός Όγκος (M3)	6.47E6
Όγκος άμεσης απορροής (M3)	6.47E6
Όγκος βασικής απορροής (M3)	6.11E5

Βροχόπτωση και Απορροή



Υπολεκάνη: EL0421FR001017

Έκταση (KM2) : 32

Κατάντη : J17

Μέθοδος Απωλειών: SCS

Ποσοστό αδιαπέρατης επιφάνειας	0
Αριθμός Καμπύλης Απορροής-CN	88.51
Αρχικές Απώλειες	6.6

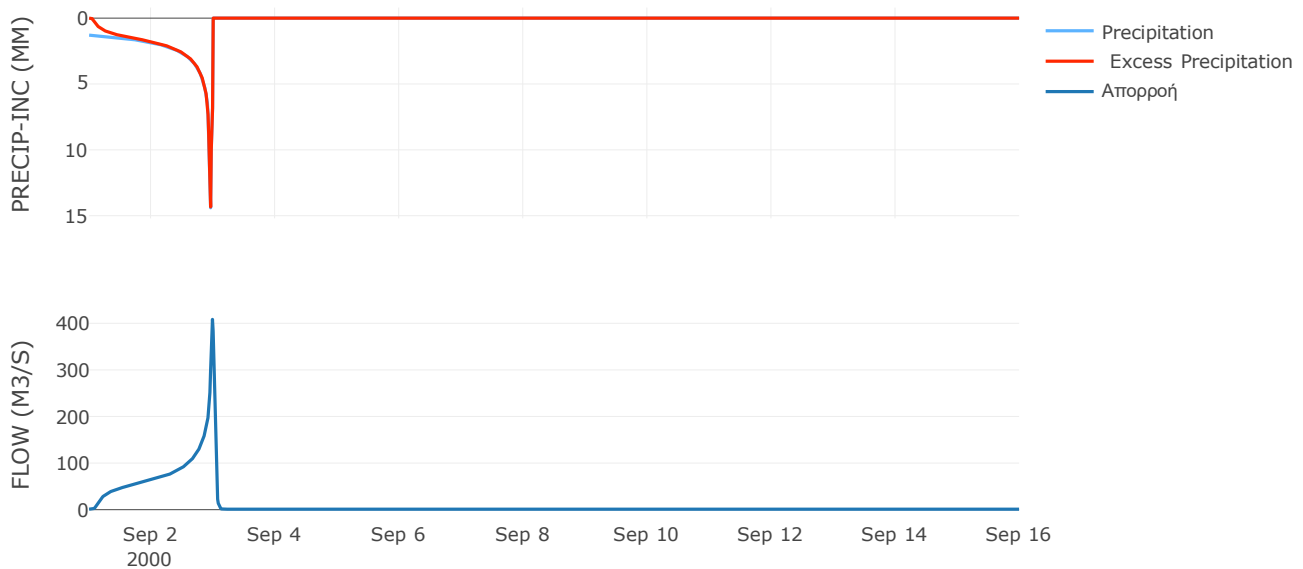
Μέθοδος Μετασχηματισμού: SCS

Χρόνος Υστέρησης	39.86
------------------	-------

Αποτελέσματα:
EL0421FR001017

Παροχή αιχμής (M3/S)	408.43
Χρονική στιγμή αιχμής	02Sep2000, 23:45
Όγκος (MM)	486.25
Όγκος βροχόπτωσης (M3)	1.55E7
Όγκος απωλειών (M3)	1.2E6
Ενεργός Όγκος (M3)	1.43E7
Όγκος άμεσης απορροής (M3)	1.43E7
Όγκος βασικής απορροής (M3)	1.29E6

Βροχόπτωση και Απορροή



Υπολεκάνη: EL0421FR001018

Έκταση (KM2) : 15.19

Κατάντη : J17

Μέθοδος Απωλειών: SCS

Ποσοστό αδιαπέρατης επιφάνειας	0
Αριθμός Καμπύλης Απορροής-CN	81.76
Αρχικές Απώλειες	11.33

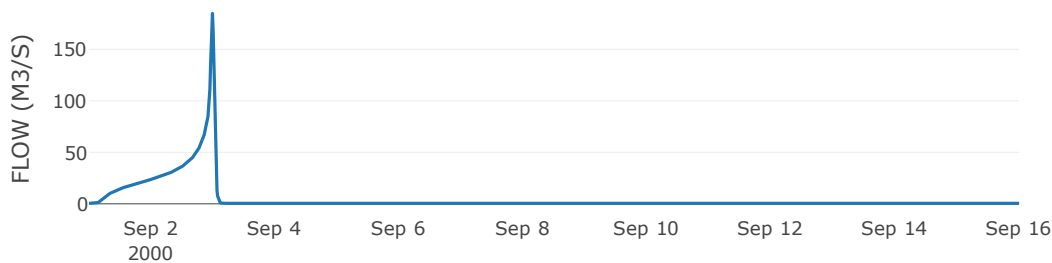
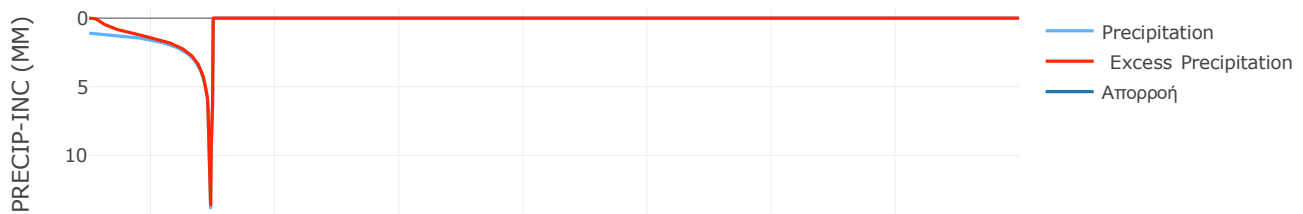
Μέθοδος Μετασχηματισμού: SCS

Χρόνος Υστέρησης	36.74
------------------	-------

Αποτελέσματα:
EL0421FR001018

Παροχή αιχμής (M3/S)	184.76
Χρονική στιγμή αιχμής	02Sep2000, 23:45
Όγκος (MM)	406.26
Όγκος βροχόπτωσης (M3)	6.49E6
Όγκος απωλειών (M3)	9.3E5
Ενεργός Όγκος (M3)	5.56E6
Όγκος άμεσης απορροής (M3)	5.56E6
Όγκος βασικής απορροής (M3)	6.1E5

Βροχόπτωση και Απορροή



Υπολεκάνη: EL0421FR001019

Έκταση (KM2) : 21.21

Κατάντη : J17

Μέθοδος Απωλειών: SCS

Ποσοστό αδιαπέρατης επιφάνειας	0
Αριθμός Καμπύλης Απορροής-CN	80.45
Αρχικές Απώλειες	12.35

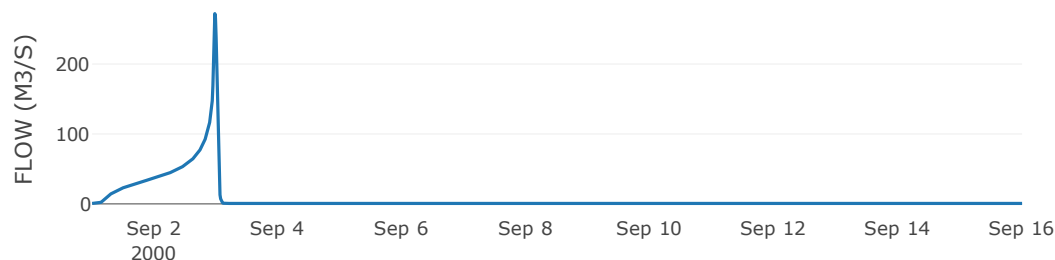
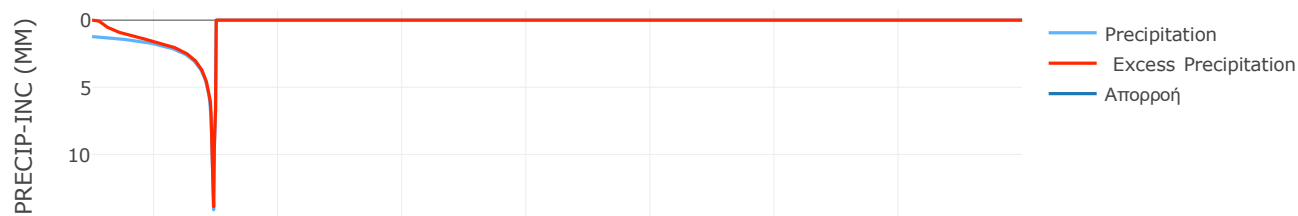
Μέθοδος Μετασχηματισμού: SCS

Χρόνος Υστέρησης	32.86
------------------	-------

Αποτελέσματα:
EL0421FR001019

Παροχή αιχμής (M3/S)	272.1
Χρονική στιγμή αιχμής	02Sep2000, 23:30
Όγκος (MM)	437.16
Όγκος βροχόπτωσης (M3)	9.83E6
Όγκος απωλειών (M3)	1.41E6
Ενεργός Όγκος (M3)	8.42E6
Όγκος άμεσης απορροής (M3)	8.42E6
Όγκος βασικής απορροής (M3)	8.52E5

Βροχόπτωση και Απορροή



Υπολεκάνη: EL0421FR001020

Έκταση (KM2) : 12.17

Κατάντη : J15

Μέθοδος Απωλειών: SCS

Ποσοστό αδιαπέρατης επιφάνειας	0
Αριθμός Καμπύλης Απορροής-CN	76.22
Αρχικές Απώλειες	15.85

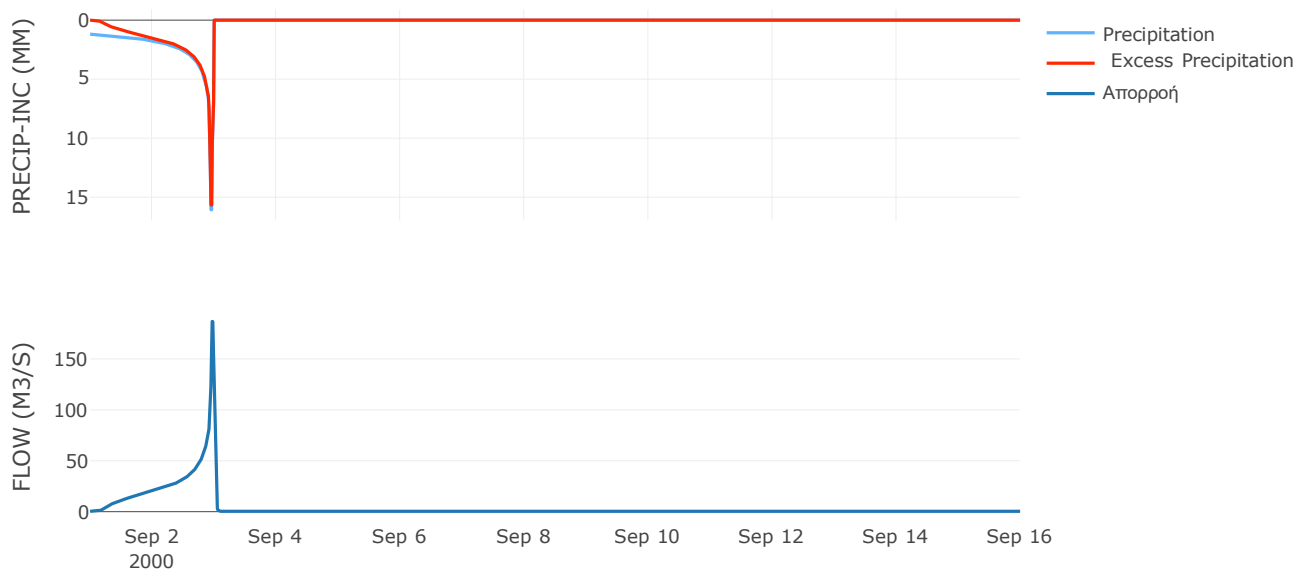
Μέθοδος Μετασχηματισμού: SCS

Χρόνος Υστέρησης	20.45
------------------	-------

Αποτελέσματα:
EL0421FR001020

Παροχή αιχμής (M3/S)	186.76
Χρονική στιγμή αιχμής	02Sep2000, 23:15
Όγκος (MM)	432.11
Όγκος βροχόπτωσης (M3)	5.79E6
Όγκος απωλειών (M3)	1.02E6
Ενεργός Όγκος (M3)	4.77E6
Όγκος άμεσης απορροής (M3)	4.77E6
Όγκος βασικής απορροής (M3)	4.89E5

Βροχόπτωση και Απορροή



Υπολεκάνη: EL0421FR001021

Έκταση (KM2) : 25.71

Κατάντη : J16

Μέθοδος Απωλειών: SCS

Ποσοστό αδιαπέρατης επιφάνειας	0
Αριθμός Καμπύλης Απορροής-CN	89.69
Αρχικές Απώλειες	5.84

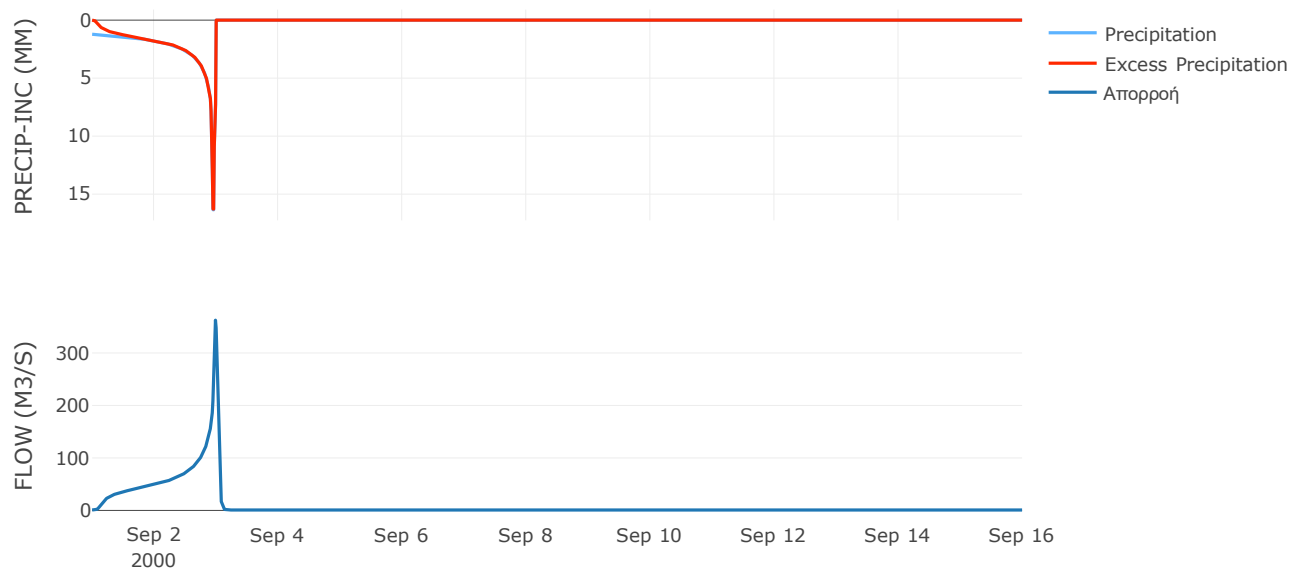
Μέθοδος Μετασχηματισμού: SCS

Χρόνος Υστέρησης	43.93
------------------	-------

Αποτελέσματα:
EL0421FR001021

Παροχή αιχμής (M3/S)	362.45
Χρονική στιγμή αιχμής	02Sep2000, 23:45
Όγκος (MM)	492.27
Όγκος βροχόπτωσης (M3)	1.25E7
Όγκος απωλειών (M3)	8.58E5
Ενεργός Όγκος (M3)	1.16E7
Όγκος άμεσης απορροής (M3)	1.16E7
Όγκος βασικής απορροής (M3)	1.03E6

Βροχόπτωση και Απορροή



Υπολεκάνη: EL0421FR001022

Έκταση (KM2) : 24.36

Κατάντη : J16

Μέθοδος Απωλειών: SCS

Ποσοστό αδιαπέρατης επιφάνειας	0
Αριθμός Καμπύλης Απορροής-CN	89.16
Αρχικές Απώλειες	6.18

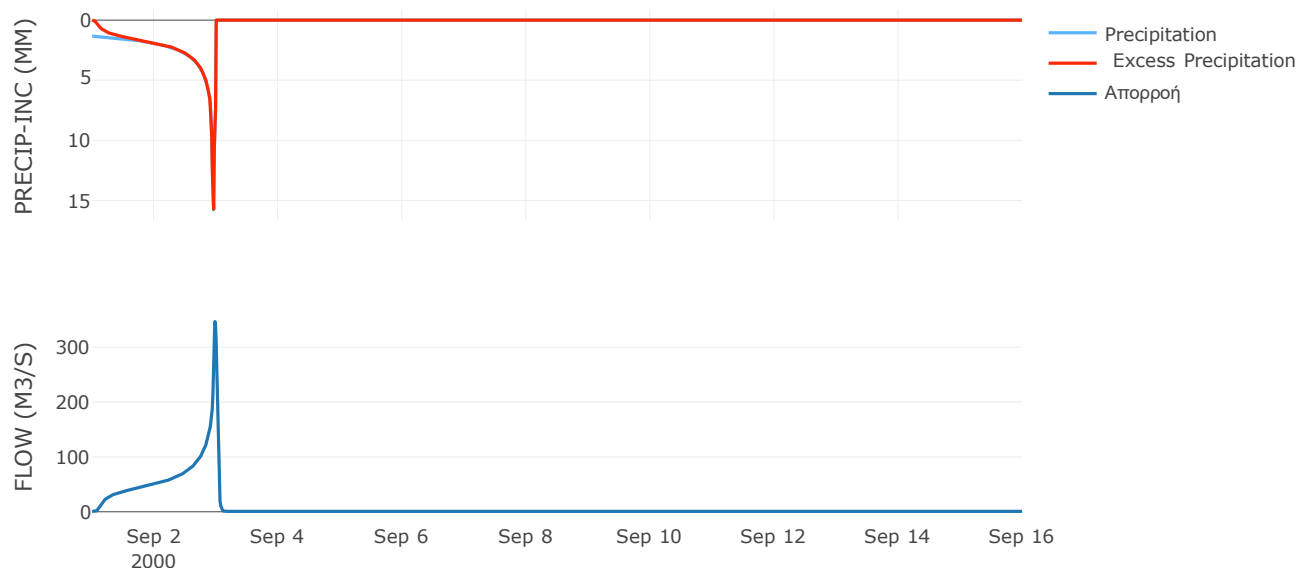
Μέθοδος Μετασχηματισμού: SCS

Χρόνος Υστέρησης	35.09
------------------	-------

Αποτελέσματα:
EL0421FR001022

Παροχή αιχμής (M3/S)	346.61
Χρονική στιγμή αιχμής	02Sep2000, 23:30
Όγκος (MM)	512.43
Όγκος βροχόπτωσης (M3)	1.24E7
Όγκος απωλειών (M3)	8.59E5
Ενεργός Όγκος (M3)	1.15E7
Όγκος άμεσης απορροής (M3)	1.15E7
Όγκος βασικής απορροής (M3)	9.79E5

Βροχόπτωση και Απορροή



Υπολεκάνη: EL0421FR001023

Έκταση (KM2) : 13.31

Κατάντη : J14

Μέθοδος Απωλειών: SCS

Ποσοστό αδιαπέρατης επιφάνειας	0
Αριθμός Καμπύλης Απορροής-CN	87.2
Αρχικές Απώλειες	7.45

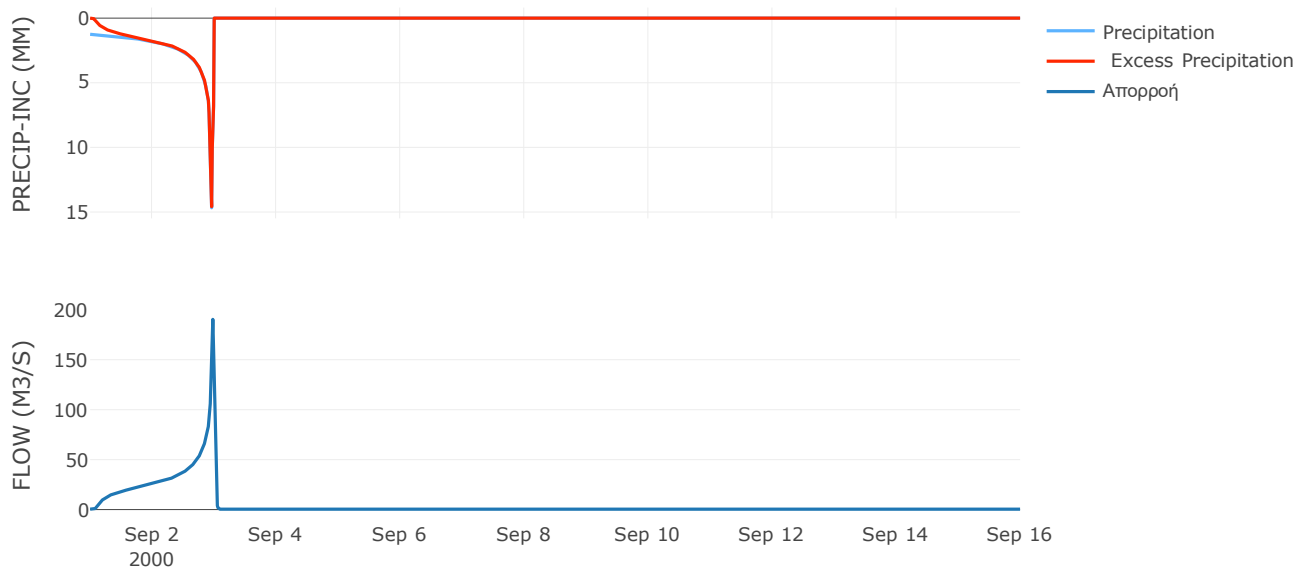
Μέθοδος Μετασχηματισμού: SCS

Χρόνος Υστέρησης	21.38
------------------	-------

Αποτελέσματα:
EL0421FR001023

Παροχή αιχμής (M3/S)	190.4
Χρονική στιγμή αιχμής	02Sep2000, 23:30
Όγκος (MM)	474.03
Όγκος βροχόπτωσης (M3)	6.33E6
Όγκος απωλειών (M3)	5.59E5
Ενεργός Όγκος (M3)	5.78E6
Όγκος άμεσης απορροής (M3)	5.78E6
Όγκος βασικής απορροής (M3)	5.35E5

Βροχόπτωση και Απορροή



Υπολεκάνη: EL0421FR001024

Έκταση (KM2) : 30.28

Κατάντη : J18

Μέθοδος Απωλειών: SCS

Ποσοστό αδιαπέρατης επιφάνειας	0
Αριθμός Καμπύλης Απορροής-CN	89.43
Αρχικές Απώλειες	6.01

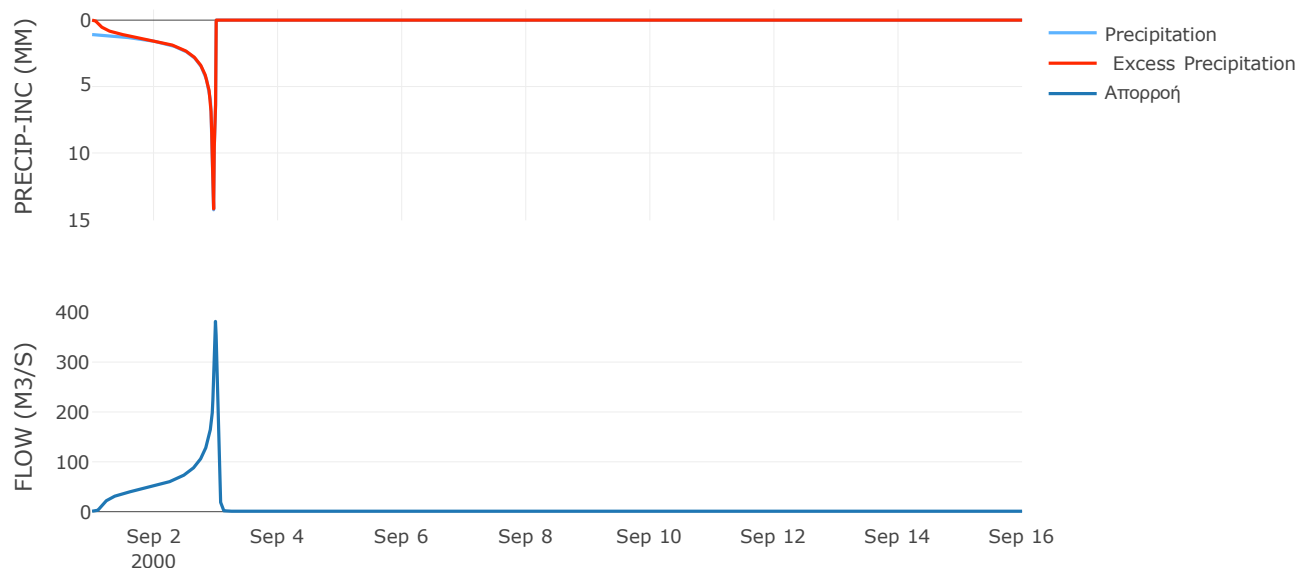
Μέθοδος Μετασχηματισμού: SCS

Χρόνος Υστέρησης	38.82
------------------	-------

Αποτελέσματα:
EL0421FR001024

Παροχή αιχμής (M3/S)	381.56
Χρονική στιγμή αιχμής	02Sep2000, 23:45
Όγκος (MM)	436.24
Όγκος βροχόπτωσης (M3)	1.3E7
Όγκος απωλειών (M3)	1.03E6
Ενεργός Όγκος (M3)	1.2E7
Όγκος άμεσης απορροής (M3)	1.2E7
Όγκος βασικής απορροής (M3)	1.22E6

Βροχόπτωση και Απορροή



Υπολεκάνη: EL0421FR001025

Έκταση (KM2) : 69.37

Κατάντη : J19

Μέθοδος Απωλειών: SCS

Ποσοστό αδιαπέρατης επιφάνειας	0
Αριθμός Καμπύλης Απορροής-CN	85.82
Αρχικές Απώλειες	8.4

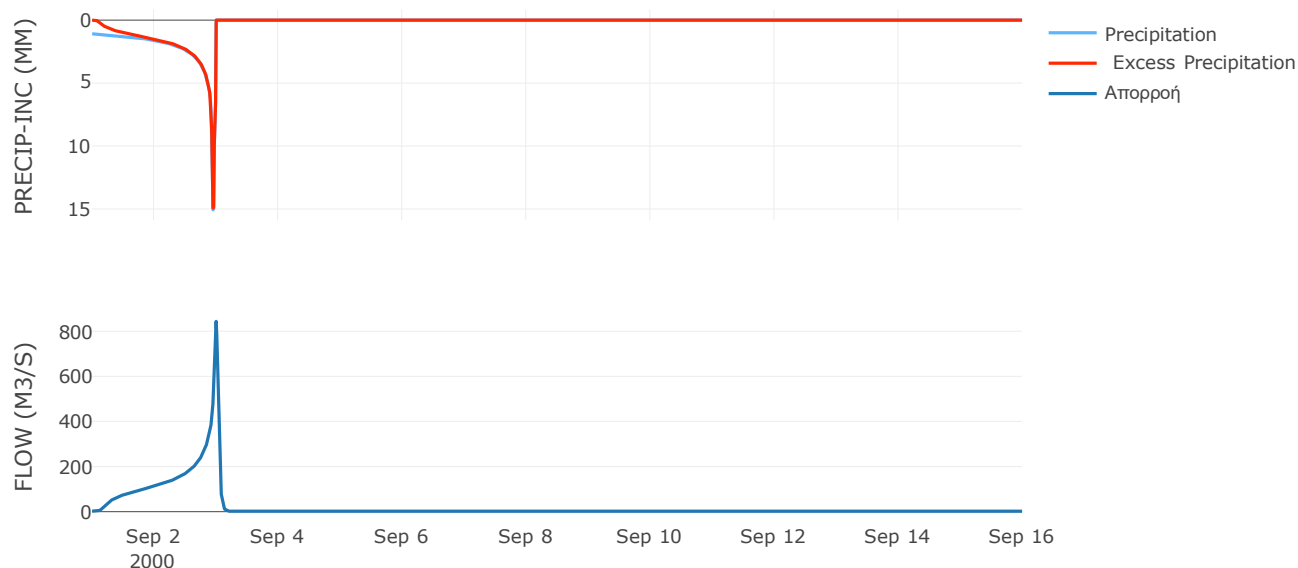
Μέθοδος Μετασχηματισμού: SCS

Χρόνος Υστέρησης	53.06
------------------	-------

Αποτελέσματα:
EL0421FR001025

Παροχή αιχμής (M3/S)	843.57
Χρονική στιγμή αιχμής	02Sep2000, 24:00
Όγκος (MM)	431.19
Όγκος βροχόπτωσης (M3)	3.04E7
Όγκος απωλειών (M3)	3.24E6
Ενεργός Όγκος (M3)	2.71E7
Όγκος άμεσης απορροής (M3)	2.71E7
Όγκος βασικής απορροής (M3)	2.79E6

Βροχόπτωση και Απορροή



Υπολεκάνη: EL0421FR001026

Έκταση (KM2) : 14.94

Κατάντη : J9

Μέθοδος Απωλειών: SCS

Ποσοστό αδιαπέρατης επιφάνειας	0
Αριθμός Καμπύλης Απορροής-CN	87.44
Αρχικές Απώλειες	7.29

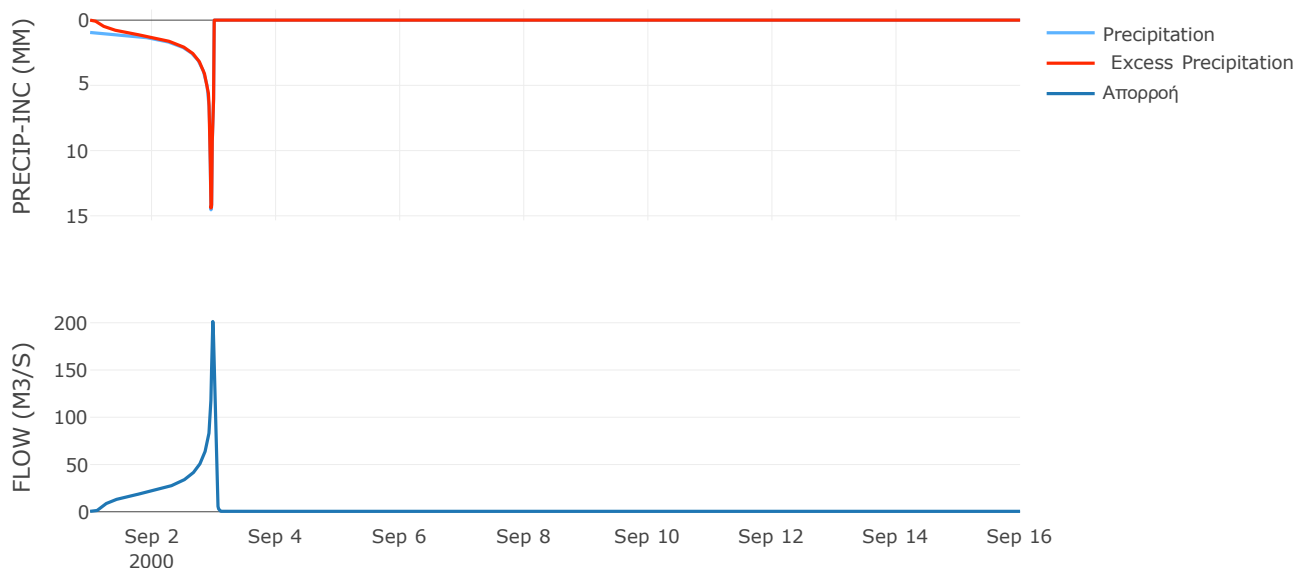
Μέθοδος Μετασχηματισμού: SCS

Χρόνος Υστέρησης	28.81
------------------	-------

Αποτελέσματα:
EL0421FR001026

Παροχή αιχμής (M3/S)	201.3
Χρονική στιγμή αιχμής	02Sep2000, 23:30
Όγκος (MM)	393.14
Όγκος βροχόπτωσης (M3)	5.88E6
Όγκος απωλειών (M3)	6.07E5
Ενεργός Όγκος (M3)	5.27E6
Όγκος άμεσης απορροής (M3)	5.27E6
Όγκος βασικής απορροής (M3)	6E5

Βροχόπτωση και Απορροή



Υπολεκάνη: EL0421FR001027

Έκταση (KM2) : 17.74

Κατάντη : J22

Μέθοδος Απωλειών: SCS

Ποσοστό αδιαπέρατης επιφάνειας	0
Αριθμός Καμπύλης Απορροής-CN	90.89
Αρχικές Απώλειες	5.09

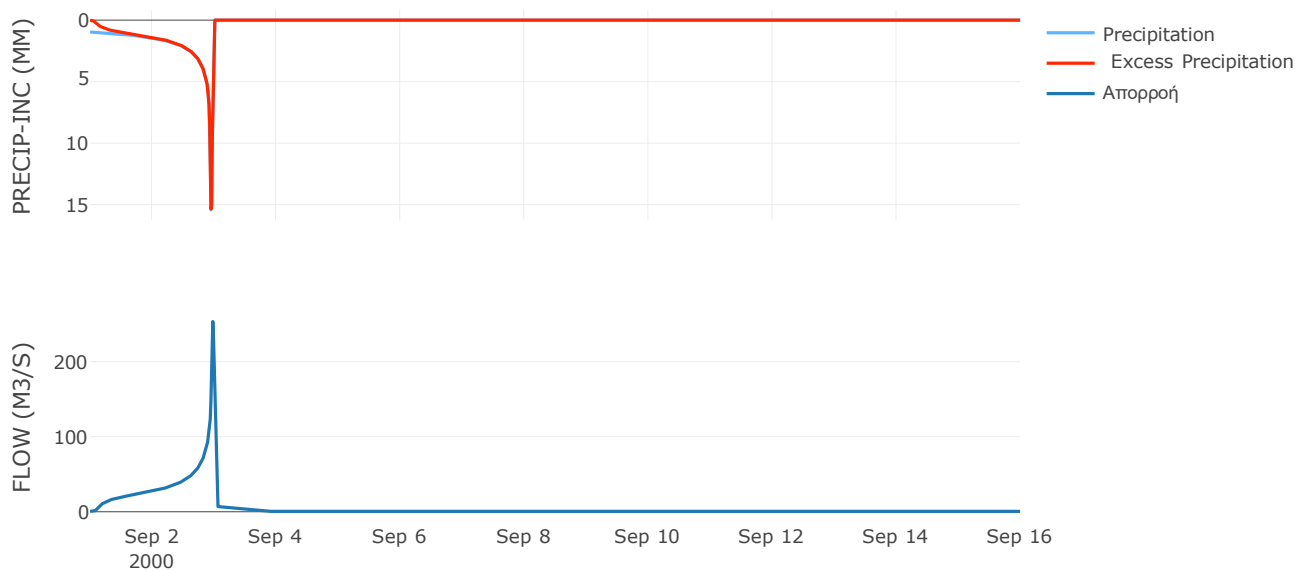
Μέθοδος Μετασχηματισμού: SCS

Χρόνος Υστέρησης	28.68
------------------	-------

Αποτελέσματα:
EL0421FR001027

Παροχή αιχμής (M3/S)	253.49
Χρονική στιγμή αιχμής	02Sep2000, 23:30
Όγκος (MM)	417.24
Όγκος βροχόπτωσης (M3)	7.21E6
Όγκος απωλειών (M3)	5.15E5
Ενεργός Όγκος (M3)	6.69E6
Όγκος άμεσης απορροής (M3)	6.69E6
Όγκος βασικής απορροής (M3)	7.13E5

Βροχόπτωση και Απορροή



Υπολεκάνη: EL0421FR001028

Έκταση (KM2) : 35.53

Κατάντη : J22

Μέθοδος Απωλειών: SCS

Ποσοστό αδιαπέρατης επιφάνειας	0
Αριθμός Καμπύλης Απορροής-CN	90.51
Αρχικές Απώλειες	5.33

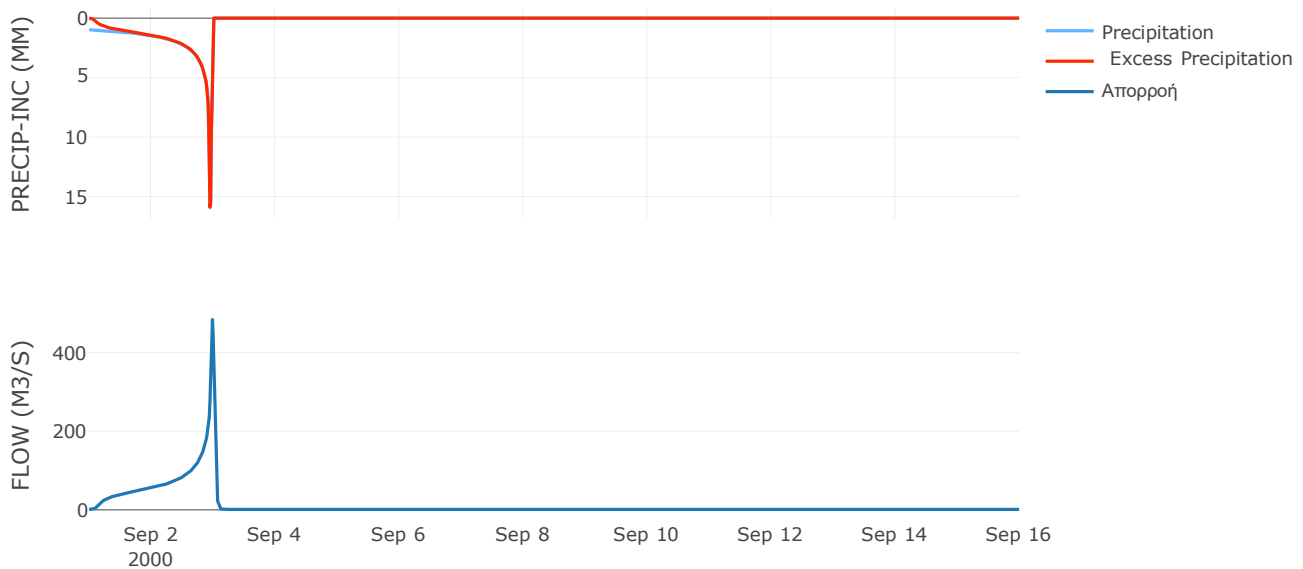
Μέθοδος Μετασχηματισμού: SCS

Χρόνος Υστέρησης	38.57
------------------	-------

Αποτελέσματα:
EL0421FR001028

Παροχή αιχμής (M3/S)	483.78
Χρονική στιγμή αιχμής	02Sep2000, 23:45
Όγκος (MM)	424.26
Όγκος βροχόπτωσης (M3)	1.47E7
Όγκος απωλειών (M3)	1.08E6
Ενεργός Όγκος (M3)	1.36E7
Όγκος άμεσης απορροής (M3)	1.36E7
Όγκος βασικής απορροής (M3)	1.43E6

Βροχόπτωση και Απορροή



Υπολεκάνη: EL0421FR001029

Έκταση (KM2) : 42.48

Κατάντη : J6

Μέθοδος Απωλειών: SCS

Ποσοστό αδιαπέρατης επιφάνειας	0
Αριθμός Καμπύλης Απορροής-CN	80.91
Αρχικές Απώλειες	11.99

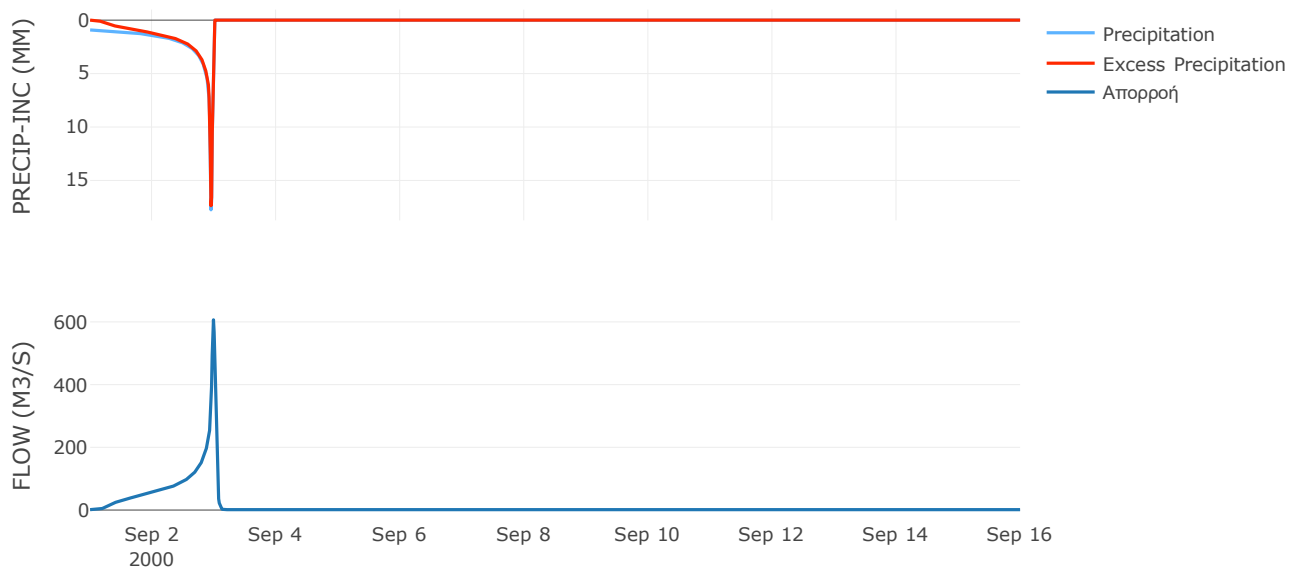
Μέθοδος Μετασχηματισμού: SCS

Χρόνος Υστέρησης	41.7
------------------	------

Αποτελέσματα:
EL0421FR001029

Παροχή αιχμής (M3/S)	606.49
Χρονική στιγμή αιχμής	02Sep2000, 23:45
Όγκος (MM)	387.28
Όγκος βροχόπτωσης (M3)	1.75E7
Όγκος απωλειών (M3)	2.72E6
Ενεργός Όγκος (M3)	1.47E7
Όγκος άμεσης απορροής (M3)	1.47E7
Όγκος βασικής απορροής (M3)	1.71E6

Βροχόπτωση και Απορροή



Υπολεκάνη: EL0421FR001030

Έκταση (KM2) : 20.53
Κατάντη : J5

Μέθοδος Απωλειών: SCS

Ποσοστό αδιαπέρατης επιφάνειας	0
Αριθμός Καμπύλης Απορροής-CN	75.73
Αρχικές Απώλειες	16.28

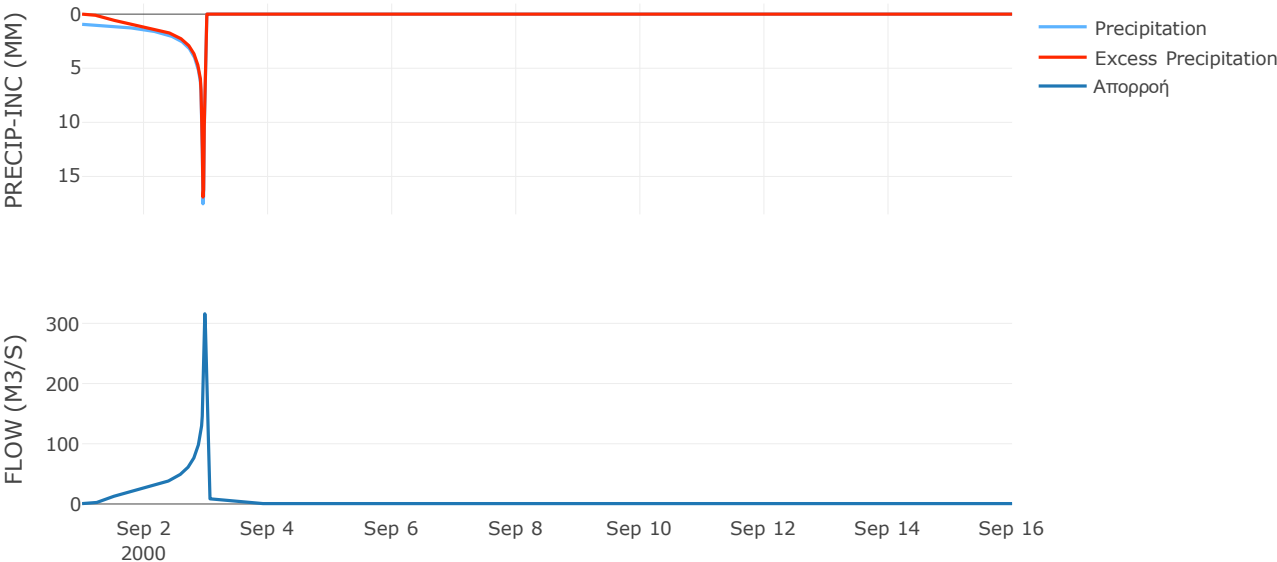
Μέθοδος Μετασχηματισμού: SCS

Χρόνος Υστέρησης	28.83
------------------	-------

Αποτελέσματα:
EL0421FR001030

Παροχή αιχμής (M3/S)	315.9
Χρονική στιγμή αιχμής	02Sep2000, 23:30
Όγκος (MM)	372.79
Όγκος βροχόπτωσης (M3)	8.55E6
Όγκος απωλειών (M3)	1.72E6
Ενεργός Όγκος (M3)	6.83E6
Όγκος άμεσης απορροής (M3)	6.83E6
Όγκος βασικής απορροής (M3)	8.25E5

Βροχόπτωση και Απορροή



Υπολεκάνη: EL0421FR001031

Έκταση (KM2) : 24.21

Κατάντη : J4

Μέθοδος Απωλειών: SCS

Ποσοστό αδιαπέρατης επιφάνειας	0
Αριθμός Καμπύλης Απορροής-CN	72.66
Αρχικές Απώλειες	19.12

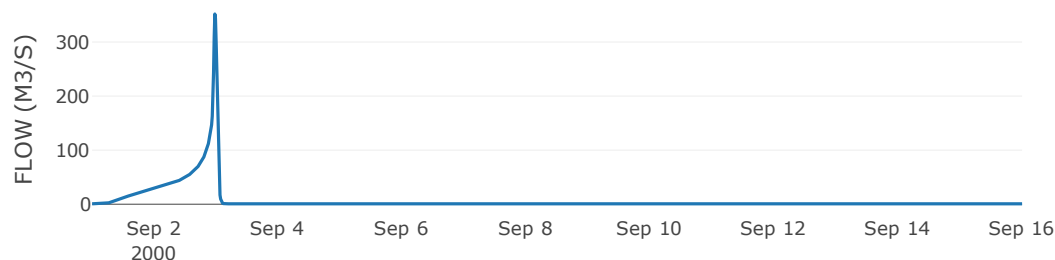
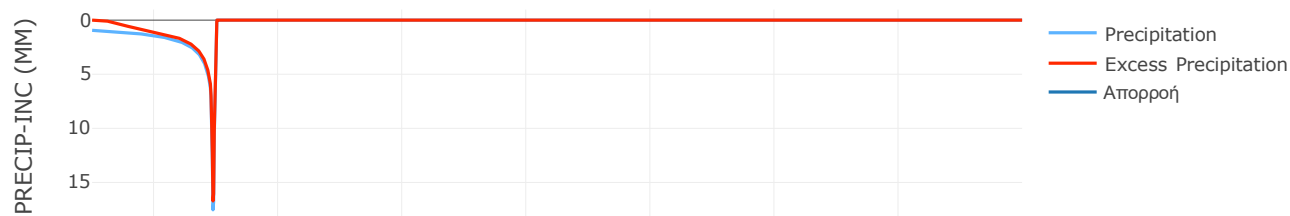
Μέθοδος Μετασχηματισμού: SCS

Χρόνος Υστέρησης	33.77
------------------	-------

Αποτελέσματα:
EL0421FR001031

Παροχή αιχμής (M3/S)	351.81
Χρονική στιγμή αιχμής	02Sep2000, 23:30
Όγκος (MM)	360.54
Όγκος βροχόπτωσης (M3)	1.01E7
Όγκος απωλειών (M3)	2.33E6
Ενεργός Όγκος (M3)	7.75E6
Όγκος άμεσης απορροής (M3)	7.75E6
Όγκος βασικής απορροής (M3)	9.72E5

Βροχόπτωση και Απορροή



Υπολεκάνη: EL0421FR001032

Έκταση (KM2) : 56.61

Κατάντη : J12

Μέθοδος Απωλειών: SCS

Ποσοστό αδιαπέρατης επιφάνειας	0.06
Αριθμός Καμπύλης Απορροής-CN	76.06
Αρχικές Απώλειες	15.99

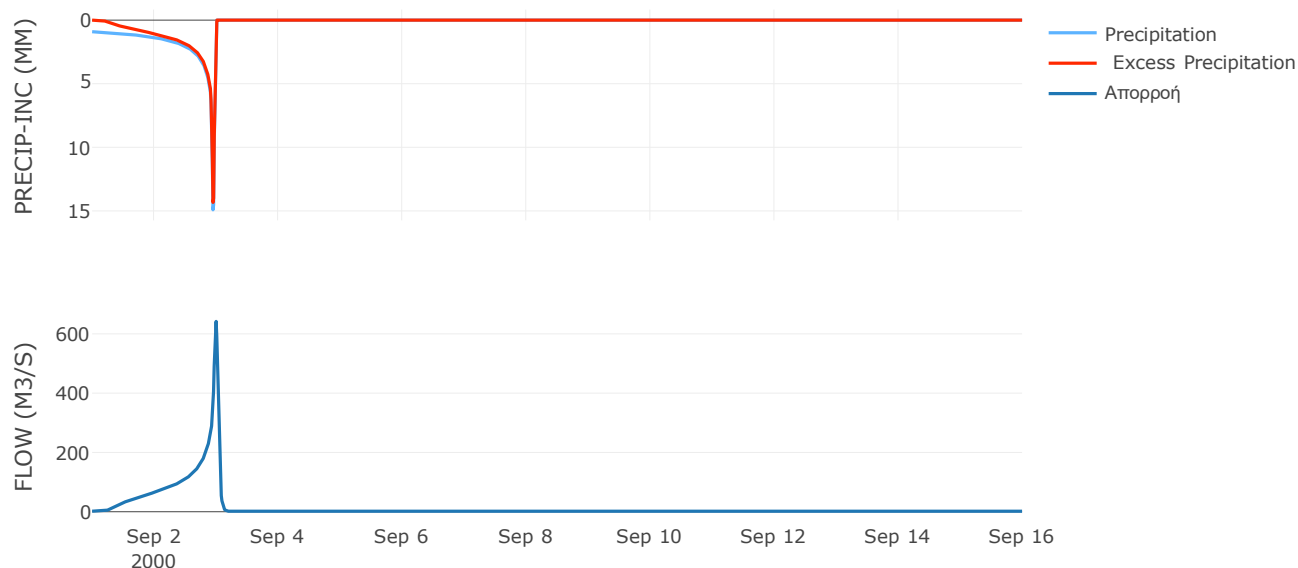
Μέθοδος Μετασχηματισμού: SCS

Χρόνος Υστέρησης	52.03
------------------	-------

Αποτελέσματα:
EL0421FR001032

Παροχή αιχμής (M3/S)	642.01
Χρονική στιγμή αιχμής	02Sep2000, 24:00
Όγκος (MM)	344.81
Όγκος βροχόπτωσης (M3)	2.19E7
Όγκος απωλειών (M3)	4.63E6
Ενεργός Όγκος (M3)	1.72E7
Όγκος άμεσης απορροής (M3)	1.72E7
Όγκος βασικής απορροής (M3)	2.27E6

Βροχόπτωση και Απορροή



Υπολεκάνη: EL0421FR001033

Έκταση (KM2) : 28.55

Κατάντη : J21

Μέθοδος Απωλειών: SCS

Ποσοστό αδιαπέρατης επιφάνειας	0
Αριθμός Καμπύλης Απορροής-CN	82.7
Αρχικές Απώλειες	10.63

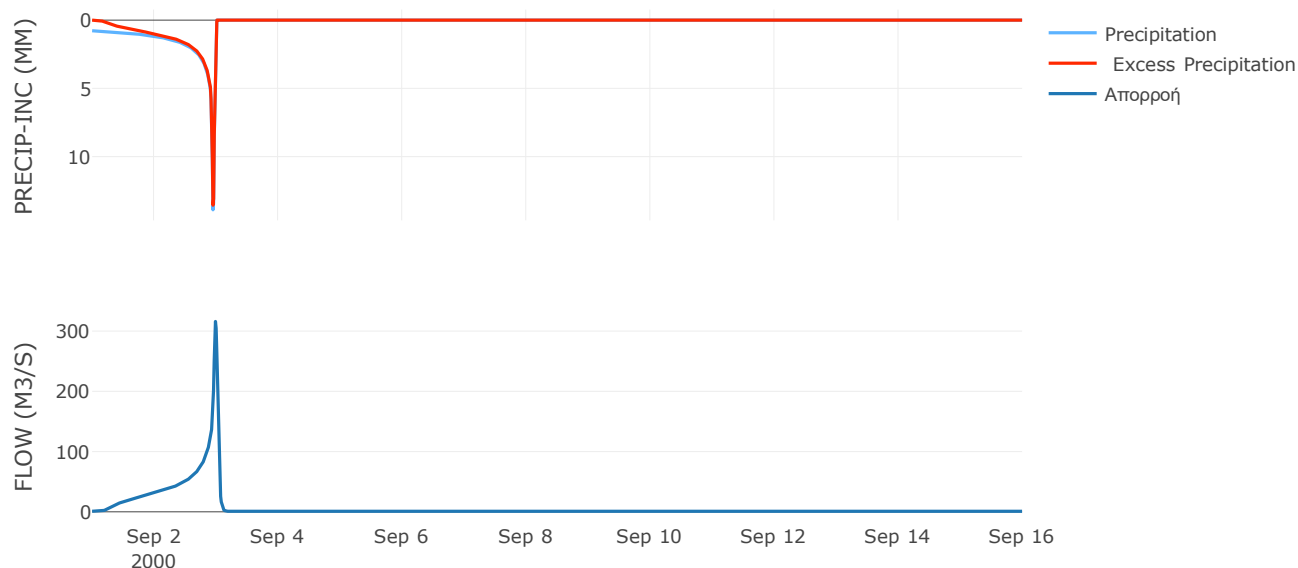
Μέθοδος Μετασχηματισμού: SCS

Χρόνος Υστέρησης	45.52
------------------	-------

Αποτελέσματα:
EL0421FR001033

Παροχή αιχμής (M3/S)	315.97
Χρονική στιγμή αιχμής	02Sep2000, 23:45
Όγκος (MM)	323.46
Όγκος βροχόπτωσης (M3)	9.7E6
Όγκος απωλειών (M3)	1.61E6
Ενεργός Όγκος (M3)	8.09E6
Όγκος άμεσης απορροής (M3)	8.09E6
Όγκος βασικής απορροής (M3)	1.15E6

Βροχόπτωση και Απορροή



Υπολεκάνη: EL0421FR001034

Έκταση (KM2) : 57.33

Κατάντη : J21

Μέθοδος Απωλειών: SCS

Ποσοστό αδιαπέρατης επιφάνειας	0
Αριθμός Καμπύλης Απορροής-CN	80.12
Αρχικές Απώλειες	12.61

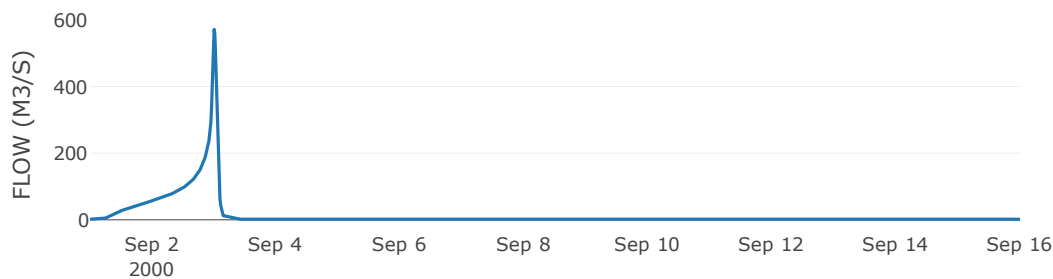
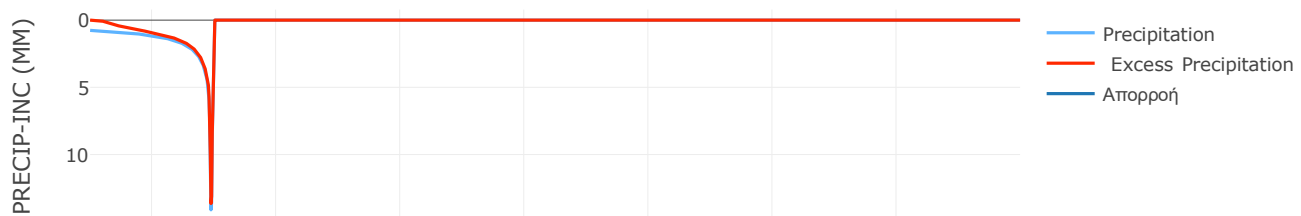
Μέθοδος Μετασχηματισμού: SCS

Χρόνος Υστέρησης	63.35
------------------	-------

Αποτελέσματα:
EL0421FR001034

Παροχή αιχμής (M3/S)	571.11
Χρονική στιγμή αιχμής	02Sep2000, 24:00
Όγκος (MM)	311.41
Όγκος βροχόπτωσης (M3)	1.93E7
Όγκος απωλειών (M3)	3.75E6
Ενεργός Όγκος (M3)	1.55E7
Όγκος άμεσης απορροής (M3)	1.55E7
Όγκος βασικής απορροής (M3)	2.3E6

Βροχόπτωση και Απορροή



Υπολεκάνη: EL0421FR001035

Έκταση (KM2) : 27.47

Κατάντη : J9

Μέθοδος Απωλειών: SCS

Ποσοστό αδιαπέρατης επιφάνειας	0
Αριθμός Καμπύλης Απορροής-CN	90.47
Αρχικές Απώλειες	5.35

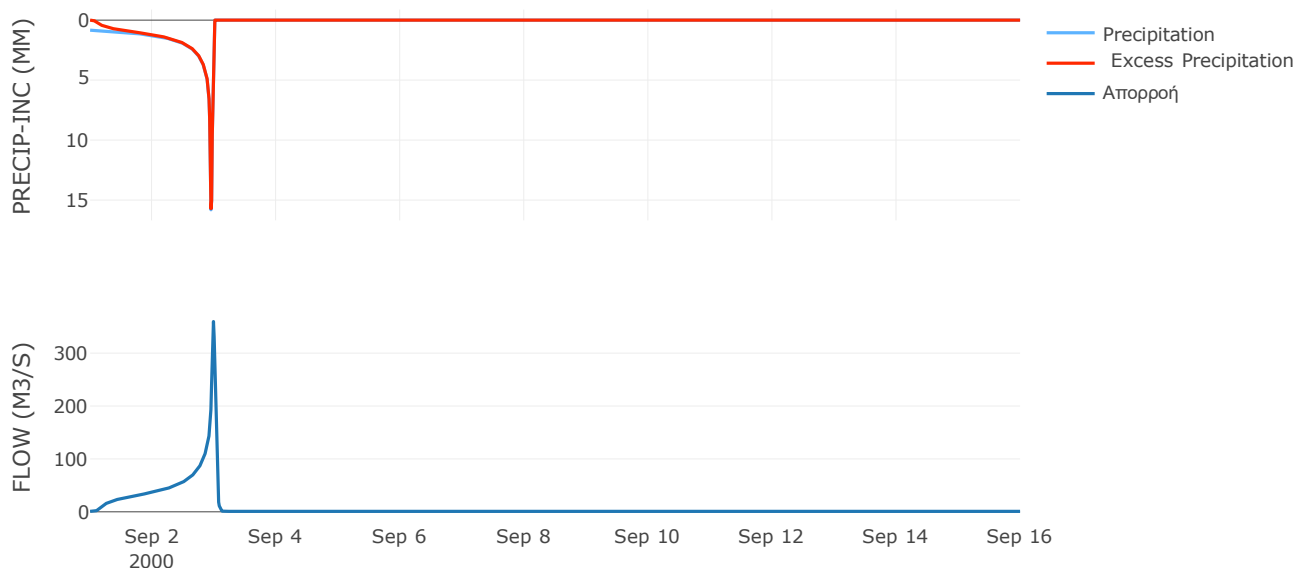
Μέθοδος Μετασχηματισμού: SCS

Χρόνος Υστέρησης	39.86
------------------	-------

Αποτελέσματα:
EL0421FR001035

Παροχή αιχμής (M3/S)	359.67
Χρονική στιγμή αιχμής	02Sep2000, 23:45
Όγκος (MM)	382.21
Όγκος βροχόπτωσης (M3)	1.02E7
Όγκος απωλειών (M3)	8.32E5
Ενεργός Όγκος (M3)	9.4E6
Όγκος άμεσης απορροής (M3)	9.4E6
Όγκος βασικής απορροής (M3)	1.1E6

Βροχόπτωση και Απορροή



Υπολεκάνη: EL0421FR001036

Έκταση (KM2) : 22.53

Κατάντη : J23

Μέθοδος Απωλειών: SCS

Ποσοστό αδιαπέρατης επιφάνειας	0
Αριθμός Καμπύλης Απορροής-CN	83.83
Αρχικές Απώλειες	9.8

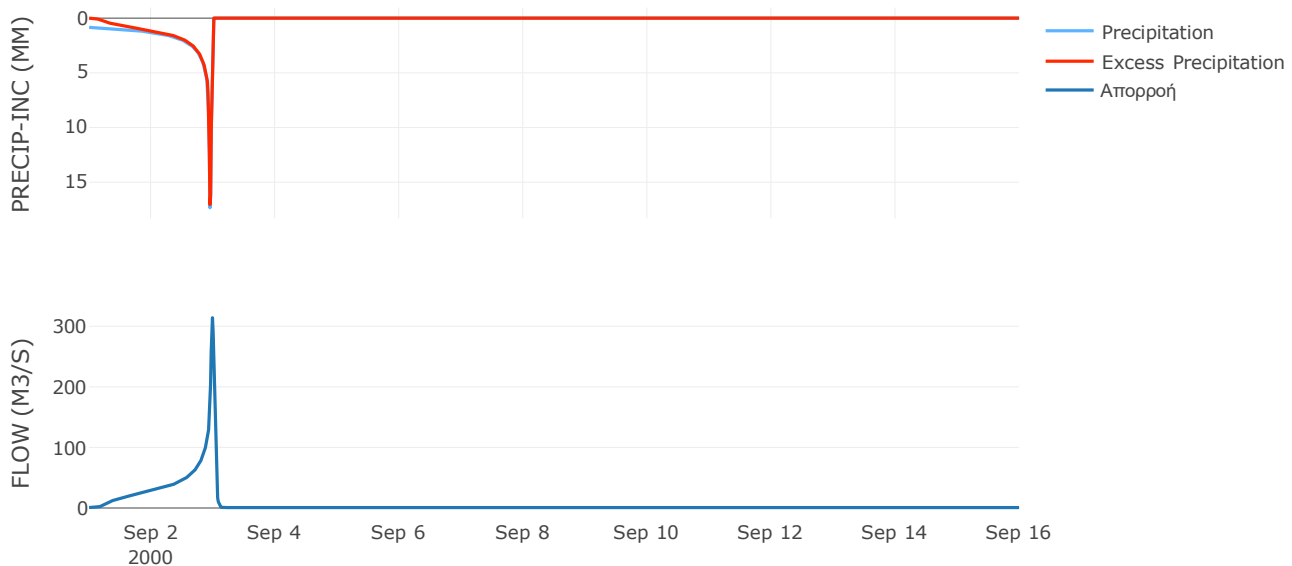
Μέθοδος Μετασχηματισμού: SCS

Χρόνος Υστέρησης	40.72
------------------	-------

Αποτελέσματα:
EL0421FR001036

Παροχή αιχμής (M3/S)	313.99
Χρονική στιγμή αιχμής	02Sep2000, 23:45
Όγκος (MM)	372.54
Όγκος βροχόπτωσης (M3)	8.68E6
Όγκος απωλειών (M3)	1.2E6
Ενεργός Όγκος (M3)	7.49E6
Όγκος άμεσης απορροής (M3)	7.49E6
Όγκος βασικής απορροής (M3)	9.05E5

Βροχόπτωση και Απορροή



Υπολεκάνη: EL0421FR001037

Έκταση (KM2) : 26.53

Κατάντη : J2

Μέθοδος Απωλειών: SCS

Ποσοστό αδιαπέρατης επιφάνειας	0
Αριθμός Καμπύλης Απορροής-CN	40.75
Αρχικές Απώλειες	13.49

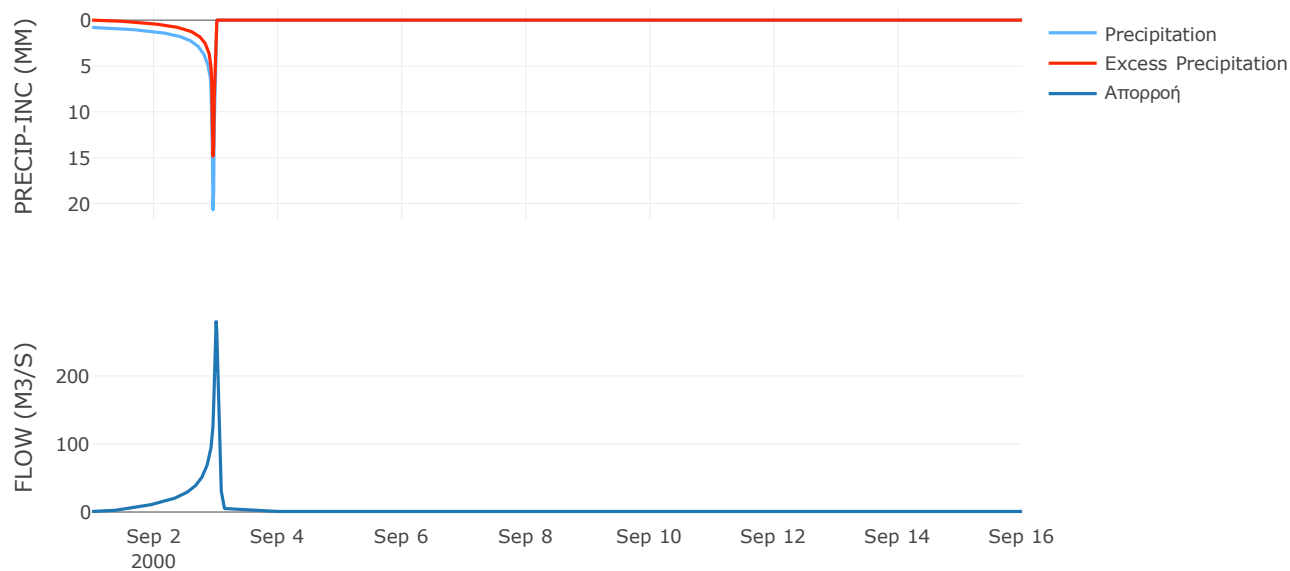
Μέθοδος Μετασχηματισμού: SCS

Χρόνος Υστέρησης	56.65
------------------	-------

Αποτελέσματα:
EL0421FR001037

Παροχή αιχμής (M3/S)	279.79
Χρονική στιγμή αιχμής	02Sep2000, 24:00
Όγκος (MM)	233.51
Όγκος βροχόπτωσης (M3)	1.05E7
Όγκος απωλειών (M3)	5.33E6
Ενεργός Όγκος (M3)	5.13E6
Όγκος άμεσης απορροής (M3)	5.13E6
Όγκος βασικής απορροής (M3)	1.07E6

Βροχόπτωση και Απορροή



Υπολεκάνη: EL0421FR001038

Έκταση (KM2) : 16.84

Κατάντη : J18

Μέθοδος Απωλειών: SCS

Ποσοστό αδιαπέρατης επιφάνειας	0
Αριθμός Καμπύλης Απορροής-CN	90.22
Αρχικές Απώλειες	5.51

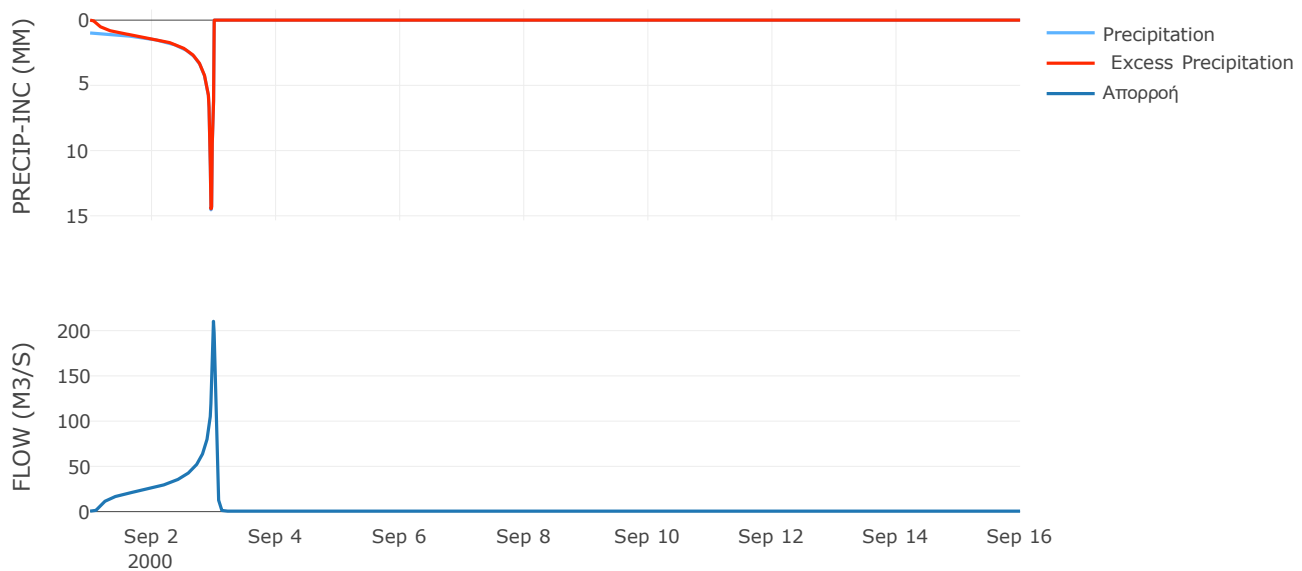
Μέθοδος Μετασχηματισμού: SCS

Χρόνος Υστέρησης	41.36
------------------	-------

Αποτελέσματα:
EL0421FR001038

Παροχή αιχμής (M3/S)	210.28
Χρονική στιγμή αιχμής	02Sep2000, 23:45
Όγκος (MM)	413.83
Όγκος βροχόπτωσης (M3)	6.82E6
Όγκος απωλειών (M3)	5.26E5
Ενεργός Όγκος (M3)	6.29E6
Όγκος άμεσης απορροής (M3)	6.29E6
Όγκος βασικής απορροής (M3)	6.77E5

Βροχόπτωση και Απορροή



Υπολεκάνη: EL0421FR001039

Έκταση (KM2) : 11.68

Κατάντη : J8

Μέθοδος Απωλειών: SCS

Ποσοστό αδιαπέρατης επιφάνειας	0
Αριθμός Καμπύλης Απορροής-CN	90.17
Αρχικές Απώλειες	5.54

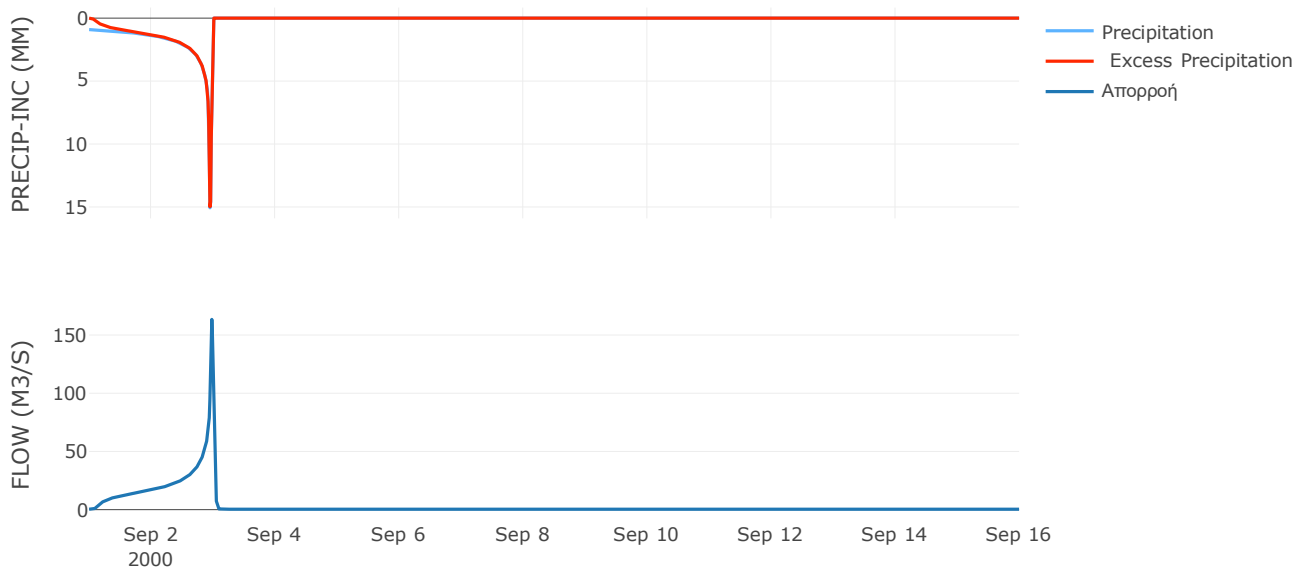
Μέθοδος Μετασχηματισμού: SCS

Χρόνος Υστέρησης	27.35
------------------	-------

Αποτελέσματα:
EL0421FR001039

Παροχή αιχμής (M3/S)	163.42
Χρονική στιγμή αιχμής	02Sep2000, 23:30
Όγκος (MM)	395.99
Όγκος βροχόπτωσης (M3)	4.52E6
Όγκος απωλειών (M3)	3.66E5
Ενεργός Όγκος (M3)	4.15E6
Όγκος άμεσης απορροής (M3)	4.15E6
Όγκος βασικής απορροής (M3)	4.69E5

Βροχόπτωση και Απορροή



Υπολεκάνη: EL0421FR001040

Έκταση (KM2) : 8.83

Κατάντη : J7

Μέθοδος Απωλειών: SCS

Ποσοστό αδιαπέρατης επιφάνειας	0
Αριθμός Καμπύλης Απορροής-CN	90.73
Αρχικές Απώλειες	5.19

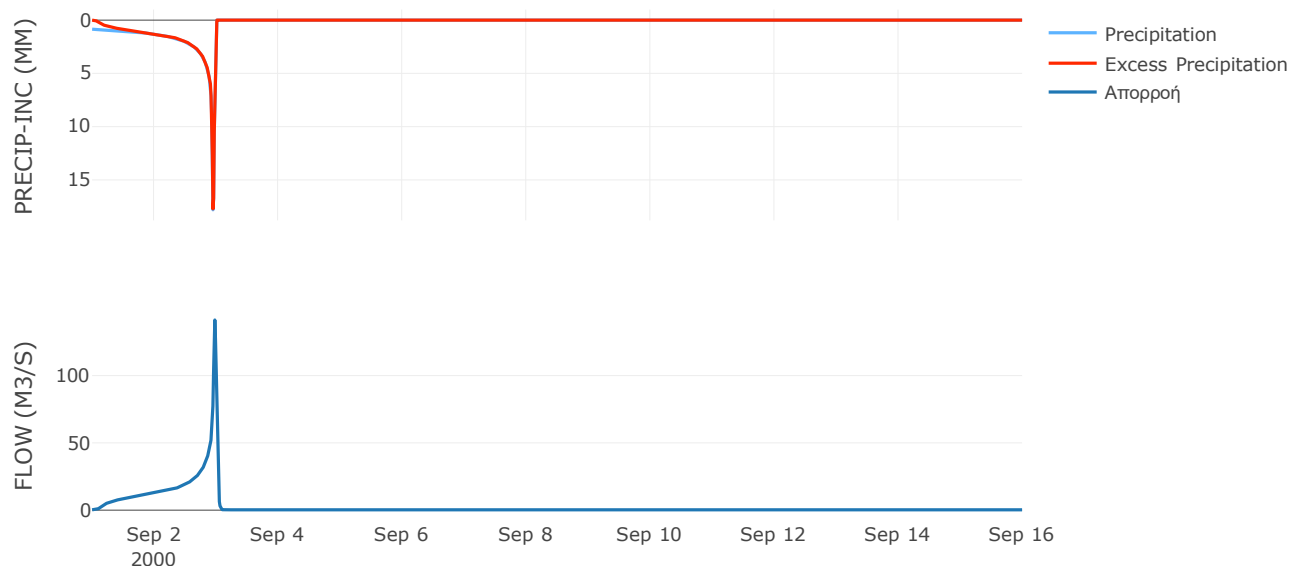
Μέθοδος Μετασχηματισμού: SCS

Χρόνος Υστέρησης	27.74
------------------	-------

Αποτελέσματα:
EL0421FR001040

Παροχή αιχμής (M3/S)	141.3
Χρονική στιγμή αιχμής	02Sep2000, 23:30
Όγκος (MM)	402.19
Όγκος βροχόπτωσης (M3)	3.46E6
Όγκος απωλειών (M3)	2.6E5
Ενεργός Όγκος (M3)	3.2E6
Όγκος άμεσης απορροής (M3)	3.2E6
Όγκος βασικής απορροής (M3)	3.55E5

Βροχόπτωση και Απορροή



Υπολεκάνη: EL0421FR001041

Έκταση (KM2) : 11.46

Κατάντη : J11

Μέθοδος Απωλειών: SCS

Ποσοστό αδιαπέρατης επιφάνειας	0.2
Αριθμός Καμπύλης Απορροής-CN	90.27
Αρχικές Απώλειες	5.48

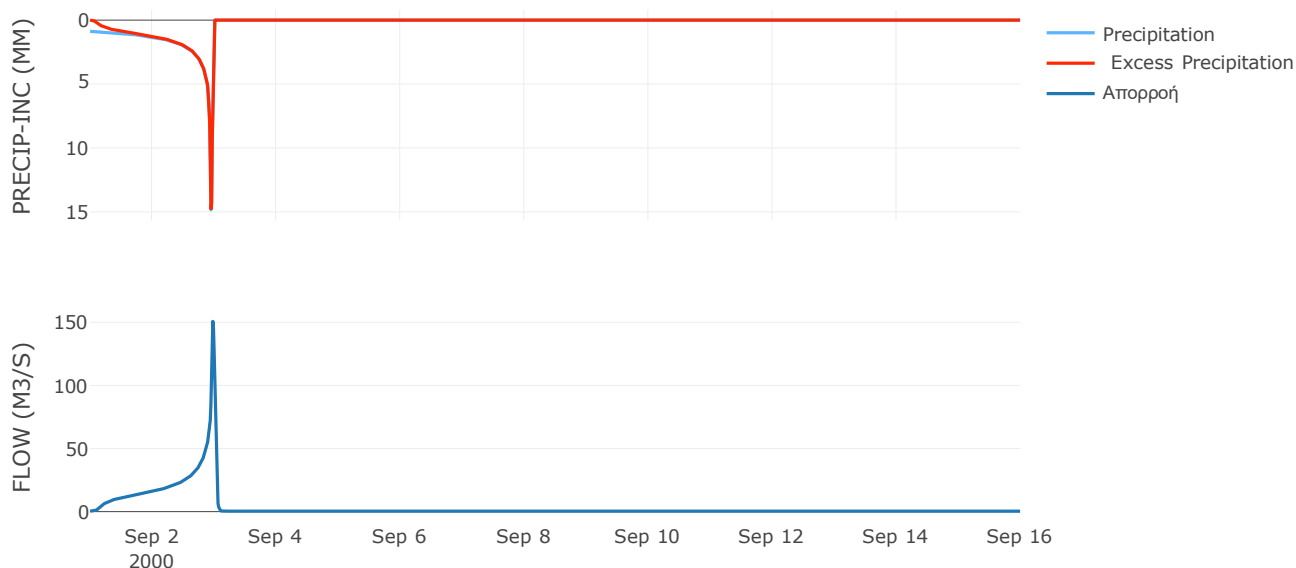
Μέθοδος Μετασχηματισμού: SCS

Χρόνος Υστέρησης	32.75
------------------	-------

Αποτελέσματα:
EL0421FR001041

Παροχή αιχμής (M3/S)	150.75
Χρονική στιγμή αιχμής	02Sep2000, 23:30
Όγκος (MM)	385.16
Όγκος βροχόπτωσης (M3)	4.31E6
Όγκος απωλειών (M3)	3.54E5
Ενεργός Όγκος (M3)	3.95E6
Όγκος άμεσης απορροής (M3)	3.95E6
Όγκος βασικής απορροής (M3)	4.61E5

Βροχόπτωση και Απορροή



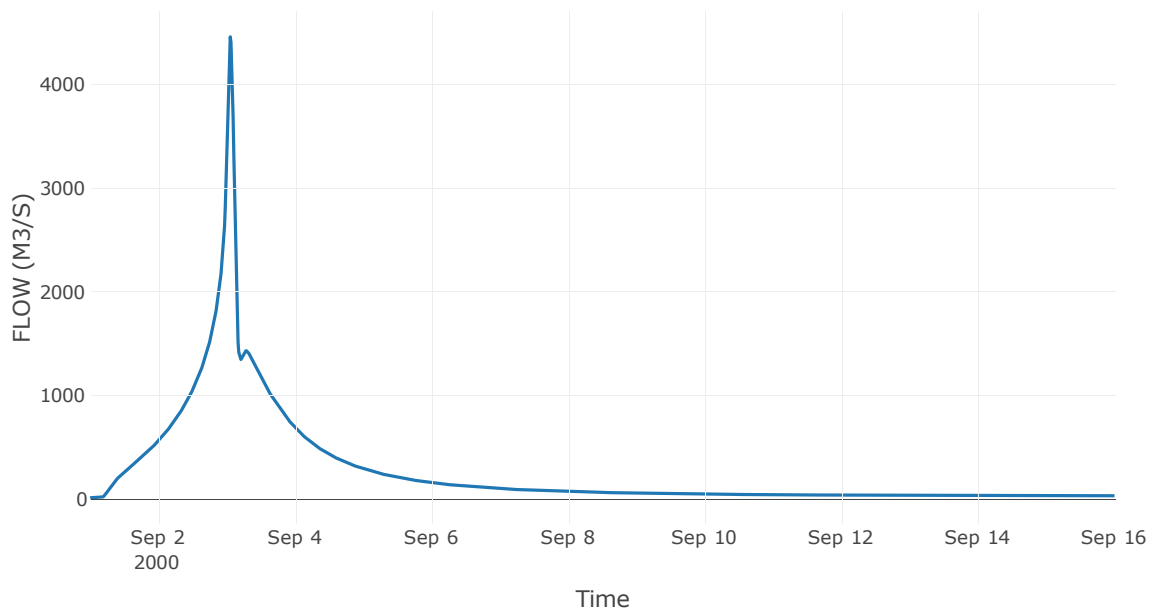
10.2 Δεδομένα και Υδρογραφήματα Σχεδιασμού Κλάδων Υδρογραφικού Δικτύου

Κλάδος: R21

Αποτελέσματ
α: R21

Παροχή αιχμής (M3/S)	4460.07
Χρονική στιγμή αιχμής	03Sep2000, 01:15
Όγκος (MM)	382.09
Παροχή Αιχμής Εισόδου (M3/S)	4509.9
Όγκος Εισροής (M3)	3.58E8

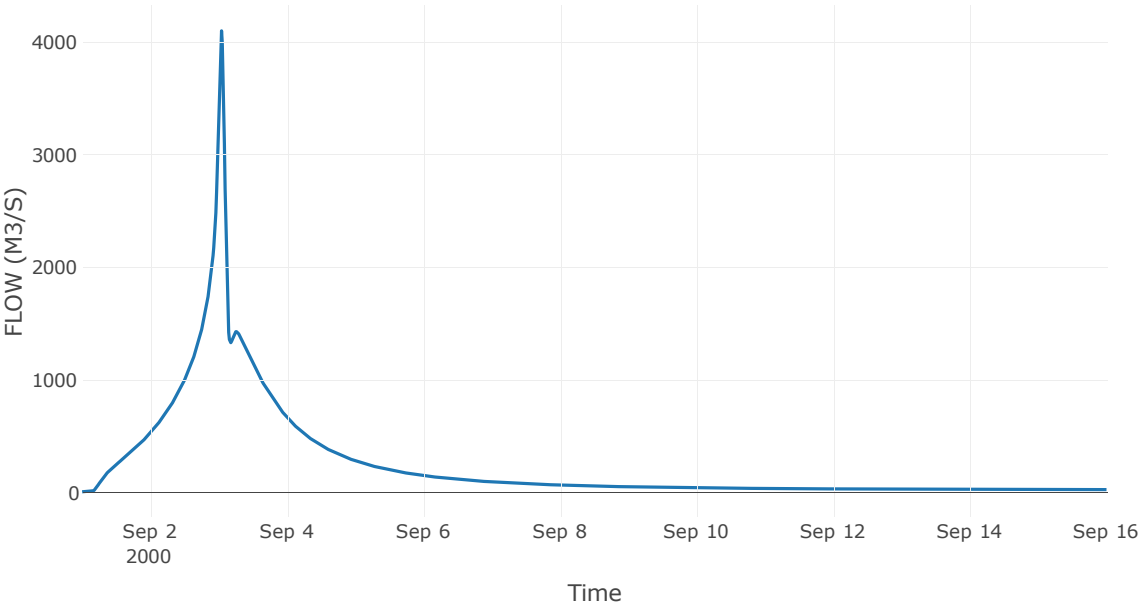
Απορροή



Αποτελέσμα
α: R32

Παροχή αιχμής (M3/S)	4098.54
Χρονική στιγμή αιχμής	03Sep2000, 01:00
Όγκος (MM)	387.2
Παροχή Αιχμής Εισόδου (M3/S)	4123.54
Όγκος Εισροής (M3)	3.41E8

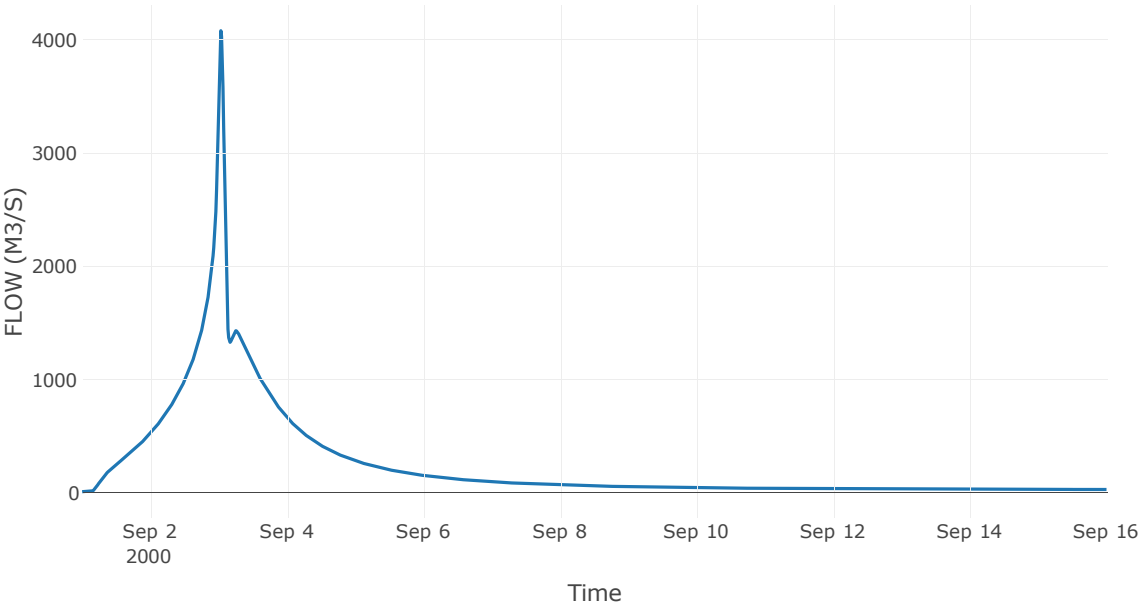
Απορροή



Αποτελέσματ
α: R43

Παροχή αιχμής (M3/S)	4081.43
Χρονική στιγμή αιχμής	03Sep2000, 00:45
Όγκος (MM)	387.36
Παροχή Αιχμής Εισόδου (M3/S)	4120.1
Όγκος Εισροής (M3)	3.37E8

Απορροή

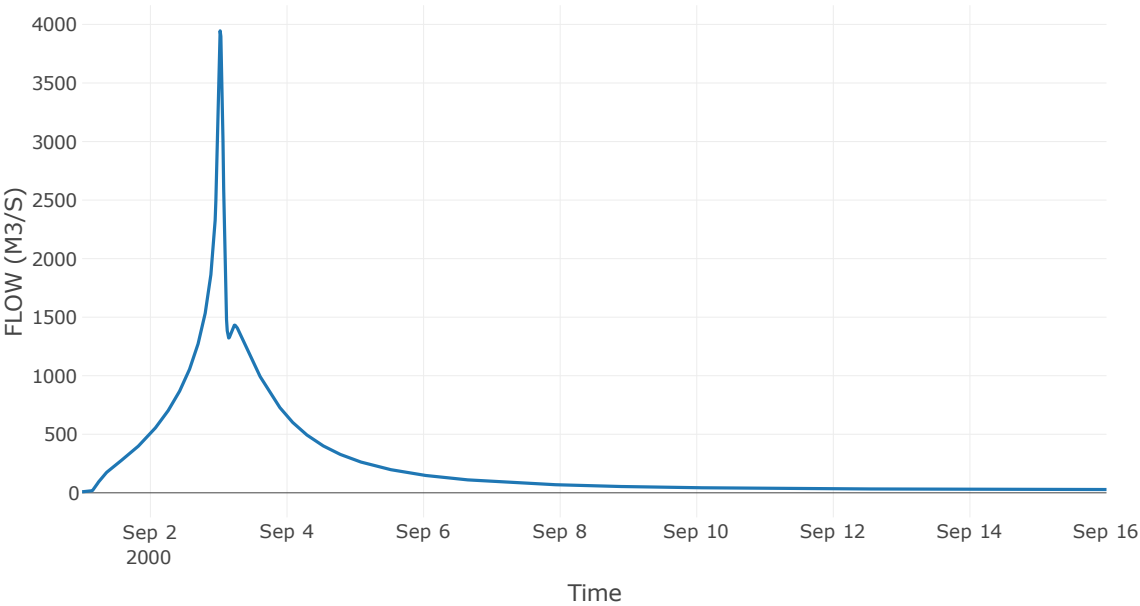


Κλάδος: R54

Αποτελέσμα
α: R54

Παροχή αιχμής (M3/S)	3945.41
Χρονική στιγμή αιχμής	03Sep2000, 00:30
Όγκος (MM)	388.12
Παροχή Αιχμής Εισόδου (M3/S)	3951.82
Όγκος Εισροής (M3)	3.27E8

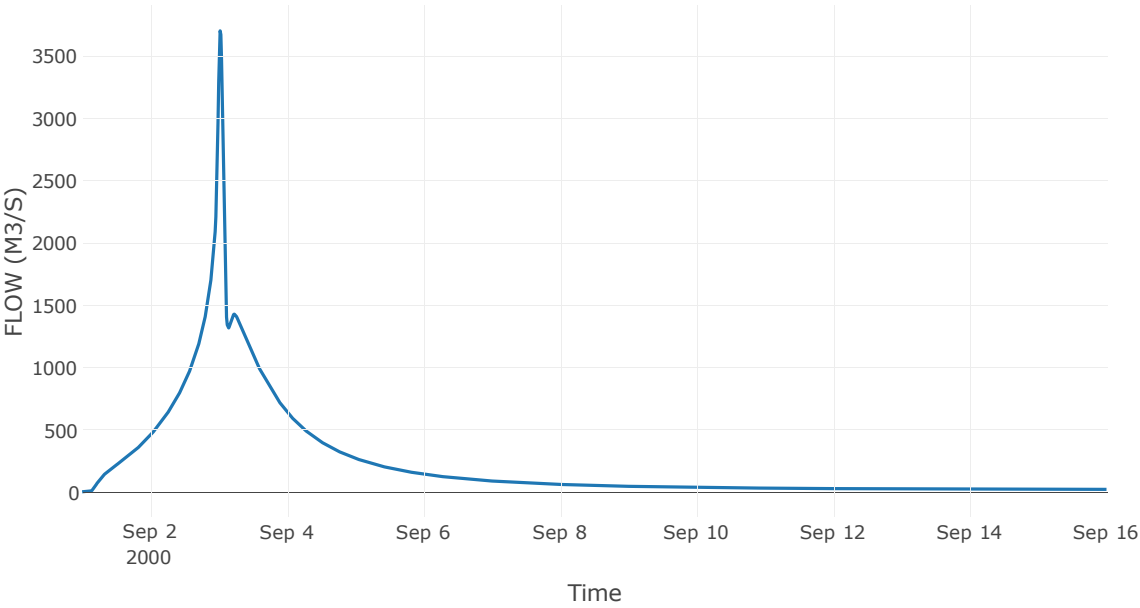
Απορροή



Αποτελέσμα
α: R65

Παροχή αιχμής (M3/S)	3702.81
Χρονική στιγμή αιχμής	03Sep2000, 00:30
Όγκος (MM)	388.91
Παροχή Αιχμής Εισόδου (M3/S)	3780.95
Όγκος Εισροής (M3)	3.13E8

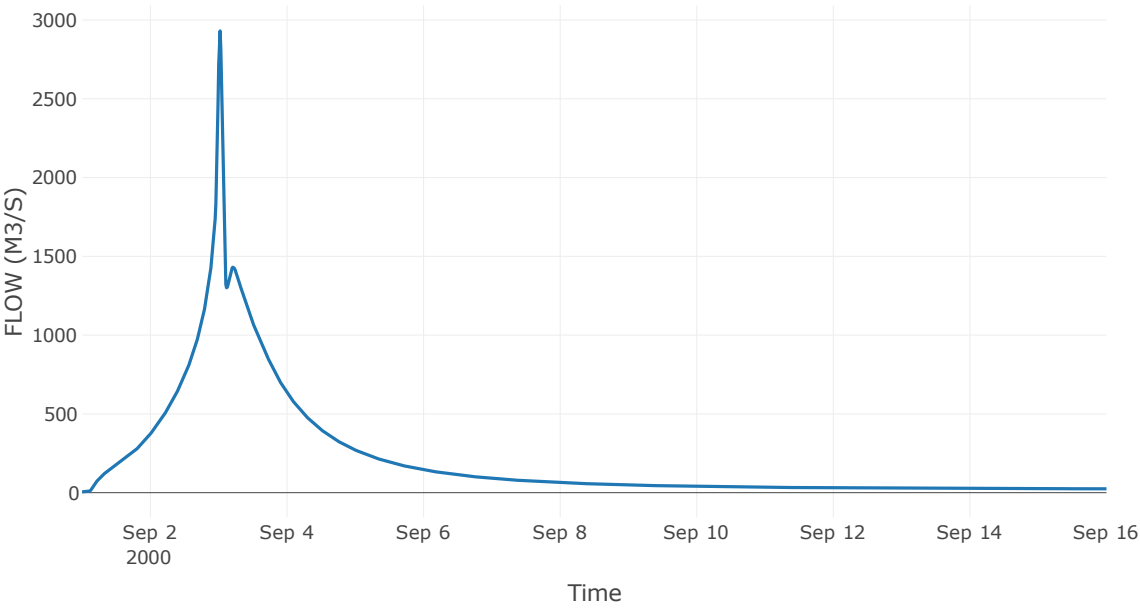
Απορροή



Αποτελέσμα
α: R76

Παροχή αιχμής (M3/S)	2930.5
Χρονική στιγμή αιχμής	03Sep2000, 00:30
Όγκος (MM)	389.15
Παροχή Αιχμής Εισόδου (M3/S)	3031.12
Όγκος Εισροής (M3)	2.84E8

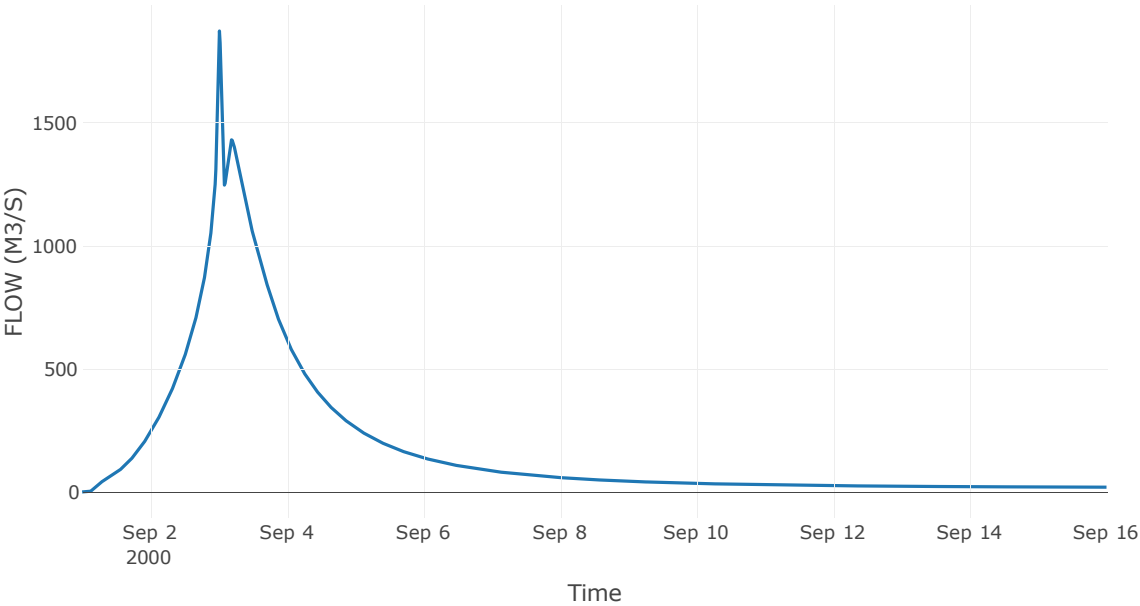
Απορροή



Αποτελέσμα
α: R87

Παροχή αιχμής (M3/S)	1872.67
Χρονική στιγμή αιχμής	03Sep2000, 00:15
Όγκος (MM)	386.35
Παροχή Αιχμής Εισόδου (M3/S)	1881.1
Όγκος Εισροής (M3)	2.44E8

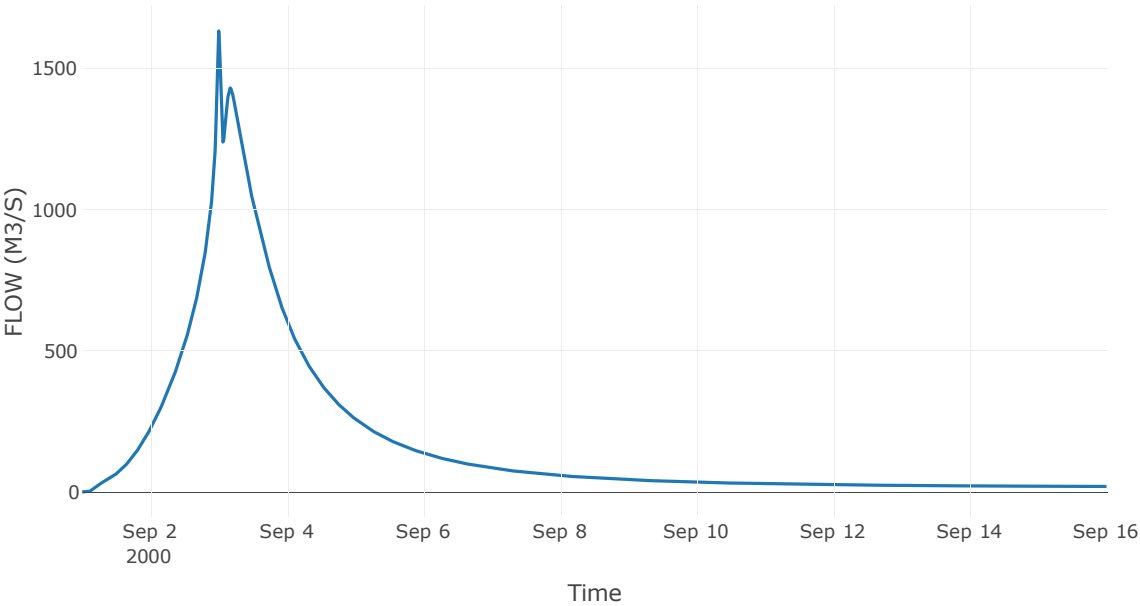
Απορροή



Αποτελέσμα
α: R98

Παροχή αιχμής (M3/S)	1632.61
Χρονική στιγμή αιχμής	02Sep2000, 24:00
Όγκος (MM)	386.4
Παροχή Αιχμής Εισόδου (M3/S)	1651.86
Όγκος Εισροής (M3)	2.37E8

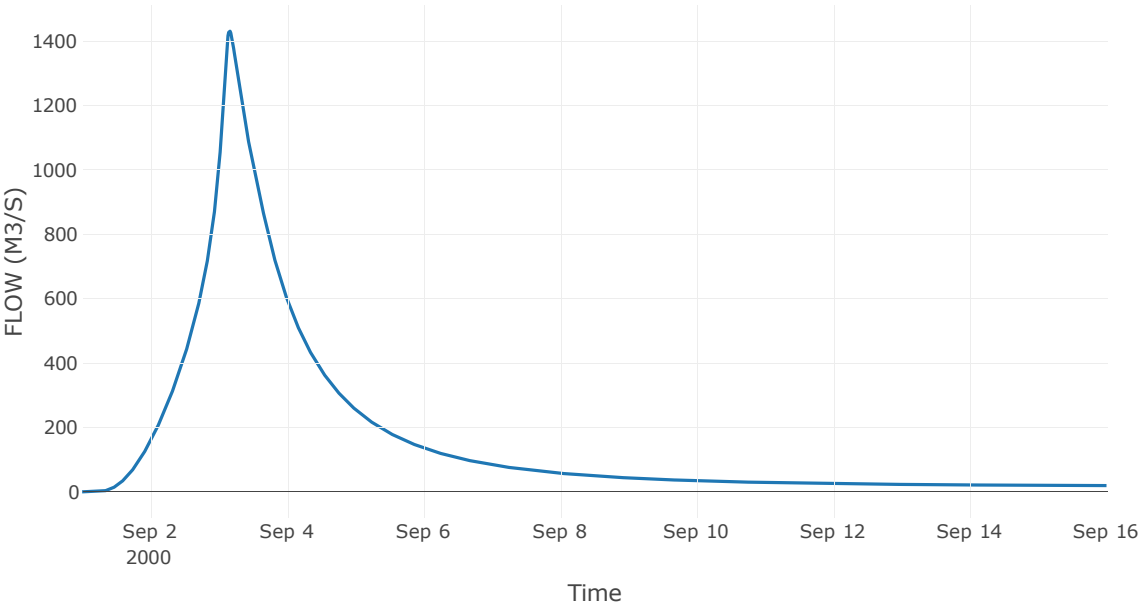
Απορροή



Αποτελέσματα:
R109

Παροχή αιχμής (M3/S)	1430.69
Χρονική στιγμή αιχμής	03Sep2000, 03:45
Όγκος (MM)	386.39
Παροχή Αιχμής Εισόδου (M3/S)	1431.49
Όγκος Εισροής (M3)	2.17E8

Απορροή

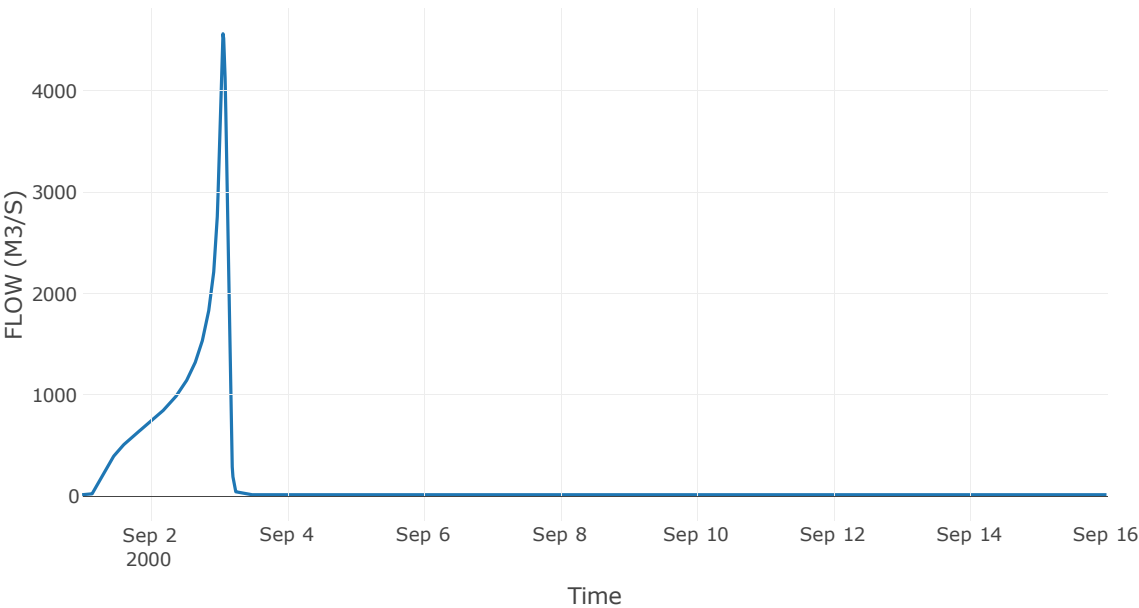


Κλάδος: R1110

Αποτελέσματα:
R1110

Παροχή αιχμής (M3/S)	4562.16
Χρονική στιγμή αιχμής	03Sep2000, 01:30
Όγκος (MM)	401.43
Παροχή Αιχμής Εισόδου (M3/S)	4605.78
Όγκος Εισροής (M3)	2.13E8

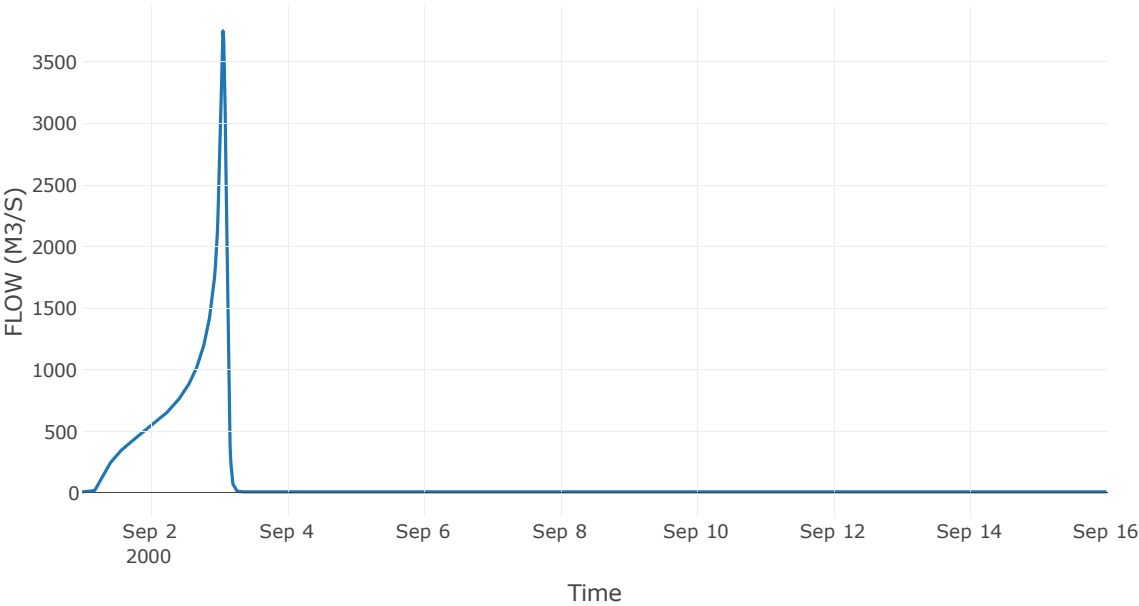
Απορροή



Αποτελέσματα:
R1211

Παροχή αιχμής (M3/S)	3750.08
Χρονική στιγμή αιχμής	03Sep2000, 01:30
Όγκος (MM)	393.75
Παροχή Αιχμής Εισόδου (M3/S)	3861.05
Όγκος Εισροής (M3)	1.58E8

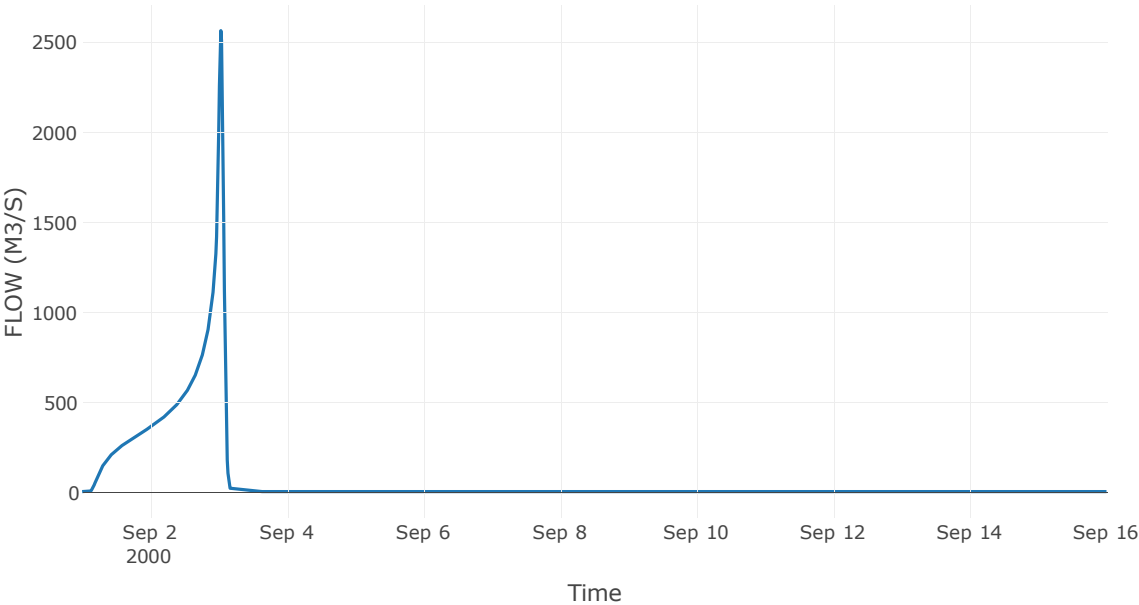
Απορροή



Αποτελέσματα:
R1312

Παροχή αιχμής (M3/S)	2566.52
Χρονική στιγμή αιχμής	03Sep2000, 00:45
Όγκος (MM)	441.03
Παροχή Αιχμής Εισόδου (M3/S)	2663.62
Όγκος Εισροής (M3)	9.93E7

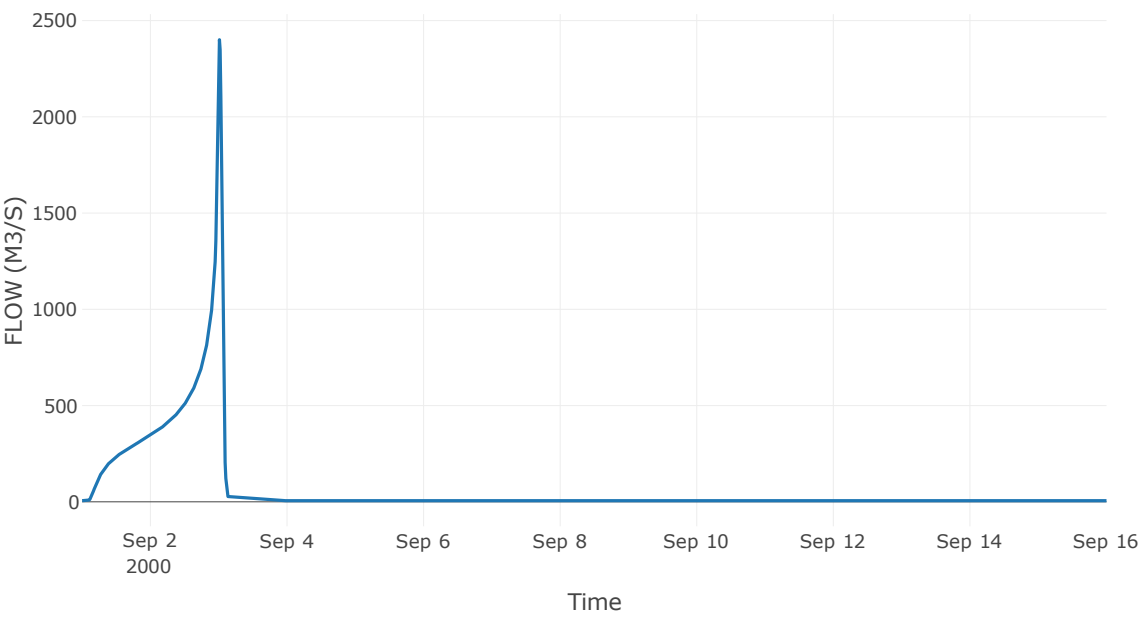
Απορροή



Αποτελέσματα: R1413

Παροχή Αιχμής(M3/S)	2400.55
Χρονική στιγμή αιχμής	03Sep2000, 00:15
Όγκος (MM)	470.88
Παροχή Αιχμής Εισόδου (M3/S)	2425.4
Όγκος Εισόδου(M3)	8.99E7

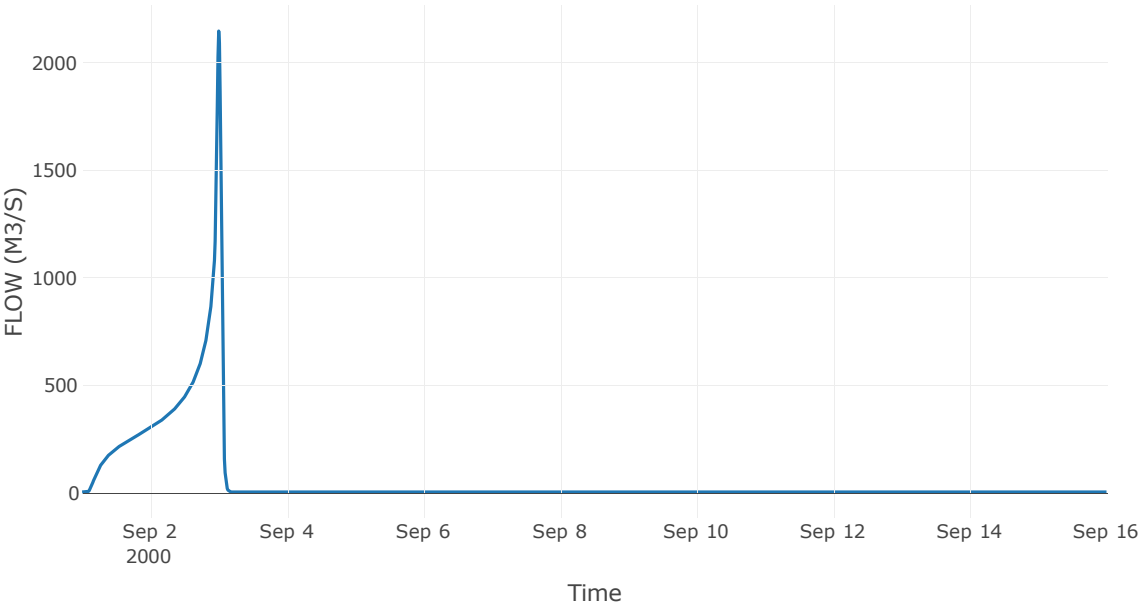
Απορροή



Αποτελέσματα:
R1514

Παροχή αιχμής (M3/S)	2146.99
Χρονική στιγμή αιχμής	02Sep2000, 24:00
Όγκος (MM)	470.81
Παροχή Αιχμής Εισόδου (M3/S)	2169.44
Όγκος Εισροής (M3)	7.83E7

Απορροή

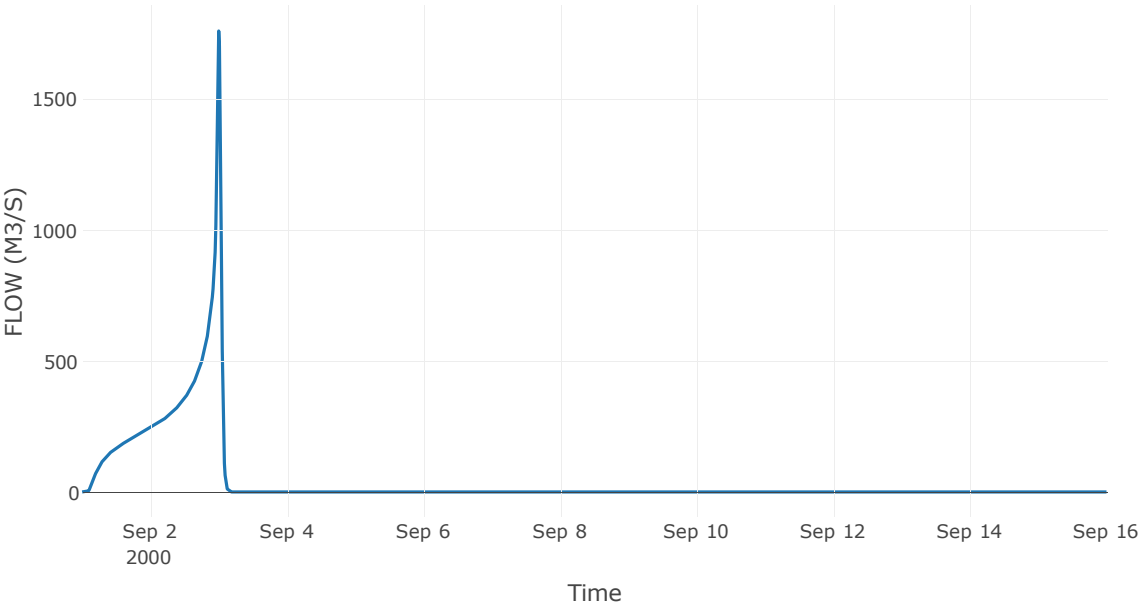


Κλάδος: R1615

Αποτελέσματα:
R1615

Παροχή αιχμής (M3/S)	1761.31
Χρονική στιγμή αιχμής	02Sep2000, 24:00
Όγκος (MM)	472.94
Παροχή Αιχμής Εισόδου (M3/S)	1776.83
Όγκος Εισροής (M3)	6.32E7

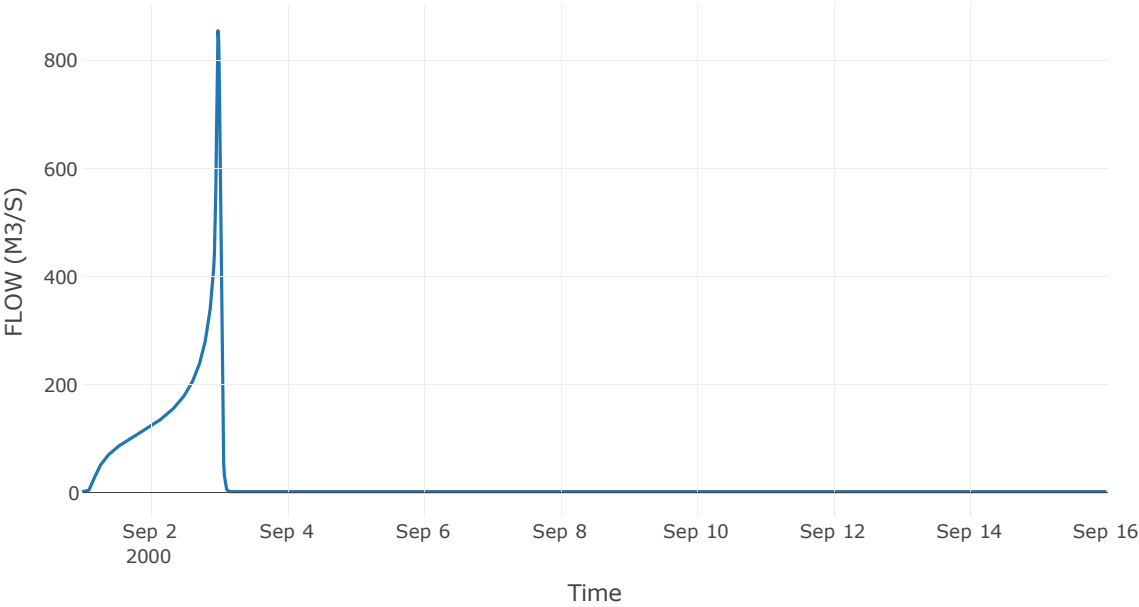
Απορροή



Αποτελέσματα:
R1716

Παροχή αιχμής (M3/S)	855.4
Χρονική στιγμή αιχμής	02Sep2000, 23:45
Όγκος (MM)	453.26
Παροχή Αιχμής Εισόδου (M3/S)	859.28
Όγκος Εισροής (M3)	3.1E7

Απορροή

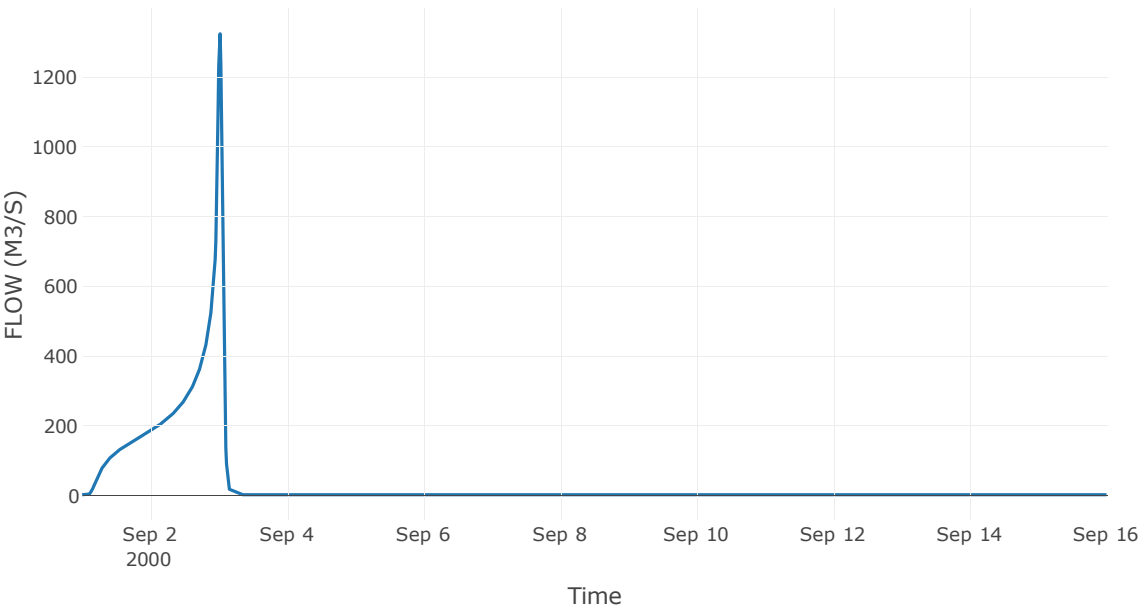


Κλάδος: R1811

Αποτελέσματα:
R1811

Παροχή αιχμής (M3/S)	1324.44
Χρονική στιγμή αιχμής	03Sep2000, 00:30
Όγκος (MM)	429.99
Παροχή Αιχμής Εισόδου (M3/S)	1375.49
Όγκος Εισροής (M3)	5.01E7

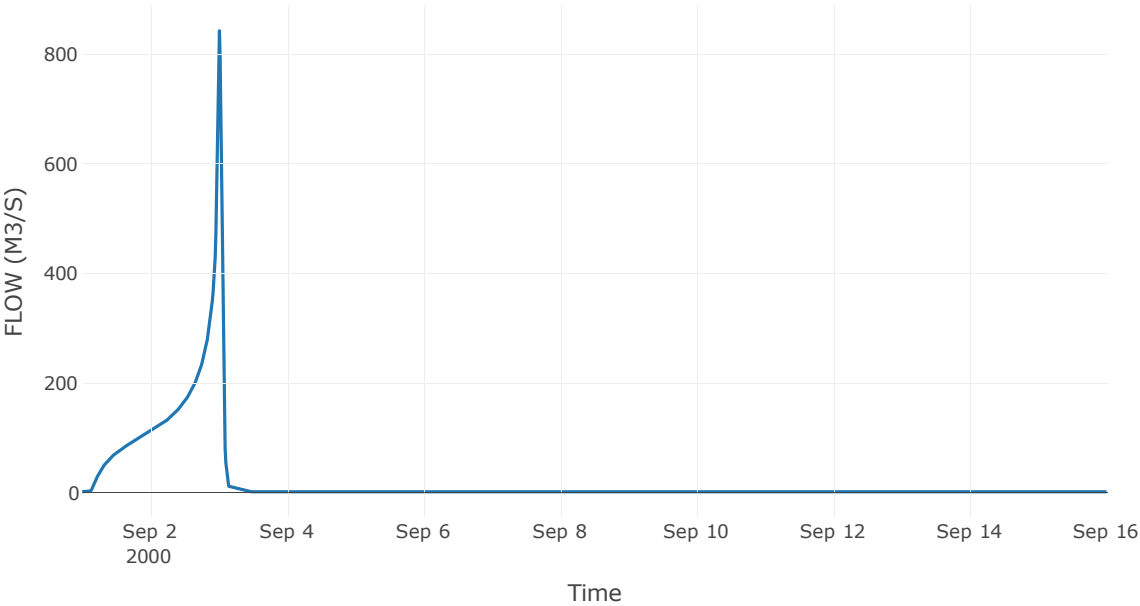
Απορροή



Αποτελέσματα:
R1918

Παροχή αιχμής (M3/S)	842.38
Χρονική στιγμή αιχμής	03Sep2000, 00:15
Όγκος (MM)	431.19
Παροχή Αιχμής Εισόδου (M3/S)	843.57
Όγκος Εισροής (M3)	2.99E7

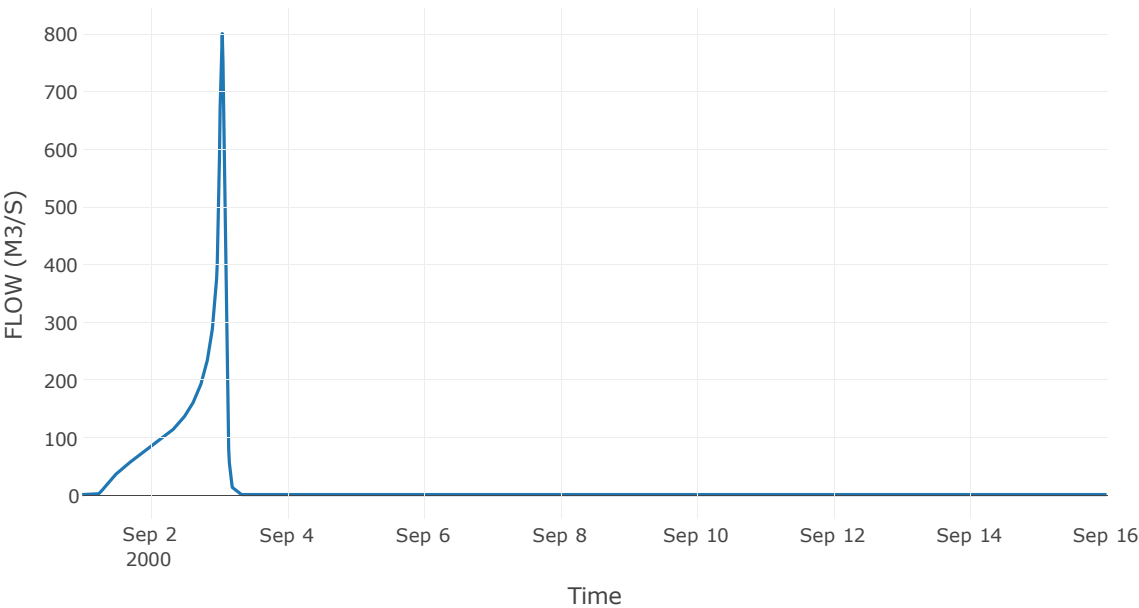
Απορροή



Αποτελέσματα:
R2012

Παροχή αιχμής (M3/S)	801.13
Χρονική στιγμή αιχμής	03Sep2000, 01:15
Όγκος (MM)	315.42
Παροχή Αιχμής Εισόδου (M3/S)	860.84
Όγκος Εισροής (M3)	2.71E7

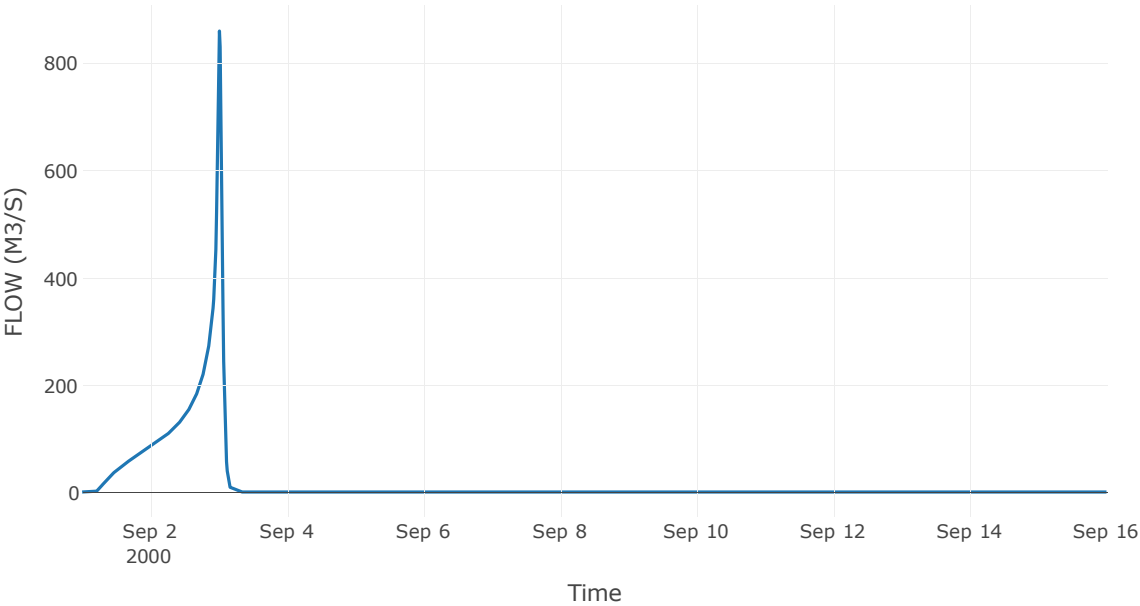
Απορροή



Αποτελέσματα:
R2120

Παροχή αιχμής (M3/S)	860.84
Χρονική στιγμή αιχμής	03Sep2000, 00:15
Όγκος (MM)	315.42
Παροχή Αιχμής Εισόδου (M3/S)	875.69
Όγκος Εισροής (M3)	2.71E7

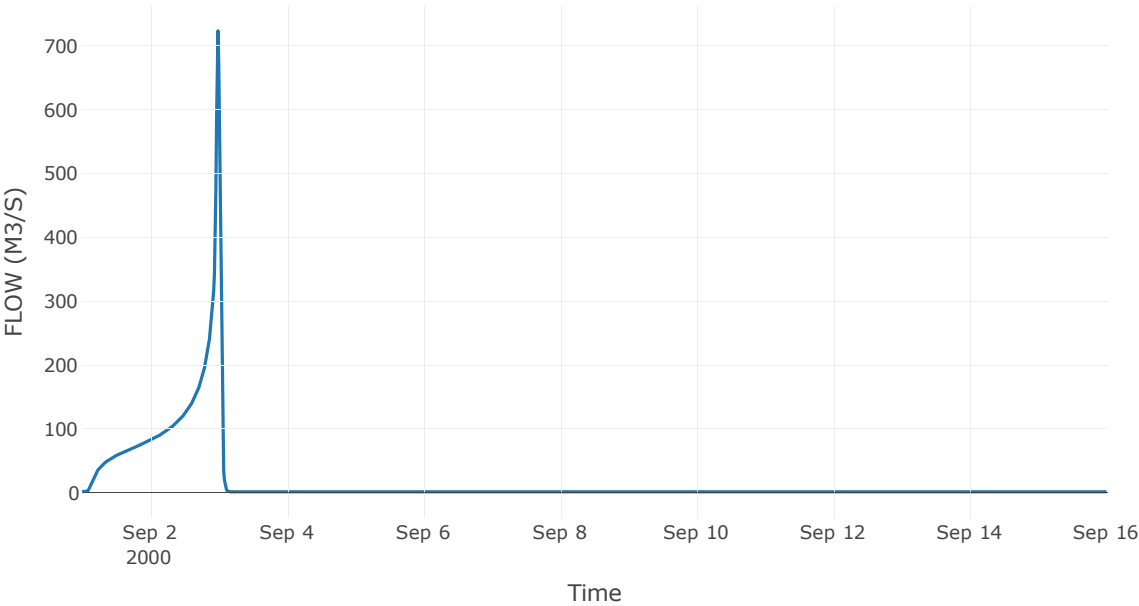
Απορροή



Αποτελέσματα:
R227

Παροχή αιχμής (M3/S)	723.09
Χρονική στιγμή αιχμής	02Sep2000, 23:45
Όγκος (MM)	421.92
Παροχή Αιχμής Εισόδου (M3/S)	728.89
Όγκος Εισροής (M3)	2.25E7

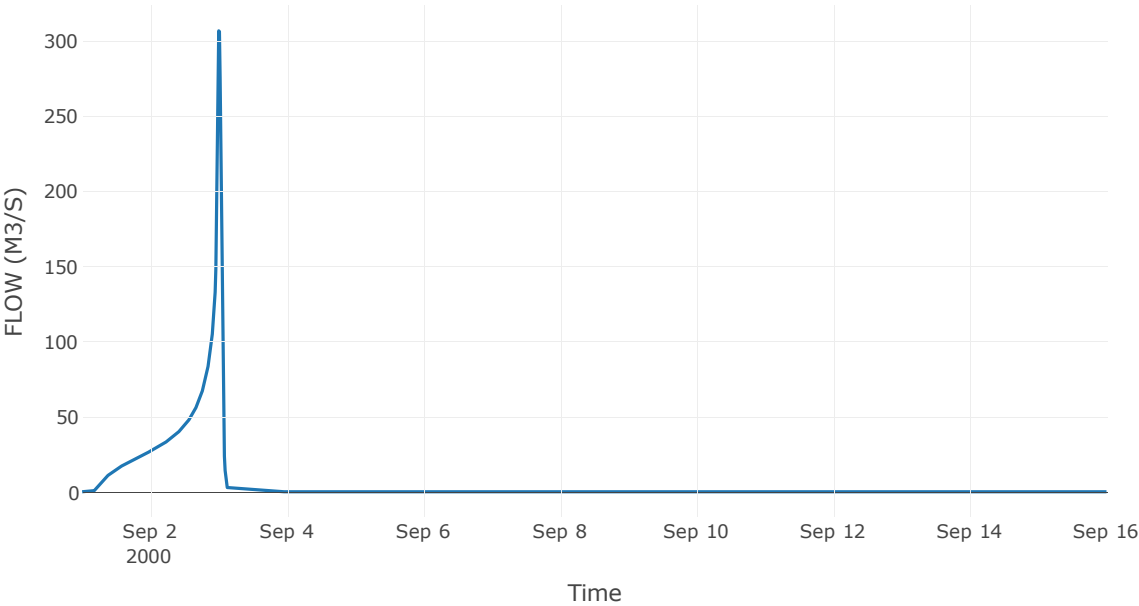
Απορροή



Αποτελέσματα:
R232

Παροχή αιχμής (M3/S)	306.74
Χρονική στιγμή αιχμής	02Sep2000, 24:00
Όγκος (MM)	372.54
Παροχή Αιχμής Εισόδου (M3/S)	313.99
Όγκος Εισροής (M3)	8.39E6

Απορροή



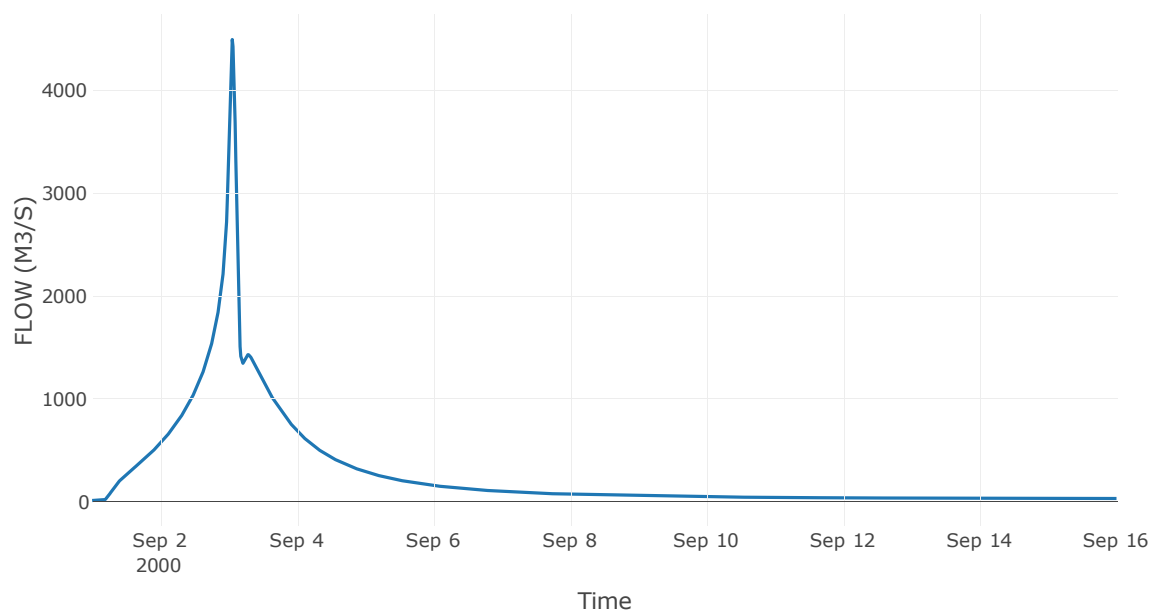
10.3 Δεδομένα και Υδρογραφήματα Σχεδιασμού Κόμβων Υδρογραφικού Δικτύου

Κόμβος εξόδου: J1

Αποτέλεσμα
τα: J1

Παροχή αιχμής (M3/S)	4495.86
Χρονική στιγμή αιχμής	03Sep2000, 01:15
Όγκος (MM)	381.89

Απορροή



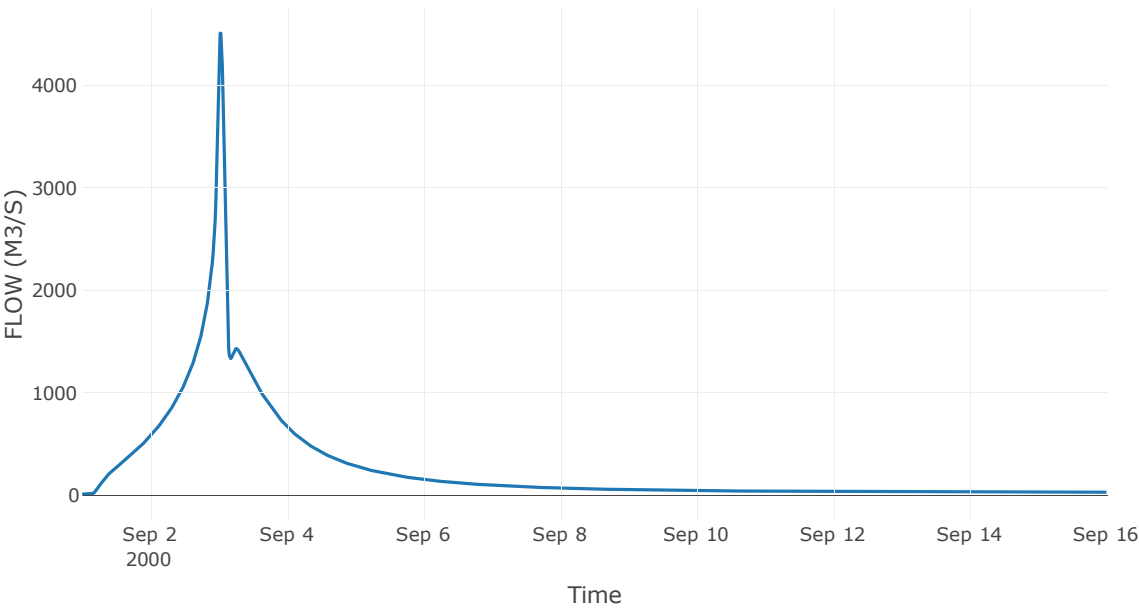
Κόμβος: J2

Κατάντη : R21

Αποτελέσματα: J2

Παροχή Αιχμής(M3/S)	4509.9
Χρονική στιγμή αιχμής	03Sep2000, 00:30
Όγκος (MM)	382.14

Απορροή



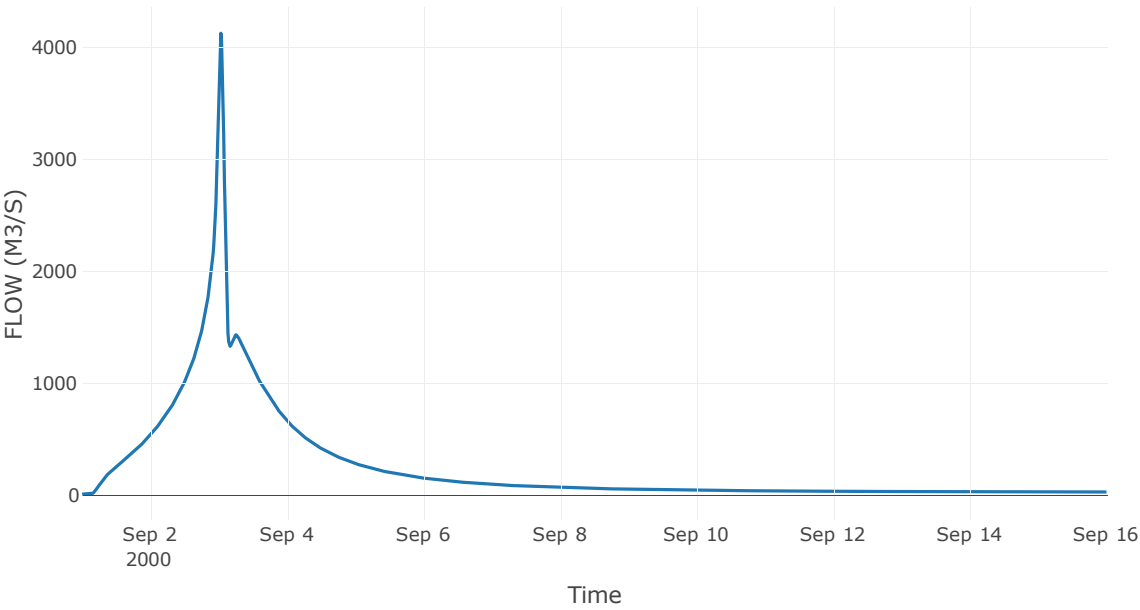
Κόμβος: J3

Κατάντη : R32

Αποτελέσματα: J3

Παροχή Αιχμής(M3/S)	4123.54
Χρονική στιγμή αιχμής	03Sep2000, 00:45
Όγκος (MM)	387.21

Απορροή



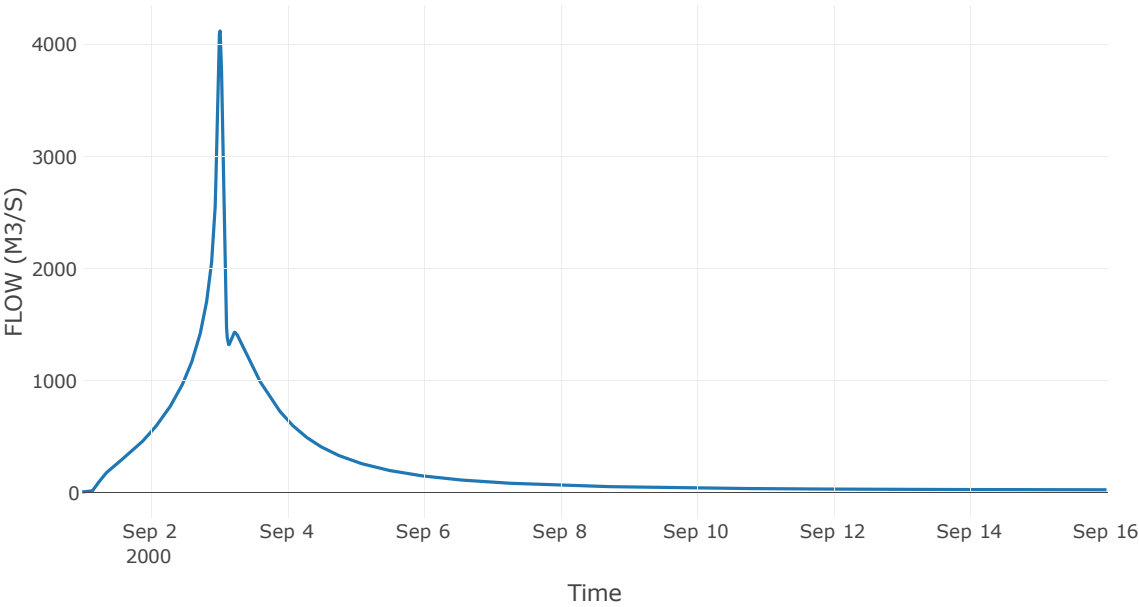
Κόμβος: J4

Κατάντη : R43

Αποτελέσματα: J4

Παροχή Αιχμής(M3/S)	4120.1
Χρονική στιγμή αιχμής	03Sep2000, 00:30
Όγκος (MM)	387.39

Απορροή



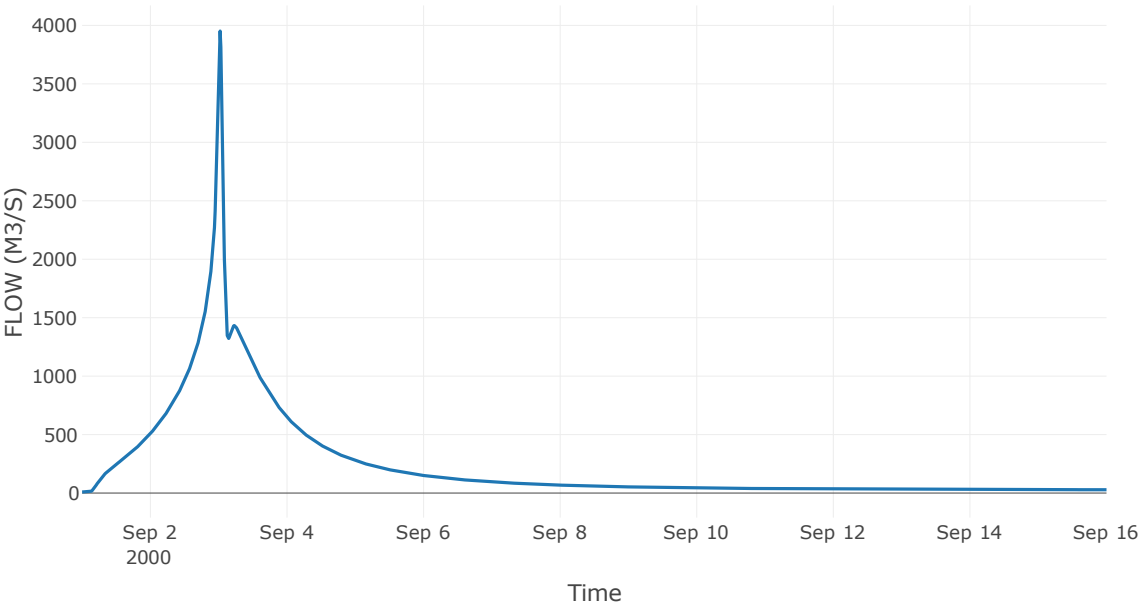
Κόμβος: J5

Κατάντη : R54

Αποτελέσματα: J5

Παροχή Αιχμής(M3/S)	3951.82
Χρονική στιγμή αιχμής	03Sep2000, 00:30
Όγκος (MM)	388.14

Απορροή



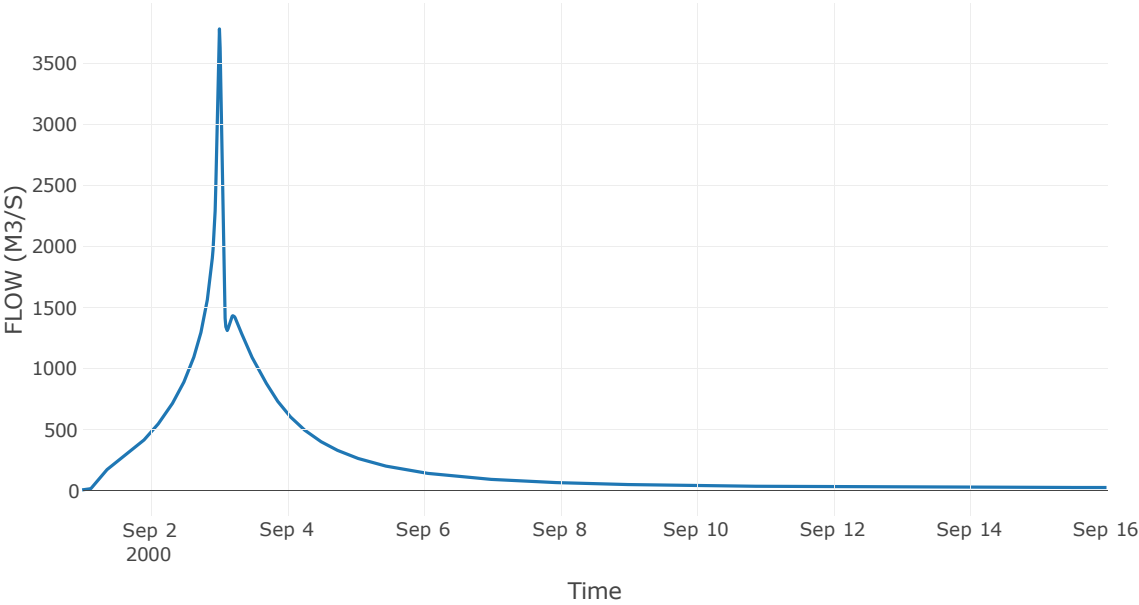
Κόμβος: J6

Κατάντη : R65

Αποτελέσματα: J6

Παροχή Αιχμής(M3/S)	3780.95
Χρονική στιγμή αιχμής	03Sep2000, 00:15
Όγκος (MM)	388.95

Απορροή



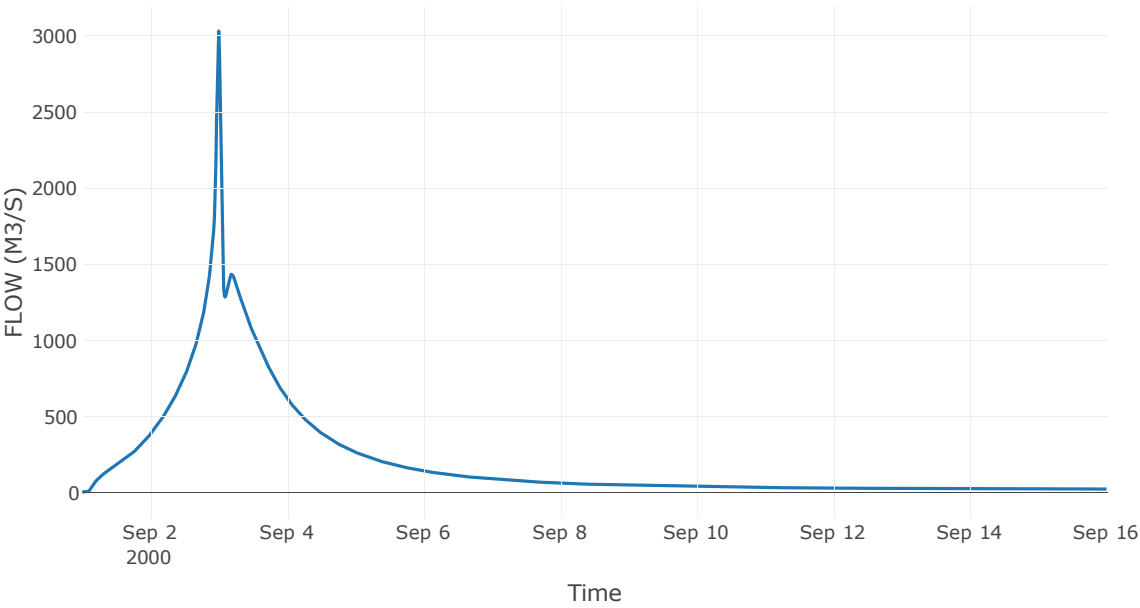
Κόμβος: J7

Κατάντη : R76

Αποτελέσματα: J7

Παροχή Αιχμής(M3/S)	3031.12
Χρονική στιγμή αιχμής	02Sep2000, 24:00
Όγκος (MM)	389.2

Απορροή



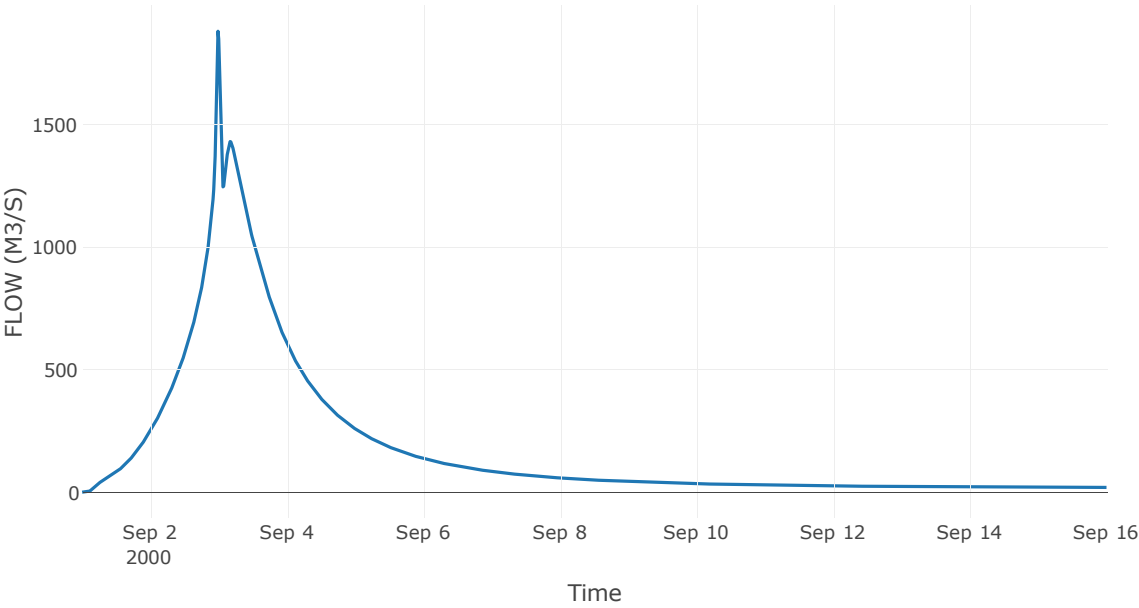
Κόμβος: J8

Κατάντη : R87

Αποτελέσματα: J8

Παροχή Αιχμής(M3/S)	1881.1
Χρονική στιγμή αιχμής	02Sep2000, 23:45
Όγκος (MM)	386.4

Απορροή



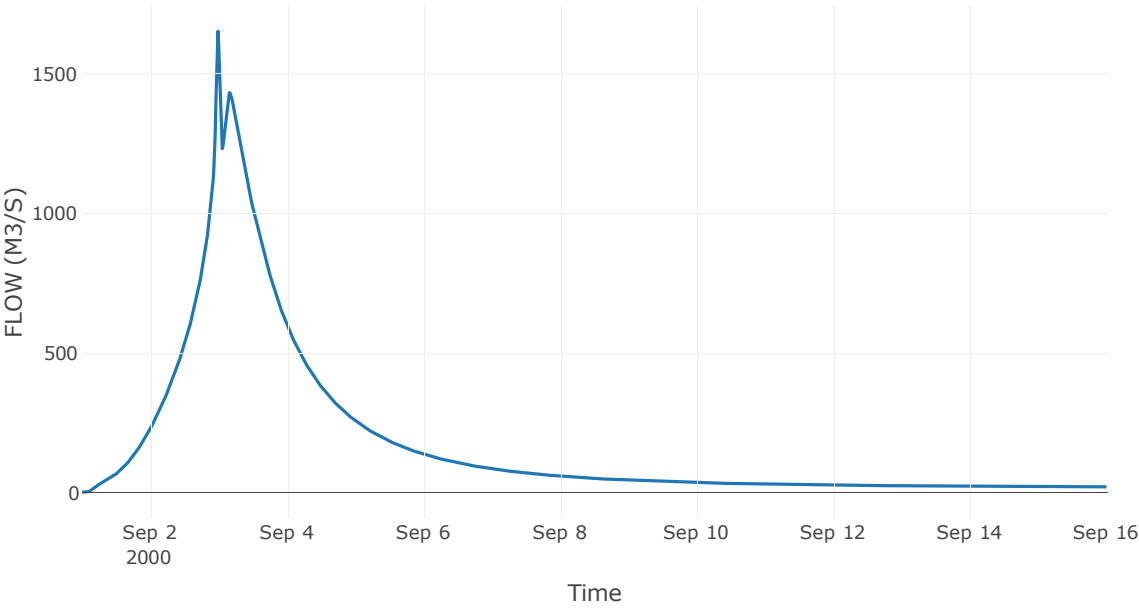
Κόμβος: J9

Κατάντη : R98

Αποτελέσματα: J9

Παροχή Αιχμής(M3/S)	1651.86
Χρονική στιγμή αιχμής	02Sep2000, 23:45
Όγκος (MM)	386.43

Απορροή

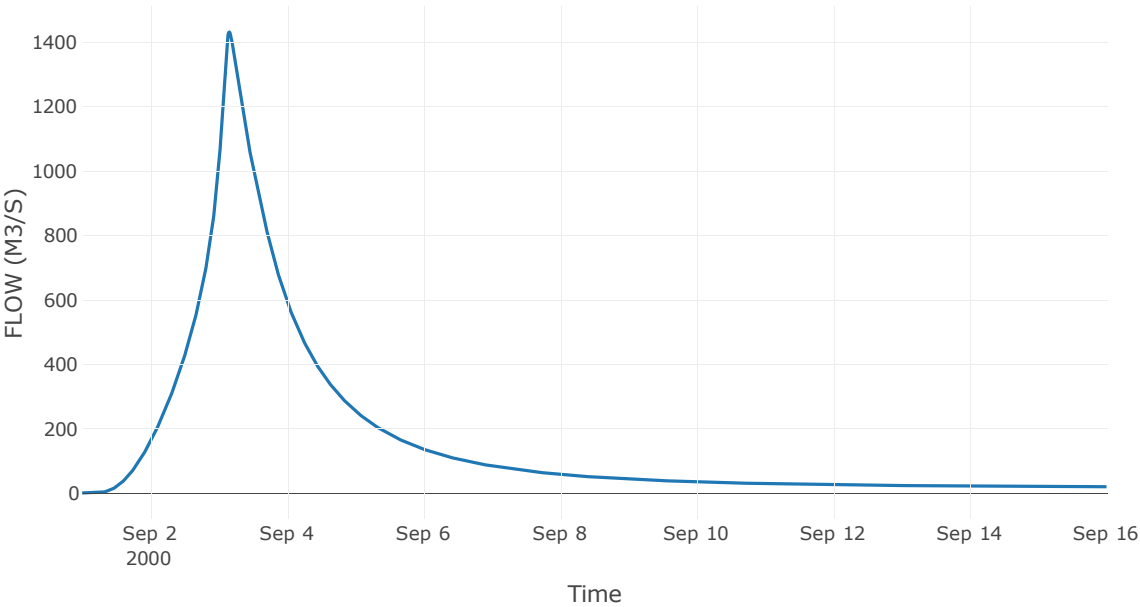


Reservoir: J10_RES1

Αποτελέσματα: J10_RES1

Παροχή Αιχμής(M3/S)	1431.49
Χρονική στιγμή αιχμής	03Sep2000, 03:45
Όγκος (MM)	386.41
Παροχή Αιχμής Εισόδου (M3/S)	4635.93
Time of Peak Inflow	03Sep2000, 01:30
Όγκος Εισροής (M3)	2.24E8
Maximum Storage (M3)	9.11E8
Peak Elevation (M)	441.73
Discharge Όγκος (M3)	2.17E8

Απορροή



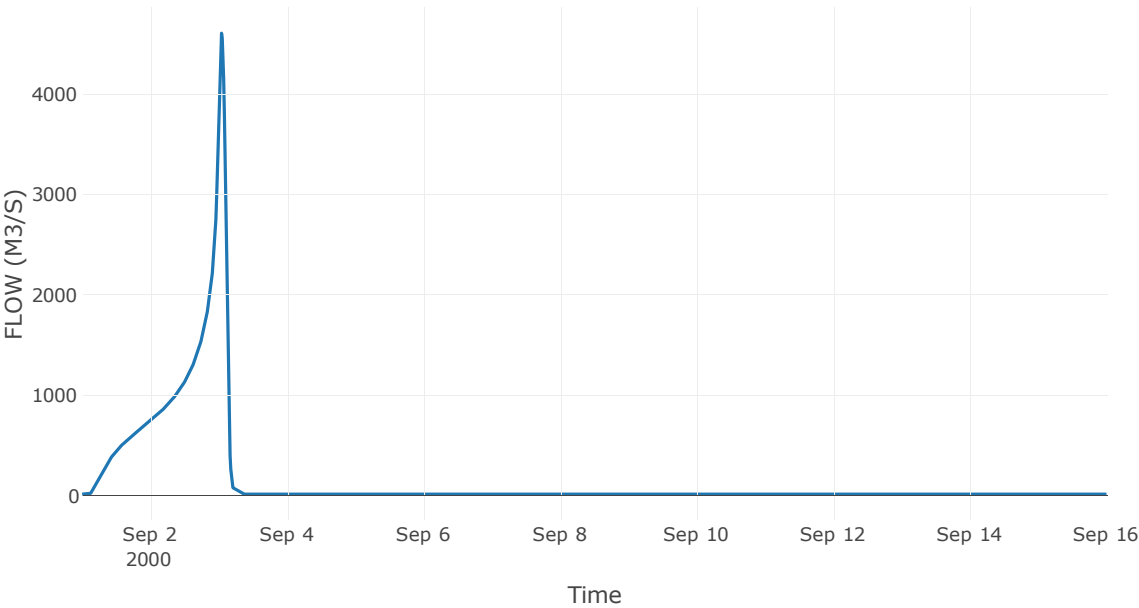
Κόμβος: J11

Κατάντη : R1110

Αποτελέσματα: J11

Παροχή Αιχμής(M3/S)	4605.78
Χρονική στιγμή αιχμής	03Sep2000, 01:00
Όγκος (MM)	401.43

Απορροή



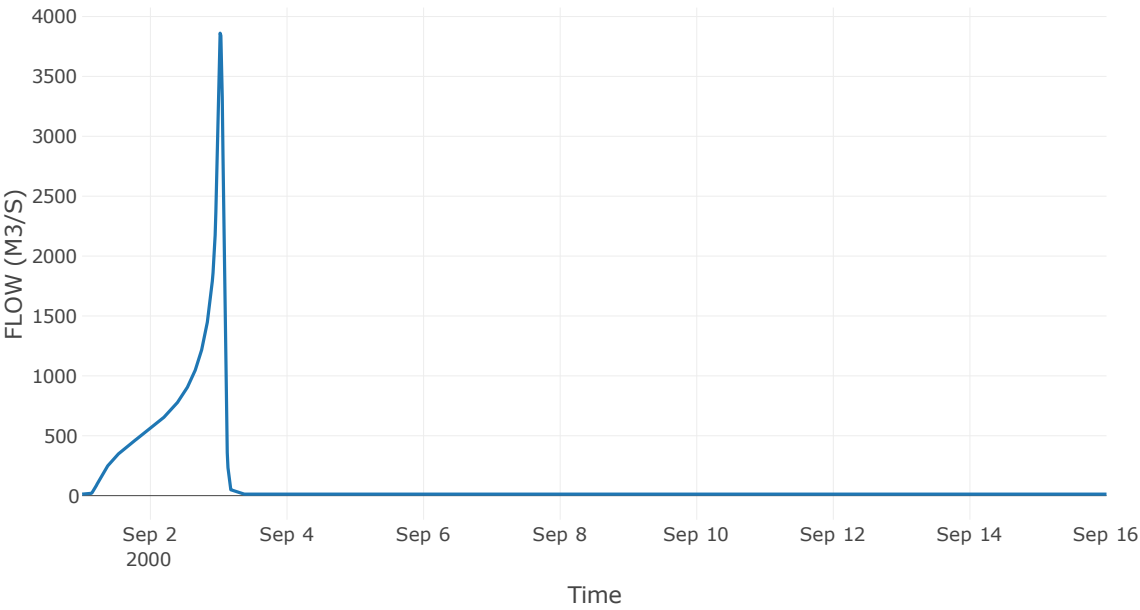
Κόμβος: J12

Κατάντη : R1211

Αποτελέσματα: J12

Παροχή Αιχμής(M3/S)	3861.05
Χρονική στιγμή αιχμής	03Sep2000, 00:30
Όγκος (MM)	393.75

Απορροή



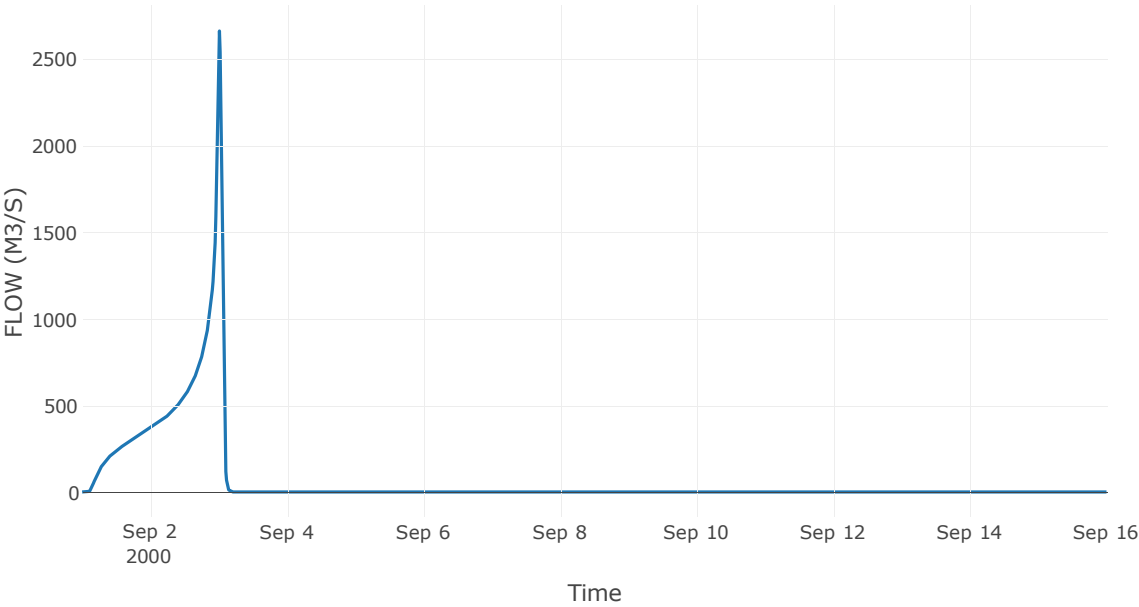
Κόμβος: J13

Κατάντη : R1312

Αποτελέσματα: J13

Παροχή Αιχμής(M3/S)	2663.62
Χρονική στιγμή αιχμής	03Sep2000, 00:15
Όγκος (MM)	441.03

Απορροή



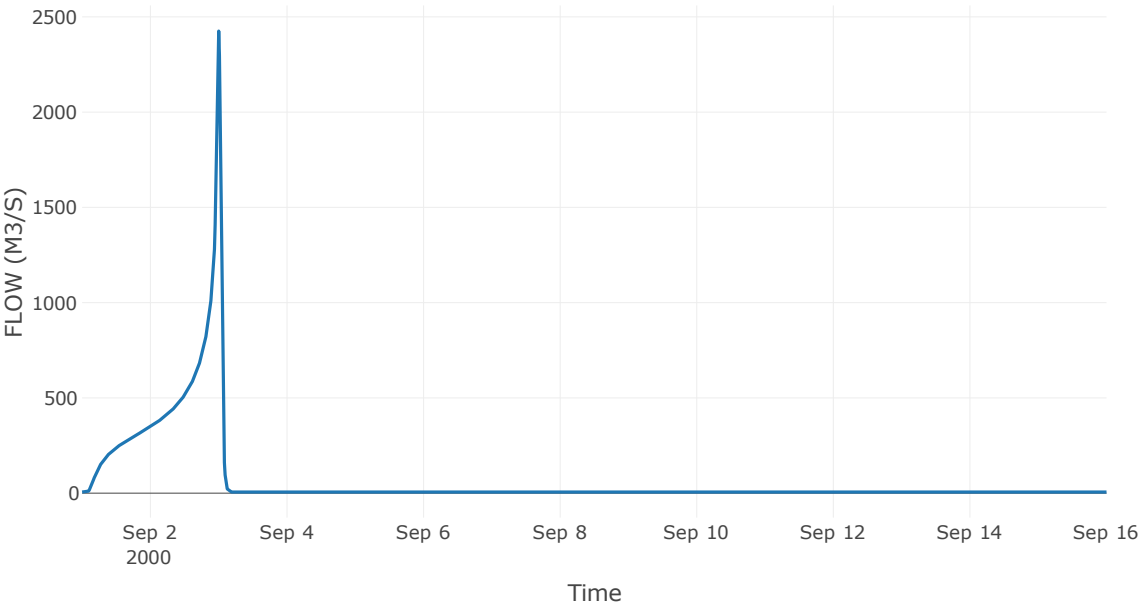
Κόμβος: J14

Κατάντη : R1413

Αποτελέσματα: J14

Παροχή Αιχμής(M3/S)	2425.4
Χρονική στιγμή αιχμής	02Sep2000, 24:00
Όγκος (MM)	470.88

Απορροή



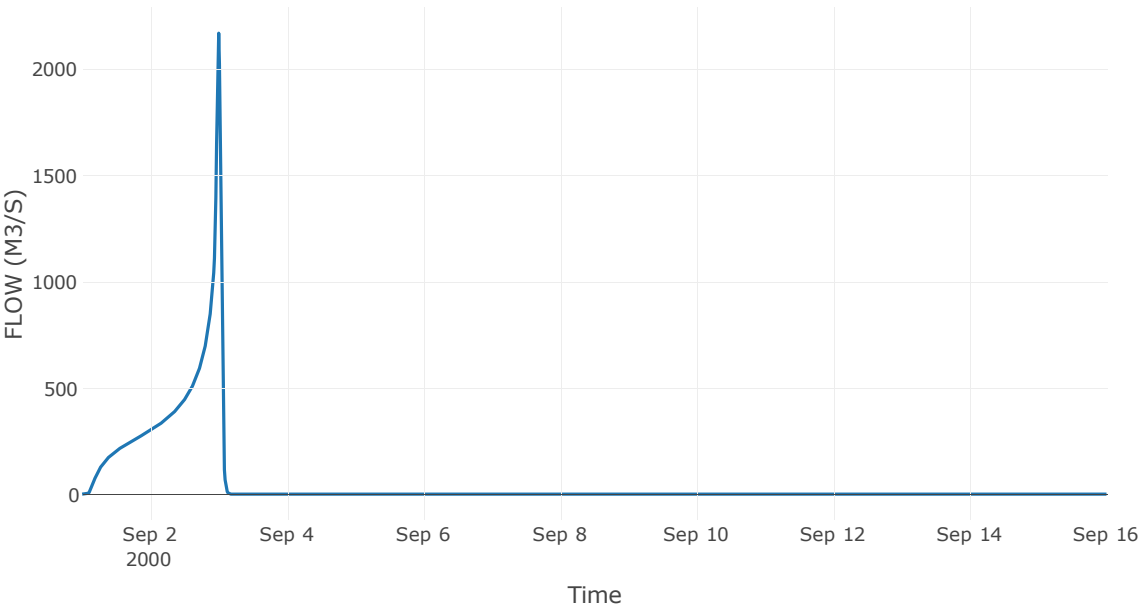
Κόμβος: J15

Κατάντη : R1514

Αποτελέσματα: J15

Παροχή Αιχμής(M3/S)	2169.44
Χρονική στιγμή αιχμής	02Sep2000, 24:00
Όγκος (MM)	470.81

Απορροή



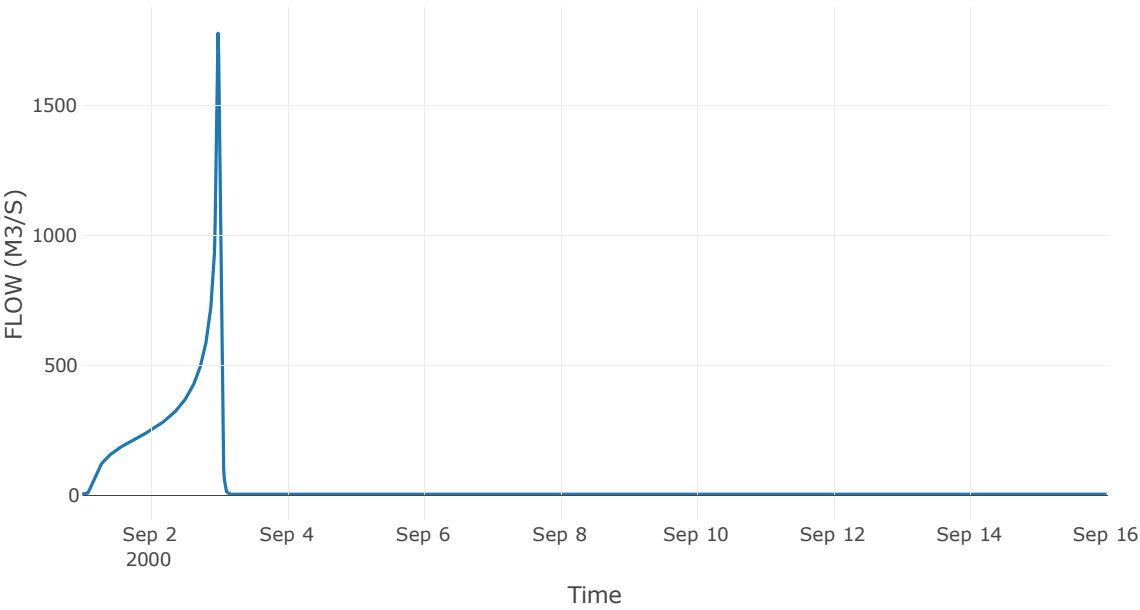
Κόμβος: J16

Κατάντη : R1615

Αποτελέσματα: J16

Παροχή Αιχμής(M3/S)	1776.83
Χρονική στιγμή αιχμής	02Sep2000, 23:45
Όγκος (MM)	472.94

Απορροή



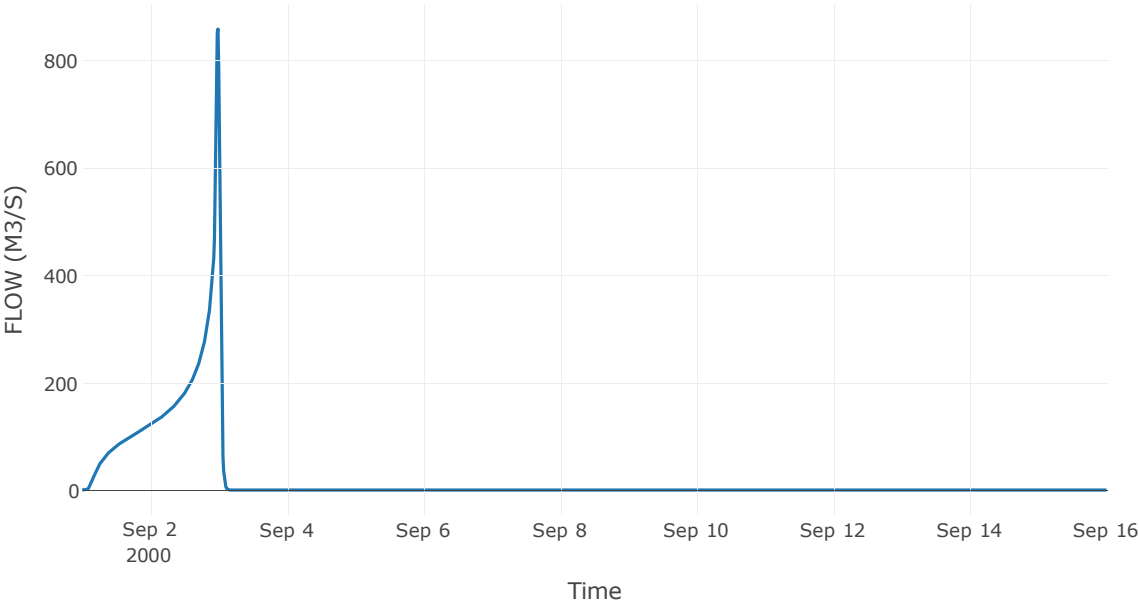
Κόμβος: J17

Κατάντη : R1716

Αποτελέσματα: J17

Παροχή Αιχμής(M3/S)	859.28
Χρονική στιγμή αιχμής	02Sep2000, 23:45
Όγκος (MM)	453.26

Απορροή



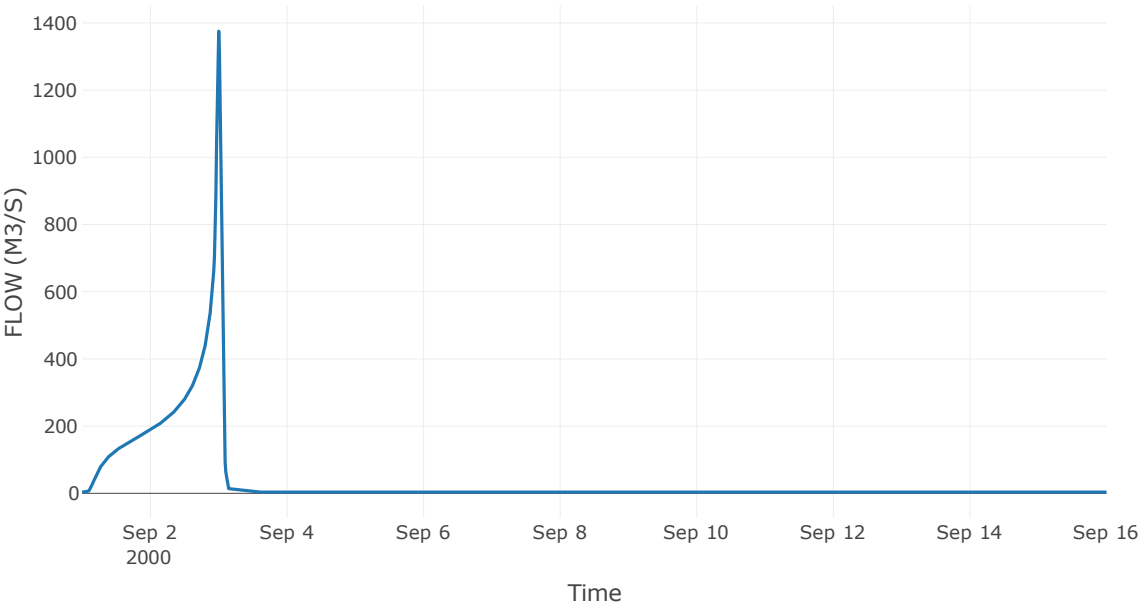
Κόμβος: J18

Κατάντη : R1811

Αποτελέσματα: J18

Παροχή Αιχμής(M3/S)	1375.49
Χρονική στιγμή αιχμής	02Sep2000, 24:00
Όγκος (MM)	429.99

Απορροή



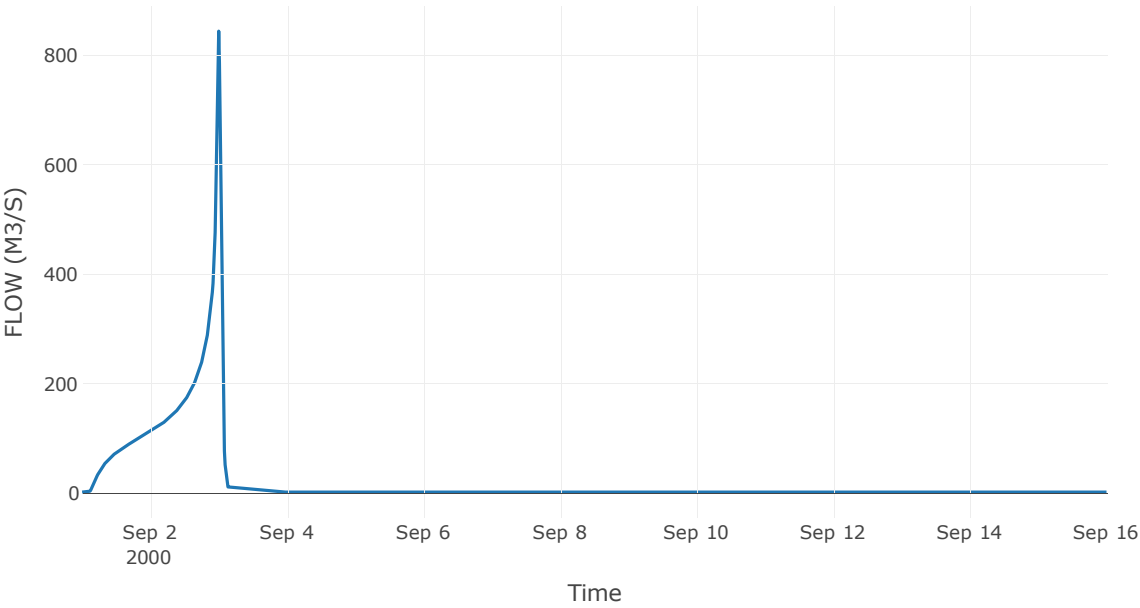
Κόμβος: J19

Κατάντη : R1918

Αποτελέσματα: J19

Παροχή Αιχμής(M3/S)	843.57
Χρονική στιγμή αιχμής	02Sep2000, 24:00
Όγκος (MM)	431.19

Απορροή



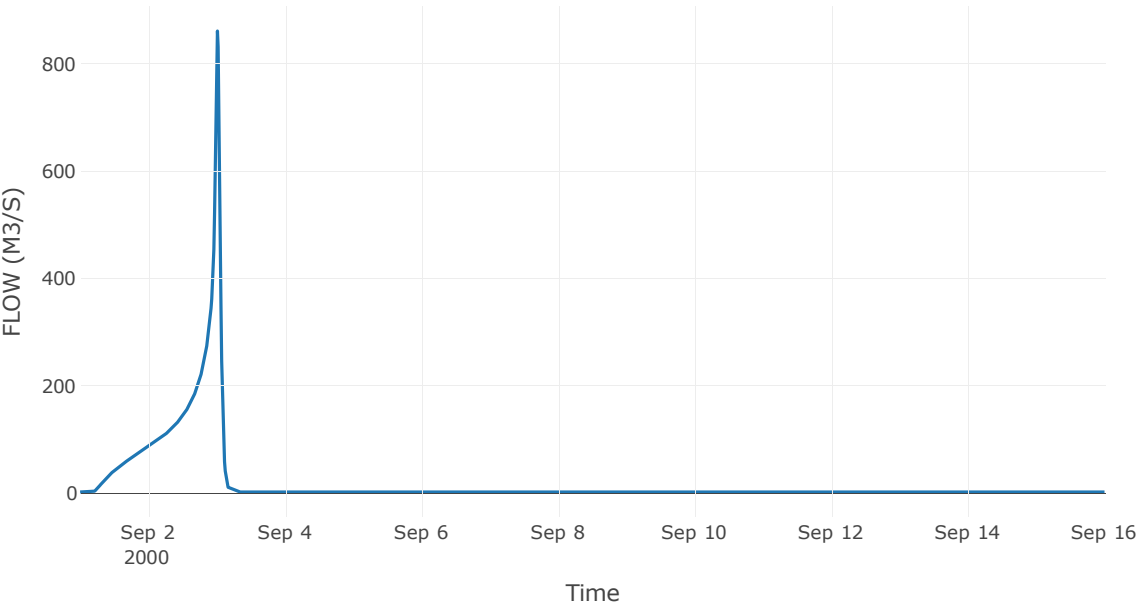
Κόμβος: J20

Κατάντη : R2012

Αποτελέσματα: J20

Παροχή Αιχμής(M3/S)	860.84
Χρονική στιγμή αιχμής	03Sep2000, 00:15
Όγκος (MM)	315.42

Απορροή



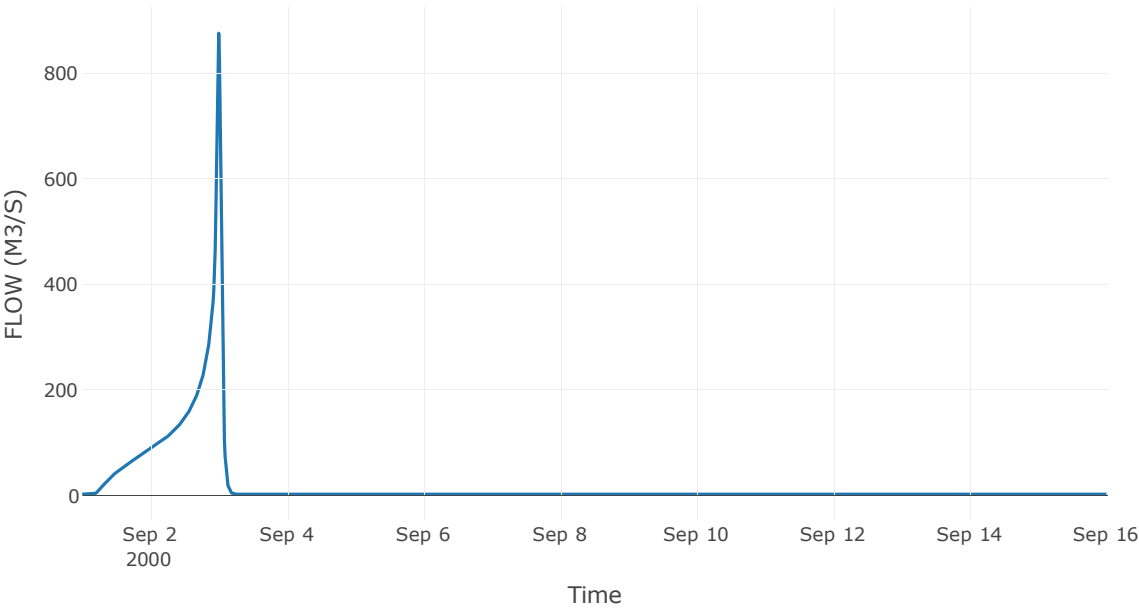
Κόμβος: J21

Κατάντη : R2120

Αποτελέσματα: J21

Παροχή Αιχμής(M3/S)	875.69
Χρονική στιγμή αιχμής	02Sep2000, 24:00
Όγκος (MM)	315.42

Απορροή



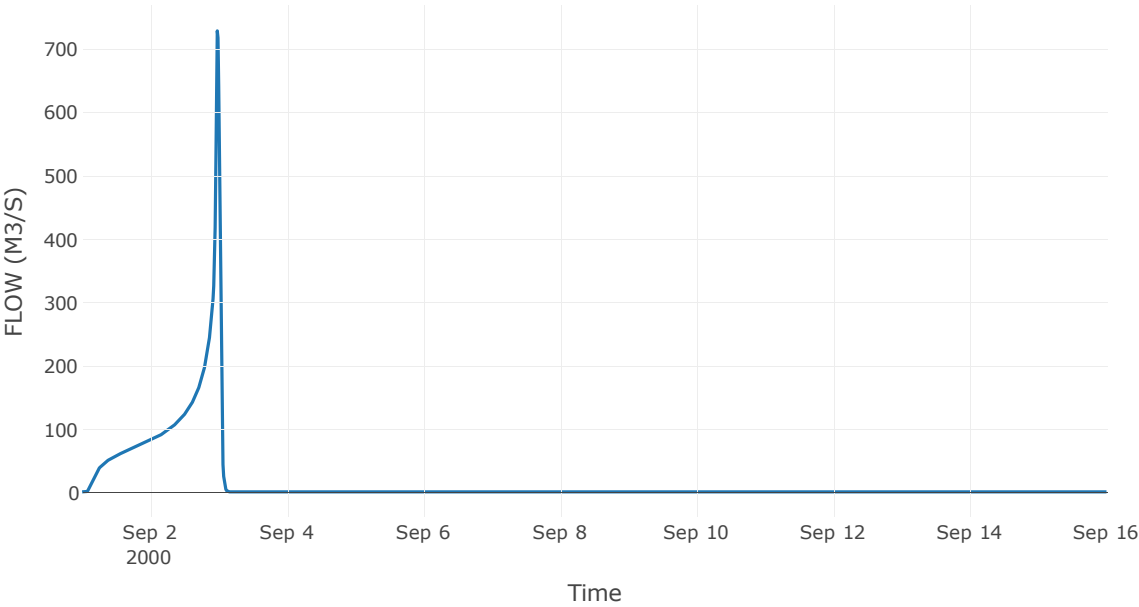
Κόμβος: J22

Κατάντη : R227

Αποτελέσματα: J22

Παροχή Αιχμής(M3/S)	728.89
Χρονική στιγμή αιχμής	02Sep2000, 23:30
Όγκος (MM)	421.92

Απορροή



Κόμβος: J23

Κατάντη : R232

Αποτελέσματα: J23

Παροχή Αιχμής(M3/S)	313.99
Χρονική στιγμή αιχμής	02Sep2000, 23:45
Όγκος (MM)	372.54

Απορροή

